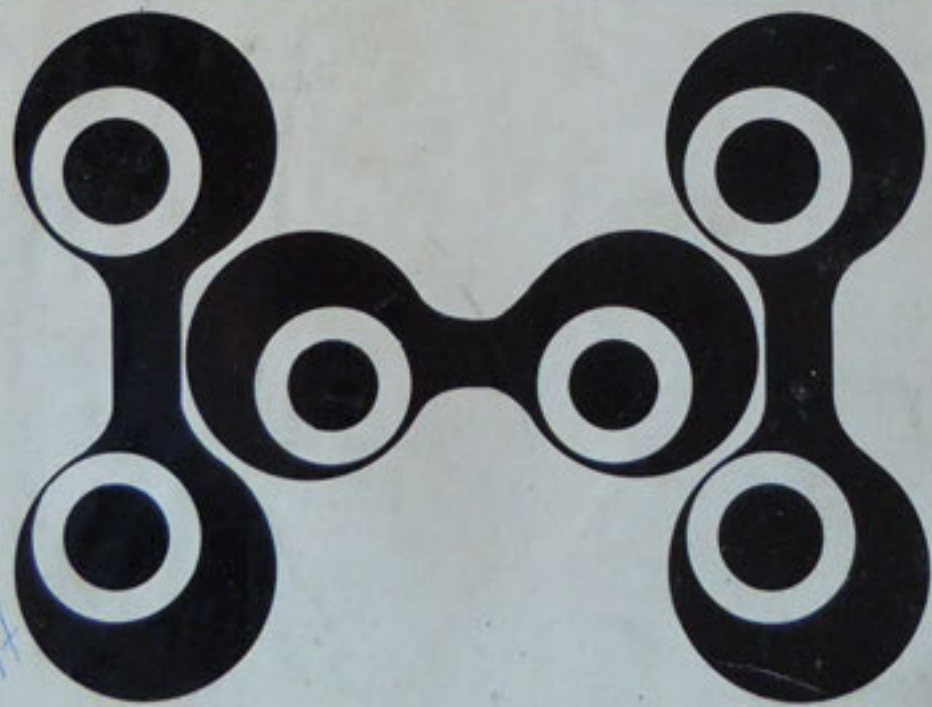




P. E. Gray  
C. L. Searle



Bazele electronicii  
moderne (II)



146  
7947

## Biblioteca de automatică, informatică, electronică, management

### Au apărut:

J. G. Gille, s. a.  
J. G. Gille, s. a.  
A. G. Ivahnukov  
A. V. Bescherski  
B. I. Kogan

R.M. Kogan, T.M. Ter-Mikaelian

V. Solodovnikov s. a.  
W. Oppell  
D. V. Vasiliev s. a.  
M. Măneasa s. a.

M. Păgăruș,

I. Papadache, G. Weinrich s. a.

W. Simon

P. Năstăse

C. J. Savant

J. E. Gibson

B. Kuo

W. A. Greyer

R. Lewis, H. Stern

R. S. Ledley

Y. Chu

G. V. Drujinin

G. A. Korn

S. E. Elmaghraby

I. Flores

W. Karplus

E. S. Savas

I. Pelea s. a.

Al. Spătaru

Vădușcă A. s. a.

D. Pelcu s. a.

H. B. Maynard

C. Penescu s. a.

S. Călin și Belea C.

R. Paul

Adalaida Malcescu

S. Condrea

S. Călin, C. Belea

M. Drăgănescu

L. M. Goldenberg

L. A. Zadeh, E. Polak

Teoria și calculul sistemelor de reglare automată  
Elementele sistemelor de reglare automată  
Cibernetica tehnică

Teoria reglării automate. Culegere de probleme  
Dispozitive electronice de modelare și folosirea  
lor pentru studiul sistemelor de reglare automată  
Rezolvarea problemelor ingineresti cu calculatoare  
numerice

Regulatoare automate și sisteme de urmărire  
Tehnica reglării automate  
Calculul și proiectarea sistemelor de urmărire  
Mașini de calcul pentru mecanizarea și automati-  
zarea luerărilor economice administrative  
Calculatoare analogice și numerice. Aplicații în  
automatizări

Regulatoare electronice  
Conducerea numerică a mașinilor-unelte  
Circuite logice și automatizări secvențiale  
Calculul sistemelor automate  
Sisteme automate neliniare  
Sisteme automate cu eșantionare  
Dispozitive magnetice neliniare  
Sisteme automate hidraulice  
Programarea și utilizarea calculatoarelor numerice  
Bazele proiectării calculatoarelor numerice  
Siguranța în funcționare a sistemelor  
Simularea și măsurarea proceselor aleatoare  
Protecția sistemelor de producție  
Sisteme de programe („software”) pentru cal-  
culatoare numerice

Sisteme de calculatoare cu divizarea timpului  
Conducerea cu calculatoare a proceselor industriale  
Circuite cu semiconductoare în industrie. Aparate  
de măsurat

Teoria transmisiei informației, vol. I, II  
Circuite cu semiconductoare în industrie. Ampli-  
ficatoare și oscilatoare

Pneumomatomatice  
Conducerea activității economice. Vol. I, II, III, IV  
Identificarea experimentală a proceselor automa-  
tizate

Sisteme automate adaptive și optimale  
Tehnica măsurării tranzistoarelor  
Circuite corecționare  
Rețele și sisteme de telecomunicații. O introducere  
în teoria modernă a circuitelor

Sisteme automate cu structură complexă  
Electronica corpului solid  
Teoria și calculul circuitelor de impulsuri  
Teoria sistemelor

Paul E. Gray Campbell L. Searle

Institutul de tehnologie Massachusetts



## Bazele electronicii moderne

Traducere după ediția americană, cu o completare, aprobată pentru  
ediția română, cuprinzând rezolvările problemelor propuse în original,  
elaborată de autori

vol. II



Editura tehnică

București 1973



Copyright © 1969, by John Wiley & Sons, Inc.  
All rights reserved. No part of this book may be reproduced by any means, nor transmitted, nor translated into a machine language without the written permission of the publisher.

Traducere (vol. II):

Ing. Ioan Drăghici: cap. 16;  
Ing. Camelia Marinescu: cap. 21, 22;  
Dr. ing. Mircea Petrescu: cap. 23, 24;  
Ing. Șerban Petrescu: cap. 18, 19, 20, anexa E (parțial);  
Ing. Tiberiu Popescu: cap. 17, anexele A—D, anexa E (parțial);  
Dr. ing. Roman Stere: cap. 15.

Redactori:

Ing. Maria Ganea, ing. Maria Beluri, ing. Constantin Minea, ing. Paul Zamfirescu  
Tehnoredactor: Maria Ionescu

Bun de tipar: 22.10.1973 Coli de tipar: 45 Tiraaj: 10.000+140 exemplare  
legate C.Z. 621.38(01)

Întreprinderea poligrafică „Informația” Str. Brezoianu 23—25 cda. 587



## TABLA DE MATERII GENERALĂ

### Vol. I și vol. II

#### Vol. I

Cuvînt înainte la ediția română

Prefața autorilor

Lista simbolurilor uzuale

1. Circuite, dispozitive și modele electronice
2. Mecanisme de conducție în semiconductoare
3. Distribuția și eurgerea purtătorilor de sarcină în semiconductoare
4. Electronica fizică a diodei cu joncțiune
5. Structura și fabricarea dispozitivelor semiconductoare
6. Circuite cu diode și modelarea lor
7. Tranzistoare bipolare cu joncțiune
8. Modele de regim dinamic pentru tranzistoare bipolare
9. Tranzistoare cu efect de cîmp de tip MOS
10. Tranzistoare cu efect de cîmp cu poarta joncțiune
11. Circuite echivalente de semnal mic pentru tranzistoare
12. Determinarea parametrilor de semnal mic
13. Polarizarea tranzistoarelor cu efect de cîmp și bipolare
14. Calculul răspunsului la joasă frecvență și la înaltă frecvență

#### Vol. II

15. Amplificatoare cu mai multe etaje
  16. Alte exemple de amplificatoare cu mai multe etaje
  17. Amplificatoare acordate cu tranzistoare
  18. Reacția
  19. Răspunsul staționar și tranzitoriu al amplificatorului cu reacție. Locul rădăcinilor
  20. Proiectarea amplificatoarelor cu reacție pe baza răspunsului pe axa  $j$
  21. Funcționarea tranzistoarelor în afara regiunii active
  22. Circuite digitale cu un singur etaj
  23. Circuite digitale neregenerative cu mai multe etaje
  24. Circuite de comutație cu mai multe etaje regenerative
- Anexa A. Modele și circuite cu tuburi cu vid  
Anexa B. Electronica fizică a tuburilor cu vid și circuite echivalente  
Anexa C. Program FORTRAN IV pentru determinarea frecvențelor naturale ale unei rețele RC  
Anexa D. Program API pentru determinarea frecvențelor naturale ale unei rețele  
Anexa E. Rezolvarea problemelor  
Index de noțiuni în limbile română și engleză

## Tabla de materii analitică

Vol. II

15. Amplificatoare cu mai multe etaje	11
15.1. Analiza amplificatorului cascadă: amplificarea și lărgimea de bandă	11
15.2. Constantele de timp de circuit deschis ca ajutor în proiectare	21
15.3. Proiectarea de joasă frecvență a amplificatorului cascadă	33
Bibliografie	42
Probleme	42
16. Alte exemple de amplificatoare cu mai multe etaje	47
16.1. Proiectarea etajelor cu emitorul comun în cascadă	47
16.2. Amplificator cu cuplaj prin emitor	65
16.3. Amplificatoare cu mai multe etaje utilizând atât tranzistoare TEC cit și tranzistoare bipolare	76
16.4. Structuri mai complicate cu mai multe etaje	80
Bibliografie	83
Probleme	83
17. Amplificatoare acordate cu tranzistoare	89
17.1. Analiza unui amplificator acordat cu un singur etaj	89
17.2. Exemplu de amplificator acordat cu un singur etaj cu emitorul comun	99
17.3. Exemplu de pereche acordată cu emitor comun	105
17.4. Demonstrație experimentală la curs	111
Bibliografie	112
Probleme	112
18. Reacția	117
18.1. Proprietățile de bază ale amplificatoarelor cu reacție	117
18.2. Cele patru topologii de bază de circuite cu reacție	130
18.3. Analiza și proiectarea circuitelor pe baza comparării și eșantionării nodurilor	134
18.4. Analiza și proiectarea circuitelor prin compararea și eșantionarea buclor	151
18.5. Circuite cu reacție, cu compararea nodului și eșantionarea buclei	159
18.6. Circuite cu reacție cu compararea buclei și eșantionarea nodului	162
18.7. Rezumat	165
18.8. Demonstrații experimentale la curs	167
Bibliografie	168
Probleme	168
19. Răspunsul staționar și tranzitoriu al amplificatorului cu reacție. Locul rădăcinilor	175
19.1. Problema stabilității	175
19.2. Calculul locului rădăcinilor	182
19.3. Exemplu de proiectare	214
19.4. Demonstrații experimentale la curs	225
Bibliografie	226
Probleme	226
20. Proiectarea amplificatorului cu reacție pe baza răspunsului pe axa $j$	231
20.1. Teorie	231
20.2. Exemplu de calcul pe axa $j$	237
20.3. Instabilitatea la frecvențe joase	250
Bibliografie	254
Probleme	254

21. Funcționarea tranzistoarelor în afara regiunii active	259
21.1. Modele pentru tensiuni arbitrare ale joncțiunilor	259
21.2. Modele statice Ebers — Moll	263
21.3. Modele dinamice cu control prin sarcină	267
21.4. Regiuni de funcționare	276
21.5. Aplicații ale modelelor de circuit Ebers-Moll	288
Bibliografie	298
Probleme	298
22. Circuite digitale cu un singur etaj	303
22.1. Câteva proprietăți de bază ale circuitelor digitale	303
22.2. Proprietăți statice ale unui inversor cu tranzistor	306
22.3. Tranziții între stări	313
22.4. Condensatorul de accelerare	332
22.5. Determinarea parametrilor modelului cu control prin sarcină	335
22.6. Soluția pe calculator a ecuațiilor modelului cu control prin sarcină	345
22.7. Demonstrații experimentale la curs	354
Bibliografie	355
Probleme	355
23. Circuite digitale neregenerative cu mai multe etaje	361
23.1. Clasificarea circuitelor digitale	361
23.2. Circuite cu rezistențe și tranzistoare cu cuplaj direct (DCTL, RTL)	364
23.3. Alte exemple de circuite logice cu saturație	383
23.4. Circuite logice fără saturație	386
23.5. Tranzistoarele cu efect de cimp (TEC) ca elemente de comutație	400
23.6. Demonstrație experimentală la curs	401
Bibliografie	404
Probleme	404
24. Circuite de comutație cu mai multe etaje regenerative	409
24.1. Circuite de comutație regenerative bistabile	409
24.2. Circuite basculante monostabile	431
24.3. Circuite basculante astabile	435
24.4. Demonstrație experimentală la curs	439
Bibliografie	440
Probleme	441
ANEXA A. Modele și circuite cu tuburi cu vid	444
A.1. Introducere	444
A.2. Structura și funcționarea diodelor cu vid și triodelor cu vid	444
A.3. Un amplificator elementar	451
A.4. Modelarea și analiza circuitelor active liniare	467
ANEXA B. Electronica fizică a tuburilor cu vid și circuite echivalente	476
B.1. Electronica fizică a tuburilor cu vid	476
B.2. Circuite echivalente ale tuburilor cu vid	492
Bibliografie	502
Probleme	502
ANEXA C. Program FORTRAN IV pentru determinarea frecvențelor naturale ale unei rețele RC	508
C.1. Instrucțiuni pentru utilizarea programului	508
C.2. Programul	510
Bibliografie	522
ANEXA D. Program APL pentru determinarea frecvențelor naturale ale unei rețele	524
D.1. Exemple de utilizarea programului	524
D.2. Programul	526
ANEXA E. Rezolvarea problemelor	530
Index de noțiuni în limbile română și engleză	709

## CAPITOLUL 15

# AMPLIFICATOARE CU MAI MULTE ETAJE

## CAPITOLUL 15

# AMPLIFICATOARE CU MAI MULTE ETAJE

- 15.1. Analiza amplificatorului cascade: amplificarea și lărgimea de bandă
  - 15.1.1. Amplificarea
  - 15.1.2. Ecuațiile pe noduri
  - 15.1.3. Calculul lărgimii de bandă cu ajutorul calculatorului electronic
  - 15.1.4. Calculul lărgimii de bandă cu poli complecși
  - 15.1.5. Răspunsul la semnal treaptă
- 15.2. Constantele de timp de circuit deschis ca ajutor în proiectare
  - 15.2.1. Relația între  $\omega_h$  și primii doi termeni ai numitorului funcției de transfer
  - 15.2.2. Determinarea rapoartelor  $a_1/a_0$  și  $a_{n-1}/a_n$  prin analizarea rețelei
  - 15.2.3. Relația între  $\omega_h$  și constantele de timp de circuit deschis
  - 15.2.4. Exemplu
  - 15.2.5. O utilă verificare de calcul
  - 15.2.6. Metodă de proiectare pentru mai multe etaje
- 15.3. Proiectarea de joasă frecvență a amplificatorului cascade
  - 15.3.1. Calculul valorilor rezistențelor
  - 15.3.2. Calculul valorilor condensatoarelor de cuplaj și de decuplare
  - 15.3.3. Verificarea proiectării folosind un calculator electronic

*Bibliografie*  
*Probleme*

## AMPLIFICATOARE CU MAI MULTE ETAJE

### 15.1. ANALIZA AMPLIFICATORULUI CASCODĂ: AMPLIFICAREA ȘI LĂRGIMEA DE BANDĂ

Cînd trecem de la circuitele cu un singur etaj, discutate în capitolele precedente, la proiectarea amplificatoarelor cu mai multe etaje, apar posibilități de proiectare cu totul noi. De exemplu putem obține amplificări foarte mari legînd în cascadă etaje cu emitorul comun (adică conectînd ieșirea unui etaj la intrarea celui de-al doilea etaj) deoarece amplificarea sistemului va fi de obicei de ordinul produsului amplificărilor etajelor individuale. Dar odată cu aceste posibilități noi de proiectare apar și probleme noi de proiectare. De exemplu, amplificatoarele cu mai multe etaje au multe frecvențe naturale care de obicei reprezintă funcții complicate de numeroasele capacități ale circuitului echivalent de semnal mic. Din această cauză vom fi uneori obligați să folosim calculatorul electronic în proiectarea amplificatoarelor cu mai multe etaje.

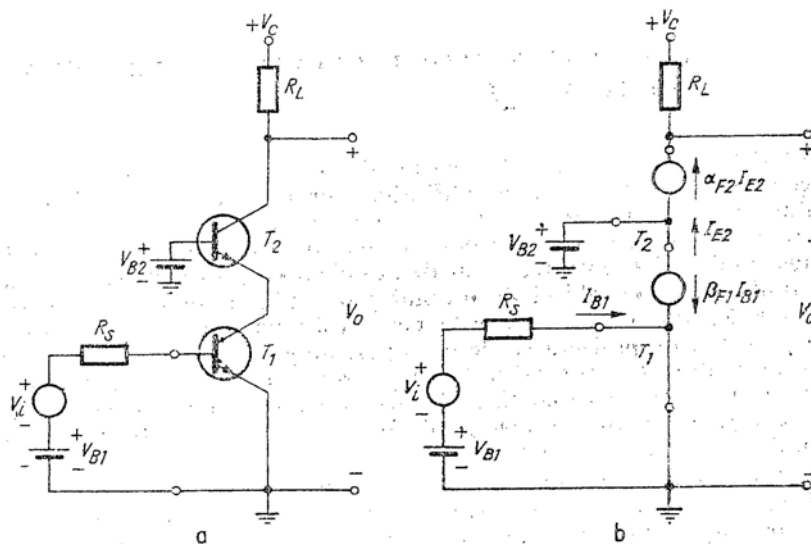
Vom aborda proiectarea amplificatorului cu mai multe etaje admițînd mai întîi aproximații grosiere, pentru a obține primul set de valori ale parametrilor amplificatorului. Vom calcula apoi pentru acest amplificator polii, zerourile, amplificarea și frecvența de tăiere. În fine aceste rezultate se vor compara cu specificațiile inițiale și se vor face modificări potrivite ale amplificatorului pentru a înlătura eventualele neconcordanțe.

#### 15.1.1. Amplificarea

Deoarece vrem să ne bazăm în mare măsură pe analiza asistată de calculator, este ceva mai simplu să începem discutarea amplificatorului cu

mai multe etaje printr-un exemplu concret. Am ales pentru acest exemplu amplificatorul cu două etaje de tip așa numit „cascodă” prezentat în fig. 15.1, a. Tranzistorul  $T_1$  este într-o conexiune cu emitorul comun tipică, în afară de faptul că sarcina colectorului este un al doilea tranzistor în loc să fie obișnuitul rezistor. Tranzistorul  $T_2$  este un etaj cu baza comună: semnalul intră în emitor și iese la colector, baza fiind menținută la un potențial constant de către o baterie. În cursul discuției vor fi scoase în evidență avantajele și dezavantajele acestei cascade emitor comun-bază comună.

Din punct de vedere al fluxului de putere continuă debitat de sursa de alimentare, cele două tranzistoare sînt în serie și curenții de colector  $I_{C1}$  și  $I_{C2}$  sînt practic egali. Dacă rețeaua de polarizare este aleasă corect, ambele tranzistoare funcționează în regiunea activă normală; prin urmare, într-o primă aproximație, vom putea face calculele asupra amplificării, folosind pentru tranzistoare circuitele echivalente simplificate cu  $\alpha_F$  și  $\beta_F$  (§ 7.3) așa



15.1. Amplificator cascodă.

cum se arată în fig. 15.1, b. Din această schemă rezultă evident că tensiunea de colector  $V_{CE1}$  a lui  $T_1$  este determinată aproape exclusiv de tensiunea bateriei aplicate la baza lui  $T_2$ :

$$V_{CE1} \approx V_{B2} \quad (15.1)$$

și astfel

$$V_{CE2} \approx V_C - V_{B2} - I_C R_L \quad (15.2)$$

Pentru acest circuit echivalent simplu amplificările pot fi calculate prin observare:

$$\frac{\Delta I_{C2}}{\Delta I_{B1}} = \beta_{F1} \alpha_{F2} \quad (15.3)$$

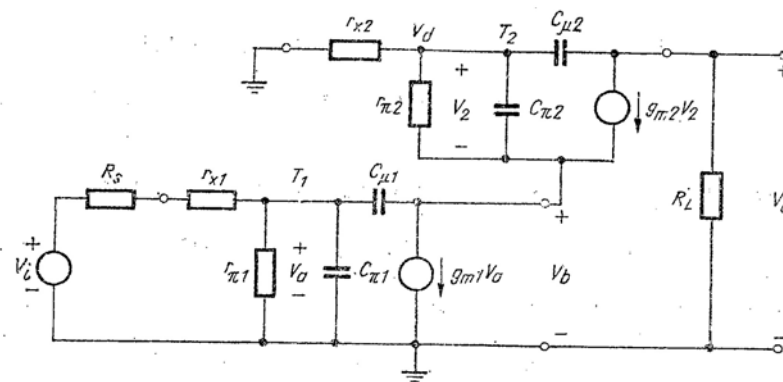
$$\frac{V_o}{V_i} = - \frac{\Delta I_{C2} R_L}{\Delta I_B \Delta I_{B1} R_s} = - \beta_{F1} \alpha_{F2} \frac{R_L}{R_s} \quad (15.4)$$

Rezultă clar din ecuațiile (15.3) și (15.4) că deoarece  $\alpha_F$  este totdeauna mai mic decît unitatea (cu excepția tranzistoarelor cu contact punctiform, actualmente demodate) cel de-al doilea tranzistor nu mărește nici amplificarea de curent, nici amplificarea de tensiune a acestui circuit.

O rațiune importantă pentru adăugarea unui al doilea tranzistor în felul arătat în fig. 15.1 este că acest tranzistor, funcționînd cu baza comună și nu cu emitorul comun, poate admite tensiuni mult mai mari la colector. În adevăr, tensiunea de colector a unui etaj cu baza comună este limitată de tensiunea de avalanșă a joncțiunii colector și nu de tensiunea de menținere. Alte rațiuni pentru a conecta cel de-al doilea tranzistor în felul arătat vor deveni evidente numai după examinarea detaliată a comportării la frecvențe înalte a acestui circuit.

### 15.1.2. Ecuațiile pe noduri

Pentru a examina comportarea la înaltă frecvență a amplificatorului cascodă, vom prezenta mai întîi în fig. 15.2 un circuit echivalent complet de semnal mic bazat pe modelul  $\pi$  – hibrid al tranzistorului. Putem acum



15.2. Circuit echivalent de semnal mic al amplificatorului cascodă.

determina prin observarea circuitului forma generală a funcției de transfer  $V_o/V_i$ . Există patru elemente independente care înmagazinează energie (independente în sensul că nu există noduri la care să fie conectate numai inductanțe și nu există bucle formate numai din capacități), astfel încît circuitul are patru frecvențe naturale. Pentru a găsi forma numărătorului vom observa mai întîi că la  $s=0$  rețeaua are o amplificare finită, deci nu poate să existe vreun factor  $s$  la numărător. Apoi, observăm că pentru valori mari ale lui  $s$ , toate condensatoarele se comportă ca scurtcircuite, dar numai unul din aceste scurtcircuite și anume  $C_{\pi 1}$ , reduce pe  $V_o/V_i$  la zero (v. problema P. 15.1). Prin urmare, la frecvențe mari, este de așteptat ca  $V_o/V_i$  să varieze ca  $1/s$ . Singura formă de funcțiune de transfer care satisface aceste cerințe este :

$$\frac{V_o}{V_i} = \frac{K(s - s_a)(s - s_b)(s - s_c)}{(s - s_d)(s - s_e)(s - s_f)(s - s_g)} \quad (15.5)$$

Pentru a găsi parametrii din ecuația (15.5), trebuie să scriem și să rezolvăm sistemul complet de ecuații al rețelei din fig. 15.2. Există patru noduri independente (presupunînd că  $R_s$  și  $r_{\pi 1}$  sînt însumate pentru a forma o nouă rezistență  $R'_s$ ) astfel încît alegem drept variabile independente cele patru tensiuni de la noduri la masă.

În această figură și în cele următoare, o tensiune  $V$  notată lîngă un nod (în acest caz  $V_d$ ) se presupune a fi o tensiune de la nod la masă. Polaritatea se definește astfel încît dacă  $V$  este pozitiv, tensiunea nodului este pozitivă față de masă. O aplicare directă a legii lui Kirchhoff pentru curenți în fiecare nod ne dă :

$$G'_s V_i = [G'_s + g_{\pi 1} + s(C_{\pi 1} + C_{\mu 1})] V_a - sC_{\mu 1} V_b \quad (15.6 a)$$

$$0 = (g_{m1} - sC_{\mu 1}) V_a + [g_{\pi 2} + g_{m2} + s(C_{\pi 2} + C_{\mu 1})] V_b - (g_{\pi 2} + g_{m2} + sC_{\pi 2}) V_d \quad (15.6 b)$$

$$0 = -(g_{\pi 2} + sC_{\pi 2}) V_b + [g_{\pi 2} + g_{m2} + s(C_{\pi 2} + C_{\mu 2})] V_d - sC_{\mu 2} V_o \quad (15.6 c)$$

$$0 = -g_{m2} V_o + (g_{m2} - sC_{\mu 2}) V_d + (G_L + sC_{\mu 2}) V_o. \quad (15.6 d)$$

Este evident în acest punct că orice încercare de a găsi funcția de transfer  $V_o/V_i$  completă, în forma ei literală, este dificilă și nu se justifică. Prin urmare sîntem obligați să continuăm discuția de aici încolo folosind valori numerice concrete. Pentru simplitate, vom alege inițial puncte de funcționare identice pentru cele două tranzistoare, cu  $I_C = 10$  mA,  $V_{CE} = 10$  V urmînd

eventual să facem modificări pe parcurs, odată cu aprofundarea analizei. Să presupunem următoarele specificații ale tranzistoarelor în acest punct de funcționare :

$$g_m = 0,4 \text{ S} \quad \beta_o = 100$$

$$r_{\pi} = 250 \text{ } \Omega \quad r_x = 20 \text{ } \Omega$$

$$C_{\pi} = 100 \text{ pF} \quad C_{\mu} = 5 \text{ pF.}$$

Să presupunem de asemenea că  $R_s = R_L = 200 \text{ } \Omega$ .

Convertind toate conductanțele la unități de mS obținem :

$$g_m = 400 \quad g_x = 50 \quad g_{\pi} = 4$$

$$G_L = 5 \quad G'_s = \frac{1}{0,2 + 0,02} = 4,5.$$

Substituind aceste valori (în unități de mS, pF, și ns) în ecuația 15.6, obținem :

$$4,5 V_i = (8,5 + s105) V_a - s5 V_b \quad (15.7 a)$$

$$0 = (400 - s5) V_a + (404 + s105) V_b - (404 + s100) V_d \quad (15.7 b)$$

$$0 = -(4 + s100) V_b + (54 + s105) V_d - s5 V_o \quad (15.7 c)$$

$$0 = -400 V_b + (400 - s5) V_d + (5 + s5) V_o. \quad (15.7 d)$$

Este necesar un efort formidabil pentru a rezolva aceste ecuații numerice pentru funcția de transfer  $V_o/V_i$ ; de aceea în mod natural ne vom adresa pentru asistență unui calculator electronic numeric. Mai întîi vom căuta să determinăm cît mai precis lărgimea de bandă a amplificatorului cu ajutorul calculatorului. După aceea, în paragrafele următoare, vom discuta o tehnică aproximativă care ne permite să estimăm performanțele amplificatorului în scopurile unei proiectări sumare.



15.1.3. Calculul lărgimii de bandă cu ajutorul calculatorului electronic<sup>1)</sup>

Reamintim că putem găsi expresia lui  $V_o/V_i$  din ecuația (15.7) aplicând regula lui Cramer:

$$\frac{V_o}{V_i} = \frac{\Delta_{14}}{\Delta},$$

unde  $\Delta$  denotă determinantul sistemului de ecuații iar  $\Delta_{14}$  denotă minorul format prin ștergerea primului rând și celei de-a patra coloane a determinantului complet.

Frecvențele naturale ale rețelei sînt acele frecvențe la care pot exista tensiuni la borne chiar atunci cînd  $V_i$  este 0. Această condiție poate exista numai dacă determinantul  $\Delta$  este zero. Prin urmare polii lui  $V_o/V_i$  pot fi găsiți determinînd rădăcinile ecuației caracteristice

$$\Delta = 0.$$

Un raționament similar se poate folosi pentru a demonstra că zerourile lui  $V_o/V_i$ , sînt rădăcinile ecuației:

$$\Delta_{14} = 0.$$

Prin urmare, pentru a găsi polii și zerourile lui  $V_o/V_i$  avem nevoie de un program pentru a rezolva ecuațiile de forma  $\Delta = 0$ .

Cele mai multe din sistemele de calcul au programe pentru rezolvarea problemei valorilor proprii, adică a determinării valorilor lui  $s$  care satisfac expresia:

$$\begin{vmatrix} a_1 + s & b_1 & c_1 \dots \\ a_2 & b_2 + s & c_2 \dots \\ a_3 & b_3 & c_3 + s \dots \\ \vdots & \vdots & \vdots \end{vmatrix} = 0, \quad (15.8)$$

în care coeficienții  $a_1$ ,  $b_1$  și așa mai departe sînt reali. Determinantul ec. (15.7) poate fi redus la forma arătată în ecuația (15.8) prin tehnicile uzuale de manipulare a determinantilor și prin normalizarea la unitate a coeficien-

<sup>1)</sup> Cititorii care nu au acces la un calculator electronic numeric, pot omite § 15.1.3 fără a pierde continuitatea. Totuși s-ar putea dovedi util să se revină la ultimul punct al acestui paragraf după ce s-a parcurs § 15.2.3.

tilor lui  $s$  ai determinantului. Și aceasta se poate face de către calculator. Dacă se efectuează această reducere asupra ecuației (15.7), valorile proprii ale determinantului rezultat sînt de fapt rădăcinile ecuației caracteristice inițiale. În anexă sînt prezentate două programe de calcul pentru găsirea rădăcinilor prin această metodă. Programul din anexa C este scris în Fortran IV, iar NATFREQS, scris în APL, este dat în anexa D.

Cînd determinantul  $\Delta$  și minorul  $\Delta_{14}$  al ecuației (15.7) sînt prelucrate cu unul din aceste programe, polii și zerourile lui  $V_o/V_i$  se determină ca fiind:

Zerouri	Poli
$s_a = 8 \text{ ns}^{-1}$	$s_d = -0,0806 \text{ ns}^{-1}$
$s_b = -2,02 + j 5,99$	$s_e = -0,644$
$s_c = -2,02 - j 5,99$	$s_f = -4,05$
	$s_g = -16,45$

Există multe căi pentru a găsi frecvența de 0,707 (de tăiere)  $\omega_h$  din aceste rezultate furnizate de calculator. De exemplu, mărimea fiecăruia din factorii ecuației (15.5) poate fi reprezentată grafic în funcție de  $\omega$  (de preferință pe hîrtie dublu logaritmică) și rezultatele pot fi combinate grafic pentru a da variația întregului modul  $|V_o/V_i|$ . Frecvența de 0,707 (de tăiere) poate fi atunci citită din reprezentarea grafică.

Dacă unul din poli este la o frecvență mult mai joasă decît zerourile și decît ceilalți poli, adică dacă avem un *pol dominant*  $s_i$ , atunci o primă aproximație pentru  $\omega_h$  este

$$\omega_h \approx |s_i|. \quad (15.9)$$

În exemplul nostru, această aproximație dă

$$\omega_h \approx 0,0806 \text{ Grad/s}$$

$$f_h \approx 12,9 \text{ MHz.}$$

O relație mai precisă pentru determinarea lui  $\omega_h$ , aplicabilă cînd zerourile sînt la frecvențe mult mai mari decît polii dominanți (așa cum în mod evident sînt aici) poate fi ușor dedusă din ecuația (15.5) Mai întîi simplificăm expresia presupunînd că  $s_a$ ,  $s_b$  și  $s_c$  sînt suficient de mari în modul încît în vecinătatea lui  $\omega_h$  să putem considera numărătorul ca o constantă,  $K'$ , unde:

$$K' = -K s_d s_e s_f. \quad (15.10)$$

Împărțim după aceea ecuația (15.5) la  $s_d s_e s_f s_g$ , și obținem :

$$\frac{V_o}{V_i} = \frac{K''}{(1 - s/s_d)(1 - s/s_e)(1 - s/s_f)(1 - s/s_g)} \quad (15.11)$$

Modulul funcției de transfer pentru  $s = j\omega$  este :

$$\left| \frac{V_o}{V_i} \right|_{s=j\omega} \approx \left| \frac{K''}{(1 - j\omega/s_d)(1 - j\omega/s_e)(1 - j\omega/s_f)(1 - j\omega/s_g)} \right| \quad (15.12)$$

Pentru determinarea modulului părții drepte este convenabil să ridicăm la pătrat ambele părți ale ecuației. Dacă toți poli sînt reali :

$$\left| \frac{V_o}{V_i} \right|^2 = \frac{(K'')^2}{(1 + \omega^2/s_d^2)(1 + \omega^2/s_e^2)(1 + \omega^2/s_f^2)(1 + \omega^2/s_g^2)} \quad (15.13)$$

dezvoltînd obținem :

$$\left| \frac{V_o}{V_i} \right|^2 = \frac{(K'')^2}{1 + \omega^2(1/s_d^2 + 1/s_e^2 + 1/s_f^2 + 1/s_g^2) + \omega^4(1/s_d^2 s_e^2 + \dots) + \dots} \quad (15.14)$$

Deoarece am presupus că  $s_d, s_e, s_f$  și  $s_g$  sînt reali, coeficienții din această ecuație trebuie să fie pozitivi, astfel încît  $|V_o/V_i|$  trebuie să fie o funcție monotonă de  $\omega^2$ . Vrem să determinăm frecvența de 0,707,  $\omega_h$ , la care  $|V_o/V_i|^2 = (K'')^2/2$ . Evident

$$\omega_h < |s_d|, |s_e|, |s_f|, |s_g|. \quad (15.15)$$

Prin urmare, putem găsi o valoare aproximativă pentru  $\omega_h$  din ecuația (15.14) folosind numai primii doi termeni ai numitorului :

$$\left| \frac{V_o}{V_i} \right|_{\omega=\omega_h}^2 = \frac{(K'')^2}{2} \approx \frac{(K'')^2}{1 + \omega_h^2(1/s_d^2 + 1/s_e^2 + 1/s_f^2 + 1/s_g^2)} \quad (15.16)$$

Rezolvînd pentru  $\omega_h$ , obținem :

$$\frac{1}{\omega_h^2} = \frac{1}{s_d^2} + \frac{1}{s_e^2} + \frac{1}{s_f^2} + \frac{1}{s_g^2} \quad (15.17)$$

(Evident, această metodă poate fi extinsă și la o rețea cu orice număr de frecvențe naturale). Înlocuind valorile determinate de calculator în ecuația (15.17) obținem :

$$\omega_h = 0,0799 \text{ Grad/s}$$

$$f_h = 12,7 \text{ MHz.}$$

Deoarece frecvențele naturale sînt în cazul de față atît de mult distanțate între ele, iar ecuația (15.17) indică că frecvențele naturale intră în expresia lui  $\omega_h$  ca sume ale pătratelor, în acest exemplu, atît expresia simplă, cît și cea mai exactă pentru  $\omega_h$  dau rezultate aproape identice.

Pentru a scoate în evidență unul din avantajele acestui montaj cascodă (fig. 15.1) vom face în acest punct o digresiune pentru a calcula, în scopul comparației, lărgimea de bandă a amplificatorului cu un singur etaj corespunzător. Pentru a avea aproximativ aceeași amplificare, amplificatorul cu un singur etaj trebuie să aibă o rezistență de sarcină de 200  $\Omega$  (să se compare ecuația 15.4 cu ecuația 11.28). Prin urmare, din ecuația (14.48), lărgimea de bandă va fi :

$$\omega_h \approx \frac{G'_s + g_\pi}{C_\pi + C_\mu [1 + (g_m + G'_s) R_L]} \approx \frac{8,55}{100 + 5 [1 + 400 (0,2)]} = 0,0169 \text{ Grad/s}$$

sau

$$f_h \approx 2,7 \text{ MHz.}$$

Comparînd acest rezultat cu lărgimea de bandă estimată pentru cascodă, observăm că includerea celui de-al doilea tranzistor a condus la o creștere cu un factor de 5 a lărgimii de bandă, pentru aceeași amplificare la frecvențe mijlocii. Explicația acestei diferențe substanțiale poate fi găsită în calculul numeric al lui  $\omega_h$  efectuat mai sus. Acolo observăm că termenul capacitiv rezultînd din  $C_\mu$  este foarte mare în amplificatorul cu un etaj deoarece  $g_m R_L$  este mare. În montajul cascodă, etajul cu emitor comun funcționează cu o impedanță de sarcină foarte mică, respectiv cu emitorul celui de-al doilea etaj. Prin urmare în cascodă efectul lui  $C_\mu$  asupra lărgimii de bandă este foarte mic.

### 15.1.4. Calculul lărgimii de bandă cu poli complecși

Adeesea calculele efectuate de calculator asupra amplificatorului cascodă vor indica o pereche de poli complecși în funcția de transfer. Dacă această pereche de poli este mai aproape de origine decât ceilalți poli, ecuația (15.17), va produce erori cu atât mai mari cu cât polii sînt mai depărtați de axa reală. Dacă perechea de poli complecși se apropie de configurația unui filtru Butterworth cu doi poli,

$$s_1 = -\alpha + j\alpha$$

$$s_2 = -\alpha - j\alpha$$

atunci lărgimea de bandă trebuie calculată pe baza formulei filtrului Butterworth și nu prin ecuația (15.17). Pentru filtrul Butterworth cu doi poli,

$$\omega_h = 1,41|\alpha|. \quad (15.18)$$

Răspunsul filtrului Butterworth cu frecvența este denumit „maxim plat”, deoarece, dacă polii sînt mai departe de axa reală decât se specifică mai sus, modulul răspunsului începe să aibă o cocoașă<sup>1)</sup>.

### 15.1.5. Răspunsul la semnal treaptă

O dată găsite pozițiile polilor și zerourilor, timpul de creștere al amplificatorului cu mai multe etaje poate fi calculat ușor. După cum am văzut în cap. 14, pentru poli reali răspunsul la semnalul treaptă este suma unui număr de exponențiale, câte una pentru fiecare pol al funcției de transfer. Dacă unul din poli,  $s_{dom}$ , este dominant, atunci una din exponențiale va domina răspunsul și timpul de creștere  $t_r$  va fi:

$$t_r \approx \frac{2,2}{s_{dom}}. \quad (15.19a)$$

Dacă nu există pol dominant, dar toți polii sînt reali, atunci datorită faptului că timpii de creștere se adună aproximativ pătratic,

$$(t_r)^2 = t_{r1}^2 + t_{r2}^2 + t_{r3}^2 \dots = (2,2)^2 \left( \frac{1}{s_1^2} + \frac{1}{s_2^2} + \frac{1}{s_3^2} \dots \right)$$

<sup>1)</sup> Filtrele Butterworth sînt discutate în detaliu în cap. 19 și referințele bibliografice [15.1] și [15.2] (NA).

Prin urmare, din ecuația (15.17), pentru circuitele cu poli reali:

$$t_r \approx \frac{2,2}{\omega_h} = \frac{0,35}{f_h}. \quad (15.19b)$$

Dacă amplificatorul are poli complecși, după cum s-a discutat în § 15.14, vor apărea oscilații în răspunsul la semnalul treaptă. Pentru filtrul Butterworth cu doi poli de exemplu, se va produce o supracreștere de 4,3% a răspunsului.

## 15.2. CONSTANTELE DE TIMP DE CIRCUIT DESCHIS CA AJUTOR ÎN PROIECTARE

Deși soluția obținută cu ajutorul calculatorului, discutată mai sus, asigură o metodă simplă pentru analizarea circuitelor cu mai multe etaje, din păcate nu ne dă o privire sau indicație asupra proiectării. De exemplu, soluția pe calculator nu dă o îndrumare asupra căii celei mai bune pentru a reproiecta circuitul cascodă în vederea creșterii lărgimii sale de bandă, deoarece analiza nu indentifică elementele de circuit care sînt principalele responsabile în limitarea lărgimii de bandă. Prin urmare trebuie să dezvoltăm metode de analiză adiționale care să ne dea o astfel de indicație. Deoarece însă avem metode bazate pe calculator pentru a da răspunsuri exacte, metodele adiționale pot fi destul de aproximative, prin urmare simple și rapide.

Una din aceste metode implică calcularea lui  $\omega_h$  cu ajutorul unui grup de constante de timp ale rețelei, ușor de determinat. Din păcate durează mai mult deducerea pe o bază rațională a legăturii între  $\omega_h$  și aceste constante de timp decât efectuarea calculului în realitate. Demonstrația se face în două părți: prima parte stabilește legătura între  $\omega_h$  și primii doi termeni ai polinomului de la numitorul funcției de transfer, iar a doua leagă aceiași termeni ai numitorului de constantele de timp<sup>1)</sup>.

### 15.2.1. Relația între $\omega_h$ și primii doi termeni ai numitorului funcției de transfer

Dacă deschidem parantezele și înmulțim factorii de la numitorul ecuației (15.5) și presupunem din nou (ca și în § 15.1.3) că zerourile acestei ecuații nu vor influența calculul lărgimii de bandă, obținem o expresie de formă:

$$\frac{V_o}{V_i} = \frac{K'}{a_0 + a_1s + a_2s^2 + a_3s^3 + s^4}. \quad (15.20)$$

<sup>1)</sup> Într-un curs introductiv demonstrațiile din cele două paragrafe care urmează pot fi omise fără pierderea continuității, deoarece rezultatele mai importante ale demonstrațiilor sînt enunțate la începutul § 15.2.3 (NA).

Modulul acestei expresii la  $s = j\omega_h$  este :

$$\left| \frac{V_o}{V_i} \right|_{s=j\omega_h} = \left| \frac{K'}{a_0 + ja_1\omega_h - a_2\omega_h^2 - ja_3\omega_h^3 + \omega_h^4} \right|.$$

Presupunind din nou că frecvențele naturale ale rețelei,  $s_a, s_e, s_f$  și  $s_g$  sînt reale, putem aplica același raționament ca cel care urma ecuației (15.12) pentru a găsi o valoare aproximativă pentru  $\omega_h$ . Adică, ridicăm la pătrat ambele părți ale ecuației și rezolvăm pentru  $\omega_h$  observind din ecuația (15.20) că la frecvența de 0,707 (de tăiere)  $\omega_h$ :

$$\left| \frac{V_o}{V_i} \right|_{s=j\omega_h}^2 = \frac{(K')^2}{2a_0^2}.$$

Dacă neglijăm termenii superiori lui  $\omega_h^2$ , obținem :

$$\omega_h \approx \frac{a_0}{\sqrt{a_1^2 - 2a_0 \cdot a_2}} \quad (15.21)$$

(v. problema P 15.2). O aproximație mai simplă, dar mai puțin exactă poate fi obținută dacă neglijăm și termenul  $a_0 a_2$  în ecuația 15.21 :

$$\omega_h \approx \frac{a_0}{a_1} \quad (15.22)$$

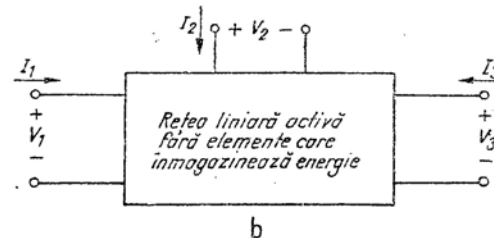
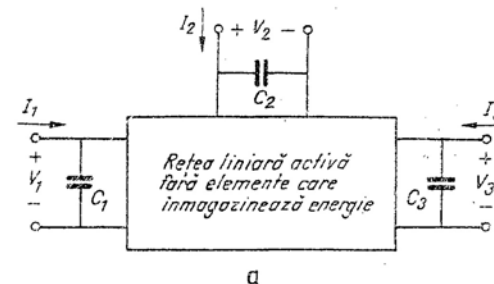
Această aproximație este deosebit de utilă deoarece dă  $\omega_h$  în funcție de raportul primilor doi coeficienți ai ecuației 15.20 și acest raport poate fi de obicei găsit prin simpla observare a rețelei, după cum vom demonstra în cele ce urmează.

### 15.2.2. Determinarea rapoartelor $a_1/a_0$ și $a_{n-1}/a_n$ prin analizarea rețelei

Pentru a găsi relația generală între  $a_1/a_0$  și elementele rețelei vom lua în considerare o rețea activă liniară care conține  $n$  capacități dar nu mai conține și alte elemente înmagazinind energie. Pentru simplitate, vom deduce relația de determinare a lui  $a_1/a_0$  pentru rețeaua cu trei capacități din fig. 15.3, a menționind însă că demonstrația poate fi ușor generalizată. Neluind în considerare perechile de borne asociate inițial acestei rețele, vom alocă câte o tensiune și un curent fiecăreia din perechile de borne asociate capacităților, așa cum se vede în figură.

În cele ce urmează ne vor trebui două seturi de parametri de joasă frecvență :

1. Conductanțele de scurtcircuit, adică conductanțele măsurate la fiecare poartă cu toate celelalte porți în scurtcircuit.
2. Rezistențele de circuit deschis, adică rezistențele măsurate la fiecare poartă cu toate celelalte porți în circuit deschis.



15.3. Reprezentarea unei rețele liniare active conținând trei capacități:  
a — capacități identificate prin perechile de borne;  
b — rețeaua cu capacitățile înlăturate.

Pentru a găsi acestea, îndepărtăm capacitățile, așa cum se arată în fig. 15.3, b, și reprezentăm rețeaua activă liniară care ne rămîne prin ecuațiile pe noduri date în ecuația (15.23). Toate sursele independente din interiorul cutiei se presupune că sînt nule; efectele surselor dependente din interiorul cutiei trebuie incluse în ecuațiile :

$$I_1 = g_{11}V_1 + g_{12}V_2 + g_{13}V_3 \quad (15.23a)$$

$$I_2 = g_{21}V_1 + g_{22}V_2 + g_{23}V_3 \quad (15.23b)$$

$$I_3 = g_{31}V_1 + g_{32}V_2 + g_{33}V_3 \quad (15.23c)$$

Putem găsi conductanțele de scurtcircuit  $G_{js}$ , observind că ecuațiile (15.23) sînt de forma parametrilor  $y$  (v. paragraful 12.1.1.). Prin urmare, din definiția lui  $y_i$  sau  $y_0$  (ecuația 12.12, a și b), conductanța de scurtcircuit la perechea de borne  $j$  este tocmai  $g_{jj}$

$$G_{js} = g_{jj}. \quad (15.24)$$

Pentru a găsi rezistențele de circuit deschis, notate  $R_{jo}$ , rezolvăm ecuația (15.23) pentru  $V_j$  în funcție de  $I_j$  cu toți ceilalți curenți egali cu zero. Pentru simplitate, vom folosi notația prescurtată a determinantilor. Vom nota determinantul  $g$  ca :

$$\Delta_g = \begin{vmatrix} g_{11} & g_{12} & g_{13} \\ g_{21} & g_{22} & g_{23} \\ g_{31} & g_{32} & g_{33} \end{vmatrix}, \quad (15.25)$$

iar minorii îi vom nota prin  $(\Delta_g)_{jk}$ . De exemplu :

$$(\Delta_g)_{11} = \begin{vmatrix} g_{22} & g_{23} \\ g_{32} & g_{33} \end{vmatrix}. \quad (15.26)$$

Ou această notație, regula lui Cramer dă :

$$V_j = I_j \frac{(\Delta_g)_{jj}}{\Delta_g}.$$

Prin urmare, rezistența de circuit deschis la bornele perechii de borne  $j$  este :

$$R_{jo} = \frac{(\Delta_g)_{jj}}{\Delta_g}. \quad (15.27)$$

Cînd capacitățile sînt conectate la perechile de borne, așa cum se arată în fig. 15.3, a rețeaua completă poate fi reprezentată printr-un sistem de ecuații pe noduri cu următorul determinant admitanță, care se obține prin însumarea susceptanțelor capacitive adecvate cu conductanțele din diagonală principală a lui  $\Delta_g$  :

$$\Delta_v = \begin{vmatrix} g_{11} + sC_1 & g_{12} & g_{13} \\ g_{21} & g_{22} + sC_2 & g_{23} \\ g_{31} & g_{32} & g_{33} + sC_3 \end{vmatrix}. \quad (15.28)$$

Frecvențele naturale ale rețelei complete sînt acele frecvențe la care pot exista tensiuni la borne cînd  $I_1 = I_2 = I_3 = 0$ . Această condiție se poate satisface numai dacă  $\Delta_v = 0$ . Observarea ecuației (15.28) arată că  $\Delta_v$  va conține în general toate puterile lui  $s$ , de la  $s^0$  pînă la  $s^3$ . Dacă există  $n$  capacități și nu există bucle de capacități, puterea cea mai mare a lui  $s$  în ecuația caracteristică este  $n$  :

$$\Delta_v = 0 = a_0 + a_1 s + a_2 s^2 + a_3 s^3. \quad (15.29)$$

Dacă toate frecvențele naturale au părți reale negative, rețeaua este stabilă și totodată nu vor lipsi coeficienți în mijlocul ecuației. Adică, în exemplul nostru cu trei capacități,  $a_3$  poate fi zero dacă există o buclă de capacități, dar dacă  $a_3$  și  $a_0$  nu sînt zero, atunci  $a_1$  și  $a_2$  nu trebuie nici ele să fie zero.

Unii din coeficienții ecuației 15.29 pot fi identificați relativ ușor prin observarea determinantului ecuației 15.28. Coeficientul  $a_0$ , adică termenul constant, este pur și simplu  $\Delta_g$  cînd  $s$  este egal zero, sau, în mod echivalent,  $a_0$  este egal cu  $\Delta$  pentru rețeaua din care toate capacitățile au fost îndepărtate. Adică

$$a_0 = \Delta_g. \quad (15.30)$$

Coeficientul  $a_1$  (adică a puterii întâia a lui  $s$ ) trebuie să fie suma a trei termeni, fiecare din ei conținînd o capacitate înmulțită cu minorul elementului corespunzător din determinantul conductanță. Pe această bază,  $a_1$  este :

$$a_1 = C_1 (\Delta_g)_{11} + C_2 (\Delta_g)_{22} + C_3 (\Delta_g)_{33}. \quad (15.31)$$

Prin urmare, raportul  $a_1/a_0$  căutat este :

$$\frac{a_1}{a_0} = C_1 \frac{(\Delta_g)_{11}}{\Delta_g} + C_2 \frac{(\Delta_g)_{22}}{\Delta_g} + C_3 \frac{(\Delta_g)_{33}}{\Delta_g}. \quad (15.32)$$

Totuși,  $(\Delta_g)_{jj}/\Delta_g$  este rezistența de circuit deschis văzută de  $C_j$ , așa cum s-a arătat în ecuația (15.27). În consecință

$$\frac{a_1}{a_0} = R_{10}C_1 + R_{20}C_2 + R_{30}C_3 = \sum_j \tau_{jo}, \quad (15.33)$$

unde  $\tau_{jo}$  denotă constanta de timp a capacității  $j$  calculată cu toate celelalte capacități în circuit deschis (întrerupte). Întreruperea tuturor capacităților, cu excepția uneia, de obicei descompune o rețea complicată în cîteva sub-rețele simple. Prin urmare rezistențele de circuit deschis  $R_{jo}$  pot fi adesea

determinate prin observare (în acest calcul nu intervin elemente care să înmagazineze energie).

În acest punct mai deducem o a doua relație între coeficienții polinomului de la numitor, relație care este utilă pentru determinarea frecvenței de 0,707 (de tăiere) joasă a amplificatorului. În ecuația (15.29) coeficientul  $a_3$  (sau în general coeficientul termenului  $a^n$ ) rezultă din înmulțirea părților susceptive ale elementelor diagonalei principale:

$$a_3 = C_1 C_2 C_3. \quad (15.34)$$

Coeficientul  $a_2$  (în general coeficientul termenului  $s^{n-1}$ ), care de asemenea rezultă din înmulțirea termenilor diagonalei principale, conține trei termeni, fiecare din ei implicând toate capacitățile, mai puțin una:

$$a_2 = C_2 C_3 g_{11} + C_1 C_3 g_{22} + C_1 C_2 g_{33}. \quad (15.35)$$

Prin urmare:

$$\frac{a_2}{a_3} = \frac{g_{11}}{C_1} + \frac{g_{22}}{C_2} + \frac{g_{33}}{C_3} \quad (15.36)$$

$$\frac{a_2}{a_3} \equiv \sum_j \frac{1}{\tau_{js}}, \quad (15.37)$$

unde  $\tau_{js}$  desemnează constanta de timp a capacității, calculată cu toate celelalte capacități *scurtcircuitate* (v. ec. 15.24). Scurtcircuitarea tuturor capacităților cu excepția uneia simplifică de obicei o rețea complicată suficient de mult încât din nou constantele de timp să poată fi determinate prin simpla observație.

### 15.2.3. Relația între $\omega_h$ și constantele de timp de circuit deschis

În paragraful precedent am dovedit că pentru o rețea RC fără bucle de capacități, raportul între coeficientul termenului în  $s$  către termenul constant de la numitorul expresiei amplificării este (în general):

$$\frac{a_1}{a_0} = R_{10}C_1 + R_{20}C_2 + \dots + R_{n0}C_n = \sum_j \tau_{j0}, \quad (15.38)$$

unde  $R_{j0}$  desemnează rezistența văzută de capacitatea  $j$  și  $\tau_{j0}$  desemnează constanta de timp a capacității  $j$ , ambele calculate cu toate celelalte capa-

cități întrerupte. În par. 15.2.1 se demonstrează că o aproximație grosieră a frecvenței de 0,707,  $\omega_h$ , poate fi găsită cu ajutorul aceluiași doi coeficienți:

$$\omega_h \approx \frac{a_0}{a_1}. \quad (15.39)$$

Combinând cele două rezultate, obținem o relație foarte simplă între  $\omega_h$  și constantele de timp de circuit deschis, care dă indicații foarte prețioase pentru proiectare:

$$\omega_h \approx \frac{1}{\sum \tau_{j0}} \quad (15.40)$$

Această relație ne va permite să localizăm într-o anumită măsură elementele de circuit care limitează banda amplificatorului, indicându-ne care din constantele de timp de circuit deschis sînt dominante în calculul lărgimii de bandă. Să ilustrăm cele spuse prin calculul acestor constante de timp pentru circuitul cascodă prezentat în paragrafele 15.1.1. și 15.1.2.

### 15.2.4. Exemplu

Pentru comoditate, circuitul echivalent de semnal mic al amplificatorului cascodă a fost repetat în fig. 15.4, a. Cînd toate capacitățile cu excepția lui  $C_{\pi 1}$  au fost întrerupte, așa cum se arată în figura 15. 4, b, rețeaua de intrare este decuplată de restul circuitului, făcînd prin aceasta posibil să se calculeze  $\tau_{10}$  prin observare. În unități de k $\Omega$ , pF și ns:

$$R_{10} = r_{\pi 1} \parallel (r_{e1} + R_s) = 0,25 \parallel 0,22 = 0,117 \text{ k}\Omega$$

Deci:

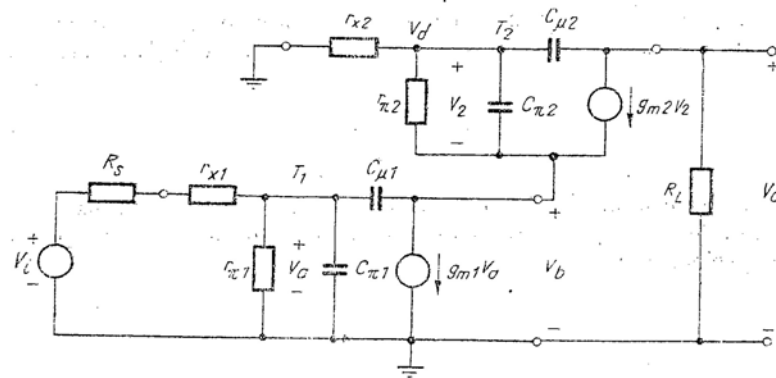
$$\tau_{10} = C_{\pi 1} R_{10} = 100(0,117) = 11,7 \text{ ns}.$$

Figura 15.4, c arată rețeaua care rezultă cînd numai capacitatea  $C_{\mu 1}$  rămîne în circuit. Impedanța de intrare a tranzistorului  $T_2$  se reduce în aceste condiții la:

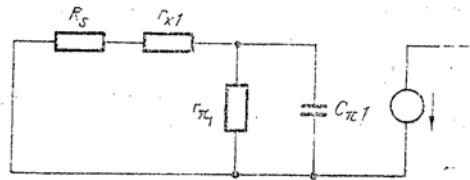
$$R_{L1} = \frac{r_{e2} + r_{\pi 2}}{\beta_{02} + 1} \approx \frac{0,270}{100} = 0,0027 \text{ k}\Omega.$$

Chiar cu această simplificare, calculul lui  $R_{20}$ , adică a rezistenței care apare la bornele lui  $C_{\mu 1}$ , nu poate fi efectuat prin simpla observare. O cale relativ directă pentru găsirea lui  $R_{20}$  constă în

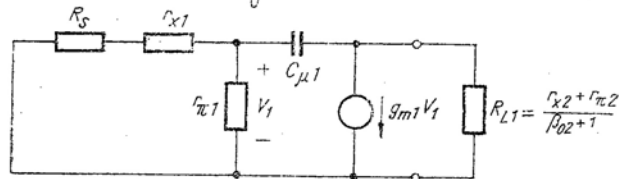




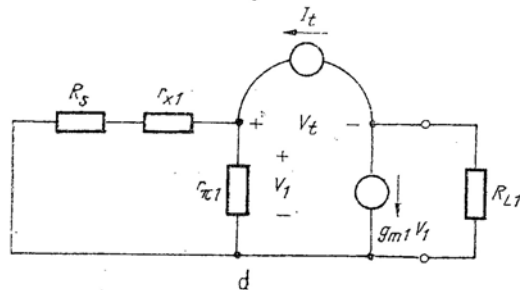
a



b



c



d

15.4. Calculul constantelor de timp de circuit deschis asociate cu tranzistorul  $T_1$  în circuitul cascodă.

aplicarea unui curent de test  $I_t$  la bornele în chestiune, așa cum se arată în fig. 15.4, d și în calcularea tensiunii rezultante. Alegem ca sursă de test o sursă de curent, deoarece aceasta ne va permite să calculăm  $V_1$  în modul cel mai simplu. Prin inspecție

$$V_1 = I_t [r_{\pi 1} \parallel (r_{x1} + R_0)] = I_t R_{10}.$$

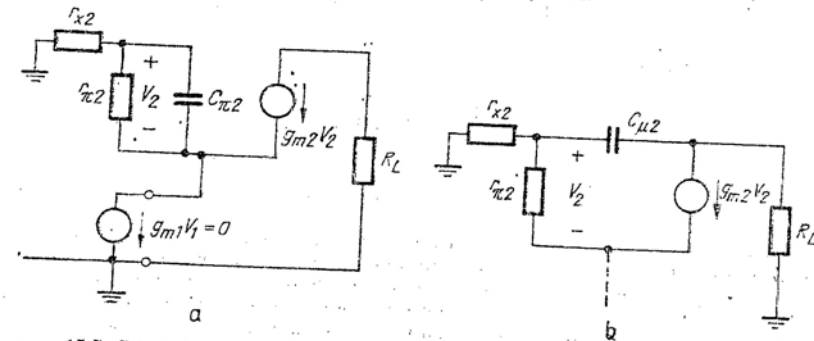
Prin urmare

$$\frac{V_t}{I_t} = R_{20} = R_{10} + g_m R_{10} R_{L1} + R_{L1} =$$

$$= 0,117 + 400 (0,117) 0,0027 + 0,0027 = 0,243 \text{ k}\Omega,$$

De unde

$$\tau_{20} = C_{\mu 1} R_{20} = 5 (0,243) = 1,22 \text{ ns}.$$



15.5. Calculul lui  $R_{30}$  și  $R_4$  asociate cu tranzistorul  $T_2$  în circuitul cascodă.

Circuitul din fig. 15.5, a rezultă cînd toate capacitățile din fig. 15.4, a cu excepția lui  $C_{\pi 2}$  sînt considerate zero. Călea cea mai simplă pentru a determina pe  $R_{30}$  care se găsește la bornele lui  $C_{\pi 2}$  este de a considera  $C_{\pi 2} = 0$ , a aplica o sursă de tensiune de test  $V_t$  la bornele capacității și a calcula curentul rezultant  $I_t$  (v. problema P. 15.3). Generatorul de curent  $g_{m1} V_1$  nu este excitat în aceste condiții, prin urmare apare ca un circuit deschis. Pe de altă parte, generatorul  $g_{m2} V_2$  este excitat și de fapt este factorul dominant în  $G_{30}$ :

$$\frac{I_t}{V_t} = G_{30} = g_{\pi 2} + g_{m2} = 4 + 400 = 404 \text{ mS},$$

adică

$$R_{30} = 2,47 \text{ }\Omega,$$

de unde

$$\tau_{30} = \frac{C_{\pi 2}}{G_{30}} = \frac{100}{404} = 0,247 \text{ ns}.$$

Figura 15.5, b poate fi folosită pentru a calcula cea de-a patra constantă de timp de circuit deschis. Aplicarea unei excitații la bornele capacității  $C_{\mu 2}$  nu poate provoca trecerea unui curent prin ramura  $r_{\pi 2} g_{m 2}$  deoarece generatorul  $g_{m 1} V_1$  fiind un circuit deschis, trebuie să avem

$$V_2 = -g_{m 2} V_2 r_{\pi 2}$$

și, pentru coeficienți pozitivi, singura soluție a acestei ecuații este  $V_2 = 0$ . Prin urmare

$$R_{40} = r_{x 2} + R_L = 0,02 + 0,2 = 0,22 \text{ k}\Omega.$$

și

$$\tau_{40} = R_{40} C_{\mu 2} = 0,22 (5) = 1,1 \text{ ns.}$$

Suma constantelor de timp de circuit deschis este deci

$$\Sigma \tau_{j0} = 11,7 + 1,22 + 0,25 + 1,1 = 14,27 \text{ ns.}$$

Și acum, din ecuația (15.40):

$$\omega_h \approx \frac{1}{14,27} = 0,07 \text{ Grad/s}$$

(un rezultat care este cu circa 13% mai mic decît cel obținut prin calculul mai exact efectuat în § 15.1.3).

Indicația importantă pe care o obținem din acest calcul este că factorul dominant care limitează lărgimea de bandă a acestui amplificator este constanta de timp  $\tau_{j0}$ . Prin urmare reducerea lui  $C_{\pi 1}$ ,  $r_{x 1}$ ,  $r_{\pi 1}$  sau  $R_s$  va contribui apreciabil la creșterea lărgimii de bandă, în timp ce reducerea oricărei alte valori de rezistență sau capacitate va aduce numai schimbări minime.

Pentru a verifica această concluzie s-au efectuat cu ajutorul calculatorului două calcule suplimentare asupra amplificatorului din fig. 15.4, a. În primul,  $C_{\pi 1}$  a fost redus de la 100 la 50 pF iar în al doilea,  $C_{\pi 2}$  a fost redus de la 100 la 50 pF. Rezultatele sînt rezumate în tabelul 15.1, împreună cu rezultatele calcului inițial efectuat pe calculator.

Tabelul 15.1

	$C_{\pi 1} = 100 \text{ pF}$ $C_{\pi 2} = 100 \text{ pF}$	$C_{\pi 1} = 50 \text{ pF}$ $C_{\pi 2} = 100 \text{ pF}$	$C_{\pi 1} = 100 \text{ pF}$ $C_{\pi 2} = 50 \text{ pF}$
$s_d$	-0,0806 ns <sup>-1</sup>	-0,17 ns <sup>-1</sup>	-0,0803
$s_e$	-0,64	-0,44	-0,67
$s_f$	-4,05	-4,45	-7,20
$s_g$	-16,5	-20,8	-17,9
$\omega_h$	79,9 Mrad/s	159 Mrad/s	79,7 Mrad/s

Prin urmare, cînd  $C_{\pi 1}$  este redus la jumătate, lărgimea de bandă aproape se dublează după cum se prevăzuse. De asemenea după cum se prevăzuse, cînd  $C_{\pi 2}$  este redus la jumătate, nu se obține o îmbunătățire semnificativă a lărgimii de bandă (este chiar surprinzătoare ușoara descreștere a lărgimii de bandă).

Pentru a întări concepțutul de constante de timp de circuit deschis, se recomandă cititorului să calculeze  $\tau_0$  și  $\tau_{j0}$  pentru etajul simplu cu emitorul comun discutat la finele §15.1.3 și să compare rezultatele cu cele obținute pentru cascoda (v. problema P.15.4).

### 15.2.5. O utilă verificare de calcul

Este o chestiune simplă verificarea corelației între constantele de timp de circuit deschis și frecvențele naturale. Egalînd raportul  $a_1/a_0$  în ecuația (15.20) cu raportul primilor doi termeni ai numitorului din ecuația (15.11), cu parantezele deschise, găsim:

$$\frac{a_1}{a_0} = - \left( \frac{1}{s_d} + \frac{1}{s_e} + \frac{1}{s_f} + \frac{1}{s_g} \right). \quad (15.41)$$

Prin urmare, din ecuația (15.38), găsim:

$$- \left( \frac{1}{s_d} + \frac{1}{s_e} + \frac{1}{s_f} + \frac{1}{s_g} \right) = \Sigma \tau_{j0} \quad (15.42)$$

sau, în general

$$- \Sigma \frac{1}{s_j} = \Sigma \tau_{j0}. \quad (15.43)$$

Se va observa că aceasta este o expresie exactă, prin urmare poate fi folosită pentru verificarea calculelor, cu oricîte cifre semnificative dorim (v. problemele P.15.5, P.15.6, și P.15.7). În exemplul de față, pentru  $C_{\pi 1} = C_{\pi 2} = 100 \text{ pF}$ ,  $-\Sigma 1/s_j = 14,3$ , ceea ce este în concordanță, la precizia care se poate obține pe riglă, cu suma  $\Sigma \tau_{j0} = 14,27$  așa cum s-a calculat în pag. 30.

### 15.2.6. Metodă de proiectare pentru mai multe etaje

Sîntem acum în situația de a schița o metodă relativ simplă pentru proiectarea amplificatoarelor cu mai multe etaje astfel încît să satisfacă anumite specificații de amplificare și bandă. Trebuie scos în evidență că metoda sugerată mai jos nu este unică. Sînt posibile diferite metode de proiectare și cititorului i se recomandă să exploreze alte metode sau chiar mai bine să elaboreze una proprie.

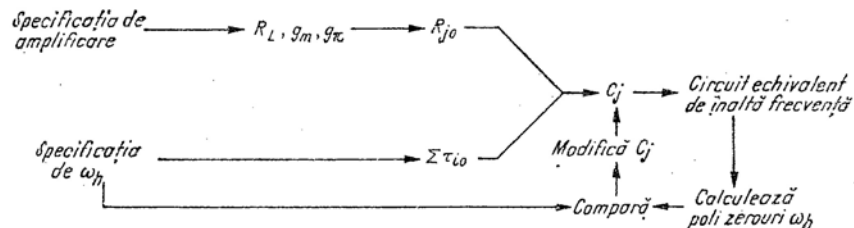
În metoda de proiectare pe care o vom urmări în acest capitol și în cel următor vom găsi mai întîi parametrii rezistivi  $R_L$ ,  $g_m$ ,  $r_{\pi}$  și așa mai departe,

care sînt necesari pentru ca rețeaua să satisfacă specificația de amplificarea la frecvențe mijlocii. Calculăm după aceea rezistențele de circuit deschis. Din specificația frecvenței 0,707 (de tăiere) superioare,  $\omega_h$ , calculăm  $\Sigma \tau_{jo}$  folosind ecuația (15.40) în continuare, folosind relația:

$$\Sigma \tau_{jo} = \Sigma R_{jo} C_j \quad (15.44)$$

putem alege un tranzistor cu valori potrivite ale lui  $C_\pi$  și  $C_\mu$  ținînd seama de astfel de considerente cum ar fi costul relativ și disponibilitatea tranzistoarelor care satisfac aceste cerințe. Aceasta completează prima aproximație de proiectare a amplificatorului (în afară de rețelele de polarizare și de condensatoarele de cuplaj și decuplare).

În continuare, scriem ecuațiile pe noduri pentru circuitul echivalent de frecvențe mijlocii și înalte care a fost dedus mai sus, și calculăm polii și  $\omega_h$  pentru funcția de transfer specificată (de exemplu pentru amplificarea de tensiune). Dacă valoarea calculată pentru  $\omega_h$  este inacceptabil de îndepărtată de valoarea specificată, anumite valori ale lui  $C_\pi$  și  $C_\mu$  (adică de fapt tranzistoare) pot fi schimbate. După cum am văzut mai sus, constantele de timp de circuit deschis constituie o îndrumare excelentă cu privire la elementele care trebuie să fie schimbate. Această metodă de proiectare este prezentată sub forma unui graf în fig. 15.6



15.6. Desfășurarea calculului în proiectarea amplificatorului cu mai multe etaje.

Metoda de proiectare pentru a obține un anumit punct de 0,707 la frecvențe joase,  $\omega_l$ , este asemănătoare celei schițate mai sus, în afară de faptul că se bazează pe constantele de timp de scurtcircuit. Vom ilustra metoda generală în paragraful următor, pe exemplul proiectării unei rețele de polarizare pentru amplificatorul cascodă. Exemple de proiectare de înaltă frecvență, pentru a obține o anumită frecvență limită superioară,  $\omega_h$ , se dau în capitolul 16.

### 15.3. PROIECTAREA DE JOASĂ FRECVENȚĂ A AMPLIFICATORULUI CASCODĂ<sup>1)</sup>

#### 15.3.1. Calculul valorilor rezistențelor

Pentru simplificarea prezentării, circuitul cascodă ilustrat în § 15.1.1 folosea o schemă de polarizare foarte rudimentară și nepractică. În acest paragraf discutăm proiectarea unei scheme mai practice. După cum se poate vedea din circuitul reprezentat în fig. 15.7 rețeaua de polarizare este o simplă extindere a rețelelor discutate în cap. 13. Divizorul de tensiune are acum trei rezistențe,  $R_{b1}$ ,  $R_{b2}$ , și  $R_{b3}$  pentru a stabili atât valoarea tensiunii la baza tranzistorului  $T_2$  cît și cea la baza lui  $T_1$ , de asemenea s-a adăugat un al treilea condensator  $C_b$  pentru a asigura un scurtcircuit de c.a. de la baza lui  $T_2$  la masă.

Din punct de vedere al stabilității polarizării de c.c., acest circuit este în mod intrinsec ceva mai stabil decît circuitul comparabil pentru un singur etaj.

Curentul de bază al tranzistorului  $T_2$  trece prin rezistența  $R_{b1}$  producînd o cădere de tensiune suplimentară care tinde să se opună oricăror schimbări ale punctului de funcționare produse de variații ale temperaturii. Totuși, deoarece curenții de bază ai celor două tranzistoare sînt comparabili și de obicei mult mai mici decît curentul prin  $R_{b1}$ ,  $R_{b2}$  și  $R_{b3}$ , îmbunătățirea în stabilitate este neînsemnată. Prin urmare, rezistențele de polarizare pot fi alese folosind metodele din cap. 13, dacă ignorăm efectele celui de-al doilea tranzistor și presupunem că rezistența Thévenin pe care o vede baza lui  $T_1$  este:

$$R_b \approx R_{b3} \parallel (R_{b2} + R_{b1}). \quad (15.45)$$

Pentru a fi succinți vom folosi metoda de proiectare după „manual” prezentată în § 13.4.2. pentru a alege  $R_{b1}$ ,  $R_{b2}$  și  $R_{b3}$  astfel încît să dea curentul de colector dorit, de 10 mA. Alegem mai întîi o rezistență de emitor de 300  $\Omega$  pentru a asigura o cădere de tensiune de 3 V între emitor și masă. Alegem după aceea  $R_b$  aproximativ de 10 ori  $R_e$ , să zicem 5 k $\Omega$ . Dacă pentru simplitate neglijăm curentul de bază care trece prin divizorul de tensiune, atunci alegînd  $V_C = 22$  V,  $R_{b1} = 24$  k $\Omega$ ,  $R_{b2} = 6$  k $\Omega$  și  $R_{b3} = 6$  k $\Omega$ . vom situa tensiunile de la bază la masă ale lui  $T_1$  și  $T_2$  la 3,7 și 7,4 V respectiv (pentru calcule mai exacte vezi problemele P. 15.8, P. 15.9 și P. 15.10) Să trecem acum la un aspect mai interesant al proiectării: cum să alegem valorile lui  $C_c$ ,  $C_e$  și  $C_b$  pentru a obține punctul de 0,707 de frecvență joasă dorit.

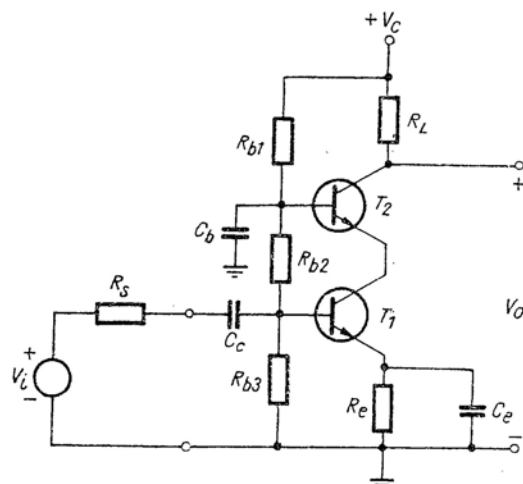
<sup>1)</sup> Acest paragraf poate fi parcurs după cap. 16 fără a se pierde continuitatea (NA).

### 15.3.2. Calculul valorilor capacităților de cuplaj și de decuplare

Circuitul echivalent complet de semnal mic al cascodei din fig. 15.7 ar avea 7 capacități în total. Totuși dacă punctele de 0,707 la frecvențe înalte și joase se specifică drept

$$\omega_h = 80 \text{ Mrad/s}$$

$$\omega_l = 1\,000 \text{ rad/s}$$



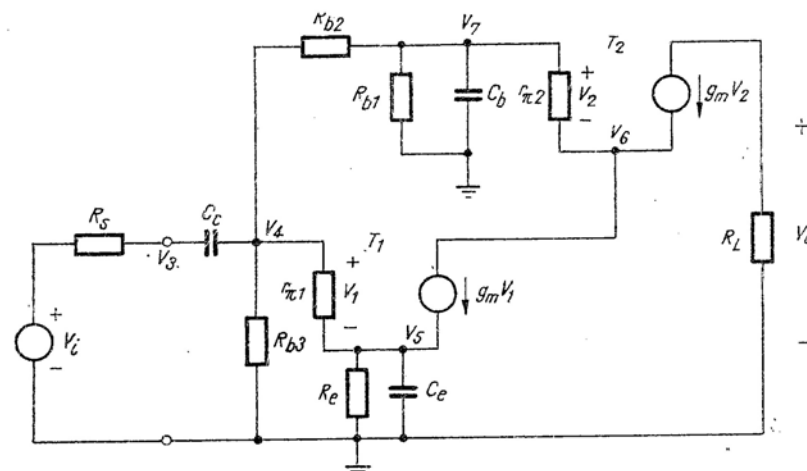
15.7. Circuit de polarizare pentru un amplificator cascodă.

avem în mod evident un domeniu larg de frecvențe mijlocii la care amplificarea rămâne constantă. Urmează din discuția efectuată în § 14.1.1 că trebuie să fim în stare să descompunem acest circuit echivalent de semnal mic cu 7 capacități în două circuite echivalente mai simple. În concret, sîntem justificați să desenăm un *circuit echivalent de semnal mic de joasă frecvență* așa cum se arată în fig. 15.8, în care  $C_c$  și  $C_e$  sînt întrerupte. De asemenea putem desena un *circuit echivalent de semnal mic de înaltă frecvență* în care  $C_c$ ,  $C_e$  și  $C_b$  sînt scurtcircuitate. Acesta din urmă este exact circuitul echivalent de semnal mic pe care l-am utilizat în § 15.1.

Forma generală a expresiei amplificării la frecvențe joase poate fi determinată prin observarea fig. 15.8. Se va nota că pentru simplitate am reprezentat tranzistoarele prin circuitele echivalente cu  $r_\pi$  și  $g_m$  deoarece omiterea lui  $r_x$  nu modifică în mod esențial caracterul calculului. Întrucît există trei capacități independente în rețea, expresia amplificării  $V_o/V_i$  are

trei poli. De asemenea,  $V_o/V_i$  este zero la frecvența zero datorită lui  $C_e$  și este finit la „frecvențe înalte” (în realitate domeniul frecvențelor mijlocii al întregului circuit). Singura expresie care satisface tuturor acestor condiții este:

$$\frac{V_o}{V_i} = \frac{K s (s - s_i) (s - s_k)}{(s - s_m) (s - s_n) (s - s_o)}. \quad (15.46)$$



15.8. Circuit echivalent de semnal mic la joasă frecvență pentru amplificatorul cascodă din fig. 15.7.

Polul cel mai înalt al acestei expresii va determina în principal frecvența de tăiere joasă a amplificatorului.

Capacitățile acestui circuit echivalent de joasă frecvență (fig. 15.8) în mod evident interacționează (v. § 14.3.2); prin urmare este de așteptat ca fiecare din cei trei poli ai ecuației (15.46) să fie o funcție de toate cele trei capacități. Problema este deci perfect analoagă cu problema proiectării la înaltă frecvență discutată în § 15.1, astfel încît nu-i de loc surprinzător că în rezolvarea ei vom folosi tehnici foarte asemănătoare cu cele discutate în § 15.1 și 15.2. În concret, vom folosi constantele de timp de *scurtcircuit* discutate în § 15.2.2 pentru a găsi valorile capacităților.

Deși poate să nu apară evident în acest punct al discuției, zerourile în ecuația (15.46) vor fi întotdeauna la frecvențe mai joase decît polul cel mai înalt și pentru a simplifica discuția vom presupune, oarecum arbitrar, că toate cele trei zerouri sînt la frecvența zero. (Vom reveni mai tîrziu

pentru a verifica această ipoteză și pentru a o corecta dacă se va dovedi necesar). Pe această bază amplificarea de tensiune devine:

$$\frac{V_o}{V_i} = \frac{K s^3}{(s-s_m)(s-s_n)(s-s_o)} \quad (15.47)$$

Inmulțind factorii de la numitor obținem:

$$\frac{V_o}{V_i} = \frac{K' s^3}{a_3 s^3 + a_2 s^2 + a_1 s + 1} \quad (15.48)$$

Urmărind un raționament exact analog celui din § 15.2.1 putem deduce o expresie aproximativă pentru  $\omega_i$  în funcție de coeficienții polinomului de la numitor:

$$\omega_i \approx \frac{a_2}{a_3} \quad (15.49)$$

(v. problema P. 15.11). Combinând acest rezultat cu ecuația (15.37) obținem:

$$\omega_i \approx \sum_j \frac{1}{\tau_{js}} \quad (15.50)$$

unde  $\tau_{js}$  denotă constanta de timp a capacității  $j$  calculată cu toate celelalte capacități ale rețelei *scurtcircuitate*.

În această proiectare se cere  $\omega_i = 1\,000$  rad/s; prin urmare:

$$\omega_i = 1\,000 = \frac{1}{\tau_{1s}} + \frac{1}{\tau_{2s}} + \frac{1}{\tau_{3s}}.$$

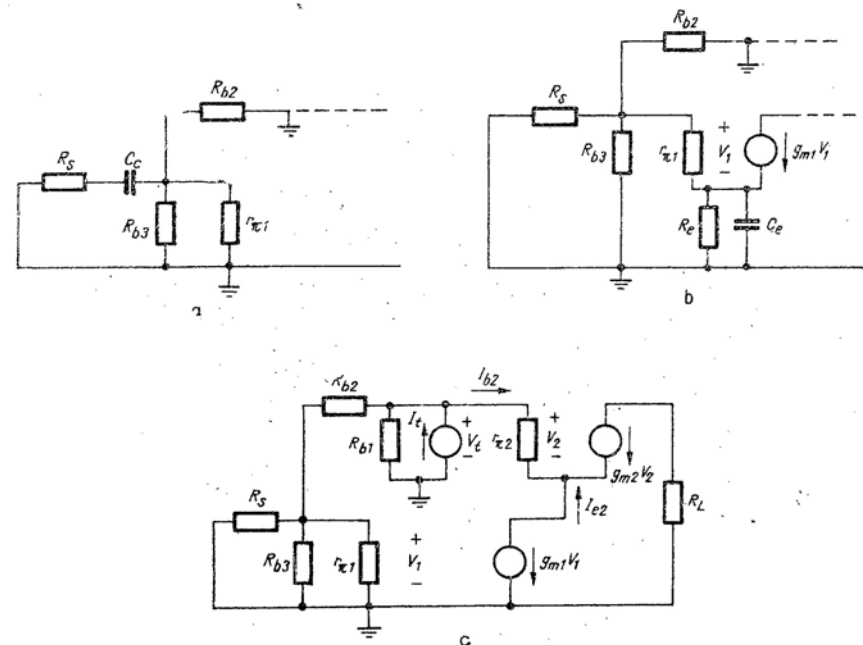
Problema de proiectare are mai puține constrângeri decît sînt necesare, în sensul că această ecuație nu specifică cele trei capacități într-un mod unic; prin urmare, ca primă încercare, vom alege cele trei constante de timp egale. Astfel:

$$\tau_{1s} = \tau_{2s} = \tau_{3s} = 3 \cdot 10^{-3} \text{ s.}$$

Pe această bază se pot calcula valorile concrete ale capacităților.

Pentru a găsi  $C_c$  trebuie mai întîi să determinăm rezistența pe care o vede între bornele sale  $C_c$  cînd  $C_e$  și  $C_b$  sînt scurtcircuitate. Rețeaua adecvată acestui calcul este arătată în fig. 15.9, a. Observînd circuitul,

$$R_{1s} = R_s + R_{b3} \parallel R_{b2} \parallel r_{\pi 1}.$$



15.9. Circuite pentru calculul rezistențelor de scurtcircuit din fig. 15.8.

Folosind datele numerice din § 15.1.2,

$$R_{1s} = 0,2 + 6 \parallel 6 \parallel 0,25 = 0,43 \text{ k}\Omega.$$

Prin urmare

$$C_c = \frac{\tau_{1s}}{R_{1s}} = \frac{3}{0,43} = 7 \text{ }\mu\text{F}.$$

Pentru a găsi  $C_e$ , mai întîi determinăm  $R_{2s}$  scurtcircuitînd  $C_c$  și  $C_b$  în fig. 15.8 și obținînd prin aceasta circuitul mai simplu arătat în fig. 15.9, b.

Putem găsi rezistența prin observarea circuitului, folosind relația de transformare a impedanțelor de către repetorul pe emitor :

$$R_{2s} = \frac{(R_s \parallel R_{b3} \parallel R_{b2}) + r_{\pi 1}}{\beta_o + 1} \parallel R_e$$

$$= \frac{0,2 \parallel 6 \parallel 6 + 0,25}{101} \parallel 0,3 = 4,3 \Omega.$$

Prin urmare

$$C_e = \frac{\tau_{2s}}{R_{2s}} = \frac{3}{4,3 \times 10^{-3}} = 700 \mu F.$$

În fig. 15.9,  $c$  am scurtcircuitat  $C_e$  și  $C_c$  și am înlocuit  $C_b$  printr-o sursă de tensiune  $V_t$ . Acum  $R_{3s}$ , adică rezistența pe care o vede  $C_b$ , poate fi calculată ca raportul  $V_t/I_t$ . Vom recurge la metoda generatorului echivalent de tensiune deoarece existența a două generatoare dependente face calculul prin simpla observare prea riscant. Din figură

$$V_1 = \frac{r_{\pi 1} \parallel R_{b3} \parallel R_s}{(r_{\pi 1} \parallel R_{b3} \parallel R_s) + R_{b2}} V_t$$

și

$$I_{b2} = -(1 - \alpha_2) I_{e2} = (1 - \alpha_2) g_{m1} V_1.$$

Deci

$$I_t = \frac{V_1}{R_{b1}} + \frac{V_t}{R_{b2} + r_{\pi 1} \parallel R_{b3} \parallel R_s} + \frac{V_t (1 - \alpha_2) g_{m1} (r_{\pi 1} \parallel R_{b3} \parallel R_s)}{r_{\pi 1} \parallel R_{b3} \parallel R_s + R_{b2}}.$$

Rezistența paralel este

$$r_{\pi 1} \parallel R_{b3} \parallel R_s = 0,25 \parallel 6 \parallel 0,2 = 0,109 \text{ k}\Omega.$$

Deci

$$G_{3s} = \frac{I_t}{V_t} = \frac{1}{24} + \frac{1}{6 + 0,109} + \frac{(400/101) 0,109}{6 + 0,109} = 0,276 \text{ mS}$$

și

$$C_b = \tau_{3s} G_{3s} = 3 \times 0,276 = 0,83 \mu F.$$

Valorile de capacități rezultate din proiectare se împrăștie pe trei ordine de mărime. Aceasta indică probabil că proiectarea nu este optimă, fie din punct de vedere al costului, fie din punct de vedere al dimensiunilor fizice. Din fericire există un număr infinit de seturi de capacități care satisfac ecuația de proiectare

$$\omega_t = 1000 \approx \frac{1}{\tau_{1s}} + \frac{1}{\tau_{2s}} + \frac{1}{\tau_{3s}}$$

deoarece problema de proiectare are mai puține constrângeri decât este necesar. Acum devine clar din valorile de rezistențe de scurtcircuit calculate mai sus că putem reduce într-o anumită măsură împrăștierea în valorile capacităților alegând  $\tau_{2s}$  mai mic decât  $\tau_{1s}$  și  $\tau_{3s}$ . Deci o a doua încercare de proiectare rezonabilă ar putea fi

$$\tau_{2s} = 1,25 \text{ ms}$$

$$\tau_{1s} = \tau_{2s} = 10 \text{ ms}.$$

Combinînd aceste constante de timp cu rezistențele de scurtcircuit corespunzătoare obținem :

$$C_c = \frac{10}{0,43} = 23,2 \mu F$$

$$C_e = \frac{1,25}{4,3} = 290 \mu F$$

$$C_b = 10 \times 0,267 = 2,76 \mu F.$$

Costul acestei soluții va fi ceva mai scăzut decât al celei precedente (v. problema P.15.12).

### 15.3.3. Verificarea proiectării folosind un calculator electronic<sup>1)</sup>

După ce am ales valorile componentelor recurgem la un calcul pe calculator pentru a verifica proiectarea. Pentru a găsi frecvențele naturale

<sup>1)</sup> Cititorii care nu au acces la un calculator electronic numeric pot omite acest paragraf fără pierderea continuității.



ale circuitului echivalent de joasă frecvență (fig. 15.8) scriem mai întâi ecuațiile pe noduri:

$$V_1 G_s = V_3 (G_s + sC_c) - V_4 sC_c \quad (15.51 \text{ a})$$

$$0 = V_3 sC_c + V_4 (G_{b3} + G_{b2} + g_{\pi 1} + sC_c) - V_5 g_{\pi 1} - V_7 G_{b2} \quad (15.51 \text{ b})$$

$$0 = -V_4 (g_{\pi 1} + g_{m1}) + V_5 (G_e + g_{m1} + g_{\pi 1} + sC_e) \quad (15.51 \text{ c})$$

$$0 = V_4 g_{m1} - V_5 g_{m1} + V_6 (g_{m2} + g_{\pi 2}) - V_7 (g_{m2} + g_{\pi 2}) \quad (15.51 \text{ d})$$

$$0 = -V_4 G_{b2} - V_6 g_{\pi 2} + V_7 (G_{b1} + G_{b2} + g_{\pi 2} + sC_b) \quad (15.51 \text{ e})$$

$$0 = V_6 g_{m2} - V_7 g_{m2} + V_0 G_L \quad (15.51 \text{ f})$$

Este clar din circuit că la nodul  $V_0$  nu sînt conectate elemente care să înmagazineze energie și că tensiunea  $V_0$  nu se cuplează înapoi la restul rețelei. Prin urmare putem elimina ecuația (15.51 f) din ecuațiile pe noduri și totuși putem obține corect frecvențele naturale, (referindu-ne la determinant, coloana a 6-a conține numai un termen,  $G_L$ ; prin urmare  $G_L$  este un factor constant care înmulțește minorul de cinci pe cinci  $\Delta_{66}$ ). Înlocuind valorile numerice calculate mai sus în aceste ecuații (unități de mS,  $\mu$ F, ms) obținem:

$$5V_1 = (5 + s23,2)V_3 - s23,2V_4 \quad (15.52 \text{ a})$$

$$0 = -s23,3V_3 + (4,34 + s23,2)V_4 - 4V_5 - 0,17V_7 \quad (15.52 \text{ b})$$

$$0 = -404V_4 + (407,33 + s290)V_5 \quad (15.52 \text{ c})$$

$$0 = 400V_4 - 400V_5 + 404V_6 - 404V_7 \quad (15.52 \text{ d})$$

$$0 = -0,17V_4 - 4V_6 + (4,21 + s2,76)V_7 \quad (15.52 \text{ e})$$

Deși aceste ecuații reprezintă o descriere completă și corectă a rețelei, apare încă o dificultate cînd se încearcă rezolvarea determinantului rezultat prin conversia la forma cu valori proprii din ecuația (15.8). Problema constă în faptul că sînt numai trei frecvențe naturale (v. ecuația 15.46) dar avem cinci ecuații pe noduri. Exprimat altfel, determinantul ecuațiilor (15.25) nu va fi de ordinul 5 în  $s$  ci numai de ordinul 3, deoarece ecuația (15.52 d) nu conține termeni în  $s$  iar termenii în  $s$  pot fi eliminați din ecuația (15.52 a) prin substituție din ecuația (15.52 b). Programele de calcul din anexele C și D efec-

tuează automat această reducere. Folosind oricare din aceste programe obținem rădăcinile de joasă frecvență

$$s_m = -0,916 \text{ ms}^{-1}$$

$$s_n = -0,084$$

$$s_o = -0,0084$$

(v. problema P.15.13).

O verificare rapidă a tuturor calculelor pînă la acest punct poate fi efectuată folosind o relație similară ecuației (15.43). Putem arăta din ecuațiile (15.11) și (15.20) că:

$$\frac{a_{n-1}}{a_n} = -(s_d + s_e + s_f + s_g) \quad (15.53)$$

Prin urmare, din ecuația (15.37)

$$s_d + s_e + s_f + s_g = -\sum \frac{1}{\tau_{js}} \quad (15.54)$$

sau în general

$$-\sum s_j = \sum \frac{1}{\tau_{js}} \quad (15.55)$$

în acest exemplu avem

$$-\sum s_j = 0,916 + 0,084 + 0,0084 = 1,008 \text{ ms}^{-1}$$

ceea ce reprezintă o bună verificare deoarece  $\sum 1/\tau_{js} = 1000 \text{ rad/s}$ .

Zerourile funcției de transfer pot fi găsite evaluînd rădăcinile minorului adecvat,  $\Delta_{16}$ , din ecuația (15.51):

$$s_i = -0,0115 \text{ ms}^{-1}$$

$$s_k = -0,076 \text{ ms}^{-1}$$

Funcția de transfer la joasă frecvență este deci:

$$\frac{V_o}{V_i} = \frac{K's(s + 0,076)(s + 0,0115)}{(s + 0,916)(s + 0,084)(s + 0,0084)}$$

Calculul direct al frecvenței de 0,707,  $\omega_i$  prin determinarea lui  $|V_o/V_i|^2$  și egalarea lui cu  $(K')^2/2$ , dă:

$$\omega_i = 0,92 \text{ krad/s.}$$

Acesta este un calcul simplu dacă ignorăm polul și zerourile cele mai joase ca fiind în mod evident neimportante în acest calcul. Valoarea lui  $\omega_i$  se abate cu mai puțin de 8% față de valoarea dorită, validând astfel proiectarea de joasă frecvență efectuată (v. problema P.15.14). Mai mult, soluția reală va folosi valorile de capacități standardizate și nu valorile neobișnuite rezultate din calcul. Aceste abateri față de valorile rezultatelor din proiectare, împreună cu toleranțele relativ largi asupra valorilor condensatoarelor electrolitice vor face ca eroarea de proiectare de 8% să fie nesemnificativă.

Pentru a găsi  $\omega_i$  în cazuri mai complicate, se poate obține din ecuația (15.46) o relație aproximativă cam în același fel în care s-a făcut aceasta pentru  $\omega_h$  în § 15.1.3. Rezultatul este

$$\omega_i^2 = s_m^2 + s_n^2 + s_o^2 + \dots \quad (15.56)$$

(v. problema P. 15.15). Dacă se amestecă și zerouri cu polii nedominanți, deducerea poate fi extinsă pentru a da

$$\omega_i^2 = s_m^2 + s_n^2 + s_o^2 - 2s_i^2 - 2s_k^2 \dots \quad (15.57)$$

(v. problema P. 15.16) Dacă un pol nedominant și un zero sînt aproape unul de celălalt, să zicem în limitele a 20%, este cel mai bine să eliminăm perechea și să calculăm  $\omega_i$  pe baza restului polilor și zerourilor.

## BIBLIOGRAFIE

- 15.1. G. E. Valley și H. Wallman, *Vacuum Tube Amplifiers*, McGraw-Hill, New York, 1949.  
 15.2. F. F. Kuo, *Network Analysis and Synthesis*, J. Wiley, New York, 1962.  
 15.3. L. E. Dickson, *New First Course in the Theory of Equations*, J. Wiley, New York, 1962  
 15.4. APL/360 *User's Manual*, Thomas J. Watson Research Center IBM, 1968.

## PROBLEME

**P.15.1.** La frecvențe foarte înalte, adică pentru  $s$  mare, fiecare condensator dintr-un circuit începe să semene cu un scurtcircuit. Scurtcircuitați condensatoarele din fig. 15. 2 și demonstrați că, independent de ordinea în care se efectuează scurtcircuitarea, există numai o

cale de scurtcircuit spre masă, prin urmare la frecvențe foarte înalte funcția de transfer  $V_o/V_i$  trebuie să se comporte ca  $1/s$  (v. pag. 14).

**P.15.2.** Să se calculeze  $|V_o/V_i|^2$  din ecuația (15.20) și din aceasta să se deducă expresia aproximativă pentru  $\omega_h$  dată de ecuația (15.21).

**P.15.3.** În fig. 15.5 a luați  $C_{\pi 2}$  egal cu zero, aplicați un generator de curent de testare  $I_i$  între borne și calculați tensiunea rezultantă  $V_i$ . Comparați cu rezultatele pentru  $R_{\pi 2}$  date în pag. 29. Comentați asupra simplității de calcul prin această metodă și prin metoda generatorului de tensiune folosită în text.

**P.15.4.** Să se calculeze constantele de timp de circuit deschis pentru amplificatorul cu un singur etaj cu emitor comun discutat la finele § 15.1.3. Să se compare valorile obținute cu valorile corespunzătoare la amplificatorul cascădă. Să se explice toate diferențele mai mari (vezi pag. 30).

**P.15.5.** Să se aplice ecuația (15.43) calculelor asupra amplificatorului cascădă din para-grafele 15.1.3. și 15.2.4 pentru a verifica rezultatul dat pe pagina 30).

**P.15.6.** Să se aplice ecuația 15. 43 amplificatorului cascădă modificat prezentat în tabelul 15.1 ( $C_{\pi 1}=50 \text{ pF}$ ,  $C_{\pi 2}=100 \text{ pF}$ ) verificîndu-se astfel calculele constantei de timp și frecvențelor naturale (vezi pag. 30).

**P.15.7.** (a) Să se găsească cei doi poli de înaltă frecvență ai amplificatorului cu un singur etaj discutat la finele § 15.1.3.

b) Să se verifice aceste calcule și cele făcute în problema P. 15.4. folosind ecuația (15.43).  
**P.15.8.** Să se calculeze tensiunile de c.c. de la bază la masă în fig. 15.7, presupunînd  $R_{b1}=24 \text{ k}\Omega$ ,  $R_{b2}=6 \text{ k}\Omega$ ,  $R_{b3}=6 \text{ k}\Omega$ ,  $R_e=300 \Omega$ ,  $V_c=22 \text{ V}$ ,  $R_f=200 \Omega$ . Să se includă efectul curen-tului de bază. Parametrii tranzistorului sînt dați în pag. 15 (v. pag. 33).

**P.15.9.** Să se calculeze stabilitatea punctelor de funcționare determinate în proiectarea „după manual” a rețelei de polarizare pentru cascădă dată în § 15.3.1. Parametrii circuitului sînt dați în problema P.15.8. Să se presupună că ambele tranzistoare sînt cu siliciu, cu  $\beta$  egal cu 100 la  $20^\circ \text{C}$  și 160 la  $125^\circ \text{C}$  (v. pag. 33).

**P.15.10.** Să se proiecteze rețeaua de polarizare pentru amplificatorul cascădă din fig. 15.7. folosind metoda de proiectare mai complexă schițată în § 13.5, (vezi pag. 33).

**P.15.11.** Să se deducă ecuația (15.49) din ecuația (15.48) (v. pag. 36).

**P.15.12.** Folosind drept referință un catalog de componente electronice cu prețuri, să se calculeze costul și volumul total al condensatoarelor în cele două soluții de proiectare de joasă frecvență discutate în § 15.3.2. Să se folosească valorile standardizate cele mai apropiate celor tabulate mai jos.

	Soluția 1	Soluția 2
$C_c$	7 $\mu\text{F}/10 \text{ V}$	23 $\mu\text{F}/10 \text{ V}$
$C_e$	700 $\mu\text{F}/4 \text{ V}$	290 $\mu\text{F}/4 \text{ V}$
$C_b$	0,83 $\mu\text{F}/10 \text{ V}$	2,7 $\mu\text{F}/10 \text{ V}$ .

O cercetare în continuare a lui  $\tau_{2s}$  va reduce costul ? Să se explice.

**P.15.13.** Să se elimine  $V_3$  și  $V_6$  din ecuațiile (15.52) și să se găsească după aceea cele trei frecvențe naturale ale rețelei din determinantul  $3 \times 3$  rămas. Să se compare rezultatele cu valorile lui  $s_m$ ,  $s_n$ ,  $s_o$ , date în text (v. pagina 41).

**P.15.14.** Să se completeze proiectarea capacităților rețelei de polarizare din §15.3.3 prin calcularea punctului de 0,707 la frecvențe joase din valorile calculate pentru poli și zerouri date în pagina 41. Să se compare cu rezultatele date de ecuațiile (15.56) și (15.57).

**P.15.15.** Să se deducă ecuația (15.56).

**P.15.16.** Să se deducă ecuația (15.57).

**P.15.17.** Să se estimeze timpul de creștere al amplificatorului cascădă al cărui parametri sînt dați în § 15.1.2.

**P.15.18.** Să se calculeze valoarea exactă a frecvenței de 0,707,  $\omega_h$  pentru cele două expresii de mai jos ale amplificărilor:

$$\frac{V_o}{V_i} = \frac{K}{(s+1)^3}$$

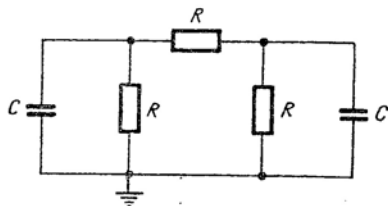
$$\frac{V_o}{V_i} = \frac{K}{(s+1)(s+100)(s+100)}$$

Să se calculeze acum valorile aproximative pentru  $\omega_h$  în fiecare din cele două cazuri folosind ecuațiile (15.17) și (15.9). Să se tabuleze rezultatele pentru o comparație ușoară și să se comenteze asupra preciziei celor două metode aproximative.

**P.15.19.** Să se înmulțească factorii numitorilor în fiecare din expresiile date în problemă a (P.15.18) și să se determine pe această bază  $\omega_h$  cu ajutorul ecuației (15.22). Să se compare cu rezultatele corespunzătoare din problema P.15.18 și să se comenteze.

**P.15.20.** Să se aleagă capacitățile de cuplaj și decuplare pentru amplificatorul cu un singur etaj discutat în § 14.3.3 dar în acest caz să se folosească metoda de proiectare de joasă frecvență dezvoltată în § 15.3. Să se proiecteze pentru un punct de 0,707 la joasă frecvență de 50 Hz. Să se compare cu valorile deduse în cap. 14 și să se estimeze costul relativ al celor două soluții

**P.15.21.** Să se scrie ecuațiile pe noduri pentru circuitul din fig. 15.10. Să se introducă coeficienții în calculator și să se găsească frecvențele naturale ale circuitului. Acum să se explice fizic soluția care se obține.



15.10. Circuit simplu :  $C = 1 \mu\text{F}$ ,  $R = 1 \Omega$ .

**P.15.22.** Pentru amplificatorul cu un singur etaj cu emitorul comun arătat în fig. 14.16 să se calculeze pe calculator frecvențele naturale ale circuitului echivalent de semnal mic la frecvențe înalte, presupunând următoarele valori pentru componente :  $g_m = 400 \text{ mS}$ ,  $g_\pi = 4 \text{ mS}$ ,  $C_\pi = 150 \text{ pF}$ ,  $C_\mu = 5 \text{ pF}$ ,  $r_x = 25 \Omega$ ,  $R_{s1}$  și  $R_{s2}$  foarte mari,  $R_e = 300 \Omega$ ,  $C_c = C_e = 1000 \mu\text{F}$ ,  $R_s = 200 \Omega$ . Să se schițeze răspunsul cu frecvența (modulul și faza) al lui  $V_o/V_i(j\omega)$  pe baza acestui calcul. Pentru simplitate să se folosească coordonate dublu logaritmice. Să se compare aceste rezultate cu cele obținute folosind aproximația cu un singur pol din § 14.5.2.

**P. 15.23.** Să se proiecteze un amplificator cu mai multe etaje care să satisfacă următoarele specificații minime :

- amplificarea de tensiune la frecvențe mijlocii (modul) = 3 000 ;
- frecvență de 0,707 superioară  $f_h = 2 \text{ MHz}$  ;
- rezistența  $R_s$  a generatorului de semnal = 100  $\Omega$ .

Să se ignoreze considerațiile asupra polarizării în afară de specificarea punctului de funcționare ( $V_{CE}$ ,  $I_C$  sau  $V_{DS}$ ,  $I_D$ ) pentru fiecare dispozitiv activ. Să se aibă în vedere factorii economici : tranzistoarele cu  $f_T$  mai mare de 1 000 MHz sînt relativ scumpe, la fel dispozitivele avînd  $C_\mu$  mai mic de 1 pF. Să se tabuleze rezultatele obținute. Să se verifice proiectarea pe calculator.

## CAPITOLUL 16

## ALTE EXEMPLE DE AMPLIFICATOARE CU MAI MULTE ETAJE

## ALTE EXEMPLE DE AMPLIFICATOARE CU MAI MULTE ETAJE

- 16.1. Proiectarea etajelor cu emitorul comun în cascadă
    - 16.1.1. Calculul amplificării
    - 16.1.2. Calculul lărgimii benzii
    - 16.1.3. Verificarea calculului
    - 16.1.4. Considerații legate de polarizarea în c.c. a amplificatorului
  - 16.2. Amplificator cu cuplaj prin emitor
    - 16.2.1. Analiză preliminară
    - 16.2.2. Proiectarea
    - 16.2.3. Verificarea calculului cu ajutorul calculatorului
  - 16.3. Amplificatoare cu mai multe etaje utilizând atât tranzistoare TEC cât și tranzistoare bipolare
    - 16.3.1. Perechea sursă comună-bază comună
    - 16.3.2. Perechea drenă comună-bază comună
  - 16.4. Structuri mai complicate cu mai multe etaje
- Bibliografie*  
*Probleme*

## 16

### Alte exemple de amplificatoare cu mai multe etaje

#### 16.1. PROIECTAREA ETAJELOR CU EMITORUL COMUN ÎN CASCADĂ

În capitolul precedent am prezentat teoria și modul de proiectare a amplificatoarelor cu mai multe etaje. Pentru a ilustra acest mod de proiectare, vom da în acest capitol încă două exemple legate între ele prin noua teorie. În acest paragraf vom discuta despre amplificatoarele cu două și cu trei etaje cu emitorul comun în cascadă, iar în paragraful următor vom prezenta așa-numita pereche cuplată prin emitor.

Să încercăm a proiecta o cascadă cu etaje de amplificare cu emitorul comun care să satisfacă următoarele cerințe :

- amplificarea de tensiune : cel puțin 7000 ;
- frecvența limită superioară (corespunzătoare atenuării cu 0,707),  $f_h$  cel puțin 3 MHz ;
- rezistența sursei,  $R_s$  : 50  $\Omega$ .

Asemenea cerințe sînt imposibil de satisfăcut cu un singur etaj de amplificare (v. de exemplu calculul de la sfîrșitul § 15.1.3). Este posibil, însă, de îndeplinit aceste condiții dacă se proiectează un amplificator cu două etaje cu amplificarea per etaj de aproximativ 85 sau cu trei etaje cu amplificarea per etaj de aproximativ 19. Să schițăm mai întîi proiectarea amplificatorului cu două și cu trei etaje care să satisfacă condițiile impuse de amplificare și de bandă, lăsînd pentru moment la o parte considerațiile de polarizare.

## 16.1.1. Calculul amplificării

În fig. 16.1, *a* se prezintă un amplificator cu două etaje cu emitorul comun în cascadă. Circuitul elementar de polarizare este astfel ales încât ambele tranzistoare funcționează în regiunea activă; prin urmare, pentru calculul amplificării în mijlocul benzii este valabil circuitul echivalent

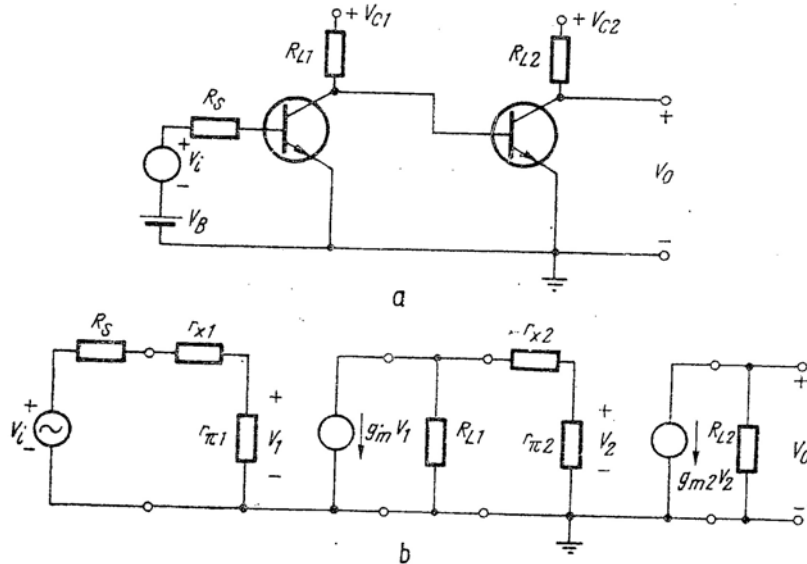


Fig. 16.1. Amplificator cu două etaje, cu emitorul comun în cascadă.

din fig. 16.1, *b*. Din examinarea acestui circuit rezultă că amplificarea de tensiune în mijlocul benzii este:

$$\frac{V_o}{V_i} = \left( \frac{r_{\pi 1}}{r_{\pi 1} + r_{x1} + R_s} \right) g_{m1} \left( \frac{R_{L1}}{R_{L1} + r_{\pi 2} + r_{x2}} \right) r_{\pi 2} g_{m2} R_{L2} \quad (16.1)$$

divizor de tensiune                  divizor de curent

Deoarece multe tranzistoare au  $f_T$  maximă pentru curenți de colector cuprinși între 10 și 20 mA să presupunem, la început, că  $I_C = 10$  mA. De asemenea, deoarece multe tranzistoare au valorile lui  $\beta_0$  în jur de 100 să ne bazăm proiectarea pe această valoare.

Deci

$$g_m = 0,4 \text{ S}$$

$$r_{\pi} = 250 \Omega$$

$$r_x = 25 \Omega \text{ (tipică pentru acest curent de colector).}$$

Ecuția (16.1) poate fi acum utilizată împreună cu amplificarea de tensiune specificată de 7000 pentru a găsi valorile pentru  $R_{L1}$  și  $R_{L2}$ :

$$\frac{100}{325} \left( \frac{R_{L1}}{275 + R_{L1}} \right) 100 R_{L2} > 7000.$$

Există multe posibilități de a alege  $R_{L1}$  și  $R_{L2}$ , însă pentru a menține valabilitatea circuitului echivalent simplificat  $\pi$ -hibrid este nevoie ca  $g_m R_L$  să fie mai mic decât aproximativ 100.

Deci

$$R_{L2} \leq 250 \Omega.$$

Pentru a satisface amplificarea cerută cu  $R_{L2} = 250 \Omega$  trebuie ca

$$R_{L1} \geq 2760 \Omega;$$

valorile finale vor fi dictate din condiția de lărgime a benzii după cum vom vedea în curînd.

Pentru proiectarea amplificatorului cu trei etaje, expresia amplificării de tensiune este similară în formă cu ecuația (16.1):

$$\frac{V_o}{V_i} = - \left( \frac{r_{\pi 1}}{r_{\pi 1} + r_{x1} + R_s} \right) g_{m1} \left( \frac{R_{L1}}{R_{L1} + r_{\pi 2} + r_{x2}} \right) r_{\pi 2} g_{m2} \left( \frac{R_{L2}}{R_{L2} + r_{\pi 3} + r_{x3}} \right) \times$$

divizor de tensiune                  divizor de curent                  divizor de curent

$$\times r_{\pi 3} g_{m3} R_{L3}. \quad (16.2)$$

În această ecuație  $R_{L1}$ ,  $R_{L2}$  și  $R_{L3}$  trebuie să satisfacă inegalitatea:

$$\frac{100}{325} \left( \frac{R_{L1}}{275 + R_{L1}} \right) 100 \left( \frac{R_{L2}}{275 + R_{L2}} \right) 100 R_{L3} > 7000.$$

Din nou, există multe seturi de rezistoare care pot satisface această cerință și valoarea finală va fi dictată de alte considerații între care și lărgimea benzii. Pentru a simți ordinul de mărime al rezistoarelor de sarcină notăm că, dacă presupunem în mod arbitrar că  $R_{L1} = R_{L2} = R_{L3}$ , oricare valoare  $R_L$  mai mare decât  $60 \Omega$  va satisface condiția de amplificare. Această valoare este așa de mică încât este mai înțelept să reducem curentul de colector al primului etaj, în acest fel reducând zgomotul tranzistorului pe socoteala amplificării. Această posibilitate va fi examinată mai târziu.

### 16.1.2. Calculul lărgimii benzii

Pentru a alege tranzistoarele care satisfac condiția de lărgime a benzii, desenăm schema echivalentă de semnal mic completă (fig. 16.2) și calculăm rezistențele în circuit deschis. Calculul este aproape identic cu

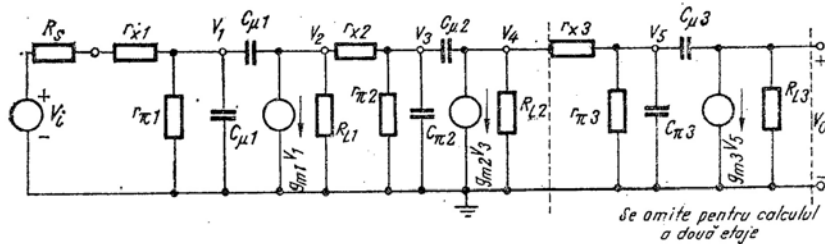


Fig. 16.2. Schema echivalentă completă de semnal mic a amplificatorului cu două și trei etaje cu emitorul comun în cascadă.

acela pentru etajul cu emitorul comun din fig. 15.4, *a* și de aceea nu va fi reprodus în detaliu. O mică parte a circuitului care ține de calculul lui  $R_{10}$ , rezistența în paralel <sup>1)</sup> cu  $C_{\pi 1}$  când toate celelalte capacități sînt în circuit deschis, este arătată în fig. 16.3, *a*. Este clar că:

$$R_{10} = r_{\pi 1} || (r_{e1} + R_s). \quad (16.3)$$

În mod similar, rezistența în paralel cu  $C_{\pi 2}$ , este:

$$R_{30} = r_{\pi 2} || (r_{e2} + R_{L1}) \quad (16.4)$$

și în cazul amplificatorului cu trei etaje,  $R_{50}$ , rezistența în paralel cu  $C_{\pi 3}$ , este:

$$R_{50} = r_{\pi 3} || (r_{e3} + R_{L2}). \quad (16.5)$$

<sup>1)</sup> Sau între bornele capacității  $C_{\pi 1}(NT)$ .

Porțiunea din circuitul din fig. 16.2 necesară calculului  $R_{20}$ , rezistența în circuit deschis în paralel cu  $C_{\pi 1}$ , este arătată în fig. 16.3, *b*. Calculul de acest tip a fost discutat în § 15.2.4., astfel că putem modifica rezultatul pentru a corespunde acestei configurații:

$$R_{20} = R_{10} + (1 + R_{10}g_{m1}) [R_{L1} || (r_{e2} + r_{\pi 2})]. \quad (16.6)$$

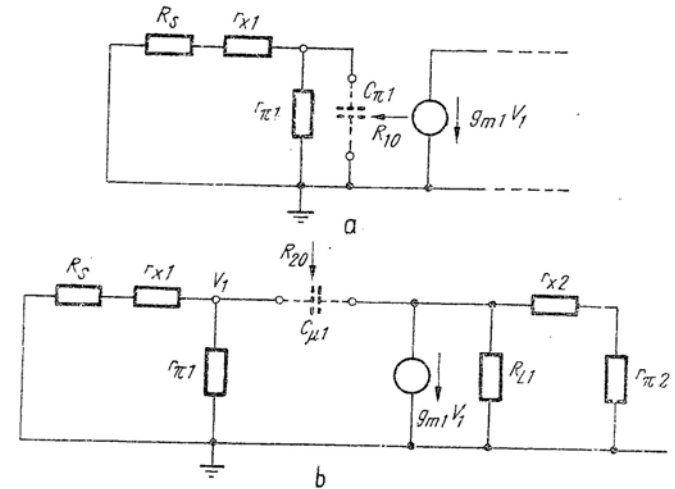


Fig. 16.3. Subcircuite pentru calculul lui  $R_{20}$  într-un amplificator cu etaje cu emitorul comun în cascadă.

În mod similar, pentru  $R_{40}$ , rezistența în paralel cu  $C_{\pi 2}$  din amplificatorul cu două etaje:

$$R_{40} = R_{30} + (1 + R_{30}g_{m2})R_{L2}. \quad (16.7)$$

Pentru amplificatorul cu trei etaje:

$$R_{40} = R_{30} + (1 + R_{30}g_{m2}) [R_{L3} || (r_{e3} + r_{\pi 3})] \quad (16.8)$$

și

$$R_{60} = R_{50} + (1 + R_{50}g_{m3})R_{L3}. \quad (16.9)$$

Pentru determinarea frecvenței  $f_T$  a tranzistorului, necesară în amplificatorul cu două etaje pentru a produce lărgimea benzii cerute, substituim valorile



numerice corespunzătoare în ecuațiile: (16.3), (16.4), (16.6) și (16.7). Presupunind  $R_{L1} = 2,75 \text{ k}\Omega$ ,  $R_{L2} = 0,25 \text{ k}\Omega$  calculați mai sus rezultă:

$$R_{10} = 0,057 \text{ k}\Omega$$

$$R_{20} = 6,06 \text{ k}\Omega$$

$$R_{30} = 0,23 \text{ k}\Omega$$

$$R_{40} = 23,4 \text{ k}\Omega.$$

Un tranzistor de înaltă frecvență bun care lucrează cu  $V_{CE}$  mai mare decât câțiva volți, va avea  $C_{\mu}$  cam de  $2 \text{ pF}$ . Pentru această valoare

$$\tau_{20} = R_{20}C_{\mu1} = 6,06 \cdot 2 = 12,1 \text{ ns}$$

$$\tau_{40} = R_{40}C_{\mu2} = 23,4 \cdot 2 = 46,8 \text{ ns}.$$

Pentru a satisface cerința ca  $f_h = 3 \text{ MHz}$  aflăm din ecuația (15.40) că:

$$\sum \tau_{jo} \approx \frac{1}{\omega_h} = \frac{1}{2\pi \cdot 0,003} = 53 \text{ ns}.$$

Din păcate, chiar pentru cele mai mici valori ale lui  $R_{L1}$  și  $R_{L2}$  care satisfac condiția de amplificare cerută:

$$\tau_{20} + \tau_{40} = 59,9 \text{ ns}.$$

Deoarece nu a mai rămas „timp” pentru  $\tau_{10}$  și  $\tau_{30}$  tragem concluzia că nu este posibil de satisfăcut cerințele de amplificare și de lărgime a benzii impuse proiectând un amplificator cu două etaje.

Cu tot insuccesul obținut, calculul precedent pentru două etaje de amplificare oferă o înțelegere importantă a proiectării amplificatorului cu trei etaje. Este evidentă cauza dominantă a acestui insucces: valorile mari ale rezistențelor  $R_{20}$  și  $R_{40}$ . Examinarea ecuațiilor (16.6) și (16.7) arată că fiecare din aceste rezistențe este dominată de un termen de forma  $R_i g_m R_o$ , unde  $R_i$  este combinația în paralel a unor rezistențe la intrarea tranzistorului și  $R_o$  este combinația în paralel a unor rezistențe la ieșire. Problema care apare la proiectarea amplificatorului cu două etaje este aceea că  $R_i g_m$  și  $R_o$  nu pot fi reduși fără a sacrifica din amplificare, lucru pe care nu putem să-l facem.

Pe de altă parte, în proiectarea a trei etaje de amplificare avem o amplificare suficientă, care rezultă din faptul că  $R_{L1}$ ,  $R_{L2}$ ,  $R_{L3}$  pot fi reduse la  $60 \Omega$  și în același timp să satisfacem însă condiția impusă pentru amplificare. În felul acesta putem sacrifica din amplificare pentru a mări lărgimea benzii. Este posibilă deci o proiectare reușită care să satisfacă atât condiția de amplificare cât și pe cea de lărgime a benzii.

Pentru curenții de colector în domeniul miliamperilor, zgomotul tranzistoarelor în general, scade odată cu scăderea curentului de colector<sup>1)</sup>. Astfel, va rezulta o reducere substanțială a zgomotului tranzistorului dacă primul etaj va lucra la un curent de colector de  $1 \text{ mA}$  în loc de  $10 \text{ mA}$ . Va exista aproape sigur o amplificare suficientă a primului etaj astfel că al doilea etaj nu va introduce un zgomot important pentru amplificator. Este însă înțelept de a reduce întrucîtva curentul de colector al celui de al doilea etaj pentru a realiza o variație gradată a impedanțelor de la primul spre ultimul etaj. Pentru acest motiv noi alegem întrucîtva arbitrar curentul  $I_{C2} = 5 \text{ mA}$ . Presupunind că  $\beta_o$  nu coboară pentru acești curenți mici sub valoarea lui de la  $10 \text{ mA}$ , obținem parametrii tranzistorului trecuți în tabelul 16.1.

Tabelul 16.1

Parametrii tranzistoarelor

	$T_1$	$T_2$	$T_3$
$I_o$ (mA)	1	50	10
$g_m$ (S)	40	200	400
$r_{\pi}$ (k $\Omega$ )	2,5	0,5	0,25
$r_x$ (k $\Omega$ )	0,2	0,05	0,025

Acum trebuie să alegem  $R_{L1}$ ,  $R_{L2}$  și  $R_{L3}$ . Ne reamintim din discuția precedentă că, cel puțin pentru amplificatorul cu două etaje, valorile rezistențelor critice în calculul lărgimii benzii sînt termenii de tipul  $R_i g_m R_o$ . Pentru etajul de ieșire  $R_o = R_{L3}$ , în timp ce pentru alte etaje  $R_o$  este de forma  $R_L || (r_x + r_{\pi})$ . Deci, pentru a păstra cei trei termeni  $R_i g_m R_o$  comparabili,  $R_{L3}$  trebuie să fie mai mică decât  $R_{L1}$  și  $R_{L2}$ . De fapt, din cauza scăderii impedanței de la  $T_1$  la  $T_2$  și la  $T_3$ , după cum rezultă din tabelul 16.1, are sens să avem o scădere corespunzătoare pentru  $R_L$  adică,

$$R_{L1} > R_{L2} > R_{L3}.$$

<sup>1)</sup> Vezi referințele bibliografice [16.1] și [16.2] (NA).

Utilizând estimarea inițială a lui  $R_L$  ca punct de plecare (pag. 50) încercăm  $R_{L3} = 60 \Omega$ ,  $R_{L2} = 120 \Omega$ ,  $R_{L1} = 300 \Omega$ . Amplificarea rezultantă este :

$$\frac{V_o}{V_i} = -\frac{100}{2,75} \left( \frac{0,3}{0,3 + 0,55} \right) 100 \left( \frac{0,12}{0,12 + 0,275} \right) 100 \cdot 0,06 = -2340,$$

care nu îndeplinește condiția ca  $|V_o/V_i| = 7000$ . Dacă însă punem

$$R_{L1} = 500 \Omega$$

$$R_{L2} = 200 \Omega$$

$$R_{L3} = 100 \Omega$$

obținem o amplificare de tensiune de  $-7250$ .

Din cauza interdependenței destul de complicate între amplificare și ecuațiile constantelor de timp, nu este intuitiv evident dacă această alegere a rezistoarelor de sarcină este acceptabilă pentru proiectare. Există două căi de urmat. Putem alege un tranzistor despre care știm că este suficient de bun și apoi verificăm constantele de timp pentru a valida această presupunere. Sau, putem calcula cele șase rezistențe în circuit deschis, apoi selecta valoarea lui  $C_{\pi}$ , deci valoarea  $f_T$  a tranzistorului necesară pentru a satisface condiția de lărgime a benzii. Dacă aceste valori sînt pentru vreun motiv nesatisfăcătoare, atunci putem modifica valorile lui  $R_L$  și itera. Să urmărim a doua cale. Utilizînd ecuațiile (16.3), (16.4), (16.5), (16.6), (16.8) și (16.9) găsim :

$$R_{10} = 0,228 \text{ k}\Omega$$

$$R_{20} = 2,88 \text{ k}\Omega$$

$$R_{30} = 0,262 \text{ k}\Omega$$

$$R_{40} = 6,43 \text{ k}\Omega$$

$$R_{50} = 0,118 \text{ k}\Omega$$

$$R_{60} = 4,92 \text{ k}\Omega.$$

(De notat că  $R_{20}$ ,  $R_{40}$  și  $R_{60}$  diferă numai prin factorul 2 din cauza descreșterii valorilor  $R_L$ ). Presupunînd din nou  $C_{\mu} = 2 \text{ pF}$

$$\tau_{20} + \tau_{40} + \tau_{60} = 2(14,23) = 28,46 \text{ ns}$$

Deci

$$\tau_{10} + \tau_{30} + \tau_{50} = \Sigma \tau_{j0} - 28,5 = 53 - 28,5 = 24,5 \text{ ns}.$$

Pentru valori egale ale lui  $C_{\pi}$  pentru toate cele trei tranzistoare :

$$C_{\pi} = \frac{24,5}{0,228 + 0,262 + 0,118} = 40,3 \text{ pF}.$$

Ne amintim, însă, din cap. 12, că  $C_{\pi}$  este în mare proporțional cu curentul de colector. Astfel, o proiectare cu valori egale ale lui  $C_{\pi}$  în trei etaje necesită trei tipuri diferite de tranzistoare. Pentru a proiecta pentru un *singur* tip de tranzistor,

$$\frac{C_{\pi 1}}{I_{C1}} \approx \frac{C_{\pi 2}}{I_{C2}} \approx \frac{C_{\pi 3}}{I_{C3}}$$

sau, în exemplul nostru

$$C_{\pi 3} = 10 C_{\pi 1}$$

$$C_{\pi 2} = 5 C_{\pi 1}.$$

Astfel,

$$0,228 C_{\pi 1} + 0,262(5 C_{\pi 1}) + 0,118(10 C_{\pi 1}) = 2,72 C_{\pi 1} = 24,5 \text{ ns} \quad (16.10)$$

$$C_{\pi 1} = 9 \text{ pF}$$

$$C_{\pi 2} = 45 \text{ pF}$$

$$C_{\pi 3} = 90 \text{ pF}.$$

Pe această bază, valoarea necesară pentru  $f_T$  pentru cele trei tranzistoare este aproximativ :

$$f_T \text{ la } 10 \text{ mA} = \frac{400}{(90 + 2)2\pi} \approx 0,7 \text{ GHz} = 700 \text{ MHz}.$$

Cu tranzistoarele actuale, este posibil de a obține o asemenea valoare, deci valorile alese pentru  $R_L$  sînt acceptabile.

### 16.1.3. Verificarea calculului

Proiectarea aproximativă este acum terminată. Pentru a obține o lărgime a benzii mai exactă, utilizăm calculatorul pentru a găsi frecvențele naturale. Dacă rezultatele sînt inacceptabil de îndepărtate de valoarea

obținută din proiectare, este nevoie să se facă o simplă ajustare proporțională în valorile lui  $C_\pi$ .

Rețeaua poate fi descrisă de șase ecuații pe noduri dacă combinăm pe  $r_{x1}$  și pe  $R_s$  într-o singură rezistență  $R'_s$ :

$$R'_s = r_{x1} + R_s. \quad (16.11)$$

Un set corespunzător de tensiuni nod-referință este indicat în fig. 16.2. Pentru nodul 1 avem:

$$G'_s V_1 = V_1 [G'_s + g_{\pi 1} + s(C_{\pi 1} + C_{\mu 1})] - sC_{\pi 1} V_2. \quad (16.12 a)$$

Celelalte cinci ecuații care au rămas sînt simplu de obținut:

$$0 = (g_{m1} - sC_{\mu 1}) V_1 + (g_{x2} + G_{L1} + sC_{\mu 1}) V_2 - g_{x2} V_3 \quad (16.12 b)$$

$$0 = -g_{x2} V_2 + [g_{x2} + g_{\pi 2} + s(C_{\pi 2} + C_{\mu 2})] V_3 - sC_{\mu 2} V_4 \quad (16.12 c)$$

$$0 = (g_{m2} - sC_{\mu 2}) V_3 + (g_{x3} + G_{L2} + sC_{\mu 2}) V_4 - g_{x3} V_5 \quad (16.12 d)$$

$$0 = -g_{x3} V_4 + [g_{x3} + g_{\pi 3} + s(C_{\pi 3} + C_{\mu 3})] V_5 - sC_{\mu 3} V_o \quad (16.12 e)$$

$$0 = (g_{m3} - sC_{\mu 3}) V_5 + (G_{L3} + sC_{\mu 3}) V_o \quad (16.12 f)$$

Valorile numerice calculate mai sus pot fi acum introduse în aceste ecuații și polii se pot obține cu ajutorul calculatorului. Rezultatele sînt:

$$s_1 = -0,0251 \text{ ns}^{-1}$$

$$s_2 = -0,0943 \text{ ns}^{-1}$$

$$s_3 = -0,409 \text{ ns}^{-1}$$

$$s_4 = -9,55 \text{ ns}^{-1}$$

$$s_5 = -18,22 \text{ ns}^{-1}$$

$$s_6 = -28,56 \text{ ns}^{-1}$$

(Ca o verificare a erorilor matematice atît pentru calculul constantelor de timp cît și în ecuațiile pe noduri se constată că:

$$-\sum \frac{1}{s_j} = 53,05 \text{ ns}$$

$$\Sigma \tau_{jo} = 53,0 \text{ ns}$$

ceea ce se încadrează bine în precizia dată de rigla de calcul).

Deoarece rețeaua are o structură simplă, zerourile pot fi găsite prin examinarea fig. 16.2. Să observăm mai întîi că la frecvențe foarte mari capacitățile  $C_{\pi 1}$ ,  $C_{\pi 2}$ ,  $C_{\pi 3}$  formează trei căi de șuntare la masă a semnalului, astfel că, ne așteptăm ca funcția de transfer  $V_o/V_i$  să scadă ca  $1/s^3$ . Pentru a obține o asemenea comportare asimptotică cu șase poli, trebuie să avem trei zerouri în funcția de transfer. La fel ca în cazul amplificatorului cu un singur etaj cu emitor comun, aceste zerouri apar din cauza compensării dintre semnalul dat de  $g_m$  și cel dat de  $C_\mu$ . În felul acesta zerourile se află toate în jumătatea din dreapta a planului:

$$s_1 = \frac{40}{2} = 20 \text{ ns}^{-1}$$

$$s_8 = \frac{200}{2} = 100 \text{ ns}^{-1}$$

$$s_9 = \frac{400}{2} = 200 \text{ ns}^{-1}.$$

Zerourile pot fi, de asemenea, găsite prin examinarea ecuațiilor rețelei (v. problema P.16.1).

Este evident din aceste rezultate că  $\omega_h$  este determinată în mod predominant de către  $s_1$  și  $s_2$ . Prin urmare, din ecuația (15.17):

$$\omega_h \approx \left( \frac{1}{0,025^2} + \frac{1}{0,094^2} \right)^{-1/2} = 0,0242 \text{ Grad/s}$$

$$f_h = 3,85 \text{ MHz.}$$

Astfel, prima noastră aproximație asupra calculului a obținut un amplificator cu o frecvență limită superioară, corespunzătoare atenuării de 0,707 a amplificării de la frecvențe medii, cu aproximativ 28 % mai mare

decît valoarea minimă impusă. Pentru multe aplicații această frecvență este întrutotul suficientă, deoarece parametrii tranzistorului pot să nu fie cunoscuți cu o precizie mai bună decît aceasta.

Trebuie notat, însă, că este posibil de realizat  $f_h$  cerut cu tranzistoare care au pe  $f_T$  cu aproximativ 30 % mai mic decît cel ales mai înainte. Pentru a itera calculul, la început creștem  $\Sigma\tau_{jo}$  cu 28 % :

$$\Sigma\tau_{jo} = 53 \times \frac{3,85}{3,0} = 68 \text{ ns.}$$

Dacă alegem tranzistoarele cu același  $C_\mu$  de mai înainte, suma constantelor de timp date de  $C_\mu$  va fi tot de 28,5 ns. Deci

$$\tau_{10} + \tau_{30} + \tau_{50} = 68 - 28,5 = 39,5 \text{ ns}$$

și din ecuația (16.10)

$$C_{\pi 1} = \frac{39,5}{2,72} = 14,5 \text{ pF}$$

$$C_{\pi 2} = 73 \text{ pF}$$

$$C_{\pi 3} = 145 \text{ pF.}$$

Deci,

$$f_T \text{ la } 10 \text{ mA} = \frac{400}{(145 + 2) 2\pi} = 0,43 \text{ GHz} = 430 \text{ MHz,}$$

ceea ce reprezintă o reducere cu aproape 40 % față de valoarea calculată inițial. Refăcînd acest nou calcul cu ajutorul calculatorului găsim că :

$$s_1 = -0,0205 \text{ ns}^{-1}$$

$$s_2 = -0,0654 \text{ ns}^{-1}$$

$$s_3 = -0,270 \text{ ns}^{-1}$$

$$s_4 = -7,82 \text{ ns}^{-1}$$

$$s_5 = -15,50 \text{ ns}^{-1}$$

$$s_6 = -26,21 \text{ ns}^{-1}$$

$$\omega_h \approx \left( \frac{1}{0,0205} + \frac{1}{0,065} \right)^{-1/2} = 0,0196 \text{ Grad/s}$$

$$f_h = 3,12 \text{ MHz.}$$

Pentru acest exemplu, proiectarea iterată nu are avantaje economice apreciabile față de calculul original deoarece tranzistoarele de 450 MHz au aproximativ același preț ca cele de 750 MHz. Dacă, însă, valorile lui  $f_T$  ar fi cu un factor egal cu 2 mai mare, ar putea apărea o diferență substanțială în preț.

#### 16.1.4. Considerații legate de polarizarea în cc a amplificatorului <sup>1)</sup>

Amplificatorul cu trei etaje cu emitorul comun poate fi polarizat legînd în cascadă trei etaje de tipul celui arătat în fig. 14.11, a. O mai simplă și în același timp elegantă cale de polarizare este însă, cea arătată în fig. 16.4. Trebuie notat mai întîi că tranzistoarele sînt *cuplate direct*, adică colectorul unui tranzistor este conectat direct cu baza tranzistorului următor.

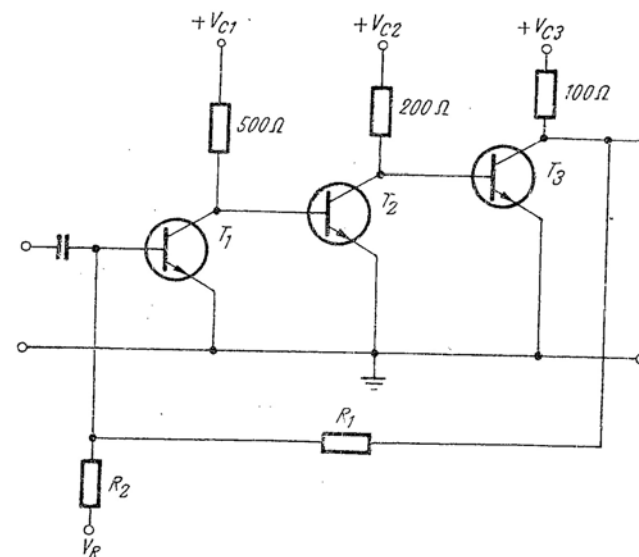


Fig. 16.4. Polarizarea în cc a amplificatorului cu trei etaje cu emitorul comun în cascadă.

O asemenea conectare este posibilă pentru tranzistoare bipolare deoarece în regiunea activă normală  $V_{BE}$  este întotdeauna mai mare decît

<sup>1)</sup> După dorință, acest paragraf poate fi parcurs după cap. 13, care tratează reacția (NA).

valoarea minimă a lui  $V_{CE}$  corespunzătoare saturației. De exemplu, pentru un tranzistor *npn* cu siliciu,  $V_{BE} \approx 0,6$  V în timp ce  $V_{CE}(\text{sat}) \approx 0,2$  V. Această relație este valabilă pentru orice tranzistor bipolar deoarece tensiunea bază-emitor corespunde căderii de tensiune de-a lungul unei diode polarizate direct, în timp ce tensiunea de colector la saturație este diferența între două căderi de tensiune pe diode polarizate direct.

Deoarece în proiectarea aceasta noi folosim tranzistoare cu siliciu,  $V_{BE} \approx 0,6$  V. Deci

$$V_{CE1} = V_{CE2} \approx 0,6 \text{ V.}$$

Unul din dezavantajele unei asemenea tensiuni mici de colector este acela că  $C_u$  pentru asemenea tranzistoare este mare, deoarece, după cum am văzut în cap. 12

$$C_u = K(\psi_0 + |V_{CB}|)^{-1/3}$$

pentru tranzistorul difuzat (vezi, de exemplu, fig. 12.15). Dacă aceasta este o problemă serioasă, în serie cu emitoarele tranzistoarelor  $T_2$  și  $T_3$  se pot adăuga diode polarizate direct pentru a mări pe  $V_{CE1}$  și  $V_{CE2}$ .

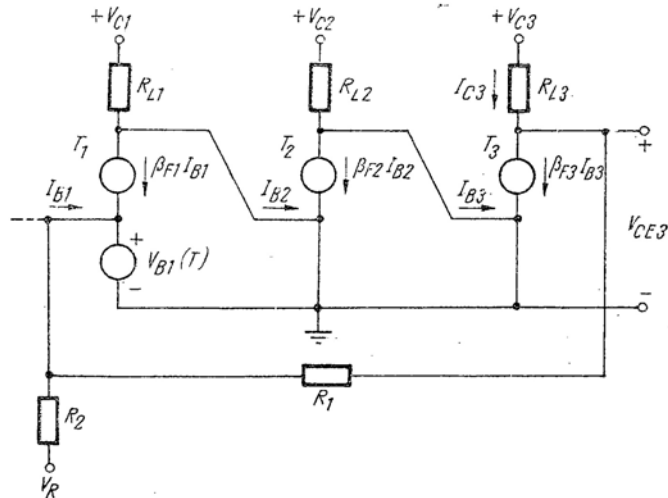


Fig. 16.5. Circuitul echivalent în variabile totale pentru circuitul din fig. 16.4.

Trebuie să fie clar din discuția făcută în cap. 13 că cuplarea directă a trei tranzistoare fără alte măsuri de precauție pentru stabilizare conduce la o funcționare complet nesatisfăcătoare. De exemplu, o variație

de numai 1  $\mu$ A a lui  $I_{C1}$  va produce pentru  $I_{C3}$  o variație de aproape  $\beta_F^2 \mu$ A, adică, 10 mA, o variație de 100 % a curentului de colector. Pentru a rezolva această problemă adăugăm un rezistor mare,  $R_1$ , între ieșirea și intrarea amplificatorului. Acest rezistor simte tensiunea continuă a colectorului tranzistorului  $T_3$  și utilizează această informație pentru a controla curentul de bază al tranzistorului  $T_1$ . În acest fel, amplificatorul își poate corecta automat variațiile în punctul propriu de funcționare.

Dacă presupunem tranzistoare cu siliciu, în modelul de curent continuu două sînt elementele principale care depind de temperatură:  $\beta_F$  și tensiunea bază-emitor. Un circuit echivalent corespunzător în *variabile-totale* este arătat în fig. 16.5. Pentru simplificarea analizei, generatoarele  $V_B(T)$  asociate tranzistoarelor  $T_2$  și  $T_3$  au fost omise pe considerentul că variațiile lui  $V_B$  în etajul de la intrare vor fi amplificate de toate cele trei etaje și ele vor domina în calculele de polarizare. Postulăm, de asemenea, că

$$R_1 \gg R_{L3}$$

și vom verifica această presupunere în proiectarea finală.

După cum am mai menționat, rezistorul  $R_1$  aduce informația despre punctul de funcționare a tranzistorului  $T_3$  înapoi la intrarea amplificatorului. În mod concret:

$$I_{B1} \approx \frac{-V_{B1}(T)}{R_1 \parallel R_2} + \frac{V_R}{R_2} + \frac{V_{CE3}}{R_1}. \quad (16.14)$$

Curentul de colector  $\beta_{F1} I_{B1}$  poate atunci controla punctul de funcționare al tranzistorului  $T_3$ :

$$I_{C3} = (\beta_{F1} I_{B1}) \beta_{F2} \beta_{F3} + \frac{V_{CE2} \beta_{F3}}{R_{L2}} - \frac{V_{CE1} \beta_{F2} \beta_{F3}}{R_{L1}} \quad (16.15)$$

$$V_{CE3} = V_{C3} - R_{L3} I_{C3}. \quad (16.16)$$

Înlocuind relația (16.15) în (16.16) obținem:

$$V_{CE3} = V_{C3} - \beta_F^2 R_{L3} I_{B1} - V_{CE2} \beta_F \frac{R_{L3}}{R_{L2}} + V_{CE1} \beta_F^2 \frac{R_{L3}}{R_{L1}} \quad (16.17)$$

dacă presupunem valori identice pentru toate trei tranzistoarele. Pentru a demonstra că într-adevăr circuitul stabilizează punctele de funcționare, eliminăm pe  $I_{B1}$  între ecuațiile (16.14) și (16.17):

$$V_{CE3} \approx \frac{V_{C3} + \beta_F^3 R_{L3} \left[ \frac{V_{B1}(T)}{R_1 \parallel R_2} - \frac{V_R}{R_2} \right] - V_{CE2} \beta_F \frac{R_{L3}}{R_{L2}} + V_{C1} \beta_F^2 \frac{R_{L3}}{R_{L1}}}{1 + \frac{R_{L3}}{R_1} \beta_F^3} \quad (16.18)$$

Deoarece  $\beta_F$  este de ordinul de mărime 100, termenul care conține  $\beta_F^3$  va fi dominant la numărător. Dacă putem acum proiecta circuitul astfel ca la numitor

$$\frac{R_{L3}}{R_1} \beta_F^3 \gg 1, \quad (16.19)$$

ecuația (16.18) se reduce la:

$$V_{CE3} \approx V_{B1}(T) \left[ \frac{R_1 + R_2}{R_2} \right] - V_R \frac{R_1}{R_2}. \quad (16.20)$$

Ecuația (16.20) poate fi dedusă, de asemenea, și pe baza unui raționament intuitiv. Dacă tranzistoarele din fig. 16.4 au valori rezonabile pentru  $\beta_F$ , curentul de bază  $I_{B1}$  trebuie să fie extrem de mic, adică, de numai câțiva microamperi, chiar atunci când rezistorul  $R_1$  este conectat de la ieșirea amplificatorului înapoi spre intrarea lui. Astfel, într-o primă aproximație presupunem

$$I_{B1} = 0.$$

Pentru a obține aceasta, tensiunea  $V_{CE3}$  în fig. 16.5 trebuie să aibă o astfel de valoare încât tensiunea în circuit deschis a divizorului de tensiune  $R_1, R_2$  să fie egală exact cu  $V_{B1}(T)$ :

$$V_{CE3} \frac{R_2}{R_1 + R_2} + V_R \frac{R_1}{R_1 + R_2} = V_{B1}(T). \quad (16.21)$$

Rezolvând această ecuație pentru  $V_{CE3}$ , obținem din nou ecuația (16.20).

Din ecuația (16.20) rezultă clar că, pentru a face  $V_{CE3}$  cât mai insensibil posibil la variațiile lui  $V_{B1}(T)$ , tensiunea  $V_R$  trebuie să fie mare și negativă.

Presupunem, de exemplu, că dorim ca  $V_{CE3}$  să fie în jur de 5 sau 6 V. Dacă alegem

$$V_R = -10 \text{ V}$$

$$R_1 = 10 \text{ k}\Omega$$

$$R_2 = 20 \text{ k}\Omega$$

[care satisfac condițiile specificate de ecuațiile (16.13) și (16.19)], atunci înlocuind în ecuația (16.20) obținem:

$$V_{CE3} = 0,6 \left( \frac{30}{20} \right) + 10 \left( \frac{10}{20} \right) = 5,9 \text{ V}$$

(v. problema P.16.2). Pentru aceste valori alese, o variație de 10 mV a lui  $V_{B1}(T)$  va produce o variație numai de 15 mV pentru  $V_{CE3}$  ceea ce reprezintă o variație mai mică decât 1% a punctului de funcționare (v. problema P.16.3).

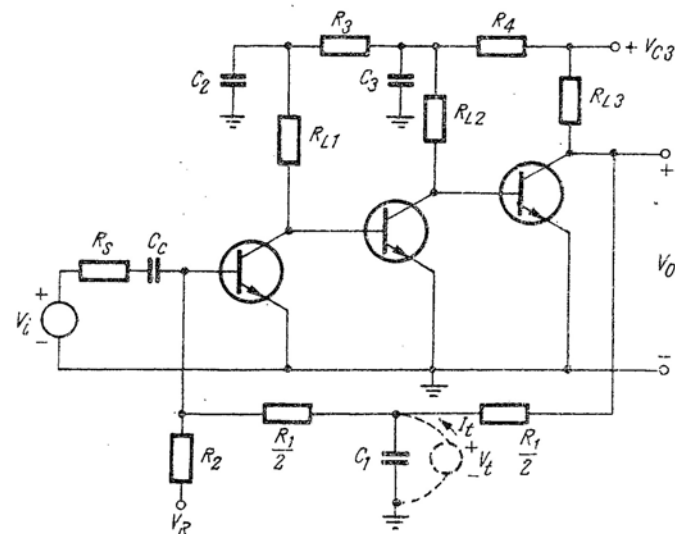


Fig. 16.6. Circuitul de polarizare complet pentru amplificatorul cu trei etaje cu emitorul comun în cascadă.

Din păcate, însă, circuitul, așa cum este el reprezentat în fig. 16.4, va suferi de variații ale semnalului de intrare la fel de eficace cum suprimă variațiile în  $V_{B1}(T)$ . Pentru menținerea amplificării cerute de 7000 în curent alternativ, este necesar să se adauge un condensator  $C_1$ , așa cum se arată în

fig. 16.6, pentru a preveni aplicarea semnalului înapoi de la ieșire la intrare prin rezistorul  $R$ . Valoarea lui  $C_1$ , necesară pentru obținerea răspunsului dat la frecvență joasă, poate fi găsită calculând rezistența între bornele condensatorului  $C_1$  când celelalte condensatoare de decuplare și de cuplaj sînt *scurtcircuitate*, așa cum s-a discutat în § 15.3.2. Valoarea acestei rezistențe de scurtcircuit ar fi surprinzător de mică, câteva ordine de mărime mai mică decît  $R_1$ , din cauza influenței amplificatorului cu amplificare mare. În felul acesta, valoarea necesară pentru  $C_1$  este uneori destul de mare.

O cale simplă de calcul a rezistenței între bornele condensatorului  $C_1$  este aceea de a se aplica o tensiune de testare  $V_t$  între aceste borne, așa cum se arată cu linie punctată în fig. 16.6 și de a se calcula variația rezultantă a curentului  $I_t$ . Utilizînd circuitul echivalent în  $g_m$ ,  $r_\pi$  și presupunînd  $R_s$  mult mai mic decît  $R_2$  obținem:

$$I_{bt} \approx \frac{V_t}{R_1/2} \left[ \frac{R_s}{R_s + r_{\pi 1}} \right]. \quad (16.22)$$

Deci

$$V_o \approx \frac{\beta_o V_t}{R_1/2} R_{L3} \frac{R_s}{R_s + r_{\pi 1}}.$$

Putem găsi acum curentul  $I_t$  prin superpoziție, presupunînd că  $R_1$  este mult mai mare ca  $R_{L3}$  și  $r_{\pi 1}$ :

$$I_t \approx \frac{V_t}{R_1/2} + \frac{V_t}{R_1/2} + V_t \left( \frac{2\beta_o R_{L3}}{R_1} \right) \left( \frac{1}{R_1/2} \right) \frac{R_s}{R_s + r_{\pi 1}}. \quad (16.23)$$

Prin urmare,

$$G_{1s} = \frac{I_t}{V_t} = 4G_1 \left[ 1 + \frac{\beta_o R_{L3} R_s}{R_1(R_s + r_{\pi 1})} \right]. \quad (16.24)$$

Pentru exemplul nostru numeric,  $R_{L3} = 100 \, \Omega$ ,  $R_1 = 10 \, \text{k}\Omega$ ,  $R_s = 50 \, \Omega$  și  $r_{\pi 1} = 2,5 \, \text{k}\Omega$ , astfel că

$$G_{1s} = 4 \cdot 0,1 \left[ 1 + \frac{10^6 \cdot 0,1 \cdot 50}{10(50 + 2500)} \right] = 80 \, \text{mS}.$$

Adică, rezistența de scurtcircuit care apare pe  $C_1$  este de numai  $12,5 \, \Omega$ . Este evident că  $C_1$  trebuie să fie destul de mare pentru a obține un răspuns bun la frecvență joasă.

Pentru un amplificator de acest tip cu amplificare mare, de obicei, e nevoie de adăugarea *rețeaua de decuplare*  $R_3$ ,  $R_4$ ,  $C_2$  și  $C_3$  arătată în fig. 16.6. Această rețea servește pentru două scopuri. Primul, tensiunile și curenții continue corespunzătoare punctelor de funcționare pentru tranzistoarele  $T_1$ ,  $T_2$  și  $T_3$  pot fi obținute de la o singură sursă de alimentare  $V_{C3}$  printr-o alegere corespunzătoare a rezistoarelor  $R_3$  și  $R_4$  (v. problema P.16.4). Al doilea, cuplajul nedorit de la  $T_3$  la  $T_2$  și  $T_1$  prin  $R_3$  și  $R_4$  se poate elimina făcînd condensatoarele  $C_2$  și  $C_3$  să fie scurtcircuitate la toate frecvențele de interes. Dacă cuplajul ar exista între  $T_3$  și  $T_1$  deoarece tensiunea  $V_{C3}$  nu provine de la o sursă ideală de impedanță zero și dacă  $C_2$  și  $C_3$  ar fi prea mici, atunci, ar rezulta pentru amplificator performanțe nedorite și de neprevăzut (de tipul oscilațiilor de joasă frecvență). Din acest motiv  $C_2$  și  $C_3$  trebuie să fie suficient de mari pentru a apărea ca scurtcircuitate față de rezistențele adiacente la frecvența limită inferioară  $\omega_{ol}$ .

De observat că trebuie acordată mare atenție proiectării unui amplificator cu amplificare mare în vederea minimalizării capacităților parazite de cuplaj de la ieșire la intrare. Chiar o fracțiune de picofarad de capacitate parazită între aceste borne poate produce schimbări importante în răspunsul la înaltă frecvență al amplificatorului.

## 16.2. AMPLIFICATOR CU CUPLAJ PRIN EMITOR

Ca un alt exemplu, care să illustreze modul de proiectare la frecvență înaltă prezentat în § 15.2, să selectăm tranzistoare corespunzătoare pentru așa numitul amplificator *cu cuplaj prin emitor* arătat în fig. 16.7, a. Acest amplificator este format dintr-un etaj cu colector comun care atacă un etaj cu baza comună, astfel încît ne așteptăm la o amplificare de curent mare împreună cu o amplificare de tensiune mai mică decît unitatea pentru primul etaj și la o amplificare de tensiune mare împreună cu o amplificare de curent mai mică decît unitatea pentru etajul al doilea. În felul acesta, efectul capacității de sarcină spațială  $C_u$  trebuie să fie mai mic pentru ambele etaje, din aceleași motive ca în proiectarea montajului din § 15.1.

### 16.2.1. Analiza preliminară

Înainte de a începe proiectarea este nevoie să facem măcar o sumară analiză cu scopul înțelegerii funcționării circuitului. Deoarece emitoarele ambelor tranzistoare merg la o sursă de tensiune negativă și colectoarele merg la o sursă de tensiune pozitivă, în timp ce bazele sînt aproximativ la potențialul masei, ne așteptăm ca ambele tranzistoare să funcționeze în regiunea activă normală. Prin urmare, un calcul estimativ al



performanțelor circuitului poate fi obținut utilizând modelul simplu cu  $\alpha_F$  pentru tranzistor așa cum se arată în fig. 16.7, b. Din motive de polarizare cele două tranzistoare sînt conectate în paralel; deci pentru tranzis-

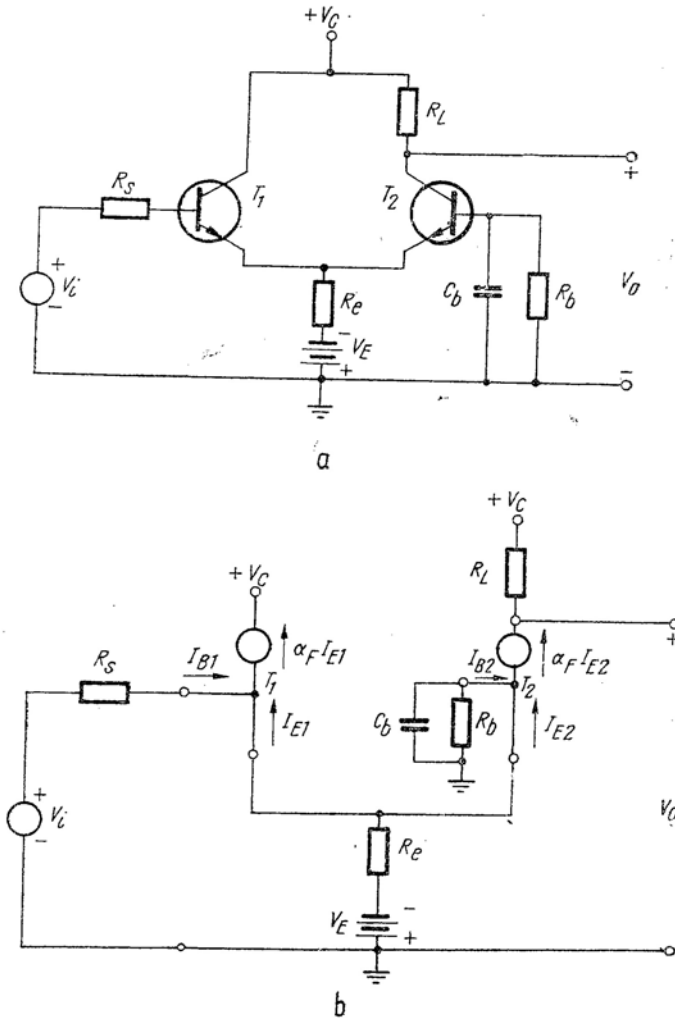


Fig. 16.7. Amplificator cu două etaje cuplate prin emitor.

toare identice curenții de emitor  $I_{E1}$  și  $I_{E2}$  vor fi aproximativ egali pentru  $R_b = R_s$ <sup>1)</sup>. În acest caz

$$I_{E1} \approx I_{E2} \approx - \frac{V_E}{2R_e + R_s/(\beta_F + 1)} \quad (16.25)$$

(v. problema P.16.5).

La frecvența semnalului condensatorul de decuplare este un scurtcircuit, astfel că din punct de vedere al transmisiei semnalului amplificatorul este o cascadă colector comun-bază comună. Deoarece am utilizat un model simplu, curenții de semnal mic pot fi calculați prin superpoziție:

$$I_{b1} = \frac{V_i}{R_s} \quad (16.26)$$

Deci

$$I_{e1} = -(\beta_{F1} + 1) \frac{V_i}{R_s} \quad (16.27)$$

Aproape tot acest curent va curge în emitorul lui  $T_2$  producind un curent de colector:

$$I_{C2} = -\alpha_{F2} I_{e2} = -\frac{\alpha_{F2}(\beta_{F1} + 1) V_i}{R_s} \quad (16.28)$$

Astfel, amplificarea de tensiune a cascadei este:

$$\frac{V_o}{V_i} = -\frac{I_{C2} R_L}{V_i} = \alpha_{F2}(\beta_{F1} + 1) \frac{R_L}{R_s} \quad (16.29)$$

Un calcul întrucîtva mai exact poate fi făcut din circuitul echivalent pentru semnal mic la frecvențe medii arătat în fig. 16.8. Amplificarea de tensiune  $V_o/V_i$  a etajului cu colectorul comun poate fi găsită din ecuația

<sup>1)</sup> Dacă  $R$  nu este mult prea mare față de rezistența bazei tranzistorului (nu este arătată în modelul prea simplificat), atunci  $R_b$  și  $C_b$  pot fi omiși, și baza  $T_2$  va fi pusă la masă direct, fără să debalanseze curenții de colector.

(14.43 b) după ce „sarcina” acestui etaj s-a determinat. Sarcina este combinația paralel între  $R_e$  și rezistența de intrare a etajului cu baza comună:

$$R_1 = R_e \parallel \frac{r_{\pi 2} + r_{\pi 2}}{\beta_{o2} + 1}. \quad (16.30)$$

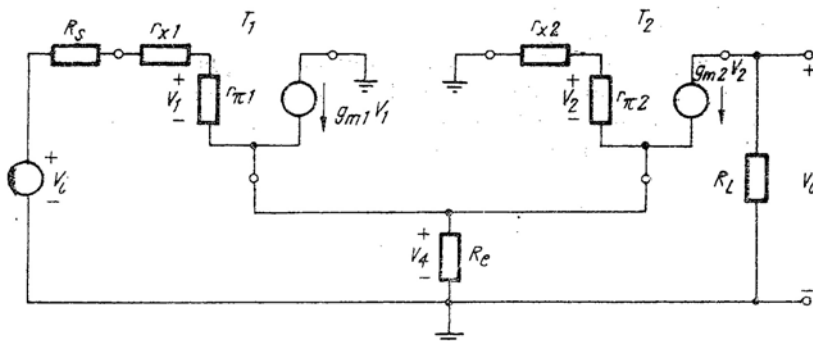


Fig. 16.8. Circuit echivalent de semnal mic pentru frecvențe medii pentru o pereche cuplată în emitor.

Deci, din ecuația (11.43 b)

$$\frac{V_4}{V_i} = \frac{(\beta_{o1} + 1) R_1}{(\beta_{o1} + 1) R_1 + r_{\pi 1} + R_s}. \quad (16.31)$$

Amplificarea în tensiune a etajului cu baza comună este :

$$\frac{V_o}{V_4} = g_{m2} R_L \frac{r_{\pi 2}}{r_{\pi 2} + r_{x2}}. \quad (16.32)$$

Astfel, amplificarea totală a cascadei este :

$$\frac{V_o}{V_i} = \left[ \frac{(\beta_{o1} + 1) R_1}{(\beta_{o1} + 1) R_1 + r_{\pi 1} + R_s} \right] \left( \frac{\beta_{o2} R_L}{r_{\pi 2} + r_{x2}} \right), \quad (16.33)$$

unde  $R_1$  este dat de ecuația (16.30). În multe calcule  $R_e$  este mult mai mare ca  $(r_{x2} + r_{\pi 2})/(\beta_{o2} + 1)$ , în care caz sarcina dintre etaje se reduce la :

$$R_1 \approx \frac{r_{x2} + r_{\pi 2}}{\beta_{o2} + 1}. \quad (16.34)$$

Dacă presupunem acum că  $\beta_{o1} = \beta_{o2}$ , ecuația (16.33) se reduce la :

$$\frac{V_o}{V_i} \approx \frac{\beta_{o2} R_L}{r_{\pi 1} + r_{\pi 1} + r_{x2} + r_{\pi 2} + R_s}, \quad (16.35)$$

o expresie destul de compatibilă cu estimarea noastră inițială din ecuația (16.29).

### 16.2.2. Proiectarea

Presupunem că avem de proiectat un amplificator cu cuplaj prin emitor cu o amplificare de 15 și o lărgime a benzii de 8 MHz. Presupunem, de asemenea, că rezistența sursei  $R_s$  este 500  $\Omega$  și că „alte considerente” impun un curent de colector prin fiecare tranzistor de 2 mA. Multe tranzistoare au în această regiune a curentului de colector  $\beta_o$  în jur de 100, astfel că vom utiliza această valoare pentru proiectarea în primă aproximație. Pentru  $I_C = 2$  mA.

$$g_m = \frac{I_C}{kT} = \frac{2}{25} = 0,08 \text{ S} = 80 \text{ mS}$$

$$r_{\pi} = \frac{\beta_o}{g_m} = \frac{100}{80} = 1,25 \text{ k}\Omega.$$

La acest nivel de curent  $r_x$  poate fi în jur de 150  $\Omega$ . Putem utiliza acum valoarea cerută pentru amplificare și ecuația (16.35) pentru a calcula valoarea lui  $R_L$  :

$$\frac{V_o}{V_i} = 15 = \frac{100 R_L}{2(1,25 + 0,15) + 0,5}$$

$$R_L = \frac{3,3 \times 15}{100} = 0,495 \text{ k}\Omega \approx 500 \Omega.$$

Circuitul echivalent complet de semnal mic pentru amplificatorul cu două etaje cuplate prin emitor se prezintă în fig. 16.9, a. Pentru a calcula valorile lui  $C_{\pi 1}$ ,  $C_{\mu 1}$  și  $C_{\pi 2}$ ,  $C_{\mu 2}$  necesare pentru îndeplinirea condiției de lărgime a benzii trebuie mai întâi să calculăm rezistențele în circuit deschis de la bornele tuturor acestor capacități. Pentru a găsi rezistența  $R_{10}$  la bornele capacității  $C_{\pi 1}$  când celelalte capacități sînt cir-

cuit deschis transformăm în mod corespunzător circuitul din fig. 16.9, *a* și obținem circuitul din fig. 16.9, *b*. Rezistența de intrare a celui de-al doilea tranzistor apare în acest calcul ca sarcină pentru primul; acest efect a fost reprezentat în figură printr-o rezistență de valoare

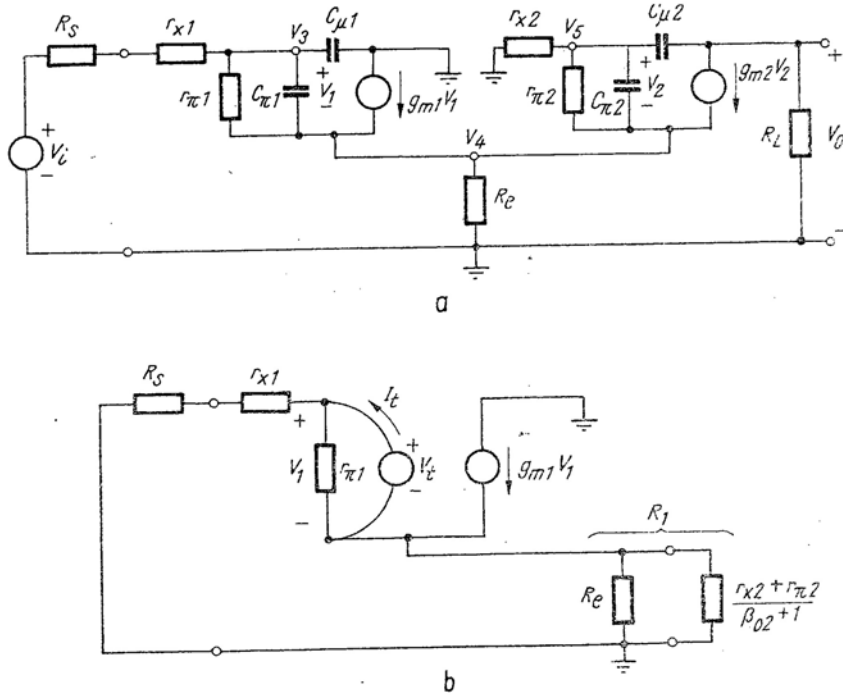


Fig. 16.9. Circuite echivalente de semnal mic pentru amplificatorul cu două etaje cuplate prin emitor :

*a* - Circuitul echivalent pentru frecvențe înalte; *b* - subcircuit pentru calculul lui  $R_{10}$ .

$(r_{x2} + r_{\pi 2})/(\beta_{o2} + 1)$ . Urmînd aceeași tehnică ca mai înainte, aplicăm o tensiune  $V_t$  la bornele condensatorului  $C_{\pi 1}$  și găsim curentul rezultat  $I_t$ . Raportul  $V_t/I_t$  este rezistența dorită :

$$I_t = \frac{V_t}{r_{\pi 1}} + \frac{V_t}{R_s + r_{x1} + R_1} + g_{m1} V_t \frac{R_1}{R_s + r_{x1} + R_1}, \quad (16.36)$$

unde  $R_1$  este sarcina netă între emitor și masă a primului tranzistor dată de ecuația (16.30). Termenul al treilea în ecuația (16.36) a fost dedus

ținînd cont că curentul  $g_{m1} V_t$  se împarte în două componente, una conținînd pe  $R_1$  și alta conținînd generatorul  $V_t$  împreună cu  $r_{x1}$  și  $R_s$ . Din ecuația (16.36) rezultă direct că

$$R_{10} = \frac{V_t}{I_t} = r_{\pi 1} \parallel \frac{R_s + r_{x1} + R_1}{1 + g_{m1} R_1} \quad (16.37)$$

$$\approx r_{\pi 1} \parallel \frac{R_s}{2} \quad (16.38)$$

presupunînd că  $R_1$  este aproximativ egal cu  $r_{\pi 2}/\beta_{o2}$ .

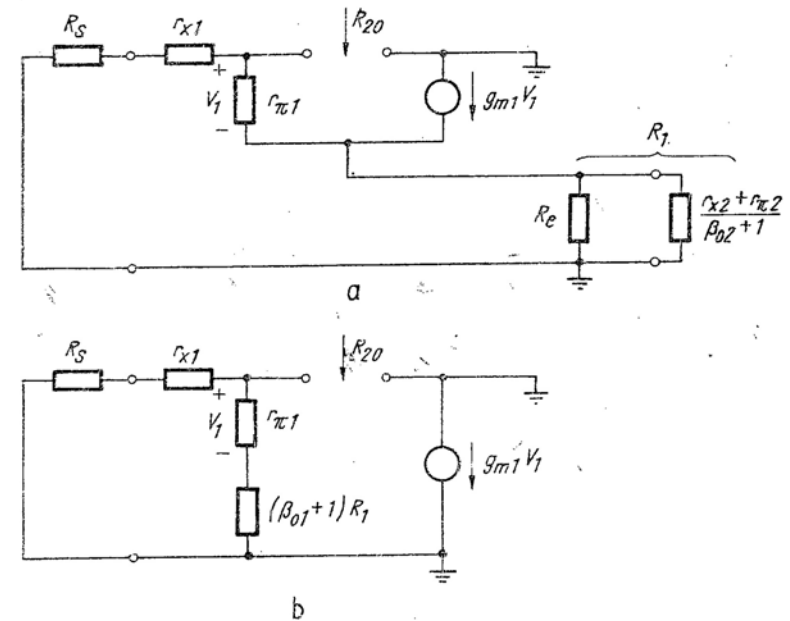


Fig. 16.10. Subcircuite pentru calculul lui  $R_{20}$ .

Pentru calculul lui  $R_{20}$ , rezistența în circuit deschis la bornele capacității  $C_{\mu 1}$ , utilizăm fig. 16.10, *a*. Această rezistență poate fi găsită prin examinarea circuitului dacă rezistența  $R_1$  se transformă cu ajutorul metodei discutate în § 5.2, ecuația (11.42). Rezultatul este arătat în fig. 16.10, *b*.

De unde

$$R_{20} = (R_s + r_{x1}) \parallel [r_{\pi 1} + (\beta_{o1} + 1) R_1], \quad (16.39)$$

unde  $R_1$  este dat de ecuația (16.30) (v. problema P.16.6).

Subcircuitul rezultat pentru calculul lui  $R_{30}$ , rezistența în circuit deschis la bornele capacității  $C_{\pi 2}$  este arătat în fig. 16.11. Pentru aceste calcule singurul parametru de interes rămas de la primul tranzistor este rezistența lui de ieșire și de aceea numai pe acesta o includem în circuit. Calculul este

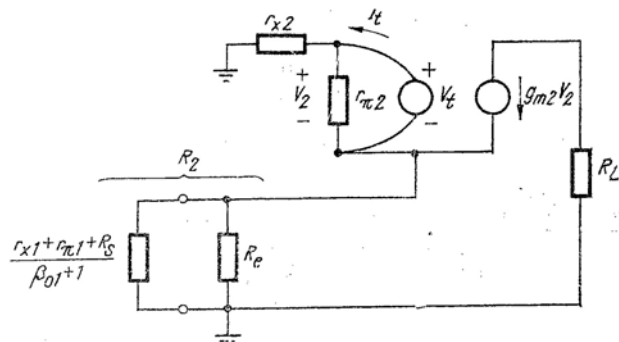


Fig. 16.11. Subcircuit pentru calculul lui  $R_{30}$ .

în principiu identic cu cel făcut pentru  $R_{10}$  și, de aceea, nu-l vom repeta în detaliu (v. problema P.16.7). Rezultatul este

$$R_{30} = r_{\pi 2} \parallel \frac{r_{x2} + R_2}{1 + g_{m2} R_2}, \quad (16.40)$$

unde  $R_2$  este rezistența netă între emitor și masă pentru tranzistorul  $T_2$ :

$$R_2 = R_e \parallel \frac{r_{x1} + r_{\pi 1} + R_s}{\beta_{01} + 1}. \quad (16.41)$$

Deși este posibil să se calculeze  $R_{40}$ , rezistența în circuit deschis la bornele lui  $C_{\mu 2}$ , utilizând subcircuitul din fig. 16.12, *a* este mai ușor dacă mai întâi transformăm rezistența  $R_2$  așa cum se arată în fig. 16.12, *b*. După aceasta  $R_{40}$  poate fi găsit printr-un mod analog cu calculul pentru un etaj obișnuit cu emitorul comun. Astfel, dacă putem

$$R_A = r_{x2} \parallel [r_{\pi 2} + R_2(\beta_{02} + 1)] \quad (16.42)$$

atunci, din calculele referitoare la montajul cu emitorul comun

$$R_{40} = R_A + R_L + k g_{m2} R_A R_L. \quad (16.43)$$

Constanta  $k$  reflectă faptul că generatorul  $g_m$  este excitat numai de către tensiunea de pe  $r_{\pi 2}$ :

$$k = \frac{r_{\pi 2}}{r_{\pi 2} + R_2(\beta_{02} + 1)}. \quad (16.44)$$

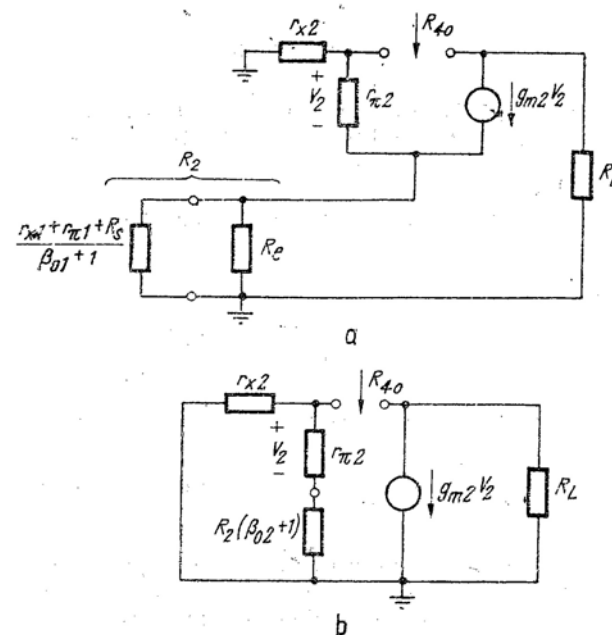


Fig. 16.12. Subcircuit pentru calculul lui  $R_{40}$ .

Substituind valorile numerice de pe pagina 69 în ecuațiile (16.37), (16.39), (16.40) și (16.43) obținem (presupunând că  $R_e = 1k\Omega$ ):

$$\begin{aligned} R_{10} &= 0,252 \text{ k}\Omega & R_{20} &= 0,54 \text{ k}\Omega \\ R_{30} &= 0,064 \text{ k}\Omega & R_{40} &= 2,97 \text{ k}\Omega. \end{aligned}$$

Să încercăm să proiectăm punind  $C_{\mu 1} = C_{\mu 2} = 3 \text{ pF}$ :

$$\tau_{20} = 3 \cdot 0,54 = 1,62 \text{ ns}$$

$$\tau_{40} = 3 \cdot 2,97 = 8,91 \text{ ns}$$

$$\tau_{20} + \tau_{40} = 10,53 \text{ ns.}$$

Pentru a satisface condiția de lărgime a benzii de 8 MHz

$$\Sigma \tau_{jo} \approx \frac{1}{\omega_h} = \frac{1}{2\pi \cdot 0,008} = 19,9 \text{ ns}.$$

Deci

$$\tau_{10} = \tau_{30} = 19,9 - 10,5 = 9,4 \text{ ns}.$$

O alegere posibilă pentru  $C_{\pi 1}$  și  $C_{\pi 2}$ , utilă în proiectarea circuitelor integrate a căror fabricație este simplificată dacă toate tranzistoarele sînt identice, impune ca  $C_{\pi 1} = C_{\pi 2}$ . Atunci:

$$\tau_{10} + \tau_{30} = 9,4 = 0,252 C_{\pi 1} + 0,064 C_{\pi 1}.$$

De aceea,

$$C_{\pi 1} = C_{\pi 2} = \frac{9,4}{0,316} \approx 30 \text{ pF}.$$

În felul acesta tranzistoarele trebuie să aibă la 2 mA un  $f_T$  de

$$f_T = \frac{g_m}{2\pi(C_{\pi} + C_{\mu})} = \frac{80}{2\pi \cdot 33} = 0,39 \text{ GHz} = 39 \text{ MHz}.$$

Trebuie notat că pentru acest amplificator cu cuplaj prin emitor constantele de timp dominante sînt  $\tau_{10}$  asociat lui  $C_{\pi 1}$  și  $\tau_{40}$  asociat lui  $C_{\pi 2}$ . După cum am presupus,  $C_{\mu 1}$  nu este important deoarece nu există semnal de reacție prin ea (să se compare cu un amplificator cu emitorul comun). Dacă  $r_{x2}$  ar fi fost zero,  $C_{\mu 2}$  ar fi fost, de asemenea, neimportant deoarece, din nou nu ar fi existat semnal de reacție de la ieșirea la intrarea tranzistorului. Pentru  $r_x$  finit, însă, și pentru  $R_L$  mare pentru a da o amplificare de tensiune substanțială, constanta de timp asociată lui  $C_{\mu 2}$  preia un rol dominant.

### 16.2.3. Verificarea calculului cu ajutorul calculatorului

Pentru a verifica această proiectare ne vom folosi de calculator pentru a găsi polii și zerourile funcției  $V_o/V_i$  și după aceea vom calcula frecvența adevărată corespunzătoare atenuării la 0,707. Referitor la fig. 16.9 a, dacă  $R_s$  și  $r_{x1}$  sînt considerate a fi un singur rezistor  $R'_s$  de valoare

$$R'_s = R_s + r_{x1},$$

atunci circuitul are patru noduri independente. Un set posibil de variabile de tensiune la noduri este acela al tensiunilor între nod și masă, adică,  $V_3$ ,  $V_4$ ,  $V_5$  și  $V_6$ . Ecuațiile corespunzătoare pe noduri sînt:

$$V_i G'_s = V_3 [G'_s + g_{\pi 1} + s(C_{\pi 1} + C_{\mu 1})] - V_4 (g_{\pi 1} + sC_{\pi 1}) \quad (16.45 \text{ a})$$

$$0 = -V_3 (g_{\pi 1} + g_{m1} + sC_{\pi 1}) + V_4 [G'_s + g_{\pi 1} + g_{m1} + g_{\pi 2} + g_{m2} + s(C_{\pi 1} + C_{\pi 2})] - V_5 (g_{\pi 2} + g_{m2} + sC_{\pi 2}) \quad (16.45 \text{ b})$$

$$0 = -V_4 (g_{\pi 2} + sC_{\pi 2}) + V_5 [g_{x2} + g_{\pi 2} + s(C_{\pi 2} + C_{\mu 2})] - sC_{\mu 2} V_6 \quad (16.45 \text{ c})$$

$$0 = -V_4 g_{m2} + V_5 (g_{m2} - sC_{\mu 2}) + V_6 (G_L + sC_{\mu 2}). \quad (16.45 \text{ d})$$

Substituind valorile numerice calculate în § 16.2.2, din ecuațiile (16.45), obținem următorul determinant (în unități milisiemens, picofarazi, nanosecunde):

$$\Delta = \begin{vmatrix} 2,34 + s33 & -0,8 - s30 & - & 0 \\ -80,8 - s30 & 162,6 + s60 & -80,8 - s30 & 0 \\ 0 & -0,8 - s30 & 7,5 + s33 & -s3 \\ 0 & -80 & 80 - s3 & 2 + s3 \end{vmatrix}$$

Rezolvarea cu ajutorul calculatorului a acestui determinant dă următoarele frecvențe naturale ale rețelei:

$$s_1 = -7,09 \text{ ns}^{-1}$$

$$s_2 = -2,78 \text{ ns}^{-1}$$

$$s_3 = -0,48 \text{ ns}^{-1}$$

$$s_4 = -0,0579 \text{ ns}^{-1}$$

(Ca o verificare a calculelor numerice pînă în acest moment,

$$-\Sigma \frac{1}{s_j} = 19,89 \text{ ns}$$

$$\Sigma \tau_{jo} = 19,9 \text{ ns}$$

ceea ce se încadrează bine în eroarea riglei de calcul).

Pentru a găsi zerourile funcției  $V_o/V_i$ , observăm din ecuațiile (16.45) că trebuie să găsim rădăcinile expresiei  $G'_s \Delta_{14} = 0$ . Evident,  $G'_s$  este pur și simplu un factor de scară în acest calcul, astfel încît, utilizăm calculatorul pentru a găsi rădăcinile ecuației  $\Delta_{14} = 0$ . Rădăcinile rezultante, zerourile funcției  $V_o/V_i$ , sînt :

$$s_5 = -2,69 \text{ ns}^{-1}$$

$$s_6, s_7 = -1,35 \pm j2,04 \text{ ns}^{-1}$$

Este evident că  $\omega_h$  este dominată de  $s_4$  și  $s_3$ . Deci

$$\omega_h \approx \left( \frac{1}{0,058^2} + \frac{1}{0,48^2} \right)^{-1/2} = 0,0577 \text{ Grad/s}$$

$$f_h = 9,2 \text{ MHz,}$$

ceea ce reprezintă o bună concordanță cu lărgimea impusă a benzii de 8 MHz.

### 16.3. AMPLIFICATOARE CU MAI MULTE ETAJE UTILIZÎND ATÎT TRANZISTOARE TEC CÎT ȘI TRANZISTOARE BIPOLARE

De multe ori amplificatoarele se realizează atît cu tranzistoare TEC, cît și cu tranzistoare bipolare în scopul obținerii unor avantaje folosind proprietățile specifice fiecărui dispozitiv. În acest paragraf se vor discuta pe scurt două exemple, montajul sursă comună-bază comună (cascode) și montajul drenă comună bază comună.

#### 16.3.1. Perechea sursă comună — bază comună

Un amplificator tipic sursă comună-bază comună este arătat în fig. 16.13 a. Această combinație are toate avantajele circuitului cascode cu tranzistoare bipolare discutat în § 15.1 și, în plus, posedă o foarte mare impedanță de intrare. Aceste performanțe apar evidente cînd se compară circuitele echivalente de semnal mic pentru frecvențe medii și înalte din fig. 16.13, b și fig. 15.2. Ambele figuri sînt identice din punct de vedere topologic, cu excepția existenței lui  $r_x$  și  $r_\pi$  în primul etaj.

Amplificarea de tensiune la frecvențe medii poate fi obținută destul de repede prin examinarea schemei. Ne amintim că amplificarea în curent a etajului cu baza comună este ceva mai mică decît unitatea. Astfel, curentul prin  $R_L$  este aproape  $g_{m1} V_{gs}$ .

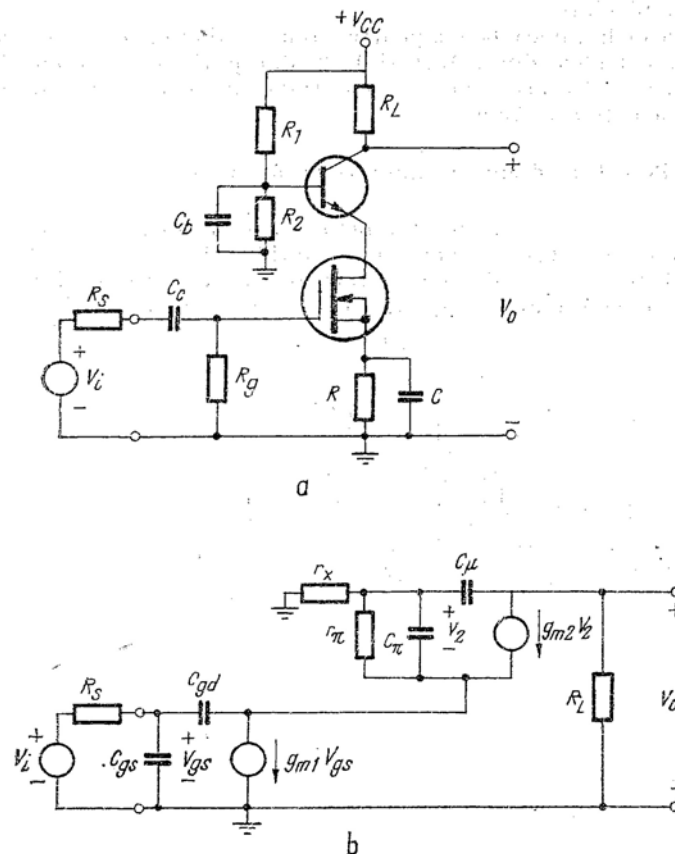


Fig. 16.13. Montaj cascode sursă comună — bază comună :  
a — circuitul; b — circuitul echivalent de semnal mic pentru frecvențe medii în presupunerea că  $R_1$  este mult mai mare ca  $R_S$ .

Deci

$$A_v = \frac{V_o}{V_i} = -g_{m1} R_L. \quad (16.46)$$

Deoarece pentru un TEC  $g_m$  este mai mic decât pentru un tranzistor bipolar, cu excepția cazului când acesta din urmă funcționează la curenți sub 0,1 mA, amplificarea în tensiune a cascodei TEC — tranzistor bipolar este mai mică, pentru o valoare dată  $R_L$ , decât a circuitului care folosește două tranzistoare bipolare.

Calculule de lărgime a benzii pentru circuitul din fig. 16.13 sînt aproape identice cu calculele din § 15.1 și 15.2, dar puțin mai simple deoarece  $r_{\pi 1}$  și  $r_{x1}$  lipsesc. De aceea această chestiune nu se mai examinează aici (v. problemele 16.8 și 16.9).

### 16.3.2. Perechea drenă comună — bază comună

Echivalentul TEC — tranzistor bipolar a perechii cuplate prin emitor este arătat în fig. 16.14 a. Tensiunea continuă  $V_D$  poate fi obținută din tensiunea  $V$  folosind un divizor de tensiune, cu condiția ca între bază și masă să se conecteze un condensator de decuplare corespunzător.

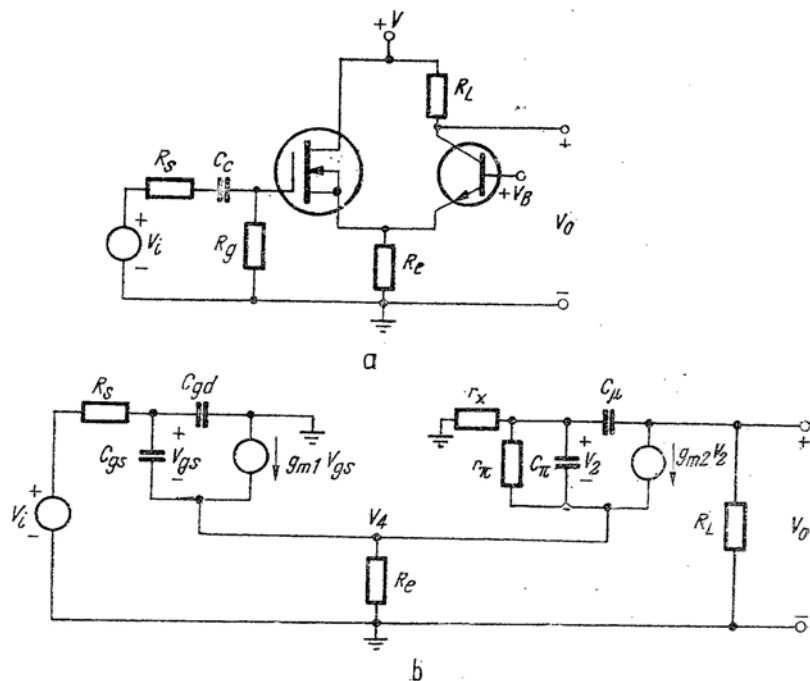


Fig. 16.14. Perechea drenă comună-bază comună:

a — circuitul; b — circuitul echivalent de semnal mic pentru frecvențe medii și înalte în presupunerea că  $R_D$  este mult mai mare ca  $R_S$ .

Dacă presupunem că  $R_e$  este mult mai mare decât rezistența de intrare a etajului cu baza comună, adică,

$$R_e \gg \frac{r_x + r_{\pi}}{\beta_o + 1} \quad (16.47)$$

atunci amplificarea de tensiune la frecvențe medii este relativ ușor de calculat prin examinarea circuitului echivalent de semnal mic (fig. 16.14b). Din § 11.5.3, ecuația (11.48 a), amplificarea în tensiune a etajului cu drenă comună este:

$$\frac{V_o}{V_i} = \frac{g_{m1} R_1}{1 + g_{m1} R_1} \quad (16.48)$$

unde

$$R_1 = \frac{r_x + r_{\pi}}{\beta_o + 1} \quad (16.49)$$

Amplificarea de tensiune a etajului cu baza comună este:

$$\frac{V_o}{V_i} = \frac{r_{\pi}}{r_x + r_{\pi}} g_{m2} R_L \quad (16.50)$$

Deci

$$\frac{V_o}{V_i} = \left( \frac{g_{m1} R_1}{1 + g_{m1} R_1} \right) \left( \frac{r_{\pi}}{r_x + r_{\pi}} \right) g_{m2} R_L \quad (16.51)$$

unde  $R_1$  este dat de ecuația (16.49). Deoarece  $R_1$  este de ordinul a  $10\Omega$  și  $g_{m1}$  este de regulă câțiva milisiemens, amplificarea etajului cu drenă comună este substanțial mai mică decât 1, chiar mai mică decât 0,1. Deci, ecuația (16.51) se reduce la:

$$\frac{V_o}{V_i} \approx g_{m1} R_L \quad (16.52)$$

aceeași valoare pe care am obținut-o și pentru cascodea cu TEC — tranzistor bipolar.

Comparația între circuitul echivalent pentru perechea drenă-comună-bază comună (fig. 16.14, b) și circuitul echivalent corespunzător

pentru perechea cuplată prin emitor (fig. 16.9 a) indică faptul că aceste circuite sînt topologic identice, cu excepția inexistenței în primul a lui  $r_{\pi 1}$  și  $r_{\pi 1}$ . Deci analiza și proiectarea necesară găsirii frecvenței superioare  $\omega_h$  sînt identice pentru ambele circuite și nu va fi repetată aici (v. problemele P.16.10 și P.16.11).

#### 16.4. STRUCTURI MAI COMPLICATE CU MAI MULTE ETAJE

Amplificatoarele cu mai multe etaje, de obicei, sînt mai complicate decît exemplele de amplificare cu două sau trei etaje discutate în acest capitol. Acest lucru este adevărat, în special pentru amplificatoarele în circuite integrate, deoarece costul produsului în final (între anumite limite) este independent de numărul tranzistoarelor în circuit. Din fericire, în mod frecvent, aceste circuite mai complicate pot fi descompuse în combinații simple de circuite cu mai multe etaje pe care le-am discutat deja. Aici se dau două exemple: un amplificator video de bandă largă și un amplificator operațional cu cuplaj direct.

Amplificatorul video <sup>1)</sup> (fig. 16.15) este format dintr-o cascadă de trei perechi cuplate prin emitor cuplate împreună în fiecare caz printr-un etaj cu colectorul comun. În acest montaj perechile cuplate prin emitor sînt suficient de izolate, astfel că e mai sigur să calculăm independent frecvențele naturale ale fiecărei perechi și să presupunem că polii dominanți ai întregului circuit sînt chiar polii dominanți ai fiecărei perechi (v. problema P.16.13). De notat că amplificatorul este polarizat printr-o metodă foarte apropiată de aceea discutată în § 16.1.4, cu excepția faptului că semnalul corector vine înapoi prin rezistorul  $R_{15}$  la etajul cu baza comună în loc de a merge la etajul de intrare al amplificatorului.

Schema unui amplificator <sup>2)</sup> operațional în formă integrată este arătată în fig. 16.16. Deoarece circuitul este proiectat se amplifice atît semnale de c.c. cit și de c.a., etajele de intrare au o configurație echilibrată similară cu aceea discutată în § 7.4.2. Analiza și proiectarea unor asemenea circuite este prezentată în detaliu în referințele [16.5] și [16.6]. Este suficient de spus că pentru comenzi echilibrate la intrare avem nevoie să considerăm numai o jumătate din fiecare pereche echilibrată. În aceste condiții, prima parte a circuitului se reduce la o cascadă cu două etaje cu emitorul comun formate din tranzistoarele  $Q_4$  și  $Q_7$ , urmată de un etaj de izolare cu colectorul comun  $Q_8$ .

<sup>1)</sup> V. referința [16.3] (NA).

<sup>2)</sup> V. referința [16.4] (NA).

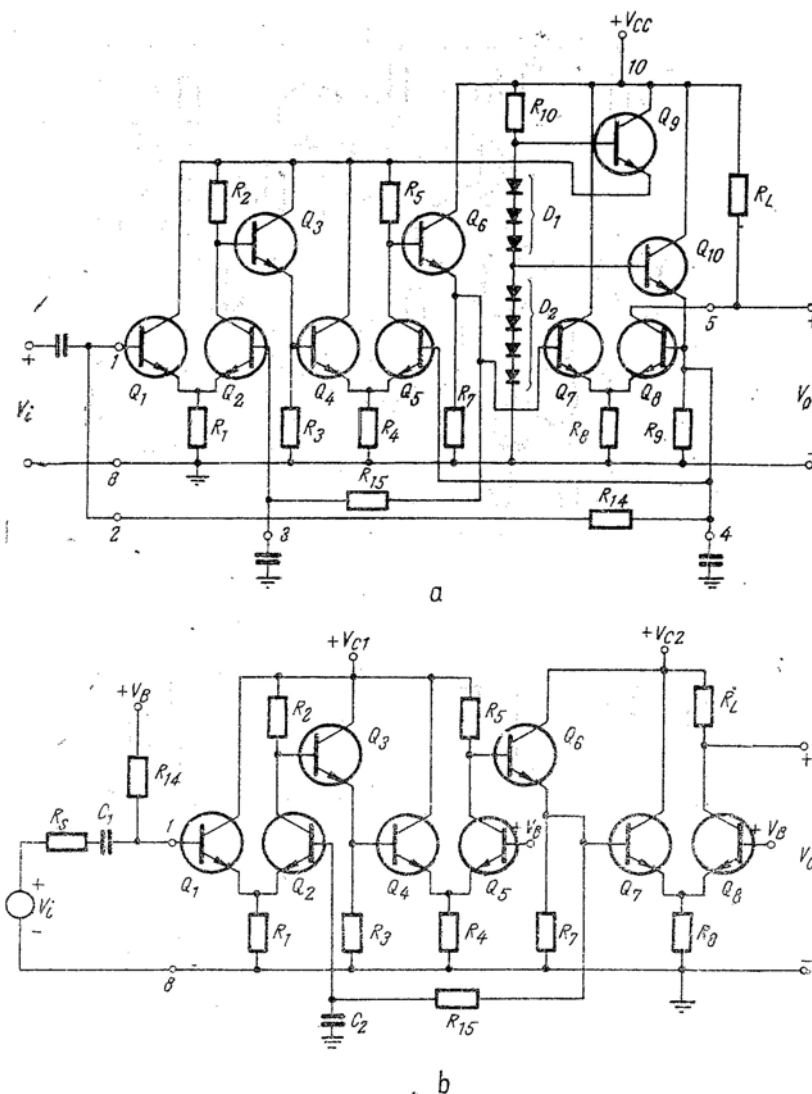


Fig. 16.15. Amplificator video în formă integrată:  
a - circuitul complet; b - amplificatorul singur (fără sursa de alimentare).



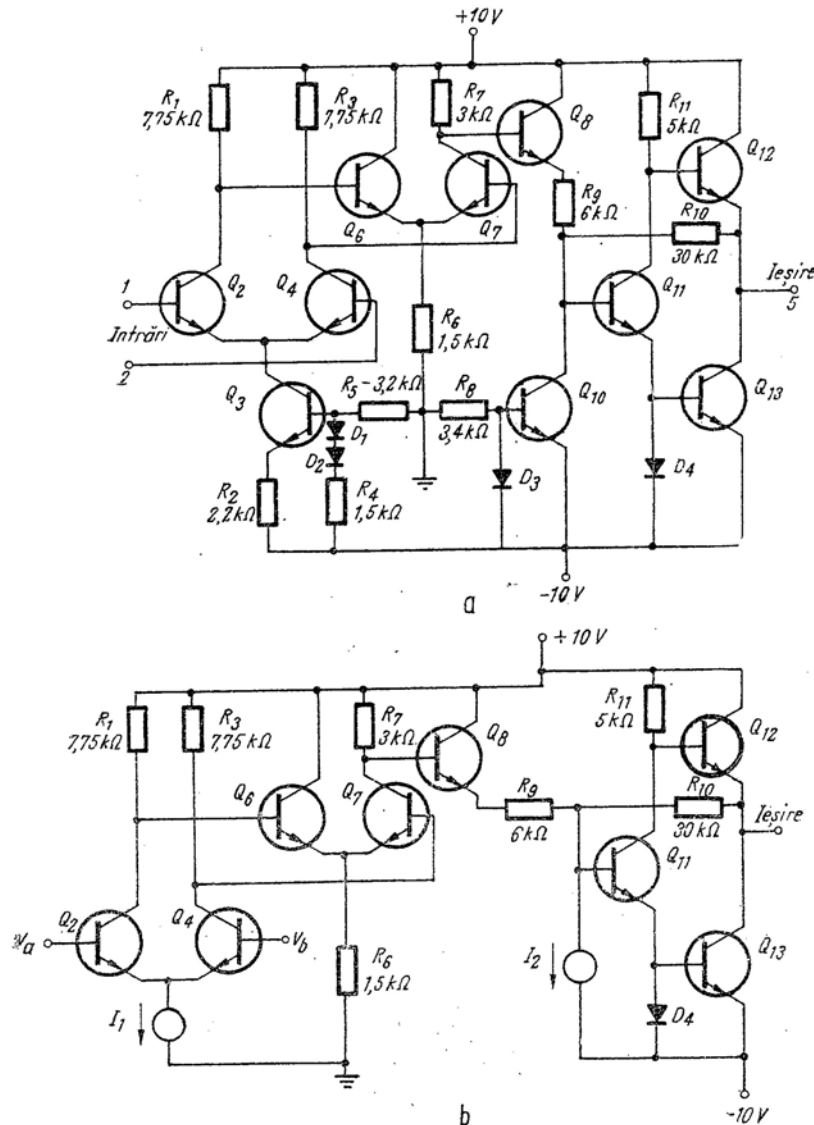


Fig. 16.16. Amplificator operațional în circuit integrat:

a - circuitul complet; b - circuitul simplificat, cu tranzistoarele care lucrează ca sursă de curent înlocuite cu generatoare de curent.

Funcționarea etajului de ieșire este dominată de circuitul de reacție  $R_9$  și  $R_{10}$ , astfel încât, discutarea mai departe a acestui circuit este momentan nejustificată.

## BIBLIOGRAFIE

- 16.1. R. D. Thornton ș. a. *Characteristic and Limitations of Transistors*, Wiley, New York, 1966.
- 16.2. J. F. Gibbons, *Semiconductor Electronics*, Mc Graw-Hill, New York, 1966.
- 16.3. *RCA Linear Integrated Circuits Fundamentals*, Technical Series IC-40, Radio Corporation of America, 1966.
- 16.4. *MC 1430 Operational Amplifier Integrated Circuits*, DS 9057 Motorola Semiconductors, Phoenix, 1966.
- 16.5. R. D. Thornton ș. a., *Multistage Transistor Circuits*, Wiley New-York, 1965.
- 16.6. A. H. Hoffait și R.D. Thornton, *Limitations of Transistor Amplifiers*. Proc. IEEE, February, 1964.
- 16.7. H. Camenzind, *Circuit Design for Integrated Circuits*, Addison Wesley, Reading, Mass., 1968.

## PROBLEME

P.16.1. Să se arate că zerourile funcției  $V_i/V_i$  în fig. 16.2 pot fi găsite prin examinarea ecuațiilor (16.12) din momentul în care aceste ecuații sînt scrise în forma de determinant (v. pag 57).

P.16.2. Înlocuiți valorile numerice date pe pag. 63 și în § 16.1.2. în ecuația (16.18), deci, pentru acest exemplu justificați aproximațiile făcute în obținerea ecuației (16.20).

P.16.3. Să se calculeze pentru rețeaua de polarizare din fig. 16.4  $\partial V_{CE3}/\partial \beta_{F1}(T)$  și  $\partial V_{CE3}/\partial V_{BE1}$  ambele înainte și după ce rezistența  $R_1$  este adăugată de la ieșire la intrare. Să se utilizeze rezultatele pentru a calcula îmbunătățirea stabilității polarizării ca urmare a adăugării lui  $R_1$  (v. pag. 63).

P.16.4. Să se completeze calculul rețelei de polarizare pentru amplificatorul din fig. 16.6. Concret, să se calculeze valorile corespunzătoare pentru  $C_c$ ,  $C_1$ ,  $C_2$ ,  $C_3$ ,  $R_3$  și  $R_4$  pentru a polariza tranzistorul, așa cum se cere în § 16.1.2 și § 16.1.4 pentru a obține o frecvență inferioară, corespunzătoare nivelului 0,707, de 50 Hz. Se presupune că  $V_{CE3} = 5,9$  V.

P.16.5. Utilizînd fig. 16.7 b, să se verifice ecuația (16.25) (v. pag. 67).

P.16.6. Să se aplice transformarea sugerată în § 11.5.1 de ecuațiile (11.42) figurii 16.10, a, deci, să se calculeze rezistența în circuit deschis la bornele lui  $C_{\pi 1}$  în fig. 16.9, a. Verificați răspunsul cu ajutorul ecuației (16.39).

P.16.7. Să se utilizeze fig. 16.11 pentru a calcula  $R_{30}$ , rezistența în circuit deschis de la bornele lui  $C_{\pi 2}$  în fig. 16.9, a. Deci să se verifice ecuația (16.40).

P.16.8. Să se selecteze tranzistoarele pentru circuitul din fig. 16.13, a pentru a obține o amplificare de 100 și o frecvență superioară, corespunzătoare nivelului 0,707, de 5MHz. Se presupune  $R_s = 100 \Omega$  (v. pag. 78).

**P.16.9.** Utilizând rezultatele problemei P.16.8, să se calculeze rețeaua de polarizare pentru circuitul din fig. 16.13, *a* pentru a obține frecvența inferioară, corespunzătoare nivelului 0,707, de 10 Hz.

**P.16.10.** Să se repete P.16.8 pentru circuitul din fig. 16.14, *a*.

**P.16.11.** Utilizând rezultatele din P.16.10, să se calculeze rețeaua de polarizare pentru circuitul din fig. 16.14, *a* pentru a obține frecvența inferioară, corespunzătoare nivelului 0,707, de 10 Hz.

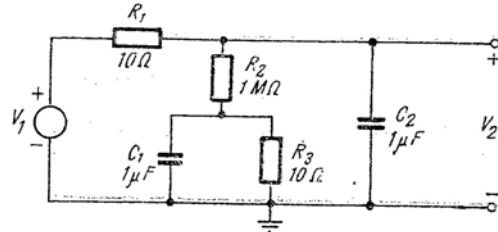


Fig. 16.17. Circuit simplu.

**P.16.12.** Din examinarea fig. 16.17 rezultă clar că condensatorul  $C_1$  are un efect minor asupra funcției de transfer  $V_2/V_1$ . Pe de altă parte, există o constantă de timp în circuitul deschis asociată lui  $C_1$  și din cap. 15, limita superioară a benzii acestui circuit trebuie să fie

$$\omega_h = \frac{1}{\sum_{j=0}}.$$

Care din aceste afirmații contradictorii este corectă? Să se explice.

**P.16.13.** Să se estimeze frecvența superioară de tăiere a amplificatorului integrat din fig. 16.15, *b* presupunând că tranzistoarele sînt similare cu 2N3564 descrise în cap. 12. Se presupune,  $I_C = 2$  mA,  $C_{CB} = 2$  V,  $r_x = 50$  Ohm. Fie  $R_2 = R_5 = R_L = 500$  Ohm,  $R_1 = R_4 = R_6 = 250$  Ohm,  $R_3 = 50$  Ohm. Se neglijează efectele lui  $R_3$ ,  $R_7$ ,  $R_{14}$ ,  $R_{15}$ .

**P.16.14.** Să se scrie ecuațiile pe noduri ale amplificatorului cu reacție arătat în fig. 19.19, *b*. Să se calculeze polii lui  $V_o/V_i$  presupunând tranzistoare identice cu  $\beta_o = 50$ ,  $r_{\pi} = 250$  Ohm,  $r_x = 25$  Ohm,  $C_{\pi} = 50$  pF,  $C_{\mu} = 5$  pF. Se presupune de asemenea,  $R_c = 0,1$  Ohm,  $R_s = 1000$  Ohm și  $R_L = 50$  Ohm. Se presupune că  $R_{L1}$ ,  $R_{L2}$  și  $R_{L3}$  sînt suficient de mari pentru a putea fi neglijate.

**P.16.15.** Să se găsească amplificarea de tensiune în mijlocul benzii și frecvențele naturale ale circuitului arătat în fig. 19.24, *a*. Să se utilizeze valorile elementelor date în § 19.3.2 presupunind că  $R_f$  este foarte mare.

**P.16.16.** Să se găsească rezistența în circuit deschis,  $R_T$ , la bornele lui  $C_i$  în fig. 20.5, *a*. Se presupune că  $\beta_o = 50$ ,  $r_{\pi} = 250$  Ohm,  $r_x = 25$  Ohm și  $R_{L1}$  și  $R_{L2}$  suficient de mari pentru a avea efect neglijabil asupra calculului. Se presupune, de asemenea,  $R_c = 0$ ,  $R_L = 50$  Ohm.

**P.16.17.** Pentru amplificatorul cu tranzistoare din siliciu arătat în fig. 16.18.

a) Să se calculeze curenții continui de colector ai tranzistoarelor. Este acceptabil și un răspuns în limitele a 20%, așa încît să se facă aproximații rezonabile. Se presupune  $\beta_F = 200$ .

b) Să se deseneze circuitele echivalente de semnal mic pentru frecvențele mijlocii și înalte.

c) Să se explice cu ajutorul ecuațiilor corespunzătoare cum se poate găsi cu precizie de 30% frecvența superioară  $\omega_h$ , la 0,707 din amplificarea de tensiune  $V_o/V_i$ . Ecuațiile trebuie să fie în funcție de parametrii circuitului echivalent în modelul (b), adică  $r_x$ ,  $r_{\pi}$  și așa mai departe.

d) O rezolvare cu ajutorul calculatorului pentru acest amplificator dă pentru polii de înaltă frecvență

$$s_1 = -0,0035 \text{ ns}^{-1}$$

$$s_2 = -0,018 \text{ ns}^{-1}$$

$$s_3 = -1,66 \text{ ns}^{-1}$$

$$s_4 = 6,85 \text{ ns}^{-1}.$$

Să se estimeze  $\omega_h$ .

e) Să se calculeze frecvența inferioară  $\omega_l$  la nivelul 0,707.

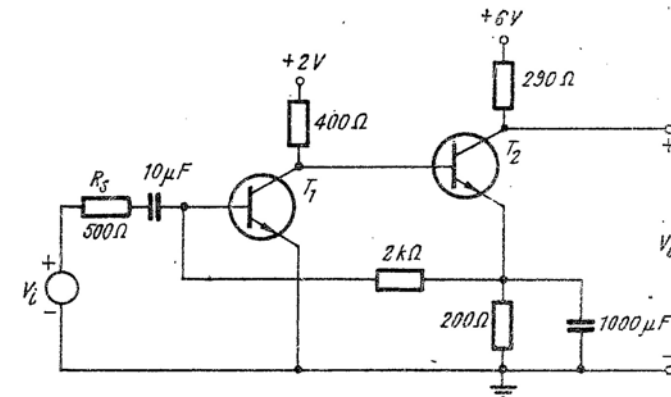


Fig. 16.18. Amplificator cu două etaje.

**P.16.18.** Pentru circuitul cu cuplaj prin emitor din fig. 16.15, să se arate că tensiunea continuă de repaus pe baza tranzistorului  $Q_4$  este egală cu tensiunea continuă de repaus la intrarea tranzistorului  $Q_1$ , deci că aceste trei tranzistoare pot fi puse în cascadă pentru a forma o singură unitate. Se presupune că  $R_1 = R_4$ ,  $R_2 = 2R_1$  și  $V_{C1}$  este dublul tensiunii stabilite pe bazele tranzistoarelor  $Q_1$  și  $Q_2$ .

**P.16.19.** Să se calculeze valoarea condensatorului  $C_b$  în amplificatorul cu cuplaj prin emitor din fig. 16.7, *a* necesar pentru a da amplificatorului frecvența inferioară la nivelul 0,707 de 100 Hz. Să se utilizeze valorile specificate în § 16.2.2 presupunind că  $R_c = 2$  kOhm,  $R_s = 500$  Ohm.

**P.16.20.** Să se calculeze un amplificator de bandă largă cu tranzistoare cu valoarea amplificării de tensiune la frecvențe medii de 3000 și cu o lărgime a benzii de 10 MHz. Mai concret, să se proiecteze un amplificator care să aibă frecvența superioară,  $f_h$ , la nivelul 0,707, cuprinsă între 10 MHz și 15 MHz. Se consideră rezistența sursei de 50 Ohm și tensiunea sursei de 200 mV valoare eficace. Să se verifice  $f_h$  cu ajutorul calculatorului. Componentele utilizate trebuie să fie la nivelul performanțelor actuale. În afară de aceasta, se presupune, din motive de economie, că tranzistoarele trebuie să aibă un  $f_T$  mai mic decît 1 GHz (cît mai mic posibil) și  $C_{\mu}$  cel puțin de 2 pF. Se presupune că  $r_x$  este aproape o zecime din  $r_{\pi}$ . Se acceptă scheme elementare de polarizare care asigură numai o stabilitate minimă a polarizării. Să nu se calculeze valorile con-

densatoarelor de cuplaj și de decuplare, Să se adune elementele importante ale proiectării după cum urmează

- 1) Tabelarea tuturor valorilor etaj cu etaj.
- 2) Suma constantelor de timp în circuit deschis.
- 3) Suma inverselor polilor.
- 4) Circuitul complet.
- 5) Determinantul la frecvență înaltă în formă numerică dat de calculator împreună cu polii și zerourile la frecvență înaltă.
- 6) Amplificarea la frecvențe medii.
- 7) Frecvența superioară corespunzătoare nivelului 0,707.
- 8) Explicarea în referatul asupra proiectării a fiecărei trepte și a soluției adoptate.

## CAPITOLUL 17

# AMPLIFICATOARE ACORDATE CU TRANZISTOARE

## CAPITOLUL 17

### AMPLIFICATOARE ACORDATE CU TRANZISTOARE

- 17.1. Analiza unui amplificator acordat cu un singur etaj
    - 17.1.1. Rezonanța unui circuit pasiv  $RLC$  paralel
    - 17.1.2. Amplificator cu tranzistor cu sarcină  $RLC$
    - 17.1.3. Instabilitate
    - 17.1.4. Aliniabilitate
  - 17.2. Exemplu de amplificator acordat cu un singur etaj cu emitor comun
    - 17.2.1. Amplificator acordat pe 455 kHz cu un singur etaj
    - 17.2.2. Amplificator de 455 kHz cu circuit acordat la intrare și ieșire
    - 17.2.3. Acordarea decalată
    - 17.2.4. Amplificator acordat pe 10,7 MHz
  - 17.3. Exemplu de pereche acordată cu cuplaj prin emitor
  - 17.4. Demonstrații experimentale la curs
- Bibliografie  
Probleme

## 17

### Amplificatoare acordate cu tranzistoare

#### 17.1. ANALIZA UNUI AMPLIFICATOR ACORDAT CU UN SINGUR ETAJ

În capitolele precedente am prezentat analiza și proiectarea amplificatoarelor de bandă largă cu tranzistoare. În acest capitol vom examina pe scurt un tip de amplificator cu totul diferit, care este destinat să amplifice numai o bandă îngustă de frecvențe în jurul unei *frecvențe centrale*  $\omega_0$ . Un astfel de *amplificator de bandă îngustă* poate fi utilizat pentru a amplifica selectiv un singur semnal, de exemplu un semnal de televiziune, pe frecvența  $\omega_0$ , rejectând celelalte semnale (sau zgomotul) de frecvențe depărtate de  $\omega_0$ .

##### 17.1.1. Rezonanța unui circuit pasiv $RLC$ paralel

Întrucât proiectarea majorității amplificatoarelor de bandă îngustă se bazează pe proprietățile circuitului acordat  $RLC$  paralel, să revedem pe scurt unele din aceste proprietăți. În fig. 17.1 este prezentat un circuit simplu, paralel, acordat, împreună cu sursa de curent care i se aplică. Examinând circuitul rezultă că tensiunea de ieșire este :

$$V = \frac{I_i}{G + sC + 1/sL} \quad (17.1)$$

În expresia impedanței  $V/I_i$ , la frecvențe joase predomină termenul inductiv, în timp ce la frecvențe înalte predomină termenul capacitiv. La o anumită frecvență intermediară  $s = j\omega_0$ , acești termeni se reduc, iar

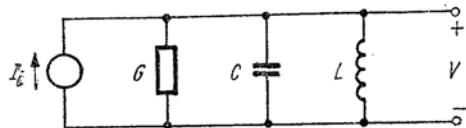


Fig. 17.1. Un circuit rezonant RLC paralel.

impedanța prezintă un maxim și este rezistivă. Astfel, *frecvența de rezonanță*  $\omega_0$  este frecvența la care partea imaginară a impedanței  $V/I_i$  se anulează :

$$\omega_0 C - \frac{1}{\omega_0 L} = 0; \quad (17.2)$$

$$\omega_0 = \frac{1}{\sqrt{LC}}. \quad (17.3)$$

Evident, la rezonanță :

$$V = \frac{I_i}{G} = I_i R. \quad (17.4)$$

O metodă comodă pentru calculul curbei de rezonanță constă în introducerea unei schimbări de variabilă în ecuația 17.1. Concret, facem schimbarea de variabilă :

$$s' = s - j\omega_0. \quad (17.5)$$

Astfel, studiem impedanța în funcție de *deviația* față de frecvența de rezonanță  $\omega_0$ . Cu această schimbare de variabilă, exprimînd — din motive de simplificare a calculului — admitanța din ecuația (17.1), obținem :

$$Y = \frac{I_i}{V} = G + j\omega_0 C + s' C + \frac{1}{j\omega_0 L + s' L}. \quad (17.6)$$

Dacă  $\omega'$  este mult mai mic decît  $\omega_0$ , putem aproxima ultimul termen din ecuația (17.6) cu primii doi termeni din dezvoltarea sa binomială. Rezultă :

$$Y \approx G + j\omega_0 C + s' C + \frac{1}{j\omega_0 L} + \frac{s'}{\omega_0^2 L}. \quad (17.7)$$

Înlocuind  $\omega_0 L$  cu valoarea dată de ecuația (17.2) și  $\omega_0^2$  cu valoarea dată de ecuația (17.3), obținem :

$$Y \approx G + 2s' C. \quad (17.8)$$

Astfel, ecuația (17.1) devine :

$$V = \frac{I_i}{G + 2s' C}. \quad (17.9)$$

Aceasta este exact expresia funcțională care caracterizează circuitul simplu RC paralel din fig. 17.2, a. În acest caz, vom deduce imediat forma generală a caracteristicii de frecvență  $V(j\omega)$  a circuitului RLC de care ne ocupăm (v. fig. 17.1). Mărimea tensiunii de ieșire va scădea la 0,707 din valoarea sa la frecvența medie atunci cînd :

$$\omega' = \frac{G}{2C}, \quad (17.10)$$

iar pentru  $\omega'$  mult mai mare decît această valoare, tensiunea va scădea la fel ca  $1/\omega'$  (v. fig. 17.2, c). Reamintim că  $\omega'$  este *deviația* de frecvență față de  $\omega_0$ ; deci, ambele valori ale lui  $\omega'$ , atît cea pozitivă cît și cea negativă sînt posibile. De aceea, există un alt punct la care tensiunea de ieșire scade la 0,707 din valoarea sa la frecvența centrală, și anume la frecvența :

$$\omega' = -\frac{G}{2C}. \quad (17.11)$$

Pentru frecvențe mult mai mici decît aceasta, tensiunea de ieșire scade din nou ca  $|1/\omega'|$ . Din fig. 17.2, c deducem că lărgimea de bandă, măsurată între punctele la care tensiunea de ieșire scade la 0,707 din valoarea sa la frecvența centrală, este :

$$\text{lărgimea de bandă} = \Delta\omega = \frac{G}{C}. \quad (17.12)$$

Reprezentările frecvențelor naturale în planul  $s$  pentru circuitul trece-jos din fig. 17.2, a și pentru circuitul trece-bandă din fig. 17.1 sînt date în fig. 17.2, d și, respectiv, fig. 17.2, e pentru a facilita compararea lor. Legă-

tura strinsă existentă între circuitele trece-jos și trece-bandă este deseori exprimată prin „transformarea de la trece-jos la trece-bandă” la care ne vom referi în cele ce urmează.

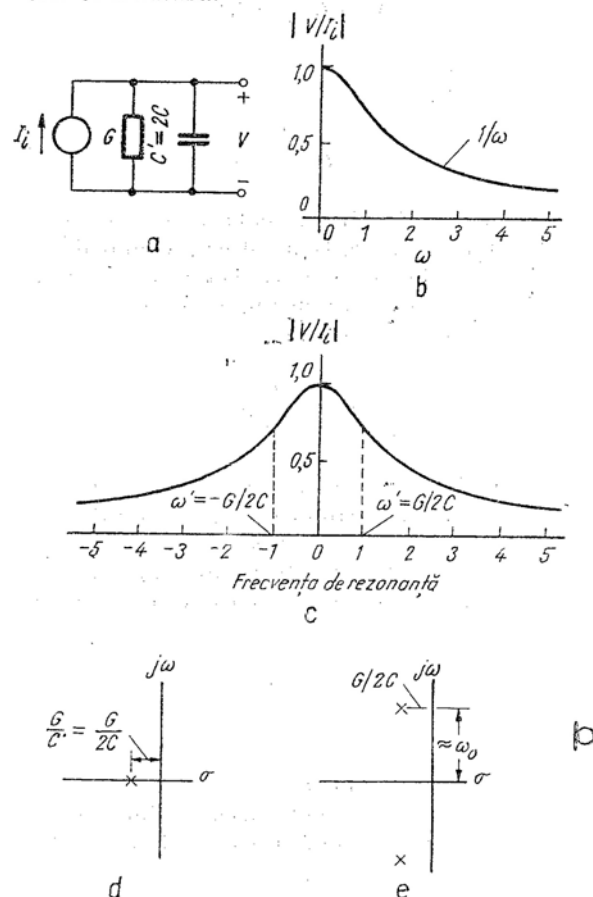


Fig. 17.2. Răspunsul unui circuit RLC paralel:

a - circuit RC; b - răspuns normalizat al circuitului RC; c - răspuns normalizat al circuitului RLC corespunzător; d - polul circuitului RC din a; e - polii circuitului RLC corespunzător.

Banda unui circuit RLC este deseori exprimată cu ajutorul unui parametru  $Q$ , definit astfel:

$$Q = \frac{\text{frecvența centrală}}{\text{lărgimea de bandă}} = \frac{\omega_0}{\Delta\omega}. \quad (17.13)$$

Deci, pentru acest circuit, din ecuațiile (17.3), (17.12) și (17.13) deducem:

$$Q = \frac{\omega_0 C}{G} = \frac{R}{\omega_0 L}. \quad (17.14)$$

### 17.1.2. Amplificator cu tranzistor cu sarcină RLC

Să presupunem că circuitul RLC paralel din fig. 17.1 este utilizat ca sarcină într-un amplificator cu un singur etaj cu tranzistor, ca în fig. 17.3, a. Rezultă clar, din circuitul echivalent de semnal mic, că, dacă frecvența de

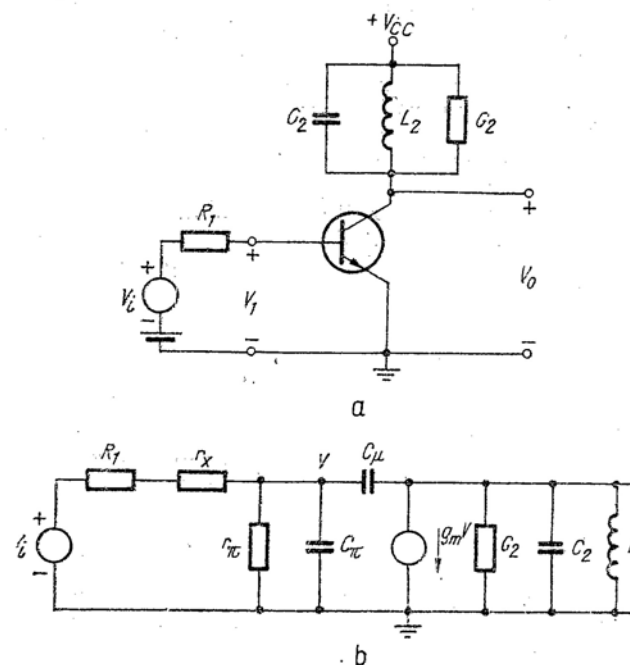


Fig. 17.3. Amplificator cu tranzistor cu un singur circuit acordat.

rezonanță a circuitului acordat este suficient de joasă, astfel încât  $C_\pi$  și  $C_\mu$  să transporte un curent neglijabil la rezonanță, atunci caracteristica de transfer a amplificatorului  $V_o/V_i$  va avea forma generală din fig. 17.2, c (v. problema P.17.1). În acest caz, circuitul din fig. 17.3, a va funcționa la frecvențe joase ca un amplificator de bandă îngustă.

Totuși, unele amplificatoare acordate lucrează la frecvențe relativ mari (10–100 MHz în receptoarele de televiziune, de exemplu) în care caz nu-i mai putem neglija pe  $C_\pi$  și  $C_\mu$  în analiza pe care o facem. Aceste capacități dau naștere la două probleme importante în proiectarea amplificatoarelor de bandă îngustă. În primul rând, frecvența de rezonanță depinde acum nu numai de componentele pasive  $L_2$  și  $C_2$ , ci este o funcție și de parametrii tranzistorului (intrucâtva fără siguranță în funcționare). Concret, la frecvențe mai mici decât  $\omega_\beta$ , capacitatea totală care apare în paralel cu  $L$  este:

$$C_{total} = C_2 + C_\mu \left[ 1 + \frac{g_m}{g_\pi + 1/(R_1 + r_x)} \right] \quad (17.15)$$

(v. problema P.17.2). Influența parametrilor tranzistorului asupra lui  $\omega_o$  poate fi micșorată dacă se poate alege capacitatea  $C_2$  cu două sau trei ordine de mărime mai mare decât  $C_\mu$ .

Celălalt efect al capacităților  $C_\pi$  și  $C_\mu$  asupra comportării circuitului este mult mai important și constă în următoarele: cînd un al doilea circuit acordat este adăugat la intrarea tranzistorului, prin  $C_\mu$  se realizează un cuplaj bilateral între circuitele acordate de la intrare și ieșire. Datorită acestui cuplaj, alinierea amplificatorului, adică ajustarea celor două circuite acordate astfel încît să rezulte o curbă de rezonanță simetrică și netedă, centrată pe  $\omega_o$  poate fi dificilă. În unele cazuri, circuitul va deveni instabil și va oscila: se va obține un semnal de ieșire aproximativ sinusoidal, chiar dacă semnalul de intrare este zero.

### 17.1.3. Instabilitate

Studiul instabilității amplificatoarelor acordate cu emitorul comun poate fi făcut direct în funcție de parametrii circuitului din fig. 17.3, b. Cu toate acestea, datorită faptului că uneori este necesar să se compare stabilitatea și aliniabilitatea unor configurații diferite de amplificatoare, vom

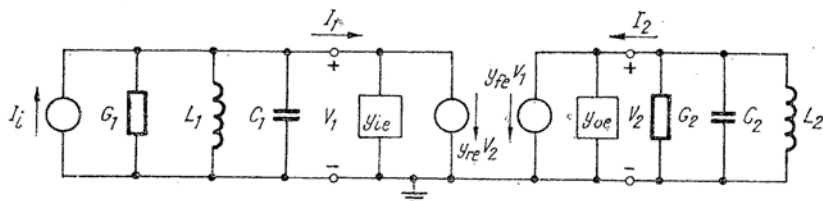


Fig. 17.4. Modelul de semnal mic, cu parametri  $y$ , al unui amplificator cu circuit acordat la intrare și ieșire.

începe cu o analiză generală în funcție de parametrii  $y$ , iar mai târziu vom stabili legătura între parametrii  $y$  și parametrii hibridi ai circuitului în cauză. În acest scop, în fig. 17.4 este prezentată o rețea activă sub forma

unui cuadripol caracterizat de parametrii  $y$ , avînd cîte un circuit acordat la intrare și ieșire. Problemele de aliniabilitate și instabilitate într-o astfel de rețea apar datorită cuplării celor două circuite acordate prin intermediul celor două generatoare,  $y_{re}$  în sens direct, și  $y_{re}$  în sens invers. Consecințele acestui cuplaj pot fi studiate în mai multe moduri. O metodă directă constă în examinarea admitanței de intrare  $I_1/V_1$  a cuadripolului și sarcinii acordate, și în analiza influenței pe care o exercită această admitanță asupra circuitului acordat de la intrare.

Pentru a simplifica calculele, notăm cu  $Y_1$  și  $Y_2$  admitanțele proprii ale circuitelor acordate de la intrare, respectiv ieșire. Astfel,

$$Y_1 = G_1 + sC_1 + \frac{1}{sL_1}; \quad (17.16)$$

$$Y_2 = G_2 + sC_2 + \frac{1}{sL_2}. \quad (17.17)$$

Frecvențele proprii de rezonanță ale celor două circuite sînt  $\omega_{o1}$  și  $\omega_{o2}$ . Admitanța de intrare a cuadripolului avînd ca sarcină circuitul acordat se poate deduce scriind ecuațiile la noduri pentru această porțiune de circuit:

$$I_1 = y_{ie}V_1 + y_{re}V_2; \quad (17.18)$$

$$0 = y_{re}V_1 + (y_{oe} + Y_2)V_2. \quad (17.19)$$

Aplicînd regula lui Cramer, rezultă:

$$\frac{V_1}{I_1} = \frac{y_{oe} + Y_2}{y_{ie}(y_{oe} + Y_2) - y_{ie}y_{re}}. \quad (17.20)$$

Astfel, admitanța de intrare a acestei porțiuni de circuit este:

$$y_{in} = \frac{I_1}{V_1} = y_{ie} - \frac{y_{ie}y_{re}}{y_{oe} + Y_2}. \quad (17.21)$$

(v. problema P.17.3). Datorită faptului că  $Y_2$  variază foarte puternic în vecinătatea frecvenței de rezonanță  $\omega_{o2}$  (v. fig. 17.2, c), este posibil ca partea reală  $G_{in}$  a admitanței de intrare să fie negativă pentru anumite valori ale lui  $\omega$ . Dacă conductanța rețelei  $G_{in} + G_1$ , la bornele circuitului acordat de la intrare, este nulă la frecvența de rezonanță  $\omega_{o1}$  a circuitului LC de la intrare, sistemul va oscila. Din punct de vedere al reprezentării

în planul  $s$ , circuitul are în aceste condiții o pereche de frecvențe naturale conjugate pe axa  $j$ , și anume la  $\pm j\omega_{01}$ , deci este instabil. Pentru cazul când  $G_{in} + G_1$  este negativ, la anumite valori ale lui  $\omega$ , funcția de transfer a circuitului are poli în semiplanul drept, iar în răspuns precumpănesc semnale exponențiale crescătoare.

Pentru a ilustra noțiunea de conductanță de intrare nulă sau negativă, vom examina admitanța de intrare a amplificatorului acordat din fig. 17.3. Vom exprima mai întâi  $y_{ie}$  și  $y_{re}$  în funcție de parametrii hibridi, con-

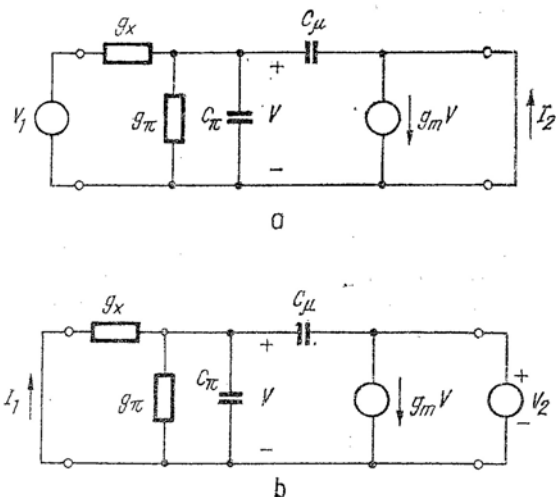


Fig. 17.5. Circuitele pentru calculul parametrilor  $y$ :  
a - calculul lui  $y_{ie}$ ; b - calculul lui  $y_{re}$ .

siderînd amplificatorul izolat (v. problema P.17.4). Parametrul direct  $y_{ie}$  poate fi calculat utilizînd circuitul din fig. 17.5, a. Se observă că tensiunea  $V$  este :

$$V = V_1 \frac{g_x}{g_x + g_\pi + s(C_\pi + C_\mu)}. \quad (17.22)$$

Deci  $y_{ie}$  este :

$$y_{ie} = \frac{I_2}{V_1} = \frac{g_x}{g_x + g_\pi + s(C_\pi + C_\mu)} [g_m - sC_\mu]. \quad (17.23)$$

Un calcul similar utilizînd fig. 17.5, b conduce la expresia lui  $y_{re}$  (v. problema P.17.5) :

$$y_{re} = \frac{-g_x}{g_x + g_\pi + s(C_\pi + C_\mu)} [sC_\mu]. \quad (17.24)$$

Ambele expresii (de fapt, toți cei patru parametri  $y$ ) au un pol la frecvența de tăiere :

$$\omega_b = \frac{g_x + g_\pi}{C_\pi + C_\mu}. \quad (17.25)$$

Dacă facem ipoteza simplificatoare că amplificatorul acordat lucrează la frecvențe mult inferioare lui  $\omega_b$ , ecuațiile (17.23) și (17.24) devin :

$$y_{ie} \approx \frac{g_x}{g_x + g_\pi} (g_m) \approx g_m; \quad (17.26)$$

$$y_{re} \approx \frac{-g_x}{g_x + g_\pi} (sC_\mu) \approx -sC_\mu. \quad (17.27)$$

Înlocuind aceste valori în ecuația 17.21, obținem :

$$Y_{in} = y_{ie} + \frac{j\omega C_\mu g_m}{y_{oe} + Y_2}. \quad (17.28)$$

La frecvențe inferioare frecvenței de rezonanță a circuitului de la ieșire,  $y_{oe} + Y_2$  va fi inductiv, adică  $y_{oe} + Y_2$  va fi de forma  $g - jb$  (v. ecuațiile 17.8 și 17.5). În acest caz, *partea reală* a celui de-al doilea termen din ecuația 17.28 va fi *negativă*. Prin urmare  $Y_{in}$  poate avea o parte reală negativă, iar conductanța rețelei  $G_{in} + G_1$  poate fi nulă.

#### 17.1.4. Aliniabilitate

Deși este posibil să se stabilească mai în detaliu condițiile de instabilitate în amplificatoarele acordate<sup>1)</sup>, în multe cazuri practice problema *aliniabilității* impune mai multe restricții în proiectarea circuitului decît problema instabilității. Esența noțiunii de aliniabilitate reiese clar din ecuația (17.21)

<sup>1)</sup> Vezi lucrarea [17.3].



și fig. 17.4. Admitanța  $Y_{in}$  apare în paralel cu circuitul acordat de la intrare și, în același timp, poate fi o funcție puternic dependentă de parametrii circuitului acordat de la ieșire (prin  $Y_2$ ). Rezultă deci că, dacă circuitul de la ieșire este acordat prin variația lui  $L_2$  sau  $C_2$ , atunci circuitul de la intrare va fi dezacordat prin variația lui  $Y_{in}$ . Evident, când se acordează circuitul de la intrare, apare un dezacord corespunzător la circuitul de la ieșire. Această interacțiune între acordul de la intrare și ieșire face dificilă alinierea și conduce la caracteristici de răspuns asimetrice, ceea ce constituie un dezavantaj în cazul în care circuitul trebuie să amplifice fără distorsiuni semnalele modulate.

Se observă că, dacă punem condiția ca termenul al doilea din ecuația (17.21) să fie mult mai mic decât admitanța circuitului de intrare, dificultățile de aliniere se reduc în mod substanțial: deci, vom proiecta circuitul astfel ca :

$$\left| \frac{y_{fe}y_{re}}{y_{oe} + Y_2} \right| \ll |y_{ie} + Y_1| \quad (17.29a)$$

sau

$$|y_{fe}y_{re}| \ll (y_{ie} + Y_1)(y_{oe} + Y_2). \quad (17.29b)$$

Această condiție se simplifică întrucâtva dacă luăm în considerație *cazul cel mai defavorabil* al inegalității, adică acele valori pentru  $Y_1$  și  $Y_2$  care fac membrul drept al inegalității (17.29b) *minim*. Evident, membrul drept se minimizează dacă presupunem că circuitele acordate sînt la rezonanță, astfel ca  $Y_1 = G_1$  și  $Y_2 = G_2$ . Mai mult chiar, presupunem că  $y_{ie}$  și  $y_{oe}$  sînt neglijabili în comparație cu  $G_1$ , respectiv  $G_2$ . Cu aceste considerente, rezultă că pentru realizarea unei alinieri convenabile și unei curbe de rezonanță simetrice, este necesar ca la frecvența de rezonanță :

$$|y_{fe}y_{re}| \ll G_1G_2. \quad (17.30)$$

Evident, această condiție asigură în același timp stabilitatea circuitului, asigurînd ca conductanța  $G_{in} + G_1$ , care apare în paralel cu  $L_1$  și  $G_1$ , să fie întotdeauna pozitivă (v. ecuația 17.21.) Din punct de vedere ingineresc, reducerea valorii lui  $|y_{fe}y_{re}|$  la circa 10 sau 20 % din valoarea lui  $G_1G_2$  va asigura stabilitatea și, totodată, în majoritatea cazurilor, o aliniere convenabilă.

## 17.2. EXEMPLU DE AMPLIFICATOR ACORDAT CU UN SINGUR ETAJ CU EMITOR COMUN

### 17.2.1. Amplificator acordat pe 455 kHz cu un singur etaj

Să presupunem că avem de proiectat un amplificator acordat pentru amplificatorul de frecvență intermediară dintr-un radioreceptor cu modulație în amplitudine. Un asemenea amplificator trebuie să aibă o frecvență centrală de 455 kHz și o bandă de 10 kHz. Vom utiliza ca circuit de bază amplificatorul acordat cu un singur etaj din fig. 17.3. Vom alege tranzistorul 2N3564 cu punctul de funcționare  $I_C = 4$  mA,  $V_{CE} = 5$  V. Din paragraful 12.3.6 rezultă :

$$g_m = 0,2 \text{ S};$$

$$r_{\pi} = 400 \Omega;$$

$$r_x = 30 \Omega;$$

$$C_{\pi} = 50 \text{ pF};$$

$$C_{\mu} = 2,5 \text{ pF}.$$

De asemenea :

$$f_{\beta} = \frac{f_T}{\beta_o} = \frac{600}{80} = 7,5 \text{ MHz}.$$

În acest caz, frecvența de rezonanță impusă de 0,455 MHz este mult mai mică decât  $f_{\beta}$ , și deci  $C_{\pi}$  poate fi neglijat.

La rezonanță, acest amplificator are o sarcină pur rezistivă  $G_2$ , și deci la  $\omega_o$  are o amplificare în tensiune :

$$\frac{V_o}{V_i} = - \frac{r_{\pi}}{R_1 + r_x + r_{\pi}} \left( \frac{g_m}{G_2} \right). \quad (17.31)$$

Dacă se alege rezistența sursei  $R_1 = 250 \Omega$ , atunci o rezistență de sarcină de 500  $\Omega$  va da o amplificare în tensiune de :

$$\frac{V_o}{V_i} = - \left( \frac{400}{250 + 30 + 400} \right) (0,2 \cdot 500) = - 59.$$

Dacă conductanța de sarcină este cunoscută, putem calcula pe  $L_2$  și  $C_2$ . Din ecuația (17.12) obținem :

$$C_2 = \frac{G_2}{\text{lărgimea de bandă}} = \frac{2}{10 \cdot 2\pi \cdot 10^{-6}} = 3,18 \cdot 10^4 \text{ pF}.$$

Deoarece  $C_{\mu}$  este cu câteva ordine de mărime mai mic decât  $C_2$ , capacitatea de ieșire a tranzistorului nu va influența acordul în aceste condiții de proiectare. Valoarea lui  $L_2$ , necesară pentru a aduce circuitul la rezonanță la 455 kHz, rezultă din ecuația (17.3):

$$L_2 = \frac{1}{\omega_0^2 C} = \frac{1}{(2\pi \cdot 0,455 \cdot 10^{-3})^2 (3,18 \cdot 10^{-4})} = 3,96 \mu\text{H}.$$

Valoarea inductanței  $L_2$  obținută mai sus este oarecum mică, în sensul că este dificil să se găsească bobine de această valoare și cu un  $Q$  mare la frecvența de 455 kHz. Pentru a obține o proiectare cu valori mai convenabile ale elementelor, se poate introduce un mic transformator între  $G_2$  și circuitul de ieșire LC pentru adaptarea de impedanțe. O altă cale constă în folosirea

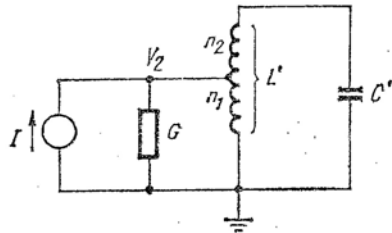


Fig. 17.6 Bobină cu prize pentru transformarea de impedanțe.

proprietății de transformare de impedanțe a bobinei cu prize (autotransformator), așa cum se vede în fig. 17.6. Dacă coeficientul de cuplaj între cele două secțiuni ale bobinei este apropiat de unitate, circuitul rezonant din fig. 17.6 va fi identic (din punct de vedere al curentului  $I$  și tensiunii  $V_2$ ) cu cel din fig. 17.1, ținând cont că:

$$\frac{L'}{L} = \left( \frac{n_1 + n_2}{n_1} \right)^2 \quad (17.32)$$

și

$$\frac{C'}{C} = \left( \frac{n_1}{n_1 + n_2} \right)^2 \quad (17.33)$$

(v. problema P.17.6). În acest exemplu, un raport de 9/1 pentru  $n_2/n_1$  conduce la o creștere a inductanței  $L$  pînă aproape de 0,4 mH și o scădere a capacității  $C$  pînă aproape de 320 pF, ambele fiind valori cu mult mai acceptabile decât cele calculate anterior. Deoarece în acest exemplu nu există decît un singur circuit acordat, nu intră în discuție problemele de aliniabilitate și stabilitate. Vom considera aceste probleme, încercînd în cele ce urmează să extindem proiectarea de mai sus pentru a obține un amplificator de 455 kHz cu circuit acordat atît la intrare cît și la ieșire, așa cum se arată în fig. 17.7.

### 17.2.2. Amplificator de 445 kHz cu circuit acordat la intrare și ieșire

Pentru a aplica criteriul general de aliniere (ecuația 17.30) la amplificatorul cu un singur etaj din fig. 17.7, trebuie mai întîi calculați parametrii  $y_{fe}$  și  $y_{re}$  pentru frecvențe apropiate de  $\omega_0$ . În exemplul de față, acest calcul se va efectua folosind parametrii hibridi ai schemei echi-

valente în  $\pi$ , deoarece aceasta este forma sub care se prezintă în mod curent datele asupra tranzistoarelor. Dacă însă sînt dați parametrii  $y$  ai tranzistorului (v. fig. 12.6), putem omite această fază și trece direct la proiectare (v. problema P.17.7).

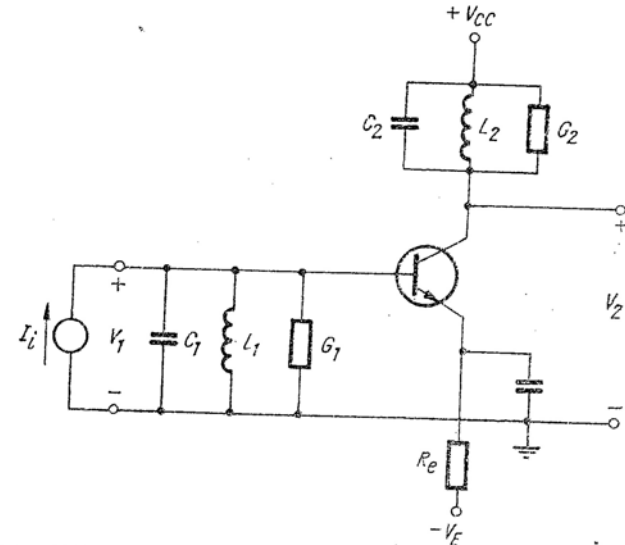


Fig. 17.7. Amplificator cu un singur etaj cu circuit acordat la intrare și ieșire.

Frecvența de tăiere a acestui tranzistor este:

$$\omega_b = \frac{g_m + y_{re}}{C_{\pi} + C_{\mu}} = \frac{33 + 2,5}{50 + 2,5} = 0,67 \text{ Grad/s} = 108 \text{ MHz}.$$

Deoarece lucrăm la frecvențe mult inferioare lui  $\omega_b$ , expresiile aproximative date de ecuațiile 17.26 și 17.27 pentru  $y_{fe}$  și  $y_{re}$  sînt aplicabile în acest exemplu:

$$y_{fe} \approx g_m;$$

$$y_{re} \approx -sC_{\mu}.$$

Din ecuația (17.30) rezultă că, pentru a obține o aliniere comodă a amplificatorului cu un singur etaj lucrînd la frecvențe inferioare lui  $\omega_b$ , trebuie să alegem  $G_1$  și  $G_2$  astfel ca:

$$g_m \omega_0 C_{\mu} \ll G_1 G_2. \quad (17.34)$$

Pentru acest amplificator rezultă

$$g_m \omega_0 C_\mu = 200 \cdot 2\pi \cdot 0,455 \cdot 10^{-3} \cdot 2,5 = 1,43 \text{ mS}^2.$$

Dacă alegem  $G_1 = 4 \text{ mS}$  și  $G_2 = 2 \text{ mS}$  ca în § 17.2.1,

$$G_1 G_2 = 4 \cdot 2 = 8 \text{ mS}^2.$$

În acest caz, condiția dată de ecuația (17.34) este satisfăcută, cu toate că nu printr-un factor atât de mare cum ar fi fost de așteptat, ținând cont că tranzistorul lucrează la o frecvență cu cel puțin un ordin de mărime mai mic decât  $f_\beta$ .

De menționat că dacă condiția de aliniere nu ar fi fost satisfăcută, ar fi fost necesară mărirea valorii lui  $G_2$ , deci reducerea amplificării în tensiune (v. ec. 17.31). Se poate spune că în amplificatoarele acordate există un compromis de proiectare între aliniere și amplificarea de tensiune.

Deoarece există două circuite rezonante, banda fiecăruia trebuie să fie mai mare decât 10 kHz, pentru a se obține o bandă globală de 10 kHz. Fenomenul de îngustare a benzii ca urmare a poliilor multipli a fost studiat în cap. 15. Pentru  $n$  etaje acordate sincron, montate în cascadă, se poate arăta că:

$$\text{banda globală} \approx \frac{\text{banda unui etaj}}{1,2\sqrt{n}} \quad (17.35)$$

Aceeași relație pentru îngustarea benzii se aplică și în cazul conectării în cascadă a unor etaje RC trece jos neinteractive. De fapt, ecuația (17.35) poate fi dedusă în modul cel mai simplu, considerând cazul filtrului trece jos. Vezi problema P 17.8). Atunci cind  $n = 2$ , fiecare circuit rezonant poate fi proiectat cu o bandă

$$\Delta\omega = 10 \cdot 1,2\sqrt{2} = 17 \text{ kHz}.$$

pentru a realiza banda globală dorită de 10 kHz.

Cunoscând valorile lui  $G_1$ ,  $G_2$ ,  $\omega_0$  și  $\Delta\omega$ , putem determina valorile lui  $C_1$ ,  $C_2$ ,  $L_1$  și  $L_2$  așa cum s-a arătat în § 17.21 (v. problema P.17.9).

### 17.2.3. Acordarea decalată

Pentru multe amplificatoare acordate, este de dorit să se obțină o caracteristică de frecvență mai plată în jurul frecvenței centrale și cu pante mai abrupte decât în cazul circuitelor acordate

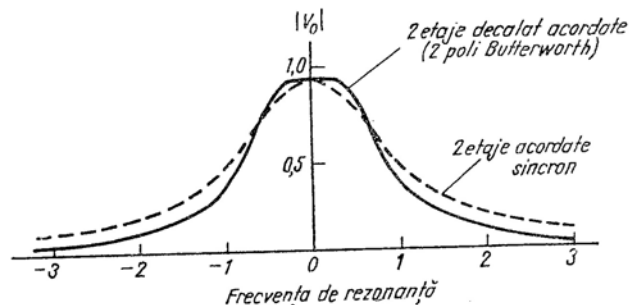


Fig. 17.8. Răspunsul normalizat în amplitudine și bandă a două circuite acordate neinteractive montate în cascadă.

sincron. O astfel de curbă poate fi obținută prin acordarea decalată<sup>1)</sup>, adică prin acordarea circuitelor de intrare și ieșire pe frecvențe ușor diferite. Caracteristica cea mai plată posibilă (numită *maximal plată*) se obține utilizând circuitul trece-bandă echivalent cu filtrul trece-jos Butterworth echivalent, menționat în cap. 15. În fig. 17.8 este prezentată variația răspunsului cu frecvența în cazul a două etaje în cascadă acordate sincron, și a două etaje decalate acordate, de unde rezultă în mod evident avantajele obținute prin acordarea decalată.

Reamintim din cap. 15 că configurația de poli pentru filtrul trece-jos Butterworth este:

$$s_1 = -\alpha + j\alpha;$$

$$s_2 = -\alpha - j\alpha.$$

Aceasta înseamnă că poli se găsesc pe un semicerc, așa cum se arată în fig. 17.9, a. Configurația polilor filtrului trece-bandă Butterworth este prezentată în fig. 17.9, b. (Configurațiile polilor din fig. 17.9, a și din fig. 17.9, b sunt legate prin transformarea de la trece-jos la trece-bandă menționată în § 17.1.1. Vezi lucrarea [17.1], p. 276). Banda  $\Delta\omega'$  a acestui filtru trece-bandă este egală cu diametrul cercului polilor.

Pentru a realiza configurația de poli din fig. 17.9, b cu amplificatorul cu două circuite acordate din fig. 17.7, este necesar să se acorde cele două circuite rezonante la frecvențe ușor diferite. Din fig. 17.9, b rezultă:

$$\omega_{o1} = \omega_0 + 0,35 \Delta\omega'; \quad (17.36)$$

$$\omega_{o2} = \omega_0 - 0,35 \Delta\omega'. \quad (17.37)$$

Pentru a obține lărgimea de bandă cerută, se compară configurația de poli din fig. 17.9, b cu cea din fig. 17.2 și se deduce că:

$$\frac{G_1}{2C_1} = 0,707 \frac{\Delta\omega'}{2}$$

deci

$$\Delta\omega_1 = \frac{G_1}{C_1} = 0,707 \Delta\omega'. \quad (17.38)$$

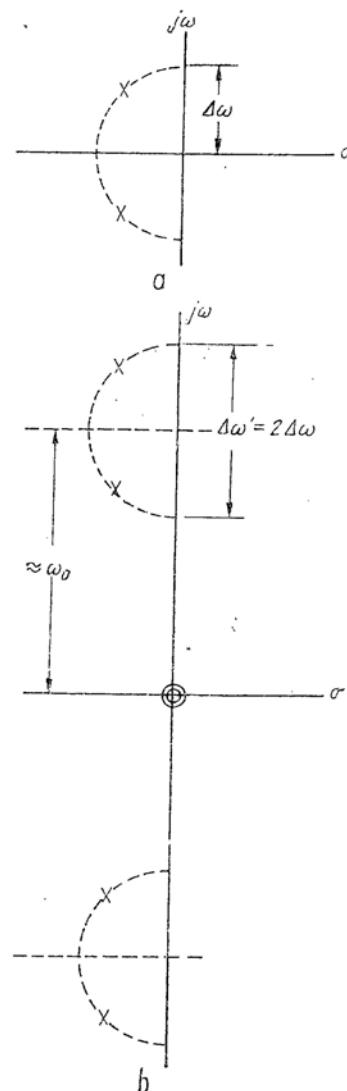


Fig. 17.9. Poli și zerourile filtrelor Butterworth de ordinul doi:  
a - filtru trece-jos Butterworth; b - filtru trece-bandă Butterworth.

<sup>1)</sup> v. lucrarea [17.1], p. 176

O expresie similară se aplică pentru calculul lărgimii de bandă  $\Delta\omega_2$  a celui de-al doilea circuit acordat. În problema P.17.10 se dau și alte detalii de calcul.

Deoarece răspunsul la semnalul treaptă se păstrează la transformarea de la trece-jos la trece-bandă, rezultă că dacă o undă sinusoidală de frecvență  $\omega_0$  se aplică brusc unui amplificator

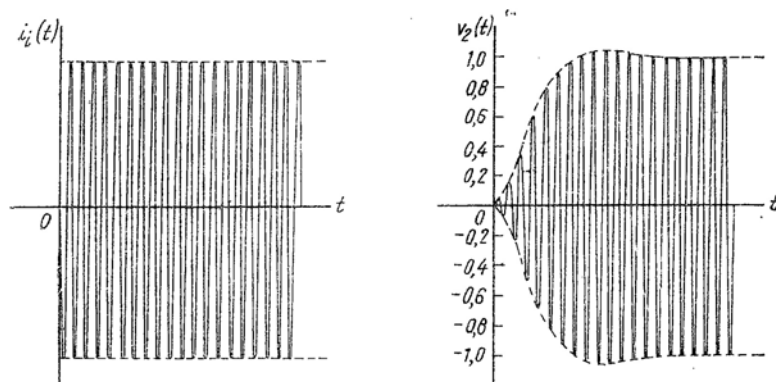


Fig. 17.10. Răspunsul normalizat al unui amplificator decalat acordat la un semnal sinusoidal aplicat brusc.

cu circuite decalat acordate, anvelopa răspunsului va avea o mică supracreștere, așa cum se arată în fig. 17.10. Dacă astfel de supracreștere nu poate fi tolerată, amplificatorul trebuie să aibă circuitele acordate sincron.

### 17.2.4. Amplificator acordat pe 10,7 MHz

Presupunem că folosim tranzistorul ales în § 17.2.1 într-un amplificator MF de frecvență intermediară. Considerăm că circuitul trebuie să funcționeze cu o frecvență centrală de 10,7 MHz și o lărgime de bandă de 0,2 MHz.

Mai întâi trebuie determinate valorile lui  $G_1$  și  $G_2$  pentru a se asigura alinierea la aceste frecvențe. Pentru acest tranzistor

$$\omega_0 = \frac{g_{\pi} + g_{\pi}}{C_{\pi} + C_{\mu}} = \frac{33,3 + 2,5}{50 + 2,5} = 0,68 \text{ Grad/s.}$$

Deoarece  $\omega_0 = 2\pi \cdot 0,0107 = 0,067 \text{ Grad/s}$ , rezultă că circuitul lucrează la frecvențe mult inferioare lui  $\omega_0$ ; astfel, ecuația (17.34) rămâne valabilă pentru acest calcul. Deci :

$$|y_{fe} y_{re}| \approx g_m \omega_0 C_{\mu} = 200 \cdot 0,067 \cdot 2,5 = 33,5 \text{ mS}^2.$$

Prin urmare, pentru aliniabilitate trebuie îndeplinită condiția :

$$G_1 C_2 > 33,5 \text{ mS}^2.$$

Alegând  $G_1 = G_2 = 20 \text{ mS}$  vom obține un amplificator stabil cu o aliniere acceptabilă. La rezonanță, amplificarea în tensiune va fi :

$$\frac{V_2}{V_1} = \frac{-y_{fe}}{G_2} \approx \frac{-200}{20} = -10.$$

Dacă încercăm să creștem amplificarea la rezonanță, amplificatorul va deveni din ce în ce mai dificil de aliniat și va avea un răspuns asimetric.

Calculul capacităților și inductanțelor este similar celui din § 17.2.1 și 17.2.3, astfel că nu a fost reluat (v. problema P. 17.11).

### 17.3. EXEMPLU DE PERECHE ACORDATĂ CU CUPLAJ PRIN EMITOR

Din exemplele de amplificatoare prezentate în § 17.2 (în special, amplificatorul de 10,7 MHz) rezultă că criteriul de aliniere (ec. 17.34) poate impune o limită severă amplificării amplificatorului acordat cu două circuite rezonante de tipul celui prezentat în fig. 17.7. Dacă, de exemplu, frecvența centrală a acestui amplificator va crește de la 10,7 MHz la 100 MHz, amplificarea

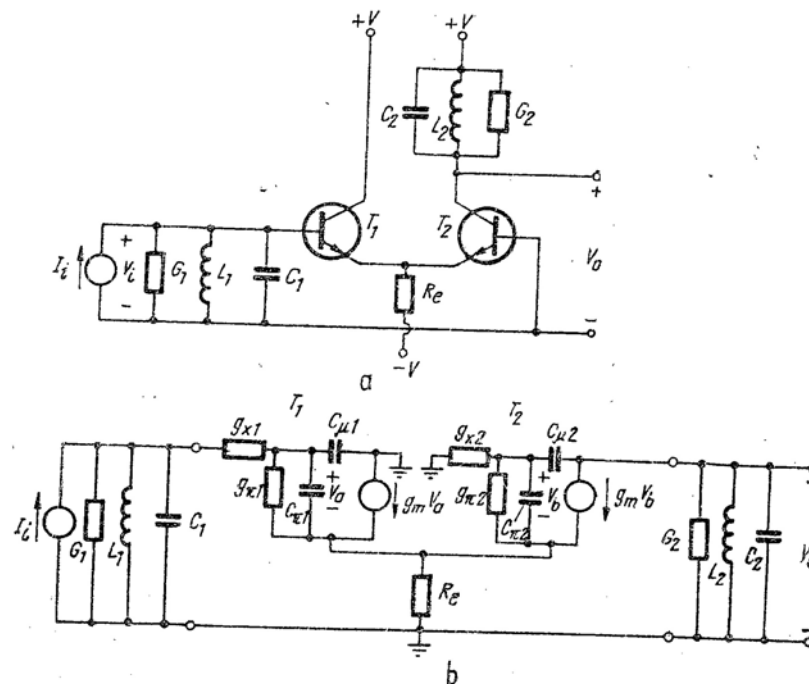
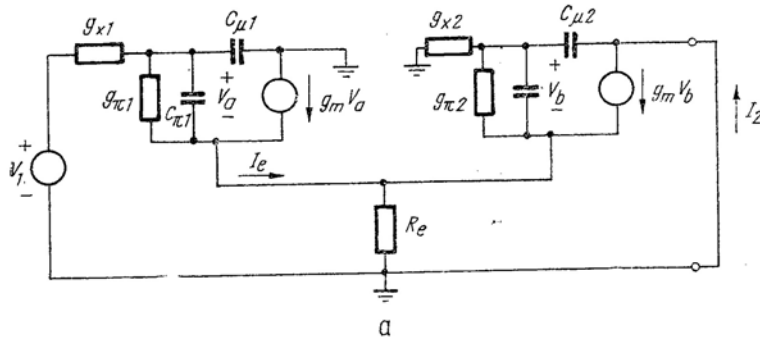


Fig. 17.11. Amplificator acordat realizat cu o pereche cu cuplaj prin emitor.

etajului se va reduce inadmisibil pentru același raport între  $G_1 G_2$  și  $y_{fe} y_{re}$ . Astfel, apare necesitatea proiectării unor amplificatoare acordate de înaltă frecvență, care să folosească două tranzistoare încapsulate în aceeași capsulă ca parte activă a circuitului, pentru a reduce produsul  $|y_{fe} y_{re}|$ . Un asemenea circuit este perechea cu cuplaj prin emitor, studiată în cap. 16. Reamintim (v. § 16.2) că efectul capacității  $C_{\mu}$  este redus în mare măsură în acest circuit, deoarece colectorul primului tranzistor este pus la masă în curent alternativ. Un amplificator acordat cu o pereche de tranzistoare cu cuplaj prin emitor este prezentat în fig. 17.11, a. Pentru a ilustra cantitativ de tranziție care apare în aliniabilitatea acestui circuit față de cel cu un singur etaj, trebuie ameliorarea care apare în aliniabilitatea acestui circuit față de cel cu un singur etaj, trebuie calculați  $y_{fe}$  și  $y_{re}$  pentru secțiunea de amplificator din fig. 17.11, b. Expresiile exacte pentru acești parametri se pot determina rezolvând ecuațiile la noduri ale acestui circuit (16.45). Totuși, rețeaua este suficient de complicată, astfel încât acest exercițiu este mai degrabă plictisitor și fără satisfacții. De aceea, vom face un calcul aproximativ, valabil însă la frecvențe mai mici decât  $\omega_b$ . (Ca și mai înainte, dacă se cunosc  $y_{fe}$  și  $y_{re}$  pentru perechea de tranzistoare, secțiunea ce urmează va fi omisă în proiectare.)

Fig. 17.12. Calculul lui  $y_{fe}$ .

Pentru a calcula  $y_{fe}$ , scurtcircuităm perechea de tranzistoare, apoi calculăm raportul  $I_2/V_1$  așa cum rezultă din fig. 17.12, a. Se observă că ambele capacități  $C_{\mu 1}$  și  $C_{\mu 2}$  sînt puse la masă în acest circuit, deci nu joacă un rol important în acest calcul și se pot neglija. Reamintim din § 16.2 că  $R_e$  este aproape totdeauna neglijabil față de impedanțele asociate tranzistorului. Cu aceste două ipoteze, putem transforma  $g_{x2}$ ,  $g_{\pi 2}$  și  $C_{\pi 2}$  în terminalul emitorului, multiplicându-le cu  $\beta + 1$ , și apoi să le transformăm din nou, împărțindu-le cu  $\beta + 1$ , astfel încît să apară

în serie cu  $C_{\pi 1}$  și  $g_{\pi 1}$ . (V. problema P 17.18). Rezultatul acestei transformări este prezentat în fig. 17.12, b. Cînd  $r_x$  este mult mai mic decît  $z_{\pi}$ , (de exemplu, pentru  $\omega$  mai mic decît  $\omega_b$ ; v. ec. 17.25) și cînd tranzistoarele sînt identice, avem :

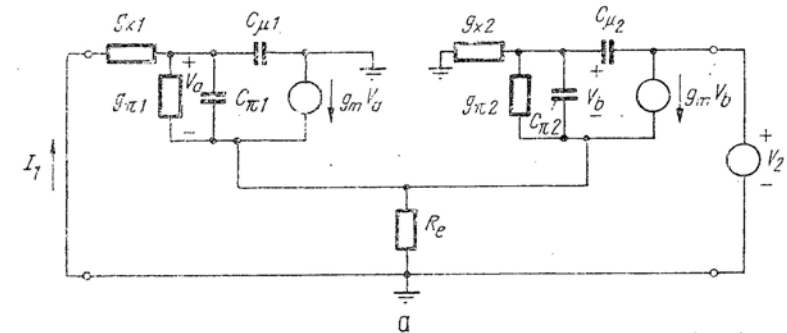
$$V_a \approx \frac{V_1}{2}. \quad (17.39)$$

Curentul de ieșire poate fi acum ușor de obținut, examinînd circuitul din fig. 17.12, a :

$$I_e \approx g_m V_a. \quad (17.40)$$

Deoarece tranzistorul  $T_2$  este cu baza comună,

$$I_2 = -\alpha I_e \approx -I_e. \quad (17.41)$$

Fig. 17.13. Calculul lui  $y_{re}$ .

Din ecuațiile (17.39), (17.40) și (17.41) rezultă :

$$y_{fe} = \frac{I_2}{V_1} = -\frac{g_m}{2}. \quad (17.42)$$

Parametrul invers  $y_{re}$  poate fi dedus din fig. 17.13. Aici  $C_{\mu 2}$  nu mai este legat la masă și de aceea va avea un rol important în calcul; capacitatea  $C_{\mu 1}$  se va putea însă neglija. Pentru a simplifica calculul lui  $y_{re}$ , vom utiliza aceeași dublă transformare ca în cazul precedent, pentru a aduce  $g_{x1}$ ,  $g_{\pi 1}$  și  $C_{\pi 1}$  în serie cu  $g_{\pi 2}$  și  $C_{\pi 2}$ , ca în fig. 17.13, b. Dacă acum presupunem că  $1/sC_{\pi 2}$  este mult mai mic decât impedanța totală a circuitului de bază, rezultă:

$$I_{\mu} \approx sC_{\mu 2} V_2. \quad (17.43)$$

Curentul prin  $z_{\pi 2}$  este deci:

$$I_z = sC_{\mu 2} V_2 \left( \frac{r_{x2}}{r_{x2} + r_{x1} + z_{\pi 2} + z_{\pi 2}} \right). \quad (17.44)$$

De asemenea,

$$I_1 = - \frac{I_z (\beta_2 + 1)}{\beta_1 + 1} \approx -I_z. \quad (17.45)$$

Presupunind tranzistoarele identice și neglijând  $r_x$  în numitorul ecuației (17.44) (de exemplu  $\omega$  mai mic decât  $\omega_b$ ), din ecuațiile (17.44) și (17.45) rezultă:

$$y_{re} = \frac{I_1}{V_2} = -sC_{\mu 2} \left( \frac{g_{\pi} + sC_{\pi}}{2g_x} \right). \quad (17.46)$$

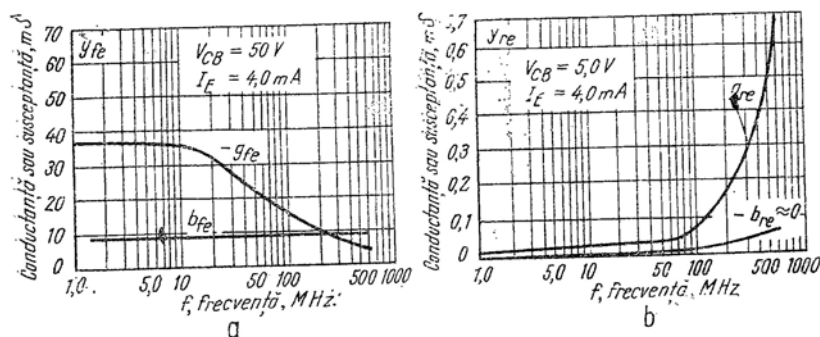


Fig. 17.14. Admitanțele de transfer ale unei perechi integrate cu cuplaj prin emitor;  
a - partea reală; b - partea imaginară.

Aceste formule ale lui  $y_{fe}$  și  $y_{re}$  sînt în general compatibile cu datele publicate pentru circuitele integrate conținînd o pereche cu cuplaj prin emitor (v. fig. 17.14, a și b). Din ecuațiile (17.42) și (17.46), rezultă că pentru perechea cu cuplaj prin emitor:

$$y_{fe} y_{re} = g_m s C_{\mu} \left( \frac{g_{\pi} + s C_{\pi}}{4 g_x} \right), \quad (17.47)$$

deci, criteriul de aliniere pentru acest circuit, se exprimă în funcție de parametrii hibridi astfel:

$$\left| g_m s C_{\mu} \left( \frac{g_{\pi} + s C_{\pi}}{4 g_x} \right) \right| \ll G_1 G_2. \quad (17.48)$$

Sîntem acum în măsură să comparăm alinierea perechii cu cuplaj prin emitor cu aceea a unui amplificator cu un singur etaj cu emitorul comun. Reamintim de la § 17.2.2 că, pentru ultimul:

$$y_{fe} y_{re} = -g_m s C_{\mu}. \quad (17.49)$$

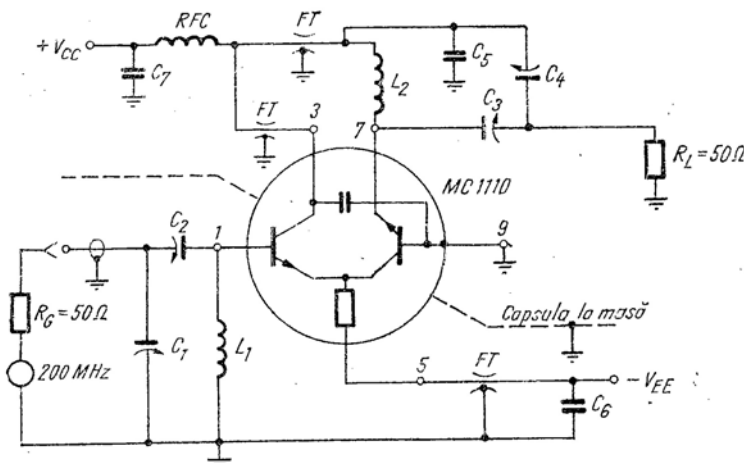


Fig. 17.15. Amplificator acordat pe 200 MHz cu un circuit integrat cu cuplaj prin emitor. Vezi lucrarea [17.4].

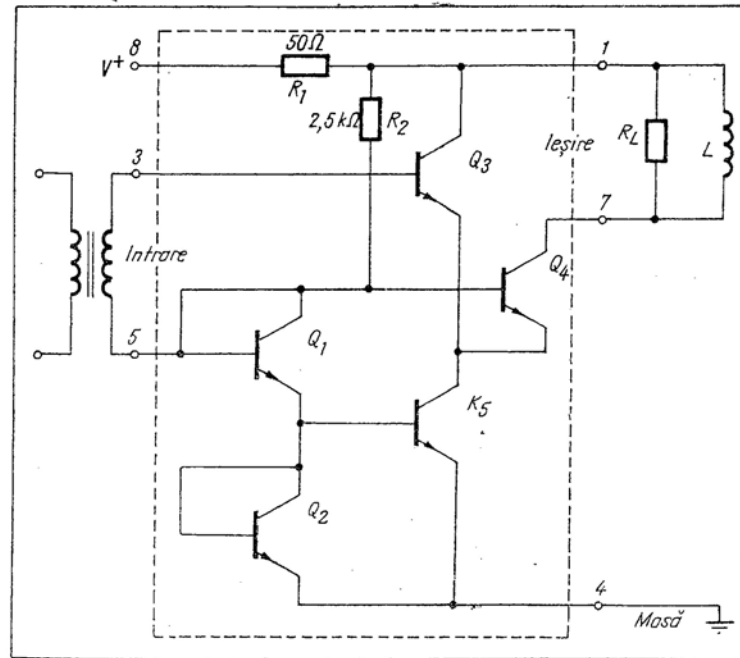
Comparînd acest rezultat cu ecuația (17.47), rezultă că, pentru perechea cu cuplaj prin emitor, este mai ușor de aliniat cu un factor:

$$K = \left| \frac{4 g_x}{g_{\pi} + s C_{\pi}} \right|. \quad (17.50)$$

La frecvențe mai mici decât  $\omega_b$ , acest factor este aproximativ  $4r_{\pi}/r_x$  și poate avea o valoare de 50 sau 100. Evident că acest factor scade cu creșterea frecvenței, dar, chiar la  $\omega_b$ , limita superioară a analizei noastre, perechea cu cuplaj prin emitor este încă mai bună cu un factor egal aproximativ cu 4 (v. problema P.17.12).

Acum, după ce am stabilit criteriul alinierii pentru amplificatorul cu cuplaj prin emitor calculele pentru acordarea sincronă și decalată sînt identice cu cele prezentate în § 17.2, și de aceea nu le mai repetăm (v. problemele P.17.13, P.17.14 și P.17.15).

Schema completă a unui amplificator acordat de 200 MHz, cu cuplaj prin emitor este prezentată în fig. 17.15. Ca dispozitiv activ se utilizează un singur circuit integrat, circuit ce conține



a

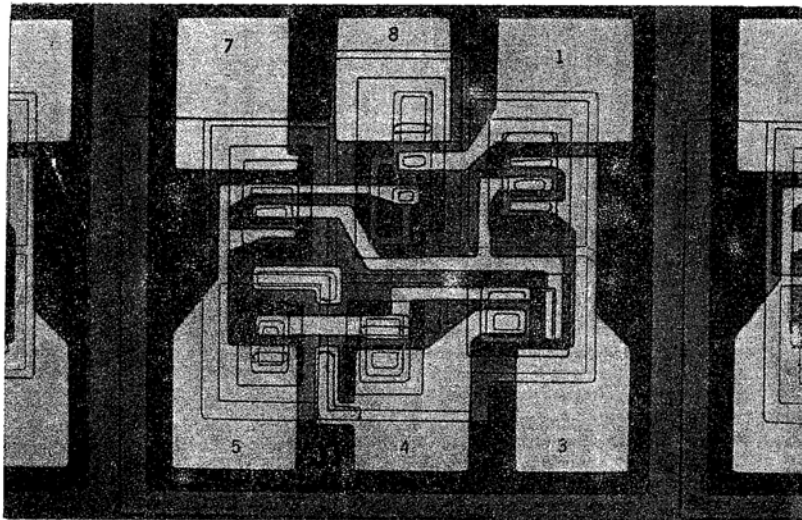


Fig. 17.16. Un amplificator mai complicat cu circuit integrat cu cuplaj prin emitor:  
a - schema electrică; b - microfotografia circuitului integrat.

două tranzistoare, rezistorul de emitor și condensatorul de cuplaj, care să asigure punerea colectorului lui  $T_1$  la masă prin baza lui  $T_2$ .

Pentru a obține valori convenabile ale impedanțelor circuitelor acordate, proiectantul a ales condensatoarele cu prize ( $C_1$ ,  $C_3$  și  $C_3$ ,  $C_4$ ) în locul bobinelor cu prize, așa cum s-a arătat în § 17.2.1 (v. problema P.17.16).

Un amplificator integrat cu cuplaj prin emitor, puțin mai complicat, este prezentat în fig. 17.16. Tranzistoarele  $Q_3$  și  $Q_4$  formează perechea activă. Tranzistoarele  $Q_1$  și  $Q_2$  sînt montate ca diode pentru a asigura polarizarea bazei lui  $Q_3$ , care constituie o sursă de curent constant în emitoarele lui  $Q_3$  și  $Q_4$ .

O microfotografie a acestui amplificator este prezentată în fig. 17.16, b. Dimensiunile circuitului integrat din figură sînt de 20 mils pe 20 mils.

#### 17.4. DEMONSTRAȚII EXPERIMENTALE LA CURS

Circuitul din fig. 17.17 poate fi utilizat pentru a demonstra problemele de instabilitate și aliniabilitate care apar la amplificatoarele acordate.

1. Cu comutatorul pe poziția A, circuitul este un amplificator cu un singur etaj. Se aduc rezistențele  $R_1$  și  $R_2$  la valori mici și se acordă circu-

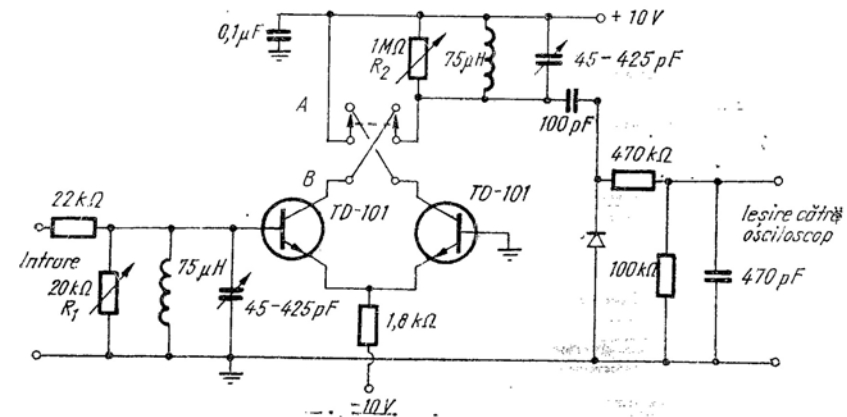


Fig. 17.17. Circuitul pentru studiul amplificatoarelor acordate.

itele rezonante pe aceeași frecvență (aproximativ 10 MHz). Acum se cresc  $R_1$  și  $R_2$ . Amplificarea va crește, dar circuitul va deveni din ce în ce mai greu de aliniat, iar curba de răspuns mai asimetrică. Pentru valori mari ale lui  $R_2$  circuitul va fi instabil.

2. Cu comutatorul pe poziția B, obținem un amplificator cu două tranzistoare cu cuplaj prin emitor. Acum, amplificatorul va fi mai stabil și răspunsul mai simetric pentru valori mai mari ale lui  $R_1$  și  $R_2$ , deci pentru o amplificare mai mare.

## BIBLIOGRAFIE

- 17.1 G.E. Valley și H. Wallman. *Vacuum Tube Amplifiers*. Mc Graw-Hill, New York, 1948  
 17.2 C. L. Searle. *Elementary Circuit Properties of Transistors*. Wiley, New York, 1964.  
 17.3 J. G. Linvill și J. F. Gibbons. *Transistors and Active Circuits*. McGraw-Hill, New York, 1961  
 17.4 *Semiconductor Data Manual*, Motorola Semiconductors, Phoenix, 1965.

## PROBLEME

**P17.1.** Să se determine valorile elementelor circuitului acordat din fig. 17.3, astfel ca amplificatorul să poată amplifica selectiv frecvența pilot de 19 kHz, într-un receptor MF stereo. Circuitul trebuie să aibă un  $Q$  de 50.

**P17.2.** Să se demonstreze că la frecvențe mai mici decât  $\omega_\beta$ , capacitatea care apare în paralel cu  $s_\beta$  și  $G_2$  în fig. 17.3,  $b$ , este dată de ecuația (17.15).

**P17.3.** Să se calculeze admitanța  $Y_{in} = I_1/V_1$  în fig. 17.4, aplicând o tensiune  $V_1$  la bornele de intrare ale cuadripolului în  $y$  (după ce s-au îndepărtat  $I_2$ ,  $G_1$ ,  $L_1$  și  $C_1$ ) și calculând curentul rezultat. Deci, să se verifice ecuația (17.21).

**P17.4.** Să se calculeze parametrii  $y_{fe}$  și  $y_{re}$  pentru modelul cu parametrii hibridi, având sursă de tensiune atât la intrare cât și la ieșire, și apoi să se rezolve pentru funcțiile de transfer corespunzătoare. Să se compare răspunsul obținut cu ecuațiile (17.23) și (17.24) (vezi pag. 96)

**P17.5.** Să se calculeze  $y_{re} = I_1/V_2$  din fig. 17.5,  $b$ , presupunând că tensiunea  $V$  este suficient de mică față de  $V_2$ , astfel că curentul prin  $C_\mu$  este aproximativ  $sC_\mu V_2$ . Deci, să se verifice ecuația (17.24).

**P17.6.** Să se calculeze admitanța de intrare  $y = I/V_2$  a circuitului acordat cu bobină cu prize din fig. 17.6. Să se compare apoi cu admitanța circuitului acordat simplu din fig. 17.1, deci să se verifice ecuațiile (17.32) și (17.33).

**P17.7.** Să se studieze aliniabilitatea unui amplificator cu un singur etaj de tipul celui din fig. 17.7, utilizând un tranzistor 2N1613 în punctul de funcționare  $I_C = 20$  mA,  $V_{CE} = 30$  V. Se vor utiliza parametrii  $y$  dați în fig. 12.16. Se va considera  $G_1 = 4$  mS,  $G_2 = 2$  mS (vezi pag. 101)

**P17.8.** Să se verifice ecuația (17.35), considerând  $n$  celule trece jos RC independente, având funcția de transfer:

$$\frac{V_o}{V_i} = K \left( \frac{1}{1 + j\omega} \right)^2. \quad (17.51)$$

Să se arate apoi că lărgimea de bandă a lanțului de  $n$  celule RC este:

$$\text{lărgimea de bandă a } n \text{ celule} = (\text{lărgimea de bandă a unui etaj}) \times \sqrt{2^{1/n} - 1}. \quad (17.52)$$

**P17.9.** Să se completeze proiectarea amplificatorului acordat sincron de la § 17.2.2, găsind valorile pentru  $C_1$ ,  $C_2$ ,  $L_1$  și  $L_2$  care să asigure o frecvență centrală de 455 kHz și o lărgime de bandă de 10 kHz. Se pot utiliza bobine cu prize dacă este necesar (vezi pag. 102).

**P17.10.** Să se completeze proiectarea amplificatorului decalat acordat de la § 17.2.3, determinând valorile lui  $C_1$ ,  $C_2$ ,  $L_1$  și  $L_2$  care să asigure o frecvență centrală de 455 kHz și o lărgime de bandă de 10 kHz. (vezi pag. 103)

**P17.11.** Să se completeze proiectarea amplificatorului acordat sincron de 10,7 MHz de la § 17.2.4, determinând valorile lui  $C_1$ ,  $C_2$ ,  $L_1$  și  $L_2$  care să asigure frecvența centrală cerută și o bandă de 0,2 MHz. (vezi pag. 104)

**P17.12.** Să se proiecteze un amplificator cu cuplaj prin emitor, acordat sincron, de tipul celui din fig. 17.11, care să aibă o frecvență centrală de 10,7 MHz și o lărgime de bandă de 0,2 MHz. Se vor utiliza parametrii tranzistorului de la § 17.2.1. Să se compare aliniabilitatea acestui circuit cu cea a amplificatorului de la paragraful 17.2.4 (vezi pag. 109).

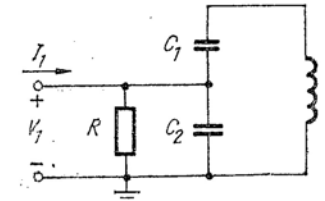


Fig. 17.17 Circuit pentru studiul amplificatorului acordat.

**P17.13.** Să se repete problema P 17.13, cu deosebirea că se va utiliza o acordare decalată. (vezi pag. 109).

**P17.14.** Să se compare aliniabilitatea unui amplificator acordat cu un singur etaj de 50 MHz de tipul celui din fig. 17.7 cu a amplificatorului cu cuplaj prin emitor din fig. 17.11. Se vor utiliza pentru tranzistor parametrii dați în § 17.2.1 și se va lua  $R_1 = R_2 = 50 \Omega$ .

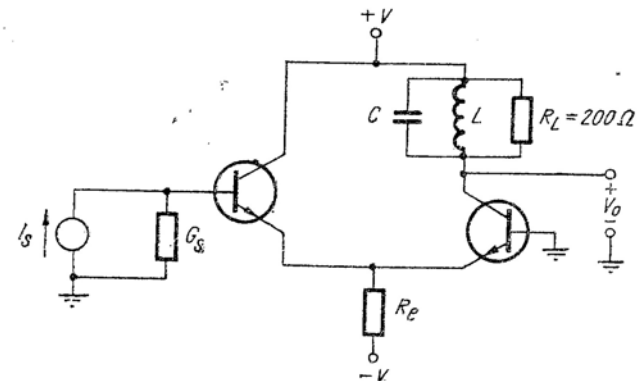


Fig. 17.18 Circuit transformator de impedanțe cu două condensatoare.

**17.15.** Să se proiecteze un amplificator acordat cu cuplaj prin emitor de tipul celui din fig. 17.11, care să aibă o frecvență centrală de 50 MHz și o lărgime de bandă de 2 MHz. Se va lua  $R_1 = R_2 = 50 \Omega$ . Se vor folosi datele din fig. 17.14 pentru circuitul integrat. Se vor neglija efectele lui  $y_{ie}$  și  $y_{oo}$ .

**P17.16.** Să se stabilească ecuația transformării de impedanță pentru un circuit acordat cu condensatoare cu prize, de tipul celui din fig. 17.18 (vezi pag. 111).

**P17.17.** La amplificatorul acordat din fig. 17.19 sînt date pentru ambele tranzistoare  $\beta_o = 50$ ,  $\omega_T = 10^9$  rad/s,  $r_x = 50 \Omega$ ,  $C_\mu = 2$  pF în punctul de funcționare (pentru ambele tranzistoare)



$I_C = 2.5 \text{ mA}$ ,  $V_{CE} = 5 \text{ V}$ . Amplificatorul trebuie să funcționeze la o frecvență centrală de  $\omega_0 = 10^8 \text{ rad/s}$  cu o lărgime de bandă la 3 dB de  $5 \cdot 10^6 \text{ rad/s}$  ( $Q=20$ ).

a) Să se determine  $L$  și  $C$  pentru a obține răspunsul dorit.

b) Dacă se adaugă un circuit acordat la intrare circuitul va mai avea un răspuns simetric? Acesta fiind un calcul aproximativ, se poate utiliza aproximații rezonabile, inclusiv neglijarea lui  $R_e$ .

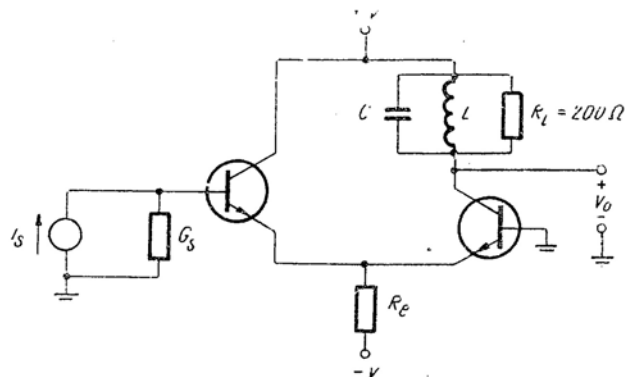


Fig. 17.19. Amplificator acordat.

**P17.18.** Să se arate că proprietățile transformării de impedanțe la frecvențe joase ale amplificatorului cu colectorul comun, analizate în § 11.5.2 pot fi generalizate. Concret, să se demonstreze că o impedanță de emitor  $Z_e$  poate fi deplasată deasupra nodului emitorului în modelul hibrid, pentru a apărea în serie cu  $z_\pi = (g_\pi + sC_\pi)^{-1}$  dacă transformăm impedanța în  $Z_e(\beta + 1)$ . Similar, să se demonstreze că impedanța  $z_\pi$  poate fi deplasată sub nodul emitorului pentru a apărea în serie cu  $Z_e$ , dacă transformăm impedanța sa în  $z_\pi/(\beta + 1)$ .

## CAPIȚOLUL 18

## REAȚIA

**REAȚIA**

- 18.1. Proprietățile de bază ale amplificatoarelor cu reacție
  - 18.1.1. Amplificarea
  - 18.1.2. Desensibilizarea
  - 18.1.3. Efectul reacției asupra semnalelor parazite
  - 18.1.4. Efectul reacției asupra distorsiunilor
  - 18.1.5. Rezumat
- 18.2. Cele patru topologii de bază de circuite cu reacție
- 18.3. Analiza și proiectarea circuitelor pe baza comparării și eșantionării nodurilor
  - 18.3.1. Analiza cu ajutorul cuadripolilor
  - 18.3.2. Reprezentările sub formă de circuit pentru  $a$  și  $f$
  - 18.3.3. Exemplu de proiectare
  - 18.3.4. Transmisia pe buclă
  - 18.3.5. Admitanțele de intrare și ieșire
  - 18.3.6. Rezumat
- 18.4. Analiza și proiectarea circuitelor prin compararea și eșantionarea buclelor
  - 18.4.1. Analiza cu ajutorul cuadripolilor
  - 18.4.2. Reprezentările sub formă de circuit pentru  $a$  și  $f$
  - 18.4.3. Exemplu
- 18.5. Circuite cu reacție, cu compararea nodului și eșantionarea buclei
- 18.6. Circuite cu reacție, cu compararea buclei și eșantionarea nodului
- 18.7. Rezumat
- 18.8. Demonstrații experimentale la curs
  - 18.8.1. Reducerea zgomotului de rețea
  - 18.8.2. Reducerea distorsiunilor

Bibliografie

Probleme

**18****REAȚIA**

### 18.1. PROPRIETĂȚILE DE BAZĂ ALE AMPLIFICATOARELOR CU REACȚIE

Nu există amplificatoare ideale. De exemplu, nici un amplificator nu este perfect liniar, în sensul că forma de undă a tensiunii de ieșire nu este cu exactitate forma de undă a tensiunii de intrare, înmulțită cu un factor constant. Chiar dacă amplificatorul este suficient de liniar pentru o anumită plajă a tensiunii de intrare, amplificarea de tensiune variază datorită schimbărilor survenite în tensiunea de alimentare sau temperatură, care produc variația caracteristicilor tranzistorului cu punctul static de funcționare. Acestea și multe alte limitări ale amplificatorului pot fi minimizezate prin aplicarea *reacției negative*.

#### 18.1.1. Amplificarea

Noțiunea de reacție negativă, așa cum este aplicată la amplificatoare poate fi ilustrată cu ajutorul schemei-bloc de fluență a semnalului din fig. 18.1.a sau a schemei-bloc electrice din fig. 18.1.b. Pentru a aplica o reacție unui amplificator, trebuie folosite încă două elemente, un atenuator de precizie și un comparator. Pentru simplitate, se presupune că funcțiile de transfer ale celor trei blocuri sînt independente de frecvență.

De asemenea, pentru moment, se neglijează încărcarea amplificatorului de bază de către circuitul de reacție, presupunînd că amplificatorul de bază din fig. 18.1 are o rezistență de intrare infinită și o rezistență de ieșire

egală cu zero. În aceste condiții, tensiunea de ieșire  $V_4$  a atenuatorului de precizie este egală cu tensiunea de ieșire  $V_3$  a amplificatorului, înmulțită cu un factor constant subunitar. Tensiunea  $V_4$  este comparată cu tensiunea

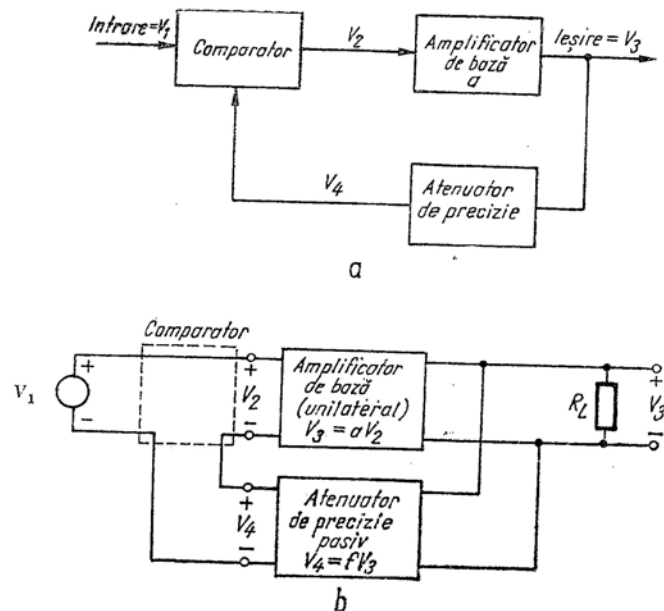


Fig. 18.1. Scheme-bloc ale unui amplificator cu reacție:  
a - diagrama de fluentă a semnalului; b - schema-bloc electrică.

de intrare  $V_1$  și diferența dintre cele două tensiuni este aplicată amplificatorului. Așadar:

$$V_2 = V_1 - V_4. \quad (18.1)$$

Combinând această ecuație cu relațiile intrare-ieșire ale amplificatorului de bază și ale atenuatorului calibrat,

$$V_3 = aV_2; \quad (18.2)$$

$$V_4 = fV_3; \quad (18.3)$$

și eliminând  $V_2$  și  $V_4$ , se găsește că amplificarea de tensiune a amplificatorului cu reacție complet, adesea denumită *amplificare pe buclă închisă* este:

$$\frac{V_3}{V_1} = A = \frac{a}{1 + af}. \quad (18.4)$$

Efectul reacției negative este evident. Dacă produsul  $af$  este mult mai mare decât unitatea, ecuația 18.4 se reduce la:

$$A = \frac{V_3}{V_1} \approx \frac{1}{f}. \quad (18.5)$$

Așadar relația între  $V_3$  și  $V_1$  depinde numai de  $f$  și este aproape independentă de  $a$ . Aceasta este un rezultat important deoarece amplificarea  $a$  a amplificatorului de bază este funcție de temperatură, tensiunea de alimentare etc., așa cum s-a scos în evidență mai sus.

Pe de altă parte, „amplificarea”  $f$  poate fi controlată cu precizie, deoarece atenuatorul poate fi construit cu elemente  $R$ ,  $L$  și  $C$  invariabile, adică, ale căror valori sînt mult mai puțin sensibile la schimbarea condițiilor de funcționare. Amplificarea globală de tensiune este aproximativ independentă de  $a$  atunci cînd  $a$  este mare, deoarece tensiunea de intrare a amplificatorului,  $V_2$ , necesară pentru a produce  $V_3$ , este diferența între două tensiuni mult mai mari,  $V_1$  și  $fV_3$ . În consecință, dacă pentru anumite motive  $a$  scade de două ori, este necesară o schimbare neimportantă a valorii lui  $V_3$ , pentru a dubla pe  $V_2$ , compensînd astfel pierderea de amplificare.

În sfîrșit ar trebuie subliniat că deși ne-am referit numai la amplificarea de tensiune scopul amplificatoarelor este altul. Amplificarea de tensiune poate fi obținută și cu un transformator. Ceea ce interesează în mod special este amplificarea de putere sau posibilitatea de a comanda puterea, adică de a amplifica un semnal de putere (sau tensiune) redusă; în acest fel un semnal de o putere substanțială poate fi aplicat sarcinii, de exemplu difuzorului sau bobinei mobile a unui instrument de măsurat

### 18.1.2. Desensibilizarea

Se va calcula cu mai multă precizie variația amplificării de tensiune  $A$  la schimbările amplificării  $a$  a amplificatorului de bază. Diferențiind ecuația 18.4 (presupunînd mici variații ale lui  $a$ , iar  $f$  fiind constant), se obține:

$$dA = \frac{1}{(1 + af)^2} da. \quad (18.6)$$

Se poate determina variația relativă a lui  $A$ , din acest rezultat și ecuația 18.4:

$$\frac{dA}{A} = \frac{1}{1 + af} \frac{da}{a} \quad (18.7)$$

(v. problema P. 18.1). Așadar o variație relativă a valorii lui  $a$  reduce amplificarea globală  $A$  de  $1 + af$  ori. De exemplu, dacă produsul  $af$  este 99, atunci o variație de 10 % a valorii lui  $a$  dă naștere unei schimbări de numai 0,1 % a valorii lui  $A$ . Este clar, însă, că trebuie plătit un „preț” pentru această importantă îmbunătățire a performanțelor amplificatorului. Compararea ecuațiilor (18.2) și (18.4), indică faptul că aplicarea reacției negative are ca rezultat *reducerea* amplificării. În mod explicit, raportul între amplificarea globală a amplificatorului cu reacție și a amplificatorului de bază este:

$$\frac{A}{a} = \frac{1}{1 + af} \quad (18.8)$$

Așadar, amplificarea globală este redusă prin același factor prin care sînt reduse variațiile amplificării. În exemplul numeric dat mai sus, reacția a redus variațiile amplificării de o sută de ori, dar această îmbunătățire în performanță este obținută prin reducerea amplificării de o sută de ori. Din fericire, o amplificare nestabilizată se obține cu ușurință (de exemplu adăugînd noi etaje). Aducerea amplificării nestabilizate la stabilitate nu este o limitare serioasă în folosirea reacției.

Pentru polaritățile și interconectările din fig. 18.1, reacția este prin definiție *negativă* sau *inversă* dacă  $a$  și  $f$  au același semn algebric. Totuși, în configurații mai complicate, nu este ușor întotdeauna să se aplice acest criteriu. O metodă mai sigură de investigare a tipului de reacție este dată de ecuația (18.8). Dacă o mișcare a valorii absolute a lui  $f$ , considerată inițial zero, *reduce*  $A$  sub valoarea lui  $a$ , reacția este prin definiție *negativă*.

### 18.1.3. Efectul reacției asupra semnalelor parazite

Performanțele unui amplificator sînt adesea limitate de prezența unor semnale parazite ca zgomotul surselor de alimentare, zgomotul de agitație termică și diafonia legată de prezența unor amplificatoare vecine.

În aceste condiții specifice, reacția negativă poate fi folosită pentru a reduce efectul acestor semnale parazite, dar în multe cazuri reacția nu produce nici o îmbunătățire. Se va face diferențierea între aceste extreme cu ajutorul cîtorva exemple simple.

Se va examina mai întîi efectul semnalului parazit ce apare la intrarea amplificatorului. Schema-bloc folosită pentru acest calcul este prezentată în fig. 18.2, a. Este ușor de înțeles faptul că, deoarece semnalul util  $V_1$  și semnalul parazit  $V_n$  se aplică în amplificator în același punct, este dificil pentru amplificator să amplifice cu precădere  $V_1$  față de  $V_n$ . Pentru a demonstra acest fapt se scrie  $V_3$  ca o superpoziție folosind ecuația (18.4):

$$V_3 = \frac{a}{1 + af} V_1 + \frac{a}{1 + af} V_n \quad (18.9)$$

În acest caz, o indicație utilă asupra performanței amplificatorului o dă raportul semnal-zgomot, raportul dintre amplitudinea semnalului util și a semnalului parazit în același punct al rețelei. Este clar, din ecuația (18.9) că raportul semnal-zgomot la ieșirea amplificatorului din fig. 18.2, a este:

$$\frac{S}{N} = \frac{V_1}{V_n} \quad (18.10)$$

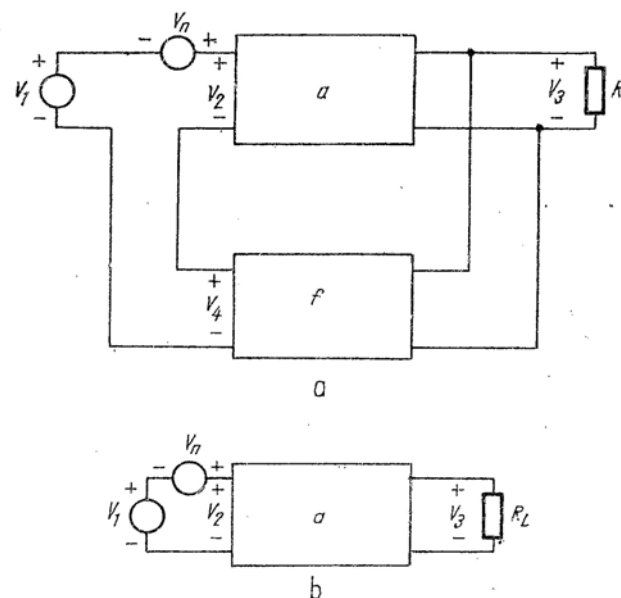


Fig. 18.2. Efectul reacției asupra semnalelor parazite de la intrarea amplificatorului.

ceea ce reprezintă același rezultat ca acela ce s-ar fi obținut de la amplificatorul de bază însuși (fig. 18.2, b).

În concluzie, se constată că reacția nu îmbunătățește raportul semnal-zgomot al unui amplificator, dacă semnalul parazit se aplică în același punct ca semnalul util.

S-a discutat deja (cap. 16) despre o contradicție aparentă a acestei afirmații. În § 16.1.4, reacția a fost aplicată unui amplificator cu trei etaje, pentru a stabili punctul de funcționare al tranzistorului de ieșire la variațiile lui  $V_{B1}$ . O examinare atentă a fig. 16.5 scoate în evidență faptul că „sursa de zgomot”  $V_n$  și sursa de semnal util  $V_i$  sînt, de fapt, conectate la intrarea amplificatorului, deoarece ambele conduc la un curent de bază  $V/R_b$ . Apare o îmbunătățirea a raportului semnal-zgomot, sau, mai corect exprimat, a raportului semnal derivă, deoarece semnalul este alternativ în timp ce derivă este, în mod esențial, continuă. Așadar, este posibil ca prin adăugarea unui condensator  $C_b$  la amplificatorul de bază să se aplice reacția în mod selectiv, adică să se obțină reacții puternice de curent continuu în timp ce reacția de curent alternativ este suprimată.

În continuare se va examina efectul reacției cînd semnalul parazit nu este introdus la intrare ci în alt punct al amplificatorului. O reprezentare generală a acestui caz este arătată în fig. 18.3, a. Aici se presupune existența a două amplificatoare  $a_1$  și  $a_2$ . Se presupune că amplificatorul  $a_2$  are asociat un generator de zgomot  $V_n$ , iar amplificatorul  $a_1$  nu este afectat de zgomot. Folosind din nou suprapunerea efectelor, se găsește că tensiunea de ieșire  $V_3$  trebuie să fie:

$$V_3 = \frac{a_1 a_2}{1 + a_1 a_2 f} V_1 + \frac{a_2}{1 + a_1 a_2 f} V_n. \quad (18.11)$$

Așadar, raportul semnal-zgomot este:

$$\frac{S}{N} = \frac{a_1 V_1}{V_n} \quad (18.12)$$

care este de  $a_1$  ori mai bun decît acela obținut cu amplificatorul folosit singur (fig. 18.3, b). Deci dacă este posibil să se construiască un amplificator  $a_1$  care să nu fie afectat de zgomot ca amplificatorul  $a_2$ , atunci este posibil să fie îmbunătățit raportul semnal-zgomot al amplificatorului  $a_2$ , cu ajutorul reacției. Rezultă că zgomotul  $V_n$  (fig. 18.3) nu poate fi zgomot de agitație termică asociat cu intrarea amplificatorului, deoarece atunci amplificatorul  $a_1$  ar fi afectat de zgomot în același mod ca amplificatorul  $a_2$ .

Problema zgomotului de rețea al sursei de alimentare a unui etaj de ieșire al unui amplificator audio este ilustrată în fig. 18.3. Deoarece curentul de colector al acestui etaj este adesea de ordinul amperilor, este costisitor să se prevadă o filtrare corespunzătoare pentru sursa de alimentare a acestui etaj. Pe de altă parte, deoarece etajele precedente ale ampli-

ficatorului funcționează la nivele de semnal mult mai mic, filtrarea sursei de alimentare a acestora este mai ieftină. Deci, este rezonabil să se reprezinte amplificatorul de ieșire, de putere, prin blocul  $a_2$  ca în fig. 18.3 și să se presupună că  $V_n$  reprezintă zgomotul sursei de alimentare. Amplificatorul  $a_1$  este al doilea amplificator, care funcționează la nivele de semnal

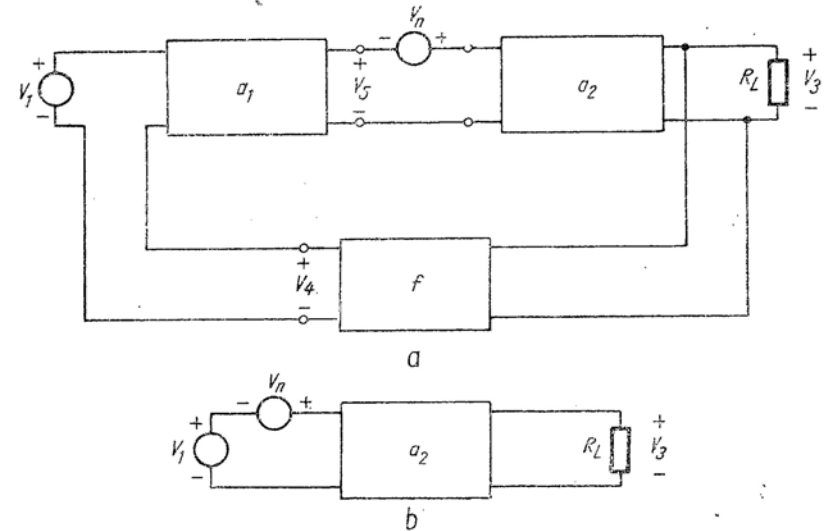


Fig. 18.3. Efectul reacției asupra semnalelor externe introduse în alt punct decât la intrare.

mult mai mici, fiind alimentat de la o sursă bine filtrată. De exemplu, să presupunem că  $a_2$  are o amplificare de tensiune unitară, dar un câștig mare de putere (ceea ce este necesar) și că  $V_n$  este zgomotul rețelei de 120 Hz<sup>1)</sup> și amplitudinea de 1V. Locul exact în care semnalul parazit este introdus în  $a_2$  nu este important în această discuție și pentru simplitate se presupune că el se introduce la intrarea lui  $a_2$ . Dacă semnalul util  $V_1$  are de asemenea o amplitudine de 1V, atunci cînd  $a_2$  funcționează singur (fig. 18.3, b) raportul semnal-zgomot are valoarea 1. Dacă amplificatorului  $a_1$  cu câștig 100 și fără zgomot i se adaugă o rețea de reacție cu  $f$  egal cu unitatea, atunci din ecuația 18.11 tensiunea de ieșire va conține un semnal util de aproximație 1V, cînd se folosește rețeaua de reacție, semnalul de 1V de la intrare se aplică comparatorului, iar zgomotul va fi redus printr-un factor egal cu 101. Această reducere apare deoarece tensiunea  $V_3$  din fig. 18.3, a, conține acum o componentă de zgomot inversată în raport cu  $V_n$ .

1) În Statele Unite ale Americii, frecvența tensiunii de rețea este 60 Hz. (NT)

Rezultatele discutate mai sus pot fi ușor verificate observând formele de undă ale amplificatorului audio simplu din fig. 18.4, a. Când etajul de putere funcționează fără reacție, punând comutatorul pe poziția 1, tensiunea  $V_5$  este sinusoidală, în timp ce tensiunea  $V_3$  conține o componentă

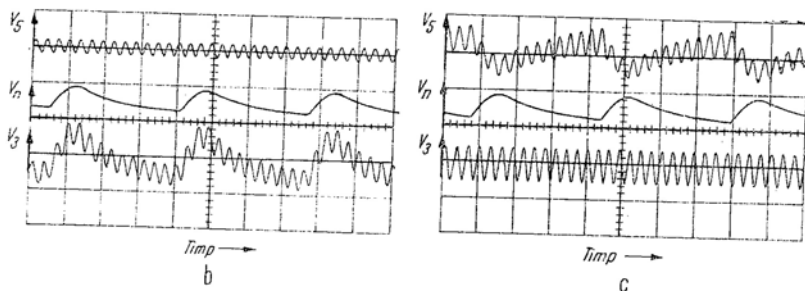
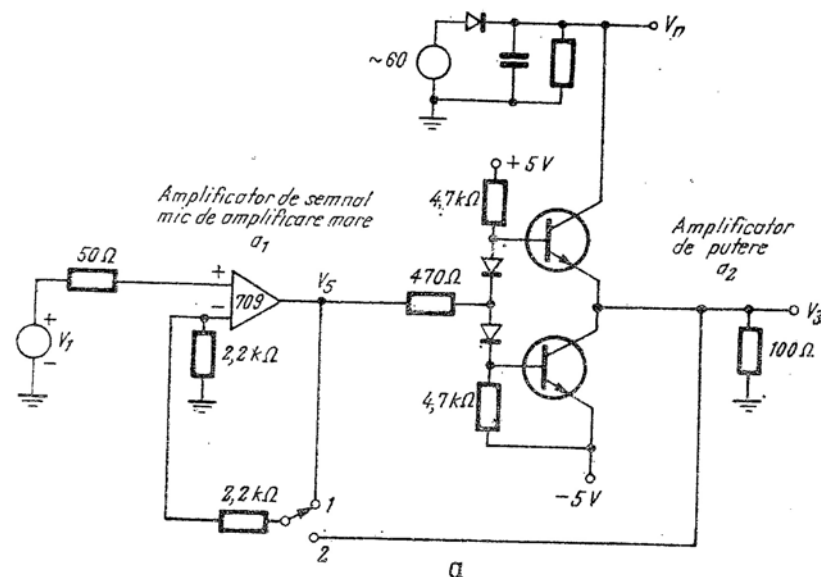


Fig. 18.4. Oscilogramme arătând efectul reacției asupra brumului etajului de ieșire.  
a — schemă electrică; b — fără reacție; c — cu reacție.

mare de zgomot suprapus, ca în fig. 18.4, b. Când se aplică reacția amplificatorului de ieșire și unui amplificator de semnal mic (în acest caz un amplificator operațional 709), plasând comutatorul pe poziția 2, se constată din

fig. 18.4, c că zgomotul dispăre din compoziția semnalului de ieșire  $V_3$  al amplificatorului de putere, dar că semnalul de intrare  $V_5$  al amplificatorului de putere conține acum un semnal de tip zgomot de fond *inversat*, necesar pentru a anula zgomotul<sup>1)</sup> Amplitudinea semnalului util la intrarea amplificatorului de putere este aproximativ aceeași cu, sau fără reacție (v. problema P.18.25).

În rezumat, reacția poate fi folosită pentru a reduce zgomotele într-un amplificator, numai dacă este posibilă construirea unui al doilea amplificator având o amplificare substanțială, și un raport semnal-zgomot la ieșire substanțial mai bun decât amplificatorul original. În practică este mai ușor să se minimizeze semnalele parazite în etajele de amplificare pentru care nu interesează obținerea unei amplificări mari de putere sau a unei valori mari a puterii de ieșire. Așadar cerința de a avea o amplificare mare de tensiune poate fi satisfăcută de un amplificator separat, în timp ce obținerea puterii, cu problema adiacentă a zgomotului de rețea este realizată de un alt etaj de amplificare.

#### 18.1.4. Efectul reacției asupra distorsiunilor

În cadrul discuției anterioare s-a presupus că toate circuitele din schemele bloc prezintă funcții de transfer liniare. Se va examina acum cazul în care amplificatorul este neliniar. Se va presupune, că relația între tensiunea continuă de la ieșire și tensiunea continuă de la intrare a amplificatorului de bază din fig. 18.1 este reprezentată grafic în fig. 18.5. Deoarece caracteristica de transfer este *liniară pe porțiuni*, putem aplica analiza din §18.1.1, separat fiecărei porțiuni liniare.

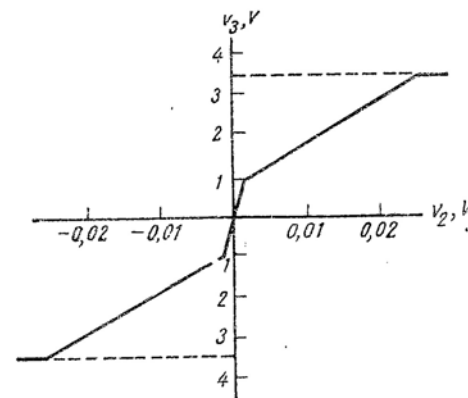


Fig. 18.5. Funcția de transfer a amplificatorului de bază.

<sup>1)</sup> Această discuție poate fi folosită pentru o lucrare de laborator simplă dar foarte eficientă (NA).

Pe această bază ne-am putea aștepta ca amplificatorul cu reacție să aibă o caracteristică de transfer mult mai liniară decât a amplificatorului de bază, deoarece, așa cum s-a arătat, reacția are tendința de a „suprima” schimbările survenite în amplificarea amplificatorului de bază.

În mod concret se va presupune că pentru  $|v_3|$  mai mic de 1 V, caracteristica de transfer a amplificatorului de bază are o pantă de 1000, iar pentru  $|v_3|$  între 1 și 3 V, panta este 100, așa cum arată fig. 18.5.

Datorită neliniarității circuitului, este necesar să se realizeze analiza în domeniul timp și nu în domeniul frecvență. Așadar, scriind ecuațiile (18.1), (18.2) și (18.3) în funcție de variații mici în domeniul timp se obțin :

$$v_3(t) = av_2(t); \quad (18.13)$$

$$v_4(t) = fv_3(t); \quad (18.14)$$

$$v_2(t) = v_1(t) - v_4(t). \quad (18.15)$$

Deci :

$$v_3(t) = \frac{a}{1 + af} v_1(t). \quad (18.16)$$

Dacă, în continuare, se va presupune  $f = 0,1$ , atunci din ecuația 18.16 pentru  $|v_3| < 1V$ , tensiunea variabilă de la ieșire va fi :

$$v_3(t) = \frac{1000 v_1(t)}{1 + (1000)(0,1)} = 9,9 v_1(t).$$

Pentru  $1V < |v_3| < 3,5V$  panta caracteristicii de transfer, așadar și amplificarea de semnal mic, este :

$$\text{panta} = \frac{100}{1 + (100)(0,1)} = 9,1.$$

Deci, aplicarea reacției negative a redus variația amplificării amplificatorului de bază într-un raport de 10 :1, adică schimbarea survenită în amplificare este de la 9,9 la 9,1 pentru aceeași plajă de variație a semnalului de ieșire (v. fig. 18.6). Este clar că „prețul” pentru această îmbunătățire a liniarității este reducerea amplificării. Dar, în multe cazuri, aceasta nu este o problemă dificilă. Pierderea de amplificare poate fi refăcută adăugând un nou amplificator, la intrarea amplificatorului cu reacție, iar acest nou amplificator poate fi proiectat astfel încât să nu introducă practic nici o

distorsiune, deoarece el amplifică semnale de amplitudine mică. Astfel, se reduce amplificarea părții din sistem care comandă semnale mari pentru a îmbunătăți fidelitatea la semnale mari, și să transfere această sarcină părții care amplifică semnale mici și ale cărei distorsiuni sînt mult mai mici. În acest tip de problemă, reacția conduce într-adevăr la îmbunătățirea liniarității întregului sistem fără o diminuare a amplificării întregului sistem.

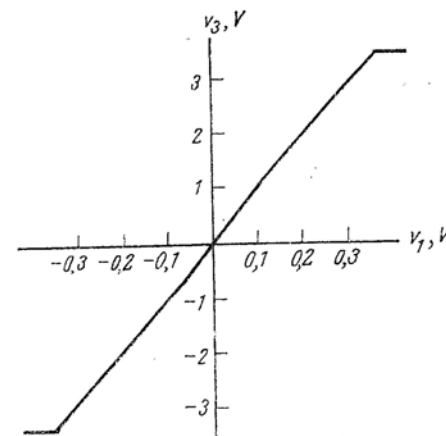


Fig. 18.6. Funcția de transfer a amplificatorului complet cu reacție.

Este foarte important să se observe că reacția devine din ce în ce mai puțin eficientă pe măsură ce amplificarea de semnal mic a amplificatorului de bază este mai mică. Ca un exemplu extrem, când amplificatorul de bază discutat mai sus se saturează pentru  $|v_3| > 3,5 V$ , amplificarea de semnal mic  $a$  tinde către zero; așadar și  $af$  și  $A$  tind către zero, așa cum arată fig. 18.6. Deci există o limită a „cantității de neliniaritate” pe care o poate corecta reacția. Fiecare amplificator are limite „fixe”, fundamentale privind valoarea semnalului de ieșire pe care-l poate produce. Aceste limite „fixe”, care apar deoarece tranzistoarele din amplificator se blochează, se saturează, sau devin neliniare în mod nepermis, nu pot fi eliminate prin reacție.

În fig. 18.7, a se prezintă un circuit simplu care pune în evidență efectul reacției negative asupra distorsiunilor. Deoarece mărimea distorsiunii este în legătură strinsă cu mărimea semnalului de ieșire, pentru a face o comparație utilă practic, este important ca semnalul de ieșire cu reacție să fie făcut egal cu semnalul de ieșire în absența reacției. Lucrul acesta este realizat prin comutarea reacției, cum se arată în fig. 18.7, a.

Comutatorul fiind pe poziția 1, amplificatorul de putere  $a_2$  nu are reacție, iar amplificatorul operațional 709 cu reacție, are amplificare unitară.



Cînd comutatorul este pe poziția 2, o reacție globală este aplicată amplificatorului de semnal mic (amplificatorul operațional 709) și amplificatorului de putere, astfel încît amplificarea globală este acum unitară.

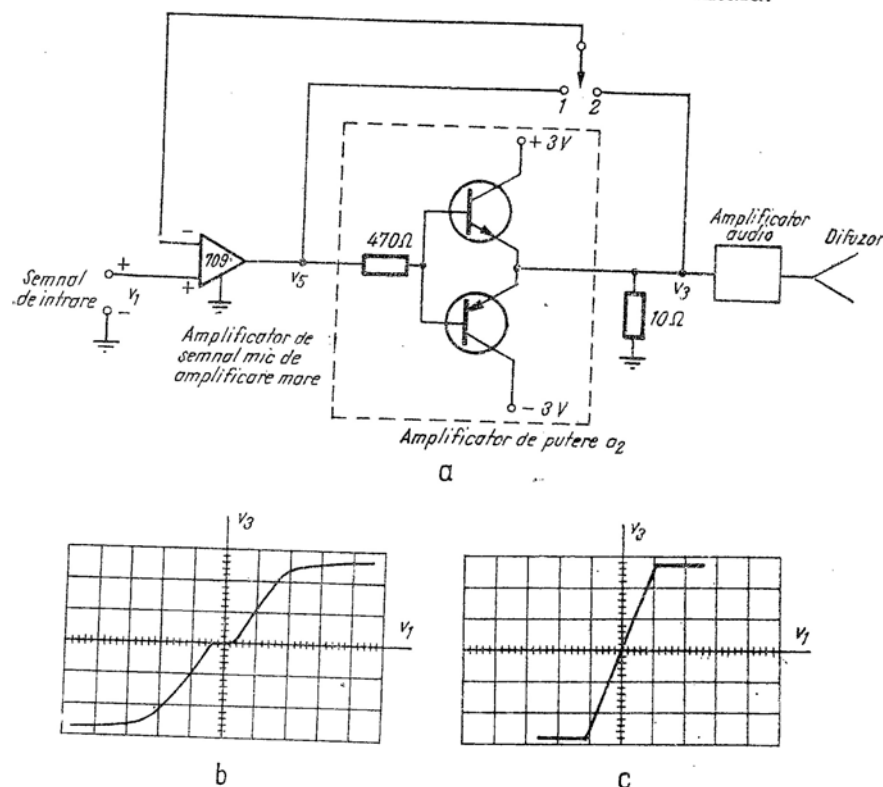


Fig. 18.7. Demonstrație asupra efectelor reacției asupra distorsiunilor din etajul de ieșire : a – schema electrică; b – curba de transfer a amplificatorului de putere fără reacție; c – curba de transfer cu reacție.

Fig. 18.7, b prezintă o fotografie a oscilogramelor funcției de transfer fără reacție la etajul de ieșire,  $v_3$  ca funcție de  $v_1$  (sau de  $v_5$ ). Apar neliniarități în jurul originii deoarece niciunul dintre tranzistoarele de la ieșire nu conduce dacă  $v_5$  este mai mic de 0,4 V în amplitudine. Pentru valori mari ale lui  $v_3$ , caracteristica de transfer se aplatisează, deoarece  $\beta$  scade la valori mari ale curențului și în final, deoarece tranzistorul se saturează. Funcția de transfer a circuitului cu reacție globală (comutatorul pe poziția 2) este arătată în fig. 18.7, c.

Este vizibilă îmbunătățirea liniarității.

În fig. 18.8 sînt prezentate oscilogramele formelor de undă ale intrării și ieșirii amplificatorului de putere, cu și fără reacție, presupunînd în ambele cazuri intrarea sinusoidală.

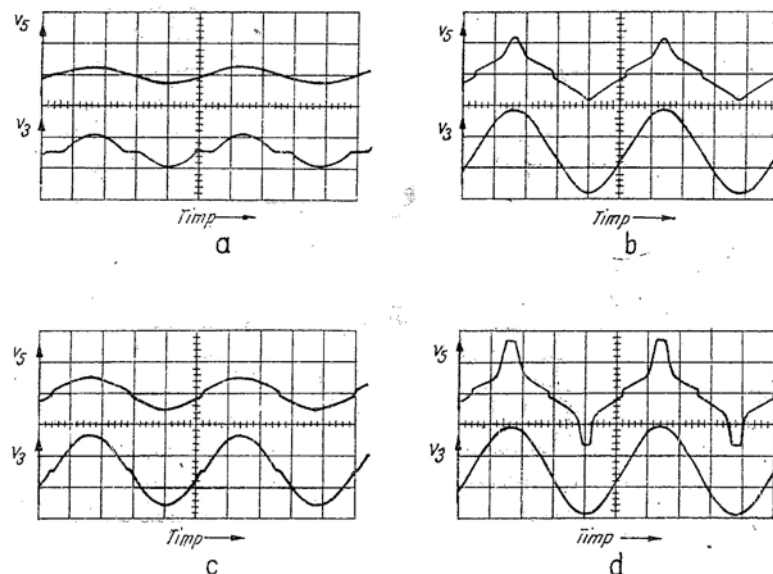


Fig. 18.8. Oscilograma arătînd efectul reacției asupra distorsiunilor etajului de ieșire: a – fără reacție; b – reacție medie; c – reacție puternică; d – aceeași reacție ca la (c) dar cu un semnal de intrare mai mare.

Distorsionarea semnalului de ieșire, atît de clară în fig. 18.8, a, aproape a dispărut în fig. 18.8 c. Pentru a produce acest semnal aproape sinusoidal la ieșire, a fost necesară o schimbare substanțială a tensiunii de intrare  $v_5$ , așa cum se poate constata din figură. Deoarece neliniaritatea amplificatorului  $a_2$  este încă prezentă, a fost necesar să se predistorsioneze forma de undă la intrarea lui  $a_2$ , pentru a obține un semnal la ieșire aproape sinusoidal. Acest fapt are consecințe importante pentru proiectarea unui amplificator de semnal mic care comandă amplificatorul de putere: etajul de ieșire al amplificatorului de excitație trebuie proiectat în așa fel încît să manipuleze amplitudini de semnal mult mai mari decît cele normale pentru a permite această predistorsiune.

Se observă că în fig. 18.8, d amplificatorul de putere a fost condus la saturație. Amplificatorul de semnal mic încearcă să compenseze acest fapt, dar, în final, se saturează și el. (Pentru detalii asupra folosirii acestui circuit pentru o demonstrație experimentală de curs (v. § 18.8.2).



### 18.1.5. Rezumat

S-a văzut că atunci când se aplică reacția negativă, amplificatorul este desensibilizat, ceea ce înseamnă că se obține o amplificare mult mai constantă ca anterior, zgomotele sînt suprimate în anumite condiții, iar distorsiunile sînt reduse.

Se va arăta, de asemenea, că banda amplificatorului se lărgeste și impedanțele de intrare și ieșire sînt modificate.

Toate aceste avantaje sînt obținute cu un preț; amplificarea de tensiune se reduce direct proporțional cu desensibilizarea. Cu toate acestea, amplificarea de tensiune se obține de obicei cu ușurință și de aceea, este convenabil să se sacrifice amplificarea de tensiune în favoarea desensibilizării. Există considerente practice care susțin cele afirmate pînă în acest moment. În primul rînd, reacția stabilizează amplificarea și reduce distorsiunile, deoarece amplificarea depinde acum de proprietățile anumitor componente pasive ale rețelei și în mică măsură de parametrii componentelor active. Aceste componente pasive sînt mult mai „ideale” decît dispozitivele active cum ar fi tranzistoarele; ele sînt mult mai liniare și mai constante în valoare, față de schimbările de temperatură, umiditate, curenții la care se operează și alți factori similari.

În al doilea rînd, amplificarea de tensiune se obține cu ușurință, în timp ce capacitatea de manipulare a puterii este redusă. Etajele care nu au drept sarcină majoră manipularea puterii pot fi făcute să lucreze liniar și pot fi scoase de sub influența semnalelor parazite, cum ar fi zgomotul de rețea al sursei de alimentare, într-o mai mare măsură decît etajele de putere. De aceea este de dorit să se mărească amplificarea de tensiune adăugînd un etaj cu tranzistor de joasă putere, dacă o astfel de modificare va îmbunătăți proprietățile părții din circuit care controlează puterea.

## 18.2. CELE PATRU TOPOLOGII DE BAZĂ DE CIRCUITE CU REACȚIE

În paragrafele precedente au fost studiate proprietățile de bază ale amplificatoarelor cu reacție folosind scheme-bloc simple. În cele ce urmează se va face legătura între aceste scheme-bloc și circuitele reale cu tranzistoare și se vor dezvolta căile de identificare ale funcțiilor de transfer  $a$  și  $f$  prin examinarea circuitului. Este de dorit, să se introducă efectele capacitive pentru a discuta răspunsul în frecvență al amplificatoarelor cu reacție și de aceea, calculele care se vor face în continuare vor presupune că tensiunile și curenții sînt mărimi complexe, adică se plasează în domeniul frecvențelor.

Așadar se va presupune în continuare că toate amplificatoarele lucrează liniar. Referitor la amplificare (sau atenuare), procesele avînd la bază două

semnale, sînt reprezentate de schema-bloc a reacției (fig. 18.1, *a*). Acestea sînt esenționale ale tensiunii sau curențului de ieșire care aplică un semnal atenuatorului de precizie, iar compararea de la intrare, fie de tensiune, fie de curent, este folosită pentru a determina un semnal care se aplică amplificatorului de bază. Reiese că schema-bloc generală poate fi realizată cu circuite cu tranzistoare în patru forme distincte, indentificabile topologic. Acestea sînt prezentate în fig. 18.9, *a, b, c* și *d*. Cînd se iau în considerare circuite reale, rezultă a fi mult mai ușor să se facă diferențierea între aceste tipuri, folosind topologia circuitului, decît a se decide care sînt variabilele esanționate sau comparate. Așadar atenția cititorului va fi concentrată asupra conectării sursei de semnal, amplificatorului și rețelei de reacție pentru intrare și a sarcinii, amplificatorului și rețelei de reacție pentru ieșire.

În fig. 18.9, *a* și *b*, topologia circuitului este de tip *buc\_lă*, adică, sursa de semnal, amplificatorul de bază și rețeaua de reacție sînt conectate în *buc\_lă*, de către comparator. Pe de altă parte, în fig. 18.9, *c* și *d*, topologia circuitului de intrare este de tip *nod*, deoarece sursa de semnal, amplificatorul de bază și rețeaua de reacție sînt conectate împreună între *aceleasi noduri*. În funcție de alegere, se utilizează teorema Thévenin a sursei de tensiune echivalente, sau, respectiv, teorema Northon a sursei de curent echivalente. Folosirea acestor teoreme, deși neesențială, va ușura analiza ulterioară.

În mod similar, există două metode topologice distincte referitoare la esanționarea semnalului de la ieșirea amplificatorului. În fig. 18.9, *a* și *d*, topologia este de tip *buc\_lă*, ceea ce înseamnă că sarcina amplificatorului de bază și rețeaua de reacție sînt conectate în *buc\_lă*. În aceste cazuri rețeaua de reacție esanționează *curentul* de ieșire (sau sarcină). În fig. 18.9, *b* și *c* topologia este de tip *nod* deoarece sarcina, ieșirea amplificatorului și rețeaua de reacție sînt conectate între *aceleasi noduri*. În aceste cazuri rețeaua de reacție esanționează *tensiunea* de ieșire (sau sarcină). Este important că aceste identificări să fie realizate la începutul oricărei analize sau proiectări, deoarece caracteristicile de bază ale amplificatorului cu reacție, cum ar fi impedanțele de intrare și ieșire depind în mod critic de tipul comparației și/sau de tipul esanționării folosite.

Exemplele de amplificatoare cu tranzistoare care corespund fidel fiecăreia din cele patru configurații cuadrupol din fig. 18.9, sînt prezentate în fig. 18.10. Odată identificate terminalele sursei, intrările amplificatorului de bază și ale rețelei de reacție<sup>1)</sup>, se poate decide dacă compararea este de tip *buc\_lă* sau *nod*. Similar, odată identificată sarcina și ieșirile amplificatorului de bază și ale rețelei de reacție, se poate decide dacă esanționarea este de tip *buc\_lă* sau *nod*. Deși identificarea tipului de topologie este suficient de clară în fig. 18.10, numai fig. 18.10, *c*, prezintă o ușoară

<sup>1)</sup> În teoria prezentată aici se desemnează capătul dinspre sursă al rețelei de reacție ca intrare, iar cel dinspre sarcină ca ieșire, deși, de fapt, semnalul trece prin rețeaua de reacție de la dreapta către stînga ( $NA$ ).

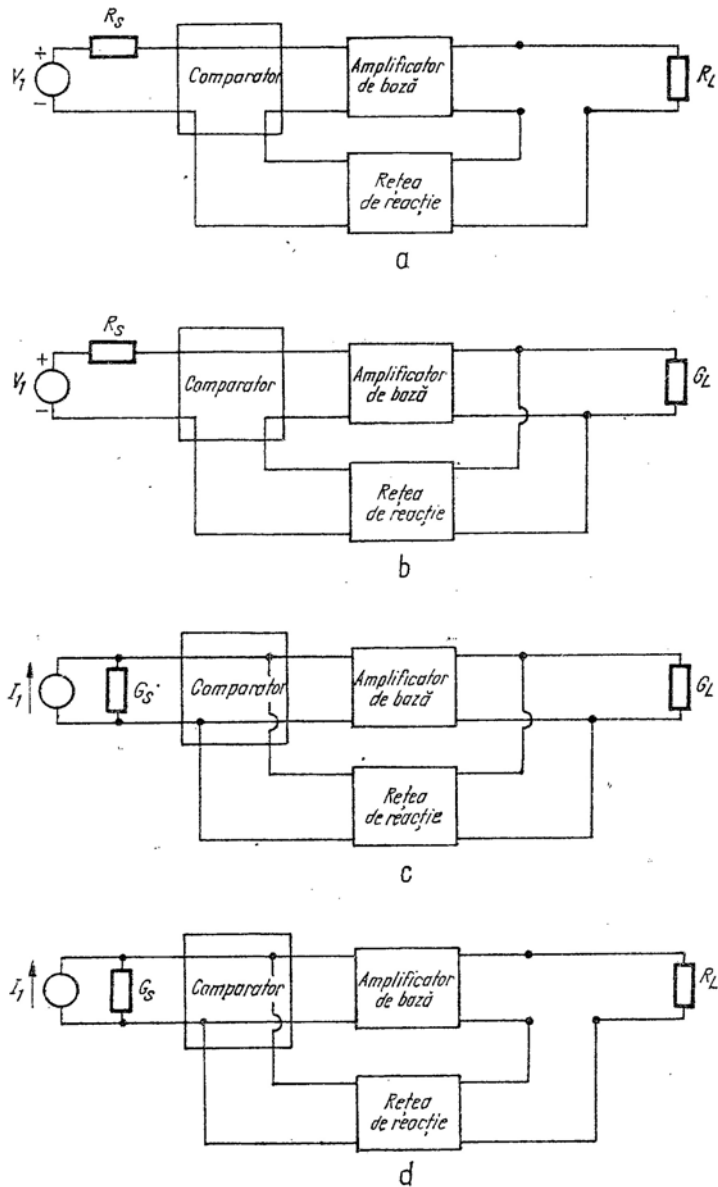


Fig. 18.9. Cele patru configurații de cuadripol pentru un amplificator cu reacție. Polaritățile arată direcțiile normale de referință pentru tensiunile terminalelor la capete. Aceste configurații sînt cîteodată menționate în literatură cu numele: serie-serie, serie-șunt, șunt-șunt, șunt-serie:

a - comparare pe buclă, eșantionare pe buclă; b - comparare pe buclă, eșantionare în nod; c - comparare în nod, eșantionare în nod; d - comparare în nod, eșantionare pe buclă.

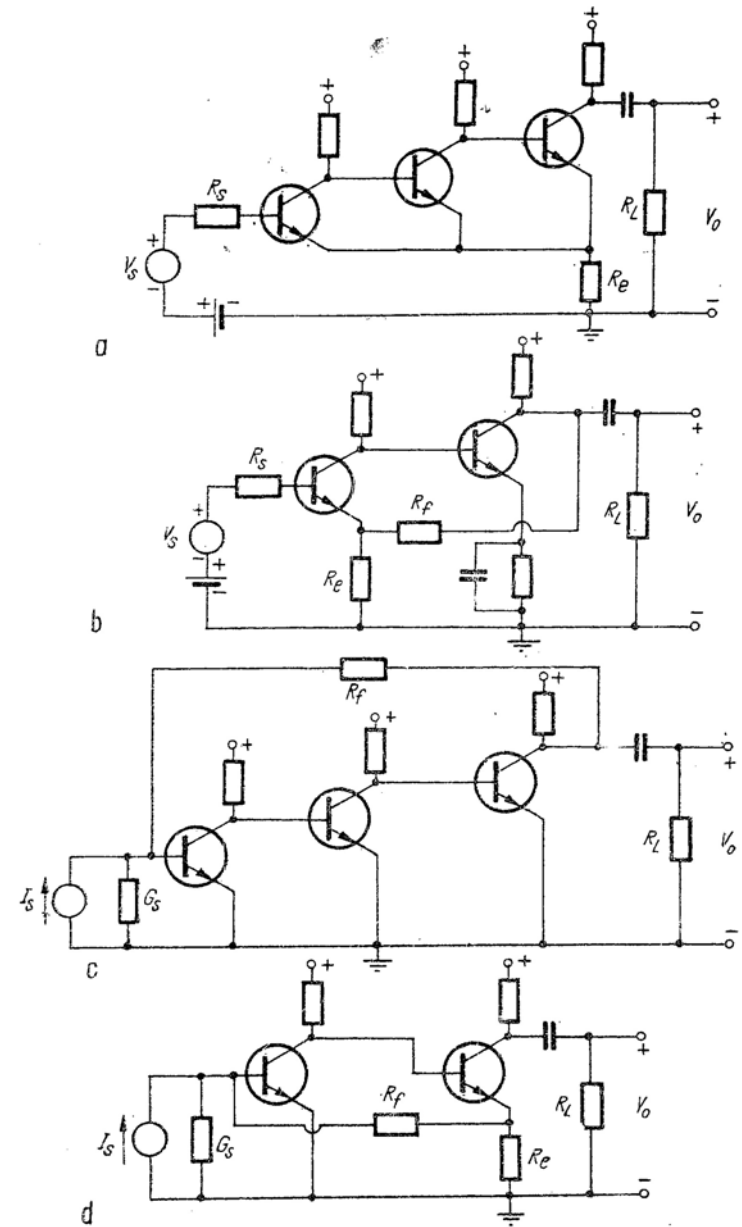


Fig. 18.10. Exemple de amplificatoare cu reacție cu tranzistoare care corespund îndeaproape configurațiilor de cuadripol din fig.18.9:

a - comparare pe buclă, eșantionare pe buclă; b - comparare pe buclă, eșantionare în nod; c - comparare în nod, eșantionare în nod; d - comparare în nod, eșantionare pe buclă.

ambiguitate față de reprezentarea similară din fig. 18.9. Totuși, după cum se va vedea ulterior, dacă se fac anumite presupuneri, circuitele din fig. 18.10 se reduc la cele corespunzătoare din fig. 18.9.

Deși discuția din acest capitol este limitată la cele patru configurații de bază, ale amplificatoarelor cu reacție, este important să se rețină că în practică pot fi folosite combinații de două sau mai multe configurații. Mai mult, adesea este de dorit să se folosească o configurație de reacție „încuibărită”, în care „amplificatorul de bază” însuși este compus din mai multe amplificatoare de bază și dintr-o rețea de reacție.

### 18.3. ANALIZA ȘI PROIECTAREA CIRCUITELOR PE BAZA COMPARĂRII ȘI EȘANTIONĂRII NODURILOR

Odată suprimat efectul încărcării amplificatorului de bază de către rețeaua de reacție (atenuatorul de precizie), este posibil să se facă o distincție clară între amplificatorul de bază și rețeaua de reacție, așa cum s-a arătat în fig. 18.1, *a* și *b*. Totuși, în multe circuite de amplificatoare cu reacție, elementele pasive ale rețelei de reacție reprezintă impedanțe importante conectate în serie sau în paralel cu amplificatorul de bază. Așadar, nu mai este posibil să se considere amplificatorul de bază ca un „bloc” a cărei amplificare este complet independentă de elementele pasive ale rețelei de reacție. Desigur, se poate analiza orice circuit cu reacție prin aplicarea directă a teoremelor lui Kirchhoff pentru tensiuni și curenți, ignorând aspectele specifice introduse de reacție. Reacția este extrem de utilă, dar nu absolut esențială. Se recurge la astfel de metode de analiză directă pentru a verifica soluțiile aproximative, în anumite cazuri dificile. Este mai bine totuși să se identifice un *circuit a* și un *circuit f* ale căror funcții de transfer se pot utiliza în relația :

$$A = \frac{a}{1 + af} \quad (18.17)$$

O astfel de identificare poate fi realizată pe baza a trei presupuneri de bază referitoare la parametrii rețelei. Mai mult, este posibil să se identifice prin inspectare, acea parte a amplificatorului cu reacție care formează circuitul *a*. Acesta este punctul central de la care pornește analiza și proiectarea rapidă a circuitelor cu reacție.

#### 18.3.1. Analiza cu ajutorul cuadripolilor

În continuare, se vor identifica funcțiile de transfer *a* și *f* pentru cele patru configurații simple de circuit reprezentate în fig. 18.9 sau 18.10 — și anume circuitul având comparare în nod și eșantionare în nod (fig. 18.9, *c*

sau 18.10 *c*). Se preferă să se facă identificarea pentru reprezentarea generală sub formă de cuadripol din fig. 18.9, *c*, mai degrabă decât utilizând un amplificator specific, cum ar fi cel din fig. 18.10, *c*. Se va adopta următoarea procedură :

1. Se evaluează amplificarea globală a rețelei generale din fig. 18.9, *c* punind rezultatul sub „forma reacției” (ecuația 18.17).

2. Se identifică din acest rezultat funcțiile de transfer *a* și *f*.

3. Se fac aproximații adecvate în așa fel încât *a* și *f* să capete interpretări simple în formă de circuit, deci pentru a putea determina *a* și *f* printr-o inspectare directă a circuitului, fără a dezvolta o analiză completă și laborioasă în fiecare caz.

Pentru a dezvolta o analiză generală, trebuie mai întâi să se decidă care din cele patru reprezentări în formă de cuadripol (*y*, *z*, *h*, *g*) a rețelelor liniare este cea mai adecvată pentru cuadripolul din fig. 18.9, *c*. Având comparare în nod, ar trebui selecționat modul de reprezentare în care sursa de semnal și elementele de intrare sînt conectate împreună la o pe-

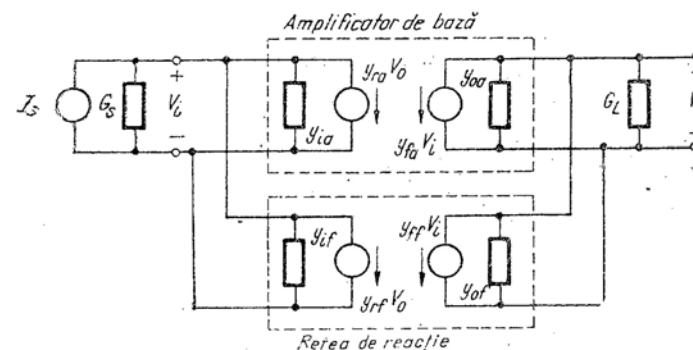


Fig. 18.11. Reprezentarea unui amplificator cu reacție cu eșantionare și comparare în nod, prin parametrii *y*.

reche comună de noduri. În mod similar, avînd eșantionare în nod, trebuie folosită reprezentarea în formă de cuadripol în care ieșirile și sarcina sînt conectate la aceeași pereche de noduri. Descrierea în forma parametrilor *y*, implicînd folosirea admitanțelor de scurtcircuit  $y_{ii}$ ,  $y_{oo}$ ,  $y_{if}$  și  $y_{rf}$ , întrunește aceste condiții. Pe această bază amplificatorul cu reacție „nod-nod” (fig. 18.9, *c* sau 18.10, *c*) poate fi privit ca o conectare în paralel a doi cuadripoli, ca în fig. 18.11. S-a adăugat al doilea indice parametrilor *y*, cu scopul de a face distincția între parametrii amplificatorului *a* și parametrii rețelei de reacție *f*.

Analiza circuitului din fig. 18.11 este simplă. Ecuatiile în noduri sînt :

$$I_s = (G_s + y_{ia} + y_{if}) V_i + (y_{ra} + y_{rf}) V_o; \quad (18.18a)$$

$$0 = (y_{fa} + y_{ff}) V_i + (G_L + y_{oa} + y_{of}) V_o. \quad (18.18b)$$

Pentru simplificare, se vor defini două admitanțe :

$$Y_i = G_s + y_{ia} + y_{if} \quad (18.19)$$

și

$$Y_o = G_L + y_{oa} + y_{of}. \quad (18.20)$$

Rezolvînd pentru a determina  $V_o$  și substituind ecuațiile (18.19) și (18.20) în relațiile (18.18) se obține :

$$\frac{V_o}{I_s} = \frac{-(y_{fa} + y_{ff})}{Y_i Y_o - (y_{fa} + y_{ff})(y_{ra} + y_{rf})}. \quad (18.21)$$

Această ecuație poate fi pusă în „forma reacției” (ecuația 18.17), în moduri diferite, dar rezultatul cel mai folositor pentru scopul urmărit se obține împărțind numărătorul și numitorul relației 18.21 prin produsul  $Y_i Y_o$  :

$$\frac{V_o}{I_s} = \frac{\frac{-(y_{fa} + y_{ff})}{Y_i Y_o}}{1 + \frac{-(y_{fa} + y_{ff})}{Y_i Y_o} (y_{ra} + y_{rf})}. \quad (18.22)$$

Această relație capătă forma (18.17), dacă se fac următoarele identifi-cări :

$$a = -\frac{y_{fa} + y_{ff}}{Y_i Y_o} \quad (18.23)$$

și

$$f = y_{ra} + y_{rf}. \quad (18.24)$$

Se pot obține interpretări concrete pentru  $a$  și  $f$ , numai dacă se fac trei aproximații rezonabile pentru cazurile practice. Mai întii, trebuie presupus că întreaga amplificare este realizată de către amplificatorul de bază și nu de către rețeaua de reacție. Această presupunere este justificată, deoarece amplificatorul este proiectat să aibă o amplificare substanțială în timp ce rețeaua de reacție este un atenuator pasiv. Referitor la parametrii  $y$ , aceasta implică relația :

$$|y_{fa}| \gg |y_{ff}|. \quad (18.25)$$

În al doilea rînd trebuie presupus că cea mai mare parte a semnalului aplicat de la ieșire către intrare trece prin rețeaua de reacție și nu înapoi, prin amplificatorul de bază. În funcție de parametrii  $y$ , acest fapt implică următoarea condiție pentru parametrii de transfer invers  $y_{ra}$  și  $y_{rf}$  :

$$|y_{ra}| \ll |y_{rf}|. \quad (18.26)$$

A treia condiție, necesară în paragraful următor, este ca amplificatorul de bază să fie suficient de unilateral, astfel încît schimbările admitanței sale de sarcină, să nu afecteze în mod sensibil admitanța de intrare (aceeași condiție cerută în § 17.14 la amplificatoarele acordate). Așadar în termenii parametrilor  $y$ ,

$$|y_{fa} y_{ra}| \ll |Y_i Y_o|. \quad (18.27)$$

Cînd se aplică restricțiile din ecuațiile (18.25) și (18.26) în ecuațiile (18.22) (18.23) și (18.24) se obține :

$$\frac{V_o}{I_s} = A \approx \frac{\frac{-y_{fa}}{Y_i Y_o}}{1 + \left(\frac{-y_{fa}}{Y_i Y_o}\right) y_{rf}}. \quad (18.28)$$

În consecință, comparînd cu ecuația 18.17 :

$$a \approx \frac{-y_{fa}}{Y_i Y_o} = \frac{-y_{fa}}{(G_s + y_{ia} + y_{if})(G_L + y_{oa} + y_{of})}; \quad (18.29)$$

$$f \approx y_{rf} \quad (18.30)$$

Se observă că, deși anumiți parametri ai rețelei de reacție,  $y_{if}$  și  $y_{of}$ , sînt prezenți în funcția de transfer  $a$ , funcția de tranfer  $f$  depinde numai de

parametrii atenuatorului pasiv. Din § 18.1 reiese clar că pentru o funcționare corectă a amplificatorului cu reacție, *circuitul f trebuie să aibă această proprietate.*

### 18.3.2. Reprezentările sub formă de circuit pentru *a* și *f*

Pentru a evita calcularea parametrilor *y* pentru fiecare din circuitele luate în considerare, este necesar să se găsească interpretări simple pentru funcțiile de transfer *a* și *f* specificate prin ecuațiile (18.29) și (18.30). Se observă că circuitul reprezentat în fig. 18.21, *b* are o funcție de transfer egală cu :

$$\frac{V_o'}{I_s} = \frac{-y_{ia}}{Y_i Y_o - y_{ia} y_{ra}} \quad (18.31)$$

(aceasta se determină fie prin calcul direct, fie prin egalarea cu zero a mărimilor  $y_{if}$ , și  $y_{rf}$ , în ecuațiile 18.18 și 18.21). Așadar, amplificatorul este suficient de unilateral, astfel încât termenul  $y_{ia} y_{ra}$  de la numitor poate fi neglijat, adică este satisfăcută ecuația 18.27. Se reamintește, din cadrul discuției de la amplificatoarele acordate, că produsul  $y_{ia} y_{ra}$  este, de obicei, mai mic pentru un număr oarecare de etaje în cascadă, decît pentru oricare etaj individual.

Comparînd circuitul din fig. 18.12, *b* cu circuitul amplificatorului cu reacție complet, redesenat în fig. 18.12, *a*, se pot deduce reguli simple de formare a circuitului *a* pentru orice amplificator cu reacție care prezintă comparare și eșantioanare în nod.

1. Se identifică diferitele părți componente ale amplificatorului cu reacție: sursa de semnal, amplificatorul de bază și rețeaua de reacție, după cum s-a discutat în § 18.2.

2. Se formează circuitul *a* completînd amplificatorul de bază cu elementele  $y_i$  și  $G_s$  la intrare și  $y_o$  și  $G_L$  la ieșire. Aceasta înseamnă că toate efectele de încărcare ale sursei, rețelei de reacție și sarcinii sînt asociate cu circuitul *a*.

Această completare a amplificatorului de bază poate fi realizată fără calculul parametrilor *y* și de fapt, fără nici un calcul. În mod concret, încărcarea nodului de intrare a circuitului *a*, produsă de sursă, de amplificatorul de bază și de rețeaua de reacție reprezintă ceea ce rămîne după punerea la masă a nodului de ieșire a amplificatorului de bază pentru a anula reacția. Similar, încărcarea nodului de ieșire al circuitului *a*, produsă de sarcină, amplificatorul de bază și de rețeaua de reacție, reprezintă ceea ce rămîne după punerea la masă a nodului de intrare al amplificatorului complet cu reacție, pentru a anula reacția.

O proprietate importantă a acestei formulări pentru reacție, este faptul că circuitul *a* conține amplificatorul de bază fără modificări. Așadar,

formularea circuitului *a* se reduce la adăugarea, la amplificatorul de bază existent, a anumitor admitanțe, în mod normal asociate cu rețeaua de reacție. Această proprietate este prezentată în fig. 18.13, *a*.

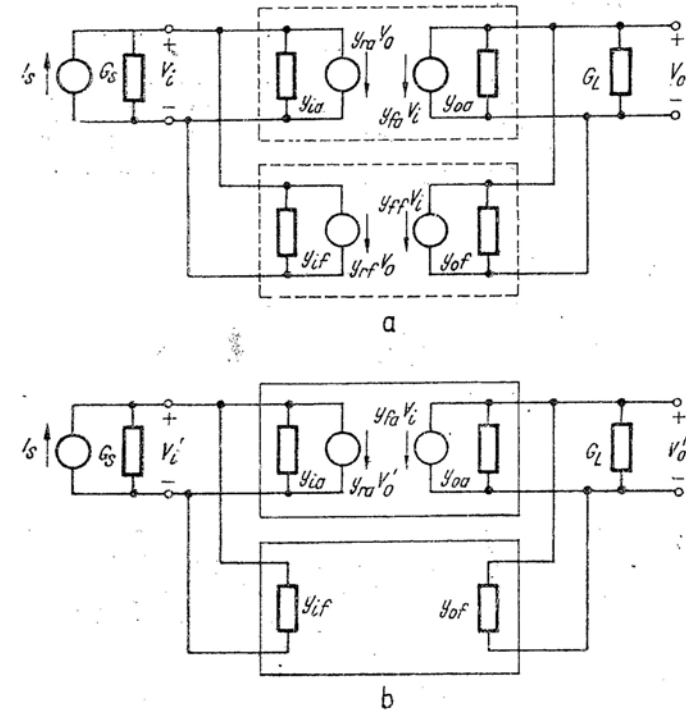


Fig. 18.12 Formarea circuitului *a* prin parametrii *y*:

*a* — amplificatorul cu reacție complet reprezentat prin parametrii *y*; *b* — circuitul *a* corespunzător:

$$a = \frac{V_o'}{I_s} \approx \left( \frac{1}{y_{ia} + y_{if} + G_s} \right) (-y_{ia}) \left( \frac{1}{y_{oa} + y_{of} + G_L} \right)$$

Reiese a fi imposibil să se obțină o interpretare simplă pentru funcția *f* similară cu cea dedusă pentru *a*. Problema este că, pe baza presupunerilor simplificatoare de la pag. 137, funcția de transfer (ec. 18.30) este prin definiție  $y_{rf}$ , admitanța de transfer invers a rețelei de reacție.

Deoarece efectele lui  $y_{if}$  și  $y_{of}$  au fost luate în considerare prin includerea lor în circuitul *a*, circuitul *f* rezultă a fi o pură transadmitanță, cu admitanțe de intrare și ieșire egale cu zero. Este clar că nu există nici un element de rețea care să formeze o reacție cu astfel de proprietăți. Deci trebuie să ne mulțumim să calculăm  $y_{rf}$  pentru rețeaua de reacție și să reprezen-

tăm circuitul  $f$  ca sursă controlată  $y_{rf} V'_o$  ca în fig. 18.13,  $b$ . Parametrul  $y_{rf}$  se calculează conform regulilor standard de calcul ale parametrilor  $y$ : se scurtcircuitază intrarea rețelei de reacție, se aplică o sursă de tensiune la ieșire  $V'_o$  și se calculează curentul  $I_t$  care *intră* în intrarea scurtcircuitată, după cum este ilustrat în fig. 18.13,  $b$ .

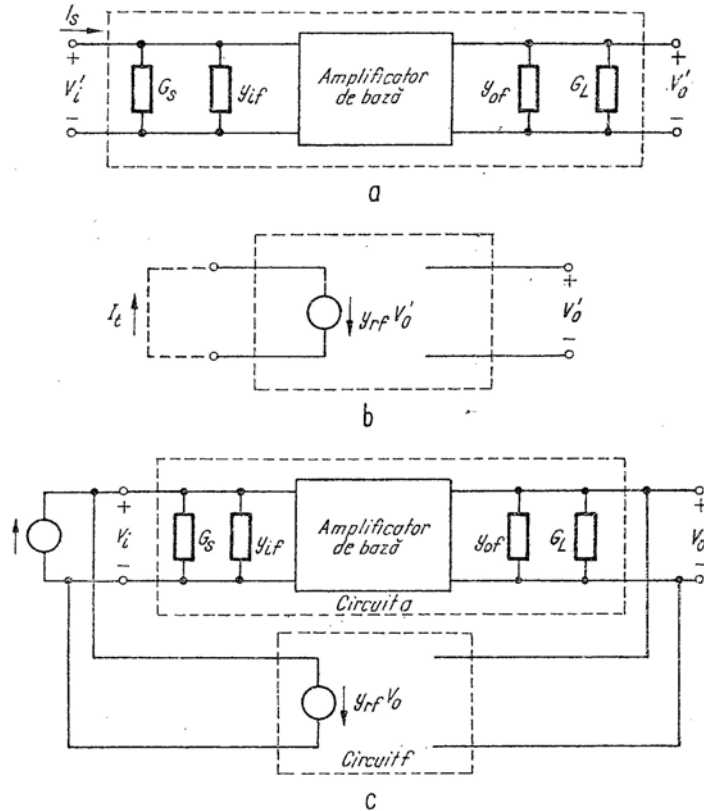


Fig. 18.13. Formarea circuitelor  $a$  și  $f$ :

$a$  — circuitul  $a$ ;  $a = V'_o/I_s$ ;  $b$  — circuitul  $f$ ,  $f = I_t/V'_o$ ;  $c$  — amplificatorul complet cu reacție.

Circuitele  $a$  și  $f$  din fig. 18.13,  $a$  și  $b$  au fost reconectate în fig. 18.13,  $c$  pentru a reface amplificatorul cu reacție complet. Se observă că datorită felului în care a fost definit circuitul  $f$ , el nu încarcă circuitul  $a$  în nici un fel și nici funcția de transfer a circuitului  $f$  nu este afectată de efectele de încărcare a circuitului  $a$ . Deci, formînd circuitele  $a$  și  $f$  în maniera par-

ticulară prezentată mai sus, de fapt s-a transformat circuitul general al amplificatorului cu reacție nod-nod, într-o formă care poate fi din nou descrisă prin schemele-bloc originale din fig. 18.1.

### 18.3.3. Exemplu de proiectare

Se vor aplica, acum, rezultatele acestuia unui circuit cu reacție particular arătat în fig. 18.14,  $a$  (în esență o repetare a fig. 18.10). Circuitul echivalent de semnal mic la frecvențe medii este reprezentat în fig. 18.14,  $b$ ). Se observă că, în concordanță cu cerințele topologiei în nod, sursa de semnal a fost transfigurată prin teorema Northon.

Se va urmări procedura schițată în § 18.3.2 pentru a determina circuitul  $a$ , incluzînd în acest circuit rezistența sursei, sarcina  $G_L$  și amplificatorul cu tranzistoare, (fig. 18.14,  $c$ ). Efectul de încărcare al rețelei cu reacție la intrarea circuitului  $a$ , se găsește scurtcircuitînd nodul de ieșire la masă, (în fig. 18.14,  $b$ ); în acest fel se vede conductanța  $G_f$  din nod către masă.

Într-o manieră similară, se găsește încărcarea de la ieșire scurtcircuitînd nodul de intrare la masă (fig. 18.14,  $b$ ) deci apare conductanța adițională  $G_f$  în paralel cu ieșirea circuitului  $a$ . Amplificarea la semnal mic a circuitului  $a$ :

$$a = \frac{V'_o}{I_s}$$

poate fi acum calculată prin inspectare.

Funcția de transfer se calculează prin scurtcircuitarea nodului de intrare la masă (fig. 18.14,  $b$ ) și prin aplicarea unei surse de tensiune  $V'_o$  la nodul de ieșire, așa cum se arată în fig. 18.14,  $d$ . Pentru acest circuit:

$$f = \frac{I_T}{V'_o} = -G_f. \quad (18.32)$$

Circuitul  $f$  obținut, este reprezentat în fig. 18.14,  $e$ . Aceste rezultate pot fi verificate cu ușurință prin calcul direct (v. problema 18.2).

În continuare, se va lua în considerație proiectarea unui amplificator cu reacție de tipul celui reprezentat în fig. 18.14,  $a$ , avînd o amplificarea de tensiune cu buclă închisă  $V_o/V_s$  de  $-100$  și o desensibilizare, a schimbărilor parametrilor amplificatorului de bază de aproximativ 70. Se consideră  $R_s = 50 \Omega$ . Mai întîi, trebuie traduse aceste specificații în termenii ceruți de  $A$ ,  $f$  și  $a$ . Pentru acest tip de reacție  $A$  nu este amplificarea de tensiune, ci transimpedanța:

$$A = \frac{V_o}{I_s} = \frac{a}{1 + af}. \quad (18.33)$$

Deci

$$A = \frac{V_o}{V_s G_s} = -100 \times 50 = -5000 \Omega.$$

Din ecuația 18.7, desensibilizarea este  $1 + af$ , cu valoarea 70. Deci, din ecuația (18.33), amplificarea amplificatorului de bază, adică transimpedanța este:

$$a = \frac{V'_o}{I_s} = A (1 + af) \approx (-5000) (70) = -350 \text{ k}\Omega.$$



Aceasta corespunde unei amplificări de tensiune a amplificatorului  $a$  de:

$$\frac{V'_o}{V_s} = \frac{V'_o}{I_s R_s} = \frac{-350 \text{ k}\Omega}{0,05 \text{ k}\Omega} = -7000.$$

Altă alternativă de calcul ar fi:

$$\frac{V'_o}{V_s} = \frac{V_o}{V_s} (1 + af) = (-100)(70) = -7000.$$

De asemenea, din ecuația (18.33), deoarece  $a$  este mare, funcția de transfer a rețelei de reacție trebuie să fie:

$$f \approx \frac{1}{A} = \frac{1}{-5000 \Omega} = -0,2 \text{ mS}$$

sau mai exact,

$$f = \frac{70 - 1}{-350 \text{ k}\Omega} = 0,197 \text{ mS}.$$

Avind toți parametrii amplificatorului de bază definiți, se poate trece la proiectarea de detaliu.

În acest exemplu, valoarea lui  $G_f$  este determinată de  $f$  (v. ecuația 18.32):

$$G_f = -f = 0,2 \text{ mS}.$$

Parametrii amplificatorului de bază pot fi aleși pe baza circuitului echivalent de semnal mic al circuitului  $a$  (fig. 18.14, c). Amplificarea unui astfel de circuit a fost calculată în § 16.1.1 (v. ec. 16.2), cu excepția modificărilor minore introduse în acest caz de apariția lui  $G_f$  în paralel cu  $G_s$  la intrare și cu  $G_L$  la ieșire. Proiectarea acestui amplificator, pentru o amplificare impusă a fost discutată în § 16.12 astfel încât nu va mai fi repetată aici. De fapt, proiectarea celor trei etaje, schițată în acel paragraf, urmărește îndeaproape condițiile prezentate.

Folosind ecuația 16.2 (modificată pentru a include efectul lui  $G_f$ ), valorile parametrilor din tabelul 16.1 (v. pag. 53 și valorile rezistențelor  $R_{L1} = 500 \Omega$ ,  $R_{L2} = 200 \Omega$ ,  $R_L = 100 \Omega$ ,  $R_{L3} \gg R_L$ ,  $G_f = 0,2 \text{ mS}$ , se obține:

$$a = \frac{V'_o}{I} = -354 \text{ k}\Omega.$$

(v. problema P.18.3). Aceasta completează proiectarea la frecvențe medii <sup>1)</sup>.

<sup>1)</sup> Deși calculele de mai sus sînt corecte, atît de departe cît merg, se va vedea în cap. 19 că dacă se folosesc trei tranzistoare identice, amplificatorul cu reacție proiectat aici este instabil. Deci, funcția de transfer prezintă poli în semiplanul drept, deci moduri de creștere naturală, exponențială. (NA)

Pentru a verifica această proiectare, se calculează desensibilizarea și amplificarea globală care se realizează cînd rezistența de  $5 \text{ k}\Omega$  este conectată de la ieșirea către intrarea amplificatorului de bază, cum se arată în fig. 18.14, a. De sensibilizarea este:

$$1 + af' = 1 + (-354)(-0,2) = 71,8,$$

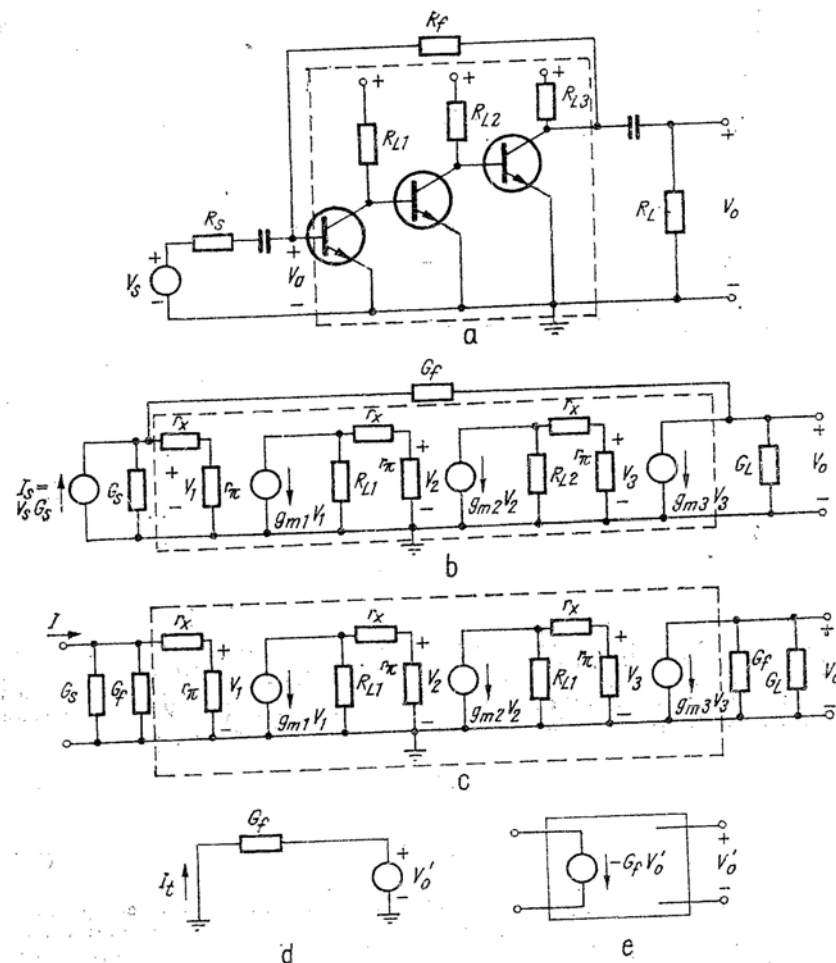


Fig. 18.14. Amplificator cu reacție cu comparare în nod și eşantionare în nod. Zona hașurată indică amplificatorul de bază:  
a - schema de principiu; b - circuitul echivalent la frecvențe medii presupunând  $R_s \gg R_L$ ; c - circuitul a;  
d - circuitul pentru calculul lui  $f$ ; e - circuitul  $f$ .

iar amplificarea globală cu reacție :

$$A = \frac{-354}{71,8} = -4,92 \text{ k}\Omega.$$

Se observă că, deoarece s-a folosit comparare și eșantionare în nod, funcția de transfer care se stabilizează prin reacție este transimpedanța  $V_o/I_S$  și nu amplificarea de tensiune  $V_o/V_S$ . Dacă  $R_S$  este un parametru stabil, amplificarea de tensiune este stabilizată deoarece :

$$\frac{V_o}{V_S} = \frac{V_o}{R_S I_S} = \frac{A}{R_S}. \quad (18.34)$$

În acest exemplu, amplificarea de tensiune este :

$$\frac{V_o}{V_S} = A G_S = (-4,94) (20) = -99.$$

Ecuația (18.34) se combină cu relația :

$$A \approx \frac{1}{f} = -R_f, \quad (18.35)$$

și scoate la iveală un punct de vedere, adesea foarte folositor pentru calcularea amplificării globale de tensiune. Se observă din ecuațiile (18.34) și (18.35) că aceasta este exprimată de raportul a două rezistențe :

$$\frac{V_o}{V_S} \approx -\frac{R_f}{R_S}. \quad (18.36)$$

Valabilitatea acestei relații simple poate fi văzută din fig. 18.14, a. Datorită faptului că amplificatorul de bază cu trei etaje are o amplificare de tensiune foarte mare, tensiunea  $V_a$  de pe baza primului tranzistor trebuie să fie foarte mică : de ordinul fracțiunilor de milivolt dacă  $V_o$  este de ordinul citorva volți. Dacă amplificatorul are o reacție substanțială,  $V_a$  va fi de asemenea mult mai mică decât  $V_S$ . Așadar, într-o primă aproximație se presupune :

$$V_a \approx 0. \quad (18.37)$$

Deci,

$$I_{b1} \approx 0. \quad (18.38)$$

Tensiunea  $V_o$  trebuie să se autoregleze pentru a satisface aceste condiții. Din ecuația (18.37), căderea de tensiune pe rezistența  $R_S$  trebuie să fie  $V_S$ , iar căderea de tensiune pe rezistența  $R_f$  trebuie să fie  $V_o$ . De asemenea, deoarece  $I_{b1} \approx 0$  curenții prin aceste două rezistențe trebuie să fie egali și de sensuri contrare :

$$\frac{V_S}{R_S} = -\frac{V_o}{R_f}. \quad (18.39)$$

Ecuația este echivalentă cu ecuația (18.36). Această tratare simplificată este utilă în mod special pentru abordarea amplificatoarelor operaționale (v. fig. 16.16), deoarece aceste amplificatoare au adesea amplificări de tensiune de  $10^5$  și  $10^6$ . În plus, adesea, ele au impedanță de ieșire suficient de mică astfel încât efectul de încărcare produs de rețeaua de reacție să poată fi neglijat (v. problemele P.18.22 și P.18.25).

### 18.3.4. Transmisia pe buclă

Din paragraful precedent reiese clar că un parametru important în calculul amplificatoarelor cu reacție este desensibilizarea  $1 + af$ , care poate fi adesea aproximată prin  $af$  pentru desensibilizare mare. Din punct de vedere algebric, ultima expresie poate fi exprimată în funcție de parametrii  $y$  prin produsul ecuațiilor (18.29) și (18.30) :

$$af = \frac{V'_o I_t}{I_S V'_o} = \frac{I_t}{I_S} = \frac{-y_{fa}}{(y_{ia} + y_{if} + G_S)(y_{oa} + y_{of} + G_L)} y_{rf} \quad (18.40)$$

Dar, din aceleași motive, este folositor să existe o interpretare de circuit a acestui produs, în plus față de circuitele existente pentru  $a$  și  $f$ . Deoarece circuitul  $f$  nu încarcă circuitul  $a$ , așa cum s-a arătat mai sus, este posibil să se pună în cascadă circuitele  $a$  și  $f$  pentru a obține o nouă rețea a cărei funcție de transfer este produsul funcțiilor de transfer individuale ca în ecuația (18.40). O astfel de conectare în cascadă este arătată în fig. 18.15, a. Așadar, funcția de transfer  $af$ , adesea numită *transmisia pe buclă*, este amplificarea de curent  $I_t/I_S$ , măsurată în condiția anulării reacției, prin deconectarea circuitului  $f$  de la intrarea amplificatorului și *scurt-circuitând* terminalele, acum libere, ale circuitului  $f$ . Pentru a demonstra că nu este necesară aproape nici o modificare a circuitului pentru a face aceste calcule, s-a redesenat circuitul din fig. 18.15, a în fig. 18.15, b, readucând parametrii  $y$  ai circuitului  $f$  la condiția originală. Se desprinde concluzia importantă că funcția de transfer  $I_t/I_S$  este aceeași pentru ambele circuite. Așadar, pentru a calcula funcția de transfer pe buclă a unui circuit de tip nod-nod, se folosește următorul procedeu :

1. Se deconectează circuitul de reacție de la nodul de intrare al amplificatorului.

2. Se adaugă o admitanță  $y_{if}$  la intrarea amplificatorului.

3. Se scurtcircuitază terminalele de intrare ale rețelei de reacție și se calculează curentul care se scurge prin acest scurtcircuit ca răspuns la curentul de la intrarea amplificatorului  $I_S$ . Așa cum s-a arătat, atunci când transmisia pe buclă este pozitivă, sau cu alte cuvinte, când fazai lui  $a$  este zero, reacția este prin definiție, reacție negativă.

Pentru a ilustra această metodă de determinare a transmisiei pe buclă se va calcula  $af$  pentru amplificatorul cu reacție proiectat în § 18.3.3. Plecând de la circuitul echivalent la semnal mic pentru amplificatorul



complet, fig. 18.14, *b*, se construiește circuitul pentru calcularea lui  $af$  (fig. 18.16), în următoarele trepte:

1. Se deconectează conductanța de reacție  $G_r$  de la intrarea amplificatorului și se pune această rezistență la masă.

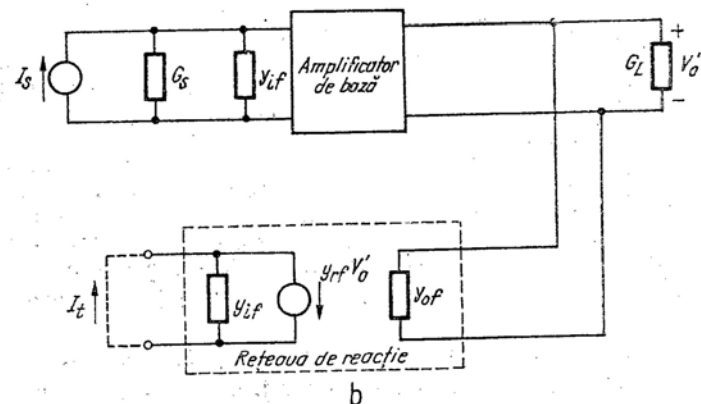
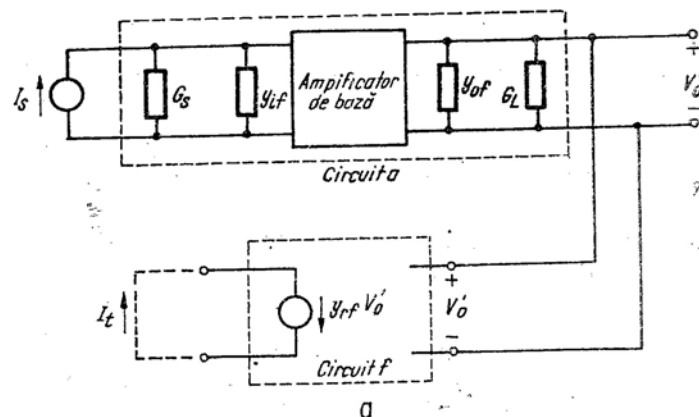


Fig. 18.15. Circuite pentru calcularea transmisiei pe buclă, a produsului  $af$ :  
*a* - calculul în funcție de circuitele *a* și *f*; *b* - calculul în funcție de circuitul inițial din fig. 18.12. *a*.

2. Se adaugă o conductanță  $G_r$  în paralel cu intrarea amplificatorului. Calculul lui  $I_t/I_s$  va fi identic cu produsul între *a* și *f* obținuți separat în § 18.3.3 (v. problema P. 18.4).

### 18.3.5. Admitanțele de intrare și ieșire

În afară de aspectele desensibilizării discutate în § 18.1, reacția este adesea folosită pentru a modifica impedanța de intrare sau ieșire existentă, a amplificatorului de bază. Reiese că efectul reacției asupra impedanței de intrare este determinat de tipul comparării folosite, iar efectul reacției asupra impedanței de ieșire este determinată de tipul eșantionării.

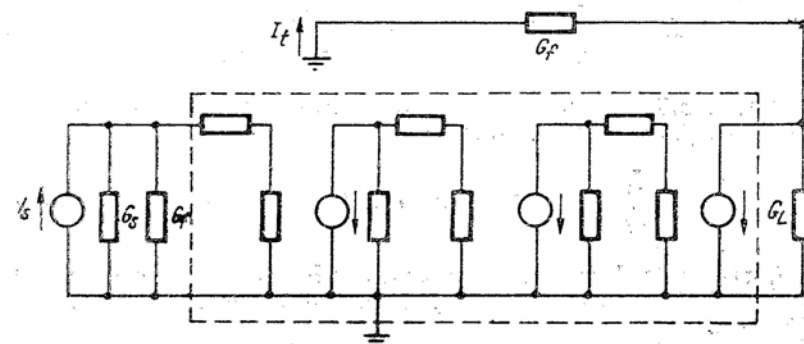


Fig. 18.16. Calculul lui  $af$  pentru circuitul din fig. 18.14.

Cea mai ușoară modalitate de a calcula admitanța de intrare cu comparare în nod este aceea de a aplica o tensiune de test  $V_t$  la intrarea amplificatorului, și să se calculeze curentul rezultat  $I_t$ . Fig. 18.17 reprezintă

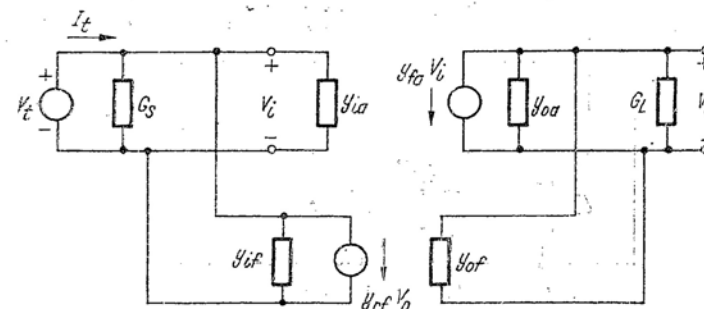


Fig. 18.17. Calculul admitanței de intrare.

un circuit cu parametri  $y$ , adecvat calculului. Se observă că, în concordanță cu presupunerile anterioare, s-a neglijat  $y_{ra}$  și  $y_{if}$ . Pe baza acestor neglijări, curentul  $I_t$  este:

$$I_t = V_t (G_s + y_{ia} + y_{if}) + y_{rf} V_o \quad (18.41)$$

Dar deoarece s-a neglijat  $y_{if}$ :

$$V_o = \frac{-y_{fa} V_i}{G_L + y_{oa} + y_{of}}. \quad (18.42)$$

Din ecuațiile (18.41) și (18.42) se determină curentul total de intrare  $I_t$ :

$$I_t = V_i \left( G_s + y_{ia} + y_{if} - \frac{y_{rf} y_{fa}}{G_L + y_{oa} + y_{of}} \right). \quad (18.43)$$

Așadar, admitanța de intrare a amplificatorului complet cu reacție este, din ecuațiile (18.43) și (18.40):

$$\frac{I_t}{V_i} = Y_{in} = (G_s + y_{if} + y_{ia})(1 + af). \quad (18.44)$$

Deci, admitanța de intrare este crescută de la valoarea pe care ar avea-o „fără reacție” (în sensul  $y_{rf} = 0$ ) prin același factor  $1 + af$  care reduce amplificarea.

Desigur, admitanța de intrare a sistemului amplificator este definită ca valoarea pe care o „vede” sursa, iar  $G_s$  este o parte componentă a sursei.

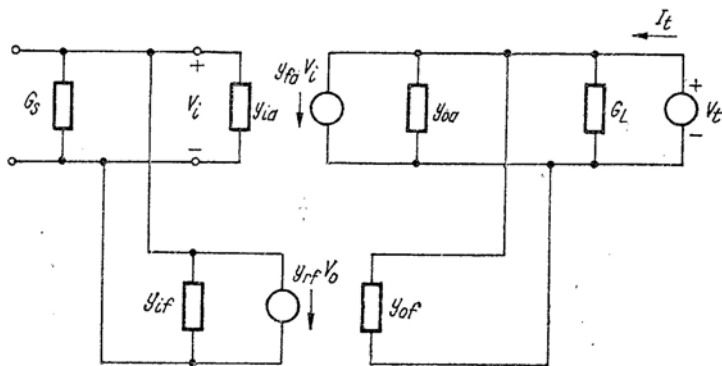


Fig. 18.18. Calculul admitanței de ieșire.

Astfel, ar trebui să se pună  $G_s = 0$  în fig. 18.17 și ecuația (18.44) pentru a găsi valoarea adevărată a lui  $Y_{in}$  pentru sistemul amplificator individual. Dar se observă că  $G_s$  apare de două ori în ecuația (18.44), direct în primul factor și mascat în  $af$ , în factorul al doilea. Deci pentru a obține un răspuns corect prin această metodă, transmisia pe buclă trebuie recalculată pentru  $G_s = 0$ .

O cale mai simplă pentru a găsi admitanța de intrare a amplificatorului cu reacție individual, este de a extrage  $G_s$  din rezultatul dat prin ecuația 18.44.

Desigur, oricare metodă duce la același rezultat.

Pentru a calcula admitanța de ieșire, se aplică o tensiune  $V_i$  la terminalele de ieșire ca în fig. 18.18 și se determină curentul  $I_t$  rezultat la aceste terminale (v. problema P18.5). Rezultatul este:

$$I_t = V_i \left( y_{of} + y_{oa} + G_L - \frac{y_{rf} y_{fa}}{G_s + y_{ia} + y_{if}} \right) \quad (18.45)$$

și deci din ecuațiile (18.45), (18.29) și (18.30) admitanța de ieșire a amplificatorului complet este:

$$\frac{I_t}{V_i} = Y_{ies} = (G_L + y_{oa} + y_{of})(1 + af). \quad (18.46)$$

Deci și admitanța de ieșire este crescută de la valoarea „fără reacție” (în sensul  $y_{rf} = 0$ ), prin același factor  $1 + af$  care reduce amplificarea. Admitanța de ieșire este definită în mod normal fără a se include  $G_L$ . Deci,  $G_L$  ar trebui să fie ori egală cu zero în ecuația (18.46) (și din nou, această operație trebuie efectuată și în  $af$  la fel ca în primul factor), ori scăzută din  $Y_{ies}$ , dat de ecuația (18.46).

Pentru a ilustra aceste aspecte, se va calcula impedanța de intrare și ieșire a amplificatorului proiectat în §18.3.3. Admitanța de intrare a circuitului a luat singur este, din fig. 18.14, c,

$$Y_{ina} = G_s + G_f + \frac{1}{r_x + r_{\pi}}$$

care, în această proiectare este, din § 18.3.3 și tabelul 16.1:

$$Y_{ina} = 20 + 0,2 + \frac{1}{2,5 + 0,2} = 20,58 \text{ mS.}$$

Astfel, admitanța de intrare cu reacție este modificată în concordanță cu ecuația (18.44):

$$Y_{in} = Y_{ina}(1 + af) = (20,58)(71,8) = 1480 \text{ mS}$$

sau

$$R_{in} = 0,675 \Omega.$$

Această valoare a admitanței de intrare include și efectul lui  $G_s$ . Totuși, efectul de șuntare al lui  $G_s$  este foarte mic pentru acest exemplu. Admitanța de intrare a amplificatorului cu reacție considerat individual este:

$$Y = Y_{in} - G_s = 1460 \text{ mS}$$

sau

$$R = 0,685 \Omega$$

(v. problema P18.6).

Admitanța de ieșire a circuitului  $a$  individual este (fig. 18.14, c);

$$Y_{ies\ a} = G_f + G_L = (0,2 + 10) = 10,2 \text{ mS.}$$

Deci, cu reacție, admitanța de ieșire este crescută conform ecuației (18.46) la:

$$Y_{ies} = Y_{ies\ a} (1 + af) = (10,2)(71,8) = 733 \text{ mS}$$

sau

$$R_{ies} = 1,36 \Omega.$$

Admitanța de ieșire a amplificatorului considerat fără sarcina  $G_L$  este:

$$Y = Y_{ies} - G_L = 733 - 10 = 723 \text{ mS}$$

sau

$$R = 1,38 \Omega.$$

### 18.3.6. Rezumat

Înainte de a se discuta celelalte trei tipuri de bază ale reacției, se vor rezuma câteva aspecte importante, referitoare la aplicarea reacției la amplificatoare. În primul rând, nu este posibil, în general, să se împartă un amplificator cu reacție cu tranzistoare în două blocuri *independente*, cu funcții de transfer independente, așa cum s-a procedat în exemplul idealizat în § 18.1 (de ex. v. fig. 18.1). Totuși, s-a arătat că se poate determina prin simplă inspecție un circuit  $a$  și un circuit  $f$  care au multe din proprietățile necesare pentru reprezentările din fig. 18.1. Circuitul  $a$  și  $f$

sînt, prin definiție acele circuite a căror funcție de transfer apare în expresia de bază a reacției:

$$A = \frac{a}{1 + af}.$$

Circuitul  $a$  conține partea care produce amplificarea amplificatorului complet, adică „amplificatorul de bază” din schema-bloc inițială din fig. 18.1. Dar circuitul  $a$  se deosebește de amplificatorul de bază ideal, prin faptul că  $a$  conține și efectele de încărcare produse de sursă, sarcina de ieșire și rețeaua de reacție. Deci, circuitul  $a$  depinde într-un grad mai mare sau mai mic de elementele rețelei de reacție.

Circuitul  $f$  apare ca fiind o sursă controlată pură, fără nici o rezistență adițională. Parametrul „cîștig” al acestei surse controlate depinde numai de elementele pasive ale rețelei de reacție și este *independent* de elementele active, nesigure, ale circuitului. Mai mult decît atît, deoarece circuitul  $f$  nu are pierderi, el nu încarcă circuitul  $a$ . Deci, circuitul  $f$  are cele două proprietăți importante ale atenuatorului de precizie din schema-bloc idealizată (fig. 18.1).

Dîndu-se un set de parametri de proiectare, de exemplu, amplificarea pe bucla închisă  $A$  și desensibilizarea  $1 + af$ , este relativ simplu să se determine valorile lui  $a$  și  $f$  cerute pentru a îndeplini cerințele. Mai întîi,

$$a = A(1 + af).$$

Dacă  $a$  este mare atunci

$$f \approx \frac{\text{desensibilizarea}}{a}.$$

### 18.4. ANALIZA ȘI PROIECTAREA CIRCUITELOR PRIN COMPARAREA ȘI EȘANTIONAREA BUCLELOR

Se va trata al doilea exemplu de amplificator cu reacție, care folosește comparare pe buclă și eșantionare pe buclă. Din fericire, se pot folosi extensiv parametrii  $y$  generali din § 18.3.1 și 18.3.2, deoarece, din punctul de vedere al rețelei, cazul de față, al reacției buclă-buclă, este în mod clar cazul *dual*<sup>1)</sup> al cazului nod-nod considerat în § 18.3.

Deci se poate reduce calculul matematic și să ne îndreptăm atenția asupra aspectelor noi, de a manipula un circuit real de acest tip, ca cel

<sup>1)</sup> v. lucrarea [18.1], pag. 42.

din fig. 18.10, *a*, cu ajutorul conceptelor reacției. De fapt, cititorul care este familiarizat îndeajuns cu teoria cuadripolilor liniari și principiul dualității, pentru a accepta o simplă schimbare de litere ( $y \rightarrow z$ ), poate trece direct la § 18.4.2.

#### 18.4.1. Analiza în termeni de cuadripol

Configurația de cuadripol adecvată pentru analiza circuitului cu reacție buclă-bucă din fig. 18.9, *a* este aceea care are curentul drept variabilă independentă, atât la intrare cât și la ieșire. Aceasta este formularea cu parametri  $z$ , adică folosind impedanțele de circuit deschis  $z_i$ ,  $z_o$ ,  $z_f$  și  $z_r$ . În fig. 18.19 sînt reprezentați doi cuadripoli  $z$  conectați în serie.

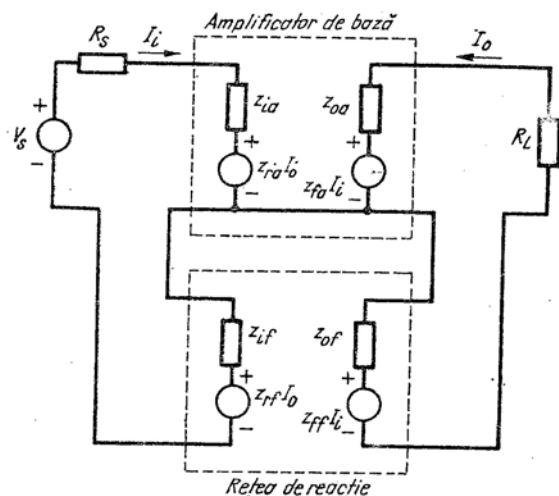


Fig. 18.19. Reprezentarea prin parametri  $z$  a unui amplificator cu reacție cu comparare pe buclă și eșantionare pe buclă.

Ca și înainte, se vor adăuga indicii suplimentari  $a$  și  $f$  pentru a face distincție între parametrii amplificatorului de bază și parametrii rețelei de reacție.

Se urmărește o procedură analogă celeia din § 18.3.1, adică vom presupune că amplificatorul de bază produce toată amplificarea, adică:

$$|z_{fa}| \gg |z_{rf}| \quad (18.47)$$

iar rețeaua de reacție produce toată reacția:

$$|z_{ra}| \ll |z_{rf}|. \quad (18.48)$$

În sfîrșit, se va presupune că amplificatorul de bază este aproape unilateral:

$$|z_{fa}z_{ra}| \ll |Z_i Z_o| \quad (18.49)$$

unde:

$$Z_i = z_{ia} + z_{if} + R_s, \quad (18.50)$$

$$Z_o = z_{oa} + z_{of} + R_L. \quad (18.51)$$

Pentru a păstra topologia, trebuie folosită teorema Thévenin a sursei echivalente, o sursă de tensiune în serie cu  $R_s$ . De asemenea, avînd comparare pe buclă, trebuie calculat *curentul* de ieșire. Pe această bază se găsește:

$$A = \frac{I_o}{V_s} \approx \frac{\frac{-z_{fa}}{Z_i Z_o}}{1 + \left(\frac{-z_{fa}}{Z_i Z_o}\right) Z_{rf}}. \quad (18.52)$$

Deci:

$$a \approx \frac{-z_{fa}}{(z_{ia} + z_{if} + R_s)(z_{oa} + z_{of} + R_L)}; \quad (18.53)$$

$$f = z_{rf}. \quad (18.54)$$

(v. problema P 18.7).

#### 18.4.2. Reprezentările în formă de circuit pentru $a$ și $f$

Dacă amplificatorul de bază este suficient de unilateral pentru a satisface inegalitatea din ecuația (18.49), circuitul  $a$  arătat în fig. 18.20, *a* are o funcție de transfer  $a$  dată de ecuația (18.53) (v. problema P18.8). Deci regulile de formare ale circuitului  $a$  pentru un amplificator cu reacție de acest tip sînt:

1. Se identifică sursa, sarcina, amplificatorul de bază și rețeaua de reacție prin metodele discutate în § 18.2.

2. Se completează amplificatorul de bază cu toate efectele de încărcare ale sursei, sarcinii și rețelei de reacție. Pentru a determina încărcarea produsă în bucla de intrare, se întrerupe bucla de ieșire a amplificatorului

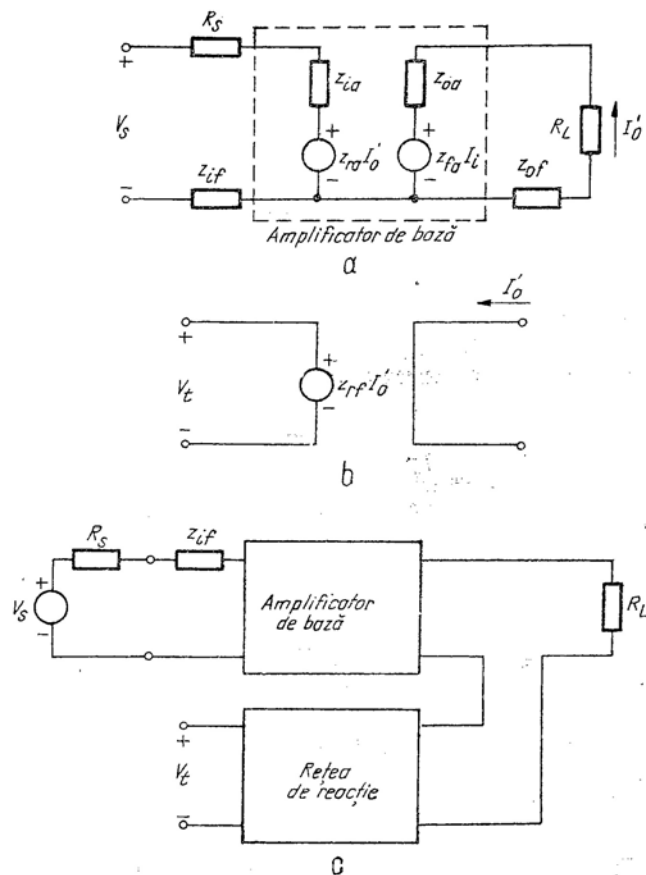


Fig. 18.20. Formulare prin  $a$  și  $f$  pentru reacția buclă-bucă:  
 $a$  - circuitul  $a$ ,  $a = I_o' / V_S$ ;  $b$  - circuitul  $f$ ,  $f = V_t / I_o'$ ;  $c$  - circuitul pentru calculul  $af$ ,  $af = V_t / V_S$ .

complet pentru a anula reacția. Pentru a determina încărcarea produsă în bucla de ieșire, se întrerupe bucla de intrare a amplificatorului complet, pentru a anula reacția.

Din nou, circuitul  $f$  nu are o interpretare directă în funcție de elementele circuitului rețelei de reacție. Funcția de transfer  $f$ , conform ecuației (18.54),

este o transimpedanță ideală; deci circuitul  $f$  este o sursă ideală de curent controlată prin tensiune, cu impedanțe de intrare și ieșire nule, ca în fig. 18.20,  $b$ .

Pe baza fig. 18.20,  $a$  și  $b$  și a ecuațiilor (18.53) și (18.54), transmisia pe buclă  $af$  pentru reacția buclă-bucă este amplificarea de tensiune  $V_t / V_S$  calculată cînd (1) reacția este deconectată la intrare și (2) se adaugă o impedanță  $z_i$  în serie cu intrarea amplificatorului. Fig. 18.20,  $c$  reprezintă un circuit adecvat pentru aceasta.

Calcularea efectelor reacției asupra nivelului impedanțelor de intrare și ieșire este lăsată în seama problemei P. 18.19. Rezultatul este acela că ambele impedanțe sînt mărite de  $1 + af$  ori odată cu aplicarea reacției:

$$Z_{in} = (z_{ia} + z_{if} + R_s)(1 + af); \quad (18.55)$$

$$Z_{ies} = (z_{oa} + z_{of} + R_L)(1 + af). \quad (18.56)$$

Deci acest tip de reacție realizează impedanțe mari de intrare și ieșire.

### 18.4.3. Exemplu

Se va trata în continuare un aspect mai dificil al reacției buclă-bucă și anume, acela al folosirii conceptelor cuadripolilor, aplicate unui circuit concret (fig. 18.19). Problema care se ridică este că, în timp ce conectarea în paralel a două circuite cu tranzistoare este simplă, o conectare în serie are un dezavantaj important și anume acela că cele două circuite nu au un punct de masă comun. Acest fapt este ilustrat clar în fig. 18.19. Se observă că nu este posibil să se specifice un punct de masă comun pentru sursă, amplificatorul de bază și rețeaua de reacție, sau pentru sarcină, amplificator și rețeaua de reacție.

Pentru a ilustra printr-un exemplu specific, se va examina circuitul cu reacție din fig. 18.21,  $a$  (o repetare a fig. 18.10,  $a$ ). Se dorește proiectarea unui circuit cu o amplificare globală cu reacție de 2 mS și o desensibilizare de 50. Sursa și sarcina sînt specificate prin  $R_s = 1000 \Omega$ ,  $R_L = 50 \Omega$ .

Pentru a realiza proiectarea, trebuie mai întîi identificate  $a$  și  $f$ . Se observă, totuși că aceasta nu este o conectare pură tip buclă-bucă deoarece rezistențele de sarcină ale amplificatorului sînt conectate prezumtiv la o sursă de alimentare legată la masă. Totuși,  $R_{L1}$ ,  $R_{L2}$  și  $R_{L3}$  pot fi făcute suficient de mari pentru ca semnalul de curent prin ele să poată fi neglijat. În acest caz, amplificatorul de bază este „floating”, adică fără nici o conexiune la masă și deci se poate realiza topologia buclă-bucă. Acest fapt este evident din circuitul echivalent la semnal mic din fig. 18.21,  $b$ , în care  $R_{L1}$ ,  $R_{L2}$  și  $R_{L3}$  au fost omise. Se observă că s-a ales reprezentarea echivalentă Thévenin pentru sursă pentru a fi în concordanță cu compararea pe

bucă și că s-a ales curentul  $I_o$  ca variabilă de ieșire, datorită eșantionării pe buclă.

Acum este relativ simplu să se găsească circuitele  $a$  și  $f$ . Aplicând regulile date în § 18.4.2, se găsește circuitul  $a$  și  $f$  completând mai întâi intrarea

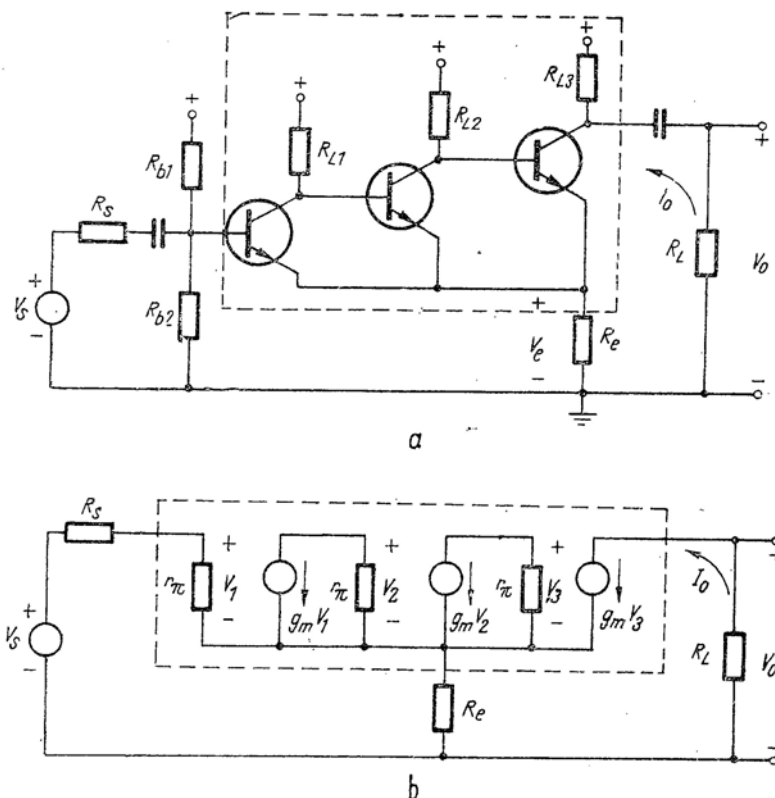


Fig. 18.21. Amplificator cu trei etaje cu reacție buclă-bucă. Zonele încadrate indică amplificatorul de bază:

$a$  - circuitul;  $b$  - circuitul echivalent la semnal mic, presupunând  $R_{L1}, R_{L2}, R_{L3}, R_{b1}$  și  $R_{b2}$  suficient de mari pentru a fi neglijate.

amplificatorului de bază cu  $R_s$  și  $R_e$  cum este arătat în fig. 18.22,  $a$ . Încărcarea este determinată prin întreruperea buclei de ieșire în fig. 18.21,  $b$ . Apoi se completează ieșirea amplificatorului de bază  $R_e$  și  $R_s$  care se văd prin întreruperea buclei de intrare (fig. 18.21,  $b$ ). (Cititorul poate verifica că aceste rezultate sînt corecte pentru circuitul  $a$ , prin înlocuirea rezistenței de reacție  $R_e$  prin cuadripolul său echivalent). (V. problema P18.10).

Prin inspectare, funcția de transfer este:

$$a = \frac{I_o'}{V_s} = \frac{\beta_o^3}{R_s + r_\pi + R_e}. \quad (18.57)$$

Este simplu să se calculeze transmisia pe buclă din circuitul  $a$ ; pe baza fig. 18.20,  $c$ , transmisia pe buclă pentru reacția buclă-bucă este  $V_i/V_s$ . Deci, în acest exemplu trebuie calculată tensiunea  $V_i$  la bornele lui  $R_e$ , ca răspuns la o tensiune aplicată  $V_s$  (fig. 18.22,  $a$ ):

$$af = \frac{V_i}{V_s} = \frac{\beta_o^3 R_e}{R_s + r_\pi + R_e}. \quad (18.58)$$

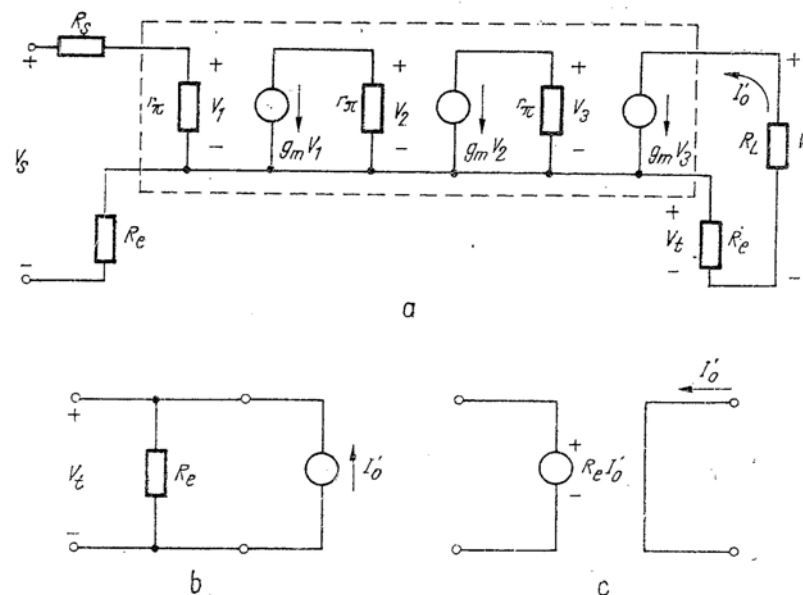


Fig. 18.22. Circuitele  $a$  și  $f$  pentru amplificatorul din fig. 18.21:

$a$  - circuitul  $a$  pentru calcularea lui  $a$  și  $af$ ;  $b$  - circuitul pentru calcularea funcției de transfer  $f$ ;  $c$  - circuit  $f$ .

Circuitul  $f$  este o transimpedanță pură  $z_{rf}$ . Valoarea lui  $z_{rf}$  poate fi calculată aplicând o sursă de curent  $I_o'$  la ieșirea rețelei de reacție și măsurând tensiunea  $V_i$  la intrare, cu intrarea întreruptă (fig. 18.22,  $b$ ).

Deci

$$f = z_{r_i} = R_e. \quad (18.59)$$

Circuitul  $f$  rezultat este reprezentat în fig. 18.22, *c*.

Acum se poate începe proiectarea. Pentru a obține amplificarea globală cu reacție de 2 mS și o desensibilizare de aproximativ 50 se cere:

$$a = A(1 + af) \approx 2 \times 50 = 100 \text{ mS}.$$

Aceasta înseamnă că circuitul  $a$  trebuie să aibă o amplitudine de tensiune:

$$\frac{V_o'}{V_s} = -\frac{I_o'}{V_s} R_L = -100 \times 50 = -5000.$$

Pentru a îndeplini cerința de desensibilizare,  $af$  trebuie să fie de aproximativ 50. Deci

$$f = R_e = \frac{50}{100} = 0,5 \Omega.$$

Se pot alege acum tranzistoarele și punctele statice de funcționare ale amplificatorului de bază.

Din ecuațiile (18.57), cunoscînd că  $R_s = 1000 \Omega$ , rezultă

$$a = 100 \approx \frac{\beta_o^3}{1000 + r_{\pi} + 0,5}.$$

Alegînd tranzistoare cu  $\beta_o = 50$ ,

$$r_{\pi} \approx \frac{50^3}{100} - 1000 = 250 \Omega.$$

Deci  $g_m = 0,2 \text{ S}$ ;  $I_c = 5 \text{ mA}$ .

Pentru a verifica proiectarea, se observă că amplificatorul cu reacție, complet, are o amplificare pe buclă închisă:

$$A = \frac{100}{1 + 100 \times 0,5} = 1,96 \text{ S}$$

ceea ce corespunde unei amplificări de tensiune de:

$$\frac{V_o}{V_i} = \frac{-I_o R_L}{V_i} = -1,96 \times 50 = -98$$

O variantă de calcul a amplificării de tensiune poate fi găsită prin inspectare, din fig. 18.21, *b*. Dacă amplificatorul cu trei etaje are o amplificare mare de tensiune, tensiunea între emitor și bază a primului tranzistor va fi foarte mică. Deci căderea de tensiune pe rezistența  $R_s$  va fi de asemenea mică și deci tensiunea  $V_e$  pe rezistența  $R_e$  va fi aproximativ egală cu tensiunea sursei  $V_s$ . Dar într-o primă aproximație, intensitățile curenților prin  $R_L$  și  $R_e$  sînt egale; așadar din fig. 18.21, *a*:

$$\frac{V_o}{V_e} \approx -\frac{R_L}{R_e}. \quad (18.60)$$

Deci amplificarea de tensiune pe buclă închisă este aproximativ:

$$\frac{V_o}{V_s} \approx \frac{V_o}{V_e} = -\frac{R_L}{R_e} = -\frac{50}{0,5} = -100.$$

Rezistența de intrare a amplificatorului cu reacție va fi, conform ecuației (18.55):

$$R_{in} \approx (250 + 0,5 + 1000)(50) = 62 \text{ k}\Omega$$

(incluzînd  $R_s$ ). Varianta de calcul bazată pe ecuațiile (18.55) și (18.57) și presupunînd  $af \gg 1$ , duce la:

$$R_{in} = \beta_o^3 R_e = 50^3 \times 0,5 = 62,5 \text{ k}\Omega.$$

### 18.5. CIRCUITE CU REACȚIE, CU COMPARAREA NODULUI ȘI EȘANTIONAREA BUCLEI

Analiza formală a circuitelor cu reacție avînd comparare în nod și eșantionare pe buclă, ca cel arătat în fig. 18.9, *d* și 18.10, *d*, ar trebui efectuată cu ajutorul parametrilor  $g$ , deoarece descrierea corectă a cuadripolului folosește tensiunea ca variabilă independentă la intrare și curentul ca variabilă independentă la ieșire. Totuși nu este absolut necesar să se efectueze analiza, deoarece s-au discutat deja circuite cu comparare în nod

(§ 18.3) și cu eșantionare pe buclă (§ 18.4). Din aceste analize, se știe că problema de față trebuie formulată în funcție de *generatorul de curent echivalent* de tip Norton ca element de comandă, pentru a fi compatibilă cu topologia de tip nod de la intrare. De asemenea, datorită eșantionării pe buclă, se calculează *curentul de ieșire* (v. problema P18.11). Discuțiile din § 18.3.2 și 18.4.2 referitoare la formarea circuitelor *a* și *f* vor servi drept ghid pentru calculele prezente.

Pentru a ilustra aceasta, se determină circuitele *a* și *f* pentru amplificatorul cu reacție reprezentat în fig. 18.23, *a*. Figura 18.23, *b* prezintă circuitul echivalent la semnal mic la frecvențe medii, bazat pe  $r_\pi$  și  $g_m$ . Se notează că, pentru a evita problema referitoare la punctul de masă, proiectantul nu a folosit la ieșire o eșantionare pură pe buclă. În mod concret, rețeaua de reacție ( $R_e$  și  $R_f$ ) eșantionează *curentul de emitor*  $I_{e2}$  și nu *curentul de sarcină*  $I_o$ . Totuși, deoarece curenții de emitor și de colector ai tranzistorului sint aproximativ egali în mărime (și presupunând că  $R_{L2}$  este mare):

$$I_o \approx I_c = -\alpha I_e \approx -I_e. \quad (18.61)$$

În acest fel, se vede din fig. 18.23, *b* că se poate ajunge la o apropiere față de topologia din fig. 18.9, *d*, asociind  $R_f$  și  $R_e$  la rețeaua de reacție, deoarece procedind astfel se obține o buclă la ieșire, care conține amplificatorul, sarcina și rețeaua de reacție. Elementele care mai rămân (cu excepția lui  $R_s$ ) se asociază cu amplificatorul de bază. Rezistorul  $R_s$  poate fi luat în considerare împreună, atât cu sursa, cu amplificatorul, cit și cu rețeaua de reacție fără schimbări apreciable ale analizei.

Se pot determina acum circuitele *a* și *f* prin inspectare. Pentru a găsi încărcarea pe care o simte la intrare circuitul *a*, se anulează reacția, în fig. 18.23, *b*, prin întreruperea buclei de ieșire, analog procedurii din § 18.4.2. Oricare dintre conexiunile dintre ieșirea amplificatorului de bază, rețeaua de reacție și sarcină poate fi întreruptă, dar cel mai simplu este să se întrerupă bucla la joncțiunea emitorului, indicat prin  $\times$  în fig. 18.23, *b*. Încărcarea de la ieșire a circuitului *a* se determină *scutecircuitând* nodul de intrare în fig. 18.23, *b* cum s-a văzut în § 18.3.2. Circuitul *a* dezvoltat în acest mod este reprezentat în fig. 18.23, *c*. Funcția de transfer:

$$a = \frac{I_o'}{I_s}$$

poate fi determinată relativ simplu (v. problema P18.12), deoarece s-a ajuns la o cascadă de două etaje cu emitorul comun — mod de abordare care nu a fost posibil în circuitul din fig. 18.23, *b*.

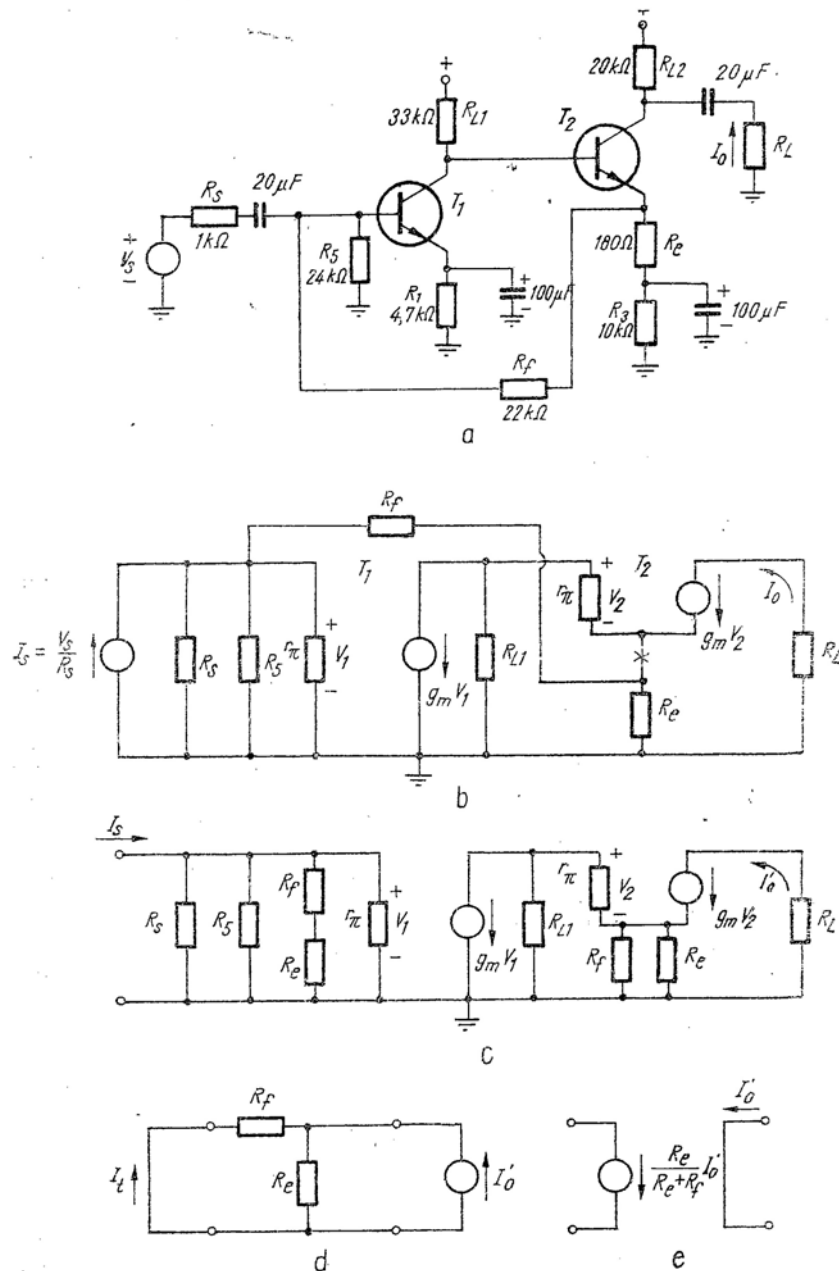


Fig. 18.23. Amplificator cu două etaje cu comparare în nod și eșantionare pe buclă : *a* — circuitul ; *b* — circuitul echivalent la semnal mic, presupunând  $R_{L2} \gg R_L$  ; *c* — circuitul *a* ; *d* — calculul funcției de transfer *f* ; *e* — circuitul *f*.



Această diferență importantă ilustrează tocmai simplificările oferite de tratarea prin metodele reacției.

Circuitul *f* trebuie să fie o sursă de curent (datorită eșantionării pe buclă). Așadar, funcția de transfer se determină calculând raportul de curenți  $I_i/I_o$ , scurtcircuitând intrarea rețelei de reacție, ca în fig. 18.23, *d*. Circuitul *f* rezultat este reprezentat în fig. 18.23, *e*.

Analiza și proiectarea folosind circuitele *a* și *f* sînt acum simple și nu vor fi luate în considerare aici (v. problema P.18.13).

### 18.6. CIRCUIT CU REACȚIE CU COMPARAREA BUCLEI ȘI EȘANTIONAREA NODULUI

Ultimul din cele patru tipuri de circuite cu reacție cu tranzistoare este reprezentat în fig. 18.9, *b* sau fig. 18.10, *b* (reprezentată în fig. 18.24, *a*). În aceste circuite se folosesc compararea pe buclă și eșantionarea în nod. Analiza formală trebuie să utilizeze parametri de cuadripol *h*, dar se vor folosi din nou rezultatele § 18.3 și 18.4, în loc să se efectueze o analiză completă (v. problema P.18.14).

Ca și în ultimele două exemple, problemele de punct de masă, care sînt inerente în topologia pe buclă, complică analiza. Pentru a menține un punct de masă comun între sursă și amplificator și de asemenea între amplificator și rețeaua de reacție (cerut aici datorită topologiei de tip nod la ieșire), este necesară conectarea rețelei de reacție în serie cu emitorul lui  $T_1$ . Datorită punctelor de masă comune, aceasta nu este o comparare pură pe buclă. Totuși, prin utilizarea circuitului echivalent de semnal mic (fig. 18.24, *b*) se poate arăta că încă este posibil să se obțină un circuit *a* și un circuit *f* în maniera obișnuită. Mai întâi, se observă din fig. 18.24, *b*, că maximum de similitudine ce se poate obține, în legătură cu fig. 18.9, *b*, este prin asocierea rezistoarelor  $R_e$  și  $R_f$  la rețeaua de reacție, deoarece numai în acest fel se poate forma o buclă la intrare care să conțină amplificatorul, rețeaua de reacție și sursa. Apoi se determină parametrul *h* — echivalent al circuitului de reacție, neglijînd ca de obicei parametrul de transfer în sens direct,  $h_{if}$ . Acest calcul este reprezentat în fig. 18.25, *a* și *b* (v. problema P.18.15). Apoi, circuitul de reacție din fig. 18.24, *b*, este înlocuit prin parametrul *h* — echivalent, ca în fig. 18.25, *c*.

Nu avem o conexiune la intrare de tip buclă pură (fig. 18.25, *c*), deoarece curentul prin elementele de reacție  $R_e || R_f$  și  $h_{if}V_o$  nu este același ca și curentul de intrare  $I_i$ . Pentru a rezolva această problemă, se mută sursa controlată de reacție,  $h_{if}V_o$ , deasupra nodului emitorului tranzistorului  $T_1$ . Pașii necesari pentru această transformare sînt reprezentați în fig. 18.25, *d* și *e*. Mai întâi, sursa de tensiune este mutată deasupra nodului plasînd surse egale în ambele laturi ca în fig. 18.25, *d*. Aceasta este o transformare exactă.

Sursa de tensiune din latura din dreapta nu are nici un efect deoarece este în serie cu sursa de curent  $g_m V_1$ . Deci intrarea amplificatorului complet poate fi reprezentată ca în fig. 18.25, *e*. Acum s-a obținut o buclă autentică

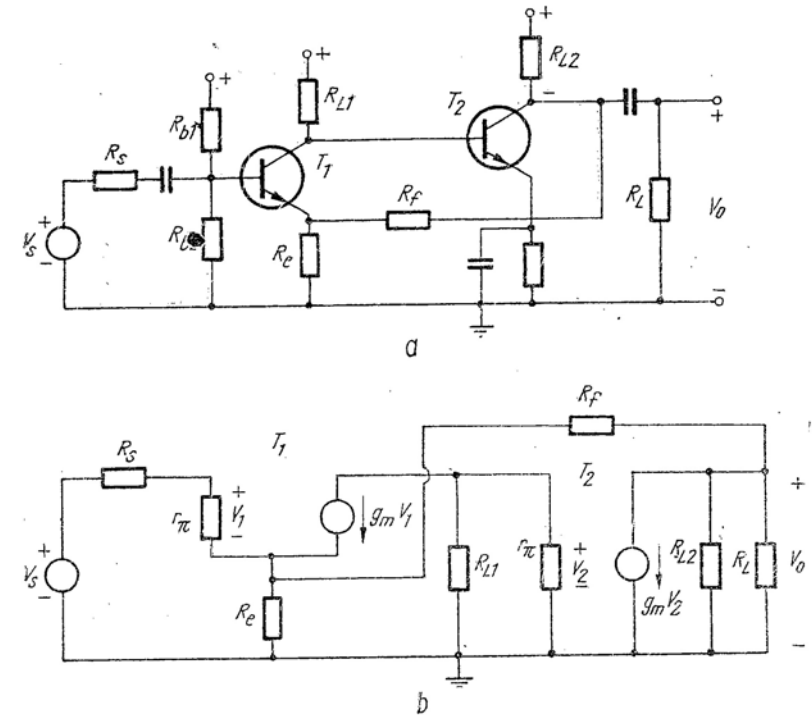


Fig. 18.24. Amplificator cu reacție cu comparare pe buclă și eșantionare în nod : *a* — circuitul ; *b* — circuitul echivalent de semnal mic la frecvențe medii, presupunînd  $R_{b1}, R_{b2} \gg R_s$ .

pentru sursa  $V_s$ , semnalul de reacție  $h_{if}V_o$  și circuitul de intrare *a*. Se observă că nu s-a mutat și rezistența  $h_{if} = R_e || R_f$ , cînd s-a mutat sursa de tensiune, deoarece în orice caz, se dorește asocierea acestei rezistențe la circuitul *a*.

Se pot forma acum circuitele *a* și *f* corespunzătoare amplificatorului complet cu reacție din fig. 18.25, *c*, modificat ca în fig. 18.25, *e*. Aceste circuite sînt reprezentate în fig. 18.26, *a* și *b*. Trebuie să rămînă clar că după toate aceste schimbări, aceste circuite sînt exact acelea ce s-ar fi obținut dacă s-ar fi aplicat regulile de formare pentru circuitul *a* (§ 18.3.2

pentru încărcarea la intrare și § 18.4.2 pentru încărcarea la ieșire), *direct circuitul echivalent de semnal mic original ca în fig. 18.24, b* (v. problema P18.16). Înainte ca cititorul să ajungă la o concluzie generală, pe baza

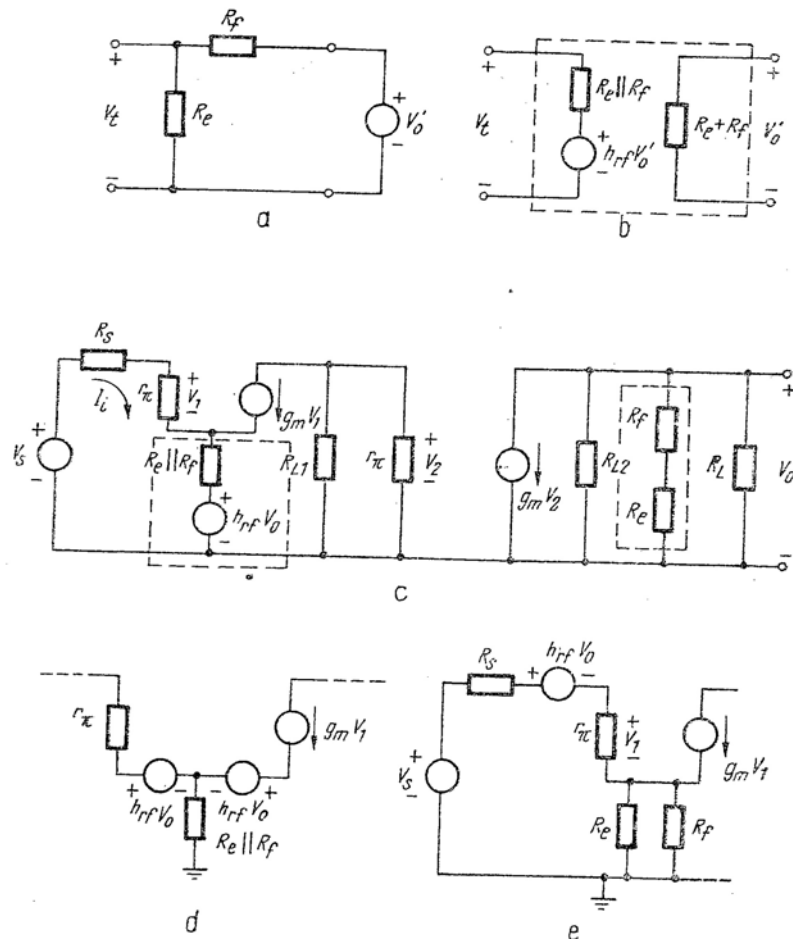


Fig. 18.25. Transformările de la intrarea amplificatorului pentru a obține compararea pe buclă:

a — determinarea parametrilor  $h$  ai circuitului de reacție:  $h_{rf} = \frac{V_L}{V_o'} = \frac{R_e}{R_e + R_L}$ ; b — rețeaua de reacție echivalentă în parametrii  $h$ ; c — modelul din fig. 18.24 cu rețeaua de reacție sub forma parametrilor  $h$ ; d — mutarea sursei deasupra nodului; e — mutarea sursei în afara modelului tranzistorului.

acestui exemplu, se atrage atenția asupra următorului fapt. Pasul important făcut la trecerea de la fig. 18.25, d la 18.25, e devine incert dacă sursa de curent  $g_m V_1$  este șuntată direct de o impedanță importantă. De asemenea

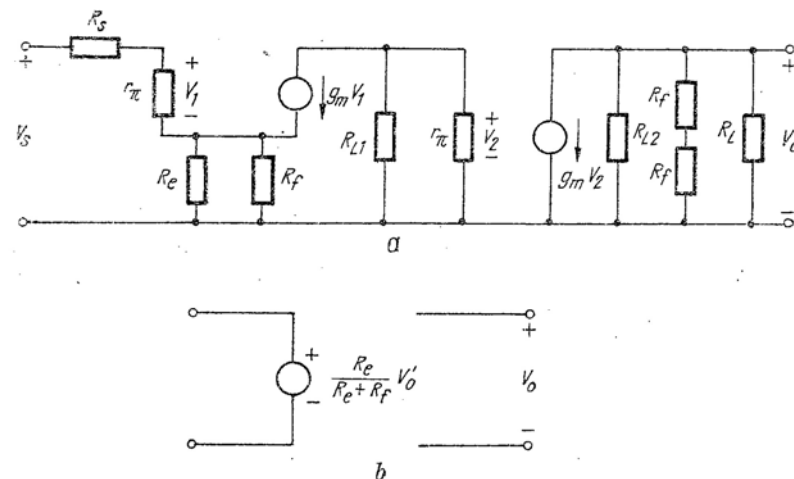


Fig. 18.26. Circuitele a și f pentru amplificatorul cu reacție din fig. 18.24 : a — circuitul a; b — circuitul f.

cînd capacitatea  $C_\mu$  este inclusă în model, sursa de tensiune  $h_{rf}V_o$  nu poate fi mutată dincolo de punctul de joncțiune  $C_\mu$  și  $r_\pi$ ; deci, din nou, topologia pe buclă începe să ridice probleme. Consecințele acestor probleme vor fi discutate în capitolul următor.

Analiza și proiectarea folosind circuitele a și f din fig. 18.26 sînt simple și de aceea nu vor fi discutate, fiind lăsate spre rezolvare în problema P18.17.

## 18.7. REZUMAT

Este clar că în cazul amplificatoarelor cu reacție cu tranzistoare, *topologia* de interconectare a sursei, amplificatorului de bază, rețelei pasive de reacție și sarcinii este factorul determinant în stabilirea metodei de analiză și a tuturor parametrilor importanți ai circuitului. Pentru a ilustra această afirmație se rezumă în tabelul 18.1 rezultatele importante ale paragrafelor precedente, în funcție de modul de conectare de la intrare sau de la ieșire. Se observă o anumită organizare logică a tabelului pentru a ușura memorizarea. Este clar că o sursă Thévenin,

cu  $R_s$  și  $V_s$  în serie, trebuie asociată cu topologia pe buclă. De asemenea, buclele trebuie întrerupte iar nodurile scurtcircuitate, deoarece scurtcircuitarea unei bucle sau întreruperea unui nod nu sînt procese definite. Deci, deși tabelul pune la îndemînă un rezumat simplu, el nu trebuie memorizat.

În acest moment este util să ne întoarcem pe scurt la problema efectului reacției asupra impedențelor de intrare și ieșire. Ecuatiile prezentate în § 18.3.5 și 18.4.2 sînt adecvate calculelor, dar, adesea, o tratare euristică conduce la rezultate mai bune. Se observă de asemenea că variabila care este eșantionată la ieșirea amplificatorului cu reacție tinde să se opună la variații. Aceasta rezultă din discuția generală din § 18.1.1. sau din calculele mai detaliate din § 18.3.1 și 18.4.1. De exemplu, se vede din relațiile (18.28), (18.29) și (18.30) că pentru transmisia pe buclă  $af$  de valoare mare, „amplificarea” globală  $V_o/I_s$  a amplificatorului cu reacție nod-nod din fig. 18.21,  $a$  este aproape independentă de amplificarea  $a$  a amplificatorului de bază. Deci avînd eșantionare în *nod*, adică eșantionînd tensiunea de ieșire, tensiunea de ieșire  $V_o$  tinde să rămînă constantă în ciuda variațiilor amplificării  $a$ . O cale de a modifica amplificarea  $a$  este de a schimba rezistența de sarcină  $R_L$ . Aceasta implică faptul că reacția a redus impedența de ieșire a amplificatorului.

De asemenea, avînd eșantionare pe buclă, se eșantionează curenul de ieșire, astfel încît reacția tinde să păstreze acest curent constant, în ciuda schimbării lui  $R_L$ . Deci impedența de ieșire a fost crescută de către reacție.

Pentru a stabili efectul reacției asupra impedenței de intrare, trebuie aduse argumente puțin deosebite. Din § 18.1.1 reiese clar că atunci cînd un comparator formează o diferență între tensiunea de intrare și tensiunea de reacție, acțiunea reacției tinde să reducă această diferență de potențial la o valoare mică. Relativ la amplificatorul din fig. 18.9,  $a$ , reacția tinde să reducă tensiunea de intrare la zero. De asemenea, va avea tendința să reducă curenul de intrare la zero. Dar, datorită topologiei pe buclă, curenul amplificatorului de bază este același ca al întregului amplificator cu reacție. Așadar, pentru o tensiune fixă  $V_1$  și avînd comparare pe buclă, reacția va tinde să reducă curenul de intrare al amplificatorului, sau altfel spus, să crească impedența de intrare aparentă.

Un raționament similar se poate aplica și amplificatoarelor cu reacție cu comparare în *nod* (fig. 18.9,  $c$  sau  $d$ ). Din nou, reacția tinde să aducă tensiunea și curenul de intrare ale amplificatorului de bază la zero, dar de data aceasta, amplificatorul cu reacție și amplificatorul de bază au aceeași tensiune de intrare datorită topologiei de tip *nod*. Deci pentru un curent fix  $I_1$ , reacția tinde să reducă tensiunea de intrare a amplificatorului la zero, sau, altfel exprimat, să reducă rezistența de intrare aparentă.

Tabelul 18.1

Considerații asupra intrării		
	Topologia comparării	
	Nod	Buclă
Reprezentarea sursei	Norton	Thévenin
Determinarea ieșirii corecte a încărcării circuitului $a$ la ieșire	Se scurtcircuitază nodul de intrare al modelului de semnal mic, complet	Se întrerupe bucla de intrare a modelului complet de semnal mic
Transmisia pe buclă $af$	Amplificarea de curent în scurtcircuit $I_o/I_s$	Amplificarea de tensiune $V_o/V_s$ circuit deschis
Impedența de intrare comparată cu impedența de intrare a circuitului $a$	Micșorată prin factorul $1+af$	Mărită prin factorul $1+af$
Considerații asupra ieșirii		
	Topologia eșantionării	
	Nod	Buclă
Se alege ca variabilă de ieșire	Tensiunea	Curenul
Reacția tinde să stabilizeze	Tensiunea	Curenul
Impedența de ieșire comparată cu cea a circuitului $a$	Micșorată prin factorul $1+af$	Mărită prin factorul $1+af$
Determinarea încărcării corecte a circuitului $a$ la intrare	Se scurtcircuitază nodul de ieșire a schemei complete de semnal mic	Se întrerupe bucla de ieșire a schemei de semnal mic, complete

## 18.8. DEMONSTRAȚII EXPERIMENTALE LA CURS

### 18.8.1. Reducerea zgomotului de rețea

Circuitul din fig. 18.4,  $a$  poate fi folosit pentru a demonstra auditiv și vizual efectele reacției asupra zgomotului de rețea (brumului) introdus în etajul de ieșire al unui amplificator audio. Brumul este introdus pe colectorul unui tranzistor *npn* de la o sursă de alimentare nefiltrată. Pentru a face demonstrația audibilă în întreaga clasă, semnalul de ieșire al amplificatorului de putere este introdus într-un amplificator audio, cu difuzor de înaltă calitate.

Cu comutatorul pe poziția 1, se obține un amplificator de putere simplu (cu brum), urmat de un amplificator cu amplificare de zece. Deci circuitul

este echivalent schemei-bloc din fig. 18.3, *b*. Nivelele trebuie reglate pentru a obține un raport semnal-zgomot aproximativ unitar. Schimbând comutatorul pe poziția 2, se aplică reacția amplificatorului de putere păstrând aceeași amplificarea globală. Schema-bloc pentru acest circuit este reprezentată în fig. 18.3, *a*. Comutatorul poate fi înlocuit printr-un potențiomtru de 10 kΩ cu reacția preluată de la cursor.

Mai întâi, se observă și se ascultă ieșirea lui  $V_3$  în cele două situații. Se vizualizează apoi (de preferință la un osciloscop cu două spoturi) intrarea  $V_5$  a amplificatorului de putere, pentru a vedea *predistorsionarea* lui  $V_5$  cu brum de polaritate *inversă*, care, eventual, anulează brumul amplificatorului. Fig. 18.4 prezintă oscilogramele obținute.

### 18.3.2. Reducerea distorsiunilor

Circuitul din fig. 18.7 poate fi utilizat pentru a demonstra auditiv și vizual efectul reacției asupra distorsiunilor. Având comutatorul pe poziția 1, circuitul constă dintr-un amplificator de putere, precedat de un amplificator de amplificarea unitară. Cu comutatorul pe poziția 2, se aplică reacția amplificatorului de putere și amplificatorului operațional 709. Pentru un test corect este important să se mențină nivelul semnalului de ieșire aproximativ constant în cele două cazuri, deoarece distorsiunea depinde sensibil de nivel. Această condiție este satisfăcută dacă se stabilește  $f$  egal cu inversul amplificării amplificatorului de putere.

Se observă mai întâi, curba funcției de transfer (tensiunea de ieșire  $V_3$  în funcție de tensiunea sursei de semnal) cu și fără reacție (v. fig. 18.7*b* și *c*). Apoi, folosind un semnal de intrare sinusoidal, se ascultă și se vizualizează semnalul de ieșire  $V_3$  cu și fără reacție. Apoi se include în prezentarea vizuală semnalul de intrare  $V_5$  al amplificatorului de putere, pentru a indica în mod clar *predistorsionarea* acestui semnal, necesară compensării distorsiunii amplificatorului. Oscilogramele sînt prezentate în fig. 18.8.

Apoi se introduce semnale mai complexe decît sursa sinusoidală. Se alege muzica populară și clasică. Se observă că anumite piese de muzică populară sînt în mod surprinzător indestructibile. Muzica clasică cu structură tonală relativ simplă este mai ușor distorsionabilă. Pentru un efect maxim se folosește echipament de înaltă fidelitate, căci altfel, distorsiunea în sistemul audio va masca efectul dorit.

### BIBLIOGRAFIE

- [18.1] E. A. Guillemin. *Introductory circuit theory*. New York, Wiley, 1953.
- [18.2] S. Schwartz. *Selected semiconductor circuits handbook*. New York, Wiley, 1960.
- [18.3] GE Transistor manual, ed. a 7-a : General Electric Company, 1964.

### PROBLEME

**P 18.1.** În multe cazuri, variațiile de amplificarea ale amplificatorului de bază  $a$ , nu sînt mici, așa cum s-a presupus la deducerea ecuației (18.7). Să se demonstreze că pentru variații mari ale lui  $a$ , variația relativă a amplificării pe buclă închisă este :

$$\frac{\Delta A}{A_1} = \left( \frac{1}{1 + a_2 f} \right) \frac{\Delta a}{a_1} \quad (18.62)$$

unde  $A_1$  și  $a_1$  sînt valorile inițiale ale amplificării iar  $A_2$  și  $a_2$  valorile finale (v. pag. 120).

**P 18.2.** Să se verifice ecuația (18.32) calculind funcția de transfer, direct din fig. 18.14, *b* și apoi transformati expresia rezultată la forma relației (18.17). Pentru a simplifica calculele, se vor face aceleași presupuneri ca în § 18.3.1. Aceasta va duce la obținerea de expresii pentru  $a$  și  $f$ . Să se verifice  $f$  din ecuația (18.32), iar  $a$  prin calcularea  $V_o/I$  din fig. 18.14, *c* (v. pag. 141).

**P 18.3.** Să se calculeze în formă literală funcția de transfer  $V_o/I$  pentru circuitul *a* din fig. 18.14, *c*. Folosind valorile numerice date în exemplul de proiectare, § 18.3.3 și § 16.1.2 se va verifica valoarea lui  $a$  dată la pag. 142.

**P 18.4.** Să se calculeze transmisia pe buclă  $af = I_o/I_s$  pentru circuitul din fig. 18.14, *a* prin metoda sugerată de fig. 18.16. Verificați rezultatele formind produsul  $af$  din ecuația (18.32) și rezultatul problemei P18.3 (v. pag. 146).

**P 18.5.** Să se calculeze raportul  $I_o/V_i$  din fig. 18.18 și să se verifice că pentru reacția nod-nod admitanța de ieșire este dată de ecuația (18.46).

**P 18.6.** Să se calculeze admitanța de intrare pentru exemplul numeric de reacție nod-nod (v. pag. 141) cu deosebirea că se va presupune inițial  $G_s = 0$ . Să se compare cu valoarea de 1460 mS obținută în text.

**P 18.7.** Plecînd de la ecuația (18.19) și urmînd o metodă analogă aceluia din § 18.3.1, să se găsească relațiile (18.52), (18.53) și (18.54).

**P 18.8.** Să se calculeze funcția de transfer  $I_o/V_s$  pentru circuitul *a* din fig. 18.20, *a* și să se compare cu relația (18.53).

**P 18.9.** Procedînd într-o manieră similară cu cea dezvoltată în § 18.3.5, să se pornească de la fig. 18.19 pentru a determina impedanțele de intrare și ieșire, și deci să se verifice ecuațiile (18.55) și (18.56).

**P 18.10.** Să se înlocuiască rezistența  $R_c$  din fig. 18.21, *b* prin cuadripolul său echivalent, apoi să se împartă circuitul rezultat în circuite pentru *a* și *f*. Așadar, se vor verifica circuitele corespunzătoare din fig. 18.22 (v. pag. 155).

**P 18.11.** Să se deseneze o reprezentare completă în parametrii  $g$  a unui amplificator cu reacție — cu comparare în nod și eșantionare pe buclă. Topologia de bază este reprezentată în fig. 18.9, *d*. Urmărim metoda din § 18.3.1 găsiți expresii pentru  $A$ ,  $a$  și  $f$  pentru acest tip de reacție (v. pag. 160).

**P 18.12.** Să se găsească funcția de transfer a circuitului *a* pentru amplificatorul cu reacție reprezentat în fig. 18.23, *a*. Se presupune  $g_m = 40$  mS,  $r_{\pi} = 2$  kΩ,  $R_L = 1$  kΩ (v. pag. 160).

**P 18.13.** Folosind valorile date de problema P.18.12, să se calculeze funcția de transfer pe buclă închisă,  $A = I_o/I_s$ , transmisia pe buclă, desensibilizarea și impedanțele de intrare și ieșire pentru amplificatorul cu două etaje, cu reacție din fig. 18.23, *a* (v. pag. 162).

**P 18.14.** Să se deseneze o reprezentare completă în parametrii  $h$  a amplificatorului cu reacție cu comparare pe buclă și eșantionare în nod. Topologia de bază este arătată în fig. 18.9, *b*. Se va urmări procedeul din § 18.3.1 pentru a găsi relațiile pentru  $A$ ,  $a$  și  $f$  pentru acest tip de reacție (v. pag. 162).

**P 18.15.** Să se calculeze parametrii  $h$  pentru rețeaua de reacție din fig. 18.24, *b* ( $R_1$  și  $R_2$ ), deci să se verifice figura 18.25, *b* (v. pag. 162).

**P 18.16.** Să se aplice regulile corespunzătoare pentru a forma direct circuitul *a* din amplificatorul cu reacție de tip comparare pe buclă și eșantionare în nod din fig. 18.24. Să se compare rezultatul cu fig. 18.26, *a*.

**P18.17.** Să se proiecteze un amplificator cu reacție (frecvență joasă și medie) având comparație pe buclă și eșantionare în nod (fig. 18.24, a) pentru a avea o amplificarea de tensiune de 100 și o desensibilizare de 10. Se presupune că  $R_S = 100 \Omega$  și  $R_L = 0,25 k\Omega$ . Se observă că aceste specificații fixează valoarea lui  $f$ , deci valoarea lui  $R_S/(R_L + R_f)$ . Totuși nivelul impedanței divizorului nu este determinat. Se vor discuta efectele alegerii valorilor mari, sau mici pentru  $R_e$  și  $R_f$ . Alegeți valorile care să permită o valoare maximă pentru  $a$  (v. pag. 164).

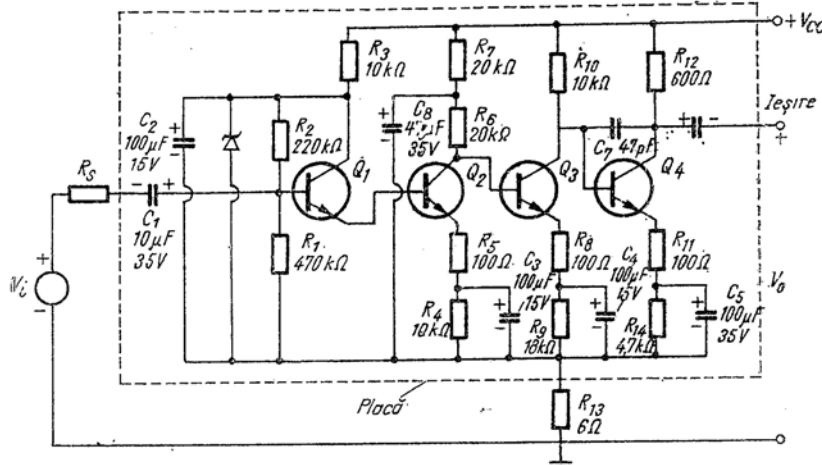


Fig. 18.27. Amplificator cu reacție.

**P18.18.** Pentru amplificatorul cu reacție arătat în fig. 18.27<sup>1</sup>:

- Ce tip de comparație a fost folosit la intrare?
- Care este tipul eșantionării la ieșire?
- Să se deseneze circuitul echivalent la frecvențe medii al circuitului  $a$ , folosind  $g_m$  și  $r_{\pi}$ . Se neglijează semnalul prin  $R_{10}$ .
- Să se deseneze circuitul.

e) Pentru  $\beta_o = 30$ ,  $R_S = 1000 \Omega$ , să se estimeze pînă la factorul de aproximație de 2, valorile lui  $a$  și  $f$ . Se presupune că  $Q_2$  și  $Q_3$  operează la un curent de colector static de aproximativ  $1/2$  mA iar  $Q_4$  are  $I_C = 2$  mA.

f) Cît de mare este desensibilizarea amplificatorului la variațiile survenite în amplificarea amplificatorului de bază?

g) Care este funcția lui  $C_6$ ?

h) Care este funcția lui  $C_7$ ?

i) Calculați rezistențele la intrare și ieșire (la centrul benzii).

**P18.19.** a) Pentru circuitul din fig. 18.28<sup>2</sup> stabiliți dacă proiectantul a folosit comparație la intrare în nod, sau pe buclă și eșantionare în nod sau pe buclă la ieșire.

b) Desenați circuitul de medie frecvență  $a$  folosind circuitul echivalent în  $\pi(g_m, r_{\pi})$  pentru tranzistor și desenați circuitul pentru a calcula funcția de transfer  $f$ .

**P18.20.** Circuitul din fig. 18.29<sup>3</sup> are două bucle de reacție, una operînd numai la frecvențe foarte joase cu scopul stabilizării punctului de funcționare (v. § 16.1.4).

a) Identificați tipurile de comparație și eșantionare pentru fiecare buclă de reacție.

b) Desenați circuitele  $a$  și  $f$  la frecvențe medii.

<sup>1</sup> v. lucrarea [18.2] (N.A.).

<sup>2</sup> v. lucrarea [18.3] (N.A.).

<sup>3</sup> v. lucrarea [18.3] (N.A.).

**P18.21.** Să se reexamineze circuitul de stabilizare a punctului static din fig. 16.4 în lumina discuției asupra reacției din acest capitol. Identificînd circuitele  $a$  și  $f$ , să se găsească funcția de transfer de la „intrare”,  $V_{B1}(T)$  în fig. 16.5, la ieșire  $V_{CE3}$ . Să se compare cu rezultatele din § 16.1.4.

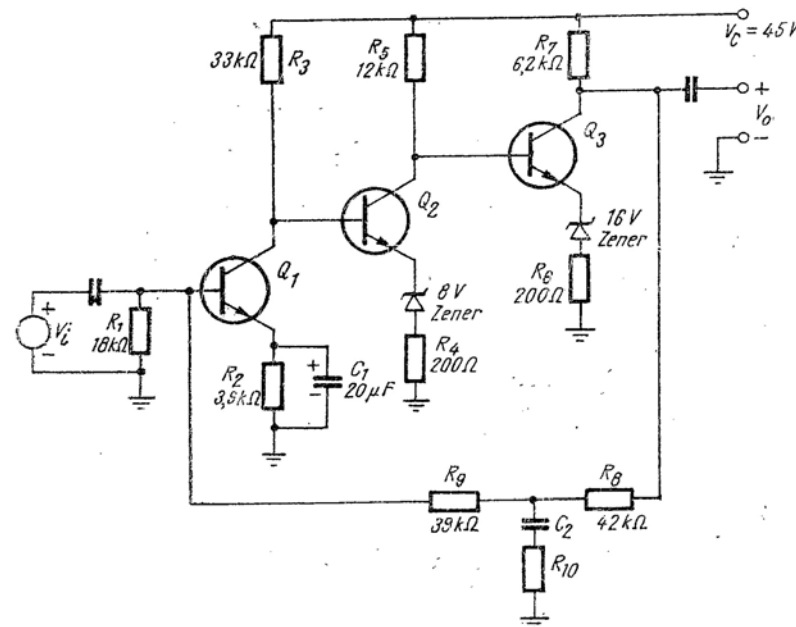


Fig. 18.28. Amplificator cu reacție.

**P18.22.** Să se examineze etajul de ieșire al amplificatorului operațional cu reacție, integrat din fig. 16.16, din punctul de vedere al reacției. Calculați amplificarea de tensiune de la emitorul lui  $Q_8$  la ieșire. Care este rezistența de ieșire a circuitului?

**P18.23.** Să se proiecteze un circuit (la frecvențe joase sau medii) care să aibă o amplificarea de tensiune stabilă, egală cu 10 și o desensibilizare de 100. Se presupune  $R_S = 0,1 k\Omega$ ,  $R_L = 1 k\Omega$ .

**P18.24.** Pentru comanda bobinelor de deflexie ale unui televizor, este de dorit să se construiască un amplificator al cărui curent de ieșire este proporțional cu tensiunea de intrare. Să se proiecteze un amplificator cu reacție (la frecvențe joase și medii) pentru a avea o funcție de transfer stabilă  $I_o/V_i = 1$  S și o desensibilizare de 20.

**P18.25.** Simbolul sub formă de triunghi folosit în fig. 18.30 este un simbol standard pentru un amplificator operațional. O tensiune pozitivă aplicată la terminalul notat cu (+) dă naștere unui potențial crescător la ieșire. O tensiune pozitivă aplicată la terminalul marcat cu (−) dă naștere unui potențial scăzător la ieșire. O realizare practică a unui asemenea circuit este dată în fig. 16.16. Aceste amplificatoare au în mod tipic amplificarea de tensiune și curent foarte mari, impedanță de intrare mare și impedanță de ieșire foarte mică. Deci metodele aproximative pentru calculul amplificării pe buclă închisă, ca cele discutate la sfîrșitul § 18.3.3, conduc la rezultate excelente.

- a) Să se calculeze amplificarea de tensiune  $V_2/V_1$  pentru cele două circuite reprezentate în fig. 18.30.  
 b) Adesea, circuitul din fig. 18.30, b este operat cu  $R_1 = \infty$ ,  $R_2 = 0$ . Care este amplificarea de tensiune  $V_2/V_1$ ?

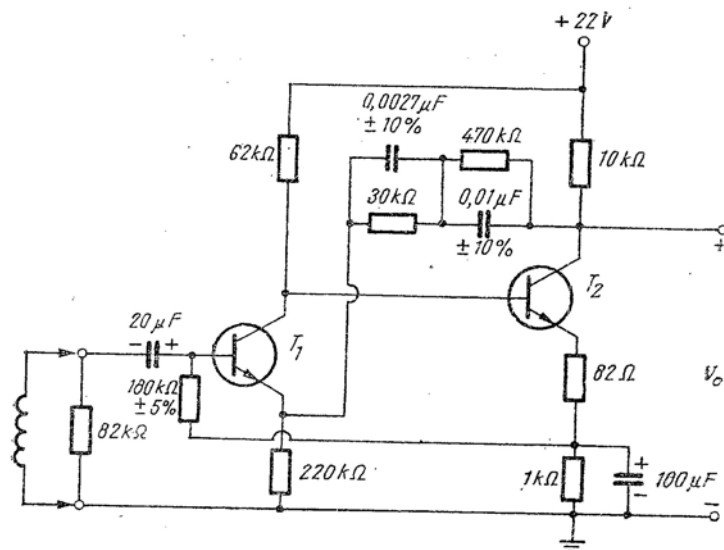


Fig. 18.29. Amplificator de pickup.

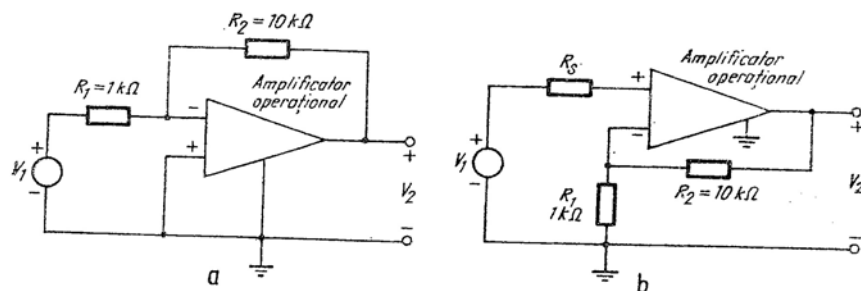


Fig. 18.30. Amplificatoare cu reacție folosind un amplificator operațional ca amplificator de bază:

a - conexiune inversoare; b - conexiune neinversoare.

- c) Adesea, circuitul din fig. 18.30, a este acționat cu condensatorul  $C_2$  în locul rezistorului  $R_2$ . Care este amplificarea de tensiune în acest caz? Ce funcție matematică realizează acest circuit?

## CAPITOLUL 19

RĂSPUNSUL STAȚIONAR ȘI TRAN-  
ZITORIU AL AMPLIFICATORULUI  
CU REACȚIE. LOCUL RĂDĂCINILOR

## RĂSPUNSUL STAȚIONAR ȘI TRANZITORIU AL AMPLIFICATORULUI CU REACȚIE. LOCUL RĂDĂCINILOR

- 19.1. Problema stabilității
  - 19.2. Calculul locului rădăcinilor
    - 19.2.1. Construcția aproximativă a locului rădăcinilor
    - 19.2.2. Exemplu de calcul al locului rădăcinilor
    - 19.2.3. Criterii pentru un răspuns acceptabil
    - 19.2.4. Compensarea prin modificarea rețelei de reacție
    - 19.2.5. Compensarea prin adăugarea unui condensator amplificatorului de bază
    - 19.2.6. Modificarea lui  $a$  și  $f$
    - 19.2.7. Compensarea prin adăugarea de zerouri lui  $a(s)$
    - 19.2.8. Rezumat
  - 19.3. Exemplu de proiectare
    - 19.3.1. Reacția buclă-bucă
    - 19.3.2. Amplificator cu reacție cu comparare pe buclă și eșantionare în nod
  - 19.4. Demonstrații experimentale la curs
- Bibliografie*  
*Probleme*

## Răspunsul staționar și tranzitoriu al amplificatorului cu reacție. Locul rădăcinilor

### 19.1. PROBLEMA STABILITĂȚII

Avantajele aplicării reacției unui amplificator cu tranzistoare au fost discutate în detaliu în cap. 18. Totuși problema *instabilității*, care a fost atinsă numai tangențial, constituie o limitare fundamentală a valorii reacției ce poate fi aplicată unui circuit dat. În acest capitol se examinează pe larg această problemă, și alte două probleme de proiectare strâns înrudite :

- cum să se obțină un răspuns în frecvență fără vîrfuri rezonante ;
- cum să se obțină timpi de creștere mici ai fronturilor, fără supra-creșteri.

Problema instabilității circuitelor cu reacție apare atunci cînd în rețea sînt prezente elemente de stocare a energiei. Deci, complexitatea rețelei va impune din nou folosirea calculatoarelor ca mijloc de calcul al polilor și zerourilor de tipul celor discutate în cap. 15, pentru a verifica proiectarea amplificatorului cu reacție. Totuși, și aici, ca și în cap. 15, calculatorul nu reușește să ofere un tablou complet al proiectării făcute ; de aceea, este necesar să se analizeze în detaliu două procedee de sinteză a amplificatoarelor cu reacție, și anume *locul rădăcinilor* și *diagrama lui Bode*.

Pentru a înțelege problema stabilității, se studiază localizarea frecvențelor naturale ale amplificării cîtorva amplificatoare cu reacție, în funcție de valoarea reacției la frecvențe mijlocii. În acest capitol se presupune că, la frecvențe mijlocii *reacția este negativă*. De asemenea, pentru a simplifica discuția, se presupune, în acest paragraf introductiv, că avem la dispoziție un amplificator de bază și un atenuator de precizie cu funcții



de transfer *independente*. Aceasta înseamnă că, pentru moment, discuția se întoarce la schema-bloc simplă introdusă în § 18.1.

Se presupune, mai întâi, că amplificatorul de bază din fig. 19.1 are un singur pol  $s = s_a$ , plasat pe semi-axa reală negativă ( $s_a$  este negativ):

$$a(s) = \frac{a_o}{1 - s/s_a}, \quad (19.1)$$

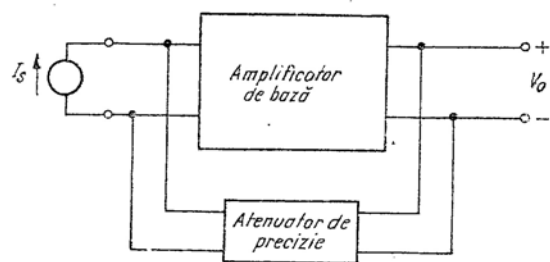


Fig. 19.1. Schema-bloc a unui amplificator cu reacție nod-nod.

unde  $a_o$  este valoarea la frecvențe medii a lui  $a(s)$ . Dacă se presupune că atenuatorul de precizie este pur rezistiv, funcția lui de transfer este independentă de frecvență:

$$f(s) = f_o. \quad (19.2)$$

Pe această bază, funcția de transfer globală (pe buclă închisă) a amplificatorului cu reacție este:

$$A(s) = \frac{a}{1 + af} = \quad (19.3)$$

$$= \frac{a_o}{1 + a_o f_o - s/s_a}. \quad (19.4)$$

Funcția de transfer a amplificării  $A(s)$  are un pol la:

$$s_1 = s_a(1 + a_o f_o). \quad (19.5)$$

Deoarece se presupune că la frecvențe mijlocii reacția este negativă,  $a_o f_o$  trebuie să fie pozitiv.

Deci nu este posibil să se mute polul lui  $A(s)$  în semiplanul drept, ericare ar fi valoarea transmisiei pe buclă la frecvențe mijlocii  $a_o f_o$ . De fapt, polul lui  $A(s)$  rămâne pe semi-axa negativă reală și se deplasează spre stînga, îndepărtîndu-se de origine, pe măsură ce crește reacția negativă. Se reamintește că un circuit cu poli în semiplanul stîng este *stabil*, în sensul că răspunsul la impuls constă numai din forme de undă exponențiale scăzătoare (cu exponent negativ).

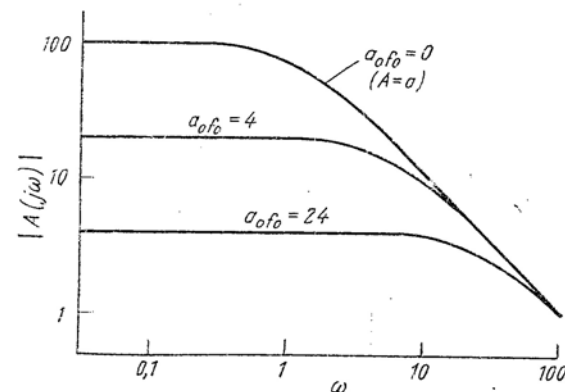


Fig. 19.2. Amplificarea pe buclă închisă funcție de  $\omega$  pentru un sistem cu un pol.

Din ecuația (19.4) se mai observă că reacția a *crescut* frecvența limită, superioară, prin factorul  $1 + a_o f_o$  și a *scăzut* amplificarea la frecvențe medii prin același factor. Aceste efecte sînt ilustrate în fig. 19.2, în care modulul amplificării pe buclă închisă  $|A(j\omega)|$  a fost reprezentat pentru diverse valori ale transmisiei pe buclă  $a_o f_o$ . Se trage concluzia că, pentru acest caz, simplu, produsul între amplificarea în bandă și lărgimea benzii, adesea denumit produs amplificare-bandă, rămîne constant, deși valoarea reacției se schimbă. Datorită acestei relații simple între amplificare și bandă, și datorită stabilității inerente a circuitelor cu reacție cu un singur pol, amplificatoarele cu reacție sînt adesea stabilizate prin această metodă. Concret, ele sînt stabilizate prin adăugarea unei capacități de valoare mare la amplificatorul de bază, pentru a crea un *pol dominant*. Această metodă de stabilizare va fi discutată în detaliu în § 19.2.5.

În al doilea rînd, se reamintește că funcția de desensibilizare a reacției este efectivă numai atunci cînd *transmisia pe buclă este mare*. Deci, în exemplul prezent, atunci cînd frecvența este mai mare decît  $\omega = |s_a|$ , amplificarea amplificatorului de bază descrește (v. relația 19.1 sau fig. 19.2), astfel încît desensibilizarea trebuie să scadă.



Se consideră, în continuare, un amplificator de bază cu doi poli la  $s = s_a$  și  $s = s_b$  și se presupune că polii se află pe semiaxa negativă reală (deci  $s_a$  și  $s_b$  sînt numere reale negative):

$$a(s) = \frac{a_o}{(1 - s/s_a)(1 - s/s_b)} = \frac{a_o}{1 + a_1s + a_2s^2}. \quad (19.6)$$

Se găsește acum că amplificarea cu buclă închisă, presupunînd reacția rezistivă, este:

$$A(s) = \frac{a_o}{(1 + a_o f_o) + a_1s + a_2s^2}. \quad (19.7)$$

Din numitorul relației (19.7), se găsește că polii lui  $A(s)$  se află pe semiaxa reală negativă pentru  $a_o f_o$  mai mic decît  $(a_1^2/4a_2) - 1$ . Pentru  $a_o f_o$  mai mare decît această valoare,  $A(s)$  are o pereche de poli complecși.

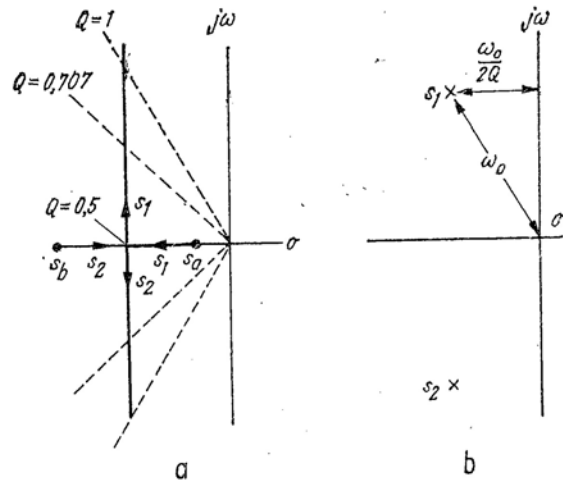


Fig. 19.3. Locul frecvențelor naturale  $s_1$  și  $s_2$  ale lui  $A(s)$  cînd  $a_o f_o$  crește de la zero în ecuațiile 19.7 și 19.8 (a) și interpretarea geometrică a lui  $Q$  (b).

O cale convenabilă de a reprezenta grafic această situație este de a trasa *locul rădăcinilor*, localizarea în planul  $s$  a polilor lui  $A(s)$ , pentru valori crescătoare ale reacției la frecvențe mijlocii, adică crescînd valoarea lui  $a_o f_o$ .

Pentru a face o diferențiere clară între reprezentarea polilor amplificatorului de bază și /sau ai rețelei de reacție și polii amplificatorului cu reacție complet, se notează polii lui  $a(s)$  sau  $a(s)f(s)$  prin indici literali  $s_a, s_b, s_c$ , iar polii lui  $A(s)$  prin indici numerici,  $s_1, s_2, s_3$ . Fig. 19.3, a reprezintă locul rădăcinilor  $s_1, s_2$  adică polii lui  $A(s)$  din relația (19.7).

Localizarea polilor poate fi rescrisă în funcție de  $Q$  —ul circuitului prin modificarea ecuației (19.7):

$$A(s) = \frac{A_o}{1 + (1/Q)(s/\omega_o) + (s/\omega_o)^2} \quad (19.8)$$

unde

$$\omega_o^2 = \frac{1 + a_o f_o}{a_2} \quad (19.9)$$

$$Q^2 = \frac{a_2(1 + a_o f_o)}{a_1^2}. \quad (19.10)$$

Interpretările geometrice ale lui  $Q$  și  $\omega_o$  sînt date în fig. 19.3, b. Se observă că, pentru acest exemplu cu doi poli, polii lui  $A(s)$  se află întotdeauna în semiplanul stîng; deci, nici de data aceasta, amplificatorul nu poate fi făcut instabil, oricare ar fi valoarea pozitivă a transmisiei pe buclă la frecvențe mijlocii. Totuși, dacă transmisia pe buclă este suficient de mare pentru a-l face pe  $Q$  mult mai mare decît unitatea, amplificatorul va avea un răspuns în frecvență cu un vîrf important, iar răspunsul la semnalul treaptă va fi marcat de o oscilație amortizată. Acest fapt este arătat în fig. 19.4, în care s-au reprezentat răspunsurile în frecvență *normalizată* și răspunsul la semnal-treaptă al amplificatorului pentru diverse valori ale lui  $Q$ .

Ca un al treilea exemplu, se va considera cazul în care amplificatorul de bază are trei poli pe semiaxa negativă reală:

$$a(s) = \frac{a_o}{(1 - s/s_a)(1 - s/s_b)(1 - s/s_c)}. \quad (19.11)$$

Pentru  $f(s) = f_o$  se obține:

$$A(s) = \frac{a_o}{(1 + a_o f_o) + a_1s + a_2s^2 + a_3s^3}. \quad (19.12)$$

Această funcție are întotdeauna un pol real, dar pentru valori suficient de mari ale lui  $a_0 f_0$ , ceilalți doi poli părăsesc axa reală pentru a forma o pereche complexă. În plus, pentru valori suficient de mari ale lui  $1 + a_0 f_0$ , această pereche complexă se deplasează în partea din dreapta a planului complex. Deci, amplificatorul devine instabil, în sensul că răspunsul la semnal-treaptă este dominat de forme de undă exponențiale crescătoare.

Locul polilor, tipic pentru ecuația (19.12) este prezentat în fig. 19.5. Răspunsul în domeniul frecvenței și răspunsul la semnal-treaptă al amplificatorului poate fi prefigurat într-o oarecare măsură pornind de la valoarea  $Q$ -ului perechii de poli complecși. Polul real tinde să niveleze atit cocoșa răspunsului în frecvență, cit și oscilațiile ce apar în răspunsul la semnal-treaptă, care ar avea tendința să apară datorită perechii complexe. Acest lucru se va discuta în detaliu în § 19.2.3.

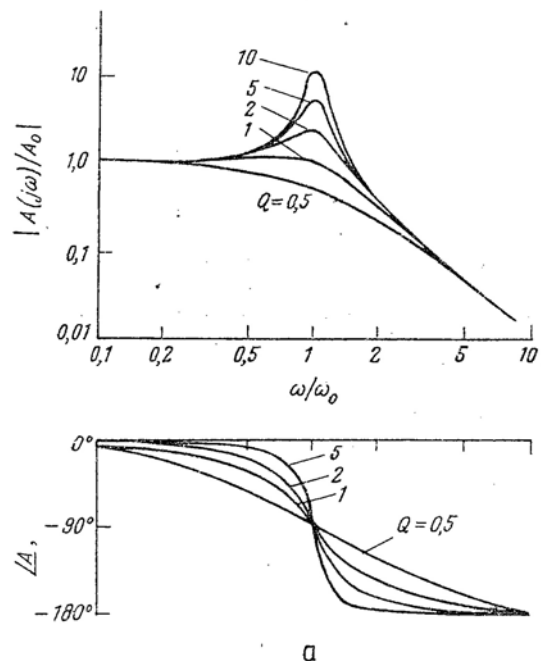


Fig. 19.4. Răspunsul normalizat al unui amplificator ideal cu reacție, cu doi poli :

a - răspunsul în frecvență; b - răspunsul normalizat la semnal-treaptă pentru  $Q = 0.707$ ; c - supracreșterea procentuală în funcție de  $\beta/\alpha$  pentru o pereche complexă de poli  $s_1$  și  $s_2 = -\alpha \pm j\beta$ .

Din aceste trei exemple simple trebuie reținut că valoarea transmisiei pe buclă, în bandă,  $a_0 f_0$ , poate influența serios localizarea frecvențelor naturale ale lui  $A(s)$  deci stabilitatea, răspunsul în frecvență și răspunsul

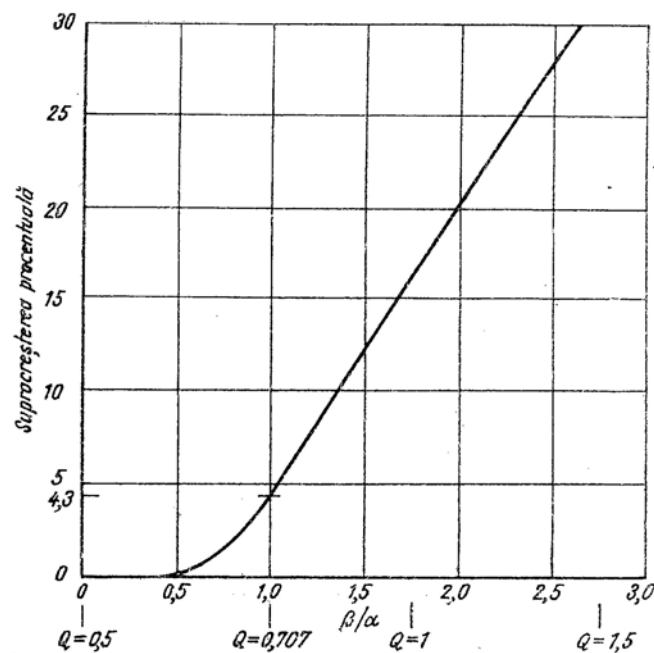
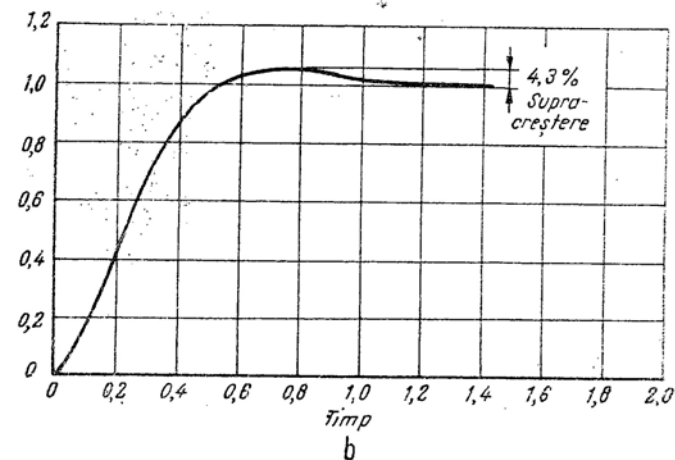


Fig. 19.4  
b, c

c

tranzitoriu al amplificatoarelor cu reacție. O problemă importantă în proiectarea amplificatoarelor cu reacție este de a alege un amplificator de bază și o rețea de reacție adecvate, pentru a obține în același timp și o transmisie pe buclă mare (deci o desensibilizare bună) și un răspuns în frecvență și un răspuns tranzitoriu acceptabile.

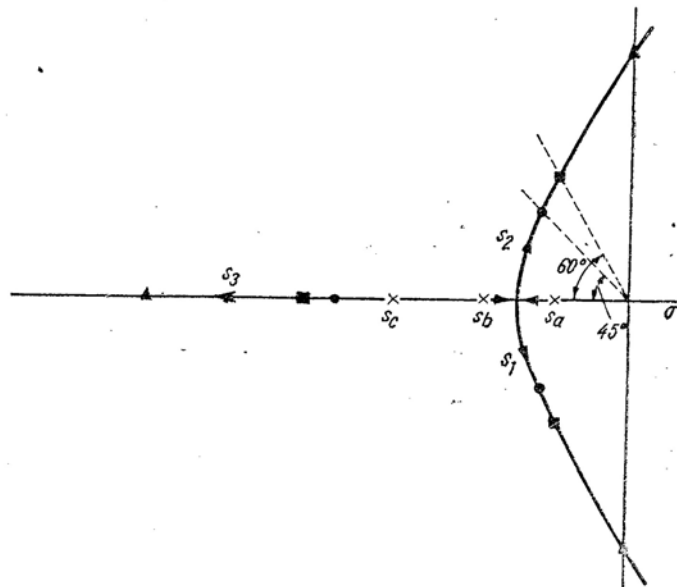


Fig. 19.5. Locul rădăcinilor  $s_1$ ,  $s_2$  și  $s_3$  ale lui  $A(s)$  pentru  $a_0 f_0$  crescând de la zero. Se arată de asemenea localizările polilor pentru patru valori particulare ale lui  $a_0 f_0$ .

Există două metode principale de analiză prin care se abordează cu succes această problemă. Una dintre ele se concentrează asupra localizării frecvențelor naturale ale lui  $A(s)$  în planul complex — aceasta fiind metoda *locului rădăcinilor* (aceeași tehnică utilizată în acest paragraf pentru a introduce problema stabilității). Această metodă va fi discutată în amănunt în restul capitoului. A doua metodă, bazată numai pe răspunsul staționar sinusoidal al amplificatorului,  $a(j\omega)$ , va fi discutată în cap. 20.

## 19.2. CALCULUL LOCULUI RĂDĂCINILOR

Ideea esențială a metodei locului rădăcinilor este de a trasa drumul pe care îl străbat frecvențele naturale, adică polii lui  $A(s)$ , în funcție de transmisia pe buclă la frecvențe medii  $a_0 f_0$ . Pe baza acestui loc, se determină

transmisia pe buclă maximă posibilă, care mai menține un răspuns în frecvență sau tranzitoriu „rezonabil”. Dacă această valoare a lui  $a_0 f_0$  nu produce o desensibilizare suficientă, se pot adăuga rețele compensatoare care alterează localizarea polilor lui  $af$ . Aceasta se adaugă fie amplificatorului de bază, fie rețelei de reacție pentru a schimba forma locului. Cu o compensare adecvată se pot obține atât desensibilizarea dorită, cât și o localizare adecvată a polilor lui  $A(s)$ , pentru un răspuns bun în frecvență și tranzitoriu.

### 19.2.1. Construcția aproximativă a locului rădăcinilor

După cum s-a văzut în cap. 15, este o chestiune relativ simplă să se găsească polii unui amplificator folosind calculatorul numeric. Deci, se pot calcula cu ușurință polii lui  $A(s)$  pentru un amplificator de bază dat și pentru câteva valori ale funcției de reacție  $f$ . Din păcate, aceste calcule nu dau o imagine suficient de clară pentru a obține o proiectare adecvată, în special atunci când este necesară introducerea unei rețele de compensare pentru îmbunătățirea performanțelor.

Este, deci, important să se găsească un număr oarecare de reguli pentru schițarea aproximativă a locului rădăcinilor, cu scopul de a facilita procesul de proiectare.

Deși există multe reguli pentru formarea locului aproximativ<sup>1)</sup>, următoarele cinci reguli vor fi deosebit de utile pentru amplificatoarele cu reacție cu tranzistoare<sup>2)</sup>.

**1. Începutul și sfârșitul locului:** pentru valori crescătoare ale valorii reacției în bandă, locul fiecărui pol al lui  $A(s)$  începe dintr-un pol al lui  $af$  și se sfârșește într-un zero al lui  $af$ .

Dacă se exprimă transmisia pe buclă

$$af = a_0 f_0 g(s), \quad (19.13)$$

unde  $g(s)$  este un raport de polinoame egal cu unitatea pentru frecvențe din bandă, atunci:

$$A(s) = \frac{a(s)}{1 + a_0 f_0 g(s)}. \quad (19.14)$$

Pentru valori finite, nenule ale lui  $a_0 f_0$ , polii lui  $A(s)$  apar numai acolo unde  $a_0 f_0 g(s) = -1$ . Dacă  $a_0 f_0$  este foarte mic, atunci pentru un pol al lui

<sup>1)</sup> V. bibliografia [19.1].

<sup>2)</sup> Dacă se dorește, argumentele de plauzibilitate urmînd fiecare din aceste reguli pot fi omise într-un curs introductiv, fără a se pierde continuitatea.

$A(s)$ , funcția  $g(s)$  trebuie să fie mult mai mare decât unu, adică în apropierea unui pol al lui  $g(s)$  și deci al lui  $af$ . Reciproc, dacă  $a_0 f_0$  este foarte mare, atunci, pentru un pol al lui  $A(s)$ , funcția  $g(s)$  trebuie să fie mult mai mică decât unu, deci foarte aproape de un zero al lui  $af$ . Deci, se poate spune

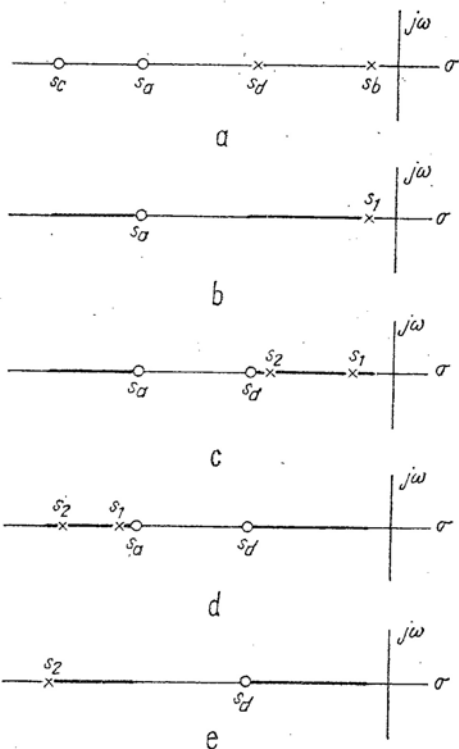


Fig. 19.6. Locul lui  $s_1$  și  $s_2$  pe axa reală pentru valori crescătoare ale lui  $a_0 f_0$ .

că pentru valori crescătoare ale valorii reacției în buclă, adică, crescând  $a_0 f_0$ , locul fiecărui pol al lui  $A(s)$  pleacă de la un pol al lui  $af$  și se termină pe un zero al lui  $af$ . Dacă  $af$  are mai mulți poli decât zerouri, anumite ramuri ale locului se vor termina pe zerourile de la infinit (se observă că polii lui  $a(s)$  apar de asemenea în  $g(s)$ , ca în relația 19.13). Deci, așa cum s-a arătat mai sus, atît timp cît  $0 < a_0 f_0 < \infty$ ,  $A(s)$  nu are aceeași poli ca  $a(s)$ . Totuși, atunci cînd  $f=0$ ,  $A(s)$  are drept poli chiar polii lui  $a(s)$ . Mai mult, dacă  $f_0 = \infty$ , polii lui  $A(s)$  sînt zerourile lui  $f(s)$ .

Ca un exemplu simplu, se consideră cazul reprezentat în fig. 19.6 a unde amplificatorul de bază are un zero  $s_c$  și un pol  $s_b$ , iar rețeaua de reacție are un zero  $s_c$  și un pol  $s_d$ . Pentru  $f_0 = 0$ , rezultă din ecuația (19.14) că

polii și zerourile lui  $A(s)$ , cum se arată în fig. 19.6, b sînt identici cu polii și zerourile lui  $a(s)$ . Pentru  $a_0 f_0$  finit,  $A(s)$  este în continuare zero cînd  $a(s)$  este zero (c. relația 19.14). Totuși,  $A(s)$  nu mai are polii lui  $a(s)$ . Pentru  $a_0 f_0$  mic, se știe din discuția precedentă că polii lui  $A(s)$  vor fi apropiați de  $s_b$  și  $s_d$ , ca în fig. 19.6, c. (Faptul că ei se află pe axa reală între  $s_b$  și  $s_d$  este explicat de regula 2 de mai jos.) Polii și zerourile lui  $A(s)$ , pentru  $a_0 f_0$  de valoare mare și  $a_0 f_0$  infinit, sînt de asemenea arătați în figură.

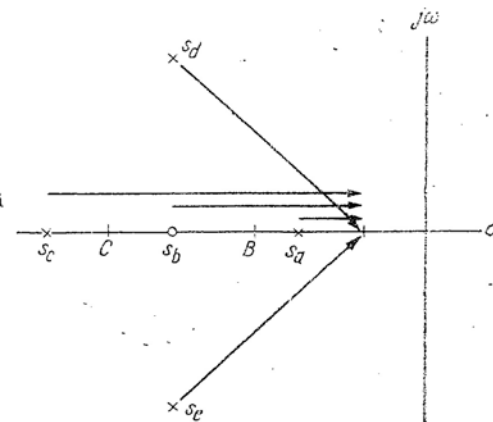
2. Localizarea locului pe axa reală: locul polilor lui  $A(s)$  include toate porțiunile de pe axa reală, situate la stînga unui număr impar de poli și zerouri din semiplanul stîng.

Acele părți ale locului polilor lui  $A(s)$  care se află pe axa reală se pot localiza cu ușurință. Din relația (19.3)

$$A(s) = \frac{a(s)}{1 + a(s)f(s)} \quad (19.15)$$

Deci, pentru a avea un pol al lui  $A(s)$  trebuie ca  $1 + af$  să fie zero; atunci  $af$  este egal cu  $-1$ . Pe axa reală,  $s$  este real; deci  $a(s)f(s)$  trebuie să fie real, deoarece un polinom cu coeficienți reali și variabilă reală poate avea numai valori reale. Mai mult, se poate modifica  $a_0 f_0$  astfel încît  $af$ , pe axa reală, să fie unitar. În felul acesta, singura chestiune care se mai pune este: care segmente de pe axa reală corespund lui  $|af| = 1$ ?

Fig. 19.7. Calculul locului pe axa reală pe baza polilor și zerourilor lui  $af$ .



Se consideră exemplul din fig. 19.7. Într-un punct  $A$ , contribuțiile polilor și zerourilor reali sînt zero. (Contribuția perechilor complex conjugate se anulează în orice punct de pe axa reală deoarece  $af$  este real). Deci, pentru această valoare a lui  $s$  faza lui  $af$  este zero.

Pentru un punct  $B$ , care se află între  $s_a$  și  $s_b$ ,  $|af| = \pi$ . Pentru un punct între  $s_b$  și  $s_c$ ,  $|af| = 0$ . Generalizând aceste exemple și faptul că polii lui  $A(s)$  se deplasează continuu pe măsură ce  $a_0 f_0$  crește, se obține regula: locul polilor lui  $A(s)$  include toate segmentele axei reale care au la dreapta un număr impar de poli și zerouri ai lui  $af$ .

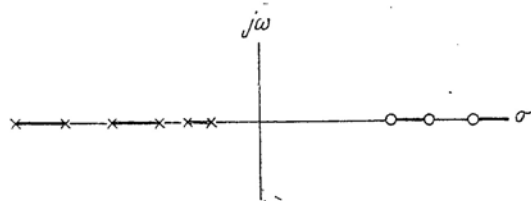


Fig. 19.8. Locul rădăcinilor pe axa reală pentru un amplificator cu reacție cu trei etaje.

Se observă că, pentru a simplifica regula, se ignoră zerourile din semiplanul drept. Pentru a arăta de ce este posibilă această simplificare, se examinează cazul reacției negative rezistive aplicate unei cascade de trei etaje cu emitor comun, cu cuplaj direct. Fără reacție, un astfel de amplificator va avea șase poli în semiplanul stâng și trei zerouri în semiplanul drept, cum e reprezentat în fig. 19.8. Dacă se aplică reacția negativă, atunci, prin definiție,  $a_0 f_0$  este pozitiv. Dar pentru acest amplificator,  $a_0 f_0$  este răspunsul pentru  $s=0$ , care reprezintă răspunsul în curent continuu. Rezultă din ecuația (19.15) că pentru orice valoare permisă a lui  $a_0 f_0$ ,  $A(0)$  trebuie să fie real și finit, adică  $A(s)$  nu poate avea un pol la  $s=0$ . Deci locul polilor lui  $A(s)$  pe axa reală nu include originea (fig. 19.8). Acest rezultat este același cu cel care s-ar fi obținut dacă s-ar fi aplicat regula 2 numai semiplanului stâng. Procedeu este corect deoarece, fiecare zero din semiplanul drept al lui  $af$  schimbă semnul lui  $a_0 f_0$ , dar regula 2 include, deja, informația referitoare la semnul lui  $a_0 f_0$ .

**3. Formarea perechilor complexe:** toate segmentele locului de pe semi-axa reală, între perechi de poli (sau poli și zerouri) ai lui  $af$ , trebuie să se ramifice într-un anumit punct de „despărțire”, sub unghiuri drepte și să formeze perechi de poli complex conjugate.

Fig. 19.6 este o ilustrare interesantă a regulii 2. Pentru acest caz, regula 2 spune că locul polilor lui  $A(s)$  trebuie să se afle numai între  $s_a$  și  $s_c$  și între  $s_b$  și  $s_d$ , ca în fig. 19.6,c. Dar, se știe din regula 1 că, pentru  $a_0 f_0$  de valoare mică, unul dintre polii lui  $A(s)$  este apropiat de  $s_b$ , iar celălalt aproape de  $s_d$ . Similar, pentru  $a_0 f_0$  de valoare mare, un pol al lui  $A(s)$  se apropie de  $s_a$ , iar celălalt de  $s_c$ . Pentru a se mișca în mod continuu de la  $s_b$  și  $s_d$  către  $s_a$  și  $s_c$ , și fără a încălca în același timp condiția locului pe axa reală, polii lui  $A(s)$  trebuie să părăsească axa reală și să formeze o pereche complex conjugată (v. fig. 19.9).

**4. Distanța medie față de axa imaginară:** pentru o reacție rezistivă globală aplicată unui amplificator cu mai mulți poli, distanța medie a polilor lui  $A(s)$  de la axa  $j$  va rămâne constantă pentru valori crescătoare ale lui  $a_0 f_0$ . Relația (19.12) ilustrează acest fapt. Se reamintește din ecuația (15.33) că:

$$\frac{a_{n-1}}{a_n} = - \sum s_j. \quad (19.16)$$

Deoarece toți polii complecși apar în perechi conjugate, partea imaginară a oricărei perechi complexe se va anula în această însumare, astfel încât ecuația (19.16) poate fi rescrisă ca:

$$\frac{a_{n-1}}{a_n} = - \sum \operatorname{Re} [s_j]. \quad (19.17)$$

Se va vedea că, pentru amplificatoarele cu mai mulți poli, având reacție rezistivă, cei doi coeficienți ai termenilor de putere maximă ai polinomului de la numitorul lui  $A(s)$  nu sînt funcție de valoarea transmisiei

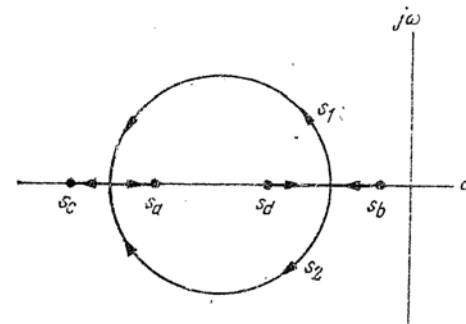


Fig. 19.9. Locul complet al rădăcinilor lui  $A(s)$  pentru  $af$  dat de fig. 19.6, a.

pe buclă la frecvențe mijlocii  $a_0 f_0$ . Deci, pentru aceste amplificatoare, suma polilor (sau suma părților reale ale polilor) lui  $A(s)$  va rămâne constantă pe măsură ce  $a_0 f_0$  se schimbă. De obicei, este mai ușor să se privească această condiție ca distanța medie față de axa  $j$ . Deci, se divid ambii membri ai relației (19.17) prin  $n$ , numărul de poli ai lui  $af$ :

$$\frac{a_{n-1}}{na_n} = \frac{- \operatorname{Re} s_j}{n} = \text{distanța medie a polilor față de axa } j. \quad (19.18)$$

Așadar, dacă  $n$ ,  $a_n$  și  $a_{n-1}$  nu se schimbă, distanța medie a polilor lui  $A(s)$  față de axa  $j$  (sau „centrul de greutate” al polilor) va fi constantă.

Rezultă din regula 1 că această distanță medie trebuie să fie aceeași ca distanța medie a polilor lui  $af$  față de axa  $j$ .

5. Invarianța polilor de valoare mare ai lui  $A(s)$ : dacă frecvențele naturale ale circuitului echivalent la semnal mic al circuitului  $af$  sînt puternic separate, la frecvențe mijlocii și înalte, polii mai îndepărtați ai lui  $A(s)$  vor rămîne aproape neschimbați, pentru valori moderate ale reacției.

Se consideră  $af(s)$  în care polii sînt puternic separați și zerourile sînt mult mai îndepărtate de origine decît polii. Deoarece, în acest caz,  $af$  va scădea rapid sub frecvența limită superioară,  $af$  va fi invariabil mai mic decît unitatea pentru valorile lui  $s$  comparabile în mărime cu valorile polilor de înaltă frecvență.

Deci, în domeniul înaltei frecvențe, reacția are un efect neglijabil asupra dinamicii sistemului și  $A(s)$  se apropie de  $a(s)$ .

În consecință, polii îndepărtați ai lui  $A(s)$  sînt apropiați de polii lui  $a(s)$ , indiferent de valoarea reacției la mijlocul benzii.

Se vor ilustra cele arătate printr-un exemplu. Se presupune că funcția de transfer a circuitului echivalent la semnal mic al circuitului  $a$ , la frecvențe medii și înalte, are poli separați. De exemplu, se presupune că are trei poli identici la  $s = -1$  și al patrulea este de o mie de ori mai mare, pe axa reală, la  $s = -1000$ .

Deci:

$$a(s) = \frac{1000 a_0}{(s+1)(s+1)(s+1)(s+1000)} = \frac{a_0}{0,001 s^4 + 1,003 s^3 + 3,003 s^2 + 3,001 s + 1}$$

Pentru reacție rezistivă,  $f = f_0$ , astfel că:

$$A(s) = \frac{a}{1+af} = \frac{a_0}{0,001 s^4 + 1,003 s^3 + 3,003 s^2 + 3,001 s + (1 + a_0 f_0)}$$

Polii lui  $A(s)$  apar pentru acele valori ale lui  $s$  care fac numitorul ( $D$ ) să tindă către zero. Deci, pentru a găsi cît de departe de  $s = -1$  și de  $s = -1000$  s-au mutat polii lui  $A(s)$  pentru  $a_0 f_0$  egal cu 100, de exemplu, se examinează  $D$  pentru  $s = -1$  și  $s = -1000$ .

Pentru  $s = -1$ , numitorul este egal cu:

$$D = 0,001 - 1,003 + 3,003 - 3,001 + (1 + a_0 f_0).$$

Pentru  $a_0 f_0 = 100$ ,  $D = 100$  și este deci necesară o schimbare majoră pentru a produce  $D=0$ . În mod concret,  $s$  trebuie făcut  $-5,65$  sau  $1,32 \pm j 4,0$

pentru a aduce din nou pe  $D$  la valoarea zero. Deci cei trei poli ai lui  $A(s)$  din regiunea frecvențelor joase se află la o distanță considerabilă de  $s = -1$ , polii de joasă frecvență ai lui  $a$ .

Pe de altă parte, pentru  $s = -1000$ :

$$D = 10^9 - 1,003 \times 10^9 + 3,003 \times 10^6 - 3,001 \times 10^3 + (1 + a_0 f_0).$$

Pentru  $a_0 f_0 = 100$ ,  $D$  este din nou egal cu 100, dar o foarte mică modificare a lui  $s$  (o parte la un milion) îl aduce pe  $D$  la valoarea zero, deoarece  $a_0 f_0$  nu este un termen dominant în acest domeniu de frecvență. Deci, polul de înaltă frecvență rămîne foarte aproape de  $s = -1000$ , polul de înaltă frecvență al lui  $a$ .

Se vor rezuma mai jos cele cinci reguli de bază pentru formarea locului rădăcinilor:

1. *Începutul și sfîrșitul locului*: pentru valori crescătoare ale reacției la frecvențe mijlocii, locul fiecărui pol al lui  $A(s)$  începe dintr-un pol al lui  $af$  și se termină într-un zero al lui  $af$ .

2. *Localizarea locului pe axa reală*: locul polilor lui  $A(s)$  include toate porțiunile axei reale care se află la stînga unui număr impar de poli și zerouri ai lui  $af$ , din semiplanul stîng.

3. *Formarea unei perechi de poli complecși*: toate segmentele locului de pe axa reală prezintă un punct de desprindere în două ramuri sub un unghi drept, pentru a forma perechi complex-conjugate.

4. *Distanța medie de la axa imaginară*: pentru reacție rezistivă aplicată unui amplificator cu mai mulți poli, distanța medie a polilor lui  $A(s)$  de la axa imaginară  $j$  va rămîne constantă pe măsură ce  $a_0 f_0$  crește.

5. *Invarianța polilor de valoare mare ai lui  $A(s)$  într-un set de poli puternic separați*: dacă frecvențele naturale ale circuitului echivalent la semnal mic al lui  $af$  la frecvențe medii și înalte, sînt puternic separate, polii mai înalți corespunzători setului de frecvențe naturale, separate, ale lui  $A(s)$  vor rămîne aproape neschimbați pentru valori medii ale reacției aplicate.

### 19.2.2. Exemple de calcul al locului rădăcinilor

Pentru a ilustra modul de calcul al locului rădăcinilor, se examinează stabilitatea unui amplificator cu reacție de tip nod-nod, cu trei etaje, ca în fig. 19.10, a. Pentru simplitate se folosește circuitul amplificatorului de bază din § 16.1 și § 18.3.3. Se impune proiectarea unei rețele de reacție care să facă posibilă obținerea în același timp a unei transmisii pe buclă mari (decî, o desensibilizare mare) și un răspuns acceptabil al amplificatorului.

Trebuie să rămînă clar din discuția precedentă, în special din § 19.1.1 că, aspectele legate de analiza și proiectarea amplificatorului cu reacție la frecvențe înalte și la frecvențe joase pot fi considerate separat. Așadar,

în discuția de față se va considera numai problema stabilității la înaltă frecvență. Desigur, problema stabilității la joasă frecvență poate fi la fel de dificilă ca problema stabilității la înaltă frecvență. Deoarece metoda de analiză este identică, se va discuta aici numai ultima problemă.

Pe baza discuției din § 18.3, se pot desena circuitele *a* și *f* la frecvențe medii și înalte, pentru amplificatorul din fig. 19.10, *a*. Aceste circuite sînt arătate în fig. 19.10, *b* și *c*. Se reamintește din § 18.3.3 că (ignorînd problema stabilității), se poate folosi o rezistență de 5000 Ω pentru reacție, în scopul de a se obține o desensibilizare egală cu 71. Deoarece  $R_s = 50 \Omega$  și  $R_L = 100 \Omega$ , e clar că pentru această desensibilizare (sau mai mică),  $R_f$  poate fi neglijat în fig. 19.10, *b* comparat cu  $R_s$  sau  $R_L$ . Dacă se face această presupunere, circuitul *a* devine identic cu amplificatorul cu 3 etaje din § 16.1.2 (v. fig. 16.2), deci are frecvențele naturale (în unități de ns<sup>-1</sup>):

$$s_a = -0,0251$$

$$s_b = -0,0943$$

$$s_c = -0,409$$

$$s_d = -9,55$$

$$s_e = -18,22$$

$$s_f = -28,56.$$

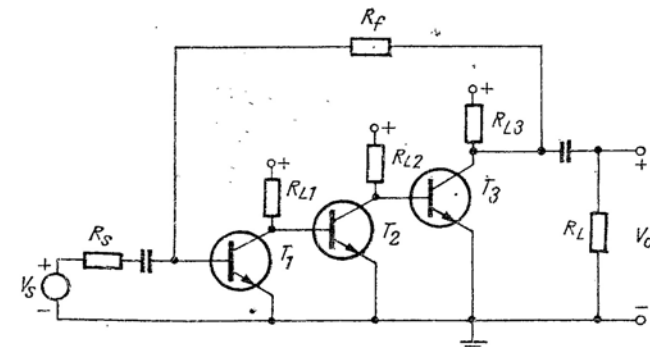
Amplificatorul are de asemenea, trei zerouri în semiplanul drept; ca și în cap. 16, acestea sînt atît de îndepărtate, încît nu joacă nici un rol în discuția de față.

Acum, se poate schița locul rădăcinilor pentru acest amplificator. Se știe din § 19.2.1 că locul polilor lui  $A(s)$  începe din polii lui  $a(s)$  specificați mai sus. Pe axa reală, locul există numai între  $s_a$  și  $s_b$ , între  $s_c$  și  $s_d$  și între  $s_e$  și  $s_f$ . De asemenea, distanța medie la axa  $j$  a polilor lui  $A(s)$  va fi conform ecuației (19.18):

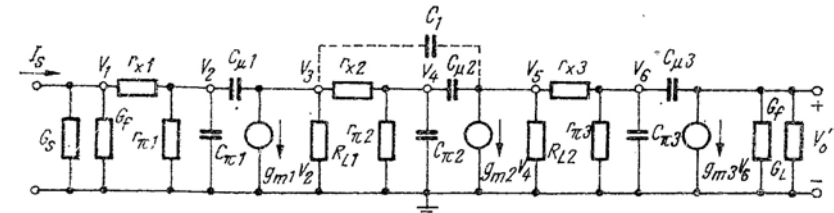
$$\frac{\operatorname{Re}(s_j)}{n} = -9,48 \text{ ns}^{-1}.$$

Totuși, deoarece polii lui  $a(s)$  sînt atît de puternic separați, se iau în considerație regula 5 și regula 1; pentru o reacție nu prea mare, cei trei poli superiori ai lui  $A(s)$  vor rămîne apropiați de pozițiile  $s_a$ ,  $s_e$  și  $s_f$  date anterior. Deci se poate modifica regula 4 și relația (19.18) pentru a justifica faptul că distanța medie a celor trei poli inferiori ai lui  $A(s)$  va rămîne neschimbată în raport cu axa  $j$ . Deci:

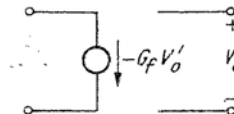
$$\frac{s_a + s_b + s_c}{3} = \frac{-0,528}{3} = -0,176 \text{ ns}^{-1}.$$



a



b



c

Fig. 19.10. Amplificator cu reacție cu trei etaje (din § 16.1 și 18.3.3):  
a – amplificator cu reacție cu trei etaje (nod-nod); b – circuitul a presupunînd  $R_{L3} \gg R_L$ ; c – circuitul *f*.  
Valorile elementelor sînt:

Elementul	Unitatea de măsură	$T_1$	$T_2$	$T_3$
$r_x$	kiloohmi	0,2	0,05	0,025
$r_\pi$	kiloohmi	2,5	0,5	0,25
$g_m$	mS	40	200	400
$C_{\pi}$	picofarazi	9 --	45	90
$C_{\mu}$	picofarazi	2	2	2
$R_L$	kiloohmi	0,5	0,2	$\gg R_L$
$R_s = 50$	ohmi			
$R_L = 100$	ohmi			



Pe această bază, reprezentarea locului rădăcinilor pentru cei *trei poli inferiori* ai lui  $A(s)$  va arăta ca în fig. 19.5. Polul  $s_3$  pornește de la  $s_o = -0,409$  și se deplasează la stînga, în timp ce  $s_1$  și  $s_2$  pornesc de la  $s_o = -0,025$  și  $s_o = -0,094$  și se deplasează unul către altul. După ce  $s_1$  și  $s_2$  formează o pereche complexă, ei se vor deplasa către dreapta pentru a păstra constantă distanța medie la axa imaginară, egală cu  $-0,176$ . Eventual, ei se deplasează în semiplanul drept, iar amplificatorul devine instabil.

Se va determina în continuare valoarea desensibilizării care poate fi obținută, menținînd un răspuns în frecvență acceptabil. Folosind numai cei trei poli inferiori, se găsește:

$$a(s) \approx \frac{a_o(0,0251)(0,0943)(0,409)}{(s+0,0251)(s+0,0943)(s+0,409)} \approx \quad (19.19 \text{ a})$$

$$\approx \frac{a_o(9,67 \times 10^{-4})}{s^3 + 0,528s^2 + 0,0516s + 9,67 \times 10^{-4}} \quad (19.19 \text{ b})$$

Deci

$$A(s) = \frac{a}{1+af} = \frac{a_o(9,67 \times 10^{-4})}{s^3 + 0,528s^2 + 0,0516s + (9,67 \times 10^{-4})(1+a_o f_o)} \quad (19.20)$$

Presupunem că se acceptă o ușoară cocoasă în răspunsul în frecvență. Atunci, conform fig. 19.3,  $a$  și 19.4  $a$ , perechea complexă poate fi localizată la  $\pm 60^\circ$  față de origine ( $Q = 1$ ):

$$A(s) = \frac{k}{(s-\gamma)(s-\alpha-j\sqrt{3}\alpha)(s-\alpha+j\sqrt{3}\alpha)} = \quad (19.21 \text{ a})$$

$$= \frac{k}{s^3 - s^2(2\alpha+\gamma) + 2\alpha s(2\alpha+\gamma) - 4\alpha^2\gamma} \quad (19.21 \text{ b})$$

Avem acum trei necunoscute: localizările polilor  $\alpha$  și  $\gamma$ , și transmisia pe buclă la frecvențe medii  $a_o f_o$ . Ele pot fi determinate prin identificarea coeficienților în relația (19.20) între relațiile (19.20) și (19.21 b):

$$-(2\alpha+\gamma) = 0,528 \quad (19.22)$$

$$2\alpha(2\alpha+\gamma) = 0,0516 \quad (19.23)$$

$$-4\alpha^2\gamma = (9,67 \times 10^{-4})(1+a_o f_o) \quad (19.24)$$

Deci, din ecuațiile (19.22) și (19.23):

$$\alpha = -\frac{0,0516}{2(0,528)} = -0,049 \text{ ns}^{-1}.$$

Pentru a determina pe  $\gamma$ , se înlocuiește  $\alpha$  în ecuația (19.22):

$$\gamma = -0,528 - 2(-0,049) = -0,43 \text{ ns}^{-1}.$$

Acum, din relația (19.21 a), cei trei poli inferiori ai lui  $A(s)$  vor fi (în  $\text{ns}^{-1}$ )

$$s_1 = -0,049 + j 0,085 \quad (19.25 \text{ a})$$

$$s_2 = -0,049 - j 0,085$$

$$s_3 = -0,43. \quad (19.25 \text{ c})$$

Se determină acum transmisia pe buclă  $a_o f_o$ . Din ecuația (19.24):

$$\begin{aligned} 9,67 \times 10^{-4}(1+a_o f_o) &= -4\alpha^2\gamma = \\ &= -4(-0,049)^2(-0,43) = 4,14 \times 10^{-3}. \end{aligned}$$

Deci:

$$1+a_o f_o = 4,3$$

$$a_o f_o = 3,3.$$

Valoarea rezistenței de reacție poate fi determinată dacă se ține cont de valoarea lui  $a_o = -354 \text{ k}\Omega$  din § 18.3.3:

$$G_f = -f_o = -\frac{3,3}{a_o} = -\frac{3,3}{-354} = 0,93 \times 10^{-2} \text{ mS}$$

$$R_f = 104 \text{ k}\Omega.$$

Răspunsul la frecvență al amplificatorului va fi controlat în primul rînd de perechea de poli complecși, astfel că lărgimea de bandă poate fi estimată cu ajutorul fig. 19.3 și 19.4.

Constanta de normalizare  $\omega_o$  va fi acum,

$$\omega_o = [(0,049)^2 + (0,085)^2]^{1/2} = 0,098 \text{ ns}^{-1}$$



iar  $Q$  este unitar. Așadar va exista o ușoară cocoasă a răspunsului în frecvență, iar frecvența limită superioară va fi puțin mai mare decât  $\omega_c$ , în mod concret,  $\omega_h$  va fi de aproximativ 120 Mrad/s.

În concluzie, maximum de desensibilizare ce se poate obține cu o reacție rezistivă, menținând un răspuns relativ plat, este egală cu 4,3, valoare mult inferioară celei impuse, egală cu 70. Cititorul poate verifica faptul că pentru orice valoare a desensibilizării mai mare decât 28,2, amplificatorul este instabil, adică, are poli în semiplanul drept (v. problema P.19.1).

Pentru a verifica aceste rezultate, s-au calculat frecvențele naturale ale amplificatorului complet, cu reacție (fig. 19.10, a), cu ajutorul calculatorului, pentru valori ale lui  $G_f$  în jurul valorii stabilite mai sus.

Tabelul 19.1

Polii calculați pe calculator ai lui  $A(s)$  pentru valori variabile ale reacției rezistive (unitățile de măsură ns<sup>-1</sup>)

$G_f$ (mS)	$s_1$	$s_2$	$s_3$	$s_4$	$s_5$	$s_6$
0,001	-0,045	-0,071	-0,412	-9,55	-18,22	-28,56
0,025	-0,056	$\pm j0,036$	-0,417	-9,55	-18,22	-28,56
0,005	-0,052	$\pm j0,061$	-0,424	-9,55	-18,22	-28,56
0,0093	-0,047	$\pm j0,087$	-0,435	-5,55	-18,22	-28,56
0,046	-0,012	$\pm j0,184$	-0,504	-9,55	-18,22	-28,56

Rezultatele sînt prezentate în tabelul 19.1 și fig. 19.11. Concordanța între localizarea pentru  $G_f = 0,0093$  mS (relația 19.25) și rezultatul dat de calculator, este excelentă, astfel că anumite aproximații sînt permise, mai ales cea referitoare la neglijarea celor trei poli superiori (cel puțin în acest caz).

### 19.2.3. Criterii pentru un răspuns acceptabil

Din exemplul precedent, reiese clar că valoarea reacției  $a_0 f_0$  ce poate fi aplicată amplificatorului are un efect important asupra localizării polilor lui  $A(s)$ . De exemplu, observați fig. 19.11. În acest moment este posibil să se controleze polii lui  $A(s)$ , dar apar probleme noi:

- ce înseamnă „un răspuns satisfăcător” în frecvență sau la semnal treaptă al amplificatorului;
- care sînt restricțiile pe care le impune polilor lui  $A(s)$ , acest răspuns satisfăcător.

Criteriile pentru răspuns „satisfăcător” în frecvență depind mai ales de aplicație. De exemplu, pentru un amplificator de osciloscop, un răspuns la semnal treaptă prezentînd supracreșteri, nu este acceptabil. Pe de altă

parte, pentru amplificatoare audio, o mică supracreștere în răspunsul la semnal treaptă, este permisă. Pentru multe servo-amplificatoare este permisă o supracreștere substanțială și, de asemenea, o cocoasă în răspunsul în frecvență, cu scopul de a obține un timp rapid de răspuns la semnal treaptă.

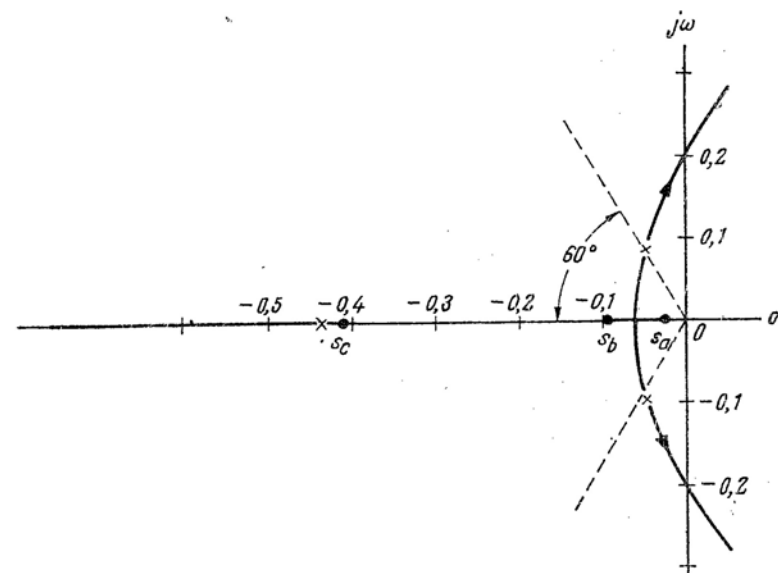


Fig. 19.11. Locul rădăcinilor pentru cei trei poli inferiori ai lui  $A(s)$  ai amplificatorului din fig. 19.10, obținuți prin calcularea polilor lui  $A(s)$  pentru diverse valori ale rezistenței de reacție  $R_f$  (v. tabelul 19.1). Pozițiile polilor indicați sînt impuse de  $G_f = 0,0093$  mS. Unitatea de măsură este ns<sup>-1</sup>.

Localizarea polului (și a zeroului) unui amplificator determină în mod unic (cu excepția unei constanțe) răspunsul tranzitoriu și în frecvență. Din păcate, relația între localizarea polilor și răspunsul amplificatorului este de multe ori complicată. Se știe, totuși, că dacă amplificatorul are o pereche de poli complecși, este posibil ca răspunsul tranzitoriu să fie oscilant, iar răspunsul în frecvență să aibă un vîrf în dreptul frecvenței de oscilație. În mod specific, pentru o singură pereche de poli complecși cu  $Q$  mai mare decât 0,5 va exista o supracreștere și o oscilație în răspunsul la semnal treaptă și respectiv, o cocoasă în domeniul frecvenței (v. fig. 19.4).

Se va vedea în paragraful următor că, printr-o compensare adecvată, este posibil să se deplaseze un pol real al lui  $A(s)$  în așa fel, încît să se afle pe același cerc cu centrul în origine, ca și perechea complexă. În acest caz și supracreșterea în răspunsul la semnal treaptă și vîrfurile ce apare în carac-

teristica de frecvență sînt reduse. Pentru o anumită configurație particulară cu trei poli, denumită configurația *Butterworth*<sup>1)</sup>, cocoșa în răspunsul în frecvență dispăre, iar răspunsul tranzitoriu devine „maximum plat”. În general, polii unui filtru Butterworth sînt valorile rădăcinilor de ordin  $2n$  din semiplanul stîng<sup>2)</sup> ale lui  $(-1)^{n+1}$ .

Deci, rădăcinile sînt așezate simetric pe o circumferință cu rază unitară, ca în fig. 19.12 *a*, pentru o configurație cu doi și trei poli. Aceste două configurații sînt foarte folositoare, deoarece proiectarea amplificatoarelor cu reacție cu una din aceste două tipuri de localizări a polilor, este foarte simplă.

Răspunsurile în frecvență normalizate, ale filtrelor Butterworth cu doi poli și trei poli sînt reprezentate în fig. 19.12, *b*, împreună cu un circuit *RC* simplu (Butterworth cu un pol!). În fiecare caz, se presupune că polii se află pe un cerc de rază unitară. Deoarece frecvența limită superioară a oricărui filtru Butterworth este egală cu raza polului, toate cele trei filtre au aceeași lărgime de bandă în această normalizare. Totuși nu trebuie să se ajungă la o concluzie pripită. Se va vedea în continuare, că apare o creștere majoră a lărgimii benzii și desensibilizării unui amplificator cu reacție, cînd configurația polilor dominanți trece de la unul la doi sau trei poli în configurația Butterworth<sup>3)</sup>.

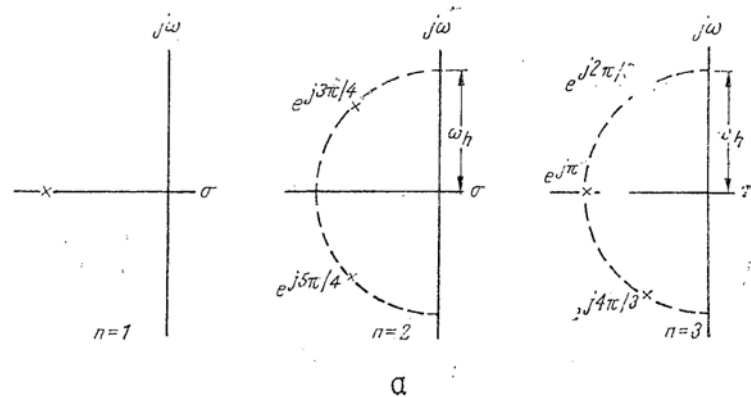


Fig. 19.12. Filtre Butterworth cu unu, doi și trei poli:

a - constelațiile polilor; b - răspunsul în frecvență normalizat; c - răspunsul în frecvență normalizat c - răspunsul la semnal treaptă normalizat în unități de  $2.2 / \omega_h$ .

<sup>1)</sup> Configurația Butterworth cu doi poli a fost luată în considerație pe scurt în § 17.2.3.

<sup>2)</sup> V. bibliografia [19.2] și [19.3].

<sup>3)</sup> O îmbunătățire ulterioară în lărgimea de bandă și desensibilizare s-ar obține dacă se acceptă virfuri în funcția de transfer. În acest caz, polii ar trebui așezați pe o elipsă și nu pe un cerc. Rezultă configurația unui filtru Cebîșev (v. bibliografia [19.4]).

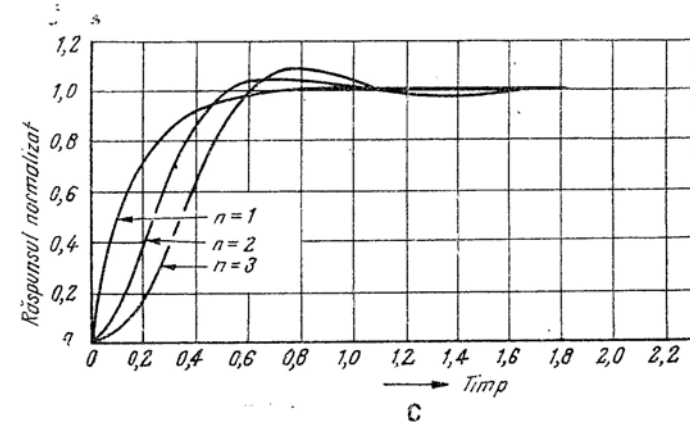
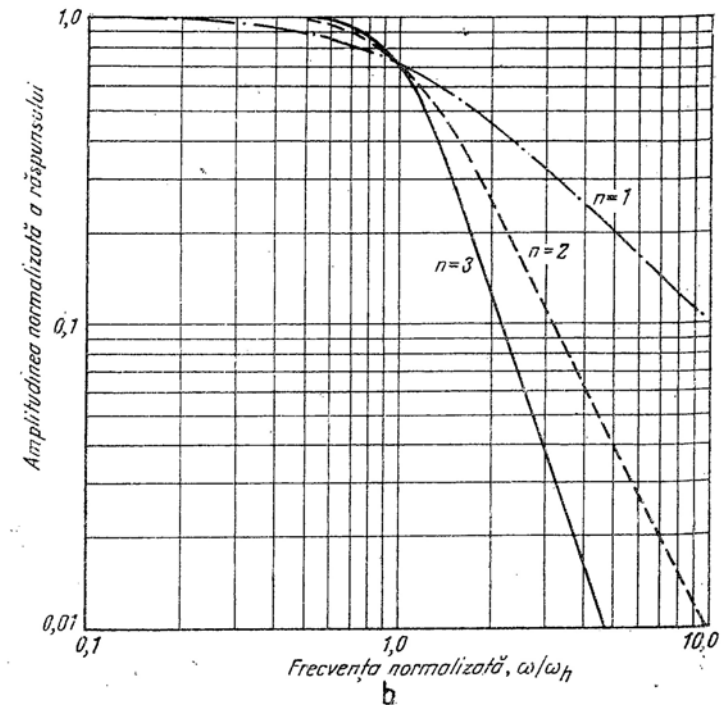


Fig. 19.12

În fig. 19.12, c, se include de asemenea răspunsul la semnal treaptă al unui filtru Butterworth cu trei poli. Virfurile supracreșterilor pentru cele trei cazuri sînt date în tabelul 19.2. Se observă că supracreșterea pentru un filtru cu trei poli este de numai 8,15 %, deși perechea complexă are  $Q = 1$ . Comparația cu fig. 19.4, b indică faptul că, avînd numai această pereche complexă, supracreșterea ar fi de aproximativ 11 %.

Tabelul 19.2

Supracreșterea în răspunsul la salt treaptă  
pentru filtrul Butterworth

Numărul de poli	Supracreșterea (%)
1	0
2	4,3
3	8,15

Deoarece sîntem în posesia unui ghid aproximativ pentru un răspuns acceptabil, se poate reveni pe scurt la determinarea relației dorite între localizarea polilor și parametrii amplificatorului cu reacție. În paragraful precedent s-a dat un exemplu de felul cum se poate fi stabilită această relație. În general se identifică coeficienții în expresia lui  $A(s)$  (cei trei poli inferiori) :

$$A(s) = \frac{k}{s^3 + b_2 s^2 + b_1 s + b_0} \quad (19.26)$$

cu coeficienții corespunzători (după dezvoltare) ai lui  $A(s)$  exprimați în funcție de o anumită configurație particulară de poli,

$$A(s) = \frac{k}{(s - \gamma)(s - \alpha + j\beta)(s - \alpha - j\beta)} \quad (19.27)$$

Prin identificarea coeficienților, se obțin relațiile pentru  $b_2$ ,  $b_1$  și  $b_0$  în raport cu localizarea dorită a polilor. În tabelul 19.3 se dau relațiile de legătură pentru cîteva localizări de poli considerate frecvent, incluzînd filtrul Butterworth cu trei poli.

În anumite cazuri este posibil să se rezolve ecuațiile pentru  $b_2$ ,  $b_1$  și  $b_0$  explicit, pentru a obține relațiile pentru localizarea polilor,  $\alpha$ ,  $\beta$ ,  $\gamma$ , în funcție de coeficienții polinomiali. Aceste relații sînt date în tabelul 19.4. Dîndu-se oricare două valori dintre  $b_2$ ,  $b_1$ ,  $b_0$ ,  $\gamma$  și  $\alpha$  (sau relațiile de legă-

tură corespunzătoare) și fie  $Q$ -ul, fie unghiul polilor se pot folosi tabelele 19.3 și 19.4 pentru a găsi restul parametrilor.

Tabelul 19.3

Coeficienții polinomiali în funcție de localizarea polilor\*

$Q$ -ul perechii complexe	Unghiul față de axa reală	$b_2$	$b_1$	$b_0$
0,5	0° (doi poli împreună)	$-(2\alpha + \gamma)$	$\alpha(\alpha + 2\gamma)$	$-\alpha^2\gamma$
0,707	$\pm 45^\circ$	$-(2\alpha + \gamma)$	$2\alpha(\alpha + \gamma)$	$-2\alpha^2\gamma$
1	$\pm 60^\circ$	$-(2\alpha + \gamma)$	$2\alpha(2\alpha + \gamma)$	$-4\alpha^2\gamma$
1	$\pm 60^\circ$ (Butterworth)	$-4\alpha$	$8\alpha^2$	$-8\alpha^3$
$\infty$	$\pm 90^\circ$	$-\gamma$	$\beta^2$	$-\gamma\beta^2$

\* Simbolurile sînt definite în relațiile (19.26) și (19.27).

Tabelul 19.4

Localizările polilor în funcție de coeficienții polinomiali

$Q$ -ul perechii complexe	Unghiul față de axa reală	Perechea complexă $\alpha$	$\beta$	Poliul real $\gamma$
0,5	0° (doi poli împreună)	$(3\alpha^2 + 2b_2 + b_1 = 0)$	0	$-b_2 - 2\alpha$
0,707	$\pm 45^\circ$	$\left(\alpha^2 + b_2\alpha + \frac{b_1}{2} = 0\right)$	$\alpha$	$-b_2 - 2\alpha$
1	$\pm 60^\circ$	$-\frac{b_1}{2b_2}$	$\sqrt{3}\alpha$	$-b_2 - 2\alpha$
1	$\pm 60^\circ$ (Butterworth)	$-\frac{b_2}{4}$	$\sqrt{3}\alpha$	$2\alpha$
$\infty$	$\pm 90^\circ$	0	$\sqrt{b_1}$	$-b_2$

\* Simbolurile sînt definite în relațiile (19.26) și (19.27).

Este important să se observe că ambele tabele au fost obținute folosind o normalizare specifică a polinomului de la numitor dat în ecuația (19.26). Așadar, tabelele sînt corecte numai dacă coeficientul lui  $s^3$  în  $A(s)$  a fost normalizat, fiind egal cu 1.

## 19.2.4. Compensarea prin modificarea rețelei de reacție

Revenind la amplificatorul cu reacție din § 19.2.2, este necesară o valoare a reacției substanțial mai mare decât  $a_{of_0}$ , egal cu 3,3, dacă se dorește obținerea unei desensibilizări corespunzătoare. În acest subparagraf și în următoarele se studiază căile de compensare a amplificatorului. Aceasta se realizează prin adăugarea de componente pasive de circuit fie amplificatorului de bază, fie rețelei de reacție pentru a schimba polii și zerourile lui  $af$ . Printr-o compensare adecvată, se poate crește  $a_{of_0}$  menținând  $Q$ -ul perechii complexe la o valoare subunitară. O cale de a realiza acest deziderat este adăugarea de elemente reactive rețelei de reacție.

În acest paragraf se ilustrează faptul că prin adăugarea unui mic condensator  $C_f$  în paralel cu  $G_f$  (fig. 19.13, a) putem aduce o modificare importantă locului rădăcinilor și deci o îmbunătățire substanțială a performanțelor amplificatorului cu reacție.

Circuitul a al acestui amplificator (fig. 19.3, b) este același ca în fig. 19.10 b, cu excepția încărcării capacitive suplimentare de la intrare și ieșire. Acum există opt condensatoare în circuitul a, dar datorită existenței unei bucle de condensatoare nodurile  $V_6$  și  $V'_0$ , există numai șapte elemente independente de stocare a energiei. Deci, vor exista șapte frecvențe naturale. După cum se va vedea în curînd, valoarea lui  $C_f$  necesară pentru a compensa amplificatorul este foarte mică (fracțiuni de picofarad). Deci,  $C_f$  va adăuga un nou pol lui  $a(s)$ , la o frecvență foarte înaltă, dar va cauza o schimbare minoră în localizarea celorlalți poli. Deci, restul proiectării se va baza pe presupunerea că cei trei poli inferiori ai lui  $a(s)$  sînt nemodificați de prezența lui  $C_f$ . Această presupunere, deși oarecum arbitrară în acest moment, va fi verificată pe calculator ca o concluzie a proiectării.

Se poate calcula funcția de transfer  $f$  prin analizarea fig. 19.13, c :

$$f(s) = \frac{I_L}{V'_0} = -(G_f + sC_f). \quad (19.28)$$

Dacă se aproximează  $a(s)$  folosind numai cei trei poli inferiori, ca în relația (19.19 a), transmisia pe buclă va fi :

$$af(s) = \frac{-a_0(9,67 \times 10^{-4})(G_f + sC_f)}{(s + 0,0251)(s + 0,0943)(s + 0,409)}. \quad (19.29)$$

Transmisia pe buclă are acum un zero de valoare finită la :

$$s_f = \frac{-G_f}{C_f}.$$

Acest zero poate schimba profund forma locului rădăcinilor al amplificatorului.

Se poate schița locul rădăcinilor pentru polii lui  $A(s)$  pentru câteva valori ale lui  $s_f$ . Dacă se presupune că  $|s_f|$  este mai mare decât  $|s_c|$ , se obține locul rădăcinilor reprezentat în fig. 19.14a<sup>1)</sup>. Din § 19.2.1 și regula 2

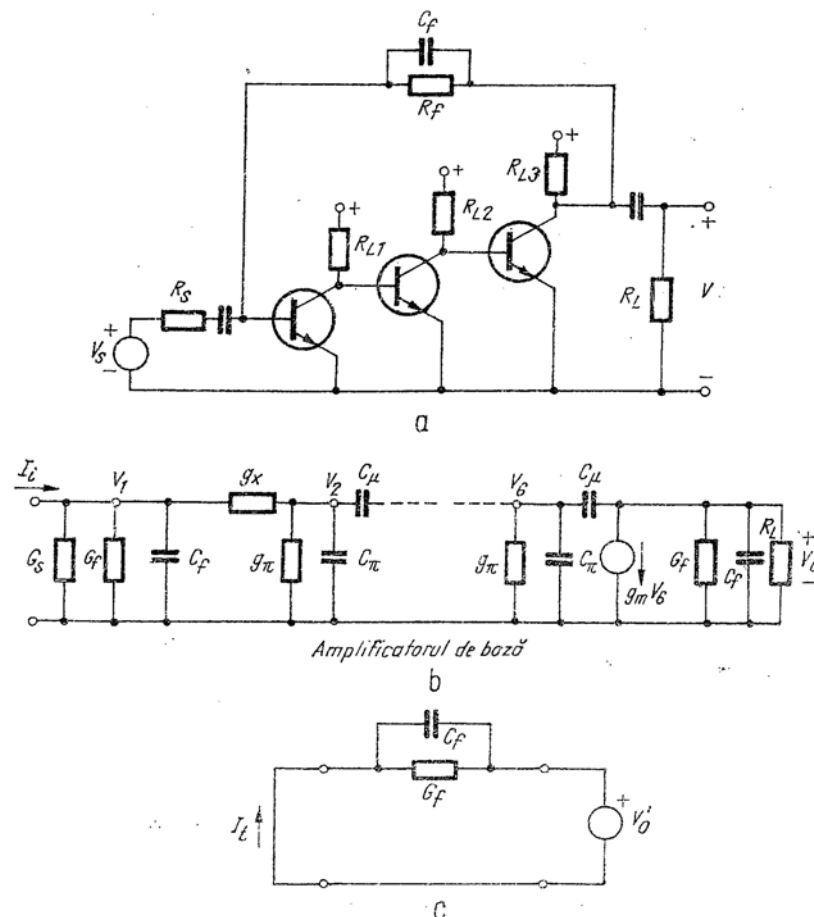


Fig. 19.13. Amplificator cu reacție cu  $C_f$  adăugat;

a - amplificator cu reacție cu  $C_f$  adăugat; b - circuitul a; c - circuit pentru calculul funcției de transfer  $f$ .

<sup>1)</sup> Pentru a calcula formal locul din fig. 19.14, și  $G_f$  și  $C_f$  trebuie să fie schimbați astfel încît produsul  $R_f C_f$  să rămînă constant cînd  $a_{of_0}$  se schimbă. În felul acesta se poate modifica cantitatea de reacție în bandă păstrînd însă zeroul  $s_f$  fixat.

2 reiese clar că locul de pe axa reală va începe pe  $s_c$  și se va termina pe  $s_f$ . Ceilalți poli ai lui  $A(s)$  se vor apropia și vor forma o pereche complexă.

Dacă se neglijează efectul de încărcare al lui  $C_f$  asupra circuitului  $a$ , distanța medie a polilor lui  $A(s)$  față de axa  $j\omega$  nu se schimbă datorită zeroului din reacție (v. problema P.19.2). Deci, deoarece polul  $s_3$  se deplasează numai către  $s_f$ , asimptotele pentru perechea complexă, pentru valoare mare a reacției, trebuie să fie paralele cu axa  $j\omega$ , ca în figură.

Așadar, pentru o alegere corectă a lui  $s_f$ , acest loc nu trece niciodată în semiplanul drept. Amplificatorul cu reacție este totdeauna stabil (dacă se consideră numai efectele dominante) (v. problema P.19.3).

Fig. 19.14 *a* reprezintă funcția de transfer  $G_s V_o / I_i$  obținută experimental folosind un amplificator<sup>1)</sup>, similar celui din fig. 19.13, *a* cu  $|s_f| \gg |s_c|$ . Răspunsul prezintă un vîrf, indicînd că este dominat de perechea complexă. Localizarea polilor corespunzători este arătată pe locul rădăcinilor.

Dacă se alege  $G_f/C$ , astfel încît  $s_f$  să se afle între  $s_b$  și  $s_c$ , se obține reprezentarea din fig. 19.14, *b*. Deoarece  $s_3$  se deplasează în interior atunci cînd reacția crește, perechea de poli complecși se deplasează către exterior față de axa  $j$ .

Această alegere a lui  $s_f$  duce la o localizare a polilor mai bună decît aceea din fig. 19.14, *a*.

Dacă  $s_f$  se deplasează mai mult către axă imaginară, astfel încît ajunge între  $s_a$  și  $s_b$ , se obține locul cu aspectul din fig. 19.14, *c*. În acest caz regula 2 cere ca polul cel mai mic să rămînă pe axa reală, iar ceilalți doi poli să se despartă de axă pentru a forma o pereche complexă. Răspunsul în frecvență este dominat acum de polul real inferior deci banda este considerabil mai îngustă decît în cazul anterior. Dacă se aplică o reacție suficient de puternică pentru a duce perechea complexă suficient de departe de axa reală, va apare o cocoasă în răspunsul în frecvență ca în fig. 19.14, *c*. Totuși, deoarece această cocoasă va apare peste frecvența limită superioară ea nu îmbunătățește lărgimea de bandă a amplificatorului.

Deplasînd  $s_f$  sub valoarea lui  $s_a$ , răspunsul se deteriorează în continuare cum se poate vedea fie din locul rădăcinilor, fie din răspunsul în frecvență din fig. 19.14, *d*.

Rezultă că trebuie să existe o localizare optimă pentru  $s_f$ , undeva între  $s_b$  și  $s_c$ . O alegere excelentă, care produce o lărgime de bandă maximă, fără vîrfuri, cere selecționarea poziției lui  $s_f$  și a lui  $a_o f_o$  pentru a plasa cei 3 poli inferiori ai lui  $A(s)$  într-o configurație de filtru Butterworth cu

<sup>1)</sup> Acest amplificator poate fi folosit ca bază pentru o demonstrație experimentală de curs asupra compensării (v. § 19.4).

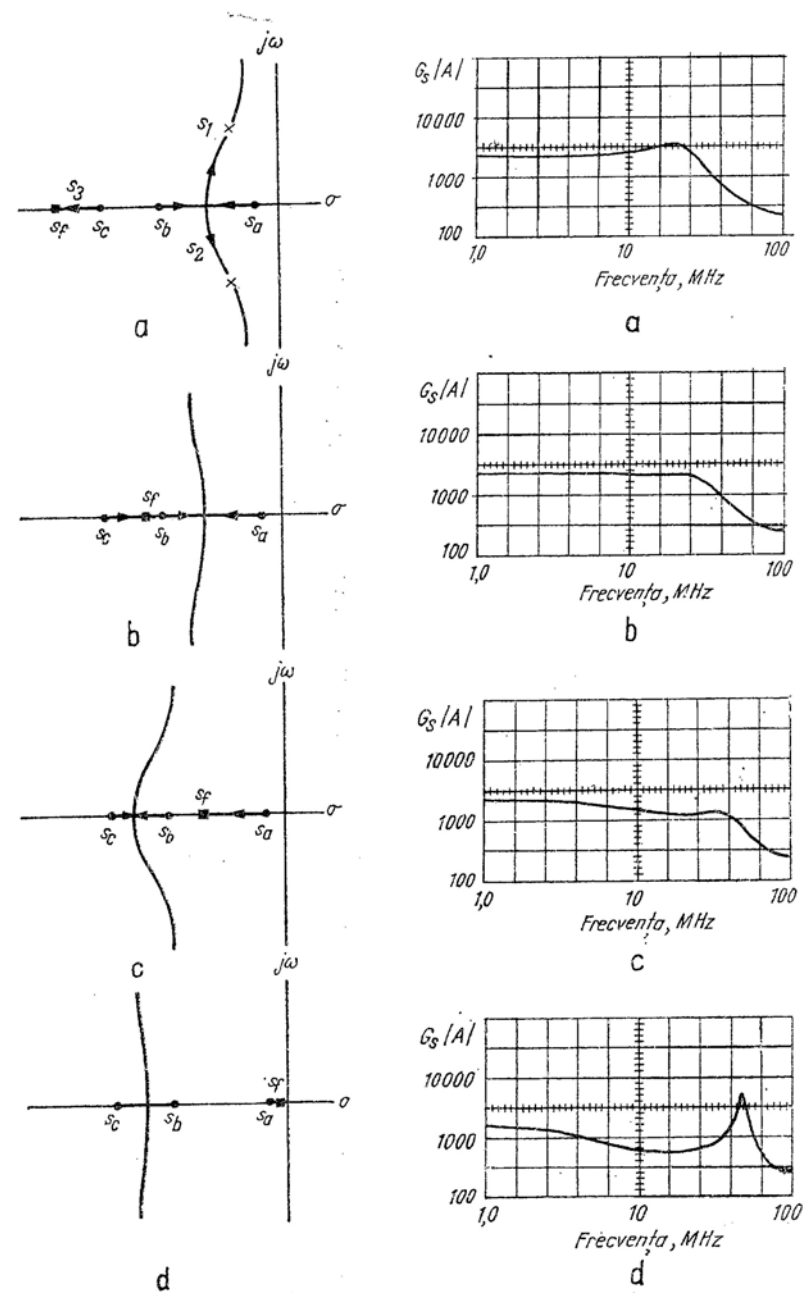


Fig. 19.14. Locul rădăcinilor și răspunsul în frecvență măsurat pentru diverse valori ale lui  $s_f$ .

trei poli. Aceasta înseamnă că se vor alege  $s_i$  și  $a_0 f_0$  astfel încît  $A(s)$  să fie de forma :

$$A(s) = \frac{K}{(s - 2\alpha)(s - \alpha + j\sqrt{3}\alpha)(s - \alpha - j\sqrt{3}\alpha)} \quad (19.30)$$

Se știe, din relația (19.19) și (19.29) că :

$$\begin{aligned} A(s) &= \frac{a_0(9,67 \times 10^{-4})}{(s + 0,0251)(s + 0,0943)(s + 0,409) - a_0(9,67 \times 10^{-4})(G_f + sC_f)} = \\ &= \frac{a_0(9,67 \times 10^{-4})}{s^2 + 0,528s^2 + s(0,0516 - 9,67 \times 10^{-4}a_0G_f) - 9,67 \times 10^{-4}(1 + a_0G_f)} \end{aligned} \quad (19.31)$$

(Notați că, zeroul  $s_i$  nu apare ca un zero în funcția de transfer globală, chiar dacă este prezent în transmisia pe buclă). Prin identificarea coeficienților din dezvoltarea numitorului relației (19.30) cu ai numitorului relației (19.31), se determină cele trei necunoscute  $C_f$ ,  $G_f$ ,  $\alpha$ . Relațiile cerute sînt date în tabelele 19.3 și 19.4. Folosind tabelul 19.4 se găsește că :

$$\alpha = -\frac{b_2}{4} = -\frac{0,528}{4} = -0,132 \text{ ns}^{-1}.$$

Deci cei trei poli inferiori ai lui  $A(s)$  vor fi, în unități de  $\text{ns}^{-1}$  :

$$\begin{aligned} s_1 &= -0,132 + j 0,228 \\ s_2 &= -0,132 - j 0,228 \\ s_3 &= -0,264. \end{aligned}$$

Din tabelul 19.3 se găsește că :

$$b_0 = -8\alpha^3 = 18,4 \times 10^{-3}.$$

Deci, din relația (19.31) se determină transmisia pe buclă necesară pentru a produce configurația Butterworth :

$$a_0 f_0 = -a_0 G_f = \frac{18,4 \times 10^{-3}}{9,67 \times 10^{-4}} - 1 = 18,2.$$

Pentru filtrul Butterworth,  $\omega_h = |s_3|$ , astfel încît frecvența limită superioară a amplificatorului cu reacție este 264 Mrad/s. Comparația cu rezultatele din § 19.2.2 indică faptul că adăugarea lui  $C_f$  a adus o creștere a desensibilizării de la 4 la 20 și o creștere a lărgimii de bandă de la 19 la 41 MHz. De asemenea, răspunsul în frecvență nu va avea virfuri, în timp ce amplificatorul din § 19.2.2 va avea o ușoară supracreștere.

Pentru a determina  $G_f$  se reamintește că :

$$a_0 = -354 \text{ k}\Omega.$$

Deci

$$G_f = \frac{18,2}{354} = 0,051 \text{ mS}.$$

Pentru a calcula  $C_f$ , se găsește din tabelul 19.3 că

$$b_1 = 8\alpha^2 = 0,139.$$

Deci din ecuația (19.31)

$$C_f = \frac{0,139 - 0,0516}{354 \times 9,67 \times 10^{-4}} = 0,255 \text{ pF}$$

$$s_f = -G_f/C_f = -0,20 \text{ ns}^{-1}.$$

Valoarea acestei capacități este foarte mică, comparabilă cu capacitățile parazite ale circuitului. De aceea se impune reproiectarea rețelei de reacție. Înainte de a face aceasta, se verifică proiectarea cu ajutorul calculatorului.

Pentru a verifica proiectarea, s-au rezolvat ecuațiile la noduri ale rețelei întregului amplificator cu reacție (fig. 19.13, a) cu  $s_f$  fixat la valoarea  $-0,20 \text{ ns}^{-1}$ , folosind diverse valori ale transmisiei pe buclă, incluzînd și valoarea  $a_0 f_0 = 18,2$ . Rezultatele, care sînt prezentate în tabelul 19.5 și reprezentate grafic în fig. 19.15, sînt într-o bună concordanță cu rezultatele aproximative, confirmînd, cel puțin pentru acest caz, presupunerile inițiale asupra faptului că proiectarea poate fi efectuată luînd în considerație numai cei trei poli inferiori ai lui  $a(s)$  (v. problema P.19.4) și că acești poli nu sînt schimbați de prezența lui  $C_f$  (v. problema P.19.5). Se observă o îmbunătățire substanțială a locului și deci a lărgimii de bandă, produse desigur de către compensare.

Pentru a obține valori mai practice pentru elementele rețelei de reacție, se combină reacția de înaltă frecvență cu cea de joasă frecvență necesară stabilizării punctului static de funcționare (fig. 19.16). Rezistențele  $R_2$

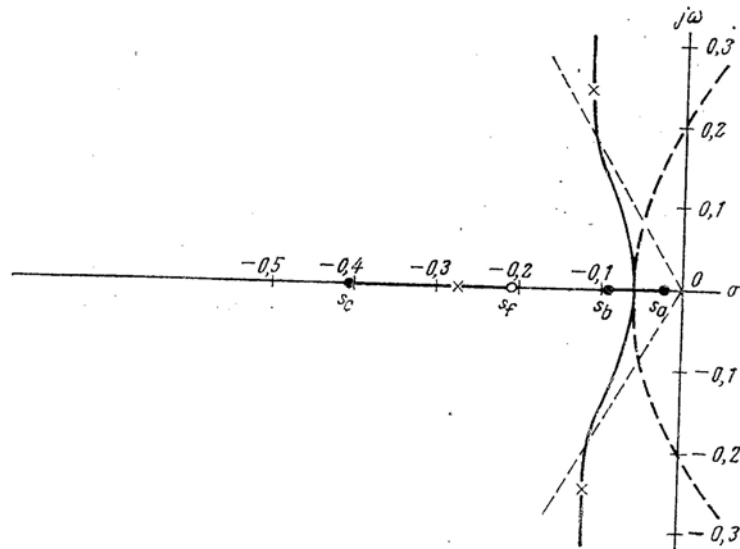


Fig. 19.15. Locul rădăcinilor celor trei poli inferiori ai lui  $A(s)$  pentru diverse valori ale reacției  $RC$  (datele în tabelul 19.5). Pozițiile polilor indicați sînt pentru  $G_f = 0,051$  mS,  $C_f = 0,255$  pF. Curbele cu linie punctată reprezintă locul amplificatorului necompensat din fig. 19.11.

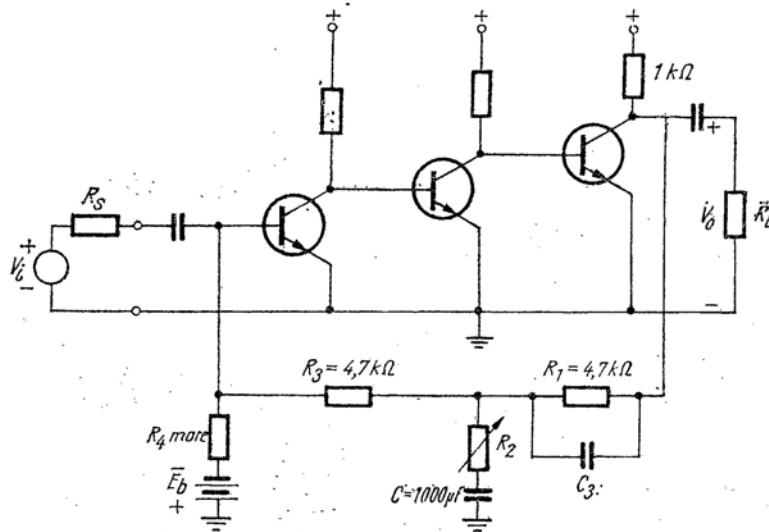


Fig. 19.16. Rețea cu reacție nod-nod cu elemente de valori practice.

și  $R_2$  formează un divizor de curent, care atenuează semnalul de reacție și deci permite folosirea unei valori mai mari pentru  $C_f$  (v. problema P.19.6 pentru determinarea relației dintre  $C_f$  și  $C_3$ ). Fig. 19.14 reprezintă curbele de răspuns ale unui amplificator de acest tip. Se obține o lărgime

Tabelul 19.5

Polii lui  $A(s)$  calculați cu ajutorul calculatorului pentru diverse valori ale reacției  $RC$ . Zeroul din reacție este menținut la valoarea  $s_f = -0,20$  ns<sup>-1</sup> (Unitățile sînt: picofarazi, miliohmi și nanosecunde)

Rețeaua de reacție	$s_1$	$s_2$	$s_3$	$s_4$	$s_5$	$s_6$	$s_7$
$C_f = 0$ $G_f = 0$	-0,025	-0,094	-0,409	-9,55	-18,22	-28,56	—
$C_f = 0,051$ $G_f = 0,0102$	-0,075	$\pm j0,082$	-0,374	-9,32	-18,22	-28,56	-503,5
$C_f = 0,255$ $G_f = 0,051$	-0,121	$\pm j0,240$	-0,260	-8,45	-18,18	-28,55	-112,3
$C_f = 0,51$ $G_f = 0,102$	-0,123	$\pm j0,382$	-0,225	-7,48	-18,14	-28,54	-64,3

de bandă mare și un răspuns plat, (fig. 19.14,b) alegînd valori optime ale lui  $R_2$  și  $C_3$ . Acest optim se referă la faptul că elementele necesită mici reglaje datorită capacităților parazite ale cablajelor și valorilor dispersate ale parametrilor tranzistoarelor.

### 19.2.5. Compensarea prin adăugarea unui condensator amplificatorului de bază

A doua cale de compensare a unui amplificator cu reacție, cu scopul obținerii unei mai mari desensibilizări, este de a adăuga un condensator amplificatorului de bază, pentru a deplasa polul cel mai de jos al lui  $a(s)$  mult mai departe față de ceilalți poli, adică apropiindu-l mult de origine, pe semiaxa reală, negativă. Ca o concluzie a discuției precedente asupra locului rădăcinilor, rămîne aceea că se poate folosi o valoare mult mai mare a transmisiei pe buclă înainte ca cei doi poli, cei mai mici, să se despartă, formînd o pereche complexă (v. problema P.19.7).

Un loc adecvat pentru adăugarea unui astfel de condensator este indicat în fig. 19.17 (v. problema P.19.8). Adăugînd pe  $C_1$  celui de-al doilea etaj, după cum s-a arătat, polii lui  $a(s)$  se schimbă într-o oarecare măsură dacă  $C_1$  este mult mai mare decît  $C_{\mu 2}$ , atunci  $C_1$  va da naștere, probabil,



constantei de timp în circuit deschis cu valoare dominantă, a circuitului *a*. Deci

$$\Sigma \tau_{jo} \approx -C_1 R_T, \quad (19.32)$$

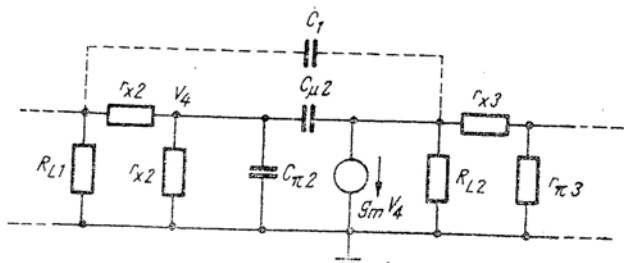


Fig. 19.17. Adăugarea unui condensator de compensare, etajului al doilea al amplificatorului.

unde  $R_T$  este rezistența în circuit deschis văzută la bornele lui  $C_1$  (v. § 15.2). Mai mult, se știe din relația (15.43) că:

$$\frac{1}{s_a} + \frac{1}{s_b} + \dots + \frac{1}{s_f} = -\Sigma \tau_{jo}. \quad (19.33)$$

Dacă  $C_1$  este suficient de mare pentru a produce un pol care să fie mult mai mic decât ceilalți, acest pol va domina suma din relația (19.32) și deci, combinând ultimele două relații, se obține:

$$\frac{1}{s_{jos}} \approx -C_1 R_T. \quad (19.34)$$

Această relație este foarte utilă pentru calculul de proiectare într-o primă aproximație.

Pentru verificarea corectitudinii ecuației (19.34), se va adăuga un condensator de 50 pF (de douăzeci de ori mai mare decât  $C_{\mu 2}$ ), între baza și colectorul tranzistorului  $T_2$ , ca în fig. 19.10. Un calcul simplu al rezistenței în circuit deschis văzută la bornele lui  $C_1$ , folosind fig. 19.17 și metodele din § 15.2, duce la

$$R_T = 5900 \, \Omega$$

(v. problema P.19.9). Deci, din ecuația (19.34):

$$s_{jos} \approx -\frac{1}{5,9 \times 50} = -0,0034 \, \text{ns}^{-1}.$$

Acest rezultat aproximativ poate fi verificat calculând polii lui  $a(s)$  când  $C_1$  este inclus în circuitul *a*. Un astfel de calcul duce la următoarele rezultate (în  $\text{ns}^{-1}$ )

$$s'_a = -0,003$$

$$s'_b = -0,192$$

$$s'_c = -0,402$$

$$s'_d = -1,71$$

$$s'_e = -9,85$$

$$s'_f = -22,3$$

Se observă că rezultatul din relația (19.43) concordă cu o aproximație de 10% cu valoarea lui  $s'_a$  determinată cu ajutorul calculatorului (se observă de asemenea, că există numai șase poli, deși s-a adăugat un nou condensator deoarece  $C_{\mu 2}$  formează o buclă ca în fig. 19.10 *b*).

Comparația frecvențelor naturale listate mai sus, pentru circuitul *a* nemodificat (v. pag.191) indică faptul că s-a reușit deplasarea polului, cel mai mic înspre interior (în cazul de față s-a micșorat de 10 ori). Deci este posibil să se crească  $a_{of}$  și desensibilizarea în mod substanțial, avînd  $Q$ -ul unei perechi complexe a lui  $A(s)$ . Acest fapt reiese clar din locul rădăcinilor (fig. 19. 5), deoarece acum polul inferior trebuie să se deplaseze mult mai mult pe axa reală înainte de a-l întâlni pe  $s_2$  pentru a forma o pereche complexă.

Localizarea lui  $C_1$  în așa fel încît să micșoreze valoarea polului cel mai mic,  $s_a$ , al amplificatorului original, mai degrabă decât  $s_b$  sau  $s_c$ , prezintă un avantaj distinct, deoarece în felul acesta se realizează o separare maximă între polii  $s'_a$  și  $s'_b$  ai amplificatorului compensat (v. problema P.19.10.). Deci condensatorul  $C_1$  trebuie adăugat, dacă este posibil, etajului care contribuie la formarea lui  $s_a$ . Deși nu există o corespondență biunivocă între constantele de timp în circuit deschis și frecvențele naturale, este însă evident că cea mai mare constantă de timp în circuit deschis este cel mai aproape corelată cu polul inferior. De exemplu, la limită, avînd



o singură constantă de timp dominantă și un singur pol dominant, se știe din relația (19.34) că:

$$-\frac{1}{s_{jos}} = \tau_{dominant} \quad (19.35)$$

Deci este rezonabil să se adauge un condensator  $C_1$  aceluia etaj al amplificatorului care prezintă cea mai mare constantă de timp. În cazul de față, acest etaj este al doilea, deoarece rezistența sursei care comandă pe  $T_1$  și rezistența de sarcină a lui  $T_2$  sînt suficient de mici pentru a face ca aceste etaje să aibă o bandă largă (v. problema P.19.11).

Calcululele standard asupra locului rădăcinilor, nu se arată foarte eficiente pentru alegerea lui  $C_1$ , deoarece polii lui  $a(s)$  se schimbă radical cu valoarea lui  $C_1$ . Dacă cititorul are posibilitatea folosirii calculatorului on-line, o metodă iterativă este cea mai rapidă cale de abordare a problemei. Se calculează mai întii frecvențele naturale ale amplificatorului cu reacție, folosind reacția rezistivă dorită ( $R_f = 5000 \Omega$  în exemplul de față) și o valoare pentru  $C_1$  cu unu sau două ordine de mărime mai mare decît  $C_{u2}$ . Dacă  $Q$ -ul perechii complexe este încă prea mare, atunci se mărește  $C_1$ . Ar putea fi utilă o reprezentare grafică a „locului rădăcinilor” cu ajutorul calculatorului, soluție în care se păstrează  $R_f$  constant și se variază  $C_1$ . Se observă totuși, că acest loc nu respectă multe din regulile standard din § 19.2.1 (v. problema P.19.12).

Proiectarea de tipul amintit mai sus este mult mai simplu de realizat, folosind metodele diagramelor Bode și de aceea va fi detaliată în cap. 20. Totuși, se observă, de asemenea, că folosirea lui  $C_1$  pentru obținerea unei transmisii mari pe buclă, are un dezavantaj important. Lărgimea de bandă a amplificatorului  $a$  a fost redusă substanțial, astfel încît proprietățile datorate desensibilizării amplificatorului cu reacție se manifestă într-o bandă de trecere mult mai mică (v. problema P.19.13).

După cum s-a menționat în § 19.1, proiectanții amplificatoarelor operaționale moderne utilizează adesea tehnici de compensare similare aceleia din fig. 19.17, obținînd circuite în care un pol este cu cinci sau șase ordine de mărime mai mic decît ceilalți<sup>1)</sup>. Aceasta se realizează avînd un etaj diferențial de intrare cu amplificare mică și deci de bandă largă, urmat de un amplificator de amplificare foarte mare, a cărui bandă este îngustată prin adăugarea unei capacități de la ieșire la intrare. Acest amplificator este urmat de un amplificator de putere de bandă largă.

Dacă amplificatorul operațional are numai un pol dominant, cum s-a considerat mai sus, atunci el acceptă valori foarte mari ale reacției rezistive, fără pericol de instabilitate. De fapt, multe dintre amplificatoarele pe acest gen sînt stabile chiar cînd ieșirea se leagă direct la intrare

<sup>1)</sup> V. bibliografia [19.6].

(v. problema P.18.25). Dacă amplificatorul este stabil, se poate ignora problema stabilității și pe de altă parte, proiectarea circuitului de reacție se poate face prin metodele simple discutate în cap. 18 (v. relațiile 18.5 și 18.36).

### 19.2.6. Modificarea lui $a$ și a lui $f$

Prin folosirea unui circuit  $RC$  paralel în rețeaua de reacție, se realizează în § 19.2.4. o lărgire a benzii și un răspuns plat. Dar transmisia pe buclă optimă era 18,2 dînd deci o desensibilizare de 19. Pentru a obține valoarea dorită de 70, cum s-a specificat inițial, este necesar să se combine tehnicile discutate în § 19.2.4 și 19.2.5. Mai întii se adaugă un condensator mic  $C_1$  între colectorul și baza lui  $T_2$  pentru a despărți polii și apoi se adaugă un condensator mic  $C_f$  în paralel cu rezistența de reacție pentru a curba locul rădăcinilor, îndepărtîndu-l de axă. Rezultatele obținute pe calculator pentru o astfel de compensare sînt rezumate în tabelul 19.6.

Tabelul 19.6

Polii lui  $A(s)$  calculați cu ajutorul calculatorului pentru  $G_f = 0,2$ ; se compensează atît rețeaua de reacție ( $C_f$ ), cît și amplificatorul de bază ( $C_1$ ) (Unitățile de măsură sînt: picofarazi, miliohmi și nanosecunde)

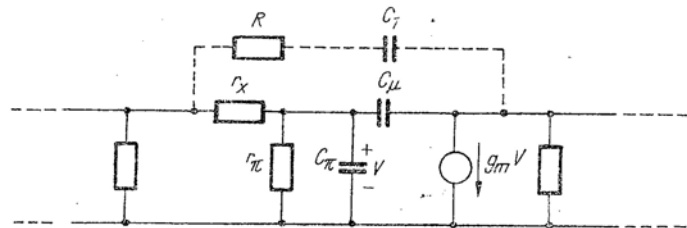
Compensarea	$s_1$	$s_2$	$Q$ -ul polului cel mai mic	$s_3$	$s_4$	$s_5$	$s_6$	$s_7$
$C_f = 0, C_1 = 0$	+0,058	$\pm j0,32$	—	-0,65	-9,64	-18,22	-28,56	—
$C_f = 0, C_1 = 50$	-0,029	$\pm j0,172$	3,1	-0,54	-1,71	-9,67	-22,31	—
$C_f = 0,5, C_1 = 50$	-0,075	$\pm j0,189$	1,34	-0,40	-1,71	-7,62	-22,18	-65,4
$C_f = 1, C_1 = 50$	-0,147	$\pm j0,239$	0,95	-0,207	-1,70	-6,12	-22,04	-41,9

Fără compensare ( $C_f = 0$ ;  $C_1 = 0$ ) amplificatorul cu reacție are poli în semiplanul drept (v. § 19.2.2). Adăugînd un condensator  $C_1 = 50$  pF tranzistorului  $T_2$ , se realizează deplasarea polilor în semiplanul stîng, dar perechea complexă are în continuare un  $Q$  prea mare. Deci, în continuare se compensează rețeaua de reacție adăugînd  $C_f = 0,5$  pF în paralel cu  $R_f$ . Cum era de așteptat, perechea complexă se îndepărtează de axa imaginară; dar tabelul 19.6 indică faptul că  $Q$  este încă prea mare. O încercare ulterioară duce totuși la o constelație satisfăcătoare de poli. Cu valoarea  $C_f = 1$  pF,  $Q$ -ul perechii complexe este mai mic decît unu, deci polii au argumente mai mici decît  $60^\circ$  (sub razele ce pleacă la  $60^\circ$ ) (v. problema P.19.14); acum s-a obținut desensibilizarea dorită, în valoare de 70.

19.2.7. Compensarea prin adăugarea de zerouri lui  $a(s)$ 

O altă tehnică pentru compensarea amplificatoarelor cu reacție este de a introduce zerouri în funcție de transfer  $a(s)$  a amplificatorului de bază. Dacă s-a adăugat un condensator amplificatorului (v. fig. 19.17), se poate obține un zero adițional prin simpla introducere a unei rezistențe  $R$  în serie cu  $C_1$ , cum înfățișează fig. 19.18.

Acest circuit produce un zero în funcție de transfer a lui  $a(s)$  apropiat de  $s = -1/RC$  și de asemenea un pol. Efectul zeroului este similar cu cel al zeroului din rețeaua de reacție, analizat în § 19.2.4, cu excepția faptului că zeroul lui  $a(s)$  apare de asemenea ca un zero al lui  $A(s)$ .

Fig. 19.18. Tehnica de adăugare a unui zero lui  $a(s)$ .

Se pot produce și zerouri complexe în funcția  $a(s)$ , prin folosirea de circuite  $RLC$  ca o sarcină de șuntare între etaje. Capacitatea tinde să deplaseze frecvența naturală cea mai joasă, mai aproape de origine. Circuitul  $RLC$  este acordat pentru a crea o pereche de zerouri care suprimă efectul polilor cu  $Q$  mare în răspunsul amplificatorului de reacție.

## 19.2.8. Rezumat

Înainte de a introduce alte exemple de reacție, se rezumă procedeul de proiectare al amplificatoarelor cu reacție, care au impuse specificații asupra amplificării pe buclă închisă  $A_o$ , desensibilizarea  $1 + a_o f_o$  etc. Mai întâi se alege topologia de reacție necesară pentru a îndeplini obiectivele impuse, cum ar fi rezistență de intrare mare, sau un curent de ieșire constant. În continuare se calculează valorile pentru  $a_o$  și  $f_o$  necesare pentru a îndeplini specificațiile asupra amplificării pe buclă și a densității,

$$a_o = A_o(1 + a_o f_o) \quad (19.36 a)$$

iar dacă  $a_o f_o$  este mare,

$$f_o \approx \frac{\text{desensibilizarea}}{a_o} \approx \frac{1}{A_o}. \quad (19.36b)$$

Se poate realiza acum o primă proiectare la frecvențe medii a circuitului  $a$  (amplificatorul de bază completat cu rezistența sursei, rezistența de sarcină și încărcarea datorită reacției).

Pasul următor este să se afle dacă amplificatorul propus va avea răspunsuri acceptabile în domeniul frecvenței și regim tranzitoriu, calculând polii și zerourile funcției  $A(s)$ , amplificarea globală cu buclă închisă având reacție rezistivă. Un criteriu acceptabil pentru un răspuns tranzitoriu acceptabil este acela ca toți polii să se afle sub razele îndreptate la  $45^\circ$  ( $Q$  mai mic decât 0,7). În cel mai rău caz, un astfel de amplificator va avea o supracreștere în răspuns la semnal treaptă de 4,3 (v. fig. 19.4, b), iar supracreșterea va fi considerabil mai mică dacă există un pol pe axa reală în vecinătatea perechii complexe. Un alt criteriu pentru un răspuns în frecvență acceptabil este de a avea polii sub liniile radiale de  $60^\circ$ , adică a avea  $Q$  mai mic decât unu. Amplificatorul va avea o supracreștere de maximum 6% în răspunsul în frecvență, iar această coccășă va fi mai mică dacă va exista un pol adiacent pe axa reală (v., de exemplu, filtrul Butterworth discutat în § 19.2.3).

Dacă polii calculați nu îndeplinesc criteriul de mai sus (și cele mai multe amplificatoare cu mai mult de 3 etaje și reacție rezistivă nu-l îndeplinesc), se calculează polii lui  $a(s)$ , neglijând încărcarea datorată reacției, se schițează locul rădăcinilor pentru polii dominanți și se compensează fie  $a(s)$  fie  $f(s)$ , cum s-a descris în subparagrafele precedente. Ar fi desigur foarte bine să se sintetizeze un amplificator  $a$  care să aibă anumite localizări prescrise pentru poli, dar din păcate circuitul  $a$  prezintă capacități intercuple, astfel încât un astfel de procedeu de proiectare este foarte complicat.

Schițarea locului rădăcinilor bazată pe conceptele polilor dominanți ai lui  $a(s)$  prezintă două aproximații importante. Prima, este aceea că polii nedominanți au o anumită influență în locul rădăcinilor. A doua este aceea că polii lui  $a(s)$  nu sînt constanți cum s-a presupus, ci sînt ei înșiși funcții de rezistența de reacție  $R_r$ , datorită efectelor de încărcare ale circuitului  $a$  de către rețeaua de reacție. Ambele aproximații au fost ignorate în exemplul precedent pentru motive întemeiate: polii înalți sînt mai mari cu cel puțin două ordine de mărime decât polul cel mai mic, iar rezistența de reacție este de cel puțin de o sută de ori mai mare decât  $R_s$  și  $R_L$ . S-ar putea ca în alte exemple să fim mai puțin norocoși; v. de exemplu § 19.3.2. Se va arăta, totuși, că deși se fac anumite aproximații în procesul de proiectare, acestea nu au un efect negativ, deoarece, în final se va verifica soluția cu ajutorul calculatorului.

## 19.3. EXEMPLE DE PROIECTARE

Pentru a fixa dezvoltarea teoretică asupra studiului stabilității amplificatoarelor bazat pe locul rădăcinilor, sint prezentate în acest paragraf încă două exemple de proiectare. Pentru simplitate, ambele se referă la amplificatoare ce au fost discutate.

## 19.3.1. Reacție buclă-bucă

Se va completa în continuare proiectarea amplificatorului cu reacție buclă-bucă din fig. 19.19 a introdusă în § 18.4.3. Reamintim valorile obținute:

$$R_s = 1000 \Omega$$

$$R_L = 50 \Omega$$

$$A_o = \frac{I_o}{V_s} = 2 \text{ S}$$

$$a_{of_0} \approx 50.$$

Rezultă că:

$$a_o = \frac{I_o'}{V_s} = 100 \text{ S}$$

$$f_o = \frac{V_t}{I_o'} = R_e = 0,5 \Omega.$$

O alegere posibilă a parametrilor tranzistoarelor este:

$$\beta_o = 50$$

$$r_\pi = 250 \Omega$$

$$r_x = 25 \Omega$$

$$g_m = 0,2 \text{ S}.$$

Se va presupune în mod arbitrar că  $C_\pi = 500 \text{ pF}$  și  $C_\mu = 5 \text{ pF}$  pentru toate tranzistoarele. Se pune problema să se proiecteze o rețea de reacție ( $R_e$  completată cu o rețea de reacție adecvată), astfel încît întreg amplificatorul să aibă un răspuns în frecvență plat și o desensibilizare de 50. O metodă de abordare a acestei probleme este de a se calcula polii lui  $a(s)$  și de a se schița locul rădăcinilor: apoi, folosind tabelele 19.3 și 19.4, se proiectează rețeaua de reacție și se plasează polii lui  $A(s)$  în locul dorit. Dacă configurația de poli rezultată nu este satisfăcătoare, se poate aplica o compensare adecvată folosind metode iterative.

Rezultatele calculelor efectuate pe calculator, asupra polilor lui  $A(s)$ , bazate pe circuitul echivalent la semnal mic din fig. 19.19, b sint prezentate în tabelul 19.7 (v. problema P.19.14). Avînd  $R_e = 0,5 \Omega$ , necesar pentru a îndeplini specificațiile cu privire la  $A_o$  și  $a_{of_0}$ ,  $A(s)$  are o pereche de poli complecși foarte apropiați de axa imaginară în semiplanul stîng, deci ampli-

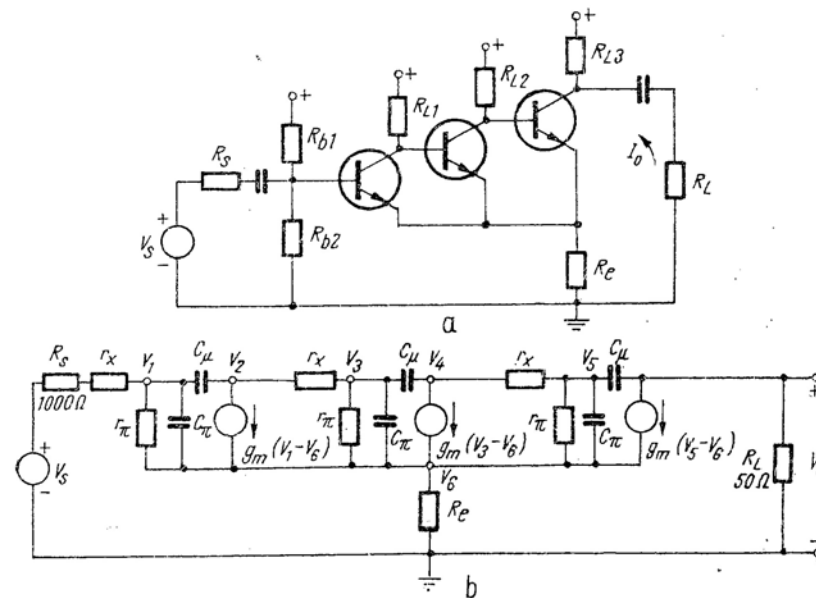


Fig. 19.19. Amplificator cu reacție de tip buclă-bucă (a) și modelul de frecvență medie și înaltă, presupunînd  $R_{L1}$ ,  $R_{L2}$ ,  $R_{L3}$ ,  $R_{b1}$  și  $R_{b2}$  suficient de mari pentru a fi neglijate (b).

ficatorul este aproape instabil. Pentru a obține un răspuns plat în frecvență, fără a compensa pe  $a$  sau  $f$ , trebuie folosită o valoare mult mai mică pentru  $R_e$ , să zicem o cincime din valoarea prezentă. Pentru  $R_e = 0,1 \Omega$ , se vede din tabelul 19.7 că amplificatorul este într-adevăr stabil și că răspunsul este acum dominat de o pereche de poli complecși cu  $Q \approx 1,3$ . Pentru  $R_e = 0,05 \Omega$  se obține o pereche complexă cu  $Q$  ceva mai mic decît unu. Deci, ne-am putea aștepta la un răspuns în frecvență cu bucla închisă cu o ușoară cocoșă avînd o bandă:

$$\omega_h \approx 0,003 \text{ Grad/s}$$

(v. problema P.19.15).

Este clar că nu se pot obține și un răspuns plat și o desensibilizare de 50 folosind numai reacția rezistivă. De aceea, pentru a avea un ajutor în calculele ulterioare privind compensarea se calculează și frecvențele naturale ale circuitului din fig. 19.19 avînd  $R_e = 0$  (excluzînd din determinant rîndul și coloana corespunzătoare lui  $V_e$ ). Rezultatele se găsesc tot în tabelul 19.7. Locul rădăcinilor bazat pe datele din tabelul 19.7 a fost reprezentat în fig. 19.20.

Tabelul 19.7

Polii lui  $A(s)$  pentru fig. 19.19 pentru diverse valori ale rezistenței de reacție  $R_e$  (Unitățile sînt inverse de nanosecunde)

	$R_e = 0,5 \Omega$ ( $\alpha_0 f_0 = 50$ )	$R_e = 0,1 \Omega$ ( $\alpha_0 f_0 = 10$ )	$R_e = 0,05 \Omega$ ( $\alpha_0 f_0 = 5$ )	$R_e = 0$ (Polii lui $a(s)$ )
$s_1$	$-0,005 + j0,116$	$-0,022 + j0,052$	$-0,024 + j0,035$	$s_a = -0,007$
$s_2$	$-0,005 - j0,116$	$-0,002 - j0,052$	$-0,024 - j0,035$	$s_b = -0,047$
$s_3$	$-0,401$	$-0,368$	$-0,363$	$s_c = -0,357$
$s_4$	$-8,01$	$-8,04$	$-8,04$	$s_d = -8,05$
$s_5$	$-12,15$	$-12,15$	$-12,15$	$s_e = -12,15$
$s_6$	$-15,25$	$-15,25$	$-15,25$	$s_f = -15,25$

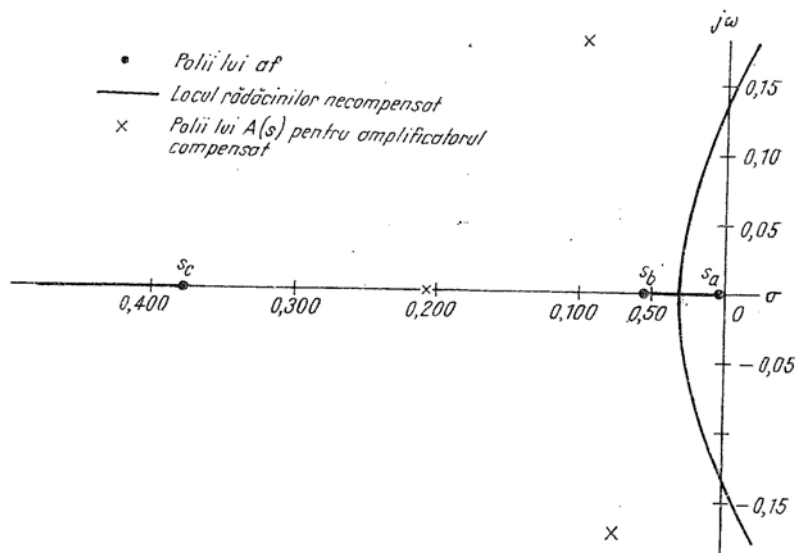


Fig. 19.20. Locul rădăcinilor pentru reacție rezistivă buclă-bucă aplicată ca în fig. 19.19. Se indică de asemenea polii lui  $A(s)$  care pot fi obținuți printr-o compensare adecvată. Unitatea de măsură  $\text{ns}^{-1}$ .

O cale relativ simplă de compensare a acestui amplificator este de a adăuga un zero rețelei de reacție, conform celor discutate în § 19.2.4 (v. problema P.19.16). Reamintim din § 18.4.3 că circuitul  $f$  pentru această configurație este o transimpedanță pură:

$$f = z_{rf} = \frac{V_t}{I_o} = R_e. \quad (19.37)$$

Deci, adăugarea unui zero lui  $z_{rf}$  se realizează prin inserierea unei inductanțe cu  $R_e$ . Din fig. 19.21 se constată că pentru această rețea de reacție compensată:

$$f = \frac{V_t}{I_o} = R_e + sL. \quad (19.38)$$

Deci, avem un zero la:

$$s_f = \frac{-R_e}{L}. \quad (19.39)$$

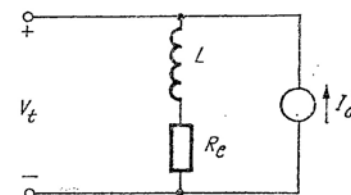


Fig. 19.21. Circuit pentru calcularea funcției de transfer  $f$ .

Din acest moment, proiectarea este identică în principiu cu aceea discutată în § 19.2.4: se optionează pentru plasarea zeroului între  $s_b$  și  $s_c$ , cum este arătat de către locul rădăcinilor și curbele de răspuns din fig. 19.14; concret, pentru acest amplificator dorim să plasăm  $s_f$  undeva între  $-0,047$  și  $-0,357 \text{ ns}^{-1}$ . O localizare mai exactă poate fi determinată dacă se aplică relațiile din tabelele 19.3 și 19.4, dar adesea o primă estimare bazată pe „distanța medie” a celor trei poli inferiori (regula 4 modificată), conduce la rezultate foarte rapid convergente. Se vede din tabelul 19.7 că distanța medie a celor trei poli inferiori ai lui  $a(s)$  față de axa imaginară este:

$$\text{distanța medie} = -\frac{0,410}{3}$$

(v. problema P.19.17). Deci, pentru configurația Butterworth cu trei poli dorim ca:

$$s_1 = -0,102 - j0,175$$

$$s_2 = -0,102 + j0,175$$

$$s_3 = -0,205.$$

(Acest calcul este același ca cel utilizat pentru găsirea lui  $\alpha$ ,  $\beta$  și  $\gamma$  din tabelul 19.4). Deoarece în locul rădăcinilor,  $s_3$  se deplasează de la  $s_c$  la  $s_f$  (v. fig. 19.14, b) se știe acum că  $s_f$  trebuie să fie între  $-0,047$  și  $-0,205$ . Deci, o primă aproximație este  $s_f = -0,1 \text{ ns}^{-1}$ . Din relația (19.39) valoarea cerută pentru  $L$  este (kiloohmi, microsecunde și microhenri):

$$L = -\frac{R_e}{s_f} = \frac{0,5 \times 10^{-3}}{0,1} = 5 \times 10^{-3} \mu\text{H}$$

(care este inductanța unui fir scurt de sîrmă).

Pentru calculator va trebui utilizată o rutină de reducere, ușor modificată datorită prezenței inductanței în circuit. Detaliile sînt incluse în anexa D. Rezultatele acestor calcule sînt prezentate în tabelul 19.8. Zeroul este plasat prea în interior pe semiaxa reală negativă, astfel încît  $s_3$  s-a apropiat și el mult de axa  $j$ , forțînd pe  $s_1$  și  $s_2$  să fie prea în exterior.

Tabelul 19.8

Polii lui  $A(s)$  pentru trei valori diferite ale zeroului rețelei de reacție  $s_f$  (Unitățile sînt inverse de nanosecunde)

	$s_f = -0,1$ $L = 0,005 \mu\text{H}$	$s_f = -0,125$ $L = 0,004 \mu\text{H}$	$s_f = -0,11$ $L = 0,0045 \mu\text{H}$
$s_1$	$-0,114 + j0,144$	$-0,078 + j0,130$	$-0,097 + j0,135$
$s_2$	$-0,114 - j0,144$	$-0,078 - j0,130$	$-0,097 - j0,135$
$s_3$	$-0,161$	$-0,238$	$-0,198$
$s_4$	$-6,96 + j5,56$	$-8,20 + j5,71$	$-7,45 + j5,65$
$s_5$	$-6,96 - j5,56$	$-8,20 - j5,71$	$-7,45 - j5,65$
$s_6$	$-11,9$	$-11,9$	$-11,9$
$s_7$	$-15,1$	$-15,1$	$-15,1$

Observație: Aceste date nu formează un loc al rădăcinilor propriu-zise.

A doua estimare este aceea pentru  $s_f = -0,125 \text{ ns}^{-1}$ , dar aceasta scoate pe  $s_3$  prea în afară. Interpolînd între aceste două rezultate, se alege  $s_f = -0,11$  ( $L = 4,5 \text{ nH}$ ). Pentru aceste valori, se obțin rezultate diferite cu cel mult  $\pm 10\%$  față de cele prevăzute mai sus. Cei trei poli inferiori, pentru această proiectare, au fost adăugați în fig. 19.20 pentru a facilita comparația cu proiectul necompensat. Lărgimea de bandă a acestui amplificator este, datorită configurației Butterworth cu trei poli:

$$\omega_b = |\gamma| = |s_3| = 0,20 \text{ Grad/s.}$$

Deci, s-a obținut o îmbunătățire de șase ori a lărgimii de bandă față de cea a amplificatorului necompensat, de la 4,8 la 32 MHz, obținînd în plus desensibilizarea dorită în valoare de 50. Deși aceste calcule sînt suficient de convingătoare, nu se vor materializa încă într-un circuit real deoarece inductanța parazită este de ordinul de mărime a inductanței necesare pentru compensare. Deci, o realizare practică de acest tip va fi probabil compensată, sau poate supra-compensată, de efectele inductive parazite.

Se notează că distanța medie a celor trei poli inferiori față de axa imaginară rămîne constantă deși s-a adăugat inductanța. Pe de altă parte, distanța medie a tuturor celor șapte poli nu rămîne constantă pe măsura variației lui  $L$ , deoarece regula 4 nu se aplică direct atunci cînd este schimbat un element al rețelei de reacție.

### 19.3.2. Amplificator cu reacție cu comparare pe buclă și eșantionare în nod

Se va încerca proiectarea unei rețele de reacție pentru un amplificator cu comparare pe buclă și eșantionare în nod. Caracteristicile în bandă ale acestui circuit au fost discutate în § 18.6, dar s-a atras atenția că vom întîmpina dificultăți cînd vom încerca despărțirea circuitului echivalent la înaltă frecvență în  $a$  și  $b$ .

Un amplificator simplu cu două etaje de acest tip este arătat în fig. 19.22,  $a$  și circuitele echivalente la frecvență medie și înaltă sînt prezentate în fig. 19.22,  $b$ . Se presupune că parametrii tranzistoarelor sînt:

$$r_\pi = 250 \Omega$$

$$g_m = 0,4 \text{ S}$$

$$r_x = 25 \Omega$$

$$C_\pi = 100 \text{ pF}$$

$$C_\mu = 10 \text{ pF.}$$

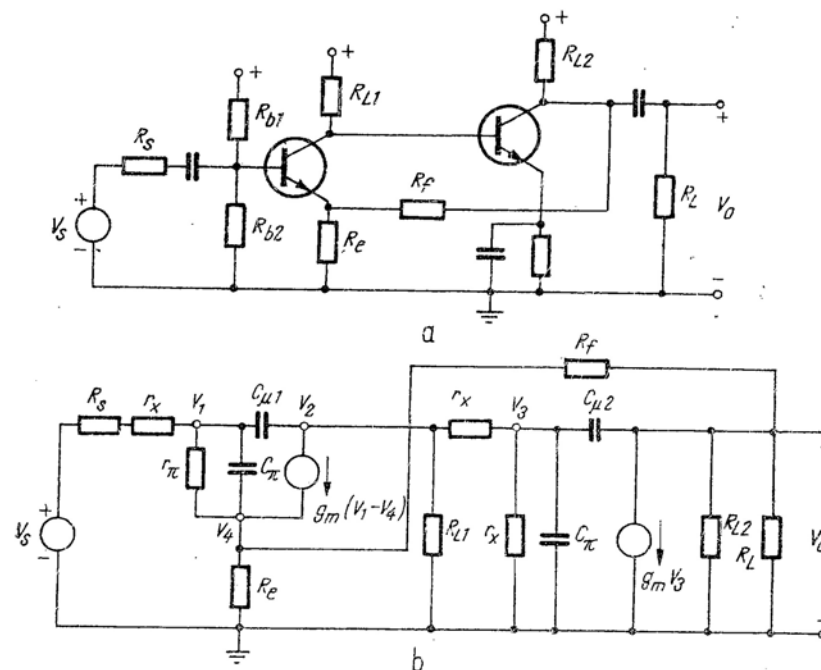


Fig. 19.22. Amplificator cu comparare pe buclă și eșantionare în nod.

De asemenea, se presupune că  $R_s = 100 \Omega$ ,  $R_{L1} = R_{L2} = 1 \text{ k}\Omega$ ,  $R_L = 250 \Omega$  și  $R_e = 10 \Omega$  (v. problema P.18.17 pentru comentarii asupra alegerii lui  $R_e$ ). Se impune proiectarea unei rețele de reacție pentru a obține o valoare maximă a desensibilizării fără nici o oscilație în răspunsul tranzitoriu.

Circuitul echivalent la semnal mic din fig. 19.22, b, are doi poli la frecvență relativ scăzută ( $s_1$  și  $s_2$ ) și doi poli la o frecvență relativ înaltă ( $s_3$  și  $s_4$ ). Deoarece răspunsul va fi dominat de  $s_1$  și  $s_2$ , specificațiile pentru răspunsul tranzitoriu cer ca acești doi poli să rămână pe axa reală.

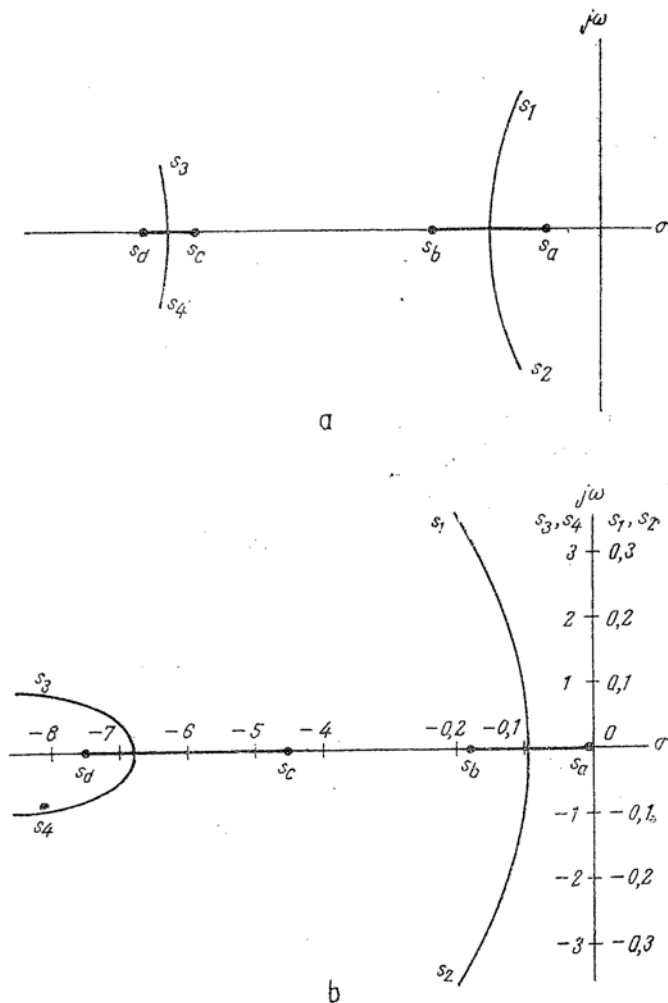


Fig. 19.23. Locul rădăcinilor pentru un amplificator simplu cu patru poli, cu reacție rezistivă în care  $a(s)$  și  $f_0$  sunt presupuse complet independente (a); b — locul real al rădăcinilor pentru amplificatorul din fig. 19.22, pentru valori variabile ale lui  $R_f$ . Unitățile de măsură sînt  $\text{ns}^{-1}$ . Se observă schimbarea de scară pentru  $s_3$  și  $s_4$ .

Impunînd această constrîngere, se obține maximum de desensibilizare atunci cînd  $s_1$  și  $s_2$  sînt coincidenți, adică în punctul de despărțire a locului de axa reală.

Deoarece nici desensibilizarea și nici amplificarea în bandă  $A_0$  nu au fost specificate în această proiectare, nu avem nici o estimare inițială pentru  $R_f$ . Utilizînd un calculator rapid se poate folosi cu multă eficacitate metoda iterativă de soluționare a problemei. Se presupun pentru  $R_f$  valori de 100  $R_e$  și 1000  $R_e$ , se calculează polii lui  $A(s)$  și apoi se compară cu configurația de poli dorită. O schițare rapidă a locului rădăcinilor (fig. 19.23, a) va arăta în ce sens trebuie modificat  $R_f$ : dacă cei doi poli inferiori sînt complecși, se reduce reacția prin creșterea lui  $R_f$ ; dacă sînt reali, dar nu egali, se crește reacția prin micșorarea lui  $R_f$ .

O abordare oarecum mai științifică este de a se găsi polii lui  $a(s)$  pentru  $R_f$  infinit și din aceste date se estimează valoarea lui  $R_f$  pentru a da cei doi poli coincidenți ai lui  $A(s)$ . Circuitul a, determinat pe această bază în § 18.6, este arătat în fig. 19.24, a. Se reamintește, totuși, că acest fapt nu este corect în sensul strict, datorită prezenței lui  $C_{\mu 1}$ . Nu mai există o relație independentă simplă între curentul sursei, curentul de intrare al circuitului a și al circuitului de intrare a rețelei de reacție; așadar, se formează un circuit a cu anumite deosebiri. În mod cert, este de așteptat să apară o anumită inexactitate în calculul locului rădăcinilor.

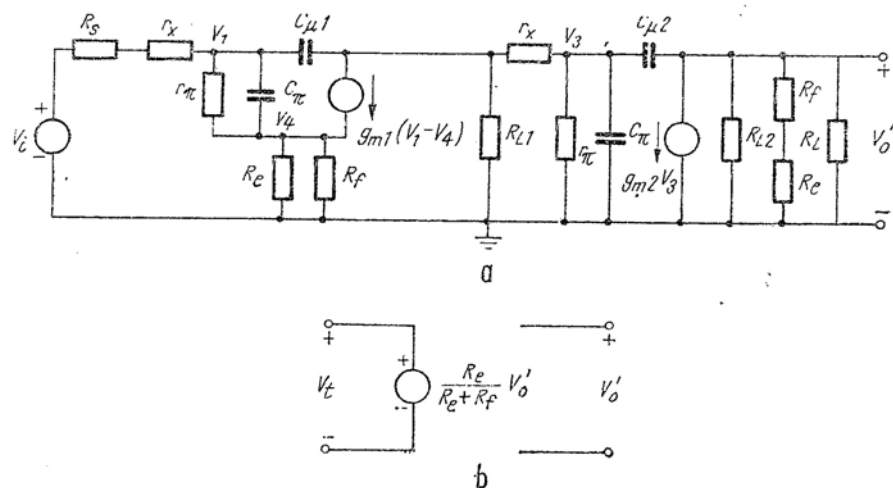


Fig. 19.24. Circuitele a și f pentru amplificatorul din fig. 19.22:

a — circuitul a; b — circuitul f.

Frecvențele naturale ale circuitului a din fig. 19.24, a, calculate cu  $R_f = \infty$  și cu valorile elementelor rămase specificate mai sus sînt (în nanosecunde<sup>-1</sup>):

$$\begin{aligned} s_a &= -0,0049 & s_e &= -4,55 \\ s_b &= -0,182 & s_d &= -7,49 \end{aligned}$$

(v. problema P.16.15). Așa cum era de așteptat,  $s_c$  și  $s_d$  sînt la o frecvență mult mai înaltă decît  $s_a$  și  $s_b$ . Deci, conform regulii 5, cei doi poli înalți ai lui  $A(s)$ ,  $s_3$  și  $s_4$ , vor rămîne relativ fixați

în timp ce polii inferiori,  $s_1$  și  $s_2$  se vor apropia unul de celălalt și vor forma o pereche complexă. Într-o primă aproximație, se va lucra numai asupra acestor doi poli inferiori. Pe această bază:

$$a(s) \approx \frac{a_0 (0,00089)}{(s + 0,0049)(s + 0,182)}$$

și

$$\begin{aligned} A(s) &\approx \frac{a_0 (0,00089)}{(s + 0,0049)(s + 0,182) + (0,00089) a_0 f_0} = \\ &= \frac{a_0 (0,00089)}{s^2 + 0,187s + (0,00089)(1 + a_0 f_0)} \end{aligned}$$

Pentru a obține desensibilizarea maximă, fără supracreșteri în răspunsul tranzitoriu dorim ca polii lui  $A(s)$  să fie coincidenți

$$A(s) = \frac{k}{(s - \alpha)^2} = \frac{k}{s^2 - 2\alpha s + \alpha^2}$$

Identificând coeficienții corespunzători, se obține:

$$\alpha = -0,00935 \quad a_0 f_0 = 8,82.$$

Amplificarea  $a_0$  în bandă, calculată din fig. 19.24,  $a$  cu presupunerea că  $R_f$  este infinit, este:

$$a_0 = \frac{V_o}{V_i} = 1130$$

(v. problema P.16.15). Din fig. 19.24,  $b$ ,

$$f_0 = \frac{R_e}{R_e + R_f} = \frac{8,82}{1130} = 0,0078.$$

Deci:

$$R_f = 1270 \, \Omega;$$

un rezultat pe calculator al polilor lui  $A(s)$  pentru  $R_f = 1270 \, \Omega$  duce la:

$$s_1 = -0,069 \quad s_3 = -4,64$$

$$s_2 = -0,127 \quad s_4 = -7,48.$$

Ne-am îndepărtat destul de mult de obiectivul inițial al polilor coincidenți, dar din câteva iterații asupra soluțiilor de pe calculator, folosind valori descrescătoare pentru  $R_f$ , pentru a obține o reacție mai mare, vom obține rezultatul dorit. De fapt, o reducere de 10% a lui  $R_f$  va duce la configurația de poli dorită, ca în tabelul 19.9.

Tabelul 19.9

Polii lui  $A(s)$  pentru valori crescătoare ale reacției amplificatorului din fig. 19.22 (v. graficul din fig. 19.23, b) (Unitățile sînt ns<sup>-1</sup>)

$R_f$ kΩ	$s_1$	$s_2$	$s_3$	$s_4$
$\infty$	-0,0049	-0,182	-4,55	-7,49
2	-0,038	-0,154	-4,61	-7,48
1,27	-0,069	-0,127	-4,64	-7,48
1,1	-0,098	$\pm j0,01$	-4,65	-7,48
0,5	-0,105	$\pm j0,096$	-4,77	-7,47
0,1	-0,142	$\pm j0,244$	-5,66	-7,35
0,05	-0,174	$\pm j0,313$	-6,94	$\pm j0,411$

Din ecuația (15.17) banda rezultantă va fi:

$$\omega_h \approx \frac{0,098}{\sqrt{2}} = 0,069 \text{ Grad/s}$$

sau

$$f_h = 11 \text{ MHz.}$$

Desensibilizarea este aproximativ 10.

Ca și în exemplele precedente, lărgimea de bandă a acestui amplificator poate fi crescută și mai mult dacă se acceptă ca polii lui  $A(s)$  să se desprindă de pe axa reală, pentru a forma o pereche Butterworth. Din tabelul 19.9, valoarea lui  $R_f$  necesară pentru a obține această configurație de poli este  $R_f = 500 \, \Omega$ . Banda va fi de aproximativ 23 MHz (v. problema P.19.18). O creștere în continuare a benzii poate fi realizată adăugînd un condensator mic de compensare (cîțiva picofarazi) în paralel cu  $R_f$ .

Rezultatele tipice pentru un amplificator cu două etaje<sup>1)</sup> cu tranzistoare ieftine, 2N 3563, cu o schemă ca în fig. 19.22, sînt reprezentate în fig. 19.25. Răspunsul pentru  $R_f = 0$  (fig. 19.25a), indică faptul că lărgimea benzii fără reacție este de aproximativ 7 sau 8 MHz. Cînd  $R_f$  este ajustat pentru a permite un răspuns maximum plat ca în fig. 19.25 b, banda crește la aproximativ 60 MHz. Cînd se adaugă un condensator nîc în paralel cu  $R_f$ , ca în fig. 19.25, d, este posibil să se obțină un răspuns plat de la frecvențe joase pînă la peste 100 MHz.

Rezultatele de la calculator din tabelul 19.9 s-au reprezentat grafic sub forma locului rădăcinilor în fig. 19.23, a. Între acest loc și cel original.

<sup>1)</sup> V. § 19.4 pentru detalii de măsurare.



schiațat în fig. 23, *a*, conform cu polii lui  $a(s)$ , există o deosebire pronunțată. Figura 19.23, *b* pune în evidență faptul surprinzător că acest amplificator este întotdeauna stabil (dacă se ignorează efectele parazite, indiferent cât de mare este reacția, deoarece pe măsură ce  $R_f$  scade, polii lui  $A(s)$  se deplasează, în realitate, înspre exteriorul axei imaginare).

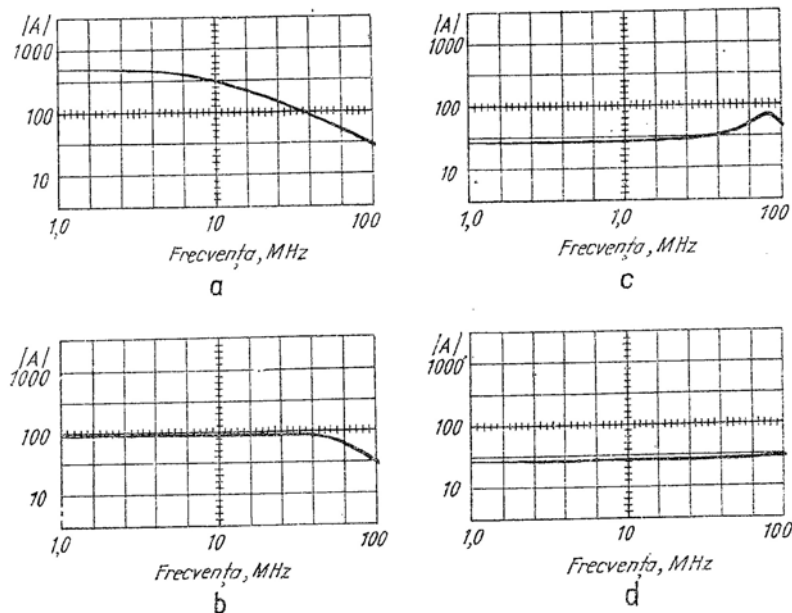


Fig. 19.25. Fotografiiile oscilogramelor amplificatorului din fig. 19.22.

Imprecizia locului rădăcinilor reprezentat în fig. 19.23, este datorată următorilor doi factori independenți: mai întâi, după cum s-a menționat, conceptul de bază al despărțirii circuitului din fig. 19.22, *b* în circuitul *a* și *f* ca în fig. 19.24, este o soluție discutabilă datorită existenței capacității  $C_{\mu 1}$ .

În al doilea rând, efectul de încărcare al lui  $R_f$  asupra circuitului *a* nu este neglijabil în acest caz, astfel că polii lui  $a$  nu rămân fixați pe măsură ce valoarea reacției crește. Efectele de încărcare ale amplificatoarelor cu două etaje sînt de obicei mai serioase decît ale amplificatoarelor cu trei sau mai multe etaje. Numai cu două etaje,  $a_0$  este de obicei mai mic, astfel încît  $f_0$  trebuie să fie în mod corespunzător mai mare pentru a realiza desensibilizarea cerută. O valoare mare a lui  $f_0$  implică totdeauna o încărcare mai mare a nodului de ieșire (v. problema P.19.19).

## 19.4. DEMONSTRAȚIILE EXPERIMENTALE LA CURS

Se adaugă amplificatorului cu reacție (amplificatorul din fig. 19.16) un detector de vîrf ca cel din fig. 19.26. Deoarece frecvențele cerute pentru acest experiment pot fi de ordinul a 100 MHz, detectorul trebuie montat pe același șasiu ca și amplificatorul. Se fac apoi conexiunile pentru restul echipamentului, ca în fig. 19.26. Sînt necesare amplificatoare logaritmice<sup>1)</sup> pentru a produce reprezentări grafice în scară dublu logaritmică. Pentru o reglare corectă a aparatelor se poziționează osciloscopul pe o sensibilitate de 10 dB/diviziune verticală și pe orizontală avînd scale de 1 MHz la stînga, 10 MHz la centru și 100 MHz la dreapta.

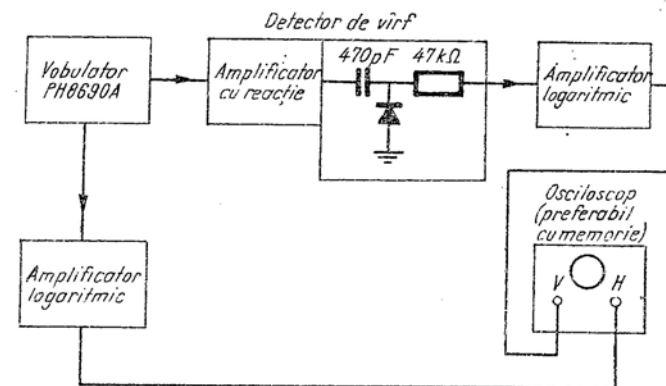


Fig. 19.26. Schema-bloc pentru demonstrația experimentarea de curs.

Presupunînd că se testează amplificatorul din fig. 19.16, se alege  $R_2$  egal cu zero pentru a avea o reacție de c.a. egală cu zero și se trasează curba de răspuns. Dacă se folosește osciloscopul cu memorie, păstrați această imagine. Repetați experiența pentru valori crescătoare ale reacției rezistive, adică măriți valoarea lui  $R_2$  ( $C_3 = 0$ ). În fig. 19.27, *a* pot fi văzute rezultatele tipice ale cîtorva experimentări (rezultatele au fost suprapuse). Rețineți corespondența între reprezentările acestea și configurația de poli pentru locul rădăcinilor. Creșteți pe  $R_2$  pînă cînd amplificatorul devine instabil.

<sup>1)</sup> Pentru o variantă de proiectare, v. Bibliografia [19.5].



Repuneți pe  $R_2$  la o valoare pentru care se obține o ușoară cocoasă și apoi creșteți pe  $C_3$ . Din nou, este util osciloscopul cu memorie, deși nu este esențial. Fig. 19.27, *b* și 19.14 sînt reprezentări tipice ale rezultate-lor.

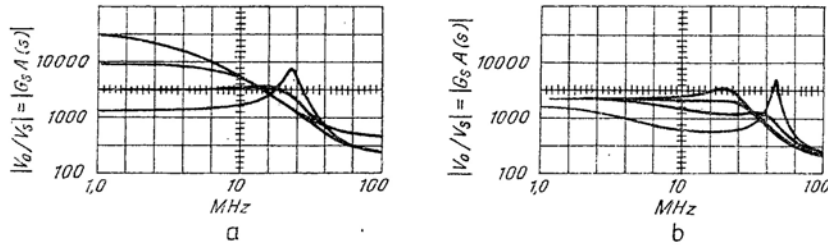


Fig. 19.27. Fotografii ale oscilogramelor pentru demonstrația experimentală de curs din fig. 19.26 și 19.16.

## BIBLIOGRAFIE

- 19.1. Truxal, J. *Control engineers' handbook*. New York, McGraw-Hill, 1958.
- 19.2. Vailey, G. E., Wallman, H. *Vacuum tube amplifiers*. New York, McGraw-Hill, 1948.
- 19.3. Mason, S.J., Zimmermann, H.J. *Circuits, signals and systems*. New York, Wiley, 1960.
- 19.4. Kuo, F. F. *Network analysis and synthesis*. New York, Wiley, 1962.
- 19.5. Giles, J. N. *Linear integrated circuits applications handbook*. În: Fairchild Semiconductor, 1967.
- 19.6. Wilder, R. J. *A new monolithic operational amplifier design*. În: National Semiconductor TP-2, August, 1968.
- 19.7. Pederson, D.O. *Electronic circuits* (ediție preliminară). New York, McGraw-Hill 1965.

## PROBLEME

**P 19.1.** Să se determine pentru amplificatorul cu reacție din § 19.22 (fig. 19.10) transmisia pe buclă la frecvențe medii, desensibilizarea și valoarea lui  $R_f$  cerută pentru a determina amplificatorul să intre în instabilitate (v. pag. 191).

**P 19.2.** Să se calculeze poliul lui  $a(s)$  pentru circuitul *a* (fig. 19.13, *b*), incluzînd efectul de încărcare al lui  $C_f = 0,255$  pF,  $G_f = 0,054$  mS. Să se compare distanța medie a celor trei poli inferiori ai lui  $a(s)$ , pentru acest calcul, cu valoarea corespunzătoare din § 19.2.4, calculată neglijînd pe  $C_f$ . Să se comenteze efectul încărcării datorat lui  $C_f$  (v. pag. 200).

**P 19.3.** Să se estimeze valoarea zeroului  $s_f$  în bucla de reacție (fig. 19.13), care va asigura faptul că amplificatorul este stabil pentru toate valorile transmisiei pe buclă la frecvențe medii (v. pag. 200).

**P 19.4.** Tabelul 19.5 arată că atunci cînd se adaugă un condensator de compensare unui amplificator cu trei etaje (fig. 19.13), amplificatorul are șapte frecvențe naturale. Să se explice de ce. Verificați valoarea distanței medii la axa imaginară cînd reacția este modificată. Este aceasta constantă? Repetați pentru primii patru poli inferiori și separat, pentru primii trei poli și comentați (v. pag. 207).

**P 19.5.** Să se calculeze poliul lui  $a(s)$  pentru circuitul *a* din fig. 19.13 incluzînd efectele lui  $C_f$  și  $G_f$ . Să se folosească valorile lui  $C_f$  și  $G_f$  din tabelul 19.5. Faceți verificări pentru a vedea cum aceste schimbări modifică poliul lui  $a(s)$  (v. pag. 207).

**P 19.6.** Pentru valorile rezistențelor date în fig. 19.16, să se determine valorile lui  $C_3$  și  $R_2$  care vor avea același efect ca și  $C_f = 0,255$  pF,  $G_f = 0,054$  mS (fig. 19.13) (v. pag. 207).

**P 19.7.** Un anumit amplificator are reacție rezistivă și un circuit *a* cu următoarea funcție de transfer:

$$a(s) = \frac{10^5}{(s+2)(s+2)(s+2)}$$

a) Cît de mare poate fi  $f_0$  fără a se produce instabilitatea?

b) Să se deplaseze unul din poliul lui  $a(s)$  către axa imaginară la  $s_p = -1/50$ . Cît de mare poate fi acum  $f_0$  fără a se produce instabilitatea. Explicați prin schițarea locului rădăcinilor în fiecare caz (v. pag. 207).

**P 19.8.** Să se arate că pentru un condensator de o anumită valoare, polul inferior al lui  $a(s)$  din fig. 19.10, *b* este deplasat mai departe în raport cu ceilalți poli dacă  $C_1$  este conectat cum se indică, decît dacă ar fi fost conectat între bază și masa tranzistorului al doilea (v. pag. 207).

**P 19.9.** Să se calculeze rezistența în circuit deschis văzută la bornele lui  $C_1'$  (fig. 19.10). Să se substituie valorile numerice din fig. 19.10 pentru a verifica valoarea lui  $R_T$  calculată la pag. 208.

**P 19.10.** Să se încerce adăugarea unui condensator de 50 pF între bază și colector în amplificatorul cu reacție din fig. 19.10, mai întîi la  $T_1$ , apoi la  $T_2$  și în sfîrșit la  $T_3$ . Să se calculeze poliul lui  $a(s)$  în fiecare caz și să se schițeze locul rădăcinilor. Din aceste reprezentări să se spună dacă se poate obține o desensibilizare mai mare decît cea obținută în § 19.2.5. Să se verifice estimarea făcută, alegînd valoarea lui  $R_f$  dată de testul pe calculator asupra polilor lui  $A(s)$  pentru a obține desensibilizarea maximă și răspuns plat în frecvență (v. pag. 209).

**P 19.11.** Există un motiv foarte puternic pentru a nu adăuga un condensator de compensare de la baza la colectorul unui etaj de ieșire al unui amplificator cu reacție, motiv independent de problema constantelor de timp discutate în § 19.2.5 și problema P.19.10. Explicați (v. pag. 210).

**P 19.12.** Să se calculeze și să se reprezinte locul polilor lui  $A(s)$  pentru diferite valori ale lui  $C_1$  în amplificatorul din fig. 19.10. Păstrați  $R_f = 5$  kΩ. Estimați valoarea lui  $C_1$  pentru a produce o pereche de poli ai lui  $A(s)$  cu  $Q$  unitar (v. pag. 210).

**P 19.13.** Să se estimeze lărgimea de bandă a circuitului *a* din fig. 19.10, cu și fără condensatorul de compensare de 50 pF. Să se comenteze efectul lui  $C_1$  asupra desensibilizării (v. pag. 210).

**P 19.14.** Tabelul 19.6 indică faptul că un răspuns „satisfăcător” (în cazul de față, perechea complexă are  $Q$  subunitar), poate fi obținut adăugînd un condensator de 50 pF,  $C_1$ , între baza și colectorul tranzistorului  $T_2$  ca în fig. 19.10, și de asemenea, adăugînd un condensator  $C_f$  de 1 pF în paralel cu rezistența  $R_f$ . Această alegere a lui  $C_1$  și  $C_f$  nu este neapărat cea optimă. Să se facă comentarii asupra posibilităților de alegere  $C_1$  contra  $C_f$ . Dacă este posibil, folosiți un calculator pentru a găsi alte combinații de  $C_1$  și  $C_f$  și dați răspunsul dorit. Care este cea mai bună alegere; de ce?

**P 19.15.** Pentru amplificatorul din § 19.3.1 (fig. 19.19), să se calculeze  $\omega_h$  din poliul lui  $A(s)$  dați în tabelul 19.7 pentru  $R_e = 0,05$  Ω. Verificați, deci, rezultatele date la pag. 215.

**P 19.16.** Amplificatorul din § 19.3.1 (fig. 19.19) poate fi de asemenea compensat prin adăugarea unui condensator amplificatorului de bază ca în § 19.2.5. Care este valoarea capacității care întrunește specificațiile de la începutul § 19.3.1 (v. pag. 216)?

**P 19.17.** Să se folosească rezultatele de la calculator din tabelul 19.8 pentru a verifica conceptul de „distanța medie față de axa  $j''$ ”, pentru amplificatorul cu reacție din fig. 19.19, compensat de inductanța  $L$  în serie cu  $R_e$  (v. pag. 217).

**P 19.18.** Dându-se funcția de transfer a lui  $a(s)$  ca în § 19.3.2, să se proiecteze rețeaua de reacție din fig. 19.22 pentru a obține configurația Butterworth cu doi poli pentru funcția de transfer pe buclă închisă  $A(s)$ . Să se compare lărgimea de bandă și desensibilizarea cu proiectarea din § 19.3.2.

**P 19.19.** Să se separe cei doi factori care conduc la inacuratețea locului rădăcinilor pentru circuitul din fig. 19.22; mai întâi se va presupune  $g_m = 20$  S pentru al doilea tranzistor, pentru a reduce efectul încărcării lui  $R_f$ . Apoi faceți  $C_{\mu 1} = 0$  la primul tranzistor pentru a elimina inacuratețea circuitului  $a$ . În fiecare caz să se calculeze locul rădăcinilor și să se compare cu locul prescris (fig. 19.23,  $a$ ) (v. pag. 224).

**P 19.20.** Presupunind tranzistoare ideale ( $C_{\pi} = C_{\mu} = 0$ ), în fig. 18.29 să se schițeze locul rădăcinilor pentru acest amplificator. Explicați de ce proiectantul a plasat rețeaua  $RC$  pe calea reacției.

**P 19.21.** Dacă se încearcă rezolvarea problemei P 18.25, c formînd un circuit  $a$  și un circuit  $f$ , se ridică anumite contradicții. Pentru a arăta aceasta, formați circuitele  $a$  și  $f$  presupunînd că amplificatorul operațional are o anumită rezistență de ieșire  $R_o$  și nu prezintă întârzieri interne (de exemplu tensiunea de ieșire a amplificatorului singur, este egală cu curentul de intrare multiplicat de o constantă  $a_o$ ). Determinați acum  $a$  și  $f$  și deci  $A(s)$ . Cîți poli are această funcție. Determinați prin inspectarea circuitului original, fig. 18.30,  $a$  cu  $R_o$  înlocuit prin  $C_2$ , cîți poli are  $A(s)$  în realitate. Primul răspuns este greșit deoarece circuitul nu îndeplinește anumite condiții fundamentale cerute pentru a forma circuitele  $a$  și  $f$ . Explicați (v. de asemenea problemele P 20.17 și P 20.18).

## CAPITOLUL 20

PROIECTAREA AMPLIFICATOARELOR  
CU REACȚIE PE BAZA RĂSPUNSULUI  
PE AXA  $j$

## CAPITOLUL 20

### PROIECTAREA AMPLIFICATOARELOR CU REACȚIE PE BAZA RĂSPUNSULUI PE AXA $j$

- 20.1. Teorie
    - 20.1.1. Criteriul lui Nyquist
    - 20.1.2. Criterii pentru un răspuns acceptabil
  - 20.2. Exemplu de calcul pe axa  $j$ 
    - 20.2.1. Proiectarea inițială
    - 20.2.2. Compensarea prin reducerea deplasării fazei la înaltă frecvență
    - 20.2.3. Compensarea prin adăugarea unui condensator amplificatorului de bază
  - 20.3. Instabilitatea la frecvențe joase
- Bibliografie  
Probleme

## 20

### PROIECTAREA AMPLIFICATOARELOR CU REACȚIE PE BAZA RĂSPUNSULUI PE AXA $j$

#### 20.1. TEORIE

În capitolul precedent s-au discutat metodele proiectării amplificatoarelor cu reacție utilizând graficele locului rădăcinilor. În capitolul acesta, se studiază problema dintr-un punct de vedere oarecum diferit; în care proiectarea se bazează numai pe răspunsul staționar *măsurat* al circuitului  $a$ . În esență, această metodă implică determinarea transmisiei pe buclă în regim staționar  $af(j\omega)$ , măsurând pe  $a(j\omega)$  și măsurând sau calculând pe  $f(j\omega)$ . Din graficul amplitudinii și al fazei lui  $af(j\omega)$  este posibil să se calculeze răspunsul staționar al amplificatorului cu bucla închisă,  $A(j\omega)$ . Prin analogie directă cu metoda locului rădăcinilor, se vede dacă proiectarea este satisfăcătoare, selectiv, pentru desensibilizare și răspunsul în frecvență și tranzitoriu. Dacă proiectarea nu este satisfăcătoare, este necesară introducerea unei forme de compensare.

Un avantaj important al acestei metode constă în posibilitatea *folosirii directe a răspunsului în frecvență măsurat* al amplificatorului de bază fără a fi necesară determinarea frecvențelor naturale pe calculator.

#### 20.1.1. Criteriul lui Nyquist

În cadrul acestei metode, este esențial să se găsească criterii, atât pentru stabilitatea cât și pentru răspuns tranzitoriu „satisfăcător” în funcție de răspunsul staționar  $a(j\omega)$  și  $A(j\omega)$ , la fel cum s-a procedat în funcție de poli și zerouri în cadrul metodei locului rădăcinilor. Criteriul

de stabilitate va fi studiat în acest paragraf, iar criteriile pentru răspuns tranzitoriu și staționar satisfăcător vor fi studiate în § 20.1.2.

Criteriul de stabilitate de bază folosit în discuția asupra locului rădăcinilor era acela că frecvențele naturale ale funcției de transfer a amplificatorului cu reacție  $A(s)$ , trebuie să se afle în semiplanul stâng al planului complex, pentru ca amplificatorul să fie stabil. Criteriul corespunzător pentru răspunsul staționar este acela că transmisia pe buclă  $af(j\omega)$  trebuie să satisfacă așa-numitul *criteriu al lui Nyquist* de stabilitate a amplificatorului. Acest criteriu va fi pus în evidență în axe semilogaritmice reprezentând logaritmul amplitudinii lui  $af(j\omega)$  în funcție de unghiul de fază al lui  $af(j\omega)$ .

Fig. 20.1, *a* reprezintă  $\log |af(j\omega)|$  în funcție de  $\angle af(j\omega)$  pentru un amplificator tipic. Ideea de bază a testului Nyquist este aceea că *locul lui  $a(j\omega)$  reprezentat în fig. 20.1, *a*, corespunde axei  $j\omega$  din planul  $s$ , în sensul că, un punct deplasându-se pe axa  $j\omega$  în sus (fig. 20.1, *b*) de la minus infinit la plus infinit, se va deplasa de-a lungul conturului cu linie plină din fig. 20.1, *a* în direcția indicată pentru creșterea lui  $\omega$ . Cele două reprezentări formează o transformare conformă: elementul de arie dreptunghiular dintr-un plan, se transformă în element de arie dreptunghiular, în celălalt, iar rotațiile de  $90^\circ$  dintr-un plan se transformă în rotații de  $90^\circ$  în celălalt plan. Din păcate, calea convențională de reprezentare a lui  $\log |a(j\omega)|$  în funcție de  $\angle a(j\omega)$  (v. fig. 20.1, *a*), este *inversată* față de aceea cerută pentru o transformare conformă exactă, deoarece unghiul este reprezentat către dreapta, nu către stînga. Din această cauză relațiile unghiulare din cele două plane sînt inversate:  $+90^\circ$  dintr-un plan corespund la  $-90^\circ$  din celălalt plan. De exemplu, cînd „ne deplasăm” în sus pe axa  $j\omega$  în planul  $s$ , în direcția crescătoare a lui  $\omega$ , semiplanul drept apare întotdeauna în partea noastră dreaptă. Făcînd aceeași „deplasare” pe  $\log |a(j\omega)|$  în funcție de  $\angle a(j\omega)$ , pentru valori crescătoare ale lui  $\omega$ , se observă că semiplanul drept din planul  $s$ , se transformă în porțiunea ce rămîne în *stînga* conturului în timpul deplasării. Cele două regiuni corespondente sînt hașurate în fig. 20.1, *a* și 20.1, *b*. Deci, semiplanul drept din planul  $s$  corespunde porțiunii din *interiorul* conturului lui  $af(j\omega)$  din fig. 20.1, *a*.*

Pe baza definiției originale,

$$A = \frac{a}{1 + af}$$

polii lui  $A(s)$  apar pentru  $af = -1$ , cum s-a văzut în § 19.2.1. Deci în reprezentarea lui  $\log |a(j\omega)|$  în funcție de  $\angle a(j\omega)$ , criteriul Nyquist cere, pentru a asigura stabilitatea lui  $A(s)$ , ca  $af = -1$  să apară în acea regiune a conturului care corespunde semiplanului stîng al planului  $s$ . În mod concret, punctele  $af = -1$ , adică  $|af| = 1$  și  $\angle af = \pm (2n + 1)180^\circ$ , trebuie

să se afle în partea exterioară a reprezentării. Deci, diagrama din fig. 20.1, *a* arată că amplificatorul este stabil pentru valoarea indicată a transmisiei pe buclă la frecvențe medii (v. problema P20.1).

Este de așteptat, din discuția locului rădăcinilor din § 19.1 și 19.2, că dacă  $a_0 f_0$  ar fi crescut, perechea complexă a lui  $A(s)$  ar fi forțată să

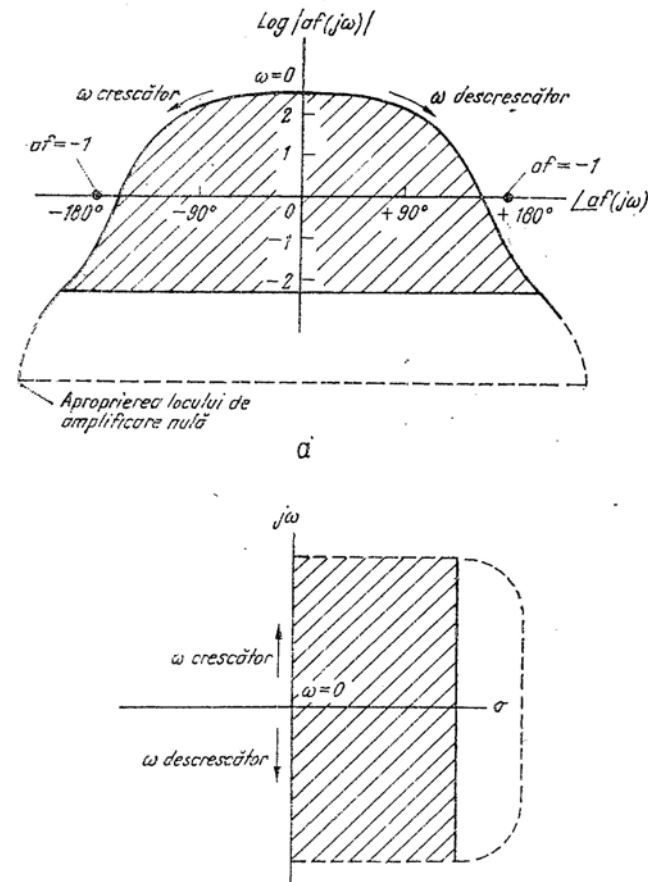


Fig. 20.1. Testul Nyquist:

*a* — amplitudinea logaritmică în funcție de fază pentru  $af(j\omega)$ ; *b* — planul  $s$ , arătînd conturul corespunzător.

treacă în semiplanul drept, iar amplificatorul ar deveni instabil. Fig. 20.1, *a* indică faptul că aceasta este situația reală. Creșterea lui  $a_0 f_0$  va mări pe  $|af(j\omega)|$  printr-un factor constant fără a schimba  $\angle af(j\omega)$ , astfel

că diagrama 20.1, *a* se mărește la scară fără a-și schimba forma, datorită reprezentării semilogaritmice. Este clar că această transformare va face ca diagrama să înconjoare punctul  $af = -1$ , indicând că amplificatorul devine instabil.

Pentru situații relativ simple, ca aceea din fig. 20.1, *a* în care faza lui  $af(j\omega)$  este o funcție monoton descrescătoare de  $\omega$ , se poate observa că testul Nyquist se reduce la următoarea afirmație simplă:

Un amplificator cu reacție va fi stabil dacă amplitudinea  $af(j\omega)$  este mai mică decât unitatea când faza lui  $af(j\omega)$  este  $\pm 180^\circ$ .

Acest test simplu asupra stabilității, poate fi aplicat direct caracteristicilor de frecvență (diagramele Bode) fără a trasa vreodată  $\log |a(j\omega)|$  funcție de  $|a(j\omega)|$ , ca în fig. 20.1, *a*. Pentru ilustrare, fig. 20.2 reprezintă diagramele Bode pentru același amplificator ca cel folosit în fig. 20.1, *a*. Deoarece  $|af(j\omega)|$  este mai mic decât 1 la  $\omega = 56$ , frecvența la care  $|af(j\omega)| = 1$ , se ajunge la concluzia că amplificatorul complet cu reacție va fi stabil<sup>1)</sup>.

### 20.1.2. Criterii pentru un răspuns acceptabil

În discuția despre locul rădăcinilor (§ 19.2.3) s-a scos în evidență că, deși polii și zerourile lui  $A(s)$  determină unic (până la o constantă) răspunsul staționar și tranzitoriu al amplificatorului, este necesar, pentru ușurința calculului, să se stabilească criterii mai simple pentru un răspuns acceptabil. Deci, pentru un răspuns tranzitoriu acceptabil, era necesar ca perechea complexă să se afle sub liniile radicale de  $45^\circ$  ( $Q$  mai mic decât 0,707), iar pentru răspuns în frecvență acceptabil era necesar ca perechea complexă să se afle sub liniile radicale de  $60^\circ$  ( $Q = 1$ ).

În discuția prezentă, referitoare la răspunsul staționar, apare o situație similară. Răspunsul staționar al lui  $a(j\omega)$  și  $f(j\omega)$  determină în mod unic răspunsul în frecvență staționar cu buclă închisă  $A(j\omega)$ . O tehnică grafică relativ simplă, pentru determinarea răspunsului în frecvență pe buclă închisă  $A(j\omega)$ , este de a reprezenta  $\log |a(j\omega)|$  funcție de  $|a(j\omega)|$  cu ajutorul așa-numitelor diagrame Nichols, date în formă simplificată în fig. 20.3. Aceste diagrame sînt construite reprezentînd conturile de amplitudine constantă și fază constantă ale funcției:

$$Af(j\omega) = \frac{af(j\omega)}{1 + af(j\omega)}$$

avînd pe abscisă faza lui  $af(j\omega)$  și pe ordonată amplitudinea lui  $af(j\omega)$ . Deci, cunoscînd  $af(j\omega)$ , se poate utiliza diagrama pentru a găsi  $Af(j\omega)$  și deci  $A(j\omega)$ .

<sup>1)</sup> Diagramele Bode cu fază nemonotonă sînt discutate în lucrarea [20.1]. (NA)

Din păcate, nu există o cale simplă pentru a determina răspunsul tranzitoriu cu buclă închisă, din  $af(j\omega)$ . Deci, sîntem constrînși să folosim criterii aproximative asupra lui  $af(j\omega)$  pentru a asigura atît un răspuns

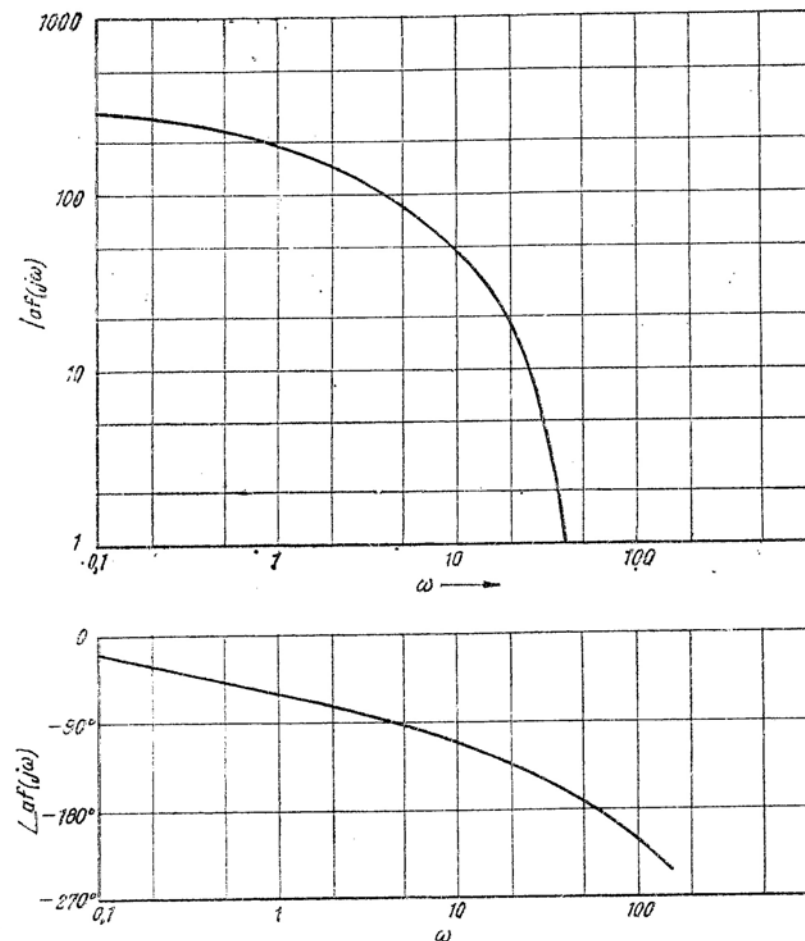


Fig. 20.2. Diagramele Bode pentru amplificatorul cu graficul din fig. 20.1, *a*.

staționar cît și un răspuns tranzitoriu acceptabile. Criteriul rezervei de amplificare și fază și criteriul valorii maxime a vîrfului în răspunsul staționar sînt două criterii folosite adesea.

Apropierea conturului al lui  $af(j\omega)$  din fig. 20.1, a, de  $af = -1$ , scoate în evidență în mod clar o măsură a gradului de stabilitate a amplificatorului cu reacție. „Rezerva de amplificare” și „rezerva de fază”, arătate atît

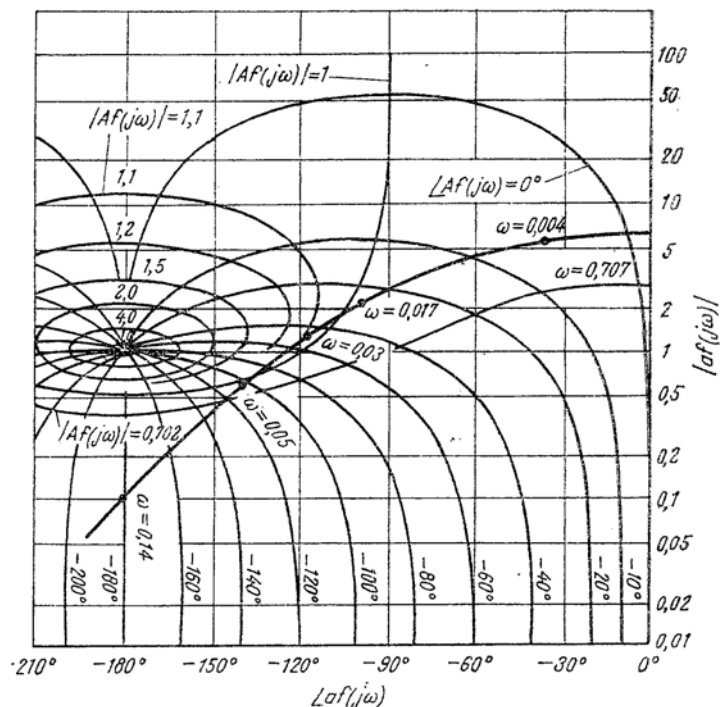


Fig. 20.3. Diagramele Nichols. Conturul îngroșat este pentru amplificatorul din § 20.2.

în graficul  $[\log |a(j\omega)|, |a(j\omega)|]$  cît și diagrama Bode în fig. 20.4, sînt criterii folosite adesea pentru a descrie această apropiere de  $af = -1$ . Rezerva de amplificare este definită ca  $1/|af(j\omega)|$  calculat la frecvența la care  $|af(j\omega)|$  este  $\pm 180^\circ$ ; deci, pentru acest circuit, rezerva de amplificare este egală cu 2. Rezerva de fază este  $180^\circ - |\angle af(j\omega)|$ , calculată la frecvența care  $|af(j\omega)| = 1$ , care în acest caz este  $45^\circ$ .

Pentru amplificatoarele practice, este indicat ca rezerva de amplificare să fie cel puțin 4, iar cea de fază cel puțin  $60^\circ$ .

Într-o anumită măsură, mărimea acestor rezerve este un indice al stabilității amplificatorului și un indice al supracreșterii în regim tranzitoriu.

Un alt criteriu utilizat adesea pentru a asigura un răspuns tranzitoriu acceptabil, este acela ca răspunsul amplificatorului cu buclă închisă  $A(j\omega)$ , să aibă un vîrf mic. Din fig. 19.3 și 19.4 rezultă că pentru o funcție

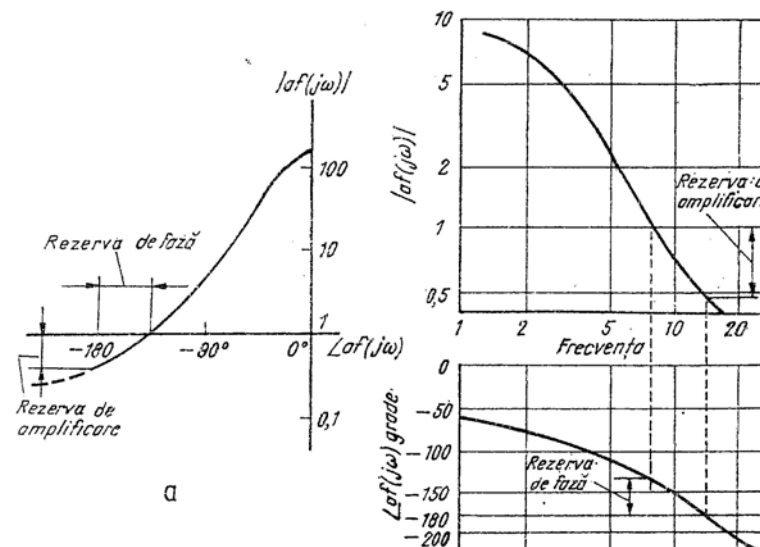


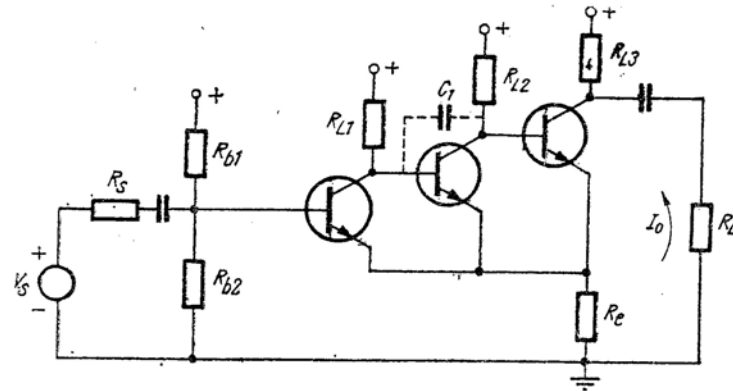
Fig. 20.4. Rezervele de amplificare și fază: a - amplitudinea funcției de fază; b - diagramele Bode.

simplă cu doi poli, acest criteriu este identic cu specificația asupra localizării polilor. Pentru funcții mai complicate, relația devine mai complicată. De asemenea, o specificație adesea utilizată pentru un răspuns tranzitoriu satisfăcător este aceea ca vîrful răspunsului în frecvență  $A(j\omega)$  să fie mai mic decît 1,1 din răspunsul la frecvențe medii. Un astfel de factor depinde, de obicei, de aplicația dorită. De exemplu, pentru un servosistem se utilizează adesea factori de ordinul 1,3 sau 1,5

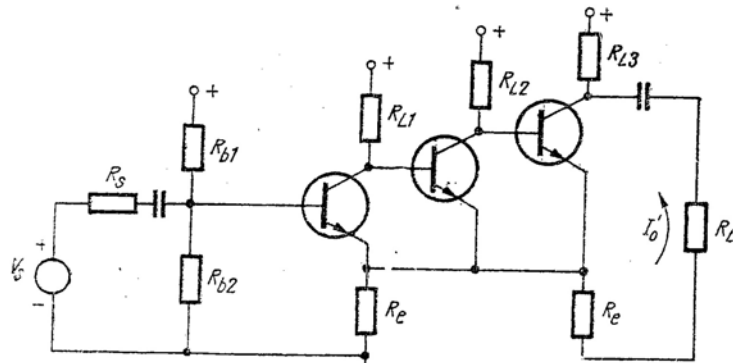
## 20.2. EXEMPLU DE CALCUL PE AXA $j$

### 20.2.1. Proiectarea inițială

Pentru a ilustra calculul unui amplificator cu reacție pe axa  $j$ , se va examina amplificatorul cu reacție buclă-bucă din fig. 20.5, a; s-a ales spre reexaminare amplificatorul din § 19.3.1 pentru a facilita comparația între proiectarea pe baza locului rădăcinilor și cea pe baza axei  $j$ .



a



b

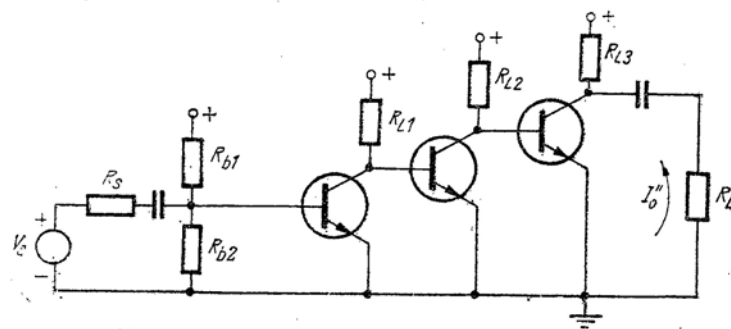


Fig. 20.5. Amplificator cu reacție buclă-bucă:  
a - schema electrică; b - circuitul a; c - circuitul a cu  $R_e = 0$ .

Proiectarea de față ar trebui efectuată pe baza răspunsului sinusoidal măsurat,  $a(j\omega) = I' / V_S$ , al circuitului a din fig. 20.5, d (derivat din fig. 20.5, a prin metodele discutate în §18.4). Din păcate nu cunoaștem încă valoarea rezistenței de reacție  $R_e$ . Așadar singura modalitate de abordare este să se presupună că  $R_e$  este de valoare suficient de mică astfel că răspunsul măsurat  $I_o'' / V_S$  al amplificatorului de bază, sursă și sarcină (fig. 20.5, c) va fi aproape identic cu răs-

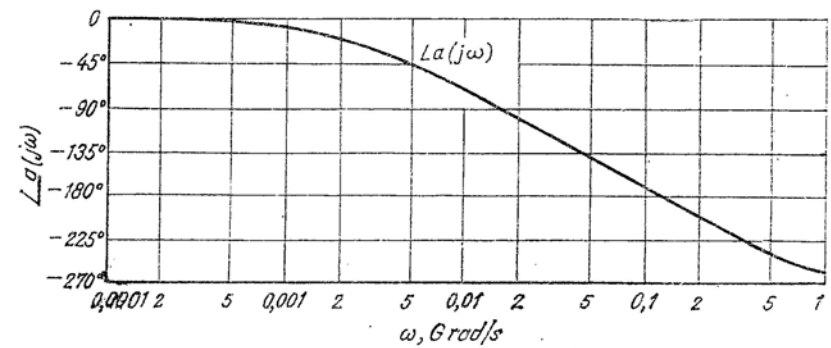
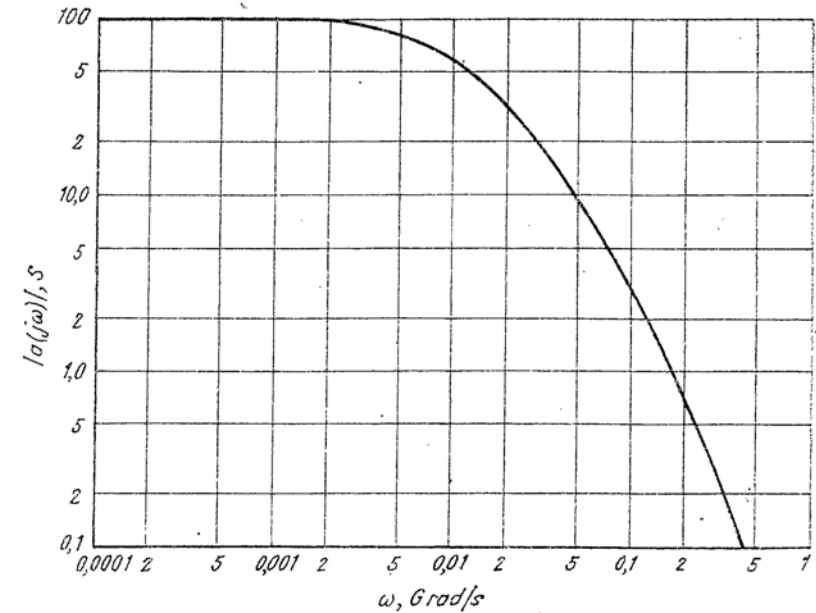


Fig. 20.6. Răspunsul măsurat pentru circuitul din fig. 20.5, c.



punsul circuitului a. Răspunsul măsurat  $I_o''/V_s$  (amplitudine și fază în funcție de frecvență) este prezentat în fig. 20.6<sup>1)</sup>. Deși nu se cunoaște valoarea lui  $R_e$ , graficele au fost denumite  $|a(j\omega)|$  și  $\angle a(j\omega)$ , în concordanță cu presupunerile de mai sus.

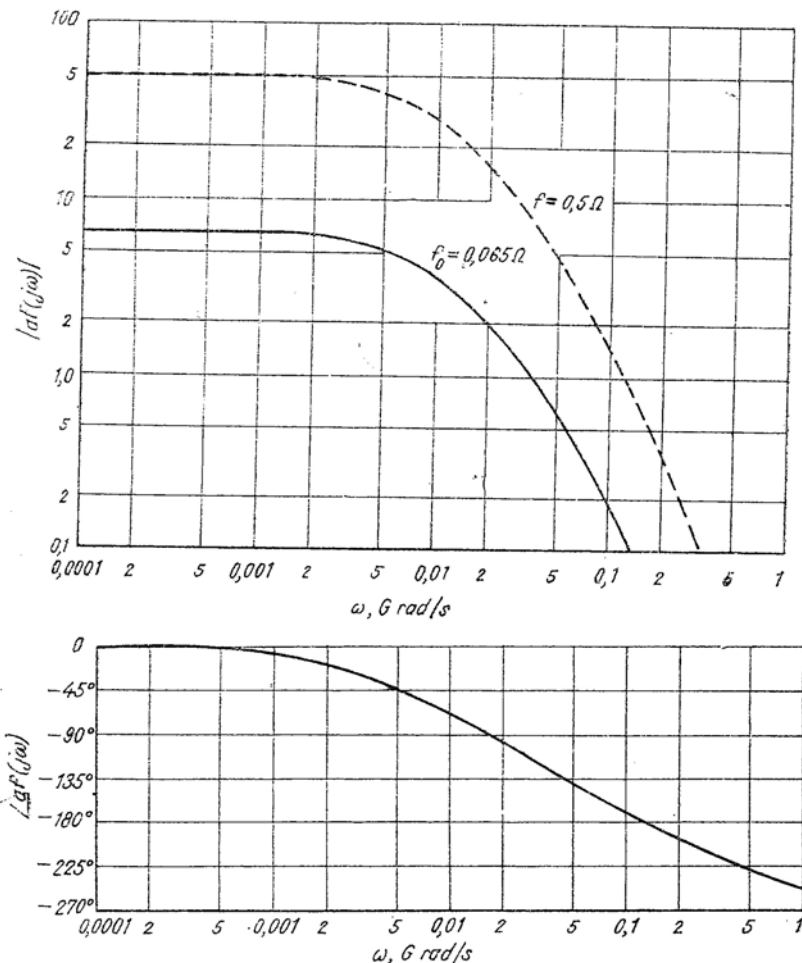


Fig. 20.7. Diagramele Bode ale lui  $af(j\omega)$  pentru amplificatorul din fig. 20.5.

<sup>1)</sup> Aici sintem puțin incorecți. Acesta nu este răspunsul măsurat care ar trebui să fie; el este mai degrabă cel calculat din polii lui  $A(s)$  pentru  $R_e = 0$  (v. tabelul 18.7), informație pe care nu o avem „la dispoziție” în conformitate cu regulile de bază. Se dă această libertate, pentru a facilita comparația celor două soluții (NA).

Se calculează mai întâi valoarea reacției la frecvențe medii, care poate fi aplicată îndeplinind următoarele condiții:

$$\text{rezerva de amplificare} = 4;$$

$$\text{rezerva de fază} = 60^\circ.$$

Pentru a face un control asupra stabilității, de amplificare, ș.a.m.d., este necesar să avem o reprezentare a lui  $af(j\omega)$ . În acest amplificator  $f(j\omega) = R_e$ ; deci  $|af(j\omega)|$  este identic cu  $|a(j\omega)|$  cu excepția unui factor constant, iar  $\angle af(j\omega)$  este identic cu  $\angle a(j\omega)$ . Deci, în acest caz simplu se poate obține  $af(j\omega)$  fără a face o nouă reprezentare grafică; tot ceea ce mai rămâne de făcut este să se realizeze o nouă etalonare a axei verticale pentru graficul amplitudinii. Totuși, pentru a reduce gradul de confuzie în acest exemplu inițial, se reprezintă  $af(j\omega)$  într-o figură separată (fig. 20.7).

Curba continuă din fig. 20.7 este diagrama Bode, desenată pentru a obține o rezervă de fază de  $60^\circ$ : la frecvența la care  $|af(j\omega)| = 1$ ,  $\angle af(j\omega) = -120^\circ$ . Pentru a reprezenta grafic amplitudinii trebuie mai întâi reprezentată grafic faza și apoi valoarea lui  $\alpha_o f_o$  necesară pentru a obține rezerva de fază dorită. Din reprezentarea fazei (fig. 20.7) se observă că atunci cînd  $\angle af(j\omega)$ , aici egal cu  $\angle a(j\omega)$ , este  $-120^\circ$ ,  $\omega = 0,035$  Grad/s. Deci trebuie ca, la această frecvență,  $|af(j\omega)|$  să fie unitar. Din fig. 20.6, pentru  $\omega = 0,035$ , se obține:

$$|a(j\omega)| = 15,5.$$

Pentru a îndeplini condițiile referitoare la rezerva de fază,

$$15,5 f_o = 1,$$

$$f_o = R_e = \frac{1}{15,5} = 0,065 \text{ Hz},$$

iar transmisia pe buclă în bandă poate fi:

$$\alpha_o f_o = (100)(0,065) = 6,5.$$

Aceste calcule au fost folosite drept bază pentru graficul amplitudinii din fig. 20.7. Aprofundarea exemplului va arăta că pentru acest amplificator, rezerva de fază constituie criteriul de control; proiectarea corespunzătoare, bazată pe rezerva de amplitudine, va fi lăsată pe seama problemelor P 20.2 și P 20.3.

Fig. 20.8 reprezintă răspunsul  $A(j\omega)$  cu bucla închisă, obținut fie prin calcul punct cu punct din fig. 20.7 și folosind relația de bază a reacției

$$A(j\omega) = \frac{a(j\omega)}{1 + af(j\omega)}, \quad (20.1)$$

fie reprezentînd  $af(j\omega)$  pe o diagramă Nichols. Pentru a facilita calculele ulterioare, conturul lui  $af(j\omega)$  a fost adăugat unei diagrame Nichols în fig. 20.3. Se observă că valorile citite de pe



șablon corespunde lui  $|af(j\omega)|$  și deci trebuie împărțite la  $R_e = 0,065 \Omega$  pentru a obține  $|f(j\omega)/V_s|$ . Datorită rezervei de fază de valoare mare, răspunsul global este plat. Graficul lui  $A(j\omega)$  pentru  $R_e = 0,065 \Omega$  corespunde destul de bine cu informația dată în § 19.3.1 și tabelul 19.7.

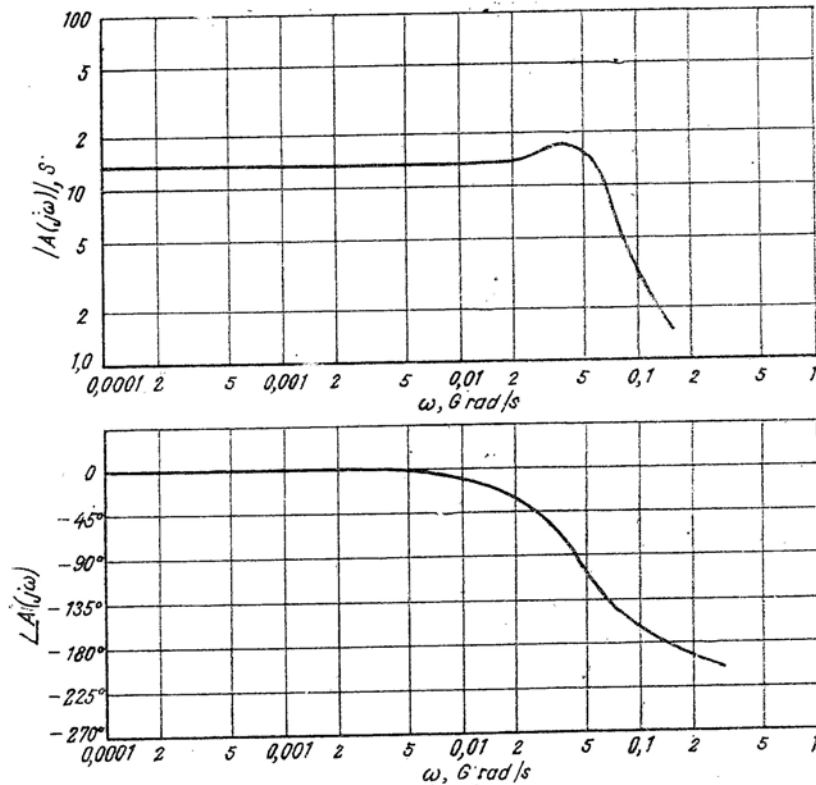


Fig. 20.8. Răspunsul  $A(j\omega)$  cu bucla închisă pentru amplificatorul din fig. 20.5,  $R_e = 0,065 \Omega$ .

O estimare rapidă a benzii, cu bucla închisă, se poate face fără a reprezenta efectiv pe  $A(j\omega)$ . Se observă că ecuația 20.1 poate fi scrisă:

$$A(j\omega) = \frac{1}{f(j\omega)} \frac{af(j\omega)}{1 + af(j\omega)}. \quad (20.2)$$

În dreptul frecvenței rezervei de fază, se știe, prin definiție că pentru o rezervă de fază de  $60^\circ$ :

$$af(j\omega) = 1 \angle -120^\circ.$$

Substituind în relația (20.2) și luând valorile absolute, se obține:

$$|A(j\omega)| = \left| \frac{1}{f(j\omega)} \left( \frac{1 \angle -120^\circ}{1 + 1 \angle -120^\circ} \right) \right| = \left| \frac{1}{f(j\omega)} \right|. \quad (20.3)$$

Deci, pentru o reacție independentă de frecvență și o rezervă de fază de  $60^\circ$ , amplificarea pe buclă închisă  $A(j\omega)$  este relativ constantă până la frecvența rezervei de fază. În exemplul acesta, se știe deci, fără a reprezenta  $A(j\omega)$  că frecvența superioară a amplificatorului complet este mai mare decât  $0,035$  Grad/s, fiind cam de 5 ori mai mare decât a amplificatorului de bază.

În continuare, se impune creșterea reacției cu un ordin de mărime pentru a îndeplini specificația originală asupra desensibilizării (concret  $a_0 f_0 = 50$ ). Deoarece  $a_0 = 100$  este necesar ca:

$$R_e = f_0 = 0,5 \Omega.$$

Deoarece reacția este pur rezistivă, creșterea transmisiei pe buclă, în bandă, la valoarea 50, translatează vertical curba amplitudinii, fără a-i schimba forma (v. fig. 20.7). Testul Nyquist asupra acestei diagrame noi, indică faptul că amplificatorul este aproape de limita de instabilitate, deoarece  $|af(j\omega)|$  este numai cu puțin mai mic decât unitatea pentru  $\angle af(j\omega) = -180^\circ$  (acest rezultat concordă cu informația din tabelul 19.7).

Graficele lui  $af(j\omega)$  din fig. 20.7 oferă o nouă demonstrație asupra faptului că poli foarte mari ai lui  $af(s)$  nu influențează concret calculele asupra reacției. Acești poli au influență asupra formei lui  $af(j\omega)$ , la frecvențe foarte înalte. Totuși, într-un amplificator cu reacție cu mai multe etaje, poli inferiori sunt factorii dominanți în funcția de transfer, în domeniul critic de frecvență în care  $|af|$  este aproximativ unitar și  $\angle af$  este aproximativ  $180^\circ$ . Poli foarte înalți, pe de altă parte, vor avea un efect scăzut în acest domeniu. Aceasta este o nouă justificare a neglijării polilor foarte înalți în calculul locului rădăcinilor, din cap. 19.

### 20.2.2. Compensarea prin reducerea deplasării fazei la înaltă frecvență

Din fig. 20.7 reiese clar că dacă amplificatorul din fig. 20.5 are  $R_e$  egală cu  $0,5 \Omega$ , necesară pentru a îndeplini condiția, rezervele de amplificare și fază vor fi inadecvate (v. problema P.20.4). Deci, este de așteptat apariția unui vîrf pronunțat în răspunsul cu buclă închisă  $A(j\omega)$ , în vecinătatea frecvenței critice unde  $|af| \approx 1$  și  $\angle af \approx -180^\circ$ , adică la  $\omega = 0,14$  Grad/s (v. problema P.20.5 și P.20.6). Așadar, pentru a îndeplini condițiile și a avea un răspuns plat rezonabil, trebuie ca într-un anumit fel să fie aplicată o compensare fie amplificatorului de bază, fie rețelei de reacție.

Ideea esențială a compensării, formulată în graficele lui  $af(j\omega)$  funcție de  $\omega$ , este de a remedia graficele astfel încît  $|af|$  să fie apreciabil mai mic decât unitatea acolo unde  $\angle af = \pm 180^\circ$ . Totuși, pentru circuite RLC simple, amplitudinea și faza sînt strîns legate, astfel că nu pot fi controlate independent. Pentru a ilustra această problemă, se încearcă să se compenseze amplificatorul din fig. 20.5, a prin reducerea deplasării fazei lui  $af(j\omega)$  în dreptul frecvenței critice,  $\omega \approx 0,14$  Grad/s, unde faza este  $-180^\circ$ . O cale de a realiza această compensare este de a adăuga o mică inductanță în serie cu  $R_e$ , pentru a introduce o deplasare de fază sub un unghi pozitiv, pentru funcția  $f(j\omega)$ .

Reamintim din § 19.3.1 că adăugînd o inductanță,  $f$  devine:

$$f(j\omega) = \frac{V_t}{I_o'} = R_e + j\omega L. \quad (20.4)$$

Deci  $|f(j\omega)|$  crește odată cu frecvența, ajungând eventual la  $+90^\circ$ , cum este ilustrat în fig. 20.9 (graficul normalizat al relației 20.4). Această deplasare pozitivă de fază va avea un efect bun asupra diagramelor Bode deoarece acum, cînd se formează  $|af(j\omega)|$  (prin adăugarea unghiului din fig. 20.9 la fig. 20.6) se poate reduce deplasarea de fază în vecinătatea frecvenței critice

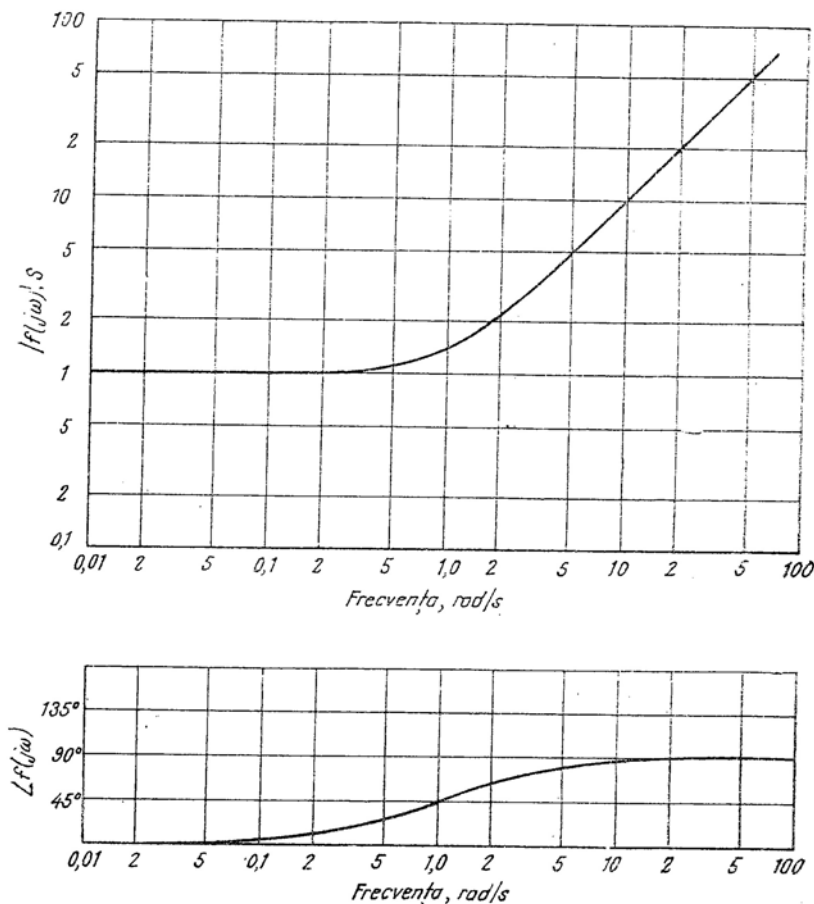


Fig. 20.9. Diagrama normalizată a lui  $f(j\omega) = R_0 + j\omega L$ , presupunînd  $R_0 = 1 \Omega$ ,  $L = 1 \text{ H}$ .

$\omega \approx 0,14 \text{ grad/s}$ . Totuși, problema nu este chiar atît de simplă. Se observă din fig. 20.9 că amplitudinea lui  $f(j\omega)$  crește și ea cu frecvența și aceasta este un dezavantaj deosebit. La  $\omega = 0,14$  amplificarea este, oricum, prea mare; ceea ce este de dorit, este să se reducă  $af(j\omega)$  în acest domeniu. Deci, compensarea rețelei de acest tip, deoarece nu oferă un control independent al

amplitudinii și fazei, tinde să îmbunătățească faza  $|af(j\omega)|$ , dar înrăutățește  $|af(j\omega)|$  și viceversa. Pe această bază putem afirma că o reacție prea mare poate fi la fel de dăunătoare ca una prea mică, astfel încît rețelele de compensare trebuie proiectate cu grijă.

O proprietate a rețelelor  $RL$  și  $RC$  este foarte importantă în proiectarea rețelelor de compensare: după cum se vede din reprezentarea normalizată din fig. 20.9, faza acestui circuit  $RL$

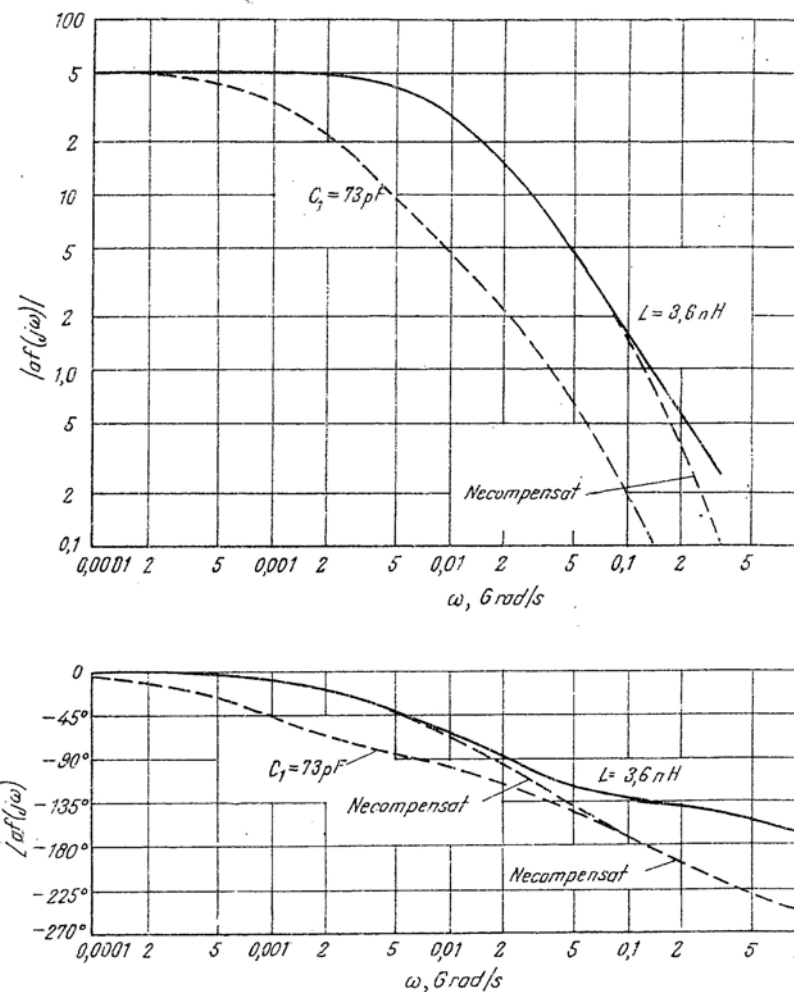


Fig. 20.10. Diagramele Bode pentru două tipuri de compensare. În fiecare caz  $f_0 = 0,5 \Omega$ .

se modifică cu 45°, pentru o variație a lui  $\omega$  de la zero la unu în timp ce amplitudinea crește numai de la 1 la 1,41. Se poate profita de acest fapt, alegând  $L$  astfel încât această deplasare de 45° a fazei să apară în dreptul frecvenței  $\omega = 0,14$  Grad/s, așa încât creșterea nedorită a amplitudinii va fi mică în vecinătatea frecvenței critice. Din relația (20.4) rezultă că:

$$L = \frac{R_e}{\omega} = \frac{0,5}{0,14 \times 10^3} = 3,6 \times 10^{-3} \mu\text{H}.$$

Diagrama Bode pentru această valoare a lui  $L$  este dată în fig. 20.10 (linia neîntreruptă). Aceasta poate fi extrasă direct din fig. 20.6 și 20.9 prin înmulțirea scării de frecvență în fig. 20.9 (de exemplu translatînd scara logaritmică) prin factorul 0,14 și apoi adunînd amplitudinile logaritmice ale celor două grafice de amplitudine și ale fazelor (se observă că s-a presupus în mod tacit, că răspunsul  $a(j\omega)$  al circuitului  $\alpha$  nu se schimbă ca urmare a efectului de încărcare inductivă serie la intrare și ieșire). După cum s-a prevăzut mai sus, inductanța a cauzat o creștere minoră în amplitudinea amplificării la frecvența critică, dar a realizat o reducere importantă a deplasării fazei. Concret, compensarea a crescut rezerva de fază de la 6° la 45°.

Cu această rezervă de fază, răspunsul  $|A(j\omega)|$  al amplificatorului cu bucla închisă va avea o cocoasă destul de mică, iar pe baza relației (20.3), frecvența superioară la 3 dB va fi ceva mai mare decît 0,14 Grad/s, ceea ce îmbunătățește de 5 ori performanța variantei necompensate. Aceste rezultate sînt în concordanță cu cele din § 19.3.1 (v. problema P 20.7).

### 20.2.3. Compensarea prin adăugarea unui condensator amplificatorului de bază

A doua metodă de compensare constă în adăugarea unui condensator de valoare mare, amplificatorului de bază, așa cum se indică cu linie punctată în fig. 20.5,  $\alpha$ . Această modificare va reduce  $|af(j\omega)|$  în jurul frecvenței critice,  $\omega = 0,14$  Grad/s, fără o creștere nedorită a deplasării fazei.

Să simplificăm problema la extrem, presupunînd în mod arbitrar că  $af$  este:

$$af(s) = \frac{a_0 f_0}{(s+1)(s+1)(s+1)} \quad (20.5)$$

și să presupunem că adăugarea lui  $C_1$  schimbă funcția de transfer la:

$$af(s) = \frac{a_0 f_0}{(s+1)(s+1)(R_T C_1 s+1)} \quad (20.6)$$

În mod concret se presupune că adăugarea lui  $C_1$  deplasează un pol în jos în domeniul frecvenței, dar lasă neschimbați ceilalți doi poli ai circuitului  $\alpha$ . Diagramele Bode pentru relația 20.5 presupunînd că  $a_0 f_0 = 10$ , sînt reprezentate de curba cu linie continuă din fig. 20.11. Pentru această valoare a transmisiei pe buclă la frecvențe medii, graficul arată că amplificatorul este instabil (v. problema P.20.8).

Pentru a compensa amplificatorul, se adaugă condensatorul  $C_1$ , producînd deci un pol dominant la  $s_c = -1/R_T C_1$  conform cu relația (20.6). Diagramele Bode pentru două valori posibile ale lui  $C_1$  sînt desenate cu linie întreruptă în fig. 20.11. Pentru  $s_c = -0,1$ , amplificatorul este stabil și are o rezervă de amplificare de 2,5. Pentru  $s_c = 0,01$ , rezerva de amplificare a crescut la valoarea 20.

Alegerea lui  $C_1$  este simplă în acest caz. Se reamintește mai întîi că producerea unui pol dominant prin adăugarea unui condensator mare circuitului  $\alpha$  are un dezavantaj important. Ea îngustează banda circuitului  $\alpha$  și deci reduce banda în care acționează efectiv desensibilizarea întregului amplificator. Este deci de dorit să se adauge o capacitate cît mai mică

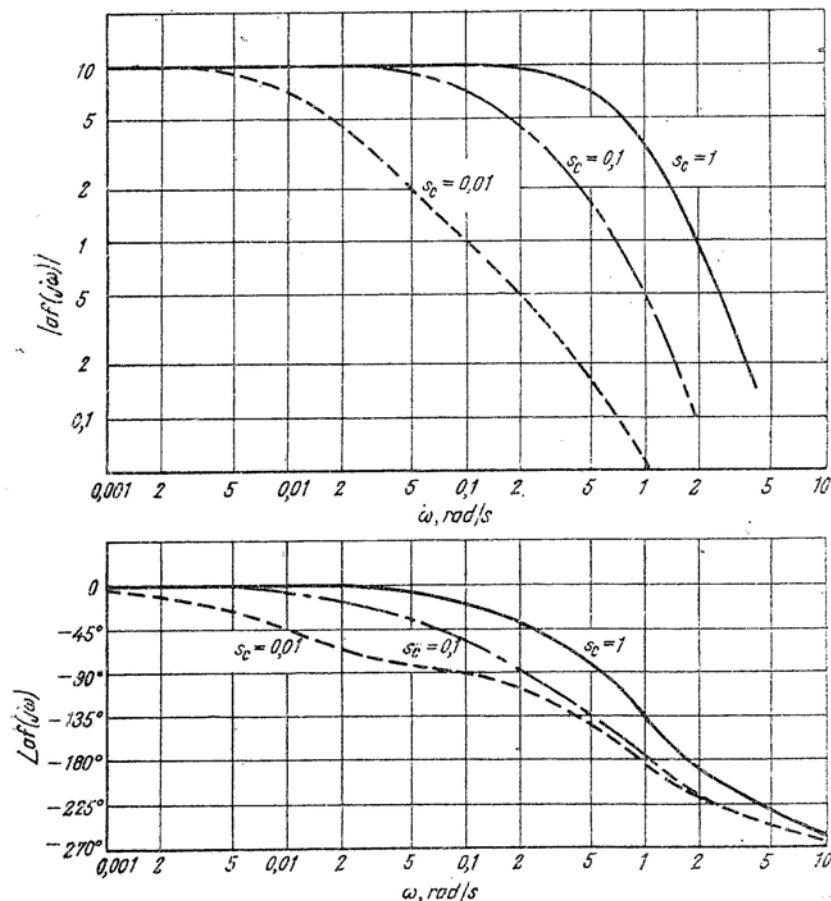


Fig. 20.11. Diagrama Bode pentru relațiile (20.5) și (20.6).

posibil. Apoi se observă că în multe cazuri deplasarea de fază dată de polul dominant, la frecvența critică, este de  $-90^\circ$ , deoarece, de obicei este necesar ca polul dominant să fie cu cel puțin un ordin de mărime sub frecvența critică. Presupunem că se impune o rezervă de amplificare de 4. Expresia  $af(j\omega)$  compensată va avea o deplasare de fază de  $-180^\circ$  la  $\omega = 1$ :  $-90^\circ$  de la polul dominant și  $-45^\circ$  de la fiecare din cei doi poli,  $s_a$  și  $s_b$ . Se vede din diagramele Bode originale (linia continuă în fig. 20.11), că  $|af(j\omega)|$  pentru cei doi poli înalți

va fi egală numai cu 5 la  $\omega = 1$ , astfel încât pentru a realiza o rezervă de amplificarea de 4, este necesar să se descrească de 20 de ori amplitudinea pentru  $\omega = 1$ . Amplitudinea asimptotică a funcției cu un singur pol scade liniar cu frecvența: aceasta înseamnă că punând  $s_c = -1/20$  sau  $R_T C_1 = 20$ , vom obține rezerva de amplificarea cerută (v. problema P.20.9).

Revenim la amplificatorul cu reacție cu tranzistoare (fig. 20.5, a). În § 19.2.5 s-a sugerat drept loc adecvat pentru plasarea unui condensator în circuitul a, între colectorul și baza tranzistorului al doilea (fig. 20.5, a), deoarece pentru acest amplificator, al doilea tranzistor are constantele de timp în circuit deschis cele mai mari (v. problema P.20.10). De asemenea, se știe din § 19.2.5, că dacă  $C_1$  este suficient de mare, el produce un pol dominant în expresia lui  $a(s)$  de valoare:

$$s_{jos} \approx -\frac{1}{R_T C_1}, \quad (20.7)$$

unde  $R_T$  este rezistența în circuit deschis văzută de  $C_1$ . Problema care se pune este aceea că ceilalți cinci poli ai lui  $a(s)$  se vor deplasa cu siguranță, atunci cînd se adaugă  $C_1$ , după cum s-a văzut în § 19.2.5. Pentru răspunsul pe axa  $j$  aceasta înseamnă că diagramele Bode ale lui  $af(j\omega)$  se vor modifica într-o manieră mult mai complicată decît aceea produsă de mișcarea unui singur pol. În acest caz este foarte utilă o metodă experimentală bazată pe încercări repetate, în care diagramele Bode oferă prima valoare pentru  $C_1$ .

Pentru a ilustra, se va determina o valoare aproximativă a lui  $C_1$ , presupunînd că se impune o desensibilizare de 50 ( $R_e = 0,5 \Omega$ ) și o rezervă de fază de  $45^\circ$ . Condensatorul s-a adăugat etajului care are constantele de timp în circuit deschis cele mai mari, pentru a ne asigura că polul care se deplasează în jos este cel inferior, așa cum s-a explicat în § 19.2.5. Deci, într-o primă aproximație, se poate extrage efectul polului cel mai mic în  $a(j\omega)$  necompensat și apoi să-l adunăm înapoi într-un domeniu de frecvență mult mai joasă. Apoi se va determina localizarea polului cel mai mic prin determinarea frecvenței de 0,707 din diagrama pentru  $af(j\omega)$  necompensat. Din fig. 20.10 (sau fig. 20.7),  $\omega_x$  este aproximativ 0,007 Grad/s. Deci se presupune că polul cel mai mic este  $s = -0,007 \text{ ns}^{-1}$  și se scade din funcția  $af(j\omega)$ , funcția cu un singur pol,

$$P(j\omega) = \frac{1}{1 + j\omega/0,007}.$$

Funcția rezultată  $a'(j\omega)$  este trasată în fig. 20.12 (v. problema P 20.11).

Se observă că în formarea lui  $a'(j\omega)$  se face aproximația *total nejustificată* că ceilalți cinci poli nu se deplasează atunci cînd se adaugă  $C_1$ .

Pentru o rezervă de fază de  $45^\circ$ , amplificatorul compensat trebuie să aibă  $|af(j\omega)| = -135^\circ$  cînd  $|af(j\omega)|$  este unitar. Conform celor explicate mai sus, ne putem aștepta la o contribuție de  $-90^\circ$ , din partea polului dominant. Deci, frecvența critică este în acel punct, de pe fig. 20.12, în care faza este  $-45^\circ$ . Aceasta apare la  $\omega = 0,037 \text{ grad/s}$ . La această frecvență amplitudinea este egală cu 39 (fig. 20.12) astfel că  $C_1$  trebuie astfel ales încît polul dominant să micșorează pe  $|af|$  de 39 de ori în acest punct. Deci, polul dominant trebuie să fie:

$$s_{jos} = \frac{-0,037}{30} = -0,95 \times 10^{-3} \text{ ns}^{-1}.$$

Pentru acest amplificator, rezistența  $R_T$  văzută de condensatorul  $C_1$  (fig. 20.5, a) rezultă a fi de 14,3 k $\Omega$  (v. problema P.16.16). Așadar, din relația (20.7),

$$C_1 = \frac{1}{R_T |s_{jos}|} = \frac{1}{14,3 \times 0,95 \times 10^{-3}} = 73 \text{ pF}.$$

Diagramele Bode pentru  $af(j\omega)$  compensat au fost adăugate pe fig. 20.10, pentru a ușura comparația între cele două soluții de compensare. S-a obținut, într-adevăr, rezerva de fază de  $45^\circ$ , prin adăugarea capacității de 73 pF, dar se observă că, procedînd astfel, banda circuitului a este micșorată substanțial! Deci, desensibilizarea va fi efectivă într-o bandă mai mică decît în celelalte cazuri de proiectare.

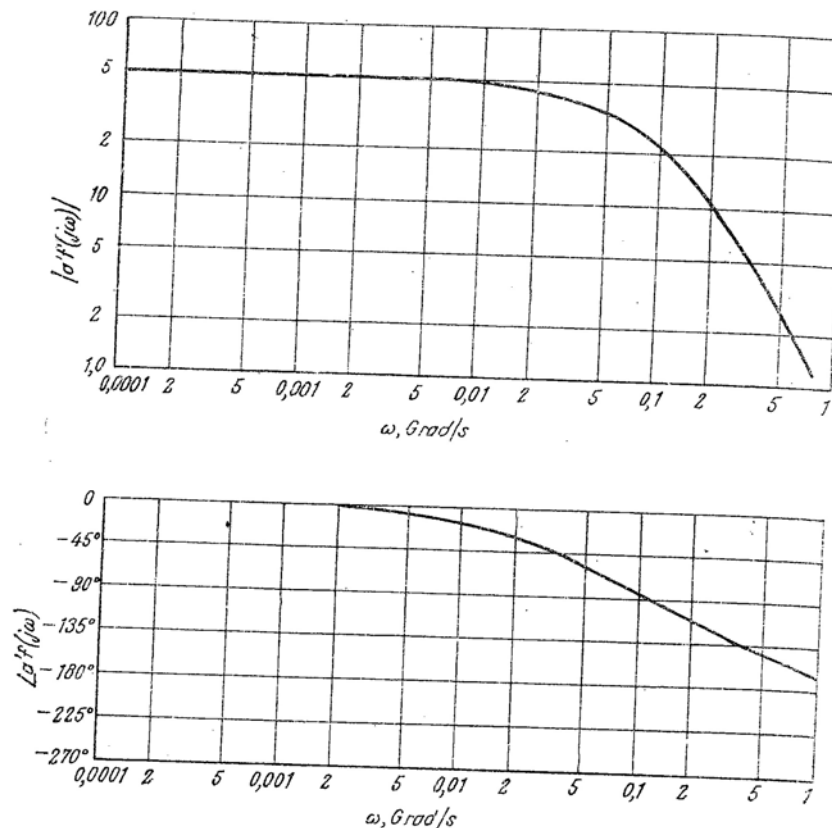


Fig. 20.12. Diagrama Bode aproximativă pentru amplificatorul din fig. 20.5 cu polul inferior depiașat grafic.

Răspunsul amplificatorului cu bucla închisă avînd pe  $C_1$  adăugat, va fi similar aceluia al amplificatorului necompensat cu  $R_e = 0,065 \Omega$ , după cum se poate verifica prin compararea diagramelor Bode pentru aceste proiectări (fig. 20.10 și 20.7). În ambele cazuri proiectarea s-a făcut pentru  $A_o = 2 \text{ S}$  și în vecinătatea frecvenței critice graficele sînt aproape identice, astfel încît ne putem aștepta la răspunsuri pe buclă închisă aproape identice. Totuși, deoarece  $a_{fo}$  este mult mai mare în amplificatorul compensat, se obține o desensibilizare în bandă mai bună, în acest caz.

În tabelul 20.1 sînt date valorile corecte ale parametrilor din cadrul celor trei proiectări. Se observă, în particular, că pentru proiectarea lui  $C_1$  în paralel cu amplificatorul de bază, banda lui  $af(j\omega)$  compensat și banda pentru amplificarea globală cu bucla închisă,  $A(j\omega)$ , sînt substanțial mai mici decît pentru proiectarea care introduce un zero în rețeaua de reacție (v. problema P.20.12),

Tabelul 20.1

Comparații între cele trei amplificatoare discutate în § 20.2

Proiectul	Desensibilizarea	Frecvența limită a lui $A(j\omega)$ (cu bucla închisă)	Frecvența limită a lui $af(j\omega)$
Necompensat $R_e = 0,065 \Omega$	6,5	0,058 Grad/s	0,007 Grad/s
Compensat $R_e = 0,5 \Omega$ $L = 3,6 \text{ nH}$ $R_e = 0,5 \Omega$ $C_1 = 73 \text{ pF}$	50	0,3	0,007
	50	0,058	0,00095

### 20.3. INSTABILITATEA LA FRECVENȚE JOASE

Ca un ultim exemplu asupra calculelor stabilității, se va examina problema instabilității la joasă frecvență într-un amplificator cu reacție simplu cu trei etaje cu cuplaj  $RC$  (fig.20.13) (trebuie recunoscut faptul că circuitul cu cuplaj direct din fig.19.16 este preferabil acestui circuit în multe privințe). Acest circuit simplu are trei poli de joasă frecvență,

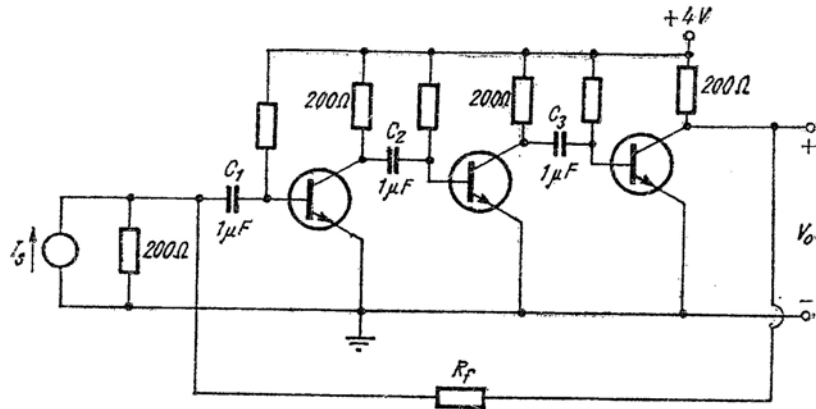


Fig. 20.13. Amplificator cu trei etaje cu cuplaj  $RC$  (polarizarea este simplificată la maximum).

fiecare din ei depinzînd de o capacitate. Este deci foarte posibil ca acești trei poli să fie coincidenți, în care caz funcția de transfer la joasă frecvență  $a$ , ar putea fi (în microfarazi, kilohmi, milisecunde) :

$$a(s) = \frac{V'_o}{I_s} = \frac{a_o s^3}{(s+1)(s+1)(s+1)} \quad (20.9)$$

(v. problema P20.13). Amplitudinea și faza funcției de transfer  $a(j\omega)$  (măsurate sau calculate), presupunînd  $a_o = -1000 \text{ k}\Omega$ , este reprezentată în fig. 20.14. Pentru acest tip de reacție,  $a_o$  este întotdeauna negativ; graficul îl arată pe  $a(j\omega)$  apropiindu-se de  $-180^\circ$  către frecvențe medii.

Să presupunem că dorim să proiectăm amplificatorul cu reacție astfel încît să aibă o desensibilizare în bandă de aproximativ 100. Atunci  $a_o f_o = 100$ , așa încît :

$$f_o = -\frac{1}{R_f} = \frac{100}{-1000} = -0,1 \text{ mS};$$

$$R_f = 10 \text{ k}\Omega.$$

Chiar dacă nu mai interesează problemele stabilității la înaltă frecvență pentru această valoare a reacției, diagramele Bode ale lui  $af(j\omega)$  la joasă frecvență (fig. 20.15) arată că amplificatorul este complet instabil<sup>1)</sup> (v. problema P.20.14).

Deoarece circuitele echivalente la semnal mic la frecvență joasă ale amplificatorului cu reacție sînt atît de simple, comparativ cu circuitele la înaltă frecvență, și deoarece, la joasă frecvență avem acces direct la condensatoare, se obișnuiește ca, în cele mai multe cazuri, compensarea să se facă prin schimbarea capacităților, în loc să se introducă noi elemente de compensare. În acest caz se face compensarea prin creșterea a două dintre capacități, deci deplasînd doi dintre poli, mai jos în domeniul frecvenței și păstrînd al treilea pol  $s = -1$  drept pol dominant de joasă frecvență. O diagramă Bode, compensată corespunzător, care dă o rezervă de amplificare de 4, a fost adăugată pe fig. 20.15.

<sup>1)</sup> Se observă că făcînd abstracție de semnul plus sau minus al lui  $a_o$  și  $f_o$ , sau dacă se analizează circuitul de înaltă frecvență sau joasă frecvență,  $a_o f_o$  trebuie să fie pozitivă pentru o reacție negativă, pentru frecvențe din bandă, așa cum s-a mai definit. Deci, prin definiție, pentru a avea reacție negativă  $|a_o f_o| = 0$ .

Procedeul de determinare a capacităților pentru a da acest grafic este identic, în principiu, cu cel discutat în paragrafele precedente și nu va mai fi detaliat aici (v. problema P.20.15).

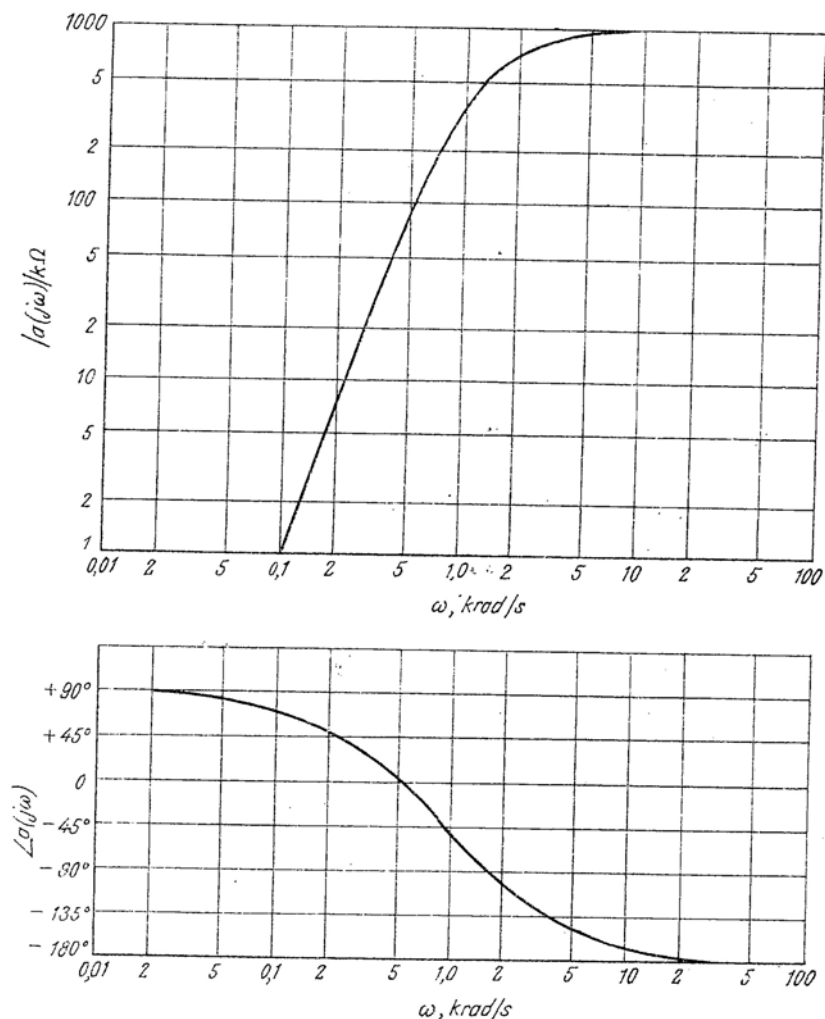


Fig. 20.14. Răspunsul circuitului  $\sigma$  la joasă frecvență al amplificatorului din fig. 20.13.

Oricare dintre amplificatoarele cu reacție cu trei etaje cu cuplaj direct, discutate în capitolul acesta și în cele anterioare, prezintă problema stabilității. Elementele de stocare a energiei sînt condensatorul de cuplaj de la intrare, condensatorul de șuntare și rețeaua de reacție (v. de exemplu fig. 19.16) și oricare alt condensator de cuplaj sau de șuntare din circuit. Aceste probleme de stabilitate pot fi întotdeauna rezolvate prin schimbarea anumitor capacități (v. problema P.20.16).

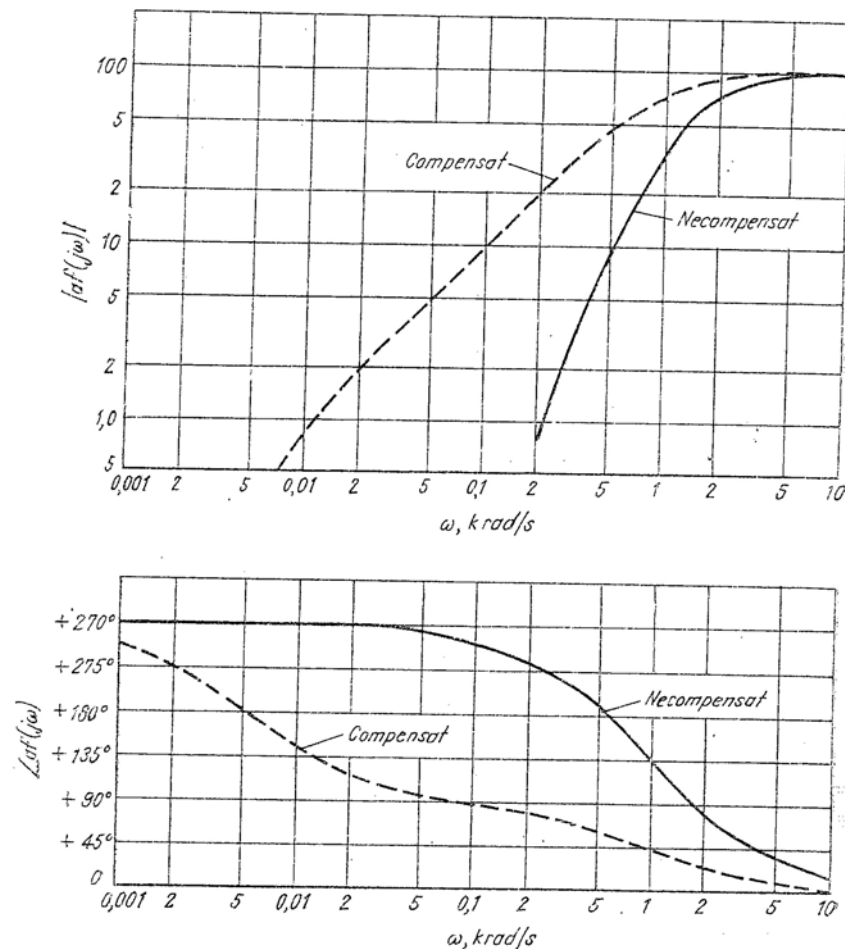


Fig. 20.15. Diagramele Bode pentru amplificatorul în fig. 20.13.

## BIBLIOGRAFIE

[20.1]. Thornton, R. D., ș. a. *Multistage transistor circuits*. New York, Wiley, 1965.

## PROBLEME

**P 20.1.** Pentru a ilustra diferența dintre fig. 20.1 și testul Nyquist convențional, se obișnuiește să se deseneze  $\log |a(j\omega)|$  în funcție de  $af(j\omega)$  în coordonate obișnuite, pentru a forma diagrama polară Nyquist, obținând valorile din fig. 20.1 și 20.2. Indicați regiunea acestei reprezentări, corespunzătoare semiplanului drept. Este amplificatorul stabil?

**P 20.2.** Refaceți proiectarea din § 20.2.1 pentru a determina valoarea transmisiei pe buclă care poate fi utilizată fără a depăși rezerva de amplificare de 4. Rezolvați problema formând o nouă diagramă Bode din fig. 20.6 (v. pag. 241). Să se spună dacă rezerva de amplificare și cea de fază controlează efectiv proiectarea.

**P 20.3.** Să se găsească direct, din 20.6, fără a reprezenta din nou valorile lui  $f_o$  și  $a_{of_o}$  pentru ca amplificatorul din § 20.2.1 să aibă o rezervă de amplificare egală cu 4 (v. pag. 241).

**P 20.4.** Să se calculeze din fig. 20.6 rezervele de amplificare și fază ale amplificatorului din fig. 20.5,  $\alpha$  presupunind  $R_e = 0,5 \Omega$  (v. pag. 243).

**P 20.5.** Să se reprezinte grafic răspunsul  $A(j\omega)$  al amplificatorului cu bucla închisă din fig. 20.5,  $\alpha$  presupunind  $R_e = 0,5 \Omega$ . Să se rezolve fie redesenind graficele lui  $af(j\omega)$  din fig. 20.7 pe diagramele Nichols (fig. 20.3), fie folosind ecuațiile (20.1) și fig. 20.7 (v. pag. 243).

**P 20.6.** Să se compare răspunsul  $A(j\omega)$  pentru amplificatorul din fig. 20.5 cu  $R_e = 0,5 \Omega$  (problema P 20.5) cu informația cuprinsă în tabelul 19.7 asupra frecvențelor naturale. Comentați. (v. pag. 243).

**P 20.7.** Utilizați datele din fig. 20.10 pentru  $af(j\omega)$  cu compensare inductivă (zero de înaltă frecvență în  $f$ ) pentru a găsi  $A(j\omega)$ . Aceasta poate fi făcută prin calculul direct, folosind ecuația (20.1), sau cu diagrama Nichols (fig. 20.3). Să se compare aceste rezultate cu informația asupra frecvențelor naturale din § 19.3.1. (v. pag. 245).

**P 20.8.** Să se reprezinte grafic în coordonatele: unghi de fază, logaritmul amplitudinii, funcția  $af(j\omega)$  din relația (20.5) presupunind  $a_{of_o} = 10$ . Comparând această reprezentare cu fig. 20.1, să se răspundă dacă amplificatorul este stabil. Să se explice (v. pag. 245).

**P 20.9.** Să se deseneze diagrama Bode pentru ecuația (20.6) presupunind  $a_{of_o} = 10$  și  $R_T C_1 = 20$ . Aceasta este echivalent cu a presupune că amplificatorul a fost comparat prin mișcarea unui pol. Să se verifice că amplificatorul are o rezervă de amplificare de 4 (v. pag. 248).

**P 20.10.** Verificați constantele de timp în circuit deschis între bază și colector pentru cele trei tranzistoare din fig. 20.5,  $b$ , presupunind  $\beta = 50$ ,  $r_{\pi} = 250 \Omega$ ,  $r_x = 25 \Omega$ ,  $R_S = 1000 \Omega$ ,  $R_L = 50 \Omega$  și  $R_e = 0,5 \Omega$ . Se neglijează ceilalți rezistori. Care este cel mai bun loc de plasare al condensatorului de compensare  $C_1$ ? (v. pag. 248).

**P 20.11.** Să se mute un pol la  $s = -0,007 \text{ ns}^{-1}$ , pe graficul lui  $af(j\omega)$  din fig. 20.10 (necompensat). Să se compare răspunsul obținut cu fig. 20.12 (v. pag. 249).

**P 20.12.** Să se calculeze frecvența limită sus  $\omega_h$  pentru transmisia  $af(j\omega)$  a amplificatorului compensat cu  $C_1$ , fig. 20.5 și § 20.2.3. De asemenea, să se calculeze frecvența limită sus pentru  $A(j\omega)$ . Se folosește fig. 20.10. Verificați rezultatele cu tabelul 20.1.

**P 20.13.** Să se calculeze în formă literală funcția de transfer la joasă frecvență a circuitului  $a$ , pentru amplificatorul cu reacție din fig. 20.13. Unificați deci forma ecuației (20.9) (v. pag. 250).

**P 20.14.** Care este valoarea maximă a transmisiei pe buclă în bandă, pentru amplificatorul din fig. 20.13 care va produce o rezervă de amplificare de 5 (v. pag. 250).

**P 20.15.** Determinați noi valori pentru cele două capacități de cuplaj din fig. 20.13 pentru a îndeplini specificația inițială  $a_{of_o} = 100$ , cu o rezervă de fază de  $60^\circ$  (v. pag. 252).

**P 20.16.** Completați proiectarea amplificatorului din § 16.1, fig. 16.6, alegând valori ale capacităților de cuplaj, decuplare și scurtcircuitare astfel încât rezerva de fază la joasă frecvență este  $60^\circ$  (v. pag. 253).

**P 20.17.** Rezolvați problema P 20.15 din punct de vedere al locului rădăcinilor, proiectând astfel încât nici un pol de joasă frecvență al lui  $A(s)$  nu are  $Q$  mai mare decât unitatea.

**P 20.18.** Rezolvați problema P 20.16 din punct de vedere al locului rădăcinilor, proiectând astfel încât nici un pol de joasă frecvență al lui  $A(s)$  nu are  $Q$  mai mare decât unitatea.

**P 20.19.** Se culeg următoarele date asupra unui amplificator:

$f(\text{MHz})$	$ a $	$\angle a$
0	1000	$0^\circ$
0,1	800	$45^\circ$
0,3	450	$-100^\circ$
1,0	150	$-150^\circ$
3,0	15	$-200^\circ$
10,0	1	$-250^\circ$

Care este valoarea maximă a reacției rezistive  $f_o$  care poate fi aplicată amplificatorului  $a$  fără a avea instabilitate și b) menținând un răspuns în frecvență „rezonabil”?

**P 20.20.** Compensați amplificatorul din problema P 20.19 cu scopul de a obține o desensibilizare de 100 menținând un răspuns în frecvență „acceptabil”.



CAPITOLUL 21

**FUNCȚIONAREA TRANZISTOARELOR  
BIPOLARE ÎN AFARA REGIUNII ACTIVE**

## FUNCȚIONAREA TRANZISTOARELOR BIPOLARE ÎN AFARA REGIUNII ACTIVE

- 21.1. Modele pentru tensiuni arbitrare ale joncțiunilor
  - 21.1.1. Sarcini stocate în regiunea neutră a bazei
  - 21.1.2. Descompunerea în componente directă și inversă
- 21.2. Modelele statice Ebers-Moll
  - 21.2.1. Modelul Ebers-Moll pentru un tranzistor *npn*
  - 21.2.2. Modelul Ebers-Moll pentru un tranzistor *npn*
  - 21.2.3. Modelele care depind de curenții terminali
- 21.3. Modelele dinamice cu control prin sarcină
  - 21.3.1. Modelul cu control prin sarcină pentru un tranzistor *npn*
  - 21.3.2. Relația între parametrii modelului cu control prin sarcină și parametrii Ebers-Moll
  - 21.3.3. Un model *npn* cu control prin sarcină care include capacitățile regiunilor de sarcină spațială
  - 21.3.4. Relația între modelul cu control prin sarcină și circuitul echivalent  $\pi$ -hibrid
  - 21.3.5. Modelul cu control prin sarcină pentru tranzistor *npn*
- 21.4. Regiuni de funcționare
  - 21.4.1. Funcționarea în regiunea activă
  - 21.4.2. Regiunea de blocare
  - 21.4.3. Regiunea de saturație
- 21.5. Aplicații ale modelelor de circuit Ebers-Moll
  - 21.5.1. Evaluarea parametrilor
  - 21.5.2. Caracteristicile de transfer ale unui amplificator
  - 21.5.3. Caracteristicile statice ale unui comutator cu tranzistor

Bibliografie  
Probleme

## 21

### Funcționarea tranzistoarelor bipolare în afara regiunii active

#### 21.1. MODELE PENTRU TENSIUNI ARBITRARE ALE JONCȚIUNILOR

Toate modelele pentru tranzistoare bipolare pe care le-am dezvoltat până acum sînt limitate, în sensul că descriu tranzistoare care lucrează ca dispozitive controlate în tensiune în regiunea activă, adică cu emitorul polarizat direct și colectorul polarizat invers. Această limitare se aplică nu numai la modelele de semnal mic din capitolul 11, ci și la modelele de semnal mare dezvoltate în capitolele 7 și 8. În toate cazurile, analiza funcționării fizice interne a dispozitivului s-a bazat pe condițiile explicite ca joncțiunea de colector să fie polarizată invers și joncțiunea de emitor să fie polarizată direct. În unele aplicații ale tranzistoarelor (în particular cele în care tranzistorul este folosit mai degrabă drept comutator, decît ca modulator de putere controlabilă continuu) joncțiunea de colector este polarizată direct cel puțin un interval de timp. Cu toate că funcționarea la semnal mic în această regiune de lucru este mai puțin interesantă practic, totuși relațiile între variabilele terminale totale sînt importante. În legătură cu asemenea situații, trebuie să extindem modelele de semnal total din paragrafele 7.3 și 8.1, astfel încît să permită tensiuni colector-bază și emitor-bază arbitrare. Această extindere este simplă și directă pentru nivele mici de injecție. Analiza se va face pentru o structură *npn* și apoi se vor extinde rezultatele, astfel ca să includă și tranzistoare *npn*.

##### 21.1.1. Sarcini stocate în regiunea neutră a bazei

În dezvoltarea modelelor de tranzistoare care se aplică pentru tensiuni arbitrare ale joncțiunilor, presupunem că tensiunile joncțiunilor se schimbă suficient de lent, astfel încît distribuția purtătorilor în exces în regiunea neutră a bazei se schimbă ca o succesiune de distribuții statice. Cu alte cuvinte, presupunem că distribuția de purtători în exces se schimbă sufi-

cient de lent, astfel încât dacă s-ar face un film al distribuției variabile de sarcină, fiecare cadru din secvență ar fi identic cu reprezentarea unei distribuții *statice* corespunzătoare. Mai mult, distribuția statică particulară, la care corespunde un anumit cadru din secvență, este cea care ar rezulta dacă tensiunea emitor-bază ar fi staționară la valoarea instantanee care există când a fost expus cadrul. Astfel, la evaluarea curenților terminali trebuie să considerăm numai distribuții statice de sarcini în exces.

Această aproximare este aceeași cu cea făcută în paragraful 8.1, unde am dezvoltat un model cu control prin sarcină care era valabil numai în regiunea activă. Așa cum s-a arătat acolo, presupunerea că distribuția dinamică de purtători minoritari în exces este *cuasistatică*, adică se schimbă ca o succesiune de distribuții statice, este valabilă dacă curenții instantaneu de bază este mic comparativ cu curenții instantaneu de emitor sau curenții instantaneu de colector. Această condiție pentru curenți se întâlnește în majoritatea circuitelor de aplicații cu tranzistoare bipolare, pentru că circuitul trebuie de obicei să realizeze o amplificare de curent rezonabilă de la bază la emitor sau colector.

Distribuția cuasistaționară de sarcină în exces în bază este determinată de cele două tensiuni ale joncțiunilor. Concentrația de purtători în exces la marginea fiecărei regiuni de sarcină spațială este legată de tensiunea corespunzătoare a joncțiunii prin relația lui Boltzmann. Astfel, concentrația în exces la marginea dinspre emitor a bazei ( $x=0$ ), într-un tranzistor *pnp* este:

$$p'_{b(0)} = p_{b0} (e^{q v_{EB}/kT} - 1) \quad (21.1 a)$$

unde  $p_{b0}$  reprezintă concentrația de purtători minoritari la echilibru termic în regiunea uniformă a bazei și  $v_{EB}$  tensiunea instantanee emitor-bază. Similar, concentrația de purtători în exces la marginea dinspre colector a bazei (la  $x = W$ ) este:

$$p'_b(W) = p_{b0} (e^{q v_{CB}/kT} - 1) \quad (21.1 b)$$

unde  $v_{CB}$  reprezintă tensiunea instantanee colector-bază.

În fig. 21.1. *a* se arată distribuția cuasistatică de purtători în exces în bază care se obține la polarizarea directă a ambelor joncțiuni, de emitor și colector. Concentrația pozitivă de purtători în exces la marginea fiecărei regiuni de sarcină spațială reflectă faptul că fiecare joncțiune este polarizată direct. Distribuția este lineară pentru că purtătorii minoritari se deplasează longitudinal în bază numai prin difuzie și pentru că recombinarea în bază este neglijabilă. În concluzie, densitatea de curent de purtători minoritari trebuie să fie aproximativ independentă de poziția în bază; aceasta cere un gradient de concentrație constant, care la rândul lui implică o distribuție liniară.

Curentul constant longitudinal de difuzie a purtătorilor minoritari, asociat cu distribuția liniară din fig. 21.1a, circulă de la colector la emitor, respectiv în direcție opusă cu direcția asociată funcționării în regiunea activă. În termeni de circuit,  $i_E$  este negativ și  $i_C$  este pozitiv pentru distribuția reprezentată în figură. Acest curent circulă de la colector la emitor

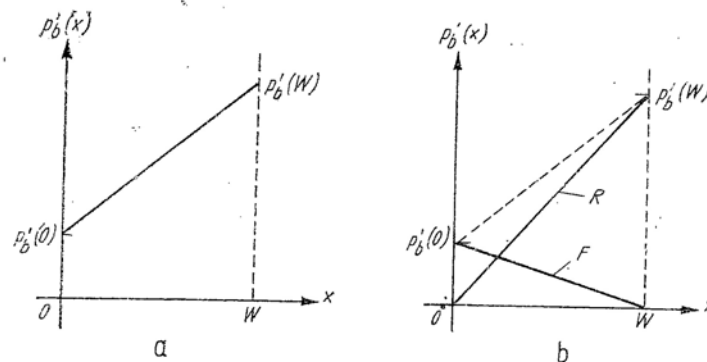


Fig. 21.1. Distribuția de purtători în exces în regiunea bazei, pentru polarizarea directă a ambelor joncțiuni:

*a* - distribuția totală de purtători în exces; *b* - descompunerea într-o componentă directă și o componentă inversă.

pentru că polarizarea directă a joncțiunii de colector depășește polarizarea directă a joncțiunii de emitor, adică  $p'_b(W) > p'_b(0)$ . Dacă emitorul ar fi polarizat direct mai mult decât colectorul, distribuția ar scădea către colector și curentul de purtători minoritari ar circula în sens invers.

### 21.1.2. Descompunerea în componente directă și inversă

Distribuția trapezoidală de purtători în exces în bază, care se obține când ambele joncțiuni sînt polarizate direct, poate fi obținută prin superpoziția a două distribuții componente, reprezentate în fig. 21.1 *b* și notate *F* și *R*. Aceste componente se încadrează în următoarele constrîngeri:

1. Fiecare componentă corespunde la un curent longitudinal de difuzie a purtătorilor minoritari, care este independent de poziție.
2. Fiecare componentă este zero la o joncțiune, adică fiecare componentă este *triunghiulară*. În particular, componenta *directă* de purtători în exces (notată *F*) este zero la  $x = W$ , în timp ce componenta *inversă* (notată *R*) este zero la  $x = 0$ .

Concentrația la  $x = 0$  depinde direct de  $v_{EB}$  și concentrația la  $x = W$  depinde direct de  $v_{CB}$  conform relațiilor (21.1). În concluzie, componenta directă a distribuției de purtători în exces depinde de  $v_{EB}$ , nu și de  $v_{CB}$ .

Similar, componenta inversă depinde de  $v_{CB}$ ,  $nu$  și de  $v_{EB}$ . Cu toate că fig. 21.1 reprezintă cazul cu polarizare directă a fiecărei joncțiunii, corespondența unu la unu între o componentă și o tensiune a joncțiunii este adevărată pentru orice valoare (directă sau inversă) a acelei tensiuni.

Componentele distribuției de purtători în exces reprezentate în fig. 21.1 b au evident proprietatea că aria distribuției totale este egală cu suma ariilor distribuțiilor componente și panta distribuției totale este egală cu suma pantelor distribuțiilor componente. Așa cum am văzut în paragrafele 7.3 și 8.1 curenții terminali asociați cu o distribuție particulară de purtători în exces în regiunea bazei sînt linear dependenți de panta și aria acelei distribuții, pentru ambele situații, statică și dinamică. În concluzie, fiecare curent terminal care însoțește distribuția totală arătată în fig. 21.1 a trebuie să fie suma unei perechi de componente de curent, fiecare fiind asociată cu una din distribuțiile componente din fig. 21.1 b. De exemplu, curentul de emitor poate fi considerat suma a două componente de curent. O componentă corespunde componentei directe a sarcinii de exces în bază; cealaltă componentă corespunde componentei inverse de sarcină. Curenții de colector și bază pot fi similar obținuți din superpoziția unei componente directe cu o componentă inversă.

Determinarea distribuției de purtători și a curenților terminali prin superpoziția a două componente este utilă pentru că fiecare componentă de sarcină depinde numai de o tensiune de joncțiune și pentru că fiecare componentă corespunde la distribuția de sarcină pe care ne-am bazat analiza funcționării în regiunea activă. Această distribuție aproximativă pentru regiunea activă este reprezentată prin curba cu linii întrerupte

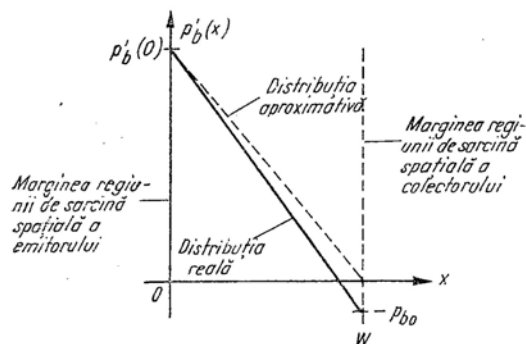


Fig. 21.2. Distribuția de purtători în exces din bază pentru funcționarea în regiunea activă.

din fig. 7.7, pe care am repetat-o aici în fig. 21.2. Această distribuție aproximativă este baza analizei în regiunea activă din capitolele 7 și 8. Compararea între fig. 21.1 b și 21.2 arată că distribuția notată cu  $F$  în fig. 21.1 b corespunde la distribuția aproximativă din regiunea activă pe care s-a bazat analiza din capitolul 7, în timp ce distribuția notată  $R$

corespunde de asemenea aceleiași distribuții cu excepția schimbării emitorului cu colectorul. În concluzie, curenții terminali asociați cu fiecare componentă de distribuție pot fi exprimați, fără o analiză suplimentară, simplu, prin analogie cu funcționarea în regiunea activă dezvoltată anterior. Pentru început exploatăm această analogie pentru a obține un model static și apoi considerăm situațiile dinamice.

## 21.2. MODELELE STATICE EBERS-MOLL

### 21.1.2. Modelul Ebers-Moll pentru un tranzistor $pnp$

Vom dezvolta un model de circuit static pentru un tranzistor bipolar  $pnp$ . Considerăm fiecare curent terminal format din suma unei componente directe cu o componentă inversă. Aceste componente corespund la componentele de distribuții de sarcină reprezentată în fig. 21.1 b. Componenta directă a curentului de emitor este, prin analogie cu rezultatul din regiunea activă, exprimată prin relația (7.9):

$$I_{EF} = I_{ES}(e^{qV_{EB}/kT} - 1). \quad (21.2 a)$$

Coefficientul  $I_{ES}$  este caracteristica curentului de saturație a componentei directe a distribuției de sarcină; el este analog cu coeficientul  $(1 + \delta)I_1$  din relația (7.9). Componenta directă a curentului de colector este mai mică decât  $I_{EF}$  pentru că o parte din componenta directă a curentului de emitor rezultă din injecția de electroni în emitor și pentru că nu toate gurile injectate în bază reușesc să ajungă la colector. Am folosit simbolul  $\alpha_F$  pentru a nota raportul dintre mărimea componentei directe a curentului de colector și mărimea componentei directe a curentului de emitor. Componenta directă a curentului de colector rezultă:

$$I_{CF} = -\alpha_F I_{EF} = -\alpha_F I_{ES}(e^{qV_{EB}/kT} - 1). \quad (21.2 b)$$

Semnul este negativ pentru că direcția de referință a lui  $I_C$  este către colector, în timp ce gurile care formează  $I_{CF}$  într-un tranzistor  $pnp$  ies din colector. Componenta directă a curentului de bază, care suportă injecția în emitor și recombinarea unei mici fracțiuni a purtătorilor injectați care dispar în bază, este:

$$I_{BF} = -(I_{EF} + I_{CF})$$

Astfel:

$$I_{BF} = -(1 - \alpha_F) I_{ES} (e^{qV_{EB}/kT} - 1) \quad (21.2c)$$

Componentele inverse ale curenților terminali sînt determinate de relații similare, cu excepția faptului că rolurile emitorului și colectorului sînt schimbate. Astfel, componentele inverse ale curenților, care sînt asociate cu componenta inversă a distribuției, sînt:

$$I_{ER} = -\alpha_R I_{CS}(e^{qV_{CB}/kT} - 1) \quad (21.3a)$$

$$I_{CR} = I_{CS}(e^{qV_{CB}/kT} - 1) \quad (21.3b)$$

$$I_{BR} = -(1 - \alpha_R) I_{CS}(e^{qV_{CB}/kT} - 1) \quad (21.3c)$$

unde  $I_{CS}$  reprezintă caracteristica curențului de saturație a componentei inverse a distribuției de purtători și reprezintă fracțiunea de purtători care ajung de la colector la emitor<sup>1)</sup>. Curenții totali sînt obținuți prin superpoziția componentelor de curenți independente. Astfel:

$$I_E = I_{EF} + I_{ER} = I_{ES}(e^{qV_{EB}/kT} - 1) - \alpha_R I_{CS}(e^{qV_{CB}/kT} - 1) \quad (21.4a)$$

$$I_C = I_{CF} + I_{CR} = -\alpha_F I_{ES}(e^{qV_{EB}/kT} - 1) + I_{CS}(e^{qV_{CB}/kT} - 1) \quad (21.4b)$$

$$I_B = I_{BF} + I_{BR} = -(1 - \alpha_F) I_{ES}(e^{qV_{EB}/kT} - 1) - (1 - \alpha_R) I_{CS}(e^{qV_{CB}/kT} - 1) \quad (21.4c)$$

Aceste ecuații exprimă curenții terminali ca funcții de tensiunile joncțiunilor pentru valori arbitrare (directă și inversă) ale acelor tensiuni. Aceste ecuații și principiul superpoziției pe care se bazează sînt denumite relațiile Ebers-Moll<sup>2)</sup>.

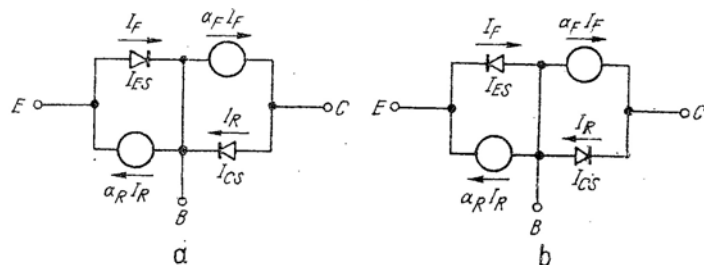


Fig. 21.3. Circuite echivalente statice care se aplică la tensiuni arbitrare ale joncțiunilor. Generatoarele de curenți constant depind de curenții din diodele exponențiale:

a - tranzistor pnp; b - tranzistor npn.

<sup>1)</sup> În general  $\alpha_R$  nu este egal cu  $\alpha_F$  și  $I_{CS}$  nu este egal cu  $I_{EF}$ . În modelul nostru fizic simplu, parametrii direcți și inverși diferă numai datorită concentrațiilor diferite de impurități, coeficienților de difuzie sau lungimilor de difuzie în emitor și colector. Structurile reale de tranzistoare bipolare nu sînt fizic simetrice față de bază și joncțiunile au arii diferite. În concluzie, relațiile curenți-tensiune sînt diferite pentru componentele directă și inversă și aceste diferențe sînt reflectate prin valori inegale pentru  $\alpha_F$  și  $\alpha_R$  și pentru  $I_{ES}$  și  $I_{CS}$ .

<sup>2)</sup> Ele au fost propuse pentru prima oară de J.J. Ebers și J. L. Moll de la Bell Telephone Laboratories (S.U.A.).

Ecuațiile Ebers-Moll pot fi modelate cu ajutorul unor circuite echivalente. Unul din aceste circuite echivalente este arătat în fig. 21.3 a. Acest circuit echivalent pentru un tranzistor pnp, este o superpoziție fizică a două circuite echivalente pentru regiunea activă dezvoltate în paragraful 7.3 și ilustrate în fig. 7.8 b. Corespondența circuitului echivalent cu relația (21.4) poate fi constatată simplu, prin însumarea curenților la fiecare din cele trei terminale.

### 21.2.2. Modelul Ebers-Moll pentru un tranzistor npn

Circuitul echivalent care modelează un tranzistor npn este arătat în fig. 21.3 b; el diferă numai prin faptul că diodele exponențiale sînt inversate. Ecuațiile care reprezintă acest circuit echivalent npn sînt:

$$I_E = -I_{ES}(e^{-qV_{EB}/kT} - 1) + \alpha_R I_{CS}(e^{-qV_{CB}/kT} - 1) \quad (21.5 a)$$

$$I_C = \alpha_F I_{ES}(e^{-qV_{EB}/kT} - 1) - I_{CS}(e^{-qV_{CB}/kT} - 1) \quad (21.5 b)$$

$$I_B = (1 - \alpha_F) I_{ES}(e^{-qV_{EB}/kT} - 1) + (1 - \alpha_R) I_{CS}(e^{-qV_{CB}/kT} - 1) \quad (21.5 c)$$

Coeficienții  $\alpha_F$ ,  $\alpha_R$ ,  $I_{ES}$  și  $I_{CS}$  sînt, în ambele cazuri, definiți ca să reprezinte cantități pozitive.

Parametrii  $\alpha_F$  și  $\alpha_R$  care apar în aceste modele, sînt amplificările de curenți statice în scurt circuit în regim normal (direct) și inversat, în montajul cu baza comună. Amplificarea directă cu baza comună  $\alpha_F$  a fost discutată anterior, amplificarea inversă corespunzătoare  $\alpha_R$  are o interpretare similară. Coeficienții  $I_{ES}$  și  $I_{CS}$  sînt denumiți curenți de saturație în scurt circuit de emitor și colector. Aceste descrieri rezultă din relațiile (21.4) și (21.5), sau din circuitele echivalente din fig. 21.3, care arată că  $I_{ES}$  și  $I_{CS}$  sînt curenții de saturație ai joncțiunii de emitor și respectiv, de colector, cînd cealaltă joncțiune este scurtcircuitată.

### 21.2.3. Modelele care depind de curenții terminali

Ecuațiile Ebers-Moll furnizează baza pentru alt grup de modele, care diferă prin faptul că generatoarele de curenți depind direct de curenții terminali, în loc de curenții prin diode sau, echivalent, de tensiunile joncțiunilor. Astfel, ecuațiile (21.4a) și (21.4b), care sînt pentru tranzistoare pnp, pot fi scrise în forma următoare:

$$I_C = -\alpha_F I_E + I_{CO}(e^{qV_{CB}/kT} - 1) \quad (21.6 a)$$

$$I_E = -\alpha_R I_C + I_{EO}(e^{qV_{EB}/kT} - 1) \quad (21.6 b)$$

unde:

$$I_{EO} = (1 - \alpha_F \alpha_R) I_{ES} \quad (21.7 a)$$

$$I_{CO} = (1 - \alpha_F \alpha_R) I_{CS} \quad (21.7 b)$$

Această pereche de ecuații poate fi reprezentată prin circuitul echivalent din fig. 21.4 a (vezi problema P.21.1).

Coeficienții  $I_{EO}$  și  $I_{CO}$  sînt denumiți *curenții de saturație în gol* de emitor și respectiv, colector. Așa cum se poate observa din ecuațiile (21.6) sau din fig. 21.4, ei sînt curenții de saturație ai joncțiunilor de emitor și, respectiv de colector, cînd terminalul opus este în gol.

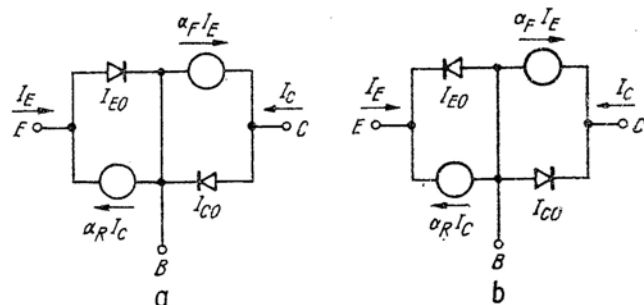


Fig. 21.4. Circuitele echivalente în care generatoarele de curent depind de curenții terminali:

a - tranzistor pnp; b - tranzistor npn.

Circuitele echivalente din fig. 21.4 sînt cu totul asemănătoare cu cele din fig. 21.3. Întrucît sursele de curent din circuitele echivalente din fig. 21.3 sînt dependente direct de curenții diodelor și implicit de tensiunile joncțiunilor, aceste circuite echivalente sînt în general cele mai potrivite la situațiile reale ale circuitelor, unde sau se cunosc tensiunile joncțiunilor, sau pot fi determinate simplu. Pe de altă parte, sursele de curent din circuitele echivalente din fig. 21.4 sînt dependente direct de curenții terminali. Astfel, aceste circuite echivalente sînt potrivite în cazurile cînd se cunosc mai bine curenții terminali decît tensiunile joncțiunilor.

Modelele pe care le-am dezvoltat în acest paragraf sînt caracterizate prin patru parametri:  $\alpha_F$ ,  $\alpha_R$ ,  $I_{ES}$  și  $I_{CS}$  (sau  $I_{EO}$  și  $I_{CO}$ ). Totuși, acești parametri nu sînt independenți. Deși nu vom dezvolta aici o demonstrație, se poate arăta că parametrii sînt legați prin<sup>1</sup>:

$$\alpha_F I_{ES} = \alpha_R I_{CS} \quad (21.8 \text{ a})$$

sau, echivalent, prin:

$$\alpha_F I_{EO} = \alpha_R I_{CO}. \quad (21.8 \text{ b})$$

<sup>1</sup> Vezi paragraful 9.1.3 din referința bibliografică 21.1.

Aceste condiții de reciprocitate arată că trei, și nu patru, măsurări sînt suficiente pentru a caracteriza relațiile statice  $V-I$  ale unui tranzistor.

Toate circuitele echivalente arătate în fig. 21.3 și 21.4 conțin diode exponențiale, deci ele păstrează neliniaritatea exponențială care este caracteristica unei joncțiuni pn ideal. Aceste diode exponențiale pot fi înlocuite dacă sîntem satisfăcuți de o precizie mai mică, cu diode ideale cu caracteristica linearizată pe porțiuni. Circuitele echivalente care se obțin sînt mai puțin precise, dar mai ușor de aplicat.

## 21.3. MODELELE DINAMICE CU CONTROL PRIN SARCINĂ

### 21.3.1. Modelul cu control prin sarcină pentru un tranzistor pnp

Principiul superpoziției, discutat în paragraful 21.1.2, poate servi la găsirea modelelor dinamice pentru tranzistoare bipolare, dacă se consideră că sarcina totală în exces din bază, asociată cu distribuția din fig. 21.1 a, poate fi descompusă în două componente aditive, care sînt asociate, la rîndul lor, cu distribuțiile din fig. 21.1 b. Astfel, sarcina totală în exces în bază  $q_B$  este:

$$q_B = q_F + q_R \quad (21.9)$$

unde  $q_F$  este componenta directă și  $q_R$  componenta inversă. Fiecare din aceste componente depinde numai de o tensiune de joncțiune. Astfel, prin analogie cu ecuația (8.8) avem, pentru tranzistoare pnp:

$$q_F = q_{FO} (e^{qV_{EB}/kT} - 1) \text{ (pnp)} \quad (21.10 \text{ a})$$

$$q_R = q_{RO} (e^{qV_{CB}/kT} - 1) \text{ (pnp)}. \quad (21.10 \text{ b})$$

Coeficienții  $q_{FO}$  și  $q_{RO}$  sînt egali ca valoare pentru o structură unidimensională de tranzistor în care joncțiunile au aceeași arie; ele au valoarea  $qA W p_{b0}/2$ , așa cum arată relația (8.8). Introducem simboluri separate pentru acești doi coeficienți pentru a permite disimetriei în structura tranzistorului. Se observă că componentele de sarcină  $q_F$  și  $q_R$  sînt pozitive cînd joncțiunile corespunzătoare sînt polarizate direct, adică, cînd tensiunile joncțiunilor corespunzătoare sînt pozitive.

Componentele directe ale curenților terminali instantanei depind numai de  $q_F$ . Componenta directă a curențului de colector, care este proporțională cu panta componentei directe a distribuției de purtători în exces din regiunea bazei, este astfel proporțională cu  $q_F$  (care este deter-

minată de *aria* distribuției). În concluzie, prin analogie cu relația (8.6 a), avem :

$$i_{CF} = -\frac{q_F}{\tau_F}. \quad (21.11 a)$$

Componenta directă a curentului de bază are două componente. Una este proporțională cu  $q_F$ ; ea alimentează recombinarea purtătorilor în exces în bază și suportă injecția inversă în emitor. A doua componentă este proporțională cu  $dq_F/dt$ . Această componentă de sarcină variabilă apare deoarece purtători majoritari în exces trebuie să fie furnizați bazei pentru a neutraliza purtătorii minoritari în exces injectați. Astfel, prin analogie cu relația (8.6 b), avem o relație care exprimă conservarea sarcinii în bază :

$$i_{BF} = -\frac{dq_F}{dt} - \frac{q_F}{\tau_{BF}}. \quad (21.11 b)$$

Componenta directă a curentului de emitor este determinată prin legea lui Kirchhoff pentru curenți ca :  $-(i_{CF} + i_{BF})$ . Astfel, avem :

$$i_{EF} = \frac{dq_E}{dt} + \frac{q_F}{\tau_{BF}} + \frac{q_F}{\tau_F}. \quad (21.11 c)$$

Similar, componentele inverse depind numai de  $q_R$ . Aceste componente sînt obținute simplu prin analogie cu relațiile (21.11), dar cu rolurile emitorului și colectorului interschimbate. Astfel :

$$i_{CF} = \frac{dq_R}{dt} + \frac{q_R}{\tau_{BR}} + \frac{q_R}{\tau_R} \quad (21.12 a)$$

$$i_{BR} = -\frac{dq_R}{dt} - \frac{q_R}{\tau_{BR}} \quad (21.12 b)$$

$$i_{ER} = -\frac{q_R}{\tau_R}, \quad (21.12 c)$$

În final, curenții terminali instantanei totali sînt obținuți prin superpoziție :

$$i_E = i_{EF} + i_{ER} = \frac{dq_F}{dt} + q_F \left( \frac{1}{\tau_F} + \frac{1}{\tau_{BF}} \right) - \frac{q_R}{\tau_R} \quad (pnp) \quad (21.13 a)$$

$$i_C = i_{CF} + i_{CR} = -\frac{q_F}{\tau_F} + \frac{dq_R}{dt} + q_R \left( \frac{1}{\tau_R} + \frac{1}{\tau_{BR}} \right) \quad (pnp) \quad (21.13 b)$$

$$i_B = i_{BF} + i_{BR} = -\frac{dq_F}{dt} - \frac{q_F}{\tau_{BF}} - \frac{dq_R}{dt} - \frac{q_R}{\tau_{BR}} \quad (pnp) \quad (21.13 c)$$

### 21.3.2. Relația între parametrii modelului cu control prin sarcină și parametrii Ebers-Moll

Evident, modelul cu control prin sarcină trebuie să se reducă la modelul Ebers-Moll pentru cazuri statice. Noi putem folosi acest fapt pentru a lega cîțiva din parametrii modelului cu control prin sarcină din relațiile (21.13), de parametrii Ebers-Moll. Probabil, cel mai simplu mod de a stabili relația este de a compara cele două sisteme de ecuații în condiții statice. În aceste condiții termenul în  $dq_F/dt$  din relația (21.13 a) este neglijabil și ecuația modelului cu control prin sarcină pentru curentul de emitor se reduce la :

$$i_E = q_F \left( \frac{1}{\tau_F} + \frac{1}{\tau_{BF}} \right) - \frac{q_R}{\tau_R}. \quad (21.14)$$

Această relație poate fi exprimată în termeni de tensiuni ale joncțiunilor, folosind relațiile (21.10), care exprimă  $q_F$  și  $q_R$  în termeni de  $V_{EB}$  și  $V_{CB}$  respectiv. Rezultatul este :

$$i_E = \frac{Q_{OF}}{\tau_F} \left( \frac{1}{\tau_F} + \frac{1}{\tau_{BF}} \right) (e^{qV_{EB}/kT} - 1) - \frac{Q_{RO}}{\tau_R} (e^{qV_{CB}/kT} - 1). \quad (21.15)$$

Relația Ebers-Moll corespunzătoare este dată de relația (21.4 a), care este repetată aici :

$$I_E = I_{ES} (e^{qV_{EB}/kT} - 1) - \alpha_{RCS} (e^{qV_{CB}/kT} - 1).$$

Evident, această relație este echivalentă cu relația (21.15), dacă parametrii de control prin sarcină și Ebers-Moll sînt legați între ei în felul următor :

$$I_{ES} = Q_{FO} \left( \frac{1}{\tau_F} + \frac{1}{\tau_{BF}} \right) \quad (21.16 a)$$

$$\alpha_{RCS} = \frac{Q_{RO}}{\tau_R}. \quad (21.16 b)$$

În același fel, ecuația modelului cu control prin sarcină pentru  $i_C$ , dată de relația (21.13 b) se reduce în condiții statice la o formă care este echivalentă cu relația Ebers-Moll (21.4 b), dacă parametrii au următoarele expresii :

$$I_{CS} = Q_{RO} \left( \frac{1}{\tau_R} + \frac{1}{\tau_{BR}} \right) \quad (21.17 a)$$

$$\alpha_{FIS} = \frac{Q_{FO}}{\tau_F}. \quad (21.17 b)$$



Dependența lui  $\alpha_F$  (și  $\beta_F$ ) de parametrii de control prin sarcină poate fi determinată eliminând  $I_{ES}$  și  $Q_{FO}$  între relațiile (21.16 a) și (21.17 b). Rezultatul este :

$$\alpha_F = \frac{\tau_{BF}}{\tau_{BF} + \tau_F} \quad (21.18 \text{ a})$$

Astfel, întrucît  $\beta_F = \alpha_F / (1 - \alpha_F)$

$$\beta_F = \frac{\tau_{BF}}{\tau_F} \quad (21.18. \text{ b})$$

Expresiile corespunzătoare pentru parametrii inverși sînt :

$$\alpha_R = \frac{\tau_{BR}}{\tau_{BR} + \tau_R} \quad (21.18 \text{ c})$$

$$\beta_R = \frac{\tau_{BR}}{\tau_R} \quad (21.18 \text{ d})$$

Se observă că relația de reciprocitate (21.8 a) cere :

$$\frac{Q_{FO}}{Q_{RO}} = \frac{\tau_F}{\tau_R} \quad (21.19)$$

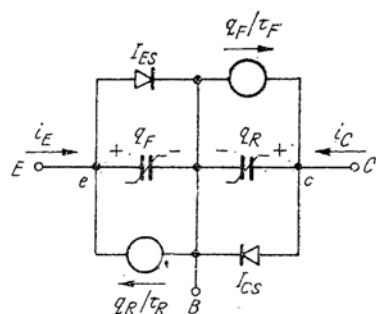


Fig. 21.5. Un circuit echivalent dinamic care este aplicabil pentru tranzistoarele pnp cu tensiuni arbitrare ale joncțiunilor.

Această corespondență între modelul cu control prin sarcină și modelul Ebers-Moll face posibilă dezvoltarea unui circuit echivalent sau a unei reprezentări printr-o rețea electrică pentru relațiile modelului cu control prin sarcină, așa cum se arată în fig. 21.5. Acest model de circuit este complet echivalent cu relațiile (21.13). Termenul  $dq_F/dt$  din  $i_E$  este repre-

zentat printr-o capacitate neliniară, termenul în  $q_F$  este reprezentat printr-o diodă exponențială avînd curentul de saturație  $I_{ES}$  și termenul în  $q_R$  este reprezentat printr-un generator de curent dependent. Interpretarea regiunii de colector este similară.

### 21.3.3. Un model pnp cu control prin sarcină care include capacitățile regiunilor de sarcină spațială

Circuitul echivalent din fig. 21.5 se justifică pentru componentele curenților terminali necesare pentru a menține și a schimba sarcinile stocate de purtători în exces din regiunea neutră a bazei. Așa cum am văzut deja pentru diode cu joncțiune și pentru tranzistorul din regiunea activă, este de asemenea necesar să se considere și componentele curenților terminali determinați de variația straturilor bipolare de sarcină din regiunile de sarcină spațială ale joncțiunilor. Aceste componente ale curenților terminali pot fi modelate prin adăugarea termenilor în  $dq_F/dt$  la ecuațiile de bază ale modelului cu control prin sarcină date de relațiile (21.13)

$$i_E = \frac{dq_E}{dt} + q_F \left( \frac{1}{\tau_F} + \frac{1}{\tau_{BF}} \right) - \frac{q_R}{\tau_R} + \frac{d_{VE}}{dt} \quad (pnp) \quad (21.20 \text{ a})$$

$$i_C = - \frac{q_F}{\tau_F} + \frac{dq_R}{dt} + q_R \left( \frac{1}{\tau_R} + \frac{1}{\tau_{BR}} \right) + \frac{dq_{VC}}{dt} \quad (pnp) \quad (21.20 \text{ b})$$

$$i_B = - \frac{dq_F}{dt} - \frac{q_F}{\tau_{BF}} - \frac{dq_R}{dt} - \frac{q_R}{\tau_{BR}} - \frac{dq_{VE}}{dt} - \frac{dq_{VC}}{dt} \quad (pnp). \quad (21.20 \text{ c})$$

Termenul  $dq_{VE}/dt$  reprezintă curentul care încarcă stratul bipolar al joncțiunii emitor-bază ; el apare și în expresia curentului de emitor, și în expresia curentului de bază. Termenul  $dq_{VC}/dt$  are aceeași semnificație la joncțiunea colector-bază. Sarcinile stocate  $q_{VE}$  și  $q_{VC}$  sînt funcții explicite de  $v$  și, respectiv,  $v_{CB}$ . Această dependență funcțională este dată de relația (4.36), care este repetată aici :

$$q_V = K [(\psi_0)^n - (\psi_0 - V)^n] \quad (21.21)$$

unde, pentru o joncțiune abruptă :  $n = \frac{1}{2}$ , iar pentru o joncțiune gradată

liniar :  $n = \frac{2}{3}$ . Potențialul de contact este notat cu  $\psi_0$  iar  $K$  este o constantă care depinde de aria joncțiunii și de detaliile profilului de impurități

(vezi paragraful 4.4.1). Sarcina stocată în regiunea de sarcină spațială este desigur, legată direct de capacitatea de semnal mic a regiunii de sarcină spațială; se va vedea în paragraful 22.5.1. că constanta  $K$  poate fi ușor determinată din informația asupra acestei capacități de semnal mic.

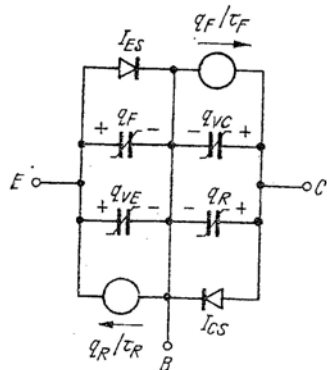


Fig. 21.6. Un circuit echivalent dinamic pentru tranzistoare pnp, care ia în considerație curenții de încărcare a capacităților regiunilor de barieră.

Acești curenții de încărcare a regiunii de sarcină spațială pot fi reprezentați în circuitele echivalente ale modelelor pentru regimul dinamic, prin adăugarea unor capacități neliniare în paralel pe fiecare joncțiune, ca în fig. 21.6.

#### 21.3.4. Relația între modelul cu control prin sarcină și circuitul echivalent $\pi$ -hibrid

Așa cum modelul cu control prin sarcină trebuie să se reducă la modelul Ebers-Moll pentru cazul static, tot astfel el trebuie să se reducă la modelul  $\pi$ -hibrid pentru funcționarea dinamică la semnal mic în regiunea activă. În această regiune colectorul este polarizat invers, astfel încât  $q_R$  este fixat și egal cu  $-Q_{RO}$ . Astfel  $dq_R/dt$  este zero.

Mai mult, se știe din relația (21.19 a) că în această regiune :

$$\frac{q_R}{\tau_R} = -\frac{Q_{RO}}{\tau_R} = -\alpha_R I_{CS}.$$

Întrucât  $I_{CS}$  este tipic în dimensiuni  $10^{-8} - 10^{-10} A$ , termenul  $q_R$  din relația (21.20 b) va fi de ordinul nanoamperilor și, astfel, poate fi neglijat comparativ cu ceilalți curenți. Pe această bază relația (21.20 b) se reduce la :

$$i_C \approx -\frac{q_F}{\tau_F} + \frac{dq_{VC}}{dt} \quad (21.22 a)$$

și ecuația (21.20 c) devine :

$$i_B \approx -\frac{q_F}{\tau_{BF}} - \frac{d}{dt}(q_F + q_{VE} + q_{VC}). \quad (21.22 b)$$

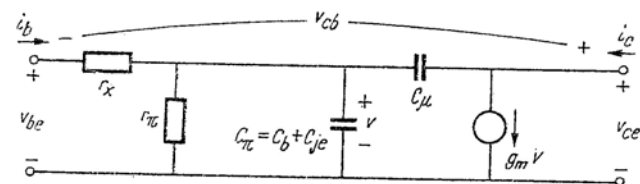


Fig. 21.7. Circuitul echivalent  $\pi$ -hibrid pentru semnal mic.

Ecuațiile corespunzătoare de semnal mic în domeniul timp, pentru circuitul echivalent  $\pi$ -hibrid (fig. 21.7) sînt, dacă presupunem că  $r_x \approx 0$  :

$$i_b = q_\pi v_{be} + (C_b + C_{ie}) \frac{dv_{be}}{dt} - C_\mu \frac{dv_{cb}}{dt} \quad (21.23 a)$$

$$i_c = g_m v_{be} + C_\mu \frac{dv_{cb}}{dt}. \quad (21.23 b)$$

Dacă notăm cu  $Q_b$  sarcina lui  $C_b$  și remintim din capitolul 11 [ecuația (11.20 d)] că :

$$C_b = \frac{W^2}{2D_b} g_m \quad (21.24)$$

atunci :

$$Q_b = C_b v_{be} = \frac{W^2}{2D_b} g_m v_{be}. \quad (21.25)$$

Substituind  $g_m v_{be}$  din (21.25) în relația (21.23 b), obținem :

$$i_c = \frac{Q_b}{W^2/2D_b} + C_\mu \frac{dv_{cb}}{dt}. \quad (21.26)$$

Evident ecuația (21.26) este identică cu ecuația (21.22 a) imediat ce se observă că  $Q_b$  este componenta la semnal mic a lui  $-q_F$  și se liniarizează sarcina stocată în regiunea de sarcină spațială:

$$\frac{dq_{FC}}{dt} = C_{jc} \frac{dv_{CB}}{dt} = C_{\mu} \frac{dv_{CB}}{dt} \quad (21.27)$$

Reamintim din capitolul 8 că  $\tau_F$  este definit ca:

$$\tau_F = \frac{W^2}{2D_b} \quad (21.28)$$

Este important de notat că noi nu am fost nevoiți să liniarizăm sarcina stocată  $q_F$  din modelul cu control prin sarcină, datorită relației liniare între sarcină și curent în această reprezentare a tranzistorului.

Operații similare pot stabili faptul că relațiile (21.22 b) și (21.23 a) sînt de asemenea identice (vezi problema P.21.4).

Ecuațiile (21.24) și (21.28) servesc să lege  $\tau_F$  și  $\omega_T$ . Dar:

$$\tau_F = \frac{W^2}{2D_b} = \frac{C_b}{g_m} \quad (21.29 a)$$

Reamintim din paragraful 12.2.4 că:

$$\omega_T = \frac{g_m}{C_{\pi} + C_{\mu}} = \frac{g_m}{C_b + C_{je} + C_{jc}} \quad (21.29 b)$$

Astfel din ecuația (21.29 a) rezultă:

$$\tau_F = \frac{1}{\omega_T} = \frac{C_{je} + C_{jc}}{g_m} \quad (21.29 c)$$

Dacă  $\omega_T$  este măsurat pentru un curent de ordinul 1–10 mA astfel încît  $C_b$  domină numitorul relației (21.29 b), atunci relația (21.29 c) se reduce la:

$$\tau_F \approx \frac{1}{\omega_T} \quad (11.29 d)$$

### 21.3.5. Modelul cu control prin sarcină pentru un tranzistor npn

Este simplu să modificăm modelele cu control prin sarcină obținute anterior pentru a le aplica la un tranzistor npn.

Pentru simplitate, reținem convenția că sarcinile  $q_F$  și  $q_R$  sînt pozitive cînd tensiunile corespunzătoare ale joncțiunilor sînt pozitive. Astfel relațiile (21.10) trebuie înlocuite cu:

$$q_F = Q_{FO} (e^{V_{BE}/KT} - 1) \quad (nnp) \quad (21.30 a)$$

$$q_R = Q_{RO} (e^{V_{BC}/KT} - 1) \quad (nnp) \quad (21.30 b)$$

Pentru că rolurile golurilor și electronilor se schimbă, curenții terminali dintr-un tranzistor npn au toți semn opus față de curenții corespunzători dintr-un tranzistor pnp. Astfel ecuațiile npn analoge cu ecuațiile (21.13) sînt:

$$i_E = -\frac{dq_F}{dt} - q_F \left( \frac{1}{\tau_F} + \frac{1}{\tau_{EF}} \right) + \frac{q_R}{\tau_R} \quad (nnp) \quad (21.31 a)$$

$$i_C = \frac{q_F}{\tau_F} - \frac{dq_R}{dt} - q_R \left( \frac{1}{\tau_R} + \frac{1}{\tau_{BR}} \right) \quad (nnp) \quad (21.31 b)$$

$$i_B = \frac{dq_F}{dt} + \frac{q_F}{\tau_{BF}} + \frac{dq_R}{dt} + \frac{q_R}{\tau_{BR}} \quad (nnp) \quad (21.31 c)$$

Circuitul echivalent corespunzător pentru npn este reprezentat în fig. 21.8 a. Se observă că diodele exponențiale, sarcinile stocate neliniare și generatorii dependenți sînt toți inversați.

Cînd se consideră și curenții de încărcare a regiunilor de sarcină spațială, expresiile curenților terminali devin:

$$i_E = -\frac{dq_F}{dt} - q_F \left( \frac{1}{\tau_F} + \frac{1}{\tau_{BF}} \right) + \frac{q_R}{\tau_R} - \frac{dq_{FE}}{dt} \quad (nnp) \quad (21.32 a)$$

$$i_C = -\frac{q_F}{\tau_F} - \frac{dq_R}{dt} - q_R \left( \frac{1}{\tau_R} + \frac{1}{\tau_{BR}} \right) - \frac{dq_{VC}}{dt} \quad (nnp) \quad (21.32 b)$$

$$i_B = \frac{dq_F}{dt} + \frac{q_F}{\tau_{BF}} + \frac{dq_R}{dt} + \frac{q_R}{\tau_{BR}} + \frac{dq_{VE}}{dt} + \frac{dq_{VC}}{dt} \quad (nnp) \quad (21.32 c)$$

Circuitul echivalent corespunzător pentru *nnp* este reprezentat în fig. 21.8 b.

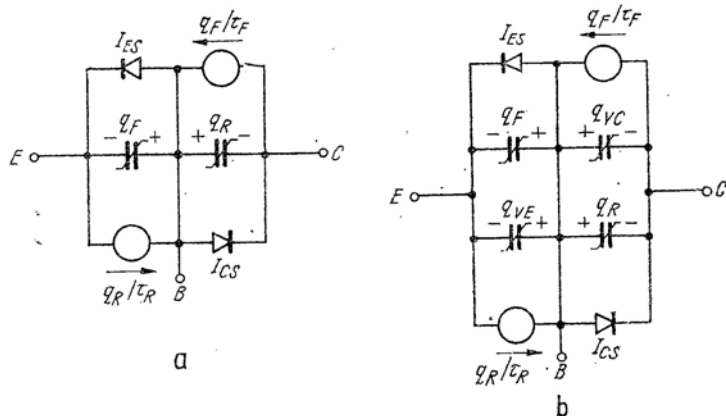


Fig. 21.8. Circuitele echivalente ale modelelor cu control prin sarcină pentru tranzistoare *nnp* (aceste circuite echivalente trebuie comparate cu cele din fig. 21.5 și 21.6):

a — circuitul echivalent de bază; b — circuitul echivalent care include capacitățile regiunilor de barieră.

## 21.4. REGIUNI DE FUNCȚIONARE

Modelele generale dezvoltate în paragraful precedent se aplică și pentru tensiuni directe, și pentru tensiuni inverse ale oricărei joncțiuni. Întrucât efectul fizic al unei tensiuni directe este mult diferit de efectul fizic al unei tensiuni inverse, aceste modele generale se reduc la forme simple numai dacă domeniul de variație a tensiunilor joncțiunilor este limitat. De aceea, considerăm formele simplificate ale acestor modele, care se aplică, în câteva domenii sau regiuni de funcționare, care pot fi definite în termeni de tensiuni ale joncțiunilor directe sau inverse. Întrucât fiecare joncțiune poate avea sau o tensiune directă, sau o tensiune inversă, există patru regiuni de funcționare:

1. *Regiunea activă directă (normală)* corespunde la polarizarea directă a joncțiunii de emitor și polarizarea inversă a joncțiunii de colector. Este regimul de funcționare la care se aplică toate analizele de semnal mic din capitolele 7 pînă la 20.

2. *Regiunea activă inversată* corespunde la polarizarea directă a joncțiunii de colector și polarizarea inversă a joncțiunii de emitor. Este regiunea în care tranzistorul se comportă ca un dispozitiv controlat în tensiune, dar rolurile emitorului și colectorului sînt inversate.

3. *Regiunea de blocare* corespunde la polarizarea inversă a ambelor joncțiuni.

4. *Regiunea de saturație* corespunde la polarizarea directă a ambelor joncțiuni.

### 21.4.1. Funcționarea în regiunea activă

Cînd un tranzistor funcționează în *regiunea activă*, diodele de colector din circuitele echivalente statice din fig. 21.3 și 21.4 sînt polarizate invers și pot fi înlocuite cu surse de curent constant care au valori egale cu

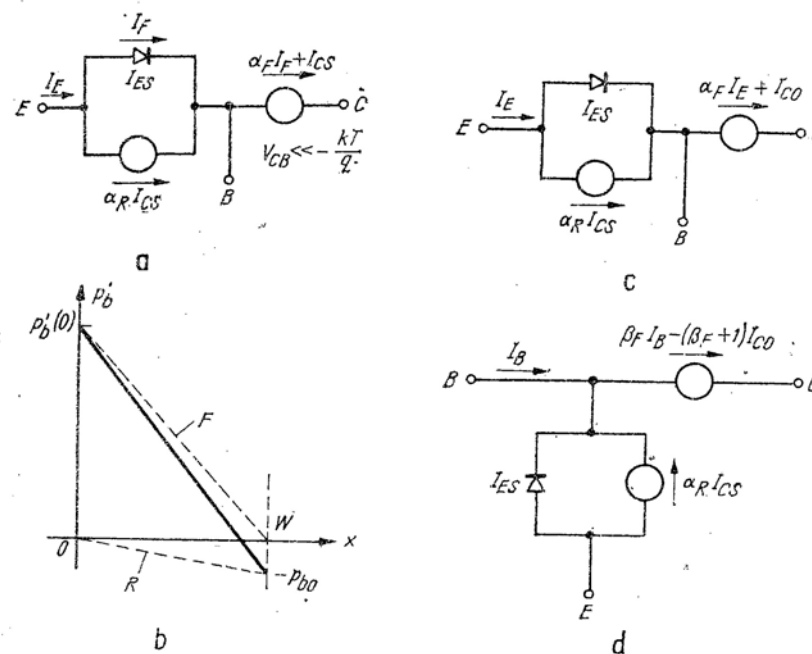


Fig. 21.9. Circuitele echivalente și distribuțiile de purtători pentru funcționarea în regiunea activă directă:

a — circuitul echivalent pentru un tranzistor *nnp*; b — distribuția de purtători; c — circuitul echivalent pentru un tranzistor *nnp* cu generator dependent controlat prin  $I_E$ ; d — circuitul echivalent pentru un tranzistor *nnp* cu generator dependent controlat prin  $I_B$ .

cureții de saturație ai diodelor de colector corespunzătoare. Astfel, circuitul echivalent *nnp* din fig. 21.3 a se reduce la circuitul echivalent din fig. 21.9 a pentru funcționarea în regiunea activă normală. În fig. 21.9 b

se reprezintă distribuția corespunzătoare de purtători din regiunea bazei. Acest circuit echivalent trebuie să fie comparat cu circuitul echivalent din fig. 7.9 a, care are la bază o analiză în care s-a neglijat de fapt componenta inversă a distribuției de purtători. Efectul componentei inverse este de a aduna componenta  $-I_{CS}$  la curentul de colector și componenta  $\alpha_R I_{CS}$  la curentul de emitor. Evident, aceste componente au efect neglijabil dacă tranzistorul funcționează în plină regiune activă, în care caz curentul  $I_F$  este mult mai mare decât  $I_{CS}$ .

Dacă folosim legea lui Kirchhoff pentru curenți pentru a exprima  $I_F$  din circuitul echivalent din fig. 21.9 a funcție de curentul terminal  $I_B$ , rezultă circuitul echivalent din fig. 21.9 c (vezi problema P.21.5). Acest circuit echivalent trebuie comparat cu cel din fig. 7.11 a, unde s-a postulat că se consideră două generatoare de curent constant pentru o valoare constantă mică a lui  $q_R$ .

Desigur, circuitul echivalent static din fig. 21.9 c poate fi de asemenea pus într-o formă în care generatorul dependent este controlat de curentul de bază. Avem:

$$I_B = -(I_B + I_C).$$

Astfel:

$$I_C = -(\alpha_F I_B + I_{CO}) = \alpha_F I_B + \alpha_F I_C - I_{CO}$$

sau:

$$I_C = \beta_F I_B - (\beta_F + 1) I_{CO} \quad (21.33)$$

unde  $\beta_F = \alpha_F / (1 - \alpha_F)$ . Circuitul echivalent care se obține, care este reprezentat în Fig. 21.9 d, este același cu cel din fig. 7.11 b.

Se pot dezvolta modele similare approximate pentru regiunea activă, pentru tranzistoare npn. Se observă că componentele dependente ale generatorilor de curent din circuitele echivalente din Fig. 21.9 c și d nu sînt inversate în formele npn ale acestor circuite echivalente, deși componentele independente au semn opus și dioda și celelalte generatoare sînt inversate. Componentele dependente ale generatoarelor de curent de colector rămîn aceleași pentru că ele depind de un curent terminal, care are aceeași direcție de referință și pentru tranzistoare npn, și pnp (vezi problema P.21.6).

Circuitul echivalent dinamic din fig. 21.6 poate fi redus pentru aplicarea în regiunea activă cu simplificări similare. Cînd joncțiunea de colector este polarizată invers cu mai mult de cîțiva  $kT/q$ , sarcina inversă  $q_R$  este fixată la  $-Q_{RO}$  și este virtual zero. Specific, dacă presupunem că  $\alpha_R = 0,2$ ,  $I_{CS} = 10^{-10}$  A și  $\tau_R = 1$  nsec, care sînt valori tipice pentru un tranzistor de siliciu de putere mică, avem:

$$Q_{RO} = \alpha_R I_{CS} \tau_R = 0,2 \times 10^{-19} \text{ coulomb}$$

care este mai mică decît sarcina unui singur electron. În concluzie, relațiile (21.20 b și c) se reduc la:

$$i_C = -\frac{q_F}{\tau_F} + \frac{dq_{VC}}{dt} \quad (21.34a)$$

$$i_B = -\frac{q_F}{\tau_{BF}} - \frac{dt}{d} (q_F + q_{VE} + q_{VC}) \quad (21.34b)$$

Circuitul echivalent corespunzător pentru regiunea activă este dat în fig. 21.10. Acest circuit echivalent, este, desigur, echivalent cu modelul cu control prin sarcină dezvoltat în paragraful 8.1.2. și reprezentat în fig. 8.5.

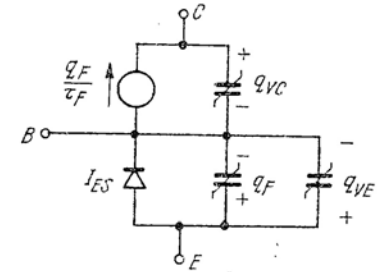


Fig. 21.10. Circuitul echivalent al modelului cu control prin sarcină pentru regiunea activă.

În unele cazuri, la o polarizare directă a diodei de emitor în plus cu numai cîteva zecimi de volt,  $q_F$  va fi mult mai mare decît  $q_{VE}$ , astfel încît în relația (21.34 b) se poate neglijă și termenul următor. Aceste sarcini sînt comparate în fig. 8.7, care este repetată aici ca fig. 21.11.

La majoritatea tranzistoarelor care se fabrică în prezent, este rezonabil să se presupună că în regiunea activă, curentul de colector din relația (21.34 a) este determinat în principal de termenul  $q_F / \tau_F$ , iar termenul  $dq_{VC}/dt$  poate fi neglijat, adică:

$$i_C \approx -q_F / \tau_F \quad (21.35a)$$

Această aproximație este analogă cu aproximarea de semnal mic a neglijării încărcării lui  $C_\mu$  la ieșirea circuitului echivalent  $\pi$ -hibrid, în timp ce se păstrează efectul de încărcare a lui  $C_\mu$  în circuitul de intrare. Relațiile (21.34 b) și (21.35 a) pot fi combinate ca să se obțină:

$$i_B = \frac{i_C}{\beta_F} + \tau_F \frac{di_C}{dt} - \frac{d(q_{VE} + q_{VC})}{dt} \quad (21.35 b)$$

Această relație se poate folosi pentru a determina  $i_C(t)$  pentru un curent specificat de comandă pe bază. Sarcina regiunii de sarcină spațială a joncțiunii de colector,  $q_{VC}$ , este legată de  $i_C$  prin parametrii circuitului în care este conectat tranzistorul. În general, această relație este neliniară.

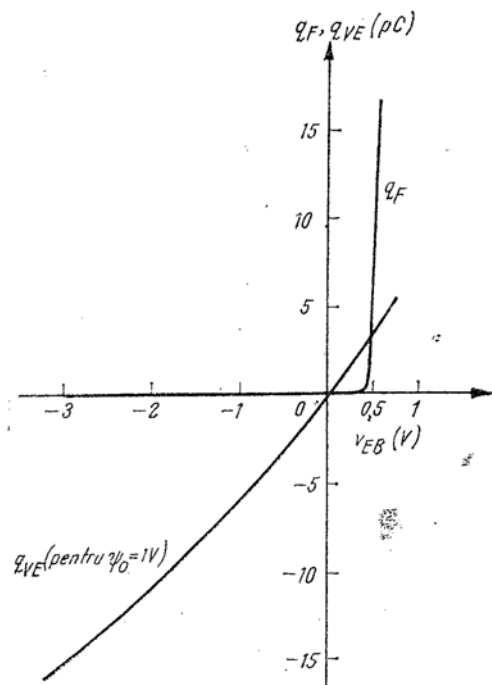


Fig. 21.11. Comparatie între dependența sarcinii din regiunea bazei  $q_F$  și a sarcinii regiunii de sarcină spațială a emitorului funcție de tensiunea emitor bază  $v_{EB}$ .

Dacă tranzistorul este comandat cu curenți mari de bază, cea mai mare parte a curentului de bază va fi folosită pentru modificarea sarcinii stocate în timpul tranziției și aproape nici o cantitate de curent nu va fi necesară pentru a menține recombinarea. În acest caz, relațiile (21.34) pot fi simplificate ulterior prin neglijarea termenului  $q_F/\tau_{BF}$  în relația (21.34 b).

Întrucât regiunea activă inversată diferă de regiunea activă normală numai prin faptul că emitorul și colectorul sînt schimbați între ei, nu este necesară o discuție ulterioară a modelelor pentru această regiune.

### 21.4.2. Regiunea de blocare

Regiunea de blocare de funcționare a unui tranzistor poate fi modelată foarte simplu pentru că nu există injecție de purtători minoritari în bază. Astfel, circuitul echivalent static din fig. 21.3 se reduce la forma arătată în fig. 21.12 a. În multe cazuri, în particular pentru tranzistoare de siliciu,

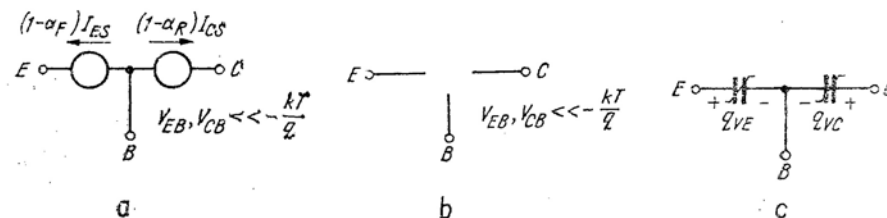


Fig. 21.12. Regiunea de blocare este caracterizată prin curenți terminali constanți și mici și prin inexistența cuplajului între emitor și colector:

a - circuitul echivalent static pentru un tranzistor pnp; b - circuitul echivalent aproximativ; c - circuitul echivalent dinamic pentru regiunea de blocare

curenții de saturație sînt atît de mici încît pot fi complet neglijăți și circuitul echivalent poate fi reprezentat ca un circuit în gol, așa cum se arată în fig. 21.12 b. Adică, un tranzistor care lucrează în regiunea de blocare poate fi considerat într-o primă aproximație, ca neavînd conexiuni interne între cele trei terminale.

Simplificări similare se fac în modelul cu control prin sarcină, cînd funcționarea este limitată la regiunea de blocare. Așa cum s-a observat mai sus, nu există nici o injecție de purtători minoritari, astfel încît  $q_F$  și  $q_R$  trebuie să fie nuli. Aceasta se reprezintă grafic în fig. 21.11, în care se dau sarcina regiunii de sarcină spațială  $q_{VE}$  și sarcina directă din bază  $q_F$ , funcție de  $v_{EB}$ . Pentru  $v_{EB}$  mai mic decît cîteva zecimi de volt și pozitiv,  $q_F$  este virtual zero. Evident,  $q_{VE}$  este singura sarcină semnificativă asociată cu dioda emitor-bază polarizată invers. Similar pentru dioda de colector,  $q_R$  este zero, dar  $q_{VC}$  este important. În concluzie tot curentul de bază este folosit pentru a modifica sarcina în regiunile de sarcină spațială. Astfel, pentru regiunea de blocare, relațiile (21.20) se simplifică la:

$$i_E = \frac{dq_{VE}}{dt} \quad (21.36 \text{ a})$$

$$i_C = \frac{dq_{VC}}{dt} \quad (21.36 \text{ b})$$

$$i_B = -\frac{d}{dt}(q_{VE} + q_{VC}). \quad (21.36 \text{ c})$$

Circuitul echivalent al regiunii de blocare corespunzător acestor ecuații se reprezintă în fig. 21.12 c.

### 21.4.3. Regiunea de saturație

Regiunea de saturație de funcționare corespunde la polarizarea directă a ambelor joncțiuni. Dacă dorim să păstrăm natura neliniară exponențială a joncțiunilor, nu este posibilă nici o simplificare a circuitelor echivalente statice din fig. 21.3. Totuși, în multe cazuri se pot neglija în întregime tensiunile directe mici ale joncțiunilor și tranzistorul poate fi modelat ca în fig. 21.13, respectiv ca un scurtcircuit între toate cele trei terminale. Această neglijare completă a tensiunilor directe ale joncțiunilor este echivalentă cu înlocuirea diodelor exponențiale cu diode ideale, cu caracteristica liniarizată pe porțiuni.

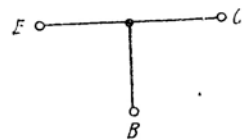


Fig. 21.13. Un circuit echivalent aproximativ pentru regiunea de saturație.

Domeniul curenților terminali statici pentru care se aplică circuitul echivalent aproximativ al regiunii de saturație din fig. 21.13 poate fi determinat prin inspectarea circuitului echivalent din fig. 21.4 a. Ambele diode din circuitul echivalent al unui tranzistor *pnp* vor fi polarizate direct dacă următoarele inegalități sunt satisfăcute simultan:

$$\alpha_F I_E > -I_C \quad (21.37 \text{ a})$$

$$\alpha_R I_C > -I_E \quad (21.37 \text{ b})$$

Dacă folosim legea lui Kirchhoff pentru curenți ( $I_B + I_E + I_C = 0$ ) pentru a introduce  $I_B$ , aceste inegalități devin:

$$\alpha_F I_E > I_E + I_B \quad (21.38 \text{ a})$$

$$\alpha_R I_C > I_C + I_B \quad (21.38 \text{ b})$$

sau, echivalent:

$$-I_B > (1 - \alpha_F) I_E \quad (21.39 \text{ a})$$

$$-I_B > (1 - \alpha_R) I_C \quad (21.39 \text{ b})$$

Acum distingem trei moduri posibile de funcționare a unui tranzistor în regiunea de saturație. În primul mod de funcționare emitorul este polarizat direct mai mult decât colectorul, astfel încât curentul intră în regiunea bazei prin joncțiunea emitorului și iese prin joncțiunea colectorului. În acest mod de funcționare, care este de obicei denumit *regiune de saturație directă*,  $I_E$  este pozitiv și  $I_C$  este negativ. Astfel, distribuția de purtători în exces din bază are forma din fig. 21.14 a; gradientul distribuției este astfel încât purtătorii minoritari difuzează din emitor în colector. Pentru a fi satisfăcută inegalitatea din formula (21.39 a),  $I_B$  trebuie să fie negativ și mai mare ca mărime decât  $(1 - \alpha_F) I_E$ . Întrucât  $I_C$  este negativ în acest mod de funcționare, inegalitatea din formula (21.39 b) este permanent satisfăcută. Astfel, condiția de curenți care trebuie satisfăcută pentru ca tranzistorul să fie saturat și pentru circuitul echivalent din fig. 21.13, în cazul când  $I_E$  este pozitiv și  $I_C$  negativ, este:

$$-I_B > (1 - \alpha_F) I_E \quad (21.40 \text{ a})$$

sau, echivalent:

$$-I_B > -\frac{I_C}{\beta_F} \quad (21.40 \text{ b})$$

unde  $\beta_F = \alpha_F / (1 - \alpha_F)$ .

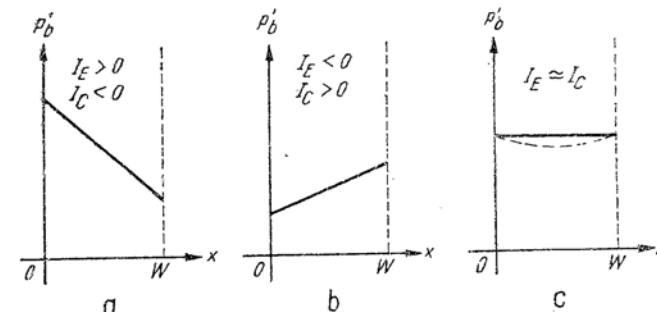


Fig. 21.14. Distribuțiile de purtători în exces pentru funcționarea în regiunea de saturație:

a - saturația directă; b - saturația inversă; c -  $I_E = I_C > 0$

Pentru al doilea mod de funcționare, numit *regiune de saturație inversă*, colectorul este polarizat direct mai mult decât emitorul, astfel încât curentul intră în colector și iese din emitor. În acest mod de funcționare,  $I_C$  este pozitiv și  $I_E$  este negativ. Distribuția de purtători în exces în bază



este astfel încît purtătorii difuzează de la colector la emitor așa cum se reprezintă în fig. 21.14 b. Condiția impusă curenților se poate scrie ca :

$$-I_B > (1 - \alpha_R) I_C \quad (21.41 \text{ a})$$

sau ca :

$$-I_B > -\frac{I_E}{\beta_R} \quad (21.41 \text{ b})$$

unde  $\beta_R = \alpha_R / (1 - \alpha_R)$ . Din nou,  $I_B$  trebuie să fie negativ.

A treia și ultima posibilitate pentru un tranzistor *pnp* care lucrează cu tensiuni directe aplicate ambelor joncțiuni este ca să intre curent în bază și în ambele joncțiuni. Adică, și  $I_E$ , și  $I_C$  sînt pozitivi. Această situație se produce dacă joncțiunile sînt polarizate direct cu aproximativ aceeași tensiune. Astfel,  $I_B$  trebuie să fie din nou negativ și mai mare cantitativ decît cel mai mare dintre termenii  $(1 - \alpha_F) I_E$  și  $(1 - \alpha_R) I_C$ .

Distribuția de purtători în exces în acest caz are forma reprezentată în fig. 21.14 c; nu există nici un gradient în bază. Această distribuție apare ca inconsistentă cu condiția de a avea și  $I_E$ , și  $I_C$  pozitivi, pentru că am neglijat influența recombinării în bază asupra distribuției de purtători în exces (dar nu asupra curentului de bază). În situația ilustrată în fig. 21.14 c nu există circulație de curent de la emitor la colector sau invers; în întregime, și  $I_E$ , și  $I_C$  sînt folosiți pentru recombinare. În concluzie, neglijarea recombinării este, în acest caz special, nejustificată și conduce la o distribuție inconsistentă. Dacă considerăm recombinarea în evaluarea distribuției de purtători în exces, obținem o distribuție cu o ușoară curbă sus, așa cum arată curba punctată. Astfel pantele în  $x = 0$  și  $x = W$  au semnul corespunzător pentru a justifica valorile pozitive ale curenților  $I_E$  și  $I_C$  și astfel, dispăre inconsistența aparentă (vezi problema P. 21.7).

Condițiile impuse curenților care trebuie să existe pentru ca un tranzistor *nnp* să fie în regiunea de funcționare în saturație, sînt, pentru circuitul echivalent din fig. 21.4 b:

$$\alpha_F I_E < -I_C \quad (21.42 \text{ a})$$

$$\alpha_R I_C < -I_E. \quad (21.42 \text{ b})$$

Cînd se introduce curentul de bază, inegalitățile devin:

$$I_B > -(1 - \alpha_F) I_E \quad (21.43 \text{ a})$$

$$I_B > -(1 - \alpha_R) I_C. \quad (21.43 \text{ b})$$

Aceste inegalități arată că curentul de bază al unui tranzistor *nnp* saturat trebuie să fie pozitiv, indiferent de polaritățile lui  $I_E$  și  $I_C$ .

Regimul dinamic al unui tranzistor în saturație este determinat de sarcina în exces din regiunea bazei. În regiunea de saturație și  $v_{EB}$ , și  $v_{CB}$  sînt aproape constanți, astfel încît variațiile lui  $q_{VE}$  și  $q_{VC}$  pot fi neglijate. În concluzie, funcționarea unui tranzistor *pnp* din punct de vedere al sarcinii stocate în exces în regiunea bazei în regim de saturație este descrisă de relațiile (21.13); expresiile curenților de bază și colector sînt:

$$i_C = -\frac{q_F}{\tau_F} + \frac{dq_R}{dt} + q_R \left( \frac{1}{\tau_R} + \frac{1}{\tau_{BR}} \right) \quad (21.44 \text{ a})$$

$$i_B = -\frac{d}{dt} (q_F + q_R) - \frac{q_F}{\tau_{BF}} - \frac{q_R}{\tau_{BR}}. \quad (21.44 \text{ b})$$

Un circuit echivalent corespunzător este reprezentat în fig. 21.5. Ecuațiile (21.44) pot fi rezolvate pentru a obține componentele de sarcină  $q_F(t)$  și  $q_R(t)$ , imediat ce au fost specificați curenții de bază și colector. Soluțiile omogene pentru  $q_F(t)$  și  $q_R(t)$  în saturație implică două exponențiale, ale căror constante de timp sau frecvențe naturale diferă mult pentru valori tipice ale parametrilor modelului comenzi prin sarcină<sup>1)</sup>. Analiza detaliată arată că constanta de timp rapidă reprezintă o redistribuire de sarcină între  $q_F$  și  $q_R$ , adică „alunecare” de sarcină dintr-o parte a regiunii bazei în cealaltă. Pe de altă parte, constanta de timp lentă reprezintă creșterea sau micșorarea simultană a lui  $q_F$  și  $q_R$ , adică „umplerea” regiunii de bază cu sarcină furnizată de curentul de bază. Pentru majoritatea cazurilor constanta de timp pentru modul rapid este atît de mică încît se poate presupune că „alunecarea” are loc instantaneu și tranzistorul în saturație poate fi tratat ca un sistem cu o singură constantă de timp, în care regimul dinamic este dominat de modul „umplere”.

Întrucît în saturație există un pol dominant, corespunzător modului de funcționare lent sau de „umplere” descris mai sus, trebuie să fie posibil să se aproximeze ecuațiile (21.44) printr-o pereche de ecuații care au o singură sarcină ca variabilă independentă și o singură frecvență naturală. Noi realizăm această simplificare impunînd o relație între  $q_F$  și  $q_R$ . Mai întîi, exprimăm  $q_F(t)$  ca suma a două componente de sarcină:

$$q_F(t) = q_{BO} + q_{RS}(t). \quad (21.45 \text{ a})$$

Sarcina  $q_{BO}$  este sarcina din bază cerută de un tranzistor la saturația incipientă (nici o componentă inversă a sarcinii de bază). Adică:

$$q_{BO} = -\tau_F I_C \text{ (sat)} \quad (21.45 \text{ b})$$

<sup>1)</sup> Vezi de exemplu paragraful 10.4.2 al referinței bibliografice [21.1].

Sarcina  $q_{FS}(t)$  reprezintă partea din  $q_F$  în plus față de cea necesară să se aducă tranzistorul la limita de saturație cu un curent de colector  $I_C(sat)$ .

Funcție de aceste componente ale lui  $q_F$ , sarcina totală în exces în bază  $q_B(t)$  se poate scrie ca :

$$q_B(t) = q_F(t) + q_R(t) = q_{BO} + q_S(t) \quad (21.45 \text{ c})$$

unde :

$$q_S(t) = q_{FS}(t) + q_R(t). \quad (21.45 \text{ d})$$

Evident,  $q_S(t)$  reprezintă sarcina suplimentară din bază în regiunea de saturație. Descompunerea lui  $q_B$  în  $q_{BO}$  și  $q_S$  este ilustrată în fig. 21.15.

Cînd se folosește relația (21.45 a) pentru a substitui  $q_F$  în ecuația modelului cu control prin sarcină pentru curentul de colector [relația 21.44 a)] obținem :

$$I_{C(sat)} = -\frac{q_{BO}}{\tau_F} - \frac{q_{FS}(t)}{\tau_F} + q_R(t) \left( \frac{1}{\tau_R} + \frac{1}{\tau_{BR}} \right) + \frac{dq_R}{dt} \quad (21.46)$$

sau, folosind ecuația de definiție pentru  $q_{BO}$  [relația (21.45 b)] :

$$q_{FS}(t) \left( \frac{1}{\tau_F} \right) = q_R(t) \left( \frac{1}{\tau_R} + \frac{1}{\tau_{BR}} \right) + \frac{dq_R}{dt}. \quad (21.47)$$

Introducem acum o aproximare care este echivalentă cu neglijarea modului de funcționare rapid sau cu „alunecare”. Presupunem că  $q_{FS}(t)$  și  $q_R(t)$  sînt legate între ele în condiții dinamice exact în același fel în care sînt legate static. Cu alte cuvinte, neglijăm termenul  $dq_R/dt$  în ecuațiile (21.46) și (21.47). Această constrîngere între  $q_{FS}(t)$  și  $q_R(t)$  poate fi folosită împreună cu definirea lui  $q_S(t)$  astfel ca să exprime ecuația modelului cu control prin sarcină pentru curentul de bază [ecuația (21.44 b)] numai funcție de  $q_S(t)$ . Rezultatul acestei manevrări algebrice a trei relații liniare este o ecuație diferențială de ordinul întâi (vezi problema P.21.9) :

$$i_B(t) = -\frac{q_{BO}}{\tau_{BF}} - \frac{q_S(t)}{\tau_S} - \frac{dq_S(t)}{dt} \quad (21.48)$$

unde  $\tau_S$  este :

$$\tau_S = \frac{\alpha_F(\tau_F + \alpha_R\tau_R)}{1 - \alpha_F\alpha_R} \quad (21.49 \text{ a})$$

sau, în termeni de  $\beta_F$  și  $\beta_R$  :

$$\tau_S = \frac{\tau_{BF}(\beta_R + 1) + \tau_{BR}\beta_F}{\beta_F + \beta_R + 1}. \quad (21.49 \text{ b})$$

Din ecuația (21.48) este clar că parametrul modelului cu control prin sarcină în regiunea de saturație  $\tau_S$  este timpul de viață aparent care caracterizează recombinarea lui  $q_S$ ; el este o medie ponderată între  $\tau_{BR}$  și  $\tau_{BF}$ , în care ponderile reflectă descompunerea lui  $q_S$  în  $q_{FS}$  și  $q_{BR}$ . Ecuația (21.48) arată că  $\tau_S$  este constanta de timp care determină modul de funcționare cu „umplere”.

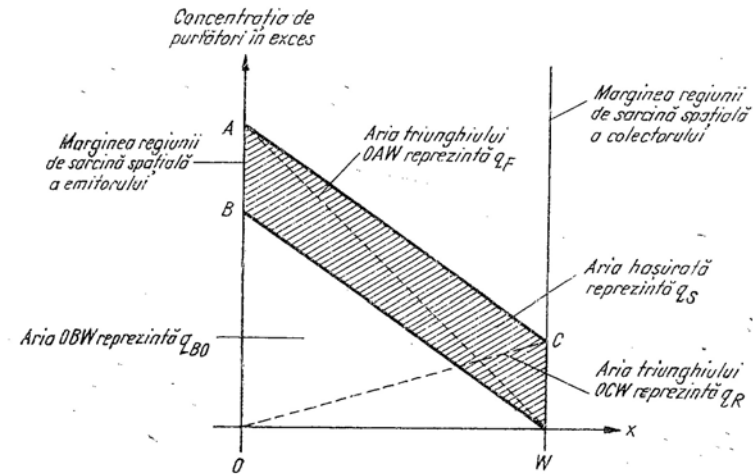


Fig. 21.15. Componentele sarcinii în exces din bază în regiunea de saturație. Deși ariile triunghiulare sînt proporționale cu componentele de sarcină, așa cum s-a arătat, constantele de proporționalitate nu sînt identice.

Primul termen din membrul drept al ecuației (21.48) poate fi exprimat funcție de  $I_C(sat)$  :

$$-\frac{q_{BO}}{\tau_{BF}} = \frac{\tau_F}{\tau_{BF}} I_C(sat) \quad (21.50 \text{ a})$$

sau :

$$-\frac{q_{BO}}{\tau_{BR}} = \frac{I_C(sat)}{\beta_F} = i_{BO}. \quad (21.50 \text{ b})$$

Acest termen corespunde curentului de bază  $i_{BO}$  cerut de un tranzistor la limita de saturație. În concluzie, o altă formă a ecuației liniare a modelului cu control prin sarcină în regiunea de saturație este:

$$i_B(t) - i_{BO} = -\left(\frac{q_s}{\tau_s} + \frac{dq_s}{dt}\right). \quad (21.51)$$

Sub această formă, ecuația modelului cu control prin sarcină subliniază că curentul suplimentar de bază peste cel necesar la limita de saturație este legat direct de sarcina suplimentară din bază la saturație prin formula cunoscută a legii conservării sarcinii.

Deși această analiză s-a bazat pe ecuațiile pentru o structură *pnp*, rezultatul ecuației (21.51) se aplică la fel de bine dispozitivelor *pnp*, dacă semnele din membrul drept se schimbă.

## 21.5. APLICAȚII ALE MODELELOR DE CIRCUIT EBERS-MOLL

### 21.5.1. Evaluarea parametrilor

Așa cum am văzut în paragraful 21.2, funcționarea statică a unui tranzistor bipolar se poate reprezenta cu ajutorul modelelor Ebers-Moll reprezentate în fig. 21.3 și 21.4. Aceste modele conțin patru parametri sau coeficienți — doi curenți de saturație și două amplificări de curent — din care numai trei sînt independenți. Coeficienții trebuie determinați înainte ca modelele să poată fi folosite în analiza de circuite.

Cheia evaluării acestor parametri stă în măsurarea caracteristicilor terminale  $I-V$  în condiții speciale alese corespunzător. De exemplu, dacă un tranzistor lucrează cu joncțiunea de colector scurtcircuitată, adică cu  $V_{CB} = 0$ , modelele din fig. 21.3 [sau ecuațiile (21.4) și (21.5)] arată că curentul notat cu  $I_R$  (sau  $I_{CR}$ ) este zero. Astfel  $I_{CS}$  și  $\alpha_R$  nu trebuie să apară în modele și avem:

$$\alpha_F = -\frac{I_C}{I_B} \Big|_{V_{CB}=0} \quad (21.52 \text{ a})$$

sau, echivalent:

$$\beta_F = \frac{I_C}{I_B} \Big|_{V_{CB}=0}. \quad (21.52 \text{ b})$$

De asemenea:

$$I_E = I_{ES} (e^{qV_E/KT} - 1) \Big|_{V_{CB}=0}. \quad (21.52 \text{ c})$$

Această ecuație este de fapt caracteristica  $I-V$  a diodei cu joncțiune [conform relației (4.20)]. Ea arată că  $I_{ES}$  poate fi determinat reprezentînd  $\ln I_E$  funcție de  $qV_{EB}/kT$ . Pe de altă parte, joncțiunea de emitor poate fi polarizată invers, în care caz  $I_{ES} = -I_E$ .

Este necesar, totuși, să se facă o observație. Modelul Ebers-Moll se bazează pe o analiză în care curenții terminali provin numai din circulația și recombinarea purtătorilor în exces în regiunile neutre.

Această analiză neglijează curenții asociați cu generarea și recombinarea în regiunile de sarcină spațială ale joncțiunilor. Deși acești curenți de generare-recombinare în regiuni de sarcină spațială sînt neglijabili cînd o joncțiune este polarizată direct, ei sînt adesea dominanți cînd o joncțiune este polarizată invers, în particular în dispozitivele cu siliciu la temperaturi joase. În asemenea cazuri, curentul invers măsurat al joncțiunii va fi substanțial mai mare decît oricare din curenții de saturație prevăzuți în analiza noastră sau valoarea lui  $I_{ES}$  măsurată prin folosirea relației (21.52 c) în condiții de polarizare directă. Astfel, este necesar să se facă măsurarea parametrului, corespunzător condițiilor în care va fi folosit modelul. Dacă modelul trebuie folosit în regiunile activă și de saturație, unde joncțiunea de emitor este polarizată direct,  $I_{ES}$  trebuie să fie măsurat cu  $V_{EB}$  pozitiv. Pe de altă parte, dacă modelul trebuie folosit în regiunea de blocare, unde joncțiunile sînt polarizate invers,  $I_{ES}$  trebuie să fie măsurat cu  $V_{EB}$  negativ.

Parametrii inversi  $I_{CS}$  și  $\alpha_R$  pot fi măsurați într-un mod similar cu cel folosit pentru  $I_{ES}$  și  $\alpha_F$ , schimbînd între ele terminalele de emitor și colector.

Am descris măsurarea curenților de saturație cu cealaltă joncțiune scurtcircuitată. Aceste măsurări furnizează  $I_{ES}$  și  $I_{CS}$  direct. Circuitele echivalente din fig. 21.4 arată că dacă măsurările se fac cu o joncțiune cu terminalul opus în gol, se obțin  $I_{EO}$  și  $I_{CO}$ , direct.

În multe cazuri dorim să determinăm valori tipice pentru cei patru parametri Ebers-Moll mai curînd din foile de catalog ale fabricanților, decît direct din măsurări. Din fericire, nu se furnizează de obicei date suficiente, astfel încît trebuie făcută o muncă de deducere judicioasă.

Fiecare foaie de catalog va furniza informații pentru găsirea lui  $\alpha_F$ . În majoritatea cazurilor, se dă o valoare pentru cîștigul de curent în c.c.  $h_{FE}$  în regiunea activă. Prin definiție,

$$h_{FE} = \frac{I_C}{I_B}$$

adică,  $h_{FE}$  este raportul între curentul total de colector și curentul total de bază. Din modelul din fig. 21.9 d vedem că dacă  $I_{CO}$  ( $\beta_F + 1$ ) este mult mai mic decît  $I_C$ , așa cum va fi pentru  $I_C$  în domeniul mA pentru tranzistoare cu siliciu:

$$h_{FE} \approx \beta_F.$$

Deci :

$$\alpha_F = \frac{h_{FE}}{h_{FE} + 1}$$

În majoritatea cazurilor foile de catalog furnizează informație și despre curentul de saturație de colector. Parametrii specificați de obicei sînt sau  $I_{CES}$ , care este echivalent cu  $I_{CS}$ , sau  $I_{CBO}$ , pe care noi l-am notat  $I_{CO}$ . În mod frecvent se dă caracteristica curent invers funcție de tensiunea de polarizare așa cum se arată în fig. 21.16<sup>1)</sup>. În această eventualitate, trebuie aleasă sau valoarea la o tensiune mică sau valoarea la o tensiune ridicată, funcție de aplicația intenționată, așa cum s-a discutat mai sus.

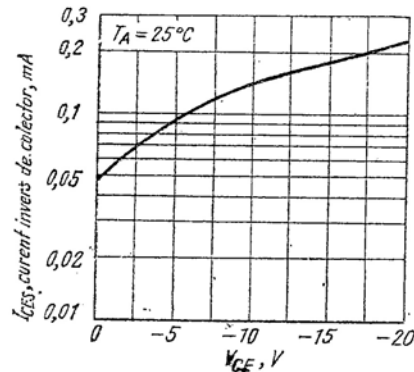


Fig. 21.16. Curentul invers colector – bază funcție de tensiunea de polarizare inversă.

Din păcate, fabricanții furnizează rareori informații care pot fi folosite pentru a determina sau  $\alpha_R$ , sau curentul de saturație de emitor. Totuși, se cunoaște că  $\alpha_R$  este probabil undeva între 0,5 și 0,9 corespunzător lui  $\beta_R$  între 1 și 10. Astfel, pentru că  $\alpha_F$  este totdeauna aproape de unitate, putem estima curentul de saturație de emitor din ecuațiile (21.8) :

$$I_{ES} = \frac{\alpha_R}{\alpha_F} I_{CS} \approx \frac{I_{CS}}{2}$$

sau :

$$I_{EO} \approx \frac{I_{CO}}{2}$$

<sup>1)</sup> Dependența de tensiune a curenților inverși măsurați reflectă faptul că, în particular tranzistoarele cu siliciu, la alte temperaturi decât temperaturile ridicate, curenții sînt dominați de curenții de generare din regiunea de sarcină spațială. Acești curenți sînt proporționali cu volumul de sarcină spațială, care crește cu tensiunea inversă și astfel lățimea regiunii de sarcină spațială crește.

### 21.5.2. Caracteristicile de transfer ale unui amplificator

În fig. 21.17 se reprezintă curentul unui amplificator cu emitorul comun. Folosim un model de circuit Ebers-Moll pentru a investiga caracteristicile de transfer statice ale acestui amplificator pentru toate valorile tensiunii de intrare  $v_i$ , nu numai pentru domeniul limitat de valori în care tranzistorul lucrează în regiunea activă. Folosim circuitul echivalent din fig. 21.4 b pentru a reprezenta tranzistorul npn și înlocuim diodele exponențiale cu diode ideale cu caracteristici liniarizate pe porțiuni.

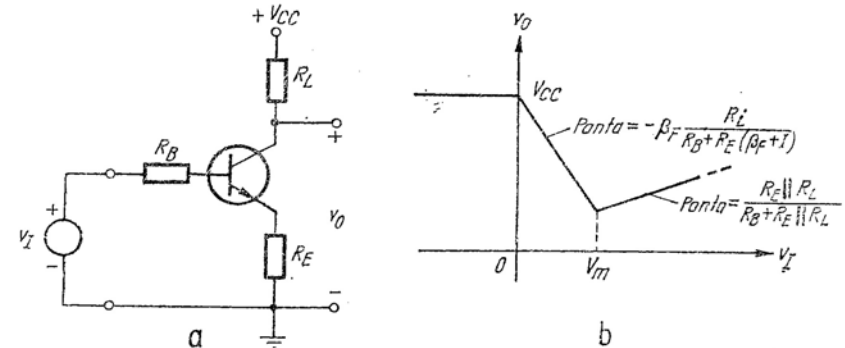


Fig. 21.17. Amplificatorul cu emitorul comun și caracteristica lui statică de transfer: a – circuitul; b – caracteristica de transfer.

Aceasta este echivalent cu a presupune că diodele exponențiale au valori neglijabil de mici ale curenților de saturație și căderilor de tensiune directă.

Considerăm funcționarea circuitului când tensiunea de intrare variază de la valori mari negative la valori mari pozitive. Întrucît curentul de bază al unui tranzistor npn care are curenți de saturație neglijabili nu poate fi negativ, tensiunea de la bază la masă nu poate fi mai pozitivă decât  $v_i$ . Astfel, cînd  $v_i$  este negativă, tensiunea de la bază la masă trebuie să fie negativă, joncțiunea de emitor trebuie să fie polarizată invers și tranzistorul trebuie să fie blocat (polaritatea tensiunii de alimentare din colector este astfel încît să polarizeze invers joncțiunea de colector). În concluzie, cînd  $v_i$  este negativ se aplică modelul pentru regiunea de blocare din fig. 21.12 b, și circuitul se reduce la cel reprezentat în fig. 21.18 a, Terminalul de ieșire este efectiv deconectat de terminalul de intrare și tensiunea de ieșire este :

$$v_o = +V_{CC} \quad (21.53)$$

Cînd  $v_I$  devine pozitiv, joncțiunea de emitor devine polarizată direct și tranzistorul intră în regiunea activă directă. Astfel, se aplică circuitul echivalent din fig. 21.9 *d* dacă considerăm  $I_{CS}$  și  $I_{CO}$  egali cu zero (presupunem că curenții de saturație sînt neglijabil de mici) și înlocuim dioda

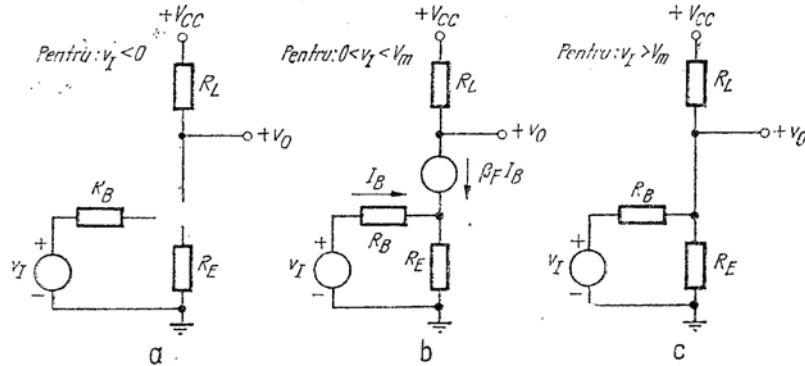


Fig. 21.18. Circuitele echivalente care se aplică în trei regiuni de funcționare ale circuitului din fig. 21.17;

a - regiunea de blocare; b - regiunea activă directă; c - regiunea de saturație.

de emitor cu un scurtcircuit. În această regiune funcționarea circuitului se reduce la cea reprezentată în fig. 21.18 *b*. Dacă aplicăm legea lui Kirchhoff pentru tensiuni în buclă de intrare, obținem:

$$v_I = R_B I_B + R_E (\beta_F + 1) I_B. \quad (21.54 \text{ a})$$

În bucla de ieșire avem:

$$v_O = V_{CC} - \beta_F R_L I_B. \quad (21.54 \text{ b})$$

Eliminând  $I_B$  între aceste ecuații se obține:

$$v_O = V_{CC} - \beta_F \frac{R_L}{R_B + R_E (\beta_F + 1)} v_I. \quad (21.55)$$

Desigur, acest rezultat se aplică numai atîta timp cît tranzistorul rămîne în regiunea activă directă. Întrucît  $v_O$  scade în timp ce  $v_I$  crește și întrucît tensiunea de la bază la masă crește, tensiunea colector-emitor cade

eventual la zero, joncțiunea de colector își schimbă starea și tranzistorul iese din regiunea activă. La limita de saturație avem, întrucît  $I_C \approx -I_E$ :

$$I_C (R_L + R_E) = V_{CC}. \quad (21.56 \text{ a})$$

Astfel, valoarea corespunzătoare a curentului de bază chiar la limita de saturație este:

$$I_B = \frac{I_C}{\beta_F} = \frac{V_{CC}}{\beta_F (R_L + R_E)}. \quad (21.56 \text{ b})$$

Valoarea tensiunii de intrare  $V_m$  la care tranzistorul iese din regiunea activă este:

$$V_m = [R_B + R_E (\beta_F + 1)] \frac{V_{CC}}{\beta_F (R_L + R_E)}. \quad (21.56 \text{ c})$$

Pentru tensiuni de intrare mai mari decît  $V_m$ , tranzistorul este saturat și se aplică circuitul echivalent din fig. 21.13. Astfel, curentul se reduce la cel arătat în fig. 21.18 *c*. Tensiunea de ieșire este, folosind superpoziția:

$$v_O = \frac{R_E || R_B}{R_L + R_E || R_B} V_{CC} + \frac{R_E || R_L}{R_B + R_E || R_L} v_I. \quad (21.57)$$

Am terminat astfel evaluarea caracteristicii de transfer a amplificatorului. Pentru  $v_I$  mai mic decît zero,  $v_O$  este dat de relația (21.53); pentru  $v_I$  pozitiv, dar mai mic decît  $V_m$ ,  $v_O$  este dat de relația (21.55); pentru  $v_I$  mai mare decît  $V_m$ ,  $v_O$  este dat de ecuația (21.57). Astfel, caracteristica de transfer este liniarizată pe porțiuni și are forma reprezentată în fig. 21.17 *b*.

### 21.5.3. Caracteristicile statice ale unui comutator cu tranzistor

Ca un al doilea exemplu de folosire a modelelor statice bazate pe ecuațiile Ebers-Moll și a conceptului de regiuni de funcționare, considerăm circuitul din fig. 21.19 *a*, în care este folosit un tranzistor *nnp* drept comutator, așa cum se vede la bornele *aa'*.

Pentru a explora funcționarea detaliată a circuitului, caracterizăm tranzistorul *nnp* prin circuitul echivalent reprezentat în fig. 21.19 *b*. Acesta este un model Ebers-Moll în care diodele exponențiale au fost înlocuite

cu diode ideale liniarizate pe porțiuni. Circuitul echivalent cu liniarizare completă pe porțiuni, care rezultă când tranzistorul este înlocuit cu acest model, este reprezentat în fig. 21.19 c. Acum evaluăm caracteristica de tip dipol, văzută la bornele  $aa'$ .

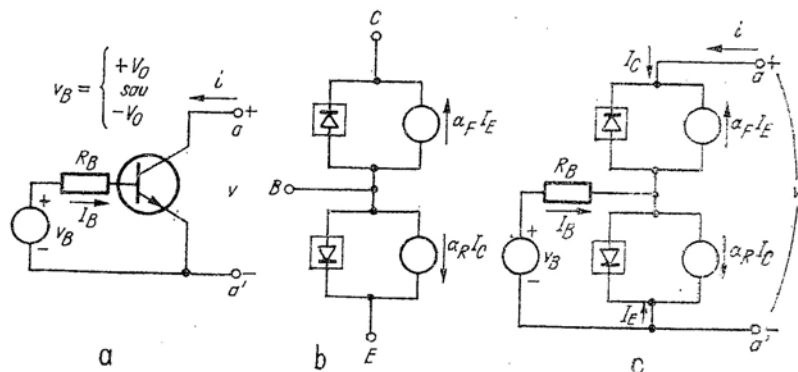


Fig. 21.19. Un comutator cu tranzistor:

a - circuitul; b - circuitul echivalent al tranzistorului; c - circuitul echivalent liniarizat pe porțiuni.

Sursa de tensiune  $v_B$ , care are două valori posibile, controlează starea tranzistorului comutator cu ajutorul curentului de bază. Când  $v_B = -V_B$ , joncțiunea emitor-bază este polarizată invers. Dacă domeniul lui  $V$  este limitat corespunzător, joncțiunea de colector este de asemenea polarizată invers și tranzistorul este blocat. În aceste condiții curentul  $i$  prin comutator este mic și tranzistorul comutator este considerat *deschis* sau în blocare. Dacă, pe de altă parte,  $v_B = +V_0$ , joncțiunea emitor-bază este polarizată direct și circulează un curent de bază. Dacă domeniul valorilor lui  $i$  este limitat corespunzător tranzistorul este în saturație, tensiunea  $v$  pe comutator este mică și comutatorul este considerat *închis* sau în conducție. Astfel starea comutatorului este controlată de  $v_B$ . Această configurație este utilă în circuite pentru că puterea cerută pentru a comanda comutatorul (puterea livrată lui  $R_B$  și tranzistorului prin  $v_B$ ) poate fi mult mai mică decât puterea care poate fi controlată la bornele  $aa'$ .

Considerăm mai întâi cazul când  $v_B = -V_0$ , adică când comutatorul trebuie să fie deschis și evaluăm caracteristica  $I-v$  la bornele  $aa'$ . Această polaritate a lui  $v_B$  polarizează invers joncțiunea de emitor. Mai mult, joncțiunea de colector va fi polarizată invers ( $V_{CB} > 0$ ) pentru toate valorile lui  $v$  din domeniul:

$$v > -V_0.$$

Dacă  $v$  satisface această inegalitate, tranzistorul este în regiunea de blocare și se aplică circuitul echivalent din fig. 21.12 b. Evident,  $i$  este zero pentru toate valorile lui  $v$  din acest domeniu. În fig. 21.20 a se reprezintă porțiunea corespunzătoare a caracteristicii de tip dipol în stare de blocare. Dacă  $v$  este mai mic decât  $-V_0$ , joncțiunea de colector devine polarizată

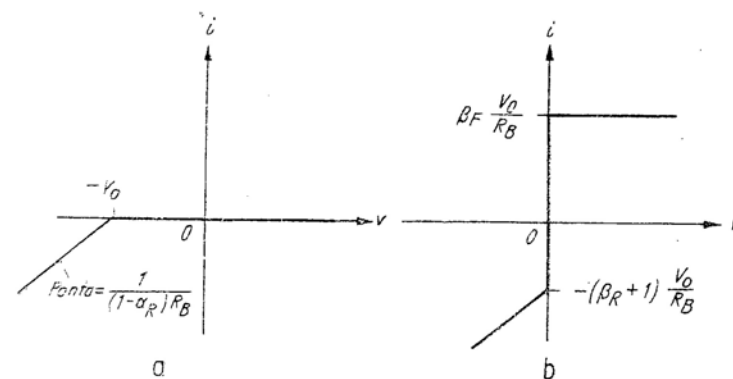


Fig. 21.20. Caracteristica de tip dipol a comutatorului cu tranzistor reprezentat în fig. 21.19:

a -  $v_B = -V_0$ , starea de blocare; b -  $v_B = +V_0$ , starea de conducție.

direct și  $i$  devine negativ. Căderea de tensiune pe  $R_B$  produsă de  $I_B$  tinde să crească polarizarea inversă a joncțiunii de emitor, astfel încât tranzistorul este în regiunea activă inversată. Căderea de tensiune pe diodă este zero. Deci:

$$v = -V_0 - I_B R_B \quad (21.58 \text{ a})$$

și:

$$I_B = -(1 - \alpha_R) I_C = -(1 - \alpha_R) i. \quad (21.58 \text{ b})$$

Dacă  $I_B$  este eliminat între aceste ecuații, obținem:

$$v = -V_0 + (1 - \alpha_R) R_B i \quad (21.58 \text{ c})$$

Această porțiune a caracteristicii de tip dipol are panta de  $1/(1 - \alpha_R) R_B$ , așa cum s-a indicat în fig. 21.20 a<sup>1)</sup>. Caracteristica arată că circuitul poate fi modelat ca un comutator deschis dacă  $v > -V_0$ .

<sup>1)</sup> Punctul de intersecție al segmentelor de dreaptă este punctul de deschidere al joncțiunii de colector.



Cînd  $v_B = +V_o$ , comutatorul este comandat pentru a fi închis. Curentul de bază este :

$$I_B = \frac{V_o}{R_B} \quad (21.59 a)$$

întrucît  $v_B$  se vede direct pe  $R_B$ . Tranzistorul va fi în regiunea de funcționare de saturație, unde  $v = 0$ , dacă  $i$  este limitat corespunzător ca domeniu. Cînd  $i$  este pozitiv și nu prea mare, tranzistorul npn este în saturație directă. În concluzie, limita superioară a lui  $i$  este dată de forma npn a ecuației (21.40 b), care poate fi scrisă ca :

$$i = I_C < \beta_F I_B$$

sau, folosind ecuația (21.59 a), ca :

$$i = I_C < \beta_F \frac{V_o}{R_B} \quad (21.59 b)$$

Cînd  $i$  este negativ și nu prea mare, tranzistorul este în saturație inversă. Limita inferioară corespunzătoare a lui  $i$  este, din ecuația (21.43 b):

$$i = I_C > -\left(\frac{1}{1 - \alpha_R}\right) I_B$$

sau, folosind relația (21.59 a) și definiția lui  $\beta_R$  :

$$i = I_C > -(\beta_R + 1) \frac{V_o}{R_B} \quad (21.59 c)$$

Tranzistorul este saturat între limitele date de relațiile (21.59 b) și (21.59c), unde se aplică circuitul echivalent din fig. 21.13 și  $v$  este zero, așa cum se reprezintă în fig. 21.20 b.

Dacă încercăm să creștem  $i$  peste valoarea determinată de relația (21.59 b), tranzistorul iese din regiunea de saturație și intră în regiunea activă directă, adică joncțiunea de colector devine polarizată invers în timp ce joncțiunea de emitor rămîne polarizată direct. Întrucît curentul de bază este fixat prin  $V_o$  și  $R_B$ , curentul comutatorului  $i$ , care este egal cu  $I_C$ , rămîne constant în timp ce  $v$  crește, așa cum se reprezintă în fig. 21.20 b. Dacă începem să reducem  $i$  sub valoarea dată de relația (21.59 c), tranzis-

torul intră în regiunea activă inversată, în care joncțiunea de colector este polarizată direct în timp ce joncțiunea de emitor devine polarizată invers. Astfel, se aplică relațiile (21.58) dacă se schimbă semnul lui  $V_o$  și caracteristica de tip dipol are din nou o pantă de  $1/(1 - \alpha_R)R_B$ . Caracteristica completă din fig. 21.20 b arată că circuitul poate fi modelat ca un comutator închis dacă  $i$  este în domeniul :

$$-(\beta_R + 1) \frac{V_o}{R_B} < i < \beta_F \frac{V_o}{R_B} \quad (21.60)$$

Comutatorul cu tranzistor a cărui funcționare a fost investigată poate fi folosit ca circuit „chopper” sau modulator cu întrerupere așa cum se arată

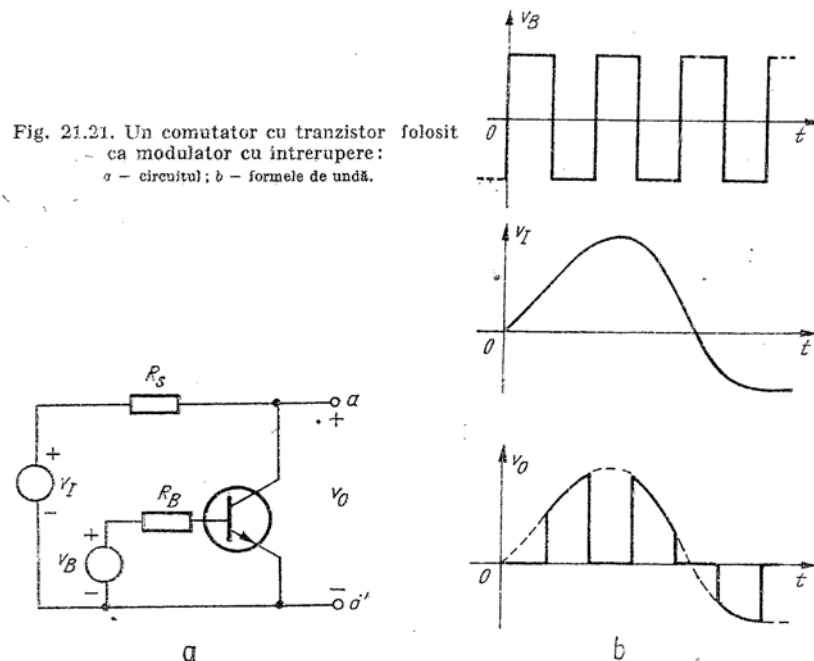


Fig. 21.21. Un comutator cu tranzistor folosit ca modulator cu întrerupere: a - circuitul; b - formele de undă.

în fig. 21.21a. Aici tranzistorul este comandat de o formă de undă dreptunghiulară, astfel încît funcționează în stările de blocare și conducție pe durata unor intervale de timp egale. Tensiunea  $V_o$  la bornele aa' este aproximativ zero cînd tranzistorul este în conducție și este aproximativ egală cu ten-



siunea de intrare cînd tranzistorul este blocat. Din teoria modulației se știe că dacă tensiunea de ieșire  $v_o$  este filtrată pentru a elimina componenta de joasă frecvență proporțională cu  $V_I$ , forma de undă rezultată reprezintă modulația lui  $v_B$  cu  $v_I$ .

## BIBLIOGRAFIE

- [21.1.] P. E. Gray și alții, „Physical Electronics and Circuit Models of Transistors”, Wiley, New York, 1964.  
 [21.2.] C. L. Searle și alții, „Elementary Circuit Properties of Transistors”, Wiley, New York, 1964.  
 [21.3.] Y. N. Harris și alții, „Digital Transistor Circuits”, Wiley, New York, 1966.

## PROBLEME

P. 21.1. Să se arate că modelul static *pnp* dat de ecuațiile (21.4) (fig. 21.3 a) este echivalent cu modelul dat de ecuațiile (21.6) (fig. 21.4 a) și verifică ecuațiile (21.7).

P. 21.2. Să se răspundă la următoarele întrebări desenînd un circuit care arată conexiunile tranzistorului, o baterie și un ampermetru de c.c. Să se indice polaritatea bateriei și direcția de referință a curentului. Presupunînd că funcționarea statică a tranzistorului este corespunzătoare celei descrise de modelul Ebers-Moll.

- (a) să se reprezinte un circuit de măsură a lui  $I_{ES}$  într-un tranzistor *nnp*;  
 (b) să se reprezinte un circuit de măsură a lui  $I_{CO}$  într-un tranzistor *pnp*.

P. 21.3. Să se verifice ecuațiile (21.18) și ecuația (21.19 e).

P. 21.4. Această problemă este legată de echivalența formei de semnal mic a ecuației (21.22 b) și a ecuației curentului de bază pentru circuitul echivalent  $\pi$ -hibrid, dată de relația (21.23 a).

(a) Să se arate că ecuația (21.23 a) se poate scrie ca :

$$i_b = \left( \frac{g\pi}{gm} \right) \frac{Q_b}{\tau_F} + \frac{dQ_b}{dt} + C_{je} \frac{dv_{be}}{dt} - C_{\mu} \frac{dv_{cb}}{dt}$$

unde  $Q_b$  este sarcina acumulată în  $C_b$  datorită lui  $v_{be}$ .

(b) Să se liniarizeze ecuația (21.22 b) pentru a obține :

$$i_b = \frac{Q_b}{\tau_{BF}} + \frac{dQ_b}{dt} + C_{je} \frac{dv_{be}}{dt} - C_{\mu} \frac{dv_{cb}}{dt}$$

Se observă că  $-Q_b$  este componenta la semnal mic a lui  $q_F$  și că într-un punct de funcționare particular  $dq_F/dt = C_{je} dv_{be}/dt = -C_{je} dv_{cb}/dt$ ; trebuie acordată o atenție specială semnelor în această ecuație. Întrucît  $g\pi/g_m = \beta^{-1}$ , aceste relații la semnal mic sînt echivalente (vezi pagina 274).

P. 21.5. Această problemă se referă la modelele care se aplică în regiunea de funcționare directă (vezi pagina 299).

(a) Să se scrie expresiile pentru  $I_E$  și  $I_C$  care se aplică la circuitul echivalent din fig. 21.9 a. Să se arate că aceste expresii sînt echivalente cu ecuațiile (21.4 a și b), dacă  $V_{CB} < -kT/q$ .

(b) Să se arate că circuitul echivalent din fig. 21.9 c poate fi dezvoltat din circuitul echivalent din fig. 21.9 a folosind legea lui Kirchhoff pentru curenți pentru a exprima  $I_F$  funcție de  $I_E$  și  $\alpha_R I_{CS}$ .

(c) Să se scrie expresiile lui  $I_E$  și  $I_C$  care sînt implicate de circuitul echivalent din fig. 21.9 c. Să se arate că aceste expresii sînt echivalente cu ecuațiile (21.4 a) și (21.6), dacă  $V < -kT/q$ .

(d) Să se arate că circuitul echivalent din fig. 21.9 d poate fi dezvoltat din circuitul echivalent din fig. 21.9 c folosind legea lui Kirchhoff pentru curenți pentru a exprima  $I_E$  funcție de  $I_B$  și  $I_C$ .

P. 21.6. Să se elaboreze circuitele echivalente pentru tranzistoare *nnp* analoage cu formele *pnp* din fig. 21.9 c și d. Reamintim că coeficienții  $\alpha_F$ ,  $\alpha_R$ ,  $I_{ES}$  și  $I_{CS}$  sînt cantități pozitive și în dispozitivele *nnp*, și *pnp*, și să se acorde o atenție specială polarităților și direcțiilor de referință.

P. 21.7. Această problemă este legată de funcționarea în regiunea de saturație a unui tranzistor *pnp*. Presupunem, pentru simplitate, că  $\alpha_F = \alpha_R = \alpha$  (astfel  $I_{ES} = I_{CS} = I_S$ ). Presupunem de asemenea că curentul de emitor este fixat la valoarea  $I$  pentru toate condițiile descrise mai jos.

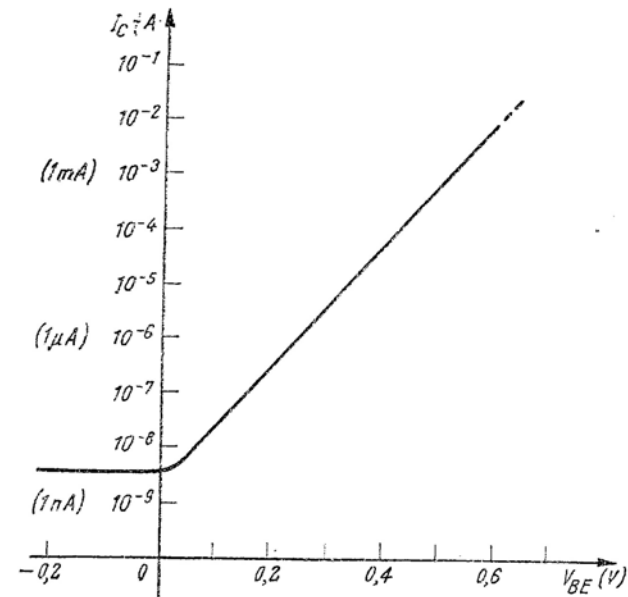


Fig. 21.22. Dependența curentului de colector de tensiunea bază-emitor pentru un tranzistor *nnp* care lucrează cu colectorul polarizat invers. Se observă că scara ordonatelor este logaritmică.

(a) Considerăm mai întâi cazul în care tranzistorul este la limita de saturație, adică  $V_{CB} = 0$ . Să se evalueze curentul de colector  $I_C$ , curentul de bază  $I_B$  și tensiunea emitor-bază  $V_{EB}$  la limita de saturație.

(b) Să se considere apoi cazul în care tranzistorul este forțat adinc în saturație determinind  $I_C = I_E$ ; distribuția corespunzătoare de purtători în exces în regiunea bazei se arată în fig. 21.14 c. Să se evalueze curentul de bază  $I_B$  și tensiunea emitor — bază  $V_{EB}$  în aceste condiții.

(c) Să se compare valoarea sarcinii totale în exces în bază  $q_B$  cind  $I_C = I_E$  cu valoarea corespunzătoare la  $V_{CB} = 0$ . Să se compare valorile corespunzătoare ale lui  $V_{EB}$ .

(d) Să se explice, în termeni de funcționare fizică internă a tranzistorului, de ce  $q_B$  și  $V_{EB}$  sînt mult mai mari cind  $I_C = I_E$ , decit cind  $V_{CB} = 0$ .

**P.21.8.** Inegalitățile din relațiile (21.40 b) și (21.41 b) se aplică la tranzistoare *npn*. Să se obțină inegalitățile corespunzătoare pentru tranzistoare *npn*.

**P.21.9.** Această problemă este legată de analiza dinamică aproximată în regiunea de saturație, dezvoltată în paragraful 21.4.3.

(a) Să se verifice ecuația (21.47).

(b) Să se presupună că  $q_{FS}(t)$  și  $q_s(t)$  sînt legate în condiții dinamice în același fel în care sînt legate static, adică să se neglijeze termenul  $dq_R/dt$  din ecuația (21.47) și să se verifice ecuațiile (21.48) și (21.49).

**P.21.10.** Se consideră un tranzistor *npn* în care  $\beta_F > 1$  și  $\tau_{BF} = 50$  ns.

(a) Să se presupună că tranzistorul este *simetric*, astfel încît  $\beta_R = \beta_F$  și  $\tau_{BR} = \tau_{BF}$ . Care este valoarea lui  $\tau_s$ , parametrul modelului cu control prin sarcină în regiunea de saturație?

(b) Situația cea mai frecventă este cea în care  $\beta_R$  este mult mai mic decit  $\beta_F$ . Să se presupună  $\beta_R = \beta_F / 10$  (dar  $\beta_R > 1$ ), și  $\tau_{BR} = 100$  ns și să se evalueze  $\tau_s$ .

**P.21.11.** Dependența curentului de colector  $I_C$  de tensiunea emitor-bază  $V_{EB}$  este reprezentată în fig. 21.22 pentru un tranzistor *npn*. Trebuie notat că această curbă a fost determinată pentru o tensiune inversă pe joncțiunea de colector, adică  $V_{BC} > kT/q$ . Se presupune că acest tranzistor este descris corespunzător de modelul Ebers-Moll [ecuațiile (21.5)].

(a) Ce puteți spune despre dimensiunile relative ale lui  $I_{ES}$  și  $I_{CS}$ ?

(b) Să se evalueze  $I_{CS}$ .

(c) Să se determine valoarea lui  $kT/q$  pentru care se aplică aceste date (adică, să se determine temperaturile la care s-au făcut măsurările).

(d) Să se evalueze  $I_{ES}$ .

## CAPITOLUL 22

## CIRCUITE NUMERICE CU UN SINGUR ETAJ

## CIRCUITE NUMERICE CU UN SINGUR ETAJ

- 22.1. Cîteva proprietăți de bază ale circuitelor numerice
- 22.2. Proprietățile statice ale unui inversor cu tranzistor
  - 22.2.1. Caracteristica de transfer
  - 22.2.2. Proprietăți logice
  - 22.2.3. Condiții asupra stărilor statice
- 22.3. Tranziții între stări
  - 22.3.1. Tranzițiile prin regiunea de blocare
  - 22.3.2. Tranzițiile prin regiunea activă
  - 22.3.3. Regiunea de saturație
  - 22.3.4. Întîrzierea de stocare
  - 22.3.5. Timpul de cădere
  - 22.3.6. Revenirea în stare staționară
- 22.4. Condensatorul de accelerare
- 22.5. Determinarea parametrilor modelului cu control prin sarcină
  - 22.5.1. Determinarea parametrilor prin măsurare directă
  - 22.5.2. Determinarea parametrilor modelului cu control prin sarcină din foile de catalog
- 22.6. Soluția pe calculator a ecuațiilor modelului de control prin sarcină
  - 22.6.1. Metoda Runge — Kutta (de ordinul patru)
  - 22.6.2. Exemplu: Inversorul simplu
- 22.7. Demonstrații experimentale de curs
  - 22.7.1. Introducere
  - 22.7.2. Comutarea directă
  - 22.7.3. Comutarea inversă
  - 22.7.4. Condensatorul de accelerare

*Bibliografie*  
*Probleme*

## 22

## Circuite numerice cu un singur etaj

22.1. CÎTEVA PROPRIETĂȚI DE BAZĂ  
ALE CIRCUITELOR NUMERICE

În majoritatea sistemelor care prelucrează informația sub formă numerică, variabilele electrice care reprezintă informația au două valori posibile. De exemplu, informația poate fi reprezentată printr-o tensiune sau un curent care ia, în cazul ideal, una sau alta din cele două valori discrete; sau, reprezentarea poate fi în termeni de impuls de formă definită, care este prezent sau absent la un moment specific. Evident, sînt posibile și alte forme de reprezentare sau scriere. Circuitele care sînt folosite în sistemele numerice trebuie să răspundă la semnale care au două valori posibile, sau de natură binară, și trebuie de asemenea să producă semnale de ieșire cuantizate corespunzător. Aceste cerințe sînt în contrast cu cele care se aplică la majoritatea sistemelor care prelucrează informația reprezentată de variabile continue, unde circuitele trebuie să răspundă liniar în domeniul dinamice mari ale variabilelor de intrare și de ieșire.

Desigur, variațiile produse de toleranțele componentelor și surselor de alimentare, ca și cele determinate de distorsiuni și zgomot, complică situația. Informația, care este în principiu reprezentată prin nivele discrete de tensiune, trebuie, în practică, să fie reprezentată prin domenii sau benzi de tensiune, așa cum se arată în fig. 22.1. Similar, sistemele în care informația este transmisă prin prezența sau absența unui impuls de formă definită nominal la un moment particular de timp, trebuie să discrimineze între semnalele parazite și impulsurile distorsionate față de forma lor ideală, în momentul sosirii. De obicei, problema principală care se pune proiectantului de circuite logice este să asigure ca circuitele să realizeze funcția logică caracteristică, în condițiile unor domenii mari de dispersie a valorilor celor două variabile binare. Problema principală este de a putea

să distingă între cele două stări. În termeni de reprezentare a nivelelor de tensiune (fig. 22.1), un parametru cheie este lăţimea benzii interzise, numită *rezervă de tensiune*. Proiectul de circuite digitale trebuie să se asigure că în nici un caz semnalul de ieşire al circuitului în stare staţionară nu se află în banda interzisă. De asemenea, proiectantul trebuie să aleagă

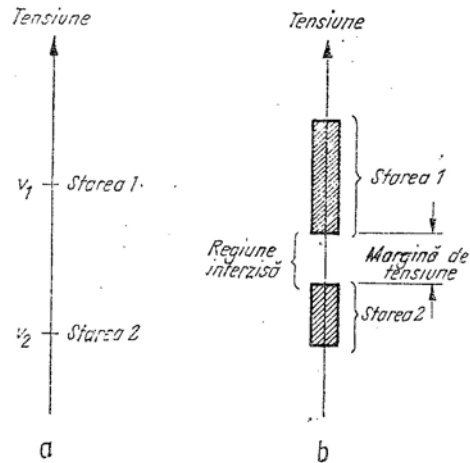


Fig. 22.1 Reprezentarea unei variabile binare cu ajutorul nivelurilor de tensiune:  
a — reprezentarea idealizată; b — reprezentarea reală.

o rezervă de tensiune suficient de mare ca circuitul să nu răspundă ambiguu la semnalele de intrare din zonele permise pe ambele părți ale benzii interzise, în prezența derivatei sursei de alimentare, a zgomotului și a factorilor similari.

Majoritatea circuitelor folosite în sistemele numerice folosesc sau dispozitive complet neliniare, ca diode, pentru a fixa nivelele variabilelor care reprezintă informația, sau lucrează cu tranzistoare în regim neliniar, pentru stabilirea celor două domenii ale variabilelor de ieșire. În ultimul caz, diodele de emitor și/ sau colector fixează nivelele. Deși este posibil să se proiecteze circuite cu tranzistoare care acceptă și produc semnale binare în timp ce lucrează ca amplificatoare liniare, acest lucru nu se face de obicei în sistemele numerice. Circuitele comandate într-un mod puternic neliniar discriminează mai precis între domeniile de valori ale variabilei de intrare și produc semnale de ieșire care sînt mai puțin sensibile la parametrii tranzistoarelor și ai altor componente, deci mai bine cuantizate. Folosirea unei neliniarități atât de extreme revine la a utiliza stările de blocare și de conducție ale unei joncțiuni pn pentru a reprezenta informația

binară, ceea ce în realitate este mai degrabă o *reprezentare de stare*, decît o reprezentare în termeni de nivel de tensiune sau curent.

Într-o formă obișnuită de reprezentare a stării în circuitele cu tranzistoare, tranzistorul este blocat într-o stare și saturat în cealaltă. Condiția de funcționare referitoare la regiunea de blocare este de obicei denumită *starea de blocare*. În starea de blocare, curenții terminali care rezultă din extragerea purtătorilor minoritari generați termic sînt foarte mici și independenți de tensiunile joncțiunilor. Mai mult, concentrația de purtători minoritari în bază este neglijabilă comparativ cu valoarea de la echilibrul termic.

Starea de funcționare corespunzătoare regiunii de saturație este denumită *starea de conducție*. În această stare, și joncțiunea de emitor, și cea de colector sînt polarizate direct și astfel toate tensiunile între două terminale sînt mici și depind foarte puțin de curenții terminali. Concentrația de purtători minoritari în bază este mai mare decît cea de la echilibru termic, astfel încît sarcina corespunzătoare de purtători în exces este pozitivă.

Un tranzistor care este constrins de curent și variabilele de intrare să lucreze în stările de blocare și de conducție descrise anterior poate fi considerat ca un comutator care este comandat prin sarcina din bază. Această sarcină apare în parte ca o sarcină mobilă în exces în regiunea neutră a bazei și în parte ca sarcină a impurităților neneutralizate în zonele din bază corespunzătoare regiunilor de sarcină spațială ale joncțiunilor. Așa cum purtă-

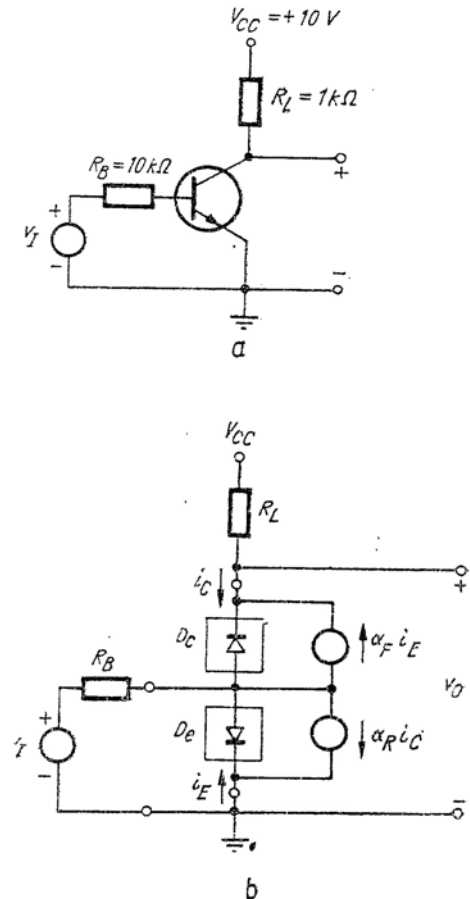


Fig. 22.2. Un inversor simplu cu un tranzistor npn funcționând în regim de impulsuri:  
a — circuitul; b — circuitul echivalent static complet al circuitului cu tranzistorul reprezentat printr-un model cu diode ideale.

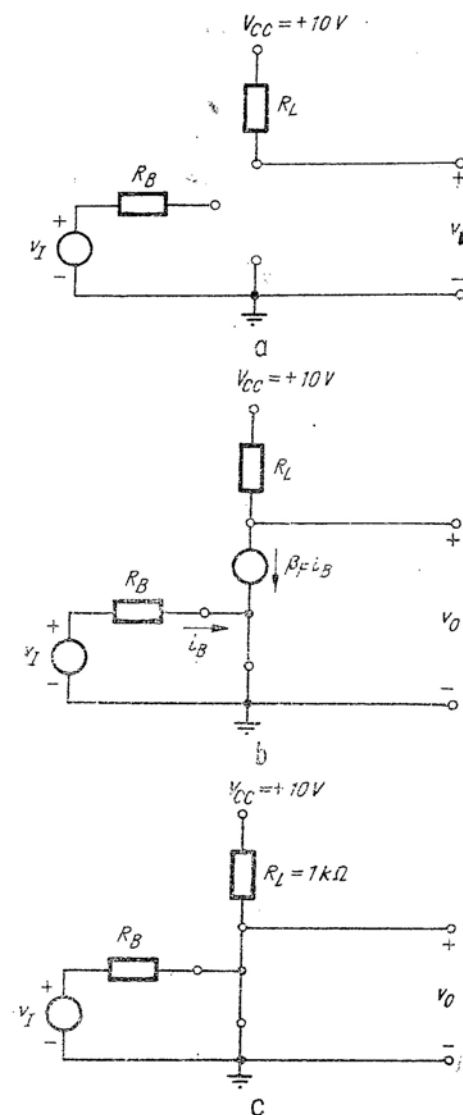


Fig. 22.3 Circuite echivalente cu domeniu limitat de aplicare:

a - pentru regiunea de blocare (0,0); b' - pentru regiunea activă directă (1,0) - pentru regiunea de saturație (1,1).

torii majoritari intră și ies din regiunea bazei în principal prin terminalul de bază, tot astfel sarcina în exces din regiunea neutră a bazei și sarcina din regiunea de sarcină spațială sînt controlate prin curentul de bază. În concluzie, un tranzistor poate fi comutat dintr-o stare în alta prin furnizarea sau evacuarea sarcinii din bază, prin terminalul de bază.

Începem analiza comutatoarelor cu tranzistoare și a circuitelor numerice cu examinarea funcționării statice și dinamice a unui inversor simplu arătat în fig. 22.2. a, care este similar cu circuitul analizat în paragraful 21.5.2, cu excepția faptului că aici nu avem rezistență de emitor. Așa cum vom vedea, acest circuit cu emitorul comun poate furniza o standardizare a semnalului, un câștig de putere și alte proprietăți logice utile.

## 22.2. PROPRIETĂȚILE STATICE ALE UNUI INVERSOR CU TRANZISTOR

### 22.2.1. Caracteristica de transfer

Pentru a stabili proprietățile circuitului inversor din fig. 22.2 a, calculăm mai întâi caracteristica de transfer a circuitului. În fig. 22.2.b reprezentăm tranzistorul prin circuitul echivalent cu diode ideale, astfel încît analiza este foarte simplă: caracteristica va fi formată din segmente de

dreaptă. Există patru stări posibile ale acestui circuit, corespunzător celor patru stări posibile ale diodelor. Totuși, o examinare atentă a fig. 22.2b va arăta că nu există nici o valoare a lui \$v\_I\$ care să forțeze dioda de colector în conducție, lăsînd dioda de emitor blocată. Deci starea activă inversă (0,1) nu poate fi realizată în acest circuit. [Adeseori este convenabil să folosim notația (A,B) pentru a indica stările diodelor de emitor, și, respectiv, de colector].

Circuitele echivalente corespunzătoare stării de blocare (0,0), stării active directe (1,0) și stării de saturație (1,1) sînt reprezentate în fig. 22.3. Pentru starea (0,0) (fig. 22.3 a):

$$i_C = 0 \quad (22.1)$$

$$v_O = V_{CC} = 10 \text{ V}. \quad (22.2)$$

Din fig. 22.2 b se vede că orice valoare a lui \$v\_I\$ mai mică decît zero va menține circuitul în această stare.

În regiunea activă directă (fig. 22.3 b) găsim că:

$$v_O = V_{CC} - \beta_F R_L i_B = \quad (22.3 a)$$

$$= V_{CC} - \beta_F R_L \frac{V_I}{R_B}. \quad (22.3 b)$$

Evident, în această stare, panta caracteristicii de transfer \$v\_O/v\_I\$, adică câștigul de tensiune la semnal mic, este chiar \$-\beta\_F R\_L/R\_B\$.

Pentru starea de saturație (1.1), este clar din fig. 22.3 c că tensiunea și curentul de ieșire sînt constante, independent de tensiunea de intrare:

$$v_O = 0 \quad (22.4)$$

$$i_C = I_C(\text{sat}) = \frac{V_{CC}}{R_L} = 10 \text{ mA}. \quad (22.5)$$

Tranziția între starea (1,0) și starea (1,1) se produce pentru \$v\_I\$ astfel încît \$v\_O = 0\$ în ecuația (22.3). În acest punct, din ecuațiile (22.3 a) și (22.5):

$$i_B = \frac{V_{CC}}{\beta_F R_L} = \frac{I_C(\text{sat})}{\beta_F}. \quad (22.6)$$

De asemenea, din ecuația (22.3 b), presupunând că  $\beta_F = 50$ ,  $R_B = 10 \text{ k}\Omega$ ,  $R_L = 1 \text{ k}\Omega$ :

$$v_i = \frac{V_{CC} R_B}{\beta_F R_L} = \frac{10 \times 10}{50 \times 1} = 2 \text{ V.} \quad (22.7)$$

Caracteristica statică completă, bazată pe calculele precedente, este reprezentată în fig. 22.4.

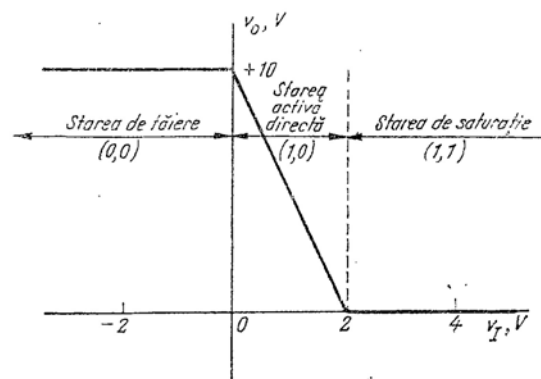


Fig. 22.4. Caracteristici de transfer statice pentru circuitul inversor cu tranzistor din fig. 22.2.

### 22.2.2. Proprietăți logice

Din caracteristica de transfer din fig. 22.4 se vede că circuitul inversor din fig. 22.2 va produce una sau alta din cele două valori de ieșire care sînt esențial independente de caracteristicile tranzistorului, dacă intrarea este constrinsă să ia una sau alta din valorile celor două domenii complet separate. Mai precis, dacă  $v_i$  este negativ, tranzistorul este blocat și  $v_o$  este aproximativ 10 V (tensiunea de alimentare de colector). Dacă pe de altă parte,  $v_i$  este mai mare de 2 V, tranzistorul este saturat și  $v_o$  este aproximativ zero. Aceste valori sînt sintetizate în tabelul 22.1.

Într-un sistem numeric tensiunile  $v_i$  și  $v_o$  corespund la variabilele binare <sup>1</sup> a și b. Relația dintre valorile variabile binare și domeniile variabilei fizice este arbitrar una. În scopul acestei discuții facem atribuirea de valori din tabelul 22.2.

<sup>1</sup> În acest text toate numerele și variabilele binare sînt tipărite cu litere groase pentru a evita confuziile.

Această atribuire de valori este denumită *reprezentare pozitivă*, pentru că domeniul de tensiune atribuit stării 1 este mai pozitiv decît domeniul atribuit stării 0. (Atribuirea opusă de valori este denumită evident *reprezen-*

Tabelul 22.1

## Relațiile între tensiuni

$v_i$ (V)	$v_o$ (V)
mai mic decît 0	$\approx +10$
mai mare decît 2	$\approx 0$

Tabelul 22.2

## Atribuirea valorilor tensiunilor

Domeniul de tensiune	Valoarea variabilei binare
2,5 la 10 V	<b>1</b>
-1 la 0 V	<b>0</b>

*tare negativă*). Dacă amplificatorul este comandat cu o tensiune din gamele date în tabelele de mai sus, putem descrie funcționarea circuitului foarte succint, în termeni de variabile binare, ca în tabelul 22.3.

Această funcțiune logică se numește *complementare*, variabila de ieșire este *complementul* variabilei de intrare. Astfel, circuitul este numit „inversor”.

Tabelul 22.3

## Tabelul de combinații

Intrare	Ieșire
<b>0</b>	<b>1</b>
<b>1</b>	<b>0</b>

Tabelul 22.4

## Tabelul de adevăr

a	b	ieșirea binară
<b>0</b>	<b>0</b>	<b>1</b>
<b>0</b>	<b>1</b>	<b>0</b>
<b>1</b>	<b>0</b>	<b>0</b>
<b>1</b>	<b>1</b>	<b>0</b>

Circuitul inversor reprezentat în fig. 22.2 are proprietăți utile. Trebuie observat mai întîi că variabila de ieșire este mai bine cuantizată, sau standardizată, decît variabila de intrare. Orice tensiune de intrare negativă <sup>1</sup> produce o tensiune de ieșire care este foarte apropiată de 10 V pentru că tranzistorul este blocat. Similar, orice tensiune de intrare mai pozitivă decît 2,5 V (limitată de puterea disipată în rezistența de intrare) face ca tranzistorul să fie saturat și produce o tensiune de ieșire foarte aproape de zero volți.

Circuitul inversor furnizează și un câștig de putere. Cînd intrarea are valoarea binară 1, circuitul poate fi caracterizat printr-o impedanță de

<sup>1</sup> Limita inferioară a lui  $V_i$  este dată de străpungerea prin avalanșă a joncțiunii de emitor.

intrare de circa 10 k $\Omega$ . Când variabila de ieșire este 1, rezistența de ieșire este 1 k $\Omega$ . În concluzie, inversorul poate fi încărcat cu 30 de alte circuite identice (având rezistența de intrare de 10 k $\Omega$ ) înainte ca variabila  $v_o$  corespunzătoare ieșirii să scadă sub limita inferioară prescrisă a domeniului

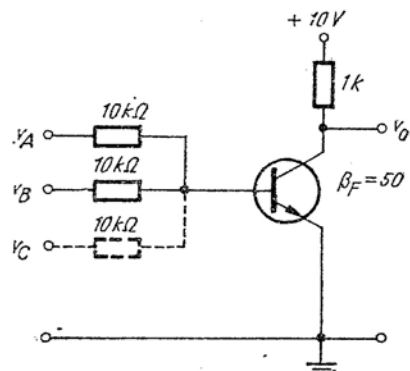


Fig. 22.5 Circuit logic cu rezistențe și tranzistor.

ei de dispersie, care este 2,5 V. Pentru că este capabil să comande 30 de alte circuite cu aceleași cerințe la intrare ca și el însuși, se spune că circuitul are o capacitate de comandă la ieșire de 30.

Dacă se adaugă una sau mai multe rezistențe în baza tranzistorului, așa cum se arată în fig. 22.5, inversorul simplu devine o poartă logică. Dacă folosim aceeași reprezentare pozitivă ca în tabelul 22.2, tranzistorul va fi saturat și ieșirea binară va fi 0, dacă semnalul la una sau mai multe intrări este mai mare decât 2,5 V, adică, 1 logic. Astfel, combinațiile binare posibile pentru circuit sînt cele reprezentate în tabelul 22.4 (presupunînd numai două intrări). Variabila logică de ieșire în această poartă cu tranzistor este *complementul* ieșirii corespunzătoare a porții SAU cu diode, fig. 6.9 a. Astfel, noi denumim poarta din fig. 22.5 o poartă SAU—NU pentru a indica că și complementarea, și funcția de poartă SAU sînt implicate (vezi problema P. 22.1)

Deși tranzistorul din circuitul din fig. 22.5 este esențial un inversor și realizează astfel o anumită funcție logică, rolul lui principal este standardizarea semnalului. Se observă că curentul de bază al tranzistorului variază într-un domeniu de aproape 3 la 1, după cum una, două sau trei din variabilele de intrare sînt în starea 1. Totuși, tranzistorul este saturat pentru toate aceste condiții, astfel încît, tensiunea de ieșire  $v_o$  este practic independentă de curentul de bază.

### 22.2.3. Condiții asupra stărilor statice

Tensiunea de ieșire a unui comutator simplu cu tranzistor va fi rezonabil de bine cuantizată numai dacă tranzistorul este comandat între blocare și saturație. Parametrii de curent, domeniile de amplitudine a semnalului de intrare și sarcina care este comandată de circuit trebuie alese astfel încît în condiții statice starea de *conducție* se referă la regiunea de saturație și starea de *blocare* corespunde regiunii de blocare.

**Saturația.** Saturația tranzistorului se produce, așa cum am văzut în paragraful 22.2.1, dacă:

$$|I_B| \geq \frac{|I_C(sat)|}{\beta_F} \quad (22.8)$$

Există câteva motive pentru care curentul static de bază trebuie să fie mai mare decât valoarea minimă a lui  $|I_C(sat)|/\beta_F$ . În primul rînd, tranzistoarele de un tip particular au un domeniu destul de mare de valori pentru  $\beta_F$ . Multe tipuri de tranzistoare prezintă o dispersie de 2 la 1 a lui  $\beta_F$  într-un punct de funcționare particular, iar dispersii de 10 la 1 nu sînt de loc neobișnuite. Evident, un circuit care trebuie să lucreze corect, cu *orice* tranzistor de un anumit tip, trebuie să fie proiectat astfel încît să se furnizeze un curent de bază corespunzător pentru tranzistoarele care au valoarea *minimă* specificată pentru  $\beta_F$ . În concluzie, tranzistoarele care au valori mai mari pentru  $\beta_F$  vor avea o comandă în bază mai mult decât suficientă.

În al doilea rînd, curentul de colector din starea de condiție depinde de sarcina pe care o comandă circuitul și această sarcină nu este în general constantă. Întrucît ecuația (22.8) trebuie să fie satisfăcută pentru valoarea cea mai mare posibilă a lui  $|I_C(sat)|$ , curentul de bază va fi mai mult decât suficient pentru acele condiții de lucru în care curentul de colector este mai mic decât valoarea maximă.

În al treilea rînd, toleranțele obișnuite ale valorilor componentelor și ale tensiunilor de alimentare produc variații în comanda pe bază și în curentul de sarcină. Proiectantul de circuit trebuie să se asigure că curentul de bază este suficient pentru funcționarea în regiunea de saturație, chiar cu combinația cea mai defavorabilă a valorilor componentelor și sursei de alimentare. Astfel, curentul de bază va fi mai mult decât suficient în majoritatea condițiilor.

Una din metodele prin care proiectantul de circuite se asigură că circuitul va fi în starea corectă în ciuda dispersiilor tranzistorului, variațiilor sarcinii și comenzii, și toleranțelor componentelor și sursei de alimentare, este denumită *proiectare în cazul cel mai defavorabil*. Ea implică determinarea combinației celei mai dezavantajoase posibile a parametrilor circuitului și dispozitivului, în condițiile de mediu cele mai defavorabile și



specificând circuitul astfel încât să funcționeze corect chiar în acest caz foarte defavorabil. O asemenea filozofie de proiectare este foarte conservatoare, întrucât cazul cel mai defavorabil poate fi un eveniment improbabil de întâlnit.

Totuși, proiectarea în condițiile cele mai defavorabile garantează performanța corectă a circuitului în toate condițiile în afară de defectarea unei componente (vezi problemele P. 22.2 până la P. 22.4)

**Blocarea.** Starea de *blocare* a unui comutator cu tranzistor corespunde la funcționarea în regiunea de blocare cu ambele joncțiuni polarizate invers. Curenții de saturație  $I_{ES}$  și  $I_{CS}$  sînt atît de mici în majoritatea tranzistoarelor cu siliciu, încît curentul de colector al unui comutator în stare de deschidere este substanțial independent de tensiunea de polarizare a joncțiunii de emitor pentru tensiuni ale joncțiunilor mai mici decît cîteva zecimi de volt, în sens direct. Acest lucru este ilustrat în fig. 22.6, care reprezintă  $I_C$  funcție de  $V_{BE}$  pentru un tranzistor *nnp* de comutație cu siliciu. Un circuit de comutație care folosește acest tranzistor și are un curent de colector, în starea de conducție, de cîteva miliamperi, este efectiv în stare de blocare, dacă tensiunea emitor-bază este mai mică decît circa

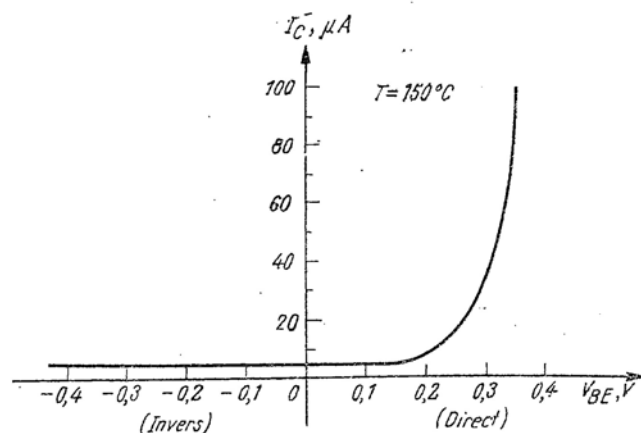


Fig. 22.6 Dependența curentului de colector de tensiunea bază-emitor într-un tranzistor *nnp* cu siliciu la 150°C.

0,3 V. Sub această tensiune, care este denumită *tensiune de prag bază-emitor*  $V_{BET}$ , injecția de purtători minoritari în bază prin joncțiunea de emitor are un efect nesemnificativ asupra curentului de colector. Tensiunile de prag sînt mai mici în tranzistoarele cu germaniu (circa 0,1 V la temperatura camerei), pentru că curenții de saturație sînt mai mari. Tensiunea de prag reflectă dependența exponențială a temperaturii de curenții de sa-

turație și astfel are un coeficient de temperatură de  $-2$  pînă la  $-3$  mV/°C și pentru siliciu, și pentru germaniu (vezi paragraful 4.3.3.)

În proiectarea unui circuit de comutație cu tranzistor, starea statică de *blocare* trebuie să fie examinată în condițiile cele mai defavorabile pentru a asigura o funcționare satisfăcătoare (vezi problemele P. 22.2 pînă la P. 22.4). De obicei, aceasta implică considerarea celei mai ridicate temperaturi de mediu, pentru care curenții de saturație cu valorile lor maxime și tensiunile de prag au valorile lor minime.

### 22.3. TRANZIȚII ÎNTRE STĂRI

După ce am explorat proprietățile statice ale tranzistorului inversor vom examina detaliat dinamica circuitului. În aplicațiile numerice nu numai că dorim tensiuni cuantizate în două nivele discrete, corespunzător la două stări distincte ale tranzistorului, dar de asemenea dorim ca circuitul să treacă dintr-o stare în alta cu viteza cea mai mare posibilă. Pentru a comuta un tranzistor din starea de *blocare* în starea de *conducție*, trebuie să-i furnizăm sarcină în regiunea bazei. Această sarcină este necesară pentru a schimba sarcinile regiunilor de sarcină spațială în stare de *blocare* și pentru a stabili o sarcină în exces suficientă în regiunea bazei pentru a menține curentul de colector în stare de *conducție*. Invers, pentru a bloca un tranzistor, trebuie să evacuăm toată sarcina în exces din regiunea bazei și trebuie, în plus, să schimbăm sarcinile regiunilor de sarcină spațială, astfel încît să poată suporta tensiunile joncțiunilor cerute de circuit cu tranzistorul *blocat*. Intervalele de timp necesare pentru a deplasa aceste sarcini în interiorul sau în afara tranzistorului sînt de o importanță primordială în proiectarea de circuite digitale, pentru că ele determină viteza maximă la care circuitul de comutare, deci întregul sistem numeric, poate să lucreze.

Evident, problema comutării între stări implică funcționarea tranzistorului în mod neliniar. Astfel, trebuie să reprezentăm tranzistorul prin modelul dinamic de semnal mare, care este modelul cu control prin sarcină dezvoltat în capitolul 21. Pentru a fi practici considerăm un tranzistor *nnp* difuzat cu siliciu în același circuit inversor care a fost discutat în paragraful 22.2. Evident, analiza unui circuit *pnp* nu introduce diferențe fundamentale.

Circuitul nostru inversor este repetat în fig. 22.7, împreună cu forma de undă a impulsului de comandă a intrării. Pentru un astfel de circuit, de obicei sîntem interesați în rezolvarea ecuațiilor pentru  $i_C(t)$ ,  $v_C(t)$ , sau a diferiților timpi de tranziție. Cu un impuls de comandă în tensiune ca cel din fig. 22.7, curentul de bază va depinde, în general, de tensiunile

joncțiunilor, care depind în mod neliniar de componentele directe și inverse ale sarcinii de bază care, la rândul ei, depinde de istoria curentului de bază. Această situație generală poate fi descrisă în termenii unui set de ecuații

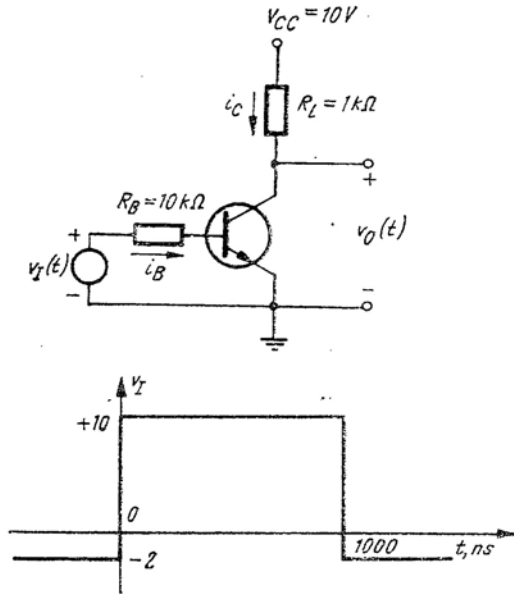


Fig. 22.7 Inversorul cu tranzistor.

diferențiale neliniare simultane. Practic, descriem circuitul exterior al tranzistorului din fig. 22.7 prin relațiile:

$$v_I + v_{EB} = i_B R_B \quad (22.9)$$

$$10 - v_O = i_C R_L \quad (22.10)$$

$$v_O = v_{CB} - v_{EB} \quad (22.11)$$

Descriem tranzistorul prin relațiile modelului cu control prin sarcină dezvoltat în paragraful 21.3.5. Pentru că trebuie să ne referim la aceste

ecuații de mai multe ori în acest paragraf ele sînt repetate mai jos. Relațiile de bază ale modelului cu control prin sarcină pentru acest tranzistor sînt:

$$i_B = \frac{q_F}{\tau_{BF}} + \frac{q_R}{\tau_{BR}} + \frac{d}{dt} (q_F + q_R + q_{VE} + q_{VC}) \quad (22.12 a)$$

$$i_C = \frac{q_F}{\tau_F} - q_R \left( \frac{1}{\tau_R} + \frac{1}{\tau_{BR}} \right) - \frac{d}{dt} (q_R + q_{VC}) \quad (22.12 b)$$

Componentele sarcinii din bază  $q_R$  și  $q_{VC}$  sînt legate de tensiunile joncțiunilor prin expresiile:

$$q_F = Q_{FO} (e^{-q_{VE}/kT} - 1) \quad (22.13 a)$$

$$q_R = Q_{RO} (e^{-q_{CB}/kT} - 1) \quad (22.13 b)$$

sînde:

$$Q_{FO} = \alpha_F I_{ES} \tau_F \quad (22.14 a)$$

$$Q_{RO} = \alpha_R I_{CS} \tau_R \quad (22.14 b)$$

Pentru că acest tranzistor este un dispozitiv cu joncțiuni dopate neuniform sarcinile regiunilor de sarcină spațială sînt legate de tensiunile joncțiunilor prin expresiile:

$$q_{VE} = K_E [\psi_0^{2/3} - (\psi_0 + v_{EB})^{2/3}] \quad (22.15 a)$$

$$q_{VC} = K_C [\psi_0^{2/3} - (\psi_0 + v_{CB})^{2/3}] \quad (22.15 b)$$

Avem nouă ecuații și nouă necunoscute (trei tensiuni, doi curenți și patru sarcini). Astfel, ecuațiile pot fi rezolvate, dar în practică numai pe un calculator numeric. O soluție completă generată pe calculator<sup>1</sup> este arătată în fig. 22.8, pentru un tranzistor cu joncțiuni difuzate cu siliciu, cu următorii parametri:

$$\tau_F = 0,4 \text{ ns} \quad \tau_R = 10 \text{ ns}$$

$$\beta_F = 75 \quad \beta_R = 7$$

$$K_E = K_C = 5 \text{ pF (V)}^{1/3}$$

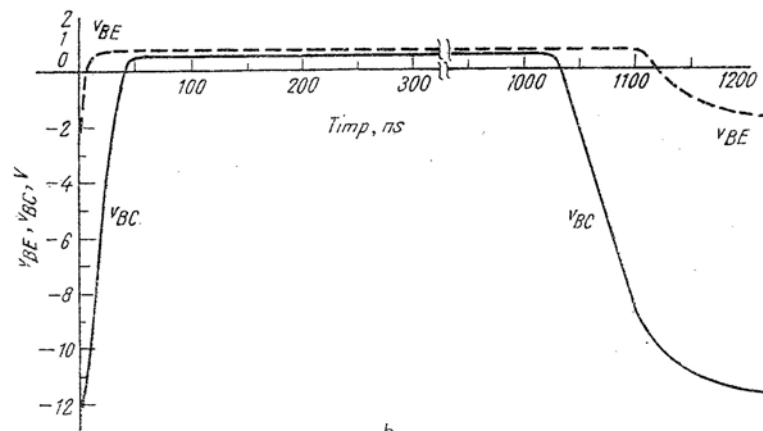
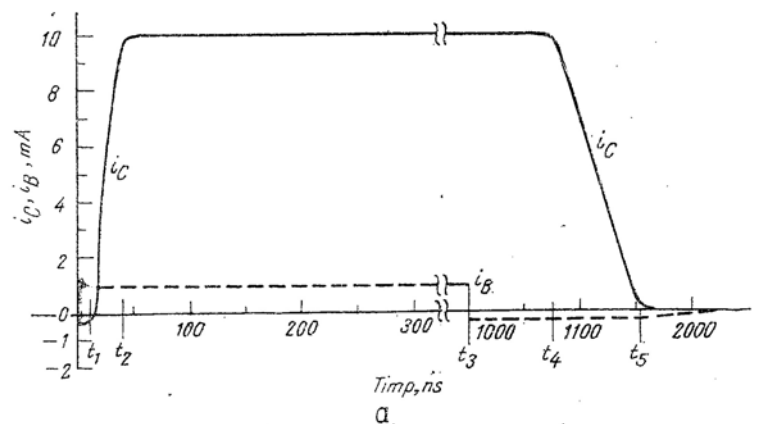
$$\psi_0 = 0,9 \text{ V}$$

$$Q_{FO} = 1 \times 10^{-10} \text{ pC} = 1 \times 10^{-22} \text{ C}$$

$$Q_{RO} = 2,5 \times 10^{-9} \text{ pC}$$

<sup>1</sup> Detaliile acestei soluții, care nu sînt evidente în acest moment, se dau în paragraful 22.6.

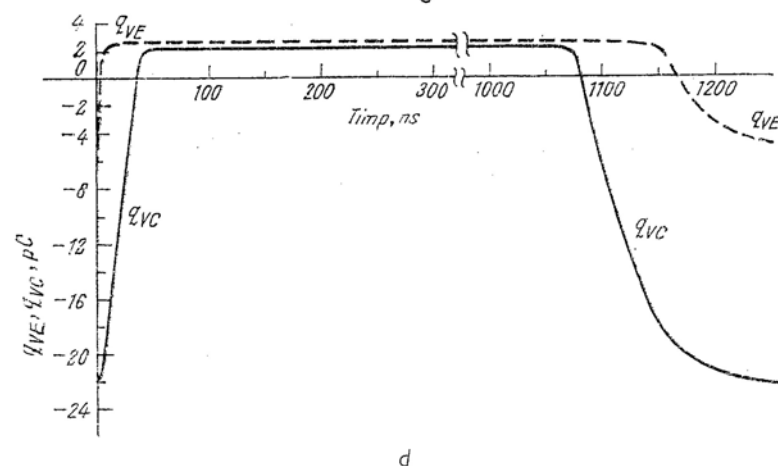
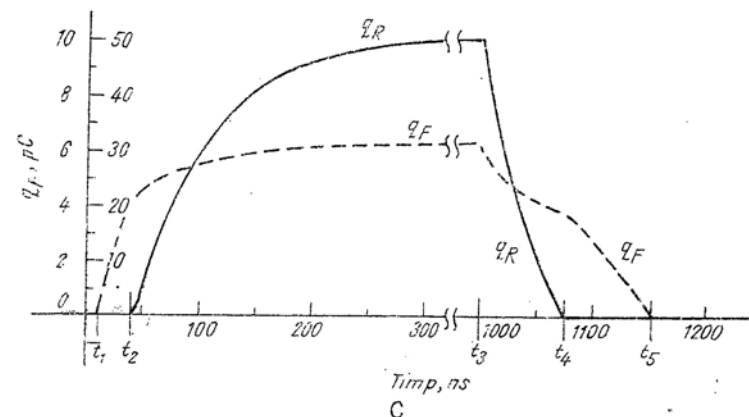
Din fig. 22.8 *b* se observă că sînt necesare mai mult de 40 ns pentru ca tranzistorul să intre în saturație și circa 300 ns pentru a bloca tranzistorul, care era inițial saturat. De fapt, nu se observă absolut nici o schimbare în tensiunile sau curenții terminali în primele 75 ns după ce impulsul de tensiune de intrare devine nul! Aceste întârzieri sînt de o deosebită impor-



*b*  
Fig. 22.8 a,b

tanță în proiectarea circuitelor numerice, pentru că ele reprezintă limita fundamentală a vitezei de lucru a unui echipament numeric.

Din păcate, soluția pe calculator reprezentată în fig 22.8 furnizează date puține legate de modul în care s-ar putea reduce aceste întârzieri nedorite dintr-o stare în alta. Pentru a lărgi această cunoaștere trebuie să dezvoltăm metode aproximative de analiză care să pună în evidență clar sursele de timpi de întârziere. Din nou vom sacrifica precizia în avantajul simplității, pentru că performanța unei proiectări definitive poate fi totdeauna verificată în detaliu pe calculator.



*d*  
Fig. 22.8 Soluția generată pe calculator pentru tensiunile, curenții și sarcinile inversorului din fig. 22.7:  
a - curenți; b - tensiuni; c - sarcina din bază; d - sarcinile regiunilor de sarcină spațială.

Este de observat mai întâi că în comutarea din blocare în saturatie și înapoi în blocare, tranzistorul își va schimba starea de patru ori. Pentru a simplifica relațiile matematice, revenim la analiza stării cu starea, care reprezintă tranzistorul în fiecare stare printr-unul din modelele simple cu control prin sarcină într-un domeniu limitat, dezvoltate în paragraful 21.4. Vom lua împreună soluțiile pentru a forma soluția tranzitorie întreagă.

Pentru a simplifica notația, am definit în fig. 22.8 a și c momentele comutării în termeni de forme de undă ale curenților și sarcinilor. Toate tensiunile, curenții și sarcinile vor fi desemnate funcție de acești timpi. Formele de undă detaliate pentru  $i_C$  și  $q_B$  în fiecare regiune vor fi discutate în subparagrafele următoare.

### 22.3.1. Tranzițiile prin regiunea de blocare

Din fig. 22.7 vedem că la începutul tranziției,  $v_{EB}$  și  $v_{CB}$  sunt pozitive, Specific:

$$v_{EB}(t_0) = -v_I(t_0) = 2 \text{ V} \quad (22.16)$$

$$v_{CB}(t_0) = V_{CC} - v_I(t_0) = 12 \text{ V} \quad (22.17)$$

Astfel, tranzistorul iese din regiunea de blocare și noi putem modela circuitul folosind modelul simplu cu control prin sarcină pentru regiunea de blocare, reprezentat în fig. 22.9 a. La  $t=t_0$ , curentul de bază  $i_B$  devine pozitiv, corespunzător circulației gelurilor majoritare în baza de tip *p*. Din fig. 22.9 a este clar că datorită acestui curent de bază, se va adăuga o sarcină pozitivă sarcinilor regiunilor de sarcină spațială  $q_{VE}$  și  $q_{VC}$  și tranzistorul va traversa regiunea de blocare. Tranzistorul rămâne în starea de blocare până când dioda de emitor devine suficient de polarizată direct pentru a aduce tranzistorul în regiunea activă, adică până când  $v_{EB} \approx -0,3 \text{ V}$ , pentru acest dispozitiv cu siliciu. Pe baza acestei discuții calitative inițiale, se pot face schițe aproximative ale tensiunii, curentului și formelor de undă care interesează în timpul intervalului de blocare. Aceste curbe se reprezintă în fig. 22.9 b – g. Evident, ele nu transmit o informație detaliată asupra formelor de undă. Mai degrabă ne ajută să ținem minte intervalele de timp și polaritățile variabilelor în chestiune.

Ecuatiile corespunzătoare pentru tranzistor în regiunea de blocare sînt, din paragraful 21.4.2.

$$i_B = \frac{d}{dt} (q_{VE} + q_{VC}) \quad (22.18 \text{ a})$$

$$i_C = -\frac{d q_{VC}}{dt} \quad (22.18 \text{ b})$$

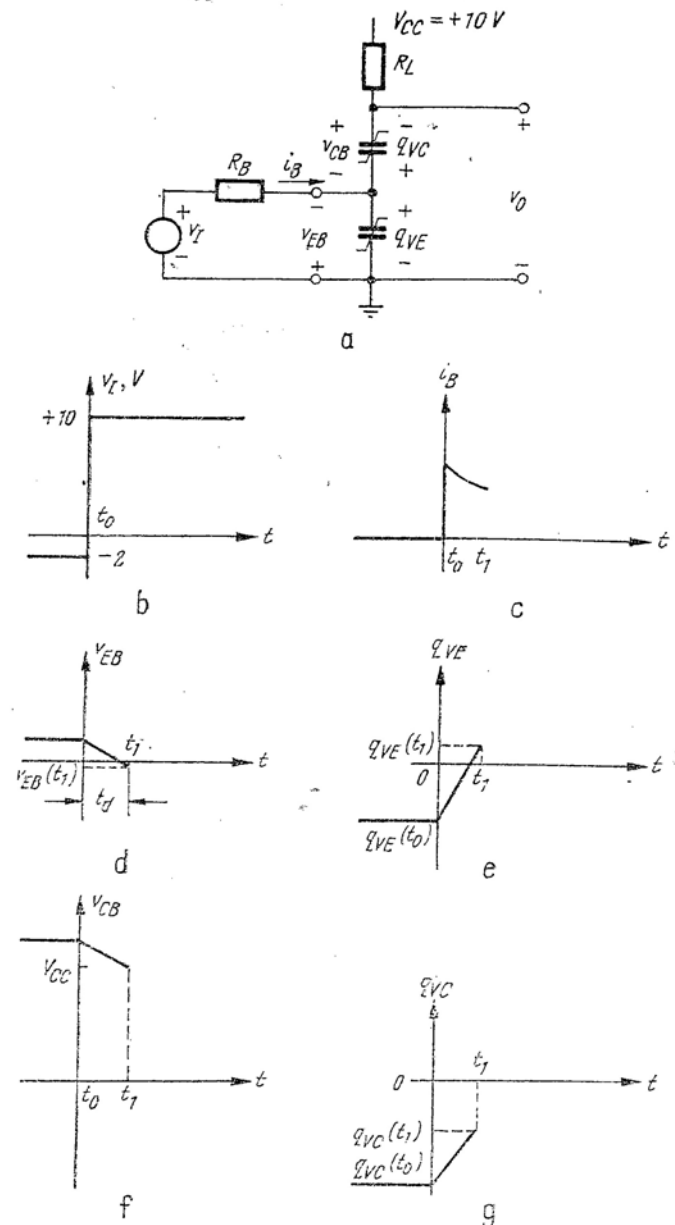


Fig. 22.9. Schițe aproximative ale tranziției prin regiunea de blocare. Tranzistorul intră în regiunea activă la  $t = t_1$ . Pentru  $t_0 < t < t_1$ , sarcina în exces din regiunea bazei este aproximativ zero:

a - circuitul echivalent pentru regiunea de blocare; b - tensiunea de intrare; c - curentul de bază; d - tensiunea emitor-bază; e - sarcina regiunii de sarcină spațială de la jonctiunea emitorului; f - tensiunea colector-bază; g - sarcina regiunii de sarcină spațială de la jonctiunea colectorului.

Dacă putem estima  $i_B(t)$  în timpul intervalului de tăiere, putem integra ecuația (22.18 a) și determina soluția în intervalul de timp necesar ca joncțiunea emitor-bază să devină polarizată direct. Integrarea ecuației (22.18 a) dă :

$$\int_{t_0}^{t_1} i_B(t) dt = [q_{VE}(t_1) - q_{VE}(t_0)] + [q_{VC}(t_1) - q_{VC}(t_0)] \quad (22.19)$$

unde, așa cum s-a stabilit mai sus, notația  $q_{VE}(t_1)$  indică sarcina regiunii de sarcină spațială la  $t=t_1$ . Cele patru valori ale sarcinii din ecuațiile (22.19) pot fi deja calculate astfel încât dacă putem estima  $i_B$ , expresia poate fi rezolvată pentru intervalul de timp  $t_1 - t_0$ , de obicei denumit *timpul de întârziere*  $t_d$ .

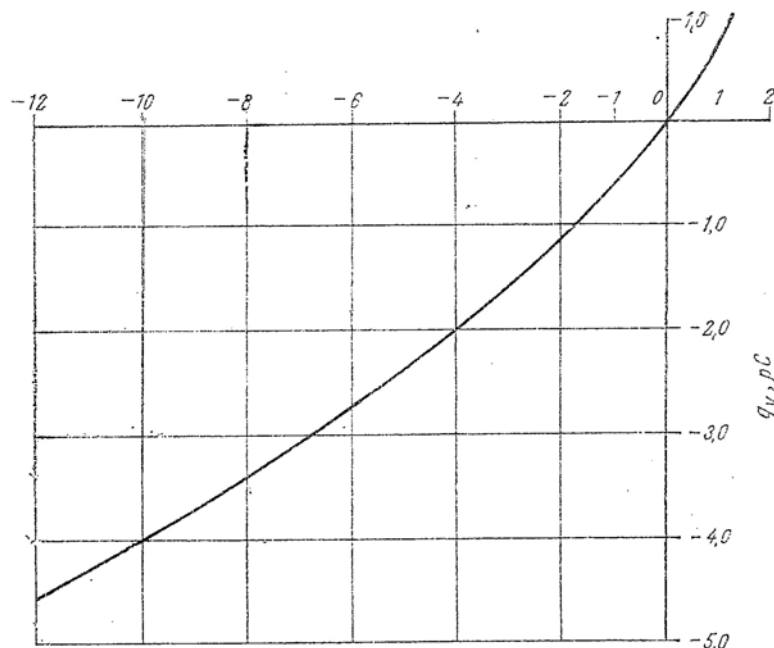


Fig. 22.10. Sarcina regiunii de sarcină spațială funcție de tensiune pentru o joncțiune dopată neuniform cu  $K = 1$ .

Putem găsi  $q_{VE}(t_0)$  și  $q_{VC}(t_0)$  din ecuațiile (22.15), folosind valorile tensiunilor specificate în ecuațiile (22.16) și (22.17). Pentru a facilita aceasta și calculele următoare, noi reprezentăm în fig. 22.10 o curbă normalizată [ $K = 1 \text{ pF (V)}^{1/3}$ ] a lui  $q_V$  funcție de tensiunea obținută, folosind ecuația

(22.15). Reamintind că  $K_E = K_C = 5 \text{ pF (V)}^{1/3}$ , pentru acest tranzistor, obținem :

$$q_{VE}(t_0) = -5,5 \text{ pC}$$

$$q_{VC}(t_0) = -22,9 \text{ pC}.$$

În  $t_1$  sfârșitul intervalului de blocare, punctul de funcționare trece din regiunea de blocare în regiunea activă. Pentru un tranzistor cu siliciu, tensiunile joncțiunilor în acest punct vor fi aproximativ :

$$v_{EB} \approx -0,3 \text{ V}$$

$$v_{CB} \approx V_{CC} - 0,3 = 9,7 \text{ V}$$

(neglijând orice curent de colector în  $R_1$ ). Trebuie observat că  $v_{EB}$  și  $v_{CB}$  se schimbă cu aceeași cantitate între  $t_0$  și  $t_1$ . Sarcinile  $q_{VE}(t_1)$  și  $q_{VC}(t_1)$  pot fi determinate acum din ecuațiile (22.15) sau fig. 22.10 :

$$q_{VE}(t_1) = +1,1 \text{ pC}$$

$$q_{VC}(t_1) = -19,2 \text{ pC}.$$

Adesea putem face o bună estimare a lui  $i_B(t)$  când  $v_{EB}$  nu variază prea mult comparativ cu  $v_I$ . În exemplul de față  $v_{EB}$  variază numai cu 2 V, în timp ce  $v_I$  variază cu 10 V. Astfel, curentul de bază, care va urmări imediat aplicarea treptei de tensiune de intrare, va fi :

$$i_B(t_0) = \frac{v_I + v_{EB}}{R_B} = \frac{10 + 2}{10} = 1,2 \text{ mA}$$

și curentul final de bază va fi :

$$i_b(t_1) = \frac{10 - 0,3}{10} = 0,97 \text{ mA}.$$

În concluzie, estimăm un curent mediu de bază de circa 1,1 mA în timpul intervalului de blocare și ecuația (22.19) devine :

$$\int_0^{t_d} (1,1) dt = (1,1 + 5,5) + (-19,2 + 22,9) = 10,3 \text{ pC}.$$

Rezolvând pentru timpul de întârziere  $t_d$ , obținem :

$$t_d = \frac{10,3}{1,1} = 9,4 \text{ ns};$$

Această valoare se poate compara favorabil cu valoarea de 10 ns obținută în rezolvarea problemei pe calculator (vezi fig. 22.8). (Vezi de asemenea demonstrațiile experimentale de curs din paragraful 22.7).

Curentul de colector este în realitate ușor negativ pe durata timpului de întârziere, deoarece purtătorii majoritari trebuie furnizați jumătății din colector a regiunii de sarcină spațială [vezi ecuația (22.18 b)]. Divizarea curentului de bază între colector și emitor este determinată de vitezele relative de variație ale lui  $q_{VC}$  și  $q_{VE}$ . Totuși, în timpul acestui interval curentul de colector este de obicei neglijabil comparativ cu curentul de colector în stare de conducție.

### 22.3.2. Tranzițiile prin regiunea activă

Cînd joncțiunea de emitor devine polarizată invers, tranzistorul intră în regiunea activă. Deci, noi trebuie să schimbăm modelul de circuit, alegîndu-l pe cel reprezentat în fig. 22.11 a. Cu emitorul polarizat direct, începe să se acumuleze sarcină în exces  $q_F$  în bază și circulă un curent de colector substanțial. Curentul de colector crește pînă la momentul  $t_2$ , cînd atinge valoarea de saturație definită de parametrii circuitului exterior. Astfel, din fig. 22.11 a :

$$i_C(t_2) = I_C(\text{sat}) \approx \frac{V_{CC}}{R_L} = 10 \text{ mA}. \quad (22.20)$$

În regiunea activă  $v_{EB}$  crește rapid de la  $-0,3$  la  $-0,6$  V, apoi se fixează la circa  $-0,6$  sau  $-0,7$  V. Astfel curentul de bază va fi de aproximativ 0,94 nA. În fig. 22.11 sînt reprezentate schițele aproximative ale formelor de undă corespunzătoare.

Dacă neglijăm termenul  $dq_{VC}/dt$  din ecuația curentului de colector, corespunzător cu discuția din paragraful 21.4, ecuațiile modelului cu control prin sarcină în regiunea activă devin :

$$i_B = \frac{q_F}{\tau_{BF}} + \frac{d}{dt} (q_F + q_{VE} + q_{VC}) \quad (22.21.a)$$

$$i_C \approx \frac{q_F}{\tau_F}. \quad (22.21.b)$$

Timpul necesar pentru a traversa regiunea activă se poate găsi prin integrarea ecuației (22.21 a) :

$$\int_{t_1}^{t_2} i_B dt = \underbrace{\Delta q_F + \Delta q_{VE} + \Delta q_{VC}}_{\text{Variația sarcinii stocate}} + \underbrace{\frac{1}{\tau_{BF}} \int_{t_1}^{t_2} q_F dt}_{\text{Recombinarea sarcinii}} \quad (22.22)$$

Pentru că  $\beta_F$  este 75 :

$$\beta_F |I_B| \gg |I_C(\text{sat})| \quad (22.23)$$

astfel încît tranzistorul va fi eventual comandat adînc în saturație. Astfel, noi sîntem asigurați de traversarea rapidă a regiunii active și putem neglijă termenul corespunzător recombinării în ecuația (22.22). Pe această bază ecuația poate fi rezolvată pentru *timpul de creștere*  $t_r$ , care este intervalul de timp între momentul particular cînd joncțiunea de emitor devine polarizată direct și momentul cînd tranzistorul intră în saturație. Reamintim din calculele pentru regiunea de blocare că  $q_F(t_1)=0$ ,  $q_{VE}(t_1)=1,1$  pC și  $q_{VC}(t_1)=-19,2$  pC. La  $t_2$ , cînd tranzistorul este la limita de saturație,  $v_{EB}=-0,7$  V și  $v_{CB}$  va fi aproximativ  $-0,3$  V; deci din fig. 22.10,  $q_{VE}(t_2)=2,7$  pC și  $q_{VC}(t_2)=+1,1$  pC. Găsim  $q_F(t_2)$  din ecuațiile (22.21 b) și (22.20) :

$$\begin{aligned} q_F(t_2) &= I_C(\text{sat}) \tau_F = \\ &= 10 \times 0,4 = 4 \text{ pC}. \end{aligned} \quad (22.24)$$

Aceste rezultate sînt sintetizate în tabelul 22.5

Așa cum s-a observat mai sus, în regiunea activă  $i_B(t)$  este aproape constant și egal cu 0,94 mA. Astfel, ecuația (22.22) se reduce la :

$$0,94 (t_2 - t_1) = 4 + 1,6 + 20,3$$

sau timpul de creștere este :

$$t_r = t_2 - t_1 = \frac{25,9}{0,94} = 27,6 \text{ ns}.$$

Valoarea corespunzătoare obținută pe calculator este, din fig. 22.8 :

$$t_r = 31 \text{ ns}.$$

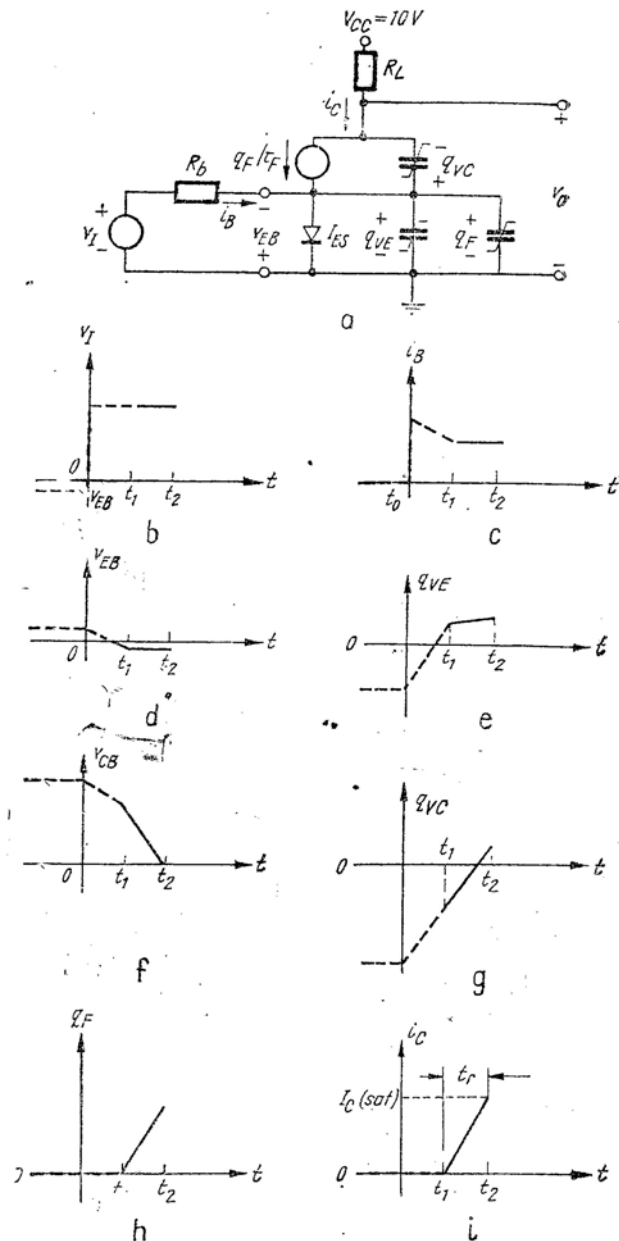


Fig. 22.11. Schițe aproximative pentru tranziția prin regiunea activă. Transistorul intră în regiunea de saturație la  $t = t_2$ . Pentru  $t_0 < t < t_2$  componenta inversă a sarcinii în exces în regiunea bazei este aproximativ zero:

a - circuitul echivalent pentru regiunea activă; b - tensiunea de intrare, c - curentul de bază, d - tensiunea emitor-bază, e - sarcina regiunii de sarcină spațială la jonctiunea emitorului, f - tensiunea colector-bază, g - sarcina regiunii de sarcină spațială la jonctiunea colectorului, h - componenta directă a sarcinii de bază, i - curentul de colector.

Noi ne așteptăm ca soluția aproximată să producă un timp de creștere mai mic decât cel dat de soluția pe calculator pentru că recombinarea, pe care o neglijăm, va face tranziția mai lentă. O parte din curentul de bază trebuie să fie folosit pentru a alimenta această recombinare, reducând curentul disponibil pentru încărcarea capacităților [vezi ecuația (22.21 a)].

Tabelul 22.5

Sarcina în picocoulombi pentru circuitul din fig. 22.7

Timpu	$q_{VE}$	$\Delta q_{VE}$	$q_{VC}$	$\Delta q_{VC}$	$q_F$	$\Delta q_F$
$t_0$	-5,5		-22,9		0	
$t_1$	1,1	+6,6	-19,2	+3,7	0	0
$t_2$	2,7	+6,1	+1,1	+20,3	4	+4

Putem estima recombinarea presupunând o creștere liniară a lui  $q_F$  cu timpul, între  $t_1$  și  $t_2$ . Pe această bază pierderea de sarcină prin recombinare este:

$$q_{r,sl} = \frac{1}{\tau_{BF}} \int_{t_1}^{t_2} q_F dt = \left( \frac{4}{0,4 \times 75} \right) \left( \frac{27,6}{2} \right) = 1,8 \text{ pC}$$

care are un efect de 7% asupra calculelor noastre aproximative.

### 22.3.3. Regiunea de saturație

Pentru că curentul de bază este mai mare decât cel necesar să comande transistorul în saturație, așa cum am găsit în paragraful 22.3.2, sarcina în exces în bază,  $q_B = q_F + q_R$ , continuă să crească un interval de timp anumit după timpul  $t_2$  (când transistorul intră în saturație). Specific,  $q_F$  și  $q_R$  acumulate până când se atinge viteza netă de recombinare sînt aproape egale cu curentul de bază. În acest timp, toate variabilele externe,  $i_B$ ,  $i_C$ ,  $v_{EB}$  și  $v_{CB}$  sînt aproape constante. Totuși, formele de undă exacte ale variabilelor interne  $q_F$  și  $q_R$  nu sînt prea importante. Dar noi trebuie să cunoaștem suma  $q_F + q_R$  la  $t_3$ , momentul dispariției impulsului de intrare, pentru că aceasta influențează direct timpul de comutare inversă a curentului. așa cum vom vedea în paragraful următor.



Pentru că tensiunile joncțiunilor sînt virtual constante,  $q_{VE}$  și  $q_{VC}$  nu se schimbă și deci pot fi omise din model. Astfel, putem forma modelul de circuit pentru regiunea de saturație, reprezentat în fig. 22.12.

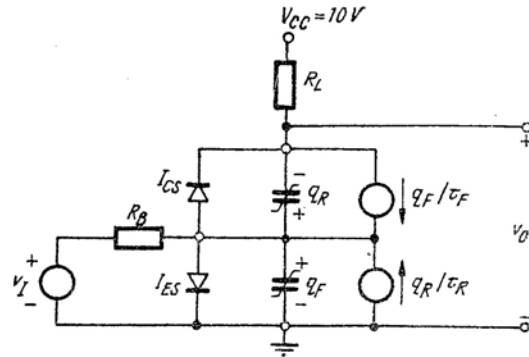


Fig. 22.12. Circuitul echivalent al inversorului folosind modelul cu control prin sarcină în regiunea de saturație pentru tranzistor.

Poate cel mai simplu mod de a determina sarcina totală stocată  $q_F + q_R$  la momentul  $t_3$  este de a calcula sarcina de saturație  $q_s$  folosind ecuația (21.51):

$$i_B - \frac{I_C(sat)}{\beta_F} = \frac{dq_s}{dt} + \frac{q_s}{\tau_s}. \quad (22.25)$$

Reamintim din ecuația (21.49 b) că constanta de timp de saturație este:

$$\begin{aligned} \tau_s &= \frac{\tau_{BF}(\beta_R + 1) + \tau_{BR}\beta_F}{\beta_F + \beta_R + 1} \\ &= \frac{30(8) + (70)(75)}{75 + 7 + 1} = 66 \text{ ns}. \end{aligned} \quad (22.26)$$

Pentru că impulsul de tensiune de intrare are durata de  $1 \mu s$  și suma timpilor de întârziere și de creștere este de numai 35,2 ns, este timp suficient ca tranzistorul să ajungă în starea staționară de saturație ( $5\tau_s < 1000 - t_d - t_r$ ). Deci  $q_s(t_3)$  este sarcina staționară  $q_s$  din ecuația (22.25).

$$\begin{aligned} q_s(t_3) &= q_s \text{ (starea staționară)} = \\ &= (66) \left( 0,94 - \frac{10}{75} \right) = 53,5 \text{ pC}. \end{aligned}$$

Deci sarcina în bază la momentul  $t_3$  este:

$$q_B(t_3) = q_F + q_R = q_s + q_{Bo} = 53,5 + 4 = 58,5 \text{ pC}.$$

Aceste calcule sînt confirmate de calculele făcute pe calculator și reprezentate în fig. 22.8, care arată că tranzițiile lui  $q_F$  și  $q_R$  s-au terminat substanțial în 350 ns, cu o sarcină finală în bază de  $q_B(t_3) = 6,3 + 50,9 = 57,2 \text{ pC}$ .

#### 22.3.4. Întârzierea de stocare

În starea staționară de conducție, tranzistorul comutator are un curent de bază constant  $I_B$  și un curent de colector constant  $I_C(sat)$ . Tranziția în starea de blocare este inițiată prin inversarea curentului de bază astfel încît purtătorii în exces sînt evacuați din bază, și prin terminalul de bază, și prin recombinare.

Tranziția inversă poate fi divizată convenabil în trei intervale, așa cum s-a indicat prin formele de undă aproximative, schițate în fig. 22.13.

1. Pentru că în acest exemplu starea de conducție corespunde regiunii de saturație, există un interval de timp în care purtătorii în exces sînt evacuați din bază, deși nu există nici o schimbare a curentului de colector. Acest interval se termină cînd  $q_R$  (și  $q_S$ ) devin egale cu zero, moment în care joncțiunea de colector iese din polarizare directă și tranzistorul iese din regiunea de saturație și intră în regiunea activă. Vom nota cu  $t_{sd}$  durata acestui interval de întârziere de stocare. Variațiile sarcinilor din regiunile de sarcină spațială sînt, desigur, neglijabile în timpul acestui interval, pentru că tensiunile terminale sînt aproape constante.

2. Evacuarea permanentă a sarcinii în exces din bază face ca  $i_C$  să scadă în amplitudine pe măsură ce tranzistorul traversează regiunea activă. Intervalul de timp corespunzător, care se termină cînd tranzistorul intră în regiunea de blocare se numește timp de cădere  $t_f$ .

3. Curentul de bază de blocare continuă să evacueze purtătorii majoritari din straturile de sarcină spațială și astfel să crească mărimile sarcinilor regiunilor de sarcină spațială  $q_{VC}$  și  $q_{VE}$ . Starea staționară este atinsă cînd tensiunile joncțiunilor ating valorile statice care corespund stării de blocare. Curentul de bază de blocare nu poate fi, desigur, menținut în regiunea de blocare. Deci, curentul de bază trebuie să cadă la zero cînd tranziția este terminată.

În evaluarea întârzierii de stocare, este desigur posibil să se lucreze în termeni de componente directe și inverse ale sarcinii din bază și să se determine timpul necesar pentru a reduce  $q_R$  la zero. Totuși, din nou este în general mai convenabil să se lucreze în termeni de  $q_s$  și  $\tau_s$ . Timpul de întârziere de stocare  $t_{sd}$  este obținut prin rezolvarea ecuației (22.25) pentru  $q_s(t)$ , cu condiția inițială  $q_s(t_3) = 53,5 \text{ pC}$  și calculîndu-se momentul de timp la care  $q_s(t)$  devine zero.

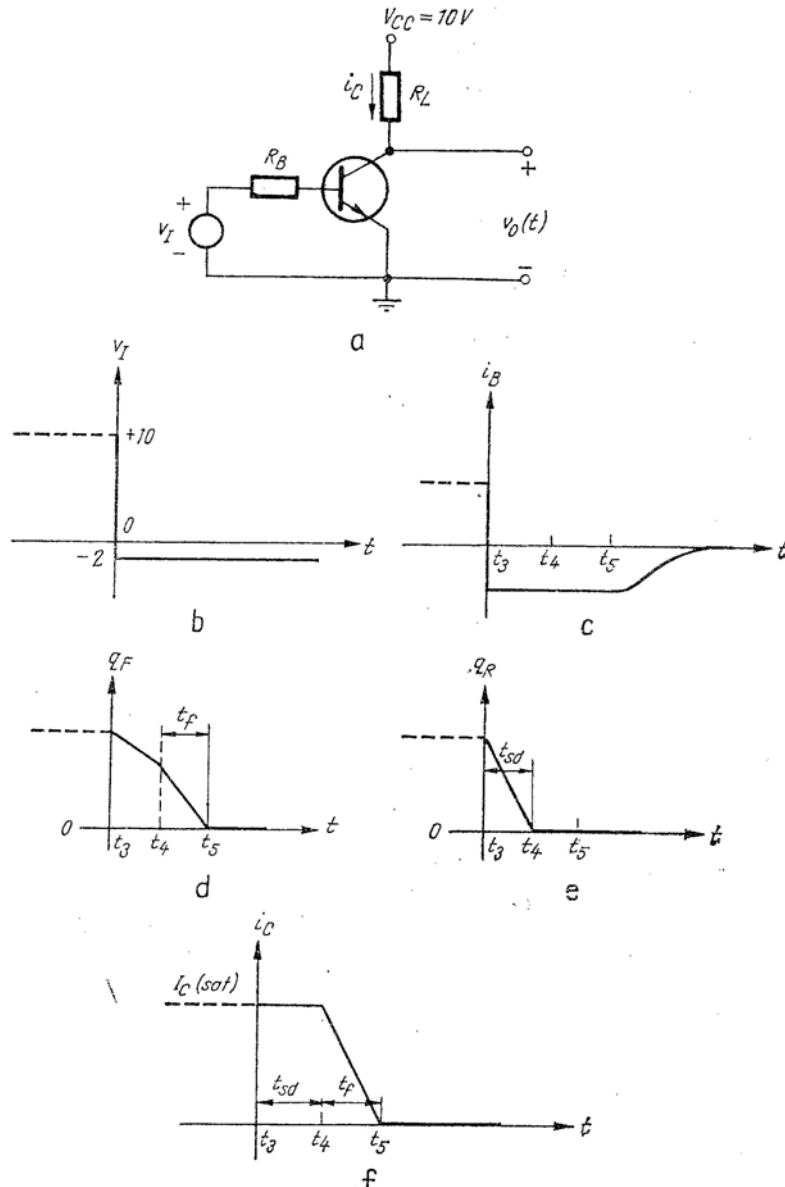


Fig. 22.13. Schițele aproximative care arată tranziția din conducție în blocare. Când curentul de bază se inversează la  $t = t_3$ ,  $q_s$  începe să scadă. Transistorul intră în regiunea activă la  $t = t_4$  și în regiunea de blocare la  $t = t_5$ :

a - circuitul; b - sursa de tensiune; c - curentul de bază; d - sarcina directă; e - sarcină inversă; f - curentul de colector.

Întrucît, începînd din  $t_3$ ,  $v_I$  este negativ, curentul de bază își schimbă brusc semnul în  $t_3$ . Din fig. 22.12 este evident că  $v_{EB}$  rămîne fixat la aproximativ  $-0,6$  V, atîta timp cît  $q_F$  este pozitiv. Astfel:

$$i_B = \frac{-2 - 0,6}{10} = -0,26 \text{ mA.}$$

Substituind aceste valori în ecuația 22.25, obținem:

$$-0,26 - \frac{10}{75} = \frac{q_s}{66} + \frac{dq_s}{dt} \quad (22.27)$$

Se observă că  $q_s$  este evacuat și prin curentul de bază negativ, și prin recombinare (vezi problema P. 22.5). Astfel, aplicînd un semnal  $v_I$  negativ în timpul blocării, va fi micșorat apreciabil timpul de blocare<sup>1</sup>. Curentul de bază negativ din timpul comutării inverse este totdeauna denumit *supracomandă la blocare*. Din ecuație, vedem că  $q_s(t)$  este o exponențială negativă, așa cum se arată în fig. 22.14, cu o valoare finală (niciodată atinsă pentru că transistorul își schimbă starea) de:

$$q_s(\text{final}) = -\left(0,26 + \frac{10}{75}\right)(66) = -26 \text{ pC.}$$

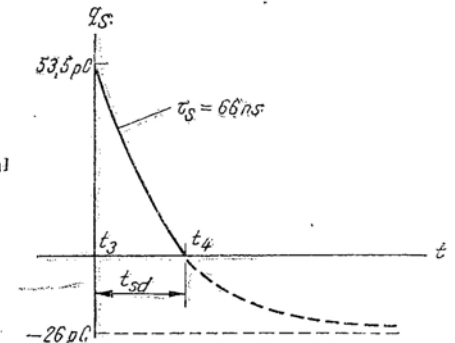


Fig. 22.14. Scăderea lui  $q_s$ , care arată timpul de întârziere de stocare  $t_{sd}$ .

Așa cum se observă din fig. 22.14, putem găsi timpul de întârziere de stocare prin rezolvarea pentru  $t_{sd}$ , a ecuației:

$$26 = (53,5 + 26) e^{-t_{sd}/66}$$

<sup>1</sup> Acest efect poate fi arătat prin demonstrațiile experimentale de curs discutate în paragraful 22.7.

Deci timpul de întârziere de stocare este :

$$t_{sd} = 66 \ln \frac{79,5}{26} = 74 \text{ ns.}$$

Din fig. 22.8, timpul de întârziere de stocare corespunzător soluției pe calculator este 76 ns, ceea ce concordă perfect cu soluția noastră aproximativă.

Trebuie să fie clar din calculul precedent și în particular din fig. 22.14, că reducerea lui  $q_s(t)$  va reduce timpul de întârziere de stocare. Putem reduce  $q_s(t_s)$ , reducând amplitudinea impulsului de intrare, astfel încît tranzistorul nu este comandat prea adînc în saturație, dar atunci va crește timpul de comutare directă. De asemenea, reamintim din paragraful 22.2.3 că supracomanda este necesară pentru a asigura saturația în orice condiții de curent și de mediu.

Timpul de întârziere de stocare poate fi de asemenea redus prin creșterea supracomenzii la comutarea inversă. Totuși, cînd această supracomandă este produsă printr-un impuls de intrare cu palier negativ de cîtiva volți, așa cum este în cazul de față (vezi fig. 22.7), timpul de întârziere  $t_2$  inițial crește, pentru că trebuie furnizată o sarcină mai mare  $q_{VE}$  și  $q_{VC}$  regiunilor de sarcină spațială, înainte ca tranzistorul să intre în regiunea activă. (O metodă mai bună de furnizare a supracomenzii este discutată în paragraful 22.4). Aceste metode de reducere a timpului de întârziere la stocare și interacțiunile care rezultă cu alți timpi de comutație, pot fi arătate în modul cel mai direct prin demonstrația experimentală discutată în paragraful 22.7.

### 22.3.5. Timpul de cădere

Evaluarea timpului de cădere este în întregime analogă cu analiza timpului de creștere din paragraful 22.3.2. Dacă există supracomandă suficientă la comutarea inversă, noi putem neglija frecvent componenta de recombinare a curentului de bază. Pe această bază se poate găsi timpul de cădere  $t_f$  din expresia :

$$\int_{t_4}^{t_5} i_B(t) dt \approx [q_F(t_5) - q_F(t_4)] + [q_{VE}(t_5) - q_{VE}(t_4)] + \\ + [q_{VC}(t_5) - q_{VC}(t_4)]$$

unde  $t_4$  este momentul intrării în regiunea activă și  $t_5$  este timpul cînd  $q_F$  cade la zero. Se poate arăta că  $\Delta q$  pe durata timpului de cădere va avea

aceeași mărime cu  $\Delta q$  pe durata timpului de creștere. Astfel, ecuația integrală se reduce la :

$$\int_{t_4}^{t_5} (-0,26) dt = -25,9$$

și timpul de cădere  $t_f$  este :

$$t_f = t_5 - t_4 = \frac{25,9}{0,26} = 99 \text{ ns.}$$

Soluția pe calculator indică că timpul de cădere este :

$$t_f = 154 - 76 = 78 \text{ ns.}$$

Neglijarea recombinării produce o eroare semnificativă (20 %) aici, pentru că regiunea activă nu este traversată suficient de rapid (vezi problema P.22.6) Trebuie să observăm că recombinarea face ca tranzistorul să comute invers mai rapid decît au indicat calculele noastre aproximative

Dacă tranziția inversă este inițiată simplu prin reducerea la zero curentului de bază, așa cum se întîmplă în unele circuite de comutație, sarcina de exces din bază scade lent prin recombinare. Timpul de cădere este atunci mult mai lung decît valoarea calculată mai sus. (Vezi problema P. 22.7).

### 22.3.6. Revenirea în stare staționară

Deși curentul de colector și componentele sarcinii din bază  $q_F$  și  $q_R$  sînt substanțial nule în  $t_5$ , sfîrșitul timpului de cădere, circuitul nu este încă în stare staționară. În plus, este necesar ca sarcinile regiunilor de sarcină spațială să revină la valorile lor inițiale. Timpul necesar ca tensiunile inverse ale joncțiunilor să atingă valorile lor statice din starea de blocare poate fi determinat prin calcularea variației necesare a sarcinilor regiunilor de sarcină spațială, așa cum am făcut la evaluarea timpului de întârziere din paragraful 22.3.1. Astfel :

$$\int_{t_5}^{t_6} i_B dt = \Delta q_V = -10,2 \text{ pC.} \quad (22.28)$$

În timpul acestui interval,  $i_B$  nu va fi constant, dar va scădea lent de la  $-0,26$  mA la zero. Dacă presupunem arbitrar o scădere liniară, ecuația (22.28) devine:

$$\frac{-0,26}{2} (t_6 - t_5) = -10,2 \text{ pC}$$

$$t_6 - t_5 = 78,5 \text{ ns.}$$

Intervalul de timp corespunzător în soluțiile pe calculator este aproximativ 100 ns.

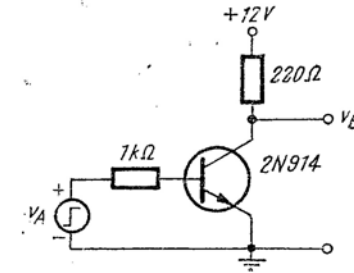
## 22.4. CONDENSATORUL DE ACCELERARE

Acum, cînd avem o vedere de ansamblu asupra cauzelor întîrzierilor la comutarea directă și inversă, să încercăm să modificăm circuitul inversor pentru a reduce aceste întîrzieri.

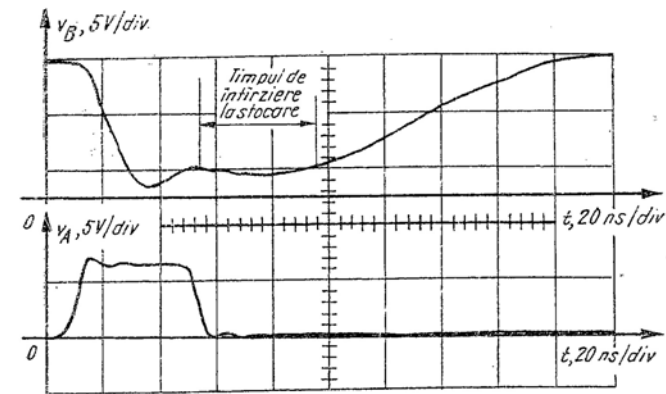
Așa cum am văzut în paragraful precedent, o cauză principală de distorsiune a formei impulsului și a reducerii vitezei de comutare este sarcina suplimentară  $q_s$  stocată în regiunea bazei în starea de conducție. Această sarcină trebuie să fie evacuată sau prin recombinare, sau printr-o comandă inversă în bază, înainte ca tranzistorul să poată ieși din saturație. Oscilograma din fig. 22.15 a unui răspuns tranzitoriu tipic al unui circuit inversor ilustrează acest fenomen. În acest caz, pentru care curentul de bază static în starea de conducție este considerabil mai mare decît valoarea minimă necesară pentru saturație, timpul de întîrziere de stocare este de aproximativ 40 ns. Timpul de cădere este de aproximativ 80 ns. Aceste efecte produc o distorsiune mare față de impulsul de intrare de 40 ns.

Din paragraful 22.3.4 vedem că timpul de întîrziere de stocare poate fi redus prin furnizarea unui curent invers de bază (supracomandă inversă) care evacuează purtătorii în exces din bază, crescînd astfel viteza de scădere a lui  $q_F$  (sau  $q_S$ ). În acest exemplu, supracomanda de comutare directă a fost furnizată prin polarizarea impulsului de intrare ca în fig. 22.7. O metodă mai bună de a furniza supracomanda la comutarea inversă este de a conecta în paralel pe rezistența din bază un condensator de accelerare, așa cum am discutat în paragraful 8.22 și cum s-a arătat în fig. 22.16. În starea de conducție, tensiunea pe condensator este  $I_B R$ , astfel încît capacitatea acumulează o sarcină  $I_B RC$ . Dacă  $C$  este ajustat astfel încît sarcina din condensator să fie egală sau mai mare decît sarcina în exces totală prin bază în starea de conducție, impulsul de curent care rezultă din descărcarea lui  $C$  cînd impulsul de tensiune de intrare cade, evacuează foarte rapid sarcina în exces din bază, reducînd astfel și întîrzierea de

stocare și timpul de cădere. Pentru experimentul ilustrat în fig. 22.16, timpul de întîrziere la stocare se reduce la cîteva nanosecunde, iar timpul de cădere la circa 20 ns.



a



b

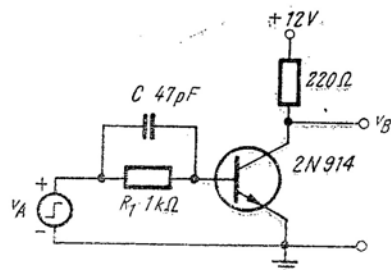
Fig. 22.15. Timpul de întîrziere de stocare într-un circuit de comutație cu tranzistorul saturat:

a - circuitul; b - formele de undă de intrare și ieșire.

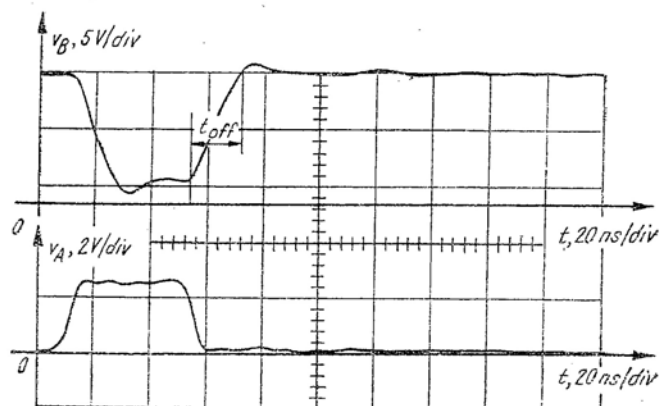
Condensatorul de accelerare furnizează de asemenea un impuls de curent de comandă în conducție cînd tranzistorul este comutat direct, reducînd astfel timpul de întîrziere și timpul de creștere. Acest ultim efect a fost de asemenea discutat în paragraful 8.2.2.

Formele de undă din fig. 22.16 și discuția referitoare la ele se bazează pe ipotezele că impulsul de intrare are timpi de creștere și de cădere care sînt neglijabili de mici comparativ cu timpii de răspuns ai tranzistorului și că generatorul de impuls poate furniza un impuls de curent asociat

cu componentele în impuls ale comenzii pe bază. Nici una din aceste condiții nu este satisfăcută de multe circuite de comutare practice, în particular când tranzistorul studiat este comandat de alt tranzistor. În asemenea cazuri, impulsurile de comandă au timpi de creștere și de cădere



a



b

Fig. 22.16. Reducerea timpului de întârziere de stocare cu ajutorul unui condensator de accelerare. Se observă că timpul total de comutare inversă  $t_{off}$  este mult mai mic cu condensator de accelerare:

a - circuitul; b - formele de undă de intrare și ieșire.

care sînt comparabili cu timpul de răspuns al tranzistorului comandat și impulsurile de curent de comandă sînt limitate de circuit. Aceste subiecte vor fi discutate în capitolul 23.

## 22.5. DETERMINAREA PARAMETRILOR MODELULUI CU CONTROL PRIN SARCINĂ

Sintem acum în situația de a discuta metodele de determinare a opt parametri de control prin sarcină  $\tau_F$ ,  $\tau_R$ ,  $\tau_{BF}$ ,  $\tau_{BR}$ ,  $Q_{FO}$ ,  $Q_{RO}$ ,  $K_E$  și  $K_C$  și prin măsurări directe, și prin calcule pe baza informațiilor furnizate de foile de catalog ale fabricanților. Pentru că modelul comenzii prin sarcină este prin definiție un model de semnal mare aplicabil din blocare în saturație, parametrii modelului se presupun constanți în tot domeniul de funcționare și independenți de tensiune și curent.

### 22.5.1. Determinarea parametrilor prin măsurare directă

Așa cum s-a subliniat în capitolul 12, există multe metode de măsură a unui parametru oarecare al unui tranzistor dat, dar pentru simplitate și precizie, măsurarea trebuie făcută astfel încît să includă un număr minim absolut de parametri, alții decît cel dorit. Acest principiu este urmat cît mai mult posibil în procedeele de măsură descrise mai jos.

Măsurarea lui  $\tau_{BF}$  și  $\tau_F$ . Evident parametrii sînt asociați cu injecția directă de sarcină în bază, astfel încît este rezonabil să determinăm acești parametri prin funcționarea tranzistorului în regiunea activă directă. Ideea de bază pentru măsurarea lui  $\tau_{BF}$  este conținută în paragraful 8.2.2. și fig. 8.9. Acolo s-a arătat că dacă a fost inclus un condensator de accelerare  $C$  în circuitul de comandă a bazei, așa cum s-a indicat în fig. 22.17, se poate obține o formă de undă dreptunghiulară pentru curentul de colector de răspuns prin ajustarea îngrijită a lui  $C$  și  $R$ . Pentru a micșora influența lui  $q_{VE}$ , comandăm tranzistorul în regiunea activă permanent ( $|V_{EB}|$  mai mare decît circa 0,4 V). Mai mult, noi lucrăm cu rezistențe de colector  $R_2$  foarte mici (10  $\Omega$  sau mai mici) pentru a micșora variațiile lui  $v_{CB}$ , deci  $q_{VC}$ . Pe această bază, ecuațiile modelului cu control prin sarcină pentru un tranzistor npn se reduc la:

$$i_B \approx \frac{q_F}{\tau_{BF}} + \frac{dq_F}{dt} \quad (22.29)$$

$$i_C \approx \frac{q_F}{\tau_F} \quad (22.30)$$

Dacă variația în treaptă a lui  $v_s$  este de cîțiva volți, orice mică variație a lui  $v_{EB}$  poate fi neglijată. Variația în treaptă a curentului de bază este atunci:

$$\Delta i_B \approx \frac{v_s(\text{final}) - v_s(\text{inițial})}{R_1} = \frac{\Delta V}{R_1} \quad (22.31)$$

și sarcina livrată de  $C$  în baza tranzistorului este :

$$Q = C \Delta V. \quad (22.32)$$

Se observă că simbolul  $\Delta$  este folosit pentru a nota o schimbare a variabilei, adică valoarea finală minus valoarea inițială, dar în acest context *nu există nici o restricție asupra dimensiunii schimbării*. În majoritatea cazurilor schimbările vor fi mari. Dacă  $R_1$  și  $C$  sînt ajustate corespunzător,  $i_C$  și  $v_{CE}$  urmăresc niște variații în treaptă; altfel, așa cum s-a indicat în figură, apar forme de undă de răspuns cu timpi de creștere și descreștere finiți. Din condiția de a avea un răspuns  $i_C$  în treaptă, știm din ecuația (22.30) că  $q_F$  trebuie de asemenea să urmărească o variație în treaptă. Așa cum s-a subliniat în paragraful 8.2.2, capacitatea  $C$  injectează suficientă sarcină în bază la  $t = 0$  pentru a determina această treaptă a lui  $q_F$ , iar rezistența  $R_1$  furnizează o cantitate suficientă de curent de bază pentru a menține această sarcină în regim staționar, în prezența recombinării. Astfel :

$$C \Delta V = \Delta q_F. \quad (22.33)$$

Din ecuația (22.29), variația în treaptă a curentului de bază este legată de  $\Delta q_F$  prin :

$$\Delta i_B = \frac{\Delta q_F}{\tau_{BF}}. \quad (2.34)$$

Astfel din ecuațiile (22.31), (22.33) și (2.34) avem :

$$\tau_{BF} = R_1 C. \quad (22.35)$$

Concludem că  $\tau_{BF}$  poate fi găsit prin ajustarea lui  $R_1$  și  $v_s$  din fig. 22.17, astfel încît tranzistorul stă în regiunea activă în timpul tranziției, și prin ajustarea lui  $C$  pentru a obține o tensiune de ieșire în treaptă. În aceste condiții  $\tau_{BF}$  este egal cu produsul  $R_1 C$ .

Așa cum s-a notat mai sus, pentru ajustarea corectă a lui  $R_1$  și  $C$ , și tensiunea și curentul de colector trebuie să urmărească o schimbare în treaptă la  $t = 0$ . Variația treaptă a tensiunii de colector va fi :

$$\Delta v_{CE} = \Delta i_C R_2. \quad (22.36)$$

Astfel din ecuațiile (22.30), (22.36) și (22.33) obținem o relație simplă pentru determinarea lui  $\tau_F$  :

$$\tau_F = -R_2 C \frac{\Delta V}{\Delta v_{CE}} \quad (22.37)$$

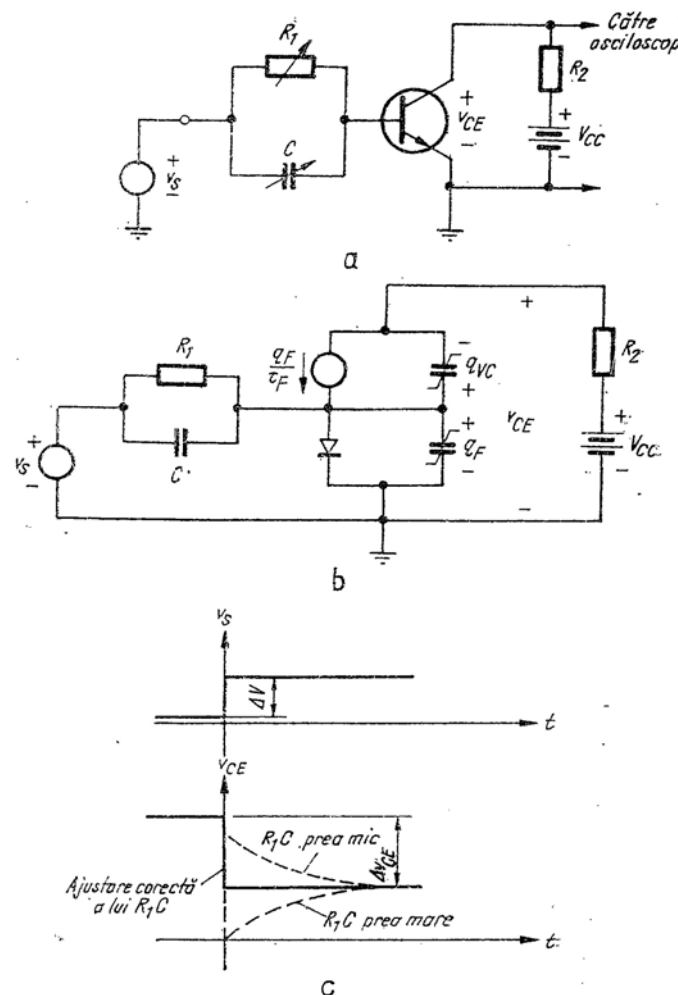


Fig. 22.17. Măsurarea lui  $\tau_{BF}$  și  $\tau_F$  :  
a - circuitul ; b - circuitul echivalent ; c - forme de undă.

Se observă că dacă avem un osciloscop cu un cap de probă de curent de sensibilitate și bandă suficiente, atunci  $R_2$  din fig. 22.17 poate fi adus la zero și curentul de colector măsurat direct. În acest caz, expresia pentru determinarea lui  $\tau_F$  devine

$$\tau_F = \frac{C \Delta V}{\Delta i_C} \quad (22.38)$$

Aceste metode de măsură necesită ajustarea rezistenței  $R_1$  sau a capacității  $C$ . Pentru a obține valoarea necesară a parametrului sarcinii, trebuie măsurate valorile rezistenței și capacității fără ca elementele să fi fost calibrate în prealabil. Adeseori este mai convenabil să modificăm tehnica de măsură așa cum se arată în fig. 22.18. Acum pot fi folosite valorile fixate pentru  $R_1$  și  $C$ , dar sînt necesare două generatoare de impulsuri sincronizate. Determinările parametrilor se reduc atunci la măsurarea lui  $v_1$  și  $v_2$  cu osciloscopul. Cînd s-a făcut ajustarea pentru condiții corecte de comandă în bază, avem, presupunînd  $R \gg R_1$ :

$$\tau_{BF} = R_2 C \frac{\Delta v_2}{\Delta v_1} \quad (22.39)$$

$$\tau_F = -R_2 C \frac{\Delta v_2}{\Delta v_{CE}} \quad (22.40)$$

$$\beta_F = \frac{\tau_{BF}}{\tau_F} = -\frac{R_1}{R_2} \cdot \frac{\Delta v_{CE}}{\Delta v_1} \quad (22.41)$$

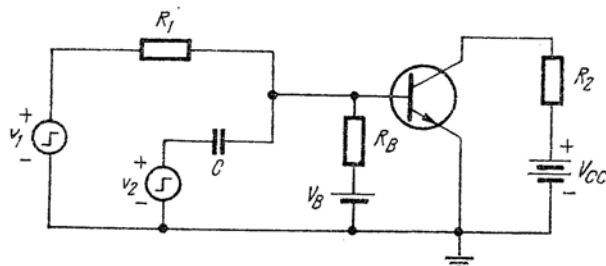


Fig. 22.18. Circuitul modificat pentru măsurarea lui  $\tau_{BF}$  și  $\tau_F$ .

În toată discuția noastră, s-a presupus că este disponibil un generator de impulsuri treaptă de tensiune, de impedanță internă nulă. Este important ca aceste caracteristici ale generatorului de comandă a bazei să fie

cît mai apropiate de cele cerute de tranzistorul testat. Cerințele sînt următoarele:

1. Timpul de creștere al generatorului de tensiune, trebuie să fie mic comparativ cu  $\tau_{BF}$ ; preferabil, timpul de creștere nu trebuie să fie mai mult de o treime din acest parametru (reamintim că timpii de creștere ai circuitelor care nu interacționează se adună pătratic).

2. Rezistența internă a generatorului trebuie să fie astfel încît nivelele de tensiune ale generatorului să fie afectate neglijabil de curenții de comandă livrați. De asemenea, constanta de timp formată de rezistența internă a generatorului  $v_2$  și  $C$  nu trebuie să fie mai mare decît timpul de creștere al tensiunilor generatoarelor, preferabil mai mic.

De asemenea, este necesar, așa cum s-a discutat deja, ca tensiunile generatoarelor să fie mari comparativ cu excursia de tensiune a lui  $V_{BE}$ .

**Măsurarea lui  $\tau_{BE}$  și  $\tau_F$ .** Parametrii modelului cu control prin sarcină,  $\tau_{BE}$  și  $\tau_F$ , legați de funcționarea în regim inversat a tranzistorului, pot fi măsurați prin metodele descrise mai sus, numai prin interschimbarea terminalelor de colector și emitor ale tranzistorului. Pentru că  $\beta_F$  este de obicei cu unul sau două ordine de mărime mai mic decît  $\beta_F$ , va fi necesar un osciloscop mai sensibil pentru parametri inversi, decît pentru parametri direcți.

**Măsurarea lui  $Q_{FO}$ ,  $Q_{RO}$ .** Parametrii  $Q_{FO}$ ,  $Q_{RO}$ , constantele din expresiile lui  $q_F$  și  $q_R$  [ecuațiile (22.13)] sînt legate direct de parametrii modelului Ebers-Moll prin ecuația (22.14):

$$Q_{FO} = \alpha_F I_{ES} \tau_F \quad (22.42 a)$$

$$Q_{RO} = \alpha_R I_{CS} \tau_R \quad (22.42 b)$$

Astfel, măsurarea parametrilor Ebers-Moll așa cum s-a discutat în paragraful 21.5, împreună cu măsurarea lui  $\tau_F$  și  $\tau_R$ , așa cum s-a discutat mai sus, vor permite determinarea valorilor dorite pentru  $Q_{FO}$  și  $Q_{RO}$ . Pentru că  $q_F$  și  $q_R$  interesează numai în regiunile activă și de saturație, parametrii  $I_{ES}$  și  $I_{CS}$  din ecuația (22.42) trebuie să fie măsurați cu joncțiunile polarizate direct.

**Măsurarea lui  $K_E$ ,  $K_C$ .** Pentru că  $q_{FE}$  și  $q_{FC}$  interesează în principal în condiții de polarizare inversă, măsurarea constantelor asociate  $K_E$  și  $K_C$  trebuie să se facă cu dioda corespunzătoare polarizată invers. O metodă convenabilă în particular este de a măsura capacitatea la semnal mic a joncțiunii la o tensiune oarecare de polarizare inversă. Relațiile corespunzătoare vor fi dezvoltate acum.

Știm din ecuația (4.40 a) că pentru o joncțiune dopată neuniform (liniar):

$$q_F = K [\psi_0^3 - (\psi_0 - v)^3] \quad (22.43)$$



unde  $\psi_0 \approx 0,5$  V pentru germaniu și  $\psi_0 \approx 0,9$  V pentru siliciu. Prin definiție, capacitatea la semnal mic a joncțiunii, la o anumită tensiune  $V$  este  $C_j(V) = dp/dt$ ; din ecuația (22.43) găsim că:

$$C_j(V) = \frac{2}{3} K [\psi_0 - V]^{1/3}. \quad (22.44)$$

Deci:

$$K = \frac{2}{3} C_j(V) [\psi_0 - V]^{1/3}. \quad (22.45)$$

Expresia corespunzătoare pentru o joncțiune dopată uniform (abruptă) este:

$$K = \frac{2}{3} C_j(V) (\psi_0 - V)^{1/3}. \quad (22.46)$$

(vezi problema P.22.8).

Concluzionăm că  $K_E$  și  $K_C$  pot fi determinate prin măsurarea capacităților la semnal mic ale joncțiunilor corespunzătoare (care sînt de fapt, capacitățile de intrare și ieșire cu baza comună  $C_{ibo}$  și  $C_{obo}$ ), la o anumită tensiune continuă convenabilă  $V$ , și substituind aceste valori în ecuația (22.45). Datorită impreciziilor inerente în aproximarea folosită pentru regiunea de barieră, la obținerea ecuației (22.34) (și a expresiei corespunzătoare pentru o joncțiune dopată uniform — abruptă—), determinarea lui  $K$  va fi mult mai precisă dacă măsurătoarea se face la o tensiune inversă substanțial mai mare ca mărime decât  $\psi_0$ .

Pentru a ilustra cele de mai sus, presupunem că joncțiunile tranzistorului difuzat cu siliciu, folosit în paragraful 22.3 au fost specificate în termeni de  $C_j$ , decît  $K$ , după cum urmează:

$C_{je} = 1,7$  pF la o polarizare inversă de 6 V.

Atunci, din ecuația (22.46):

$$K_E = \frac{3}{2} \times 1,7 (0,9 + 6)^{1/3} = 5 \text{ pF (V)}^{1/3}.$$

### 22.5.2. Determinarea parametrilor modelului cu control prin sarcină din foile de catalog

Foile de catalog ale fabricanților specifică adesea performanța tranzistorului de comutație în termeni de timp de întârziere, timp de creștere,

timp de stocare și timp de cădere ca funcție de curentul de colector și curentul de bază de comutare directă și inversă. În fig. 22.19 se dă un set de asemenea date pentru un tranzistor *pnp* difuzat cu siliciu. Evident, măsurările s-au făcut în termeni de curenți constanți de bază de comutare directă și inversă. Dacă o problemă particulară de regim tranzitoriu se conformează acestor cerințe, pot fi folosite direct aceste caracteristici dinamice pentru a determina timpii de comutare fără vreun calcul al

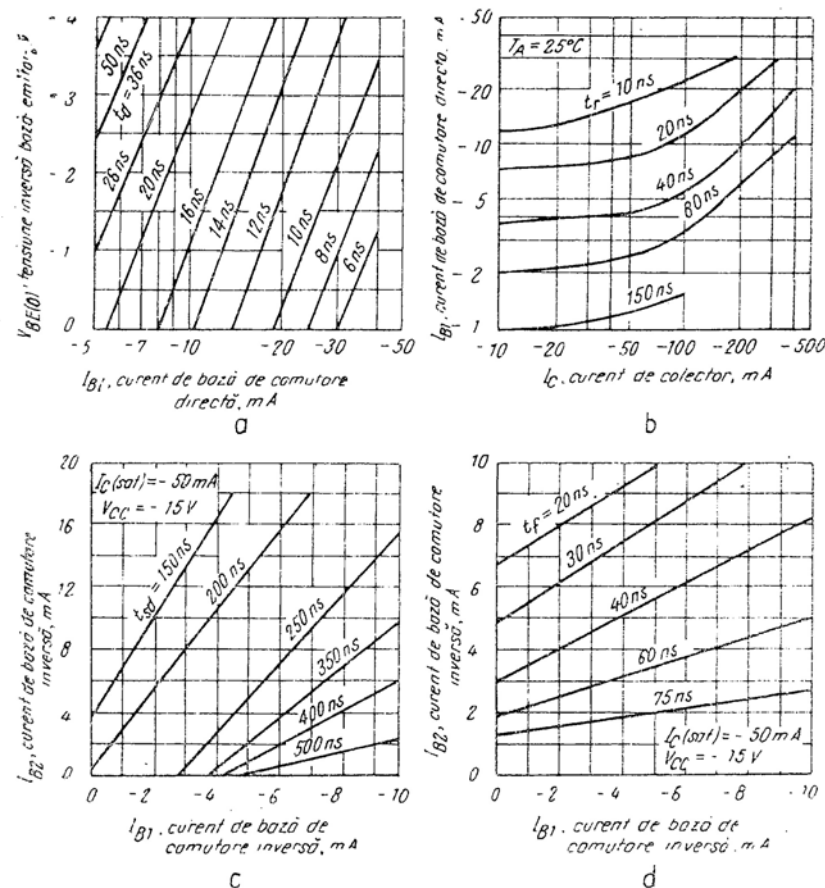


Fig. 22.19. Caracteristicile dinamice ale vitezei de comutație pentru un tranzistor *pnp* difuzat cu siliciu:  
a — timpul de întârziere; b — timpul de creștere; c — timpul de întârziere de stocare; d — timpul de cădere.

lui  $\tau_F$ ,  $\tau_{BF}$  și al celorlalți parametri. Totuși, în multe circuite de comutație, curentul de bază nu este constant și în asemenea cazuri este necesar să calculăm parametrii modelului cu control prin sarcină din datele din fig. 22.19 și apoi să calculăm timpii de răspuns cu metodele discutate în paragraful 22.3.

Calculul lui  $\tau_F$ . Este relativ ușor de calculat  $\tau_F$  din caracteristicile timpului de creștere din fig. 22.19 b, pentru că expresia timpului de creștere [ecuația (22.22)] este foarte simplă dacă curentul de bază este constant. Specific, pentru  $i_B(t)$  din ecuația (22.22) constant la o valoare  $I_{BF}$ , putem rezolva pentru  $t_r = t_2 - t_1$  și substituim  $q_F(t_2)$  din ecuația (22.24), ca să obținem:

$$t_r \approx \frac{\tau_F |I_C(sat)| + q_{VC}(t_2) - q_{VC}(t_1)}{|I_{B1}|}. \quad (22.47)$$

Pentru valori mici ale curentului de colector în saturatie, ecuația (22.47) indică că timpul de creștere va fi determinat în principal de  $q_{VC}$ , și nu de  $\tau_F I_C(sat)$  (adică  $q_F$ ). Pe de altă parte, pentru valori mari ale lui  $I_C(sat)$ , variațiile lui  $q_{VC}$  trebuie să devină neimportante comparativ cu  $q_F$  și timpul de creștere trebuie să devină liniar în  $I_C(sat)$ . Ambele aceste trăsături caracteristice se pot vedea în fig. 22.19 b. Evident, trebuie să facem determinarea lui  $\tau_F$  în partea de curent mare a caracteristicilor, și pentru simplitate și pentru precizie. De exemplu, dacă alegem  $I_{B1} = 20$  mA,  $I_C(sat) = 200$  mA, obținem:

$$\tau_F \approx \frac{t_r |I_{B1}|}{|I_C(sat)|} = \frac{20 \times 20}{200} = 2 \text{ ns}.$$

În absența altei informații despre  $\tau_F$  într-o foaie de catalog, reamintim din paragraful 21.3.4 că este posibil să se obțină o estimare aproximativă a lui  $\tau_F$  din datele asupra lui  $\omega_T$ , pentru că:

$$\tau_F \approx \frac{1}{\omega_T}.$$

Pentru acest tranzistor, în foile de catalog au fost incluse și caracteristicile de  $f_T$  constant, reprezentate în fig. 22.20. Evident,  $f_T$  este undeva între 100 și 200 MHz. Astfel,  $\tau_F$  trebuie să fie undeva între 0,8 și 1,6 ns.

Calculul lui  $\tau_{BF}$ . Cunoscând  $\tau_F$ , putem obține o valoare pentru  $\tau_{BF}$  folosind relația:

$$\frac{\tau_{BF}}{\tau_F} = \beta_F = h_{FE}.$$

Pentru acest tranzistor,  $h_{FE}$  este aproximativ 60 pentru curenți de colector între 1 și 100 mA, adică:

$$\tau_{BF} \approx 60 \times 2 = 120 \text{ ns}.$$

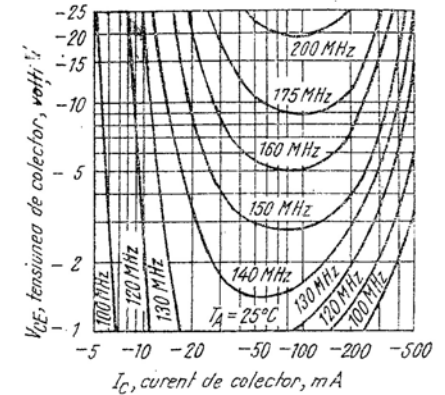


Fig. 22.20. Caracteristicile de  $f_T = \text{const}$  pentru același tranzistor cu siliciu ca în fig. 22.19.

Calculul lui  $\tau_S$ . Pentru că datele asupra parametrilor înverși  $\tau_R$ ,  $\tau_{BR}$  și  $\beta_R$  nu sînt de obicei dați în foile de catalog, este probabil mai bine să se lucreze funcție de parametrul modelului cu control prin sarcină  $\tau_S$ , decît să se încerce să se determine valorile lui  $\tau_R$  și  $\tau_{BR}$ . Determinarea lui  $\tau_S$  din datele timpului de întîrziere de stocare este relativ simplă din cauza curentului constant de bază la comutarea inversă. Specific, ecuația (22.25) va da o scădere exponențială a lui  $q_S$ , care va ajunge la zero în timpul de întîrziere de stocare  $t_{sd}$ :

$$t_{sd} \approx \tau_S \ln \left[ \frac{|I_{B2}| - |I_{B1}|}{|I_{B2}| - |I_C(sat)|/\beta_F} \right] \quad (22.48a)$$

(vezi problema P.22.9). Dacă curentul de bază de comutare inversă este suficient de mare, putem extrapola panta inițială a exponențialei în  $q_S(t)$  (vezi fig. 22.14) și găsi pentru timpul de stocare:

$$t_{sd} \approx \tau_S \left[ \frac{|I_{B1}| - |I_C(sat)|/\beta_F}{|I_{B1}| - |I_{B2}|} \right]. \quad (22.48b)$$

Astfel:

$$\tau_S \approx \frac{t_{sd} (|I_{B1}| - |I_{B2}|)}{|I_{B1}| - |I_C(sat)|/\beta_F} \quad (22.49)$$

Folosind această ecuație se vor obține din fig. 22.19 c valori ale lui  $\tau_s$  în domeniul 650 pînă la 1 500 ns.

Calculul lui  $K_E$  și  $K_C$ . Parametrii  $K_E$  și  $K_C$  din expresiile regiunilor de sarcină spațială pot fi găsiți din valorile publicate pentru capacitățile la semnal mic ale joncțiunilor. Pentru tranzistorul particular *pnp* difuzat cu siliciu discutat mai sus, această informație despre capacitate este reprezentată grafic așa cum se arată în fig. 22.21. Ideal, valorile lui  $C_{obo}$  și ale tensiunii luate oriunde pe curba  $C_{obo}$  din fig. 22.21 trebuie să dea aceeași valoare pentru  $K_C$ . Totuși, așa cum s-a subliniat deja, rezultă o determinare mai precisă dacă alegem  $V$  cît mai mare posibil. Din fig. 22.21,  $C_{obo} = 12$  pF la  $V = -10$  V, astfel din ecuația (22.45):

$$K_C = \frac{3}{2} (12) (0,9 + 10)^{1/3} = 40 \text{ pF (V)}^{1/3}$$

(vezi problema P 22.10)

Calculul lui  $Q_{FO}$  și  $Q_{RO}$ . Pentru calculul timpilor de comutare aproximativi discutați în paragraful 22.3, trebuie să determinăm numai

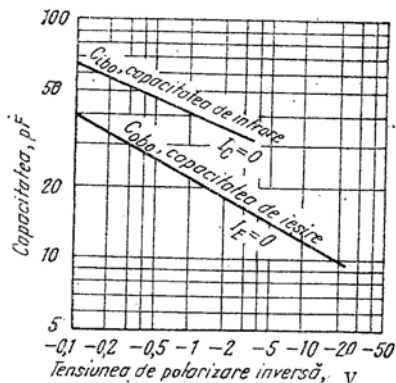


Fig. 22.21. Capacitățile de semnal mic ale joncțiunilor pentru un tranzistor *pnp* difuzat cu siliciu.

$\tau_F$ ,  $\tau_{BF}$ ,  $\tau_S$ ,  $K_E$  și  $K_C$ . Totuși, pentru calcule mai exacte, trebuie de asemenea să cunoaștem constantele  $Q_{FO}$  și  $Q_{RO}$  în expresiile pentru  $q_F$  și  $q_R$  funcție de tensiune. Așa cum s-a discutat în paragraful 22.5.1, aceste constante pot fi obținute din parametrii Ebers-Moll  $I_{ES}$ ,  $I_{CS}$  și  $\alpha_F$ , folosind ecuațiile (22.42). Din păcate, acești parametri nu se dau întotdeauna în datele de catalog, dar se poate face o estimare oarecum judicioasă a lor. Detaliile determinării parametrilor Ebers-Moll din foile de catalog se dau în paragraful 21.5.1.

## 22.6. SOLUȚIA PE CALCULATOR A ECUAȚIILOR MODELULUI CU CONTROL PRIN SARCINĂ

Este deja clar din exemplele din paragrafele 8.2 și 22.3 că natura profund neliniară a problemei de comutare dinamică a tranzistorului ne obligă să rezolvăm problema cu ajutorul unui calculator numeric, dacă dorim rezultate mai precise decît calculele de primă aproximație. Ecuațiile modelului cu control prin sarcină [ecuațiile (21.20) sau (21.22)] sînt ecuații diferențiale neliniare de ordinul întâi, dacă le exprimăm în funcție de tensiune. Astfel, este necesară o anumită metodă de integrare numerică pentru a le rezolva pentru tensiuni, curenți și sarcini. Există multe asemenea metode. Meritele relative ale diferitelor metode de integrare și problemele de stabilitate și convergență a soluțiilor depășesc scopul acestei cărți<sup>1</sup>. De aceea, noi descriem pe scurt o metodă care poate fi folosită pentru a rezolva problemele sarcinii, recunoscînd faptul că alte metode pot fi mai ușor de folosit sau mai rapide, funcție de facilitățile de calcul disponibile.

### 22.6.1. Metoda Runge-Kutta (de ordinul patru)

O ecuație diferențială simplă de ordinul întâi pentru un circuit poate fi scrisă sub forma:

$$\dot{v} = \frac{dv}{dt} = f[v] \quad (22.50)$$

unde  $f[v]$  este o relație neliniară funcție de parametrii circuitului. Un exemplu de asemenea relație ar putea fi găsit prin rezolvarea ecuațiilor (22.12 b), (22.13 b) și (22.15 b) pentru  $dv_{CB}/dt$ . Ideia de bază a tuturor metodelor de integrare numerică este de a calcula valoarea lui  $v$  la momentul  $t_1$  pe baza valorii cunoscute a lui  $v$  la momentul  $t_0$ . O primă aproximație (metoda lui Euler) poate fi obținută printr-o extrapolare liniară simplă a pantei la  $t_0$ , așa cum s-a arătat în fig. 22.22. Ecuația de bază este:

$$v(t_1) = v(t_0) + h \dot{v}(t_0) \quad (22.51)$$

unde  $h$  este intervalul de timp între  $t_0$  și  $t_1$ . Această expresie nu este nimic mai mult decît primii doi termeni ai dezvoltării lui  $v(t)$  în serie Taylor. Metoda Runge-Kutta este o extindere a acestei metode, caracterizată pînă

<sup>1</sup>Vezi referința bibliografică 22.1 pentru discutarea acestor probleme, plus o bibliografie extensivă asupra subiectului.

faptul că sînt calculate patru valori ale derivatei (fig. 22.23) și sînt folosite *mediile ponderate* ale acestor pante în ecuația (22.51), pentru a găsi  $v(t_1)$  din  $v(t_0)$ . Întîi, calculăm panta la momentul  $t_0$  din tensiunea inițială cunoscută  $v(t_0) = v_0$ , folosind ecuația circuitului [ecuația (22.50)]:

$$\dot{v}(t_0) = f[v(t_0)]. \quad (22.52)$$

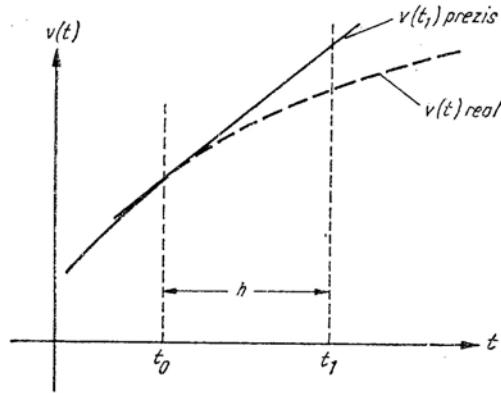


Fig. 22.22. Metoda lui Euler de integrare numerică.

Această pantă este folosită pentru a obține o primă estimare a lui  $v$  la momentul  $t_m$ , de la jumătatea drumului între  $t_0$  și  $t_1$  (fig. 22.23), folosind metoda lui Euler:

$$v_a(t_m) = v_0 + h\dot{v}(t_0). \quad (22.53)$$

Din această valoare estimare panta la momentul  $t_m$ , folosind din nou ecuația circuitului:

$$\dot{v}_a(t_m) = f[v_a(t_m)] = f\left[v_0 + \frac{h}{2}\dot{v}(t_0)\right]. \quad (22.54)$$

Se face apoi a doua estimare a tensiunii și a pantei în  $t = t_m$  printr-o aproximare a lui Euler modificată:

$$v_b(t_m) = v_0 + \frac{h}{2}\dot{v}_a(t_m) \quad (22.56)$$

$$\dot{v}_b(t_m) = f\left[v_0 + \frac{h}{2}\dot{v}_a(t_m)\right].$$

Această pantă este folosită pentru a găsi o primă estimare a tensiunii și pantei la  $t = t_1$ :

$$v_a(t_1) = v_0 + h\dot{v}_b(t_m) \quad (22.57)$$

$$\dot{v}_a(t_1) = f[v_0 + h\dot{v}_b(t_m)]. \quad (22.58)$$

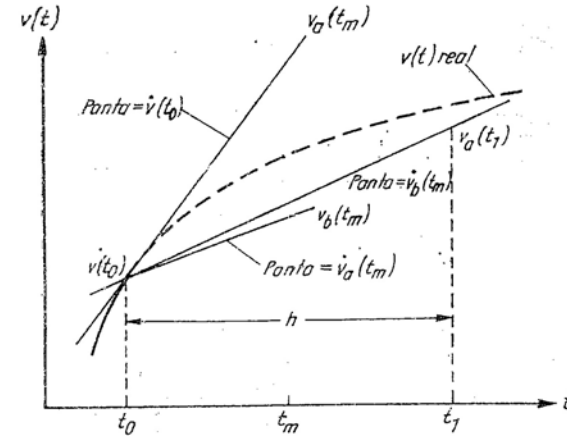


Fig. 22.23. Metoda Runge-Kutta.

În final, valoarea lui  $v$  la  $t_1$  este recalculează pe baza mediilor ponderate ale celor patru valori ale derivatei:

$$v(t_1) = v(t_0) + \frac{h}{6} [\dot{v}(t_0) + 2\dot{v}_a(t_m) + 2\dot{v}_b(t_m) + \dot{v}_a(t_1)]. \quad (22.59)$$

Metoda Runge-Kutta este mult mai precisă decât metoda lui Euler, dar, cere mult mai mult timp de calcul pentru că ecuația rețelei [ecuația (22.50)] trebuie rezolvată de patru ori pentru fiecare punct al soluției.

Pentru a ilustra aceste calcule, să calculăm tensiunea de ieșire a unui circuit liniar RC simplu reprezentat în fig. 22.24, ca răspuns la o treaptă de intrare de 1 V. Ecuația diferențială de bază de ordinul întâi a circuitului, corespunzătoare ecuației (22.50), este:

$$\frac{dv_0}{dt} = \frac{1}{CR} (1 - v_0). \quad (22.60)$$

Etaplele succesive ale unui calcul numeric a lui  $v_0(t)$ , folosind metoda lui Euler, ecuația (22.51), sînt reprezentate în Tabelul 22.6. Este de asemenea tabelată soluția exactă (ușor de obținut în acest exemplu liniar simplu).

Este interesant de notat că dimensiunile de pas de integrare de ordinul unei constante de timp a circuitului produce erori de 30% în soluție, iar o dimensiune a pasului mai mare de două constante de timp produce o soluție instabilă.

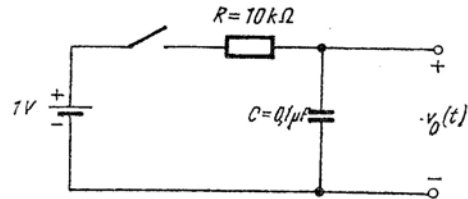


Fig. 22.24. Circuit RC cu  $\tau = 1$  ns. Comutatorul se închide la  $t = 0$ .

În tabelul 22.7 sînt prezentate rezultatele unei soluții bazate pe metoda Runge-Kutta. De notat că în acest caz integrarea numerică dă erori de 1% pentru un pas de integrare de ordinul unei constante de timp. Pentru pasul de integrare egal cu trei constante de timp, soluția diverge monoton. În concluzie, pentru a obține o soluție stabilă trebuie să luăm pași de integrare mai mici decît cea mai mică constantă de timp a circuitului echivalent, adică mai mică decît  $\tau_F$ .

## 22.6.2 Exemplu : Inversorul simplu

Pentru majoritatea metodelor de integrare numerică, inclusiv metoda Runge-Kutta, trebuie să avem ecuații de forma :

$$\frac{dv_n}{dt} = f(v_1, v_2, \dots, v_n). \quad (22.61)$$

Este desigur posibil să rearanjăm ecuațiile rețelei pentru un inversor simplu, [ecuațiile (22.9) pînă la (22.12)] în această formă. Totuși, este de dorit să scriem ecuațiile sub forma ecuației (22.61), denumită *forma variabilei de stare*, de la început. Formularea variabilei de stare poate fi obținută printr-o extindere simplă a metodei nodului variabil de scriere a ecuațiilor rețelei.

În fig. 22.25 a și b se reprezintă circuitul pentru inversorul simplu și circuitul echivalent corespunzător, folosind modelul complet cu control prin sarcină pentru a reprezenta tranzistorul. Alegem ca variabile independente în analiză, variabilele asociate cu elementele care stochează energie,

Tabelul 22.6  
Calculul lui  $v_0(t)$  din fig. 22.4 prin metoda lui Euler (unitățile de măsură sînt V)

Timpul	$v(t_0)$	$\dot{v}(t_0)$	$v_0(t_1)$ [ecuația (22.51)]	$v_0(t_1)$ (exact)
1	2	3	4	5
Pasul de integrare $h = 0,5$ ms				
0,5	0,000000	1,000000	0,500000	0,393469
1,0	0,500000	0,500000	0,750000	0,632121
1,5	0,750000	0,250000	0,875000	0,776870
2,0	0,875000	0,125000	0,937500	0,864665
2,5	0,937500	0,062500	0,968750	0,917915
3,0	0,968750	0,031250	0,984375	0,950213
3,5	0,984375	0,015625	0,992188	0,969803
4,0	0,992188	0,007813	0,996094	0,981684
4,5	0,996094	0,003906	0,998047	0,988891
5,0	0,998047	0,001953	0,999023	0,993262

Pasul de integrare  $h = 1$  ms

1,0	0,000000	1,000000	1,000000	0,632121
2,0	1,000000	0,000000	1,000000	0,864665

Pasul de integrare  $h = 1,5$  ms

1,5	0,000000	1,000000	1,500000	0,776870
3,0	1,500000	-0,500000	0,750000	0,950213
4,5	0,750000	0,250000	1,125000	0,988891
6,0	1,125000	-0,025000	0,937500	0,997521
7,5	0,937500	0,062500	1,031250	0,999447
9,0	1,031250	-0,031250	0,984375	0,999877
10,5	0,984375	0,015625	1,007813	0,999972

Pasul de integrare  $h = 2$  ms

2,0	0,000000	1,000000	2,000000	0,864665
4,0	2,000000	-1,000000	1,000000	0,981684
6,0	0,000000	1,000000	2,000000	0,997521
8,0	2,000000	-1,000000	1,000000	0,999665
10,0	0,000000	1,000000	2,000000	0,999955
12,0	2,000000	-1,000000	1,000000	0,999994

Pasul de integrare  $h = 3$  ms

3,0	0,000000	1,000000	3,000000	0,950213
6,0	3,000000	-2,000000	-3,000000	0,997521
9,0	-3,000000	4,000000	9,000000	0,999877
12,0	9,000000	-8,000000	-15,000000	0,999994
15,0	-15,000000	16,000000	23,000000	1,000000
18,0	33,000000	-32,000000	-63,000000	1,000000

adică tensiunile condensatoarelor (și curenții inductanțelor, dacă este vreuna). Acestea sînt denumite *variabile de stare*. Scriem apoi o ecuație diferențială de ordinul întâi pentru fiecare din aceste variabile.

Tabelul 22.7

Calcularea lui  $v_o(t)$  din fig. 22.24 folosind metoda Runge-Kutta (vezi textul pentru definirea notațiilor; unitățile sînt ms, V)

Timpul	$v(t_0)$	$v_o(t_1)$ [ecuația 22.59]	$v_o(t_0)$ (exact)
1.	2.	3.	4.

Pasul de integrare  $h = 1$  ms

1,0	0,000000	0,625000	0,632121
2,0	0,625000	0,859375	0,864665
3,0	0,859375	0,947266	0,950213
4,0	0,947266	0,980225	0,981684
5,0	0,980225	0,992584	0,993262
6,0	0,992584	0,997219	0,997521
7,0	0,997219	0,998957	0,999088
8,0	0,998957	0,999609	0,999665

Pasul de integrare  $h = 2$  ms

2,0	0,000000	0,666667	0,864665
4,0	0,666667	0,888889	0,981684
6,0	0,888889	0,962963	0,997521
8,0	0,962963	0,987654	0,999665
10,0	0,987654	0,995885	0,999955
12,0	0,995885	0,998628	0,999994
14,0	0,998628	0,999543	0,999999

Pasul de integrare  $h = 3$  ms

3,0	0,000000	-0,375000	0,950213
6,0	-0,375000	-0,890625	0,997521
9,0	-0,890625	-1,599609	0,999877
12,0	-1,599609	-2,574463	0,999994
15,0	-2,574463	-3,914886	1,000000
18,0	-3,914886	-5,757969	1,000000

O metodă simplă de verificare că am definit un set corespunzător de variabile este de a desena circuitul în forma schițată din fig. 22.25 *a*, pentru a reprezenta *topologia rețelei de bază*. Sursele de tensiune și condensatoarele sînt indicate prin linii groase, iar sursele de curent, rezistențele și inductanțele prin linii întrerupte. Dacă arborele format de liniile groase trece prin toate nodurile, el este un așa numit *arbore propriu* și avem un set complet de variabile independente de tensiune. Dacă nodul nu este atins de arbore, trebuie inclusă o tensiune pe o rezistență corespunzătoare ca o variabilă independentă pentru a lega acest nod la arbore. Dacă în arbore apare o buclă formată din trei sau mai multe ramuri de capacități, această buclă trebuie întreruptă printr-o rezistență mică în

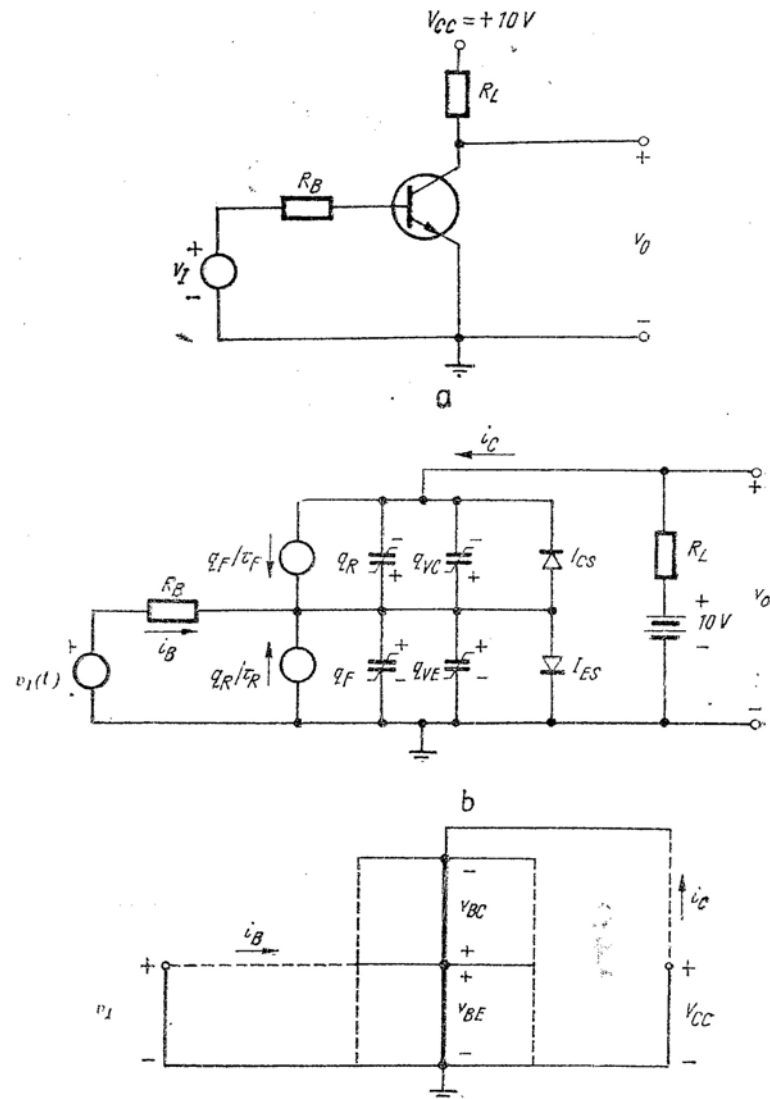


Fig. 22.25. Tranzistor inversor :

*a* — schema ; *b* — schema echivalentă folosind modelul cu control prin sarcină pentru tranzistor ; *c* — topologia circuitului care arată un arbore „propriu” de surse de tensiune și condensatoare.

serie cu unul din elemente. Pentru circuitul nostru, două tensiuni pe capacități  $v_{BC}$  și  $v_{BE}$ , împreună cu două surse de tensiune  $v_I$  și  $V_{CC}$  formează un arbore propriu, fără nici o modificare, așa cum se poate vedea în fig. 22.25 c.

Faza următoare constă în scrierea unui set complet de ecuații ale rețelei în termeni de tensiuni pe ramurile arborelui pe care l-am definit deja. Acestea sînt, în general, ecuațiile obținute din aplicarea legii lui Kirchhoff pentru curenți, dar ele trebuie să aibă forma specială a ecuației (21.61), adică un set de ecuații, din care fiecare conține o *singură* derivată. În acest punct metoda matematică implică scrierea ecuațiilor direct în termeni de variabile definite în fig. 22.25 c (vezi problema P.22.11). Totuși, există o metodă mai simplă care este adecvată cînd nu există inductanțe și este simplu de folosit pe calculator. Se observă că ecuațiile (21.20 a și b), ca efect al ecuațiilor lui Kirchhoff pentru curenți pentru nodurile de emitor și colector ale tranzistorului, sînt deja apropiate de forma dorită a variabilei de stare, ecuația (22.61), pentru că în fiecare caz termenii sub formă de derivată pot fi scriși funcție de o singură tensiune. Rescriind aceste ecuații cu derivatele în membrul stîng obținem

$$\frac{d(q_F + q_E)}{dt} = \frac{q_R}{\tau_R} - q_R \left( \frac{1}{\tau_F} + \frac{1}{\tau_{BF}} \right) - i_E \quad (22.62)$$

$$\frac{d(q_R + q_{VC})}{dt} = \frac{q_F}{\tau_F} - q_R \left( \frac{1}{\tau_R} + \frac{1}{\tau_{BR}} \right) - i_C \quad (22.63)$$

[Dacă există condensatoare în circuit, scriem și ecuațiile pentru ele, urmărind forma ecuațiilor (22.62) și (22.63)].

Pentru a completa formularea, trebuie să scriem fiecare din ecuațiile variabilelor de stare funcție de o singură derivată, decît funcție de suma a două derivate, ca în ecuațiile (22.62) și (22.63). Pentru a face aceasta, exprimăm  $q_F + q_{VE}$  în termeni de tensiunea joncțiunii  $v_{BE}$ . Din ecuațiile (22.13 a) și (22.15 a) această expresie este :

$$q_F + q_{VE} = Q_{FO}(e^{q_{BE}/kT} - 1) + K_E [\psi_0^{2/3} - (\psi_0 - v_{BE})^{2/3}]. \quad (22.64)$$

Deci, putem defini o capacitate neliniară ca :

$$C(v_{BE}) = \frac{d(q_F + q_{BE})}{dv_{BE}} = \quad (22.65)$$

$$= Q_{FO} \left( \frac{q}{kT} \right) (e^{q_{BE}/kT}) + \frac{2}{3} K_E (\psi_0 - v_{BE})^{-1/3} \quad (22.66)$$

Ecuația (22.65) poate fi rescrisă ca :

$$\frac{dv_{BE}}{dt} = \frac{1}{C(v_{BE})} \cdot \frac{d(q_F + q_{VE})}{dt} \quad (22.67)$$

Substituind în ecuațiile (22.62), (22.66) și (22.13), obținem relația dorită funcție de o singură derivată de tensiune. O manipulare similară poate fi folosită pentru a transforma ecuația (22.63) în forma cerută (vezi problema P.22.12). De notat că ecuațiile (22.62) pînă la (22.67) sînt toate formulate în termeni de variabilă ale tranzistorului și sînt *complet independente de topologia rețelei*. Astfel, aceste relații pot fi folosite pentru orice circuit, indiferent de configurația specifică a circuitului. În final trebuie să legăm curenții folosiți în ecuațiile de mai sus de tensiunile ramurilor arborelui. Cei mai simpli este să facem acest lucru în două etape. Întîi definim curenții pentru interconexiunile care nu sînt chiar în paralel cu o ramură a arborelui, așa cum se reprezintă în fig. 22.25 și scriem ecuațiile care leagă acești curenți de tensiunile ramurilor arborelui. Inspectînd fig. 22.25 b și c, aceste relații sînt :

$$i_E = \frac{v_I - v_{BE}}{R_B} \quad (22.68)$$

$$i_C = \frac{10 - v_{BE} - v_{BC}}{R_L} \quad (22.69)$$

Acum trebuie să legăm unii curenți folosiți în ecuațiile diferențiale, în acest caz  $i_C$  și  $i_E$  din ecuațiile (22.62) și (22.63), de curenții injectați în noduri definiți de ecuațiile (22.68) și (22.69), sau direct de tensiuni. Pentru că  $i_C$  este deja un curenț injectat într-un nod, singura relație necesară este :

$$i_E = -i_B - i_C \quad (22.70)$$

Pentru a aplica metoda Runge-Kutta acestei probleme, în vederea unui calcul asistat de calculator, calculăm  $i_B$ ,  $i_C$ ,  $q_F$ ,  $q_R$  și celelalte din valorile cunoscute ale lui  $v_{BE}$  și  $v_{BC}$  la începutul tranziției,  $t = t_0$ , și apoi să găsim  $v_{BE}$  din ecuațiile (22.66) și *celelalte*. Acest proces este repetat de patru ori, așa cum s-a subliniat în paragraful 22.6.1, pînă cînd în final ajungem la valorile lui  $v_{BE}$  (și  $v_{BC}$ ) pentru  $t = t_1$ . Calculul este apoi repetat pentru fiecare pas succesiv de integrare. Pentru acest scop poate fi folosit de asemenea orice program de integrare numerică disponibil. Soluția pe calculator a acestei probleme particulare a fost deja prezentată în fig. 22.8.



## 22.7. DEMONSTRAȚII EXPERIMENTALE DE CURS

Demonstrațiile experimentale de curs descrise mai jos sînt foarte simple. Aparatura este cea minim necesară, astfel încît nu poate fi confuzie în legătură cu natura circuitului. Astfel, toate implicațiile circuitului sînt mai evidente.

Pentru a verifica concluziile din paragraful 21.3, comandăm un inversor simplu ca cel din fig. 22.7 cu un generator de impulsuri cu un control variat asupra formei de undă de ieșire. În particular, este de dorit să avem controlul direct asupra amplitudinii impulsului, duratei impulsului, axarea în c.c. a impulsului și să putem fixa fie linia de bază, fie nivelul impulsului.

### 22.7.1. Introducere

Se ajustează generatorul de impulsuri astfel încît amplificatorul să lucreze numai în regiunea activă. Se observă creșterea și căderea exponențială simetrică a formei de undă de ieșire. Se crește amplitudinea impulsului pentru a face amplificatorul să lucreze din tăiere în saturație. Se observă asimetrie în timpii de creștere și cădere, plus probleme noi de timp de întârziere la comutarea directă și întârziere de stocare la comutarea inversă, care provin din modul de lucru neliniar.

### 22.7.2. Comutarea directă

Se examinează în detaliu comutarea directă prin ajustarea duratei impulsului și a vitezei de baleiaj a sincrosopului, astfel încît să fie vizibilă numai comutarea directă și impulsul să apară ca o treaptă. Acum variem independent nivelele inițial și final ale „treptei”. Se observă că, în anumite limite, timpul de întârziere  $t_d$  este influențat și de valoarea inițială a treptei, și de înălțimea ei, așa cum s-a constatat prin calculele din paragraful 22.3.1. Pe de altă parte, timpul de creștere  $t_r$  depinde de amplitudinea finală a treptei și nu de valoarea liniei de bază, așa cum s-a constatat în paragraful 22.3.2.

### 22.7.3. Comutarea inversă

Pentru că tensiunile și curenții terminali sînt constanți, cînd tranzistorul este în saturație nu este posibil să se observe *direct* comportarea în această regiune. Totuși, este simplu să se facă observații indirecte. Se ajustează durata impulsului astfel încît comutarea directă, [practic,  $q_s(t)$ ] să se poată termina înainte de a începe comutarea inversă și se ajustează viteza de baleiaj a osciloscopului pentru a arăta întreaga formă de undă. Acum

facem linia de bază a impulsului mai negativă, în timp ce menținem amplitudinea impulsului la un nivel pozitiv fixat de tensiune. Aceasta are ca efect creșterea supracomenzii la comutarea inversă și astfel, reducerea timpului de întârziere de stocare  $t_{sd}$  și a timpului de cădere  $t_f$ . Totuși, se observă că timpul de întârziere  $t_d$  asociat cu comutarea directă *crește* pentru că a face linia de bază din ce în ce mai negativă, înseamnă că trebuie să fie evacuată mai multă sarcină din capacitățile regiunilor de sarcină spațială, înainte ca tranzistorul să poată intra în regiunea activă.

Acum creștem amplitudinea impulsului, în timp ce ținem tensiunea liniei de bază fixată. Se observă că timpul de creștere scade și timpul de întârziere de stocare crește, în timp ce alți parametri ai impulsului vor rămîne neschimbați.

Experimentul cel mai convingător care arată indirect cum funcționează circuitul în saturație este de a varia numai *durata* impulsului de intrare. Se observă că în acest caz se schimbă numai timpul de întârziere de stocare. (Pentru a sublinia aceasta, sincronizăm osciloscopul pe frontul posterior al impulsului, cu suficientă întârziere în generatorul de impulsuri pentru a permite ca întreg impulsul de ieșire să fie afișat). Cînd impulsul de intrare este scurtat, tranziția lui  $q_s$  nu are timp să se termine, astfel încît sarcina din bază la începutul comutării inverse este mai mică. În concluzie, timpul de întârziere de stocare este redus.

### 22.7.4. Condensatorul de accelerare

Se adaugă un condensator variabil mic în paralel cu  $R_B$  în fig. 22.7. Se observă îmbunătățirea formei de undă la ieșire a impulsului, pe măsură ce condensatorul este ajustat la valoarea lui optimă.

## BIBLIOGRAFIE

- [22.1] D.A. Calahan, „Computer-Aided Network Design”, (prelim. ed.), Mc Graw-Hill, New York, 1968.
- [22.2] J. Millman and H. Taub, „Pulse, Digital and Switching Wave forms”, Mc Graw-Hill, New-York, 1965.
- [22.3] J. F. Gibbons, „Semiconductor Electronics”, Mc Graw-Hill, New York 1966.
- [22.4] A. Ralston, „A First Course in Numerical Analysis”, Mc Graw-Hill, New York, 1965.

## PROBLEME

P.22.1. Ce funcție logică realizează circuitul din fig. 22.5 dacă folosim reprezentarea negativă (vezi pag. 310).

**P.22.2.** Să se calculeze cu precizie mai mare decît cea arătată în fig. 22.4 caracteristica de transfer a inversorului reprezentat în fig. 22.2 a. Se presupune că joncțiunea de emitor a tranzistorului are un prag de conducție de 0,4 V (vezi pag. 312).

**P.22.3.** Valorile parametrilor curentului inversor reprezentat în fig. 22.2 a sînt valori nominale. În realitate toate pot suferi o anumită variație. Se presupune că rezistențele pot avea valori cu o toleranță de  $\pm 20\%$  față de valorile nominale, tensiunile de alimentare pot varia cu  $\pm 10\%$  și  $\beta_F$  pot avea o dispersie de  $\pm 20\%$  față de valoarea nominală.

(a) Să se determine valoarea minimă a lui  $v_I$  pentru care  $v_O = 0$  pentru toate valorile reale posibile ale parametrilor. Bazați-vă analiza pe setul cel mai puțin favorabil de valori ale parametrilor, adică considerați cazul cel mai dezavantajos.

(b) Să se determine valoarea maximă a lui  $v_I$  pentru care  $v_O$  este aproximativ egal cu tensiunea pozitivă de alimentare pentru toate valorile posibile reale ale parametrilor. Se presupune că tranzistorul este la pragul de conducție directă cînd  $V_{BE} = 0,4$  V (vezi pag. 312).

**P.22.4.** Să se repete problema P.22.2 pentru circuitul inversor din fig. 22.2 a, cu o rezistență de 90 k $\Omega$  adăugată în baza tranzistorului și conectată la o sursă de alimentare de -10 V (vezi pagina 312). Să se explice cum sînt îmbunătățite proprietățile logice ale circuitului prin această schimbare.

**P.22.5.** Pe durata comutării inverse discutate în paragraful 22.3.4 sarcina  $q_S$  este evacuată și prin recombinare, și prin curent negativ de bază. Să se identifice în ecuația (22.25) care termen reprezintă recombinarea și care termen reprezintă curentul de bază (vezi pag. 329).

**P.22.6.** În calculul timpului de cădere în paragraful 22.35, am neglijat recombinarea. Să se estimeze efectul recombinării, deci să se modifice corespunzător timpul de cădere calculat. Să se compare acest rezultat cu soluția pe calculator de  $t_f = 78$  ns (vezi pag. 331).

**P.22.7.** Să se calculeze timpul de întârziere de stocare și timpul de cădere al inversorului discutat în paragraful 22.3, presupunînd că tensiunea de comandă  $v_I$  este pusă la zero la momentul  $t_3$  (vezi pag. 331).

**P.22.8.** Să se obțină ecuația (22.46) care exprimă constanta  $K$  în termeni de capacitate la semnal mic a joncțiunii pentru o diodă cu joncțiune abruptă (vezi pag. 340).

**P.22.9.** Să se obțină ecuația (22.48 a). fig. 22.14 poate fi utilă în acest sens.

**P.22.10.** Să se găsească  $K$  pentru tranzistorul ale cărui caracteristici pentru capacitatea joncțiunii se dau în fig. 22.21 (vezi pag. 343).

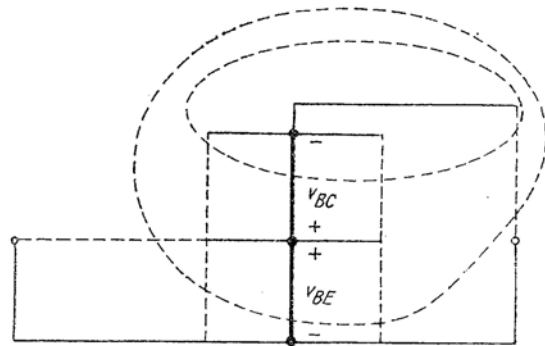


Fig. 22.26 Supernodurile pentru circuitul din fig. 22.25.

**P.22.11.** Topologia circuitului din fig. 22.25 c furnizează un șablon convenabil de scriere formală a setului de ecuații ale rețelei, care implică numai variabilele definite în acea figură. Pentru a face aceasta, desemnăm un contur închis prin fiecare din ramurile arborelui definite de tensiunile capacităților. În fig. 22.26 se reprezintă contururile corespunzătoare. Acum tratăm fiecare din aceste contururi ca un „super-nod” și scriem legea lui Kirchhoff pentru curenții care intră în „nod”, adică trec prin contur.

Să se scrie aceste ecuații referitor la fig. 22.25 și 22.26. Se observă că aceste două ecuații împreună cu ecuațiile curenților injectați, ecuațiile (22.68) și (22.69), sînt echivalente cu cele cinci ecuații ale rețelei din paragraful 22.6.2.

**P.22.12.** Să se completeze formularea cu variabilele de stare din exemplul din paragraful 22.6.2 prin găsirea ecuației pentru  $dv_{OB}/dt$  (vezi pag. 353).

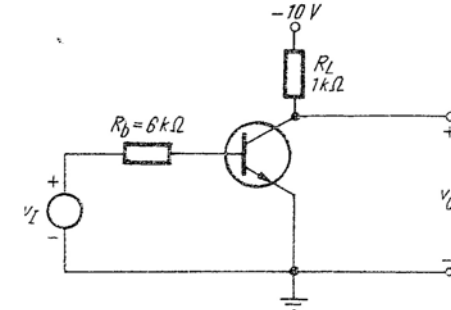


Fig. 22.27. Inversorul.

**P.22.13.** Pentru circuitul inversor din fig. 22.27, se presupune că folosim un tranzistor pnp cu siliciu cu următorii parametri:

$\tau_F = 1$  ns,  $\tau_R = 10$  ns,  $\tau_{BF} = 100$  ns,  $\tau_{BR} = 50$  ns,  $K_E = 10$ ,  $K_C = 15$  (vezi fig. 22.10).

(a) Pentru  $v_I = -6,6$  V, să se găsească valoarea sarcinilor  $q_{VE}$ ,  $q_{VC}$ ,  $q_F$  și  $q_R$  (sau  $q_S$  și  $q_{BG}$ ) în stare staționară.

(b) La  $t = 0$ ,  $v_I$  sare brusc la +2,4 V. Să se estimeze durata timpului  $t_I$  pînă cînd  $v_O$  începe să se schimbe.

(c) Să se estimeze valoarea sarcinilor enumerate mai sus, la timpul  $t_I$ .

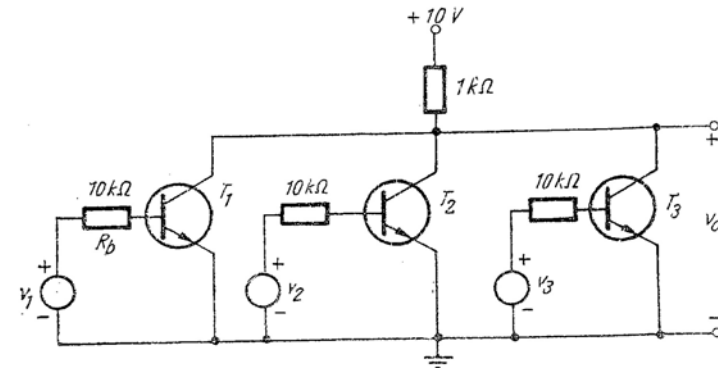


Fig. 22.28. Poarta SAU-NU.

**P.22.14.** (a) Pentru  $v_2 = v_3 = 0$  volți în poarta RTL cu trei intrări din fig. 22.28, și  $v_1$  o treaptă de tensiune de la 0,2 la 10,6 V să se găsească valorile inițiale și finale ale lui  $v_O$ . Să se folosească parametrii tranzistorului dați la pagina 317.

(b) Să se calculeze timpul de creștere a lui  $v_o$ . Să se facă aproximații rezonabile ale stărilor. Să se schițeze forma de undă aproximativă a lui  $v_o$  funcție de timp.

**P.22.15.** Să se scrie ecuațiile variabilelor de stare pentru circuitul din fig. 22.16. Se presupune că există o rezistență internă a sursei de 50 ohmi asociată cu sursa  $v_A$ . Să se aducă ecuațiile într-o formă similară cu ecuația (22.62). [De notat că ecuațiile pot fi scrise funcție de tensiune prin folosirea ecuației (22.66)].

**P.22.16.** Să se reproiecteze circuitul inversor discutat în paragraful 22.3 (fig. 22.7) pentru a micșora timpul de creștere și de cădere. Specific, să se adauge un condensator de accelerare dimensionat corespunzător în paralel pe  $R_B$  și să se reajusteze forma de undă de comandă.

**P.22.17.** Verificați circuitul pe care l-ați proiectat în problema P.22.16 folosind un calculator numeric și rezultatele problemei 22.15.

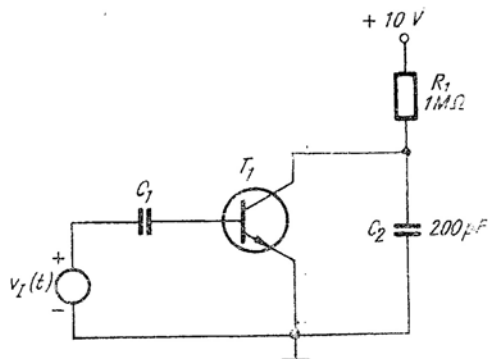


Fig. 22.29 Circuitul de descărcare a condensatorului.

**P.22.18.** Se presupune că tranzistorul cu siliciu  $T$ , cu joncțiune dopată neuniform din fig. 22.29 descarcă condensatorul  $C_2$  cînd este aplicată în  $v_I$  o treaptă pozitivă de 10 V. Presupunind că  $\tau_F = 1$  ns,  $\tau_R = 10$  ns,  $\beta_F = 50$ ,  $\beta_R = 5$  și  $K_E = K_C = 10$  (vezi fig. 22.10):

(a) Să se determine valoarea lui  $C_1$ , astfel încît  $C_2$  să fie aproape complet descărcat în 10 ns. Să se neglijeze recombinarea, curentul prin  $R_1$  și efectele lui  $q_{VE}$  și  $q_{VC}$ .

(b) Refaceți soluția luînd în considerare efectele recombinării și  $q_{VE}$  și  $q_{VC}$ .

**P.22.19.** (a) Să se repete problema 22.14 a pentru  $v_2 = v_3 = 10,6$  V în fig. 22.28.

(b) Pentru aceleași condiții ca în (a), să se găsească ( $q_F, q_R$ ) sau ( $q_{BO}, q_S$ ) pentru tranzistorul  $T_1$  la începutul și sfîrșitul tranziției. Să se repete pentru tranzistorul  $T_2$ . Să se estimeze timpul necesar să se termine variația tranzitorie a sarcinii.

## CAPITOLUL 23

## CIRCUITE DIGITALE NEREGENERATIVE CU MAI MULTE ETAJE

## CAPITOLUL 23

- 23.1. Clasificarea circuitelor digitale
  - 23.2. Circuite logice cu rezistențe și tranzistoare cu cuplaj direct (DCTL, RT)
    - 23.2.1. Porți cu rezistențe și tranzistoare (RTL), NU—SAU
    - 23.2.2. Rezerva de tensiune
    - 23.2.3. Capacitatea de încărcare la ieșire
    - 23.2.4. Etaje tampon
    - 23.2.5. Viteza de comutație
  - 23.3. Alte exemple de circuite logice cu saturație
    - 23.3.1. Circuite logice cu diode și tranzistoare (DTL)
    - 23.3.2. Circuite logice tranzistor-tranzistor (TTL, T<sup>2</sup>L)
  - 23.4. Circuite logice fără saturație
    - 23.4.1. Folosirea diodelor de fixare pentru evitarea saturației
    - 23.4.2. Circuite cu cuplaj pe emitor (ECL)
    - 23.4.3. Poarta SAU — (NU—SAU) cu cuplaj pe emitor (ECL)
    - 23.4.4. Metode de cuplaj pentru circuitele cu cuplaj pe emitor (ECL)
    - 23.4.5. Comportarea în regim tranzitoriu a circuitelor cu cuplaj pe emitor (ECL)
  - 23.5. Tranzistoare cu efect de cimp (TEC) ca elemente de comutație
    - 23.5.1. Caracteristicile de comutație
    - 23.5.2. Porți logice cu tranzistoare MOS
  - 23.6. Demonstrație experimentală de curs
- Bibliografie  
Probleme

## 23

### Circuite digitale neregenerative cu mai multe etaje

#### 23.1 CLASIFICAREA CIRCUITELOR DIGITALE

Tranzistoarele sînt folosite în sistemele digitale în numeroase moduri. În unele cazuri, tranzistorul este utilizat pentru a realiza o operație logică dorită. Foarte adesea tranzistoarele îndeplinesc o funcție de separație, asigură o amplificare de putere, restabilesc sau standardizează caracteristicile unui semnal. În asemenea circuite și în condiții ideale, valoarea variabilei de ieșire depinde, în orice moment, numai de valoarea variabilei (sau variabilelor) de intrare la acel moment. Orice întârzieri care apar se datoresc numai limitărilor dispozitivelor folosite. Circuitele de acest tip se numesc *circuite de comutație neregenerative*. Cea mai mare parte a caracteristicilor mai importante ale tipului de circuite definit mai sus, ca rezerva de tensiune, capacitatea de încărcare la ieșire, viteza de comutație, sînt examinate în contextul prezentării circuitelor logice cu rezistențe și tranzistoare în § 23.2. Alte exemple de circuite logice neregenerative sînt tratate în § 23.3 și 23.4.

O a doua clasă foarte importantă de circuite digitale, care poartă numele de circuite *regenerative* au capacitatea de a *memora* informația, în sensul că starea ieșirii circuitului depinde (în mod intenționat) de „istoria” variabilei de intrare. Asemenea circuite se folosesc pentru a genera impulsuri, fie în mod continuu, fie ca răspuns la aplicarea unei excitații.

Termenul de „regenerative” își are originea în posibilitatea de a descrie mecanismul de funcționare a acestor circuite folosind conceptul de reacție pozitivă. Circuitele digitale regenerative sînt tratate în cap. 24.

Circuitele digitale pot fi clasificate, de asemenea, plecând de la condițiile de funcționare a tranzistoarelor în cele două stări fundamentale ale circuitului. În practică se folosesc — potrivit acestei clasificări — trei clase de circuite:

1. În una dintre stările circuitului, tranzistorul se găsește în *regiunea de blocare*, cu ambele joncțiuni polarizate invers, pe când în cealaltă stare tranzistorul funcționează în *regiunea de saturație*, cu ambele joncțiuni polarizate direct. Aceste circuite sînt numite circuite de comutație cu saturație; de obicei, ele nu conțin diode sau alte elemente neliniare pentru fixări de nivel, întrucît însuși tranzistorul funcționează neliniar.

2. Una din stările circuitului corespunde funcționării tranzistorului în regiunea de blocare, pe când cealaltă — funcționării în *regiunea activă normală* (emitorul polarizat direct, colectorul polarizat invers). Circuitele din această clasă se numesc *circuite fără saturație*; adesea, ele conțin diode pentru fixarea nivelului de ieșire corespunzător stării în care tranzistorul se găsește în regiunea activă.

3. Ambele stări ale circuitului corespund funcționării în regiunea activă normală; în acest caz, corespunzător celor două stări ale circuitului, există pentru tranzistor două puncte de funcționare distincte. Aceste circuite — de asemenea fără saturație — conțin de obicei diode pentru fixarea nivelurilor în *ambele* stări și prin urmare nu sînt așa de frecvent utilizate ca cele aparținînd primelor două clase.

Toate cele trei clase definite mai sus implică necesitatea folosirii noțiunii de *stare*; nivelurile tensiunilor sau curenților pot varia, însă numai în măsura în care o zonă de niveluri garantează plasarea unei diode sau a unui tranzistor într-una din stări, în timp ce cealaltă zonă de niveluri garantează existența unei stări diferite. În cadrul acestui capitol vor fi examinate exemple de circuite aparținînd primelor două clase.

În trecut, limitările în conceperea și proiectarea circuitelor logice erau generate mai ales de faptul că folosirea componentelor discrete conducea de obicei la tendința de a minimiza numărul total al componentelor, tendință explicată prin rațiuni de economie și siguranță în funcționare. Totodată, toleranțele ridicate proprii tehnologiei de fabricație a diodelor și tranzistoarelor discrete, impuneau necesitatea unei selecționări stricte a dispozitivelor, atunci cînd se urmărea realizarea unor performanțe înalte. Aceste restricții nu mai sînt prezente în cazul circuitelor logice integrate. Adesea, prețul de fabricație al unui circuit logic care conține 10 tranzistoare sau mai multe, precum și un număr important de componente pasive este competitiv cu prețul unui singur tranzistor discret. S-a demonstrat, de asemenea, că siguranța în funcționare a unui astfel de circuit integrat nu este mai scăzută decît cea a unui tranzistor discret.

În cadrul tehnologiei circuitelor integrate, este adesea mai ușor să fie realizat un tranzistor decît o rezistență de valoare mare sau cu toleranță strînsă. Ca urmare a acțiunii acestor factori, se realizează în prezent tipuri noi și complexe de circuite logice care conțin un număr sensibil

mai mare de tranzistoare decît circuitele convenționale. În aceste circuite, tranzistoarele sînt deseori folosite pentru a înlocui rezistoarele, mai ales pentru realizarea surselor de curent sau a sarcinilor de colector. În afară de aceasta, se profită și de uniformitatea mai ridicată a tensiunilor de prag caracteristice pentru tranzistoarele fabricate pe o aceeași plăcuță de

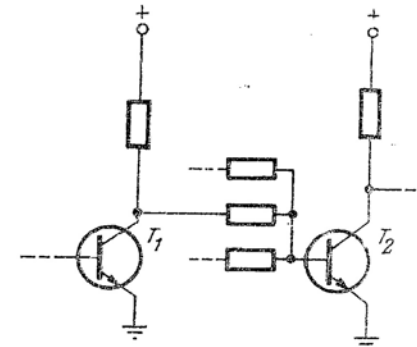


Fig. 23.1. Circuite logice conectate în cascadă.

siliciu care conține un circuit integrat. În acest capitol vor fi prezentate mai multe exemple de circuite integrate digitale care se realizează în prezent. Cu toate acestea, diferitele funcții logice particulare vor fi introduse, în cele mai multe cazuri, pe exemplul unor elemente de bază simple, care reamintesc mai mult un circuit cu componente discrete decît o realizare în formă integrată.

Apocăpe toate circuitele logice cu tranzistoare se construiesc în prezent cu tranzistoare cu siliciu. Folosirea dispozitivelor cu siliciu în circuitele digitale cu mai multe etaje permite simplificări majore în proiectare, deoarece se poate face uz în mod eficient de cuplajul direct al tranzistoarelor aparținînd etajelor adiacente. Se poate remarca, de exemplu, că tranzistorul  $T_2$  în poarta cu cuplaj direct din fig. 23.1 nu are elemente de circuit pentru polarizarea inversă a diodei de emitor în starea *blocat*, funcționînd în schimb cu  $V_{BE}$  puțin pozitivă, diferența față de zero fiind egală cu tensiunea de saturație colector-emitor,  $V_{CE(sat)}$ , a tranzistorului  $T_1$ . Deoarece  $V_{CE(sat)}$  reprezintă diferența între tensiunile directe ale celor două joncțiuni ale tranzistorului, această mărime este întotdeauna mai mică decît tensiunea de prag  $V_{BET}$  a unei singure diode, în ipoteza unor curenți comparabili ai joncțiunilor. Prin urmare,  $T_2$  este *blocat* cînd  $T_1$  este *deschis*. Deși este posibil să fie realizat în același mod un cuplaj direct între tranzistoare cu germaniu, în practică numai tranzistoarele cu siliciu funcționează satisfăcător într-un astfel de circuit. În cazul tranzistoarelor cu germaniu, diferența între  $V_{CE(sat)}$  și  $V_{BET}$  (*rezerva de tensiune* a acestui circuit) este prea mică pentru realizarea unei funcționări sigure. În cele ce urmează, vom presupune că intervin numai tranzistoare cu siliciu, cu excepția cazurilor în care se vor face altfel de specificații.

## 23.2. CIRCUITE LOGICE CU REZISTENȚE ȘI TRANZISTOARE CU CUPLAJ DIRECT (DCTL, RTL)

### 23.2.1. Porți cu rezistențe și tranzistoare (RTL) NU—SAU

Circuitul prezentat în fig. 23.2, *a* este un exemplu de structură care inițial purta denumirea de circuit logic cu tranzistoare cu cuplaj direct (DCTL), dar care în prezent este în mod obișnuit numit circuit logic cu rezistențe și tranzistoare (RTL). În mod normal, acest tip de poartă comportă numai un mic număr de componente, dispuse într-o manieră simplă. Ca atare, RTL prezintă avantaje în cazul realizării în formă integrată. Astăzi sînt disponibile familii de circuite RTL integrate, la un preț unitar foarte scăzut<sup>1</sup>. Aceste familii includ tampoane, porți, sumatoare, circuite basculante bistabile. În fig. 23.2, *b* se prezintă o fotomicrografie a unei plăcuțe de siliciu care conține patru porți RTL NU—ȘI cu două intrări.

Pentru a examina operațiile logice realizate de circuitul din fig. 23.2, *a* vom preciza mai întîi modul de reprezentare.<sup>2</sup> Vom alege reprezentarea pozitivă, în cadrul căreia starea 0 este reprezentată nominal de tensiunea de colector a unui tranzistor saturat:

$$V_0 \approx V_{CE}(\text{sat}), \quad (23.1 \text{ a})$$

iar starea 1 este reprezentată nominal de tensiunea de colector cu tranzistorul blocat,

$$V_1 = V_{CC}. \quad (23.1 \text{ b})$$

În realitate, mai sus a fost definită o reprezentare corelată mai mult cu stările tranzistorului, decît cu nivelurile de tensiune; în adevăr, tensiunile se pot modifica într-o gamă largă de valori, fără a deteriora performanțele circuitului. Factorul cel mai important este starea tranzistorului de blocare sau de saturație.

Plecînd de la reprezentarea definită prin ecuațiile (23.1), din fig. 23.2, *a* se vede că dacă tensiunile la toate intrările sînt  $V_{CE}(\text{sat})$ , tranzistorul va fi blocat și tensiunea de ieșire va fi  $V_{CC}$ . Pentru toate celelalte combinații de tensiune de ieșire, va fi saturat cel puțin un tranzistor. Ca urmare conținutul tabelului de adevăr aferent circuitului va fi cel din tabelul 23.1 (reprezentat numai pentru două intrări). Din tabel rezultă clar că circuitul examinat este o poartă NU—SAU.

<sup>1</sup> Vezi, de exemplu, bibliografia [23.3].

<sup>2</sup> Prin „reprezentare” înțelegem tipul corelației între valorile 0 și 1 ale unei variabile logice binare și nivelurile de tensiune care le reprezintă (N.T.).

Într-un sistem digital, poarta NU—SAU din fig. 23.2 se folosesc de obicei pentru a comanda alte circuite RTL; fig. 23.3 prezintă un exemplu de asemenea comandă, în care o poartă NU—SAU RTL ( $P_1, P_2, P_3$ ) comandă  $N$  tranzistoare, fiecare din acestea reprezentînd un etaj al unei alte părți similare. Dacă o poartă  $P$  este saturată,  $V_{CE1} = V_{CE}(\text{sat})$  și tranzistoarele  $Q, S, T$  etc. vor fi blocate. Dacă o poartă  $P$  este blocată, tensiunea  $V_{CE1}$  crește spre valoarea  $V_{CC}$  pînă cînd tranzistoarele  $Q, S, T$  etc. se deschid. Rezistențele  $R_B$  conectate în serie cu bazele tranzistoarelor  $Q, S, T$ , etc. egalizează curenții de bază și reduc astfel neuniformitățile regimurilor de funcționare care ar fi provocate de caracteristicile neidentice de intrare  $I-V$  ale tranzistoarelor comandate.

Funcționarea corectă a circuitelor RTL depinde în mod substanțial de următoarele condiții:

1. Valorile rezistențelor  $R_L$  și  $R_B$  trebuie să fie alese astfel încît atunci cînd o poartă  $P$  este blocată, tranzistoarele  $Q, S, T$  etc. să fie în stare de conducție.

2. Cînd o poartă  $P$  este în stare de conducție, tranzistoarele  $Q, S, T$  etc. trebuie să fie blocate. Această condiție reclamă ca

$$V_{BET} > V_{CE}(\text{sat}), \quad (23.2)$$

unde  $V_{BET}$  este tensiunea de prag bază—emitor, adică tensiunea la care tranzistorul începe să conducă. Pentru tranzistoarele cu siliciu, această condiție este satisfăcută în mod corespunzător la temperatura camerei.

### 23.2.2. Rezerva de tensiune

Rezerva de tensiune  $\Delta$  a unui circuit logic a fost definită în fig. 22.1 ca diferența între tensiunea maximă corespunzătoare stării 0 și tensiunea minimă corespunzătoare stării 1 (presupunînd din nou o reprezentare pozitivă). O definiție echivalentă, însă mai convenabilă din punct de vedere practic, constă în a numi rezervă de tensiune  $\Delta$ , pragul de tensiune pe care trebuie să-l depășească o tensiune perturbatoare, de zgomot, pentru a provoca o tranziție nedorită a circuitului dintr-o stare în alta. Pe această bază, putem determina rezerva de tensiune a unei porți RTL cu ajutorul circuitului tipic din fig. 23.4. La circuitele RTL, limitarea prin rezerva de tensiune apare atunci cînd  $T_1$  este saturat și  $V_{CE1}$  este egal cu  $V_{CE}(\text{sat})$ . În condiții ideale, această tensiune este suficientă pentru a menține tranzistorul  $T_2$  blocat — așa cum este necesar. Dacă însă în circuit este indusă

Tabelul 23.1

Tabel de adevăr

A	B	Ieșire binară
0	0	1
0	1	0
1	0	0
1	1	1







În § 23.2.3 s-a arătat că tensiunea de prag  $V_{BET}$  are coeficientul de temperatură egal cu cel al unei diode exponențiale (valoarea mărimii  $V_{BET}$  scade cu  $2-3 \text{ mV}/^\circ\text{C}$  atât pentru germaniu, cât și pentru siliciu). Coeficientul de temperatură al parametrului  $V_{CE}(\text{sat})$  are o structură mai complicată,

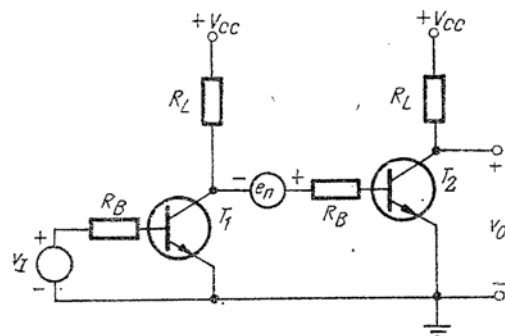


Fig. 23.4. Calculul rezervei de tensiune a unui circuit RTL.

deoarece la dependența de temperatură a acestuia contribuie mai mulți factori, printre care remarcăm căderile de tensiune în masa materialului semiconductor și variațiile cu temperatura ale factorilor  $\beta_F$  și  $\beta_R$ . În fig. 23.5 sînt indicate date tipice privind dependența tensiunii  $V_{CE}(\text{sat})$  de tempera-

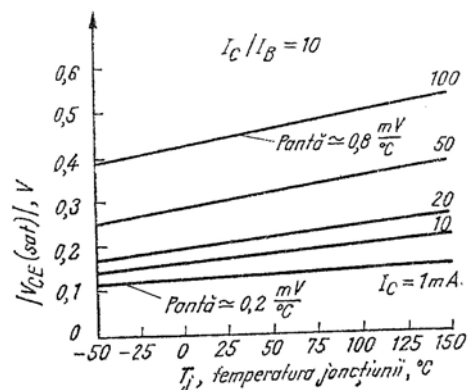


Fig. 23.5. Dependența de temperatură a tensiunii  $V_{CE}(\text{sat})$ .

tură <sup>1</sup>. Este important de remarcat faptul că valoarea absolută a tensiunii  $V_{CE}(\text{sat})$  tinde să crească atunci cînd temperatura se mărește. Rezultă

V. § 1.2.2. a lucrării indicate la bibliografie [23.2].

atunci, din (23.4), că rezerva de tensiune scade odată cu creșterea temperaturii. La temperaturi suficient de ridicate, rezerva de tensiune poate ajunge astfel la valori de 0,1 sau 0,2 V. Este evident că unul dintre neajunsurile principale ale circuitelor RTL este rezerva de tensiune scăzută, și, prin urmare, o imunitate la zgomote redusă.

Poate părea surprinzător faptul că, pentru circuitul examinat, reprezentarea definită inițial în § 23.2.1 prezintă o rezervă separatoare suficientă de tensiune între stările de *blocare* și de *conducție*, așa cum rezultă de mai jos;

$$V_0 = V_{CE}(\text{sat}) \approx 0,2 \text{ V}$$

$$V_1 = V_{CC} = 3 \text{ V}$$

pe cînd mai sus se afirmă că zona separatoare poate fi de numai cîteva zecimi de volt. Această contradicție se datorește faptului că reprezentarea aleasă inițial a avut la bază stările circuitului, și nu nivelurile de tensiune.

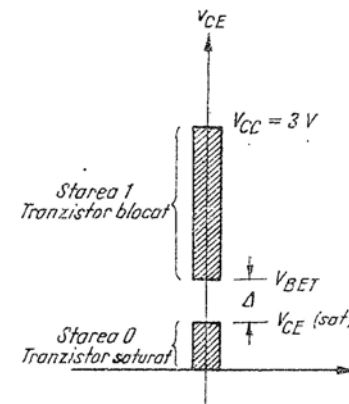


Fig. 23.6. Tensiunile de colector corespunzătoare reprezentării tranzistorului prin stările logice.

Astfel, stările logice 1 și 0 corespund nu unor valori particulare ale tensiunii de colector, ci blocării, respectiv saturării tranzistorului. Curenții de colector în stările de blocare și de conducție pot diferi cu mai multe ordine de mărime, însă această diferență mare între curenți poate corespunde unei variații relativ mari sau relativ reduse a tensiunii de colector. Valorile indicate mai sus sînt, prin urmare, mai curînd valorile nominale ale tensiunilor. Această analiză poate fi mai ușor urmărită cu ajutorul fig. 23.6, care arată grafic relația dintre valorile nominale ale tensiunilor indicate mai sus, pe de o parte — și mărimile  $V_{BET}$  și  $\Delta$ , pe de altă parte.

### 23.2.3. Capacitatea de încărcare la ieșire

În § 23.2.1 am afirmat că o condiție pentru funcționarea corectă a porții NU—SAU RTL (fig. 23.7) este ca rezistențele  $R_L$  și  $R_B$  să fie astfel alese, încât atunci când o poartă  $P$  este blocată, tranzistoarele  $Q, S, T$  etc. să fie în stare de conducție. Această condiție poate fi reformulată astfel încât să fie mai clar accentuată limitarea numărului maxim de tranzistoare ce pot fi comandate de către o poartă RTL, numită de obicei *capacitate de încărcare la ieșire*.

Practic, pentru o structură dată de poartă RTL cu valori date ale elementelor  $V_{CC}, R_L, R_B$ , numărul maxim de circuite care pot fi comandate de către poarta  $P$  este limitat de cerința ca tranzistoarele  $Q, S, T$  să fie în stare de conducție și saturație când poarta  $P$  este blocată. Pentru tranzistoare și rezistențe identice în toate circuitele, curentul de colector la saturație al tranzistoarelor  $Q, S, T$  este :

$$I_c(\text{sat}) \approx \frac{V_{CC}}{R_L} \quad (23.5)$$

Prin urmare, curentul de bază al tranzistorului  $Q$  trebuie să fie :

$$I_B \geq \frac{I_c(\text{sat})}{\beta_F} = \frac{V_{CC}}{\beta_F R_L} \quad (23.6)$$

Dacă toate tranzistoarele  $Q, S, T$  sînt în stare de conducție, acestea vor reclama același curent de bază, dat de (23.6); așadar curentul total care trebuie debitat de poarta  $P$  este  $NI_B$ . Deoarece tranzistoarele porții  $P$  sînt blocate, întreg curentul  $NI_B$  trebuie să parcurgă rezistorul  $R_L$  al porții  $P$ . Curentul  $I_R$  prin rezistorul  $R_L$  poate fi ușor calculat, dacă presupunem că tensiunile bază — emitor ale tranzistoarelor  $Q, S, T$  sînt nule :

$$I_R \approx \frac{V_{CC}}{R_L + \frac{R_B}{N}} \quad (23.7)$$

Din ecuațiile (23.6) și (23.7) obținem :

$$\frac{V_{CC}}{R_L + \frac{R_B}{N}} = NI_B \geq \frac{NV_{CC}}{\beta_F R_L} \quad (23.8)$$

Ecuația (23.8) ne dă factorul de ramificare la ieșire,  $N$  :

$$N < \left( \beta_F - \frac{R_B}{R_L} \right) \quad (23.9)$$

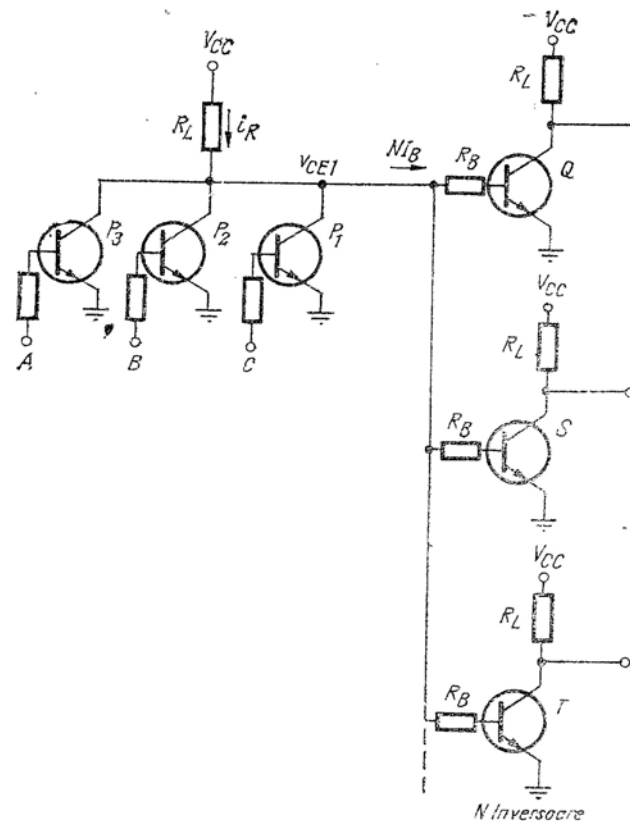


Fig. 23.7. Calculul factorului de încărcare la ieșire.

Îndeplinirea condiției (23.9) va asigura funcționarea tranzistoarelor  $Q, S, T$  cel puțin la limita de saturație. Ne reamintim însă că în cap. 22 am arătat că pentru a menține saturația în condițiile variațiilor factorului  $\beta_F$ , ale tensiunilor surselor de alimentare etc., ca și pentru a realiza un răspuns rapid la tranzițiile între stări, pe baza tranzistorului se aplică de obicei o supracomandă de curent. Cu alte cuvinte,  $I_B$  este mult mai mare

decît valoarea minimă specificată de relația (23.6). Această supracomandă pe bază conduce însă la o reducere proporțională a factorului maxim de ramificare la ieșire. Astfel, dacă  $I_B$  este de cinci ori mai mare decît valoarea necesară pentru saturație, limita factorului de ramificare la ieșire devine:

$$N < \frac{\beta_F - R_B/R_L}{5_i} \quad (23.10)$$

Pentru o familie dată de circuite integrate digitale, valorile mărimilor  $\beta_F$ ,  $R_B$  și  $R_L$  sînt cunoscute. În acest fel, ramificarea la ieșire poate fi exprimată prin reguli simple de încărcare, care permit evitarea unor calcule detaliate. De exemplu, potrivit specificațiilor tehnice pentru o serie de blocuri logice RTL poarta NU—SAU cu trei elemente poate comanda 16 „sarcini unitare”, fiecare intrare a porții NU—SAU, — ca și a celor mai multe altor blocuri logice în familie — reprezentînd 3 sarcini unitare. Așadar, pentru această familie particulară de circuite logice, o poartă NU—SAU poate comanda 5 alte porți NU—SAU, factorul de ramificare la ieșire fiind 5.

### 23.2.4. Etaje tampon

În numeroase cazuri de proiectare de sisteme digitale este necesar să fie comandate mai multe etaje decît permit regulile de încărcare pentru circuitele în discuție. De exemplu, putem dori să folosim poarta NU—SAU examinată mai sus pentru a comanda un număr de tranzistoare mai mare decît limita maximă care rezultă din (23.10). În asemenea cazuri, la circuit se atașează un etaj *tampon*, a cărui funcțiune principală este de a ridica valoarea factorului de încărcare la ieșire.

Un etaj tampon simplu, reprezentat de un repetor pe emitor, este arătat în fig. 23.8, a. Dacă sarcina este formată din  $N$  alte tranzistoare, ca în fig. 23.7, atunci o analiză simplă va duce la concluzia că valoarea maximă a curentului pozitiv de ieșire,  $i_L$ , debitată de etajul tampon, este:

$$i_L(\max) \approx \frac{V_C}{R_C/(\beta_F + 1) + R_B/N}, \quad (23.11)$$

presupunînd, totodată, căderile de tensiune bază — emitor egale cu zero (v. problema P.23.1). Vom nota, totuși că acest etaj tampon absoarbe un curent neglijabil. În adevăr, dacă presupunem condițiile de încărcare astfel încît curentul este debitat în emitorul tranzistorului  $B_1$  curentul  $i_L$  fiind deci negativ, tranzistorul  $B_1$  se blochează. Astfel, circuitul din fig. 23.8, a, funcționează ca un tampon și mărește factorul de încărcare la ieșire numai pentru  $i_L$  pozitiv (v. problema P.23.2).

Un etaj tampon ceva mai complicat, la care dificultatea de mai sus este înlăturată, se prezintă în fig. 23.8, b. Acest circuit conține repertoare pe emitor cu *tranzistoare complementare, pnp și npn*, ceea ce permite debitarea unor curenți mari de ambele polarități (v. problemele P.23.3 și P.23.4).

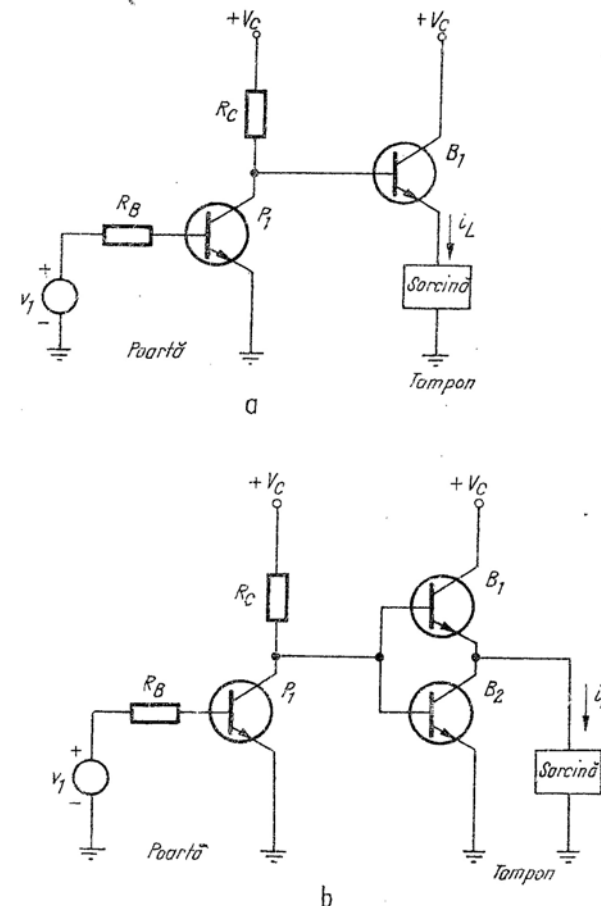
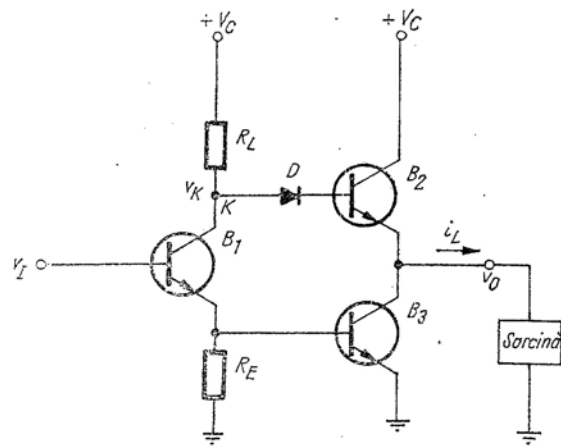
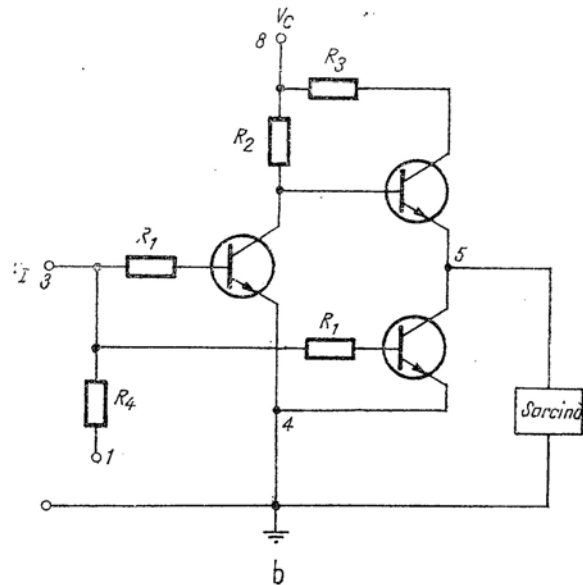


Fig. 23.8. Circuite tampon.

În fig. 23.9, a este arătat un al treilea circuit tampon. Dacă ieșirea circuitului de comandă a etajului tampon este în starea 0, așa încît  $V_1$  este aproape zero, atunci  $B_1$  și  $B_3$  vor fi blocate. În aceste condiții, prin



a



b

Fig. 23.9

$R_L$  și dioda  $D$  va circula spre baza tranzistorului  $B_2$  un curent care va deschide acest tranzistor.  $B_2$  este conectat în configurația cu colectorul comun, ceea ce creează posibilitatea debitării unui curent pozitiv  $i_L$  de valoare mare în sarcină.

Cînd tensiunea de intrare are un nivel ridicat, tranzistoarele  $B_1$  și  $B_3$  se saturează. Tensiunea nodului  $K$  devine atunci :

$$v_K = V_{BE3} + V_{CE1}(\text{sat}), \quad (23.12)$$

iar tensiunea de ieșire va fi :

$$v_O = V_{CE}(\text{sat}). \quad (23.13)$$

Se poate înțelege acum rolul diodei  $D$ . Dacă dioda nu ar fi prezentă, în această stare tranzistorul  $B_2$  va fi polarizat direct de tensiunea

$$v_K - v_O = V_{BE3},$$

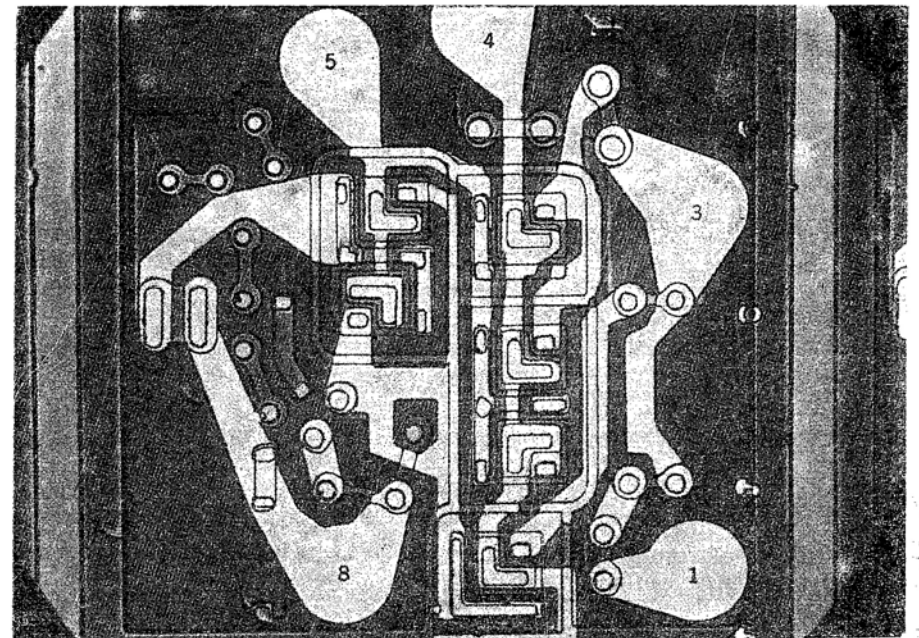


Fig. 23.9. C reui e tampon. În realizarea integrată a circuitului  $a$ , dioda  $D$ , poate fi un tranzistor conectat ca diodă :

$a$  - tampon;  $b$  - circuit tampon integrat; la terminalul 1 se poate aplica o polarizare externă; valori tipice ale rezistențelor:  $R_1 = 450 \Omega$ ,  $R_2 = 1000 \Omega$ ,  $R_3 = 100 \Omega$ ,  $R_4 = 1000 \Omega$ ;  $c$  - fotomicrografia circuitului integrat din  $b$ .

absorbând așadar un curent important. Introducerea diodei atrage după sine prezența unei tensiuni de 0,6 V în serie cu baza tranzistorului  $B_2$ , ceea ce reduce tensiunea de intrare a acestuia și determină o scădere substanțială a curentului de colector al acestuia. Tensiunea de prag va fi și mai mare dacă se introduc două diode în serie cu baza tranzistorului  $B_2$ , ceea ce va crea o „rezervă” de funcționare sporită. Deoarece  $B_2$  este acum saturat, circuitul poate suporta un curent negativ de sarcină de valoare mare. Deoarece circuitul are capacitatea de a accepta curenți de sarcină mari, atât în starea de „nivel” înalt, cât și în cea de „nivel scăzut”, factorul său de încărcare la ieșire are o valoare înaltă.

În fig. 23.9, *b* se prezintă un al patrulea etaj tampon, disponibil ca unul din circuitele aparținând unei familii RTL integrate<sup>1</sup>. Funcționarea acestui etaj nu se mai analizează, ea fiind similară cu cea a circuitului tampon din fig. 23.9, *a* (v. problema P.23.5). Fotomicrografia unei variante integrate a circuitului tampon din fig. 23.9, *b* se dă în fig. 23.9, *c*. Pentru a ușura indentificarea circuitului în structura din fotomicrografie, numerele afectate terminalelor sînt prezente în ambele figuri.

### 23.2.5 Viteza de comutație

Calculul vitezei de comutație a unui circuit logic complet, chiar într-o configurație simplă ca cea din fig. 23.7, reprezintă o sarcină foarte dificilă. Pentru a obține o imagine aproximativă a problemei vitezei de comutație a circuitelor digitale cu mai multe etaje, vom examina, două inversoare conectate în cascadă, ca în fig. 23.10, *a*.

Să trasăm, în primul rînd, caracteristica statică de transfer a circuitului  $v_0$  în funcție de  $v_1$ . Pentru valori mici ale semnalului de intrare  $v_1$ , adică  $v_1 = V_{CE}(\text{sat})$ ,  $T_1$  va fi blocat. În aceste condiții,  $T_2$  este în stare de conducție, deci curentul de bază va fi:

$$i_{B2} = \frac{3 - 0,6}{0,6 + 0,4} = 2,4 \text{ mA.}$$

În regim static, dacă neglijăm  $V_{CE}(\text{sat})$ , avem:

$$i_C(\text{sat}) = \frac{3}{0,6} = 5 \text{ mA.}$$

Este evident că tranzistorul  $T_2$  va funcționa în regim de saturație accentuată, deoarece inegalitatea

$$i_{B2} > \frac{I_C(\text{sat})}{\beta_F} \quad (23.14)$$

<sup>1</sup> Vezi bibliografia [13.3].

este îndeplinită cu un grad mare de siguranță dacă admitem pentru  $\beta$  valoarea tipică 50.

Dacă vom presupune acum că  $v_1$  crește, atunci, pentru  $v_1 \approx 0,4$  V,  $T_1$  începe să intre în regiunea activă. Cu toate acestea  $T_2$  va rămîne în saturație atît timp cît curentul de colector al tranzistorului  $T_1$  va avea o valoare suficient de mare. Prin urmare,  $v_1$  trebuie să crească pînă la aproximativ 0,6 V, înainte ca  $T_2$  să iasă din saturație. Ambele tranzistoare funcționînd acum în regiunea activă, caracteristica de transfer va crește abrupt, panta sa fiind egală cu amplificarea diferențială a circuitului:

$$\frac{\Delta v_0}{\Delta v_1} = \frac{\beta_F^2 R_{L1}}{R_{L1} + R_{B2}} \times \frac{R_{L2}}{R_S + R_{B1}} = 50^2 \times \frac{0,6}{1} \times \frac{0,6}{1} = 900.$$

Aceste detalii pot fi urmărite pe caracteristica statică de transfer, reprezentată în fig. 23.10, *b* (reprezentarea nu este făcută la scară din cauze evidente).

Dacă  $v_1$  crește încet în continuare,  $T_2$  se blochează cînd  $V_{CE1}$  scade pînă la 0,4 V, așa încît dincolo de acest punct tensiunea rămîne constantă și egală cu  $V_{CC}$ . Creșterea mărimei  $v_1$  conduce în final la saturarea tranzistorului  $T_1$ .

Plecînd de la comportarea circuitului în regim static, să ne întoarcem acum la problema principală: calculul intervalului de timp în care cele două inversoare comută din o stare în alta ca răspuns la o variație treptată de tensiune  $v_1$ . Să presupunem că tensiunea de intrare  $v_1$  se modifică în formă de treaptă la  $t = 0$  din starea 0, reprezentată de:

$$v_1 = V_0 = V_{CE}(\text{sat}) = 0,1 \text{ V.}$$

în starea 1, reprezentată de:

$$v_1 = V_1 = V_{CC} = 3 \text{ V.}$$

Să mai admitem că circuitele sînt realizate cu tranzistoare npn difuzate cu siliciu, avînd parametrii modelului controlat prin sarcină

$$\beta_F = 0,5 \text{ ns} \quad \tau_{BF} = 25 \text{ ns}$$

$$\beta_R = 2 \text{ ns} \quad \tau_{BR} = 10 \text{ ns}$$

$$Q_{FO} = 1 \times 10^{-10} \text{ pC.}$$

$$K_E = 7 \quad K_C = 4.$$

Vom aborda problema tranziției între stări estimînd mai întîi performanțele circuitului din acest punct de vedere, cu ajutorul metodei propuse în § 22.3 și verificînd apoi rezultatele cu ajutorul calculatorului.

Am arătat anterior — în decursul calculului regimului static că  $T_2$  se găsește inițial în saturație accentuată. Acest fapt simplifică oarecum calculele, deoarece putem presupune că sarcina acumulată în exces de bază,  $q_{S2}$ , va menține tranzistorul  $T_2$  în saturație de-a lungul întregului

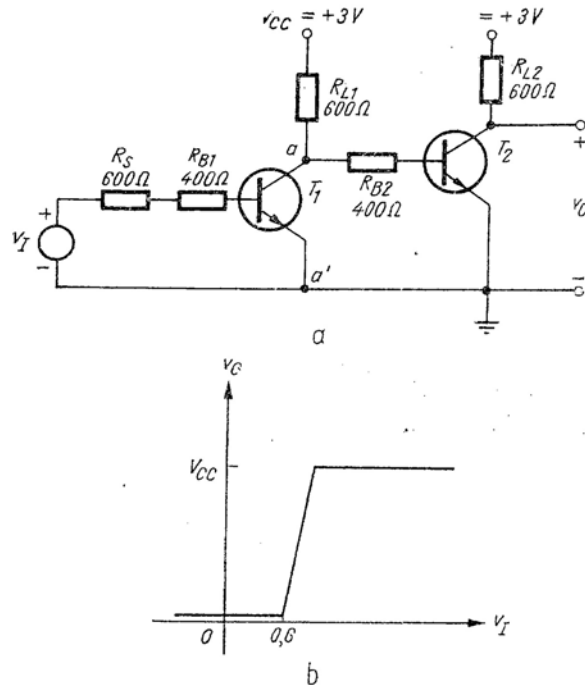


Fig. 23.10. Două inversoare RTL conectate în cască: a - circuitul; b - caracteristica de transfer de tensiune.

interval de timp în care se deschide  $T_1$ . Astfel, problema poate fi divizată în două secțiuni aproape independente, fiecare tratând regimul tranzitoriu al unui singur etaj.

Întrucât  $T_2$  este saturat în acest interval, tensiunea sa de bază va fi fixată la aproximativ  $0,6V$ . În acest fel, atât timp cât  $T_2$  rămâne saturat, putem ține seamă de influența acestui tranzistor formînd echivalentul Thévenin al întregului circuit situat la dreapta punctelor  $a, a'$ :

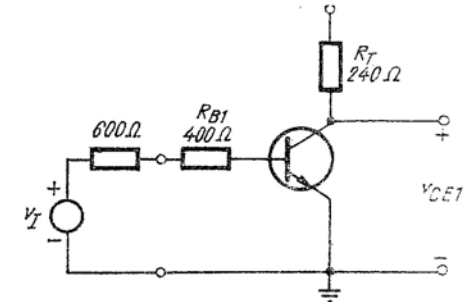
$$R_T = R_{B2} || R_{L1} = 0,6 || 0,4 = 0,24 \text{ k}\Omega$$

$$E_T = V_{CC} \frac{R_{B2}}{R_{B2} + R_{L1}} + 0,6 \frac{R_{L1}}{R_{L1} + R_{B2}} = 1,6 \text{ V.}$$

Pe această bază obținem circuitul echivalent cu un singur etaj din fig. 23.11.

Folosind metoda descrisă în § 22.3.1, putem găsi variațiile mărimilor  $q_{VE}$  și  $q_{VC}$  apărute cînd regimul de funcționare al tranzistorului  $P_1$  este schimbat de la blocare pînă la limita regiunii active. Variația de sarcină

Fig. 23.11. Primul etaj, cu sarcina echivalentă Thévenin.



obținută va fi egală cu integrala curențului de bază. Dacă vom neglija căderea de tensiune pe  $R_T$  și vom presupune că valoarea medie a curențului de bază este aproximativ  $2,8 \text{ mA}$ , vom găsi pentru timpul de întârziere valoarea (v. problema P.23.5):

$$t_d \approx 0,7 \text{ ns.}$$

Întrucât supracomanda pe bază este substanțială, putem fi siguri că traversarea regiunii active se face rapid. Pentru a estima timpul de creștere al circuitului din fig. 23.11, vom putea deci neglija efectul recombinării — așa cum s-a arătat în § 22.3.1 — și integra ecuația sarcinii pentru bază, obținînd:

$$\int_0^{t_r} i_B dt \approx \Delta q_{FI} + \Delta q_{VC} + \Delta q_{VE}. \quad (23.15)$$

În acest fel am redus analiza comutării directe a primului etaj la o formă identică celei din § 22.3.2, putînd lăsa pe seama problemelor calculele detaliate pentru găsirea timpului de creștere (v. problema P.23.7). Timpul de creștere care rezultă pentru primul etaj este

$$t_r \approx 3,8 \text{ ns.}$$

Tensiunea de colector  $v_{CE1}$  va avea formă de rampă, așa cum se arată prin linie continuă în fig. 23.12, b.

Așa cum am mai spus, inițial  $T_2$  se găsește în saturație profundă. Este deci rezonabil să ne așteptăm ca timpul de stocare  $t_{sd}$ , asociat cu evacuarea sarcinii în exces  $q_{s2}$ , să fie considerabil mai mare decât  $t_r$ . Pe această bază, tensiunea  $v_{CE1}$ , care comandă tranzistorul  $T_2$ , poate fi aproximată mai curînd ca o treaptă ce apare la momentul  $t \approx 2,6$  ns decît ca o rampă — așa cum se arată prin linia întreruptă din fig. 23.12, b

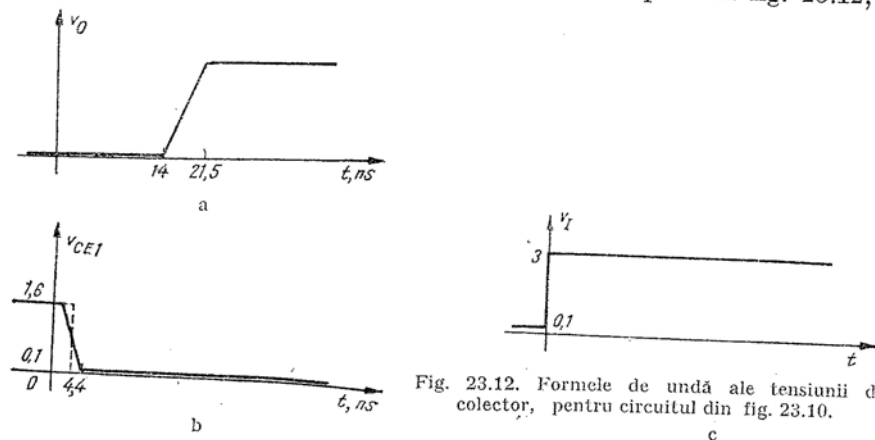


Fig. 23.12. Formele de undă ale tensiunii de colector, pentru circuitul din fig. 23.10.

Pentru a evalua timpul de stocare și timpul de scădere aferente tranzistorului  $T_2$ , vom nota mai întîi că, date fiind valorile mici ale rezistențelor de bază, curentul de bază care realizează blocarea tranzistorului  $T_2$  are o valoare mare. În adevăr, după ce  $T_1$  se saturează și înainte ca  $T_2$  să iasă din saturație,

$$i_{B2} = - \frac{0,6 - 0,1}{400} = -1,25 \text{ mA.}$$

Răspunsul unui etaj inversor la un impuls treaptă de blocare în prezența unei supracomenzi de blocare a fost discutat în § 22.3.4. De aceea, calculele de detaliu pentru acest caz sînt din nou lăsate pe seama problemelor (v. problema P. 23.8). Timpul de stocare și timpul de scădere care rezultă pentru tranzistorul  $T_2$  au valorile de aproximativ 11,4 ns și, respectiv, 7,5 ns. Reprezentarea aproximativă a formei de undă a tensiunii de ieșire se dă în fig. 23.12, c.

Ajungem prin urmare, la concluzia, că timpul necesar pentru ca cele două etaje inversoare din fig. 23.10, a să-și schimbe stările de la  $T_1$  blocat,  $T_2$  deschis, la  $T_1$  deschis,  $T_2$  blocat, este aproximativ :

$$t \approx 0,7 + 1,9 + 11,4 + 7,5 = 21,5 \text{ ns.}$$

Să verificăm acest rezultat cu ajutorul calculatorului. Potrivit procedurii descrise în § 22.6, trebuie mai întîi să scriem ecuațiile pentru modelul de circuit controlat prin sarcină (fig. 23.12, b) în termenii variabilelor de stare; aceste variabile sînt tensiunile pe capacități  $v_{BE1}$ ,  $v_{BC1}$ ,  $v_{BE2}$  și  $v_{BC2}$ . Schema topologică a circuitului (fig. 23.13, c) arată că aceste tensiuni, împreună cu sursele de tensiune  $v_I$  și  $V_{CC}$  formează un „arbore propriu”, ceea ce ne arată că am definit un set corect de variabile.

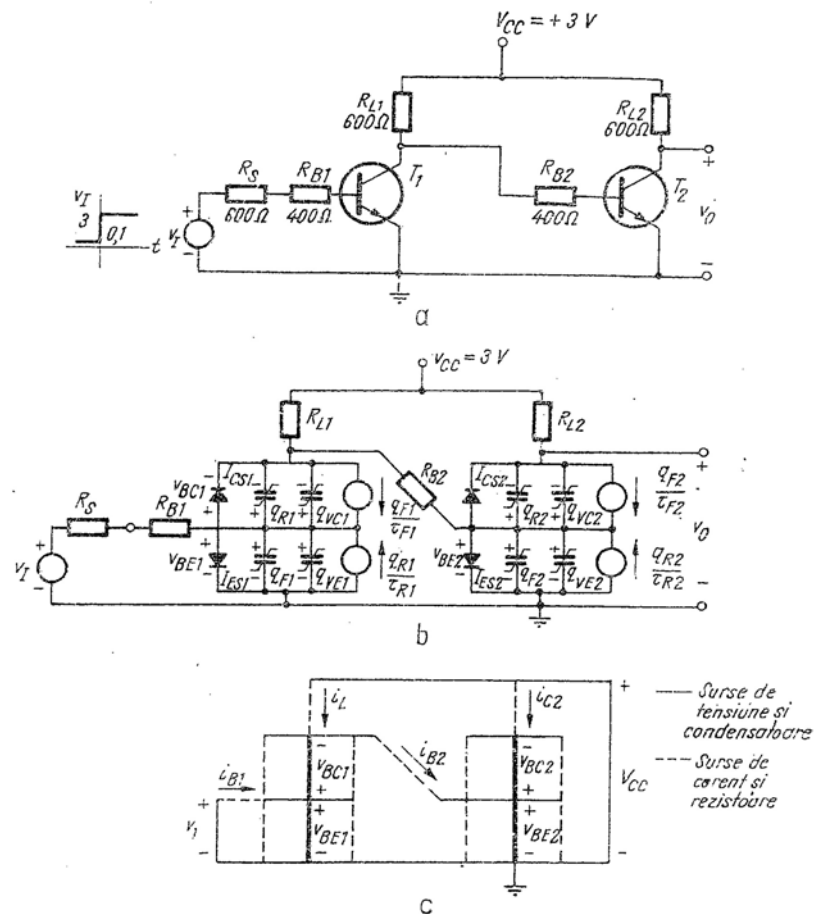


Fig. 23.13. Analiza a două etaje inversoare conectate în cascadă, cu ajutorul ecuațiilor de sarcină :

a — circuitul; b — modelul; c — topologia circuitului.



În § 22.6.2 au fost deduse relațiile corespunzătoare descrierii unui tranzistor prin variabilele de stare. Deoarece în problema noastră avem două tranzistoare, vor fi necesare 4 ecuații. Pentru primul tranzistor aceste ecuații sînt (din 22.62 și 22.63):

$$\frac{d(q_{F1} + q_{VE1})}{dt} = \frac{q_{R1}}{\tau_R} q - q_{F1} \left( \frac{1}{\tau_{BF}} + \frac{1}{\tau_F} \right) - i_{L1} \quad (23.16)$$

$$\frac{d(q_{R1} + q_{VC1})}{dt} = \frac{q_{F1}}{\tau_F} - q_{R1} \left( \frac{1}{\tau_{BR}} + \frac{1}{\tau_R} \right) - i_{C1} \quad (23.17)$$

Pentru al doilea tranzistor:

$$\frac{d(q_{F2} + q_{VE2})}{dt} = \frac{q_{R2}}{\tau_R} - q_{F2} \left( \frac{1}{\tau_{BF}} + \frac{1}{\tau_F} \right) - i_{E2} \quad (23.18)$$

$$\frac{d(q_{R2} + q_{VC2})}{dt} = \frac{q_{F2}}{\tau_F} - q_{R2} \left( \frac{1}{\tau_{BR}} + \frac{1}{\tau_R} \right) - i_{C2} \quad (23.19)$$

Sînt necesare, de asemenea, pentru ecuații similare celor date de (22.67)

Întrucît în circuit nu există capacități extreme, nu mai sînt necesare alte ecuații diferențiale.

Trebuie să găsim acum expresiile celor patru curenți de legătură, definiți în fig. 23.13, *c*, ca funcții de tensiunile — variabile de stare. Aceste ecuații pot fi găsite cu ajutorul fig. 23.13, *b* și fig. 23.13, *c*:

$$i_{B1} = \frac{v_I - v_{BE1}}{R_{B1} + R_S} \quad (23.20 \text{ a})$$

$$i_{B2} = \frac{v_{BE1} - v_{BC1} - v_{BE2}}{R_{B2}} \quad (23.20 \text{ b})$$

$$i_L = \frac{V_{CC} - v_{BE1} + v_{BC1}}{R_{L1}} \quad (23.20 \text{ c})$$

$$i_{2C} = \frac{V_{CC} - v_{BE2} + v_{BC2}}{R_{L2}} \quad (23.20 \text{ d})$$

În sfîrșit, vom face legătura între curenții folosiți în scrierea ecuațiilor (23.16 — 23.19) și curenții de legătură. Deoarece  $i_{C2}$  este un curent de legătură, vor fi trei ecuații de legătură:

$$i_{E1} = i_{B2} - i_{B1} - i_L \quad (23.20 \text{ e})$$

$$i_{C1} = i_L - i_{B2} \quad (23.21)$$

$$i_{E2} = -i_{B2} - i_{C2} \quad (23.22)$$

Aceste ecuații, împreună cu relațiile (21.30) și (21.21), care exprimă  $q_F$ ,  $q_R$ ,  $q_{VE}$  și  $q_{VC}$  în funcție de variabilele de stare, precum și ecuația tensiunii de ieșire  $v_0 = -v_{BC2} + v_{BE2}$ , pot fi trasate pe calculator în vederea efectuării circuitului.

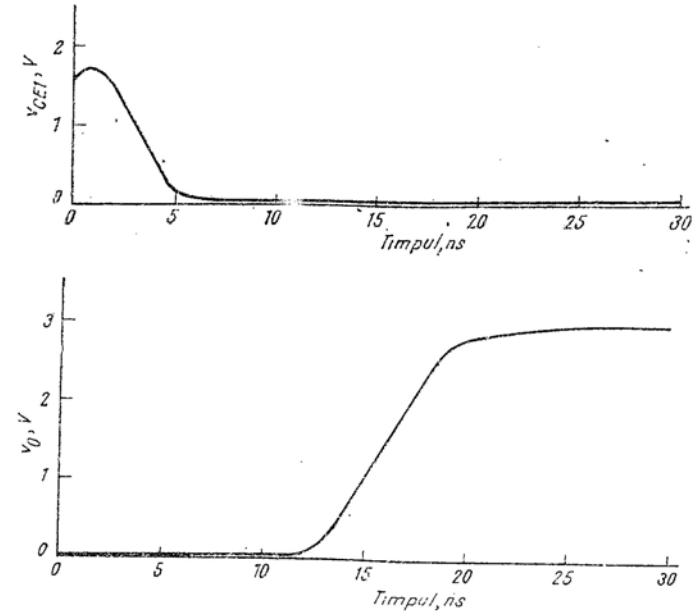


Fig. 23.14. Soluția obținută prin analiza pe calculator pentru răspunsul inversorului din fig. 23.13, *a* la un semnal treaptă de intrare.

Rezultatele obținute prin analiza pe calculator, prezentate în fig. 23.14 pentru un semnal treaptă de comutare directă aplicat la intrarea tranzis-

torului  $T_1$ , confirmă soluția intuitivă dată mai sus. Tranzistorul  $T_1$  comută direct în aproximativ 5 ns, iar intervalul de timp necesar pentru blocarea tranzistorului  $T_2$  este de aproximativ 21 ns.

### 23.3. ALTE EXEMPLE DE CIRCUITE LOGICE CU SATURAȚIE

#### 23.3.1. Circuite logice cu diode și tranzistoare (DTL)

Circuitele logice cu diode și tranzistoare constituie o extensiune naturală a circuitelor logice cu diode discutate în cap. 6. După cum s-a notat în § 6.2.2, circuitelor logice cu diode le este proprie o deplasare a nivelurilor logice, provocată de căderea de tensiune de 0,6 V pe joncțiunile diodelor aflate în stare de conducție. În plus, circuitele logice cu diode nu prezintă amplificare — datorită absenței elementelor active —, ceea ce limitează substanțial factorul de ramificare la ieșire. Este logic, prin urmare, să atașăm un amplificator cu tranzistor la ieșirea fiecărei porți cu diode. În acest fel se realizează simultan separarea între circuite, creșterea capacității de comandă și reconstituirea nivelurilor logice. În general se folosește un amplificator inversor, după cum se arată în fig. 23.15.

Pentru o funcționare corectă, atunci când oricare tensiune de intrare are un nivel scăzut, de exemplu :

$$v_A = V_0 = V_{CE}(\text{sat}),$$

se presupune că tranzistorul este blocat. Tensiunea  $v_j$  la ieșirea porți cu diode va fi (pentru dispozitive cu siliciu) :

$$v_j \approx V_{CE}(\text{sat}) + 0,6.$$

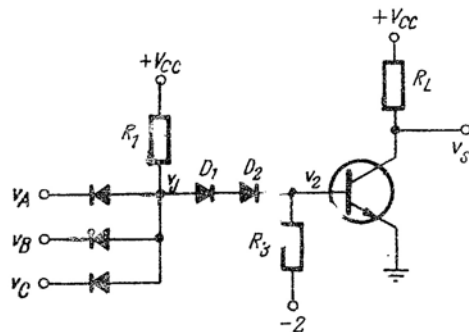


Fig. 23.15. Poarta NU — ȘI DTL.

Diodele  $D_1$  și  $D_2$ , precum și sursa de tensiune negativă sunt introduse pentru a deplasa nivelul de tensiune  $v_j$  la o valoare inferioară tensiunii de prag (de bază) a tranzistorului. Întrucât căderea de tensiune pe ambele diode  $D_1$  și  $D_2$  va fi aproximativ 0,6 V, pentru oricare din semnalele de intrare aflate la nivel scăzut, tensiunea de bază  $v_2$  va fi :

$$v_2 = v_j - 1,2 \approx -0,5 \text{ V}.$$

Prezența unui astfel de tensiuni negative pe bază va bloca puternic tranzistorul, ceea ce va asigura o rezervă ridicată de tensiune.

Porțile DTL realizate în tehnologie integrată, deși au în principiu aceeași configurație cu cea din fig. 23.15, conțin de obicei amplificatoare mai complexe, așa cum se poate vedea în fig. 23.16<sup>1</sup>. În cazul acestor circuite, deplasarea de nivel este realizată prin căderile de tensiune emitor-bază ale etajelor intermediare de amplificare, în loc de diode. În plus, aceste tranzistoare introduc și o amplificare înaltă de curent. În fig. 23.16, c

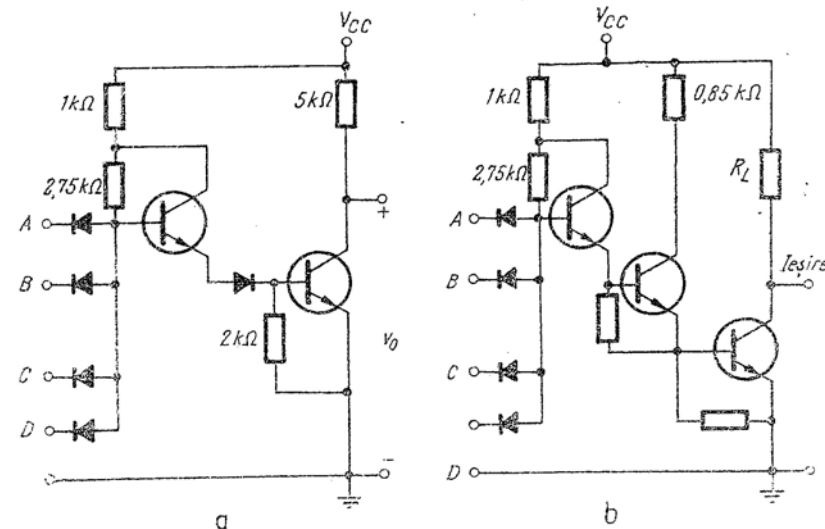
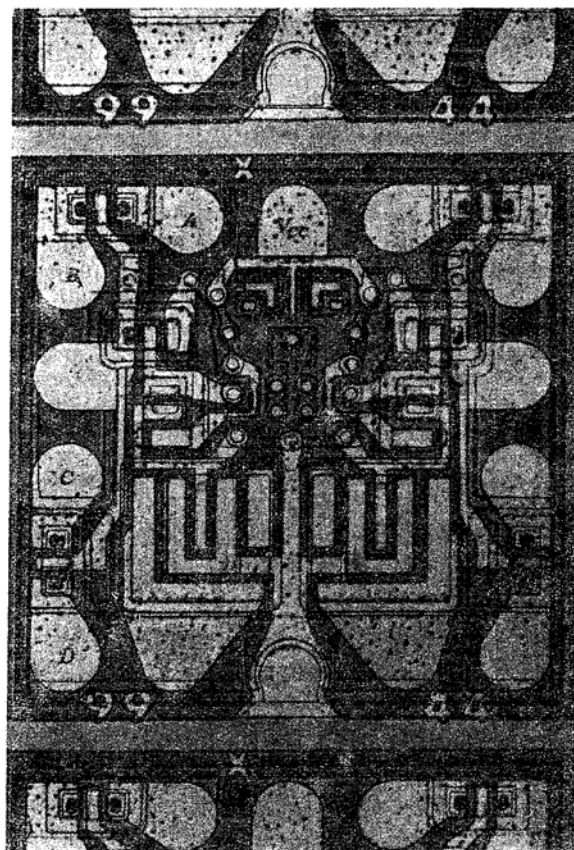


Fig. 23.16.

se poate vedea fotomicrografia unei plăcuțe de siliciu care conține două din porțile din fig. 23.16, b (v. și planșa 3). Rezistența  $R_L$  nu este realizată pe plăcuță, ea fiind o parte a circuitului exterior.

<sup>1</sup> Vezi bibliografia [23.3] și [23.4].



c  
Fig. 23.16. Porti NU - SI DTL cu circuite integrate:  
a și b - circuite; c - fotomicrografia unei plăcuțe din b. V. și Planșa III.

### 23.3.2. Circuite logice tranzistor-tranzistor (TTL, T<sup>2</sup>L)

Avantaje suplimentare pot fi obținute dacă diodele porții din fig. 23.15 sînt înlocuite cu joncțiunile de emitor ale unor tranzistoare. Circuitul

tul care rezultă se vede în fig. 23.17. Pentru oricare din semnalele de intrare aflat la nivel scăzut, de exemplu :

$$v_A = V_{CE}(\text{sat}),$$

unul din tranzistoarele  $T_1$ ,  $T_2$  sau  $T_3$  va fi saturat, așa că tranzistorul inversor de ieșire va fi blocat (observăm că această configurație nu conține elemente pentru deplasarea de nivel, ceea ce reprezintă un avantaj major față de circuitele logice DTL). Dacă toate intrările se găsesc la nivel înalt,

$$v_A = v_B = v_C = V_{CC},$$

toate tranzistoarele porții vor funcționa în regiunea activă inversă, deoarece colectoarele vor avea potențialul de aproximativ  $+0,6$  V, realizat

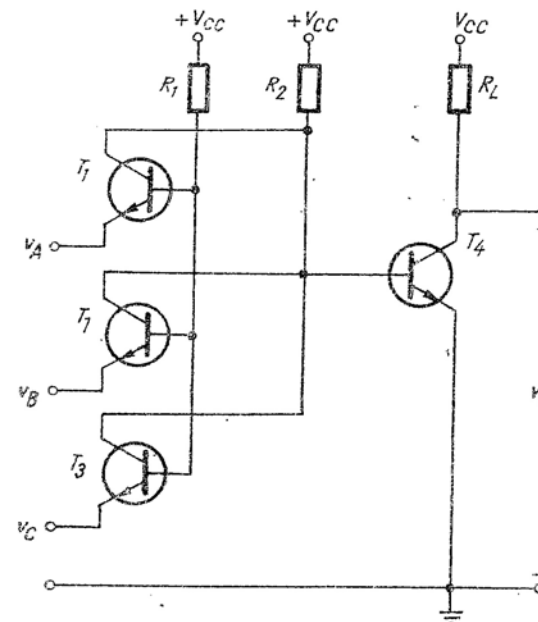


Fig. 23.17. Poarta NU - SI TTL.

de dioda emitor-bază a tranzistorului  $T_4$  (acest ultim tranzistor fiind saturat). Poarta examinată realizează funcția NU -SI, ca în circuitul DTL corespunzător (fig. 23.15).

Este important să remarcăm că, deoarece atât bazele tranzistoarelor porții, pe de o parte, cât și colectoarele, pe de altă parte, sînt conectate

între ele, este posibil ca aceeași funcție logică să fie realizată într-un *dispozitiv multiemitor unic*, arătat în fig. 23.18, *a*<sup>1)</sup>. Această configurație este ușor de construit în forma unui circuit integrat. Din această cauză

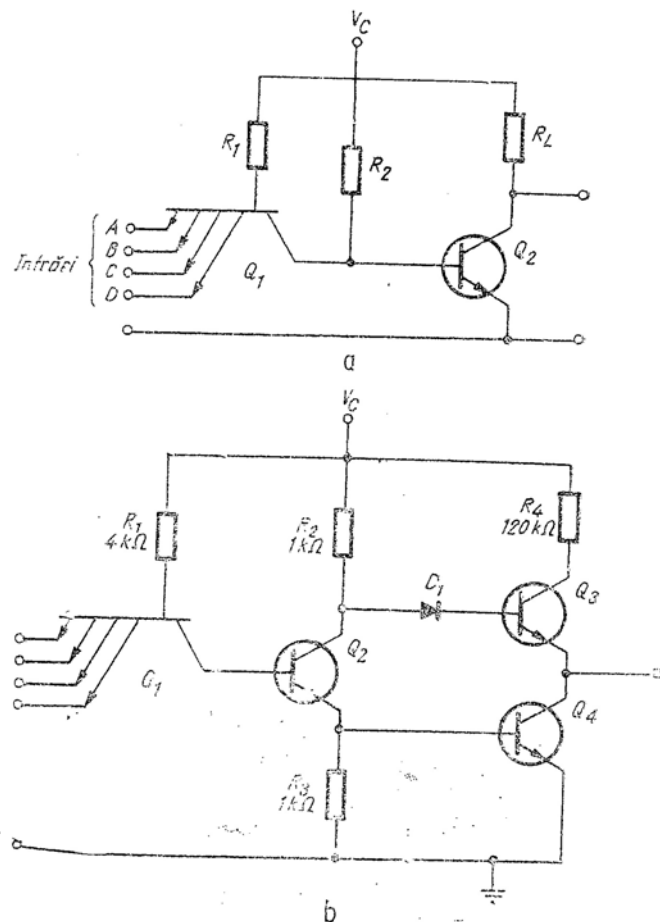


Fig. 23.18. Poartă TTL realizată în varianta multiemitor, cu circuite integrate.

dispozitivul multiemitor este folosit de obicei cu unul dintre etajele tampon de ieșire discutate în § 23.2.4. Un exemplu tipic care utilizează etajul tampon din fig. 23.9, *a* este prezentat în fig. 23.18, *b*.

<sup>1</sup> Vezi bibliografia [23.4].

## 23.4. CIRCUITE LOGICE FĂRĂ SATURAȚIE

Așa cum am indicat în § 22.3.3, sarcina stocată care apare când starea de conducție a unui tranzistor se găsește în regiunea de saturație, conduce la distorsionarea impulsurilor. Întrucât aceste distorsiuni se manifestă prin lărgirea impulsurilor, ele limitează viteza maximă de funcționare a circuitului de comutație. Deși, așa cum s-a arătat în § 22.4, consecințele neplăcute ale prezenței sarcinii stocate pot fi diminuate cu ajutorul capacităților de accelerare, întârzierea determinată de timpul de stocare nu poate fi eliminată complet în circuitele cu saturație, deoarece valoarea de vîrf a curentului de blocare este limitată de circuit.

Pentru a înlătura posibilitățile de saturare a tranzistoarelor, au fost concepute câteva configurații practice de circuit. Acestea evită saturația în una din următoarele căi: fie se folosesc diode de fixare pentru a limita tensiunea colector-bază în așa fel încît joncțiunea de colector nu poate deveni polarizată direct, fie se controlează curentul de colector în starea de conducție în jurul unei valori pentru care căderea de tensiune pe rezistența de sarcină este insuficientă pentru a satura tranzistorul. Vom lua acum în discuție caracteristicile celor două tipuri de circuite de comutație cu tranzistoare menționate pentru care starea de conducție este plasată în regiunea activă în loc de regiunea de saturație.

### 23.4.1. Folosirea diodelor de fixare pentru evitarea saturației

O cale evidentă pentru prevenirea saturației unui tranzistor în conectarea unei diode de fixare în circuitul de colector (fig. 23.19). Starea de conducție a circuitului inversor se găsește acum în regiunea activă, deoarece dioda legată de terminalul de colector împiedică tensiunea  $v_2$  să scadă mai jos de nivelul  $V_s - V_D$ , unde  $V_D$  este căderea de tensiune pe diodă. Astfel, alegînd în mod corespunzător mărimea  $V_s$ , joncțiunea de colector rămîne polarizată invers, chiar dacă valoarea curentului de comandă aplicat în bază este mare.

Cu toate acestea, circuitul propus are neajunsuri importante. Dacă vom comuta direct tranzistorul făcînd  $v_1 = V_{CC}$ , curentul de colector va fi

$$i_C = \beta_F i_B = \beta_F \frac{V_C}{R_n}. \quad (23.23)$$

Valoarea mare a curentului de colector — mult mai mare decît  $V_C/R_L$ , curentul de colector în absența diodei de fixare — conduce la o sarcină

stocată mare, deoarece în regim staționar (pentru acest circuit, în regiunea activă):

$$q_F = I_B \tau_{BF} = \tau_{BF} \frac{V_C}{R_B}. \quad (23.24)$$

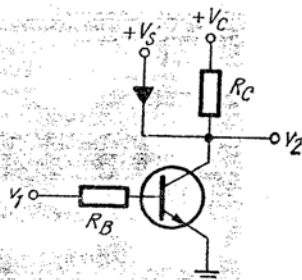


Fig. 23.19. Folosirea unei diode de fixare pentru evitarea intrării tranzistorului în saturație.

Mai mult decât atât, prin diodă va circula un curent important așa că în aceasta va fi stocată o sarcină de valoare mare. Datorită acestor două efecte, circuitul fără saturație examinat poate avea un răspuns mai lent în regim tranzitoriu (v. problema P.23.9). Cauza principală a distorsionării formelor de undă în circuitele logice nu este saturația în sine, ci sarcina acumulată în bază, excesivă în raport cu valoarea necesară pentru a menține curentul de colector dorit. Dificultatea principală legată de funcționarea circuitului din fig. 23.19 constă în faptul că dioda nu are o influență suficientă asupra importantului parametru care este sarcina electrică din bază.

Circuitul din fig. 23.20, *a* oferă o modalitate mai practică de a evita saturația tranzistorului. Dioda  $D_1$  devine polarizată direct de îndată ce  $v_1$  este mai mare decât 1 V. Dioda  $D_2$  devine și ea polarizată direct după ce tensiunea de colector a scăzut la aproximativ 0,6 V, evitând astfel închiderea joncțiunii de colector. Mai important este totuși faptul că dioda  $D_2$  poate acum să transforme o parte a curentului de intrare direct în circuitul de colector, prevenind astfel acumularea unei sarcini excesive în bază.

Pentru a calcula curenții în regimul staționar corespunzător stării de conducție, putem folosi modelul din fig. 23.20, *b*. Deoarece starea de conducție se găsește în regiunea activă, sînt valabile expresiile:

$$I_S = \frac{V_C - 1,2}{R_B} \quad (23.25)$$

$$I_R = \frac{V_C - 0,6}{R_L} \quad (23.26)$$

$$I_C = -\alpha_F I_E = \alpha_F (I_S + I_R) \quad (23.27)$$

$$\approx V_C \left( \frac{1}{R_B} + \frac{1}{R_L} \right). \quad (23.28)$$

Prin urmare

$$q_F = \tau_F I_C = \tau_F V_C \left( \frac{1}{R_B} + \frac{1}{R_L} \right) = \frac{\tau_{BF} V_C}{\beta_F} \left( \frac{1}{R_B} + \frac{1}{R_L} \right). \quad (23.29)$$

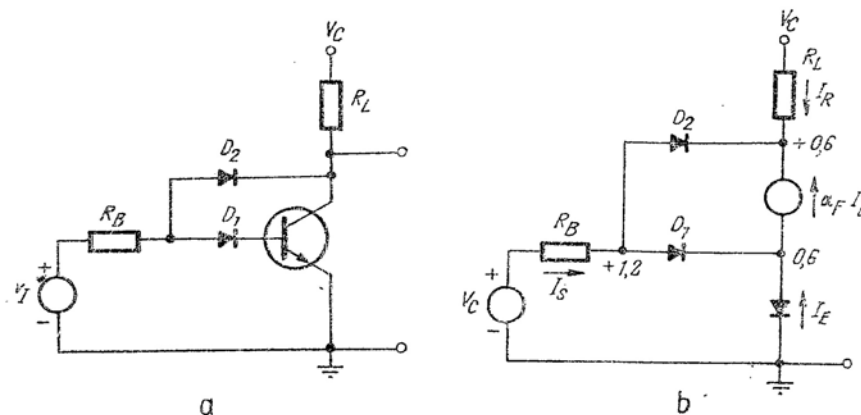


Fig. 23.20. Inversor rapid fără saturație:

*a* - inversor cu diodă de fixare; *b* - circuit echivalent pentru stare de conducție.

Compararea rezultatului obținut cu ecuația (23.24) arată că în cazul studiat sarcina stocată este mai mică decât cea corespunzătoare circuitului din fig. 23.19 (raportul acestor două sarcini depășește factorul  $1/\beta_F$ ). Curenții diodelor sînt de asemenea de cel puțin  $\beta_F$  ori mai mici pentru acest circuit decât în fig. 23.19, așa încît se poate realiza o ameliorare substanțială a răspunsului în regim tranzitoriu (v. problema P.23.10), cu condiția ca sarcina dominantă să fie componenta  $q_F$  și nu componenta  $q_{VC}$ .

#### 23.4.2. Circuite cu cuplaj pe emitor (ECL)

Nu este, în general, posibil să se realizeze circuite de comutație fără saturație, în care saturația să fie evitată prin controlul curentului de bază. Amplificarea de curent  $\beta_F$  variază prea mult de la un tranzistor la altul

pentru a permite un control precis al curentului de colector în stare de conducție cu ajutorul curentului de bază. Pe de altă parte, curentul de colector poate fi controlat — și în felul acesta se poate evita saturația — prin realizarea circuitului de comutație în așa fel, încât curentul de emitor în stare de conducție este strâns controlat, fiind independent de nivelul comenzii de bază. Circuitele a căror structură are la bază această idee,

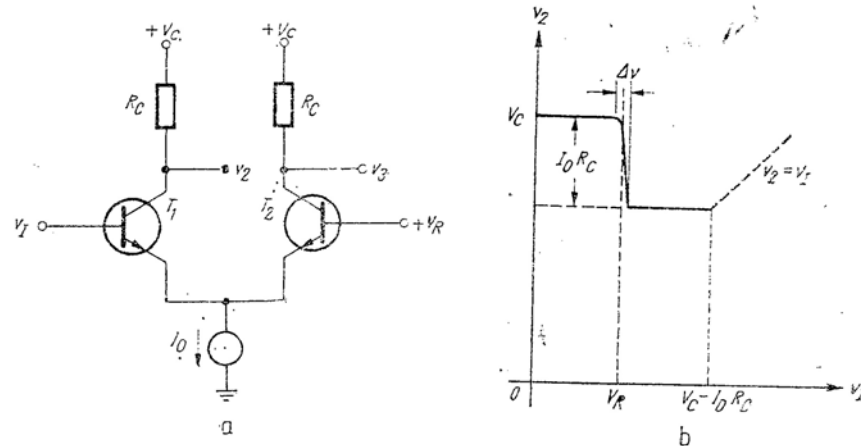


Fig. 23.21. Circuit de cuplaj prin emitor: a circuit elementar; b - caracteristica statică de transfer.

poartă numele de *circuite logice cu cuplaj pe emitor* (ECL). O variantă simplă de circuit ECL se prezintă în fig. 23.21, a. Remarcăm că topologia circuitului este identică cu cea a amplificatorului diferențial discutat în § 7.4.2.

Curentul constant  $I_0$  debitat de sursa de curent, se va divide între emitoarele celor două tranzistoare într-un mod determinat de tensiunea de intrare  $v_i$ . Dacă aceasta este mai mică decât potențialul de referință  $V_R$ , tranzistorul  $T_1$  este blocat și întreg curentul  $I_0$  circulează prin tranzistorul  $T_2$ . Circuitul se găsește în stare de blocare, iar tensiunea de ieșire  $v_2$  este egală cu tensiunea de alimentare de colector  $V_C$ . Când tensiunea de intrare crește  $T_1$  începe să conducă, iar curentul  $I_0$  se divide între cele două tranzistoare. În momentul în care  $v_i$  întrece potențialul de referință  $V_R$ , dioda de emitor a tranzistorului  $T_2$  este polarizată invers și tot curentul  $I_0$  circulează prin  $T_1$ . Aceasta este starea de conducție a circuitului, caracterizată de o tensiune de ieșire egală cu  $V_C - I_0 R_C$ . Curentul  $I_0$  este „dirijat” către unul din tranzistoare prin intermediul tensiunii de intrare  $v_i$ . Comportarea circuitului poate fi analizată cu ajutorul caracteristicii statice de transfer din fig. 23.21, b.

Intervalul de valori ale tensiunii de intrare de-a lungul căruia apare tranziția din stare de blocare în stare de conducție, notat cu  $\Delta v$  pe caracteristica statică de transfer, este îngust. Variații de tensiune de numai câteva zecimi de volt sînt suficiente pentru a transfera curentul de la un tranzistor la altul.

Inflexiunea caracteristicii de transfer la  $v_i = V_C - I_0 R_C$  (punct în care tensiunea  $v_2$  începe să crească odată cu mărirea lui  $v_i$ ) apare când tranzistorul se saturează. Variantele practice de circuite ECL sînt proiectate astfel, încît să funcționeze în zona inferioară acestui punct, prin restrîngerea gamei de variație a tensiunii de intrare  $v_i$ . Observăm că acest circuit are două ieșiri complementare,  $v_2$  și  $v_3$  (precum și o intrare suplimentară opțională pe baza celui de-al doilea tranzistor). Acest circuit, care reprezintă blocul funcțional de bază al tuturor circuitelor logice cu cuplaj pe emitor, poate fi utilizat, prin umare, fie ca un amplificator inversor, fie ca unul care nu inversează faza (v. problema P.23.11).

În practică, sursa de curent din fig. 23.21, a este realizată de o rezistență și de o sursă de tensiune negativă, așa cum se arată în fig. 23.22. Această modificare conduce la apariția unei ușoare pante negative a caracteristicii statice de transfer în regiunea corespunzătoare stării de

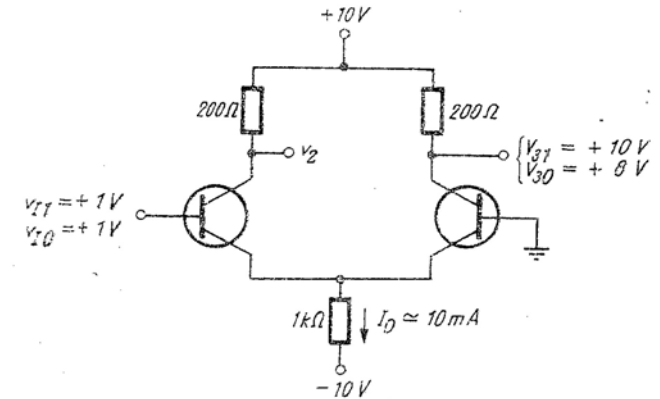


Fig. 23.22. Circuit cu cuplaj prin emitor cu ieșiri complementare.

conducție. Valorile corespunzătoare variabilelor de ieșire sînt aproximative, ele fiind bazate pe presupunerea că  $I_0 = 10mA$ . În realitate, curentul de rezistență de emitor este puțin diferit într-o stare față de cealaltă (v. problema P.23.12).

Valorile variabilelor de intrare și de ieșire din fig. 23.22 pun în evidență un dezavantaj al circuitelor ECL: nivelurile de tensiune care corespund

valorilor binare ale variabilei de ieșire sînt deplasate față de nivelurile de tensiune de la intrare. Prin urmare, circuitele ECL nu pot fi conectate în cascadă.

### 23.4.3. Poarta SAU — (NU—SAU) cu cuplaj pe emitor (ECL)

Fig. 23.23 prezintă structura unei porți logice cu cuplaj pe emitor. Să presupunem mai întâi că la intrările  $v_A$ ,  $v_B$ ,  $v_C$  este aplicat un semnal negativ. Tranzistorul  $Q_0$ , a cărui bază e conectată la masă, va fi astfel

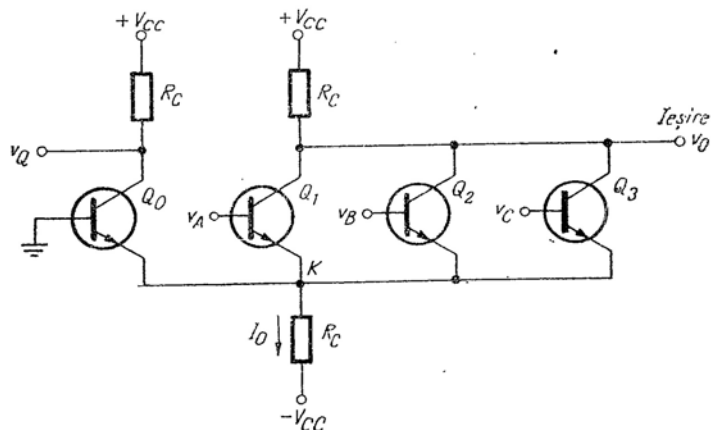


Fig. 23.23. Poartă cu cuplaj prin emitor; poarta realizează funcțiile SAU și NU — SAU.

în stare de conducție cu un curent de colector  $I_C \approx I_0$ , în timp ce  $Q_1$ ,  $Q_2$ ,  $Q_3$  vor fi blocate. Dacă acum, una sau mai multe dintre intrările  $v_A$ ,  $v_B$  sau  $v_C$  devine pozitivă, tranzistorul (sau tranzistoarele) corespunzător intră în starea de conducție. În acest fel  $v_O$  este o funcțiune NU—SAU pentru o reprezentare pozitivă. Funcțiunea SAU este de asemenea disponibilă folosind tensiunea  $v_O$  ca semnal de ieșire. Deplasarea de nivel între tensiunile de intrare și de ieșire este prezentă și în acest caz, așa cum se întâmplă pentru inversorul simplu ECL prezentat mai sus.

### 23.4.4. Metode de cuplaj pentru circuitele cu cuplaj pe emitor (ECL)

În fig. 23.24<sup>1)</sup> este ilustrată o modalitate pentru eliminarea neadaptării nivelurilor de curent continuu amintite în secțiunea precedentă.

<sup>1)</sup> Vezi bibliografia [23.4].

Ieșirile porții ECL sînt conectate la etajele repetoare pe emitor de la ieșire, care deplasează nivelurile în jos cu aproximativ 0,6 V, asigurînd în același timp posibilitatea debitării unui curent de ieșire de valoare crescută. Prin alegerea judicioasă a tensiunilor de alimentare și a valorilor tensiunilor de semnal se poate realiza adaptarea nivelurilor de intrare și ieșire. Pentru tensiunile de alimentare din figură, vor rezulta nivelurile logice

$$V_0 = -1,6 \text{ V}$$

$$V_1 = -0,75 \text{ V},$$

ceea ce va asigura adaptarea nivelurilor de tensiune pentru intrarea  $v_1$  și ieșirile  $v_4$  și  $v_5$  (v. problema P.23.13).

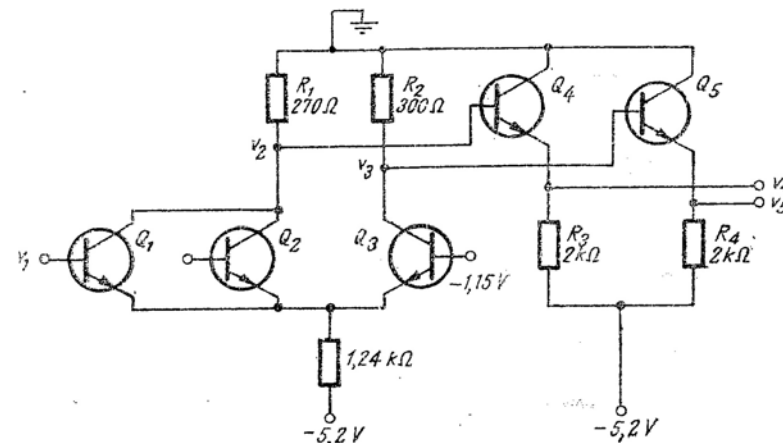


Fig. 23.24. Poartă SAU — (NU — SAU) cu cuplaj pe emitor cu nivele logice de intrare și ieșire compatibile.

Un circuit ECL tipic integrat poate include două porți complete SAU — (NU — SAU) cu câte patru intrări și un tranzistor regulator pentru a asigura potențialul de referință al bazei unuia din tranzistoarele fiecăreia din cele două porți diferențiale ECL, după cum se arată în fig. 23.25.<sup>1)</sup> Un avantaj important al unui asemenea circuit integrat constă în faptul că schimbările temperaturii dispozitivelor afectează atât poarta, cât și tranzistorul regulator. Astfel, printr-o proiectare corespunzătoare este posibil să se mențină punctul — prag al porții în centrul regiunii de tranziție, indiferent de valoarea temperaturii.

<sup>1)</sup> V. Bibliografia [23.5].



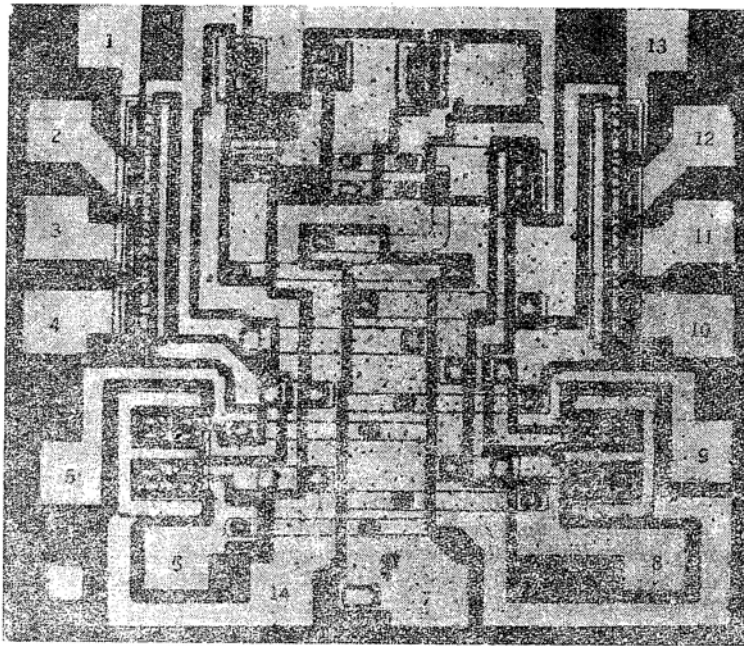
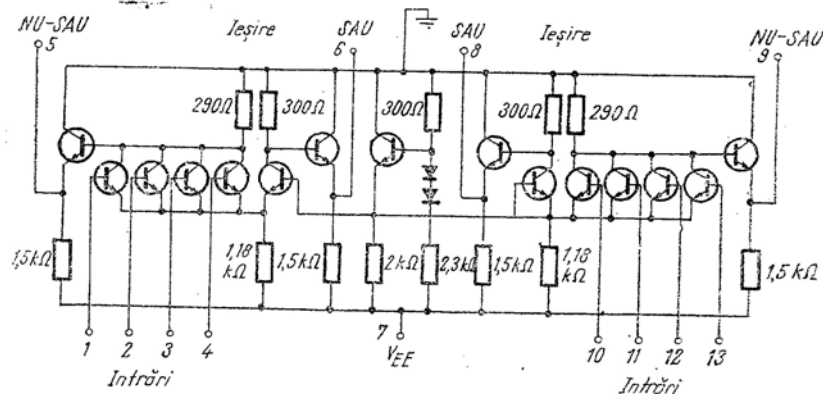


Fig. 23.25 Poartă SAU — (NU-SAU) duală cu patru intrări, cu circuite integrate:  
a — circuitul; b — fotografia plăcii de siliciu pentru circuitul din fig. 23.25a V. și Plasa 4.

### 23.4.5. Comportarea în regim tranzitoriu a circuitelor cu cuplaj pe emitor (ECL)

Circuitele de comutație cu cuplaj pe emitor pot funcționa mult mai rapid decât circuitele cu saturație realizate cu același tip de tranzistoare. Acest avantaj este datorat în principal faptului că este evitat timpul de stocare (care însoțește inevitabil starea de conducție în regiunea de saturație). În afară de aceasta, circuitele ECL funcționează, în general, cu salturi mici de tensiune și curenți de colector importanți, așa încât variațiile corespunzătoare ale sarcinilor în zonele cu sarcină de volum pot fi realizate mai rapid. În sfârșit, aceste circuite sînt de obicei comandate de surse de semnal cu impedanță internă relativ scăzută, adică etaje de ieșire repetitoare pe emitor ca în poarta precedentă (fig. 23.24). Astfel curentul de vîrf al bazei poate avea o valoare înaltă în timpul schimbărilor de stare, reducîndu-se în acest fel, timpul necesar pentru modificarea sarcinii acumulate în exces în bază. Acțiunea acestor factori face circuitele ECL de cinci pînă la zece ori mai rapide decât circuitele cu saturație realizate cu tranzistoare comparabile. Desigur, această îmbunătățire se realizează cu prețul unei disipații crescute de putere și al unei complexități mai pronunțate a circuitelor. Ultimul factor are o însemnătate mai redusă dacă circuitele sînt realizate în formă integrată.

Studiul cantitativ al comportării în regim tranzitoriu al unui circuit ECL este mai complicat decît analiza corespunzătoare a unui circuit cu saturație, deoarece circuitul cu cuplaj pe emitor este comandat de o sursă de tensiune scăzută și impedanță internă mică. Prin urmare, curentul de bază nu este determinat numai de parametrii circuitului de comandă și variază substanțial în timpul parcurgerii regiunii active. Pentru aceste motive, metoda aproximativă de analiză folosită în exemplele anterioare nu conduce la rezultate rezonabile. Din această cauză sîntem constrînși să apelăm la analiza cu ajutorul calculatorului.

Examinînd circuitul cu două tranzistoare din fig. 23.26, a, putem ilustra problemele care apar în studiul comportării în regim tranzitoriu și, totodată, putem înțelege natura timpilor de răspuns. Să presupunem că sursa echivalentă Thévenin de tensiune se modifică brusc la  $t = 0$  cu o cantitate  $\Delta V$  — așa cum se arată în figură; această modificare va iniția un regim tranzitoriu care se încheie cînd curentul  $i_T$  a fost comutat de la tranzistorul 2 la tranzistorul 1. Scopul analizei constă în a determina timpul necesar pentru producerea acestei schimbări; acest interval de timp este timpul de creștere a unuia dintre curenții de colector, respectiv timpul de cădere a celuilalt curent de colector. Presupunem totodată că tranzistoarele sînt identice cu cele folosite în analiza circuitelor RTL (în § 23.2.5).

Modelul complet cu parametri controlați prin sarcină pentru circuitul examinat se arată în fig. 23.26, *b*. Pentru a determina variabilele de stare vom reprezenta structura topologică a circuitului ca în fig. 23.26, *c*, în care liniile continue reprezintă sursele de tensiune și capacitățile, iar liniile

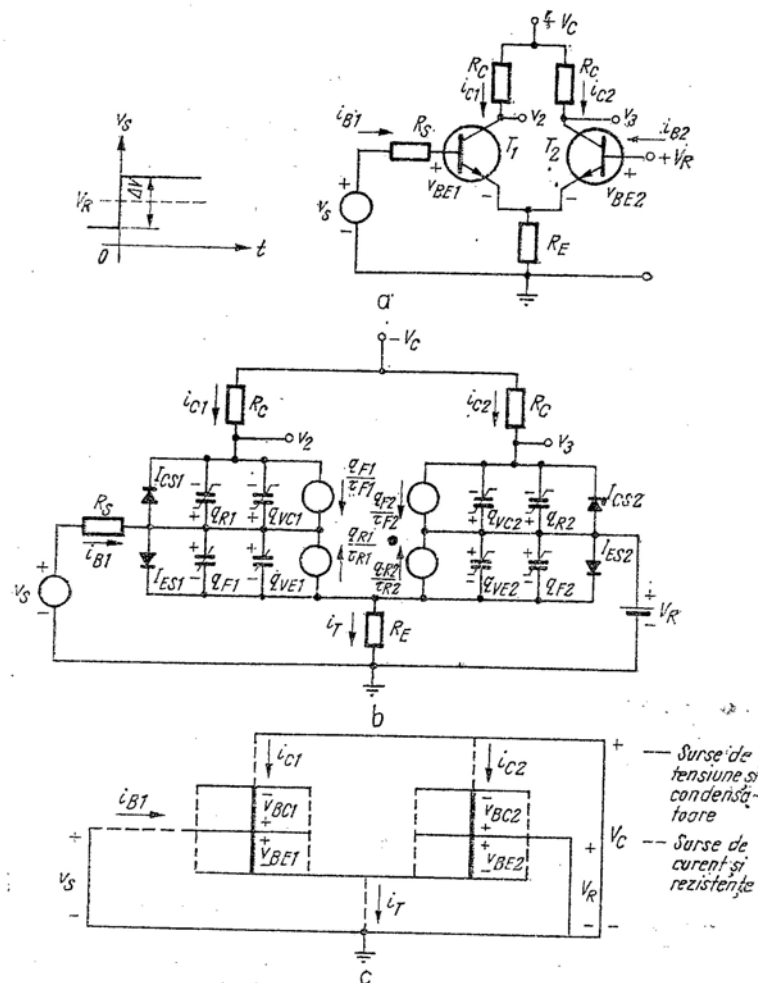


Fig. 23.26. Calculul regimului tranzistoriu la comutarea unui circuit cu cuplaj prin emitor:

*a* - circuitul; *b* - modelul circuitului; *c* - topologia circuitului;

întrerupte — sursele de curent și rezistențele. Arborele format de sursele de tensiune și capacități este evident un arbore propriu. Pentru a descrie tranzistoarele pot fi folosite ecuațiile generale ale metodei sarcinii scrise pentru  $i_E$  și  $i_C$ , așa cum au fost formulate în § 22.6.2; în acest scop sînt necesare două grupuri de ecuații similare cu ecuațiile (22.62) și (22.63). De asemenea, rezolvarea problemei reclamă folosirea a patru ecuații similare cu (22.67), precum și a relațiilor între fiecare din cele opt sarcini variabile și tensiunile corespunzătoare pe joncțiuni (variabile de stare).

Pentru a completa formularea problemei, vom exprima curenții  $i_{E1}$ ,  $i_{C1}$ ,  $i_{E2}$  și  $i_{C2}$  în funcție de curenții de legătură definiți în fig. 23.26, *c*. Deoarece  $i_{C1}$  și  $i_{C2}$  sînt ei înșiși curenți de legătură, relațiile căutate vor fi:

$$i_{E1} = -i_{B1} - i_{C1} \quad (23.30 \text{ a})$$

$$i_{E2} = -i_T + i_{B1} + i_{C1} \quad (23.30 \text{ b})$$

În sfîrșit, va trebui să exprimăm cei patru curenți de legătură ca funcții de tensiunile — variabile de stare. Relațiile căutate sînt date mai jos, cu ajutorul fig. 23.26, *b* și *c*:

$$i_{B1} = \frac{v_S - V_R + v_{BE2} - v_{BE1}}{R_S} \quad (23.31 \text{ a})$$

$$i_{C1} = \frac{V_C - V_R + v_{BE2} - v_{BE1} + v_{BC1}}{R_C} \quad (23.31 \text{ b})$$

$$i_{C2} = \frac{V_C - V_R + v_{BC2}}{R_C} \quad (23.31 \text{ c})$$

$$i_T = \frac{V_R - v_{BE2}}{R_E} \quad (23.31 \text{ d})$$

Aceste relații, împreună cu cele care leagă tensiunile de ieșire și variabilele de stare,

$$v_2 = V_R - v_{BE2} + v_{BE1} - v_{BC1} \quad (23.32)$$

$$v_3 = V_R - v_{BC2} \quad (23.33)$$

pot fi acum tratate pe calculator în vederea soluționării. Pentru valorile particulare ale parametrilor date mai sus și presupunînd un semnal treptat

de intrare de 0,9 V, rezultatele sînt reprezentate în fig 23.27. Așa cum am prevăzut, timpul de creștere al acestui circuit ECL este foarte redus. Întreg regimul tranzitoriu se încheie în aproximativ 2,5 ns, adică mult mai repede decît în cazul porții RTL analizată în § 23.2.5 (v. fig. 23.14).

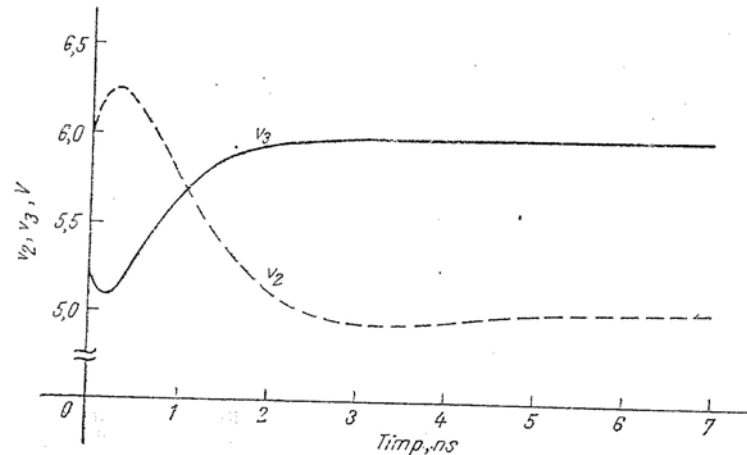


Fig. 23.27. Răspunsul în regim tranzitoriu al circuitului cu cuplaj prin emitor din fig. 23.26, obținut cu ajutorul calculatorului.

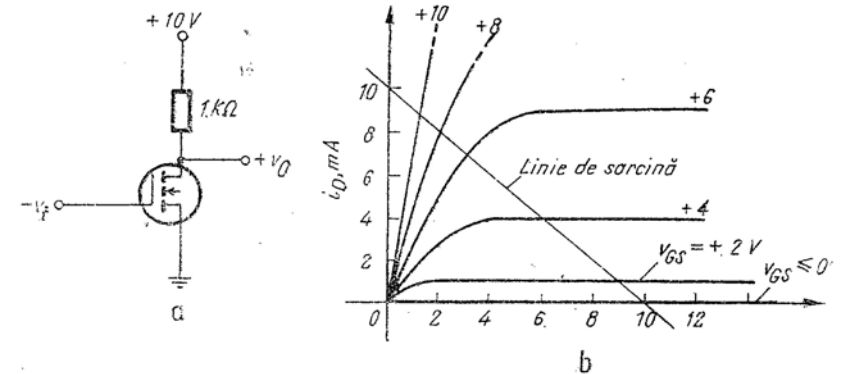
### 23.5. TRANZISTOARELE CU EFECT DE CÎMP CA ELEMENTE DE COMUTAȚIE

#### 23.5.1. Caracteristici de comutație

Diferitele variante de tranzistoare cu efect de cîmp — cu joncțiuni, cu poartă izolată sau MOS — pot fi folosite ca elemente de comutație în circuitele digitale. Deoarece conducția drenă-sursă, așa cum se arată în fig. 9.14 (care descrie un dispozitiv cu canal  $n$  indus), este controlată de tensiunea poartă-sursă, curentul între drenă și sursă poate fi comutat între două valori, una mare și cealaltă suficient de mică, cu ajutorul tensiunii poartă-sursă. Această funcție de control este ilustrată în circuitul din fig. 23.28, în care un dispozitiv cu canal  $n$  indus funcționează cu sarcină rezistivă. Dacă folosim reprezentarea pozitivă a stărilor din tabelul 23.2, rezultă din caracteristica de transfer dată în fig. 23.28, c că circuitul MOS funcționează ca un inversor logic.

Tranzistoarele MOS folosite în schemele digitale sînt deseori fabricate în formă de circuite integrate. În asemenea cazuri, este ușor ca în locul

rezistențelor de sarcină folosite în circuitele inversoare să fie introduse alte tranzistoare MOS. De aceea, configurații ca cea arătată în fig. 23.29, a sînt frecvent folosite. În acest circuit tranzistorul  $T_1$ , care funcționează cu poarta conectată la drenă, constituie o sarcină neliniară pentru tranzis-



torul  $T_2$ ; trasarea caracteristicii de sarcină corespunzătoare se poate urmări în fig. 23.29, b. (v problema P 23.15).

Tabelul 23

Starea	Gama valorilor tensiunii
0	0 la 4 V
1	6 la 10 V

Dacă dispunem atît de dispozitive cu canal  $n$  cît și de dispozitive cu canal  $p$ , proprietățile inversorului a cărui sarcină este un alt tranzistor MOS, vor fi substanțial îmbunătățite (fig. 23.20). Cînd tensiunea de intrare  $v_I$  este +10V, tranzistorul inferior (cu canal  $n$ ) conduce, pe cînd tranzistorul superior (cu canal  $p$ ) este blocat. În acest mod, terminalul de ieșire este conectat la masă și  $v_O \approx 0$ . Invers, cînd  $v_I = 0$ , tranzistorul inferior e blocat, iar tranzistorul superior conduce. Terminalul de ieșire este conectat la tensiunea de alimentare de 10V, iar  $v_O \approx 10V$ . Acest circuit prezintă proprietatea că nu absoarbe curent de la sursa de alimentare — cu excepția intervalului de tranziție între stări, cînd capacitățile asociate sînt încărcate sau descărcate.

Dinamica procesului de comutare în aceste circuite MOS este determinată de sarcina acumulată în pcartă, care controlează curentul drenă sursă. Din păcate, modelele cu parametrii controlați prin sarcină, care

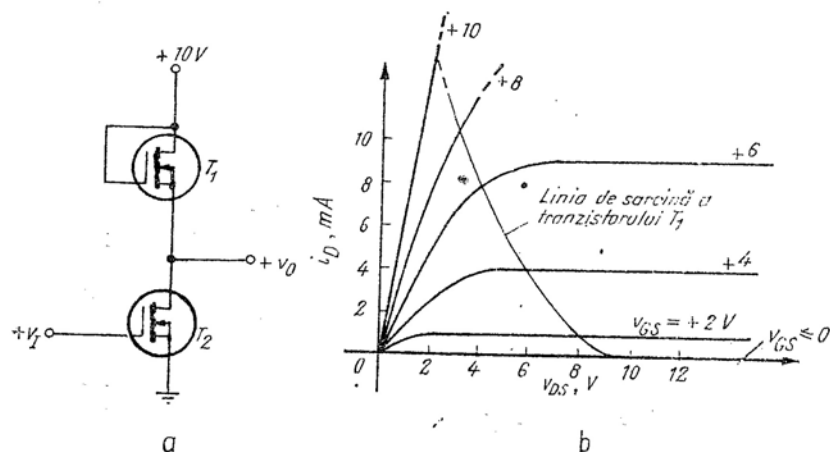


Fig. 23.29. Folosirea unui al doilea tranzistor MOS, ca sarcină neliniară: a - circuitul; b - caracteristicile de ieșire și linia de sarcină.

descriu acest proces, sînt complexe și neliniare. Discuția de mai sus a avut în vedere în special tranzistoarele MOS, fără a se ocupa de tranzistoarele cu efect de cîmp cu joncțiune. Pot fi subliniate două cauze prin-

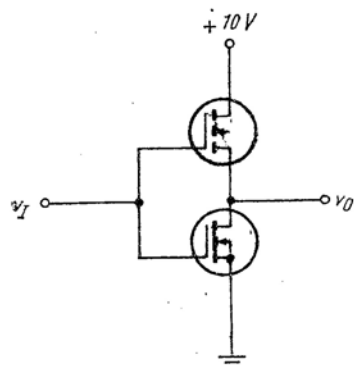


Fig. 23.30. Circuit de comutație cu tranzistoare MOS cu canale complementare.

cipale pentru tratarea în special a tranzistoarelor MOS. În primul rînd, dispozitivele MOS pot funcționa cu canal indus, ceea ce facilitează cuplajul direct între etajele logice. În al doilea rînd, dispozitivele MOS se fabrică

mai ușor în formă integrată. În adevăr, structuriile MOS de dimensiuni mari pot fi fabricate în varianta integrată cu mult mai puține dificultăți decît structurile cu tranzistoare bipolare, deoarece tranzistoarele MOS sînt dispozitive cu purtători majoritari care nu reclamă un control strîns al timpului de viață sau al proprietăților joncțiunilor. De aceea structurile digitale integrate pe scară largă care conțin sute de dispozitive active sînt dominate în prezent de tehnologia MOS.

### 23.5.2. Porți logice MOS

În fig. 23.31 sînt reprezentate două porți simple cu tranzistoare MOS. În ambele cazuri se folosesc dispozitive cu canal n și indus. În circuitul din fig. 23.31, a tensiunea de ieșire  $v_o$  este înaltă dacă și numai dacă:

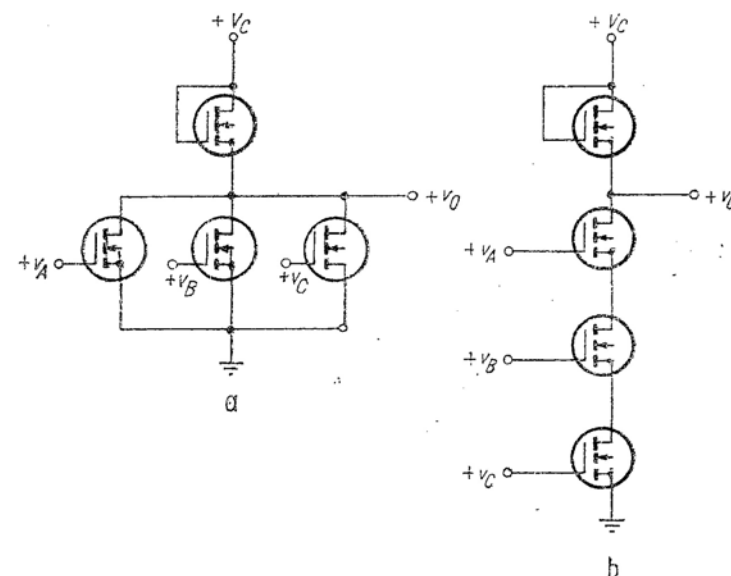


Fig. 23.31. Porți logice cu tranzistoare MOS.

niciuna din mărimile  $v_A, v_B, v_C$  nu are o valoare înaltă (adică cele trei tranzistoare inferioare sînt blocate). Prin urmare, pentru o reprezentare pozitivă circuitul este o poartă NU — SAU. În circuitul din fig. 23.31, b tensiunea de ieșire este scăzută dacă și numai dacă  $v_A, v_B, v_C$  au valori înalte, cu alte cuvinte dacă cele trei tranzistoare inferioare conduc. Astfel pentru o reprezentare pozitivă, acest circuit este o poartă NU — ȘI.

### 23.6. DEMONSTRAȚIE EXPERIMENTALĂ DE CURS

Aproape oricare din circuitele examinate în acest capitol pot fi folosite pentru demonstrații experimentale de curs. De exemplu, se pot utiliza circuitele tampon din fig. 23.8 și fig. 23.9 pentru a comanda o sarcină capacitivă. Viteza relativă de răspuns a circuitului de inversare simplu, a celui cu diodă de fixare din fig. 23.19, precum și a circuitului îmbunătățit din fig. 23.20 a poate constitui de asemenea obiectul unei demonstrații experimentale de curs simple. În mod similar, este util să se pună în evidență vitezele relative de răspuns ale diverselor circuite logice (porțile RTL, DTL, ECL).

#### BIBLIOGRAFIE

- 23.1. J. Millman și H. Taub. *Pulse, Digital, and Switching Waveforms*, Mc Graw — Hill New York, 1965.
- 23.2. J. H. Harris ș.a. *Digital Transistor Circuits*, Wiley, New York, 1966.
- 23.3. Fairchild Microcircuits, Fairchild Semiconductor, 1968.
- 23.4. W. E. Wickes, *Logic Design with Integrated Circuits*, Wiley, New York, 1968.
- 23.5. *Motorola Digital Integrated Circuits: MECL*, Motorola Semiconductor Products, Phoenix, 1967.
- 23.6. V. A. Otero, *Simplified Transistor Models for Computer Aided Design*, S.M. Thesis, M.I.T., May 1968.
- 23.7. H. Camenzind. *Circuit Design for Integrated Circuits*, Addison — Wesley, Reading, Mass., 1968.

#### PROBLEME

P.23.1. Să se calculeze valoarea maximă a curentului de sarcină pozitivă  $i_L$  care poate fi absorbit de la etajul tampon din fig. 23.8, a, presupunând că sarcina este formată din alte  $N$  tranzistoare, ca în fig. 23.7. Să se verifice ecuația (23.11).

P.23.2. Să se reprezinte forma de undă de la ieșirea circuitului din fig. 23.8, a, dacă sarcina este o rezistență de  $1\text{ k}\Omega$  în paralel cu o capacitate de  $1000\text{ pF}$ . Se presupune că forma de undă de la intrare este un impuls dreptunghiular cu durata de  $1\text{ }\mu\text{s}$  și suficient de înalt pentru a satura tranzistorul  $P_1$ ; nu se va ține seama de procesele tranzitorii în interiorul tranzistorului (v. pag. 372).

P.23.3. Să se calculeze valoarea maximă a curentului pozitiv de sarcină  $i_L$  pentru circuitul tampon din fig. 23.8, b în ipoteza că sarcina este o rezistență  $R_L$  conectată la masă. Să se determine curentul maxim negativ, presupunând că sarcina este o rezistență  $R_L$  conectată cu  $V_0$ . Să se compare rezultatul cu performanțele circuitului tampon simplu din fig. 23.8, a.

P.23.4. Circuitele tampon din fig. 23.8, b și fig. 23.9 sînt deosebit de utile pentru comanda unor sarcini capacitive, întrucît ele pot debita curenți mari de ambele polarități (din același motiv, aceste circuite pot fi adaptate pentru folosirea în etajele de ieșire ale amplificatoarelor

audio). Să se repete problema P.23.2 pentru aceste circuite, comparîndu-se rezultatele cu cele obținute în problema P. 23.2 pentru circuitul tampon simplu (v. pag. 373).

P.23.5. Să se explice de ce în circuitul tampon din fig. 23.9, b nu este necesară o diodă pe cînd în schema din fig. 23.9, a se utilizează dioda  $D$  (v. pag. 376).

P.23.6. Să se calculeze timpul de întârziere pentru tranzistorul  $T_1$  în circuitul examinat în § 23.2.5, fig. 23.10 (v. pag. 379).

P.23.7. Să se calculeze timpul de creștere pentru tranzistorul  $T_1$  în circuitul inversor (RTL) din § 23.2.5, fig. 23.10. Să se confirme valoarea aproximativă  $t_r = 3,8\text{ ns}$  dată în text (v. pag. 379).

P.23.8. Să se calculeze timpul de răspuns al circuitului din fig. 23.10 (§ 23.2.5) determinînd timpul de stocare și timpul de scădere pentru tranzistorul  $T_2$ . Să se compare cu rezultatele date în text (v. pag. 380).

P.23.9. Să se calculeze sarcina acumulată în bază în stare de conducție a circuitului din fig. 23.19 presupunînd că dioda lipsește. Să se compare cu ecuația (23.24) și să se comenteze raportul între vitezele de lucru ale celor două circuite (v. pag. 390).

P.23.10. Să se compare sarcina acumulată în bază în stare de conducție a circuitului din fig. 23.20 cu cea calculată în relația (23.24) și cu cea calculată în problema P.23.9. Care dintre circuite este mai rapid? Este răspunsul influențat de capacitatea de barieră? (v. pag. 391).

P.23.11. Să se găsească caracteristica statică de transfer  $v_2 = f(v_1)$  pentru circuitul din fig. 23.21, a. Să se reprezinte grafic rezultatele alături de curba din fig. 23.21, b (v. pag. 393).

P.23.12. Circuitul din fig. 23.22 poate fi descris prin două caracteristici statice de transfer care leagă cele două tensiuni de ieșire de tensiunea de intrare. Folosind valorile date în figură, să se calculeze și să se reprezinte grafic (la scară) aceste caracteristici de transfer. Se vor face presupuneri rezonabile asupra comportării statice a tranzistoarelor (v. pag. 393).

P.23.13. Să se determine curbele de transfer  $v_2 = f(v_1)$  și  $v_3 = f(v_1)$  pentru circuitul cu cuplaj pe emitor din fig. 23.24 și să se verifice că acesta are niveluri logice de intrare și de ieșire compatibile. Se va presupune că în starea de conducție  $v_{BE} = 0,75\text{ V}$ . Se va folosi reprezentarea pozitivă, cu  $V_0 = -1,6\text{ V}$ ,  $V_1 = -0,75\text{ V}$ .

P.23.14. Să se recalculeze rezerva de tensiune a circuitului din fig. 23.4, presupunînd că bazele tranzistoarelor sînt conectate la o tensiune negativă de alimentare  $V_R$  prin rezistențele  $R_{B2}$ . Să se compare rezultatul cu ecuația (23.4) și să se comenteze.

P.23.15. Această problemă se referă la circuitul din fig. 23.29,

a) Observînd că atunci cînd  $V_{GS} = v_{DS}$  curentul de drenă al unui tranzistor cu canal indus, pentru care tensiunea de strîngulare este zero, poate fi scris ca:

$$i_D = Kv_D^2,$$

să se estimeze  $K$  pentru circuitul ale cărui caracteristici de drenă sînt date în fig. 23.29, b.

b) Să se deducă o expresie pentru caracteristica de sarcină din fig. 23.29, b folosind relația de la a).

c) Să se calculeze și să se reprezinte grafic (la scară) caracteristica de transfer care leagă  $v_0$  de  $v_1$ .

CAPITOLUL 24

CIRCUITE DE COMUTAȚIE CU MAI  
MULTE ETAJE REGENERATIVE

## CIRCUITE DE COMUTAȚIE CU MAI MULTE ETAJE REGENERATIVE

- 24.1. Circuite de comutație regenerative bistabile
  - 24.1.1. Circuitul basculant bistabil de bază
  - 24.1.2. Considerații privind stabilitatea
  - 24.1.3. Analiza celor două stări stabile
  - 24.1.4. Calculul factorului de transmisie incremental al buclei de reacție
  - 24.1.5. Condițiile realizării stărilor stabile
  - 24.1.6. Viteza de comutație
  - 24.1.7. Considerații privind comanda basculării
  - 24.1.8. Alte circuite basculante bistabile
- 24.2. Circuite basculante monostabile
  - 24.2.1. Circuitul basculant monostabil de bază
  - 24.2.2. Alte circuite basculante monostabile
  - 24.2.3. Condițiile comportării monostabile
- 24.3. Circuite basculante astabile
  - 24.3.1. Circuitul basculant astabil cu cuplaje încrucișate
  - 24.3.2. Circuitul basculant astabil cu cuplaj pe emitor
  - 24.3.3. Condițiile funcționării în regim astabil
- 24.4. Demonstrație experimentală de curs
  - Bibliografie
  - Probleme

## Circuite de comutație cu mai multe etaje regenerative

### 24.1. CIRCUITE DE COMUTAȚIE REGENERATIVE BISTABILE

Circuitele de comutație examinate pînă în prezent se caracterizau prin faptul, că strea lor instantanee, prin urmare valorile instantanee ale variabilelor de ieșire, erau determinate exclusiv de variabilele de intrare existente în momentul considerat. Cu alte cuvinte, cu excepția întârzierilor în timpul regimului tranzitoriu asociat cu procesele dinamice de schimbare a stărilor, semnalul de la ieșirea unui circuit de comutație neregenerativ are o valoare bine determinată pentru o valoare dată a semnalului (sau semnalelor) de intrare în acel moment.

Să ne îndreptăm acum atenția asupra circuitelor de comutație *regenerativă*, caracterizate, în mare, prin faptul că semnalul într-un nod oarecare este determinat, în parte, atît de variabilele de ieșire, cît și de cele de intrare. Aceasta înseamnă, că semnalul de la ieșirea circuitului este transmis spre intrare și combinat cu semnalul de intrare, așa încît circuitul prezintă o cale de reacție pozitivă. Această reacție poate fi produsă prin intermediul conectării exterioare a ieșirii unui amplificator cu intrarea acestuia, cît și prin mecanismul de reacție internă specific tranzistoarelor, cum ar fi amplificarea în avalanșă. Cu toate acestea, conceptul de reacție pozitivă constituie o caracteristică care grupează toate circuitele de comutație regenerative.

Așa cum vom vedea, ca o consecință a prezenței reacției pozitive, aceste circuite au ieșiri care depind nu numai de valorile instantanee ale semnalelor de intrare, ci și de evoluția anterioară a acestora. Prin urmare, circuitele de comutație regenerativă au proprietatea de a memora, ceea ce le face foarte utile în practică.



În această secțiune sînt examinate, pe exemplu circuitelor basculante bistabile, problemele principale care intervin în analiza și calculul circuitelor de comutație regenerative: condițiile ce trebuie să le îndeplinească circuitul pentru a face posibilă regenerarea, calculul vitezei de comutație, condițiile de comandă a basculării. Circuitele basculante monostabile și astabile sînt discutate în § 24.2 și 24.3.

#### 24.1.1. Circuitul basculant bistabil de bază

În § 23.2.5 am studiat caracteristica statică de transfer a două inversoare conectate în cascadă. În fig. 24.1, *a* și fig. 24.1, *b* se redau, pentru comoditate, circuitul și forma generală a caracteristicii. Circuitul prezintă o proprietate interesantă care poate fi ușor înțeleasă, examinînd caracteristica de transfer; această caracteristică constă în faptul că tensiunea de ieșire  $v_3$  este egală cu tensiunea  $v_1$  într-un punct al fiecăreia dintre stările de saturație. Această împrejurare sugerează posibilitatea unei experiențe interesante. Ce se va întîmpla dacă vom conecta ieșirea la intrare și vom îndepărta în același timp sursa de semnal de la intrare? Circuitul își va crea singur semnalul de intrare și va menține oricare dintre stările în care găsea în momentul realizării conștiinții. În acest fel circuitul are proprietatea de *memorie*.

Pentru a examina mai detaliat această proprietate nouă, vom interconecta ieșirea tranzistorului  $T_2$  și intrarea tranzistorului  $T_1$  prin intermediul unei surse de tensiune  $e_{trig}$  după cum se arată în fig. 24.1, *c*. Pentru a simplifica analiza vom admite că intrarea circuitului nu reprezintă în mod esențial o sarcină pentru ieșirea acestuia ( $R_B \gg R_L$ ). Prin conectarea ieșirii la intrare, am impus circuitului din fig. 24.1, *a* o condiție liniară:

$$v_1 = v_3 + e_{trig}, \quad (24.1)$$

unde  $e_{trig}$  este un semnal de comandă care poate fi folosit pentru a forța circuitul să-și schimbe starea. Această condiție, reprezentată împreună cu funcția de transfer în fig. 24.1, *b*, conduce la apariția unui punct de funcționare  $A_1$ , în care tranzistorul  $T_2$  este blocat, iar  $T_1$  — saturat. Dacă  $e_{trig}$  este redus la zero, linia care reprezintă condiția impusă intersectează caracteristica de transfer în punctul de funcționare  $A_2$ . În această situație,  $T_2$  rămîne blocat,  $T_1$  este în continuare saturat, iar  $v_3 = V_C$ . În continuare, dacă  $e_{trig}$  devine suficient de negativ, dreapta  $v_1 = v_3 + e_{trig}$  nu va mai intersecta caracteristica de transfer la  $v_3 = V_C$ , ci la  $v_3 = 0$ . Astfel, circuitul își schimbă brusc starea într-un punct de funcționare  $B_1$ , în care  $T_2$  este saturat iar  $T_1$  este blocat. Dacă  $e_{trig}$  redevine acum egal cu zero, circuitul nu și schimbă starea, așa că de această dată, pentru  $e_{trig} = 0$ , punctul de funcționare este în  $B_2$ , iar  $v_3 = 0$ . Așadar, ca răspuns la un impuls negativ de tensiune de comandă, circuitul și-a schimbat

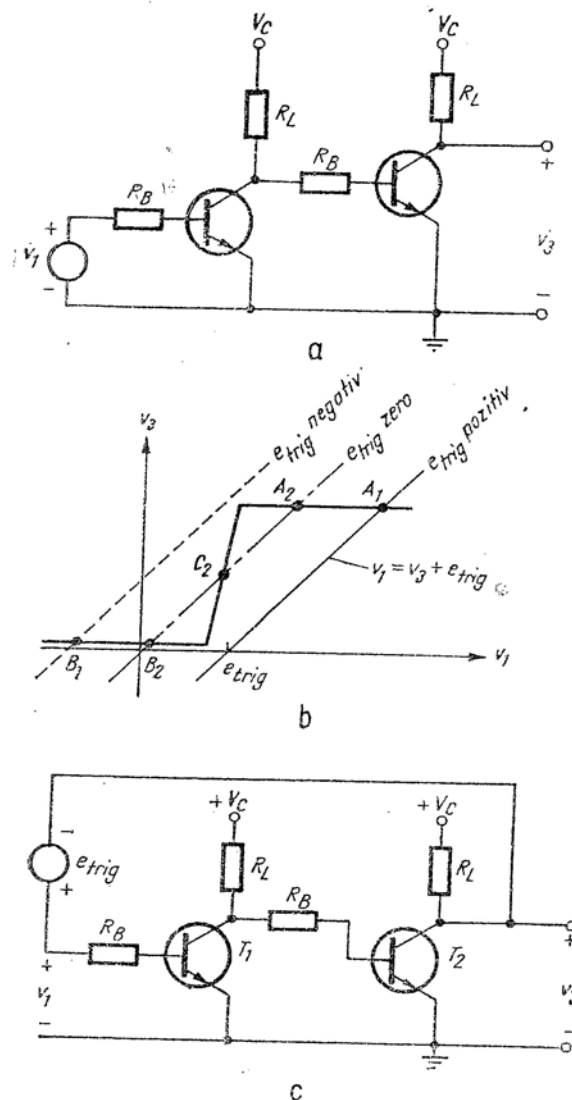


Fig. 24.1. Obținerea circuitului basculant bistabil din două inversoare conectate în cascadă.

starea. Se poate trage concluzia că circuitul din fig. 24.1, *c* are două stări stabile putînd fi determinat să basculeze dintr-o stare stabilă în alta prin aplicarea unui impuls de comandă adecvat. Acest circuit se utilizează pe scară largă în tehnica impulsurilor și în sistemele digitale.

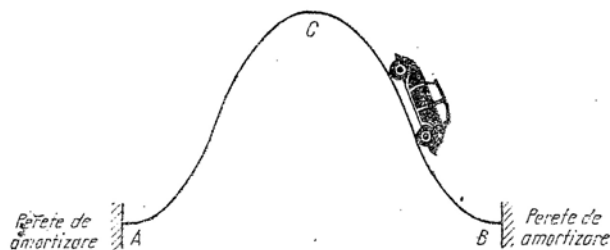


Fig. 24.2. Analogie mecanică pentru circuitul basculant bistabil.

Înțelegerea considerațiilor impuse mai sus poate fi ușurată cu ajutorul unei analogii mecanice simple. În fig. 24.2 este reprezentată o pistă cu două pante opuse, limitată la capete prin pereți de amortizare. Este evident că automobilul care s-ar deplasa pe o astfel de pistă are două puncte de echilibru: A și B. Dacă automobilul se găsește în punctul A, el poate fi forțat „să-și schimbe starca” în punctul B, prin aplicarea unui impuls de comandă care să-i comunice o energie suficientă pentru depășirea punctului de cotă maximă C.

### 24.1.2. Considerații privind stabilitatea

Condițiile necesare pentru realizarea unei comportări în regim bistabil pot fi explicate în modul cel mai rațional cu ajutorul caracteristicii de transfer din fig. 24.1, *b*. Dacă  $e_{triq} = 0$ , funcția  $v_3 = f(v_1)$  și relația liniară  $v_1 = v_3$  prezintă trei puncte de intersecție (cele trei puncte de funcționare posibile sînt notate cu  $A_2$ ,  $B_2$ ,  $C_2$ ). Am arătat mai sus că punctele de funcționare  $A_2$  și  $B_2$  sînt stabile, în sensul că dacă circuitul se găsește dintr-unul din aceste puncte, el va rămîne în acea stare un timp oricît de îndelungat, în ipoteza că nu intervine o tensiune care să comande bascularea. Aceste două puncte de funcționare sînt plasate în porțiunile plate ale caracteristicii de transfer, care corespund funcționării unuia dintre cele două tranzistoare în afara regiunii active. În consecință, factorul incremental de transfer pe bucla de reacție este nul în fiecare dintre aceste puncte, ceea ce înseamnă că nu există reacție pozitivă.

Punctul  $C_2$  din fig. 24.1, *b* corespunde funcționării ambelor tranzistoare în regiunea activă; în această situație, partea amplificatoare a circuitului prezintă o *amplificare pozitivă* importantă, ceea ce conduce la existența

unei *reacții pozitive* caracterizată printr-o valoare supraunitară a modului factorului de transfer pe bucla de reacție. Am văzut în cap. 19 care sînt implicațiile întrunirii acestor condiții. Circuitul care se găsește în această stare are un pol în semiplanul drept, iar punctul de funcționare este *instabil*.

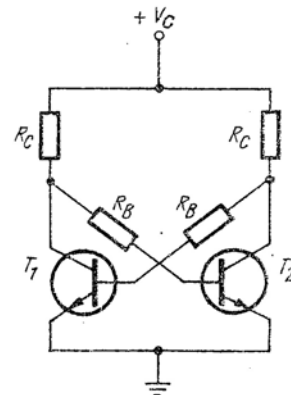


Fig. 24.3. Circuit basculant bistabil simetric.

Orice deviație mică, față de poziția de echilibru în acest punct va determina, prin urmare, un proces tranzitoriu care se amplifică în timp, conducînd sistemul departe de punctul  $C_2$ , într-un sens sau altul. Punctul  $C_2$  în fig. 24.1, *b* este, așadar *instabil*, așa cum era punctul C în fig. 24.2; sistemele considerate nu se pot găsi niciodată în echilibru în aceste puncte.

Ajungem, în acest fel, la concluzia că dispunem de două metode de a determina dacă un circuit ca cel din fig. 24.1, *c* este bistabil și de a orienta calculul unei asemenea structuri. În primul rînd, putem căuta direct existența a două stări stabile. În fiecare din ele cel puțin un tranzistor găsindu-se în afara regiunii active. Dacă aceste stări există, circuitul va avea proprietatea de bistabilitate. În al doilea rînd, putem analiza circuitul ca un amplificator cu două etaje cu reacție pozitivă, verificînd proprietatea de bistabilitate prin calculul factorului de transfer pe bucla de reacție *T* cu ambele tranzistoare active, după ce ne-am convins în prealabil că o astfel de stare de funcționare există. Condiția necesară pentru existența regiunii de bistabilitate este ca mărimea *T* să fie supraunitară. Aceste două metode de verificare a existenței bistabilității se ilustrează de exemplu pe circuitul din fig. 24.3 care conține schema din fig. 24.1, *c* redescenată într-o manieră convențională.

### 24.1.3. Analiza celor două stări stabile

Intrucît circuitul din fig. 24.3 este simetric și deoarece presupunem, pentru simplitate, că tranzistoarele sînt identice, vom căuta numai una.

dintre cele două stări stabile; cealaltă stare rezultă din simetria circuitului. Vom admite la început că tranzistorul  $T_1$  este blocat și vom găsi condițiile necesare pentru valabilitatea acestei presupunerii. Dacă  $T_1$  este blocat curentul de bază al tranzistorului  $T_2$  este:

$$i_{B2} = \frac{V_C - v_{BE}}{R_C + R_B} \quad (24.2)$$

Curentul de colector al tranzistorului  $T_2$  este:

$$i_{C2} = \frac{V_C - v_{CE}}{R_C} \quad (24.3)$$

Configurația circuitului ne asigură că, în cazul folosirii unor tranzistoare cu siliciu,  $T_1$  va fi menținut blocat — în acord cu presupunerea noastră inițială — dacă  $T_2$  este saturat, deoarece  $v_{CE}$  la saturație este mai mic decât  $v_{BE}$  la pragul de intrare în conducție. Saturarea tranzistorului  $T_2$  este realizată dacă:

$$i_{B2} > \frac{i_{C2}}{\beta_F} \quad (24.4)$$

cu alte cuvinte dacă:

$$\frac{V_C - v_{BE}}{R_C + R_B} > \frac{V_C - v_{CE}}{\beta_F R_C} \quad (24.5)$$

Adesea tensiunea de alimentare  $V_C$  este sensibil mai mare decât valorile la saturație ale mărimilor  $v_{BE}$  și  $v_{CE}$ . În aceste condiții, relația (24.5) devine:

$$\beta_F > \frac{R_C + R_B}{R_C} \quad (24.6)$$

Astfel, dacă inegalitatea (24.6) este îndeplinită, presupunerea inițială (potrivit căreia  $T_2$  este blocat) este justificată, iar existența a două stări stabile asigurată. Dacă se folosesc tranzistoare cu germaniu, mai ales la temperaturi înalte, diferența între  $V_{CE}(\text{sat})$  și  $v_{BE}$  la limita de conducție poate fi prea mică pentru a realiza o funcționare sigură. Prin urmare, în asemenea circuite baza este deseori conectată la o tensiune de polarizare (negativă pentru tranzistoarele  $nnp$ ), care garantează că joncțiunea de emitor a unui tranzistor este blocată, cînd al doilea tranzistor este saturat.

#### 24.1.4. Calculul factorului de transmisie incremental al buclei de reacție

Pentru a verifica condițiile de bistabilitate de pe poziția teoriei circuitelor cu reacție, vom calcula valoarea absolută a factorului de transfer pe bucla de reacție cu ajutorul modelului incremental (de semnal mic) al circuitului, arătat în fig. 24.4, *a* (trebuie, desigur, să arătăm mai întâi că, în condițiile de polarizare din fig. 24.3, funcționarea cu ambele tranzistoare în regiunea activă este efectiv posibilă). Întucit nu analizăm acum viteza procesului de comutare în regim de regenerare, modelele care reprezintă tranzistoarele conțin numai paramaterii rezistivi  $g_m$  și  $r_\pi$ .

Circuitul poate fi privit ca un amplificator cu reacție nod — nod, în care semnalul de ieșire care apare la terminalele  $o-o'$  este transferat la terminalele de intrare  $i-i'$  prin admitanța de reacție  $1/R_B$ . Pentru a accentua acest punct de vedere, în fig. 24.4 *a* sînt delimitate circuitul amplificator și circuitul de reacție. Menționăm totuși că, în absența unei surse de semnal la intrare, acest mod de delimitare a componentelor rețelei de reacție este intrucitva arbitrar.

Cu ajutorul fig. 24.4, *a* poate fi calculat factorul de transfer pe bucla de reacție, folosind metodele standard expuse în cap. 18. În acest scop, întrerupem circuitul de reacție la terminalele de intrare și, totodată, așa cum se arată în fig. 24.4, *b* ținem seamă de efectul de încărcare exercitat de circuitul de reacție la terminalele de intrare ale părții amplificatoare a schemei prin introducerea rezistenței  $R_B$  în paralel cu  $r_{\pi 1}$ . Factorul de transfer pe bucla de reacție se definește ca:

$$T = \frac{I_i}{I_i} \quad (24.7)$$

Dacă  $|T|$  este mai mare decât 1, circuitul este bistabil<sup>1)</sup>.

După cum s-a arătat, modul în care am ales „partea amplificatoare” a schemei analizate și „circuitul de reacție” este oarecum arbitrar în raport cu terminalele de intrare  $i-i'$ . Prin urmare, sînt posibile și alte variante de alegere a „intrării”, care conduc la variante diferite de calcul al factorului de transfer pe bucla de reacție. În fond, factorul de transfer pe bucla de reacție poate fi calculat, prin întreruperea buclei, în orice punct arbitrar al ei, fără să mai identificăm în vreun fel terminalele de intrare. Amplificarea de tensiune sau amplificarea de curent se determină după întreruperea buclei în punctul ales, după ce la terminalele de ieșire ale amplificatorului rezultat s-a introdus o rezistență pentru simularea efectului de încărcare la aceste terminale, în situația în care bucla de reacție era închisă. De fapt noi încercăm să determinăm capacitatea ampli-

<sup>2</sup> Folosind notația din cap. 19, reacția pozitivă la frecvențe mijlocii implică egalitatea  $T = 180^\circ$ . Astfel, singura condiție suplimentară necesară pentru instabilitate este  $|T| > 1$ .

ficatorului din fig. 24.4, a de a debita la ieșire o putere suficientă pentru alimentarea propriei sale intrări. În acest fel, dacă se ține seamă în mod corect de efectele de încărcare, putem verifica instabilitatea circuitului arătând că, fie amplificarea de tensiune pe bucla de reacție, fie amplificarea de curent sau cea de putere, este mai mare decât 1.

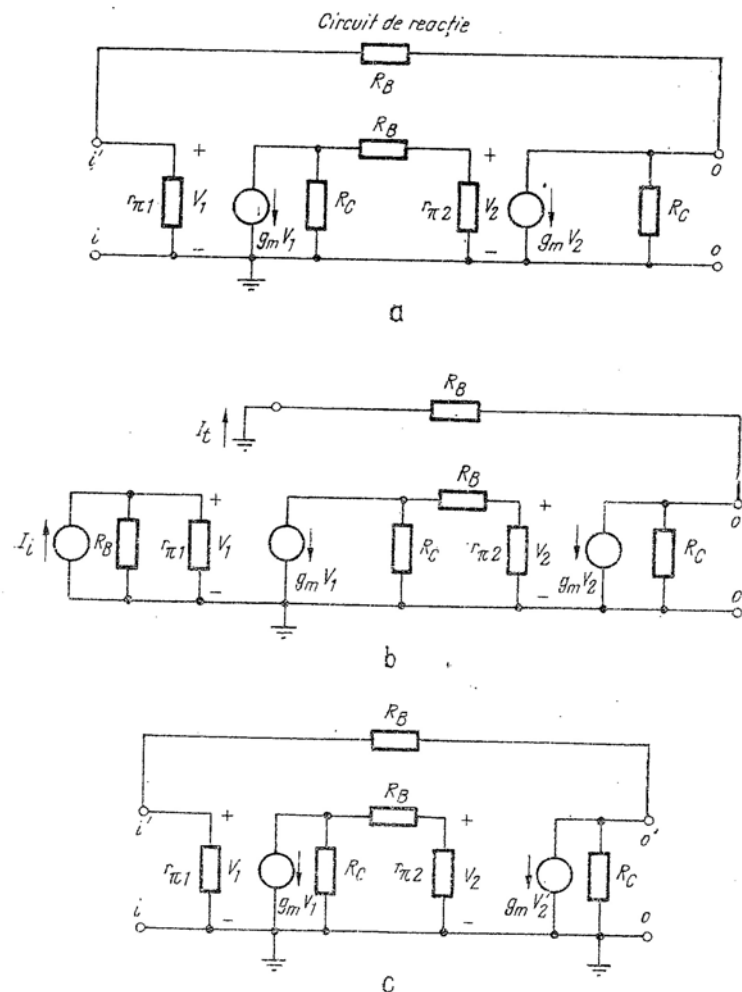


Fig. 24.4. Calculul factorului de transfer pe bucla de reacție pentru circuitul din fig. 24.3.

a — model pentru semnal mic; b — model pentru calculul factorului de transfer pe bucla de reacție; c — întreruperea buclei de reacție în ipoteza că sursa  $g_{m2} V_2$  este independentă.

O procedură comodă pentru a calcula factorul de transfer pe bucla de reacție, avînd la bază analiza de mai sus, constă în a întrerupe bucla într-un punct, în care rezistența „de ieșire” a buclei întrerupte este fie foarte înaltă, fie foarte redusă; evident, în acest fel efectele de încărcare sînt minime. De exemplu, în fig. 24.4, c bucla de reacție este întreruptă în vecinătatea celei de a doua surse de curent dependent. Vom presupune că  $g_{m2} V_2$  este o sursă independentă și vom calcula modulul factorului de transfer pe bucla de reacție:

$$|T| = \left| \frac{V_2}{V_1} \right|. \quad (24.8)$$

Dacă bucla este întreruptă în acest mod, nu apare nici o schimbare în încărcarea circuitului. Factorul de transfer pe bucla de reacție are expresia:

$$|T| = \left| \frac{V_2}{V_1} \right| = \left( \frac{g_{m2} R_C}{R_C + r_{\pi 1} + R_B} \right) r_{\pi 1} \left( \frac{g_{m1} R_C}{R_C + r_{\pi 2} + R_B} \right) r_{\pi 2}. \quad (24.9 a)$$

(v. problemele P 24.1 și P 24.2). Dacă  $r_{\pi}$  este mic față de  $R_B + R_C$  (această aproximație este valabilă dacă ambele tranzistoare se găsesc într-un regim de conducție suficient de pronunțat, însă nu mai este corectă atunci cînd unul din tranzistoare funcționează într-un regim apropiat de blocare), relația (24.9 a) devine:

$$|T| = \left| \frac{V_2}{V_1} \right| = \left( \frac{\beta_o R_C}{R_C + R_B} \right)^2. \quad (24.9 b)$$

Condiția ca factorul de transfer pe bucla de reacție să fie mai mare decât 1, dată de relația (24.9 b), este identică cu cea din ecuația (24.6), pentru existența celor două stări stabile, în ipoteza că  $\beta_o$  este aproximativ egal cu  $\beta_F$ .

#### 24.1.5. Condițiile realizării stărilor stabile

Putem acum rezuma condițiile necesare și suficiente care asigură funcționarea în regim bistabil a unui circuit basculant:

1. O condiție necesară și suficientă pentru funcționarea în regim bistabil este existența a două stări stabile, de curent continuu, ale circuitului, în fiecare din acestea cel puțin un tranzistor găsindu-se în afara regiunii active.

2. O altă condiție necesară și suficientă pentru bistabilitate reclamă ca valoarea absolută a factorului de transfer incremental pe bucla de reacție, cu ambele tranzistoare funcționând în regiunea activă, să fie mai mare decât 1 la frecvențe joase, într-unul din punctele posibile de funcționare statică (acest punct de funcționare va fi astfel instabil).

Cînd se aplică a doua condiție de mai sus, este important să se verifice de asemenea dacă unul dintre tranzistoare este efectiv saturat în punctele  $A_2$  și  $B_2$  din fig. 24.1. Dacă această condiție nu este îndeplinită, procesul de regenerare se poate încheia, înainte ca vreunul dintre dispozitive să iasă din regiunea activă. Deși un asemenea circuit este bistabil într-un sens formal, semnalele sale de ieșire vor fi mai slab cuantificate, iar funcționarea sa va depinde critic de parametrii tranzistoarelor.

#### 24.1.6. Viteza de comutație

Proprietățile dinamice ce caracterizează tranzițiile regenerative între stările stabile ale circuitului basculant bistabil sînt determinate, în principal, de limitările de viteză ale tranzistoarelor. Calculul intervalului de comutare ce începe din momentul în care un impuls de comandă forțează sistemul să intre în regiunea activă — în care factorul de transfer pe bucla de reacție are o valoare mare — și se încheie cînd unul din tranzistoare părăsește regiunea activă, conduce la o problemă de analiză neliniară suficient de complicată pentru a face necesare calcule numerice asistate de calculator, mai ales dacă în analiză sînt luate în considerație și efectele sarcinii de volum. Cu toate acestea ne putem face o imagine suficient de apropiată de realitate asupra parametrilor care influențează viteza de comutare, analizînd circuitul din fig. 24.5, *a*; după cum se arată în fig. 24.5, *b*, în analiză se folosește un model simplificat care neglijează efectele capacitive datorite sarcinii electrice de volum. Dacă scriem două ecuații pe contur pentru circuitul analizat, obținem:

$$V_C = (i_{C1} + i_{B2})R_C + i_{B2}R_B - v_{EB2} \quad (24.10 \text{ a})$$

$$V_C = (i_{C2} + i_{B1})R_C + i_{B1}R_B - v_{EB1} \quad (24.10 \text{ b})$$

Ecuațiile date de metoda sarcinii pentru tranzistorul  $T_1$ , în ipoteza funcționării acestuia în regiunea activă și a neglijării mărimilor  $q_{FE}$  și  $q_{VO}$  sînt:

$$i_{C1} = \frac{q_{F1}}{\tau_F} \quad (24.11 \text{ a})$$

$$i_{B1} = \frac{q_{F1}}{\tau_{BF}} + \frac{dq_{F1}}{dt} \quad (24.11 \text{ b})$$

După ce eliminăm mărimea  $q_{F1}$  între cele două ecuații de mai sus ajungem la relația:

$$i_{B1} = \frac{i_{C1}}{\beta_F} + \tau_F \frac{di_{C1}}{dt} \quad (24.12 \text{ a})$$

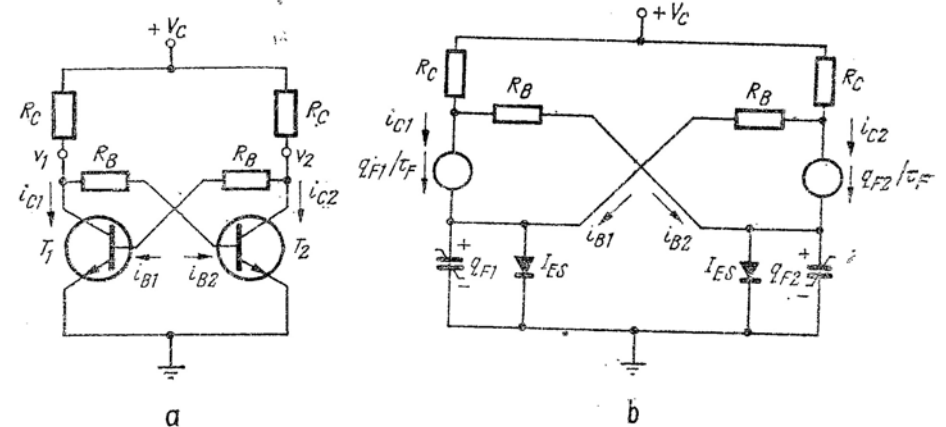


Fig. 24.5. Calculul timpului de răspuns pentru un circuit regenerativ: *a* — circuitul; *b* — modelul cu parametrii conectați prin sarcină, pentru regiunea activă.

În mod similar, pentru tranzistorul  $T_2$  putem scrie:

$$i_{B2} = \frac{i_{C2}}{\beta_F} + \tau_F \frac{di_{C2}}{dt} \quad (24.12 \text{ b})$$

Introducînd ultimele relații în ecuațiile (24.10) și presupunînd că tensiunile  $v_{EB1}$  și  $v_{EB2}$  sînt aproape egale și practic constante (deoarece ambele tranzistoare funcționează în regiunea activă) obținem:

$$Ai_{C1} + i_{C2} + \tau_{BF} \frac{di_{C2}}{dt} = I \quad (24.13 \text{ a})$$

$$i_{C1} + Ai_{C2} + \tau_{BF} \frac{di_{C1}}{dt} = I \quad (24.13 \text{ b})$$

în care

$$A = \frac{\beta_F R_C}{R_C + R_B} \quad (24.14)$$

și

$$I = \beta_F \left( \frac{V_C + v_{EB}}{R_C + R_B} \right). \quad (24.15)$$

Mărirea  $A$  este evident amplificarea statică de curent pentru fiecare dintre etaje. Expresia cuprinsă în paranteze în relația (24.15) reprezintă curentul de bază în regim staționar al unuia dintre tranzistoare, când celălalt tranzistor este blocat. În acest fel, constanta  $I$  este valoarea finală a curentului de colector, dacă regimul tranzitoriu a luat sfârșit fără a interveni o schimbare de stare.  $I$  este, cu alte cuvinte, valoarea curentului de colector, spre care tinde  $i_C$ . Observăm că, datorită aproximațiilor făcute, ecuațiile (24.13) sînt ecuații diferențiale liniare de ordinul întâi.

Pentru a găsi frecvențele naturale, vom presupune că  $i_{C1}$  și  $i_{C2}$  sînt exponențiale complexe, ceea ce ne conduce la următoarele relații pentru amplitudinile complexe:

$$AI_{C1} + I_{C2}(1 + s\tau_{BF}) = I \quad (24.16 a)$$

$$I_{C1}(1 + s\tau_{BF}) + AI_{C2} = I. \quad (24.16 b)$$

Ecuația caracteristică se obține din ecuația omogenă rezultată atunci cînd ambele părți drepte ale relațiilor (24.16) sînt egalate cu zero. Forma ecuației caracteristice este:

$$A^2 - (1 + s\tau_{BF})^2 = 0, \quad (24.17)$$

iar frecvențele naturale sînt date de:

$$s_1 = \frac{-1 + A}{\tau_{BF}} \quad (24.18 a)$$

$$s_2 = \frac{-1 - A}{\tau_{BF}}. \quad (24.18 b)$$

Frecvența naturală  $s_2$  se găsește întotdeauna în semiplanul stîng. Vom nota însă că, dacă amplificarea de curent  $A$  este mai mare decît unitatea (aceasta a fost condiția inițială pentru bistabilitate)  $s_1$  este plasat în semiplanul drept. Dacă valoarea mărimii  $s_2$  dată de relația (24.18 b) este introdusă în oricare din ecuațiile (24.16) (după ce în prealabil partea dreaptă a fost anulată), se va observa că modul caracteristic asociat cu polul  $s_2$  din semiplanul stîng este descris de egalitatea:

$$I_{C1} = I_{C2}. \quad (24.19 a)$$

Cu alte cuvinte, componentele curentului de colector, care corespund acestui mod simetric de funcționare, se micșorează, ambele, exponențial în timp. Pe de altă parte, modul asociat cu polul  $s_1$  din semiplanul drept, este asimetric, fiind caracterizat de:

$$I_{C1} = -I_{C2}. \quad (24.19 b)$$

Componentele curentului de colector ce corespund acestui mod variază, prin urmare, în contratimp, valoarea lor absolută fiind crescătoare. Aceasta corespunde situației fizice, în care un curent de colector crește exponențial spre saturație, pe cînd celălalt curent de colector se micșorează exponențial, apropiindu-se de regimul de blocare. În acest fel, modul antisimetric este caracteristic tranziției între stări.

Să admitem acum, că factorul de transfer pe bucla de reacție  $A$ , este mult mai mare decît unitatea; din ecuațiile (24.18) și (24.19) se determină soluțiile complete omogene pentru curenții de colector ca funcție de timp, în forma:

$$i_{C1} = K_1 e^{At/\tau_{BF}} + K_2 e^{-At/\tau_{BF}} \quad (24.20 a)$$

$$i_{C2} = -K_1 e^{At/\tau_{BF}} + K_2 e^{-At/\tau_{BF}}. \quad (24.20 b)$$

În fiecare ecuație, primul termen prevalează față de al doilea în fiecare tranziție, fiind crescător în timp, pe cînd al doilea termen scade spre zero. Prima concluzie la care ajungem este, așadar, că potrivit relațiilor (24.20), o comutare rapidă reclamă ca  $\tau_{BF}$  să fie mic iar factorul de transfer pe bucla de reacție  $A$  să fie mare. Viteza de comutare a unui circuit bistabil poate fi crescută prin conectarea unor capacități de accelerare în paralel cu rezistențele de cuplaj între colectoare și baze. Prezența capacităților conduce la valori mai înalte ale factorului de transfer pe bucla de reacție pentru variații rapide ale mărimilor electrice, ceea ce face posibile modificări mai accelerate ale sarcinii electrice înmagazinate în interiorul tranzistoarelor.

#### 24.1.7. Considerații privind comanda basculării

Un circuit basculant bistabil poate fi determinat să schimbe starea în care se găsește, prin intermediul unui simplu impuls de comandă, care antrenează ambele tranzistoare în regiunea activă. Ducînd mai departe analiza anterioară, putem afla cît trebuie să fie de pronunțată intrarea tranzistoarelor în regiunea activă pentru a garanta schimbarea stării circuitului. În primul rînd, vom găsi soluția particulară a ecuațiilor (24.16), făcînd  $s = 0$ , rezultatul obținut fiind:

$$I_{C1} = I_{C2} = \frac{I}{A + 1} = \frac{V_C + v_{EB}}{\beta_F R_C + R_C + R_B}. \quad (24.21)$$



Relațiile de mai sus ne dau punctul de echilibru nestabil al circuitului, adică intersecția  $O_2$  din regiunea activă, fig. 24.1 (v. problema P 243). Soluțiile complete care dau dependența de timp a curenților de colector sînt, așadar,

$$i_{c1} = \frac{I}{A+1} + K_1 e^{s_1 t} + K_2 e^{s_2 t}. \quad (24.22 \text{ a})$$

$$i_{c2} = \frac{I}{A+1} - K_1 e^{s_1 t} + K_2 e^{s_2 t}. \quad (24.22 \text{ b})$$

Constantele  $K_1$  și  $K_2$  din ultimele ecuații se pot determina cu ajutorul condițiilor inițiale pentru curenții de colector. Aceste valori inițiale, pe care le notăm cu  $I_{C1i}$  și  $I_{C2i}$ , pot fi realizate independent prin aplicarea unor semnale de comandă rațional alese. Egalînd  $i_c$  cu  $i_{Ci}$  în ecuațiile (24.22) și luînd  $t = 0$ , ceea ce corespunde momentului în care impulsul de comandă a realizat condițiile inițiale, putem găsi constantele  $K_1$  și  $K_2$ :

$$K_1 = \frac{I_{C1i} - I_{C2i}}{2} \quad (24.23 \text{ a})$$

$$K_2 = \frac{I_{C1i} + I_{C2i}}{2} - \frac{I}{A+1}. \quad (24.23 \text{ b})$$

Putem acum determina condițiile inițiale pentru curenții de colector, condiții care asigură schimbarea stărilor circuitului. Observăm mai întîi că independent de condițiile inițiale, funcția exponențială crescătoare asociată cu  $s_1$  va fi întotdeauna predominantă în soluție. Prin urmare, ne vom concentra atenția numai asupra termenilor exponențiali crescători din ecuațiile (24.22):

$$i_{C1}(\text{crescător}) = \frac{I_{C1i} - I_{C2i}}{2} e^{s_1 t}. \quad (24.24 \text{ a})$$

$$i_{C2}(\text{crescător}) = \frac{I_{C2i} - I_{C1i}}{2} e^{s_1 t}. \quad (24.24 \text{ b})$$

Cele două relații de mai sus arată, pentru configurația simetrică analizată, că dacă  $I_{C1i}$  este mai mare decît  $I_{C2i}$ , atunci curențul  $i_{C1}$  are o componentă exponențială crescătoare pozitivă, pe cînd  $i_{C2}$  are o componentă exponențială negativă; afirmația reciprocă este de asemenea adevărată.

Aceasta înseamnă că, dacă tranzistorul  $T_1$  este inițial blocat, circuitul simetric examinat trebuie astfel comandat, încît  $I_{C1i}$  să fie mai mare decît  $I_{C2i}$  pentru a asigura comutarea în cealaltă stare. În caz contrar, va exista un răspuns exponențial crescător, însă acesta va „crește” înapoi spre starea inițială (v. problemele P 24.4 și P 24.5). Deoarece am presupus

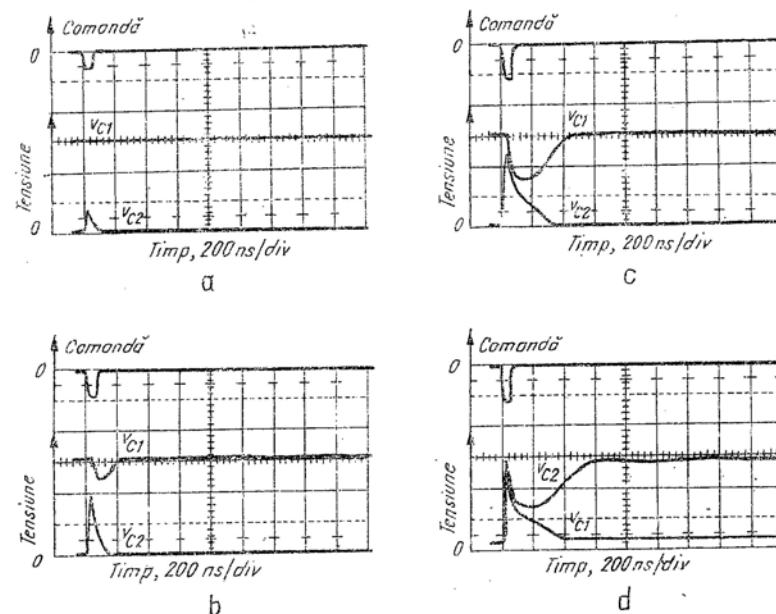


Fig. 24.6. Oscilogrammele tensiunilor de colector pentru un circuit basculant bistabil comandat. Succesiunea de oscilogramme arată efectul creșterii amplitudinii impulsului de comandă: a - numai un tranzistor este comandat din saturatie în regiunea activă, nu apare tranziție; b și c - ambele tranzistoare sînt comandate în regiunea activă dar nu apare tranziție; d - impulsul de comandă este suficient de mare pentru ca formele de undă să se intersecteze și să apară tranziția.

că  $i_c = q_F / \tau_F$ , condiția de comandă poate fi exprimată de asemenea prin intermediul sarcinilor din baze. Astfel, pentru a asigura trecerea tranzistorului  $T_1$  din regimul de blocare în saturatie, comanda trebuie făcută astfel, încît valoarea inițială a mărimii  $q_{F1}$  să fie mai mare decît valoarea inițială a mărimii  $q_{F2}$ . În fig. 24.6 sînt clar ilustrate fenomenele descrise, cu ajutorul oscilogramelor formelor de undă pentru un circuit bistabil comandat (detaliile privind circuitul se dau în § 24.4). În fiecare caz, în poziția superioară apare impulsul de comandă, cu o durată de aproximativ 75 ns. Celelalte două mărimi reprezentate sînt tensiunile de colector. În fig. 24.6, a, în regiunea activă intră un singur tranzistor; evident, în acest caz nu are loc o tranziție. În fig. 24.6, c și d



ambele tranzistoare sînt antrenate în regiunea activă. Cu toate acestea, în fig. 24.6, *b* și *c* nu apar tranziții, întrucît nu sînt îndeplinite condițiile inițiale exprimate mai sus: o examinare mai atentă a celor două figuri arată că formele de undă nu se intersectează.

Dacă privim mai îndeaproape fig. 24.6, *c*, constatăm că modul exponențial scăzător predomină în regimul tranzitoriu pe un interval ce durează aproximativ 75 ns după dispariția impulsului de comandă, ceea ce se ilustrează de faptul că cele două forme de undă au aceeași variație (v. ecuația 24.19 a). În restul regimului tranzitoriu domină modul exponențial crescător, iar cele două tensiuni diverg. Cu toate acestea, deoarece comanda a fost insuficientă, formele de undă se întorc la stările lor originale fără ca să apară tranziția.

Curbele din fig. 24.6, *d* reprezintă cazul în care impulsul de comandă a fost suficient de puternic pentru a provoca o tranziție. Observăm că formele de undă ale tensiunilor de colector se intersectează, fiind îndeplinite condițiile pentru  $I_{C1}$  și  $I_{C2}$ . Regimul tranzitoriu exponențial crescător este din nou predominant după 100 ns, dar de această dată formele de undă se deplasează față de poziția originală, apărînd o tranziție regenerativă.

Pe baza sau pe colectorul oricăruia dintre cele două tranzistoare pot fi aplicate impulsuri de comandă de polarități corespunzătoare, pentru a bloca, de exemplu, un tranzistor care se găsește în stare de conducție, sau pentru a deschide un tranzistor blocat. Un exemplu de comandă pe bază se prezintă în fig. 24.7, *a*. Dacă  $T_1$  conduce, circuitul poate fi comutat în cealaltă stare stabilă prin intermediul unui impuls negativ la intrarea *a*. Acest impuls de comandă trebuie să răspundă cîtorva cerințe. În primul rînd, amplitudinea și durata sa trebuie astfel alese, încît sarcina  $q_s$  acumulată în  $T_1$  (tranzistorul deschis) la saturație, să fie evacuată, iar  $q_{rs}$  să fie mai mare decît  $q_{r1}$  după cum s-a indicat mai sus. În al doilea rînd, impedanța circuitului care generează impulsul de comandă trebuie să fie suficient de înaltă, pentru ca efectul de încărcare pe care îl produce să nu reducă factorul de transfer pe bucla de reacție la o valoare subunitară. Deși circuitul își va schimba starea în asemenea condiții, el nu va comuta în maniera rapidă caracteristică basculării regenerative.

Dacă impulsurile de comandă sînt aplicate simultan pe ambele baze ale circuitului bistabil, apare o situație care poate fi ambiguă. După cum se arată în fig. 24.7, *b*, această ambiguitate poate fi evitată cu ajutorul unei soluții de circuit simplă. În adevăr, rezistențele  $R_1$  produc la catodii diodelor aferente celor două intrări potențiale care depind de starea circuitului; de exemplu, potențialul înalt al colectorului tranzistorului blocat polarizează invers — prin rezistența  $R_1$  — dioda conectată la baza acestuia, inhibînd în acest fel trecerea impulsului de comandă. Pe de altă parte, idoda conectată la baza tranzistorului deschis este ușor polarizată direct, așa încît un impuls de comandă aplicat la intrarea corespunzătoare diodei trece nestingherit.

Structura din fig. 24.7, *b* poate fi folosită pentru a realiza un numărător binar. Oele două intrări pot fi legate împreună astfel ca fiecare impuls de comandă (denumit în acest caz impuls de ceas) să determine schimbarea stării circuitului. În acest fel, ambele tensiuni de ieșire vor parcurge un

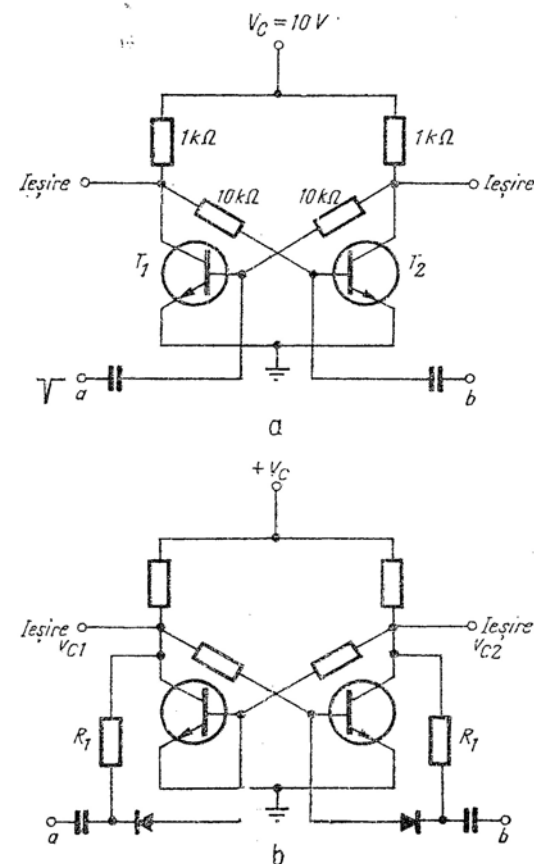


Fig. 24.7. Comanda circuitelor basculante bistabile.

ciclu întreg, odată pentru fiecare două impulsuri de ceas aplicate. Pentru a număra impulsuri în codul binar poate fi folosită conexiunea în cascadă a unor asemenea circuite.

## 24.1.3. Alte circuite basculante bistabile

Există, desigur, multe alte variante de circuite bistabile cu două tranzistoare. În fig. 24.8, *a* este arătată una dintre acestea, care face uz de proprietățile complementare ale tranzistoarelor *pnp* și *npn*. O stare stabilă a acestui circuit se caracterizează prin funcționarea ambelor tranzistoare în regim de conducție; în cealaltă stare stabilă, ambele tranzistoare sînt blocate (v. problema P 24.6). Circuitul este util, în particular, dacă aplicația în care se folosește reclamă ca schema să se găsească un timp mult mai îndelungat în starea de blocare decît în starea de conducție. Evident că în aceste condiții, puterea medie consumată poate fi făcută foarte mică.

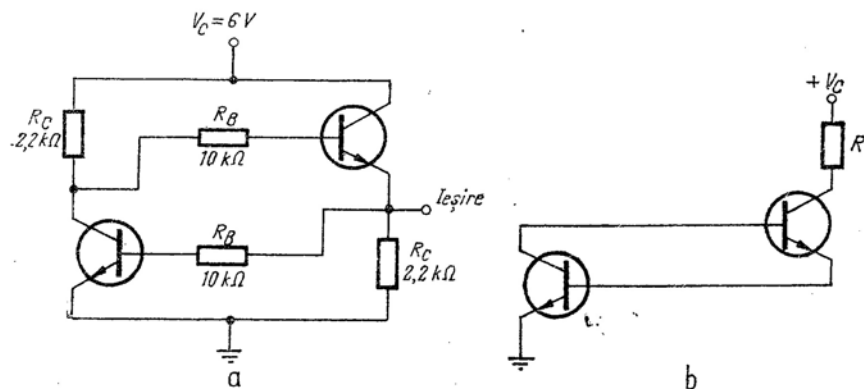


Fig. 24.8. Circuit basculant bistabil cu tranzistoare complementare.

Perechea de tranzistoare *pnp* — *npn* utilizată în circuitul din fig. 24.8, *a* poate fi realizată tehnologic într-o structură unică. Observăm, în primul rînd, că circuitul va continua să prezinte o comportare bistabilă, chiar dacă  $R_B$  devine nul iar  $R_C$  — infinit, deoarece schimbările în acest sens contribuie la creșterea factorului de transfer pe bucla de reacție. Singura problemă care apare constă în necesitatea de a adăuga o rezistență exterioară, ca în fig. 24.8, *b* pentru a limita curentul în starea de saturație.

Deoarece regiunea de colector a tranzistorului *pnp* și regiunea de bază a tranzistorului *npn* au conductivități de același tip și sînt interconectate, ele pot fi fabricate sub forma unui singur strat semiconductor, așa cum se arată în fig. 24.9. În mod similar, regiunea de bază a tranzistorului *pnp* și regiunea de colector a tranzistorului *npn* pot fi fabricate ca o singură zonă. Structura rezultată este cunoscută sub numele de diodă *pnpn* (diodă cu patru zone) sau, deoarece este realizată în mod obișnuit din siliciu,

sub denumirea de diodă redresoare controlată din siliciu (tiristor). Simbolul său convențional este prezentat în fig. 24.9.

Tiristorul se folosește de obicei ca un element de comutație între terminalele notate cu 1 și 2, numite anod, respectiv catod, starea elementului

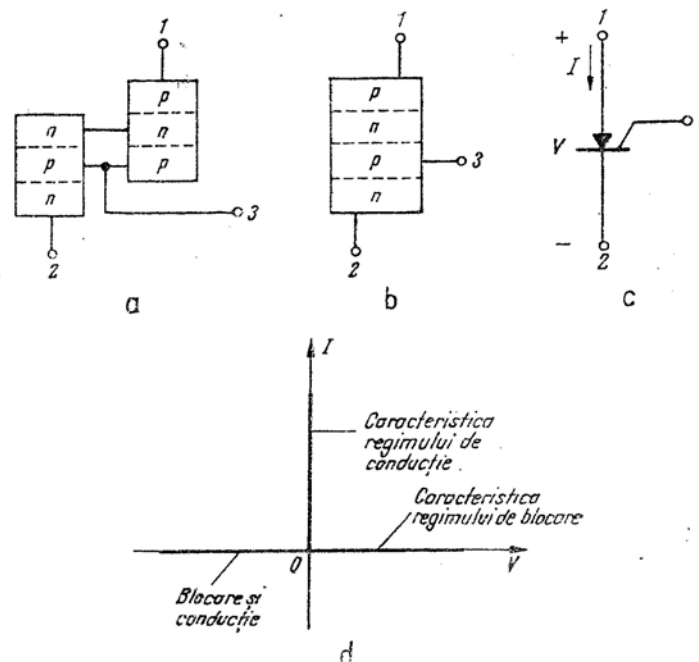


Fig. 24.9. Tiristorul:

*a* — pereche *npn* — *pnp*; *b* — structură cu patru straturi; *c* — simbolul de circuit; *d* — caracteristica statică  $V-I$ .

de comutație fiind controlată cu ajutorul unui impuls aplicat între terminalul 3, denumit poartă și catod. Caracteristica de intrare prezentată de diodă între anod și catod are forma din fig. 24.9, *d*. Cînd  $V$  este negativ și circuitul porții este întrerupt, nu există conducție iar  $I$  este nul. În această regiune joncțiunile porțiunii *pnp* ale structurii împiedică trecerea curentului. Cînd  $V$  devine pozitiv, tiristorul rămîne blocat pînă cînd un impuls pozitiv scurt va atrena ambele tranzistoare — *pnp* și *npn* — în saturație, acestea rămînînd saturate chiar și după ce impulsul dispăre. În acest fel, dispozitivul își schimbă starea de la situația de circuit întrerupt la cea de scurtcircuit și va conduce atît timp cît  $I$  este pozitiv. Această comportare este utilă în sursele de energie care trebuie să prezinte o tensiune variabilă (v. problema P 24.7).

În fig. 24.10 se arată un circuit bistabil fără saturație. În fond, acesta este un circuit cu cuplaj pe emitor, în care curentul constant care circulă prin  $R_E$  este comutat de la un tranzistor la altul. Rezistoarele  $R_1$  și  $R_2$  sînt

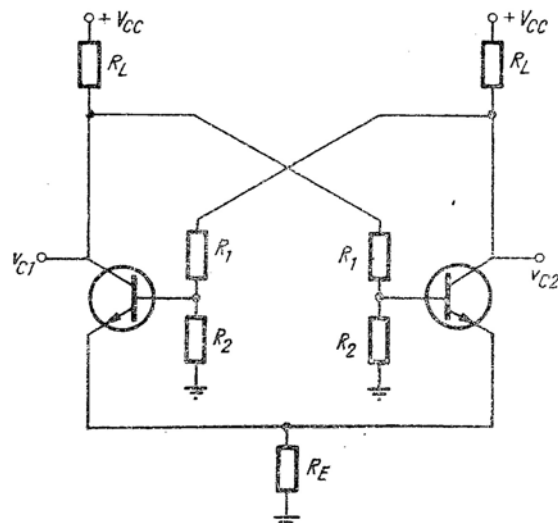


Fig. 24.10. Circuit basculant bistabil fără saturație (cu cuplaj prin emitor).

ajustate în așa fel, încît fiecare tranzistor își poate schimba alternativ starea între regiunile de blocare și de conducție (v. problema P 24.8). Ca toate circuitele cu cuplaj pe emitor, această schemă bistabilă poate realiza o comutare foarte rapidă între stări.

După cum ne putem aștepta, circuitele bistabile integrate disponibile în prezent sînt considerabil mai complexe decît structurile examinate pînă în prezent. Aceasta se datorește posibilității de a implementa în celulele bistabile cu două tranzistoare proprietăți de circuit deosebit de utile, cu un cost suplimentar foarte redus. Un exemplu tipic este reprezentat de circuitul basculant bistabil  $J-K$ , a cărui formă simplificată este dată în fig. 24.11. Tranzistoarele  $T_1$  și  $T_2$  constituie elementul bistabil de bază al circuitului. Toate celelalte tranzistoare sînt asociate cu realizarea funcțiunilor de comandă. Singura funcțiune a tranzistorului  $T_3$  este, de exemplu, de a plasa circuitul bistabil în ansamblu într-o stare cunoscută — cu  $T_1$  deschis — în orice moment.

Elementul central al circuitului de comandă este tranzistorul  $T_4$ , controlat de poarta NU — SAU formată din tranzistoarele  $T_5$ ,  $T_6$  și  $T_7$ .

Dacă toate semnalele de intrare ale acestei porți sînt la nivel scăzut, adică  $v_1 = V_{CE}(\text{sat})$ ,  $T_2$  — în stare de conducție, iar semnalul aplicat pe intrarea de ceas este înalt ( $v_2 = V_C$ ), poarta NU — SAU va fi blocată. În aceste condiții, în baza tranzistorului  $T_4$  va intra, prin rezistența  $R_5$ ,

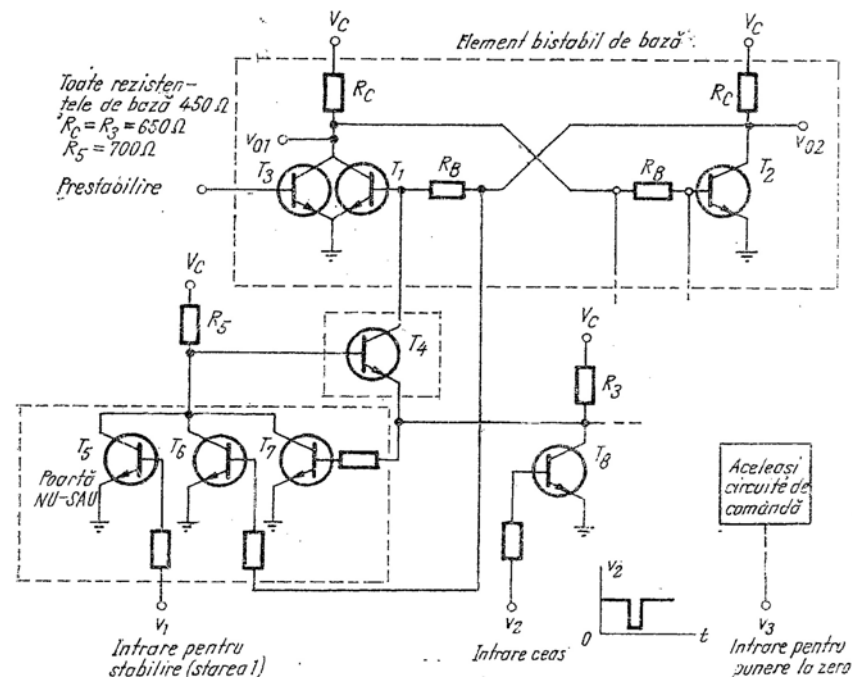


Fig. 24.11. Circuit basculant bistabil  $J-K$ .

un curent important. Colectorul tranzistorului  $T_4$  este ținut la potențialul  $V_{CE}(\text{sat})$  de către tranzistorul  $T_8$  aflat în stare de conducție (acest tranzistor amplifică impulsul de ceas). Emitorul tranzistorului  $T_4$  este conectat de asemenea la potențialul  $V_{CE}(\text{sat})$ , prin intermediul rezistenței  $R_6$ . Această situație este reprezentată în fig. 24.12, a. Este evident că tranzistorul se află în saturație, curenții de emitor și de colector fiind orientați în afara tranzistorului. Distribuția sarcinii electrice în bază este reprezentată în fig. 24.12, b.

Cînd un impuls de ceas negativ se aplică la intrarea  $v_2$ ,  $T_8$  se blochează, iar potențialul colectorului tranzistorului  $T_4$  devine pozitiv, ca urmare a efectului rezistenței  $R_3$  și sursei de alimentare  $V_C$  (fig. 24.12, c). Distribuția

sarcinii  $q_s$  ia aproape instantaneu forma din fig. 24.12, *d*, ceea ce permite ca un curent de intensitate mare să iasă din emitorul tranzistorului  $T_4$  și să intre în baza tranzistorului  $T_1$ , realizînd comutarea directă a acestuia.

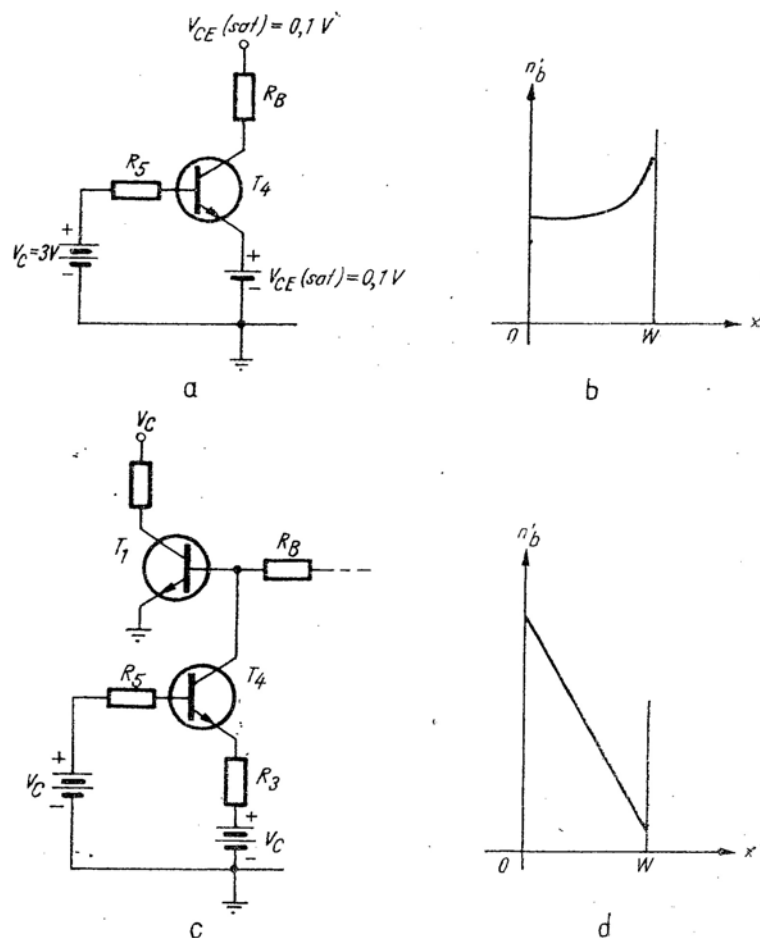


Fig. 24.12. Funcționarea tranzistorului  $T_4$ .

Această manieră de utilizare a modului în care se schimbă distribuția sarcinii  $q_s$  permite comanda rapidă și precisă a circuitului.

Acum pot fi ușor înțelese funcțiunile îndeplinite de tranzistoarele  $T_6$  și  $T_7$  ale porții NU — SAU. Tranzistorul  $T_6$  îndeplinește aceeași sarcină

ca diodele din fig. 24.7, *b* — de a sesiza stările circuitului bistabil și de a dirija semnalul de comandă numai către tranzistorul blocat. După ce impulsul de ceas blochează tranzistorul  $T_8$ , tranzistorul  $T_7$ , după trecerea unui interval de întârziere și a unui interval de creștere, comută direct poarta NU — SAU încheind în acest fel înmagazinarea de sarcină în tranzistorul  $T_4$ , în mod independent de durata impulsului de ceas (v. problema P24.9).

Un avantaj particular al circuitului basculant bistabil  $J-K$  constă în faptul că, datorită prezenței porții NU — SAU, starea circuitului basculant este previzibilă pentru orice combinație a semnalelor de intrare  $v_1$ ,  $v_2$  și  $v_3$ <sup>1)</sup>.

## 24.2. CIRCUITE BASCULANTE MONOSTABILE

Un circuit bistabil de comutare poate prezenta o comportare monostabilă, dacă una dintre stările de echilibru este eliminată. O asemenea transformare poate fi realizată prin introducerea unei capacități în unul din circuitele de cuplaj colector-bază.

### 24.2.1. Circuitul basculant monostabil de bază

Circuitul monostabil din fig. 24.13 conține un cuplaj capacitiv între colectorul tranzistorului  $T_1$  și baza tranzistorului  $T_2$ . Rezistența  $R_{B2}$  se alege astfel încât în starea stabilă  $T_2$  să fie saturat. Cuplajul rezistiv realizat prin  $R_{B1}$  va menține tranzistorul  $T_1$  blocat. Dacă se aplică un impuls de comandă cu anumiți parametri, după cum s-a arătat în § 24.1.7, va apare un fenomen regenerativ de comutare, iar circuitul va trece într-o stare metastabilă în care  $T_2$  este blocat, iar  $T_1$  — în regim de conducție. În această tranziție inițială, care are loc la  $t = 0$ , baza tranzistorului  $T_2$  este polarizată negativ la o tensiune egală cu variația mărimii  $V_{CE1}$ , așa cum se arată în fig. 24.13, *b*.

În urma tranziției, tranzistorul  $T_1$  este în stare de conducție. Cu toate acestea,  $T_1$  nu poate menține tranzistorul  $T_2$  în stare de blocare un interval de timp oricât de îndelungat, deoarece capacitatea  $C$  se descarcă pe rezistența  $R_{B2}$ , iar tensiunea între baza tranzistorului  $T_2$  și masă crește exponențial, tinzînd către nivelul  $V_{CC}$  cu constanta de timp  $R_{B2}C$ . Starea metastabilă ia sfîrșit în momentul  $t_1$ , cînd tranzistorul  $T_2$  ajunge la pragul intrării în conducție, cu alte cuvinte, atunci cînd  $v_{B2}$  are o valoare pozitivă de cîteva zecimi de volt. În acest punct apare o nouă tranziție regenerativă, în urma căreia  $T_1$  se blochează iar  $T_2$  se saturează.

<sup>1)</sup> V. bibliografia [24.1].

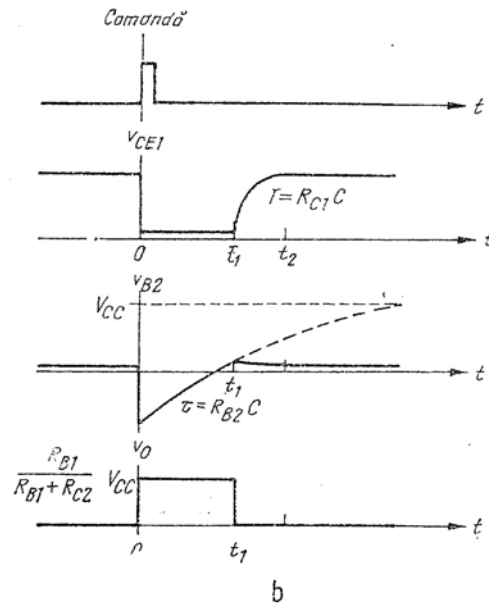
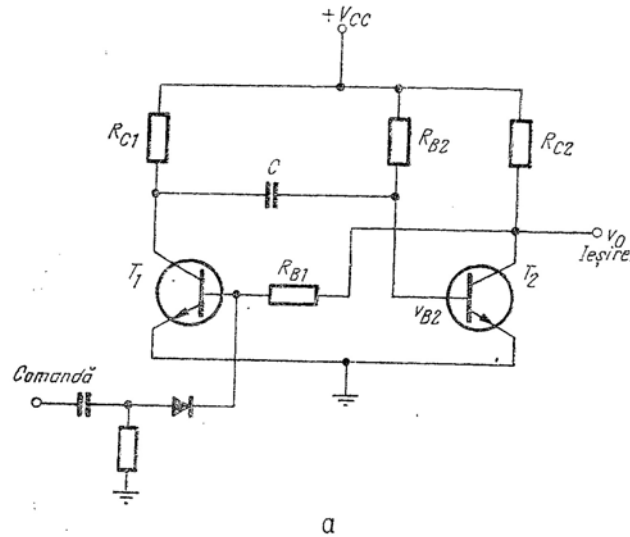


Fig. 24.13. Circuit basculant monostabil de bază :  
a — circuitul; b — formele de undă.

Pentru ca circuitul să reatingă echilibrul static corespunzător stării stabile este necesar un anumit interval de timp după momentul  $t_1$ . De-a lungul acestui interval de restabilire capacitatea  $C$  se încarcă prin  $R_{C1}$  la  $V_{CC}$ . Dacă apare o nouă comandă de basculare a circuitului înainte de terminarea intervalului de restabilire, adică înaintea momentului  $t_2$  din fig. 24.13, b, durata stării stabile va scădea.

Lungimea intervalului de timp  $0-t_1$  este determinată de încărcarea capacității  $C$ . Înaintea basculării circuitului tensiunea la bornele capacității  $C$  este :

$$v_C \approx V_{CC}. \quad (24.25)$$

Prin urmare, tensiunea  $v_{B2}$  a celui de al doilea tranzistor scade pînă la aproximativ  $-V_{CC}$  atunci cînd circuitul comută. Întrucît  $v_{B2}$  tinde către nivelul  $+V_{CC}$ , starea metastabilă ia sfîrșit în momentul  $t_1$ , valoarea lui  $t_1$  fiind :

$$t_1 \simeq R_{B2}C \ln 2 \simeq 0,69 R_{B2}C \quad (24.26)$$

(v. problema P24.10). Este de remarcă faptul că durata intervalului de timp în care circuitul se găsește în starea metastabilă, este controlată, în principal, de elementele pasive de circuit. Din această cauză, circuitele monostabile sînt în mod frecvent utilizate pentru a genera impulsuri cu amplitudine și durată precise, ca răspuns la acțiunea unui impuls de comandă.

Circuitul monostabil din fig. 24.13, a poate fi, de asemenea, polarizat astfel, încît în starea stabilă tranzistorul  $T_2$  să fie blocat, prin conectarea rezistenței  $R_{B2}$  la o sursă de tensiune negativă, în loc de  $V_{CC}$ . În această variantă, lungimea intervalului de timp care formează ciclul de basculare va depinde mai critic de parametrii tranzistoarelor, decît în cazul configurației originale a circuitului. Prin urmare, a doua configurație se va caracteriza printr-o stabilitate mai redusă a duratei impulsurilor generate.

### 24.2.2. Alte circuite basculante monostabile

În fig. 24.14 este prezentat un circuit monostabil cu cuplaj pe emitor. Deoarece rezistența  $R_{B2}$  este conectată la  $V_{CC}$ , în starea stabilă tranzistorul  $T_1$  este blocat iar  $T_2$  — în conducție. Cînd circuitul este basculat în starea metastabilă,  $T_2$  este blocat, iar intervalul în care se formează impulsul generat se încheie în momentul în care tensiunea bază-emitor a acestui tranzistor ajunge la pragul intrării în conducție.

Fig. 24.15 conține un circuit monostabil cu tranzistoare complementare (*pnp* și *nnp*). Diferența acestei structuri față de circuitul bistabil corespunzător constă în faptul că o rezistență de cuplaj este înlocuită

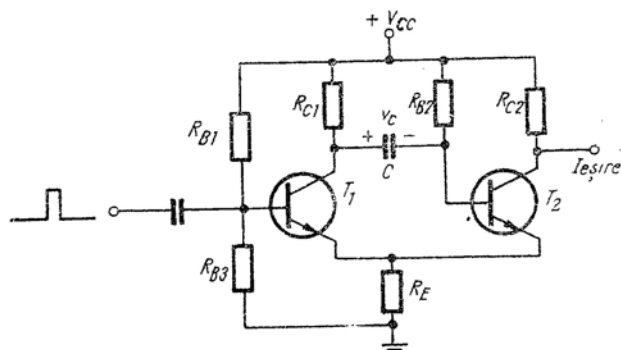


Fig. 24.14. Circuit basculant monostabil cu cuplaj prin emitor.

printr-o capacitate, iar între baza tranzistorului *nnp* și masă este conectată o rezistență. Pentru a provoca o tranziție în starea metastabilă, la baza tranzistorului  $T_2$  se aplică un impuls negativ de comandă (v. problema 24.11).

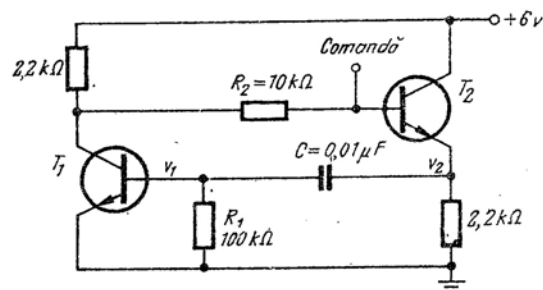


Fig. 24.15. Circuit basculant monostabil cu tranzistoare complementare.

### 24.2.3. Condițiile comportării monostabile

Singura diferență între circuitele monostabile și bistabile constă în înlocuirea unei rezistențe cu o capacitate în unul din circuitele de cuplaj între etaje. Această înlocuire va modifica comportarea circuitului la frecvențe joase — adică va determina existența unei singure stări stabile,

în loc de două —, însă nu va atrage după sine schimbarea comportării la frecvențe medii. Astfel, condiția de bază ce trebuie îndeplinită de factorul de transfer pe bucla de reacție pentru a asigura comportarea regenerativă,  $|T| > 1$  va continua să fie valabilă pentru circuitul monostabil. De această dată însă, condiția menționată va fi valabilă la frecvențe mijlocii, fără a mai fi îndeplinită în curent continuu.

Rezultă că pentru comportarea monostabilă a unui circuit este necesară și suficientă îndeplinirea simultană a următoarelor condiții:

1. Când capacitatea (sau capacitățile) se îndepărtează, trebuie să existe o singură stare stabilă. În cazul circuitelor cu tranzistoare identice, un tranzistor urmează să fie blocat, iar cel de al doilea, activ sau saturat. Pentru structura cu tranzistoare complementare, ambele dispozitive trebuie să fie blocate sau saturate.

2. Circuitul de cuplaj în curent continuu trebuie să asigure funcționarea simultană a ambelor tranzistoare în regiunea activă.

3. Pentru a asigura comportarea regenerativă în această stare activă, valoarea absolută a factorului de transfer pe bucla de reacție la o frecvență oarecare, alta decât  $f = 0$ , trebuie să fie mai mare decât unitatea, iar reacția trebuie să fie pozitivă.

Dacă aceste trei condiții sînt îndeplinite, existența unei stări metastabile este asigurată, iar circuitul va prezenta o comportare monostabilă.

Satisfacerea condițiilor de mai sus este ușor de verificat pentru circuitul din fig. 24.13. Prima condiție este legată numai de polarizarea în curent continuu, așa că poate fi verificată pe circuitul obținut cu capacitatea  $C$  îndepărtată. A doua condiție aplicată circuitului examinat reclamă existența unui nivel de tensiune continuă  $V_{B2}$ , pentru care atât  $T_1$  cit și  $T_2$  funcționează în regiunea activă. Dacă această condiție este îndeplinită, trebuie calculat factorul de transfer pe bucla de reacție folosind un model diferențial pentru regiunea activă, cu capacitatea  $C$  scurtcircuitată; în acest fel se verifică dacă reacția este pozitivă iar valoarea absolută a factorului de transfer pe bucla de reacție — supraunitară (v. problema P24.12).

## 24.3. CIRCUITE BASCULANTE ASTABILE

### 24.3.1. Circuitul basculant astabil cu cuplaje încrucișate

Un circuit de comutație regenerativ, care nu are stări stabile și care, prin urmare, basculează continuu și alternativ între două stări metastabile se numește circuit basculant astabil. Oricare circuit monostabil poate fi determinat să prezinte o comportare astabilă prin modificarea polarizării și cuplajului în curent continuu, astfel încît ambele tranzis-



toare să funcționeze în regiunea activă atunci când elementul acumulator de energie este îndepărtat. Cu toate acestea, circuitele practice cu cuplaje încrucișate se realizează rar în acest mod, deoarece este dificil să se garanteze îndeplinirea condiției referitoare la polarizare în regiunea activă pentru variațiile parametrilor componentelor pasive și tranzistoarelor, corespunzătoare cazului cel mai defavorabil. De aceea, majoritatea circuitelor basculante astabile cu cuplaje încrucișate conțin două capacități (ca în fig. 24.16), intrucit în acest caz condițiile de polarizare a celor două tranzistoare pot fi realizate independent (observăm că, așa cum se va vedea mai jos, circuitele monostabile cu cuplaj pe emitor pot funcționa în mod satisfăcător cu o singură capacitate dacă se folosesc rezistențe de emitor independente).

Să examinăm funcționarea circuitului cu cuplaje încrucișate din fig. 24.16, a. Când capacitățile lipsesc, circuitul de polarizare asigură în mod automat funcționarea tranzistoarelor în regiunea activă, independent de valorile rezistențelor și parametrilor tranzistoarelor. Dacă reconectăm capacitățile în circuit, reacția pozitivă va antrena circuitul din regiunea cuasi-liniară în una din stările de saturație. Totuși, această situație nu se poate menține, deoarece sarcinile cu care sînt încărcate capacitățile se modifică, conducînd circuitul spre starea staționară în care ambele tranzistoare sînt active. Astfel, circuitul va ajunge la un moment dat în starea activă și va parcurge o tranziție regenerativă, prin regiunea cuasi-liniară, trecînd în a doua stare de saturație, în care se va găsi un interval de timp egal cu durată de existență a celei de a doua stări metastabile (v. problema P24.13).

Formele de undă tipice corespunzătoare circuitului sînt date în fig. 24.16, c. Observăm că pentru a activa circuitul nu este necesară aplicarea unui impuls de comandă. În fapt, circuitul este un oscilator neliniar, ceea ce determină folosirea sa pentru generarea formelor de undă periodice și a succesiunilor de impulsuri.

O formă convențională a circuitului astabil cu cuplaje încrucișate este prezentată în fig. 24.16, b. Când capacitățile din circuit sînt îndepărtate, ambele tranzistoare se saturează. Totuși, circuitul se va comporta ca un multivibrator astabil, oscilînd cea mai mare parte a timpului, deoarece schema nu ajunge în starea stabilă cu ambele tranzistoare saturate simultan. Un asemenea circuit potențial stabil este nesigur în funcționare. Conectînd pentru un timp unul din colectoare la masă, vom anula factorul de transfer pe bucla de reacție și în același timp, satura ambele tranzistoare. Circuitul se va găsi în această stare pînă va primi o comandă din exterior (de exemplu, prin deconectarea sursei de alimentare). Din această cauză, ca o condiție a comportării astabile, se formulează o cerință privind polarizarea pentru regiunea activă, excluzînd în acest fel circuite ca cel din fig. 24.16, b.

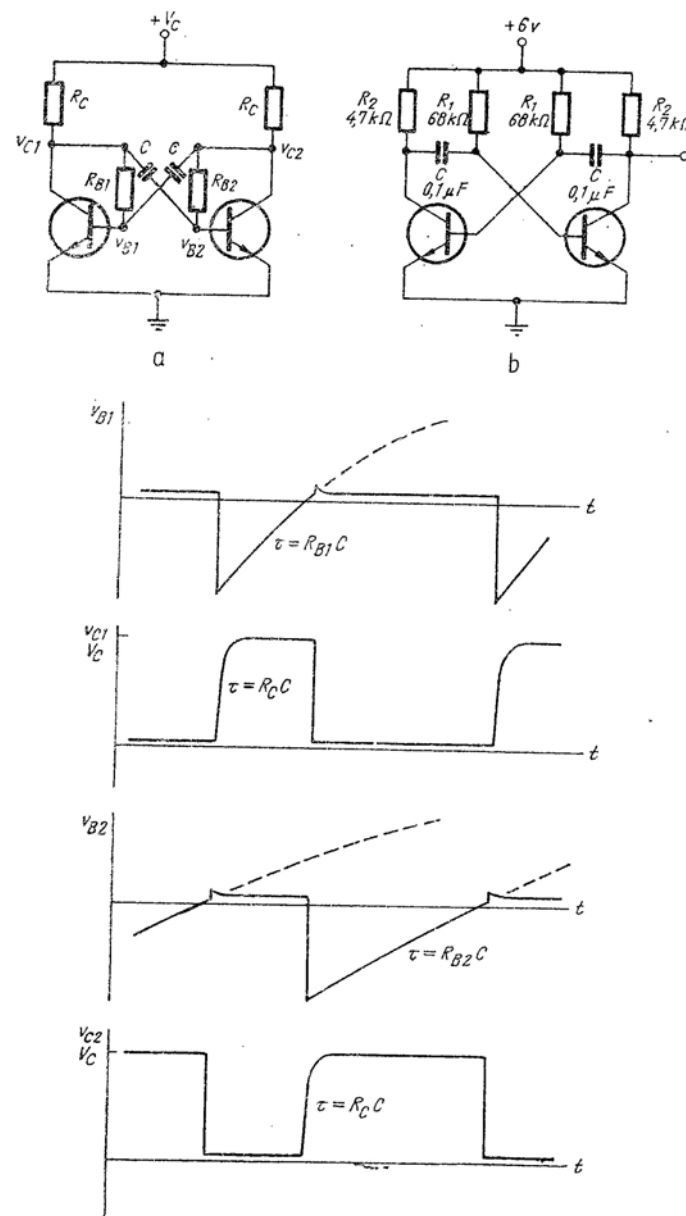


Fig. 24.16. Circuite basculante astabile cu cuplaje încrucișate.



### 24.3.2. Circuitul basculant astabil cu cuplaj pe emitor

În fig. 24.17 sînt prezentate două variante tipice de circuite astabile cu cuplaj pe emitor. Circuitul din fig. 24.17, *a* funcționează satisfăcător cu o singură capacitate, deoarece rezistențele de emitor independente asigură puncte stabile de funcționare în curent continuu în regiunea activă.

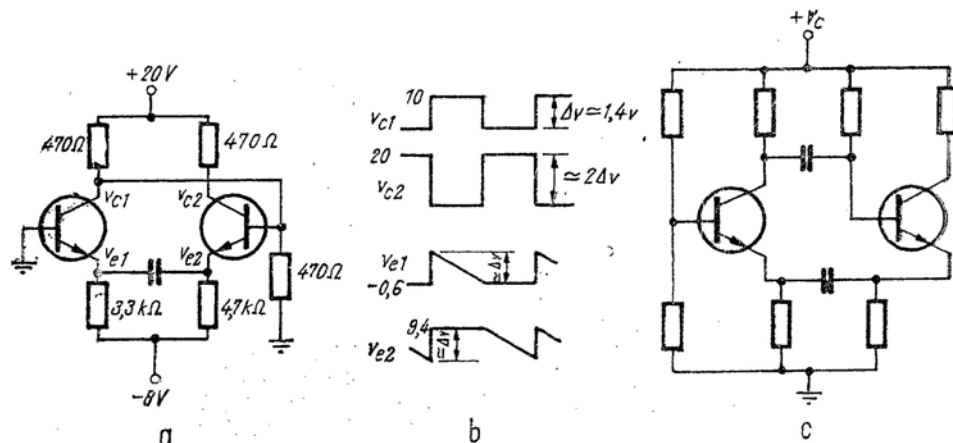


Fig. 24.17. Circuit basculant astabil cu cuplaj prin emitor:

*a* - circuit cu o singură capacitate; *b* - formele de undă pentru circuitul din *a*; *c* - circuit cu două capacități.

În acest caz particular, valorile rezistențelor se aleg astfel, încît tranzistoarele să nu se satureze nici un moment în decursul ciclului de funcționare, iar variațiile tensiunilor de colector sînt reduse. Pe această cale, se pot realiza viteze ridicate de lucru: frecvențe de repetiție de 10 MHz și timpi de creștere de 10 ns<sup>1)</sup>.

### 24.3.3. Condițiile funcționării în regim astabil

Cele două condiții a căror îndeplinire simultană este necesară și suficientă pentru asigurarea funcționării în regim astabil a unui circuit sînt următoarele:

— punctul static de funcționare a circuitului în absența capacităților trebuie să fie astfel plasat, încît ambele tranzistoare să se găsească în regiunea activă;

<sup>1)</sup> V. bibliografia [24.2].

— în regiunea activă, valoarea absolută a factorului de transfer pe bucla de reacție trebuie să fie supraunitară, la o anumită frecvență nenulă, pentru a asigura posibilitatea procesului de regenerare; în curent continuu, factorul de transfer pe bucla de reacție trebuie să fie subunitar, pentru a preveni modul bistabil de funcționare.

Verificarea acestor condiții pe o configurație specifică de circuit este foarte simplă. De exemplu, dacă se îndepărtează capacitățile circuitului din fig. 24.16, *a*, este evident că tranzistoarele vor fi polarizate în regiunea activă. Dacă prima condiție este satisfăcută, trebuie calculat factorul de transfer pe bucla de reacție cu ajutorul unui model diferențial al regiunii active cu ambele capacități de cuplaj scurtcircuitate și verificat dacă modulul acestei mărimi este mai mare decît 1. Factorul de transfer pe bucla de reacție al acestui circuit este nul la  $f = 0$ , prin urmare condiția finală este îndeplinită, ceea ce asigură comportarea astabilă.

### 24.4. DEMONSTRAȚIE EXPERIMENTALĂ DE CURS

Formele de undă specifice circuitelor digitale, mai ales regimurile tranzitorii ce apar la comutarea circuitelor poartă și semnalele de ieșire ale circuitelor basculante sînt suficient de expresive, așa că, pentru a realiza ilustrări experimentale interesante și cu un conținut de informație suficient, nu este nevoie de circuite speciale sau aparatură mai deosebită. În toate cazurile, poate fi de mare folos un osciloscop cu două sau chiar mai multe spoturi.

Iată cîteva exemple de demonstrații posibile:

- variația duratei impulsului în cazul modificării rezistenței  $R_{B2}$  (fig. 24.13);
- un numărător binar realizat prin comanda punctelor *a* și *b* de la un generator de impulsuri (fig. 24.7, *b*);
- examinarea comportării aceluiași circuit la viteze mari de lucru, folosind o frecvență înaltă de repetiție a impulsurilor, pentru a evidenția îmbunătățirea formelor de undă ale semnalelor de ieșire rezultată în urma introducerii capacităților de accelerare;
- ilustrarea comportării unui circuit astabil de tipul celui din fig. 24.16, *b*.

Demonstrația privitoare la amplitudinea impulsului de comandă, necesară pentru o tranziție regenerativă a unui circuit bistabil (v. § 24.1.7); poate fi realizată cu ajutorul circuitului din fig. 24.7, *b*. Impulsul de comandă este aplicat simultan la intrările *a* și *b*. În acest fel, se asigură o imagine repetitivă a tranziției, dacă circuitul își schimbă sau nu starea. Pentru a fi siguri că  $q_F$  și  $q_R$  sînt componentele dominante de sarcină electrică, este recomandabilă folosirea unor tranzistoare cu  $f_T$  redus și cu capacități de barieră scăzute.

Același circuit poate fi utilizat pentru a pune în evidență efectul duratei impulsului de comandă. În fig. 24.18 se pot urmări câteva rezultate tipice. Fig. 24.18, *a* și fig. 24.18, *b* corespund cazului în care impulsul este prea

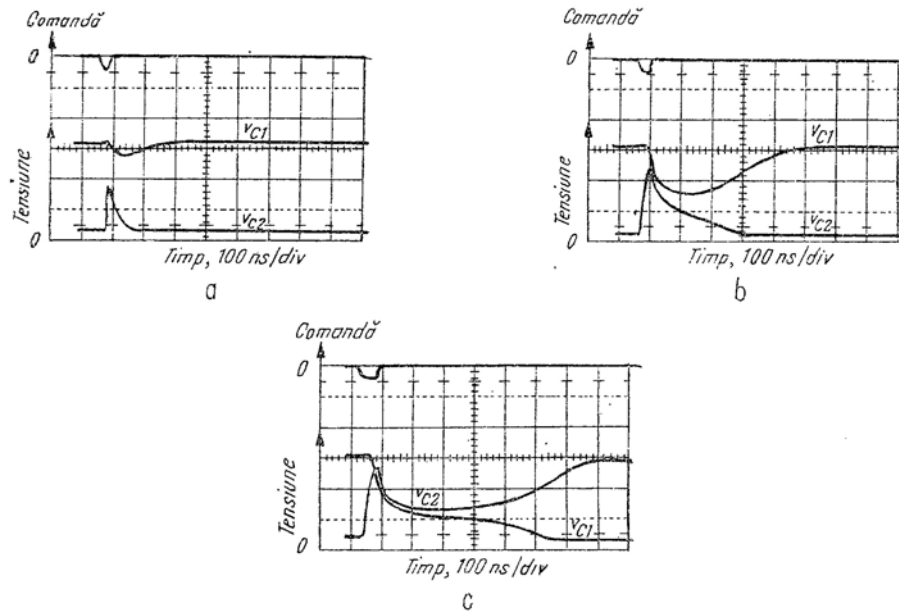


Fig. 24.18. Formele de undă oscilografiate pentru circuitul bistabil din fig. 24.7, *b*, care ilustrează efectul impulsului de comandă asupra basculării:  
*a* și *b* - impulsul de comandă este prea îngust și de amplitudine redusă pentru a provoca o tranziție;  
*c* - un impuls de comandă mai lung produce o tranziție.

mic și prea îngust pentru a provoca tranziția. Totuși, mărin durată impulsului de comandă fără a modifica amplitudinea sa, se ajunge la tranziția regenerativă, așa cum se vede în fig. 24.18, *c*.

#### BIBLIOGRAFIE

- 24.1. Fan-out, Nr. 116, Fairchild Semiconductor, Febr. 1964.  
 24.2. P. J. Bébéciau, A. Evangelisti, An Improved Emitter-coupled Multivibrator, Application App-59, Fairchild Semiconductor, Febr., 1963.  
 24.4. M. P. Hister, Jr. Logical Design of Digital Computers, Wiley, New York, 1948.  
 24.3. J. Millman, H. Taub. Pulse, Digital and Switching Waveforms, Mc Graw-Hill, New York, 1965.  
 24.5. R. Littauer, Pulse Electronics, Mc Graw Hill, New York, 1965.  
 24.6. H. Camenzind, Circuit Design for Integrated Circuits, Addison-Wesley, Reading, Mass., 1968.

#### PROBLEME

P. 24.1. a) Să se reprezinte circuitul echivalent general cu parametrii  $y$  pentru doi cuadri-poli conectați în paralel (de ex., fig. 18.11).

b) Să se arate că dacă admitanța de transfer invers a unui amplificator este neglijabilă, se poate găsi, prin calcul direct sau prin întreruperea buclei de reacție, așa cum s-a văzut în 24.14 (v. pag. 417), un factor de transfer pe bucla de reacție dat de relația:

$$T = \frac{y_{rf} y_{fa}}{(Y_s + y_{ia} + y_{if})(y_{oa} + y_{of} + Y_L)}$$

P. 24.2. Să se calculeze  $I_b/I_e$  în fig. 24.4b, iar rezultatul să fie comparat cu ecuația (24.9a). Trebuie ținut seamă de faptul că regulile reacției (cap. 18) cer ca  $R_B$  să fie mult mai mare decât  $R_C$  pentru a asigura ca  $y_{if} < y_{fa}$ .

P. 24.3. Să se verifice că soluția particulară dată de ecuația (24.21) se prezintă în fapt punctul de echilibru instabil notat cu  $C_2$  în fig. 24.1, *b* (v. pag. 422).

P. 24.4. Să se rezolve ecuațiile 24.22 presupunind că  $I_{O1} = I_{O2} = I/(A+1)$ . Să se explice rezultatul (v. pag. 423).

P. 24.5. Să se deducă sistemul de ecuații similar cu (24.22) care se aplică unui circuit bistabil asimetric. Să se găsească expresiile constantelor din aceste ecuații, iar pe această bază să se determine condițiile de comandă a basculării pentru un astfel de circuit (v. § 24.1.6 și 24.1.7).

P. 24.6. Folosind condițiile formulate în § 24.1.5, să se verifice că circuitul complementar din fig. 24.8, *a* este efectiv un circuit bistabil (v. pag. 426).

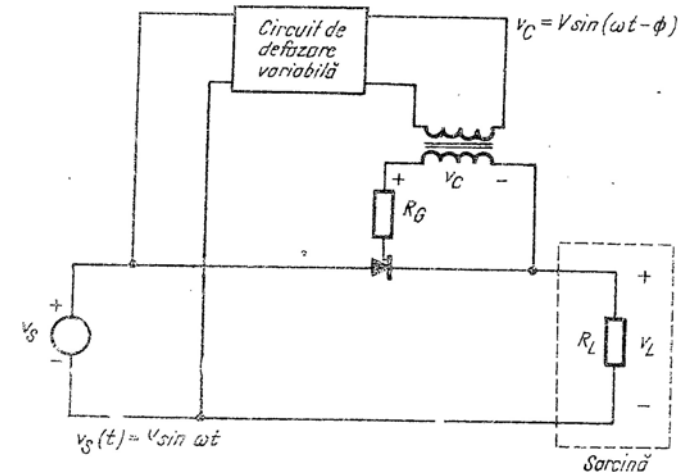


Fig. 24.19. Sursă de alimentare cu tensiune de ieșire variabilă.

P. 24.7. Tristorul introdus în § 24.1.8 și reprezentat în fig. 24.9 este utilizat adesea în sursele de putere cu tensiune variabilă ca cea din fig. 24.1.9. Acest circuit folosește un tristor ca element redresor de semiundă (vezi fig. 6.21, *a* pentru a face comparație cu schema care folosește o diodă obișnuită cu joncțiune pn). Circuite care redresează ambele alternanțe, analoge celui din fig. 6.24, pot fi realizate într-o manieră similară. Circuitul de defazare variabilă și transformatorul

asigură o tensiune de control a cărei fază, măsurată în raport cu tensiunea de alimentare  $v_g$ , este variabilă. Când  $v_g$  este pozitivă, tiristorul funcționează potrivit caracteristicii de regim de conducție, arătată în fig. 24.9,  $d$ ; valorile negative ale tensiunii  $v_g$  corespund caracteristicii regimului de blocare.

a) Să se calculeze și să se reprezinte grafic tensiunea la bornele sarcinii  $v_L(t)$  pentru cîteva valori ale fazei în intervalul  $0-180^\circ$ .

b) Să se deducă o expresie pentru tensiunea medie la bornele sarcinii, în funcție de  $v$  și  $\Phi$ .

P. 24.3. Să se găsească valorile rezistențelor  $R_1$  și  $R_2$  în circuitul cu cuplaj pe emitor din fig. 24.10, pentru a asigura comportarea bistabilă. Se va presupune că nivelul de curent continuu al intrărilor este  $V_{CC}/2$  (v. pag. 428).

P. 24.9. Să se deseneze circuitele de comandă pentru partea din dreapta a circuitului basculant  $J-K$  din fig. 24.11. Presupunind că  $T_2$  este în regim de conducție, iar  $T_1$  blocat, să se verifice condițiile de lucru ale porții NU-SAȚ din dreapta, pentru a constata dacă impulsul de ceas este efectiv inhibat pe acest traseu (v. pag. 431).

P. 24.10. Să se deducă ecuația (24.26) din (24.13) (v. pag. 433).

P. 124.11. Care este durata stării metastabile în circuitul basculant cu tranzistoare complementare din fig. 24.15? Să se compare precizia cu care se menține durata impulsului generat, cu cea corespunzătoare circuitului convențional din fig. 24.13 (v. pag. 434).

P. 24.12. Să se verifice că circuitul din fig. 24.14 funcționează ca un circuit basculant monostabil, folosind condițiile formulate în § 24.2.3 (v. pag. 435).

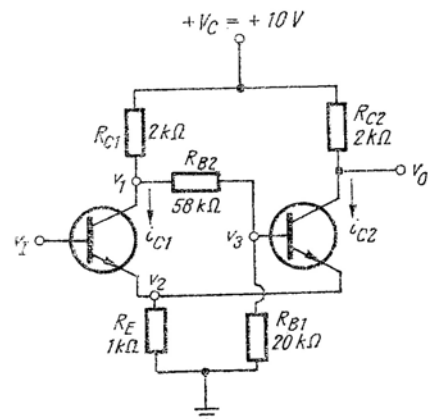


Fig. 24.20. Circuit basculant Schmitt.

P. 24.13. Una din condițiile de comandă pentru realizarea tranzițiilor regenerative ale circuitelor basculante constă în cerința ca impulsul de comandă să determine creșterea curentului de colector care a avut inițial o valoare mai mică (v. § 24.1.7). Circuitul astabil are, așa cum s-a arătat capacitatea de „autocomandă”. Să se explice cum circuitul din fig. 24. 16, a îndeplinește condițiile de comandă (v. pag. 436).

P. 24.14. Circuitul arătat în fig. 24.20 este deseori numit circuit basculant Schmitt. Să se verifice că pentru un interval de valori ale tensiunii  $v_L$ , dispus în jurul valorii de 2,2 V, circuitul are o comportare bistabilă.

## ANEXA A

### MODELE ȘI CIRCUITE CU TUBURI CU VID

A.1.	Introducere . . . . .	444
A.2.	Structura și funcționarea diodelor și triodelor cu vid . . . . .	444
A.2.1.	Structura fizică . . . . .	444
A.2.2.	Emisia termoelectronică . . . . .	445
A.2.3.	Funcționarea unei structuri cu două elemente-Dioda . . . . .	446
A.2.4.	Rolul grilei . . . . .	448
A.2.5.	Diode și triode componente de circuit . . . . .	451
A.3.	Un amplificator elementar . . . . .	451
A.3.1.	Analiză grafică . . . . .	453
A.3.2.	Transferul de energie . . . . .	455
A.3.3.	Metode grafice utilizate în circuite mai complexe . . . . .	456
A.3.4.	Amplificare liniară . . . . .	458
A.3.5.	Circuite de cuplaj și de polarizare . . . . .	462
A.4.	Modelarea și analiza circuitelor active liniare . . . . .	467
A.4.1.	Model de semnal mic . . . . .	467
A.4.2.	Analiza de semnal mic a unui amplificator . . . . .	471
	Referințe bibliografice . . . . .	473
	Probleme . . . . .	473

## A

## Modele și circuite cu tuburi cu vid

## A.1. INTRODUCERE

Din punct de vedere istoric, majoritatea circuitelor considerate în această lucrare au fost realizate mai întâi cu tuburi cu vid ca dispozitive active. În ultimii ani, în aceste aplicații tuburile cu vid au fost înlocuite pe scară largă cu diferite dispozitive semiconductoare active, care prezintă avantajele evidente ale unui gabarit mai redus, unui consum mai mic de putere și unei siguranțe în funcționare mult mai mari. Deși unele categorii de tuburi cu vid sunt încă utilizate pentru anumite scopuri, în special generarea și amplificarea energiei de radiofrecvență la nivele foarte mari de putere, asemenea aplicații speciale sunt în afara scopului acestei cărți introductive.

Anexa A se ocupă de procesele fizice, modelarea și proprietățile de circuit ale unei categorii de tuburi cu vid simple, care au proprietăți similare cu cele ale dispozitivelor semiconductoare active analizate în această lucrare. Întrucât prezentarea este similară ca nivel și scop cu aceea din cap. 1, materialul cuprins în anexă poate fi utilizat pentru a completa sau înlocui § 1.2—§ 1.4 atunci când este de dorit a se include dispozitivele active cu vid. În unele privințe, acest material furnizează o introducere mai simplă în problema dispozitivelor active decât au furnizat-o tranzistoarele cu efect de câmp.

## A.2. STRUCTURA ȘI FUNCȚIONAREA DIODELOR ȘI TRIODELOR CU VID

## A.2.1. Structura fizică

Structura fizică a triodei cu vid este prezentată în fig. A.1. Dispozitivul este compus, în principal, din trei elemente dispuse coaxial într-o

incintă vidată. Elementul cel mai interior este o cămașă de metal, numită *catod*. Împrejurul catodului se află înfășurată o spirală de fir metalic, numită *grilă*, care, la rândul ei, este înconjurată de o cămașă metalică, numită *anod* sau *placă*. Aceste trei elemente — catodul, grila și anodul — sunt conectate prin intermediul unei structuri interne la capetele, sau, terminalele externe.

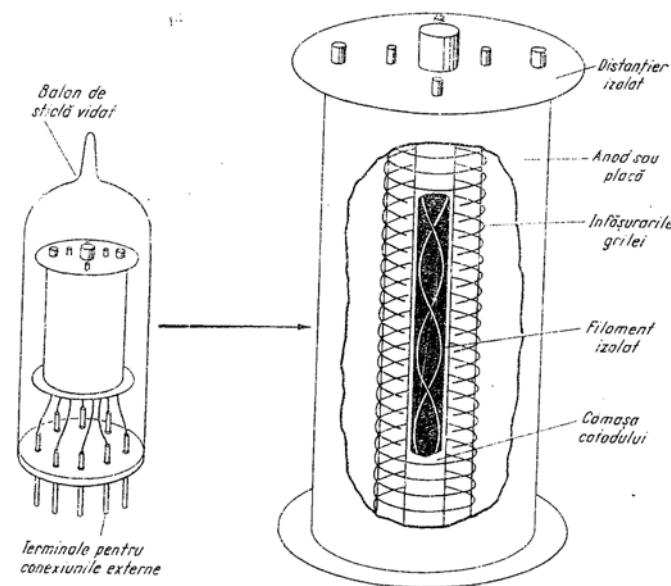


Fig. A.1. Structura fizică a unei triode cu vid.

În interiorul catodului se află o rezistență, care constă într-un fir înfășurat, separat de catod, terminat în exterior, la ambele capete, cu câte un terminal. Acest fir, numit *filament*, este adus la temperaturi de 700° până la 800°C, prin trecerea unui curent electric prin el. În acest sens, el nu se deosebește de filamentul unei lămpi cu incandescență. Totuși, filamentul tubului cu vid lucrează la temperaturi mult mai scăzute, la care culoarea sa este un roșu estompat, spre deosebire de albul strălucitor care este caracteristic filamentului lămpii cu incandescență.

## A.2.2. Emisia termoelectronică

Filamentul ridică temperatura catodului la o valoare la care electronii sunt emiși cu ușurință de suprafața sa. Acest proces este numit *emisie*

*termoelectronică*. Deși orice metal poate emite electroni când temperatura sa este ridicată, există unele metale la care emisia de electroni este mult mai bogată decât la altele. Cămașa catodului este îmbrăcată cu oxizi alcalino-pământoși, ceea ce-l face o sursă foarte bună de electroni, chiar la temperaturi relativ scăzute (circa  $700^{\circ}\text{C}$ ).

În interiorul tubului vidul este suficient de ridicat, astfel ca interacțiunile dintre electronii emiși și moleculele reziduale de gaz să nu afecteze funcționarea fizică a dispozitivului. Unele tuburi sînt în mod intenționat umplute cu gaz, pentru a se obține caracteristici diferite de ale celor ce sînt discutate aici, dar nu ne vom ocupa de aceste dispozitive mai complicate.

Dacă celelalte elemente — grila și anodul — nu sînt conectate nicăieri, electronii emiși de catodul încălzit vor înconjura catodul ca un nor de sarcină spațială negativă. Acest nor de sarcină nu se poate dispersa, deoarece catodul, ca urmare a emisie de electroni, se încarcă pozitiv față de norul de sarcină spațială negativă. Deci, electronii care formează norul sînt supuși unei forțe coulombiene care-i atrage spre catod și-i împiedică să se îndepărteze. Când acest sistem este în echilibru, la o temperatură anumită a catodului, electronii sînt emiși în mod continuu de stratul de oxid, în timp ce alți electroni, făcînd parte din nor, reintră în catod, menținînd în felul acesta o stare de echilibru dinamic.

### A.2.3. Funcționarea unei structuri cu două elemente — Dioda

Starea de echilibru descrisă mai sus se schimbă dacă grila și anodul sînt conectate la circuite de polarizare, deci potențialele lor electrostatice diferă de cel al catodului. Pentru început, ne vom ocupa de rolul anodului, presupunînd că grila lipsește din această structură.

Dacă potențialul anodului în raport cu catodul este negativ, electronii din norul de sarcină spațială sînt respinși de către anod. Ca urmare, electronii se vor aduna într-o densitate și mai mare în jurul catodului fierbinte, și nu va circula nici un curent în circuitul anod-catod (fig. A.2, a).

Pe de altă parte, dacă anodul se aduce la un potențial pozitiv față de catod, electronii din norul de sarcină spațială ce înconjoară catodul sînt atrași de către anod, au o mișcare către acesta și intră în circuitul exterior anod-catod, dînd naștere unui curent (fig. A.2, b). Numărul de electroni care străbat spațiul dintre electrozi în unitatea de timp depinde de diferența de potențial dintre anod și catod. Dacă tensiunea anod-catod crește, cantitatea de sarcină spațială din jurul catodului se micșorează, numărul de electroni care se îndreaptă spre anod crește, deci crește curentul anodic (fig. A.2. c)<sup>1)</sup>. În acest domeniu de tensiuni,

<sup>1)</sup> Convenția pentru curent în circuitul exterior tubului, este cea obișnuită; curentul este conceput ca un flux de sarcini pozitive. În acest caz, curentul de electroni dela catod la anod din interiorul tubului, este reprezentat în exteriorul tubului ca un curent ce intră în anod și iese din catod. Direcția de referință din fig. A.2, corespunde unui  $I_B$  pozitiv.

curentul este controlat de către cantitatea de sarcină spațială și este numit ca fiind *cu limitare prin sarcină spațială*. Această descriere accentuează rolul sarcinii spațiale în izolarea catodului față de influența potențialului atractiv al anodului. Cu toate că viteza electronilor emiși de catod este cu mult mai mare decât viteza electronilor ce se îndreaptă spre anod, în acest domeniu de tensiuni, electronii emiși sînt respinși de sarcina spațială și majoritatea dintre ei reintră în catod.

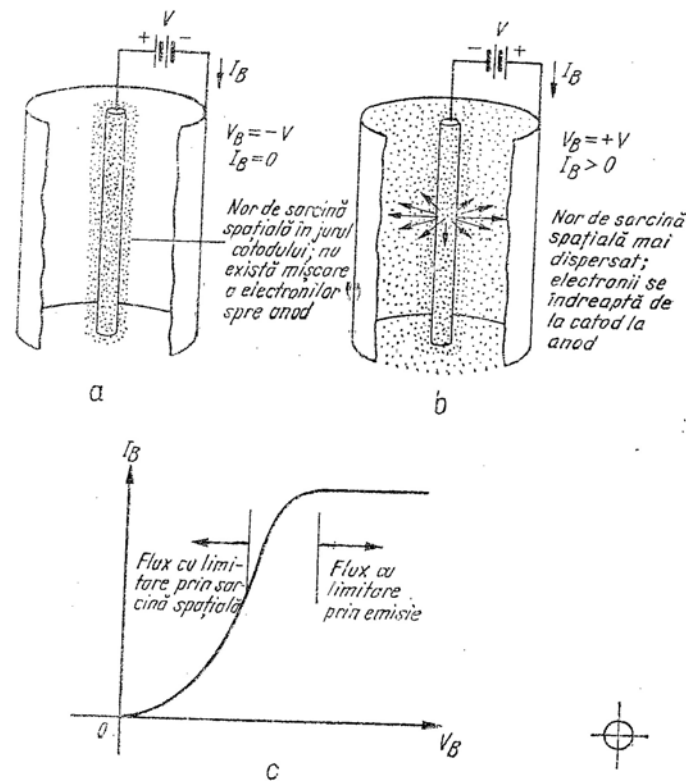


Fig. A.2. Dependența curent-tensiune [într-un tub cu vid cu două elemente. Sensul de referință pentru curent este pozitiv când purtătorii de sarcină pozitivi circulă în direcția curentului pozitiv. În consecință, când electronii ies din anodul tubului,  $I_B > 0$ ].

Pe măsură ce tensiunea anod-catod se mărește, densitatea de sarcină spațială scade și devine în cele din urmă atât de mică încît norul de sarcină spațială nu mai este eficient în ecranarea electronilor de la suprafața catodului. Când s-a ajuns la această situație, practic fiecare electron emis de

catod este colectat de anod, astfel încît curentul anodic devine aproape independent de tensiunea anod-catod. În această gamă de lucru curentul anodic este determinat de temperatura catodului, care, la rîndul ei, determină viteza de emisie și este numit ca fiind *cu limitare prin emisie* sau *cu limitare prin temperatură*.

Dispozitivul descris mai sus poartă numele de *diodă cu vid* sau *diodă termoionică*. Dioda cu vid poate fi considerată ca un element de circuit cu două terminale, avînd caracteristicile curent-tensiune prezentate în fig. A.2, c. În mod evident, caracteristica esențială a diodei este natura puternic neliniară a relației  $I-V$ ; acest dispozitiv permite trecerea curentului numai într-o singură direcție ( $I_B > 0$ ), împiedicînd trecerea curentului în cealaltă direcție ( $I_B$  nu poate fi negativ). În capitolul 6 s-a arătat că dispozitivele electronice care au această comportare se utilizează pe scară largă în circuite.

#### A.2.4. Rolul grilei

În aplicații ne interesează mai mult tuburile cu electrozi de control, din a căror categorie dioda *nu* face parte (deoarece are numai două terminale). Deci, vom introduce acum în structura noastră *grila* și vom studia efectul său asupra fluxului de electroni ce străbat spațiul vidat dintre anod și catod.

La un tub cu funcționare normală, grila este menținută la un potențial negativ față de catod, iar potențialul anodului față de catod este pozitiv. Mai mult decît atît, curentul anodic este suficient de scăzut, astfel încît fluxul de electroni este limitat de sarcina spațială. În aceste condiții, fluxul de electroni de la catod la anod este puternic influențat de grilă. Concret, tensiunea negativă a grilei (negativă față de catod) micșorează potențialul electrostatic din vecinătatea grilei. Potențialul la înfășurarea grilei este egal cu tensiunea grilei. Potențialul unui punct de pe suprafața grilei, dar situat între spirele sale, este mai pozitiv decît tensiunea grilei, dar nu atît de pozitiv cît ar fi fost dacă grila nu s-ar fi găsit în această structură. În fig. A.3 se prezintă variația potențialului electrostatic în regiunea dintre catod și anod. Pentru simplificare, am presupus o structură plan-paralelă în locul cazului mai obișnuit, în care, catodul este în întregime înconjurat de grilă și anod.

Ca urmare a potențialului negativ al grilei, potențialul electrostatic mediu în planul grilei este redus. În consecință, cîmpul electric în regiunea dintre catod și grilă este redus, și viteza cu care electronii se deplasează spre anod descrește. Din cauză că electronii din apropierea suprafeței catodului sînt parțial izolați de influența atractivă a anodului, datorită grilei negative, pentru orice valoare a tensiunii anod-catod, curentul în circuitul anod-catod este mai mic decît ar fi fost dacă grila fie nu exista, fie era mai puțin negativă. Această situație este ilustrată în fig. A.3, d,

în care curentul anodic apare ca o funcție de tensiunea anod-catod, pentru două valori fixe ale tensiunii grilă-catod. Aceste curbe arată că, pentru orice valoare a tensiunii anod-catod, curentul anodic descrește pe măsură ce tensiunea grilă-catod devine mai negativă.

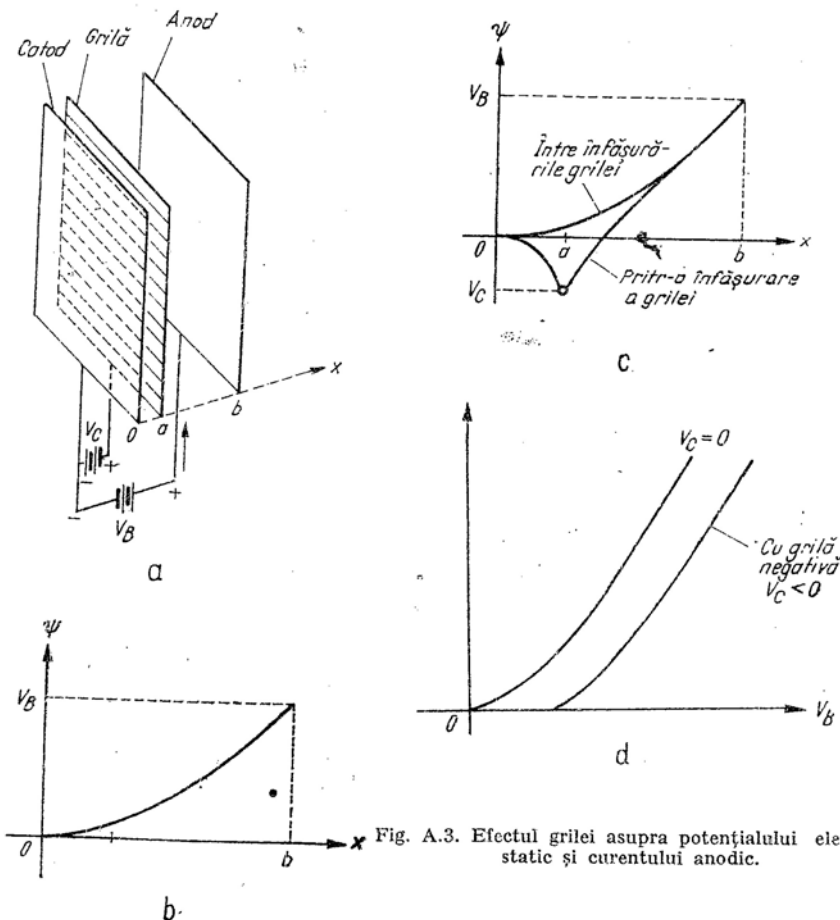


Fig. A.3. Efectul grilei asupra potențialului electrostatic și curentului anodic.

Curbele din fig. A. 3, d fac parte dintr-o familie de curbe parametrice care exprimă dependența curentului anodic atît de tensiunea anod-catod, cît și de tensiunea grilă-catod a triodei. În fig. A. 4 este reprezentată o familie a acestor curbe, în care tensiunea grilă-catod variază cu o cantitate fixă de la curbă la curbă. Această familie, care este tipică pentru func-



ționarea triodei, este deseori numită familia *caracteristicilor de ieșire*, sau *caracteristicilor anodice* ale triodei.

Caracteristicile de ieșire ale triodei arată că, dacă tensiunea grilă-catod este suficient de negativă, curentul anodic se anulează. Această condiție de conducție nulă se numește *blocare*. Evident, valoarea tensiunii grilă-catod necesară pentru a bloca fluxul de curent anodic depinde de tensiunea anod-catod.

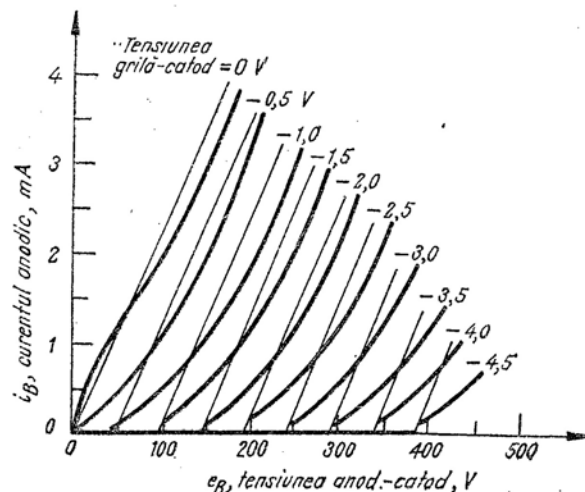


Fig. A.4. Caracteristicile de ieșire ale unei triode. Este prezentat numai primul cadran al planului curent anodic, tensiune anod-catod, deoarece curentul anodic nu este niciodată negativ, și, este nenul numai când anodul este pozitiv față de catod.

Controlul curentului anodic prin tensiunea grilă-catod, așa cum este prezentat în fig. A. 4, se realizează cu un consum foarte mic de putere în circuitul grilă-catod. Întrucât grila este negativă față de catod, ea respinge electronii încărcăți negativ și curentul de grilă este extrem de mic, practic de ordinul nanoamperilor.

Controlul regimului de lucru în circuitul anod-catod cu ajutorul tensiunii grilă-catod, având un curent neglijabil în circuitul de grilă, stă la baza acțiunii de control a unei triode cu vid; această funcționare stă la baza utilizării triodei cu vid ca ventil de comandă sau modulator de putere <sup>1)</sup>.

<sup>1)</sup> Descrierea funcționării triodei cu vid dată în acest paragraf este un minim necesar înțelegerii funcționării circuitelor simple, în care o triodă este utilizată ca ventil de comandă. Pentru o tratare mai detaliată a fenomenelor fizice din tuburile cu vid, a se vedea anexa B(N.A.)

### A.2.5. Diode și triode componente de circuit

Simbolul de circuit convențional pentru o diodă cu vid este prezentat în fig. A.5, a. Filamentul, care ridică temperatura catodului la o valoare necesară emisiei termoelectronice, nu este prezentat în acest simbol, și nici conexiunile sale. Dacă dorim, conexiunile filamentului se pot figura explicit, prin modificarea simbolului, așa cum indică fig. A.5, b.

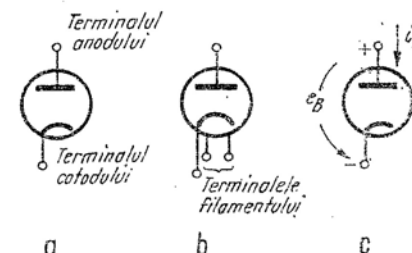


Fig. A.5 Simbolurile de circuit ale diodei și sensurile de referință.

Sensul tensiunii și sensul curentului prezentate în fig. A.5, c, sînt acceptate în mare măsură ca standarde. Curentul anodic  $i_B$  este pozitiv cînd intră în tub, (aceasta corespunzînd unui flux intern de electroni de la catod la anod), iar tensiunea anodică  $e_B$  este pozitivă cînd anodul este pozitiv în raport cu catodul. Simbolul de circuit și sensurile de referință ale unei triode cu vid sînt prezentate în fig. A.6. Aceste convenții sînt de fapt simple extensii ale situației de la dioda cu vid.

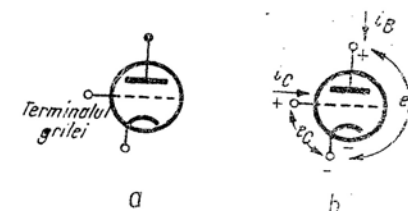


Fig. A.6 Simbolurile de circuit ale triodei și sensurile de referință.

Mărimile prezentate în fig. A.6, b sînt suficiente pentru descrierea completă a funcționării electrice a dispozitivului. Curentul catodic și tensiunea grilă-catod (care sînt definite în acest simbol) pot fi exprimate în funcție de curenții definiți, respectiv tensiunile definite, aplicînd legile lui Kirchhoff.

### A.3. UN AMPLIFICATOR ELEMENTAR

Exemplificăm principalele caracteristici și performanțe ale circuitelor care conțin triode cu vid, studiînd circuitul simplu cu tub cu vid arătat în



fig. A.7. Acest circuit utilizează o triodă cu vid pentru controlul transferului de putere de la sursă (caracterizată aici ca o sursă de tensiune cu valoarea  $V_B$ ) la sarcină (reprezentată de rezistența  $R_L$ ). Caracterizarea sarcinii printr-o rezistență este aplicabilă cu condiții limitative convenabile, pentru cazul unui difuzor, unui dispozitiv electromagnetic, sau, unei linii

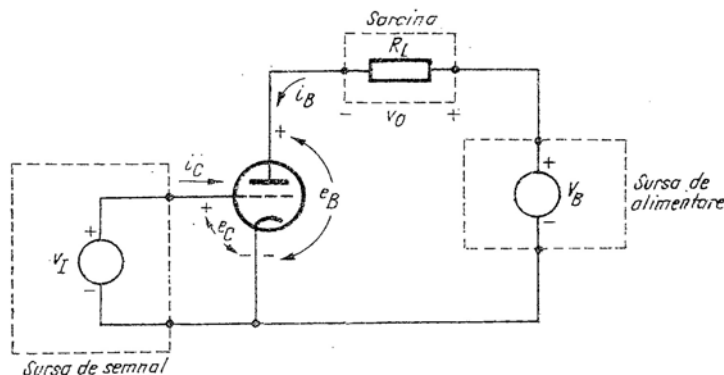


Fig. A.7 Un circuit simplu cu triodă.

de transmisiune. Intrarea dispozitivului activ-tensiunea grilă-catod — este dată de către o sursă de semnal (caracterizată de către o sursă de tensiune variabilă  $v_I$ ). Obiectivul nostru este să determinăm dependența curentului prin sarcină  $i_B$  (sau, echivalent, tensiunea la bornele sarcinii  $v_O$ ) de tensiunea sursei de semnal  $v_I$ .

Din punct de vedere al teoriei rețelelor, spune, că circuitul conține două bucle, sau două ochiuri. Buclea de *intrare* conține calea grilă-catod din triodă și sursa de semnal. Buclea de *ieșire* conține calea anod-catod din triodă, sursa de putere și sarcina.

Trioda este astfel concepută, încît curentul de grilă este neglijabil. În plus, tensiunea grilă-catod este determinată direct de sursa de semnal. Deci, pentru bucla de intrare, putem scrie:

$$i_C = 0; \quad (A.1a)$$

$$e_C = v_I. \quad (A.1b)$$

Aplicînd buclei de ieșire legea lui Kirchhoff pentru ochiuri obținem:

$$V_B = v_O + e_B \quad (A.2)$$

sau, echivalent,

$$V_B = i_B R_L + e_B. \quad (A.3a)$$

Trioda impune între  $i_B$  și  $e_B$  o relație de forma:

$$i_B = i_B(e_C, e_B). \quad (A.3b)$$

Această relație poate fi exprimată în formă grafică prin caracteristicile de ieșire, ca cele prezentate în fig. A.4.

Întrucît dorim să determinăm dependența curentului anodic de tensiunea sursei de semnal  $v_I$ , tot ceea ce se cere este să eliminăm pe  $e_C$  și  $e_B$  din ecuațiile A.1b, A.3a și A.3b. Problema este, de fapt, că ecuația A.3b este neliniară. În acest caz, singurul model disponibil pentru triodă este unul grafic, ca cel din fig. A.4. În consecință, folosim metode grafice pentru soluționarea acestor ecuații.

### A.3.1. Analiză grafică

Presupunem, pentru scopul acestei exemplificări, că trioda cu vid utilizată în circuitul din fig. A.7 este descrisă prin caracteristicile de ieșire din fig. A.4. Aceste curbe prezintă *caracteristicile de tip dipol ale triodei la bornele de ieșire*. Cu alte cuvinte, ele prezintă dependența curentului la bornele de ieșire în funcție de tensiunea la același borne. Acestea sînt curbe parametrice, parametrul fiind tensiunea la bornele de intrare.

Constrîngerile impuse de puterea sursei și de sarcină (ec. A. 3a) constituie o relație liniară între variabilele curent și tensiune la bornele de ieșire. Ecuația A. 3a exprimă, deci, o relație liniară între  $i_B$  și  $e_B$ . În consecință, aceste constrîngerii pot fi trasate sub forma unei *linii drepte* pe caracteristicile de ieșire, adică pe caracteristicile anodice din fig. A.4. Dreapta care corespunde constrîngerilor impuse de ecuația A.3 a se numește *dreaptă de sarcină*.

Intersecțiile dreptei de sarcină cu axele de coordonate rezultată din ecuația A.3a,

$$\text{cînd } e_B = 0, \quad i_B = \frac{V_B}{R_L}; \quad (A.4a)$$

$$\text{cînd } i_B = 0, \quad e_B = V_B. \quad (A.4b)$$

Dreapta de sarcină are deci o pantă în coordonatele  $i_B, e_B$ :

$$\text{panta} = -\frac{1}{R_L}. \quad (A.5)$$

Construcția dreptei de sarcină este arătată în fig. A.8. Valorile parametrilor utilizați în această construcție sînt:

$$V_B = 300 \text{ V};$$

$$R_L = 10^5 \Omega = 100 \text{ k}\Omega.$$

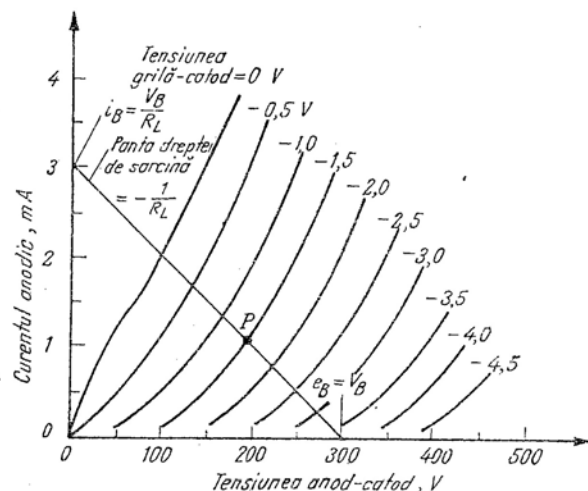


Fig. A.8 Caracteristicile de ieșire ale triodei cu dreapta de sarcină impusă de circuitul din fig. A.7.

Valorile lui  $i_B$  și  $e_B$  la care circuitul funcționează pentru orice valoare particulară a lui  $v_I (=e_I)$  corespund coordonatelor punctului de intersecție a dreptei de sarcină cu caracteristicile de ieșire corespunzătoare lui  $v_I$ . De exemplu, dacă  $v_I = -1,5 \text{ V}$ , starea circuitului este definită de punctul  $P$ .

Modul în care tensiunea de intrare  $v_I$  controlează sarcina sau tensiunea de ieșire  $v_O$ , poate fi rezumat grafic cu ajutorul caracteristicii de transfer arătată în fig. A.9. Caracteristica este generată considerînd mulțimea intersecțiilor dreptei de sarcină cu caracteristicile de ieșire pentru diferite valori negative ale lui  $v_I$ <sup>1)</sup>. Pentru orice valoare a lui  $v_I (=e_I)$ , tensiunea de ieșire  $v_O$  poate fi calculată din valoarea lui  $i_B$  găsită pe baza fig. A.8 (1,05 mA pentru punctul  $P$ ), precum și din relația:

$$v_O = i_B R_L. \quad (\text{A.6})$$

<sup>1)</sup> Nu putem lua în considerație valorile pozitive ale lui  $v_I$  deoarece nu am cercetat forma caracteristicii de ieșire în cazul în care tensiunea grilă-catod este pozitivă.

Rezultă că tensiunea  $v_O$  în punctul  $P$  este egală cu  $1,05 \cdot 100 = 105 \text{ V}$  așa cum se arată prin punctul  $P$  din fig. A.9. Pe de altă parte, se poate determina  $v_O$  din ecuația A.2. Se găsește  $e_B$  din fig. A.8 (195 V pentru punctul  $P$ ) și se scade aceasta din  $V_B = 300 \text{ V}$  pentru a obține 105 V ca mai înainte.

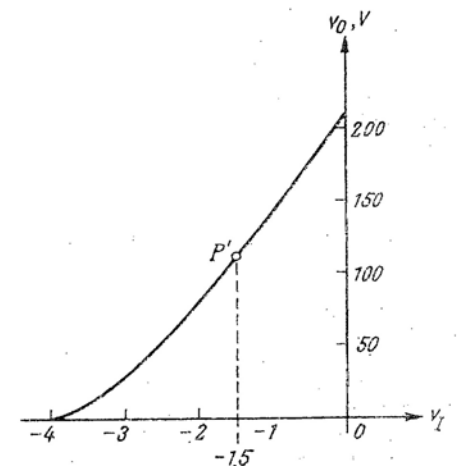


Fig. A.9 Caracteristica de transfer a circuitului din fig. A.7.

Caracteristica de transfer se aplatisează pentru valori mai negative decît  $-3,5 \text{ V}$  ale lui  $v_I$ , din cauză că trioda nu conduce în această regiune; în consecință nu există curent de sarcină, iar curentul anodic se numește tăiat.

### A.3.2. Transferul de energie

Posibilitatea unei triode cu vid de a funcționa ca ventil de comandă sau modulator de putere, rezultă în mod evident din caracteristicile de transfer din fig. A.9. Pe măsură ce  $v_I$  crește peste  $-3,5 \text{ V}$ , tensiunea  $v_O$  și deci puterea dată în sarcină cresc de asemenea.

Studiul transferului de energie în acest circuit simplu este foarte important, deoarece pune în evidență un aspect fundamental. Pentru a studia distribuția puterii în bucla de ieșire, (nu există putere dezvoltată în bucla de intrare, deoarece s-a presupus că  $i_C$  este nul) se multiplică ecuația A.3a, care exprimă legea lui Kirchhoff pentru tensiunea în acest ochi, cu  $i_B$  curentul în acest ochi. Rezultatul este:

$$i_B^2 R_L = V_B i_B - e_B i_B. \quad (\text{A.7})$$

Această ecuație are o interpretare simplă. Puterea dată în sarcină este  $i_B^2 R_L$ ; puterea dată de sursă este  $V_B i_B$ ; puterea disipată prin încălzire în tub este  $e_B i_B$ . În acest caz, ecuația A.7 arată că puterea dată în sarcină este egală cu puterea dată de sursa de energie, micșorată cu puterea disipată în dispozitivul activ. Rezultă că, dispozitivul activ, în acest caz, tubul, controlează transferul de energie de la sursă la sarcină și, în cursul procesului, consumă o oarecare putere el însuși (în afară de cazul când  $e_B$  sau  $i_B$  este zero).

În acest circuit se consideră că tubul are un *cîștig de putere*, deoarece controlează o putere mai mare decît aceea cerută la bornele de ieșire. Întrucît curentul de grilă este deosebit de mic, cîștigul de putere este foarte mare.

### A.3.3. Metode grafice utilizate în circuite mai complexe

Construcția dreptei de sarcină arătată în paragraful precedent poate fi adaptată oricărei situații în care dispozitivul este descris prin caracteristicile la o pereche de borne și se află într-o rețea constînd exclusiv din surse și elemente liniare. Orice situație de acest tip poate fi analizată formînd rețeaua echivalentă Thévenin sau Norton a porțiunii liniare a circuitului și, reprezentînd apoi, această rețea echivalentă printr-o dreaptă de sarcină pe caracteristicile neliniare.

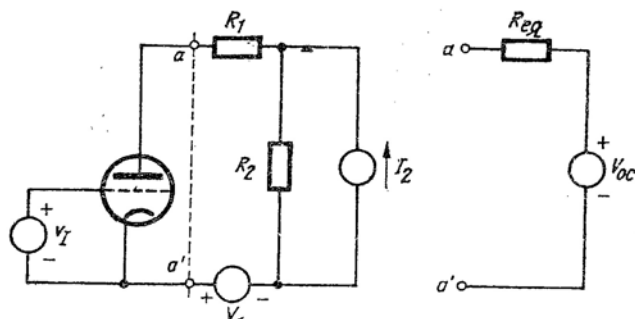


Fig. A.10 Circuit cu triodă în care se poate aplica teorema lui Thévenin pentru determinarea dreptei de sarcină.

Ca un exemplu specific unei astfel de construcții, să considerăm circuitul din fig. A.10, a. Porțiunea de rețea aflată la dreapta bornelor notate cu  $aa'$  poate fi înlocuită cu o rețea echivalentă Thévenin, așa cum se arată în fig. A.10, b. Elementele din această rețea echivalentă se obțin considerînd circuitul original. Rezistența  $R_{ec}$  a sursei echivalente se determină

deconectînd sursa independentă de curent  $I_2$  și înlocuind sursa independentă de tensiune  $V_1$  printr-un scurtcircuit. În acest caz :

$$R_{ec} = R_1 + R_2. \quad (A.8a)$$

Tensiunea de gol la bornele  $aa'$  este evident :

$$V_{oc} = I_2 R_2 - V_1. \quad (A.8b)$$

Curentul de scurtcircuit la bornele  $aa'$  este :

$$I_{sc} = \frac{V_{oc}}{R_{ec}} = \frac{I_2 R_2 - V_1}{R_1 + R_2}. \quad (A.8c)$$

În consecință, intersecțiile dreptei de sarcină cu caracteristicile de ieșire ale triodei, trasate în planul  $e_B - i_B$  sînt :

$$\text{cînd } i_B = 0, \quad e_B = V_{oc};$$

$$\text{cînd } e_B = 0, \quad i_B = I_{sc}.$$

Panta dreptei de sarcină este, evident,  $-1/R_{ec}$ .

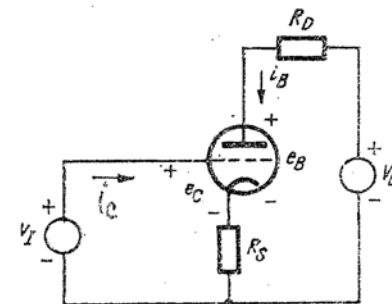


Fig. A.11 Circuit în care bucla de intrare și cea de ieșire sînt cuplate printr-o rezistență.

Circuitul din fig. A.11 furnizează un alt exemplu de analiză grafică. De observat că, buclele de intrare și ieșire sînt cuplate printr-o rezistență în terminalul catodului. În acest caz, tensiunea grilă-catod nu mai este egală cu tensiunea sursei de la intrare, ca în exemplele precedente.

Întrucît curentul de grilă este neglijabil, curentul în rezistența din catod este egal cu curentul anodic. În consecință, aplicarea legii lui Kirchhoff pentru tensiuni celor două ochiuri conduce la :

$$\text{bucle de intrare : } v_i = e_c + i_B R_S; \quad (A.9a)$$

$$\text{bucle de ieșire : } V_B = e_B + (R_D + R_S) i_B. \quad (A.9b)$$

A doua ecuație definește o dreaptă de sarcină pe caracteristicile de ieșire ale tubului. Intersecțiile sînt :

$$\text{pentru } i_B = 0, \quad e_B = V_B;$$

$$\text{pentru } e_B = 0, \quad i_B = \frac{V_B}{R_D + R_S}.$$

Dreapta de sarcină poate fi utilizată pentru a genera o caracteristică de transfer care să lege curentul anodic  $i_B$  cu tensiunea grilă-catod  $e_C$ . Odată ce această relație dintre  $i_B$  și  $e_C$  a fost determinată, ecuația A.9a poate fi utilizată pentru a lega tensiunea sursei de semnal  $v_i$  cu  $i_B$ . În acest caz, relația care arată dependența lui  $i_B$  de  $v_i$  se obține lucrînd, în ambele direcții față de  $e_C$ .

Analiza circuitului din fig. A.11 ar fi evident mult mai complicată dacă  $i_C$  ar fi definit de zero. În acest caz, tensiunea la bornele rezistenței  $R_S$  ar fi  $(i_B + i_C)R_S$ , astfel încît ambele ecuații A.9 ar conține un termen suplimentar. Acest termen ar avea drept consecință imposibilitatea utilizării dreptei de sarcină pentru rezolvarea ecuației buclei de ieșire.

### A.3.4. Amplificare liniară

După cum s-a văzut în fig. 1.1, numeroase aplicații în electronică, cer o amplificare liniară, adică reproducerea semnalului sau forme de undă la un nivel de putere mai ridicat. Circuitul de bază cu triodă cu vid din fig. A.7 poate îndeplini aceste condiții. Totuși, caracteristica de etransfer de tensiune din fig. A.9 arată în mod evident că nu este posibil să se aplice direct semnalul de intrare la bornele grilă-catod, pentru a se obține amplificarea liniară dorită; caracteristica de transfer este neliniară, și tensiunea pe sarcină nu va fi în nici un caz replica amplificată a tensiunii de la intrare. Dacă, totuși, semnalul de intrare are un domeniu de variație limitat, și dacă se suprapune peste o tensiune continuă convenabil aleasă, se poate obține o relație liniară între intrare și ieșire. Acest lucru este posibil deoarece există o porțiune a caracteristicii de transfer, în vecinătatea punctului  $P'$ , în care tensiunea de ieșire condiționează tensiunea de intrare și în schimbările acestor tensiuni sînt legate printr-o relație aproximativ liniară. Se poate deci obține o funcționare liniară dacă circuitul lucrează pe porțiunea de caracteristică din jurul punctului  $P'$ . Un circuit care permite funcționarea în apropierea punctului  $P'$  este prezentat în fig. A.12. De notat că sursa de tensiune anodică nu este arătată explicit; se subînțelege că este conectată între bornele notate cu  $+V_B$  și „masă”, sau punctul de referință notat prin. Acest circuit se deosebește de cel din fig.

A.7. prin aceea că tensiunea de intrare  $v_i$  care apare între grila și catodul tubului, este formată din două tensiuni componente, adică

$$v_i = V_I + v_i \quad (\text{A.10})$$

Tensiunea de curent continuu  $V_I$  este furnizată de o sursă simbolizată printr-o baterie. Semnalul ce trebuie amplificat este notat cu  $v_i^{(1)}$ .

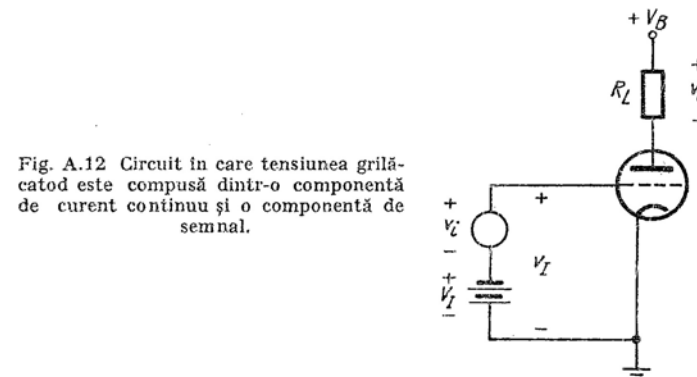


Fig. A.12 Circuit în care tensiunea grilă-catod este compusă dintr-o componentă de curent continuu și o componentă de semnal.

Componentele de curent continuu ale tensiunii de intrare ( $V_I$ ) trebuie alese astfel ca circuitul să funcționeze pe o porțiune liniară a caracteristicii de transfer. Presupunem, în mod arbitrar, că semnalul de intrare ( $v_i$ ) are semialternanțe pozitive și negative egale și -1 alegem pe  $V_I$  astfel încît, atunci cînd semnalul este zero, circuitul să lucreze la mijlocul regiunii liniare. Punctul  $P'$  este mai mult sau mai puțin la mijlocul porțiunii liniare a caracteristicii. Acest punct corespunde lui  $v_i = -1,5 \text{ V}$ . Vom fixa deci pe  $V_I$  la valoarea :

$$V_I = -1,5 \text{ V}$$

Funcționarea circuitului ca amplificator liniar este prezentată în fig. A. 13. În această exemplificare se presupune că semnalul este o undă si-

<sup>1)</sup> Notăția introdusă aici este standardizată pentru circuitele electronice. Variabilele instantanee totale sînt notate cu litere mici, avînd indicii majuscule ( $v_I$ ). Componentele fixe sau de curent continuu se scriu cu litere mari ca și indicii respectivi ( $V_I$ ). Componentele de semnal, instantanee, ca și indicii lor se scriu cu litere mici ( $v_i$ ). În cele ce urmează vom nota amplitudinile complexe cu majuscule, avînd indicii scriși cu literă mică. Cu toate că această notație poate părea greoaie și inutilă, o anumită convenție este absolut necesară pentru a evita confuzia. Această notație are avantajul de a pune în evidență rapid tipul de variabilă considerată.

<sup>2)</sup> Dacă  $v_i$  are alternanțe pozitive și negative inegale, alegerea punctului de funcționare este indicat să se facă spre unul din capetele regiunii liniare.

nusoidală cu amplitudinea de 1V. Tensiunea instantanee de ieșire se determină proiectând tensiunea instantanee de intrare pe caracteristica de transfer, pentru a găsi valoarea corespunzătoare a lui  $v_o$ . Această construcție este arătată prin linii punctate la un anumit moment  $t_1$ .

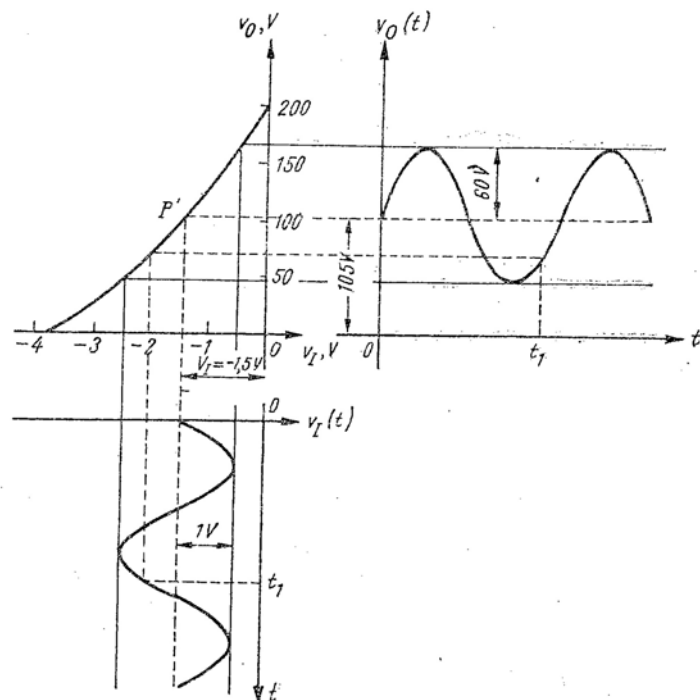


Fig. A.13 Metodă grafică pentru determinarea lui  $v_o(t)$  în circuitul din fig. A.12.

Construcția din fig. A.13 arată clar că tensiunea de ieșire are o componentă care este o replică amplificată a tensiunii de intrare. Această componentă sinusoidală este suprapusă peste o componentă de curent continuu, care corespunde valorii lui  $v_o$  în punctul  $P'$ . Tensiunea instantanee de ieșire  $v_o$  poate deci fi scrisă astfel

$$v_o = V_o + v_o \quad (\text{A.11})$$

unde  $V_o$  este o componentă de curent continuu având valoarea de circa 105 V, iar  $v_o$  este componenta alternativă; ea este aproximată printr-o undă sinusoidală având o amplitudine de aproximativ 60 V.

Dacă studiem componentele de semnal  $v_i$  și  $v_o$ , observăm că acestea se află într-o relație aproximativ liniară, așa cum s-a dorit. Concret,

$$v_o(t) \approx 60 v_i(t) \quad (\text{A.12})$$

Amplificarea de tensiune sau câștigul de tensiune de 60 corespunde pantei caracteristicii de transfer în regiunea de lucru; o tangentă în punctul  $P'$  la curba care exprimă dependența lui  $v_o$  de  $v_i$  are o pantă de aproximativ 60.

Circuitul prezintă proprietatea de *amplificare în putere* sau *câștig de putere*. Puterea medie disipată în curent alternativ într-o rezistență de sarcină de 100 kΩ este

$$P_{ac} = \frac{1}{2} \frac{(60)^2}{10^5} \approx 18 \text{ mW}$$

în timp ce puterea ce trebuie furnizată la bornele de intrare de către sursa de semnal  $v_i$  poate fi mică, de ordinul câtorva nanowați. Amplificarea de putere poate fi deci de ordinul  $10^5$  sau  $10^6$ .

Este important de observat că proprietatea numită câștig de putere, care, la urma urmei, distinge acest circuit activ de un transformator pasiv cu amplificare de tensiune, este o manifestare a transferului de putere controlat de la sursa de putere anodică ( $V_B$ ) la sarcină. Tubul controlează, pur și simplu, transferul de putere de la sursă la sarcină, astfel încât să se obțină reproducerea dorită a semnalului de intrare.

Construcția din fig. A. 13 arată că trebuie îndeplinite două condiții pentru ca semnalul de ieșire să se afle într-o relație liniară cu semnalul de intrare. În primul rând, componenta de curent continuu a tensiunii de intrare trebuie aleasă astfel ca circuitul să lucreze într-o porțiune liniară a caracteristicii de transfer în care există o amplificare. Cu alte cuvinte *punctul de lucru* sau *punctul static* trebuie ales convenabil. Bateria care stabilește punctul de funcționare este deseori numită *sursă de polarizare*. În al doilea rând, amplitudinea semnalului de intrare trebuie să fie limitată în mod convenabil. Dacă circuitul este polarizat necorespunzător, sau dacă semnalul de intrare este prea mare, vor surveni *distorsiuni*, întrucât relația dintre componentele de semnal devine neliniară, adică punctul de funcționare instantaneu se deplasează într-o porțiune a caracteristicii în care neliniaritatea contează. Efectul distorsiunilor asupra semnalului de ieșire este ilustrat în fig. A.14.

### A.3.5. Circuite de cuplaj și de polarizare

Amplificatorul din fig. A.12 are, din punct de vedere practic, două dezavantaje:

1. Sursa de semnal de intrare  $v_i$  trebuie să fie conectată în serie cu sursa de polarizare  $V_I$ . În acest caz, caracteristicile de curent continuu ale unei surse de semnal reale pot modifica punctul de funcționare.

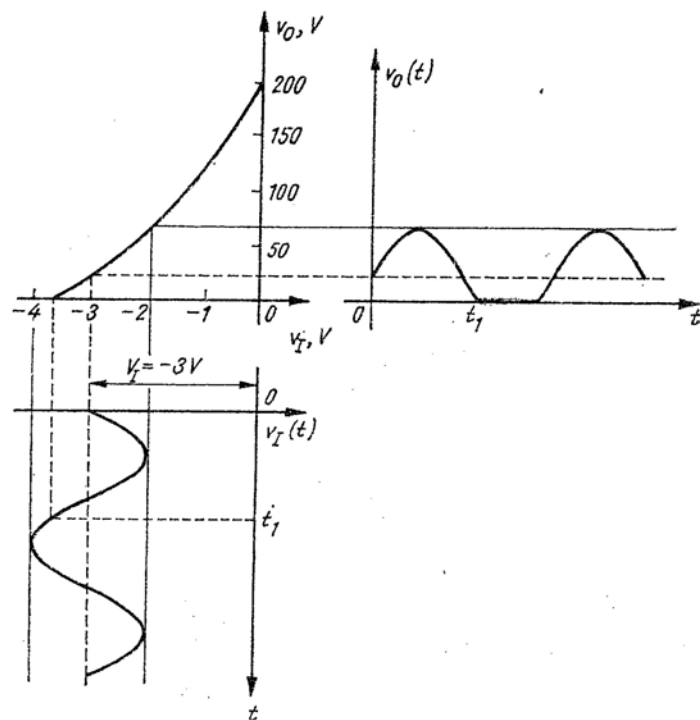


Fig. A.14. Semnalul de ieșire este distorsionat dacă punctul de funcționare este ales necorespunzător, sau dacă semnalul de intrare are o amplitudine prea mare.

2. Semnalul de ieșire este suprapus pe o componentă de curent continuu. În utilizarea amplificatorului, atât semnalul de intrare, cât și semnalul de ieșire dorit sînt adesea cu punct de masă comun. Tensiunea de intrare, de asemenea, nu trebuie să influențeze punctul de funcționare, iar ieșirea nu trebuie să conțină componente de curent continuu.

În fig. A. 15 este prezentat un amplificator la care bornele de intrare și ieșire au punct de masă și sînt izolate de sursa de alimentare de curent continuu  $V_B$ . Întrucît condensatoarele blochează curentul continuu, ele izolează porțiunile de circuit conectate la sursa de alimentare, de bornele

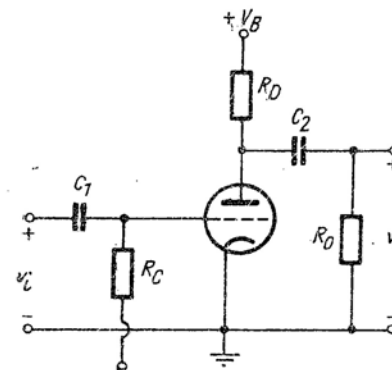


Fig. A.15 Amplificator în care sînt utilizate condensatoare pentru separarea bornelor de intrare și ieșire în curent continuu.

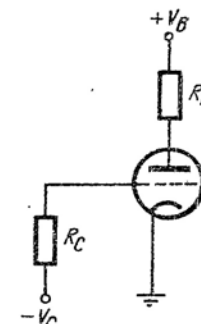


Fig. A.16 Circuit avînd același punct static de funcționare ca cel din fig. A.15.

terminale. În acest caz, circuitul care determină punctul de funcționare al triodei, constă numai din  $R_C$ ,  $R_D$  și tub, așa cum se arată în fig. A. 16. Tensiunea de curent continuu grilă-catod este aproximativ egală cu  $-V_C$ , deoarece curentul de grilă este neglijabil. Dacă considerăm  $V_B = 300$  V,  $R_D = 100$  k $\Omega$  și  $V_C = 1,5$  V, tensiunea de curent continuu grilă-catod este  $-1,5$  V, iar punctul de funcționare este același ca pentru circuitul din fig. A. 7; construcția grafică a dreptei de sarcină este arătată în fig. A.8.

Datorită condensatoarelor din circuitul din fig. A.15, tensiunea de ieșire  $v_o$  este zero atunci cînd tensiunea de intrare  $v_i$  este zero. Condensatorul de intrare  $C_1$  se încarcă la tensiunea  $E_C$ , în timp ce condensatorul de ieșire  $C_2$  se încarcă la tensiunea  $E_D$ , care este tensiunea anod-catod în punctul de funcționare.

Condensatoarele servesc pentru cuplarea semnalului de intrare de curent alternativ ( $v_i$ ) la grilă, și componente de curent alternativ a tensiunii anod-catod la bornele de ieșire, adică la  $v_o$ . În cazul în care capacitățile au o valoare suficient de mare, astfel încît, variația tensiunii la bornele lor să fie neglijabilă în timpul care ne interesează, componenta de semnal  $e_c$  din tensiunea grilă catod este egală cu tensiunea de intrare  $v_i$ , iar tensiunea

de ieșire  $v_o$  este egală cu componenta de semnal  $e_o$  a tensiunii anod-catod <sup>1)</sup>, adică :

$$v_i = e_o \quad (\text{A.13a})$$

$$v_o = e_b \quad (\text{A.13b})$$

De notatm, totuși, că atunci cînd, datorită valorilor nenule ale lui  $v_i$ , punctul de funcționare instantaneu al tubului se deplasează față de punctul static ( $P$  din figura A.8), mișcarea *nu* se face în lungul drepte de sarcină utilizat pentru determinarea punctului de funcționare. Datorită faptului că tensiunea la bornele lui  $C_2$  nu se schimbă, ci rămîne la valoarea corespunzătoare lui  $v_i = 0$ , apare o variație a tensiunii anodice, *atît la bornele lui  $R_D$ , cît și la bornele lui  $R_o$* , iar variația corespunzătoare a curentului anodic este suma variațiilor curenților prin aceste două rezistențe. În consecință, dreapta de sarcină care corespunde variațiilor de curent alternativ are o pantă care nu este egală cu  $-1/R_D$ , ci cu

$$\text{panta} = -1/R_D \parallel R_o = -\frac{R_D + R_o}{R_D R_o} \quad (\text{A.14})$$

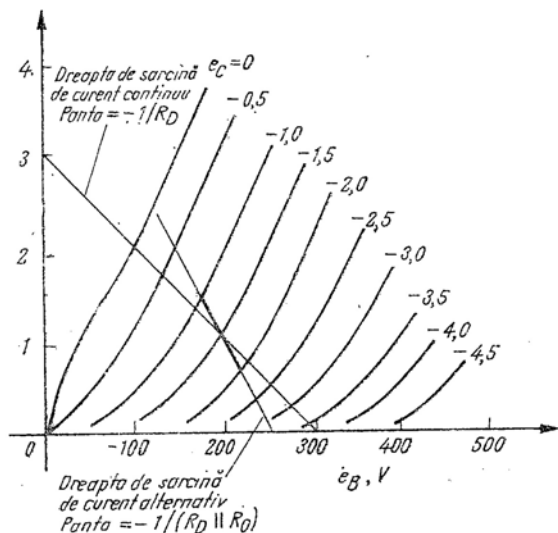


Fig. A.17. Dreptele de sarcină de curent continuu și de curent alternativ pentru circuitul din fig. A.15.

<sup>1)</sup> În terminologia tradițională utilizată pentru tuburile cu vid, componenta de semnal a tensiunii grilă-catod se notează cu  $e_g$  în loc de  $e_o$ , iar componenta de semnal a tensiunii anod-catod se notează cu  $e_p$  în loc de  $e_b$ . În această carte vom folosi notația  $e_c$  și  $e_b$ .

*Dreapta de sarcină de curent alternativ are o pantă mai mare decît dreapta de sarcină de curent continuu, așa cum se arată în figura A.17, deoarece rezistența de sarcină în curent alternativ  $R_D \parallel R_o^1$  este mai mică decît rezistența de sarcină în curent continuu (schîța este desenată pentru  $R_o = R_D$ ). Porțiunea îngrîtă a drepte de sarcină de curent alternativ*

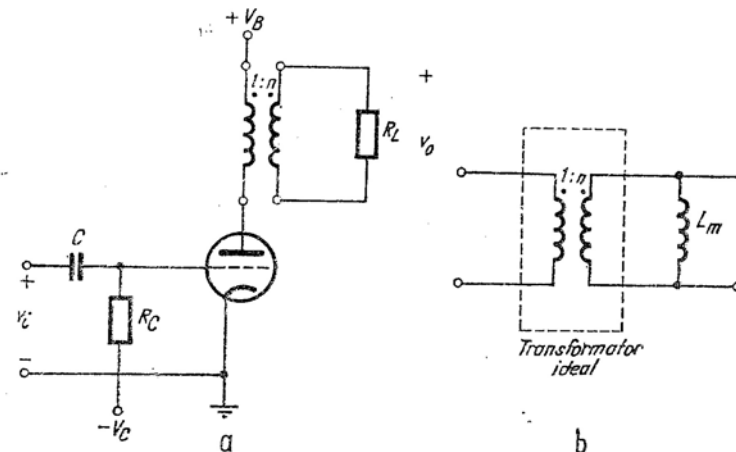


Fig. A.18 Amplificator cu transformator de cuplaj.

arată variația stării circuitului corespunzătoare unei variații a semnalului de intrare de  $\pm 0,5$  V. Componenta de curent alternativ a tensiunii anod-catod este egală cu  $v_o$  și poate fi determinată proiectînd excursia punctului de funcționare în lungul drepte de sarcină de curent alternativ pe axa tensiunii. În acest mod se poate construi *caracteristica de transfer de curent alternativ*.

În fig. A.18 a se prezintă o variantă de circuit care utilizează un transformator pentru a separa componenta de curent alternativ a semnalului de ieșire de componenta de curent continuu a tensiunii anodice și pentru a izola rezistența de sarcină  $R_L$  de sursa de alimentare. Evident, transformatorul nu transformă curentul continuu. În fig. A.18 b se află un circuit echivalent al transformatorului care pune în evidență acest fapt. Inductanța  $L_m$  numită inductanță de magnetizare, scurtcircuitază transformatorul ideal din punct de vedere al curentului continuu. Dacă  $L_m$  este suficient de mare, variația curentului este nesemnificativă în domeniul de frecvențe în care lucrăm, astfel încît această inductanță poate fi neglijată.

<sup>1</sup> Notația  $\parallel$  este utilizată pentru a desemna combinația în paralel a rezistențelor.



În fig. A. 19 sînt prezentate dreptele de sarcină în curent continuu și în curent alternativ pentru acest circuit. Dreapta de sarcină de curent continuu este verticală<sup>1)</sup>, deoarece nu există cădere de tensiune continuă la bornele transformatorului. Punctul static de funcționare  $P$  este determinat de  $V_C$  care determină tensiunea de curent continuu grilă-catod. Dreapta

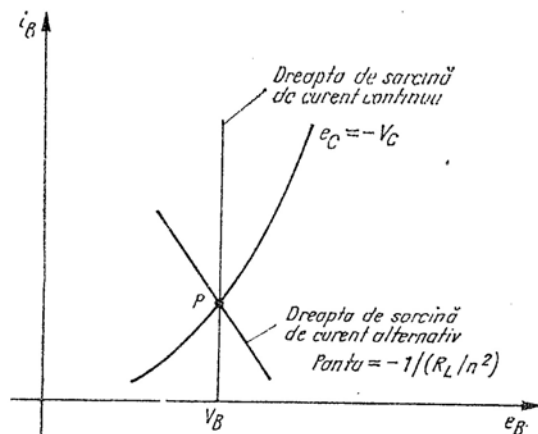


Fig. A.19 Dreptele de sarcină pentru circuitul din fig. A.18.

de sarcină de curent alternativ trece prin punctul de funcționare avînd o pantă  $-1/(R_L/n^2)$ , întrucît rezistența de sarcină văzută în primarul transformatorului este  $R_L/n^2$ . Componenta de curent alternativ a tensiunii anod-catod se determină proiectînd variația punctului de funcționare instantaneu de pe dreapta de sarcină de curent alternativ pe axa tensiunilor (v. fig. A.17). Această tensiune de curent alternativ este evident de  $n$  ori mai mică decît tensiunea de ieșire de curent alternativ  $v_o$ . De notat că, tensiunea instantanee anod-catod poate fi în acest circuit mai mare decît  $V_B$ .

Condensatoarele utilizate în cele două circuite analizate în acest paragraf, blochează componentele de curent continuu ale curenților și cuplează semnalele de curent alternativ la intrarea și la ieșirea amplificatorului. De aceea ele sînt numite fie *condensatoare de blocare*, fie *condensatoare de cuplaj*, și sînt alese astfel încît căderea de tensiune alternativă la bornele lor să fie neglijabilă (vezi capitolul 14).

<sup>1</sup> Un model de transformator mai realist ar ține seama de rezistența înfășurărilor. Dreapta de sarcină în curent continuu ar fi în acest caz înclinată și nu verticală.

## A.4. MODELAREA ȘI ANALIZA CIRCUITELOR ACTIVE LINIARE

După cum s-a văzut în paragraful precedent, amplificatoarele care utilizează dispozitive active sînt astfel concepute încît să se obțină caracteristici intrare-ieșire liniare. Aceasta se poate obține prin restrîngerea domeniului de variație a curenților și tensiunilor la bornele dispozitivului activ, astfel încît neliniaritățile caracteristicilor acestuia să nu fie observabile. În acest caz, între componentele de semnal din jurul punctului static de funcționare există o relație aproximativ liniară.

Utilizăm această relație liniară a componentelor de semnal la variații suficient de mici pentru a obține o descriere algebrică a funcționării dispozitivului. O astfel de descriere furnizează o variantă la modelele grafice considerate pînă acum, și face posibilă utilizarea instrumentului puternic al teoriei circuitelor liniare în analiza circuitelor active. Pentru a exemplifica această metodă vom utiliza din nou o triodă cu vid.

### A.4.1. Model de semnal mic

Ținînd seama de natura fizică a triodei, vom considera tensiunile la borne ca variabile independente, iar curenții ca variabile dependente. În acest caz, descrierea formală a funcționării electrice a dispozitivului este:

$$i_B = i_B(e_B, e_C) \quad (\text{A.15a})$$

$$i_C \approx 0 \quad (\text{A.15b})$$

Considerăm fiecare variabilă la terminale ca fiind formată dintr-o componentă *statică*, sau de curent continuu, și o componentă *de semnal*. Componentele statice definesc punctul de funcționare în curent continuu; componentele de semnal măsoară depărtarea de acest punct de lucru. În acest caz, cele patru variabile totale instantanee care apar în ecuația A. 15, pot fi scrise

$$e_B = E_B + e_b \quad (\text{A.16a})$$

$$e_C = E_C + e_c \quad (\text{A.16b})$$

$$i_B = I_B + i_b \quad (\text{A.16c})$$

$$i_C = I_C + i_c \quad (\text{A.16d})$$

Notăția este cea introdusă în paragraful A.3.4; primii termeni din membrul drept al acestor ecuații sînt componentele de curent continuu, iar următorii sînt componentele de semnal.

O reprezentare formală a relației dintre componentele de semnal poate fi obținută dezvoltînd în serie Taylor în jurul punctului static, relația funcțională implicată de ecuația A.15. Dezvoltarea ecuației A.15 a este

$$i_B = i_B|_Q + \frac{\partial i_B}{\partial e_B|_Q} e_b + \frac{\partial i_B}{\partial e_C|_Q} e_c + \frac{1}{2!} \frac{\partial^2 i_B}{\partial e_B^2|_Q} e_b^2 + \frac{1}{2!} \frac{\partial^2 i_B}{\partial e_C^2|_Q} e_c^2 + \frac{\partial^2 i_B}{\partial e_B \partial e_C|_Q} e_b e_c + \dots$$

+ termenii de ordin superior, (A.17)

Notăția  $i_B|_Q$  sau  $\partial i_B / \partial e_B|_Q$  arată că funcția sau derivata parțială considerată trebuie evaluată în punctul  $e_B = E_B$ ,  $e_C = E_C$ . Dacă variabilele de semnal sînt suficient de mici, astfel încît curentul anodic instantaneu să fie aproximativ liniar în vecinătatea acestui punct, dezvoltarea poate fi aproximată neglijînd termenii de ordinul al doilea și mai mare. În acest caz

$$i_B \approx i_B|_Q + \frac{\partial i_B}{\partial e_B|_Q} e_b + \frac{\partial i_B}{\partial e_C|_Q} e_c \quad (\text{A.18a})$$

Dacă se exprimă curentul anodic în funcție de componentele sale de curent continuu și de curent alternativ, ecuația A.18 a devine, folosind ecuația A.16c

$$I_B + i_b = i_B|_Q + \frac{\partial i_B}{\partial e_B|_Q} e_b + \frac{\partial i_B}{\partial e_C|_Q} e_c \quad (\text{A.18b})$$

Întrucît componentele de semnal mic sînt independente de componentele statice, ele pot fi considerate nule, fără a afecta punctul static de funcționare al dispozitivului. În acest caz, ecuația A. 18b devine

$$I_B = i_B|_Q \quad (\text{A.19a})$$

În sfîrșit, dacă scădem din ecuația A.18b relația corespunzătoare punctului static, obținem o relație între componentele de semnal mic :

$$i_b = \frac{\partial i_B}{\partial e_B|_Q} e_b + \frac{\partial i_B}{\partial e_C|_Q} e_c \quad (\text{A.19b})$$

De fapt, din ecuația A.19a nu aflăm nimic nou. Ea ne spune numai că curentul anodic continuu este legat de tensiunile continue de la bornele

terminale prin relația funcțională (A. 15a), evaluată în punctul de lucru. Ecuația A. 19 b este o relație liniară între componentele de semnal. Coeficienții acestei relații liniare sînt derivatele relației între variabilele totale, evaluate în punctul static de funcționare.

Întrucît curentul de grilă este egal aproximativ cu zero, o dezvoltare formală nu este necesară. Putem scrie

$$i_c \approx 0 \quad (\text{A.20a})$$

$$i_c \approx 0 \quad (\text{A.20b})$$

Desigur, o relație funcțională, nenulă, pentru curentul de grilă ar fi putut fi dezvoltată exact în același mod ca pentru  $i_b$ .

Ecuația A.19b constituie un model care leagă liniar componentele de semnal. Acest model se numește *modelul de semnal mic* sau *modelul incremental*. Variabilele pe care le leagă sînt deseori numite *variabile de semnal mic*. Aceste denumiri accentuează faptul că modelul se aplică numai pentru domenii de variație restrînse ale componentelor de semnal.

Modelul de semnal mic poate fi exprimat pe baza unei reamenajări a elementelor circuitului idealizat. În acest caz, scriem ecuația A.19b astfel:

$$i_b = g_p e_b + g_m e_c \quad (\text{A.21a})$$

unde

$$g_p = \frac{i_B}{e_B|_Q} \quad (\text{A.21b})$$

este considerată *conductanța anodică (de ieșire) de semnal mic*, iar

$$g_m = \frac{i_B}{e_C|_Q} \quad (\text{A.21c})$$

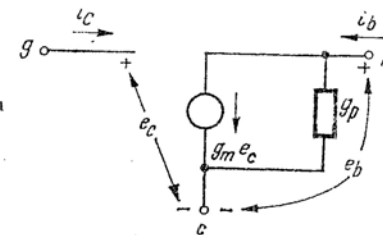


Fig. A.20 Model de semnal mic pentru trioda cu vid.

este numită *conductanța de semnal mic de transfer în sens direct*, sau, mai simplu, *transconductanța de semnal mic*. Cu aceste notații, modelul de semnal mic poate fi reprezentat ca în fig. A. 20. Acest model corespunde ecuațiilor A. 20b și A. 21a, deoarece ecuațiile la noduri ale circuitului corespund exact descrierii algebrice.

De fapt, modelul de semnal mic din fig. A. 20 este doar o reprezentare formală a relațiilor între variabilele de semnal mic; el nu este complet decât dacă se determină coeficienții  $g_p$  și  $g_m$ . Analiza comportării fizice a triodei cu vid ne-ar pune la dispoziție o relație algebrică specifică, avînd forma ecuației A.15 a. Această descriere a dispozitivului ar putea sta la baza determinării directe a parametrilor de semnal mic, în concordanță cu ecuațiile A.21 b și A. 21 c. Vom exemplifica această cale în capitolul 23, după ce vom analiza din punct de vedere cantitativ comportarea fizică a triodelor cu vid. Pentru moment, evaluăm parametrii de semnal mic, analizînd legătura dintre ei și descrierea grafică a dispozitivului.

Parametrii de semnal mic  $g_p$  și  $g_m$  sînt corelați cu pantele și distanțele dintre caracteristicile statice de ieșire. Ecuația A. 21 b arată că  $g_p$  poate fi scris

$$g_p \approx \left. \frac{\Delta i_B}{\Delta e_B} \right|_{\Delta e_C = 0} \quad (\text{A.22a})$$

Cu alte cuvinte, conductanța de ieșire de semnal mic este egală cu panta în punctul de funcționare a caracteristicii curentului anodic în funcție de tensiunea anodică, pentru o tensiune fixă grilă-catod. În mod asemănător, transconductanța de semnal mic poate fi scrisă

$$g_m \approx \left. \frac{\Delta i_B}{\Delta e_C} \right|_{\Delta e_B = 0} \quad (\text{A.22b})$$

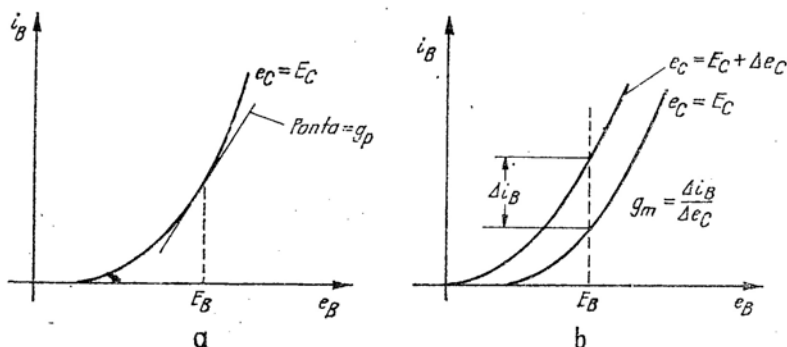


Fig. A.21 Determinarea parametrilor de semnal mic cu ajutorul caracteristicilor statice.

Acest coeficient este egal cu distanța dintre două caracteristici de curent corespunzătoare unității de tensiune  $e_C$ . Aceste relații sînt prezentate în fig. A. 21.

#### A.4.2. Analiza de semnal mic a unui amplificator

Pentru a exemplifica aplicarea modelelor de semnal mic, să considerăm din nou amplificatorul simplu din fig. A. 12. Condiția pe care sursa de alimentare și rezistența de sarcină o impune tubului este

$$V_B = i_B R_L + e_B \quad (\text{A.23a})$$

Exprimînd curentul anodic și tensiunea anod-catod în funcție de componentele lor de curent continuu și de semnal, obținem

$$V_B = (I_B R_L + E_B) + (i_b R_L + e_b) \quad (\text{A.23b})$$

Întrucît componentele statice și cele de semnal mic sînt independente, această relație poate fi separată în două părți:

$$V_B = I_B R_L + e_B \quad (\text{A.24a})$$

$$0 = i_b R_L + e_b \quad (\text{A.24b})$$

Ecuația A. 24 a exprimă legătura dintre componentele de curent continuu și, practic, nu spune nimic nou. Ecuația A.24b leagă componentele de semnal mic. Membrul stîng este nul deoarece tensiunea sursei de alimentare are o valoare fixă și nu are componentă de semnal.

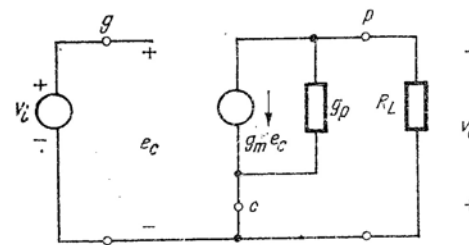


Fig. A.22 Model de semnal mic pentru amplificatorul din fig. A.12.

Ecuația A. 24b exprimă constrîngerea pe care o impune curentul variabilelor de semnal mic la bornele anod-catod ale tubului. În consecință, această constrîngere poate fi reprezentată cu ajutorul modelului de semnal mic al dispozitivului, din fig. A. 22. De observat că bornele grilă-catod sînt conectate direct la  $v_i$ , care este componenta de semnal a tensiunii de intrare; componenta de curent continuu corespunzătoare  $V_I$  (care fixează punctul de funcționare) nu apare în această rețea de semnal mic. În gene-

ral, toate sursele trebuie suprimate când formăm circuitul de semnal mic. Aceasta revine la a înlocui toate sursele de tensiune continuă cu scurt-circuite (ca în fig. A. 22), iar sursele de curent continuu cu goluri (între-ruperi).

Modelul din fig. A. 22 poate fi utilizat pentru evaluarea dependenței lui  $v_o$  de  $v_i$ . Concret,

$$v_o = (g_m e_c) R_L \parallel \left( \frac{1}{g_p} \right) \quad (\text{A.25a})$$

sau,

$$v_o = g_m \frac{R_L r_p}{R_L + r_p} e_c \quad (\text{A.25b})$$

unde  $r_p$  reprezintă inversul lui  $g_p$ . Ținând cont că  $e_c = v_i$ , avem

$$\frac{v_o}{v_i} = g_m \frac{R_L r_p}{R_L + r_p} \quad (\text{A.25c})$$

Acest raport al variabilelor de semnal mic este *raportul de transfer direct în tensiune, la semnal mic*, (egal cu panta caracteristicii de transfer în punctul de funcționare, ca în fig. A. 13).

Pentru a verifica această afirmație, să evaluăm  $g_m$  și  $g_p$  din fig. A.8 și să calculăm  $v_o/v_i$ . Punctul de funcționare este arătat pe caracteristicile de ieșire din fig. A. 8. Pentru acest punct, în concordanță cu ecuația A. 22, găsim

$$g_p \approx \frac{1}{80 \text{ k}\Omega}$$

$$g_m \approx 1,5 \text{ mS}$$

Pentru  $R_L = 100 \text{ k}\Omega$  găsim  $v_o/v_i \approx 65$ , care, ținând cont de precizia acestor scheme, este egal cu panta caracteristicii de transfer în punctul de funcționare.

În circuite mai complexe, modelele de semnal mic liniare, ca cel [din acest exemplu, prezintă avantaje importante față de modelele de analiză grafică. Aceasta apare evident când circuitul care ne interesează conține elemente care înmagazinează energie, și, când trebuie luată în considerare dinamica dispozitivelor active. În astfel de cazuri, utilizarea modelelor liniare de semnal mic ne permite să utilizăm toate instrumentele de analiză,

punctele de vedere și intuiția dezvoltate în studiul circuitelor liniare pasive. De exemplu, se pot utiliza adesea, cu multă eficiență, metode care consideră semnalele de excitație de formă exponențială și care se axează pe frecvențele naturale ale sistemului.

O atenție deosebită se acordă la trei aspecte ale modelelor de semnal mic și analizei de semnal mic. În primul rând, parametrii acestor modele depind explicit de punctul de funcționare. În consecință, este fără sens să se specifice parametrii de semnal mic fără a se specifica, de asemenea, punctul de funcționare în care sînt considerați acești parametri. În al doilea rând, analiza de semnal mic nu ține cont de natura evident neliniară a dispozitivelor active. Deci, modelele de semnal mic nu pot fi utilizate pentru evaluarea distorsiunilor unui amplificator; ele nici măcar nu sugerează existența neliniarităților care produc distorsiuni. Este deci necesar să se rețină că analiza de semnal mic este valabilă numai pentru variații mici ale variabilelor. În al treilea rând, modelul de semnal mic se aplică *numai* la componentele de semnal mic ale variabilelor și nu poate fi utilizat pentru studiul relațiilor dintre componentele statice ale variabilelor, sau dintre variabilele totale.

#### REFERINȚE BIBLIOGRAFICE

- A.1. H. J. Zimmermann și S. J. Mason, *Electronic Circuit Theory*, Wiley, New York, 1959.  
A.2. T. S. Gray, *Applied Electronics*, The M.I.T. Press, Cambridge, Mass., 1954.

#### PROBLEME

**P.A.1.** Trioda cu vid ale cărei caracteristici de ieșire sînt prezentate în fig. A.4, este conectată în circuitul din A.7. Valorile parametrilor sînt

$$V_B = 250 \text{ V}$$

$$R_L = 50 \text{ k}\Omega$$

- (a) Să se traseze dreapta de sarcină pe coordonatele din fig. A.4.  
(b) Care este cea mai mică valoare a lui  $e_c$  care va bloca trioda, adică îl va reduce pe  $i_B$  la zero?  
(c) Să se determine punctul de funcționare ( $e_B$ ,  $i_B$ ) pentru

$$(1) e_c = 0 \text{ V}$$

$$(2) e_c = 2 \text{ V}$$

**P.A.2.** Utilizând valorile parametrilor introduse în problema P.A.1, să se determine, să se traseze și să se dimensioneze caracteristica statică de transfer, adică  $v_o$  în funcție de  $v_i$  pentru  $-4V < v_i < 0$ .

Să se traseze caracteristicile de transfer în coordonatele din fig. A.9.

**P.A.3** Această problemă se referă la circuitul din fig. A.11. Tubul este descris de caracteristicile de ieșire din fig. A.4. Să presupunem că

$$V_B = 300 \text{ V}$$

$$R_D = 80 \text{ k}\Omega$$

$$R_S = 500 \Omega$$

(a) Să se determine punctul de funcționare ( $e_B, i_B$ ) la  $v_i = 0$ .

(b) Să se determine, să se traseze și să se dimensioneze caracteristica statică de transfer, care leagă tensiunea  $v_D$ , la bornele rezistenței  $R_D$ , cu tensiunea de intrare  $v_i$ , în domeniul  $-4V < v_i < 1V$ .

(c) Fiind date  $V_B = 300 \text{ V}$ ,  $v_i = 0$ ,  $R_D = 80 \text{ k}\Omega$ , se impune ca circuitul să lucreze cu  $i_B = 1,5 \text{ mA}$ . Ce valoare a lui  $R_S$  va conduce la acest punct de funcționare?

**P.A.4** Această problemă se referă la amplificatorul din fig. A.15. Se presupune că tubul este descris prin caracteristicile din fig. A.4 și că

$$V_B = 400 \text{ V}$$

$$R_D = R_O = 50 \text{ k}\Omega$$

$$V_C = -1,5 \text{ V}$$

Să se găsească punctul static de funcționare ( $e_B, i_B$ ).

**P.A.5.** Considerând circuitul din fig. A. 18a și

$$V_B = 200 \text{ V}$$

$$R_L = 2 \text{ k}\Omega$$

să se determine valoarea lui  $V_C$  care conduce la un curent anodic 2mA. Se vor utiliza caracteristicile din fig. A.4.

**P.A.6.** Această problemă este o dezvoltare a problemei P.A.3 și utilizează valorile parametrilor introduse acolo.

(a) În punctul de funcționare, cînd  $v_i = 0$ , să se determine  $g_m$  și  $r_p$ .

(b) Să se deducă o expresie pentru amplificarea de tensiune de semnal mic  $v_d/v_i$  unde  $v_d$  reprezintă componenta de semnal mic a tensiunii la bornele lui  $R_D$ .

(c) Să se determine amplificarea de tensiune de semnal mic în punctul de funcționare corespunzător lui  $v_i = 0$ . Să se compare acest rezultat cu panta în același punct de funcționare, determinată în problema P.A.3.

**P.A.7.** Această problemă este o dezvoltare a problemei P.A.4 și utilizează aceleași valori ale parametrilor.

(a) Să se determine  $g_m$  și  $r_p$  în punctul de funcționare.

(b) Să se deducă expresia amplificării de tensiune de semnal mic  $v_o/v_i$  și să se calculeze această amplificare în punctul de funcționare.

## ANEXA B

### B.1. Electronica fizică a tuburilor cu vid

B.1.1. Analiza statică a diodei și legea parabolică 3/2

B.1.2. Efecte dinamice în diode

B.1.3. Analiza statică a triodei

B.1.4. Efecte dinamice în triode

B.1.5. Tuburi cu vid cu mai multe grile

### B.2. Circuite echivalente tuburilor cu vid

B.2.1. Modele cu liniarizare pe porțiuni pentru diode

B.2.2. Modele cu liniarizare pe porțiuni pentru triode

B.2.3. Modele de semnal mic ale triodelor

B.2.4. Circuite echivalente ale pentodelor

*Referințe bibliografice*

*Probleme*

## B

Electronica fizică a tuburilor cu vid  
și circuite echivalente

## B.1. ELECTRONICA FIZICĂ A TUBURILOR CU VID

## B.1.1. Analiza statică a diodei și legea parabolică 3/2

În acest capitol urmărim să studiem în termeni cantitativi dependența curentului anodic de tensiunea anod-catod, și să determinăm distribuția potențialului electrostatic și sarcinii spațiale în diodă. Cu toate că, am putea dezvolta această analiză pentru structura cilindrică arătată în

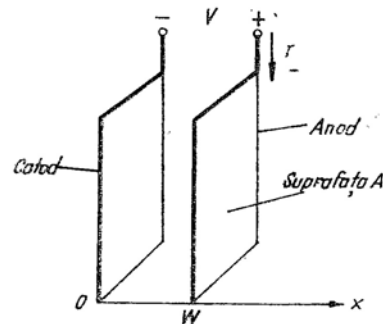


Fig. B.1 Diodă cu structură plan-paralelă.

fig. A.1, soluțiile ecuațiilor diferențiale care guvernează distribuția și fluxul electronilor în structură, se obțin mai ușor dacă ne referim la structura plan-paralelă din fig. B.1. Presupunem că electrozii, care au suprafața  $A$ , au dimensiuni mari față de distanța  $W$  dintre ei. În acest caz, vom neglija

discontinuitatea câmpului electric și a curentului la marginile electrozilor și vom presupune că câmpul și curentul sînt orientate pe direcția  $x$ , și sînt uniforme pe întreaga suprafață a electrozilor.

Ne ocupăm acum de consecințele creșterii de la zero a vitezei cu care electronii sînt emiși de suprafața catodului. În acest caz, variabila impli-

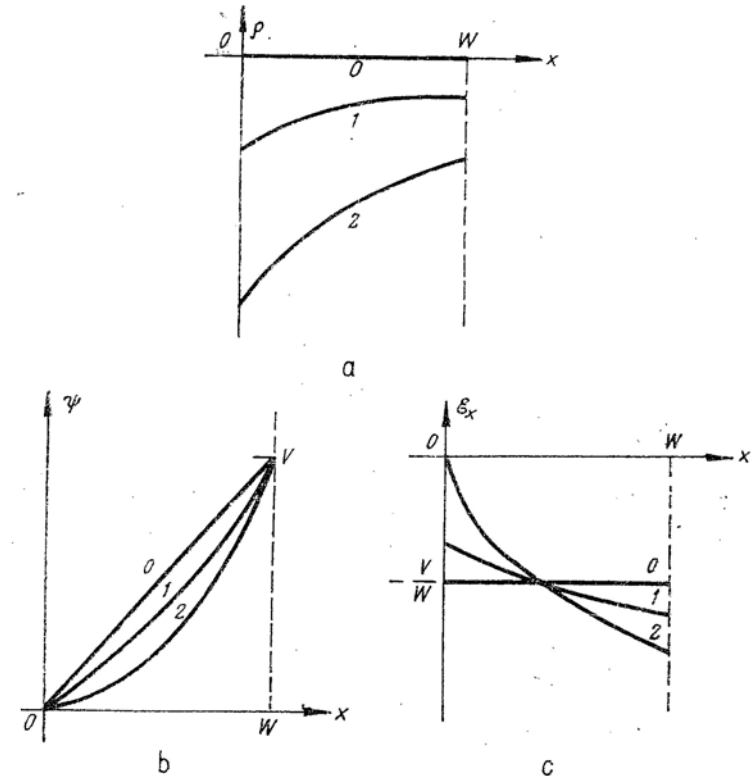


Fig. B.2 Dependenta sarcinii spațiale, potențialului electrostatic și câmpului electric de poziție, pentru dioda cu structură plan-paralelă din fig. B.1. Potențialul este presupus zero la suprafața catodului ( $x = 0$ ). Curbele sînt trasate pentru trei valori ale vitezei de emisie: curba notată cu zero corespunde cazului cînd nu există emisie; cea notată cu 2 corespunde unei viteze de emisie de cîteva ori mai mare decît viteza de deplasare a electronilor spre anod; cea notată cu zero corespunde unei viteze de emisie pentru care toți electronii emiși se îndreaptă spre anod.

cită este temperatura catodului, care este controlată de puterea dată în filament. Presupunem în această analiză că tensiunea anod-catod este fixată la o anumită valoare  $V$ .

Cînd catodul este rece, nu există electroni în spațiul dintre electrozi. În consecință, nu există sarcină spațială în această regiune, potențialul variază liniar între electrozi, cîmpul electric este uniform și nu există curent. Această situație, care corespunde exact aceleia dintr-un condensator cu plăci plane, distanțate cu  $W$ , avînd aplicată tensiunea  $V$ , este ilustrată prin curba notată cu 0 în fig. B.2. Cîmpul electric uniform pleacă de pe suprafața anodului, încărcată pozitiv, și se termină pe suprafața catodului, care are o sarcină negativă de egală densitate.

Dacă viteza de emisie crește, electronii intră în spațiul dintre electrozi, și se îndreaptă spre anod. În acest caz, densitatea de sarcină spațială  $\rho$  devine negativă, așa cum se arată prin curba notată cu 1 în fig. B.2 a. Densitatea de sarcină spațială variază cu poziția, deoarece electronii se grupează în pîlcuri atunci cînd viteza lor este mică, adică lîngă catod. În apropierea anodului, viteza lor este mare și, deci, concentrația lor trebuie să fie mai mică pentru aceeași densitate de curent. Distribuția de potențial se schimbă, iar cîmpul electric nu mai este uniform, datorită prezenței sarcinii spațiale între electrozi. Cu toate că cîmpul pornește și acum de la sarcina pozitivă de pe suprafața anodului el se termină, în parte, pe sarcina spațială negativă dintre electrozi.

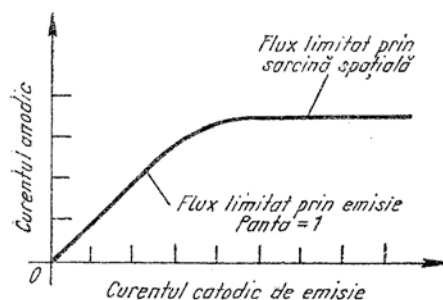


Fig. B.3 Dependența curentului anodic de curentul catodic de emisie pentru o anumită tensiune anod-catod.

În regiunea de funcționare ilustrată de curbele notate cu 1, curentul de electroni care străbate spațiul de la catod la anod este controlat de viteza emisiei de electroni de la catod. Fiecare electron emis este colectat de anod. Curba care exprimă dependența curentului anodic în funcție de curentul emis este liniară și are o pantă egală cu unitatea în această regiune, așa cum se arată în fig. B.3 prin porțiunea de curbă notată „cu limitare prin emisie”.

Pe măsură ce viteza emisiei de electroni crește, densitatea de sarcină spațială crește și mai mult și cîmpul electric la suprafața catodului scade; din ce în ce mai multe linii de cîmp se închid pe sarcina spațială dintre electrozi. Eventual, cîmpul la suprafața catodului devine nul, din cauză că sarcina spațială dintre electrozi este suficientă pentru a închide în întregime cîmpul. Condiția de cîmp nul la suprafața catodului corespunde unei

ecranări complete a anodului față de catod; datorită sarcinii spațiale negative interpușe. Electronii emiși de catod nu sînt de loc influențați de prezența anodului încărcat pozitiv. Curentul anodic este acum controlat de sarcina spațială dintre electrozi, și nu de viteza de emisie a electronilor. Majoritatea electronilor emiși, care nu sînt supuși acțiunii niciunui cîmp electric la suprafața catodului, reintră în catod; numai o mică parte din electronii emiși contribuie la curentul anodic. Curentul anodic este controlat de sarcina spațială; această regiune de funcționare, în care curentul anodic este independent de curentul de emisie, se numește cu limitare prin sarcină spațială (fig. B.3). Majoritatea tuburilor cu vid lucrează în regiunea cu limitare prin sarcină spațială.

Această analiză este analogă cu aceea de la paragraful 4.2.3, în care se studiază factorii care controlează curentul în joncțiunea  $pn$  a unei diode direct polarizate. Cazurile extreme în această situație sînt: curentul limitat în stratul de sarcină spațială și curentul limitat în regiunile neutre. Aici, cazurile extreme sînt: curentul limitat de emisie, în care curentul este controlat nu de distribuția cîmpului în spațiul dintre electrozi, ci de viteza cu care electronii sînt emiși de catodul încălzit, și, curentul limitat prin sarcină spațială, în care catodul este într-un cvasiechilibru (majoritatea electronilor emiși reintră în suprafața catodului), iar curentul este controlat de distribuția cîmpului și sarcinii în spațiul dintre electrozi.

Se va determina acum dependența curentului anodic de tensiunea anod-catod în regiunea cu limitare prin sarcină spațială, pentru o diodă cu structură plan-paralelă. Se presupune că electronii se găsesc în abundență la suprafața catodului și că ies din catod cu o viteză neglijabil de mică<sup>1</sup>. Se presupune, de asemenea, că concentrația de electroni între electrozi este suficient de mică, astfel încît ciocnirile dintre electroni au un efect neglijabil. În acest caz, singura forță care acționează asupra unui electron în drumul său de la catod la anod, este aceea produsă de cîmpul electric asociat cu variația de potențial.

Se notează potențialul electrostatic la distanța  $x$  prin  $\psi(x)$  și se presupune că  $\psi(0) = 0$ , adică potențialul este nul la suprafața catodului. Dacă se notează viteza unui electron la distanța  $x$  prin  $u(x)$ , avem

$$\frac{1}{2} m u^2(x) = q \psi(x) \quad (B.1)$$

unde  $m$  reprezintă masa electronului, iar  $q$  mărimea sarcinii electronului. Ecuația B.1 este o expresie a legii conservării energiei pentru un electron;

<sup>1</sup> Practic, electronii sînt emiși cu o viteză diferită de zero. Energia termică medie a electronilor se găsește de obicei în domeniul de la 0,1 la 2 eV. Această viteză inițială determină o cădere în distribuția de potențial chiar lîngă catod; condiția de limitare prin sarcină spațială corespunde unui mic cîmp de întîrziere la suprafața catodului. Acest cîmp de întîrziere contrabalansează vitezele inițiale ale electronilor și determină plasarea electronilor în punctul de potențial minim. Erorile asociate cu neglijarea vitezelor inițiale nu sînt importante, exceptînd cazul tensiunilor anod-catod de ordinul citorva volți.



electronul pierde  $q\psi(x)$  unități de energie potențială, parcurgând spațiul în care potențialul crește cu  $\psi(x)$  și această pierdere de energie potențială atrage o creștere de energie cinetică. Întrucât s-a presupus că electronul este în repaus pe suprafața catodului, variația de energie cinetică este  $mu^2(x)/2$ .

Bilanțul energetic (B.1) se poate utiliza pentru determinarea vitezei electronului  $u(x)$ :

$$u(x) = \sqrt{\frac{2q}{m} \psi(x)} \quad (\text{B.2})$$

Cu toate că mișcarea electronului este influențată de distribuția de potențial, sarcinile electronice mobile afectează de asemenea distribuția potențialului. Densitatea de curent  $J$ , orientată pe direcția  $x$ , este independentă de  $x$  și poate fi exprimată în funcție de densitatea de sarcină spațială  $\rho(x)$  și de viteza electronului  $u(x)$ :

$$J(x) = \rho(x) u(x) \quad (\text{B.3})$$

Variația densității de sarcină cu poziția este, deci, controlată de distribuția vitezei:

$$\rho(x) = \frac{J}{u(x)} \quad (\text{B.4})$$

Această sarcină spațială influențează distribuția de potențial conform legii lui Gauss. Pentru cazul unidimensional al diodei plan-paralele, legea lui Gauss se scrie sub formă diferențială astfel

$$\frac{dEx}{dx} = \frac{\rho(x)}{\epsilon_0} \quad (\text{B.5a})$$

unde  $\epsilon_0$  reprezintă permitivitatea vidului. Întrucât

$$E_x = -\frac{d\psi(x)}{dx} \quad (\text{B.5b})$$

legea lui Gauss poate fi exprimată în funcție de potențial

$$\frac{d^2\psi(x)}{dx^2} = -\frac{\rho(x)}{\epsilon_0} \quad (\text{B.6})$$

Sub această formă ea este cunoscută ca *ecuația Poisson* (unidimensională).-

Ecuațiile B.2, B.4 și B.6 constituie un ansamblu de trei ecuații simultane cu trei necunoscute  $u(x)$ ,  $\rho(x)$  și  $\psi(x)$  ( $J$  este un parametru al soluției). Pentru a determina forma distribuțiilor vitezei, sarcinii spațiale și potențialului, vom reduce cele trei ecuații la una singură, având ca variabilă potențialul. Rezultatul acestei operații este

$$\frac{d^2\psi(x)}{dx^2} = -\frac{J}{\epsilon_0} \sqrt{\frac{m}{2q}} \left[ \psi(x) \right]^{-1/2} \quad (\text{B.7})$$

Cu toate că această ecuație diferențială este neliniară, ea poate fi ușor integrată de două ori, pentru a obține pe  $\psi(x)$  care are următoarele condiții la limită

$$\psi(W) = V \quad (\text{B.8a})$$

$$\left. \frac{d\psi}{dx} \right|_{x=0} = 0 \quad (\text{B.8b})$$

Rezultatul (a se vedea problema P.B.1) este

$$\psi(x) = V \left( \frac{x}{W} \right)^{4/3} \quad (\text{B.9})$$

Densitatea de curent  $J$ , asociată cu această distribuție de potențial, este

$$J = -\frac{4\epsilon_0}{9W^2} \sqrt{\frac{2q}{m}} V^{3/2} \quad (\text{B.10})$$

Valoarea negativă a lui  $J$  corespunde unui flux de electroni de la catod la anod, adică în direcția  $x$ . Curentul anodic total  $I$  (v. fig. B.1) este

$$I = -JA$$

Relația  $I - V$  la dioda cu limitare prin sarcină spațială este

$$I = KV^{3/2} \quad (\text{B.11a})$$

unde

$$K = \frac{4\epsilon_0 A}{9W^2} \sqrt{\frac{2q}{m}} \quad (\text{B.11b})$$

se numește *perveanța* diodei

Cu toate că relația  $I-V$  din ecuația B.11 a fost dedusă pentru cazul particular al diodei cu structură plan-paralelă, *legea parabolică 3/2* este foarte generală și se aplică diodelor cu structuri de orice tip, în care vitezele inițiale ale electronilor sînt neglijabile, iar curentul este limitat prin sarcină spațială. Această concluzie generală derivă din natura liniară a fenomenelor electrostatice. Dacă am multiplica cu un factor  $\alpha$  tensiunea anod-catod a unei diode cu limitare prin sarcină spațială, atunci potențialul și densitatea de sarcină spațială în spațiul dintre electrozi ar trebui să se modifice în fiecare punct cu același factor  $\alpha$ ; această modificare este o consecință a naturii liniare a ecuației lui Poisson. Totuși, distribuția vitezei, care este reprezentată de ecuația B. 2 pentru *orice* structură, se multiplică printr-un factor  $\alpha^{1/2}$ . În consecință, densitatea de curent dată de ecuația B. 3 trebuie să se schimbe cu un factor egal cu  $\alpha(\alpha^{1/2}) = \alpha^{3/2}$ . Deci, curentul  $I$  depinde de tensiune printr-o lege de exponent  $3/2$ .

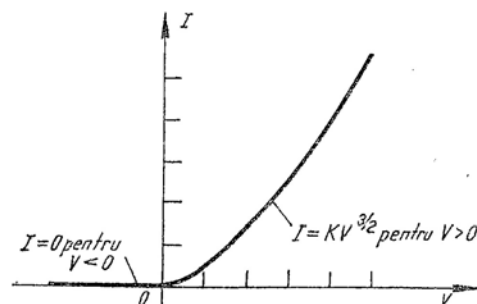


Fig. B.4 Caracteristica  $I-V$  a unei diode cu limitare prin sarcină spațială.

Subliniem că, analiza care conduce la legea parabolică  $3/2$  se aplică numai cînd  $V$  este pozitiv. După cum s-a arătat la începutul acestui paragraf, atunci cînd  $V$  este negativ, nu există flux de electroni, deoarece cîmpul electric, care este uniform în spațiul dintre electrozi, respinge electronii înapoi spre suprafața catodului. Caracteristica statică completă  $I-V$  a unei diode termoelectronice cu limitare prin sarcină spațială are forma din fig. B.4.

### B.1.2. Efecte dinamice în diode

În paragraful precedent s-a presupus că tensiunea și curentul diodei sînt constante, sau statice. Vom considera, acum, cazul unor tensiuni și curenți variabili în timp și vom extinde analiza fenomenelor fizice din diode, pentru a include efectele dinamice asociate cu viteze mari de variație pentru variabilele de la terminale.

Există două surse de efecte dinamice în diode :

1. Un electron necesită un timp diferit de zero pentru a se deplasa de la catod la anod ; acest interval se numește *timp de tranzit (trecere)*. Dacă tensiunea anod-catod se schimbă în mod simțitor în timpul de tranzit, efectele inerțiale ale sarcinii în tranzit devin importante, iar curentul anodic instantaneu devine o funcție nu numai de tensiunea anodică instantanee, ci, și de variațiile anterioare (de istoria) ale acestei tensiuni. În acest caz, relația  $I-V$  din ecuația B. 11 a nu mai este valabilă.

2. Cînd tensiunea anod-catod se schimbă rapid, variația distribuțiilor de sarcină spațială necesită curenți de deplasare. Acești curenți de deplasare trebuie „justificați” la bornele diodei.

Cu toate că nu efectuăm o analiză detaliată a diodei cu vid pentru viteze de variație ale tensiunii la borne suficient de mari, astfel ca timpul de tranzit să conteze, vom calcula totuși acest timp de tranzit. Calculul furnizează un criteriu aproximativ pentru evaluarea efectelor inerțiale în orice situație practică.

Viteza unui electron este dată de ecuația B.2. Utilizînd ecuația B. 9 pentru a-l înlocui pe  $\psi(x)$  în această relație, obținem

$$u(x) = \sqrt{\frac{2qV}{m}} \left(\frac{x}{W}\right)^{2/3} \quad (\text{B.12})$$

Timpul necesar unui electron pentru a se deplasa de la  $x$  la  $x + dx$

este

$$dt = \frac{dx}{d(u)} \quad (\text{B.13})$$

În consecință, timpul de tranzit  $T$  este

$$T = \int_0^W \frac{dx}{u(x)} = \sqrt{\frac{m}{2qV}} \int_0^W \left(\frac{x}{W}\right)^{2/3} dx$$

Atunci

$$T = 3W \sqrt{\frac{m}{2qV}} \quad (\text{B.14})$$

Din ecuația B.2 rezultă că viteza unui electron la anod este

$$u_m = \sqrt{\frac{2qV}{m}}$$

Timpul de tranzit poate fi deci scris

$$T = 3 \frac{W}{u_m} \quad (\text{B.15})$$

O diodă cu un spațiu între electrozi de 1 mm și o tensiune anodică de 100 V, are o viteză de impact cu anodul a electronilor de aproximativ  $6 \cdot 10^6$  m/s și un timp de tranzit de aproximativ 0,5 ns ( $0,5 \cdot 10^{-9}$  s). În acest caz, dacă tensiunea diodei variază puțin, relativ la scara nanosecundelor, mișcarea electronilor poate fi privită ca o succesiune de stări staționare, și legea parabolică 3/2 se aplică. O sinusoidă cu frecvența de 2 GHz ( $2 \cdot 10^9$  s<sup>-1</sup>) are o perioadă egală cu timpul de tranzit din exemplul de mai sus. Rezultă că analiza „statică” de la paragraful B.1.1 s-ar putea aplica pentru componentele alternative ale tensiunii, având frecvențe de ordinul sutelor de megaherți.

Putem determina consecințele curenților de deplasare, presupunând că tensiunea variază suficient de lent pentru ca efectele inerțiale să fie neglijabile, și, utilizând analiza statică din paragraful B.1.1 pentru a evalua sarcina spațială (sau, sarcina anodică, care este egală cu sarcina spațială) corespunzătoare unei anumite tensiuni. Considerăm din nou o structură plan-paralelă cu un curent limitat prin sarcină spațială.

Cîmpul electric în spațiul dintre electrozi este, conform ecuației B.9

$$\mathcal{E} = -\frac{d\psi}{dx} = -\left(\frac{4}{3}\right) \left(\frac{V}{W}\right) \left(\frac{x}{W}\right)^{1/3} \quad (\text{B.16})$$

iar cîmpul la anod este

$$\mathcal{E}(W) = -\frac{4}{3} \left(\frac{V}{W}\right) \quad (\text{B.17.a})$$

Acest cîmp pleacă de pe sarcinile pozitive de la suprafața anodului. Această densitate de sarcină la suprafață este, conform legii lui Gauss

$$\sigma = -\mathcal{E}(W) \epsilon_0 = \frac{4}{3} \epsilon_0 \left(\frac{V}{W}\right) \quad (\text{B.17b})$$

Întrucît sarcina de la suprafața anodului,  $\sigma$ , este proporțională cu tensiunea anodică  $V$ , relația dintre sarcină și tensiune poate fi exprimată în funcție de capacitatea anod-catod  $C_{pk}$ :

$$C_{pk} = \frac{\sigma A}{V} = \frac{4}{3} \epsilon_0 \frac{A}{W} \quad (\text{B.17c})$$

Această capacitate, definită pentru cazul limitării prin sarcină spațială, diferă de aceea care s-ar fi măsurat în absența curentului, adică pentru un catod rece. În asemenea cazuri, cîmpul electric ar fi uniform, așa cum se arată în fig. B. 2c, iar capacitatea ar fi aceea a unui condensator plan-paralel cu suprafața  $A$  și distanța dintre plăci  $W$ : ( $A/W$ ).

Capacitatea definită de ecuația B. 17c este uneori confundată cu „capacitatea la cald” a diodei. De fapt, capacitatea definită de ecuația B. 17c nu este capacitatea care s-ar măsura între anod și catod cînd există curent anodic. „Capacitatea la cald” este inseparabilă de prezența unei sarcini spațiale care dă naștere unui curent anodic continuu. Măsurarea capacității dintre electrozi implică anumite variații ale tensiunii, anodice, ceea ce determină variații ale curentului continuu, precum și un curent tranzitoriu de deplasare. Deși sarcina de la suprafața anodului variază cu  $C_{pk} \Delta v$ , unde  $C_{pk}$  este dat de ecuația B.17 c, o parte din variația de sarcină se realizează pe seama curentului de electroni din diodă și nu necesită un curent de alimentare extern. În consecință, capacitatea dintre electrozi, măsurată practic, este mai mică decît aceea dată de ecuația B. 17c. Atunci cînd se ține seama în mod corespunzător, atât de componenta de conducție, cît și de cea de deplasare a curentului anodic, capacitatea „la cald” se găsește a fi puțin mai mică decît capacitatea „la rece”. Coeficientul numeric implicat practic, nu are o importanță deosebită; ceea ce trebuie reținut, este că, o schimbare a tensiunii diodei trebuie să fie însoțită de schimbări în distribuția internă de sarcină, iar curenții de deplasare care produc aceste schimbări trebuie luați în considerație în circuitul echivalent al diodei.

Pentru a ține seama de curenții de deplasare corespunzători variațiilor sarcinii spațiale, la bornele circuitului echivalent în regim static se va adăuga o capacitate  $C_{pk}$ . Curentul anodic instantaneu  $i$ , corespunzător tensiunii anodice  $v$ , este în acest caz

$$i = C_{pk} \frac{dv}{dt} + K v^{3/2} \quad (\text{B.18})$$

unde  $K$  este perveanța diodei<sup>1)</sup>.

### B.1.3. Analiza statică a triodei

Structura triodei diferă de aceea a diodei prezentată mai sus, prin aceea că conține un al treilea electrod-grila-plasat între anod și catod, așa cum se arată în fig. A.1.

Triodele funcționează întotdeauna în regimul cu limitare prin sarcină spațială; curentul anodic este controlat nu de viteza emisiei de electroni

<sup>1)</sup> Ca și în cazul dispozitivelor semiconductoare simbolurile cu literă mică sînt utilizate pentru a reprezenta valorile instantanee ale tensiunilor și curenților variabili în timp.

din catod, ci de densitatea de sarcină spațială în spațiul dintre electrozi. Sarcina spațială determină anularea cîmpului electric la suprafața catodului, astfel, încît, asupra electronilor emiși nu acționează nici o forță, iar curentul anodic este controlat de viteza cu care electronii pot străbate norul de sarcină ce ecranează catodul, îndreptîndu-se spre anodul încărcat pozitiv.

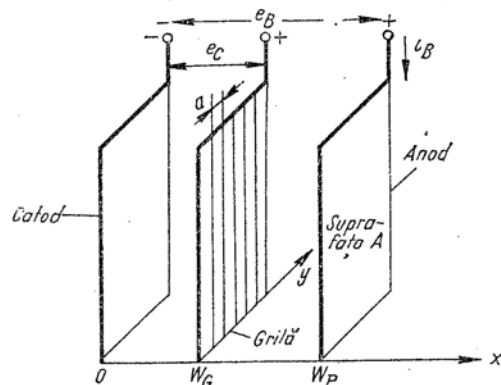


Fig. B.5 Triodă cu structură plan-paralelă.

Încă o dată, ne concentrăm atenția asupra unei structuri plan-paralele prezentată în fig. B. 5. De asemenea, vom neglija discontinuitățile cîmpului și contribuția lor la curent.

Într-o triodă ideală grila, trebuie să îndeplinească două condiții:

1. Ea trebuie să exercite un control complet asupra distribuției sarcinii spațiale din spațiul grilă-catod, controlînd în felul acesta, în mod unic, curentul de electroni.

2. Trebuie să fie „poroasă” pentru electroni, astfel încît purtătorii de sarcină să poată trece prin grilă pentru a fi colectați de anod, care trebuie să fie, bineînțeles, încărcat pozitiv față de grilă.

Dacă aceste condiții ar putea fi îndeplinite, trioda cu vid ar fi un tub de control aproape ideal. Curentul din circuitul anodic ar fi controlat numai de tensiunea grilă-catod și ar fi independent de tensiunea anod-catod (datorită acțiunii de ecranare a grilei, variațiile tensiunii anodice nu ar avea efect asupra sarcinii spațiale din spațiul grilă-catod). Mai mult, curentul de grilă ar fi nul (din cauză că grila este poroasă pentru electroni și deci nu i-ar colecta), iar câștigul de putere ar fi foarte mare.

Într-o asemenea structură „ideală” tensiunea grilă-catod ar fi pozitivă (pentru a atrage electronii spre grila prin care ei ar trece spre placă), iar ecuația B.11 dedusă pentru diodă ar fi valabilă și aici. Evident, tensiunea anodică  $V$  a diodei ar fi înlocuită prin  $e_C$ , tensiunea grilă-catod a triodei, iar

spațiul  $W$  din expresia perveanței s-ar schimba cu  $W_G$ , spațiul grilă-catod al triodei. În acest caz, caracteristicile statice ale triodei „ideale” ar fi:

$$i_B = K_G e_C^{3/2} \text{ pentru orice } e_B > e_C \text{ și } e_C \geq 0 \quad (\text{B.19a})$$

$$i_G = 0 \quad (\text{B.19b})$$

$$K_G = \frac{4\epsilon_0 A}{9W_G^2} \sqrt{\frac{2q}{m}} \quad (\text{B.19c})$$

În realitate, condițiile impuse mai sus grilei, nu pot fi îndeplinite, iar trioda ideală pe care am descris-o nu poate fi realizată. În practică, nici o structură de grilă nu poate exercita un control total asupra distribuției cîmpului electric și sarcinii spațiale din spațiul grilă-catod, fără a intercepta o parte, poate chiar majoritatea, curentului de electroni care se îndreaptă spre anod.

În practica curentă, grila este o rețea deschisă, sau o bobină de sîrmă și se află la un potențial negativ față de catod. Fiind o structură deschisă, cîmpul anodic poate pătrunde prin grilă și influența în oarecare măsură sarcina spațială din spațiul grilă-catod. Potențialul grilei influențează de asemenea această sarcină spațială, ceea ce constituie cheia acțiunii de control în triodele reale. Deoarece grila este mult mai aproape de catod decît anodul, ea are o influență mai mare asupra sarcinii spațiale. Deoarece grila este negativă față de catod, ea nu captează electroni, astfel încît curentul de grilă este neglijabil<sup>1)</sup>.

Distribuția potențialului electrostatic în planul grilei trebuie să fie de forma generală arătată în fig. B. 6. Potențialul este negativ pe spițele grilei, dar pozitiv în centrul zonelor dintre spițele grilei, unde anodul încărcat pozitiv este mai influent. Aceste „cocoase” ale distribuției de potențial din planul grilei determină un curent neuniform în spațiul grilă-catod. Pentru a evita rezolvarea problemei dificile de electrostatică pe care o implică această situație, presupunem că planul grilei poate fi înlocuit printr-o suprafață echipotențială, al cărei potențial este o medie ponderată a potențialelor grilei și anodului. Această aproximație este justificată dacă distanța grilă-catod ( $W_G$  din fig. B. 5) este mare în comparație cu distanța dintre spițele grilei ( $a$  din fig. B.5).

Potențialul mediu al planului echipotențial echivalent al grilei este, prin definiție,

$$e_a = e_C + \frac{e_B}{\mu_A} \quad (\text{B.20})$$

unde  $\mu_A$  este un parametru adimensional determinat de suprafețele relative ale grilei și anodului și de structura grilei. Acest parametru, numit

<sup>1)</sup> Grila trebuie să colecteze ionii pozitivi de gaz rezidual. În consecință curentul de grilă nu este zero ci foarte mic.

factor de amplificare, exprimă eficiența relativă a grilei față de anod în controlul potențialului planului grilei echivalente. Întrucît grila este mult mai aproape de catod decît anodul, grila are o influență mult mai mare. Prin urmare, factorul de amplificare este în mod obișnuit mult mai mare decît unitatea; el este rareori mai mic decît 10 și poate ajunge la 200.

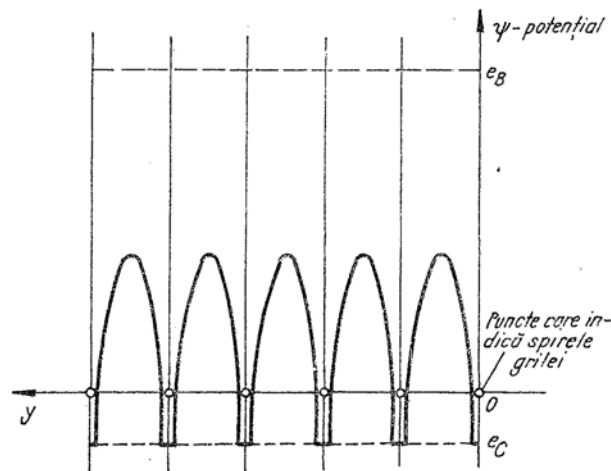


Fig. B.6 Distribuția de potențial în planul grilei. Axa orizontală  $y$  este definită în fig. B.5.

Întrucît planul echivalent al grilei controlează distribuția sarcinii spațiale în spațiul grilă-catod, curentul anodic al triodei este dat de ecuația B.19a, unde  $e_C$  este înlocuit cu  $e_{ec}$ , adică

$$i_B = K_G \left( e_C + \frac{e_B}{\mu_A} \right)^{3/2} \quad (\text{B.21})$$

Desigur, această ecuație, care reprezintă caracteristica curent-tensiune a triodei, se aplică numai cînd  $e_C + e_B/\mu_A$  este pozitiv (adică potențialul grilei echivalente este pozitiv) și cînd  $e_B$  este pozitiv (anodul trebuie să fie pozitiv pentru a atrage electronii ce trec prin grilă). Cînd argumentul este negativ, curentul anodic este nul și tubul blocat. În acest caz, caracteristicile anodice, sau de ieșire, ale triodei sînt

$$i_B = \begin{cases} K_G \left( e_C + \frac{e_B}{\mu_A} \right)^{3/2} & e_C + \frac{e_B}{\mu_A} > 0 \text{ și } e_B > 0 \\ 0 & e_C + \frac{e_B}{\mu_A} \leq 0 \text{ sau } e_B \leq 0 \end{cases} \quad (\text{B.22})$$

În cursul acestei analize am presupus că  $e_C$  este negativ, astfel încît grila nu captează electroni. Dacă grila devine pozitivă, ea împarte cu anodul funcția de captare de electroni, iar analiza devine mai complicată.

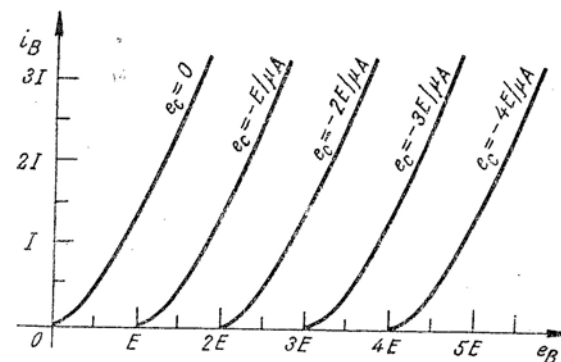


Fig. B.7 Caracteristicile unei triode ideale la o scară arbitrară.

Rezultatul acestei analize este prezentat grafic în fig. B.7, unde s-a trasat  $i_B$  în funcție de  $e_B$ , avînd pe  $e_C$  ca parametru<sup>1)</sup>. Aceste curbe, numite *caracteristicile anodice* ale triodei, trebuie comparate cu cele rezultate din măsurători, din fig. A.4.

#### B.1.4. Efecte dinamice în triode

Analiza statică a funcționării triodei, prezentată în paragraful precedent, este supusă aceluiași limitări dinamice ca și în cazul diodei. Mai concret, relația curent-tensiune dedusă mai înainte, se aplică numai atunci cînd tensiunea la borne variază suficient de lent, astfel încît variațiile parțiale care survin în timpul de tranzit al unui electron să fie neglijabile. În structurile practice, această condiție este valabilă cînd tubul lucrează la frecvențe în domeniul sutelor de megaherți. La frecvențe mai înalte analiza trebuie modificată, ținînd cont de efectele inerțiale. În plus, modelul triodei trebuie extins pentru a ține seama de curenții de deplasare corespunzători variațiilor sarcinii spațiale și sarcinii electrozilor. Cînd tensiunea la borne variază rapid acești curenți devin importanți în comparație cu curentul de conducție produs de fluxul de electroni de la catod la anod. Ca și în cazul diodei, curenții de deplasare pot fi modelați, adăugînd mode-

<sup>1)</sup> Un model grafic echivalent poate fi obținut trasînd pe  $i_B$  în funcție de  $e_C$ , avînd pe  $e_B$  la parametru.

lului static capacități între electrozi. În cazul triodei sînt necesare trei asemenea capacități, cîte una pentru fiecare pereche de borne, ca în fig. B.8.

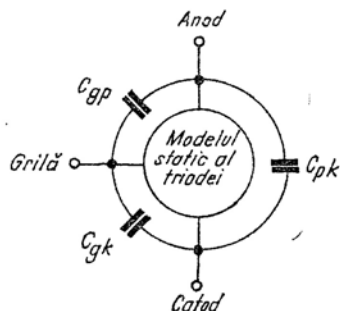


Fig. B.8 Trei capacități interelectrozi sînt necesare pentru a modela curenții de deplasare asociați cu schimbările care se produc în distribuția de sarcină internă.

### B.1.5. Tuburi cu vid cu mai multe grile

Trioda analizată în paragraful B.1.3 ilustrează principiile de bază ale funcționării tuturor tuburilor cu vid: curentul de electroni de la catod la anod este controlat de potențialul electrostatic al grilei. Totuși, ca componentă de circuit, trioda are dezavantajul unui cuplaj capacitiv direct între grilă și anod. Acest cuplaj este reprezentat de capacitatea  $C_{gp}$  în modelul din fig. B.8. Această capacitate limitează puternic răspunsul de înaltă frecvență (sau de viteză mare) al amplificatoarelor cu tuburi cu vid, prin readucerea în circuitul de grilă a unor curenți de cuplaj, proporționali cu tensiunea anodică.

Pentru a reduce cuplajul capacitiv dintre anod și grilă, în structura triodei se inserează alți electrozi, sub forma unor grile suplimentare. O structură care conține două grile (și are deci patru electrozi, în afară de filament) se numește *tetrodă*. Grila cea mai apropiată de catod se numește grilă de comandă: cealaltă grilă este *grila ecran*. O structură cu trei grile este o *pentodă*. Grila a treia, care este așezată între grila ecran și anod se numește *grilă supresoare*. Structura fizică a acestor tuburi cu mai multe grile este sugerată de reprezentările simbolice din fig. B.9.

Atît în tetrode, cît și în pentode, grila ecran constituie un ecran electrostatic între anod și grilă, pentru reducerea capacității grilă-anod. Ecranul lucrează în mod obișnuit la un potențial fix, pozitiv față de catod. Cu toate că variațiile tensiunii anodice influențează sarcina ecranului, aceleași variații au un efect redus asupra sarcinii grilei de comandă. Prin urmare, capacitatea anod-grilă de comandă este mult mai mică decît ar fi fost într-o triodă cu dimensiuni asemănătoare. În timp ce, această capacitate are valori de ordinul picofarazilor în triode, ea devine de ordinul 0,01 pF în cazul tetrodelor și pentodelor.

Desigur, grilele suplimentare influențează, de asemenea, caracteristicile statice ale tubului. În ambele cazuri, curentul anodic este relativ independent de tensiunea anodică. Această independență relativă a curentului anodic de tensiunea anodică se datorește ecranului electrostatic format de grila ecran; în timp ce variațiile tensiunii anodice influențează

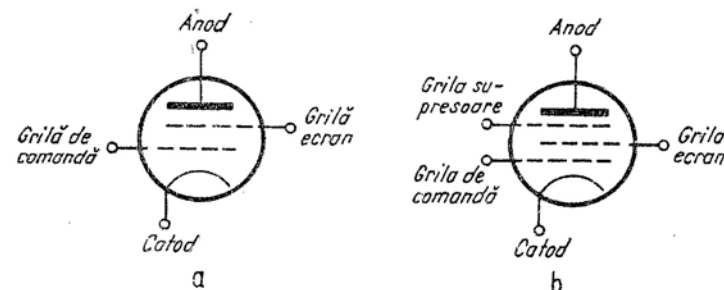


Fig. B.9 Simboluri de circuit pentru structurile cu mai multe grile.

cîmpul electric dintre ecran și anod, ele nu afectează cîmpul din apropierea catodului. Distribuția sarcinii spațiale precum și a curentului anodic nu variază deci apreciabil cu tensiunea anodică.

Într-adevăr, atît tetroda, cît și pentoda, se comportă ca și cum catodul, grila de comandă și ecranul ar forma o triodă al cărei anod ar fi „poros”. Curentul de electroni prin această „pseudotriodă” este determinat de tensiunile grilelor de comandă și ecran, dar este relativ independent de tensiunea anodică. Majoritatea acestor electroni trec prin ecran datorită structurii sale deschise și pătrund în regiunea dintre ecran și anod. O mică fracțiune din acești electroni sînt captați de ecran. În consecință, curentul anodic într-o tetrodă sau pentodă este întrucîtva mai mic decît curentul catodic.

Caracteristicile anodice ale acestor tuburi cu mai multe grile seamănă mult mai mult cu caracteristicile triodei „ideale” descrise în paragraful B.1.3, decît cu acelea ale triodei reale. Cu alte cuvinte, curentul anodic este mult mai puțin dependent de tensiunea anod-catod, datorită grilei ecran, care ecranează sarcina spațială din spațiul grilă-catod față de anod.

Grila supresoare este necesară, deoarece fiecare electron care lovește anodul face ca, prin emisie secundară, alți cîțiva electroni să fie eliberați de anod. Dacă acesta din urmă este pozitiv față de ecran, electronii secundari vor reveni pe anod și curentul anodic nu va fi afectat de procesul de emisie secundară (tot așa cum caracteristicile statice ale triodei nu sînt sensibile față de emisia secundară ce are loc acolo). Dacă anodul este negativ față de ecran, electronii secundari vor fi atrași de ecran, determinînd o scădere bruscă a curentului anodic. Grila supresoare, care lucrează la un potențial fix, mai mic decît potențialul anodic, elimină efectul acestei



emisii secundare, stabilind un câmp în spațiul dintre supresor și anod, care forțează electronii secundari să intre în anod. Chiar dacă supresorul frânează mersul electronilor primari, el nu reține mulți dintre ei datorită structurii sale deschise; majoritatea electronilor primari trec prin grila supresoare, după care sint accelerați spre anod.

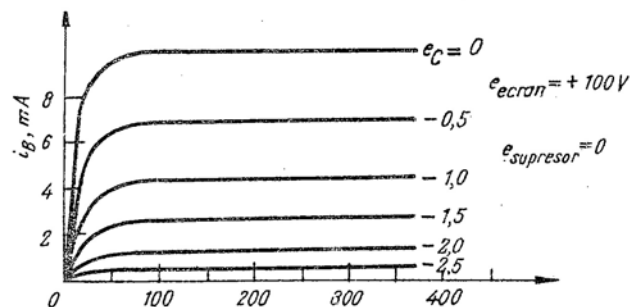


Fig. B.10 Caracteristicile statice anodice ale pentodei. Toate tensiunile sint raportate la catod.

Forma generală a caracteristicilor statice anodice ale unei pentode este ilustrată în fig. B.10. Din aceste curbe rezultă, că curentul anodic este independent de tensiunea anodică, în măsura în care tensiunea anodică este suficient de pozitivă pentru a colecta toți electronii din curentul dezvoltat de pseudotrioda formată din catod, grila de comandă și grila ecran.

## B.2. CIRCUITE ECHIVALENTE ALE TUBURILOR CU VID

Modelele algebrice dezvoltate în paragraful B.1, precum și caracteristicile măsurate ale tuburilor cu vid, furnizează modele adecvate ale comportării acestor dispozitive și pot sta la baza înțelegerii performanțelor circuitelor care le folosesc. Totuși, adesea este de dorit să se obțină și alte modele pentru tuburile de control-modele care nu sint grafice prin natura lor. Întrucît în analiza circuitelor care utilizează astfel de dispozitive, am dori să utilizăm metodele și intuiția cu care ne-am obișnuit în studiul rețelelor liniare, vom căuta modele de circuit care sint ele însăși rețele formate din elementele de circuit idealizate. Vom considera deci, acum, diferite modele de semnal mic, liniare și liniare pe porțiuni, pentru tuburile cu vid.

### B.2.1. Modele cu liniarizare pe porțiuni pentru diode

În fig. B. 11 a este arătată o caracteristică tipică curent-tensiune la o diodă. Funcționarea dispozitivului poate fi modelată printr-o rețea liniară pe porțiuni, constînd dintr-o singură diodă ideală, cu caracteristicile liniare pe porțiuni din fig. B. 11 b. Caracteristica are aceeași formă cu

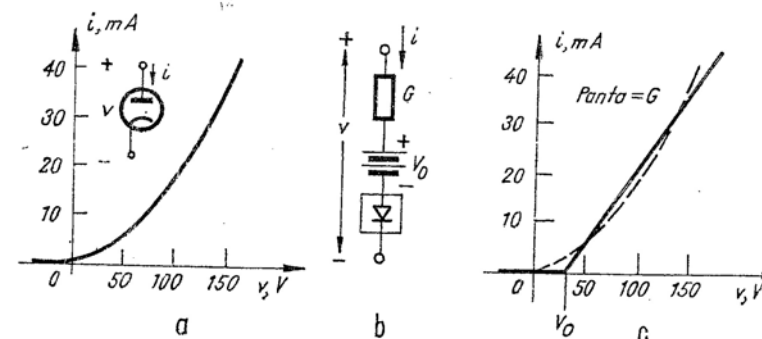


Fig. B.11 O diodă poate fi modelată printr-o rețea liniară pe porțiuni.

aceea descrisă în paragraful 6.1 pentru a caracteriza dioda semiconductoră cu joncțiune. Caracteristica modelului este trasată cu linie continuă în fig. B. 11 c. Valorile parametrilor pentru care este trasată curba sint

$$V_0 = 30 \text{ V}$$

$$G = 0,3 \text{ mS}$$

Aceste valori concordă acceptabil cu curba diodei reale, care este trasată punctat pentru dimensiuni variind de la valori negative pînă la aproximativ +150 V. Desigur, considerarea unui domeniu mai restrîns de variație a tensiunii, ar necesita o alegere diferită a valorilor parametrilor pentru a obține o bună concordanță.

Dependența parametrilor unui model cu liniarizare pe porțiuni de domeniul de tensiuni în care modelul trebuie utilizat, pote fi ilustrată considerînd parametrii unui model cu liniarizare pe porțiuni care concordă cu caracteristica curent-tensiune a unei diode cu vid ideale. Considerăm caracteristica  $I-V$  de forma dată de (B.11 a)

$$i = Kv^{3/2} \quad (\text{B.23})$$



și utilizăm modelul cu liniarizare pe porțiuni din fig. B. 11 b. Presupunem, în mod arbitrar, caracteristicile diodei cu vid ideale tangente cu cele ale modelului cu liniarizare pe porțiuni în punctul corespunzător unui curent  $I_T$ , ca în fig. B. 12. Atunci, din ecuația B.23

$$G = \frac{3}{2} K v^{1/2} = \frac{3I_T}{2V_T} \quad (\text{B.24 a})$$

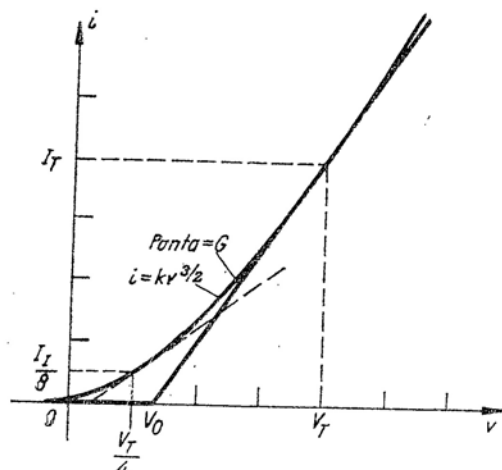


Fig. B.12 Alegerea parametrilor depinde de domeniul de curent în care se aplică modelul.

Tensiunea de prag  $V_0$  este, așa cum rezultă din fig. B.12 :

$$V_0 = V_T - \frac{I_T}{G} = \frac{V_T}{3} \quad (\text{B.24 b})$$

Acste ecuații accentuează dependența parametrilor modelului de alegerea domeniului de variație a curentului sau tensiunii în care se aplică acest model. Atunci cînd modelul cu liniarizare pe porțiuni are parametrii dați în ecuațiile B.24, modelul concordă bine pentru curenți în jurul  $I_T$  și nu este adecvat pentru curenți mult mai mici. Dacă totuși, considerăm un curent egal cu  $I_T/8$ , care corespunde unei tensiuni egale cu  $V_T/4$ , o concordanță mult mai bună poate fi obținută reducînd pe  $V_T$  de 4 ori și pe  $G$  de două ori. Modelul rezultat are caracteristicile trasate punctat. Modelul rezultat are caracteristicile trasate punctat.

Modele cu liniarizare pe porțiuni mult mai precise (și mai complexe) pot fi construite utilizînd mai multe diode ideale liniare pe porțiuni. De exemplu, un model care conține două diode liniare pe porțiuni determină o curbă formată din trei segmente liniare.

### B.2.2. Modele cu liniarizare pe porțiuni pentru triode

Dacă luăm ca punct de plecare caracteristicile grafice ale unei triode (ca cele din fig. A.4), este ușor să se găsească circuite echivalente cu o comportare asemănătoare. De exemplu, relația dintre curentul anodic și tensiunea anod-catod, valabilă pentru tensiune grilă-catod zero, poate fi

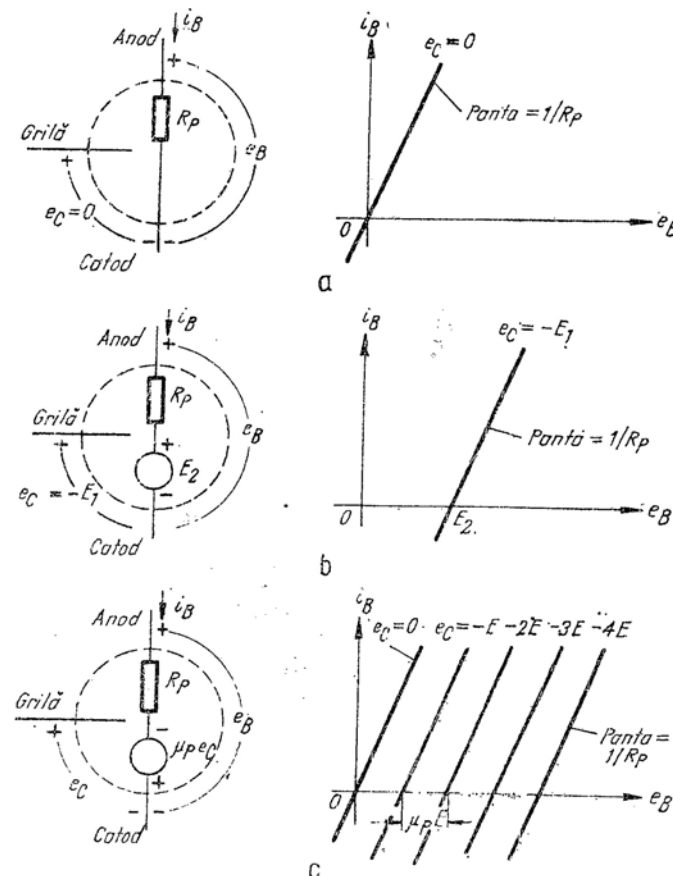


Fig. B.13 Circuitele echivalente care aproximează în primul cadran al planului  $e_B - i_B$  caracteristicile statice ale triodei.

aproximată, cel puțin în primul cadran, prin relația curent-tensiune de la o rezistență. Un model care aproximează, în primul cadran, relația  $i_B - e_B$  pentru  $e_C = 0$ , este prezentat în fig. B.13 a.

Putem găsi un model valabil pentru o tensiune grilă-catod fixă, dacă admitem că principalul efect al unei tensiuni de grilă negative este de a deplasa relația  $i_B - e_B$  în lungul axei  $e_B$ , ca în fig. A.4. De exemplu, curba corespunzătoare lui  $e_C = -1\text{ V}$  are o formă similară cu aceea corespunzătoare lui  $e_C = 0$ , cu excepția unei deplasări pe dreaptă care corespunde unei schimbări a lui  $e_B$  cu aproximativ 100 V. În modelul nostru se poate ține seama de această deplasare, adăugând o sursă de tensiune  $E_2$  în circuitul anod-catod, ca în fig. B.13 b. Dreapta din planul  $i_B - e_B$  reprezintă relația

$$e_B = E_2 + i_B R_P \quad (\text{B.25 a})$$

care este expresia legii lui Kirchhoff pentru tensiuni în ochiul anod-catod al modelului. Faptul că, din punct de vedere fizic, curentul de grilă este neglijabil, se reprezintă în model prin deconectarea terminalului grilei.

Modelul din fig. B.13 b poate fi extins pentru orice valoare negativă a tensiunii grilă-catod, dacă facem ca tensiunea sursei din bucla de ieșire să depindă de tensiunea de grilă, astfel ca, pe măsură ce  $e_C$  se schimbă, cantitatea cu care se deplasează relația  $i_B - e_B$  să, se schimbe în mod corespunzător. Fig. A.4 arată că deplasarea relației  $i_B - e_B$  este aproximativ proporțională cu valoarea tensiunii grilă-catod. Prin urmare, tensiunea controlată a sursei din bucla de ieșire trebuie să fie liniar dependentă de  $e_C$ . Fig. B.13 c prezintă un model cu o sursă controlată. Constanta de proporționalitate este notată cu  $\mu_P$ . Astfel deplasarea dreptei  $i_B - e_B$  care corespunde lui  $e_C = -E_C$  este  $\mu_P E_C$ . Relația curent-tensiune este la acest model

$$e_B = -\mu_P e_C + i_B R_P \quad (\text{B.25 b})$$

Acest model poate reprezenta funcționarea triodei pentru toate valorile negative ale lui  $e_C$ .

Principalul dezavantaj al modelului din fig. B.13 c constă în aceea că nu este capabil să pună în evidență faptul că, din punct de vedere fizic, curentul anodic nu poate fi niciodată negativ. Acest dezavantaj poate fi remediat adăugând o diodă ideală liniarizată în circuitul anod-catod, ca în fig. B.14. Modelul rezultat se aplică în toate cazurile în care tensiunea grilă-catod este negativă. Pentru a arăta gradul de aproximare realizat de acest model simplu al triodei, în fig. B.15 se prezintă caracteristicile curent-tensiune ale modelului, suprapuse peste caracteristicile măsurate ale triodei, din fig. A.4. Valorile parametrilor modelului, utilizați în această comparație sînt

$$R_P = 42\text{ k}\Omega$$

$$\mu_P = 95$$

Acste valori nu sînt unice, dar sînt astfel alese încît concordanța generală a curbelor să fie acceptabilă; alegerea altor valori ar fi condus la o concordanță mai bună pe porțiuni limitate ale caracteristicii.

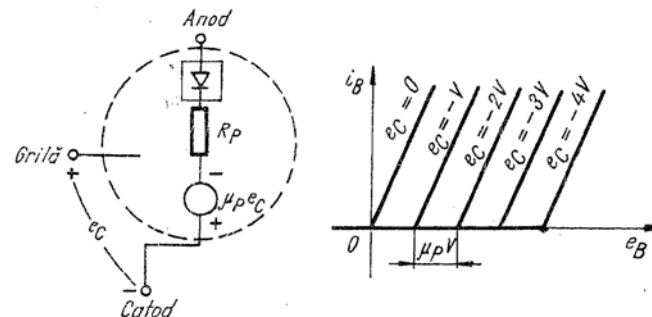


Fig. B.14 Model linear pe porțiuni valabil pentru tensiuni de grilă negative.

Curentul de grilă nu este neglijabil atunci cînd tensiunea grilă-catod este pozitivă. Prezența curentului de grilă poate fi reprezentată în modelul nostru liniarizat prin adăugarea unei a doua diode ideale și unei rezistențe.

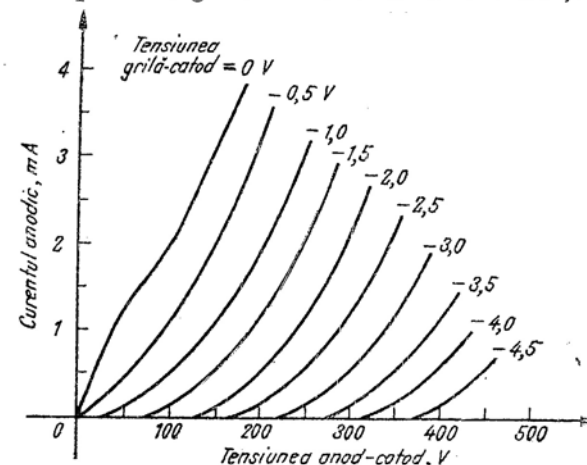


Fig. B.15 Caracteristicile de ieșire ale circuitului echivalent din fig. B.14 suprapuse peste caracteristicile măsurate ale unei triode.

(dioda 2 și  $R_G$  în fig. B. 16 a). Caracteristica de grilă liniarizată, corespunzătoare, este arătată în fig. B. 16. b. Pentru ca modelul să fie adecvat și funcționării cu tensiune de grilă pozitivă, este necesar să se adauge o a-

treia diodă (3 în fig. B. 16 a), care împiedică tensiunea anodică să devină negativă când curentul anodic și tensiunea de grilă sunt pozitive. În absența celei de a treia diode, caracteristica anodică ar urmări linia punctată din fig. B. 16 a în cazul funcționării cu  $e_c = +V$ . Modelul cu liniarizare

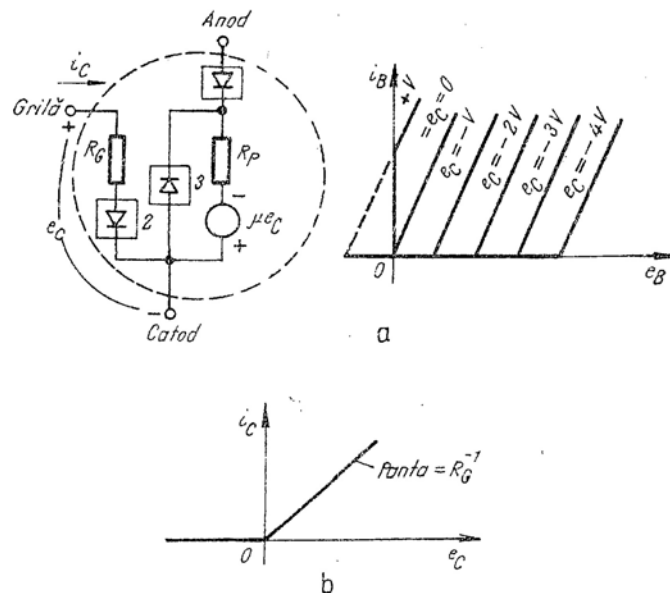


Fig. B.16 Model linear pe porțiuni al unei triode, care se aplică pentru ambele polarități ale tensiunii de grilă.

pe porțiuni pentru triodă din fig. B. 16 este adecvat pentru majoritatea cazurilor. Parametrii  $\mu_p$ ,  $R_p$  și  $R_g$  trebuie aleși astfel încât să dea o concordanță acceptabilă în domeniul uzual al valorilor variabilelor de la terminale.

### B.2.3. Modele de semnal mic ale triodelor

Modelele de semnal mic ale triodelor cu vid pot fi obținute prin același proces de liniarizare a caracteristicilor în jurul unui punct de funcționare, proces care a fost descris în capitolele 1 și 11. Vom începe cu o caracterizare statică a triodei și vom extinde modelul linear de semnal mic pentru a include efectele dinamice, prin adăugarea la terminale a unor capacități

între electrozi. Caracteristicile  $I-V$  ale unei triode care lucrează cu tensiune grilă-catod negativă pot fi reprezentate printr-o funcție generală de forma :

$$i_B = i_B(e_B, e_C) \quad (\text{B.26a})$$

$$i_C \approx 0 \quad (\text{B.26b})$$

Variabilele care apar în aceste relații sunt definite în fig. A. 6b. Dacă considerăm acum fiecare din aceste variabile ca fiind suma unei variabile statice, sau de curent continuu ( $I_B, E_B$  etc.) și a unei variabile alternative ( $i_b, e_b$  etc.) dezvoltarea în serie Taylor a acestei relații conduce, ca și în paragraful A. 4.1, la o relație liniară între variabilele de semnal mic<sup>1)</sup>.

$$i_b = g_p e_b + g_m e_c \quad (\text{B.27a})$$

$$i_c \approx 0 \quad (\text{B.27b})$$

Coeficientul  $g_p$  reprezintă conductanța anodică sau de ieșire la semnal mic

$$g_p = \left. \frac{\partial i_B}{\partial e_B} \right|_q \quad (\text{B.28a})$$

în timp ce  $g_m$  reprezintă transconductanța de semnal mic

$$g_m = \left. \frac{\partial i_B}{\partial e_C} \right|_q \quad (\text{B.28b})$$

În fig. B. 17 a este prezentat un model al funcționării la semnal mic descrisă de ecuația B. 27. Un generator controlat de curent reprezintă acțiunea de control a triodei.

Circuitul din fig. B. 17 a poate fi transformat cu ajutorul teoremei lui Thévenin în circuitul echivalent din fig. B. 17 b. Rezistența  $r_p$ , numită rezistența anodică la semnal mic, este dată de

$$r_p = \frac{1}{g_p} = \left. \frac{\partial e_B}{\partial i_B} \right|_q \quad (\text{B.28c})$$

<sup>1)</sup> Convenția utilizată în această carte privind identificarea naturii variabilelor cu ajutorul literelor mari sau mici, care indică variabila și indicele, a fost adoptată odată cu introducerea dispozitivelor semiconductoare în circuitele active. Această notație este parțial în conflict cu aceea adoptată acum cîțiva zeci de ani pentru tuburile cu vid. În notația primitivă cantitățile de semnal mic din circuitul anodic erau notate cu indicele p (în timp ce cantitățile totale aveau indicele B); cantitățile de semnal mic din circuitul de grilă erau notate cu indicele g (în timp ce cantitățile totale din acest circuit aveau indicele C). În această notație mai veche, pe care nu o vom utiliza, dar pe care este utilizată în alte lucrări, ecuația B.27 a ar fi fost scrisă  $i_p = g_p e_p + g_m e_g$ .

Coeficientul adimensional  $\mu$  este numit *factorul de amplificare la semnal mic*. Pentru ca cele două rețele din fig. B. 17 să fie echivalente,  $\mu$  trebuie să fie egal cu

$$\mu = g_m r_p \quad (\text{B. 29a})$$

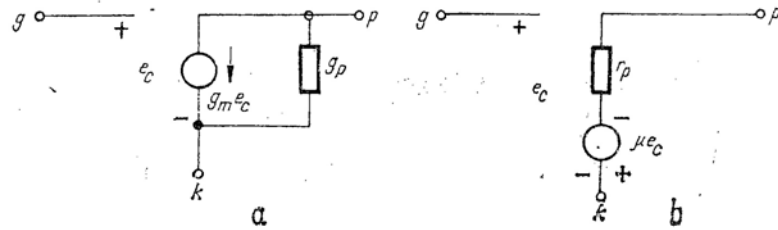


Fig. B.17 Modele de semnal mic pentru triode.

sau, în funcție de derivatele parțiale,

$$\mu = \frac{\partial i_B / \partial e_c |_Q}{\partial i_B / \partial e_B |_Q} = - \frac{\partial e_B}{\partial e_c} \bigg|_Q \quad (\text{B. 29b})$$

Acești coeficienți de semnal mic pot fi evaluați fie utilizând expresiile lor în funcție de pantele și distanțele dintre caracteristicile statice, fie prin diferențierea directă a unui model algebric total ca cel reprezentat de ecuația B. 22. Acest ultim procedeu conduce la

$$g_p = \frac{1}{r_p} = \frac{3}{2} \frac{K_G}{\mu_A} \left( e_c + \frac{e_B}{\mu_A} \right)^{1/2} = \frac{3}{2\mu_A} K_G^{2/3} i_B^{1/3} \quad (\text{B. 30a})$$

$$g_m = \frac{3}{2} K_G \left( e_c + \frac{e_B}{\mu_A} \right)^{1/2} = \frac{3}{2} K_G^{2/3} i_B^{1/3} \quad (\text{B. 30b})$$

În consecință, factorul de amplificare de semnal mic este, din ecuația B. 29a,

$$\mu = g_m r_p = \frac{g_m}{g_p} = \mu_A \quad (\text{B. 30c})$$

De remarcat că factorul de amplificare este independent de punctul de funcționare, întrucât  $\mu_A$  este un coeficient fix, care depinde de aranjarea geometrică a grilei și anodului. Pe de altă parte, atât transconductanța,

cît și rezistența anodică la semnal mic, depind de alegerea punctului de funcționare mai exact de  $i_B$ . Pe măsură ce curentul continuu anodic crește,  $g_m$  crește, (ca  $i_B^{1/3}$ ), iar  $r_p$  scade (ca  $i_B^{-1/3}$ ).

Se poate ține seama de consecințele curentilor de deplasare la semnal mic, adăugînd redensatoare între electrozi ca în fig. B. 18. Evident, aceste două modele reprezintă descrieri echivalente ale triodei.

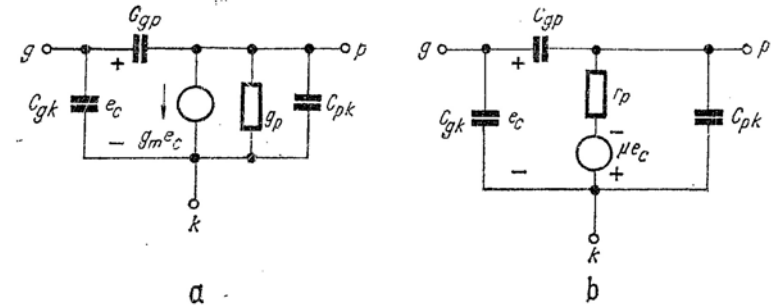


Fig. B.18 Modele de semnal mic, care includ și curenții de deplasare, pentru triode.

Modelele din fig. B. 18 pot fi extinse la funcționarea cu tensiune grilă-catod pozitivă, prin adăugarea unei rezistențe în paralel cu  $C_{pk}$ . Această rezistență, care are în mod obișnuit valori de ordinul kilohmilor, explică dependența curentului de grilă la semnal mic de tensiunea de grilă la semnal mic.

#### B.2.4. Circuite echivalente ale pentodelor

Pentoda lucrează în mod normal cu tensiuni fixe la ecran și supresor. Întrucît există numai doi electrozi la care pot apare tensiuni variabile, circuitul echivalent la semnal mic al pentodei este același cu cel al triodei. Mai exact, oricare din circuitele echivalente din fig. B. 18 sînt aplicabile. Circuitul echivalent din fig. B. 18 a, care conține un generator de curent, este în general preferat, deoarece comportarea la semnal mic a dispozitivului este esențialmente aceea a unei surse controlate de curent. Cu alte cuvinte, rezistența anodică de semnal mic  $r_p$  este foarte mare—deseori mai mare decît 1 MΩ. Valorile uzuale ale transconductanței de semnal mic  $g_m$  variază de la cîteva sute la cîteva mii de microsiemenși.

Diferența importantă dintre circuitul echivalent la semnal mic al unei pentode și cel al unei triode se datorește capacității grilă-anod, care este cu unul sau două ordine de mărime mai mică. De fapt, această reducere a fost motivul introducerii ecranului în structură.

Pentru a reprezenta caracteristicile statice ale pentodei se pot elabora modele liniarizate care utilizează diode ideale. Utilitatea acestor modele este limitată de faptul că deseori caracteristicile pentodei nu sînt echidistante (fig. B. 10) în consecință, un generator liniar poate să nu fie suficient pentru a caracteriza dependența curentului anodic de tensiunea de grilă.

## REFERINȚE BIBLIOGRAFICE

- B.1 H. J. Zimmermann și S. J. Mason, *Electronic Circuit Theory*, Wiley, New York, 1959.  
B.2 T. S. Gray, *Applied Electronics*, M.I.T. Press, Cambridge, Mass., 1954.

## PROBLEME

P.B.1. Această problemă se referă la dezvoltarea analitică a legii parabolice 3/2 pentru o diodă termionică cu limitare prin sarcină spațială.

- a) Să se verifice ecuația B.7.  
b) Să se arate că această ecuație poate fi integrată odată, pentru a da:

$$\left(\frac{d\psi}{dx}\right)^2 = -\frac{4I}{\epsilon_0} \sqrt{\frac{m}{2q}} \psi^{1/2} \quad (\text{B.31})$$

Indicație. Să se multiplice ambele părți ale ec. B.7 prin  $d\psi/dx$  și să se observe că

$$\frac{d\psi}{dx} \left(\frac{d^2\psi}{dx^2}\right) = \frac{1}{2} \frac{d}{dx} \left(\frac{d\psi}{dx}\right)^2$$

c) Să se rezolve ec. B.31 pentru  $d\psi/dx$  și să se integreze pentru a obține pe  $\psi(x)$ . Să se arate că ec. B.9 derivă din acest rezultat.

d) Să se verifice ec. B.10.

P.B.2 Să se evalueze timpul de trecere într-o diodă plan-paralelă în care curentul este limitat prin emisie și sarcina de tranzit nu are un efect important asupra distribuției de potențial. Să se compare rezultatele obținute cu ec. B.15, care este valabilă pentru un curent cu limitare prin sarcină spațială.

P.B.3 Această problemă se referă la determinarea circuitelor echivalente pentru o diodă cu vid. Considerăm caracteristicile diodei din fig. B.19a. Presupunem că circuitele echivalente se utilizează pentru tensiuni în domeniul  $-50 < v < 150$  volți.

a) Dacă această diodă este modelată de circuitul din fig. B.19b, ce valori se vor utiliza pentru conductanța  $G$  și tensiunea  $V_0$ ?

b) Răspunsul dat la (a) depinde în mod consistent de domeniul de valori ale curentului și tensiunii, în care se utilizează circuitul? Mai exact, cum s-ar schimba valorile parametrilor dacă circuitele ar trebui utilizate pentru tensiuni în domeniul  $-50 < v < 50$  volți?

P.B.4 Este de dorit să se adapteze o lege parabolică 3/2 la caracteristicile diodei trasate în fig. B.19a.

- a) În ce fel de coordonate, legea parabolică 3/2 se poate trasa ca o linie dreaptă?  
b) Să se retraceze datele din fig. B.19a în coordonatele specificate la (a) și să se determine pervația diodei.

Răspuns.  $K \approx 0,013 \text{ ma}/(\text{volt})^{3/2}$

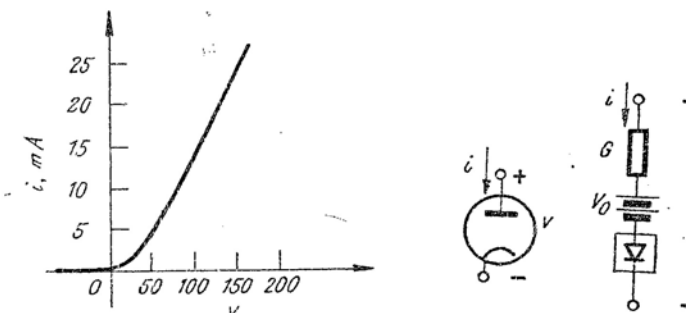


Fig.B.19 Caracteristicile diodei și model liniar pe porțiuni.

P.B.5 Să se găsească un model liniarizat pentru o pentodă care reprezintă caracteristicile din fig. B.10. Să se ia în considerație numai valorile negative ale tensiunii grilă-catod.

P.B.6 Parametrii triodei la semnal mic, definiți în ecuațiile B.28, sînt legați de pantele și distanțele caracteristicilor de placă ale triodei, în punctul de funcționare.

(a) Să se illustreze cu ajutorul unor schițe relațiile dintre  $g_m$ ,  $\mu$ ,  $r_p$ , panta și distanțele curbelor de  $e_c$  constant în planul  $i_B - e_B$ .

(b) Să se evalueze  $g_m$ ,  $\mu$  și  $r_p$  pentru trioda ale cărei caracteristici sînt arătate în fig. A.4, pentru fiecare din următoarele puncte de funcționare:

(1)  $e_c = -1$  volt,  $e_B = 200$  volți

(2)  $e_c = -3$  volți,  $e_B = 300$  volți

Răspunsuri. (b) (1)  $\mu = 90$ ;  $g_m = 2 \cdot 10^{-3}$  mho;  $r_p = 45$  kohm; (b) (2)  $\mu = 100$ ;  $g_m = 1,1 \cdot 10^{-3}$  mho,  $r_p = 91$  kohm.

P.B.7 Să se evalueze transconductanța  $g_m$  și rezistența de placă  $r_p$  a pentodei a cărei caracteristici sînt arătate în fig. B.10, în punctul de funcționare  $e_B = 200$  volți,  $e_c = -1$  volt.

P.B.8 Această problemă se bazează pe amplificatorul cu auto-negativare din fig. B.20. Se presupune că trioda poate fi reprezentată printr-un model liniarizat cu  $\mu_p = 30$ ,  $R_p = 10$  kohm, și se limitează funcționarea la tensiuni de grilă negative. Atît la (a) cît și la (b) se presupune că  $C_1$  este suficient de mare astfel încît tensiunea la bornele sale rămîn practic constantă la aplicarea semnalelor.

(a) Presupunînd că  $C_B = 0$  să se evalueze caracteristicile de transfer care leagă pe  $v_o$  cu  $v_i$ . Să se deseneze și să se dimensioneze rezultatele.

(b) Presupunînd că  $C_B$  este suficient de mare, astfel încît în prezența semnalelor, tensiunea grilă-catod nu are variații importante față de valoarea sa statică, să se evalueze caracteristica de transfer. Să se deseneze și să se dimensioneze rezultatele pe aceleași coordonate ca în punctul (a)

Panta caracteristicii de transfer în regiunea activă în cazul unei rezistențe catodice nedecuplate, este mai mică datorită reacției negative introdusă de  $R_K$ . Mai exact, componenta de semnal a curentului anodic, dezvoltată la bornele lui  $R_K$  o tensiune de semnal care se opune ten-

siunii grilă-masă, reducând prin aceasta tensiunea grilă-catod. Acest mecanism poate fi utilizat pentru ca panta caracteristici de transfer să fie mai puțin influențată de variațiile parametrilor dispozitivului activ.

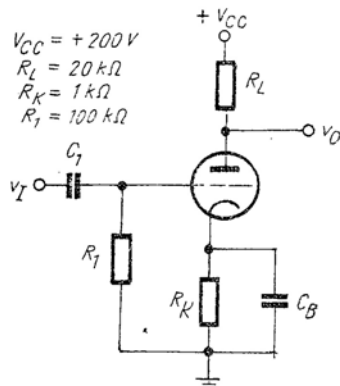


Fig.B.20 Amplificator cu negativare automată.

**P.B.9** Circuitul cu triodă din fig. B.21 este un amplificator cu anod comun sau *repetor catodic*.

(a) Care este valoarea maximă a lui  $v_I$  pentru care trioda lucrează în regiunea cu grila negativă? Să se utilizeze caracteristicile triodel din fig. A4, presupunând  $E = 250$  volți,  $R_K = 20$  kohm.

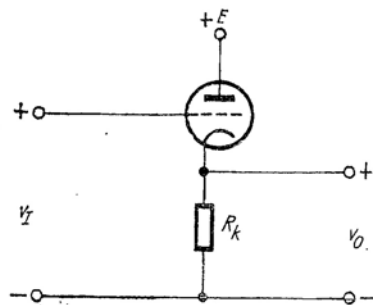


Fig.B.21 Repetor catodic.

b) Să se utilizeze modelul liniarizat din fig. B.14 pentru a se determina caracteristica de transfer ce leagă pe  $v_O$  de  $v_I$ . Să se exprime rezultatele în funcție de  $E$ ,  $R_p$ ,  $R_K$  și  $\mu_p$ . Să se deseneze și să se dimensioneze rezultatele pe coordonatele rectangulare  $v_I/E$  și  $v_O/E$ .

**P.B.10** Amplificatorul din fig. B. 22 este comandat de o sursă de semnal a cărei tensiune echivalentă Thévenin este  $v_s$  și a cărei rezistență internă este  $R_G = 5$  kohm. Să se utilizeze mo-

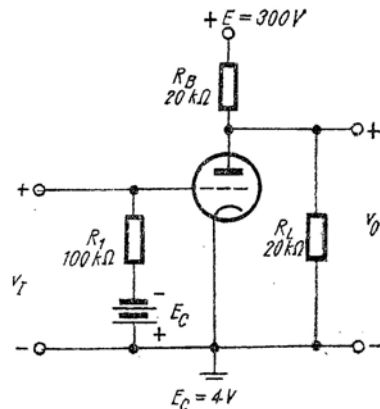


Fig.B.22 Amplificator cu catodul comun.

delul liniarizat din fig. B.14 (cu  $R_G = 2$  kohm,  $R_p = 7,5$  kohm,  $\mu_p = 20$ ) pentru a determina caracteristica de transfer ce leagă pe  $v_O$  de tensiunea sursei  $v_s$ . Să se deseneze și să se dimensioneze rezultatele.

**Indicație.** Să se găsească coordonatele celor trei puncte de fringere a caracteristicii.

**P.B.11** Să se utilizeze un model de semnal mic pentru a determina amplificarea de tensiune la semnal mic a amplificatorului din fig. B. 20. Se presupune că la bornele capacității de cupiaj se dezvoltă o tensiune de semnal neglijabilă și se neglijează curenții prin capacitățile dintre electrozi. Se consideră două cazuri:

(1) Capacitatea de decuplare  $C_B$  este suficient de mare astfel încât tensiunea de semnal de la bornele ei este neglijabilă.

(2)  $C_B = 0$ , adică rezistența din catod este nedecuplată.

Să se exprime  $A_v = v_O/v_I$  în funcție de parametrii circuitului și ai triodel, în primul rând sub formă literală. Să se înlocuiască apoi valorile numerice (se presupune  $\mu = 30$ ,  $r_p = 10$  kohm).

**Răspunsuri.** (1)  $A_v \approx -20$ ; (2)  $a_v \approx -10$ .

**P.B.12** Să se găsească amplificarea de tensiune la *semnal mic* pentru repetorul catodic introdus în problema **P.B.9**. Se presupune că valoarea statică a lui  $v_I$  este astfel încât trioda lucrează în regiunea cu grila negativă.

**P.B.13** Să se utilizeze circuitele echivalente la semnal mic pentru a evalua, în cazul amplificatorului din fig. B.22, efectul zgomotului din sursa de alimentare anodică. Concret, să se găsească tensiunea de ieșire de semnal mic,  $v_O$ , care apare ca răspuns la o componentă de curent alternativ de valoare  $v_n$ , din tensiunea sursei de alimentare anodice. Să se exprime apoi  $v_O$  în funcție de  $v_n$  cît și de tensiunea de intrare de semnal mic,  $v_i$ .

ANEXA C

**PROGRAM FORTRAN IV PENTRU DETERMI-  
NAREA FRECVENȚELOR NATURALE ALE UNEI  
REȚELE RC**

C.1 Instrucțiuni pentru utilizarea programului

C.2 Programul

*Referințe bibliografice*



## C

### Program FORTRAN IV pentru determinarea frecvențelor naturale ale unei rețele RC

#### C. 1. INSTRUCȚIUNI PENTRU UTILIZAREA PROGRAMULUI

1. Scrieți ecuațiile pe noduri ale rețelei, punind conductanțele în mS și capacitățile în pF. (Pot fi utilizate și alte grupe de unități, dar atunci utilizatorul trebuie să multiplice soluțiile cu un factor potrivit).

2. Aranjați ecuațiile pe noduri sub formă matriceală, astfel încât prima linie să conțină tensiunea de intrare în partea stângă. Ultima coloană a matricii trebuie să corespundă nodului care descrie tensiunea de ieșire. Partea dreaptă a ecuațiilor pe noduri trebuie să fie acum o matrice care să conțină  $N$  ecuații cu  $N$  tensiuni la noduri.

3. Perforați această matrice pe trei grupe de cartele; prima grupă constă dintr-o singură cartelă, care conține numărul ecuațiilor pe noduri și conductanța asociată tensiunii de intrare. Numărul de ecuații este perforat în coloanele 1 și 2 iar conductanța sursei în coloanele 11 până la 20. Cea de a doua grupă de cartele este afectată părții reale a ecuațiilor pe noduri. Aceste conductanțe sunt perforate câte șase pe o cartelă, utilizând atâtea cartele câte sunt necesare. Fiecărei valori de conductanță îi sunt afectate zece coloane; valoarea trebuie să fie perforată complet în aceste zece coloane. Dacă o conductanță este zero, în cele zece coloane „se bate blank”. Punctele zecimale trebuie puse întotdeauna, chiar pentru valori întregi.

După ce un rând a intrat complet pe cartele, o nouă linie va fi perforată în același mod. După ce toate conductanțele au fost introduse, întorceți-vă la prima linie și perforați toate valorile capacităților în același mod. Cu aceasta se completează cea de-a treia grupă de cartele pentru această rețea.

Dacă trebuie rezolvate mai multe rețele, perforați datele fiecărei rețele suplimentare așa cum s-a explicat mai sus și plasați aceste pachete de cartele în urma pachetului primei rețele.

4. Așezați cartelele de date după cartelele programului sursă și scrieți cartelele de control.

FORTRAN STARTED

FORTRAN 13\*07

FRECNAT 04/06/73 18.13.50

```

C 1 C PROGRAM PRINCIPAL PENTRU DETERMINAREA FRECVENTELOR NATURALE ALE
C 2 C UNEI REȚELE 100*100
C 3 C
C 4 C DIMENSION A(100,100),AT(100,100),S(100,100),SI(100,100),FR(100),
C 5 C IFI(100)
C 6 C
C 7 C 3 CALL READ(A,SI,S,SI,N,N)
C 8 C WRITE(6,110)
C 9 C M=1
C 10 C NI=N-1
C 11 C IF(S=0) GO TO 6
C 12 C CALL GAIN(A,M,N,PRD)
C 13 C 35 IF(M)6,116
C 14 C 6 CALL REDUCE(A,S,M,N)
C 15 C WRITE(6,111)
C 16 C IF(M)2,118
C 17 C 1 WRITE(6,100)
C 18 C GO TO 3
C 19 C 2 CALL EIGS(A,N,M,FR,FI,2,53,0,0)
C 20 C WRITE(6,101)
C 21 C WRITE(6,106)
C 22 C DO 40 J=1,N
C 23 C 40 WRITE(6,102) J,FR(J),FI(J)
C 24 C
C 25 C VERIFICA DACA EXISTA PALL RHP
C 26 C
C 27 C DO 4 JB=1,N
C 28 C IF(FR(JB))4,15,15
C 29 C 15 B=0
C 30 C GO TO 11
C 31 C 4 CONTINUE
C 32 C SUM=C
C 33 C SUM2=0
C 34 C CXSUM=0
C 35 C CXSUM2=0
C 36 C
C 37 C CALCULEAZA SUMA INVERSELOR POLILOR
C 38 C
C 39 C DO 50 J=1,N
C 40 C IF(FI(J)NE.0) GO TO 57
C 41 C SUM=SUM+1/FR(J)
C 42 C GO TO 50
C 43 C 51 VALUE=FR(J)/(FR(J)**2+FI(J)**2)
C 44 C CXSUM=CXSUM+VALUE
C 45 C 50 CONTINUE
C 46 C SUM=SUM+CXSUM
C 47 C WRITE(6,103) SUM

```

FORTRAN 13\*07

FRECNAT 04/06/73 18.13.50

```

C 48 C DETERMINA COMPLEXITATEA RADACINILOR
C 49 C
C 50 C DO 70 JJ=1,N
C 51 C LN=1+JJ
C 52 C IF(ABS(FI(LJ)+GT+4*ABS(FR(LJ))) GO TO 71
C 53 C IF(ABS(FI(LJ)+GT+1*ABS(FR(LJ))) GO TO 72
C 54 C 70 CONTINUE
C 55 C
C 56 C
C 57 C RADACINILE SINT FIE REALE FIE COMPLEXE - CALCULEAZA BANDA

```

```

C 58 C DO 5 JJ=1,N
C 59 C IF(FI(JJ)) 7,21,7
C 60 C 21 SUM2=SUM2+1+FR(J)**2
C 61 C GO TO 5
C 62 C 7 VALUE2=FR(J)**2+FI(J)**2,1/(FR(J)**2+FI(J)**2)**2)
C 63 C CXSUM2=CXSUM2+VALUE2
C 64 C
C 65 C 5 CONTINUE
C 66 C SUM2=SUM2+CXSUM2
C 67 C SUM2=1/SUM2
C 68 C H=SQRT(SUM2)
C 69 C F=1000*H/6+2831553
C 70 C WRITE(6,104) F
C 71 C GO TO 10
C 72 C 71 WRITE(6,107)
C 73 C GO TO 10
C 74 C 72 DO 73 K=L,N
C 75 C IF(FR(K))11,FR(K) GO TO 23
C 76 C 73 CONTINUE

```

```

C 78 C RADACINILE INFERIOARE SINT COMPLEX CONJUGATE
C 79 C CALCULEAZA BANDA BUTTEWORTH A ACESTEI PERECHI
C 80 C
C 81 C SUM2=FR(L)**2+FI(L)**2
C 82 C GO TO 75
C 83 C 23 WRITE(6,105)
C 84 C
C 85 C CALCULEAZA ZEROURILE
C 86 C
C 87 C 10 IF(S=0) GO TO 11
C 88 C CALL GAIN(A1,M,N1,PRD1)
C 89 C IF(M=0) GO TO 11
C 90 C 11 CALL REDUCE(A1,S1,M,N1)
C 91 C IF(M)8,9,8
C 92 C 9 WRITE(6,200)
C 93 C GO TO 3
C 94 C 8 CALL EIGS(A1,N1,N1,FR,FI,2,53,0,0)

```

FORTRAN 13\*07

FRECNAT 04/06/73 18.13.50

```

C 95 C IF(S)8,9,8
C 96 C
C 97 C CALCULEAZA AMPLIFICAREA DE TENSIEUNE
C 98 C
C 99 C 48 VGAIN=ABS(G*PRD1/PRD)
C 100 C WRITE(6,200) VGAIN
C 101 C 49 WRITE(6,201)
C 102 C WRITE(6,206)
C 103 C DO 30 J=1,N1
C 104 C 30 WRITE(6,202) J,FR(J),FI(J)
C 105 C GO TO 3
C 106 C 100 FORMAT(3H0 MATRICE DEGENERATA - VERIFICA PARAMETRII INTEGRALII
C 107 C 102 FORMAT(1H0,1X,3HFR(12,2H1+FI(15,7,10X,3HFI(12,2H1+FI(15,7)
C 108 C 110 FORMAT(26H1 CITESTE RUTINA COMPLETATA)
C 109 C 111 FORMAT(27H0 REDUCERE RUTINA COMPLETATA)
C 110 C 101 FORMAT(23H0 POLII SINT = 1N 1/NSC)
C 111 C 103 FORMAT(29H0 SUMA INVERSELOR POLILOR ESTE FI(2,0,0)N SEC)
C 112 C 104 FORMAT(10H0A ESTE APROXIMATIV FI(2,4,1)MESAGERII)
C 113 C 105 FORMAT(78H0 POLII COMPLECSI DOMINA RASPUNSII IN FRECVENTA - BANDA
C 114 C SNU POATE FI CALCULATA)
C 115 C 106 FORMAT(1H0,1X,4HREAL,55X,4HIMAGINARY)
C 116 C 107 FORMAT(10POLII COMPLECSI INDICA UN O MAI MARE CA 2 PENTRU REȚEA -
C 117 C 1BANDA NU SE POATE CALCULA)
C 118 C 200 FORMAT(33H0 SUBMATRICEA DEGENERATA - VERIFICA PARAMETRII INTRARE)
C 119 C 201 FORMAT(27H0 ZEROURILE SINT = 1N 1/NSC)
C 120 C 300 FORMAT(30H0 AMPLIFICAREA DE TENSIEUNE ESTE FI(10,0)
C 121 C END

```

FORTRAN 13\*07

FRECNAT 04/06/73 18.13.50



```

1 SUBROUTINE READ(A,S,SI,N)
2
3 SUBROUTINE DE INTRODUCERE DE DATE PENTRU UN DETERMINANT COMPLEX
4 PINA LA 100*100
5
6 DIMENSION A(100,100),S(100,100),AI(100,100),SI(100,100)
7
8 READ(5,1100,END=100) N
9 DO 1 J=1,N
10
11 READ(5,1101) (A(I,J),J=1,N)
12 DO 1 J=1,N
13
14 READ(5,1101) (S(I,J),J=1,N)
15 N1=N-1
16 DO 12 J=1,N1
17 DO 12 I=1,N1
18 AI(I,J)=A(I+1,J)
19 SI(I,J)=S(I+1,J)
20 WRITE(6,1102)
21 I=I+1
22 J1=J
23 K=(N-1)/5
24 IF(K)10,10,11
25 DO 70 I2=1,K
26 J2=J1+5
27 DO 69 I1=1,K
28 I2=I1+5
29 CALL PRINT(11,12,J1,J2,A,S)
30 I1=I
31 J1=J1+6
32 J2=N
33 DO 71 I3=1,K
34 I2=I+5
35 CALL PRINT(11,12,J1,J2,A,S)
36 I1=I
37 J1=J
38 DO 72 I4=1,K
39 J2=J1+5
40 CALL PRINT(11,12,J1,J2,A,S)
41 J1=J1+6
42 GO TO 80
43 DO 10 I2=N
44 J2=N
45 CALL PRINT(11,12,J1,J2,A,S)
46 80 CONTINUE
47 RETURN

```

FORTRAN 13\*07

FRECNAT 04/06/73 18.14.45

```

48 100 STOP
49 1100 FORMAT(12,8X,F10.4)
50 1101 FORMAT(6F10.4)
51 1102 FORMAT(25=1 MATRICEA DE INYKARE ESTE)
52 END

```

FORTRAN 13\*07

FRECNAT 04/06/73 18.14.45

\*\*\* FIN DE COMPILATION (PLUS HAUT NIVEAU D'ERREUR PERCENTUE = 4) 18.15.00

COMPILE FORTRAN

FORTRAN 13\*07

FRECNAT 04/06/73 18.15.01

```

1 SUBROUTINE PRINT(I1,I2,J1,I2,A,S)
2
3 TIPARIRE MATRICE
4
5 DIMENSION A(100,100),S(100,100)
6 WRITE(6,1103) I1,I2,J1,I2
7 DO 73 I=1,I2
8
9 WRITE(6,1104) (A(I,J),J=J1,I2)
10 WRITE(6,1105) (S(I,J),J=J1,I2)
11 RETURN

```

```

11 1103 FORMAT(1H1,50X,6HLINI1,12,4H LA,12,10H COLBANE,12,4H LA,
12 1104 FORMAT(1H1,50X,6HLINI2,12,4H LA,12,10H COLBANE,12,4H LA,
13 1105 FORMAT(1H0,6(1H,1F10.4,1H,8X))
14 END

```

FORTRAN 13\*07

FRECNAT 04/06/73 18.15.01

```

1 SUBROUTINE GAIN(SS,M,N,PRD)
2
3 SUBROUTINE PENTRU CALCULUL DETERMINANTULUI MATRICII S
4
5 DIMENSION S(100,100),SS(100,100)
6 DO 10 I=1,N
7 DO 10 J=1,N
8
9 S(I,J)=SS(I,J)
10 DO 1 J=1,N
11 IF(S(I,1)) 2,90,2
12 DO 1 J=1,N
13 IF(J=1)13,1,3
14 IF(S(I,J))14,1,4
15 C=S(I,J)/S(I,1)
16 DO 8 K=1,N
17 S(K,J)=C*S(K,1)+S(K,J)
18 CONTINUE
19 CONTINUE
20 PRD=1
21 DO 30 I=1,N
22 PRD=PRD*S(I,1)
23 M=1
24 RETURN
25
26 VEZI DACA MATRICEA ESTE DEGENERATIVA - PUNE M=0 SI RETURN DA
27 ESTE
28
29 M=0
30 DO 21 J=1,N
31 IF(S(I,J))91,21,91
32 DO 20 K=1,N
33 SK=SK(I)
34 S(K,I)=S(K,J)
35 DO 20 S(K,J)=SK
36 J=N
37 M=1
38 CONTINUE
39 IF(M) 25,31,25
40 RETURN
41 END

```

FORTRAN 13\*07

FRECNAT 04/06/73 18.15.10

```

1 SUBROUTINE REDUCE(A,S,M,N)
2
3 SUBROUTINE PENTRU REDUCEREA PROBLEMEI FRECVENTE LOR NATURALE L
4 AFLAREA VALORILOR PRINCIPALE ALE MATRICII
5
6 DIMENSION A(100,100),S(100,100)
7 DO 25 I=1,N
8 IF(S(I,1))12,90,2
9 DO 1 J=1,N
10 IF(J=1)13,1,3
11 IF(S(I,J))14,1,4
12 C=S(I,J)/S(I,1)
13 DO 8 K=1,N
14 A(K,J)=C*A(K,1)+A(K,J)
15 S(K,J)=C*S(K,1)+S(K,J)
16 CONTINUE
17 CONTINUE
18
19 NORMALIZEAZA
20
21 DO 10 J=1,N
22 C=1/S(J,J)
23 DO 10 I=1,N

```

```

24 A(I,J)=C*A(I,J)
25 10 S(I,J)=C*S(I,J)
26 M=1
27 RETURN
28
29 VEZI DACA MATRICEA ESTE DEGENERATIVA - PUNE M=0 SI RETURN DACA
30 ESTE
31
32 90 M=0
33 DO 21 J=1,N
34 IF(S(I,J))91,21,91
35 91 DO 20 K=1,N
36 SK=S(K,I)
37 AK=A(K,I)
38 S(K,I)=S(K,J)
39 A(K,I)=A(K,J)
40 S(K,J)=SK
41 20 A(K,J)=AK
42 J=N
43 M=1
44 21 CONTINUE
45 IF(M)25,30,25
46 30 IF(I=LT+1) GO TO 69
47
FORTRAN 13*07
FRECNET 04/06/73 18.15.29

C 48 C VERIFICA PENTRU UN TERMEN IN COLBANA I
C 49 C
50 70 DO 71 J=1,N
51 IF(S(J,I))72,71,72
52 72 DO 73 K=1,M
53 AK=A(I,K)
54 SK=S(I,K)
55 A(I,K)=A(J,K)
56 S(I,K)=S(J,K)
57 A(J,K)=AK
58 73 S(J,K)=SK
59 GO TO 25
60 71 CONTINUE
61
62 C C PLASEAZA LINIILE SI COLONILE 8 LA SFARSITUL MATRICII
63 C
64 J=N+1
65 DO 77 LL=1,N
66 J=J+1
67 IF(S(J,J).EQ.0) GO TO 94
68 75 DO 76 K=1,N
69 AK=A(I,K)
70 SK=S(I,K)
71 A(I,K)=A(J,K)
72 S(I,K)=S(J,K)
73 A(J,K)=AK
74 76 S(J,K)=SK
75 DO 78 K=1,N
76 AK=A(K,I)
77 SK=S(K,I)
78 A(K,I)=A(K,J)
79 S(K,I)=S(K,J)
80 A(K,J)=AK
81 78 S(K,J)=SK
82 GO TO 25
83
84 C C VERIFICA PENTRU TERMENI 8 IN COLBANA J. DACA SE GASESTE, SE
85 C C PLASEAZA PE DIAGONALA
86 C
87 74 DO 77 L=1,N
88 IF(S(L,J).EQ.0) GO TO 97
89 DO 79 K=1,N

```

```

90 AK=A(I,K)
91 SK=S(I,K)
92 A(I,K)=A(L,K)
93 S(I,K)=S(L,K)
94 A(L,K)=AK
95
FORTRAN 13*07
FRECNET 04/06/73 18.15.29

95 79 S(L,K)=SK
96 GO TO 75
97 CONTINUE
98 II=1
99
C 100 C PUNE TERMENII CARE NU SINT PE DIAGONALA DE LA PINDUL II ZERO
C 101 C
102 DO 31 I=1,N
103 DO 32 J=1,N
104 IF(I=J)31,31,34
105 34 IF(S(I,J))37,32,37
106 C=S(I,J)/S(J,J)
107 DO 35 K=1,N
108 S(I,K)=C*S(J,K)+S(I,K)
109 35 A(I,K)=C*A(J,K)+A(I,K)
110 32 CONTINUE
111 31 CONTINUE
112 C PUNE TERMENII A CARE NU SINT PE DIAGONALA SI IN MATRICEA
113 C (II=1)-(II=1) ZERO
114 DO 39 I=II,N
115 IF(A(I,II).EQ.0) GO TO 80
116 39 CONTINUE
117 DO 38 I=II,N
118 DO 38 J=1,N
119 IF(J=I)40,38,40
120 40 IF(A(I,J))41,38,41
121 41 C=A(I,J)/A(I,I)
122 DO 42 K=1,N
123 42 A(K,J)=C*A(K,I)+A(K,J)
124 38 CONTINUE
125 II=II+1
126 DO 43 J=II,N
127 DO 43 I=1,II-1
128 IF(A(I,J))44,43,44
129 44 C=A(I,J)/A(I,I)
130 DO 45 K=1,N
131 45 A(I,K)=C*A(I,K)+A(I,K)
132 43 CONTINUE
133 N=II+1
134 GO TO 15
135 80 DO 81 J=1,N
136 IF(A(I,J).EQ.0) GO TO 81
137 DO 82 K=1,N
138 AK=A(K,I)
139 A(K,I)=A(K,J)
140 82 A(K,J)=AK
141 GO TO 59
142
143 81 CONTINUE
144 N=0
145 RETURN
146 END
FRECNET 04/06/73 18.15.29

```



FORTRAN 13\*07

FRECNAV 04/06/73 18.15.52

```

1 SUBROUTINE EIGS(A,N,N,SR,RI,STARTR,STARTI,PRINT)
2
3 C
4 C
5 C
6 C
7 C
8 C
9 C
10 C
11 C
12 C
13 C
14 C
15 C
16 C
17 C
18 C
19 C
20 C
21 C
22 C
23 C
24 C
25 C
26 C
27 C
28 C
29 C
30 C
31 C
32 C
33 C
34 C
35 C
36 C
37 C
38 C
39 C
40 C
41 C
42 C
43 C
44 C
45 C
46 C
47 C

```

REDUCEREA MATRICII A N,N LA FORMA HESSENBERG PRIN HESS  
M VALORI PRINCIPALE RR(J)E\*RI(J) SE GASESC PRIN METODA LUI  
LAGUERRE UTILIZIND FORMA HESSENBERG  
DACA PRINT=0 NU SE VA IMPRIMA  
VEZI LAG PENTRU STARTR SI STARTI

DIMENSION A(100,100),RS(100),RI(100),GAMMA(100)  
CALL TRACE(A,N,PRINT)  
CALL HESS(A,N,SIZE,PRINT)  
CALL TRACE(A,N,PRINT)  
DO 10 I=2,N  
10 GAMMA(I-1)=A(I,1)  
GAMMA(N)=0

MATRICEA ESTE REDUSA

NU=0  
NV=0  
15 IF(NV=N)20,70,75  
20 NV=NV+1  
NU=NV  
25 IF(GAMMA(NV)130,35,30  
30 NV=NV+1  
35 IF(NV=NU+1)40,46,40  
40 MM=MIN0(NV,M)  
GAMMA(NV)=1\*0  
NU1=NU+1  
41 SPUR1=A(NU,NU)  
SPUR2=SPUR1\*2  
DO 42 J=NU1,NV  
T=A(J,J)  
SPUR1=SPUR1+T  
42 SPUR2=SPUR2+T\*2+2\*A(J-1,J)\*A(J,J+1)  
45 CALL LAG(A,GAMMA,RR,RI,NU,NV,MM,STARTR,STARTI,SPUR1,SPUR2,PRINT,  
SIZE)  
GO TO 15  
46 S=15\*(A(NU,NU)+A(NV,NV))  
DIS=15\*(A(NU,NU)+A(NV,NV))\*\*2+A(NU,NV)\*A(NV,NU)  
T=SQRT(ABS(DIS))  
IF(DIS)50,50,55  
50 RR(NU)=S  
RI(NU)=T  
RR(NV)=S  
RI(NV)=-T

FORTRAN 13\*07

FRECNAV 04/06/73 18.15.52

```

48 GO TO 65
49 55 RR(NV)=S+SIGN(T,S)
50 RI(NV)=0
51 RR(NV)=15**2*DIS/RR(NV)
52 RI(NV)=0
53 GO TO 65
54 60 RR(NV)=A(NU,NU)
55 RI(NV)=0
56 65 IF(PRINT)70,15,70
57 70 WRITE(6,1)(RR(J),J=NU,NV)
58 GO TO 15
59 75 S=0
60 DO 80 J=1,M
61 80 S=S+RR(J)

```

```

62 IF(PRINT)85,90,85
63 85 WRITE(6,2)S
64 90 RETURN
65 1 FORMAT(19H0 VALORILE PRINCIPALE,5X,2E20.8)
66 2 FORMAT(19H0 SUMA VALORILOR PRINCIPALE,2E16.8)
67 END

```

FORTRAN 13\*07

FRECNAV 04/06/73 18.15.52

```

1 SUBROUTINE HESS(A,N,N,PRINT)
2
3 C
4 C
5 C
6 C
7 C
8 C
9 C
10 C
11 C
12 C
13 C
14 C
15 C
16 C
17 C
18 C
19 C
20 C
21 C
22 C
23 C
24 C
25 C
26 C
27 C
28 C
29 C
30 C
31 C
32 C
33 C
34 C
35 C
36 C
37 C
38 C
39 C
40 C
41 C
42 C
43 C
44 C
45 C
46 C
47 C

```

REDUCEREA MATRICII A N,N LA FORMA HESSENBERG  
PRIN TRANSFORMARI ELEMENTARE DE SIMILITUDINE  
CU INTERSCHIMBURI SB LA DEVENI VALDARE  
ABSOLUTA A ELEMENTULUI CEL MAI MARE DIN A

DIMENSION A(100,100)  
SB=ABS(A(N,N))  
N1=N-1  
N2=N-2  
DO 29 J=1,N1  
SA=0  
DO 9 K=1,J  
9 SA=MAX1(SA,ABS(A(J,K)))  
J1=J+1  
J2=J+2  
S=ABS(A(J,J1))  
L=J1  
NJ1=N-J1  
IF(NJ1)10,10,11  
10 SB=MAX1(SA,ABS(A(N,N-1)+SB))  
IF(S=1.E-8\*SA)20,20,23  
GASESTE PIVOTUL IN LINIA J  
DO 13 K=J2,N  
T=ABS(A(J,K))  
IF(T=S)13,13,12  
12 L=K  
S=T  
13 CONTINUE  
IF(L=J1)14,14,16  
SCHIMBA LINIILE SI COLANEELE J+1 SI  
DO 15 K=1,N  
T=A(K,J+1)  
A(K,J+1)=A(K,L)  
A(K,L)=T  
DO 17 K=1,N  
T=A(J+1,K)  
A(J+1,K)=A(L,K)  
A(L,K)=T  
18 SB=MAX1(SA,ABS(A(N,N)),SB)  
VEZI DACA MATRICEA ESTE REDUSA, ATUNCI  
GASESTE MULTIPLICATORII SI ARANJEAZA LINIA J1  
IF(S=1.E-8\*SA)20,20,21  
20 A(J,J+1)=0

FORTRAN 13\*07

FRECNAV 04/06/73 18.17.20

```

48 NJ1=0
49 GO TO 23
50 21 IF(NJ1)23,23,215
51 215 T=A(J,J1)
52 DO 22 K=J2,N
53 22 A(J,K)=A(J,K)/T
54 23 DO 29 I=1,N
55 29 M=MIN0(J,I-2)
56 S=0
57 IF(NJ1)26,26,24

```

```

58 24 DO 25 K=J2,N
59 25 S=S+A(K,1)*A(J,K)
60 26 IF(M)29,29,27
61 27 DO 28 K=1,M
62 28 S=S+A(K,1)*A(J,K+1)
63 29 A(J,1)=A(J,1)+S
64 IF(PRINT)31,32,31
65 31 WRITE(6,1)
66 32 RETURN
67 1 FORMAT(1H0,4BX,22HALM0AT TRIUNGHIULAR FORM)
68 END

```

FORTRAN 13\*07

FREC NAT 04/06/73 18.17.00

```

1 SUBROUTINE TRACE(A,N,HPRINT)
2 DIMENSION A(100,100)
3 IF(PRINT)10,30,10
4 10 S=0
5 DO 20 J=1,N
6 20 S=S+A(J,J)
7 WRITE(6,1)S
8 30 RETURN
9 1 FORMAT(1H0,4BX,7HTRACE =E1A*B)
10 END

```

FORTRAN 13\*07

FREC NAT 04/06/73 18.18.03

```

1 SUBROUTINE LAG(A,GA,RR,RI,NU,NV,MM,STR,STI,SP1,SP2,PR(SZ))
2 CELE M VALORI PRINCIPALE RR(U) 1= RI(U) ALE
3 SUBMATICII PRINCIPALE (NU,NU) PINA LA (NV,NV) A
4 LUI A SINT GASITE PRIN METODA LUI LAGUERRE.
5 CAUTAREA LA STR STI+T+T+TVSI, DACA
6 STR ESTE MAI MARE DECIT 1.F35,ATUNCI
7 PROGRAMUL PLEACA DE LA RADACINA MODULULUI MAXIM
8
9 DIMENSION A(100,100),GA(100),RR(100),RI(100),P(0,101),A(6)
10 IF(PR) 3,4,3
11 3 WRITE(6,2)
12 4 SLOW=0
13 NUQ=NU-1
14 ITS=0
15 EGSUM1=0
16 EGSUM2=0
17 CUP=25+5Z
18 CAP=1.E+16*SZ**2
19 ZZ=CAP
20 RNEW=2
21 DO 5 J=2,6
22 5 P(J,NU)=0
23
24 C VALGAREA DE INCEPUT,SAU DATA,SAU ITERATIE INFINIT
25 C
26 IF(STR=1.E+30)6,7,7
27 6 X=STR
28 Y=STI
29 GO TO 14
30 7 S1R=EGSUM1*SP1
31 S2R=SP2*EGSUM2
32 F1=NV-NUQ
33 IF(ABS(S1R)+ABS(S2R)=1.E+30)ZZ=8,8,9
34 8 X=CUP
35 Y=0
36 GO TO 14
37 9 DR=(F1-1.)*((F1+S2R-S1R)*2)
38 ER=SQR(ABS(DR))
39 IF(DR)10,11,11
40 10 X=S1R/F1
41 Y=ER/F1
42 GO TO 12
43 11 X=(S1R+SIGN(ER,S1R))/F1
44 Y=0
45 12 IF(NUQ=NU+ITS) 13,14,14
46 13 X=1.76*X
47 Y=1.76*Y

```

FORTRAN 13\*07

FREC NAT 04/06/73 18.18.03

```

C 48 C EVALUAREA POLINOMIULUI CARACTERISTIC SI DERIVATELOR
C 49 C
C 50 C
51 14 M=6
52 P(1,NU)=1.0
53 10=0
54 IF(ABS(Y)-1.E-5=ABS(X),15,17,19
55 15 Y=0
56 M=3
57 DO 18 J=4,6
58 18 S(J)=0
59 19 DO 26 K=NU,NV
60 DO 26 L=1,M
61 TS=SIGN(1,3*L)
62 L1=L+3*SI
63 20 R=X*R(L,K)+Y*FL0AT(15,PI(1,K))-FL0AT(M0(L-1,3))*P(L-1,K)
64 DO 21 J=NU,K
65 21 R=R+P(L,J)*A(K,J)
66 P(L,K+1)=R/9A(K)
67 IF(BVFL)22,25,22
68 22 BVFL=C
69 KP1=K+1
70 10=10+1
71 DO 24 J=NU,KP1
72 DO 24 J=1,M
73 24 P(J,1)=P(J,1)+1.E+20
74 GO TO 20
75 26 CONTINUE
76 29 R=0
77 DO 30 J=1,M
78 B(J)=P(J,NV+1)
79 30 R=AMAX1(R,ABS(B(J)))
C 80 C
C 81 C COBCARA DACA ESTE NECESAR
C 82 C
83 IF(R=1.E+18)33,33,31
84 31 DO 32 J=1,M
85 32 B(J)=R(J)+1.E-22
86 33 ITS=ITS+1
87 ABZ2=X**2+Y**2
88 ZZ=AMAX1(ABZ2,1.E-6*CAP)
89 G1=B(1)**2+B(4)**2
90 G2=B(2)**2+B(5)**2
91 G3=B(3)**2+B(6)**2
92 IF(PR)332,34,332
93 332 WRITE(6,96)X,Y,G1,G2,15
C 94 C

```

FORTRAN 13\*07

FREC NAT 04/06/73 18.18.03

```

C 95 C GASESTE CONTRIBUTIILE SI QP LA S1,S2
C 96 C
97 34 Q1R=0
98 Q1I=0
99 Q2R=0
100 Q2I=0
101 VNEAR=0
102 IF(NUQ=NU)40,35,35
103 DO 38 J=NU,NUQ
104 DR=RR(J)*X
105 DI=RI(J)*Y
106 Q2=DR**2+DI**2
107 IF(D2=1.E-14*ZZ) 36,36,37
108 36 VNEAR=1
109 GO TO 41
110 37 DR=DR/D2
111 DI=DI/D2
112 Q1R=Q1R+DR
113 Q1I=Q1I+DI

```



```

114 Q2R=Q2R+DR**2-DI**2
115 38 Q2I=Q2I+2.*DM*DI
116 40 IF(Q1-Q2+ZZ+1.E-14+1./21.*2
117 41 MARK=1
118 GO TO 73
119
120 C GASESTE SI SI S2 ALE DERIVATELOR LOGARITMICE
121 C ALE POLINOMULUI
122 C
123 42 IF(Y)44+43+44
124 43 T1R=B(2)/B(1)
125 T1I=0.
126 T2R=B(3)/B(1)
127 T2I=0.
128 GO TO 45
129 44 T1R=(B(2)*B(1)+B(5)*B(1))/A1
130 T1I=(B(5)*B(1)-B(2)*B(1))/A1
131 T2R=(B(3)*B(1)+B(6)*B(1))/A1
132 T2I=(B(6)*B(1)-B(3)*B(1))/A1
133 45 S1R=T1R+Q1R
134 S1I=T1I+Q1I
135 S2R=T1R**2+T1I**2+T2R-Q2R
136 S2I=2.*T1R*T1I+T2I-Q2I
137 C
138 C GASESTE URMAAREA ITEI ATIE CU LAGUERRE
139 C
140 MARK=2
141 46 G=NV*NUQ

```

FORTAN 13\*07

FREC NAT 04/06/73 18.18.03

```

142 47 IF(G=2.)53,53,48
143 48 IF(ITS=1)51,51,49
144 49 IF(Y=ABS(DELX)-ABS(DELY))61,51,50
145 50 S1I=S1I+5/Y
146 S2R=S2R+25/Y**2
147 G=G-1.
148 51 IF(SLOW)53,53,52
149 52 H=5*(G-2.)
150 GO TO 54
151 53 H=G-1.
152 54 DR=H*(G+S2R-B1R**2+S1I**2)
153 DI=H*(G+S2I-2.*S1R*S1I)
154 IF(DI)56,55,56
155 55 T=SQRT(ABS(DR))
156 S=AMAX1(0.,SIGN(1.,DR))
157 ER=T*S
158 EI=T*(1.-S)
159 GO TO 57
160 56 CALL CXSORT(DR,DI,ER,EI)
161 57 IF(B1R*S1I+EI)58,59,59
162 58 ER=-ER
163 EI=-EI
164 59 DR=S1R+ER
165 OI=S1I+EI
166 DE=DR**2+DI**2
167 DELX=G*DR/DE
168 X=X+DELX
169 DELY=G*DI/DE
170 Y=Y+DELY
171 DELNEW=DELX**2+DELY**2
172 ABZ2=X**2+Y**2
173 ZZ=AMAX1(ABZ2,1.E-6*CA5)
174 IF(ITS=1)70,65,60
175 60 IF(DELNEW-1.E-12*ZZ)70,70,41
176 C
177 C TEST PENTRU CICLU
178 C
179 61 IF(ABS(DELX*DELX)**2+(DELY*DELY)**2>11*DELNEW) 62,65,65

```

```

180 62 IF(SLOW)63,63,65
181 63 IF(BNCE)64,64,65
182 64 BNCE=1.
183 DELOLD=52*FLDAT (NV=NU)
184 ROLD=52
185 GO TO 7
186
187 C
188 C TEST PENTRU CONVERGENTA LINIARA

```

FORTAN 13\*07

FREC NAT 04/06/73 18.18.03

```

189 65 RNEW=DELNEW/DELOLD
190 IF(RNEW**6*ROLD)70,66,26
191 66 MARK=3
192 IF(SLOW)67,67,69
193 67 IF(G=3+71,71,68
194 68 X=X+DELX
195 Y=Y+DELY
196 SLOW=1.
197 GO TO 47
198 69 SLOW=0.
199 GO TO 71
200 C
201 C TEST PENTRU O VALSARE PRINCIPALA
202 70 IF(DELNEW-1.E-7*ZZ)73,73,71
203 71 BNCE=0.
204 72 DELOLD=DELNEW
205 ROLD=RNEW
206 BLDEX=DELX
207 BLDELY=DELY
208 IF(ITS=15)14,14,77
209 C
210 C EXISTA APROXIMAREA UNUI ZERO REAL
211 73 SLOW=0.
212 IF(Y)74,77,74
213 74 IF(G2+Y**2-G1)75,77,77
214 75 IF(BNCE)76,76,77
215 76 BNCE=1.
216 Y=0.
217 GO TO 72
218 C
219 C ACCEPTA X 1*Y CA O VALSARE PRINCIPALA
220 C
221 77 NUQ=NUQ+1
222 IF(ABZ2-1.E-12*CAP)78,79,79
223 78 X=0
224 Y=0
225 79 RR(NUQ)=X
226 IF(ABS(Y)-1.E-6*ABS(X))80,80,81
227 80 Y=0
228 81 IF(NUQ=NU)83,83,82
229 82 IF(RI(NUQ-1)83,83,84
230 83 Y=ABS(Y)
231 GO TO 85
232 84 IF((X*RR(NUQ-1))+2*(ABS(Y)-RI(NUQ-1))**2-1.E-3*ZZ)845,845,83
233 845 RR(NUQ-1)=X
234 Y=ABS(Y)
235 RI(NUQ-1)=Y

```

FORTAN 13\*07

FREC NAT 04/06/73 18.18.03

```

236 85 RI(NUQ)=Y
237 IF(PR)86,87,86
238 86 WRITE(6,1)RR(NUQ),RI(NUQ),ITS,MARK
239 87 ITS=0
240 REW=2.

```



```

241 CAP=AMAX1(ABS(2,CAP)
242 EGSUM1=EGSUM1+X
243 EGSUM2=EGSUM2+X**2+Y**2
244 IF (NUQ=MM)88,95,95
245 88 IF (Y)90,91,89
246 89 Y=-Y
247 GO TO 14
248 90 R1(NUQ-1)=ABS(Y)
C 249 C
C 250 C 1A UN PAS NEWTON DE LA X 1*Y LA URMATOARE
C 251 C RADACINA
C 252 C
253 91 BNCE=0.
254 IF (NV=NUQ-3)7,7,92
255 92 IF (VNEAR)925,925,7
256 925 IF ((Q1R**2+211+21)*ZZ-1+E**4)93,7,7
257 93 DR=B(21)+2*(B(2)*Q1R*B(5)+B(11)
258 D1=B(6)+2*(B(2)*Q11+B(5)+B(1R)
259 D2=DR**2+D1**2
260 IF (D2)7,7,94
261 94 X=X-2*(DR*B(2)+D1*B(5))/D2
262 Y=ABS(Y-2*(UR*B(5)+D1*B(2))/D2)
263 IF (X**2+Y**2=4.*CAP)14,14,7
264 95 RETURN
265 1 FORMAT(18H VALOARE PRINCIPALABX,2E20.8,1X,I2,17H ITERATII,TEST
266 111//
267 96 FORMAT(8H ITERATE20X,E15.8,5X,E15.8,5X,3E15,7,14)
268 2 FORMAT(18H 50X,19H ITERATII LAGUERRE //31X,10H PARTE REALA9X,11H PAR
269 17X,10H 8X,4HP**2,10X,4HP**2,10X,6HP**2,3X,4H DVFL )
270 END

```

FORTRAN 13\*07  
\* COMPILE FORTRAN

FREQNAT 04/06/73 18.18.03

FORTRAN 12\*07

FREQNAT 04/06/73 18.18.36

```

1 SUBROUTINE CKSORT(A,B,Y)
2 F=AMAX1(ABS(A),ABS(B))
3 F=F*SQRT((A/F)**2+(B/F)**2)
4 IF (A)1,1,2
5 1 Y=SQRT((F-A)*B)
6 X=B*B/Y
7 IF (X)4,3,3
8 4 X=X-X
9 Y=Y-Y
10 GO TO 3
11 2 X=SQRT((F+A)*B)
12 Y=B*B/X
13 3 RETURN
14 END

```

FORTRAN 13\*07

FREQNAT 04/06/73 18.18.38

## ANEXA D

### PROGRAM APL PENTRU DETERMINAREA FRECVENTELOR NATURALE ALE UNEI REȚELE

D.1 Exemple de utilizare a programului

D.2 Programul

Referințe bibliografice

## D

### Program APL pentru determinarea frecvențelor naturale ale unei rețele<sup>1)</sup>

#### D.1. EXEMPLE DE UTILIZARE A PROGRAMULUI

Următoarele exemple ilustrează trei moduri în care datele de intrare pot fi introduse în acest program. În fiecare caz, se dă o reproducere a materialului de intrare și ieșire în consola calculatorului. Determinatul utilizat în primele trei exemple este cel din § 15.1.2.

În prima metodă, aplicabilă la rețelele *RC*, utilizatorul bate NATFREQS. Calculatorul răspunde cu instrucțiuni, după cum se arată. Simbolul S11 înseamnă partea capacitivă a lui  $y$  în determinant; R11 indică partea reală a lui  $y$ , adică, conductanța. Datele sînt introduse în calculator ca o serie de numere: coeficienții complecși ai determinantului, adică partea capacitivă, mai întii, apoi, conductanța. După ce datele de intrare au fost introduse, se începe o nouă linie și se bate E. Calculatorul va calcula, atunci, frecvențele naturale.

Cea de a doua metodă este identică cu prima, cu diferența că, bătînd NATFREQS 10, calculatorul trece direct la partea de intrare a programului anterior, fără a mai da instrucțiuni.

În cea de-a treia metodă de introducere a datelor în calculator, utilizatorul își formează el însuși determinantul. Pentru rețelele *RC* datele formează două matrici. Prima matrice  $n \times n$  conține toți termenii capacitivi ai determinantului; cea de-a doua matrice  $n \times n$  conține toți termenii conductivi. Pentru a forma această rețea, utilizăm comanda în APL. Utilizatorul bate întii, în formă vectorială, toate părțile capacitive ale

<sup>1)</sup> Acest program este reproducut după original.

fiecărui termen din determinant, rînd cu rînd, urmate de toți termenii conductivi. În exemplu de mai jos, aceasta s-a realizat cu doi vectori. Pentru rețele mai mari vor fi necesari mai mulți vectori. Acești vectori vor fi apoi aranjați într-o rețea de două plane,  $n$  coloane și  $n$  linii, cu ajutorul comenzii ce se aplică vectorilor definiți mai sus. În exemplul dat, rețeaua astfel formată a fost numită VV. Pentru a verifica exactitatea introducerii datelor, utilizatorul solicită o imprimare a rețelei, bătînd VV. (Rețeaua rezultată trebuie să fie comparată cu determinantul original dat de ecuația 15.7.). Pentru a găsi frecvențele naturale, se bate NATFREQ VV.

Pentru rețelele care conțin atît inductanțe, cît și capacități și rezistențe, este necesar a se urma o procedură oarecum diferită. Formăm o rețea cu trei plane, nu cu două, o matrice capacitivă  $n \times n$ , o matrice conductivă  $n \times n$  (ca mai sus) și, o a treia matrice  $n \times n$ , conținînd termenii inductivi (în unități  $1/\mu H$ ). Dacă cerem această rețea *RLC*,  $3 \times n \times n$ , frecvențele naturale pot fi găsite chemînd NATFREQSONE OVERS RLC.

#### REFERINȚE BIBLIOGRAFICE;

- D.1 A. D. Falkoff and K.E. Iverson, *APL/360 User's Manual*, IBM, Thomas I. Watson Research Center, 1968  
D.2 P. Berry, *APL/360 Primer*, IBM Corporation, 1969

REAL      NATFREQS ONEOVERS RLC  
             IMAGINARY

-0.375	-0.4841229183
-0.375	-0.4841229183

[38] LAGB:  $R \leftarrow ((0.5 \times \rho R), 2) \rho R$



## E

## Rezolvarea problemelor

## PROBLEME LA CAP. 1

## REZOLVAREA PROBLEMEI P. 1.2

Dreapta de sarcină are intersecțiile cu axele :

$$v_{DS} = V_B = 8 \text{ V}$$

$$i_D = \frac{V_B}{R_L} = 2,7 \text{ mA.}$$

Dreapta de sarcină intersectează curba  $v_{GS} = 4 \text{ V}$  în punctul cu coordonatele :

$$v_{DS} \approx 3,3 \text{ V}$$

$$i_D \approx 1,6 \text{ mA.}$$

## REZOLVAREA PROBLEMEI P. 1.3

Circuitul a. Dreapta de sarcină este orizontală și intersectează axa  $i_D$  la 1 mA. Punctul de intersecție cu curba  $v_{GS} = 4 \text{ V}$  are coordonatele :

$$v_{DS} = 1,2 \text{ V}$$

$$i_D = 1 \text{ mA.}$$

Circuitul b. Valoarea tensiunii  $v_{DS}$ , când  $i_D = 0$ , este

$$v_{DS} = \frac{7,5}{7,5 + 2,5} \times 10 = 7,5 \text{ V.}$$

Valoarea curentului  $i_D$  când  $v_{DS} = 0$  este

$$i_D = \frac{10}{2,5} = 4 \text{ mA.}$$

Acestea sînt intersecțiile drepte de sarcină cu axele. Punctul de funcționare (pentru  $v_{GS} = 4 \text{ V}$ ) este

$$v_{DS} \approx 4,5 \text{ V}$$

$$i_D \approx 1,6 \text{ mA.}$$

Circuitul c. Dreapta de sarcină intersectează axele la

$$v_{DS} = 10 \text{ V}$$

$$i_D = \frac{10}{2 + 1} \approx 3,3 \text{ mA.}$$

Punctul de funcționare (pentru  $v_{GS} = 4 \text{ V}$ ) este :

$$v_{DS} = 5,2 \text{ V}$$

$$i_D = 1,6 \text{ mA.}$$

## REZOLVAREA PROBLEMEI P. 1.4

Se trasează pe caracteristicile de ieșire curba care exprimă  $v_{GS}$  în funcție de  $i_D$ , pentru o anumită valoare a lui  $v_I$ . Relația este

$$v_{GS} = v_I - i_D R_s$$

unde  $R_s$  este rezistența sursei (1 kΩ). De observat că această curbă nu este o dreaptă în planul  $v_{DS}$ ,  $i_D$ . Curba intersectează dreapta de sarcină determinată la problema P.1.3.c (pentru  $v_I = 6 \text{ V}$ ) la :

$$v_{DS} \approx 5 \text{ V}$$

$$i_D \approx 1,8 \text{ mA}$$

$$v_{GS} \approx 4,2 \text{ V.}$$

## REZOLVAREA PROBLEMEI P. 1.7

În general,

$$g_m = \left. \frac{\Delta i_D}{\Delta v_{GS}} \right|_{v_{DS} \text{ constant}}$$

$$g_o = \left. \frac{\Delta i_D}{\Delta v_{DS}} \right|_{v_{GS} \text{ constant.}}$$

(Utilizînd curbele din fig. 1.8 :

1) La  $v_{DS} = 2 \text{ V}$ ,  $v_{GS} = 4 \text{ V}$ ,

$$g_m \approx \frac{0,5 \text{ mA}}{1 \text{ V}} = 0,5 \text{ mS}$$

$$g_o \approx \frac{0,7 \text{ mA}}{2 \text{ V}} = 0,35 \text{ mS.}$$



(2) La  $v_{DS} = 8 \text{ V}$ ,  $v_{GS} = 5 \text{ V}$ ,

$$g_m \approx \frac{1 \text{ mA}}{1 \text{ V}} = 1 \text{ mS.}$$

$$g_0 \approx 0$$

### REZOLVAREA PROBLEMEI P. 1.9

Modelul linear de semnal mic pentru circuitul din fig. 1.20 este :

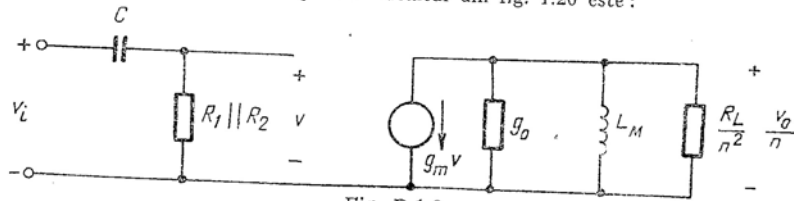


Fig. P.1.9

Neglijind căderea de tensiune la bornele condensatorului  $C$  și curentul prin  $L_M$ , raportul de transfer în tensiune la semnal mic este (pentru  $v = v_i$ ) :

$$\frac{(v_o/n)}{v_i} = -g_m \left( \frac{R_L}{n^2} \parallel \frac{1}{g_0} \right)$$

sau :

$$\frac{v_o}{v_i} = -ng_m \left( \frac{R_L}{n^2} \parallel \frac{1}{g_0} \right)$$

dacă  $g_0 \ll n^2/R_L$ ,

$$\frac{v_o}{v_i} = -\frac{g_m R_L}{n}.$$

### REZOLVAREA PROBLEMEI P. 1.11

Prima ecuație arată că  $i_i$  depinde numai de tensiunea  $v_i$ , care este definită la borna prin care trece  $i_i$ . Astfel, această primă relație poate fi reprezentată printr-o rețea lineară între bornele 1 și 2, ca în fig. P. 1.11.1. Forma ecuației indică o conexiune derivație (curenții se adună), iar elementele folosite sînt conductanța ( $i \sim v$ ) și capacitatea ( $i \sim dv/dt$ ).

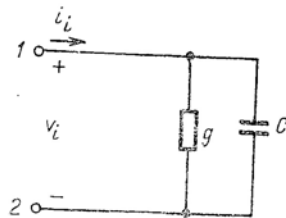


Fig. P. 1.11.1

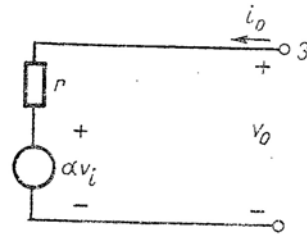


Fig. P. 1.11.2

A doua ecuație pune în evidență faptul că tensiunea  $v_o$  are două componente. Una este proporțională cu  $i_o$  și poate fi reprezentată printr-o rezistență, cealaltă este proporțională cu  $v_i$  și necesită o sursă comandată de tensiune (fig. P. 1.11.2).

Modelul complet este cel prezentat în fig. P. 1.11.3.

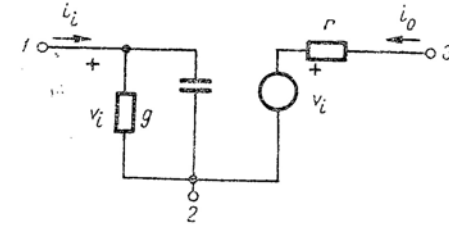


Fig. P. 1.11.3

### PROBLEME LA CAP. 2

#### REZOLVAREA PROBLEMEI P. 2.1

Legea lui Gauss se exprimă prin relația

$$\int \epsilon_n dS = \frac{Q}{\epsilon},$$

iar legea conservării sarcinii :

$$\int J_n dS = -\frac{dQ}{dt}.$$

Dar  $J_n = \sigma \epsilon_n$ , unde  $\sigma$  este conductivitatea electrică, deci :

$$\int J_n dS = \sigma \int \epsilon_n dS, \text{ sau}$$

$$-\frac{dQ}{dt} = \frac{\sigma}{\epsilon} Q.$$

Ecuația diferențială lineară de ordinul întâi are soluția :

$$Q(t) = Q(0)e^{-t/\tau_d} \text{ unde } \tau_d = \frac{\epsilon}{\sigma}.$$

#### REZOLVAREA PROBLEMEI P. 2.2

a) Pentru descrierea procesului de conducție în materialele semiconductoare se definesc, mai întâi *electronul*, sau *electronul de conducție*, ca fiind un electron de valență care nu intră în structura legăturii covalente, și golul, ca o particulă fictivă încărcată pozitiv, utilizată pentru descrierea procesului de deplasare a unei structuri incomplete de legătură

covalentă. Recombinarea unei perechi gol-electron este procesul prin care un electron de conducție completează o legătură covalentă cu structură incompletă. Generarea termică este procesul opus — se creează o pereche gol-electron prin „ruperea” unei legături de valență. Evident, aceste procese sînt conservative în ceea ce privește *masa și sarcina tuturor electronilor* (atît cei din legăturile de valență cît și cei care sînt „liberi”).

b) Descrierea mișcării tuturor tipurilor de electroni de valență se poate face simplu cu ajutorul golurilor. De exemplu, deplasarea unei structuri incomplete poate fi privită ca deplasarea unei sarcini pozitive fictive (asociată cu defectul respectiv), chiar dacă, în realitate, procesul constă în deplasarea *electronilor de valență* din legătură în legătură (ceea ce, evident, duce la deplasarea defectului). Acest proces implică numai deplasarea electronilor de valență din legătură în legătură, fără a putea dobîndi energia necesară pentru a deveni „liberi” (electroni de conducție). Prin urmare, mișcarea golurilor este un proces independent de electronii de conducție, electroni care nu intră în structura legăturii.

c) Un atom de impuritate de tip *acceptor* are o sarcină nucleară cu o unitate mai mică decît aceea a atomului gazdă; el are, de asemenea, un electron de valență mai puțin. Făcînd parte din cristalul semiconductor, nu poate completa structura unei legături locale, deoarece are unul sau mai mulți electroni de valență. Impuritatea acceptoare se numește *ionizată*, atunci cînd defectul de legătură, pe care îl procură cristalului, se eliberează și se poate deplasa. Rezultatul acestui proces constă în formarea atît a unui gol mobil, cît și a unei sarcini negative imobile; aceasta din urmă rezultă din excesul de sarcini de valență față de sarcinile nucleare, în vecinătatea impurității. Astfel, cînd un acceptor se ionizează, se păstrează neutralitatea și se produce un gol.

### REZOLVAREA PROBLEMEI P. 2.3

Electronii de conducție iau naștere prin două procese:

(1) Ionizarea impurităților donoare; aceasta produce  $N_d$  electroni pe unitatea de volum.  
(2) „Ruperea” legăturilor covalente. Dacă numărul total de electroni pe unitatea de volum este  $n$ , numărul de electroni care iau naștere prin acest proces va fi  $n - N_d$ .

Similar, golurile sînt produse prin:

(1) Ionizarea impurităților acceptoare; se produc astfel  $N_a$  goluri pe unitatea de volum.  
(2) Ruperea legăturilor covalente. Dacă numărul total de goluri pe unitatea de volum este  $p$ , numărul de goluri care iau naștere prin acest proces trebuie să fie  $p - N_a$ .

Dacă purtătorii de sarcină sînt uniform distribuiți, concentrațiile pe unitatea de volum ( $n$  și  $p$ ) sînt independente de poziție. Deci, numărul de goluri produse prin ruperea legăturii, trebuie să fie egal, în orice punct, cu numărul de electroni care iau naștere prin același procedeu. Astfel:

$$n - N_d = p - N_a$$

sau,

$$n - p = N_d - N_a.$$

### REZOLVAREA PROBLEMEI P. 2.4

(a) Întrucît  $N_a \gg n_i$ , materialul este extrinsec (de tipul  $p$ ) și concentrațiile de purtători pot fi approximate prin:

$$p \approx N_a = 2 \times 10^{14} \text{ cm}^{-3};$$

$$n \approx \frac{n_i^2}{p} = 5 \times 10^5 \text{ cm}^{-3}.$$

(b) Acum  $n_i \gg N_a$ . Deci, materialul este intrinsec și

$$n \approx p \approx n_i = 3 \times 10^{15} \text{ cm}^{-3}.$$

### REZOLVAREA PROBLEMEI P. 2.5

(a) Alumiului are valența 3 și este o impuritate acceptoare. Întrucît  $N_a \gg n_i$ , avem:

$$p \approx N_a = 5 \times 10^{16} \text{ cm}^{-3};$$

$$n \approx \frac{n_i^2}{N_a} = 8 \times 10^9 \text{ cm}^{-3}.$$

(b) Concentrația de purtători minoritari crește cu 1% din concentrația purtătorilor majoritari cînd

$$n \approx 5 \cdot 10^{14} \text{ cm}^{-3}.$$

Aceasta corespunde la  $n_i^2 = 2,5 \cdot 10^{31} \text{ cm}^{-3}$ , ceea ce corespunde unei creșteri de:

$$\frac{2,5 \cdot 10^{31}}{4 \cdot 10^{26}} \approx 6 \times 10^4.$$

Dependența aproximativă a lui  $n_i^2$  de temperatură este

$$\frac{n_i^2(T)}{n_i^2(T_0)} = e^{0,12(T-T_0)}$$

sau

$$6 \cdot 10^4 = e^{0,12(T-T_0)}$$

$$0,12(T - T_0) = 8,7$$

$$T - T_0 = 72 \text{ K} \quad T \approx 370 \text{ K}.$$

### REZOLVAREA PROBLEMEI P. 2.6

$$n_0 = 2 \cdot 10^{13} \text{ cm}^{-3}$$

$$p_0 = 10^{11} \text{ cm}^{-3}$$

(a)  $N = n_0 - p_0 = -8 \cdot 10^{13} \text{ cm}^{-3}$

(b)  $N$  este negativ, deci, materialul este de tipul  $p$ .

(c)  $n_i^2 = n_0 p_0 = 2 \cdot 10^{27}$

$$n_i \approx 4,5 \cdot 10^{13} \text{ cm}^{-3}.$$



## REZOLVAREA PROBLEMEI P. 2.7

La echilibru, concentrațiile de purtători satisfac următoarele două relații:

$$n - p = N_d - N_a = N \quad (1)$$

$$np = n_i^2. \quad (2)$$

(a) Rezolvând sistemul format de ecuațiile (1) și (2) se obține:

$$n = \frac{N}{2} \pm \sqrt{\left(\frac{N}{2}\right)^2 + n_i^2};$$

$$p = -\frac{N}{2} \pm \sqrt{\left(\frac{N}{2}\right)^2 + n_i^2}.$$

Deoarece radicalul are totdeauna o valoare mai mare decât  $|N/2|$ , se va considera numai semnul plus; semnul minus conduce la valori negative pentru  $n$  și  $p$ , ceea ce este lipsit de semnificație fizică:

$$n = \frac{N}{2} + \sqrt{\left(\frac{N}{2}\right)^2 + n_i^2}$$

$$p = -\frac{N}{2} + \sqrt{\left(\frac{N}{2}\right)^2 + n_i^2}.$$

(b) Într-un material de tipul  $n$  este evident că  $N > 0$ ; dacă  $N/n_i$  este mare, se poate scrie:

$$\sqrt{\left(\frac{N}{2}\right)^2 + n_i^2} = \frac{|N|}{2} \sqrt{1 + \left(\frac{2n_i}{N}\right)^2} \approx \frac{|N|}{2} \left[ 1 + \frac{1}{2} \left(\frac{2n_i}{N}\right)^2 \right] = \frac{|N|}{2} + \frac{n_i^2}{|N|}.$$

Astfel,

$$\left. \begin{aligned} n &= N + \frac{n_i^2}{N} \\ p &= \frac{n_i^2}{N} \end{aligned} \right\} \text{ pentru } N \gg n_i$$

(c) Într-un material de tip  $p$ ,  $N < 0$ ; dacă  $|N|/n_i$  este mare, atunci radicalul se aproximează la fel ca în cazul precedent, și rezultă:

$$n \approx \frac{-|N|}{2} + \frac{|N|}{2} + \frac{n_i^2}{|N|} = \frac{n_i^2}{|N|}, \quad p \approx |N| + \frac{n_i^2}{|N|}$$

sau, echivalent:

$$\left. \begin{aligned} n &\approx \frac{n_i^2}{(-N)} \\ p &\approx (-N) + \frac{n_i^2}{(-N)} \end{aligned} \right\} \text{ pentru } (-N) \gg n_i.$$

(d) Utilizând dezvoltarea în serie Taylor, se obține:

$$\begin{aligned} \frac{|N|}{2} \sqrt{1 + \left(\frac{2n_i}{N}\right)^2} &= \frac{|N|}{2} \left[ 1 + \frac{1}{2} \left(\frac{2n_i}{N}\right)^2 - \frac{1}{8} \left(\frac{2n_i}{N}\right)^4 + \dots \right] = \\ &= \frac{|N|}{2} + \frac{n_i^2}{|N|} - \frac{n_i^4}{|N|^3} + \dots \end{aligned}$$

Aproximațiile făcute la punctele (b) și (c) conduc la estimarea eronată a concentrației de purtători minoritari (în special cind  $|N|/n_i$  este mai mic). Trebuie determinată valoarea lui  $n_i/|N|$  pentru care:

$$\frac{n_i^2}{|N|} \left( \frac{n_i}{|N|} \right)^2 = 0,05 \frac{n_i^2}{|N|}$$

sau

$$\left( \frac{n_i}{|N|} \right)^2 = 0,05 \text{ sau } \frac{n_i}{|N|} = \sqrt{\frac{1}{20}}.$$

Eroarea este mai mică decât 5% dacă  $|N| > 2\sqrt{5} n_i \approx 4,5 n_i$ .

(e) Evident, concentrațiile de purtători majoritari pot fi approximate cu  $N$  sau  $-N$  cu o eroare mai mică de 1% dacă

$$|N| > 10 n_i.$$

## REZOLVAREA PROBLEMEI P. 2.8

(a) Știind că  $N = N_d = N_a = 5 \cdot 10^{14} \text{ cm}^{-3}$  este mult mai mare decât  $n_i$ , se pot utiliza rezultatele obținute la problema P. 2.7, punctul (b):

$$n = N + \frac{n_i^2}{N} \approx 5 \cdot 10^{14} \text{ cm}^{-3}$$

$$p = \frac{n_i^2}{N} \approx 8 \cdot 10^{11} \text{ cm}^{-3}.$$

(b) Din cele arătate la problema P. 2.7 punctul (a) rezultă

$$n = \frac{N}{2} + \sqrt{\left(\frac{N}{2}\right)^2 + n_i^2} =$$

$$= n_i \left[ \frac{25 - x}{2} + \sqrt{1 + \left(\frac{25 - x}{2}\right)^2} \right] \text{ unde } x = \frac{N_a}{n_i}.$$

Pentru a obține o trasare cât mai ușoară a curbei această relație se poate aproxima prin expresii mai simple, valabile în regiuni mai restrinse ale domeniului de variație a lui  $x$

$$n \approx \begin{cases} N_d & \text{dacă } x < 2,5 \\ n_i \left( 1 + \frac{25 - x}{2} \right) & \text{dacă } x = 25 \\ \frac{n_i}{x - 25} & \text{dacă } x > 50 \\ \frac{n_i}{x} & \text{dacă } x > 250 \end{cases}$$

după cum se poate vedea din figura P.2.8.1

Din expresia  $np = n_i^2$  rezultă că

$$\ln p - \ln n_i = \ln n_i - \ln n.$$

Deci, la scala logaritmică, curbele care reprezintă concentrația de goluri și de electroni sînt simetrice față de orizontala dusă prin punctul care marchează concentrația intrinsecă ( $n_i$ ) pe axa ordonatelor.

Din grafic rezultă că, pentru  $|x - 25| \gg 0$ , concentrațiile  $n$  și  $p$  sînt foarte diferite de  $n_i$ , în timp ce, pentru  $x = 25$ ,  $n$  este egal cu  $p$  și egal cu  $n_i$ . De aceea, considerînd conducivitatea,  $q(n\mu_e + p\mu_h)$ , ca o funcție de  $x$ , aceasta va atinge un minim pentru o valoare a lui  $x$  aflată în vecinătatea lui 25.

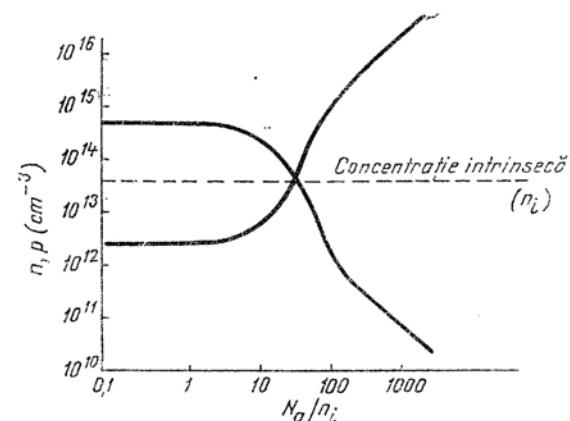


Fig. P.2.8.1

## REZOLVAREA PROBLEMEI P. 2.9

(a) Exponențialele devin linii drepte în coordonate semilogaritmice

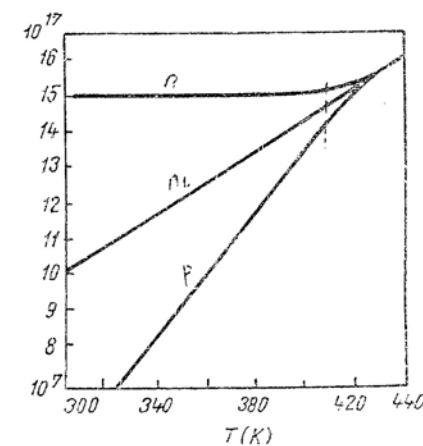
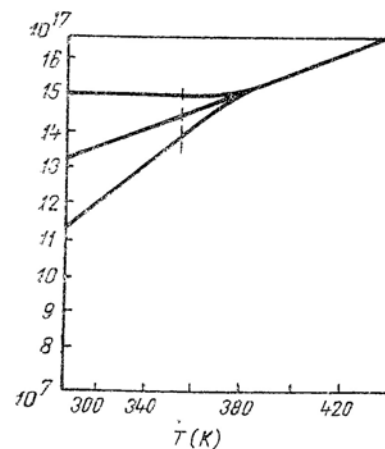


Fig. P.2.9.1

## Germaniu

$$(1,8)^{10} \approx 360$$

$$n_i(300 \text{ K}) = 2 \cdot 10^{13} \text{ cm}^{-3}$$

$$n_i(400 \text{ K}) \approx 7,2 \cdot 10^{15} \text{ cm}^{-3}$$

## Siliciu

$$(2,5)^{10} \approx 9500$$

$$n_i(300 \text{ K}) = 10^{13} \text{ cm}^{-3}$$

$$n_i(400 \text{ K}) \approx 9,5 \cdot 10^{13} \text{ cm}^{-3}$$

(b) În regiunea extrinsecă de temperatură,

$$n \approx 10^{15} \text{ cm}^{-3} \quad p \approx \frac{n_i^2}{10^{15}} \text{ cm}^{-3}.$$

Aceste curbe sînt trasate în coordonatele utilizate la punctul (a). În regiunea intrinsecă de temperatură  $n \approx p \approx n_i$ . În acest caz, asimptotele pentru  $n$  și  $p$  au alura arătată. Cînd:

$$n_i = N_d/2, \quad n = \left( \frac{1 + \sqrt{2}}{2} \right) N_d \approx 1,2 \cdot 10^{15} \text{ cm}^{-3},$$

$$p = \left( \frac{\sqrt{2}-1}{2} \right) N_d \approx 0,2 \cdot 10^{15} \text{ cm}^{-3}.$$

Aceste puncte se află pe liniile verticale scurte; ele pot fi utilizate pentru „a umple” regiunile dintre asimptote.

(c) Temperaturile la care aceste materiale devin intrinseci pot fi evaluate din figuri. Pentru germaniu  $n \approx p$  la  $T \approx 380 \text{ K}$  sau, aproximativ  $100^\circ\text{C}$ . Pentru siliciu  $n \approx p$  la  $T \approx 440 \text{ K}$  sau, aproximativ  $160^\circ\text{C}$ .

## REZOLVAREA PROBLEMEI P. 2.10

$$(a) \quad n - p = N_d = -1,5 \times 10^{16} \text{ cm}^{-3}.$$

În acest caz  $p > n$  și materialul este de tip  $p$ .

$$(b) \quad n = \frac{N}{2} + \sqrt{\left(\frac{N}{2}\right)^2 + n_i^2}$$

$$p = -\frac{N}{2} + \sqrt{\left(\frac{N}{2}\right)^2 + n_i^2}.$$

$$\text{În acest caz } n \approx p, \text{ pentru } n_i \gg \frac{1}{2} |N|.$$

Din curba care prezintă  $n_i$  la siliciu (problema P. 2.9) se observă că  $n_i \approx \frac{1}{2} |N|$ , atunci cînd  $T \approx 460 \text{ K}$ . Deci, peste această temperatură, materialul este esențialmente intrinsec.

(c)  $|n - p|$  poate fi redus prin adăugarea unor impurități donoare, astfel încît să se micșoreze  $|N_d - N_a|$ . Dacă concentrația impurităților donoare ar crește cu  $1,5 \cdot 10^{16} \text{ cm}^{-3}$  (la o nouă valoare egală cu  $2 \cdot 10^{16} \text{ cm}^{-3}$ ), în acest caz  $|N_d - N_a| = 0$  și, de asemenea,  $n = p$ .

## REZOLVAREA PROBLEMEI P. 2.12

(a) O tangentă la curba ce prezintă  $n_i$  în funcție de  $T$  în punctul corespunzător valorii de  $290 \text{ K}$ , are o pantă de aproximativ o decadă pe  $25 \text{ K}$ . Însămnă deci, că  $10 = e^{25\alpha}$ , în care  $\alpha$  este coeficientul fracționar de temperatură [în  $(\text{K})^{-1}$ ]

$$\alpha \approx 9,2\% \text{ pe K.}$$

La  $400 \text{ K}$ , pantă tangentei este de aproximativ o decadă pe  $50 \text{ K}$ . În acest caz,

$$\alpha \approx 4,6\% \text{ pe K.}$$

(b) Întrucît  $R$  este proporțional cu  $1/\sigma$ , el variază ca  $n^{-1}$

$$\frac{n_i(325^\circ)}{n_i(290^\circ)} \approx \frac{10^{11}}{10^{10}} = 10 \quad \underline{R(325 \text{ K}) = 50 \Omega}$$

$$\frac{n_i(250^\circ)}{n_i(290^\circ)} = \frac{10^8}{10^{10}} = 10^{-2} \quad \underline{R(250 \text{ K}) = 50 \text{ k}\Omega}$$

## REZOLVAREA PROBLEMEI P. 2.13

(a)  $n' = p'$  datorită neutralității electrice. Prin urmare:

$$n = n_o + n' = n_o + p' = n_o \left( 1 + \frac{p'}{n_o} \right) = n_o \left[ 1 + 10^{-6} \left( \frac{p'}{p_o} \right) \right]$$

și

$$p = p_o + p' = p_o \left[ 1 + \left( \frac{p'}{p_o} \right) \right].$$

(b) De la punctul (a) rezultă

$$\frac{n - n_o}{n_o} = 10^{-6} \left( \frac{p'}{p_o} \right)$$

astfel, pentru o creștere cu 10% în concentrația purtătorilor majoritari

$$10^{-6} \left( \frac{p'}{p_0} \right) = 0,1$$

sau

$$\left( \frac{p'}{p_0} \right) = 10^7.$$

O creștere cu 10% în concentrația purtătorilor majoritari corespunde unei creșteri procentuale în concentrația purtătorilor minoritari de

$$\frac{p - p_0}{p_0} = 100 \cdot \frac{p'}{p_0} = 10^7 \%.$$

Întrucât concentrațiile de echilibru sînt puternic dezechilibrate, și, întrucît electronii și golurile în exces sînt adăugate în număr egal, concentrațiile excendante care provoacă schimbări importante în concentrațiile de purtători minoritari pot avea un efect neglijabil asupra concentrației de purtători majoritari.

#### REZOLVAREA PROBLEMEI P. 2.14

(a) Totalitatea sarcinii excendante de goluri din  $V$  este  $Q_h = q \int_V p' dV$ . Întrucît viteza

locală de recombinare este  $p'/\tau$ , viteza cu care golurile se anihilează prin recombinare în unitatea de timp în  $V$  este:

$$q \int_V \frac{p'}{\tau} dV = \frac{Q_h}{\tau}, \text{ deoarece } \tau \text{ este o constantă, } Q_h \text{ trebuie să varieze în timp ca ur-}$$

mare a recombinării. De fapt,  $-dQ/dt$  trebuie să fie egală cu viteza, (în unitatea de timp), cu care golurile dispar, întrucît golurile dispar numai prin recombinare și nici unul nu intră sau iese din  $V$ . În acest caz,

$$-\frac{dQ_h}{dt} = \frac{Q_h}{\tau} \text{ sau } \frac{dQ_h}{dt} + \frac{Q_h}{\tau} = 0.$$

(b) Această lege de conservare este o ecuație diferențială liniară și omogenă de ordinul întâi. Modul caracteristic este deci o exponențială, și frecvența naturală este  $-1/\tau$ . Prin urmare

$$Q_h(t) = Q_h(0) e^{-t/\tau}.$$

Timpul de viață  $\tau$  este *constanta de timp*, care descrie recombinarea purtătorilor excendanti, atunci cînd nu există curgere de purtători către sau dintr-o regiune.

#### REZOLVAREA PROBLEMEI P. 2.15

(a) Această situație diferă de aceea din problema P. 2.14 a numai prin faptul că  $Q_h$  variază din două motive:

- 1) recombinarea;
  - 2) golurile intră din afară, cu o viteză  $I_h$ .
- În acest caz, conservarea sarcinii pozitive implică:

$$\frac{dQ_h}{dt} = -\frac{Q_h}{\tau} + I_h \text{ sau } \frac{dQ_h}{dt} + \frac{Q_h}{\tau} = I_h.$$

(b) Această ecuație arată că golurile care intră în  $V$  (cu o viteză  $I_h$ ) au două acțiuni:

- 1) măresc rezerva de goluri:  $dQ_h/dt$ ;
- 2) se recombină:  $Q_h/\tau$ .

(c) Dacă  $Q_e$  reprezintă rezerva de electroni, și dacă  $I_e$  este curentul electric asociat cu fluxul de electroni, și care are o direcție de referință îndreptată către  $V$ , atunci un curent negativ  $I_e$  corespunde unor electroni ce intră în  $V$  și măresc pe  $|Q_e|$  sau descresc pe  $Q_e$ . În acest caz

$$(-I_e) = -\left(\frac{dQ_e}{dt} + \frac{Q_e}{\tau}\right) \text{ sau } I_e = \frac{dQ_e}{dt} + \frac{Q_e}{\tau}.$$

Termenul din stînga este  $(-I_e)$ , deoarece  $I_e$  pozitiv reprezintă o sarcină pozitivă care intră în  $V$ , sau o sarcină negativă (electroni) care iese din  $V$ .

(d) În  $V$ , propriu-zis nu există sarcină; golurile excendante neutralizează electronii excendanti. Prin urmare, curentul total (goluri plus electroni) ce intră în  $V$  trebuie să se anuleze:

$$I_e + I_h = 0 \text{ sau } I_e = -I_h.$$

Rezultatul obținut la punctul (c) poate fi scris

$$-I_h = \frac{dQ_e}{dt} + \frac{Q_e}{\tau}, \text{ dar } Q_e = -Q_h$$

deoarece  $n' = p'$ . În acest caz:

$$-I_h = -\left(\frac{dQ_h}{dt} + \frac{Q_h}{\tau}\right) \text{ sau } I_h = \frac{dQ_h}{dt} + \frac{Q_h}{\tau}.$$

ceea ce arată că cele două legi de conservare sînt echivalente.

## REZOLVAREA PROBLEMEI P. 2.17

(a)

$$\sigma = q(\mu_n p + \mu_e n) = q_{ei} (\mu_n + \mu_e) = 1,9 \cdot 10^{-2} (\Omega \text{ cm})^{-1}$$

pentru material intrinsec.

Într-un eșantion omogen și dreptunghiular,  $I = JA$  și  $\mathcal{E} = V/l$  unde  $I$  este curentul total,  $J$  densitatea de curent,  $A$  suprafața secțiunii transversale,  $\mathcal{E}$  cimpul electric, iar  $V$  este tensiunea aplicată la bornele terminale, separate de distanța  $l$ .

Aceste ecuații pot fi combinate cu ecuația (2.17) în felul următor:

$$I = JA = (\sigma \mathcal{E}) A = \sigma \left( \frac{V}{l} \right) A$$

de unde rezultă că rezistența oricărui eșantion dreptunghiular are valoarea  $R = \frac{V}{I} = \frac{l}{\sigma A}$ .

Pentru problema de față,  $R = \frac{l}{\sigma wh} = 5,2 \text{ k}\Omega$ .

(b) Pentru o bară de tip  $n$ ,

$$\sigma = q\mu_e n$$

$$R = \frac{l}{\sigma wh} = \frac{l}{q\mu_e n wh}$$

Deci

$$n = \frac{l}{q\mu_e R wh} = 1,5 \cdot 10^{16} \text{ cm}^{-3}.$$

Întrucît eșantionul este extrinsec,  $n \approx N_d$ , astfel încît  $N_d = 15 \cdot 10^{16} \text{ cm}^{-3}$ .

## REZOLVAREA PROBLEMEI P. 2.18

Fosforul este o impuritate de tip donor; materialul este deci de tip  $n$

(a)

$$n_0 - N_d + n_0^2/N_d = 1,01 \cdot 10^{13} \text{ cm}^{-3};$$

$$p_0 - n_0^2/N_d = \frac{4 \cdot 10^{24}}{10^{13}} = 4 \cdot 10^{11} \text{ cm}^{-3}.$$

Raportul concentrațiilor este 25 : 1. În acest caz, rămîn valabile aproximațiile utilizate în calculul lui  $n_0$  și  $p_0$ .

(b)

$$\sigma = q(\mu_e n_0 + \mu_h p_0) =$$

$$= 1,6 \cdot 10^{-19} (800 \cdot 1,04 \cdot 10^{13} + 300 \cdot 4 \cdot 10^{11})$$

$$= 1,36 \cdot 10^{-3} \text{ S/cm.}$$

(c)

$$\text{fracția} = \frac{300 \cdot 4 \cdot 10^{11}}{800 \cdot 1,04 \cdot 10^{13}} \approx 1,4 \%$$

(d) Cînd temperatura scade la 75 K,  $n_i$  se micșorează cu cîteva ordine de mărime. În timp ce  $p_0$  scade puternic,  $n_0$  practic nu variază și  $\sigma$  este aproape constant.

Figura 2.9, a arată că  $n_i = 2 \cdot 10^{12} \text{ cm}^{-3}$  corespunde la  $T \approx 375 \text{ K}$ ; cînd temperatura crește de la 75 K la 450 K,  $n_i$  crește la aproximativ  $10^{14} \text{ cm}^{-3}$ . În acest caz,  $n_0 \approx p_0 - n_i = 10^{14} \text{ cm}^{-3}$ , iar conductivitatea crește la

$$\sigma = q(\mu_e + \mu_h) n_i \approx 1,8 \cdot 10^{-2} \text{ S/cm.}$$

## REZOLVAREA PROBLEMEI P. 2.19

(a)

$$\mu_e = \frac{\sigma}{nq} = \frac{10^6}{10^{23} (1,6 \cdot 10^{-19})} = 62 \text{ cm}^2/\text{Vs.}$$

(b)

$$\mathcal{E} = \frac{1 \text{ V}}{10^2 \text{ m}} = 10^{-2} \text{ V/m} = 10^{-4} \text{ V/cm}$$

$$I = J \times \text{Aria} = (\sigma \mathcal{E}) \times \text{Aria}$$

$$= (10^6) (10^{-4}) \left( \frac{\pi}{4} \cdot 10^{-4} \right)$$

$$= \frac{\pi}{4} \cdot 10^{-2} \text{ A.}$$

$$|v_e| = \mu_e \mathcal{E} = 62 \cdot 10^{-4} = 6,2 \cdot 10^{-3} \text{ cm/s.}$$

(c)

$$\text{Timpul} = \frac{10^4 \text{ cm}}{6,2 \cdot 10^{-3} \text{ cm/s}} = 1,6 \cdot 10^6 \text{ s.}$$

Nu este necesar ca purtătorii de sarcină să străbată întreaga lungime a conductorului, înainte de a atinge regimul staționar. De îndată ce câțiva electroni au fost injectați la unul din capetele conductorului, un număr egal de electroni trebuie să iasă prin capătul celălalt pentru a se obține o stare neutră din punct de vedere electric. Fluxul de sarcini atinge deci regimul staționar într-un timp care nu este direct legat de timpul necesar purtătorilor să se deplaseze dintr-un capăt al conductorului la celălalt.

### PROBLEME LA CAP. 3

#### REZOLVAREA PROBLEMEI P. 3.2

Pe suprafața iluminată avem :

$$\begin{aligned} p' &= 10^{14} \text{ cm}^{-3}, \\ n &= n_0 + p' \approx 1,01 \times 10^{16} \text{ cm}^{-3} \\ p &= p_0 + p' \approx 10^{14} \text{ cm}^{-3}. \end{aligned}$$

De asemenea  $D_h = 10 \text{ cm}^2/\text{s}$ ,  $W = 10^{-2} \text{ cm}$ .  
Pe această suprafață, ecuația (3.7) devine :

$$\frac{dp'}{dx} = -\frac{M}{D_h} \left[ \frac{\mu_e n + \mu_h p}{\mu_e n + \mu_h p D_e/D_h} \right] = -\frac{M}{D_h} \left[ \frac{1 + \frac{\mu_h p}{\mu_e n}}{1 + \frac{\mu_h p}{\mu_e n} \frac{D_e}{D_h}} \right].$$

Întrucât  $\frac{\mu_h}{\mu_e} = \frac{D_h}{D_e} = \frac{1}{3}$  și  $\frac{p}{n} = 10^{-2}$ , factorul din paranteză are valoarea  $\frac{1 + \frac{10^{-2}}{3}}{1 + 10^{-2}} \approx 1$  și aproximația dată de ecuația (3.10) este valabilă.

În mod asemănător, ecuația (3.9) are (la suprafață) expresia :

$$\mathcal{E}_x = M \left( \frac{D_e/D_h - 1}{\mu_e n_0} \right) \left[ \frac{n_0/n}{1 + \frac{\mu_h p}{\mu_e n} \frac{D_e}{D_h}} \right].$$

Factorul din paranteză are valoarea

$$\frac{0,99}{1 + 10^{-2}} \approx 1$$

și aproximația dată de ecuația (3.13) este valabilă.

#### REZOLVAREA PROBLEMEI P. 3.3

(a) Concentrația de electroni excedențari la suprafață, este, prin analogie cu ecuația (3.12) :

$$n'(0) = \frac{MW}{D_e}.$$

Concentrația de goluri, imediat sub suprafață, crește cu 1% dînd  $n'(0) = 10^{15} \text{ cm}^{-3}$

$$M = \frac{D_e n'(0)}{W} = \frac{50 \cdot 10^{15}}{5 \cdot 10^{-3}} = 10^{19} \text{ perechi/cm}^2\text{s}$$

$$M = 10^{19} \text{ cm}^{-2} \text{ s}^{-1}$$

(b)

$$J_h = -J_e = qM = 1,6 \text{ A/cm}^2.$$

(c) Fiecare foton produce o pereche de sarcini. În acest caz, fluxul de fotoni este  $M$ , și densitatea de putere este

$$1,4 \cdot M = 1,4 \cdot 10^{19} \frac{\text{electron volt}}{\text{scm}^2}.$$

În wați, aceasta este

$$1,4 \cdot 10^{19} q = 2,2 \text{ W/cm}^2.$$

(d) Prin analogie cu ecuația (3.13), cîmpul electric este

$$\mathcal{E}_x = \frac{M}{\mu_h p_0} \left( 1 - \frac{D_h}{D_e} \right) \mu_h = \frac{D_h}{(kT/q)} = \frac{D_e}{(kT/q)} \left( \frac{D_h}{D_e} \right)$$

$$\mathcal{E} = \frac{kT}{q} \frac{M}{D_e p_0} \frac{1 - \frac{D_h}{D_e}}{\left( \frac{D_h}{D_e} \right)}.$$

Diferența de potențial electrostatic corespunzătoare, avînd în vedere că  $\mathcal{E}_x$  este constant, este:

$$\begin{aligned}\Delta\psi = \mathcal{E}_x W &= \frac{kT}{q} \frac{MW}{D_e p_0} \frac{1 - \frac{D_h}{D_e}}{\frac{D_h}{D_e}} \quad \frac{D_h}{D_e} = \frac{1}{2} \\ &= \frac{kT}{q} \frac{MW}{D_e p_0} \\ &= \frac{kT}{q} \frac{n'(0)}{p_0} = 0,25 \text{ mV.} \quad \Delta\psi = 0,25 \text{ mV.}\end{aligned}$$

#### REZOLVAREA PROBLEMEI P. 3.4

$$(a) J_h = qM \quad M = \frac{50 \cdot 10^{-3} \text{ A/cm}^2}{1,6 \times 10^{-19} \text{ C}} = 3,1 \times 10^{17} \text{ perechi/cm}^2 \text{ s.}$$

Densitatea atomică este aproximativ  $10^{23} \text{ cm}^{-3}$ . Densitatea superficială de atomi în această peliculă este aproximativ  $10^{23} \cdot 10^{-5} = 10^{18} \text{ cm}^{-2}$ .

Fiecare atom participă la patru legături covalente. Prin urmare, numărul de legături covalente în această peliculă este aproximativ  $4 \cdot 10^{18} \text{ cm}^{-2}$ .

În fiecare secundă se desface aproximativ o legătură din zece.

$$(b) p'(0) = \frac{MW}{D_h} \approx 1,5 \cdot 10^{14} \text{ cm}^{-3}.$$

$$(c) \frac{1,5 \times 10^{14}}{10^{16}} \cdot 100 = 1,5 \% \text{ schimbarea în concentrația de purtători majoritari}$$

$$p_0 = \frac{n_i^2}{n_0} = \frac{10^{20}}{10^{16}} = 10^4.$$

Concentrația de purtători minoritari crește de  $1,5 \cdot 10^{10}$  ori în imediata apropiere a suprafeței.

#### REZOLVAREA PROBLEMEI P. 3.5

(a) Concentrația excidentară trebuie să se anuleze la  $x = a$  și  $x = a + W$  (limitele regiunilor de recombinare intensă). Pentru  $a < x < a + W$ ,  $p'(x)$  trebuie să aibă un *gradient*

constant, deoarece  $\tau \rightarrow \infty$ . Concentrația excidentară va atinge valoarea maximă la  $x_1$ , acolo unde are loc generarea.

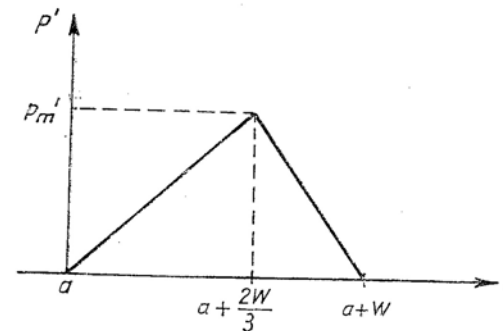


Fig. P.3.5.1.

Evident, curentul de goluri generat optic se divide; prin  $a + W$  trece de două ori mai mult curent decît prin  $a$ .

$$M = D_h \left[ \frac{p'_m}{W/3} + \frac{p'_m}{2W/3} \right] = \frac{9D_h p'_m}{2W},$$

unde  $D_h$  este coeficientul de difuzie a purtătorilor minoritari. Expresia lui  $p'_m$  în funcție de  $M$ , este:

$$p'_m = \frac{2WM}{9D_h}.$$

(b) Concentrațiile totale de purtători sînt:

$$p = p_0 + p'$$

$$n = n_0 + p'.$$

Prin urmare, ele au aceeași formă ca  $p'$  de la punctul (a) cu excepția faptului că sînt deplasate pe ordonată cu  $p_0$  și  $n_0$ .

(c) Curentul total este nul peste tot, deci  $J_e = -J_h$  și deci, densitatea  $J_h$  este total difuzivă.



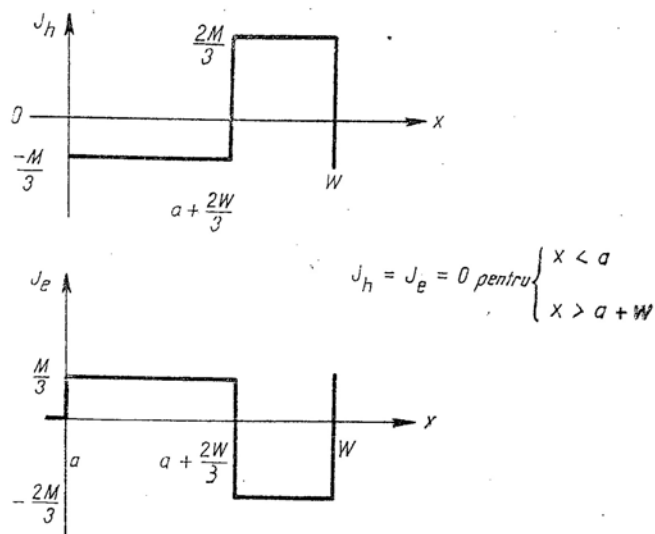


Fig. P. 3.5.2

## REZOLVAREA PROBLEMEI P. 3.6

Diferența dintre vitezele de intrare și de ieșire ale electronilor — pentru elementul de volum — este

$$-\frac{1}{q}(J_{ei} - J_{eo}).$$

Semnul minus apare datorită sarcinii *negative* a electronilor. Această viteză trebuie să egaleze viteza de recombinare:

$$-\frac{1}{q}(J_{ei} - J_{eo}) = \frac{n'}{\tau} \Delta x \quad (n' \approx p')$$

iar la limită, când  $\Delta x \rightarrow 0$

$$\frac{1}{q} \frac{dJ_e}{dx} = \frac{n'}{\tau}$$

ceea ce reprezintă legea de conservare cerută.

## REZOLVAREA PROBLEMEI P. 3.7

Soluția generală pentru concentrația purtătorilor excedențari este:

$$p'(x) = C_1 e^{-x/L_h} + C_2 e^{+x/L_h} \quad 0 < x < W.$$

(a) Condiția limită la  $x = 0$  constă în faptul că densitatea de curent de goluri de difuzie trebuie să fie egală cu viteza de generare a golurilor  $qM$ . În general,  $J_h$  este:

$$\begin{aligned} J_h &= -qD_h \frac{dp'}{dx} \\ &= +\frac{qD_h C_1}{L_h} e^{-x/L_h} - \frac{qD_h C_2}{L_h} e^{+x/L_h} \quad 0 < x < W. \end{aligned}$$

În acest caz, la  $x = 0$  trebuie să avem

$$qM = q \frac{D_h}{L_h} (C_1 - C_2).$$

(b) Concentrația excedențară trebuie să se anuleze la  $x = W$  deoarece acolo  $\tau \rightarrow 0$ . Deci

$$C_1 e^{-W/L_h} + C_2 e^{W/L_h} = 0.$$

(c) Rezolvând relațiile condiției limită pentru  $C_1$  și  $C_2$  obținem

$$\begin{aligned} C_1 &= M \frac{L_h}{D_h} \frac{e^{W/L_h}}{e^{W/L_h} + e^{-W/L_h}} \\ C_2 &= -M \frac{L_h}{D_h} \frac{e^{-W/L_h}}{e^{W/L_h} + e^{-W/L_h}}. \end{aligned}$$

În acest caz  $p'(x)$  este

$$p'(x) = M \frac{L_h}{D_h} \frac{e^{(W-x)/L_h} e^{-(W-x)/L_h}}{e^{W/L_h} + e^{-W/L_h}}$$

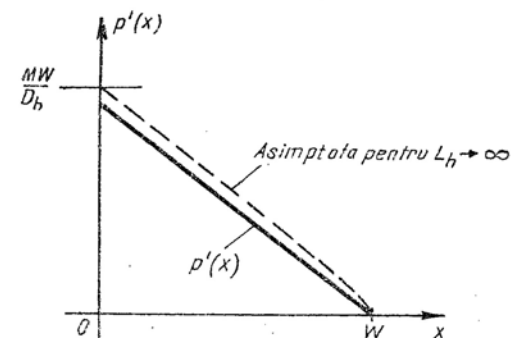


Fig. P. 3.7.

sau, echivalent :

$$p'(x) = M \frac{L_h}{D_h} \frac{\text{sh } (W-x)/L_h}{\text{ch } W/L_h}$$

Această relație are reprezentarea grafică din figura P.3.7.

### REZOLVAREA PROBLEMEI P. 3.8

(a) Evident,  $p'(x)$  trebuie să tindă spre zero, pe măsură ce  $x$  devine foarte mare. Conform ecuației (3.23), aceasta implică  $C_2 = 0$ .

(b) Avem (pentru  $x > W$ )  $p'(x) = C_1 e^{-x/L_h}$ .

Atunci

$$J_h = \frac{qD_h}{L_h} C_1 e^{-x/L_h}$$

sau

$$J_h(W) = \frac{qD_h}{L_h} p'(W).$$

(c) Dacă  $\tau_2$  devine foarte mic,  $L_h \rightarrow 0$ . În acest caz, pentru ca  $J_h(W)$  să rămână finită trebuie să avem  $p'(W) \rightarrow 0$ .

### REZOLVAREA PROBLEMEI P. 3.9

(a) În regiunea 1 :

$$p'(x) = C_{11} e^{-x/L_{h1}} + C_{21} e^{+x/L_{h1}}$$

unde

$$L_{h1} = \sqrt{D_h \tau_1}.$$

În regiunea 2 :  $p'(x) = C_{12} e^{-x/L_{h2}} + C_{22} e^{+x/L_{h2}}$

unde  $L_{h2} = \sqrt{D_h \tau_2}$ .

(b) Cele patru constante sînt determinate de patru condiții limită :

1) La  $x = 0$   $qM = -qD_h \frac{dp'}{dx}$  sau :

$$M = \frac{D_h}{L_{h1}} (C_{11} - C_{21}).$$

2) Cînd  $x \rightarrow \infty$ ,  $p'(x) \rightarrow 0$ . Deci

$$C_{22} = 0.$$

3) La  $x = W$ ,  $p'(x)$  este continuu. Deci

$$C_{11} e^{-W/L_{h1}} + C_{21} e^{W/L_{h1}} = C_{12} e^{-W/L_{h2}} + C_{22} e^{W/L_{h2}}.$$

4) La  $x = W$ , densitatea de curent  $J_h(x)$  este continuă, ceea ce implică ca și derivate  $dp'/dx$  să fie continuă. Deci

$$\frac{C_{11}}{L_{h1}} e^{-W/L_{h1}} + \frac{C_{21}}{L_{h1}} e^{W/L_{h1}} = -\frac{C_{12}}{L_{h2}} e^{-W/L_{h2}} + \frac{C_{22}}{L_{h2}} e^{W/L_{h2}}$$

iar acest ansamblu de patru ecuații poate fi rezolvat pentru  $C_{11}$ ,  $C_{21}$ ,  $C_{12}$  și  $C_{22}$  ( $= 0$ ).

### PROBLEME LA CAP. 4

#### REZOLVAREA PROBLEMEI P. 4.1

(a) Distribuția sarcinii spațiale are forma din figura P.4.1.1.

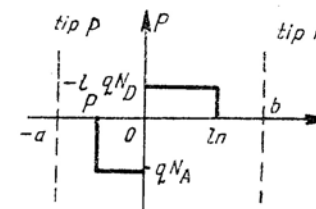


Fig. P. 4.1.1.

Să considerăm mai întâi regiunea  $-l_p < x < 0$ . Legea Gauss implică :

$$\mathcal{E}_x(x) = \frac{1}{\epsilon} \int_{-l_p}^x (-qN_A) dx = -\frac{qN_A}{\epsilon} (x + l_p).$$

În regiunea  $0 < x < l_p$  avem, notînd cu  $-\mathcal{E}_0$  cîmpul la  $x = 0$ ,

$$\mathcal{E}(x) = -\mathcal{E}_0 + \frac{1}{\varepsilon} \int_{-l_p}^x q N_D dx = -\mathcal{E}_0 + \frac{q N_D}{\varepsilon} x.$$

Acest cîmp are forma din figura P.4.1.2. Variația este liniară deoarece distribuția sarcinii este dreptunghiulară.

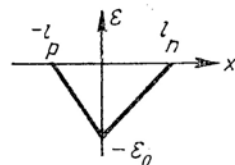


Fig. P. 4.1.2.

Se observă că:  $\frac{q N_D l_n}{\varepsilon} = \mathcal{E}_0$ , sau  $N_A l_p = N_D l_n$ .

(b) În regiunea  $-l_p < x < 0$ , potențialul este

$$\psi = \psi_p - \int_{-l_p}^x \mathcal{E}_x(x) dx = \psi_p + \frac{q N_A}{\varepsilon} \left( \frac{x^2}{2} + x l_p + \frac{l_p^2}{2} \right)$$

unde  $\psi_p$  reprezintă potențialul în regiunea de tip p. În regiunea  $0 < x < l_n$  potențialul este

$$\psi = \psi_n + \int_x^{l_n} \mathcal{E}_x(x) dx = \psi_n - \mathcal{E}_0 (l_n - x) + \frac{q N_D}{\varepsilon} \left( \frac{l_n^2}{2} - \frac{x^2}{2} \right).$$

$$\psi = \psi_n - \mathcal{E}_0 (l_n - x) + \frac{q N_D}{2\varepsilon} (l_n^2 - x^2).$$

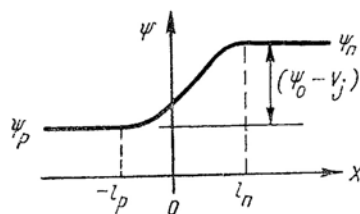


Fig. P.4.1.3.

Distribuția de potențial, care este integrala negativă a distribuției cîmpului, are forma din figura P.4.1.3.

(c) Valoarea de vîrf a cîmpului electric  $\mathcal{E}_0$  este:

$$\mathcal{E}_0 = \frac{q N_A l_p}{\varepsilon} = \frac{q N_D l_n}{\varepsilon}.$$

Întrucît potențialul este continuu la  $x = 0$  avem

$$\psi_p + \frac{q N_A l_p^2}{2\varepsilon} = \psi_n - \frac{q N_D l_n^2}{2\varepsilon}.$$

Înălțimea totală a barierei este  $\psi_n - \psi_p = \psi_0$ , ceea ce reprezintă potențialul de contact. Deci

$$\psi_0 = \frac{q}{2} (N_A l_p^2 + N_D l_n^2).$$

Acum avem de rezolvat sistemul

$$N_A l_p = N_D l_n$$

$$\mathcal{E}_0 = \frac{q N_A l_p}{\varepsilon}$$

pentru  $l_p$ ,  $l_n$ ,  $\mathcal{E}_0$  în funcție de  $\psi_0$ ,

$$\psi_0 = \frac{q}{2} (N_A l_p^2 + N_D l_n^2).$$

Rezultatele sînt

$$l = l_n + l_p = \sqrt{\frac{2\varepsilon\psi_0}{q} \left( \frac{N_A + N_D}{N_A N_D} \right)^{1/2}}$$

$$\mathcal{E}_0 = \sqrt{\frac{2q\psi_0}{\varepsilon} \left( \frac{N_A N_D}{N_A + N_D} \right)^{1/2}}.$$

Cu toate că analiza de mai sus corespunde stării de echilibru, ea poate fi extinsă pentru situațiile de dezechilibru, înlocuind pe  $\psi_0$  cu  $\psi_0 - V_j$ .

## REZOLVAREA PROBLEMEI P. 4.2

(a) Din ecuația (4.5 a) rezultă

$$\psi_0 = -\frac{kT}{q} \ln \frac{p_{n0}}{p_{p0}}$$

dar

$$\frac{p_{n0}}{p_{p0}} = \frac{n_i^2}{n_{n0} p_{p0}} = \frac{1}{2 \cdot 10^{12}}$$

și

$$\frac{kT}{q} = 25 \cdot 10^{-3} \text{ V}$$

astfel

$$\psi_0 = 0,71 \text{ V}$$

(de notat că  $\ln x = \ln 10 (\log_{10} x) = 2,31 \log_{10} x$ ).

(b) Din problema P.4.1 avem

$$l = \sqrt{\frac{2\varepsilon(\psi_0 - V_j)}{q} \left( \frac{N_A + N_D}{N_A N_D} \right)^{1/2}} \quad \mathcal{E}_0 = \sqrt{\frac{2q(\psi_0 - V_j)}{\varepsilon} \left( \frac{N_A N_D}{N_A + N_D} \right)^{1/2}}$$

De observat de asemenea, că  $N_A \ll N_D$  în această problemă, deci  $N_A N_D / (N_A + N_D) = N_A$ . Prin urmare:

$$l = \sqrt{\frac{2(\psi_0 - V_j)}{q N_A}} \approx \sqrt{1,3 \cdot 10^{-8} (\psi_0 - V_j)} = \begin{cases} 9,7 \cdot 10^{-3} \text{ cm} & \text{dacă } V_j = 0 \\ 3,6 \cdot 10^{-4} \text{ cm} & \text{dacă } V_j = -10 \text{ V} \end{cases}$$

$$\mathcal{E}_0 = \sqrt{\frac{2q N_A (\psi_0 - V_j)}{\varepsilon}} \approx \sqrt{3 \cdot 10^3 (\psi_0 - V_j)} = \begin{cases} 1,5 \cdot 10^4 \text{ V/cm} & \text{dacă } V_j = 0 \\ 5,5 \cdot 10^4 \text{ V/cm} & \text{dacă } V_j = -10 \text{ V} \end{cases}$$

## REZOLVAREA PROBLEMEI P. 4.5

Conform problemei P.4.1, cimpul electric pe partea de tip  $n$  a joncțiunii este:

$$\mathcal{E}(x) = \mathcal{E}_0 \left( -1 + \frac{x}{l_n} \right) \text{ pentru } 0 \leq x \leq l_n.$$

## Curentul de conducție

Se va integra ecuația (3.33 a) (pagina 130 din text) pentru a obține

$$\psi(l_n) - \psi(x) = -\frac{kT}{q} \ln \frac{p(l_n)}{p(x)}.$$

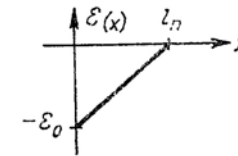


Fig. 4.5.1.

Rezolvînd pentru  $p(x)$  se obține

$$p(x) = p(l_n) \exp \left[ \frac{q}{kT} \{ \psi(l_n) - \psi(x) \} \right]$$

$\psi(0) - \psi(l_n)$  = suprafața cuprinsă între curba de mai sus =  $-\frac{1}{2} \mathcal{E}_0 l_n$  și  $p(l_n) = p_{n0}$ , astfel încît

$$p(0) = p_{n0} \exp \left[ \frac{q \mathcal{E}_0 l_n}{2kT} \right].$$

Deci

$$J_h(0) \Big|_{\text{conducție}} = q \mu_h \mathcal{E}_0 p_{n0} \exp \left[ \frac{q \mathcal{E}_0 l_n}{2kT} \right].$$

## Curentul de difuzie

Pentru a calcula curentul de difuzie trebuie cunoscut:

$$\frac{dp(x)}{dx} \text{ la } x = 0.$$

Derivind expresia obținută mai sus pentru  $p(x)$  obținem :

$$J_n(0) \Big|_{\text{Difuzie}} = -qD_h \frac{dp(x)}{dx} \Big|_{x=0} = -qD_h p(l_n) \frac{q}{kT} \frac{d\psi}{dx} \Big|_{x=0} \exp \left\{ \frac{q}{kT} [\psi(l_n) - \psi(0)] \right\} \\ = q\mu_h p_{n0} \varepsilon_0 \exp \frac{q\varepsilon_0 l_n}{2kT}.$$

De observat că  $J_h(0) \Big|_{\text{Conducție}} = -J_h(0) \Big|_{\text{Difuzie}}$  așa cum cere condiția de echilibru.

Expresiile pentru  $J_h(0) \Big|_{\text{Conducție}}$  și  $J_h(0) \Big|_{\text{Difuzie}}$  pot fi scrise utilizând relația  $np = n_i^2$  :

$$J_h(0) \Big|_{\text{Conducție}} = \frac{q\mu_h n_i^2 \varepsilon_0}{N_D} \exp \left[ \frac{\varepsilon_0 l_n}{2} \frac{kT}{q} \right].$$

Pentru necesitățile calculului eliminăm pe  $l_n$  din expresie, utilizând ecuația

$$\varepsilon_0 = \frac{q}{\varepsilon} N_D l_n.$$

Obținem

$$\varepsilon_0 l_n = \frac{\varepsilon \varepsilon_0^2}{q N_D}.$$

Deci

$$J_h(0) \Big|_{\text{Difuzie}} = \frac{q\mu_h n_i^2 \varepsilon_0}{N_D} \exp \left[ \frac{\varepsilon_0^2 \varepsilon}{2q N_D \frac{kT}{q}} \right].$$

(De observat:  $\varepsilon \approx 10^{-12} \text{ F/cm}$  și  $\mu_h = 2 \cdot 10^{-3} \text{ cm}^2/\text{Vs}$  pentru germaniu, la temperatura camerei).

Din problema P.4.1 (folosind  $N_A = N_D$ )

$$\psi_0 = -\frac{kT}{q} \ln \frac{n_i^2}{N_A^2} = 0,35 \text{ V}$$

$$\varepsilon_0 = \sqrt{\frac{q\psi_0 N_A}{\varepsilon}} = 2 \cdot 10^{14} \text{ V/cm}$$

$$J_h(0) \Big|_{\text{Conducție}} = 25,6 \text{ A/cm}^2.$$

## REZOLVAREA PROBLEMEI P. 4.6

Distribuția sarcinii spațiale are forma din fig. P.4.6.1.

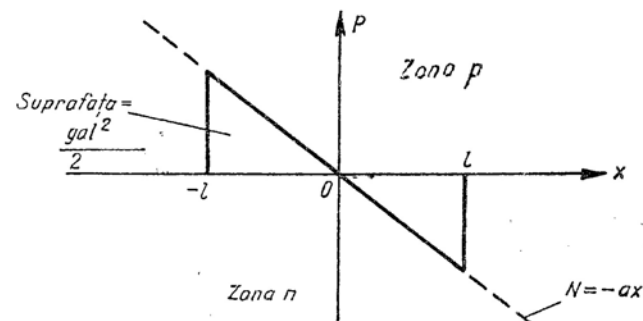


Fig. P. 4.6.1.

Cîmpul fiind integrala distribuției sarcinii spațiale, are forma din fig. P.4.6.2.

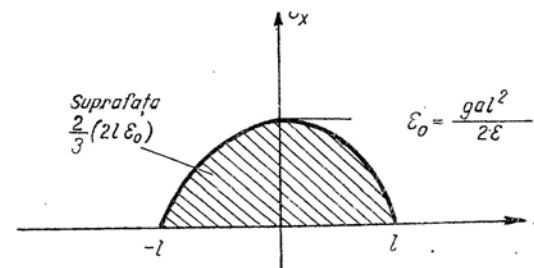


Fig. P. 4.6.2.

Cîmpul este deci  $E_x(x) = \frac{qa}{2\varepsilon} (l^2 - x^2)$ ,  $-l < x < l$

Potențialul este integrala negativă a cîmpului (fig. P.4.6.3). În acest caz avem

$$l = \sqrt{\frac{3\varepsilon(\psi_0 - V_j)}{2qa}}.$$

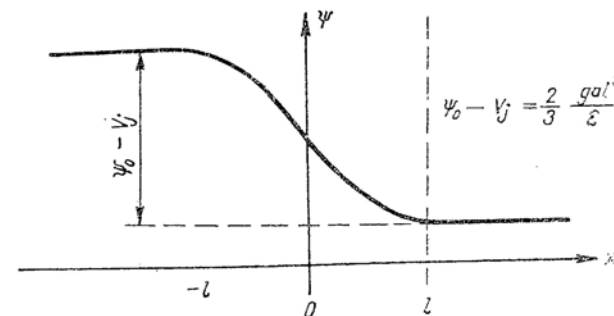


Fig. P. 4.6.3.

## REZOLVAREA PROBLEMEI P. 4.7

$$(a) \quad p_{p0} = N_A = 10^{13} \text{ cm}^{-3}$$

$$n_{p0} = \frac{n_i^2}{p_{p0}} = \frac{n_i^2}{N_A} = \frac{4 \cdot 10^{26}}{10^{13}} = 4 \cdot 10^8.$$

De observat că  $n_{p0}$  este aproape de 10 ori mai mic decât  $p_{p0}$ :

$$n_{n0} = N_D = 10^{16} \text{ cm}^{-3}$$

$$p_{n0} = \frac{n_i^2}{n_{n0}} = \frac{n_i^2}{N_D} = \frac{4 \cdot 10^{26}}{10^{16}} = 4 \cdot 10^{10} \text{ cm}^{-3}.$$

Dispersia aci este de aproape patru ordine de mărime.

(b) Potențialul de contact este diferența de potențial necesară pentru ca componentele curentului (de goluri și de electroni) să fie egale cu zero la echilibru:

$$\psi_0 = \frac{kT}{q} \ln \frac{n_{n0}}{n_{p0}} = \frac{kT}{q} \ln \frac{p_{p0}}{p_{n0}}$$

$$\frac{n_{n0}}{n_{p0}} = \frac{10^{16}}{4 \cdot 10^8} = 2,5 \cdot 10^7 \quad \frac{kT}{q} = 25 \text{ mV la } 300^\circ\text{C}$$

$$\ln \frac{n_{n0}}{n_{p0}} = 17,1 \quad \psi_0 = 0,43 \text{ V.}$$

$$(c) \quad I_s = \frac{qAD_h p_{n0}}{W} = 256 \cdot 10^{-9} \text{ A} = 256 \text{ nA.}$$

$$(d) \quad p_n(0) = 0,1 n_{n0} = 10^{15} \text{ cm}^{-3} \text{ deci, } p_n(0)_{\max} = 10^{15} \text{ cm}^{-3}.$$

(e) Se va calcula tensiunea pentru care  $p_n(0) = 0,1 n_{n0}$ .

$$p_n(0) = p_{n0} e^{qV/kT} \text{ sau } V = \frac{kT}{q} \ln \frac{p_n(0)}{p_{n0}}.$$

Fie

$$p_n(0) = 0,1 n_{n0} = 10^{15} \text{ cm}^{-3}$$

$$p_{n0} = 4 \cdot 10^{10} \text{ cm}^{-3}$$

$$V = \frac{kT}{q} \ln 2,5 \cdot 10^4 = 0,25 \text{ V}$$

$$I = \frac{qAD_h p'_n(0)}{W} = \frac{p'_n(0)}{p_{n0}} I_s = 6,4 \text{ mA.}$$

## REZOLVAREA PROBLEMEI P. 4.3

Concentrația de purtători minoritari în exces (goluri) la marginea stratului de sarcină spațială este, în cazul unei polarizări inverse:

$$p'_n(0) = p_{n0}(e^{qV_j/kT} - 1) = -p_{n0}.$$

Distribuțiile de purtători sînt, evident liniare și au forma din figura P.4.8.1.

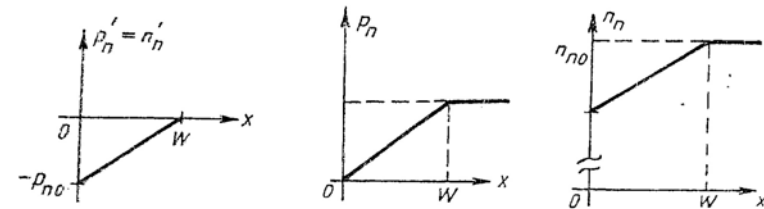


Fig. P. 4.8.1.

Curentul de difuzie de goluri asociat cu distribuția de purtători excedențari este îndreptat către joncțiune. Aceste goluri sînt generate termic la marginea regiunii de recombinare intensă (și deci de generare intensă), se îndreaptă spre SCL și sînt împinse în josul barierii de potențial spre regiunea de tip p. Numărul egal de electroni generați la  $x = W$ , se îndreaptă spre terminal, la marginea regiunii de recombinare intensă. Curenții au deci forma din fig. P.4.8.2.

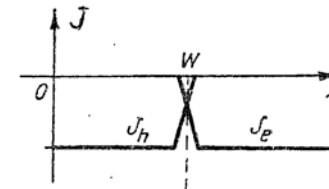


Fig. P. 4.8.2.

## REZOLVAREA PROBLEMEI P. 4.9

(a) Concentrația purtătorilor excedențari în regiunea bazei este

$$p'_n(x) = p'_n(0) \left[ 1 - \frac{x}{W} \right].$$

Densitatea curentului electronic de purtători majoritari este

$$J_{ex} = q \left( \mu_n r_n \mathcal{E}_x + D_n \frac{dn_n}{dx} \right).$$

Întrucît  $n_n \approx n_0$  și  $dr_n/dx = dp'_n/dx$ , avem

$$J_{ex} = q \left[ \mu_n n_{n0} \mathcal{E}_x - \frac{D_n p'_n(0)}{W} \right].$$

Condiția ca  $J_{ex} \approx 0$  conduce la

$$\mathcal{E}_x = \frac{D_n}{e} \frac{p'_n(0)}{n_{n0}} \frac{1}{W} \text{ utilizînd relația lui Einstein:}$$

$$\mathcal{E}_x = \frac{kT}{q} \frac{p'_n(0)}{n_{n0}} \frac{1}{W}.$$

(b) Raportul dintre componenta de conducție a curentului de purtători minoritari și componenta de difuzie corespunzătoare are expresia

$$\frac{(J_{hx})_{\text{conducție}}}{(J_{hx})_{\text{difuzie}}} = \frac{\mu_h p_n \mathcal{E}_x}{\frac{D_h}{W} p'_n(0)} = \frac{\mu_h p_n kT}{D_h n_{n0} q} = \frac{p_n}{n_{n0}}.$$

Acest raport este, evident, foarte mic dacă nivelul de injecție este scăzut, de exemplu dacă  $p_n \ll n_{n0}$ .

## REZOLVAREA PROBLEMEI P. 4.10

În paragraful 4.1 se analizează numai curenții de conducție, adică  $\vec{J} = \sigma \vec{\mathcal{E}}$  unde  $\sigma$  este conductivitatea. Într-un semiconductor se găsesc însă de asemenea curenți de difuzie. Prin urmare,  $J$  poate fi scris

$$\begin{aligned} \vec{J} &= \vec{J}_h + \vec{J}_e \\ &= \sigma \vec{\mathcal{E}} + q(D_n \nabla n - D_p \nabla p). \end{aligned}$$

În stratul de sarcină spațială la echilibru,  $\vec{J}$  este identic cu zero nu pentru că  $\mathcal{E} = 0$ , ci din cauză că componentele de conducție și de difuzie se compensează. Prin urmare, în regim staționar, sarcina spațială continuă să existe, chiar în prezența unui câmp electric intens.

## REZOLVAREA PROBLEMEI P. 4.11

Fie  $P_{Dis}$  = numărul total de goluri ce „dispar” în bază în unitatea de timp,  $P_{Total}$  = numărul de goluri injectat în bază în unitatea de timp,

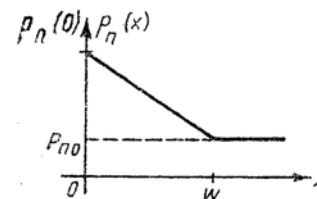


Fig. P.4.11.1

$$p'_n(x) = (p_n(0) - p_{n0}) \left( 1 - \frac{x}{W} \right)$$

$$P_{Dis} = A \int_0^W \frac{p'_n(x)}{\tau_1} dx = \frac{A [p_n(0) - p_{n0}]}{\tau_1} \int_0^W \left( 1 - \frac{x}{W} \right) dx = \frac{A W [p_n(0) - p_{n0}]}{2 \tau_1}.$$

Se utilizează ecuația de difuzie pentru a se obține:

$$P_{Total} = \frac{I}{q} = D_h A \frac{[p_n(0) - p_{n0}]}{W}.$$

De observat că raportul dintre  $P_{Dis}$  și  $P_{Total}$ :

$$\frac{P_{Dis}}{P_{Total}} = \frac{W^2}{2 D_h \tau_1}$$

este independent de concentrația actuală de purtători. Pentru problema de față, este necesar ca

$$P_{Dis} \leq 0.05 P_{Total}.$$

Condiția este satisfăcută cînd

$$\frac{W^2}{2 D_h \tau_1} \leq 0.05 \text{ sau cînd } \tau_1 \geq \frac{W^2}{0.1 D_h} = 1.5 \mu s.$$



## REZOLVAREA PROBLEMEI 4.12

Atât curentul cât și concentrația de purtători excedențari trebuie să se anuleze pentru valori mari ale lui  $x$ . În acest caz soluția trebuie să aibă forma:

(a) Curba este trasată în fig. P.4.12.1

(b) Curba este trasată în fig. P.4.12.2

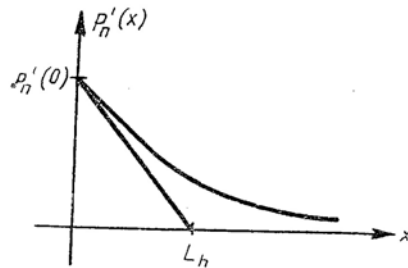


Fig. P.4.12.1

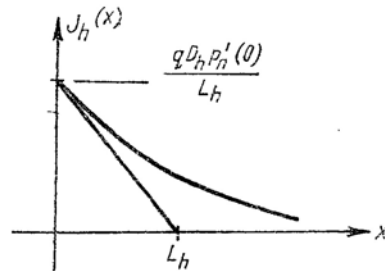


Fig. P.4.12.2

(c) Curentul în joncțiune este

$$I = A J_h(0) = q A D_h p'_n(0) / L_h$$

sau

$$I = \underbrace{\frac{q A D_h p_{n0}}{L_h}}_{I_s} (e^{qV_j/kT} - 1).$$

(d) Densitatea curentului de purtători majoritari se determină din condiția ca curentul total să fie zero (fig. P.4.12.3).

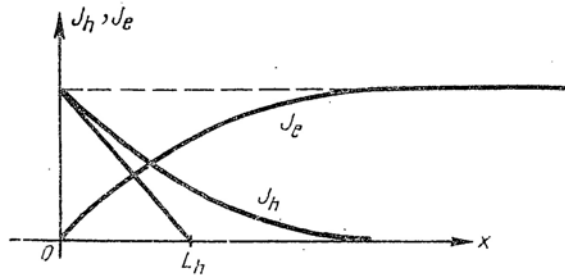


Fig. P.4.12.3

## REZOLVAREA PROBLEMEI P. 4.16

$$\begin{aligned} (a) \quad \left( \frac{dv}{dT} \right)_I &= - \frac{kT}{q} a + \frac{V_j}{T} = \\ &= -4,50 + 2,34 = -2,16 \text{ mV/K.} \end{aligned}$$

$a = 0,18$  pentru siliciu, la temperatura camerei;

$$(b) \quad \Delta T = 53\text{K}, \Delta V = -2,16 \cdot 53 = -115 \text{ mV.}$$

## REZOLVAREA PROBLEMEI P. 4.17

Sarcina immagazinată pe unitatea de suprafață în oricare din jumătățile stratului dipolului, este

$$\begin{aligned} Q &= \frac{q a l^2}{2} \\ &= \frac{q a}{2} \left( \frac{3\varepsilon}{2qa} \right)^{2/3} (\psi_0 - V_j)^{-2/3}. \end{aligned}$$

Prin urmare, capacitatea joncțiunii (pe unitatea de suprafață) este

$$C_j = - \frac{dQ}{dV_j} = \frac{2}{3} \frac{q a}{2} \left( \frac{3\varepsilon}{2qa} \right)^{2/3} (\psi_0 - V_j)^{-1/3}.$$

Jumătate din grosimea stratului de sarcină este, conform problemei P.4.6.:

$$l = \left( \frac{3\varepsilon}{2qa} \right)^{1/3} (\psi_0 - V_j)^{-1/3}.$$

Prin urmare,  $C_j$  se poate scrie

$$C_j = \frac{2}{3} \frac{q a}{2} \frac{3\varepsilon}{2qa} \left( \frac{3\varepsilon}{2qa} \right)^{1/3} (\psi_0 - V_j)^{-1/3}$$

sau  $C_j = \frac{\varepsilon}{2l}$ , ceea ce este în concordanță cu ecuația (4.39), pentru unitatea de suprafață. De observat că  $2l$  este lățimea totală a stratului de sarcină spațială.

## REZOLVAREA PROBLEMEI P. 4.18

Potențialul de contact este

$$\psi_0 = \frac{kT}{q} \ln \frac{N_A N_D}{n_i^2} = \frac{kT}{q} \ln 10^{14} = 2,3 \frac{kT}{q} \cdot 14 = 0,8 \text{ V.}$$

Din ecuația (4.38)

$$l = \left[ \frac{2\varepsilon}{q} \frac{N_A + N_D}{N_A N_D} \right]^{1/2} (\psi_0 - V_j)^{1/2} = 3,5 \cdot 10^{-5} (\psi_0 - V_j)^{1/2} \text{ cm.}$$

(a) Pentru  $V_j = 0$   $l = 3,5 \cdot 10^{-5} \cdot (0,8)^{1/2} = 3,1 \cdot 10^{-5} \text{ cm.}$

Capacitatea pe unitatea de suprafață este  $C_j = \frac{\varepsilon}{l}$ :

$$C_j = \frac{10^{-12}}{3,1 \cdot 10^{-5}} = 3,2 \cdot 10^4 \text{ pF/cm}^2.$$

(b) Pentru  $V_j = -20 \text{ V}$   $l = 3,5 \cdot 10^{-5} \cdot (20,8)^{1/2} = 16 \cdot 10^{-5} \text{ cm}$

$$C_j = \frac{10^{-12}}{16 \cdot 10^{-5}} = 6,2 \times 10^3 \text{ pF/cm}^2.$$

## REZOLVAREA PROBLEMEI P. 4.20

$$I = I_s (e^{qV/kT} - 1) - I_{sc}$$

(a)  $V_{oc} = \frac{kT}{q} \ln \left( \frac{I_{sc}}{I_s} + 1 \right) = \frac{kT}{q} \ln (2,5 \cdot 10^4) = 250 \text{ mV.}$

$$V_{oc} = 250 \text{ mV.}$$

(b)  $P = -VI = VI_{sc} - VI_s (e^{qV/kT} - 1)$

$$\frac{dP}{dV} = I_{sc} - I_s (e^{qV/kT} - 1) - VI_s \left( \frac{q}{kT} \right) e^{qV/kT} = 0$$

fie

$$qV/kT = v, \quad I_{sc}/I_s = i.$$

Condiția pentru a obține puterea de ieșire maximă este

$$i = e^v - 1 + ve^v \text{ sau } i \approx (v+1)e^v.$$

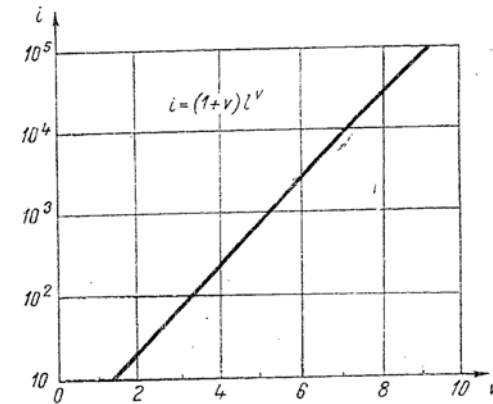


Fig. P. 4.20.

Se va rezolva grafic, cu ajutorul figurii P. 4.20, pentru  $i$  dat.

Pentru  $i = 2,5 \cdot 10^4 \cdot v = 7,9$   $V = 197 \text{ mV.}$

$$I = -25 + 10^{-3} e^{7,9} = -22,7 \text{ mA.}$$

$$P_{maz} = 4,5 \text{ mW.}$$

(e)  $R_L = \frac{197}{22,7} = 8,7 \text{ k}\Omega.$

## PROBLEME LA CAP. 5

## REZOLVAREA PROBLEMEI P. 5.1

(b)  $\frac{N}{N_s} = \operatorname{erfc} \frac{x}{\sqrt{2Dt}} = \operatorname{erfc}(u).$

Joncțiunea se află la  $N = 5 \cdot 10^{15} \text{ cm}^{-3}$

$$N_s = 10^{19} \text{ cm}^{-3}.$$

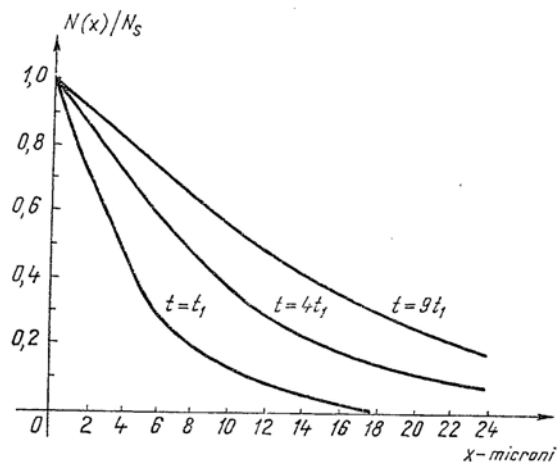


Fig. P. 5.1.

Deci  $5 \cdot 10^{-4} = \text{erfc } u$ , din fig. 5.15  $u \approx 2,5$

$$2,5 = \frac{5 \cdot 10^{-4}}{2 \sqrt{5 \cdot 10^{-13} T}}$$

$$T = 0,2 \cdot 10^5 \text{ s}$$

$$T = 2 \cdot 10^4 \text{ s} = 5,5 \text{ ore}$$

$$(c) \quad 2,5 = \frac{l}{2 \sqrt{5 \cdot 10^{-13} \cdot 5,4 \cdot 10^4}} \quad 15 \cdot 3600 = 5,4 \times 10^{14} \text{ s}$$

$$l = 8,2 \times 10^{-4} \text{ cm}$$

$$l = 8,2 \mu.$$

# REZOLVAREA PROBLEMEI P. 5.2

$$(b) \quad \frac{N}{M} = \frac{1}{(\pi D t)^{1/2}} e^{-x^2/4Dt}$$

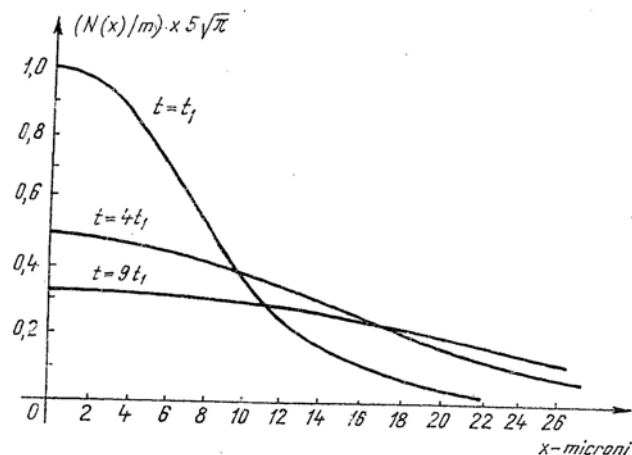


Fig. P. 5.2.

Joncțiunea se află la  $N = 5 \cdot 10^{15} \text{ cm}^{-3}$   $M = 10^{16} \text{ cm}^{-2}$ .

$D = 10^{-12} \text{ cm}^2/\text{s}$ . Dacă  $x = 5 \cdot 10^{-4} \text{ cm}$ ,  $t$  este dat de

$$0,5 = \frac{1}{(\pi D t)^{1/2}} e^{-\frac{25 \cdot 10^{-8}}{4 D t}}$$

Rezultatul este

$$t \approx 6,2 \cdot 10^3 \text{ s} = 1,7 \text{ ore.}$$

$$(c) \quad 0,5 = \frac{1}{(3,14 \cdot 10^{-12} \cdot 3600)^{1/2}} e^{-\frac{x^2}{4 \cdot 10^{-12} \times 3600}}$$

$$0,53 \cdot 10^{-4} = e^{-u^2} \quad u \approx 3,2$$

$$u = \frac{x}{2 \sqrt{D t}} \quad x = 3,2 \cdot 2 \cdot 6 \cdot 10^{-5} = 38,3 \cdot 10^{-5} \text{ cm}$$

$$x = 3,8 \mu\text{m.}$$

## REZOLVAREA PROBLEMEI P. 5.3

$$(a) R = \frac{\rho l}{hW}$$

$$(b) \text{ Dacă } l = h, \text{ rezistența este } R = \frac{\rho}{W} \text{ și este independentă de } l.$$

$$(c) R = 1500 \cdot \frac{20}{2} = 15 \text{ k}\Omega.$$

## REZOLVAREA PROBLEMEI P. 5.6

Întrucât joncțiunea acoperă 80 % din material și pătrunde numai pe o mică fracțiune din grosimea sa, este normal să se presupună că rezistența serie este aceea a unui volum de material dreptunghiular cu rezistivitatea de  $2 \Omega\text{-cm}$ , secțiunea transversală de  $0,2 \text{ mm} \times 0,2 \text{ mm}$  și lungimea  $0,1 \text{ mm}$ :

$$R = \frac{\rho l}{A} = \frac{2 \cdot 10^{-1}}{4 \cdot 10^{-2}} = 5 \Omega.$$

## REZOLVAREA PROBLEMEI P. 5.7

Căderea de tensiune totală (pe diodă, inclusiv rezistența serie) este:

$$V = R_s I + \frac{kT}{q} \ln \left( \frac{I}{I_s} + 1 \right).$$

Se caută curentul pentru care are loc relația

$$R_s I = 0,1 \frac{kT}{q} \ln \left( \frac{I}{I_s} + 1 \right)$$

Pentru  $kT/q = 25 \text{ mV}$ ,  $R_s = 100 \Omega$ ,  $I_s = 1 \mu\text{A}$ , cei doi membri ai ecuației sînt calculați în tabelul de mai jos

$I$	$R_s I$	$I/I_s$	$\ln(I/I_s + 1)$	$0,1 \frac{kT}{q} \ln(I/I_s + 1)$
1 mA	100	$10^3$	6,9	17,2
0,1 mA	10	$10^2$	4,6	11,6
0,12 mA	12	$1,2 \times 10^2$	4,8	12,0

În acest caz, rezistența serie contribuie cu 10 % la căderea totală de tensiune, la o tensiune totală în sens direct de

$$V = 11 \cdot 12 = 132 \text{ mV}$$

$$(b) \text{ Curentul corespunzător este } 0,12 \text{ mA}.$$

## REZOLVAREA PROBLEMEI P. 5.8

(a) Condensatorul are o suprafață de 1,5 ori mai mare decît a oricărei diode. Deci, curentul de saturație și capacitatea proprie trebuie să fie de 1,5 ori mai mare decît acelea ale unei diode, la aceeași polarizare

$$C = 12 \text{ pF};$$

$$I_s = 0,3 \mu\text{A}.$$

(b) Capacitatea parazită dintre canalul rezistiv și insula izolatoare de tip  $p$  în care este difuzat canalul, poate fi definită în mod riguros numai atunci cînd prin rezistor nu trece curent, adică este echipotențial. În cazul unei polarizări inverse de 3 V între canal și insulă, capacitatea parazită dintre canal și insulă este

$$C_1 = 8 \cdot \frac{0,02 \text{ mm}^2}{0,01 \text{ mm}^2} = 16 \text{ pF}.$$

Capacitatea dintre insula rezistivă și suport este, pentru o polarizare inversă de 5 V:

$$C_2 = 5 \cdot \frac{0,07 \text{ mm}^2}{0,05 \text{ mm}^2} = 7 \text{ pF}$$

Capacitatea parazită care se cere, dintre canal și suport, rezultă din combinația serie a acestor două

$$C = \frac{C_1 C_2}{C_1 + C_2} = \frac{7 \cdot 16}{23} = 4,9 \text{ pF}.$$

(c) Terminalul 4 leagă un capăt al canalului rezistiv cu regiunea de tip  $p$  a condensatorului. Din cauza acestei interconexiuni nu este posibil să se mențină ambele tensiuni ale joncțiunii la valorile la care s-au făcut măsurările. Să presupunem că tensiunea inversă pe joncțiunea dintre insulă și substrat este de 5 V. Insula capacitivă contribuie la capacitatea suportului cu valoarea

$$C = 5 \cdot \frac{0,02 \text{ mm}^2}{0,05 \text{ mm}^2} = 2 \text{ pF}$$

și aduce un curent de fugă de

$$i = 0,5 \cdot \frac{0,02 \text{ mm}^2}{0,05 \text{ mm}^2} = 0,2 \text{ } \mu\text{A}.$$

Drumul spre suport prin canalul rezistiv și insula sa izolatoare contribuie, de asemenea, cu o capacitate și un curent de fugă. Valorile acestor parametri depind de tensiunile pe celălalt capăt al canalului și pe rezistența izolatoare a insulei. Componenta corespunzătoare a curentului de fugă nu poate fi evaluată fără cunoașterea precisă a acestor tensiuni. Este totuși rezonabil să se atribuie terminalului 4 o capacitate egală cu jumătate din cea găsită la punctul (b) (presupunând că capacitățile incrementale variază puțin cu tensiunile de polarizare). Deci

$$C_{\text{total}} \approx 2 \text{ pF} + 2,5 \text{ pF} = 4,5 \text{ pF}$$

$$I_{\text{total}} \approx 0,2 \text{ } \mu\text{A}$$

(d) Problemele de evaluare sînt similare cu cele descrise la punctul (c). Se poate aproxima;

$$C \approx 5 \text{ pF} + \frac{4,9 \text{ pF}}{2} \approx 7,5 \text{ pF}$$

$$I \approx 0,5 \text{ } \mu\text{A}.$$

## PROBLEME LA CAP. 6

### REZOLVAREA PROBLEMEI P. 6.2

(a) Circuitul (fig. P.6.2.1) conține două diode, notate (1) și (2), astfel încît trebuie luate în considerare patru stări posibile:

(00), (01), (10), (11).

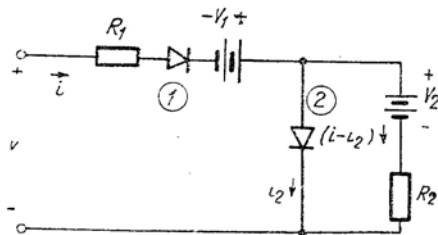


Fig. P.6.2-1.

Vom arăta, mai întâi, că stările (00) și (11) nu pot avea loc niciodată.

Dacă dioda (2) nu conduce,  $i_2 = 0$  și

$$V_2 + iR_2 < 0$$

sau

$$i < -\frac{V_2}{R_2}.$$

Prin urmare, dacă  $V_2$  este presupus pozitiv, dioda (2) rămîne blocată numai dacă dioda (1) este în conducție inversă. Întrucît aceasta este imposibil, sîntem obligați să conchidem că dioda (2) rămîne în conducție pentru toate combinațiile posibile dintre  $v$  și  $i$ .

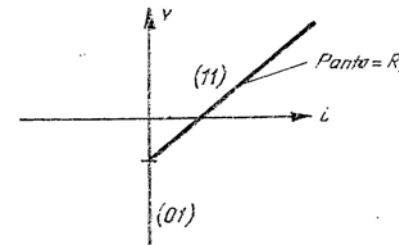


Fig. P. 6.2.2.

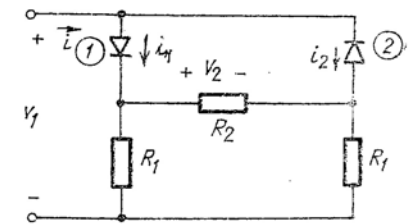


Fig. P. 6.2.3.

Starea (01) reprezintă, desigur, un circuit deschis și are loc atunci cînd  $v$  este mai negativ decît  $(-V_1)$ , (întrucît pe dioda 2, în conducție, nu apare cădere de tensiune). Atunci cînd  $v > (-V_1)$  circuitul se află în starea (11) (fig. P.6.2.2).

(b) Dacă ambele diode ar conduce (fig. P.6.2.3.), tensiunile la ambele extremități ale lui  $R_2$  ar fi egale și prin rezistență nu ar trece curent. Curenții  $i_1$  și  $i_2$  ar fi amîndoi egali cu  $V/R_1$ , ceea ce este imposibil, întrucît pentru aceasta ar trebui ca una din diode să conducă în sens invers. Prin urmare, circuitul nu se poate găsi niciodată în starea (11).

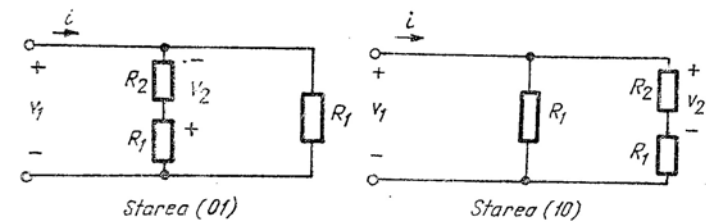


Fig- P. 6.2.4.

În mod similar, ambele diode nu pot fi blocate simultan, căci ar însemna ca tensiunea aplicată să apară la bornele fiecărei diode. În acest caz, una din ele ar fi polarizată în sens direct, ceea ce duce evident la o contradicție. În concluzie, stările (00) și (11) nu pot avea loc în acest circuit.

Rămîn de luat în considerație numai stările (01) și (10) (fig. P.6.2.4). Circuitele echivalente corespunzătoare acestor stări sînt identice, în măsura în care ne referim la caracteristicile terminale. Există totuși o diferență în ceea ce privește polaritatea tensiunii  $V_2$ .

Pe baza celor două circuite echivalente, se obțin curbele din fig. P.6.2.5.

(c) După cum se poate observa din fig. P.6.2.6, dioda (1) este blocată atunci când  $v' > 0$ , iar dioda (2) este blocată atunci când  $v' < E$ .

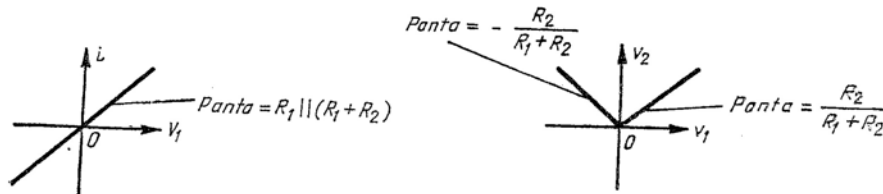


Fig. P. 6.2.5.

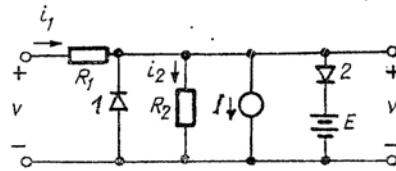
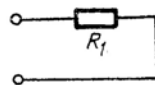


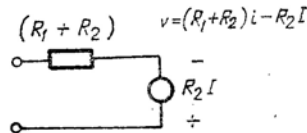
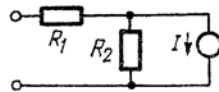
Fig. P. 6.2.6

Starea (10)



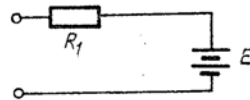
$$v = R_1 i$$

Starea (00)



$$(R_1 + R_2) v = (R_1 + R_2) i - R_2 I$$

Starea (01)



$$v = E + R_1 i$$

Fig. P. 6.2-7

Prin urmare, una din diode este blocată pentru orice valoare a lui  $v'$ , și starea (11) este exclusă.

Circuitele echivalente pentru celelalte trei stări posibile sînt prezentate în fig. P.6.2.7.

Curbele  $v-i$  pentru cele trei circuite echivalente se dau în fig. P.6.2.8.

Din fericire, două din aceste linii sînt paralele, astfel încît caracteristicile  $v-i$  ale circuitului dat pot fi complet determinate dacă se cunoaște starea corespunzătoare unui curent

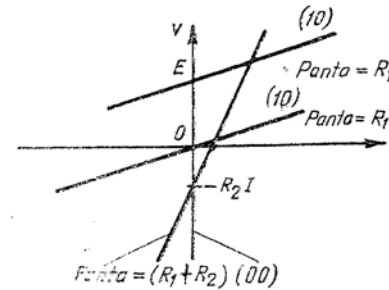


Fig. P. 6.2.8

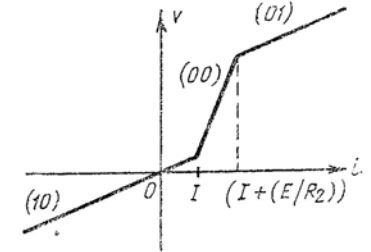


Fig. P. 6.2.9

pozitiv de valoare mare. Pentru  $i \rightarrow \infty$  analiza arată că circuitul trebuie să fie în starea (01). Rezultatul dorit este dat deci în fig. P.6.2.9.

Evident,  $i_2 = 0$  atunci cînd dioda (1) conduce, de exemplu pentru  $i_1 < I$ .

Cînd dioda (1) este blocată și dioda (2) conduce, tensiunea  $E$  apare la bornele lui  $R_2$  astfel încît  $i_2 = E/R_2$  (fig. P.6.2.10). În acest caz :

starea (10)  $i_2 = 0$

starea (01)  $i_2 = E/R_2$

starea (00) să se unească cu o linie dreaptă punctele de întrerupere.

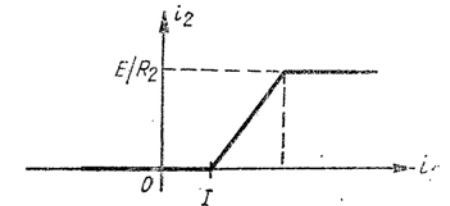


Fig. P. 6.2.10.

### REZOLVAREA PROBLEMEI P. 6.5

(a) Cele trei curbe sînt arătate mai jos.

De observat că printr-o translație convenabilă a scalei de tensiune, cele trei curbe ar coincide.

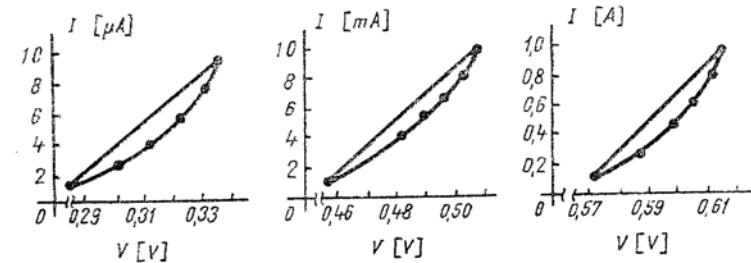


Fig. P. 6.5

(b) Următoarele valori ale lui  $V_O$  reprezintă aproximări convenabile ale punctelor de curent nul:

$$(1) V_O = 0,28 \text{ V}$$

$$(2) V_O = 0,45 \text{ V}$$

$$(3) V_O = 0,57 \text{ V}$$

(c) Din ecuația diodei,  $dI/dV \approx \frac{q}{kT} I$ ,  $G = \frac{q}{kT} I$

$$(1) I = 5 \mu\text{A} \quad G = \frac{5 \cdot 10^{-6}}{2,5 \cdot 10^{-2}} = 2 \cdot 10^{-4} \text{ S} \quad (G^{-1} = 5 \text{ k}\Omega)$$

$$(2) I = 5 \text{ mA} \quad G = \frac{5 \cdot 10^{-3}}{2,5 \cdot 10^{-2}} = 0,2 \text{ S} \quad (G^{-1} = 5 \Omega)$$

$$(3) I = 0,5 \text{ A} \quad G = \frac{5 \cdot 10^{-1}}{2,5 \cdot 10^{-2}} = 20 \text{ S} \quad (G^{-1} = 0,05 \Omega)$$

De observat variația mare a valorii lui  $G$ .

d) Pantele pot fi citite pe grafice

$$(1) G \approx \frac{9 \cdot 10^{-6}}{0,0575} = 1,6 \cdot 10^{-4} \text{ S}$$

$$(2) G \approx \frac{9 \cdot 10^{-3}}{0,0575} = 1,6 \cdot 10^{-1} \text{ S}$$

$$(3) G \approx \frac{9 \cdot 10^{-1}}{0,0575} = 1,6 \cdot 10^1 \text{ S}$$

Aceste valori se află în concordanță cu cele găsite la punctul (c).

(e) Aceste calcule arată că alegerea valorilor, atât pentru  $G$ , cât și pentru  $V_O$ , depinde în mod critic de domeniul de valori ale curenților în care trebuie aplicat modelul.

### REZOLVAREA PROBLEMEI P. 6.6

(a) Înlocuind condensatorul  $C$  cu un scurtcircuit (pentru frecvențele semnalului) și dioda prin capacitatea  $C_j$ , schema echivalentă pentru determinarea impedanței  $Z$  este cea din fig. P.6.6.1.

$$Z = \frac{1}{C_j s + \frac{1}{R} + \frac{1}{Ls}} = \frac{RLs}{RC_j Ls^2 + Ls + R}$$

$$Z = R \frac{Ls}{RLC_j s^2 + Ls + R}$$

Rădăcinile numitorului sînt:

$$s = \frac{-L \pm \sqrt{L^2 - 4R^2 LC_j}}{2C_j LR} = -\frac{1}{2RC_j} \pm j \sqrt{\frac{1}{LC_j} - \left(\frac{1}{2RC_j}\right)^2}$$

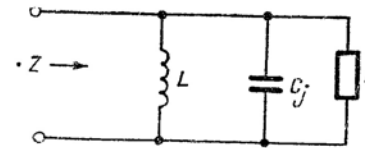


Fig. P.6.6.1

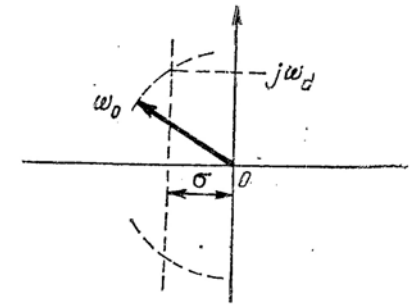


Fig. P. 6.6.2

Diagrama polilor și zerourilor lui  $Z$  este cea din fig. 6.6.2.

$$\omega_0 = \sqrt{\frac{1}{LC_j}}$$

$$\alpha = \frac{1}{2RC_j}$$

Frecvența de rezonanță este  $\omega_d = \sqrt{\omega_0^2 - \sigma^2}$

Lărgimea de bandă la 3 dB este  $2\sigma = 1/RC_j$ .



(b) Dacă  $\omega_0 \gg \sigma$ ,  $\omega_d \approx \omega_0 = \sqrt{1/LC_j}$ . Pentru ca  $\omega_0$  să varieze într-un domeniu 2:1,  $C_j$  trebuie să varieze într-un domeniu 4:1.

$$(C_j)_{max} = C_0 \frac{\psi_0^{1/2}}{(\psi_0 + 2)^{1/2}} = \frac{C_0}{\sqrt{3}}$$

$$(C_j)_{min} = C_0 \frac{\psi_0^{1/2}}{(\psi_0 + V_{max})^{1/2}} = \frac{1}{4} \frac{C_0}{\sqrt{3}}$$

$$V_{max} = 47 \text{ V.}$$

(c) Cea mai mică frecvență de rezonanță corespunde la  $(C_j)_{max}$

$$(C_j)_{max} = 11,5 \cdot 10^{-12} \text{ F}$$

$$(\omega_0)_{min} = 2\pi (f_0)_{min} = 6,28 \cdot 10^7 \text{ s}^{-1}$$

$$L = \frac{1}{C_j \omega_0^2} \approx 22 \cdot 10^{-6} \text{ H} = 22 \text{ } \mu\text{H.}$$

Impedanța la rezonanță este  $R$ ; deci  $R = 10 \text{ k}\Omega$ .

Banda  $2\sigma$  este  $1/RC_j$ . Banda minimă, corespunzătoare celei mai mici frecvențe de rezonanță este

$$(B\omega)_{min} = 8,7 \cdot 10^6 \text{ rad/s}$$

$$\approx 1,38 \text{ MHz.}$$

La cea mai înaltă frecvență de rezonanță, banda este

$$(B\omega)_{max} = 4(B\omega)_{min} \approx 5,5 \text{ MHz.}$$

De observat că atunci când  $\omega_0$  variază, se schimbă și valoarea factorului de calitate  $Q$  al circuitului rezonant.

(d) Este de dorit, desigur, să nu se polarizeze direct dioda. Tensiunea de vîrf a semnalului trebuie să fie mai mică decît 2 V. Pentru a evita distorsiunile armonice ce apar datorită relației neliniare dintre  $Q_j$  și  $V$ , este necesar să se limiteze și mai mult tensiunea semnalului.

# REZOLVAREA PROBLEMEI P. 6.7

(a) În circuitul din fig. P.6.7.1, conductanța diodei la semnal mic în punctul de funcționare  $I_0$ , este

$$g = \left. \frac{dI}{dV} \right|_{I=I_0} = \frac{d}{dV} I_S (e^{qV/kT} - 1) = \frac{q}{kT} I_S (e^{qV/kT})$$

$$= \frac{q}{kT} (I_0 + I_S) \approx \frac{q}{kT} I_0 \quad \text{cînd } I_0 \gg I_S.$$

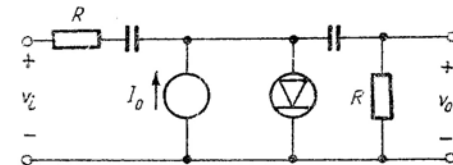


Fig. P. 6.7.1

Deci  $r = 1/g = kT/qI_0$ .

Capacitățile pot fi privite ca scurtcircuite, iar sursa de curent ca un circuit deschis; acum circuitul arată ca în fig. 6.7.2.

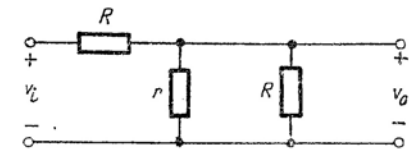


Fig. P. 6.7.2.

$$(b) \quad \frac{v_o}{v_i} = \frac{r \parallel R}{R + r \parallel R} = \frac{rR/(R+r)}{R + \frac{rR}{R+r}}$$

$$\frac{v_o}{v_i} = \frac{rR}{R(R+r) + rR} = \frac{r}{R+2r}.$$

Înserind valoarea  $r = kT/qI_0$

$$\frac{v_o}{v_i} = \frac{kT/qI_0}{R + (2kT/qI_0)} = \frac{kT/q}{I_0 R + 2(kT/q)}$$

Se calculează această valoare pentru diferiți  $I_o$ .

$I_o(\text{mA})$	$I_o R(\text{V})$	$v_o/v_i$
0,1	0,01	0,417
0,2	0,02	0,357
0,5	0,05	0,250
1,0	0,10	0,167
2,0	0,20	0,100
5,0	0,50	0,0455
10,0	1,00	0,0238

(c) Dezvoltind în serie pe  $I_{dioda}$  în jurul lui  $I_o$ , obținem expresia de mai jos, în care  $v_o$  este tensiunea de ieșire.

$$I_{dioda} \approx I_o \left( 1 + \frac{qv_o}{kT} + (q/kT)^2 \frac{v_o^2}{2} + \dots \right)$$

Pentru  $v_o$  mai mic de 10 mV, termenul al doilea are cel mult valoarea  $\frac{1}{2} \left( \frac{2}{5} \right)^2 = 8\%$ .

La  $I_o = 0,1$  mA, factorul de transfer în tensiune are valoarea maximă; deci, în acest punct de funcționare, variațiile tensiunii de intrare vor produce cele mai mari variații ale tensiunii diodei

$$\frac{v_o}{v_i} = \frac{r}{R + 2r} = 0,417.$$

De exemplu, o variație a lui  $v_o$  de 10 mV, implică o variație de aproximativ  $(10/0,417)\text{mV}$  a lui  $v_i$

$$\Delta v_i = 24 \text{ mV}.$$

Totuși aceasta produce o neliniaritate mult mai mică în raportul dat, și anume de :

$$\frac{\frac{250(1,08)}{100 + 250(1,08)} - 0,417}{0,417} = \% \text{ variația raportului}$$

$$\frac{0,005}{0,417} = 0,1\%.$$

### REZOLVAREA PROBLEMEI P. 6.8

Enunțul problemei pune accentul pe conductanțe, ceea ce sugerează imediat încercarea unei combinații de diode în paralel. Circuitul echivalent în curent alternativ ar fi cel din figura

P.6.8.1 (a se vedea problema 6.7) în care  $g_1$  și  $g_2$  sînt conductanțele de curent alternativ ale diodelor. Pentru acest circuit, conductanța de transfer  $i_o/v_i = g_2$  poate fi variată prin intermediul curentului continuu de polarizare prin dioda 2, în timp de admitanța de intrare a circuitului,

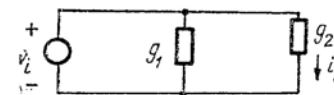


Fig. P.6.8.1

$y_i = g_1 + g_2$  trebuie să fie independentă atât de  $g_1$  cât și de  $g_2$ . Atît  $g_1$  cît și  $g_2$  pot fi exprimate în funcție de curenții de polarizare respectivi, astfel încît (ca și în problema P.4.8)

$$y_i = \frac{q}{kT} (I_1 + I_2).$$

Se vede deci că  $y_i$  va fi constant pentru un circuit în care  $(I_1 + I_2)$  este constant. Legea lui Kirchhoff pentru curenți sugerează un circuit de polarizare de tipul celui din fig. P.6.8.2.

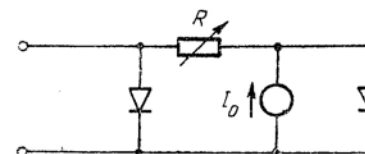


Fig. P. 6.8.2

În această etapă a rezolvării, acest circuit de curent continuu poate să nu satisfacă cerințele de curent alternativ impuse.

Circuitul de curent continuu poate fi făcut compatibil cu cel de curent alternativ prin adăugarea a două capacități, ca în fig. P.6.8.3.

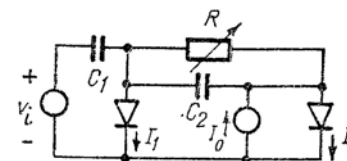


Fig. P. 6.8.3

$C_1$  împiedică trecerea curentului continuu de la sursă (altminteri suma  $I_1 + I_2$  nu ar fi constantă), iar  $C_2$  determină căderi de tensiune alternativă egale pe cele două diode (așa ca în circuitul echivalent de curent alternativ; rezistența variabilă  $R$  servește la varierea curentului de polarizare, pentru obținerea unei conductanțe de transfer variabile.

## REZOLVAREA PROBLEMEI P.6.9

(a) Dacă  $V_G = +V$ , diodele ar fi polarizate direct. Circuitul este cel din fig. P.6.9.1.

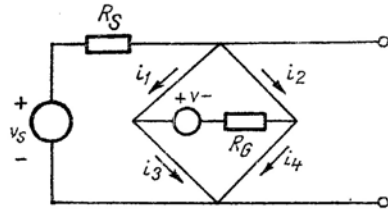


Fig. P. 6.9.1

O tensiune  $V_S$  pozitivă face să crească curenții  $i_2$ ,  $i_3$  și  $i_4$ , ceea ce întărește conducția diodelor 2 și 3 și reduce curentul direct al diodelor 1 și 4. Evident, poarta nu va fi închisă dacă curentul în diodele 1 sau 4 devine nul. Utilizând principiul suprapunerii efectelor obținem:

$$i_1 = \frac{1}{2} \left( -\frac{V}{R_G} + \frac{v_S}{R_S} \right).$$

Deci valoarea critică a lui  $v_S$  (pentru care  $i_1 = 0$ ) este  $v_S = (R_S/R_G)V$ . Pe baza simetriei circuitului, se deduce valoarea negativă corespunzătoare a lui  $v_S$ :

$$v_S = -\frac{R_S}{R_G} V.$$

Trebuie deci să avem  $|v_S| < (R_S/R_G)V$  sau  $|v_S| < 2V$ .

(b) Avind  $V_G = -V$  diodele ar fi polarizate invers. Circuitul este cel din fig. P.6.9.2.

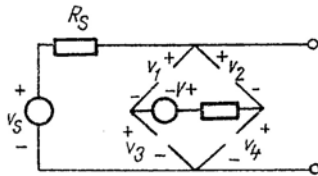


Fig. P. 6.9.2

O tensiune  $v_S$  pozitivă face să crească tensiunile  $v_1$ ,  $v_2$ ,  $v_3$  și  $v_4$ , determinând o creștere a polarității inverse pe diodele 1 și 4, și o reducere a polarității inverse pe diodele 2 și 3. Poarta va fi deschisă numai dacă suma tensiunilor  $v_2$  și  $v_3$  este negativă. Întrucât nu există căderi de tensiune pe  $R_S$  și pe  $R_G$  și avem

$$v_2 + v_3 = -V + v_S.$$

Deci, valoarea critică a lui  $v_S$  (pentru care  $v_2 + v_3 = 0$ ) este

$$v_S = V.$$

Pe baza simetriei circuitului, valoarea negativă corespunzătoare a lui  $v$  este  $v_S = -V$ . Deci trebuie să avem  $|v_S| < V$  sau  $|v_S| < 10$  volți.

## REZOLVAREA PROBLEMEI P. 6.10

Tensiunea de intrare este  $v_S(t) = V_m \sin \omega t$ .

(a) Dioda intră în conducție când  $v_S$  depășește tensiunea de prag,  $V_0$ . Fie acest moment  $t_1$ .

$$V_m \sin \omega t_1 = V_0 \text{ sau } \sin \omega t_1 = \frac{V_0}{V_m}$$

În mod asemănător dioda se blochează când  $v_S$  scade sub tensiunea de prag. Fie acest moment  $t_2$ .

$$V_m \sin \omega t_2 = V_0 \quad \sin \omega t_2 = \frac{V_0}{V_m}$$

(b) Rezultatele sint prezentate în figura de mai jos.

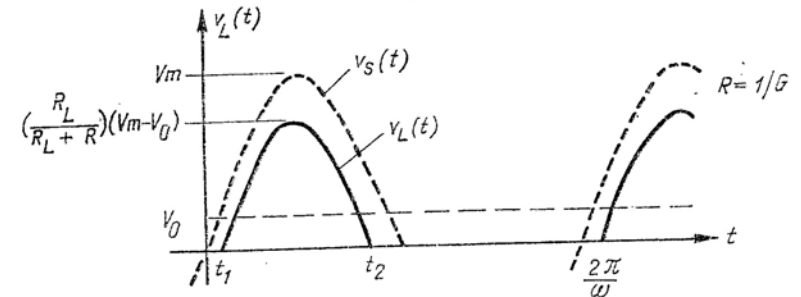


Fig. P. 6.10

(c) Componenta de curent continuu a tensiunii de ieșire este  $V_L$

$$\left( \frac{R_L}{R_L + R} \right) V_L = \frac{\int_{t_1}^{t_2} (V_m \sin \omega t - V_0) dt}{\frac{2\pi}{\omega}} = \frac{V_m \omega}{2\pi} \int_{t_1}^{t_2} \sin \omega t dt - \frac{V_0 \omega}{2\pi} (t_2 - t_1)$$

$$V_L = \frac{V_m}{2\pi} (\cos \omega t_1 - \cos \omega t_2) - \frac{V_0 \omega}{2\pi} (t_2 - t_1) \frac{R_L}{R_L + R}$$

Dacă  $V_O \ll V_m$ , putem aproxima pe  $t_1$  și pe  $t_2$

$$t_1 \approx \frac{V_O}{\omega V_m}$$

$$t_2 \approx \frac{1}{\omega} \left( \pi - \frac{V_O}{V_m} \right)$$

$$\text{Deci } t_2 - t_1 \approx \frac{\pi}{\omega} - \frac{2V_O}{\omega V_m}$$

$$\cos \omega t_1 \approx 1 - \frac{1}{2} (\omega t_1)^2 = 1 - \frac{1}{2} \left( \frac{V_O}{V_m} \right)^2$$

$$\cos \omega t_2 \approx -1 + \frac{1}{2} \left( \frac{V_O}{V_m} \right)^2$$

$$\cos \omega t_1 - \cos \omega t_2 \approx 2 - \left( \frac{V_O}{V_m} \right)^2$$

În final

$$V_L \approx \left\{ \frac{V_m}{2\pi} \left[ 2 - \left( \frac{V_O}{V_m} \right)^2 \right] - V_O \left( \frac{1}{2} - \frac{1}{\pi} \frac{V_O}{V_m} \right) \right\} \left( \frac{R_L}{R_L + R} \right).$$

$$(d) \text{ Dorim } V_L = 4V. \text{ Deoarece } \frac{R_L}{R_L + R} = \frac{10}{10 + 2} = 0,83 \text{ avem}$$

$$1,2 \cdot 4 = \frac{V_m}{2\pi} \left[ 2 - \left( \frac{V_O}{V_m} \right)^2 \right] - V_O \left( \frac{1}{2} - \frac{1}{\pi} \frac{V_O}{V_m} \right)$$

din care poate fi dedusă tensiunea  $V_m$ . Un rezultat rapid se poate obține prin aproximări succesive. Presupunem mai întâi că  $V_O = 0$ . Aceasta conduce la

$$V_m = \pi \cdot 1,2 \cdot 4 = 15,1 \text{ V.}$$

Acum, avînd  $V_O = 0,5 \text{ V}$  și  $V_m \approx 15 \text{ V}$ , avem

$$1,2 \cdot 4 = \frac{V_m}{2\pi} (2 - 0,001) - 0,5 \left( \frac{1}{2} - \frac{0,033}{\pi} \right).$$

O a doua aproximație pentru  $V_m$  este deci

$$V_m = \pi (1,2 \cdot 4 + 0,24) = 15,8 \text{ V.}$$

Deci, valoarea de vîrf a tensiunii de intrare este  $V_m = 15,8 \text{ V}$ . Valoarea de vîrf a tensiunii de ieșire este  $0,83 \cdot (15,8 - 0,5) = 12,8 \text{ V}$ . Componenta de c.c. a curentului în sarcină este

$$\frac{4}{10} = 0,4 \text{ A.}$$

#### REZOLVAREA PROBLEMEI P. 6.11

Se presupune  $\frac{\omega}{2\pi} = 60 \text{ Hz}$ ,  $T = 16,7 \text{ ms}$ .

(a) Valoarea de la vîrf la vîrf a tensiunii de zgomot este, conform ecuației (6.16 c)

$$\Delta v = V_m \frac{T}{R_{LC}} = 10 \cdot \frac{16,7}{500} = 0,33 \text{ V.}$$

(b) Intervalul de conducție este, conform ecuației (6.17 d),

$$\omega \Delta t \approx \sqrt{2 \frac{\Delta v}{V_m}} = \sqrt{\frac{33}{500}} = \sqrt{0,066} = 0,26 \text{ rad.} = 15 \text{ grade.}$$

(c) Valoarea medie a curentului prin diodă este  $\frac{10 \text{ V}}{1 \text{ k}\Omega} = 10 \text{ mA}$ .

(d) Valoarea de vîrf a curentului prin diodă este

$$10 \cdot \frac{2}{0,26} = 240 \text{ mA.}$$

(e)  $V_m = V + \frac{1}{2} \Delta V = 10,15 \text{ V}$ .

(f)  $V_m = 10,15 + 0,8 = 10,95 \text{ V}$ .

#### REZOLVAREA PROBLEMEI P. 6.12

Condensatorul se încarcă la valoarea de vîrf a tensiunii de intrare,  $V_m$ .

(a)  $V_m = 40 \text{ V}$ .

(b) Un zgomot de 1% corespunde la un  $\Delta v$  egal cu

$$\Delta v = 0,4 \text{ V.}$$

Întrucit intervalele de conducție reprezintă o mică parte dintr-o perioadă, trebuie să avem:

$$C \Delta v = I_L T / 2$$

unde  $I_L$  este curentul în sarcină, iar  $T$  perioada. Presupunind din nou că se lucrează la 60 Hz:]

$$C = \frac{25 \cdot 10^{-3} \cdot 16,7 \times 10^{-3}}{2 \cdot 0,4} = 520 \text{ } \mu\text{F}$$

$$C = 520 \text{ } \mu\text{F.}$$

## PROBLEME LA CAPITOLUL 7

### REZOLVAREA PROBLEMEI P. 7.1

Din problema 2.15 rezultă

$$\frac{dQ_b}{dt} + \frac{Q_b}{\tau_b} = -I_{BA}$$

în care

$$Q_b = qA \int_0^{W_b} p'_b(x) dx.$$

Semnul minus este necesar, deoarece direcția de referință pentru  $I_{BA}$  este aceea care intră în bază, în timp ce efectul fizic corespunde unui flux de sarcini pozitive care iese din bază (realmente, electronii încărcăți negativ intră în bază unde se recombina cu golurile).

Pentru regimul staționar, aceasta se scrie

$$-I_{BA} = \frac{Q_b}{\tau_b} = \frac{qA}{\tau_b} \int_0^{W_b} p'_b(x) dx.$$

Obținem pe  $p'_b(x)$  din graficul densității de goli excedentare

$$p_b(x) = p_{b0} e^{qV_{EB}/kT} \left( 1 - \frac{x}{W_b} \right).$$

Deci,

$$\begin{aligned} p'_b(x) &= p_{b0} e^{qV_{EB}/kT} \left( 1 - \frac{x}{W_b} \right) - p_{b0} \\ &= p_{b0} (e^{qV_{EB}/kT} - 1) - p_{b0} e^{qV_{EB}/kT} \frac{x}{W_b} \end{aligned}$$

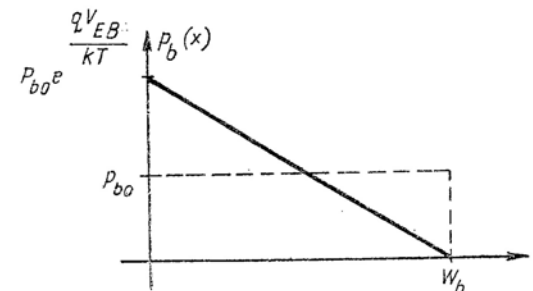


Fig. P. 7.1

Înlocuind în expresia lui  $I_{BA}$ , se obține:

$$\begin{aligned} -I_{BA} &= \frac{Q_b}{\tau_b} = \frac{qA}{\tau_b} \int_0^{W_b} p_{b0} (e^{qV_{EB}/kT} - 1) - p_{b0} e^{qV_{EB}/kT} \left( \frac{x}{W_b} \right) dx = \\ &= \frac{qA W_b p_{b0}}{\tau_b} \left( e^{qV_{EB}/kT} - \frac{3}{2} \right). \end{aligned}$$

Curentul de colector ce rezultă din difuzia de goli, asociată cu această distribuție, este

$$I_C = qA D_b \frac{dp_b}{dx} = - \frac{qA D_b p_{b0}}{W_b} e^{qV_{EB}/kT}.$$

Prin urmare, raportul  $I_{BA}/I_C$  este

$$\frac{I_{BA}}{I_C} = \frac{\frac{qA W_b p_{b0}}{\tau_b} \left( e^{qV_{EB}/kT} - \frac{3}{2} \right)}{\frac{qA D_b p_{b0}}{W_b} (e^{qV_{EB}/kT})}.$$

Pentru o polarizare directă suficient de mare la joncțiunea emitorului (de ex.  $V_{EB} \gg \frac{kT}{q}$ ),

$$\frac{e^{qV_{EB}/kT} - \frac{3}{2}}{e^{qV_{EB}/kT}} \approx 1.$$

În aceste condiții

$$\frac{I_{BA}}{I_C} = \frac{W_b^2}{2(D_b \tau_b)} = \frac{1}{2} \frac{W_b^2}{L_b} = \text{defect în bază.}$$

Deci:  $I_{BA} = \delta_B I_C$

unde  $\delta_B = \frac{1}{2} \left( \frac{W_b}{L_b} \right)^2$ .

### REZOLVAREA PROBLEMEI P. 7.2

În fig. P.7.2.1, respectiv fig. P.7.2.2 sint prezentate concentrațiile de purtători minoritari în emitor, respectiv în bază.

$$\begin{aligned} I_{BB} &= (-q) A D_e \frac{\partial n_e}{\partial x} = -q A D_e \frac{n_{e0} e^{qV_{EB}/kT} - n_{e0}}{W_e} = \\ &= -\frac{q A D_e n_{e0}}{W_e} (e^{qV_{EB}/kT} - 1). \end{aligned}$$

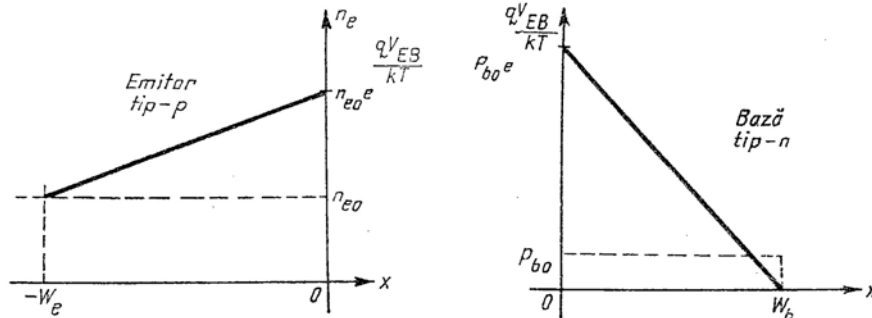


Fig. P. 7.2.1

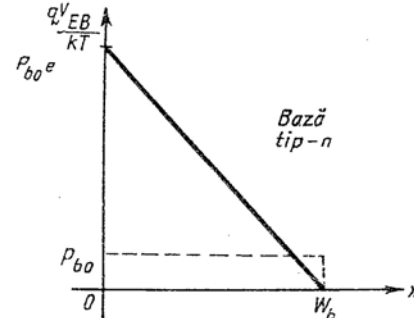


Fig. P. 7.2.2

$I_{BB}$  este negativ, deoarece efectul fizic corespunde intrării electronilor în bază. Prin urmare

$$\frac{I_{BB}}{I_C} = \frac{-\frac{q A D_e n_{e0}}{W_e} (e^{qV_{EB}/kT} - 1)}{-\frac{q A D_b p_{b0}}{W_b} (e^{qV_{EB}/kT})} = \frac{D_e W_b n_{e0}}{D_b W_e p_{b0}} (1 - e^{-qV_{EB}/kT}).$$

Dacă  $V_{EB} \gg \frac{kT}{q}$ , exponențiala este neglijabilă (de ex.  $e^{qV_{EB}/kT} \gg 1$ ) și  $I_{BB} = \delta_E I_C$ ,

unde

$$\delta_E = \frac{D_e W_b n_{e0}}{D_b W_e p_{b0}} = \text{defect de emitor.}$$

### REZOLVAREA PROBLEMEI P. 7.3

$$I_E + (I_{BA} + I_{BB}) = \delta_E I_C + \delta_B I_C = (\delta_E + \delta_B) I_C.$$

Prin definiție

$$\beta_F = \frac{I_C}{I_B} \text{ [din ec. (7.10 b)]}$$

$$\beta_E = \frac{1}{\delta_E + \delta_B}.$$

Prin definiție

$$\alpha_F = \frac{\beta_F}{1 + \beta_F} = \frac{1}{1 + 1/\beta_F} \text{ [din ec. (7.11a)]}$$

$$\alpha_F = \frac{1}{1 + \delta_E + \delta_B} \approx 1 - \delta_E - \delta_B.$$

### REZOLVAREA PROBLEMEI P. 7.4

În fig. P.7.4.1 sint date două din reprezentările tranzistorului npn.

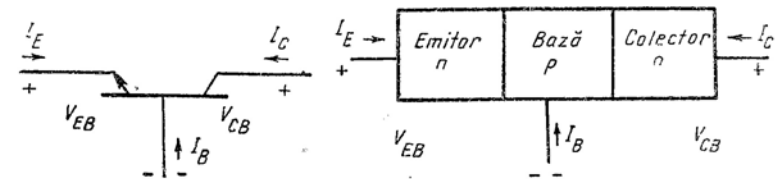


Fig. P. 7.4.1.

(a) Întrucît emitorul este mult mai puternic dopat decît baza, se poate neglija curentul în emitor (a se vedea problema 7.2). În fig. P.7.4.2. este reprezentată concentrația  $n_b(x)$ . Din ecuația (3.10 b)

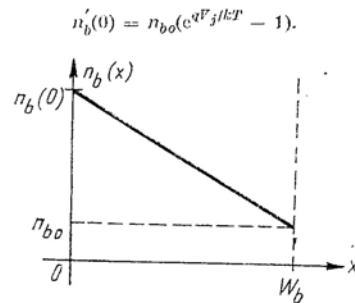


Fig. P. 7.4.2

Prin definiție

$$V_f = V_{tip\ p} - V_{tip\ n} = V_{BE} = -V_{EB}.$$

Deci

$$n'_b(0) = n_{b0}(e^{-qV_{EB}/kT} - 1).$$

(Observație: Întrucît pentru polarizări directe  $V_{EB} < 0$ , vom avea  $n'_b(0) > 0$ ).

Pentru o polarizare nulă a joncțiunii colectorului, avem  $n'_b(W) = 0$ . Deci, concentrația de purtători excedențari la limitele bazei este:

$$n'_b(0) = n_{b0}(e^{-qV_{EB}/kT} - 1);$$

$$n'_b(W) = 0.$$

Aceste condiții limită sînt similare cu acelea valabile pentru dioda cu bază subțire (cu orientarea convenabilă a materialelor de tip  $n$  și  $p$ ).

(b) Curentul de electroni în bază are loc în principal datorită difuziei:

$$J_e = qD_b \frac{\partial n'_b}{\partial x}.$$

Prin urmare, întrucît  $J_e$  este independent de  $x$ ,  $\frac{\partial n'_b}{\partial x} = \text{const}$  și deci  $n'_b(x) = a + bx$  (fig. P.7.4.3).

De la punctul (a),  $n'_b(W) = 0 = a + bW \rightarrow b = -\frac{a}{W}$ . De asemenea, de la punctul (a):

$$n'_b(0) = n_{b0}(e^{-qV_{EB}/kT} - 1).$$

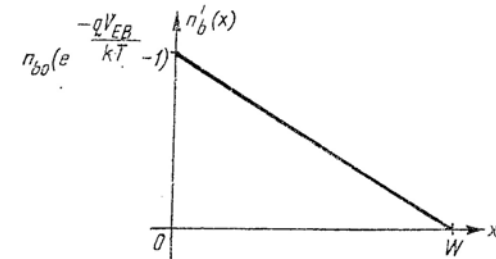


Fig. P. 7.4.3

Deci,

$$n'_b(x) = n_{b0}(e^{-qV_{EB}/kT} - 1) \left(1 - \frac{x}{W}\right).$$

$$(c) \quad n_b(x) = n_{b0} + n'_b(x) = n_{b0} + n_{b0}(e^{-qV_{EB}/kT} - 1) \left(1 - \frac{x}{W}\right).$$

Datorită neutralității electrice

$$p_b(x) = p_{b0} + n'_b(x) = p_{n0} + n_{b0}(e^{-qV_{EB}/kT} - 1) \left(1 - \frac{x}{W}\right);$$

$$J_e \Big|_{\text{difuzie}} = qD_b \frac{\partial n'}{\partial x} = -\frac{qD_b n_{b0}}{W} (e^{-qV_{EB}/kT} - 1);$$

$$J_h \Big|_{\text{difuzie}} = qD_h \frac{\partial p'}{\partial x} = \frac{qD_h n_{b0}}{W} (e^{-qV_{EB}/kT} - 1).$$

Datorită unor motive similare cu acelea din text, se poate să nu existe un curent longitudinal de purtători majoritari în regiunea bazei. Curentul de difuzie trebuie deci să fie aproape anulat de un curent de deplasare de goluri. Deci:

$$J_h = J_h \Big|_{\text{difuzie}} + J_h \Big|_{\text{deplasare}} = 0.$$



La nivele mici de injecție, câmpul electric asociat are un efect neglijabil asupra mișcării electronilor-purtători majoritari.

În fig. P.7.4.4 sunt prezentate concentrațiile  $n_b(x)$ ,  $p_b(x)$ , iar în fig. P.7.4.5 densitățile curentului de difuzie.

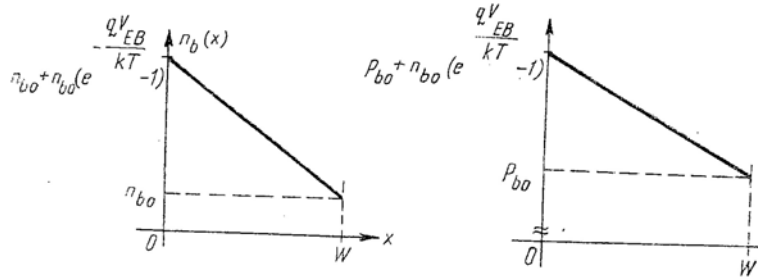


Fig. P. 7.4.4

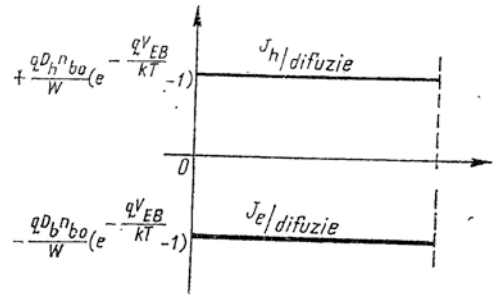


Fig. P. 7.4.5

(d)  $I_C$  este egal cu minus curentul ce trece de la emitor la colector prin jonțiunea colectorului. Deci

$$\begin{aligned} -I_C &= -(-q)AD_b \frac{\partial n'_b}{\partial x} = \\ &= \frac{qD_b A n_{bo}}{W} (e^{-qV_{EB}/kT} - 1) \\ I_C &= + \frac{qD_b A n_{bo}}{W} (e^{-qV_{EB}/kT} - 1). \end{aligned}$$

(e) Numărul de electroni ce se recombină în bază în unitatea de timp, este dat de

$$\frac{qA}{\tau} \int_0^W n'_b(x) dx.$$

Fiecare electron ce se recombină, necesită un gol din contactul bazei, deci :

$$\begin{aligned} +I_B &= \frac{qA}{\tau} \int_0^W n_{bo} (e^{-qV_{EB}/kT} - 1) \left(1 - \frac{x}{W}\right) dx; \\ I_B &= \frac{qA}{\tau} n_{bo} (e^{-qV_{EB}/kT} - 1) \left(\frac{W}{2}\right). \end{aligned}$$

(f) De la punctul (d) și (e),

$$\begin{aligned} \frac{I_B}{I_C} &= \frac{\frac{qWn_{bo}A}{2\tau} (e^{-qV_{EB}/kT} - 1)}{\frac{qD_b A n_{bo}}{W} (e^{-qV_{EB}/kT} - 1)} = \\ &= \frac{W^2}{2D_b\tau} = \frac{1}{2} \left(\frac{W}{L_b}\right)^2 \end{aligned}$$

unde  $L_b = \sqrt{D_b\tau}$ .

Se înlocuiește aceasta în  $I_E = -I_C - I_B$  pentru a obține

$$\begin{aligned} I_E &= -I_C - \frac{1}{2} \left(\frac{W}{L_b}\right)^2 I_C = - \left[1 + \frac{1}{2} \left(\frac{W}{L_b}\right)^2\right] I_C = \\ &= - \left[1 + \frac{1}{2} \left(\frac{W}{L_b}\right)^2\right] \frac{qD_b A n_{bo}}{W} (e^{-qV_{EB}/kT} - 1). \end{aligned}$$

g) De la punctul (f) avem :

$$I_E = - \left[1 + \frac{1}{2} \left(\frac{W}{L_b}\right)^2\right] \frac{qD_b A n_{bo}}{W} (e^{-qV_{EB}/kT} - 1).$$

Prin definiție :

$$I_{ES} = \left[1 + \frac{1}{2} \left(\frac{W}{L_b}\right)^2\right] \frac{qD_b A n_{bo}}{W} \approx \frac{qD_b A n_{bo}}{W}$$

și

$$\alpha_N = \frac{1}{1 + \frac{1}{2} \left(\frac{W}{L_b}\right)^2} \approx 1 - \frac{1}{2} \left(\frac{W}{L_b}\right)^2.$$

$I_E$  și  $I_C$  pot fi scrise sub forma :

$$I_E = -I_{ES} (e^{-qV_{EB}/kT} - 1) ;$$

$$I_C = -\alpha_F I_E = \alpha_F (-I_E) = \alpha_F I_F .$$

Aceasta sugerează modelul din figura P.7.4.6.

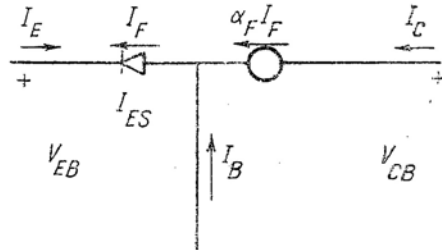


Fig. P. 7.4.6

#### REZOLVAREA PROBLEMEI P. 7.10

Concentrația de purtători minoritari la marginile stratului de sarcină spațială a colectorului este proporțională cu :

$$e^{qV_{CB}/kT} = e^{-q/kT(V_{CE} + V_{EB})}$$

Deci

$$p_o(W) \approx 0$$

și

$$n_o(W) \approx 0$$

de cite ori  $\begin{cases} V_{EB} > 0 & (\text{emitor polarizat direct}) \\ V_{CE} < -V_{EB} & (\text{colector polarizat invers}) \end{cases}$

Deci, în condiții de funcționare normale, concentrațiile de purtători minoritari la toate marginile straturilor de sarcină spațială, devin practic independente de  $V_{CE}$ , depinzind numai de  $V_{EB}$

(a) și (c) Utilizând aceste condiții la limită, precum și geometria tranzistorului, se poate calcula  $I_C$ , și, de asemenea, caracteristicile de intrare, care trebuie să fie independente de  $V_{CE}$  în măsura în care geometria însăși nu depinde de  $V_{CE}$ .

Pentru aproximații de ordinul întâi, geometria este, de fapt, independentă de  $V_{CE}$ , dar, pentru calcule mai exacte, nu se mai poate neglija variația lățimii bazei datorită lărgirii stratului spațială, așa cum s-a arătat în 7.5.

(b) Cînd golurile sînt injectate în regiunea bazei, difuzează aproape toate în bază și sînt colectate de colector. În acest caz

$$I_C \approx -I_E.$$

Totuși, un mic procent din aceste goluri se recombină, iar contactul bazei trebuie să furnizeze majoritatea purtătorilor pentru a susține această recombinare. Întrucît viteza de recombinare este proporțională cu numărul de purtători disponibili, această componentă a curentului de bază trebuie să fie aproape proporțională cu  $I_C$  (a se vedea problema 7.1).

Altă componentă a curentului de bază furnizează electronii injectați în emitor. Întrucît această componentă este reprezentată de aceeași exponențială ( $e^{qV_{EB}/kT}$ ) ca și curentul de colector, ea trebuie să fie de asemenea proporțională cu  $I_C$  (a se vedea problema 7.2).

#### REZOLVAREA PROBLEMEI P. 7.13

(a) Circuitul echivalent se dă în fig. P.7.13.1.

(b) În funcție de valoarea lui  $V_B$  se pot lua în considerare trei domenii de funcționare.

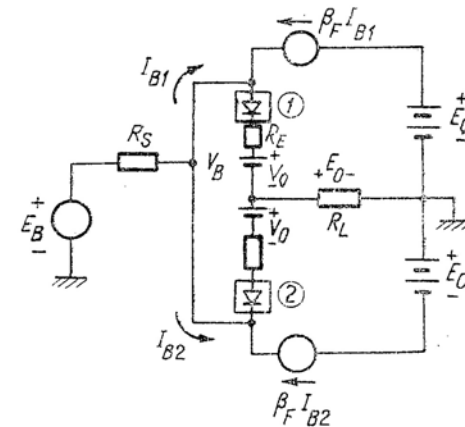


Fig. P.7.13.1

1) Pentru  $-V_0 < V_B < V_0$  nici o diodă nu conduce, nu există curent în tranzistor, iar  $E_0 = 0$ .

2) Pentru  $V_B > V_0$ , dioda (1) conduce și dioda (2) rămîne blocată; circuitul se reduce la cel din fig. P.7.13.2.

Aplicarea legii lui Kirchhoff pentru tensiuni ochiului de intrare conduce la :

$$E_B = I_{B1} R_S + (\beta_F + 1) I_{B1} (R_E + R_L) + V_0 .$$

Deci

$$I_{B1} = \frac{E_B - V_O}{R_S + (\beta_F + 1)(R_E + R_L)} \text{ și } E_O = R_L (\beta_F + 1) I_{B1}$$

$$E_O = \frac{(E_B - V_O) R_L (\beta_F + 1)}{R_S + (\beta_F + 1)(R_E + R_L)}$$

Pentru  $V_B > E_O$

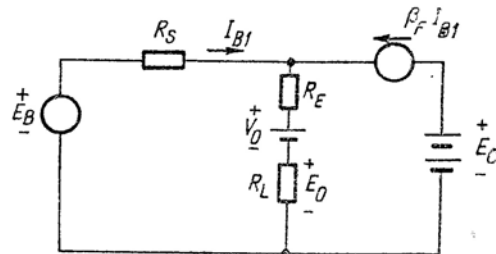


Fig. P. 7.13.2

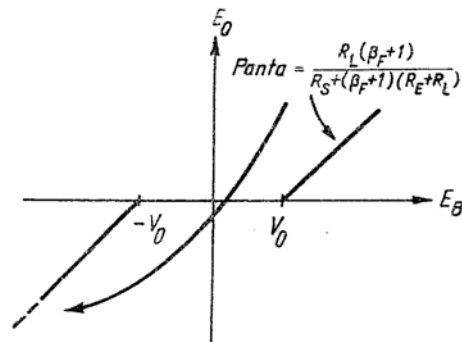


Fig. P. 7.13.3

3) Pentru  $V_B < -V_O$  dioda (2) conduce, în timp ce dioda (1) rămâne blocată. Circuitul diferă de cel de mai sus numai prin aceea că polaritățile lui  $V_O$  și  $E_C$  sînt inversate. Tensiunea de ieșire este

$$E_O = \frac{(E_B + V_O) R_L (\beta_F + 1)}{R_S + (\beta_F + 1)(R_E + R_L)} \text{ pentru } E_B < -V_O.$$

(c) Caracteristica de transfer este dată în fig. P.7.13.3

(d) Acest amplificator produce distorsiuni importante pentru semnalele de intrare din domeniul  $-V_O < E_B < V_O$ . Zona interzisă poate fi eliminată adăugînd o baterie de polarizare fiecărei baze, așa ca în fig. P.7.13.4

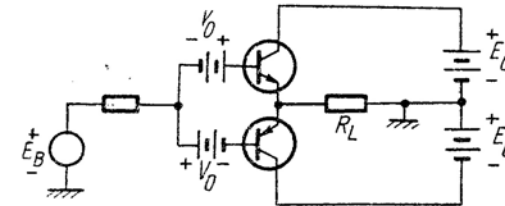


Fig. P. 7.13.4.

Printr-un raționament simplu se poate arăta că cele două baterii de valoare  $V_O$  pot fi înlocuite cu diode polarizate direct.

#### REZOLVAREA PROBLEMEI P. 7.14

(a)  $V_{CE} + I_O R_L = V_{CC}$ ;

$$V_{CE} = V_{CC} - R_L I_C.$$

Aceste drepte de sarcină pot fi suprapuse pe caracteristicile de intrare și de ieșire din fig.7.25.

(b)  $V_I = R_B I_B + V_{BE}$ ;

$$V_{LE} = V_I - R_B I_B.$$

(c) Curentul de bază ce corespunde unei anumite valori a lui  $V_I$  se citește direct din graficul caracteristicilor de intrare.

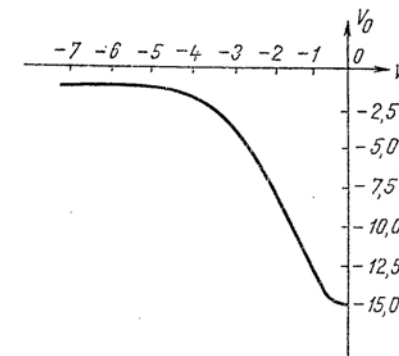


Fig. P. 7.14

Pe familia caracteristicilor de ieșire, intersecția dintre curba corespunzătoare acestui curent de bază și dreapta de sarcină, determină valorile lui  $V_{CE}$  și  $I_C$  ce rezultă din alegerea făcută pentru  $V_I$ .

Procesul se repetă pentru un ansamblu de valori ale lui  $V_I$ , pentru a obține caracteristica de transfer.

### REZOLVAREA PROBLEMEI P. 7.15

Caracteristica  $v_O - v_I$  a acestui amplificator a fost ridicată în problema 7.14. Din caracteristici se observă că  $v_O$  poate fi evaluat destul de precis prin expresia

$$v_O(t) \approx -12 - 3,15 v_I(t)$$

în măsura în care este satisfăcută condiția ca  $v_I$  să se găsească în „domeniul de liniaritate”:  
 $-3,5 \text{ V} \leq v_I(t) \leq -1 \text{ V}$ .

(a)

$$v_I(t) = V_a \cos \omega t - V_{BB}$$

$$V_{BB} = 3 \text{ V}$$

pentru  $V_a = 0$ .

Curba  $v_O - v_I$ , sau aproximația liniară de mai sus, conduce la:

$$v_O = -2,6 \text{ V.}$$

Pentru  $V_a \neq 0$ , ieșirea va fi sinusoidală dacă

$$-3,5 \leq V_a \cos \omega t - 3 \leq -1.$$

Aceasta limitează pe  $V_a$  la valori sub 0,5. Tensiunea de ieșire corespunzătoare este:

$$v_O(t) \approx -12 - 3,15(0,5 \cos \omega t - 3)$$

pentru care se obține valoarea 1,57 pentru amplitudinea componentei sinusoidale a tensiunii de ieșire.

(b) Cea mai mare componentă sinusoidală posibilă se obține când  $V_{BB}$  ocupă jumătate din limitele domeniului liniar al lui  $V_I$ , de exemplu:

$$V_B = \frac{1}{2} \{ (-3,5) + (-1) \} = -2,25 \text{ V.}$$

Deci, dacă vom lua  $V_a \leq 1,25$ ,  $v_I(t)$  atinge toată bine valoarea  $(-3,5)$  când  $\cos \omega t = (-1)$  și valoarea  $(-1)$  când  $\cos \omega t = (+1)$ ; tensiunea de ieșire este:

$$v_O(t) = -12 - 3,15 \{ V_a \cos \omega t - 2,25 \}.$$

(c) Dacă se consideră  $v_I$  variabilă de intrare și  $v_O$  variabila de ieșire, amplificatorul nu poate fi considerat un sistem liniar. Mai exact, relația intrare-ieșire nu satisface următoarea propoziție:

Dacă  $v_{I1}$  îl determină pe  $v_{O1}$  și dacă  $v_{I2}$  îl determină pe  $v_{O2}$ , combinația  $av_{I1} + bv_{I2}$  nu determină la ieșire  $av_{O1} + bv_{O2}$ , chiar dacă  $v_{O1}$  și  $v_{O2}$  sînt limitate în amplitudine.

Atît timp cît variabilele de intrare și de ieșire sînt  $v_I$  și  $v_O$  (și nu componentele lor de semnal mic), sistemul este neliniar, chiar dacă există un domeniu al lui  $v_I$  pentru care relația intrare-ieșire poate fi aproximată printr-o linie dreaptă; această linie dreaptă nu trece prin origine.

### PROBLEME LA CAPITOLUL 8

#### REZOLVAREA PROBLEMEI P. 8.2

(a) O linie dreaptă adaptată convenabil curbei  $q_{VE}$  și funcție de  $V_{EB}$  are o pantă de  $5,5 \text{ pC/V}$ .  
 Deci:

$$C_{je} \approx -5,5 \text{ pF.}$$

(b) Sarcina înmagazinată de  $C_{je}$  este

$$\Delta q_{VE} = C_{je} \Delta v_{EB} = 5,5 \cdot 10^{-12} \cdot 3,6 = 20 \text{ pC.}$$

Sarcina înmagazinată în regiunea neutră a bazei este

$$\Delta q_F = I_C \tau_F = 10^{-2} \cdot 5 \cdot 10^{-9} = 5 \cdot 10^{-11} = 50 \text{ pC.}$$

Sarcina totală cerută este deci de 70 pC.

(c) 2/7 este înmagazinată în „rezervorul” de sarcină spațială;

5/7 este înmagazinată în regiunea neutră a bazei.

(d)  $i_B T = \Delta q$ , unde  $T$  este intervalul de tranziție.

$$T = \frac{70 \text{ pC}}{5 \cdot 10^{-3}} = 14 \cdot 10^{-9} \text{ s} = 14 \text{ ns.}$$

#### REZOLVAREA PROBLEMEI P. 8.3

(a) Cînd tranzistorul se află în stare blocată, curenții de emitor și de colector sînt de ordinul lui  $I_{ES}$ , în timp ce curentul de bază este de  $\beta_F$  ori mai mic. Prin urmare, căderea de tensiune la bornele lui  $R_S$  este complet neglijabilă, și avem:

$$\left. \begin{aligned} V_{BE} &= -4 \text{ V} \\ V_{BC} &= -14 \text{ V} \\ i_B &\approx 0 \\ i_C &\approx 0 \end{aligned} \right\} \text{ pentru } t < 0$$

(b) Sarcinile din stratul de sarcină spațială sint determinate de relația de putere dată. Deci

$$\left. \begin{aligned} q_{VE}(-4 \text{ V}) &= -193 \text{ pC} \\ q_{VC}(-14 \text{ V}) &= -1014 \text{ pC} \end{aligned} \right\} \text{ pentru } t < 0$$

Întrucît  $i_C \approx 0$ ,  $q_F \approx 0$ .

(c) După încetarea regimului tranzitoriu, adică pentru  $t \gg 0$ , joncțiunea emitor-bază este polarizată direct, în timp ce joncțiunea colectorului este încă polarizată invers. Tensiunea bază-emitor va fi de ordinul 0,5 V astfel încît tensiunea la bornele lui  $R_S$  va fi de aproximativ 4,5 V, iar curentul de bază de aproximativ 4,5 mA. Prin urmare, curentul de emitor va fi de aproximativ  $4,5 \cdot 51 = 229 \text{ mA}$ . O evaluare mai precisă a lui  $V_{BE}$  rezultă din

$$\begin{aligned} 229 \cdot 10^{-3} &= I_{ES} e^{qV_{BE}/kT} \\ &= 10^{-9} e^{qV_{BE}/kT} \text{ sau } \frac{qV_{BE}}{kT} = 19,3, \end{aligned}$$

pentru  $kT/q = 25 \text{ mV}$ ,  $V_{BE} = 0,482 \text{ V}$ . Acest rezultat este destul de apropiat de prima noastră evaluare a lui  $V_{BE}$ , astfel încît nu mai este necesar să corectăm valorile lui  $i_B$  și  $i_C$ .

$$\left. \begin{aligned} V_{BE} &\approx 0,48 \text{ V} \\ V_{BC} &\approx -9,52 \text{ V} \\ i_B &\approx 4,5 \text{ mA} \\ i_C &\approx 225 \text{ mA} \end{aligned} \right\} t \gg 0$$

$$\left. \begin{aligned} (d) \quad q_{VE}(+0,48 \text{ V}) &= +35 \text{ pC} \\ q_{VC}(-9,52 \text{ V}) &= -760 \text{ pC} \\ q_F = \tau_F i_C &= +2250 \text{ pC} \end{aligned} \right\} t \gg 0$$

(e) Dacă  $q_{VE}$  și  $q_{VC}$  sint neglijabili, avem

$$i_B = \frac{dq_F}{dt} + \frac{q_F}{\tau_{BF}} = \frac{v_S - \frac{kT}{q} \ln \left( \frac{q_F}{Q_{FO}} + 1 \right)}{R_S}$$

sau

$$\frac{dq_F}{dt} + \frac{q_F}{\tau_{BF}} + \frac{kT}{qR_S} \ln \left( \frac{q_F}{Q_{FO}} + 1 \right) = \frac{v_S}{R_S}.$$

Chiar dacă această ecuație este neliniară, ea poate fi integrată, prin utilizarea unui factor de integrare. Pentru evaluarea integralei, sint necesare metode numerice.

(f) În acest caz, termenii  $\frac{dq_{VE}}{dt}$  și  $\frac{dq_{VC}}{dt}$  din curentul de bază nu pot fi neglijăți. Întrucît aceste sarcini depind în mod explicit de  $v_{BE}$  și  $v_{BC}$ , și întrucît aceste tensiuni pot fi exprimate în funcție de  $q_F$ , adică :

$$v_{BE} = \frac{kT}{q} \ln \left( \frac{q_F}{Q_{FO}} + 1 \right);$$

$$v_{BC} = v_{BE} - V_{CC} = \frac{kT}{q} \ln \left( \frac{q_F}{Q_{FO}} + 1 \right) - V_{CC}$$

rezultă că acești termeni de sarcină variabilă pot fi, în principiu, exprimați în funcție de  $q_F$ . Prin urmare, toți termenii ecuației diferențiale (cu excepția termenului  $v_S/R_S$ ) pot fi exprimați în funcție de  $q_F$ . Ecuația rezultantă este o expresie algebrică mult prea complicată, iar aplicarea ei este foarte anevoioasă. Este mult mai ușor, așa cum se arată în capitolul 22, să se utilizeze tensiunile  $v_{BE}$  și  $v_{BC}$  ca variabile fundamentale de stare.

#### REZOLVAREA PROBLEMEI P. 8.4

(a) Tabela următoare cuprinde valorile lui  $q_F$  și  $q_{VE}$  pentru diferite valori ale lui  $V_{BE}$  ( $Q_{FO} \approx \tau_F I_{ES} = 10^{-17} \text{ pC}$ )

$V_{BE}(\text{V})$	0,450	0,425	0,400	0,375	0,350
$q_{VE}/kT$	18	17	16	15	14
$q_{VE}(\text{pC})$	33	30,8	28,8	27,0	25,0
$q_F(\text{pC})$	664	250	92,0	23,9	12,5

Evident, valoarea lui  $v_{BE}$  pentru care  $q_F = q_{VE}$  este aproximativ  $14,7 \cdot 25 = 368 \text{ mV}$ .

$$V_T = 0,368 \text{ V}.$$

(b) Pentru a aproxima relațiile lui  $q_{VE}$  și  $q_{VC}$  prin capacități liniare, se trasează aceste funcții ca în figura P.8.4.1.

$v_{BE}$  acoperă domeniul de la  $-4 \text{ V}$  la  $+0,48 \text{ V}$ . Se aproximează  $q_{VE}$  prin  $C_{je} v_{BE}$  unde  $C_{je}$  este coarda la  $-2 \text{ V}$ .

$$C_{je} = 55 \text{ pF}.$$

Se aproximează  $q_{VC}$  prin  $C_{jc} v_{BC}$  unde  $C_{jc}$  este coarda la  $-10 \text{ V}$ .

$$C_{jc} = 78 \text{ pF}.$$

Se observă că aceste valori sînt cam de zece ori mai mari decît în majoritatea dispozitive-  
lor practice. De asemenea,  $V_T$  este mic (0,6 V ar fi o valoare mai des întîlnită) din cauza lui  $\tau_F$ ,  
care este deosebit de mare.

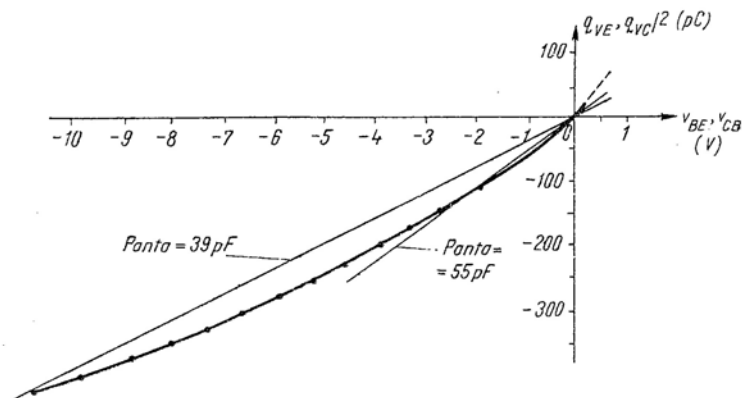


Fig. P. 8.4.1

Schema echivalentă valabilă pentru  $V_{BE} < V_T$  se dă în figura P.8.4.2.

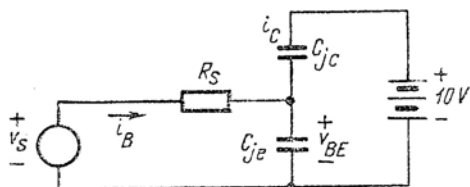


Fig. P. 8.4.2.

(c) Pentru  $t < t_T$  este valabilă schema echivalentă din fig. P.8.4.2. Ecuația diferențială corespunzătoare este :

$$v_S = i_B R_S + v_{BE} \quad i_B = (C_{je} + C_{jc}) \frac{dv_{BE}}{dt}$$

sau

$$V_S = (C_{je} + C_{jc}) R_S \frac{dv_{BE}}{dt} + v_{BE}.$$

Această ecuație are următoarea soluție la  $v_S(t)$  dat (fig. P.8.4.3) :

$$v_{BE}(t) = 5 - 9 e^{-t/\tau}$$

$$0,37 = 5 - 9 e^{-t_T/\tau}$$

$$9 e^{-t_T/\tau} = 4,63$$

$$t_T/\tau = 0,67$$

$$\tau = 10^3 \cdot (78 + 55) \cdot 10^{-12} = 133 \text{ ns}$$

$$t_T = 89 \text{ ns}$$

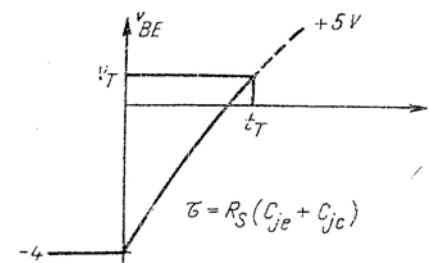


Fig. P. 8.4.3

În acest domeniu avem :

$$\left. \begin{aligned} v_{BE}(t) &= 5 - 9 e^{-t/\tau} \text{ V} \\ i_B(t) &= 9 e^{-t/\tau} \text{ mA} \\ L_C(t) &= \frac{78}{133} \cdot 9 e^{-t/\tau} \text{ mA} \end{aligned} \right\} \begin{aligned} 0 &< t < t_T \\ t_T &= 89 \text{ ns.} \end{aligned}$$

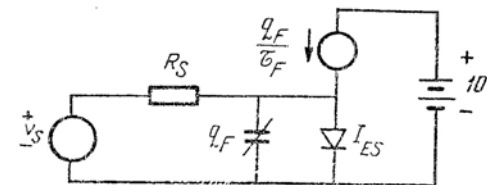


Fig. P. 8.4.4

(d) Schema echivalentă aproximativă pentru  $t > t_T$  este dată în fig. P.8.4.4.  
(e) În acest domeniu, curentul de bază este fixat la

$$i_B = \frac{v_S - V_T}{R_S} \approx 4,6 \text{ mA.}$$

Sarcina din bază, care are inițial valoarea

$$q_F(V_T) = 26 \text{ pC},$$

este dată de

$$\frac{dq_F}{dt} + \frac{q_F}{\tau_{BF}} = i_B \quad \tau_{BF} = \beta_F \tau_F = 500 \text{ ns}.$$

Soluția este dată în fig. P.8.4.5.

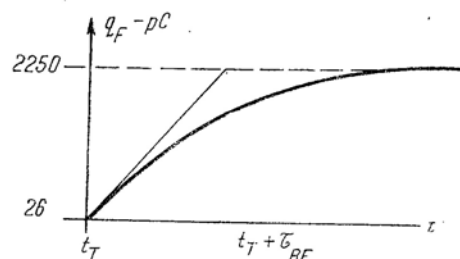


Fig. P. 8.4.5

În acest caz, avem :

$$\left. \begin{aligned} i_B(t) &\approx 4,6 \text{ mA} \\ V_{BE}(t) &\approx 0,4 \text{ V} \\ i_O(t) &\approx 225 (1 - e^{-(t-t_T)/\tau_{BF}}) \end{aligned} \right\} t > t_T \quad \tau_{BF} = 500 \text{ ns}.$$

(f) Formele de undă sint date în fig. P.8.4.6.

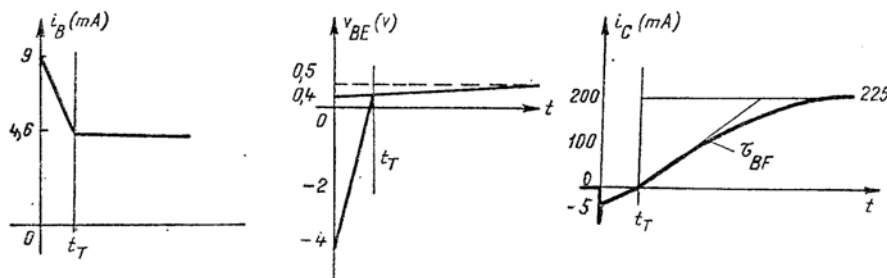


Fig. P. 8.4.6

### REZOLVAREA PROBLEMEI P. 8.5

$$\beta_F = \frac{I_C}{I_B} = \frac{10 \text{ mA}}{0,5 \text{ mA}} = 20.$$

$$\text{Panta inițială} = \frac{\beta_F I_B}{\tau_{BF}} = \frac{I_C}{\tau_{BF}} = 25 \frac{\text{mA}}{\mu\text{s}}$$

$$\tau_{BF} = \frac{I_C}{25 \frac{\text{mA}}{\mu\text{s}}} = \frac{10}{25} \mu\text{s} = 0,4 \mu\text{s}$$

$$\tau_F = \frac{\tau_{BF}}{\beta_F} = \frac{400 \text{ ns}}{20} = 20 \text{ ns}.$$

### REZOLVAREA PROBLEMEI P. 8.6

$$(a) \quad I_B = \frac{V}{R} = \frac{15 \text{ V}}{20 \text{ k}\Omega} = 0,75 \text{ mA}.$$

$$\beta_F = \frac{30}{0,75} = 40$$

$$\tau_{BF} RC = 20 \cdot 10^3 \cdot 60 \cdot 10^{-12} = 1200 \cdot 10^{-9} \text{ s} = 1,2 \mu\text{s}.$$

$$\tau_F = \frac{\tau_{BF}}{\beta_F} = \frac{1200}{40} = 30 \text{ ns}.$$

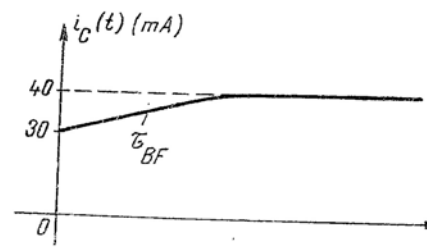


Fig. P. 8.6.1

(b) Curba este dată în fig. P.8.6.1

(c) Curba este dată în fig. P.8.6.2

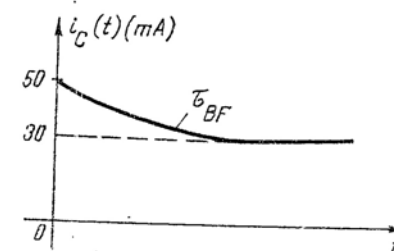


Fig. P. 8.6.2



## PROBLEME LA CAP. 9

## REZOLVAREA PROBLEMEI P. 9.2

(a) Într-un dispozitiv cu canal  $n$ , golurile reprezintă purtătorii principali. În cazul unei variații  $\Delta p$  a densității golurilor, a unei mobilități  $\mu_h$  a golurilor și a unui cîmp  $\mathcal{E}_y$  în canal, rezultă o densitate a curentului în canal de

$$J_y = q \mu_h \Delta p \mathcal{E}_y.$$

(b) Curentul total în canal este:

$$I_y = q \mu_h \int_0^d \Delta p \mathcal{E}_y dx$$

unde  $h$  este lărgimea canalului și  $d$  adîncimea sa. Întrucît  $\mathcal{E}_y$  este independent de  $x$ , avem:

$$I_y = q \mu_h h \mathcal{E}_y \int_0^d \Delta p dx.$$

Sarcina totală a canalului (pe unitatea de suprafață) este

$$q \int_0^d \Delta p dx$$

sau, utilizînd legea lui Gauss:

$$-\epsilon \mathcal{E}_y = q \int_0^d \Delta p dx.$$

Deci

$$I_y = -\epsilon h \mu_h \mathcal{E}_y \mathcal{E}_y.$$

## REZOLVAREA PROBLEMEI P. 9.5

(a) Ecuația integrală care ne interesează este

$$I_D \int_0^V dy = \frac{h \mu_h \epsilon}{W} \int_0^V (V_{GS} - V) dV \quad V_{GS} = V_{DS}.$$

Astfel

$$I_D y = \frac{h \mu_h \epsilon}{W} \left[ V_{DS} V - \frac{V^2}{2} \right].$$

(b) Pentru  $V_{GS} = V_{DS}$  ecuația (9.26) conduce la

$$I_D = \frac{h \mu_h \epsilon}{WL} \frac{V_{DS}^2}{2}.$$

$$\text{Astfel avem: } \frac{V_{DS}^2}{2} (y/L) = V_{DS} V - \frac{V^2}{2}.$$

Din ultima ecuație se deduce:

$$V = V_{DS} \left[ 1 - \sqrt{1 - \frac{y}{L}} \right]$$

relație care e reprezentată în fig. P.9.5.1.

$$(c) \quad \mathcal{E}_y = -\frac{dV}{dy} = -\frac{V_{DS}}{2L} \left( 1 - \frac{y}{L} \right)^{1/2}; \quad \mathcal{E}_y = -\frac{V_{DS}}{2L} \left( \frac{1}{\sqrt{1 - \frac{y}{L}}} \right).$$

Din fig. P.9.5.2 se observă faptul că cîmpul este singular la  $y = L$ . Deoarece canalul are o sarcină foarte apropiată de zero, cîmpul trebuie să fie foarte mare pentru a produce un curent diferit de zero.

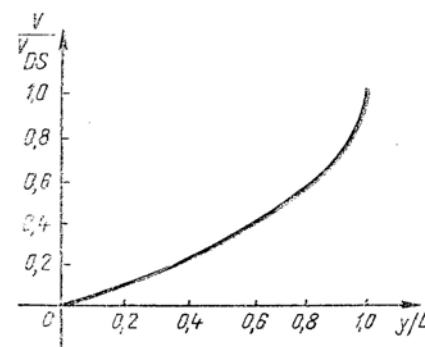


Fig. P. 9.5.1

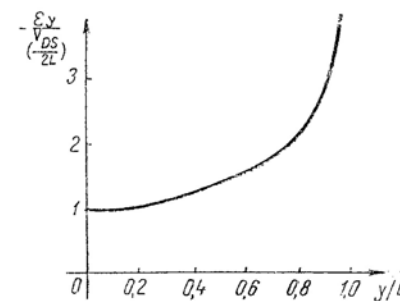


Fig. P. 9.5.2

(d) Din ecuația (9.37):

$$Q_G = \frac{h \epsilon}{W} V_{DS} \int_0^L \left( 1 - \frac{y}{L} \right)^{1/2} dy.$$

Punind  $1 - \frac{y}{L} = u$ ;  $dy = -L du$ .

$$Q_G = -\frac{h\epsilon L}{W} V_{DS} \int_1^0 u^{1/2} du = \frac{hEL}{W} V_{DS} \left[ \frac{2}{3} u^{3/2} \right]_0^1$$

$$Q_G = \frac{2h\epsilon L}{3W} V_{DS}.$$

#### REZOLVAREA PROBLEMEI P. 9.7

(a) Din ecuația (9.36) avem:

$$\mathcal{E}_y = -\frac{dV}{dy} = -\frac{V_{DS}}{2L} \left( 1 - \frac{y}{L} \right)^{-1/2}.$$

Astfel, viteza de conducție a electronilor  $U_y(u)$  este:

$$U_y = -\mu_e \mathcal{E}_y = \frac{\mu_e V_{DS}}{2L} \left( 1 - \frac{y}{L} \right)^{-1/2}.$$

(b) Timpul total de tranzit este:

$$t = \int_0^L \frac{dy}{U_y} = \frac{2L}{\mu_e V_{DS}} \int_0^L \left( 1 - \frac{y}{L} \right)^{1/2} dy.$$

Punind  $1 - \frac{y}{L} = w$ ;  $dy = -Ldw$ ,

$$t = \frac{2L^2}{\mu_e V_{DS}} \int_0^1 w^{1/2} dw = \frac{4L^2}{3\mu_e V_{DS}}$$

$$t = \frac{4L^2}{3\mu_e V_{DS}}.$$

#### REZOLVAREA PROBLEMEI P. 9.9

(a) Ecuația (9.31a) este:

$$I_D = \frac{h\mu_e \epsilon}{WL} \left[ (V_{GS} - V_P) V_{DS} - \frac{V_{DS}^2}{2} \right]$$

Cind  $V_{DS}$  este mic (comparativ cu  $V_{GS} - V_P$ ) avem

$$I_D \approx \frac{h\mu_e \epsilon}{WL} (V_{GS} - V_P) V_{DS}$$

și deci, conductanța sursă-drenă este:

$$G_G = \frac{I_D}{V_{DS}} = \frac{h\mu_e \epsilon}{WL} (V_{GS} - V_P).$$

(b) Prin definiție  $G_G = -\frac{h\mu_e \epsilon}{WL} V_P$ ; aceasta este pozitivă deoarece  $V_P$  este negativ

într-un TEC cu canal  $n$ . Ecuația curentului de drenă la saturație (9.31b) arată că:

$$I_D = -\frac{G_G}{2V_P} (V_{GS} - V_P)^2,$$

(c) Prin definiție,  $I_{DO} = -\frac{G_G V_P}{2}$  (o cantitate pozitivă).

(d) Se observă că  $V_{GS} - V_P$  este mai mic decât  $V_{DS}$ . În consecință, curentul de drenă este saturat:

$$I_D = +\frac{5 \cdot 10^{-4}}{6} (5)^2 \approx 2,1 \text{ mA};$$

$$C_{gs} = \frac{2}{3} C_0 = 6,7 \text{ pF}.$$

$$\tau_t = -\frac{Q_G}{I_D} = \frac{5 \cdot 6,7 \cdot 10^{-12}}{2,1 \cdot 10^{-3}} \approx 16 \text{ ns}.$$

#### REZOLVAREA PROBLEMEI P. 9.10

Dacă  $V_{GS} = V_{DS}$ , curentul de drenă este la marginea saturației și, deci, se poate aplica ecuația (9.26):

$$I_D = \frac{h\mu_e \epsilon}{WL} \left( \frac{V_{GS}}{2} \right)^2$$

$$\text{Deci } \frac{h\mu_e \epsilon}{WL} = \frac{2I_D}{V_{GS}^2} = \frac{8}{25} = 0,32 \frac{\text{mA}}{\text{V}^2}.$$

(a) Tranzistorul lucrează cu un curent de drenă saturat? Să presupunem că  $V_{DS} > V_{GS}$  și să verificăm dacă este așa. La saturație, când  $V_{GS} = 5$  V, curentul de drenă este:

$$I_D = 0,32 \frac{25}{2} = 4 \text{ mA.}$$

Căderea de tensiune la bornele sarcinii de  $1 \text{ k}\Omega$  este de 4 V, iar tensiunea drenă-sursă este de 16 V. Deci ipoteza făcută se verifică—tranzistorul lucrează cu un curent de drenă saturat.

(b) În zona de saturație a caracteristicii capacitatea de intrare este constantă avind valoarea  $\frac{2}{3} \cdot 5 \text{ pF} = 3,3 \text{ pF}$ . Tensiunea grilă-sursă are variații exponențiale cu constanta de timp

$$R_s C_{gs} = 10^5 \cdot 3,3 \cdot 10^{-12} = 3,3 \cdot 10^{-7} = 0,33 \text{ } \mu\text{s.}$$

Variația tensiunii  $V_{GS}$  cu timpul este prezentată în fig. P.9.10.1.

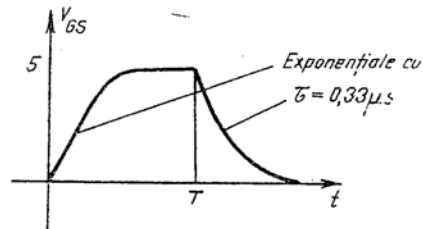


Fig. P. 9.10.1

Variația în timp a curentului  $i_D$  nu este exponențială, avînd expresia:

$$i_D(t) = 0,32 \frac{V_{GS}^2(t)}{2} = 0,16 V_{GS}^2(t).$$

Prin urmare,  $v_o(t)$  este:

$$v_o(t) = 20 - 0,16 v_{GS}^2(t) \text{ [V]}$$

și are variația reprezentată în fig. P.9.10.2.

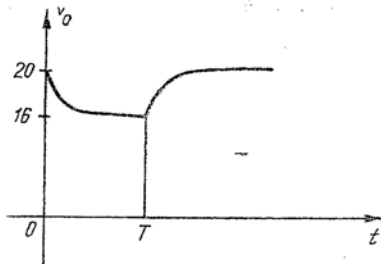


Fig. P. 9.10.2

### REZOLVAREA PROBLEMEI P. 9.11

Rezistența canalului depinde de  $V_C$  după următoarea lege [vezi ecuația (9.46)]:

$$R_D = \frac{\text{Const}}{V_C} \quad \text{pentru } V_C > 0$$

$$R_D \rightarrow \infty \quad \text{pentru } V_C < 0.$$

Ținînd seama că  $R_D = 10 \text{ k}\Omega$  pentru  $V_C = 1 \text{ V}$  avem

$$R_D = \frac{10}{V_C} \text{ k}\Omega;$$

pentru  $V_C$  exprimat în volți.

Raportul  $v_o/v_i$  este:

$$\frac{v_o}{v_i} = \frac{R_D}{R_D + R_S} = \frac{10/V_C}{10/V_C + 5} = \frac{10}{10 + 5V_C},$$

$$\frac{v_o}{v_i} = \frac{2}{2 + V_C} \quad \text{pentru } V_C \text{ în volți și } V_C > 0,$$

iar variația cu  $V_C$  este prezentată în figura 9.11.

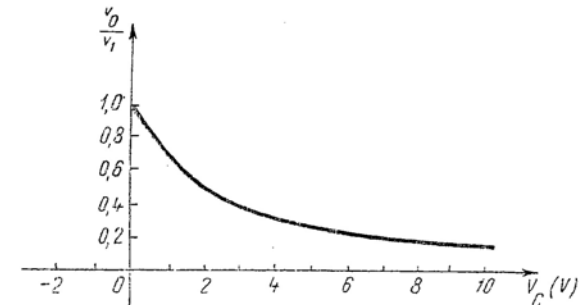


Fig. P. 9.11

### PROBLEME LA CAP. 10

#### REZOLVAREA PROBLEMEI P. 10.2

$$\begin{aligned} (a) \quad \psi_0 &= \frac{kT}{q} \ln \frac{N_A N_D}{n_i^2} = \frac{kT}{q} \ln 10^{13} = \frac{kT}{q} \cdot 13 \cdot 2,3 \\ &= 30 \frac{kT}{q} = 0,75 \text{ V.} \end{aligned}$$

$$(b) V_P = - \frac{a^2 q N_D}{2E} = - \frac{(2 \cdot 10^{-4})^2 \cdot 1,6 \cdot 10^{-19} \cdot 10^{15}}{2 \cdot 10^{-12}} = -3,2 \text{ V.}$$

$$(c) G_o = \frac{2q \mu_e n_o h a}{L} = \frac{3,2 \cdot 10^{-19} \cdot 10^3 \cdot 10^{15} \cdot 10^{-2} \cdot 2 \cdot 10^{-4}}{2 \cdot 10^{-3}} = 3,2 \cdot 10^{-4} \text{ S.}$$

#### REZOLVAREA PROBLEMEI P. 10.4

(a) Curentul de drenă maxim, ținând seama de ecuația (10.12) și de faptul că  $V_{DS} > V_{GS} - V_P$  este  $I_{DO} = -\frac{G_o V_P}{3}$ ; el este pozitiv, deoarece  $V_P$  este negativ într-un dispozitiv cu canal n.

$$(b) I_{DO} = \frac{3,2 \cdot 10^{-4} \cdot 3,2}{3} = 0,34 \text{ mA.}$$

#### PROBLEME LA CAP. 11

##### REZOLVAREA PROBLEMEI P. 11.1

Transconductanța de semnal mic  $g_m$  este definită ca:

$$g_m = \frac{\partial i_D}{\partial V_{GS}},$$

$$\text{Astfel: } g_m = \frac{h\mu_e \epsilon}{WL} V_{DS}.$$

Conductanța de drenă de semnal mic este definită de:

$$g_o = \frac{\partial i_D}{\partial V_{DS}}$$

$$\text{Astfel: } g_o = \frac{h\mu_e \epsilon}{WL} (V_{GS} - V_{DS}).$$

##### REZOLVAREA PROBLEMEI P. 11.2

$$\text{Ecuația (11.8b) este } g_m = \frac{h\mu_e}{WL} (V_{GS} - V_P).$$

Componenta statică a curentului de drenă este:

$$I_D = \frac{h\mu_e \epsilon}{WL} \frac{(V_{GS} - V_P)^2}{2}.$$

$$\text{Astfel: } g_m = 2I_D (V_{GS} - V_P)^{-1}$$

##### REZOLVAREA PROBLEMEI P. 11.5

Pentru  $\Delta v_{EB} = \Delta v_{EB} e^{j\omega t}$ , ecuațiile (11.18) și (11.24) devin:

$$\Delta i_C = \Delta I_C e^{j\omega t} \text{ și } \Delta i_B = \Delta I_B e^{j\omega t}$$

$$\Delta I_C = -g_m \Delta V_{EB}$$

$$\Delta I_B = -(g_\pi + j\omega C_b) \Delta V_{EB}.$$

Raportul variațiilor totale  $\Delta I_B / \Delta I_C$  este:

$$\frac{\Delta I_B}{\Delta I_C} = \frac{g_\pi + j\omega C_b}{g_m}.$$

Întrucât  $g_\pi = g_m / \beta_o$ , curentul de bază va fi mult mai mic decât curentul de colector ori de câte ori:

$$\omega C_b \ll g_m,$$

sau, ținând seama că  $C_b = \tau_B g_m$ , ori de câte ori

$$\omega \tau_B \ll 1.$$

##### REZOLVAREA PROBLEMEI P. 11.7

$g_m$  se calculează pe baza definiției:

$$g_m = \frac{q}{kT} |I_C| = 0,08 \text{ S.}$$

$r_\pi$  se obține utilizând ecuația (6.15 c) și valoarea lui  $g_m$  calculată anterior:

$$r_\pi = \frac{\beta_o}{g_m} = \frac{1}{g_m} \frac{\Delta I_C}{\Delta I_B} = 1,25 \cdot 10^3 \Omega.$$

Din ecuațiile (11.20b) și (11.20c) se obține (pentru o capacitate neglijabilă a stratului de sarcină spațială din emitor):

$$C_\pi = \frac{\Delta q_F}{V_{BE}} = \frac{\Delta q_F}{I_C} \cdot \frac{\Delta I_C}{\Delta V_{BE}} = g_m \frac{\Delta q_F}{I_C} = 160 \text{ pF}$$

$C_\pi$  se calculează din definiția:

$$C_\pi = \frac{\Delta Q}{\Delta V} = 30 \text{ pF.}$$

## REZOLVAREA PROBLEMEI P. 11.8

(a) Utilizând modelul static al tranzistorului din fig. 7.9, a, circuitul poate fi modelat ca în figura P. 11.8.]

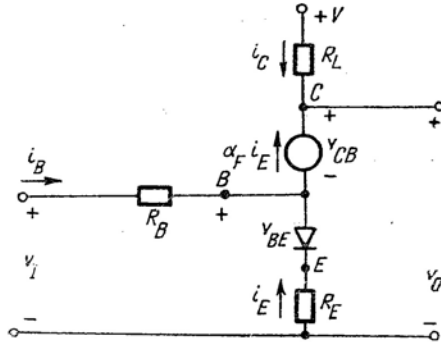


Fig. P. 11.8

Aplicând legea lui Kirchhoff pentru tensiuni se obțin două ecuații:

$$-i_E R_E + i_C R_L = V - v_{CE}; \quad (a)$$

$$-i_E R_E + i_B R_B = v_I \quad (b)$$

Legea lui Kirchhoff pentru curenți conduce la:

$$i_B = -(1 - \alpha_F) i_E \quad (c)$$

iar generatorul dependent implică:

$$i_C = -\alpha_F i_E. \quad (d)$$

Înlocuind (c) în (b) se obține:

$$-i_E = \frac{v_I}{R_E + (1 - \alpha_F) R_B}. \quad (e)$$

Deci, joncțiunea emitorului va fi direct polarizată ( $-i_E > 0$ ) ori de câte ori  $v_I$  va fi pozitiv. Introducând (d) și (e) în (a) se obține:

$$V - v_{CE} = R_E (-i_E) + \alpha_F R_L (-i_E) = \frac{R_E + \alpha_F R_L}{R_E + (1 - \alpha_F) R_B} v_I$$

$$v_{CE} = V - \frac{R_E + \alpha_F R_L}{R_E + (1 - \alpha_F) R_B} v_I.$$

Astfel, joncțiunea colectorului va fi invers polarizată ( $v_{CE} > 0$ ) ori de câte ori:

$$v_I < \frac{R_E + (1 - \alpha_F) R_B}{R_E + \alpha_F R_L} V.$$

De observat că, întrucît  $1 - \alpha_F \approx 0$ , această relație reprezintă un divizor de tensiune:

$$v_I < \frac{R_E}{R_E + R_L} V.$$

În concluzie regiunea activă este definită de

$$0 < v_I < \frac{R_E + (1 - \alpha_F) R_B}{R_E + \alpha_F R_L} V.$$

(b) Din relațiile (d) și (e) rezultă

$$i_C = -\alpha_F i_E \frac{\alpha_F v_I}{R_E + (1 - \alpha_F) R_B}.$$

Pentru tensiuni și curenți de semnal mic, această relație devine:

$$i_C = \frac{\alpha_F v_I}{R_E + (1 - \alpha_F) R_B}.$$

Întrucît  $v_o = -R_L i_C$  avem:

$$A_v = \frac{v_o}{v_i} = - \frac{\alpha_F R_L}{R_E + (1 - \alpha_F) R_B} = - \frac{\beta_F R_L}{R_B + (\beta_F + 1) R_E}.$$

(c)

$$\gamma = \frac{\frac{dA_v}{A_v}}{\frac{d\beta_F}{\beta_F}} = \frac{\beta_F}{A_v} \frac{dA_v}{d\beta_F}.$$

Astfel

$$\gamma = \frac{R_B + R_E}{R_B + (\beta_F + 1) R_E}.$$

$$(d) \quad A_v (R_E = 0) = - \frac{\beta_F R_L}{R_B} = - \frac{10^3 \cdot 10^4}{5 \cdot 10^2} = -2000$$

$$\gamma (R_E = 0) = \frac{R_B}{R_B} = 1.$$

Dacă  $\beta_F$  scade cu 20 %, atunci și  $A_v$  ( $R_E = 0$ ) va scăde. Deci,  $A_v$  ( $R_E = 0$ )  $\rightarrow 1600$ .  
(e) Din expresia lui  $\gamma$  se obține

$$R_E = \frac{1 - \gamma}{\gamma(\beta_F + 1) - 1} R_B.$$

Pentru  $\gamma = 0,1$  și  $\beta_F = 100$  vom avea

$$R'_E = \frac{0,9 R_B}{(0,1)(101) - 1} = 0,1 = 50\Omega.$$

Pentru această valoare a lui  $\gamma$ :

$$A_v \approx -180$$

$$\frac{dA_v}{A_v} = \gamma \frac{d\beta_F}{\beta_F} = 2\%.$$

#### REZOLVAREA PROBLEMEI P. 11.9

Vom scrie trei perechi de ecuații, echivalente între ele:

$$(1) I_b = (sC_b + g_\pi) V_{be}, \quad I_c = g_m V_{be};$$

$$(2) I_b = (sC_b + g_\pi) V_{be}, \quad I_c = \frac{g_m I_b}{sC_b + g_\pi};$$

$$(3) I_e = -I_b - I_c = (sC_b + g_\pi + g_m) V_{be},$$

$$I_c = -g_m V_{be} = \frac{-g_m I_e}{sC_b + g_\pi + g_m}.$$

Aceste perechi de ecuații sugerează următoarele trei modele de semnal mic.

(1) În fig. P.11.9.1 se prezintă modelul obișnuit, hibrid, în  $\pi$ .

$$(2) \beta(s) = \frac{g_m}{g_\pi + sC_b} = \frac{\beta_o}{1 + s \left( \frac{C_b}{g_\pi} \right)}.$$

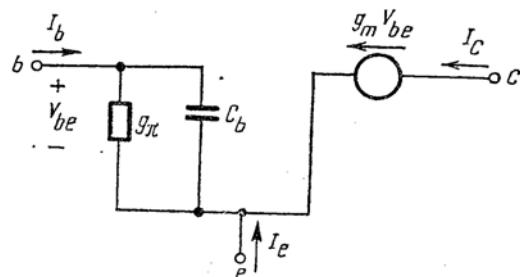


Fig. P. 11.9.1

În fig. P.11.9.2 este prezentat modelul în T cu emitorul comun, fără a ține seama de capacitățile joncțiunilor. Frecvența de întrerupere a generatorului dependent este definită ca  $\omega_\beta$ , frecvența de tăiere a lui  $\beta$ . Deci:

$$\omega_\beta = \frac{g_\pi}{C_b}.$$

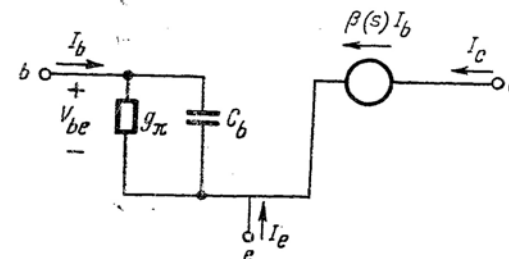


Fig. P. 11.9.2

$$(3) \alpha(s) = \frac{g_m}{g_m + g_\pi + sC_b} \approx \frac{\alpha_o}{1 + s \frac{C_b}{g_m}}.$$

În fig. P.11.9.3 este prezentată schema echivalentă în T cu baza comună (neglijând din nou capacitățile joncțiunilor). Frecvența de întrerupere a generatorului dependent este definită ca  $\omega_\alpha$ , frecvența de tăiere a lui  $\alpha$ .

Adică:

$$\omega_\alpha = \frac{C_b}{g_m + g_\pi} \approx \frac{C_b}{g_m}.$$

De notat că  $\omega_\alpha = \beta_o \omega_\beta$ .

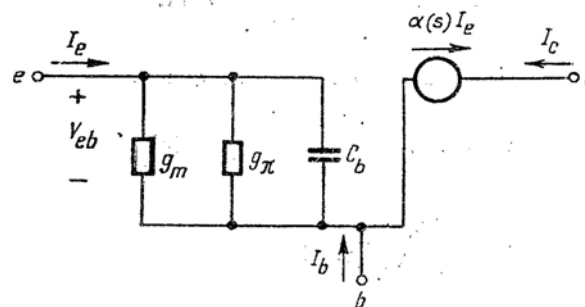


Fig. P. 11.9.3

## REZOLVAREA PROBLEMEI P. 11.10

Pentru calculul punctului static de funcționare, considerăm capacitatea ca un scurtcircuit și utilizăm schema echivalentă din fig. 7.10 reprezentată din nou în fig. P.11.10.1.

$$I_B = \frac{-V_C - V_{BE}}{R_B} = \frac{V_{BE} - V_C}{R_B}$$

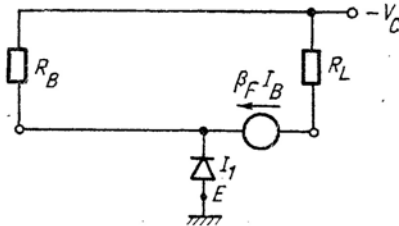


Fig. P. 11.10.1

Pentru un emitor polarizat direct, căderea de tensiune pe joncțiune va fi de câteva zecimi de volt. Rezultă deci, fără a mai efectua calculele:

$$V_{BE} \ll V_C$$

și deci că

$$I_B \approx -\frac{V_C}{R_B}$$

Din schema echivalentă

$$I_C = \beta_F I_B = -\frac{\beta_F V_C}{R_B} = 5 \text{ mA.}$$

$V_{CE}$  se calculează utilizând această expresie pentru  $I_C$  și legea lui Kirchhoff pentru tensiuni

$$V_{CE} = -V_C - I_C R_L = -V_C + \frac{\beta_F R_L V_C}{R_B}$$

$$V_{CE} = \left[ \frac{\beta_F R_L}{R_B} - 1 \right] V_C = -5 \text{ V}$$

(b) Circuitul este cel din fig. P.11.10.2.

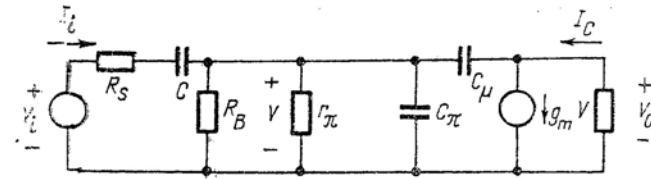


Fig. P. 11.10.2

(c) Pentru domeniul de frecvențe specificat, circuitul devine cel din fig. P.11.10.3.

$$\frac{V_i}{I_i} = R_S + (R_B || r_{\pi}) = 2,3 \text{ k}\Omega$$

$$V_o = -(g_m V) R_L = -g_m R_L \frac{R_B || r_{\pi}}{R_S + (R_B || r_{\pi})} V_i$$

$$\frac{V_o}{V_i} = \frac{-g_m R_L (R_B || r_{\pi})}{R_S + (R_B || r_{\pi})} \approx -22.$$

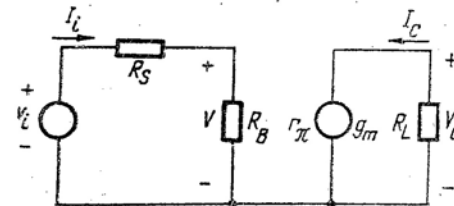


Fig. P. 11.10.3

## REZOLVAREA PROBLEMEI P. 11.11

Pentru calculul punctului static de funcționare, considerăm capacitățile ca circuite deschise și utilizăm schema echivalentă din problema 7.10. Rezultă circuitul din figura P.11.11.1.

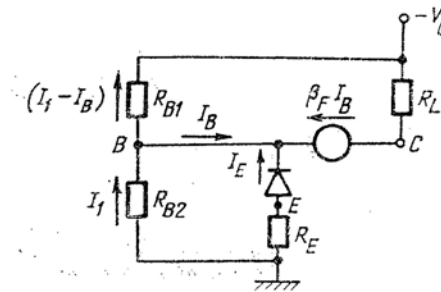


Fig. P. 11.11.1



Însumind tensiunile pe  $R_{B1}$  și  $R_{B2}$ , obținem :

$$R_{B2} I_1 + R_{B1} (I_1 - I_B) = V_C.$$

Deci,

$$I_1 = \frac{V_C + R_{B1} I_B}{R_{B1} + R_{B2}}$$

și

$$V_B = -R_{B2} I_1 = -\frac{R_{B2} (V_C + R_{B1} I_B)}{R_{B1} + R_{B2}}.$$

O a doua expresie pentru  $V_B$  se obține însumind tensiunile în circuitul emitorului.

$$\begin{aligned} V_B &= -I_E R_E + V_{BE} = \\ &= R_E (I_B + \beta_F I_B) + V_{BE} = \\ &= (1 + \beta_F) R_E I_B + V_{BE}. \end{aligned}$$

Egalind cele două expresii ale lui  $V_B$  și rezolvind pentru  $I_B$ , se obține :

$$I_B = -\frac{R_{B2} V_C - (R_{B1} + R_{B2}) V_{BE}}{R_E (R_{B1} + R_{B2}) (1 + \beta_F) + R_{B1} R_{B2}}.$$

(Observație : Pentru  $R_{B2} \rightarrow \infty$  și  $R_E = 0$ , această expresie a lui  $I_B$  se reduce la expresia, corespunzătoare din problema P. 11.10). Întrucât  $I_B = -I_E / \beta_F + 1$ , avem :

$$I_E = \frac{R_{B2} V_C - (R_{B1} + R_{B2}) V_{BE}}{R_E (R_{B1} + R_{B2}) + \frac{R_{B1} R_{B2}}{(\beta_F + 1)}}.$$

Reprezentând grafic această expresie în planul  $I_E - V_{BE}$  al caracteristicilor tranzistorului am putea afla valoarea lui  $V_{BE}$ , așa cum rezultă din fig. P.11.11.2.

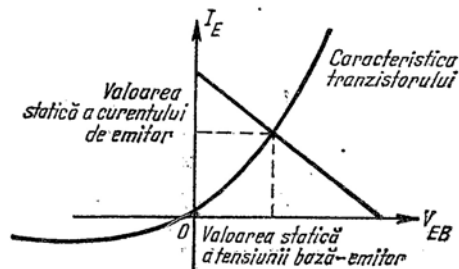


Fig. P. 11.11.2

În condiții normale de funcționare,

$$|V_{BE}| \ll \frac{R_{B2}}{R_{B1} + R_{B2}} V_C$$

așa încât analiza grafică nu e practic necesară. Deci :

$$I_B \approx -\frac{R_{B2} V_C}{R_E (R_{B1} + R_{B2}) (1 + \beta_F) + R_{B1} R_{B2}};$$

$$I_C = \beta_F I_B = -\frac{\beta_F R_{B2} V_C}{R_E (R_{B1} + R_{B2}) (1 + \beta_F) + R_{B1} R_{B2}};$$

$$V_{CE} = -V_C - I_C R_L;$$

$$V_{CE} = \left[ \frac{\beta_F R_{B2} R_L}{R_E (R_{B1} + R_{B2}) (1 + \beta_F)} - 1 \right] V_C.$$

Desigur, acest calcul ar fi fost mult mai simplu, dacă am fi presupus de la început (așa cum se sugerează în enunțul problemei) că :

$$|I_B| \ll I_1 \text{ și } |V_{BE}| \ll |V_B|$$

(b) Circuitul se prezintă în fig. P.11.11.3.

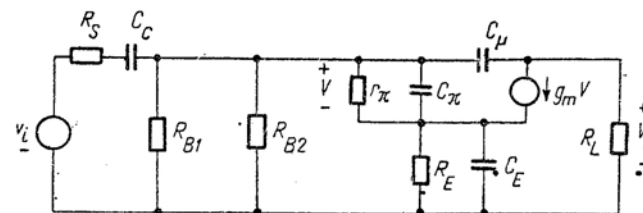


Fig. P. 11.11.3

(c) Vom începe cu rezolvarea punctului (2) deoarece rezultatele de la punctul (1) se obțin din acestea, punând condiția  $R_E = 0$ .

2)

$C_\mu$ ,  $C_\pi$ , și  $C_E$  sînt circuite deschise,

$C_C$  este un scurtcircuit.

Schema echivalentă a circuitului este cea din fig. P. 11.11.4 unde s-a definit  $R_B = R_{B1} || R_{B2}$ . Curentul total prin  $R_E$  este

$$I_\pi + g_m V = I_\pi (1 + g_m r_\pi).$$

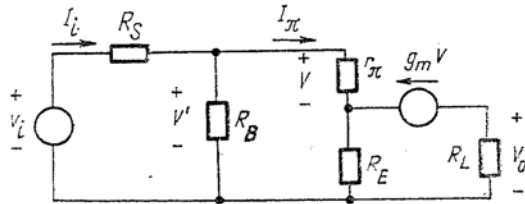


Fig. P. 11.11.4

Deci,

$$V' = [r_\pi + R_B (1 + g_m r_\pi)] I_\pi;$$

$$\frac{V'}{I_\pi} = r_\pi + R_B (1 + g_m r_\pi).$$

Prin urmare, rezistența efectivă a porțiunii de circuit străbătută de  $I_\pi$  este:

$$R_{ef} = r_\pi + R_B (1 + g_m r_\pi).$$

Circuitul echivalent de intrare este dat în fig. P. 11.11.5. Găsim prin urmare că:

$$R_{in} = \frac{V_i}{I_i} = R_S + R_B || R_{ef}.$$

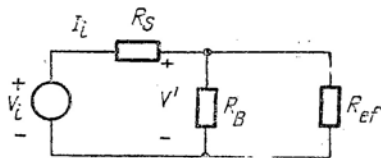


Fig. P. 11.11.5

Vom calcula acum pe  $V_o/V_i$ , utilizând relațiile:

$$V' = \left(1 - \frac{R_S}{R_{in}}\right) V_i \quad \text{și} \quad I = \frac{V'}{R_{ef}} = \frac{1 - \frac{R_S}{R_{in}}}{R_{ef}} V_i$$

Înlocuind acestea în:

$$V_o = -I_o R_L = -g_m R_L V = -g_m R_L r_\pi I_\pi,$$

obținem

$$V_o = -g_m R_L r_\pi \frac{\left(1 - \frac{R_S}{R_{in}}\right) V_i}{R_{ef}}.$$

Prin urmare,

$$\frac{V_o}{V_i} = \text{cîștig} = - \frac{g_m R_L r_\pi \left(1 - \frac{R_S}{R_{in}}\right)}{R_{ef}}.$$

Înlocuim acum parametrii dați:

$$R_{in} = 2,5 \text{ k}\Omega.$$

Deci

$$\frac{V_o}{V_i} = -0,485.$$

Punctul (1) se rezolvă ca și punctul (2), înlocuind  $R_E = 0$ .

$$R_{in} = 2,2 \text{ k}\Omega$$

$$\frac{V_o}{V_i} = -20.$$

Evident, capacitatea de decuplare a emitorului s-a introdus pentru a mări cîștigul față de cazul în care  $R_E$  ar fi fost nedecuplat.

## REZOLVAREA PROBLEMEI P. 11.12

(a) Circuitul este cel din fig. P.11.12.

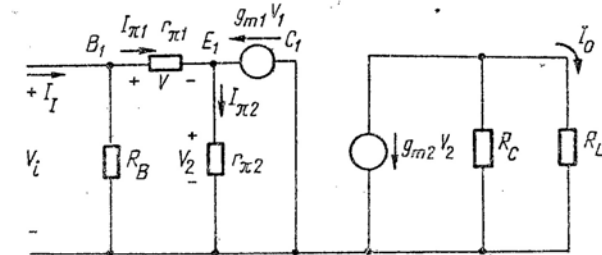


Fig. P. 11.12

(b) Îl vom calcula întâi pe  $R_i$ , deoarece astfel vom obține expresii utile pentru calculul lui  $G$ .

$$V_1 = r_{\pi 1} I_{\pi 1};$$

$$\begin{aligned} V_2 &= r_{\pi 2} I_{\pi 2} = r_{\pi 2} (I_{\pi 1} + g_{m1} V_1) = \\ &= r_{\pi 2} (1 + g_{m1} r_{\pi 1}) I_{\pi 1}; \end{aligned}$$

$$V_i = V_1 + V_2 = \{r_{\pi 1} + r_{\pi 2} (1 + g_{m1} r_{\pi 1})\} I_{\pi 1}.$$

Rezistența efectivă pe care o străbate curentul  $I_{\pi 1}$  este

$$R_{ef} = \frac{V_i}{I_{\pi 1}} = r_{\pi 1} + r_{\pi 2} (1 + g_{m1} r_{\pi 1}).$$

Rezistența de intrare  $R_i$  este dată de rezistențele  $R_B$  și  $R_{ef}$  montate în paralel:

$$R_i = R_B || R_{ef};$$

$$R_i = R_B || \{r_{\pi 1} + r_{\pi 2} (1 + g_{m1} r_{\pi 1})\}.$$

Pentru a calcula pe  $G$ , este necesar să exprimăm pe  $V_2$  în funcție de  $V_i$ . Din rezultatele precedente obținem

$$\begin{aligned} V_2 &= r_{\pi 2} (1 + g_{m1} r_{\pi 1}) I_{\pi 1} = \\ &= r_{\pi 2} (1 + g_{m1} r_{\pi 1}) \frac{V_i}{r_{\pi 1} + r_{\pi 2} (1 + g_{m1} r_{\pi 1})} = \\ &= \frac{r_{\pi 2} (1 + g_{m1} r_{\pi 1})}{r_{\pi 1} + r_{\pi 2} (1 + g_{m1} r_{\pi 1})} V_i. \end{aligned}$$

Înlocuind aceasta în:

$$I_o = - \frac{g_{m2} V_2 (R_C || R_L)}{R_L},$$

obținem

$$G = \frac{I_o}{V_i} = - \frac{g_{m2} r_{\pi 2} (R_C || R_L) (1 + g_{m1} r_{\pi 1})}{R_L \{r_{\pi 1} + r_{\pi 2} (1 + g_{m1} r_{\pi 1})\}}$$

sau, utilizând  $g_{m1} r_{\pi 1} = \beta_{01}$ ,  $g_{m2} r_{\pi 2} = \beta_{02}$ , avem:

$$G = - \frac{(\beta_{01} + 1) \beta_{02} R_C || R_L}{R_L \{r_{\pi 1} + r_{\pi 2} (1 + \beta_{01})\}}.$$

### REZOLVAREA PROBLEMEI P. 11.13

(a) Circuitul este cel din fig. P. 11.13.1.

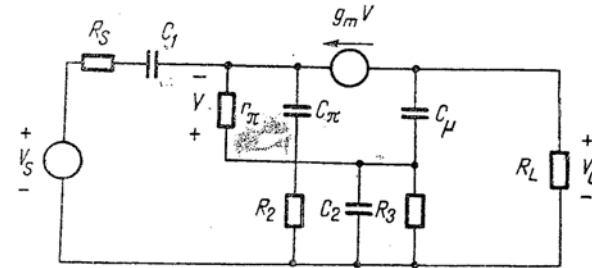


Fig. P. 11.13.1

(b) În mijlocul benzii  $C_1$  și  $C_2$  sînt scurtcircuitate, iar  $C_{\pi}$  și  $C_{\mu}$  sînt circuite deschise (fig. P.11.13.2).

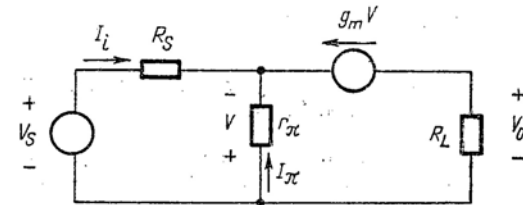


Fig. P. 11.13.2

$$(c) V = r_{\pi} I_{\pi} \quad \text{și} \quad I_{\pi} = -g_m V - I_i.$$

Deci:

$$V = - \frac{r_{\pi} I_i}{1 + g_m r_{\pi}} = - \frac{r_{\pi} I_i}{1 + \beta_0}.$$

Atunci:

$$V_S = R_S I_i - V = - \frac{R_S}{r_{\pi}} V (1 + \beta_0) - V = - \left\{ 1 + \frac{R_S}{r_{\pi}} (1 + \beta_0) \right\} V.$$

Rezolvînd în funcție de  $V$  și înlocuind în

$$V_o = -\epsilon_m V R_L,$$

obținem

$$V_o = -g_m V = -g_m R_L \left\{ \frac{-V_s}{1 + \frac{R_s}{r_\pi} (1 + \beta_o)} \right\},$$

sau

$$\frac{V_o}{V_s} = \frac{g_m R_L}{1 + \frac{R_s}{r_\pi} (1 + \beta_o)}.$$

#### REZOLVAREA PROBLEMEI P. 11.14

Circuitul echivalent la semnal mic al circuitului complet este ilustrat mai jos :

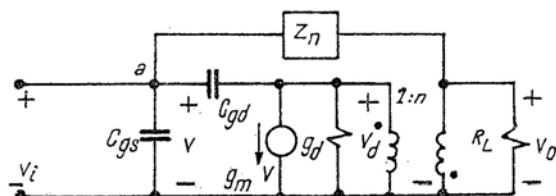


Fig. P. 11.14

Deoarece  $v_o = -nv_d$ , curentul care intră în nodul  $a$  datorită impedanței  $Z_n$  are expresia  $(-nv_d - v_i)/Z_n$ . Curentul care intră în nodul  $a$  și trece prin condensatorul  $C_{gd}$  este :  $(v_i - v_o)/sC_{gd}$ . Dacă alegem  $Z_n = \frac{n}{sC_{gd}}$ , adică dacă  $Z_n$  este compusă dintr-o capacitate de valoare  $C_{gd}/n$ , curentul total datorat lui  $Z_n$  și  $C_{gd}$  este :

$$V_i s \left( \frac{C_{gd}}{n} + C_{gd} \right).$$

Deci, în aceste condiții dispăre reacția datorită lui  $C_{gd}$ , iar încărcarea aparentă de la intrare datorită lui  $C_{gd}$  și  $Z_n$  este de natura unei capacități de valoare  $C_{gd} \left( 1 + \frac{1}{n} \right)$ . Valoarea dorită a lui  $Z_n$  este :

$$Z_n = \frac{n}{s C_{gd}}.$$

#### PROBLEME LA CAP. 12

##### REZOLVAREA PROBLEMEI P. 12.1

Parametrul  $z_i$  este definit ca :

$$z_i = \frac{V_i}{I_i}, \text{ cu } I_o = 0. \quad (1)$$

Pentru a exprima  $z_i$  în funcție de parametrii  $y$ , se face  $I_o$  egal cu zero în ecuația (12.1) și se explicitază  $V_i/I_i$  :

$$I_i = y_i V_i + y_r V_o; \quad (2)$$

$$0 = y_f V_i + y_o V_o. \quad (3)$$

Înlocuind pe  $V_o$  din ecuația (2) în ecuația (3) se obține :

$$I_i = y_i V_i + y_r \left( -\frac{y_f V_i}{y_o} \right). \quad (4)$$

Deci s-a obținut relația (12.35).

##### REZOLVAREA PROBLEMEI P. 12.3

În loc să alegem tensiunile (sau curenții) drept variabile independente pentru descrierea sub formă de cuadripol a circuitului, așa cum s-a procedat în § 12.1, vom alege o combinație liniară a acestora. Variabilele independente vor fi deci de forma :

$$a_1 = \frac{1}{2\sqrt{Z_o}} (v_1 + Z_o i_1), \quad (1)$$

$$a_2 = \frac{1}{2\sqrt{Z_o}} (v_2 + Z_o i_2), \quad (2)$$

ar variabilele dependente sint de forma :

$$b_1 = \frac{1}{2\sqrt{Z_o}} (v_1 - Z_o i_1) \quad (3)$$

$$b_2 = \frac{1}{2\sqrt{Z_o}} (v_2 - Z_o i_2), \quad (4)$$

unde  $Z_o$  are de obicei valoarea  $50 \Omega$ , pentru a se potrivi caracteristicii impedanței aparatului de măsurat. Ecuațiile cu parametrii  $S$  sînt:

$$b_1 = S_{11} a_1 + S_{12} a_2 \quad (5)$$

$$b_2 = S_{21} a_1 + S_{22} a_2. \quad (6)$$

Exprimat în termenii măsurărilor asupra liniilor de transmisiune,  $a_1$  și  $a_2$  sînt proporționali cu unda de tensiune incidentă în cuadripol, în timp ce  $b_1$  și  $b_2$  sînt proporționali cu unda de tensiune reflectată (v. figura P.12.3).

Relațiile (5) și (6) pot fi scrise în funcție de tensiuni și curenți, substituind variabilele  $a$  și  $b$  din relațiile (1), (2), (3) și (4) în relațiile (5) și (6):

$$v_1 - Z_o i_1 = S_{11} (v_1 + Z_o i_1) + S_{12} (v_2 + Z_o i_2) \quad (7)$$

$$v_2 - Z_o i_2 = S_{21} (v_1 + Z_o i_1) + S_{22} (v_2 + Z_o i_2). \quad (8)$$

Pentru a determina relația dintre parametrii  $S$  și  $y$  se observă, de exemplu, că  $y_{11}$  este definit în condiția  $V_2 = 0$ . Deci, făcînd  $V_2 = 0$  în relația (7) și (8), și exprimînd raportul  $I_1/V_1$  se obține:

$$y_{11} = \frac{1}{Z_o} \frac{(1 - S_{11})(1 + S_{22}) + S_{12} S_{21}}{(1 + S_{11})(1 + S_{22}) - S_{12} S_{21}}. \quad (9)$$

Prin calcule similare se obține  $y_{22}$ ,  $y_{12}$  și  $y_{21}$ .

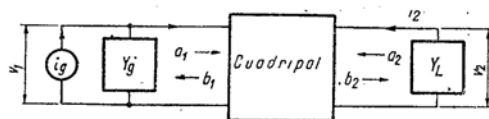


Fig. P. 12.3

#### REZOLVAREA PROBLEMEI P. 12.4

Parametrul  $y_{ie}$  este admitanța de intrare a cuadripolului, măsurată cu ieșirea în scurt-circuit. Scurtcircuitînd ieșirea circuitului echivalent din fig. 12.5, se obține direct:

$$y_{ie} = g_x \text{ în serie cu } g_\pi + s(C_\pi + C_\mu) \quad (1)$$

$$= \frac{g_x (g_\pi + s C_\pi + s C_\mu)}{g_x + g_\pi + s C_\pi + s C_\mu}. \quad (2)$$

Din ecuația (12.14)  $\omega_\beta$  este frecvența la care

$$g_\pi = \omega (C_\pi + C_\mu). \quad (3)$$

Deci pentru frecvențe mult mai mari decît  $\omega_\beta$ ,

$$g_\pi \ll \omega (C_\pi + C_\mu) \quad (4)$$

și relația (2) se simplifică la forma relației (12.22).

#### REZOLVAREA PROBLEMEI P. 12.6

Pentru a determina  $y_{ie}$  din fig. 12.18, se scurtcircuitază terminalele de ieșire (ca la problema 12.4). Răspunsul este același ca al problemei 12.4 excepție făcînd adăugarea lui  $s(C_{be} + C_{bc})$ . Deci:

$$y_{ie} = \frac{g_x (g_\pi + s C_\mu + s C_\pi)}{g_x + g_\pi + s C_\pi + s C_\mu} + s (C_{be} + C_{bc}). \quad (5)$$

Frecvența de tăiere  $\omega_b$  este definită ca:

$$\omega_b = \frac{g_c + g_\pi}{C_\pi + C_\mu} = \frac{g_x}{C_\pi + C_\mu}.$$

La frecvența mai mari decît  $\omega_b$ ,  $g_\pi$  și  $g_x + g_\pi$  sînt mult mai mici decît  $s(C_\pi + C_\mu)$ , deci relația (1) se simplifică la:

$$y_{ie} = g_x + s (C_{be} + C_{bc}).$$

Deci pentru frecvențe mai mari decît  $\omega_b$ ,

$$\operatorname{Re} [y_{ie}] = g_x.$$

Calculul parametrilor  $h$  este similar.

#### REZOLVAREA PROBLEMEI P. 12.10

Din fig. 12.15 la 5 V,  $C_{ob} = C_\mu = 2,4$  pF. Aceasta este substanțial mai mică decît valoarea de 3,16 pF determinată prin interpolarea datelor tabelate în text pentru 10 V. Ele diferă datorită următoarelor două motive:

1. Chiar la 10 V cele două valori tabelate pentru  $C_{ob}$  nu sînt în concordanță.

Tabelul dă 2,5 pF, iar graficul 2,1 pF. Tranzistorul „tipic” din tabelă nu este în mod necesar același cu cel folosit în grafic, și de fapt poate fi o medie a multor citiri.

2. Puterea 1/3 pentru  $C_f$  se aplică joncțiunilor gradate liniar, iar dispozitivele difuzate nu au o asemenea gradație, așa cum am văzut în capitolul 5.

#### REZOLVAREA PROBLEMEI P. 12.14

Se știe din fig. 12.14 că  $f_T$  măsurat pentru tranzistorul 2N1613 la  $I_c = 20$  mA și  $V_{CE} = 30$  V este aproximativ  $4 \times 20 = 80$  MHz. Deci admitanța de intrare introductivă (unde  $b_{ie}$  este negativ) apare la frecvențe apropiate și mai mari decît  $f_T$ .

Deoarece  $\omega_T > \omega_b > \omega_\beta$ , cunoaștem din relația (12.22) că  $y_{ie}$  pentru modul simplu în II, este apropiat de valoarea lui  $g_x$ . Totuși această presupunere nu este valabilă datorită faptului că modelul nu este corect atît de aproape de  $\omega_T$ , datorită limitărilor impuse în determinarea modelului (v. capitolul 11) și deoarece capacitatea extrinsecă între terminale este importantă în acest domeniu de frecvență.

#### PROBLEME LA CAP. 13.

##### REZOLVAREA PROBLEMEI P. 13.1

$$\beta = \frac{I_C}{I_B}$$

$$g_m = \frac{q I_C}{k T}$$

$$r_\pi = \frac{\beta_0}{g_m} \approx \frac{\frac{I_C}{I_B}}{\frac{q I_C}{k T}} = \frac{k T}{q I_B}$$

##### Subiecte suplimentare la capitolul 13

Circuitul de polarizare ilustrat în fig. 13.1 este folosit în mod frecvent în circuite integrate, deoarece pentru circuitele integrate este ușor să se asigure parametrii împerecheați și deoarece ele au aproximativ aceeași temperatură. Tranzistorul  $T_1$  este conectat ca o diodă iar cele 2 joncțiuni emitor-bază sînt în paralel, deci:

$$V_{BE1} = V_{BE2}$$

Dacă se presupune că al doilea tranzistor nu îl încarcă pe primul, adică  $I_{B2} \ll I$ , atunci:

$$I = I_{ES} (e^{-qV_{EB}/kT} - 1).$$

$$I_C = \beta_F I_{ES} (e^{-qV_{EB}/kT} - 1) - I_{CS}.$$

Dacă se neglijează  $I_{CS}$ , atunci  $I_C$  este egal cu  $I$ , independent de variațiile de temperatură, deoarece  $\beta_F$  este aproape independent de variațiile de temperatură. Alegînd  $R_{L1} = 2 R_{L2}$  ne asigurăm că  $T_2$  este polarizat astfel încît punctul static de funcționare se află la mijlocul dreptei de sarcină.

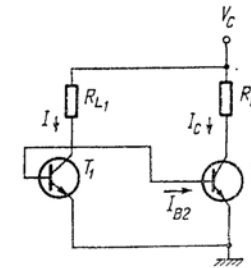


Fig. P. 13.1

##### REZOLVAREA PROBLEMEI P. 13.2

Pentru aceste circuite de polarizare cu un singur etaj  $I_C$  crește cu temperatura, iar  $\beta_F$  crește cu temperatura (fig. 12.12); tabelul următor rezumă cerințele impuse de proiectare:

	$\beta_F$	$I_C$	$V_D$
$t_1 = 25^\circ\text{C}$	100	10 mA	0,6 V
$t_2 = 150^\circ\text{C}$	200	10,5 mA	0,35 V

Substituind aceste valori în ecuația (13.21) se găsește:

$$R_b = \frac{0,35 - 0,6 + (10,5 - 10,0) R_e}{10/100 - 10,5/200} = -5,25 + 10,5 R_e.$$

Valoarea minimă a lui  $R_e$  este 0,5 k $\Omega$  pentru ca  $R_b$  să fie pozitivă. O valoare de 1 k $\Omega$  pentru  $R_e$  va duce la  $R_b = 5,25$  k $\Omega$ , o valoare care nu va șunta apreciabil intrarea tranzistorului. În mod corect, pentru  $I_C = 10$  mA,  $r_\pi = 100/400 = 0,25$  k $\Omega$ , deci aproape 95 % din curentul de semnal de la intrare va intra în bază și numai 5 % se va pierde în  $R_b$ .

## REZOLVAREA PROBLEMEI P. 13.3

Pentru a obține un semnal vîrf la vîrf de 6 V pe rezistența  $R_L = 1 \text{ k}\Omega$ , este necesar ca

$$I_C(\min) = 3/1 = 3 \text{ mA.}$$

Pentru a preîntîmpina saturația, trebuie să ne asigurăm că, la temperaturi înalte, tensiunea  $V_{CE}$  este minimum 0,5 V.  
Deci:

$$I_C(\max) = \frac{V_C - V_o - 0,5}{R_L + R_e} = \frac{10,5 - 3 - 0,5}{1 + R_e} = \frac{7}{1 + R_e}.$$

Valoarea maximă admisă pentru  $R_e$  este:

$$R_e(\max) = \frac{7}{3} - 1 = 1,33 \text{ k}\Omega.$$

Încercînd  $R_e = 0,7 \text{ k}\Omega$  se obține:

$$I_C(\max) = \frac{7}{1,7} = 4,1 \text{ mA.}$$

Acum, din relația (13.21), folosind valorile tranzistorului din problema 13.2 se obține:

$$R_b = \frac{0,35 - 0,6 + (4,1 - 3) 0,7}{3/100 - 4,1/200} = 56 \text{ k}\Omega.$$

Pentru a determina valorile rezistențelor de polarizare din fig. 13.12, a se găsește, din relația (13.15), neglijînd  $\beta$ :

$$E_B = \frac{3}{100} (56 + 101 \times 0,7) + 0,6 = 4,5 \text{ V.}$$

Apoi, din relațiile (13.16) și (13.17):

$$R_1 = \frac{10,5}{4,5} \times 56 \approx 130 \text{ k}\Omega.$$

$$R_2 = \frac{130 \times 56}{130 - 56} \approx 100 \text{ k}\Omega.$$

## REZOLVAREA PROBLEMEI P. 13.4

Această problemă poate fi rezolvată fie pe calculator fie dînd fiecărui student o valoare diferită pentru  $R_e$  și apoi se reprezintă grafic rezultatele pentru întreaga grupă. Iată o soluție obținută pe calculator (unitățile sînt kilohmi).

$R_e$	$R_b$
0	50
0,05	20
0,1	-47,5
0,15	-490
0,2	380
0,3	151
0,4	110
0,5	87,5
0,6	70,8
0,7	56
0,8	43,7
0,9	31,6
1	20

Se observă că pentru această proiectare  $R_b$  tinde către infinit pentru  $R_e$  egal cu aproximativ  $170 \text{ }\Omega$ .

De asemenea se observă că circuitul poate fi stabilizat pentru  $R_e = 0$ . Între  $R_e = 0$  și  $R_e = 170 \text{ }\Omega$ , curba lui  $R_b$  în funcție de  $R_e$  reprezintă o limită inferioară în sensul că orice valoare a lui  $R_b$  mai mare decît cea tabelată va determina valori ale curentului maxim  $I_C$  mai mici decît valoarea maximă obținută cu valoarea tabelată. De exemplu, pentru  $R_e = 0$ ,  $R_b = 50 \text{ k}\Omega$  va determina la  $t = 150^\circ\text{C}$  o valoare  $I_C = 7 \text{ mA}$ , în timp ce valoarea  $R_b = 60 \text{ k}\Omega$  permite o creștere a lui  $I_C$  la numai  $6,8 \text{ mA}$ .

Pentru  $R_e$  între  $0,17 \text{ k}\Omega$  și  $1,1 \text{ k}\Omega$ , valorile tabelate reprezintă limite superioare în sensul că orice valoare a lui  $R_b$  mai mică decît cea tabelată va fi acceptabilă; pentru astfel de valori,  $I_b$  va crește la o valoare mai mică decît  $I_C(\max)$ .

Observăm că alegînd  $R_e = 0,2 \text{ k}\Omega$ ,  $R_b = 380 \text{ k}\Omega$  și din relația (13.15) rezultă o valoare a lui  $E_B$  mai mare decît tensiunea de alimentare  $E_C$ , deci o valoare negativă a lui  $R_2$ . Din discuția precedentă, rezultă că reducînd  $R_b$  să zicem la valoarea  $150 \text{ k}\Omega$ , se îmbunătățește stabilitatea și se obțin valori pozitive pentru  $R_1$  și  $R_2$ .

## REZOLVAREA PROBLEMEI P. 13.6

$$\text{La } I_C = -4 \text{ mA,}$$

$$g_m = \frac{4}{25} = 0,16 \text{ S}$$

$$r_\pi = \frac{\beta_o}{g_m} = \frac{100}{0,16} = 625 \text{ }\Omega.$$



Datorită faptului că valoarea calculată a lui  $R_b$  era 10 k $\Omega$ , fracțiunea din curentul de intrare pierdută în  $R_b$  este:

$$\frac{0,625}{10 + 0,625} = 0,059 \text{ sau } 5,9\%.$$

#### REZOLVAREA PROBLEMEI P. 13.9

Pentru a asigura un mod de operare fără distorsiuni este necesar ca:

1. Să existe o cădere de tensiune suficient de mare pe  $R_L$ , pentru a accepta o amplitudine de 1,5 V. Deci:

$$I_{C(\min)} = \frac{V_o}{R_L}.$$

2. Să existe o cădere de tensiune suficient de mare pe tranzistor pentru a accepta amplitudinea de 1,5 V. Se cere  $v_{CE(\min)} = 0,5$  V, deci punctul static de funcționare va fi la:

$$V_{CE(\min)} = 0,5 + V_o.$$

Pentru bucla colector-emitor din fig. 13.19:

$$V_C = V_{CE} + I_C(R_L + R_e) = 0,5 + V_o + I_C(R_L + R_e)$$

$$I_{C(\max)} = \frac{V_C - 0,5 - V_o}{R_L + R_e}.$$

Deoarece aceste două ecuații sînt exact aceleași, ca în discuția despre emitorul comun iar relația (13.21) folosește numai mărimi de curent continuu, care sînt exact aceleași pentru fig. 13.19 și 13.21, a soluția este în continuare identică cu aceea din § 13.5.4. Un răspuns satisfăcător este  $R_e = 0,15$  k $\Omega$  și  $R_b = 3,2$  k $\Omega$ .

#### REZOLVAREA PROBLEMEI P. 13.10

Este necesară o cădere de tensiune suficient de mare pe  $R_e$  pentru a accepta amplitudinea semnalului de ieșire. Din

$$I_C(\min) = \frac{V_p}{R_e} = \frac{2}{0,1} = 20 \text{ mA}.$$

De asemenea, este necesară o cădere de tensiune suficientă între colectorul și emitorul tranzistorului ( $V_{CE}$ ) pentru a accepta amplitudinea impusă, fără a se produce saturația.

Deci:

$$V_{CE(\min)} = 0,5 + V_p.$$

$$I_{C(\max)} = \frac{V_C - 0,5 - V_p}{R_e} = \frac{6 - 0,5 - 2}{0,1} = 35 \text{ mA}.$$

Se observă că aici nu este necesară o soluție iterativă. Aplicînd relația (13.21) și parametrii tranzistorului din problema 13.9 obținem:

$$R_b = \frac{0,4 - 0,6 + (35 - 20) 0,1}{\frac{20}{75} - \frac{35}{130}} = \text{foarte mare}$$

Deci orice valoare a lui  $R_b$  va realiza stabilizarea dorită. Așadar, vom alege rezistențele de polarizare ale circuitului de bază folosind relațiile (13.15), (13.16), și (13.17), presupunînd pentru  $R_b$  o asemenea valoare încît  $E_B$  să fie mai mic decît  $E_C$ .

#### Probleme suplimentare pentru capitolul 13

Se pot imagina multe probleme suplimentare prin simpla modificare a specificațiilor referitoare la problema polarizării dată în text. De exemplu, se pot obține rezultate interesante atunci cînd problemele P 13.3 și P 13.4 sînt, rezolvate pentru alte valori ale tensiunii de polarizare. Încercați  $V_C = 8$  V (nu are soluție), 9 V, 9,5 V, 10 V și 11 V.

#### PROBLEME LA CAP. 14

##### REZOLVAREA PROBLEMEI P. 14.1

Înălțimea  $E_p$  a saltului, în forma de undă scăzătoare din figură, este aceeași ca înălțimea saltului forme de undă pătratică originală (presupunînd pentru simplificare că etajul are amplificarea unitară).

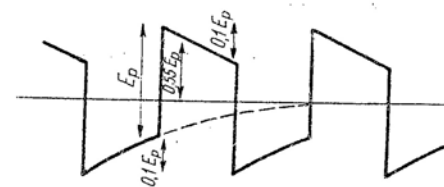


Fig. P. 14.1

Cunoaștem, de asemenea, că forma de undă scăzătoare nu trebuie să aibă componentă continuă. Deci virful forme de undă va fi 0,55  $E_p$ , după cum putem vedea din geometria figurii. Ecuația palierelor este:

$$e(t) = 0,55 E_p e^{-t/\tau}.$$

Pentru o cădere mică, se pot folosi numai primii doi termeni ai dezvoltării în serie :

$$e(t) \approx 0,55 E_p \left( 1 - \frac{t}{\tau} \right).$$

Deci căderea este :

$$0,1 E_p = 0,55 E_p \frac{t}{\tau}.$$

$$\text{Deci } \tau = \frac{0,55}{0,1} \times \frac{T}{2}, \text{ deoarece } t = \frac{T}{2}.$$

Pentru circuitul acesta :

$$\tau = (R_b + R_s) C_C, \text{ deci}$$

$$C_C = \frac{5,5 T}{2 (R_b + R_s)}.$$

Pentru exemplul numeric din § 14.1.4.,  $R_b = 500 \text{ k}\Omega$ ,  $R_s = 50 \text{ k}\Omega$ ,  $f = 50 \text{ Hz}$ ; folosind drept unități : kiloohm, microfarad și milisecundă avem :

$$C_C = \frac{5,5}{2 \times 550 \times 0,050} = 0,1 \text{ } \mu\text{F}.$$

Această valoare este de aproximativ 20 de ori mai mare decât aceea calculată în text pentru forma de undă sinusoidală. Acest fapt se explică prin aceea că cele 10 procente cădere în unda pătratică sînt mult mai restrictive decât cele 30 procente atenuare a unei sinusoidale. Căderea de 10% apare primordial din defazarea componentei fundamentale.

#### REZOLVAREA PROBLEMEI P. 14.2

O analiză simplă în trei trepte a fig. 14.6 realizează funcția de transfer căutată. Notăm cu  $V_r$  potențialul nodului  $C_e$ ,  $R_b$  și  $r_\pi$ . Atunci :

$$\frac{V_r}{V_i} = \frac{R_b || (r_\pi + r_\pi)}{R_b || (r_\pi + r_\pi) + R_s + 1/sC_e}$$

$$\frac{V}{V_r} = \frac{r_\pi}{r_\pi + r_\pi}$$

$$\frac{V_o}{V} = -g_m R_L.$$

Așadar :

$$\frac{V_o}{V_i} = \left( \frac{-g_m r_\pi R_L}{R_b || (r_\pi + r_\pi) + R_s + 1/sC_e} \right) \frac{R_b || (r_\pi + r_\pi)}{r_\pi + r_\pi}. \quad (1)$$

Din analiza numitorului se constată că polul acestei expresii este dat de relația (14.9). La frecvențe medii termenul  $1/sC_e$  devine foarte mic; deci

$$A_o = \frac{V_o}{V_i} = \frac{-g_m r_\pi R_L \frac{R_b (r_\pi + r_\pi)}{R_b + r_\pi + r_\pi}}{\left[ \frac{R_b (r_\pi + r_\pi)}{R_b + r_\pi + r_\pi} + R_s \right] (r_\pi + r_\pi)}.$$

Aceasta poate fi simplificată la relația (14.11) multiplicând numărătorul și numitorul prin  $R_b + r_\pi + r_\pi$ .

#### REZOLVAREA PROBLEMEI P. 14.4

Amplificarea la frecvențe joase este dată de relația (14.21) :

$$\frac{A_o}{A_o (\text{joasă frecv.})} = \frac{R_e}{R_T} = \frac{s_d}{s_c}.$$

#### REZOLVAREA PROBLEMEI P. 14.8

Tensiunea între sursa TECJ și masă este, din fig. 14.10,

$$V_s = g_m V_{gs} \frac{R_e \cdot 1/sC_e}{R_e + 1/sC_e}.$$

De asemenea,

$$V_{gs} = V_i - V_s = V_i - g_m V_{gs} \frac{R_e/sC_e}{R_e + 1/sC_e}$$

$$V_{gs} = V_i \frac{R_e + 1/sC_e}{R_e + 1/sC_e + g_m R_e/sC_e}$$

$$V_o = -g_m V_{gs} R_L = -g_m R_L V_i \frac{s + 1/R_e C_e}{s + (g_m + G_e)/C_e}.$$

La frecvența zero ( $s = 0$ ):

$$\frac{V_o}{V_i} = - \frac{g_m R_L}{R_e (g_m + G_e)} = - \frac{g_m R_L}{1 + g_m R_e}$$

$$\frac{A_o}{A_o(\text{joasă frecv.})} = 1 + g_m R_e = \frac{s_{pol}}{s_{zero}}$$

#### REZOLVAREA PROBLEMEI P. 14.10

Din relația (14.26) și presupunind  $R_b = 1 \text{ M}\Omega$ ,

$$C_c = \frac{1}{(1000 + 10) 0,01 \times 2\pi} = 0,0158 \text{ }\mu\text{F}$$

$$C_e = \frac{10}{0,01 \times 2\pi} (3 + 0,125) = 500 \text{ }\mu\text{F}$$

Pe de altă parte, putem face ca polul dat de  $C_e$  să devină pol dominant. Atunci,

$$C_e = 50 \mu\text{F}$$

$$C_C = 0,16 \text{ }\mu\text{F}$$

Rezultă deci, folosind relațiile (14.26), (14.27) și (14.28):

$$s_f = - 0,00628 \text{ s}^{-1}$$

$$s_g = - 0,0628 \text{ s}^{-1}$$

$$s_e = - 0,0025 \text{ s}^{-1}$$

Evident,  $s_g$  este polul dominant, controlând deci frecvența limită, așa cum am impus. Varianta a doua este mai ieftină decât prima.

#### REZOLVAREA PROBLEMEI P. 14.14

Folosind aproximația din enunțul problemei,

$$s_1 \approx - \frac{G'_s + g_\pi}{C_\pi + C_\mu + C_\mu R_L (g_m + g_\pi + G'_s)} \quad (1)$$

$$s_2 \approx - \frac{C_\pi + C_\mu + C_\mu R_L (g_m + g_\pi + G'_s)}{C_\pi C_\mu R_L} \quad (2)$$

Analizînd relația (2) observăm că valoarea cea mai mică a lui  $s_2$  apare pentru  $R_L$  foarte mare; în cazul acesta:

$$s_2 \approx - \frac{g_m + g_\pi + G'_s}{C_\pi} \quad (3)$$

Reamintim că

$$\omega_T = \frac{g_m}{C_\pi + C_\mu} \quad (4)$$

Deoarece relația (3) are numărătorul mai mare și numitorul mai mic decât cei ale relației (4), rezultă că:

$$|s_2| > \omega_T.$$

#### REZOLVAREA PROBLEMEI P. 14.17

Valorile lui  $R_s$  și  $R_L$  din fig. 14.19 au fost schimbate la  $50 \Omega$  și  $127 \Omega$ , respectiv.

Modificarea lui  $R_s$  nu are efect asupra polarizării. Cu toate acestea, o modificare a lui  $R_L$  cere o modificare a tensiunii de alimentare  $V_C$ , pentru a menține același punct static de funcționare. Concret, avem:

$$V_C = I_C (R_L + R_e) + V_{CE} = 15 (0,127 + 0,2) + 10,5 = 15,4 \text{ V}.$$

Folosind relațiile (13.16) și (13.17) se obțin noi valori pentru rezistențele de polarizare:

$$R_{b1} = \frac{E_C}{E_B} R_b = \frac{15,4}{4} 2 = 7,7 \text{ k}\Omega$$

$$R_{b2} = \frac{R_b \cdot R_{b1}}{R_{b1} - R_b} = \frac{2 \times 7,7}{7,7 - 2} = 2,7 \text{ k}\Omega.$$

#### REZOLVAREA PROBLEMEI P. 14.18

Amplificatorul a fost proiectat să aibă un pol dominant la:

$$s = - 314 \text{ s}^{-1}.$$

Deci aspectul formei de undă a răspunsului va fi o cădere exponențială pe fiecare jumătate de perioadă, cu constanta de timp:

$$T_l = -\frac{1}{|s_l|} = -\frac{1}{314} \text{ s} = 3,2 \text{ ms.}$$

Jumătatea perioadei de 100 Hz este 5 ms.

Deci, dacă amplitudinea formei de undă este  $e_p$  volți, unda va scădea la:

$$e_f = e_p \cdot e^{-5/3,2} = 0,21 e_p, \text{ adică se obține o cădere de } 79\%.$$

Timul de creștere poate fi determinat din relația (14.66). Această relație presupune existența unui singur pol, dar atât polii de joasă frecvență cit și cei de înaltă frecvență sint atât de îndepărtați de polul de înaltă frecvență dominant:

$$s_h = -0,00628 \text{ ns}^{-1}$$

Încît pot fi ignorați. Deci:

$$t_{\text{creștere}} \approx \frac{2,2}{\omega_h} = \frac{2,2}{0,00628} = 350 \text{ ns.}$$

Dar, din specificația inițială pentru  $f_h = 1 \text{ MHz}$ ,

$$t_{\text{creștere}} = \frac{0,35}{1} = 0,35 \text{ } \mu\text{s.}$$

#### REZOLVAREA PROBLEMEI P. 14.20

(a) v. fig. 14.1, c

(b) v. fig. 14.2

$$(c) g_m = \frac{q|I_C|}{kT} = \frac{5}{25} = 0,2 \text{ S}$$

$$r_\pi = \frac{\beta_0}{g_m} = \frac{100}{0,2} = 0,5 \text{ k}\Omega$$

$$C_\pi = \frac{g_m}{\omega_T} - C_\mu = \frac{200}{0,5 \times 2\pi} - 5 = 59 \text{ pF.}$$

Rezistența văzută de  $C_C$  este:

$$R_{eq} = R_s + r_x + r_\pi = 1 + 0,05 + 0,5 = 1,55 \text{ k}\Omega.$$

Deci pentru  $\omega_l = 100 \text{ rad/s}$

$$C_C = \frac{1}{0,1 \times 1,55} = 6,45 \text{ } \mu\text{F.}$$

Frecvența limită superioară, folosind aproximarea cu un singur pol este:

$$C_T = 59 + 5 (1 + 200 \times 0,4) = 464 \text{ pF}$$

$$R_{eq} = r_\pi || (r_x + R_s) = 0,5 || (0,05 + 1) = 0,34 \text{ k}\Omega$$

$$\omega_h = \frac{1}{C_T R_{eq}} = \frac{1}{460 \times 0,34} = 0,0064 \frac{\text{Grad}}{\text{s}}$$

sau  $6,4 \text{ Mrad/s}$ , ceea ce nu satisface specificația impusă.

(d) Amplificarea de tensiune în bandă este:

$$\frac{V_o}{V_i} = -\frac{r_\pi}{r_\pi + r_x + R_s} g_m R_L = -\frac{0,5}{0,5 + 0,05 + 1} \times 200 \times 0,4 = -26.$$

(e) Multe soluții sint posibile, dar scăzînd pe  $R_L$  scade  $C_T$  și deci crește  $\omega_h$ , dar, deosemena, se reduce amplificarea.

#### REZOLVAREA PROBLEMEI P. 14.23

Cerînța de a nu avea o cădere mai mare de 10% va fi mai severă în intervalul dintre impulsuri. Datorită existenței unei capacități de cuplaj între etaje, se pierde componenta de curent continuu a formei de undă de la intrare, deci intervalul apare asemenea unui impuls de  $990 \text{ } \mu\text{s}$ . Pentru a menține o cădere de 10%, acest interval trebuie să fie mai mic decît  $\tau/10$ , deci:

$$\tau = 10 \times 990 \approx 10 \text{ ms.}$$

Deci polul dominant de joasă frecvență trebuie să fie:

$$s_l = -\frac{1}{T} = -0,1 \text{ (ms)}^{-1}.$$

Pentru a obține un timp de creștere de 0,5  $\mu$ s, impunem

$$\omega_h = \frac{2,2}{0,5} = 4,4 \text{ Mrad/s, sau un pol dominant de înaltă frecvență de:}$$

$$s_h = -4,4 (\mu\text{s})^{-1}.$$

Restul proiectării merge în paralel cu acela descris în § 14.3.3 și 14.7.2.

#### REZOLVAREA PROBLEMEI P. 14.24

Neglijând căderea de tensiune provocată de  $I_B$  în  $R_B$ ,

$$V_e \approx 1,6 - 0,6 = 1 \text{ V.}$$

$$I_C = -I_E = -\frac{V_e}{R_e} = \frac{1}{0,1} = 10 \text{ mA}$$

$$V_{CE} = 5 - 0,2 \times 10 = 3 \text{ V}$$

$$V_{CB} = 3 - 0,6 = 2,4 \text{ V}$$

$$g_m = \frac{(I_C)}{25} = \frac{10}{25} = 0,4 \text{ S.}$$

Pentru a determina  $r_\pi$ :

$$\frac{V_o}{V_i} = -32 = -g_m \frac{R_L r_\pi}{r_\pi + R_i} = \frac{-0,4 \times 100 \times r_\pi}{50 + r_\pi}.$$

Așadar  $r_\pi = 200 \Omega$ . Folosind aproximarea cu un singur pol se poate determina  $C_\pi$ :

$$C_t = C_\pi + C_\mu (1 + g_m R_L) = \frac{1}{\omega_h R_t}$$

$$C_\pi = \frac{1}{2\pi \times 15,9 \times 10^{-3} \times [0,05 || 0,2]} - 3 (1 + 400 \times 0,1) = 127 \text{ pF.}$$

Acum schimbăm pe  $R_L$  la 300  $\Omega$ . Datorită metodei de polarizare,  $I_C$  rămâne fix la valoarea 10 mA.

$$V_{CB} = 5 - 10 \times (0,3 + 0,1) - 0,6 = 0,4 \text{ V.}$$

Noii parametri:

$$\left. \begin{array}{l} g_m = 0,4 \text{ S} \\ r_\pi = 200 \Omega \\ C_\pi = 127 \text{ pF} \end{array} \right\} \text{ independente de } V_{CB}$$

$$C_\mu = K (\psi_0 - V)^{-1/3}$$

$$C_\mu (2,4) = K (\psi_0 - 2,4)^{-1/3} = 3 \text{ pF}$$

$$C_\mu (0,4) = K (\psi_0 - 0,4)^{-1/3}$$

$$C = 3 \cdot \frac{(0,9 - 2,4)^{1/3}}{(0,9 - 0,4)^{1/3}} = 4,05 \text{ pF.}$$

Deci lărgimea de bandă este:

$$\omega_h = \frac{1}{0,4 [127 + 4,05 (1 + 400 \times 0,3)]} = 0,0405 \text{ Grad/s,}$$

sau 6,4 MHz.

#### Problema suplimentară P. 14.25

Să se proiecteze un amplificator cu un etaj cu TECJ și un etaj cu tranzistor bipolar care să întrunească următoarele specificații:

Amplificarea de tensiune: cel puțin 40.

Frecvența limită superioară: cel puțin 5 MHz.

Semnalul de ieșire: 1 V virf la virf.

Impedanța sursei de semnal: 50  $\Omega$ .

Tensiuni de alimentare disponibile: +10 V; -10 V.

Domeniul de temperaturi: de la 25°C la 75°C.

Verificați experimental rezultatele.

*Observație:* Se pare că unul din amplificatoare nu întrunește aceste specificații. Realizați această proiectare și verificare experimentală, sau dovediți că autorii greșesc.

#### PROBLEME LA CAP. 15

Următoarele probleme din capitolul 15 trebuie rezolvate cu ajutorul unui calculator numeric: 7, 10, 13, 20, 21, 22, 23.

#### REZOLVAREA PROBLEMEI P. 15.3

Tensiunea pe rezistența  $r_{\pi 2}$  este:

$$V_2 = (I_t - g_{m2} V_2) r_{\pi 2}$$

$$\frac{V_2}{I_t} = \frac{r_{\pi 2}}{1 + g_{m2} r_{\pi 2}} = \frac{1}{g_{m2} + g_m}.$$

Dacă se aplică un curent de test acestui circuit, nu se fixează în mod direct sursa dependentă, așa cum fusese cazul cu sursa de tensiune de test din text. Pentru această problemă simplă volumul de muncă este mic oricum, dar în circuite mai complicate, diferența va fi semnificativă.

#### REZOLVAREA PROBLEMEI P. 15.4

Pentru un amplificator cu un singur etaj cu emitorul comun,

$$R_{10} = r_{\pi} \parallel (r_x + R_s) = 0,25 \parallel (0,02 + 0,2) = 0,117 \text{ k}\Omega$$

$$R_{20} = R_{10} + R_L + R_{10} R_L g_m = 0,117 + 0,2 + 0,117 \times 0,2 \times 400 = 9,72 \text{ k}\Omega$$

$$\tau_{10} = 0,117 \times 100 = 11,7 \text{ ns}$$

$$\tau_{20} = 9,72 \times 5 = 48,6 \text{ ns.}$$

Suma constantelor de timp este 60,3 ns; comparați cu 14,3 ns în circuitul cascod proiectat. Este clar că diferența majoră se datorește lui  $\tau_{20}$ , 1,2 ns în cascod și 48,6 ns în proiectarea cu un singur etaj. Acest efect important este produs de trecerea unui semnal de curent de valoare semnificativă de la ieșire către intrare, prin  $C_{\mu}$ .

#### REZOLVAREA PROBLEMEI P. 15.14

$$\omega_l = \sqrt{0,916^2 + 0,084^2 + 0,0084^2} = 0,92 \text{ krad/s.}$$

Din relația (15.17):

$$\omega_l = \sqrt{0,916^2 + 0,084^2 + 0,0084^2 - 2 \times 0,076^2 - 2 \times 0,0115^2} = 0,0915 \text{ krad/s.}$$

În acest exemplu ambele aproximații sînt într-o bună concordanță cu calculele de precizie mai mare.

#### REZOLVAREA PROBLEMEI P. 15.17

Polii calculați pe calculator sînt (în  $\text{ns}^{-1}$ ):

$$s_d = -0,0806$$

$$s_e = -0,644$$

$$s_f = -4,05$$

$$s_g = -16,45.$$

Folosind numai polul dominant, timpul de creștere  $t_r$  este:

$$t_r = \frac{2,2}{0,0806} = 27,3 \text{ ns.}$$

Folosind toți patru poli se găsește, din ecuația (15.19, b):

$$t_r = \frac{2,2}{0,0799} = 27,5 \text{ ns.}$$

#### REZOLVAREA PROBLEMELOR P. 15.18 și P. 15.19

Pentru cei trei poli coincidenți, frecvența la 3 dB este dată de:

$$\omega_h = |S_1| \sqrt{2^{1/m} - 1} = 0,51 |S_1|$$

	$\omega_h$ -exact	din relația (15.17)	din relația (15.9)	din relația (15.22)
$A_1$	0,51	0,576	1,00	0,333
$A_2$	1,00	1,00	1,00	0,98

Este clar că metodele aproximative sînt mult mai aproape de adevăr cînd există un pol dominant, deși relația (15.17) este cu numai 10% în plus, chiar și pentru trei poli identici.

Cum s-a prevăzut, relația (15.22) dă întotdeauna un răspuns care este mai mic.

#### REZOLVAREA PROBLEMEI P. 15.21

Ecuațiile potențialelor nodurilor sînt (unități siemens, microsecundă, microfarad):

$$0 = (2 + s) V_1 - V_2$$

$$0 = -V_1 + (2 + s) V_2.$$

Soluția este, în  $(\mu\text{s})^{-1}$ :

$$s_1 = -1$$

$$s_2 = -3.$$

$s_1$  corespunde unui mod de lucru simetric, în care potențialele  $V_1$  și  $V_2$  cresc și scad împreună, deci două circuite RC în paralel;  $s_2$  este un mod antisimetric.

## REZOLVAREA PROBLEMEI P. 15.23

Se încearcă cascade de două etaje cu emitorul comun  $R_s = 50 \Omega$ .

$$\frac{V_o}{V_i} (\text{med}) = \frac{r_{\pi 1}}{R_s + r_{\pi 1} + r_x} \times g_{m1} \times \frac{R_{L1}}{R_{L1} + r_{x2} + r_{\pi 2}} \times r_{\pi 2} \times g_{m2} \times R_{L2}.$$

Încercați curentul de operare de 10 mA pentru fiecare etaj, astfel încît  $g_m = 400 \text{ mS}$ ,  $r_{\pi} = 0,25 \text{ k}\Omega$  (pentru  $\beta_0 = 100$ ),  $r_x = 0,025 \text{ k}\Omega$ .  
Deci:

$$\frac{V_o}{V_i} = \frac{100}{50 + 250 + 25} \times \frac{R_{L1}}{R_{L1} + 275} \times 100 \times R_{L2} > 3000$$

$$\frac{R_{L1}}{R_{L1} + 275} \times R_{L2} > 30 \times 3,25 = 97,5.$$

$R_{L1} = 2000 \Omega$ ,  $R_{L2} = 125 \Omega$  îndeplinesc această condiție (împreună cu alte combinații, rezonabile).

Constantele de timp de circuit deschis:

$$R_{10} = r_{\pi} \parallel (r_x + R_s) = 0,25 \parallel (0,05 + 0,025) = 0,057 \text{ k}\Omega$$

$$R'_L = R_{L1} \parallel (r_x + r_{\pi}) = 2,0 \parallel 0,275 = 0,242 \text{ k}\Omega$$

$$R_{20} = R_{10} + R'_L + R_{10} R'_L g_m = 0,057 + 0,242 + 0,057 \times 0,242 \times 400 = 5,8 \text{ k}\Omega$$

$$R_{30} = r_{\pi} \parallel (r_x + R_{L1}) = 250 \parallel (25 + 2000) = 0,222 \text{ k}\Omega$$

$$R_{40} = R_{30} + R_{L2} + R_{30} R_{L2} g_m = 0,222 + 0,125 + 0,22 \times 0,125 \times 400 = 11,44 \text{ k}\Omega$$

Calculul lui  $C_{\mu}$  și  $C_{\pi}$

$$\sum \tau_{j0} = \frac{1}{\omega_h} = \frac{10^3}{2\pi \times 2} = 80 \text{ ns}.$$

Pentru  $C_{\mu} = 2 \text{ pF}$

$$\Sigma \tau_{par} = 2 (5,8 + 11,4) = 34,4 \text{ ns}$$

$$\Sigma \tau_{impar} = 80 - 34,4 = 45,6 \text{ ns} = C_{\pi} (0,057 + 0,222)$$

$$C_{\pi} = \frac{45,6}{0,28} = 164 \text{ pF}$$

$$\omega_T = \frac{400}{166} = 2,4 \text{ Grad/s}$$

$$f_T = \frac{2,4}{2\pi} \times 10^3 = 400 \text{ MHz}.$$

## Problema suplimentară P. 15.24

În text, constantele de timp de circuit deschis al etajului cascad au fost comparate numeric. Totuși, se poate face o comparație mai generală, sub forma expresiilor literale.

Se presupun tranzistoare identice.

Soluție: Cu tranzistoare identice și cu curenții de colector aproape identici, parametrii tranzistoarelor vor fi aproximativ aceiași.

Deci:

$$\tau_{10} = C_{\pi} [r_{\pi} \parallel (r_x + R_s)] = C_{\pi} R_{10}$$

$$R_{L1} = \frac{r_x + r_{\pi}}{\beta_0 + 1} \approx \frac{r_{\pi}}{\beta_0} = \frac{1}{g_m}$$

$$\tau_{20} = C_{\mu} \left[ R_{10} + \frac{1}{g_m} + R_{10} \frac{g_m}{g_m} \right] \approx 2C_{\mu} R_{10}$$

$$\tau_{30} = \frac{C_{\pi}}{g_{\pi} + g_m} \approx \frac{1}{\omega_T}$$

pentru  $C_{\pi} \gg C_{\mu}$

$$\tau_{40} = C_{\mu} (r_x + R_L).$$

Se trage concluzia că pentru  $C_{\pi} \gg C_{\mu}$ ,  $\tau_{20}$  va fi mult mai mic decît  $\tau_{10}$ . De asemenea,  $\tau_{30}$  nu va conta niciodată, deoarece lărgimea de bandă va fi totdeauna mult mai mică decît  $\omega_T$ . Deci pentru  $C_{\pi} \gg C_{\mu}$ ,  $\tau_{10}$  și  $\tau_{40}$  vor fi întotdeauna dominante.

Mărimile relative ale acestora două depind de  $R_L$  și  $R_s$ .

## Problema suplimentară P. 15.25

Să se repete problema 15.6 pentru  $C_{\pi 1} = 100 \text{ pF}$ ,  $C_{\pi 2} = 50 \text{ pF}$ .



Răspuns:  $1/s_d = 12,456$

$$1/s_e = 1,494$$

$$1/s_f = 0,139$$

$$1/s_g = 0,056 \quad \text{Total: } 14,145$$

$$\tau_1 = 11,70$$

$$\tau_2 = 1,22$$

$$\tau_3 = 0,125$$

$$\tau_4 = 1,10 \quad \text{Total: } 14,145$$

### PROBLEME LA CAP. 16

Următoarele probleme din cap. 16 vor fi rezolvate cu ajutorul unui calculator numeric: 8, 9, 10, 11, 14, 15, 20.

Prind despre etajele cu emitor comun în cascadă este util că se sublinieze că valoarea maximum posibilă a lărgimii de bandă, care să poate obține punind  $R_S = R_L = 0$ , este finită și egală cu:

$$\omega_h = \frac{1}{n (r_x || r_\pi) (C_\pi + C_\mu)}$$

Se poate face o încercare rapidă la terminarea proiectării pentru a vedea dacă această limitare elimină în realitate cascada considerată.

#### REZOLVAREA PROBLEMEI P. 16.1

$$\frac{V_o}{V_i} = \frac{G'_S \cdot \Delta_{16}}{\Delta}$$

Deci zerourile sînt rădăcinile lui  $\Delta_{16}$ .

Scrind acest minor, se observă că nu există elemente dedesubtul diagonalei principale, deci determinantul  $\Delta_{16}$  este chiar produsul elementelor pe diagonala principală:

$$\Delta_{16} = (g_{m1} - s C_{\mu 1}) g_{x2} (g_{m2} - s C_{\mu 2}) g_{x3} (g_{m3} - s C_{\mu 3}) \quad (1)$$

Deci zerourile sînt la  $s = g_m / C_\mu$ .

#### REZOLVAREA PROBLEMEI P. 16.3

Pentru  $R_1$  foarte mare, numitorul relației 16.18 se reduce la unitate. Deci:

$$\frac{\partial V_{CE3}}{\partial V_{B1}} = \beta_F^3 \frac{R_{L2}}{R_2}$$

Adăugînd  $R_1$ , se găsește din relație (16.20):

$$\frac{\partial V_{CE3}}{\partial V_{B1}} = \frac{R_1 + R_2}{R_2}$$

Deci sensibilitatea la schimbările lui  $V_{B1}$  a fost redusă prin cel puțin factorul  $\beta_F^3$  sau un milion.

#### REZOLVAREA PROBLEMEI P. 16.4

Sînt posibile multe variante de proiectare, dar rețeaua de decuplare  $C_2, C_3, R_3, R_4$  trebuie să fie proiectată astfel încît să realizeze funcțiunea de decuplare la  $\omega_1$ . Cu alte cuvinte frecvența de tăiere joasă trebuie realizată de  $C_2$  și  $C_3$ . Pentru  $V_{CE3} = 5,9$  V,

$$V_{C3} = 5,9 + 10 \times 0,1 = 6,9 \text{ V.}$$

Tensiunea în partea de sus a lui  $R_{L2}$  trebuie să fie:

$$V_{C2} = 0,6 + 5 \times 0,2 = 1,6 \text{ V.}$$

$$\text{Deci, } R_4 = \frac{6,9 - 1,6}{1 + 5} = 0,88 \text{ k}\Omega.$$

Tensiunea în partea superioară a lui  $R_{L1}$  trebuie să fie:

$$V_{C1} = 0,6 + 1 \times 0,5 = 1,1 \text{ V.}$$

$$\text{Deci, } R_3 = \frac{1,6 - 1,1}{1} = 0,5 \text{ k}\Omega.$$

Din text,  $G_{18} = 80 \text{ mS}$ .

Prin examinarea fig. 16.6, rezistența de scurtcircuit  $R_C$  văzută de  $C_2$  este:

$$R_{Cs} = R_S + r_\pi || R_2 || R_1 / 2 = 0,050 + 2,5 || 20 || 5 \approx 1,6 \text{ k}\Omega.$$

Similar, dacă se neglijează  $r_x$ :

$$R_{2s} = R_3 || (R_{L1} + r_{\pi 2}) = 0,5 || 1 = 0,33 \text{ k}\Omega$$

$$R_{3s} = R_3 || R_4 || (R_{L2} + r_{\pi 3}) = 0,5 || 0,88 || (0,2 + 0,25) = 0,19 \text{ k}\Omega.$$

Din capitolul 15, relația (15.50):

$$\omega_t = 2\pi \times 0,05 = \frac{G_{1s}}{C_1} + \frac{1}{R_{2s}C_c} + \frac{1}{R_{2s}C_2} + \frac{1}{R_{3s}C_3}$$

$$0,314 = \frac{80}{C_1} + \frac{1}{1,6 C_c} + \frac{1}{0,33 C_2} + \frac{1}{0,19 C_3}$$

Cea mai economică proiectare va avea constante de timp inegale. Presupunem că alocăm 0,28 ms pentru  $C_1$ :

$$C_1 = \frac{80}{0,28} = 290 \text{ }\mu\text{F}.$$

Încearcă  $T_c = 0,01$ :

$$C_c = \frac{1}{1,6 \times 0,01} = 62 \text{ }\mu\text{F}.$$

Încearcă  $T_2 = 0,1$ :

$$C_2 = \frac{1}{0,33 \times 0,01} = 300 \text{ }\mu\text{F}$$

$$C_3 = \frac{1}{0,19 + 0,014} = 380 \text{ }\mu\text{F}.$$

#### REZOLVAREA PROBLEMEI P. 16.12

Polii pot fi găsiți căutând zerourile admitanței de-a lungul oricărui element al rețelei. La bornele lui  $C_1$  se vede:

$$Y = sC_1 + G_3 + \frac{G_2(G_1 + sC_2)}{G_1 + G_2 + sC_2}.$$

Deoarece  $G_2$  este mult mai mic decât  $G_1$  aceasta se reduce la:

$$Y \approx sC_1 + G_3 + G_2.$$

Deoarece un pol se află pentru  $Y = 0$ ,

$$s_1 = -\frac{(G_3 + G_2)}{C_1}.$$

La bornele lui  $C_2$  se vede:

$$Y = sC_2 + G_1 + \frac{G_2(G_3 + sC_1)}{G_2 + G_3 + sC_1}.$$

Din nou, deoarece  $G_2$  este atât de mic, se ajunge la:

$$Y = sC_2 + G_1 + G_2.$$

Astfel, polul al doilea este  $s_2 \approx -\frac{G_1 + G_2}{C_2}$ .

Există un zero acolo unde calea de șunt  $R_2$ ,  $R_3$  și  $C_1$  devine scurtcircuit:

$$Z = R_2 + \frac{R_3}{1 + sC_1R_3} = 0, \text{ deci } s_z = -\frac{G_2 + G_3}{C_1}.$$

Este clar că zeroul nu poate fi neglijat în calcularea lui  $\omega_h$  deoarece este foarte apropiat de polul dominant. Deci ecuația ce leagă  $\omega_h$  de  $\tau_{30}$  nu este valabilă în acest exemplu.

De fapt polul  $s_1$  și zeroul  $s_z$  aproape se anulează, lăsind o funcție cu un pol adică numai  $C_2$  apare ca semnificativă, iar părerea intuitivă că  $C_1$  nu influențează funcția de transfer, se verifică.

#### PROBLEMA P. 16.14

Răspunsul este dat în tabelul 19.7, pag. 216.

#### PROBLEMA P. 16.15

Răspunsul este dat în tabelul 19.9, pag. 223.

## REZOLVAREA PROBLEMEI P. 16.16

$$g_m = \beta_0 / r_\pi = 50 / 250 = 0,2 \text{ S.}$$

Dacă se neglijează  $R_{L1}$  și  $R_{L2}$  și dacă se aplică un curent de test  $I_t$  în locul lui  $C_1$  se găsește:

$$V = r_{\pi 2} I_t$$

$$V_t = I_t (r_{x2} + r_{\pi 2}) + I_t (r_{x3} + r_{\pi 3}) + g_m r_{\pi 2} (r_{x3} + r_{\pi 3}) I_t = (r_x + r_\pi) (2 + \beta_0) I_t.$$

$$\text{Deci, } R_t = \frac{V_t}{I_t} = (25 + 250) (52) = 14,3 \text{ k}\Omega.$$

## REZOLVAREA PROBLEMEI P. 16.18

Dacă asigurăm curenți de bază pentru  $Q_1$ ,  $Q_2$ ,  $Q_3$  și  $Q_4$  suficient de mici pentru a cauza căderea de tensiune neglijabilă:

$$V_{E1} = V_{B1} - 0,6$$

$$I_{C2} = \frac{1}{2} I_{R1} = \frac{V_{B1} - 0,6}{2 R_1}$$

$$V_{C2} = V_{CC} - I_{C2} R_2$$

$$V_{E3} = V_{CC} - I_{C2} R_2 - 0,6 = V_{C1} - 0,6 - \left( \frac{V_{B1} - 0,6}{2 R_1} \right) R_2.$$

Pentru  $R_2 = 2 R_1$  și tensiune de alimentare  $V_{C1}$  egală cu de două ori  $V_{B1}$ :

$$V_{E3} = V_{B1}.$$

## REZOLVAREA PROBLEMEI P. 16.19

Rezistența văzută de  $R_b$  și  $C_b$  este aproximativ:

$$R = r_{x1} + r_{\pi 1} + R_s + r_{x2} + r_{\pi 2} = 3,3 \text{ k}\Omega.$$

Deci rezistența văzută de  $C_b$  este:

$$3,3 \parallel 0,5 = 0,395 \text{ k}\Omega.$$

Pentru frecvența 0,707 considerată la 100 Hz:

$$C_b = \frac{1}{2\pi \times 0,1 \times 0,395} \approx 4 \text{ }\mu\text{F}.$$

## Problema suplimentară P. 16.21

Proiectați și construiți un amplificator de bandă largă cu tranzistoare cu o amplificare în bandă de minimum 1 000 și o frecvență limită superioară de minimum 6 MHz. Este acceptată o stabilizare minimală a polarizării. Sursa de tensiune de semnal este de 500  $\mu\text{V}$ .

Punctați principalele caracteristici ale proiectării ca în problema 16.20 și în plus, explicați rezultatele experimentale.

Componentele disponibile sînt:

Impedanța sursei: 100  $\Omega$

Tranzistoare<sup>\*)</sup>:

Valoarea sursei de alimentare: = \*)

Se presupune  $r_x = *)$  la  $I_C = 2 \text{ mA}$ .

Indicații asupra experimentării:

1. Condensatoarele electrolitice se pot comporta inductiv la înaltă frecvență. Șuntați-le prin condensatoare stiroflex.

2. Sursele de alimentare nu sînt ideale. Pentru a evita oscilații nedorite este necesar să decuplați fiecare etaj. Aceasta va fi realizat ca în fig. P.16.21.

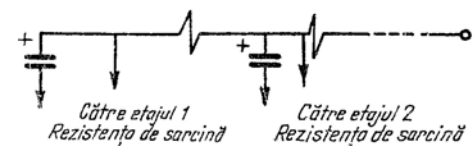


Fig. P. 16.21

3. Folosiți conexiuni scurte. Dacă este necesar tăiați și din picioarele elementelor. Efectele parazite pot fi neplăcute în special în amplificatoarele de mare amplificare.

Socurile tranzistoarelor pot forma bune capacități.

4. Folosiți dispozitive de răcire pentru tranzistoare, dacă ele disipă o putere mai mare decît cea admisibilă fără dispozitiv de răcire.

## REZOLVAREA PROBLEMEI P. 16.21

Într-o serie de 60 de studenți s-au proiectat 15 topologii de circuit distincte.

Cu excepția a două dintre ele, toate celelalte au dat rezultate experimentale corecte. Cele mai multe au constatat dintr-o cascadă de două circuite cascod, fiecare lucrînd la 2 sau 3 mA.

<sup>\*)</sup> Se completează în funcție de componentele de care se dispune; se pot folosi, de exemplu, tranzistoare 2N3904.

## PROBLEME LA CAP. 17

## REZOLVAREA PROBLEMEI P. 17.1

Lucrind în unitățile miliohm, microfarad, milisecundă avem :

$$\omega_0 = \frac{1}{\sqrt{L_2 C_2}} = 19 \times 2\pi.$$

$$Q = \frac{R_2}{\omega_0 L_2} = 50.$$

Avem trei necunoscute și numai două ecuații astfel încât un parametru poate fi ales arbitrar. Să presupunem  $R_2 = 500 \Omega$ , pentru a obține o amplificarea bună în bandă. Atunci :

$$L_2 = \frac{0,5}{19 \times 2\pi \times 50} = 8,4 \times 10^{-5} \text{ H.}$$

$$C_2 = \frac{1}{\omega_0^2 L_2} = \frac{1}{(19 \times 2\pi)^2 \times 8,4 \times 10^{-5}} = 0,84 \mu\text{F.}$$

## REZOLVAREA PROBLEMEI P. 17.2

Se înlocuiesc  $L_2$ ,  $G_2$ ,  $C_2$  în fig. 17.3, b printr-o sursă de tensiune de test și se calculează curentul rezultat. Dacă  $V$  este mic comparat cu  $V_t$ , (deoarece  $C_\mu$  apare ca o impedanță mare în comparație cu  $r_\pi$  etc.) atunci curentul prin  $C_\mu$  este :

$$I_{c\mu} \approx s C_\mu V_t.$$

La frecvențe sub  $\omega_\beta$  putem neglija  $C_\pi$  în comparație cu  $r_\pi$ , astfel încât curenții de mai sus produc o tensiune  $V$  egală cu :

$$V = \frac{I_{c\mu}}{g_\pi + 1/(r_\pi + R_1)}.$$

Deci curentul de ieșire  $I_t$  ca răspuns la tensiunea de test este :

$$I_t = I_{c\mu} + g_m V = V_t s C_\mu \left[ 1 + \frac{1}{g_\pi + 1/(r_\pi + R_1)} \right]$$

Deci s-a obținut relația (17.15).

## REZOLVAREA PROBLEMEI P. 17.3

La frecvența limită superioară  $\omega_h$  :

$$\left| \frac{V_o}{V_i} \right|^2 = \frac{K^2}{2} = \frac{K^2}{|1 + j\omega_h|^{2n}}.$$

$$\text{Deci } (1 + \omega_h^2)^n = 2$$

$$\omega_h = \sqrt[2n]{2^{1/n} - 1}.$$

Expresia este normalizată la lărgimea unitară pentru fiecare etaj RC. Pentru alte lărgimi de bandă,

$$\omega_h = \omega_{RC} \sqrt[2n]{2^{1/n} - 1}.$$

## REZOLVAREA PROBLEMEI P. 17.12

Pentru a verifica aliniamentul, se folosește relația (17.47) :

$$y_{fe} y_{re} = 200 \times j 0,0107 \times 2\pi \times 2,5 \left( \frac{2,5 \times j 0,0107 \times 2\pi \times 50}{4 \times 33,3} \right)$$

$$|y_{fe} y_{re}| = 1,05 \text{ (mS)}^2.$$

Pentru a avea un bun aliniament :

$$G_1 G_2 \gg 1,05$$

care, pentru valorile date ale lui  $G_1$  și  $G_2$  este de aproape 30 de ori mai bun decât pentru un singur etaj calculat în § 17.2.4.

Încercați  $G_1 = G_2 = 3 \text{ mS}$ . Fiecare circuit acordat trebuie să aibă o lărgime de bandă de :

$$\Delta\omega = 2\pi \times 0,2 \times 1,2 \times \sqrt{2} = 2,12 \text{ Mrad/s.}$$

Deci

$$C = \frac{G}{\Delta\omega} = \frac{3 \times 10^3}{2,21} = 1400 \text{ pF,}$$

$$L = \frac{1}{\omega_\beta^2 C} = \frac{1}{0,067^2 \times 1400} = 0,16 \mu\text{H.}$$

## REZOLVAREA PROBLEMEI P. 17.13

Din problema P.17.12,  $G_1 = G_2 = 3 \text{ mS}$  vor realiza un bun aliniament.

Pentru a realiza lărgimea de bandă cerută la  $0,2 \text{ MHz}$  cu un acord cu circuite decalat/acordate:

$$\frac{G_1}{C_1} = \frac{G_2}{C_2} = 0,0707 (2\pi \times 0,2 \times 10^{-3}) = 0,885 \times 10^{-3}.$$

$$\text{Așadar: } C_1 = C_2 = \frac{3}{0,885} \times 10^3 = 3400 \text{ pF}$$

$$\omega_{01} = 0,067 + 0,35 \times 1,25 \times 10^{-3} = 0,0674 \text{ Mrad/s}$$

$$\omega_{02} = 0,067 - 0,35 \times 1,25 \times 10^{-3} = 0,666 \text{ Mrad/s.}$$

De aici  $L_1$  și  $L_2$ .

## REZOLVAREA PROBLEMEI P. 17.14

Fără a calcula  $|y_{fe} y_{re}|$  se știe că pentru valori fixate ale lui  $G_1$  și  $G_2$ , proiectarea cu emitorul cuplat va produce un aliniament mai simplu de obținut printr-un factor:

$$K = \left| \frac{4g_x}{g_\pi + sC_\pi} \right| = \left| \frac{4 \times 33,3}{2,5 + j 0,05 \times 2\pi \times 50} \right| = 7,9.$$

Pentru acest tranzistor:

$$\omega_b = \frac{g_x + g_\pi}{C_\pi + C_\mu} = 0,68 \text{ Grad/s}$$

și  $\omega_0 = 0,05 \times 2\pi = 0,31 \text{ Grad/s}$ .

Deci sîntem aproape de  $\omega_b$ , astfel că ecuația (17.46) și în consecință (17.47) și (17.50) pot fi afectate de erori. Păstrînd toți termenii în relația (17.44) se găsește:

$$y_{fe} y_{re} = \frac{m s C_\mu}{4} \left( \frac{g_\pi + sC_\pi}{g_x + g_\pi + sC_\pi} \right).$$

Deci:

$$K = 4 \left| \frac{g_x + g_\pi + sC_\pi}{g_\pi + sC_\pi} \right| = 4 \left| \frac{33,3 + 2,5 + j 16,7}{2,5 + j 16,7} \right| = 9,4.$$

## REZOLVAREA PROBLEMEI P. 17.15

La  $50 \text{ MHz}$ , din figura 17.14, reiese,

$$|y_{fe} y_{re}| = |(-23 + j 9)(0,04 - j 0,01)| = 1,02 \text{ (mS)}^2.$$

Pentru  $R_1 = R_2 = 50 \text{ } \Omega$

$$G_1 G_2 = 20 \times 20 = 400 \text{ mS.}$$

Deci amplificatorul va fi foarte stabil și ușor de aliniat.

## REZOLVAREA PROBLEMEI P. 17.17

În punctul static:

$$g_m = 100 \text{ mS}$$

$$g_\pi = g_m / \beta_0 = 2 \text{ mS}$$

$$g_x = (1/50) \times 10^3 = 20 \text{ mS}$$

$$\omega_\beta = \frac{\omega_T}{\beta_0} = \frac{10^9}{50} = 2 \times 10^7 = 0,02 \text{ Grad/s}$$

$$\omega_0 = 10^8 \text{ rad/s} = 0,1 \text{ Grad/s} = 5 \omega_\beta$$

$$\omega_b = \frac{g_x + g_\pi}{g_m} \omega_T = 0,22 \text{ Grad/s}$$

$$\omega_0 C_\pi = \omega_0 \frac{g_m}{\omega_T} \approx 10 \text{ mS} = 5 g_\pi$$

$$\omega_0 C_\mu = 2 \times 10^{-4} \text{ S} = 0,2 \text{ mS}$$

$$\omega_T \gg \omega_b > \omega_0 \gg \omega_\beta.$$

(a) Acum avem:

$$Q = 20 \approx \frac{\omega_0 C_{tot}}{G_L}$$

$$C_{tot} = \frac{20}{10^8} \frac{1}{200} = 1000 \text{ pF.}$$

Deci cei 2 pF ai lui  $C_\mu$  sînt neglijabili atît pentru acord cît și pentru sarcină ( $|y_{oe}| \ll G_L$ ). De asemenea :

$$L C_{tot} = \omega_0^{-2} = 10^{-16}$$

$$L = 10^{-7} \text{ H} = 100 \text{ nH.}$$

(b) Deoarece valoarea lui  $\omega_0$  este determinată pînă la un factor egal cu 2, ar trebui să folosim valoarea  $y_{fe}$  dată de problema P.17.14. Totuși valoarea dată de relația (17.47) duce la o proiectare mult mai restrictivă astfel că vom folosi ultima valoare :

$$|y_{fe} y_{re}| = 100 \times 0,1 \times 2 \left| \frac{2 + j 10}{4 \times 20} \right| = 2,25 \text{ (mS)}^2$$

(Un calcul mai exact duce la 2.23).

Dacă  $G_S = 0$ , atunci apare numai o încărcare rezistivă din partea admitanței de intrare a circuitului. Aceasta este :

$$y_i = \frac{1}{2} \left( \frac{g_x (g_\pi + s C_\pi)}{g_x + g_\pi + s C_\pi} \right) = \frac{1}{2} \left[ \frac{20 (2 + j 10)}{20 + 2 + j 10} \right] = 2 + j 4.$$

Deci  $g_i = 2 \text{ mS}$ .

Cu  $G_2 = 10 \text{ mS}$ ,  $g_i G_2 = 10$ , astfel încît  $g_i G_2$  este de 5 ori mai mare decît  $|y_{fe} y_{re}|$ . Este recomandabilă adăugarea unei valori pentru  $G_S$  (de exemplu  $G_S = 2 \text{ mS}$ ).

## PROBLEME LA CAP. 18

### REZOLVAREA PROBLEMEI P. 18.1

Dacă  $a$  are o valoare inițială  $a_1$ ,

$$A_1 = \frac{a_1}{1 + a_1 f}$$

În mod similar, valoarea finală a amplificării în buclă închisă, pentru  $a = a_2$  este :

$$A_2 = \frac{a_2}{1 + a_2 f}$$

Variația relativă a lui  $A$  este :

$$\begin{aligned} \frac{A_2 - A_1}{A_1} &= \frac{\Delta A}{A_1} = \left[ \frac{a_2}{1 + a_2 f} - \frac{a_1}{1 + a_1 f} \right] \times \frac{1 + a_1 f}{a_1} = \\ &= \frac{a_2 (1 + a_1 f) - a_1 (1 + a_2 f)}{a_1 (1 + a_2 f)} = \frac{a_2 - a_1}{a_1} \left( \frac{1}{1 + a_2 f} \right). \end{aligned}$$

### REZOLVAREA PROBLEMEI P.18.3

$$\frac{V_1}{I_s} = \frac{r_\pi}{r_x + r_\pi} \times \frac{1}{G_s + G_f + 1/(r_x + r_\pi)}$$

$$\frac{g_{m1} V_1}{I_s} = \frac{g_{m1} r_\pi}{(G_s + G_f) (r_x + r_\pi) + 1} = \frac{100}{20,2 \times 2,7 + 1} = 1,8$$

$$\frac{V'_o}{g_{m1} V_1} = - \left( \frac{r_\pi \times R_{L1}}{R_{L1} + r_x + r_\pi} \right) g_{m2} \left( \frac{r_\pi \times R_{L2}}{R_{L2} + r_x + r_\pi} \right) \times g_{m3} \left( \frac{1}{G_f + G_L} \right) =$$

$$= - \left( \frac{100 \times 0,5}{0,5 + 0,55} \right) \left( \frac{100 \times 0,2}{0,2 + 0,275} \right) \left( \frac{1}{0,2 + 10} \right) = - 196 \text{ k}\Omega.$$

Deci :

$$\frac{V'_o}{I_s} = - 1,8 \times 196 = - 354 \text{ k}\Omega.$$

### REZOLVAREA PROBLEMEI P. 18.4

Calculul transmisiei pe buclă din fig. 18.16 este identic cu calculul lui  $V'_o/I_s$  din fig. 18.14, c, după cum s-a făcut în problema P.18.3, cu excepția calculului etajului de ieșire. Din acea problemă :

$$\frac{I_t}{g_{m1} V_1} = \left( \frac{r_\pi R_{L1}}{R_{L1} + r_x + r_\pi} \right) g_{m2} \left( \frac{r_\pi R_{L2}}{R_{L2} + r_x + r_\pi} \right) g_{m3} \left( \frac{G_f}{G_f + G_L} \right).$$

Comparația acestui rezultat cu rezultatul corespunzător din problema P.18.3 arată că se va găsi:

$$\frac{I_t}{I_s} = -a G_f.$$

Deoarece  $f = -G_f$ , acest rezultat este identic cu cel obținut în text.

#### REZOLVAREA PROBLEMEI P. 18.5

Deoarece  $V_o = V_i$ ,

$$V_i = \frac{-y_{rf}}{G_s + y_{ia} + y_{if}}. \quad (1)$$

Deci prin superpoziție:

$$I_t = V_i (y_{of} + y_{oa} + G_L) + y_{fa} V_i. \quad (2)$$

Înlocuind  $V_i$  din ecuația (1) în ecuația (2) se obține relația (18.45).

#### REZOLVAREA PROBLEMEI P. 18.10

Circuitul echivalent sub formă de cuadripol pentru  $R_e$  din fig. 18.21 este:

$$\begin{aligned} Z_{if} &= R_e; & Z_{of} &= R_e \\ Z_{jf} &= R_e; & Z_{rf} &= R_e. \end{aligned}$$

Presupunem  $Z_{ff} \ll Z_{fa}$  și înlocuim  $R_e$  în fig. 18.21, b prin fig. P.18.10.

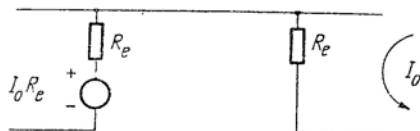


Fig. P. 18.10.

Pentru a determina încărcarea produsă circuitului a la intrare, se desface bucla de ieșire reducând pe  $I_0$  la zero, deci generatorul  $Z_{rf}$  devine zero. Așadar circuitul a este reprezentat de fig. 18.22, a. Circuitul f este reprezentat numai prin efectul transmisiei inverse, deci circuitul de mai sus se reduce la sursa de tensiune controlată, ceea ce este în concordanță cu fig. 18.22, c.

#### REZOLVAREA PROBLEMEI P. 18.12

$$\frac{V_1}{I_s} = \frac{1}{G_s + G_o + g_{\pi} + 1/(R_f + R_e)}$$

$$\frac{I_o}{V_1} = - \frac{g_m r_{\pi} R_{L1} g_m}{R_{L1} + r_{\pi} + \frac{R_f R_e}{R_f + R_e} (\beta_0 + 1)}$$

#### REZOLVAREA PROBLEMEI P. 18.14

$$V_i = I_i (h_{ia} + h_{if} + R_s) + V_o (h_{ra} + h_{rf}) \quad (1)$$

$$0 = I_i (h_{fa} + h_{ff}) + V_o (h_{oa} + h_{of} + G_L) \quad (2)$$

$$A = \frac{V_o}{V_i} = \frac{-(h_{fa} + h_{ff})}{\underbrace{(h_{ia} + h_{if} + R_s)}_{H_{in}} \underbrace{(h_{oa} + h_{of} + G_L)}_{H_{ies}} - (h_{ra} + h_{rf})(h_{fa} + h_{ff})} \quad (3)$$

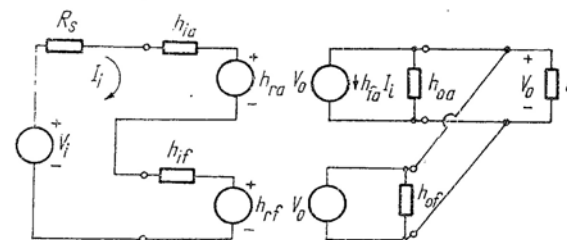


Fig. P. 18.14.

Se vor neglija:

- (1) Transmisia directă prin calea reacției ( $h_{fa} \gg h_{ff}$ ).
- (2) Transmisia inversă prin amplificator ( $h_{rf} \gg h_{ra}$ ).

Se împarte prin  $H_{in}$  și  $H_{ies}$

$$\frac{V_o}{V_i} = \frac{-\frac{h_{fa}}{H_{in} H_{ies}}}{1 - \frac{h_{fa}}{H_{in} H_{ies}} h_{rf}} \quad (4)$$

$$\text{Așadar, } a = \frac{-h_{fa}}{(h_{ia} + h_{if} + R_s)(h_{oa} + h_{of} + G_L)} \quad (5)$$

$f = h_{rf}$ :



## REZOLVAREA PROBLEMEI P. 18.15

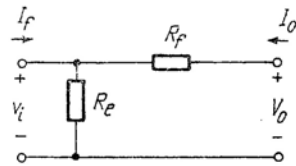


Fig. P. 18.15.

Din capitolul 12 :

$$\begin{aligned} h_{ii} &= \frac{V_i}{I_i} \quad \text{cu } V_o = 0 \\ &= R_e \parallel R_f. \\ h_{oi} &= \frac{V_o}{I_o} \quad \text{cu } I_i = 0 \\ &= R_f + R_e \\ h_{if} &= \frac{V_i}{V_o} \quad \text{cu } I_i = 0 \\ &= R_e \parallel (R_e + R_f). \end{aligned}$$

## REZOLVAREA PROBLEMEI P. 18.16

Folosind eşantionarea în nod se va scurtcircuita ieşirea pentru a determina încărcarea de la intrare.

Deci  $R_e$  apare în paralel cu  $R_f$  la intrare, de la emitorul lui  $T_1$  către masă. Folosind compararea pe buclă, se va desface bucla de intrare cu scopul de a determina încărcarea produsă la ieşire, deci se va găsi  $R_e$  în serie cu  $R_f$  şi totul în paralel cu ieşirea. Aceste rezultate sînt în concordanţă cu fig. 18.26, a.

## REZOLVAREA PROBLEMEI P. 18.17

În fig. 18.24 :

$$\begin{aligned} A &= \frac{V_o}{V_s} = 100 = \frac{a}{1 + af} \\ 1 + af &= 10. \end{aligned}$$

Deci,

$$a = 1000 = \frac{V_o'}{V_s}$$

$$f = \frac{9}{1000}$$

Amplificarea de tensiune a circuitului a este

$$\frac{V_o'}{V_s} = \frac{r_{\pi 1} g_{m1}}{r_{\pi 1} + R_s + (R_e \parallel R_f)(\beta_0 + 1)} \times [R_{L1} \parallel r_{\pi 2}] g_{m2} [R_{L2} \parallel R_L \parallel (R_f + R_e)] \quad (1)$$

$$f = \frac{R_e}{R_e + R_f}$$

Se constată că dacă valorile rezistenţelor  $R_e$  şi  $R_f$  sînt mici, amplificarea va fi mai mare. Dar în aceste condiţii, efectele de încărcare de la ieşire produse de  $R_e + R_f$  vor fi mai severe, ceea ce va reduce amplificarea. Valori mari ale lui  $R_e$  şi  $R_f$  vor produce un efect opus, adică o pierdere a amplificării primului etaj şi o amplificare mai mare pentru al doilea.

Pentru a determina valorile optime ale lui  $R_e$  şi  $R_f$ , se poate reprezenta grafic  $a$  ca o funcţie de valoarea impedanţei, sau să se înlocuiască expresia lui  $a$  pentru a obţine o expresie pătratică în  $R_e$ , apoi să se deriveze în raport cu  $R_e$  şi să se egaleze cu zero pentru a determina maximul expresiei. O soluţie posibilă de proiectare este să se folosească etaje identice cu  $I_C = 10$  mA,  $\beta_0 = 100$ ,  $g_m = 400$  mS,  $r_{\pi} = 250 \Omega$ . De asemenea,  $R_s = 100 \Omega$  şi  $R_L = 250 \Omega$ .

Fără a avea un divizor de tensiune, amplificarea ar fi  $\beta_0^2 = \frac{R_L}{r_{\pi}}$  sau  $10^4$ . Deci divizorul poate avea o atenuare de 1/3.

Pentru  $r_{\pi} = 250 \Omega$ , rezultă

$$R_s + (R_e \parallel R_f)(\beta_0 + 1) = 500 \Omega.$$

$$R_e \parallel R_f = \frac{400}{100} = 4 \Omega.$$

$$\text{De asemenea: } f = \frac{R_e}{R_e + R_f} = 9 \times 10^{-3}.$$

$$\text{Deci } R_f = 4/9 \times 10^3 = 450 \Omega$$

$$R_e = \frac{9 \times 10^3 \times 450}{1 - 9 \times 10^{-3}} \approx 4 \Omega.$$

De aici, presupunînd că  $R_{L1} = R_{L2} = 1$  k $\Omega$

$$\frac{V_o'}{V_s} = \frac{1}{3} \times 400 \times \frac{0,25}{1,25} \times \frac{400}{1 + 4 + 2,2} = 1400.$$

Obţinem o amplificare puţin mai mare decît cea necesară.

## REZOLVAREA PROBLEMEI P. 18.20

Reacția de polarizare este de la emitorul lui  $T_2$  la baza lui  $T_1$ . Ea poate fi identificată prin capacitatea de valoare mare (100  $\mu$ F) care distruge orice reacție, în afara celei de joasă frecvență. Aceasta este o eșantionare pe buclă, dacă se consideră stabilizarea lui  $V_{BE1}$  la variațiile de temperatură (v. problema 18.21). Deoarece nu există o specificație asupra „ieșirii” circuitului de polarizare, vom putea obține o identificare optimă a eșantionării ieșirii, observând că rețeaua de reacție eșantionează curentul  $I_{E2}$ , deci este o eșantionare pe buclă.

Reacția este deci de tip eșantionare pe buclă și comparare pe buclă.

## REZOLVAREA PROBLEMEI P. 18.21

Considerind  $V_{B1}(T)$  drept sursă de intrare, avem comparare pe buclă, deoarece intrarea amplificatorului, sursa și rețeaua de reacție sunt conectate în buclă. Curentul de intrare al amplificatorului este controlat de diferența între  $V_{B1}$  și  $V_{CE3}$ . La ieșire avem de-a face cu o eșantionare în nod. Deci circuitul  $a$  are în paralel cu intrarea pe  $R_1$  în paralel cu  $R_2$ , iar la ieșire  $R_1$  în serie cu  $R_2$ . Deci :

$$a = \frac{V_{CE3}}{V_{B1}(T)} = \frac{1}{R_1 \parallel R_2} [\beta_{F1} \beta_{F2} \beta_{F3}] [R_{L3} \parallel (R_1 + R_2)]$$

$$f = \frac{R_2}{R_1 + R_2}$$

Formind  $A = \frac{a}{1 + af}$  din relațiile de mai sus, se găsește o concordanță cu rezultatele

din cap. 16 asupra variațiilor lui  $V_{B1}(T)$ , dacă vom presupune  $R_{L3} \ll R_1$ .

## 1) Analiză

Orice circuit cu reacție pe care îl găsiți în literatură poate fi folosit drept bază pentru o problemă de analiză de tipul problemei P.18.19.

Dacă aveți sau presupuneți valori numerice, pot fi concepute probleme de tipul P.18.18.

## 2) Problemă de proiectare P. 18.26

Să se proiecteze un amplificator cu reacție (numai partea de frecvență medie) pentru a obține o valoare a amplificării de curent egală cu 100. Se impune o desensibilizare egală cu 50. Se va lua rezistența sursei de 1 k $\Omega$ , iar amplificatorul trebuie să lucreze pe o rezistență a cărei valoare nominală este de 500  $\Omega$ , dar care poate prezenta variații.

## REZOLVAREA PROBLEMEI P. 18.26

Se folosește o comparare în nod și o eșantionare pe buclă ca în fig. 18.10,  $d$  sau 18.23 pentru a obține o amplificare de curent stabilizată :

$$A = I_o/I_S = -100$$

$$1 + af = 50.$$

Așadar,

$$a = A(1 + af) = -5 \times 10^3$$

$$f \approx \frac{1}{A} = -0,01.$$

Circuitul  $a$  tipic este prezentat în fig. 18.23,  $c$ .  
Deoarece

$$a = I'_o/I_S,$$

trebuie ca  $\beta_o$  să fie mai mare decît  $5 \times 10^3$  pentru a face față divizoarelor de curent din circuit. Deci alegem un tranzistor cu  $\beta_o = 150$ . Acum vom putea permite un factor egal cu doi, drept pierdere de amplificare de curent în nodul de la intrare și un alt factor egal cu doi la intrarea lui  $T_2$ . Deoarece :

$$f = -\frac{R_e}{R_e + R_f} = -0,01 \text{ se încearcă } R_e = 10\Omega \text{ și } R_f = 1 \text{ k}\Omega.$$

Atunci :

$$g_{\pi 1} = G_S + \frac{1}{R_f + R_e} = 2 \text{ mS}$$

$$g_{m1} = \beta_o g_{\pi 1} = 300 \text{ mS}.$$

Așadar :

$$I_{C1} = 7,5 \text{ mA}.$$

Dacă încercăm  $I_{C2} = 7,5 \text{ mA}$ , atunci pentru a avea un factor de divizare de cel mult doi la intrarea lui  $T_2$  este necesar ca :

$$R_{L1} = r_{\pi 2} + (\beta_o + 1)(R_f \parallel R_e) \approx$$

$$\approx 500 + 150 \times 10 = 2000 \Omega.$$

Luind o rezervă datorită diverselor aproximări, alegem :

$$R_{L1} = R_{L2} = 2500 \Omega$$

$$\begin{aligned} a &= \frac{I'_o}{I_s} = \frac{-g_{m1}}{G_s + g_{\pi} + 1/(R_f + R_e)} \frac{R_{L1}}{R_{L1} + r_{\pi 2} + (\beta_0 + 1) R_f || R_e} \beta_{02} \frac{R_{L2}}{R_{L2} + R_L} = \\ &= -0,5 \times \frac{2,5}{4,5} \times 150 \times \frac{2,5}{2,5 \times 0,5} = 5,15 \times 10^3, \end{aligned}$$

ceea ce îndeplinește specificațiile impuse.

Următoarele probleme din cap. 19 pot fi rezolvate fără ajutorul unui calculator : 1, 3, 4, 6, 7, 9, 11, 13, 15, 17, 20, 21. Răspunsuri parțiale pentru alte probleme sînt conținute în tabelele din capitol.

O demonstrație mai convingătoare a regulii 5, pag. 188 se bazează pe faptul că în dreptul punctului  $|af| = 180^\circ$  polii mult îndepărtați sînt atît de mult deplasați față de locul polilor inferiori încît nu pot modifica în mod semnificativ  $af$  în această regiune.

## PROBLEME LA CAP. 19

### REZOLVAREA PROBLEMEI P. 19.1

Lucrînd numai cu cei trei poli inferiori

$$s_a = -0,0251 \text{ ns}^{-1}$$

$$s_b = -0,0943 \text{ ns}^{-1}$$

$$s_c = -0,409 \text{ ns}^{-1} \text{ obținem pentru polii } p \text{ de pe axa } j:$$

$$A(s) = \frac{K}{(s - \delta)(s^2 + \beta^2)} = \frac{K}{s^3 - \delta s^2 + \beta^2 s - \delta \beta^2}.$$

Identificînd coeficienții cu relația (19.20),

$$9,67 \times 10^{-4} (1 - 354 f_o) = 0,528 \times 0,0516.$$

$$\text{Desensibilizarea} = 1 - 354 f_o = 28,2$$

$$a_o f_o = 27,2$$

$$G_o = -f_o = -\frac{27,2}{-354} = 0,077 \text{ mS}.$$

### REZOLVAREA PROBLEMEI P. 19.3

Limita de stabilitate este axa  $j$ , așa încît se calculează limita inferioară a lui  $C_f$ , calculînd polii de pe axa  $j$ :

$$A(s) = \frac{K}{(s - \delta)(s^2 + \beta^2)} = \frac{K}{s^3 - \delta s^2 + \beta^2 s - \delta \beta^2}.$$

Problema poate fi acum rezolvată, identificînd coeficienții cu relația (19.3), ca în problema P. 19.1, presupunînd cazul cel mai defavorabil al lui  $a_o f_o$  foarte mare. O metodă mai directă este de a observa că locul rădăcinilor din fig. 19.14 ilustrează că polul real, care se deplasează spre stînga, forțează polii complecși să se deplaseze spre dreapta, pentru a păstra invarianța distanței față de axa  $j$ . Deci, plasînd zeroul la valoarea :  $-(s_a + s_b + s_c)$ , va face ca  $s_c$  să se deplaseze astfel încît  $s_a$  și  $s_b$  să nu intre în semiplanul drept.

Deci poziția zeroului este :

$$s_z = -(0,0251 + 0,6943 + 0,409) = -0,528 (\text{ns})^{-1}.$$

### REZOLVAREA PROBLEMEI P. 19.7

$$a(s) = \frac{10^5}{(s + 2)(s + 2)(s + 2)} = \frac{10^5}{s^3 + 6s^2 + 12s + 8}$$

$$a_o = \frac{10^3}{8}.$$

Deci,

$$A(s) = \frac{10^5}{s^3 + 6s^2 + 12s + 8(1 + a_o f)}.$$

Din tabelul 19.3 :

$$b_o = b_1 b_2 = 6 \times 12 = 8 (1 + a_o f_o)$$

$$a_o f_o = 8$$

$$f_o = 6,4 \times 10^{-4}.$$

Păstrînd  $a_o = 10^3/8$  ca mai sus,

$$a(s) = \frac{10^3}{(s + 2)(s + 2)(s + 1/50)} = \frac{10^3}{s^3 + 4,02 s^2 + 4,08 s + 0,08}.$$

Deci :

$$A(s) = \frac{10^3}{s^3 + 4,02 s^2 + 4,08 s + 0,08 (1 + a_o f_o)}$$

Acum :

$$b_o = 4,08 \times 4,02 = 0,08 (1 + a_o f_o)$$

$$1 + a_o f_o = \frac{16,4}{0,08} = 205$$

$$a_o f_o = 204$$

$$f_o \approx 1,6 \times 10^{-2}$$

Interpretind în funcție de locul rădăcinilor, înseamnă că deplasind un pol al lui  $a(s)$  mult înspre origine, atunci cind se aplică reacția, cei doi poli mai mici ai lui  $A(s)$  trebuie să se deplaseze pe o distanță considerabilă pe axa reală, pînă să formeze o pereche complexă.

Deci  $a_o f_o$  poate fi mult mai mare pentru aceeași localizare a polilor lui  $A(s)$ .

#### REZOLVAREA PROBLEMEI P. 19.10

Polii lui  $a(s)$  în fig. 19.10 pot fi substanțial modificați prin adăugarea unui condensator de 50 pF de la baza la colectorul lui  $T_1$ ,  $T_2$  sau  $T_3$ . Cei trei poli inferiori sînt în fiecare caz  $s_i$  în unități  $(ns^{-1})$ :

	$s_1$	$s_2$	$s_3$
fără $C_1$	- 0,025	- 0,094	- 0,409
50 pF la $T_1$	- 0,014	- 0,054	- 0,399
50 pF la $T_2$	- 0,0029	- 0,192	- 0,402
50 pF la $T_3$	- 0,0039	- 0,058	- 0,419

(Se observă că atunci cind se adaugă  $C_1$  la  $T_1$ , se obțin 7 poli în loc de 6, deoarece în această poziție  $C_1$  nu produce o buclă capacitivă.)

Cea mai mare îndepărtare între  $s_1$  și  $s_2$  se obține atunci cind  $C_1$  se adaugă la  $T_2$ , deci ne așteptăm să obținem o desensibilizare mai mare decît în cazul plasării lui  $C_1$  la  $T_1$  sau la  $T_3$ .

#### REZOLVAREA PROBLEMEI P. 19.11

Datorită plăii de variație a semnalului de ieșire, ar fi necesar un curent mare pentru a conduce orice condensator de compensare legat la nodul de ieșire. Din această cauză, semnalul de ieșire sinusoidal maxim ar fi mult mai mic la frecvențe înalte decît la frecvențe medii.

#### REZOLVAREA PROBLEMEI P. 19.12

Pentru  $R_f = 5000 \Omega$ , și variind pe  $C_1$  din fig. 19.10 se obțin valorile celor trei poli inferiori în  $(ns)^{-1}$  și pF.

$C_1$	$s_1$	$s_2$	$s_3$
0	+ 0,058	$\pm j 0,32$	- 0,65
20	+ 0,002	$\pm j 0,23$	- 0,59
50	- 0,029	$\pm j 0,17$	- 0,54
200	- 0,070	$\pm j 0,076$	- 0,470
500	- 0,035	- 0,138	- 0,438

Interpolind  $C_1 = 50$  pF și  $C_1 = 200$  pF, se găsește că pentru  $C_1 = 150$  pF se va obține o pereche complexă cu  $Q = 1$ .

#### REZOLVAREA PROBLEMEI P. 19.13

Din cap. 15, presupunînd poli reali,

$$\frac{1}{\omega_h^2} = \frac{1}{s_1^2} + \frac{1}{s_2^2} + \dots$$

Deci fără  $C_1$  se găsește de la pag. 190 frecvența limită pentru circuitul  $a$ :

$$\frac{1}{\omega_h^2} \approx \frac{1}{0,0251^2} + \frac{1}{0,0943^2}$$

$$\omega_h \approx 0,024 \text{ Grad/s.}$$

Incluzînd pe  $C_1$  de la pag. 208

$$\frac{1}{\omega_h^2} \approx \frac{1}{0,003^2} + \frac{1}{0,192^2}$$

$$\omega_h \approx 0,003 \text{ Grad/s.}$$

Deci banda circuitului se reduce substanțial prin introducerea condensatorului de compensare.

Ca rezultat, desensibilizarea amplificatorului va lucra efectiv, pe o plajă de frecvență mult mai restrînsă, după compensare.

## REZOLVAREA PROBLEMEI P. 19.20

Zerourile circuitului de reacție sînt la :

$$s_a = -\frac{1}{R_2 C_2} = -0,212 \text{ (ms)}^{-1}$$

$$s_b = -\frac{1}{R_1 C_1} = -12,35 \text{ (ms)}^{-1}$$

Rezolvînd numitorul lui  $f(s)$ , se găsesc polii lui  $f(s)$  :

$$s_c = -2,78 \text{ (ms)}^{-1}$$

$$s_d = -2578 \text{ (ms)}^{-1}$$

Deci locul rădăcinilor este :

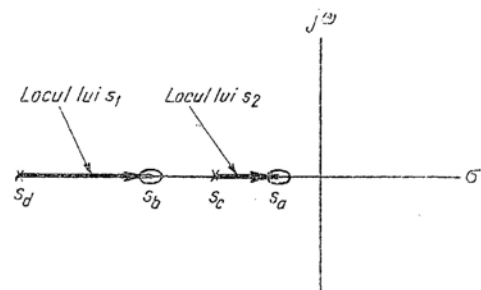


Fig. P. 19.20

## REZOLVAREA PROBLEMEI P. 19.21

Amplificatorul complet cu reacție :

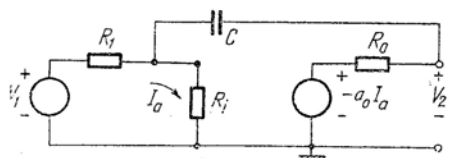


Fig. P. 19.21.1

Aceasta este o reacție de tip nod-nod, deci circuitul  $a$  este :

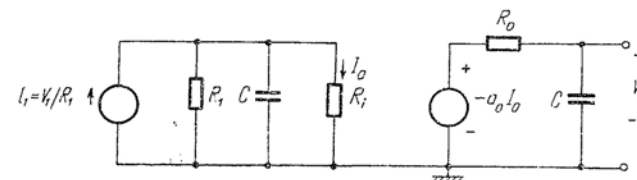


Fig. P. 19.21.2

$$f(s) = -sC$$

$$a(s) = \frac{V_1}{I_1} = \frac{G_1}{G_1 + G_2 + sC} (-a_0) \frac{1}{R_0 C + 1}$$

Conform acestui calcul,  $a(s)$  are doi poli, iar  $f(s)$  are un zero de valoare zero, și nici un pol finit. Deci vom prevedea că  $A(s)$  are doi poli.

Totuși, inspectarea circuitului  $A$  original arată existența a numai unui singur element de stocare a energiei, deci  $A(s)$  are numai un pol.

Problema în legătură cu calculele asupra circuitului  $a$  este că transmisia directă prin  $C$  tinde la infinit :

$$y_{ff} = -sC.$$

Deci  $y_{ff}$  va fi totdeauna mic în comparație cu  $y_{fa}$ , așa cum cere relația (18.25).

Același efect este prezent și în fig. 19.13, dar deoarece acolo  $C_f$  era mic în comparație cu celelalte condensatoare din circuitul  $a$ , neglijăm efectul de încărcare produs de  $C_f$ . În problema de față,  $C$  este singurul condensator, deci nu poate fi ignorat.

## PROBLEME LA CAP. 20

## REZOLVAREA PROBLEMEI P. 20.3

Din fig. 20.6 la  $\angle a = -180^\circ = \angle a_{fo}$ ,  $|a| = 2$ .

Deci pentru a obține o rezervă de amplificare egală cu 4, este necesar ca la această frecvență critică

$$|af| = 2f_o = \frac{1}{4}$$

$$f_o = \frac{1}{8} = 0,125 \text{ Hz}$$

Deci desensibilizarea la frecvențe medii este :

$$a_{fo} = \frac{100}{8} = 12,5.$$

## REZOLVAREA PROBLEMEI P. 20.4

Rezerva de amplificare  $\approx 1$ .

Rezerva de fază  $\approx 0^\circ$ .

## REZOLVAREA PROBLEMEI P. 20.10

Aplicind o sursă de curent între baza și colectorul lui  $T_1$  din fig. 20.5, b, se poate calcula tensiunea rezultantă  $V_t$ . Se mută mai întâi rezistența de emitor  $R_e$  deasupra nodului emitorului înmulțind prin  $(\beta_0 + 1) \approx 50$ .

Acum se găsește că rezistența între bază și masă este, neglijind pe  $R_{L1}$ ,  $R_{L2}$  și  $R_{L3}$ :

$$R_o = R_s \parallel (r_x + r_\pi + \beta_0 R_e) = 1000 \parallel 300.$$

Curentul prin  $r_\pi$  este:

$$I_{r_\pi} = I_t \times \frac{1000}{1000 + 300} = \frac{I_t}{1,3}.$$

Rezistența de sarcină a lui  $T_1$  este  $r_{x2} + r_{\pi 2} = 275 \Omega$ .

$$\text{Deci } \frac{V_t}{I_t} = R_{10} = 1000 \parallel 300 + 275 + \frac{1}{1,3} \times 50 \times 275 = 230 + 275 + 10\,600 = 11105 \Omega.$$

Un calcul similar pentru  $R_{20}$ , de la baza la colectorul lui  $T_2$  duce la:

$$R_{20} = 275 + 275 + 50 \times 275 = 14\,350 \Omega.$$

Pentru  $T_3$ , avem din nou pe  $R_e$  în circuit, dar de data aceasta apare în serie cu  $R_L$ .

$$\text{Deci } R_{30} = 275 + 50,5 + 50 \times 50,5 = 2800,5 \Omega.$$

Deoarece  $R_{20}$  este rezistența cea mai mare, se adaugă  $C_1$  acestui etaj. Aceasta trebuie să producă polul dominant pentru o anumită capacitate dată.

## REZOLVAREA PROBLEMEI P. 20.12

Răspunsuri:

Pentru  $af(j\omega)$ ,  $\omega_h \approx 1$  Mrad/s.

Pentru  $A(j\omega)$ ,  $\omega_h \approx 58$  Mrad/s.

## REZOLVAREA PROBLEMEI P. 20.14

La  $|af| = 180^\circ$ ,  $|a| = 125$  k $\Omega$ .

Pentru a realiza o rezervă de amplificare egală cu 5, valoarea lui  $|af|$  în acest punct trebuie să fie  $\frac{1}{5}$ .

Deci:

$$|125 f_o| = \frac{1}{5}$$

$$f_o = -0,0016 \text{ nS.}$$

## REZOLVAREA PROBLEMEI P. 20.15

Pentru a stabili, creșteți valorile a două dintre capacitățile de cuplaj. Va trebui să le mărim printr-un ordin de mărime, astfel că în acest caz capacitatea nemodificată va introduce o deplasare a fazei de  $90^\circ$  și o amplificare care scade liniar cu  $\omega$ . La frecvența critică este necesar ca  $|af| = 1$ ,  $|af| = -120^\circ$ .

Deci cele două capacități mari vor da  $120^\circ - 90^\circ = 30^\circ$ , deci  $15^\circ$  pe capacitate.

La o deplasare a fazei de  $15^\circ$  nu va apărea o scădere apreciabilă a amplificării. Deci factorul egal cu 100 de descreștere a lui  $|af|$ , pentru a obține  $|af| = 1$  trebuie să se obțină de la o singură capacitate.

Așadar, frecvența critică va fi la  $\omega = 0,01$ .

La această frecvență,

$$\frac{1}{\omega C} = R \tan 15^\circ = 0,27 R.$$

Exemplul a fost dat pentru  $R = 1$  k $\Omega$ , deci,

$$C_1 = C_2 = \frac{1}{0,01 \times 0,27} = 380 \mu\text{F.}$$

$$C_3 = 1 \mu\text{F.}$$

## REZOLVAREA PROBLEMEI P. 20.17

Dacă se schimbă condensatoarele  $C_1$  și  $C_2$  prin aceeași cantitate, în scopul stabilizării amplificatorului, atunci relația (20.9) devine:

$$a(s) = \frac{a_o s^3}{(s+1)(s-s_a)(s-s_a)}$$

Deci  $A(s)$  devine :

$$A(s) = \frac{a_o s^3}{s^3 (1 + a_o f_o) + s^2 (-2s_a + 1) + s_a (s_a^2 - 2s_a) + s_a^2} \quad (1)$$

Pentru  $Q = 1$ , polii complecși sînt așezați pe raze înclinate cu  $60^\circ$ . Adică :

$$A(s) = \frac{K s^3}{(s - \delta)(s - \alpha + j\sqrt{3}\alpha)(s - \alpha - j\sqrt{3}\alpha)} = \frac{K s^3}{s^3 - s^2(2\alpha + \delta) + s(2\delta\alpha + 4\alpha^2) - 4\alpha^2\delta} \quad (2)$$

Valoarea lui  $s_a$  poate fi acum determinată prin identificarea coeficienților relațiilor (1) și (2), dar calculul poate fi laborios, așa cum s-a specificat în cap. 19 (v. pag. 210).

#### REZOLVAREA PROBLEMEI P. 20.19

Din grafic  $|a| = 180^\circ$  la  $\omega = 2$  și la această frecvență  $|a| = 36$ .

(a) Pentru stabilitate  $|af|$  trebuie să fie mai mic decît unu la 2 MHz, astfel încît, la această frecvență :

$$|af| = 1 = 36f$$

$$|f| = \frac{1}{36} = 0,028.$$

(b) Încercați o rezervă de fază egală cu 4 scăzînd  $|af|$  de 4 ori. Deci :

$$|f| = \frac{0,028}{4} = 0,007.$$

Încercați o rezervă de fază de  $45^\circ$ . Unghiul de fază al lui  $af$  este  $-135^\circ$  ( $45^\circ$  rezervă de fază) la frecvența de 0,7 MHz.

Trebuie să avem  $|af| = 1$  la această frecvență. Dar  $|a| = 220$  la frecvența de 0,7 MHz. Deci :

$$220|f| = 1$$

$$|f| = \frac{1}{220} = 0,0045.$$

Aceste două calcule nu trebuie să se verifice pentru că pleacă de la două criterii distincte. Rezerva de fază dă în acest caz o proiectare ceva mai restrictivă, adică avînd o reacție mai mică.

#### REZOLVAREA PROBLEMEI P. 20.20

Desensibilizarea cerută  $= 1 + af = 100$

$$a_o = 1000$$

$$f = \frac{99}{1000} = 0,099 \approx 0,1.$$

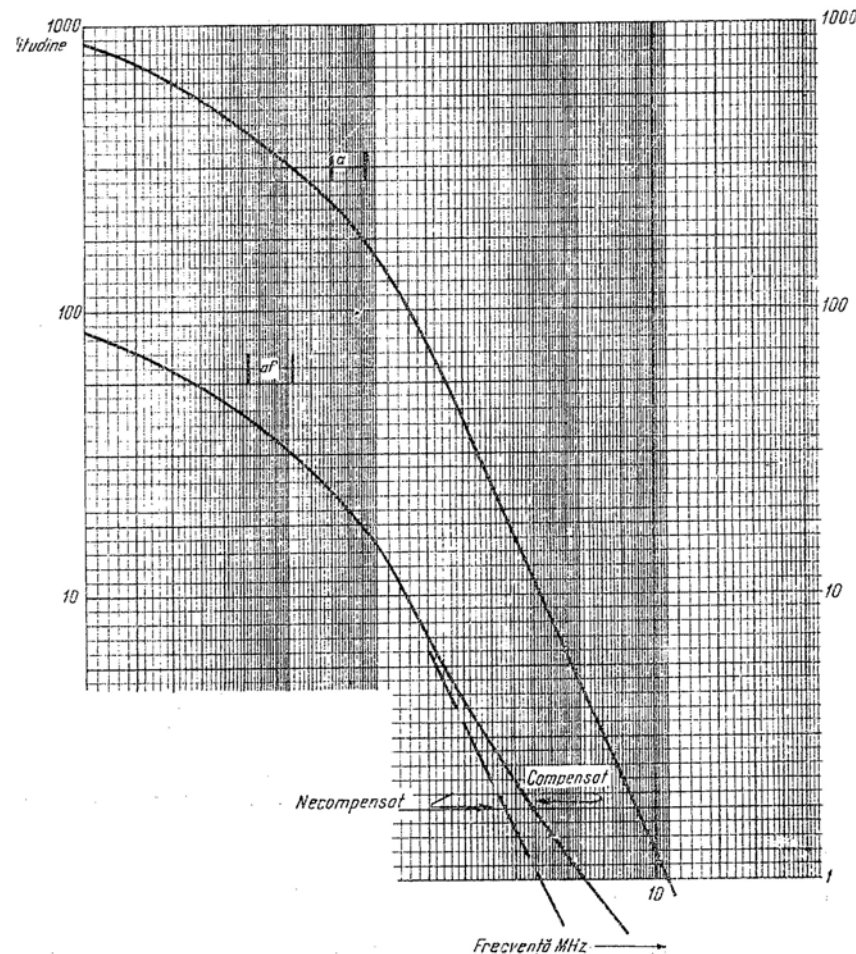


Fig. P. 20.20.1



Din rezultatele problemei 20.19 din reprezentarea grafică a lui  $af(j\omega)$ , acesta nu este stabil. Compensați prin adăugarea unui zero rețelei de reacție. Dacă se alege  $f_z = 3$  MHz ( $s_z = -2\pi \times 3$ ) atunci, așa cum se vede de pe grafic, se obține o rezervă de amplificarea de 2,5

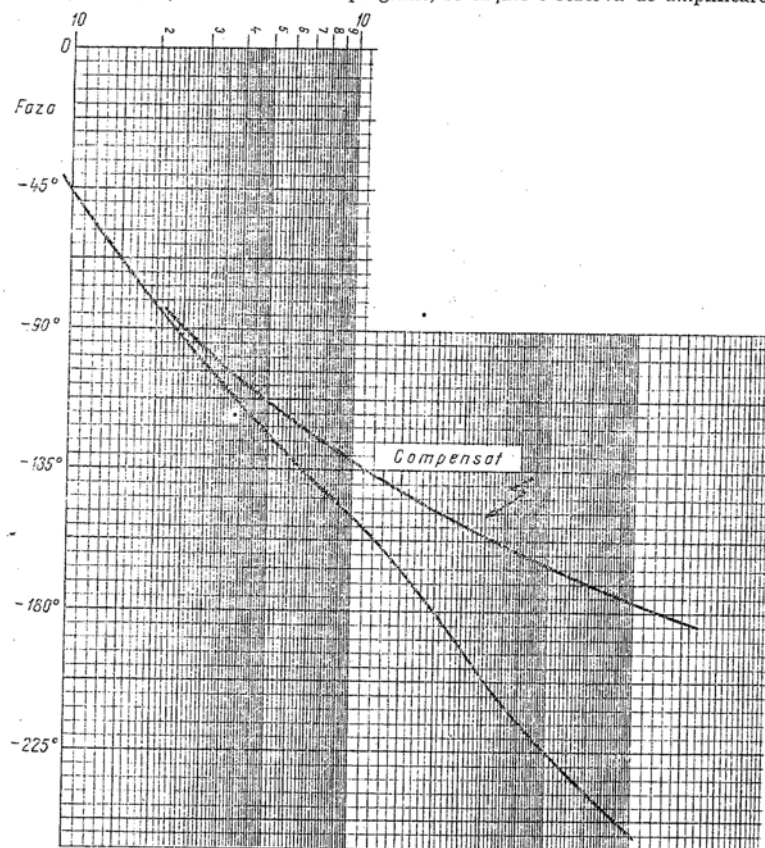


Fig. P. 20.20.2

și o rezervă de fază de  $18^\circ$ . Dacă se alege  $f_z = 2$  MHz se obține o rezervă de amplificarea de 2 și o rezervă de fază de  $20^\circ$ . Ambele vor produce un vîrf considerabil în răspunsul în frecvență, dar sînt stabile.

## PROBLEME LA CAP. 21

### REZOLVAREA PROBLEMEI P. 21.2

a)  $I_{ES}$  este curentul de saturație al joncțiunii emitorului măsurat cu colectorul scurtcircuitat la bază.

b)  $I_{CO}$  este curentul de saturație al joncțiunii colectorului cu terminalul emitorului în circuit deschis.

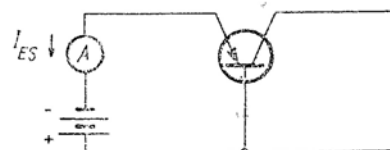


Fig. P. 21.2.1.

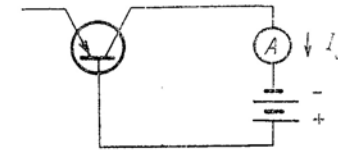


Fig. P. 21.2.2.

### REZOLVAREA PROBLEMEI P. 21.6

Un model pentru tranzistorul *n-p-n* în care generatorul dependent este controlat de către  $I_E$  este prezentat mai jos.

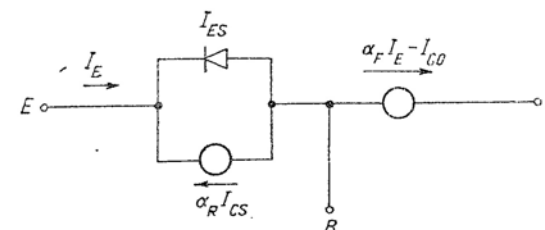


Fig. P. 21.6.1.

Un model pentru un tranzistor *n-p-n* în care generatorul dependent este controlat de către  $I_B$  este prezentat mai jos.

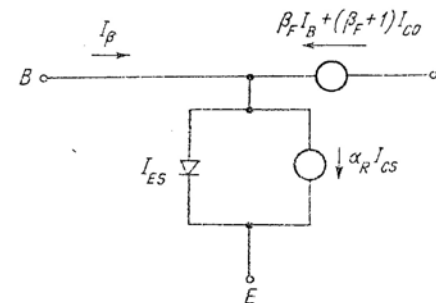


Fig. P. 21.6.2.

## REZOLVAREA PROBLEMEI P. 21.7

a) Cu  $V_{CB} = 0$ , relațiile (21.4) duc la :

$$I_C = -\alpha I_S (e^{qV_{EB}/kT} - 1) \quad (1)$$

$$I_B = -(1 - \alpha) I_S (e^{qV_{EB}/kT} - 1) \quad (2)$$

$$I_E = I_S (e^{qV_{EB}/kT} - 1). \quad (3)$$

Dacă  $I_E$  este fixat la valoarea  $I$ , avem :

$$V_{EB} = \frac{kT}{q} \ln \left( \frac{I}{I_S} + 1 \right) = \frac{kT}{q} \ln \left( \frac{I}{I_S} \right) \quad (4)$$

$$I_C = -\alpha I$$

$$I_B = -(1 - \alpha) I.$$

b) Cu  $I_E = I_C$  avem :

$$I_B = -2I$$

și din relația 21.4 c.

$$2I = (1 - \alpha) I_S (e^{qV_{EB}/kT} - 1) + (1 - \alpha) I_S (e^{qV_{EB}/kT} - 1). \quad (5)$$

Simetria relației cere ca  $V_{EB} = V_{CB}$ . Așadar,

$$I = (1 - \alpha) I_S (e^{qV_{EB}/kT} - 1).$$

sau

$$V_{EB} = \frac{kT}{q} \ln \left[ \frac{I}{(1 - \alpha) I_S} + 1 \right] \approx \frac{kT}{q} \ln \frac{I}{(1 - \alpha) I_S} \quad (6)$$

$$I_B = -2I.$$

c) Pentru cazul în care  $V_{CB} = 0$ , sarcina în exces este de configurație triunghiulară și este proporțională cu  $1/2 p'_b(0)$  sau cu  $\frac{1}{2} (e^{qV_{EB}/kT} - 1)$  sau cu  $\frac{1}{2} I$ .

Pentru cazul în care  $I_E = I_C$ , sarcina în exces este dreptunghiulară și proporțională cu  $p'_b(0)$  sau cu  $(e^{qV_{EB}/kT} - 1)$  sau  $I/(1 - \alpha)$ . Se observă că în acest caz  $V_{EB}$  este mult mai mare. Așadar,

$$\frac{q_B(I_E = I_C)}{q_B(V_{CB} = 0)} = \frac{2}{1 - \alpha}.$$

Raportul are o valoare tipică mare, întrucât  $(1 - \alpha) \ll 1$ .  
Raportul tensiunilor :

$$\frac{V_{EB}(I_E = I_C)}{V_{EB}(V_{CB} = 0)} = \frac{\ln \left[ \frac{I}{(1 - \alpha) I_S} \right]}{\ln \left[ \frac{I}{I_S} \right]}.$$

d) Când  $V_{CB} = 0$ ,  $|I_B|$  este mic comparat cu  $I$ , cea mai mare parte din  $I$  apare la colector, iar sarcina din regiunea bazei este mică. Când tranzistorul este în saturație puternică, cu  $V_{EB} = V_{CB}$ ,  $|I_B|$  este egal cu  $2I$  și tot curentul  $I$  dă curentul de recombinare în bază. În consecință, sarcina din regiunea bazei trebuie să fie mult mai mare pentru a suporta un curent de bază mult mai mare.

## REZOLVAREA PROBLEMEI P. 21.8

Ambele diode ale unui tranzistor npn sînt polarizate în sens direct dacă sînt satisfăcute simultan inegalitățile :

$$\alpha_F I_E < -I_C$$

$$\alpha_R I_C < -I_E$$

sau

$$\alpha_F I_E < I_E + I_B$$

$$\alpha_R I_C < I_C + I_B$$

sau

$$I_B > -(1 - \alpha_F) I_E \quad (1)$$

$$I_B > -(1 - \alpha_R) I_C. \quad (2)$$

În saturație directă,  $I_E$  este negativ și  $I_C$  este pozitiv. Așadar, (1) este satisfăcută dacă  $I_B$  este pozitiv și mai mare decît  $-(1 - \alpha_F) I_E$ . Echivalent :

$$I_B > \frac{I_E}{\beta_F + 1}$$

sau

$$I_B > \frac{I_C}{\beta_F}$$

Similar, în saturație inversă, cînd  $I_C$  este negativ și  $I_E$  este pozitiv trebuie să avem :

$$I_B > -(1 - \alpha_R) I_C = -\frac{I_C}{\beta_R + 1}$$

sau

$$I_B > \frac{I_E}{\beta_R}$$

### REZOLVAREA PROBLEMEI P. 21.11

Ecuția Ebers-Moll (21.5 b),

$$I_C = \alpha_F I_{ES} (e^{-qV_{EB}/kT} - 1) + I_{CS} \quad \left( \text{pentru } V_{CB} \gg \frac{kT}{q} \right)$$

a) Deoarece  $I_C$  este constant pentru orice  $V_{BE} < 0$  trebuie ca :

$$\alpha_F I_{ES} \ll I_{CS} \text{ sau } I_{ES} \ll I_{CS}.$$

b)  $I_{CS}$  este valoarea lui  $I_C$  pentru  $V_{BE}$  negativ :

$$I_{CS} \approx 4 \times 10^{-9} \text{ A} = 4 \text{ nA}.$$

c) O creștere a lui  $V_{BE}$  de la 0,2 V la 0,4 V produce o creștere a lui  $I_C$  de la  $2 \times 10^{-7}$  A la  $5 \times 10^{-5}$  A. Deci :

$$\frac{5 \times 10^{-5}}{2 \times 10^{-7}} = e^{\frac{q}{kT}(0,2)}$$

sau :

$$250 = e^{\frac{q}{kT}(0,2)}$$

$$\frac{q}{kT}(0,2) = 5,5$$

$$\frac{kT}{q} = \frac{0,2}{5,5} \approx 36 \text{ mV}$$

$$\frac{kT}{q} \approx 36 \text{ mV}.$$

d) Se consideră  $V_{BE} = 0,2$  V.

$$I_C \approx 2 \times 10^{-7} \text{ A}.$$

Deci :

$$\alpha_F I_{ES} = \frac{2 \times 10^{-7}}{250} = 0,8 \text{ nA}.$$

$$I_{ES} \approx 0,8 \text{ nA}.$$

### PROBLEME LA CAP. 22

#### REZOLVAREA PROBLEMEI P. 22.5

Termenul care reprezintă curentul de bază este  $i_B$ . Recombinarea este reprezentată de doi termeni. Curentul cerut pentru a suplini recombinarea sarcinii din regiunea activă  $q_{FO}$  este :

$$\frac{q_{FO}}{\tau_{BF}} = \frac{I_S (sat)}{\beta_F}$$

Curentul cerut pentru a suplini sarcina regiunii de saturație  $q_S$  este  $q_S/\tau_S$ .

#### REZOLVAREA PROBLEMEI P. 22.6

Termenul ce reprezintă recombinarea și care a fost neglijat în § 22.3.5 este :

$$q(recomb) = \frac{1}{\tau_{BF}} \int_{\tau_4}^{\tau_5} q_F dt.$$

Dacă se presupune o descreștere liniară a lui  $q_F$  cu timpul,

$$q = \frac{1}{0,4 \times 75} \times \frac{4}{2} \times 99 = 6,6 \text{ pC}.$$

Variația sarcinii condensatorului este 25,9 pC, deci termenul de recombinație reprezintă 25% în aceste calcule. Deoarece recombinația va ajuta în descărcarea sarcinii condensatoarelor, ea va accelera tranziția.

Într-o primă aproximație, ne așteptăm la o reducere de 25% în timpul de comutare, dînd un timp de aproximativ 75 nS. Aceasta concordă cu valoarea calculată pe calculator a timpului  $t_f$ .

## REZOLVAREA PROBLEMEI P. 22.9

Din fig. 22.14, dacă notăm valoarea din regim staționar finală a variației exponențiale (și care nu este niciodată ajunsă), prin  $q_S$  (*final*) atunci:

$$-q_S(\text{final}) = [q_S(\text{inițial}) - q_S(\text{final})] e^{-t_{sd}/\tau_S}. \quad (1)$$

Valoarea finală a lui  $q_S$  din relația (22.25) ne dă valorile lui  $q_S$  cerute mai sus. Deci

$$q_S(\text{inițial}) = \tau_S \left[ I_{B1} - \frac{I_C(\text{sat})}{\beta_F} \right] \quad (2)$$

$$q_S(\text{final}) = \tau_S \left[ I_{B2} - \frac{I_C(\text{sat})}{\beta_F} \right]. \quad (3)$$

Rezolvând ecuația (1) pentru valoarea lui  $t_{sd}$  se obține:

$$t_{sd} = \tau_S \ln \left[ \frac{q_S(\text{inițial}) - q_S(\text{final})}{-q_S(\text{final})} \right].$$

Apoi înlocuim valorile relațiilor (2) și (3) și se obține relația (22.48 a).

## REZOLVAREA PROBLEMEI P. 22.11

$$\frac{d(q_F + q_{FE})}{dt} = \frac{q_R}{\tau_R} - q_F \left( \frac{1}{\tau_F} + \frac{1}{\tau_{BF}} \right) + i_B + i_C$$

$$\frac{d(q_R + q_{FC})}{dt} = \frac{q_F}{\tau_F} - q_R \left( \frac{1}{\tau_R} + \frac{1}{\tau_{BR}} \right) - i_C.$$

## REZOLVAREA PROBLEMEI P. 22.13

Starea inițială,  $V_I = -6,6$  V,  $i_B = 1$  mA

$$q_{BO} = -I_C(\text{sat}) \tau_F = 10 \times 1 = 10 \text{ nC}$$

$$i_{BO} = -\frac{10}{100} = -0,1 \text{ mA}$$

$$\tau_S = \frac{100(5+1) + 50(100)}{106} = 52,8 \text{ ns}$$

$$q_S = (1 - 0,1) 52,8 = 47,5 \text{ pC}.$$

Valoarea finală a lui  $q_S$  este:

$$q_S = -(0,5 - 0,1) 52,8 = -31,6 \text{ pC}.$$

Ecuația lui  $q_S$  este o exponențială (v. fig. 22.14):

$$31,6 = (31,6 + 47,5) e^{-t_{sd}/52,8}$$

$$t_{sd} = 52,8 \ln \frac{79,1}{31,6} = 48,5 \text{ ns}.$$

## REZOLVAREA PROBLEMEI P. 22.14

(a) Cu  $v_i = 0,2$  V,  $v_2 = v_3 = 0$ , toate tranzistoarele sînt apropiate de o blocare netă, deci  $v_0 = 10$  V. Pentru  $v_0$  (*final*), avem:

$$I_C(\text{sat}) = \frac{10 \text{ V}}{1 \text{ k}\Omega} = 10 \text{ mA};$$

$$\frac{I_C(\text{sat})}{\beta_F} = \frac{10}{75} = 0,133 \text{ mA}; \quad I_B = \frac{10,6 - 0,6}{10} = 1 \text{ mA} > \frac{I_C(\text{sat})}{\beta_F},$$

deci tranzistorul este saturat și deci  $v_0(\text{final}) = 0$  V.

(b) Într-o primă aproximație neglijăm efectul următoarelor două tranzistoare asupra primului și  $q_{FC}$  pentru primul tranzistor rezultă:

$$i_B \approx \frac{d}{dt}(q_F + q_{FC}), \quad i_C \approx \frac{q_F}{\tau_F}$$

$$q_F(t_1) \approx 0; \quad q_F(t_2) \approx 4 \text{ pC}; \quad q_{FC}(t_1) = -19,3 \text{ pC}$$

$q_{FC}(t_2) = 1,1 \text{ pC}$  și integrînd curenul bazei rezultă o primă valoare pentru  $t_r$ :

$$i_B(t_2 - t_1) = [4 - 0] + [1,1 + 19,3] = 24,4 \text{ pC}$$

$$i_B = 1 \text{ mA} \rightarrow t_r \approx \frac{24,4}{1} = 24,4 \text{ ns}.$$

În realitate, deoarece cele trei capacități de colector combinate trebuie să preia aproximativ 60 pC în timpul tranziției prin regiunea activă, va exista o componentă a curentului de colector de aproximativ  $\frac{60 \text{ pC}}{24,4 \text{ ns}} \approx 2,5 \text{ mA}$ , deci la limita de saturație,  $q_F \approx (12,5 \text{ mA}) \times (0,4 \text{ ns}) = 5 \text{ pC}$  în loc de 4 pC.

Așadar  $t_r = \frac{25,4 \text{ pC}}{1 \text{ mA}} \approx 25,4 \text{ ns}$  adică o modificare cu 4,2%. Dacă este necesară o precizie mai mare putem itera sau rezolva pe calculator.

#### REZOLVAREA PROBLEMEI P. 22.15

Topologia circuitului este prezentată mai jos

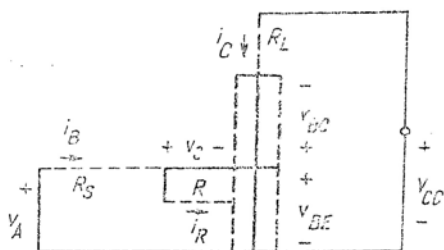


Fig. P. 22.15

Cele trei tensiuni variabile de stare formează un arbore, deci putem începe lucrul.

În plus avem nevoie de o ecuație de stare care să descrie capacitatea  $C$  (adăugată, de exemplu, la relațiile 22.62)

$$\frac{C dv_C}{dt} = i_B - i_R.$$

Acum trebuie să găsim relația între curenții de legătură și tensiunile ca variabile de stare:

$$i_B = (v_A - v_C - v_{BE})/R_S$$

$$i_R = v_C/R$$

$$i_C = (V_{CC} + v_{BC} - v_{BE})/R_L.$$

În sfârșit, trebuie să găsim relația între orice alt curent din relațiile (22.62) și curenții de legătură. Deoarece  $i_C$  este deja un curent de legătură, singura relație necesară este:

$$i_E = -i_C - i_B$$

#### REZOLVAREA PROBLEMEI P. 22.18

(a) Pentru a descărca  $C_2 = 200 \text{ pF}$  în 10 ns, e necesar un curent

$$i_C = \frac{dq}{dt} = \frac{200 \times 10}{10} = 200 \text{ mA}.$$

În cursul acestei tranziții, tranzistorul rămâne în regiunea activă, deci  $q$  trebuie să ajungă repede la valoarea

$$q_F = i_C \tau_F = 200 \times 1 = 200 \text{ pC}.$$

Pentru a obține această sarcină, se aplică un salt de 10 V lui  $C_1$  (care apare aproape integral la  $C_1$ , datorită caracteristicii de intrare a tranzistorului de forma unei caracteristici de diodă). Deci pentru a trimite această sarcină de 200 pC în  $C_1$  e necesar ca:

$$C = \frac{q}{V} = \frac{200}{10} = 20 \text{ pF}.$$

(b) În timpul tranziției  $v_{BE}$  va crește de la 0 la 0,6 V, iar  $v_{BC}$  va crește de la -10 la 0,3 V. Din fig. 22.10, folosind  $K = 10$ .

$$\Delta q_{FE} = 5,4 \text{ pC}$$

$$\Delta q_{FC} = 41 \text{ pC}.$$

Efectul lui  $\Delta q_{FC}$  asupra nodului de colector va fi neglijabil în comparație cu cei 2000 pC variație pe  $C_2$ . Dar trebuie să luăm în considerare aceste variații în bază. Sarcina  $q_{FE}$  va fi cerută imediat. Dar variația  $\Delta q_{FC}$  va apare în timpul celor 10 ns în care scade tensiunea de colector.

O anumită sarcină se pierde prin recombinare

$$q(\text{pierdut}) = \frac{1}{\tau_{BF}} \int_0^{10} 200 dt = \frac{200 \times 10}{1 \times 50} = 40 \text{ pC}.$$

Pentru a descărca pe  $C_2$  e necesară o sarcină  $q_F \approx 200 \text{ pC}$ .

Deci se dă această extrasarcină la început și să presupunem că  $q_F$  scade în timpul tranziției datorită recombinării, și lui  $\Delta q_{FC}$ . Concret,

$$q_F(\text{inițial}) = 200 + \frac{40}{2} + \frac{41}{2};$$

$$q_F(\text{final}) = 200 - \frac{40}{2} - \frac{41}{2}.$$

Deci sarcina inițială cerută din  $C_1$  este

$$q = 200 + \frac{40}{2} + \frac{41}{2} + 5,4 = 246 \text{ pC.}$$

Deci

$$C_1 = \frac{246}{10} = 24,6 \text{ pF.}$$

#### Problema suplimentară P. 22.20

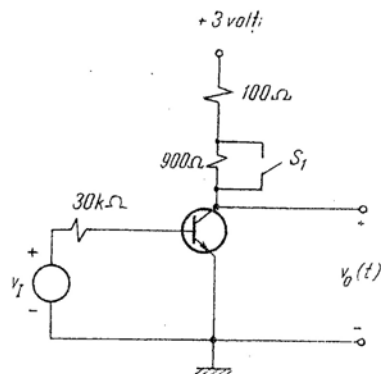


Fig. P. 22.20.1

$$\tau_F = 1 \text{ ns}$$

$$\beta_F = 100$$

$$\tau_R = 20 \text{ ns}$$

$$\beta_R = 2$$

$$\tau_S = 42 \text{ ns}$$

$$K_E = K_C = 0$$

$$Q_{FO} = 1 \times 10^{-10} \text{ C.}$$

(a) Circuitul invertor din fig. 22.20.1 are inițial  $S_1$  deschis. Pentru  $v_i(t)$  de forma arătată în figura de mai jos, schițați și dimensionați  $i_C(t)$  și  $v_o(t)$  pe grafic. Faceți aproximațiile necesare.

(b) Calculați  $q_F$  și  $q_R$  la sfârșitul tranziției și schițați concentrația de purtători minoritari în exces  $n'_b$  în bază.

(c) La momentul  $t_4$ , după ce tranziția de mai sus a luat sfârșit, se închide  $S_1$ . Schițați și dimensionați  $i_C(t)$  și  $v_o(t)$  pe grafic. Folosiți aproximații rezonabile incluzând variații instantanee. Explicați rezultatele. Schițați  $n'_b$  la sfârșitul tranziției.

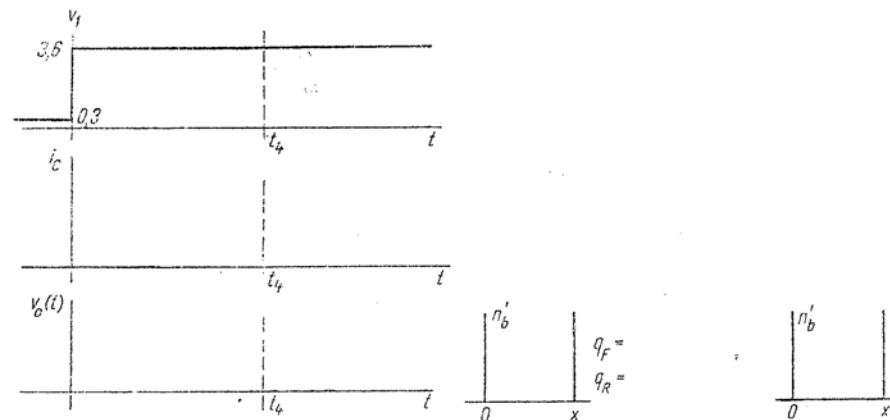


Fig. P. 22.20.2.

#### Problema suplimentară P. 22.21

Rezolvați problema P. 22.20 cu  $\tau_R = 100 \text{ ns}$ . (Observați că  $\tau_S$  nu mai este egal cu 42 ns).

#### Problema suplimentară P. 22.22

Rezolvați problema P.22.20 cu  $\tau_R = 200 \text{ ns}$ . (Observați că  $\tau_S$  nu mai este egal cu 42 ns).

### PROBLEME LA CAP. 23

#### REZOLVAREA PROBLEMEI P. 23.2

Cu  $v_i$  egal cu zero, inițial,  $P_1$  va fi blocat,  $B_1$  va fi saturat, iar capacitatea  $C_1$  va fi încărcată la  $+V_C$ . Dacă apoi  $V_i$  comută la  $+V_C$ ,  $P_1$  se va satura, iar  $B_1$  se va bloca imediat, deoarece emitorul său va fi menținut la  $V_C$  de către capacitate. Deci capacitatea se descarcă numai prin rezistența de  $1 \text{ k}\Omega$  și nu prin  $B_1$ . Constanta de timp este  $\tau = R_L C_L = 1000 \text{ ns}$ . Deci la sfârșitul impulsului de  $1 \mu\text{s}$ , capacitatea va fi descărcată până la tensiunea  $V_C/2,72$ .

Dacă  $v_i$  comută din nou la zero,  $P_1$  se va bloca și  $B_1$  va fi condus de curentul prin  $R_C$ . În timpul traversării regiunii active normale, rezistența efectivă de ieșire a lui  $E_1$  va fi  $R_C/(\beta_F + 1)$ .

Deci constanta de timp a încărcării condensatorului de 1000 pF va fi:

$$\tau = C \left( 1 \text{ k } \Omega \parallel \frac{R_C}{\beta_F + 1} \right).$$

Presupunind  $R_C$  de câteva sute de ohmi, de exemplu 500  $\Omega$  și  $\beta_F = 50$ , această constantă de timp este numai 10 ns, deci condensatorul se încarcă la valoarea finală în 40 sau 50 ns.

#### REZOLVAREA PROBLEMEI P. 23.5

În fig. 23.9,  $a$  este necesară o dovadă astfel încât atunci cînd  $v_I$  este la valoarea  $V_C$ , iar  $B_1$  și  $B_3$  sînt saturate,  $B_2$  nu va conduce un curent substanțial.

Pentru simplitate, presupuneți că tranzistoarele sînt similare și notați nodurile din fig. 23.9,  $b$  ca în fig. 23.9,  $a$ . În fig. 23.9,  $b$ , cînd  $v_I$  are valoarea  $+V_C$ ,  $B_1$  va fi saturat și deci:

$$V_K = V_{CE1}(\text{sat}).$$

În același timp,  $B_3$  va fi saturat și deci  $v_O = v_{CE3}(\text{sat})$ .

Deci în acest circuit, tensiunea la bornele joncțiunii emitor-bază a lui  $B_2$  este:

$$v_{BE2} = V_{CE1}(\text{sat}) - V_{CE2}(\text{sat}) \approx 0.$$

Deci  $B_2$  nu va conduce curent în acest caz, deci nu este necesară o diodă.

#### REZOLVAREA PROBLEMEI P. 23.6

Inițial,  $v_{BE} = 0,1$  V,  $v_{BC} = 1,5$  V (v. fig. 23.11). La sfîrșitul intervalului de întîrziere  $v_{BE} = 0,3$  V,  $v_{BC} = 1,3$  V. Din fig. 22.10:

$$q_{VE}(t_0) = 7 \times 0,1 = 0,7 \text{ pC};$$

$$q_{VC}(t_0) = 4 \times (-0,85) = -3,4 \text{ pC};$$

$$q_{VE}(t_1) = 7 \times 0,3 = 2,1 \text{ pC};$$

$$q_{VC}(t_1) = 4 \times (-0,75) = -3 \text{ pC}$$

$$i_B \text{ la } t_0 \text{ este } \frac{3 - 0,1}{1} = 2,9 \text{ mA};$$

$$i_B \text{ la } t_1 \text{ este } \frac{3 - 0,3}{1} = 2,7 \text{ mA}.$$

Deci cu un curent de bază mediu  $i_B = 2,8$  mA

$$\int_{t_0}^{t_1} i_B dt = \Delta q = (2,1 - 0,7) + (-3 + 3,4) = 1,8 \text{ pC}.$$

$$\text{Timpul de întîrziere} = t_1 - t_0 = t_d = \frac{\Delta q}{i_B} = \frac{1,8}{2,8} = 0,65 \text{ ns}.$$

Aceasta este numai 20% din timpul de creștere de 3,8 ns calculat în text, deci neglijarea lui  $t_d$  este justificată.

#### REZOLVAREA PROBLEMEI P. 23.7

La sfîrșitul intervalului de creștere,  $V_{BE} = 0,7$  V și  $V_{BC} = 0,3$  V. Din problema P.23.6:

$$q_{VE}(t_1) = 2,1 \text{ pC};$$

$$q_{VC}(t_1) = -3 \text{ pC}.$$

Din fig. 22.10:

$$q_{VE}(t_2) = 7 \times 0,6 = 4,2 \text{ pC};$$

$$q_{VC}(t_2) = 4 \times 0,3 = 1,2 \text{ pC}.$$

$$\text{De asemenea: } q_P(t_2) \approx I_C \tau_F = \frac{1,6 - 0,1}{0,24} = 3,1 \text{ pC}.$$

Neglijînd recombinarea:

$$\int_{t_1}^{t_2} i_B dt = \Delta q = (4,2 - 2,1) + (1,2 + 3) + 3,1 = 9,4 \text{ pC}.$$

Media lui  $i_B$  pe interval este:

$$\frac{2,7 + 2,9}{2} = 2,8 \text{ mA}.$$

Deci  $t_2 - t_1 = \text{timpul de creștere} = t_r = \frac{9,4}{2,8} = 3,36 \text{ ns}$  ceea ce confirmă valoarea din text.



## REZOLVAREA PROBLEMEI P. 23.8

Pentru a ilustra cealaltă metodă a calculului asupra regiunii de saturație, se determină mai întâi  $q_F$  și  $q_R$  în starea de saturație. Pentru  $T_2$  saturat, și  $T_1$  de asemenea saturat,

$$i_{B2} = - \frac{0,6 - 0,1}{0,4} = -1,25 \text{ mA}$$

$$i_{C2}(sat) = \frac{3 - 0,1}{0,6} = 4,8 \text{ mA.}$$

Determinăm mai întâi sarcina stocată în  $T_2$ , înaintea tranziției. În starea stabilă de saturație, ecuațiile metodei controlului prin sarcină sint, pentru  $T_2$ ,

$$i_{B2} = \frac{q_F}{\tau_{BF}} + \frac{q_R}{\tau_{RR}};$$

$$i_{C2} = \frac{q_F}{\tau_F} - q_R \left( \frac{1}{\tau_R} + \frac{1}{\tau_{BR}} \right).$$

Cînd  $T_1$  era blocat,  $i_{B2}$  era fixat la:

$$i_{B2} = \frac{3 - 0,6}{1} = 2,4 \text{ mA.}$$

Deci

$$2,4 = \frac{q_F}{2,5} + \frac{q_R}{10};$$

$$4,8 = \frac{q_F}{0,5} - q_R \left( \frac{1}{2} + \frac{1}{10} \right).$$

Rezolvînd, găsim:

$$q_F = 8,6 \text{ pC};$$

$$q_R = 20,5 \text{ pC.}$$

Inițial avem:  $q_S = q_F + q_R - q_{FO} = 8,6 + 20,5 - 4,8 \times 0,5 = 23,7 \text{ pC.}$

Acum putem calcula și  $q_S$  cu ajutorul lui  $\tau_S$

$$\tau_S = \frac{25(5+1) + 10(50)}{5+1+50} = 11,6 \text{ ns.}$$

Acum, din relația (22.26), în starea stabilă, înainte de aplicarea saltului negativ pe bază,

$$q_S = \tau_S [i_B - I_C(sat)/\beta_F] = 11,6 (2,4 - 4,8/50) = 26,7 \text{ pC ca anterior.}$$

În final:

$$q_S = 11,6 [-1,25 - 4,8/50] = -15,7 \text{ pC.}$$

Această valoare nu este niciodată atinsă din cauza schimbărilor tranzistorului (duc către regiunea activă, cînd  $q_S = 0$ ).

Ecuația lui  $q_S$  este o simplă exponențială scăzătoare.

Deci:

$$15,7 = (15,7 + 26,7)e^{-t_{sd}/\tau_S}$$

$$t_{sd} = \tau_S \ln \frac{42,4}{15,7} = 11,6 \text{ ns.}$$

## Timpul de scădere

Se presupune o traversare rapidă a regiunii active, deci putem neglija recombinarea. Se calculează mai întâi  $\Delta q$ .

Se definește drept început al traversării  $t_1$  și drept sfîrșit  $t_2$ :

$$q_F(t_1) = \tau_F I_C = 0,5 \times 4,8 = 2,4 \text{ pC}$$

$$q_F(t_2) = 0$$

$$v_{BE2}(t_1) = 0,6$$

$$q_{RE}(t_1) = 4,2 \text{ pC}$$

$$v_{BE2}(t_2) = 0,3$$

$$q_{RC}(t_1) = 2,1 \text{ pC}$$

$$v_{BC}(t_1) = 0,3$$

$$q_{VC}(t_1) = 1,2 \text{ pC}$$

$$v_{BC}(t_2) = -2,7$$

$$q_{VC}(t_2) = -6 \text{ pC.}$$

Curentul de bază inițial este:

$$i_B(t_1) = -1,25 \text{ mA.}$$

La capătul regiunii active curentul de bază a scăzut la

$$i_B(t_2) = - \frac{0,3 - 0,1}{0,4} = -0,5 \text{ mA};$$

$$\int_{t_1}^{t_2} i_B dt = \Delta q = (-2,4) + (2,1 - 4,2) + (-6 - 1,2) = 11,7 \text{ pC.}$$

Presupunind descreșterea curentului în bază liniară

$$t_2 - t_1 = t_f = \frac{11,7}{(1,25 + 0,5)/2} = 13,4 \text{ ns.}$$

#### REZOLVAREA PROBLEMEI P. 23.9

$$q_{B0} = \tau_F I_C (\text{sat}) = \tau_F \frac{V_C}{R_C}.$$

În final:

$$q_S = \tau_S (i_B - i_{B0}) = \tau_S \left( \frac{V_C}{R_B} - \frac{V_C}{\beta_F R_C} \right).$$

Deci:

$$q_B = q_{BD} + q_S = \tau_F \frac{V_C}{R_C} + \tau_S \left( \frac{V_C}{R_B} - \frac{V_C}{\beta_F R_C} \right)$$

$\tau_S$  este media ponderată a lui  $\tau_{BF}$  și  $\tau_{BR}$ .

Pentru a simplifica comparația se presupune  $\tau_S \approx \tau_{BF}$ .

Atunci:

$$q_B = \frac{\tau_{BF}}{\beta_F} \frac{V_C}{R_C} + \frac{\tau_{BF} V_C}{R_B} - \tau_{BF} \frac{V_C}{\beta_F R_C} = \tau_{BF} \frac{V_C}{R_B}.$$

Cu această presupunere, sarcina din bază va fi aceeași cu sau fără diodă de fixare în fig. 23.19.

#### REZOLVAREA PROBLEMEI P. 23.13

Pentru intrarea pusă la „0”, adică  $-1,6 \text{ V}$ ,  $Q_1$  și  $Q_2$  vor fi blocate deci  $v_2 = 0 \text{ V}$ , iar  $v_4 = -0,75 \text{ V}$ . Cu  $Q_3$  în conducție,

$$I_{C3} = \frac{5,2 - (1,15 + 0,75)}{1,24} = 2,7 \text{ mA.}$$

Deci  $v_3 = -(0,3 \times 2,7) = -0,81 \text{ V}$ , iar  $v_5 = -0,81 - 1,75 = -1,56 \text{ V}$ .

Pentru  $v_1$  pus pe „1”, adică  $-0,75 \text{ V}$ ,  $Q_1$  va conduce și  $Q_3$  va fi blocat, deci  $v_4$  și  $v_5$  vor fi invers ca mai sus. În ambele cazuri, nivelele de tensiune de la intrare și ieșire sînt compatibile.

### PROBLEME LA CAP. 24

#### REZOLVAREA PROBLEMEI P. 24.2

$$\frac{I_t}{I_i} = - \frac{R_B \cdot r_{\pi 1}}{R + r_{\pi 1}} \times g_{m1} \times \frac{R_C}{R_C + R_B + r_{\pi 2}} \times r_{\pi 2} \times g_{m2} \times \frac{R_C}{R_C + R_B}.$$

Pentru  $R_B$  mult mai mare decît  $R_C$ , acest rezultat este identic cu acela dat de relația 24.9.

#### REZOLVAREA PROBLEMEI P. 24.4

Pentru

$$I_{C1} = I_{C2} = \frac{I}{A + 1}$$

$$K_1 = 0$$

$$K_2 = \frac{I}{A + 1} - \frac{I}{A + 1} = 0.$$

Deci relația (24.22) devine:

$$i_{C1} = i_{C2} = \frac{I}{A + 1}.$$

Aceasta înseamnă că pentru acest set de condiții inițiale ale regiunii active, nu există tranziție. Ne aflăm la limita unui echilibru instabil marcat cu  $C_2$  în fig. 24.1, b.

#### REZOLVAREA PROBLEMEI P. 24.6

Se presupune  $T_1$  blocat. Dacă este așa, nu există cădere pe  $R_{C1}$ , deci  $V_{BE2} = 0$ , și deci și  $T_2$  este blocat. Deci nu avem cădere de tensiune pe  $R_{C2}$  și  $V_{BE1} = 0$ , amintind că într-adevăr,  $T_1$  este blocat.

Presupunem acum că  $T_1$  conduce. Atunci:

$$i_{B2} \approx - \frac{6}{10} = -0,6 \text{ mA.}$$

Deci  $T_2$  va fi în conducție și la saturație, pentru orice  $\beta_F$  mai mare decît 5. Deci

$$i_{B1} \approx \frac{6}{10} = 0,6 \text{ mA,}$$

decî  $T_1$  este în conducție pentru orice  $\beta_F$  mai mare decît 5.

Aceste calcule confirmă prima condiție de bistabilitate din § 24.1.5.

## REZOLVAREA PROBLEMEI P. 24.8

Condiția unei operări corecte a circuitelor bistabile cu circuite logice cu emitorul cuplat (CLEC), este aceea că fiecare tranzistor trebuie să alterneze între regiunea activă și regiunea de blocare. Pentru simplitate se presupune că  $R_1$  și  $R_2$  sînt de cel puțin 10 ori mai mari decît  $R_L$  și  $R_E$ , deci încărcarea de către circuitul bazei este neglijabilă.

Acum presupunem că  $T_1$  este în conducție, iar  $T_2$  blocat. Pentru a pune bazele la o tensiune de aproximativ  $V_{CC}/2$ , să punem  $R_1 = R_2$ . Deci potențialul emitorului va fi:  $(V_{CC}/2) = 0,6$ . Așadar, pentru un curent de emitor dat  $I_0$ ,

$$R_E = \frac{\frac{V_{CC}}{2} - 0,6}{I_0}.$$

Facem  $R_L$  mai mic decît  $R_E$  pentru a asigura că nici un tranzistor nu se saturează în starea de conducție. Pentru răspunsuri rapide, se face  $R_L$  mult mai mic decît  $R_E$ , astfel încît excursiile tensiunii de colector nu sînt prea mari între regiunea de conducție și cea de blocare (deci minimizăm  $\Delta q_{FC}$ ).

## REZOLVAREA PROBLEMEI P. 24.11

Așa cum este ilustrat în fig. 24.15, tranzistoarele sînt în mod normal blocate. Pentru a le bascula se aplică un impuls negativ pe  $T_2$ , trecîndu-l în stare de conducție. Aceasta ridică pe  $v_2$  pînă cînd  $T_1$  intră în conducție deci intensificînd comanda lui  $T_2$ . Se observă totuși că  $T_2$  nu se saturează imediat, datorită lui  $C$ . De fapt saturarea lui  $T_2$  sîrșește starea metastabilă, deoarece curentul de bază al lui  $T_1$  este injectat numai datorită variațiilor la bornele lui  $C$ . Curentul de încărcare al lui  $V$  vine de la  $T_2$ . Acest curent de colector este:

$$\beta_F \times \frac{6 - 0,6}{10}.$$

Deci  $v_2$  crește exponențial către:

$$V_2 = \beta_F \times \frac{5,4}{10} \times 2,2.$$

Pentru  $\beta_F = 50$ ,  $v_2 \approx 60$  V. Această creștere exponențială este întreruptă atunci cînd  $v_2 = 6$  V, așa cum s-a scos în evidență mai sus. Deci numai prima parte, cea liniară, a exponențialei, este obținută și putem de fapt să presupunem că tot curentul de colector e folosit la încărcarea lui  $C_1$  (de exemplu neglijăm curentul în rezistența de sarcină de 2,2 kΩ). Pe acest temel,  $v_2$  ajunge de la 0,6 V pînă la 6 V în timpul:

$$\Delta t = \frac{C \Delta V}{i} = \frac{C \times 5,4}{\beta_F \times \frac{5,4}{R_2}} = \frac{R_2 C}{\beta_F}.$$

## REZOLVAREA PROBLEMEI P. 24.12

1) Cînd condensatorul  $C$  este scos,  $T_2$  va rămîne permanent în conducție (activ) astfel încît să îndeplinească condiția (1);  $T_1$  trebuie să fie blocat. Aceasta se aranjează ajustînd rezistențele  $R_{B1}$  și  $R_{B3}$ .

2) Cînd  $v_{BE2}$  este scăzut, tensiunea emitor-masă se reduce. Este clar că  $T_1$  va putea eventual să intre în regiunea activă cît timp  $T_2$  este încă în regiunea activă, indiferent de valorile lui  $R_{B1}$  și  $R_{B3}$  alese mai sus. Așadar se satisface condiția (2).

3) Ridicînd potențialul bazei lui  $T_2$  va crește potențialul emitorului lui  $T_1$ , care va reduce curentul de colector al lui  $T_1$ , deci va crește potențialul colectorului lui  $T_1$ . Așadar reacția este pozitivă. Parametrii circuitului pot fi aleși astfel încît să asigure o transmisie pe buclă mai mare decît unitatea.

## REZOLVAREA PROBLEMEI P. 24.14

Putem găsi forma curbei de transfer presupunînd diverse valori ale lui  $v_I$  și calculînd  $v_O$ . Totuși, deoarece circuitul este regenerativ, tensiunea de ieșire va fi o funcție cu două valori ale tensiunii de intrare  $v_I$ , între anumite limite, deci în aceste limite trebuie să se presupună care sînt stările tranzistoarelor.

Presupunem  $v_I = 0$ . În acest caz,  $T_1$  va fi sigur blocat.

Neglijînd curentul de bază al lui  $T_2$ , se calculează  $v_3$  care va fi:

$$v_3 = \frac{20}{80} \times 10 = 2,5 \text{ V};$$

$$v_2 = 2,5 - 0,6 = 1,9 \text{ V};$$

$$v_O = 10 - (1,9) 2 = 6,2 \text{ V}.$$

Presupunem  $v_I = 3,9$  V. Atunci  $T_1$  va fi cu siguranță în conducție. Deci  $v_2 = 3,3$  V, iar  $v_1 = 10 - (3,3) 2 = 3,4$  V, neglijînd curentul prin  $R_{B2}$ . Acum  $v_3 = 3,4 \times 1/4 = 0,85$  V, deci  $T_2$  este blocat și  $v_O = 10$  V.

$v_I$	Starea lui $T_1$	$v_1$	$v_2$	$v_3$	Starea lui $T_2$	$v_O$
0	blocat	—	1,9	2,5	conducție	6,2
2	blocat	—	1,9	2,5	conducție	6,2
2,2	blocat	—	1,9	2,5	conducție	6,2
3,9	conducție	3,4	3,3	0,85	blocat	10
2,1	conducție	7,0	1,5	1,75	blocat	10
2,2	conducție	6,8	1,6	1,7	blocat	10

Tabelul de mai sus conține demonstrația cerută asupra bistabilității pentru  $v_I = 2,2$  V. Presupunînd  $T_1$  blocat, se găsește un argument puternic asupra faptului că  $T_2$  este în conducție și deci  $T_1$  blocat. Similar, presupunînd  $T_1$  în conducție și  $T_2$  blocat se vede din ultima linie a tabelului că afirmația este consistentă. Deci sistemul este bistabil.

## PROBLEME LA ANEXA A

## REZOLVAREA PROBLEMEI P.A. 1

(a) Intersecțiile dreptelor de sarcină sint :

$$e_B = V_B = 250 \text{ V};$$

$$i_B = \frac{V_B}{R_L} = 5 \text{ mA.}$$

(b) Pentru  $e_C = 0 \text{ V}$ , punctul static de funcționare este

$$e_B = 125 \text{ V};$$

$$i_B = 2,5 \text{ mA}$$

Pentru  $e_C = -2 \text{ V}$  punctul static de funcționare este

$$e_B = 230 \text{ V}$$

$$i_B = 0,7 \text{ mA.}$$

(c) Cea mai mică valoare a lui  $e_C$ , care va bloca trioda este

$$e_C \approx -3,3 \text{ V.}$$

## REZOLVAREA PROBLEMEI P.A. 3

(a) Dreapta de sarcină are intersecțiile la :

$$e_B = 300 \text{ V};$$

$$i_B = \frac{300}{80 + 0,5} = 3,75 \text{ mA.}$$

Relația dintre  $i_B$  și  $e_C$  este (pentru  $v_I = 0$ ):  $e_C = -i_B R_S$ . Această curbă poate fi reprezentată pe caracteristicile de ieșire. Ea intersectează dreapta de sarcină la :

$$e_B = 170 \text{ V};$$

$$i_B = 16 \text{ mA};$$

$$e_C = -0,8 \text{ V.}$$

(c) Pentru  $i_B = 1,5 \text{ mA}$  și folosind dreapta de sarcină de la punctul (a), care este valabilă atît timp cît  $R_S$  este foarte mic comparat cu  $R_D$ , avem :

$$e_C \approx -0,7 \text{ V.}$$

$$R_S = \frac{0,7}{1,5} \approx 470 \Omega.$$

Deci

## REZOLVAREA PROBLEMEI P.A. 4

Observați că în textul problemei se va subînțelege  $R_D = R_O = 50 \text{ k}\Omega$ .

## REZOLVAREA PROBLEMEI P.A. 5

Dreapta de sarcină este verticală cu o intersecție la 200 V. Curentul anodic este 2 mA pentru

$$e_C \approx -1 \text{ V.}$$

Așadar

$$V_C = 1 \text{ V.}$$

## REZOLVAREA PROBLEMEI P.A. 7

Punctul static de funcționare (găsit în problema A.4) este :

$$e_B = 225 \text{ V};$$

$$i_B = 1,5 \text{ mA.}$$

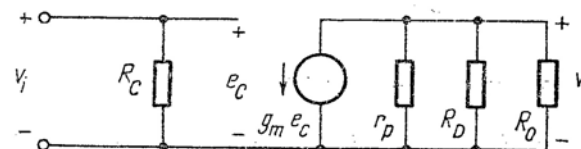


Fig. P. A. 7.

(a) În acest punct trioda are următorii parametri de semnal mic :

$$g_m = \frac{\Delta i_B}{\Delta e_c} \approx \frac{1,7 \text{ mA}}{1,0 \text{ V}} = 1,7 \text{ mS};$$

$$r_p = \frac{\Delta e_B}{\Delta i_B} = \frac{120 \text{ V}}{2 \text{ mA}} = 60 \text{ k}\Omega.$$

(b) Neglijând tensiunile de semnal mic la bornele lui  $C_1$  și  $C_2$  se obține următorul model :

$$\frac{v_0}{v_i} = -g_m (r_p || R_D || R_0).$$

În punctul static de funcționare,

$$r_p || R_D || R_0 = 60 \text{ k}\Omega || 50 \text{ k}\Omega || 50 \text{ k}\Omega \approx 16 \text{ k}\Omega$$

$$\frac{V_0}{V_i} \approx -1,7 \times 16 = -27.$$

## PROBLEME LA ANEXA B

### REZOLVAREA PROBLEMEI P.B. 1

(o) Substituind relația (B.5b) în (B.5a) și rezolvând pentru  $\rho(x)$  obținem :

$$\rho(x) = -\varepsilon_0 \frac{d^2 \psi}{dx^2}.$$

Substituind relația (B.2) în (B.4) se obține :

$$\rho(x) = J_0 \sqrt{\frac{m}{2q}} \psi^{-1/2}.$$

În final, eliminând  $(x)$  între aceste relații, obținem :

$$\frac{d^2 \psi}{dx^2} = -\frac{J_0}{\varepsilon_0} \sqrt{\frac{m}{2q}} \psi^{-1/2} \text{ adică relația (B.7)}$$

(b) Înmulțind ambii membri prin  $\frac{d\psi}{dx}$  și folosind identitatea :

$$\frac{d\psi}{dx} \left( \frac{d^2 \psi}{dx^2} \right) = \frac{1}{2} \frac{d}{dx} \left( \frac{d\psi}{dx} \right)^2$$

obținem :

$$\frac{1}{2} \frac{d\psi}{dx} \left( \frac{d\psi}{dx} \right)^2 = -\frac{J_0}{\varepsilon_0} \sqrt{\frac{m}{2q}} \psi^{-1/2} \frac{d\psi}{dx}.$$

Așadar :

$$\frac{1}{2} \left( \frac{d\psi}{dx} \right)^2 \Big|_0^{\psi} = -\frac{J_0}{\varepsilon_0} \sqrt{\frac{m}{2q}} \int_0^{\psi} \psi^{-1/2} d\psi.$$

După integrare, se va obține :

$$\left( \frac{d\psi}{dx} \right)^2 = -\frac{4J_0}{\varepsilon_0} \sqrt{\frac{m}{2q}} \psi^{1/2}$$

(c, d)

$$\frac{d\psi}{dx} = -2 \sqrt{\frac{J_0}{\varepsilon_0}} \sqrt{\frac{m}{2q}} \psi^{1/4}.$$

Așadar

$$\int_0^{\psi} \psi^{-1/4} d\psi = -2 \sqrt{\frac{J_0}{\varepsilon_0}} \sqrt{\frac{m}{2q}} \int_0^x dx$$

sau, după integrare

$$\frac{4}{3} \psi^{3/4} = -2 \sqrt{\frac{J_0}{\varepsilon_0}} \sqrt{\frac{m}{2q}} x.$$

Dacă rezolvăm obținem :

$$\psi = \left( \frac{3}{2} \right)^{3/4} \left( \frac{J_0}{\varepsilon_0} \right)^{2/3} \left( \frac{m}{2q} \right)^{1/3} x^{4/3}.$$

Cînd  $x = W$ ,  $\psi = V$ ;

$$V = \left( \frac{3}{2} \right)^{4/3} \left( \frac{J_0}{\varepsilon_0} \right)^{2/3} \left( \frac{m}{2q} \right)^{1/3} W^{4/3}.$$

Această relație poate fi rezolvată pentru  $J_0$  și se obține :

$$J_0 = \left[ \frac{4}{9} \varepsilon_0 \sqrt{\frac{2q}{m}} \frac{1}{W^2} \right] V^{3/2} \text{ ceea ce reprezintă relația (B.10); factorul din paranteze}$$

reprezintă frecvența.

În final, potențialul poate fi scris ca :

$$\psi = V \left( \frac{x}{W} \right)^{4/3} \text{ adică relația (B.9).}$$

#### REZOLVAREA PROBLEMEI P.B. 2

Dacă emisiile electronice sunt limitate, sarcina în mișcare va avea o influență limitată asupra distribuției de potențial, care este aproximativ liniară

$$\psi = V \left( \frac{x}{W} \right).$$

În consecință viteza electronilor este, din relația (A.2),

$$u = \sqrt{\frac{2qV}{mW}} x^{1/2}.$$

Timpul de trecere este :

$$T = \int_0^W \frac{dx}{u} = \sqrt{\frac{mW}{2qV}} \int_0^W x^{-1/2} dx$$

sau

$$T = 2 W \sqrt{\frac{m}{2qV}}.$$

Aceste calcule arată că timpul de trecere este mai mic (prin factorul 2/3) decât într-o diodă cu sarcină spațială.

#### REZOLVAREA PROBLEMEI P.B. 4

(a) Deoarece  $i = K v^{3/2}$ , în coordonate logaritmice se va obține o dreaptă :

$$\log i = \log K + \frac{3}{2} \log v.$$

(b) Se poate obține acest rezultat fără hirtie specială în coordonate logaritmice, reprezentând  $i$  în funcție de  $v^{3/2}$  pe coordonate liniare :

$v(V)$	$v^{3/2}$	$i (mA)$
50	354	4
100	1000	14
150	1830	25

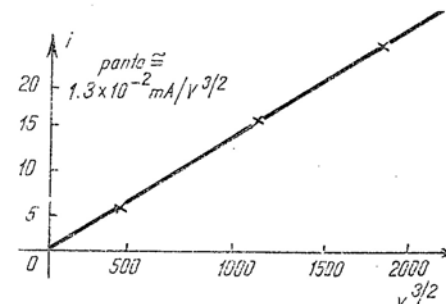


Fig. P. B.4.

Această construcție duce la  $K \approx 1,3 \times 10^{-2} \frac{mA}{V^{3/2}}$

#### REZOLVAREA PROBLEMEI P.B. 6

(a) Parametrii de semnal mic au următoarele definiții :

$$\mu = - \left. \frac{\partial e_B}{\partial e_C} \right|_{i_B = \text{const}}, \quad g_m = \left. \frac{\partial I_B}{\partial e_C} \right|_{e_B = \text{const}},$$

$$r_p = \left. \frac{\partial e_B}{\partial i_B} \right|_{e_C = \text{const}}.$$

Mai jos este prezentată o porțiune mărită a caracteristicilor anodice ale triodei.

Mărirea este suficientă pentru a face ca funcțiile de  $e_C$  constant să apară ca linii drepte. Triunghiul ilustrat definește micile variații ale celor trei variabile:  $\Delta e_B$ ,  $\Delta i_B$ ,  $\Delta e_C$ .

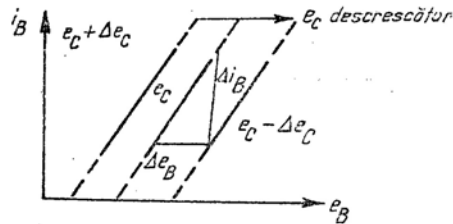


Fig. P. B.6.

Din definiții avem:

$$\mu = \frac{\Delta e_B}{\Delta e_C} = \frac{\text{baza triunghiului}}{\text{variația potențialului grilei}}$$

$$g_m = \frac{\Delta i_B}{\Delta e_C} = \frac{\text{înălțimea triunghiului}}{\text{variația potențialului grilei}}$$

$$r_p = \frac{\Delta e_B}{\Delta i_B} = \text{inversa pantei ipotenuzei.}$$

(b) Pentru caracteristicile din fig. (A.4):

$$\text{La } e_C = -1 \text{ V, } e_B = 200 \text{ V.} \quad \text{La } e_C = -3 \text{ V, } e_B = 300 \text{ V}$$

$$\mu = \frac{45 \text{ V}}{0,5 \text{ V}} = 90$$

$$\mu = \frac{50 \text{ V}}{0,5 \text{ V}} = 100$$

$$g_m = \frac{1 \text{ mA}}{0,5 \text{ V}} = 2 \times 10^{-3} \text{ S}$$

$$g_m = \frac{0,55 \text{ mA}}{0,5 \text{ V}} = 1,1 \times 10^{-3} \text{ S}$$

$$r_p = \frac{45 \text{ V}}{1 \text{ mA}} = 45 \text{ k}\Omega$$

$$r_p = \frac{50 \text{ V}}{0,55 \text{ mA}} = 91 \text{ k}\Omega.$$

### REZOLVAREA PROBLEMEI P.B. 7

Folosind definițiile:

$$g_m = \left. \frac{\Delta i_B}{\Delta e_C} \right|_{e_B = 0}$$

$$r_p = \left. \frac{\Delta e_B}{\Delta i_B} \right|_{e_C = 0}$$

se găsește, în apropierea lui  $e_B = 200 \text{ V}$ ,  $e_C = -1 \text{ V}$ .

$$g_m = \frac{42 \text{ mA}}{1 \text{ V}} = 4,2 \text{ mS};$$

$$r_p = \frac{400 \text{ V}}{0,1 \text{ mA}} = 4 \text{ M}\Omega.$$

### REZOLVAREA PROBLEMEI P.B. 9

(a) Dreapta de sarcină are panta  $-1/R_K$ .

Intersecțiile sînt:

$$e_B = 250 \text{ V} \quad \text{cînd } i_B = 0$$

$$\text{de asemenea: } i_B = \frac{250 \text{ V}}{20 \text{ k}\Omega} = 12,5 \text{ mA} \quad \text{cînd } e_B = 0$$

$$i_B = 2,5 \text{ mA} \quad \text{cînd } e_B = 200 \text{ V.}$$

Această dreaptă de sarcină intersectează linia  $e_C = 0$  din fig. A.4 la:

$$e_B \approx 175 \text{ V.}$$

$$i_B \approx 3,8 \text{ mA.}$$

Tensiunea pe  $R_K$  este:

$$v_o \approx 75 \text{ V.}$$

În consecință valoarea maximă a lui  $v_I$  pentru operare cu grila negativată este :

$$v_I \approx 75 \text{ V.}$$

(b) Circuitul echivalent este :

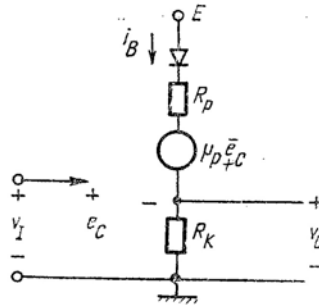


Fig. P. B. 9.1.

Punctul de blocare al diodei este caracterizat de :

$$i_B = 0$$

$$-\mu_p \cdot e_C = E, \quad v_I = e_C.$$

Deci avem :

$$v_O = 0$$

$$v_I = -\frac{E}{\mu_p}.$$

Pentru  $v_I > -E/\mu_p$  dioda este deschisă, iar analiza circuitului rezultat duce la :

$$i_B = \frac{E + \mu_p V_I}{R_p + (\mu_p + 1)R_K}.$$

Așadar :

$$v_O = \frac{R_K (E + \mu_p V_I)}{R_p + (\mu_p + 1)R_K}.$$

Limita regiunii cu grila negativă apare pentru :

$$v_I = v_O = E \frac{R_K}{R_K + R_p}.$$

Funcția de transfer static este ilustrată în fig. P. B. 9.2.

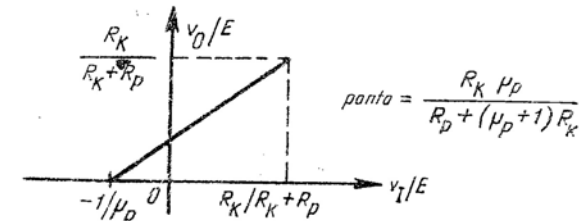


Fig. P. B. 9.2.

#### REZOLVAREA PROBLEMEI P.B. 10

În fig. P.B. 10.1. este ilustrat circuitul echivalent liniar pe porțiuni și cu sursa echivalentă inclusă. (Se observă că rezistența sursei este notată prin  $R'_G$  pentru a face distincție de  $R_G$  din circuitul echivalent liniarizat pe porțiuni.)

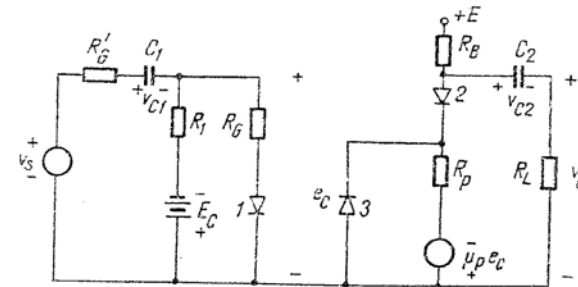


Fig. P. B. 10.2

Se presupune că  $C_1$  și  $C_2$  sînt suficient de mari astfel încît tensiunile  $v_{C1}$  și  $v_{C2}$  să rămîină fixe la valorile din punctul static de funcționare, care se obține pentru  $v_S = 0$  și  $v_O = 0$ . În condiții statice de funcționare diodele 1 și 3 sînt blocate, iar dioda 2 este în conducție. Așadar,

$$v_{C1} = -E_C = -4 \text{ V};$$

$$v_{C2} = E \frac{R_p}{R_p + R_B} + E_C \frac{R'_p}{R_p + R_B} = 140 \text{ V.}$$



Deci circuitul se reduce la;

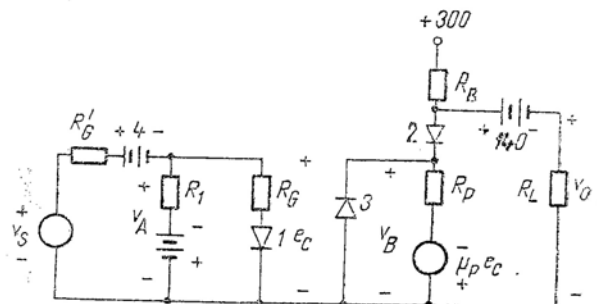


Fig. P. B. 10.2

Acum se evaluează cele trei puncte de fringere.

*dioda 1:*

Este clar că  $e_C = v_A = 0$ . Așadar,  $v_S = 4 + (R'_G/R_1)e \approx 4,2$  V. În această condiție dioda 3 este blocată, iar 2 este în conducție. Așadar circuitul se reduce la:

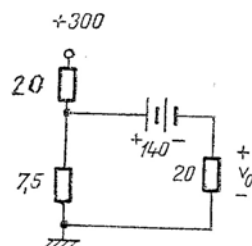


Fig. P. B. 10.3

$$v_O = 300 \frac{20 \parallel 7,5}{20 + 20 \parallel 7,5} = 140 \frac{20}{20 + 20 \parallel 7,5}$$

$$v_O \approx -45 \text{ V.}$$

*dioda 2:*

Diodele 1 și 3 trebuie să fie blocate.

Dioda 2 nu are tensiune la borne și nici curentul nu circulă prin ea cînd

$$-v_P e_O = 300 \frac{R_L}{R_L + R_B} + 140 \frac{R'_P}{R_L + R_B} = 220 \text{ V}$$

sau pentru

$$e_C = -11 \text{ V.}$$

La această valoare a lui  $e_C$ , tensiunea sursei de semnal este:

$$v_S = -11 + 4 - R_G \frac{11 - 4}{R_1} \approx -7,3 \text{ V.}$$

Tensiunea de ieșire este:

$$v_O = -v_P \cdot e_C - 140 = 80 \text{ V.}$$

Deci coordonatele punctului de fringere sînt:

$$v_O = 80 \text{ V}$$

$$v_I \approx -7,3 \text{ V.}$$

*dioda 3:*

Cînd această diodă ajunge la propriul punct de fringere, diodele 1 și 2 sînt în conducție. Tensiunea  $v_B = 0$ , iar tensiunea de ieșire este:

$$v_O = -140 \text{ V.}$$

Curentul prin  $R_P$  este:

$$i = \frac{300}{R_B} + \frac{140}{R_L} = 22 \text{ mA.}$$

Deci tensiunea de grilă trebuie să fie:

$$e_C = \frac{R_P}{\mu_P} = 8,25 \text{ V.}$$

Tensiunea sursei de semnal este:

$$v_S = e_C + \left( \frac{e_C}{R_G} + \frac{e_C + 4}{R_1} \right) R'_G + 4 \approx 34 \text{ V.}$$

Coordonatele punctului de fringere sînt:

$$v_O = -140 \text{ V;}$$

$$v_S = 34 \text{ V.}$$

Caracteristica statică de transfer este prezentată mai jos :

Se observă că prezența lui  $C_1$  și  $C_2$  ne asigură că graficul trece prin origine.

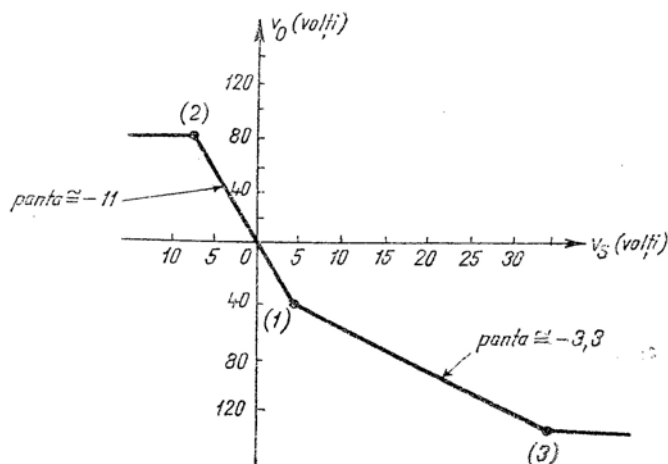


Fig. P. B. 10.3

Pentru  $v_S < -7,3$  V, diodele 1, 2 și 3 sînt deschise și ieșirea este fixată la 80 V. Pentru  $-7,3$  V  $< v_S < 4,2$  V, diodele 1 și 3 sînt blocate, iar 2 în conducție și deci amplificarea de semnal mic este :

$$A_v = - \left( \frac{R_1}{R_1 + R_G} \right) \frac{\mu_p R_B \parallel R_L}{R_B \parallel R_L + R_p} \approx -11.$$

Pentru  $4,2$  V  $< v_S < 34$  V, diodele 1 și 2 sînt în conducție iar dioda 3 este blocată și amplificarea de semnal mic este :

$$A_v = - \left( \frac{R_G \parallel R_1}{R_G \parallel R_1 + R'_G} \right) \frac{\mu_p R_B \parallel R_L}{R_B \parallel R_L + R_p} \approx -3,3.$$

Reducerea amplificării este cauzată de efectul de încărcare al lui  $R_G$  asupra rezistenței sursei.

## DICTIONAR ROMÂN-ENGLEZ

### A

absorbție de fotoni — photon absorption 82, 91, (I)  
 acordare decalată — stagger tuning 102, (II)  
 admitanță de ieșire — output admittance 147, (II)  
 admitanță de intrare — input admittance 147, (II)  
 alegerea ariei în circuite integrate — area selection in integrated circuits 202, (I)  
 aliniabilitate — alignability 97, (II)  
 aliniere — alignment 94, (II)  
 ambalare termică — thermal run-away 492, (I)  
 amplificare — amplification 23, (I)  
 amplificare de curent — current amplification 295, (I)  
 amplificare de curent cu baza comună — common-base current gain 285, (I)  
 amplificare de curent cu emitorul comun — common-emitter current gain 285, (I)  
 amplificare de curent în scurtcircuit, cu baza comună — short-circuit common-base current gain 285, (I)  
 amplificare de curent în scurtcircuit, cu emitorul comun — short-circuit common-emitter gain 285, (I)  
 amplificare de putere — power amplification 24, 295, (I) ; 461, (II)  
 amplificare de tensiune — voltage gain 46, 29, 297, (I) ; 461, (II)  
 amplificare în buclă închisă — closed-loop gain 119, (II)  
 amplificare liniară — linear amplification 44, 403, (I) ; 458, (II)  
 amplificator acordat — tuned amplifier 89, (II)  
 amplificator cascadă — cascade amplifier 11, 76, (II)  
 amplificator cu baza comună — common-base amplifier 314, (I)  
 amplificator cu colector comun — common-collector amplifier 314, (I)  
 amplificator cu cuplaj direct — direct-coupled amplifier 59, (II)

amplificator cu cuplaj prin emitor — emitter coupled amplifier 65, 105, (II)  
 amplificator cu emitor comun — common-emitter amplifier 293, (I)  
 amplificator cu mai multe etaje — multistage amplifier 11, (II)  
 amplificator cu reacție — feedback amplifier 117, (II)  
 amplificator cu sursa comună — common-source amplifier 378, (I)  
 amplificator de bandă îngustă — narrow-band amplifier 117, (II)  
 amplificator de bază — basic amplifier 118, (II)  
 amplificator de tensiune — voltage amplifier 415, (II)  
 amplificator diferențial — differential amplifier 300, (I)  
 amplificator echilibrat — balanced amplifier 297, (I)  
 amplificator instabil — unstable amplifier 413, (II)  
 amplificator în contratimp — push-pull amplifier 315, (I)  
 amplificator operațional — operational amplifier 81, 82, (II)  
 amplificator trece bandă — band-pass amplifier 92, (II)  
 amplificator video — video amplifier 81, (II)  
 analiză de circuit prin liniarizare pe porțiuni — piecewise-linear circuit analysis 228, (II)  
 analiză de semnal mic — incremental analysis 56, 405, (I)  
 analiza diodei cu vid — vacuum diode analysis 444, (II)  
 analiza diodei semiconductoare — semiconductor diode analysis 207, (I)  
 analiză grafică — graphical analysis 38, 225, (I), 453, (II)  
 analiză pe calculator — computer analysis 74, (I)  
 analiză pe noduri — node analysis 553, (I)  
 analiza triodei — triode analysis 485, (II)

anod — plate 445, (II)  
 antrenare — drift 94, (I)  
 aproximația cu un singur pol — one-pole approximation 555, (I)  
 aproximația sărăcirii complete — depletion approximation 149, 172, (I)  
 arborele propriu — proper tree 350, 381, (II)  
 atenuator de precizie — precision attenuator 118, (II)  
 atenuator cu diode — diode attenuator 269, (I)  
 atenuator MOS — MOS attenuator 380, (I)  
 autoaglomerare — pinch-out 423, (I)  
 autotransformator — autotransformer 100, (II)  
 axa jw — jw axis 232, (II)

## B

barieră de potențial — potential barrier 142, 170, (I)  
 basculare — toggle 424, (II)  
 basculare — triggering 421, (I)  
 bază comună — common-base 519, (I)  
 bistabil — flip-flop 412, (II)  
 bistabil în mod de curent (cu cuplaj prin emitor) — current mode flip-flop 428, (II)  
 bistabil I-K — I-K flip-flop 428, (II)  
 blocare în triode cu vid — cutoff in vacuum triodes 450, 455, (II)  
 bobină — inductor 100, 217, 465, (II)  
 bobină cu prize — tapped inductor 100, (II)  
 Bode, curbă — Bode plot 234, (II)

## C

calculator — computer 56, 211, 215, 223, 317, (II)  
 calculator numeric — digital computer 16, 39, (II)  
 calcule pe calculator — computer calculations 195, 205, (II)  
 canal — channel 348, 388, (I)  
 capacitate a joncțiunii — junction capacitance 267, (I)  
 capacitate a regiunii de sarcină spațială a joncțiunii pn — pn junction space-charge-layer capacitance 171, 209, (I)  
 capacitate anod-catod — plate-to-cathode capacitance 434, (II)  
 capacitate de efect Miller — Miller effect capacitance 565, (I)  
 capacitate de încărcare a bazei — base-charging capacitance 417, (I)

capacitate de semnal mic a joncțiunii — incremental junction capacitance 209, (I)  
 capacitate de sarcină spațială de semnal mic — incremental spacecharge capacitance 209, (I)  
 capacitate de stocare sarcinii — capacitance, charge storage 177, (I)  
 ~a regiunii de sarcină spațială — space-charge layer ~ 169 (I)  
 ~de efect Miller — Miller effect ~ 565, (I)  
 ~de semnal mic — incremental ~ 177, (I)  
 capacitate de suprapunere — overlap capacitance 376, 424, (I)  
 capacitate la cald — hot capacitance 485, (II)  
 capacitate la rece — cold capacitance 485, (II)  
 capacitate neliniară — nonlinear capacitance 325, (I)  
 capacitate poartă-sursă — gate-to-source capacitance 375, 410, (I)  
 capacități între conexiuni — interlead capacitances 411, (I)  
 caracteristică pătratică — square-law characteristic 230, (I)  
 caracteristici anodice — plate characteristics 450, 489, (II)  
 caracteristici curent-tensiune, vezi caracteristici I-V — current-voltage characteristics, see I-V characteristics  
 caracteristici de drenă — drain characteristics 34, 350, 357, 396, (I)  
 ~ale TECJ — of JFET 388, (I)  
 ~ale tranzistoarelor MOS — of MOS transistors 357, (I)  
 caracteristici de ieșire ale triodei — triode output characteristics 450 (II)  
 caracteristici de transfer — transfer characteristics 40, (I) ; 454, (II)  
 caracteristici de transfer de c.a. — a.c. transfer characteristics 50, (I) ; 465 (II)  
 caracteristici de sarcină — load lines 39, 50, 508, (I) ; 453, 465, (II)  
 caracteristici de tip dipol — driving-point characteristics 38, (I) ; 452 (II)  
 caracteristici de transfer ale amplificatorului cu emitor comun — common emitter amplifier transfer characteristics 291 (I)  
 caracteristici I-V ale tranzistoarelor bipolare — I-V characteristics of bipolar transistors 280, 287 (I)  
 ~ale diodelor semiconductor integrate — of integrated semiconductor diodes 209, (I)  
 ~ale fotodiodelor cu joncțiune — ~ of junction photodiodes 184, (I)  
 ~ale tranzistoarelor MOS — ~ of MOS transistors 357, (I)

~ale joncțiunilor pn — ~ of pn junctions 152, 163, (I)  
 ~ale diodelor cu vid — ~ of vacuum diodes 181, (I)  
 ~ale triodelor cu vid — ~ of vacuum triodes 450, 489, (II)  
 catod — cathode 228, (I) ; 443, (II)  
 celule fotoconductoare — photoconductive cells 92, (I)  
 circuit — circuit 134, 138, 153, (II)  
 ~bistabil — bistable ~ 410, 428, (II)  
 ~complementar — complementary ~ 373, 425, (II)  
 ~numeric — digital ~ 303, (II)  
 ~f — f ~ 134, 155, (II)  
 ~integrat — integrated ~ 211 (I) ; 81, 110, 386, 428, (II)  
 ~nesaturat — nonsaturating ~ 386, 428, (II)  
 ~regenerativ — regenerative ~ 409, 419, (II)  
 circuit echivalent — circuit model 25, (I)  
 circuit echivalent unilateral — unilateral model 556, (I)  
 circuit echivalent hibrid — hybrid- $\pi$ -model 424 (I)  
 circuit limitator — limiter circuit 229, 235, (I)  
 circuit de „min” — min of circuit 232, (I)  
 circuit de modulare — modulator circuit 297, (II)  
 circuit RLC — RLC circuit 23, (I)  
 circuite acordate — tuned circuits 23, (I)  
 circuite active — active circuits 430, (I)  
 circuite astabile-astabile circuits 297, (II)  
 circuite convertitoare de putere — power conversion circuits 345, (I)  
 circuite de comutație nesaturate — nonsaturating switching circuits 386, 428, (II)  
 ~regenerative — regenerative 409, (II)  
 ~saturate — saturating 362, (II)  
 circuite defazoare — phase-splitter circuits 434, (I)  
 circuite de polarizare — bias circuits 48, (I)  
 circuite de redresare — rectifier circuits 246, (I)  
 circuite echivalente ale tubului cu vid — vacuum tube circuit models 409, (II)  
 circuite echivalente, pentru tranzistoare bipolare — circuit models, for bipolar transistors 253, 413, (I)  
 ~pentru diode — ~ for diodes 2341 (I)  
 ~pentru diode cu vid — ~ for vacuum diodes 467, (II)  
 ~pentru tranzistoare MOS — ~ for MOS transistors 375, 407 (II)  
 ~pentru triode cu vid — ~ for vacuum triodes 467, (II)

~pentru tuburi cu mai mulți electrozi — ~ for multigrid tubes 496, (II)  
 circuite echivalente pentru transformatoare — models for transformers 51, (I)  
 circuite echivalente de regim staționar ale tranzistorului bipolar — bipolar-transistor static circuit models 281 (I)  
 circuite echivalente de semnal mic — incremental models 410, (I)  
 ~pentru diode semiconductor — for semiconductor diodes 238, (I)  
 ~pentru TECJ-uri — for JFET's 412, (I)  
 ~pentru tranzistoare bipolare — for bipolar transistors 413, (I)  
 ~pentru tranzistoare MOS — for MOS transistors 52, 407, (I)  
 ~pentru triode — for triodes 498, (II)  
 ~pentru tuburi cu vid — for vacuum tubes 467, (II)  
 circuite rezonante — resonant circuits 23, (I)  
 cimp electric, într-un semiconductor — electric field, in a semiconductor 119, (I)  
 ~produs prin injecție — injection produced 132, (I)  
 cimpuri electrice interne — built in electric fields 129, (I)  
 ~în stratul de oxid — oxide layer 32, 202, 349, (I)  
 câștig de putere — power gain 24, 41, 46, 295, 429, (I)  
 câștig în buclă închisă — closed-loop gain 119, (II)  
 ~de putere — power ~ 24, 41, 46, 295, 429, (I) ; 461, (II)  
 ~de tensiune — voltage ~ 46, 295, 427, (I) ; 461, (II)  
 coeficient de difuzie — diffusion coefficient 97, 468, (I)  
 coeficient de temperatură al tensiunii de prag — threshold voltage temperature coefficient 168, (I)  
 coeficienți de temperatură ai diodei cu joncțiune pn — pn junction diode temperature coefficients 167, (I)  
 compararea și eșantionarea pe buclă — loop comparison and sampling 151, (II)  
 comparator — comparator 118, (II)  
 compensare — compensation 196, (I) ; 200, 211, 212, 215, 243, 245, (II)  
 complement — complement 309, (II)  
 componenta de mod comun — common-mode component 299, (I)  
 componenta de mod diferențial — difference mode component 299, (I)  
 componenta directă a sarcinii din bază — forward-component of base charge 262, (II)

componenta inversă a sarcinii din bază — reverse-component of base charge 262, (II)  
 componente neliniare — nonlinear components 225, (I)  
 componente pasive — passive components 23, (I)  
 componente semiconductoare — semiconductor components 207, (I)  
 comportarea dinamică a diodei cu joncțiune pn — pn junction diode dynamic behavior 169, (I)  
 comportarea pătratică a tranzistoarelor MOS — square-law behavior of MOS transistors 379, (I)  
 comutatoare cu tranzistoare — transistors switches 293, (II)  
 comutator cu efect de câmp — field effect switch 401, (II)  
 concentrație de purtători, dependența de temperatură — carrier concentration, temperature dependence 85, (I)  
 concentrație intrinsecă de purtători — intrinsic carrier concentration 84, (I)  
 concentrație netă de impurități — net impurity concentration 144, 195, (I)  
 concentrații de purtători — carrier concentrations 80, (I)  
 ~ la echilibru — equilibrium ~ 81, (I)  
 ~ la marginile regiunii de sarcină spațială — at space-charge layer edges 156, (I)  
 condensatoare semiconductoare — semiconductor capacitors 209, (I)  
 condensator de accelerare — speed-up capacitor 336, (I)  
 condensator de blocare — blocking capacitor 52, (I) ; 466, (II)  
 condensator de cuplaj — coupling capacitor 52, (I) ; 466, (II)  
 condensator de decuplare — bypass capacitor 67, (II)  
 condensator de decuplare de emitor — emitter bypass capacitor 502, (I)  
 condiții de echilibru la o joncțiune pn — none equilibrium conditions at a pn junction 152, (I)  
 conductanța canalului — channel conductance 33, (I)  
 conductanță anodică — plate conductance 469, 499, (II)  
 ~ de semnal mic — incremental ~ 469, (II)  
 conductanță de drenă — drain conductance 441, (I)  
 conductanță de ieșire — output conductance 55, (I)  
 ~ de semnal mic — incremental ~ 55, (I)  
 conductanță de intrare — input conductance 418, (II)

conductanță de scurtcircuit — short-circuit conductance 24, (II)  
 conductanță de semnal mic — incremental conductance 418, (I)  
 conductanță de transfer — transfer conductance 55, (I)  
 ~ de semnal mic — incremental ~ 55, (I)  
 ~ directă — forward ~ 469, (II)  
 conductivitate — conductivity 66, 96, (I)  
 conductivitate electrică — electrical conductivity 66, (I)  
 conductoare — conductors 66, (I)  
 conexiune (configurație) cu bază comună — common-base configuration 288, (I)  
 conexiune (configurație) cu emitor comun — common-emitter configuration 289, (I)  
 constantă de timp — time constant 54, (II)  
 ~ dominantă — dominant ~ 74, 210, (I)  
 ~ în circuit deschis — open-circuit ~ 21, (II)  
 ~ în scurtcircuit — short circuit ~ 35, (II)  
 construcția locului rădăcinilor — root-locus construction 183 (II)  
 contacte — contacts 205 (I)  
 ~ metal-semiconductor — metal-semiconductor ~ 205 (I)  
 ~ ohmice — ohmic ~ 206 (I)  
 control prin sarcină — charge-control 317, 419, (II)  
 creștere exponențială — exponential growing 422, (II)  
 criteriul lui Nyquist — Nyquist criterion 231, (II)  
 cuadripol — two-part 452, (I)  
 curbă de disipație — dissipation curve 485, (I)  
 curent de bază — base current 275, 281, 284, (I)  
 curent de drenă — drain current 364, (I)  
 curent de grilă — grid current 450, (I)  
 curent de poartă — gate current 35, 379, 398, (I)  
 curent de purtători majoritari — majority-carrier current 120 (I)  
 curent de purtători minoritari — minority-carrier current 120, (I)  
 curent de saturație — saturation current 164 181, 289, (I)  
 curent de saturație al joncțiunii de colector — collector junction saturation current 289, (I)  
 curent de testare — test current 29, (II)  
 curentul diodei (cu vid) — diode current (vacuum) 432, (II)  
 curentul joncțiunii pn — pn junction current 153, (I)  
 curenți de deplasare — displacement currents 174, (I)

curenți de saturație în gol — open-circuit saturation currents 266, (II)  
 curenți de saturație în scurtcircuit — short-circuit saturation currents 265, (II)  
 curenți de saturație în tranzistoare bipolare — saturation currents in bipolar transistors 266, (II)  
 curgerea (circulația) curentului în joncțiunea pn — current flow in pn junction 153, (I)  
 curgerea energiei — energy flow 41, 295, (I)  
 curgere limitată de emisie — emission-limited flow, 448, 478, (II)  
 curgere limitată de sarcina spațială — space-charge-limited flow 448, 478, (II)  
 cvasineutralitate — quasi-neutrality 88, 113, 134, (I)

## D

DCTL — DCTL 364, (II)  
 Debye, lungime — Debye length 187, (I)  
 defect de bază — base defect 285, (I)  
 demonstrație experimentală asupra — demonstration of  
 ~ amplificatoarelor acordate — ~ tuned amplifiers 111, (II)  
 ~ efectului Hall — Hall effect 106, (I)  
 ~ foto conductivității — ~ photo conductivity 106, (I)  
 ~ gâtirii curgerii — ~ flow bottlenecks 191, (I)  
 ~ multivibratoarelor — ~ multivibrators 439, (II)  
 ~ polarizării — ~ biasing 520, (I)  
 ~ reacției — ~ feedback 125, 128, 168, 226, (II)  
 ~ t.e.m. termice — thermal emf ~ 106, (I)  
 densitate de curent — current density 68, (I)  
 densitate de sarcină — charge density 81, (I)  
 dependența de temperatură — temperature dependence 467, (I)  
 ~ a caracteristicilor diodei — ~ of diode characteristics 167, (I)  
 ~ a concentrațiilor de purtători la echilibru — ~ of equilibrium carrier concentrations 85, (I)  
 deplasarea nivelului logic — logic-level shift 234, (I)  
 descompunerea sarcinii în exces — resolution of excess charge 261, (I)  
 desensibilizare — desensitivity 119, 141, (II)  
 determinant — determinant 16, (II)  
 determinarea parametrilor — parameter determination 16, (II)

deviația de frecvență — frequency deviation 90, (II)  
 diagrama Nichols — Nichols chart 236, (II)  
 diagramă Bode — Bode plot 234, (II)  
 difuzie — diffusion 95, (I)  
 ~ de impurități — ~ of impurities 198, (I)  
 ~ din sursă constantă — constant-source ~ 199, (I)  
 ~ din sursă finită — limited-source ~ 260 (I)  
 ~ în fază solidă — solid-state ~ 196, (I)  
 diodă — diode  
 ~ cu bază subțire — thin-base diode 160, (I)  
 ~ CU PATRU STRATURI — ~ four-layer diode 426, (II)  
 ~ cu strângere — clamping diode 388, (II)  
 ~ cu vid — vacuum diode 448, (II)  
 ~ de suprapunere — overlap diode 424, (I),  
 ~ semiconductoare — semiconductor diode 207, (I)  
 ~ tunel — tunnel diode 264, (I)  
 diode fotosensibile — light-sensitive diodes 181, (I)  
 disipație — dissipation 492, 493, (I)  
 dispozitive active — active device 23, (I)  
 distorsiune — distortion 46, (I)  
 distribuția și curgerea purtătorilor minoritari — minority-carrier distribution and flow 160, (I)  
 distribuții de sarcină cvasistatice — quasi-static charge distributions 322, (I)  
 domeniu de temperatură extrinsec — extrinsic temperature range 82, (I)  
 domeniu de temperatură intrinsec — intrinsic temperature range 82, (I)  
 dopanți — dopants 76, (I)  
 dreaptă de sarcină de c.a. — a.c. load line 50, (I) ; 465, (II)  
 dreaptă de sarcină de c.c. — d.c. load line 50, (I) ; 465, (II)  
 drenă — drain 81, 348, (I)  
 DTL — DTL 383 (II)  
 durata de revenire — recovery interval 433, (II)  
 durata de trecere la tranzistoare MOS — transit time in MOS transistors 372, 376, (I)

## E

echilibru detaliat — detailed balance 147, (I)  
 echilibru instabil — unstable equilibrium 422, (II)

echilibru la o joncțiune pn — equilibrium at a pn junction 141, (I)  
 ECL — ECL 391, (II)  
 ecuația difuziei — diffusion equation 218, (I)  
 ecuația idealizată a diodei cu joncțiune pn — idealized pn junction diode equation 164, (I)  
 ecuația caracteristică — characteristic equation 16, (II)  
 ecuații de continuitate — continuity relationships 111, 161, (I)  
 ecuații de control prin sarcină — charge-control equations 399, (II)  
 ecuații pe noduri — node equations 13, (II)  
 efect de cîmp — field effect 359, (I)  
 efect Hall — Hall effect 66, 79, (I)  
 efecte capacitive în tranzistoare MOS — capacitive effects in MOS transistors 372, (I)  
 efecte dinamice, în tranzistoare bipolare — dynamic effects, in bipolar transistors 324, (I)  
 ~ în diode cu joncțiune — ~ in junction diodes 169, (I)  
 ~ în diode cu vid — ~ in vacuum diodes 432, (II)  
 ~ în TECJ — ~ in JFET 399, (I)  
 ~ în tranzistoare MOS — ~ in MOS transistors 358, (I)  
 ~ în triode — ~ in triodes 489, (I)  
 electrod poartă — gate electrode 348, (I)  
 electroni, de conducție — electrons, conduction 74, (I)  
 ~ liberi — free — 66, 71, (I)  
 ~ mobili — mobile — 66, (I)  
 ~ de valență — bound — 73, (I)  
 element liniarizat pe porțiuni, ideal — ideal piecewise-linear element, 227, (I)  
 elemente — elements 22, 27, (I)  
 elemente de circuit — circuit elements 22, 27, (I)  
 elemente extrinseci, în tranzistoare bipolare — extrinsic elements, in bipolar transistors 422, (I)  
 ~ în tranzistoare MOS — ~ in MOS transistors 411, (I)  
 elemente neliniare — nonlinear elements 28, 227, (I)  
 elemente parazite în circuite integrate — parasitic elements in integrated circuits 214, (I)  
 emisie secundară — secondary emission 391, (II)  
 emisie termoelectronică — thermionic emission 445, (II)

energie termică — thermal energy 83, 146, (II)  
 eșantionare — sampling 131, (II)  
 etaj acordat sincron — synchronously — tuned 102, (II)  
 etaje cu emitor comun în cascadă — common emitter cascade 47, (II)  
 exponențială crescătoare — growing exponential 423, (II)  
 extracția purtătorilor minoritari — minority-carrier extraction 152 (I)  
 extracție — extraction 152, (I)

## F

fabricarea dispozitivelor semiconductoare — semiconductor device fabrication 195, (I)  
 factor de amplificare — amplification factor 488, 500, (II)  
 factor de transfer — transfer ratio 58, (I)  
 ~ de semnal mic — incremental — 58, (I)  
 ~ în tensiune — voltage — 58, (I)  
 fan-out (capacitatea de comandă la ieșire) — fan-out 310, 370, (II)  
 filament — heater 445, (II)  
 filtrarea undulațiilor — ripple filtering 250, (I)  
 filtrarea sursei de alimentare — power supply filtering 250, (I)  
 filtre LC — LC filters 23, (I)  
 filtru Butterworth — Butterworth filter 20, 103, 196, (II)  
 foaie de catalog — data sheet 472, (I)  
 forță Lorentz — Lorentz force 68, (I)  
 fotoconductivitate — photoconductivity 91, (I)  
 fotodiodă cu bază subțire — thin-base photodiode 181, (I)  
 fotodiodă — photodiodes 181, (I)  
 fotodiodă cu joncțiune pn — pn junction photodiodes 181, (I)  
 fotorezistoare — photoresistors 92, (I)  
 frecvență de centru — center frequency 89, (II)  
 ~ de rezonanță — resonant — 89, (II)  
 ~ de tăiere transversală — transverse cutoff — 97, (II)  
 ~ naturală — natural — 16, 91, (II)  
 funcționarea dinamică a tranzistoarelor bipolare — dynamic operation of bipolar transistors 319, (I)  
 funcționarea tranzistorului bipolar — bipolar-transistor operation 275, (I)  
 $f_T$  —  $f_T$  470, (I) ; 343, (II)

## G

Gauss, legea lui — Gauss's law 70, 81, 147, 348, (I)  
 generare de suprafață — surface generation 114, (I)  
 generare și recombinare de purtători în exces — generation and recombination of excess carriers 89, (I)  
 generare și recombinare în regiunea de sarcină spațială — generation and recombination in the space — charge layer 164, (I)  
 generatoare controlate — dependent generators 286, (I)  
 gîtuire, în situații de curgere — bottleneck, in flow situations 153, (I)  
 goluri — holes 74, (I)  
 grilă — grid 445, 448, 485, (II)  
 grilă ecran — screengrid 391, (II)  
 grilă supresor — suppressor grid 391, (II)

## H

Hall, efect — Hall effect 66, 79, (I)

## I

impedanță de intrare cu reacție — feedback input impedance 147, (II)  
 impuls de tact — clock pulse 425, (II)  
 impurități acceptoare — acceptor impurities 77, (I)  
 impurități donoare — donor impurities 76, (I)  
 impurități în semiconductoare — impurities in semiconductors, 76, (II)  
 inductanță de magnetizare — magnetizing inductance 465, (II)  
 injecție — injection 113, 150, (I)  
 injecție de nivel mic — low — level injection 112, 134, 158, (I)  
 injecție de purtători în exces — excess-carrier injection 113, (I)  
 injecție de purtători minoritari — minority carrier injection 151, (I)  
 injecție optică — optical injection 112, (I)  
 instabilitate — instability 94, 175, (II)  
 ~ de reacție, la frecvențe joase — feedback, at low frequencies 250, (II)  
 invertor — inverter 305, (II)  
 ionizarea atomilor de impurități — ionization of impurity atoms 76, (I)

izolarea componentelor în circuite integrate — isolation of components in integrated circuits 213, 215, (I)  
 izolare cu joncțiuni — junction isolation 213, (I)  
 izolare dielectrică — dielectric isolation 215, (I)

## Î

îngustarea benzii — bandwidth shrinkage 162, (II)  
 întirziere de stocare — storage delay 327, (II)  
 întreruperea buclei — breaking the loop 415, (II)

## J

joncțiune — junction  
 ~ abruptă — abrupt — 144, 174, (I)  
 ~ de colector — collector — 273, (I)  
 ~ de emitor — emitter — 273, (I)  
 ~ dopată nesimetric — asymmetrically-doped — 149, (I)  
 ~ liniar gradată — linearly-graded — 174, (I)  
 ~ pn — pn — 141, (I)  
 ~ la echilibru — in equilibrium 145, (I)

## L

lărgimea benzii — bandwidth 27, 91, (II)  
 legături covalente — covalent bonds 72, (I)  
 legea a doua a termodinamicii — second law of thermodynamics 83, 180, (I)  
 legea lui Gauss — Gauss's law 70, 81, 147, 348, (I)  
 legea lui Ohm — Ohm's law 95, (I)  
 legea parabolică 3/2 — three-halves power law 476, (II)  
 legi de conservare — conservation laws 141, 161, (I)  
 limitator cu diode — diode limiter 229, (I)  
 limite ale regiunii active — limits of the active region 290, (I)  
 limite ale tensiunii de colector — collector voltage limits 306, (I)  
 locul rădăcinilor — root locus 178, 182, (II)  
 logică — representation 304, (II)  
 ~ de stare — state — 305, (II) i  
 ~ negativă — negative — 309, (II)  
 ~ pozitivă — positive — 309, (II)

logică cu cuplaj prin emitor (ECL) — emitter-coupled logic (ECL) 391, 394, (II)  
 logică diodă-transistor (DTL) — diode-transistor logic (DTL) 382, (II)  
 logică în mod de curent (CML) — current mode logic (CML) 392, (II)  
 logică rezistor-transistor (RTL) — rezistor-transistor logic (RTL) 364, (II)  
 logică saturată — saturated logic 383, (II)  
 logică transistor-transistor (TTL) — transistor-transistor logic (TTL, T<sup>2</sup>L) 385, (II)  
 lungime Debye — Debye length 187, (I)  
 lungime de difuzie — diffusion length 123, (I)  
 lungime de difuzie a purtătorilor minoritari — minority-carrier diffusion length 123, (I)

## M

mascare cu bioxid de siliciu — silicon dioxide masking 202, (I)  
 maximal plat — maximally flat 91, (II)  
 măsurarea curentului de saturație — saturation current measurement 290, (II)  
 măsurarea timpului de viață — lifetime measurement 91, 106, (I)  
 mecanisme de generare — generation mechanisms 83, (I)  
 mecanisme de generare-recombinare în diode — generation-recombination mechanisms in diodes 166, (I)  
 mecanisme de recombinare — recombination mechanisms 83, (I)  
 memorie — memory 409, (II)  
 metale — metals 65, 70 (I)  
 metalizare — metallization 206, (I)  
 metoda lui Euler — Euler's Method 346, (II)  
 microfotografie — photomicrograph 110, 385, 397, (II)  
 minor — minor 16, (II)  
 mișcarea gurilor — hole motion 74, (I)  
 mișcare termică — thermal motion 92, (I)  
 mișcare termică aleatoare — random thermal motion 92, (I)  
 mobilitate — mobility 94, 468, (I)  
 mod de alunecare în tranzistoare bipolare — slash mode in bipolar transistors 286, 429, (II)  
 mod de umplere în tranzistoare bipolare — fill mode in bipolar transistors 286, (II)  
 modelare — modeling 23, (I)  
 modele ale regiunii active — active-region models 277, (II)  
 modele ale regiunii de blocare — cutoff region models 28, (II)

modele cu liniarizare pe porțiuni — piecewise-linear models  
 ~ pentru tranzistoare bipolare — ~ for bipolar transistors 288, (I)  
 ~ pentru tuburi cu vid — ~ for vacuum tubes 493, (II)  
 modele de circuit statice pentru tranzistoare bipolare — static circuit models for bipolar transistors 282, (I)  
 modele de diode — diode models 234, (I)  
 modele de regim dinamic pentru tranzistoare MOS — dynamic models for MOS transistors 372, (I)  
 modele de semnal total — total-signal models 330, (I)  
 modele Ebers-Moll — Ebers-Moll models 263, (II)  
 modele pentru regiunea de saturație — saturation region models, 282, (II)  
 modelul benzilor de energie — energy-band model 75, (I)  
 modelul bidimensional pentru legătură — two-dimensional bond model 72, (I)  
 modelul cu control prin sarcină pentru tranzistoare bipolare — charge-control model for bipolar transistors 324, (I)  
 ~ pentru tranzistoare MOS — for MOS transistors 377, (I)  
 modularea grosimii bazei — base-width modulation 425, (I)  
 modulator cu întrerupere — chopper circuit 297, (II)  
 modulator de putere — power modulator 25, 273, (I)  
 multiemitor — multiple emitter 387, (II)  
 multiplicare în avalanșă — avalanche multiplication 260, (I)  
 ~ la colector — ~ at the collector 308, (I)  
 multivibrator, astabil — multivibrator, free-running 435, (II)  
 ~ bistabil — bistable 412, (II)  
 ~ cu cuplaj prin emitor — emitter-coupled ~ 428, 434, 438, (II)  
 ~ monostabil — monostable ~ 428, 434, (II)  
 ~ monostabil complementar — complementary monostable multivibrator 434, (II)  
 ~ monostabil cu cuplaj încrucișat — cross-coupled monostable 428, (II)

## N

neliniaritate — nonlinearity 129, (II)  
 neutralitate — neutrality 69, 131, (I)

~ în metale — ~ in metals 65, (I)  
 ~ în semiconductoare — ~ in semiconductors 81, (I)  
 neutralitatea sarcinii — charge neutrality 69, 131, (I)  
 Nichols, diagrama — Nichols chart 236, (II)  
 notații pentru tensiuni și curenți — voltage and current notation 407, (I)  
 ~ de declanșare — triggering 410, (II)  
 ~ de menținere — sustaining 484, (I)  
 Nyquist, criteriul — Nyquist criterion 231, (II)

## O

Ohm, legea lui — Ohm's law 95, (I)

## P

Parametri admitanță — admittance parameters 453, (I)  
 ~ de control prin sarcină — charge control ~ 268, (II)  
 ~ g — g ~ 455, (I)  
 ~ h — h ~ 162, (II)  
 ~ hibridi — hybrid ~ 455, 457, (II)  
 ~ impedanță — impedance ~ 454, (I)  
 ~ TEC — FET ~ 475, (I)  
 ~ I — i ~ 452, (I)  
 ~ z — z ~ 454, (II)  
 parametri de semnal mic deduși din caracteristici statice — incremental parameters from static characteristics 42, 405, 443, (I)  
 parametru de control prin sarcină în regiunea de saturație — saturation region charge-control parameter 287, (II)  
 poli complecși — complex poles 20, (II)  
 porți cu diode — diode gates 232, 241, (I)  
 porți logice MOS — MOS logic gates 403, (II)  
 potențial de contact — contact potential 141, 147, (I)  
 potențial electrostatic — electrostatic potential 140, (I)  
 precontaminare — precontamination 168, (II)  
 predistorționare — predistorsion 168, (II)  
 prelucrarea multistructură — multiple-chip processing 215, (I)  
 principiul echilibrului detaliat — principle of detailed balance 83, 129, 145, 356, (I)  
 producție prin iluminare 88, 91, (I)  
 produs amplificator — bandă — gain-bandwidth product 177, (II)  
 produs np — np product 82, (I)

produsul concentrațiilor de purtători — carrier concentration product 82, (I)  
 proiectare de circuit — circuit design 23, (I)  
 pasivarea suprafețelor semiconductoare — passivation of semiconductor surface 202, (I)  
 pătrundere — punch-through 307, (I)  
 pentode — pentodes 431, (II)  
 perveanță — perveance 494, (II)  
 pierdere de recombinare — recombination defect 124, 165, (I)  
 planul s — s-plane 233, (II)  
 poartă — gate 25, (I)  
 ~ SAU — OR ~ 233, 265, (I)  
 ~ SAU-NU — NOR ~ 396, (II)  
 ~ SI-NU — NAND ~ 384, 388, (II)  
 pol — pole 16, (II)  
 ~ dominant — dominant ~ 177, 210, 246, (II)  
 ~ în semiplanul drept — right-half plane ~ 420, (I)  
 polaritate directă — forward polarity 142, 159, (I)  
 polaritate inversă — reverse polarity 142, 159, (I)  
 polarizare pe trei etaje — three-stage biasing 59, (II)  
 ~ demonstrație experimentală — ~ lecture demonstration 520, (II)  
 proiectarea amplificatoarelor cu mai multe etaje — multistage design 31, (II)  
 proiectarea pentru cazul cel mai defavorabil — worst-case design 311, (II)  
 proiectarea polarizării pentru germaniu — bias design for germanium 513, (I)  
 proprietăți de suprafață ale semiconductoarelor — semiconductor surface properties 352, (I)  
 proprietăți logice — logical properties 308, (II)  
 pseudotriodă — pseudotriode 391, (II)  
 punct de funcționare — operation point 46, 485, (I)  
 punct de funcționare în repaus — quiescent point 46, (I)  
 puncte de frângere în modele de circuit liniarizate pe porțiuni — breakpoints in piecewise-linear circuits 229, (I)  
 purtători de sarcină în semiconductoare — charge carriers in semiconductors 73, (I)  
 purtători în exces — excess carriers 86, (I)  
 ~ generarea și recombinarea — generation and recombination 89, (I)  
 purtători majoritari — majority carriers 78, (I)  
 purtători minoritari — minority carriers 78, (I)



## R

- raport semnal-zgomot — signal to noise ratio 122, (I)  
 răspuns acceptabil — acceptable response 194, 234, (II)  
 ~ cu doi poli — two-pole ~ 180, (II)  
 ~ în buclă închisă — closed loop ~ 242, (II)  
 ~ în frecvență — frequency ~ 231, (II)  
 ~ la semnal treaptă — step ~ 20, 104, 181, 195, (II)  
 ~ tranzitoriu — transient ~ 397, (II)  
 reacție buclă-bucă — loop-loop feed back 214, (II)  
 reacție negativă — negative feed back 117, (II)  
 reacție nod-nod — node-node feed back 135, (II)  
 reacție pozitivă — positive feedback 413, (II)  
 recombinarea sarcinii — charge recombination 323, (II)  
 recombinarea și generarea purtătorilor în exces — recombination and generation of excess carriers 89, (I)  
 ~ în regiunea de sarcină spațială — in the space-charge layer 164, (I)  
 redresor dublă alternanță — full-wave rectifier 250, (I)  
 redresor în punte — bridge rectifier 250, (I)  
 redresor monoalternanță — half-wave rectifier 246, (I)  
 reducerea zgomotului de rețea (brum) — hum reduction 167, (I)  
 regim de saturație inversă — reverse saturation regime 283 (II)  
 regim tranzitoriu de blocare — turn-off transient  
 ~ de intrare în conducție — turn-on ~ (I)  
 regiune activă — active region 275, (I)  
 ~ de funcționare operativă ~ 275, (I)  
 ~ directă — forward ~ 276, (II)  
 ~ inversă — reverse ~ 276, (II)  
 regiune de blocare — cutoff region 291 (I) ; 277, 281, (II)  
 regiune de colector — collector region 274, (I)  
 regiune de drenă — drain region 31, 348, (I)  
 regiune de lucru permisă — allowed operating region 484, (I)  
 regiune de sarcină spațială — space charge layer 147, 169, (I)  
 regiune de saturație — saturation region 291 (I) ; 277, 282, (II)  
 ~ directă — forward ~ 283, (II)  
 ~ în tranzistoare MOS — in MOS transistors 367, (I)  
 regiune de strangulare — pinch-off region 367, (I)  
 regiunea bazei într-o diodă — base region in a diode 160, (I)  
 ~ într-o fotodiodă — ~ in a photodiode 181, (I)  
 ~ într-un tranzistor — ~ in a transistor 273, (I)  
 regiunea canalului — channel region 348, (I)  
 regiunea sursei — source region 387, (I)  
 regula lui Cramer — Cramer's rule 555, (I)  
 relații Boltzmann — Boltzmann relations 147, 354, (I)  
 relații Einstein — Einstein relations 98, (I)  
 reprezentarea stării — state representation 305, (II)  
 rețea de decuplare — decoupling network 66, (II)  
 rețea de polarizare — bias network 519 (I)  
 rețea de reacție — feedback network 200 415, (II)  
 rețele de cuplaj — coupling networks 462, (II)  
 rezervă de amplificare — gain margin 236, (II)  
 ~ de fază — phase ~ 237, (II)  
 ~ de tensiune — voltage ~ 304, (II)  
 rezistența bazei — base resistance 423, (I)  
 ~ sursei — source ~ 412, (I)  
 rezistență controlată prin tensiune — voltage controlled resistance 380 (I)  
 rezistență de drenă — drain resistance 412, (I)  
 ~ de scurtcircuit — short-circuit ~ 64, (I)  
 ~ de strat — sheet ~ 204, (I)  
 ~ în circuit deschis — open-circuit ~ 23, 71, 248, (II)  
 rezistență serie la diode — series resistance in diodes 180, (I)  
 rezistență termică — thermal resistance 492, (I)  
 rezistivitate medie — average resistivity 221, (I)  
 rezistoare difuzate — diffused resistors 211, (I)  
 ~ fotosensibile — light-sensitive ~ 92, (I)  
 ~ semiconductoare — semiconductor ~ 210, (I)  
 ~ termosensibile — temperature-sensitive ~ 85, (I)  
 Runge-Kutta — Runge-Kutta 345, (II)

## S

- sarcina canalului — channel charge 354, (I)  
 sarcina electronului — electronic charge 74, (I)

- sarcină de poartă — gate charge 374, (I)  
 sarcină de recombinare — recombination charge 323, (II)  
 sarcină de suprafață — surface charge 348, 369, (I)  
 sarcină în exces în bază — excess charge in the base 280, (I)  
 sarcină spațială în diode cu vid — space charge in vacuum diodes 446, (II)  
 sarcină spațială la o joncțiune pn — space charge at a pn junction 147, (I)  
 saturație — saturation 128, 311, (II)  
 serie Taylor — Taylor series 53, 408, (I)  
 semiconductoare, de tip p — p-type semiconductors 78, (I)  
 ~ de tip n — n-type ~ 78, (I)  
 ~ dopate — doped ~ 86, (I)  
 ~ gradate (dopate neuniform) — graded ~ 128, (I)  
 ~ intrinseci — intrinsic ~ 78, (I)  
 semnal de ieșire — output signal 507, (I)  
 semnale exterioare — external signals 120, (II)  
 simboluri, pentru diode cu vid — symbols, for vacuum diodes 451, (II)  
 ~ pentru tranzistoare bipolare — for bipolar transistors 279, (I)  
 ~ pentru tranzistoare MOS — for MOS transistors 34, 377, (I)  
 ~ pentru triode cu vid — for vacuum triodes 451, (II)  
 ~ pentru tuburi cu mai mulți electrozi — for multigrid tubes 491, (II)  
 simetrie complementară — complementary-symmetry 402, (II)  
 stabilitate — stability 175, 412, (II)  
 stabilizarea sursei de alimentare — power supply regulation 253, (I)  
 stabilizator cu diode — diode regulator 262, (I)  
 stabilizator de tensiune — voltage regulator 262, 302, 437, (I)  
 stare, activă normală — forward-active state 306, (II)  
 ~ de blocare — off ~ 305, (II)  
 ~ de conducție — on ~ 305, (II)  
 ~ de saturație — saturation ~ 306, (II)  
 ~ metastabilă — metastable ~ 431, 435, (II)  
 stocări de purtători de sarcină în exces — excess-carrier charge stores 176, (I)  
 stocări de sarcină în regiunea bazei — base region charge stores 260, (II)  
 stocări de sarcină în regiunea de sarcină spațială — space-charge layer charge stores 169, (I)  
 stocări de sarcină în regiunea neutră — neutral-region charge stores 176, (I)  
 strat de acumulare — accumulation layer 356, (I)  
 strat de inversie — inversion layer 355, (I)  
 strat dipolar — dipole layer 147, 174, (I)  
 straturi de oxid — oxide layers 32, 202, 349, (I)  
 străpungere Zener — Zener breakdown 261, (I)  
 structura cristalină a diamantului — diamond crystal structure 72, (I)  
 structură de diodă plan paralelă — plan-parallel diode structure 476, (I)  
 structuri multistrat — multiple-layer structures 202, (I)  
 supracomandă — overdrive 371, 398, (I)  
 ~ de blocare — turn-off ~ 329, (II)  
 supracrestere — overshoot 180, 194, (II)  
 sursă — source 72, 347, (I)  
 ~ de polarizare — bias ~ 462, (II)  
 ~ de tensiune de testare — test voltage ~ 64, (II)  
 surse independente — independent sources 23, (I)

## T

- tabela combinațiilor — table of combinations 265, (I)  
 tampon — buffer 372, (II)  
 TECJ — JFET 387, (I)  
 ~ circuite echivalente de semnal min — incremental models 412, (I)  
 TECMOS — MOSFET 347, (I)  
 ~ rețea de polarizare — bias network 420, (I)  
 tehnica fotorezistivității — photorezist technique 204, (I)  
 tehnologia difuziei planare — planar diffusion technology 196, 275 (I)  
 t.e.m. termică — thermal e.m.f. 79, (I)  
 tensiune — voltage  
 ~ de declanșare — triggering ~ 421, (II)  
 ~ de prag — threshold ~ 180, 235, 288, (I)  
 ~ de prag emitor-bază — emitter-base threshold ~ 312, (II)  
 ~ de strangulare — pinch-off ~ 390, (I)  
 ~ de străpungere — breakdown ~ 260, (I)  
 ~ de străpungere inversă — reverse breakdown ~ 260, (I)  
 ~ de susținere — sustaining ~ 309, 485, (I)  
 ~ Hall — Hall ~ 66, (I)  
 ~ pe joncțiune — junction ~ 152, (I)  
 ~ termică — thermal ~ 98, (I)

- ~ termoelectrică — thermoelectric ~ 79, (I)  
 teoria circuitelor — circuit theory 21, (I)  
 teoria rețelelor — network theory 21, (I)  
 termistoare — thermistors 85, (I)  
 testarea cu undă dreptunghiulară — square-wave testing 572, (I)  
 tetrode — tetrodes 490, (II)  
 timp de cădere — fall time 327, 330, (II)  
 ~ de creștere — rise ~ 323, 330, (II)  
 ~ de întârziere — delay ~ 320, 330 (II)  
 ~ de întârziere de stocare — storage delay ~ 70, (II)  
 ~ de relaxare dielectrică — dielectric relaxation ~ 70, (I)  
 timp de viață — lifetime 90, (I)  
 timp de viață al purtătorilor în exces — excess-carrier lifetime 90, (I)  
 topologia rețelelor — network topology 350 (II)  
 topologii cu reacție — feedback topologies 131, (II)  
 transconductanță — transconductance 410, 416, (I) : 499, (II)  
 ~ de semnal mic — incremental ~ 416 (I) : 469, (II)  
 transformare de impedanță în circuite bipolare — impedance transformation in bipolar circuits 434, (I)  
 transformare de la trece-jos la trece-bandă — low-pass to band-pass transformation 92, (II)  
 transformatoare — transformers 51, (I)  
 transimpedanță — transimpedance 144, 155, (II)  
 transmisia buclei — loop transmission 144, 415, (II)  
 transport de curent — current transport 92, (I)  
 tranzistoare cu efect de câmp cu joncțiune (TECJ) — junction field-effect transistors (JFET) 387, (I)  
 tranzistoare cu joncțiuni — junction transistors 273, (I)  
 tranzistoare MOS — MOS transistors 30, 347, (I)  
 ~ circuite echivalente de semnal mic — incremental models 407, (I)  
 tranzistor bipolar — bipolar transistor 273, (I)  
 circuite echivalente de semnal mic — incremental models 413, (I)  
 tranzistor cu bază subțire — thin-base transistor  
 ~ cu efect de câmp — field-effect ~ 347, 387 (I) : 400 (II)  
 ~ MOS cu canal indus — enhancement-mode MOS ~ 369, (I)  
 ~ MOS cu canal inițial — depletion-mode MOS ~ 370, 391, (I)  
 ~ unijoncțiune — unijunction ~ 398, (I)  
 ~ unipolar — unipolar ~ 273, 387, (I)  
 tranzistorul cu ventil de comandă — transistor as a control-valve 279, (I)  
 triode — triodes 32, (I)  
 triode cu vid — vacuum triodes 444, (II)  
 tuburi cu vid — vacuum tubes 444, (II)  
 tuburi cu vid cu mai mulți electrozi — multi-grid vacuum tubes 490, (II)

## V

- valoare proprie — eigenvalue 16, (II)  
 varactoare — varactors 268, (I)  
 variabilă de stare — state variable 382, (II)  
 variabile binare — binary variables 308, (II)  
 ~ de punct de funcționare — operating point ~ 239, (I)  
 ~ de semnal mic — incremental ~ 54, 239, (I)  
 ~ la terminale ale tranzistorului — transistor terminal ~ 279, (I)  
 variația parametrilor hibridi — hybrid parameter variation 470, (I)  
 variațiile grosimii bazei — base width changes 306, (I)  
 ventile de comandă — control valves 23, (I)  
 verificarea calculului — computational check 31, (II)  
 viteză de antrenare — drift velocity 94, (I)  
 viteză de comutare — switching speed 376, 418, (II)  
 viteză de recombinare — recombination rate 89, (I)  
 viteză termică — thermal speed 92, (I)

## Z

- zero — zero 16, (II)  
 zgomot de rețea al sursei de alimentare — power supply hum 123, (II)